ANNALEN

der

SCHWEIZERISCHEN METEOROLOGISCHEN ZENTRALANSTALT

1952

Neunundachtzigster Jahrgang

City-Druck AG, Zürich 1
St. Peterstraße 10
1953

Inhalt

Vorwort . . . . . Pag. III
Verzeichnis der schweizerischen meteorologischen Literatur im Jahre 1952 . . . . . » IV
Legende zu «Tägliche Beobachtungen» . . . . . » VI

Tägliche Beobachtungen

der Stationen: Bern, Neuchâtel, Altdorf, Genève, Zürich, Chasseron, Bever, Sion, Lugano, Basel, Säntis und St. Gotthard nebst ergänzenden Witterungsnotizen . . . . . Pag. I—76
Jungfraujoch: Tägliche Lufttemperaturen . . . . . » 77
Tägliche Maxima und Minima und stündliche Monatsmittel der Lufttemperatur von Zürich und Säntis . . . . . » 78—79
Temperaturextreme von 7 Normal-Stationen . . . . . » 80—83
Übersichten Zürich-Physikgebäude . . . . . » 84

Monats- und Jahres-Uebersichten der meteorologischen Beobachtungen sämtlicher Stationen » 85 – 132

	Pag.		Pag.		Pag.		Pag.
Aarau	102 u. 103	Ebnat	122	Locarno-Monti	120 u. 121	Sarnen	96 u. 97
Adelboden	127	Einsiedeln	94 u. 95	Locarno-Muralto	120 u. 121	Scarl (Unterengadin)	131
Airolo	132	Elm	92 u. 93	Lohn	104 u. 105	Schaffhausen	127
Allaman	129	Engelberg	96 u. 97	Lugano	120 u. 121	Schiers	130
Allerheiligenberg	126			Lungern	124	Schuls	116 u. 117
Altdorf	96 u. 97	Fescoggia	133	Luzern	94 u. 95	Schwäbrig (ob Gais)	122
Altstätten	90 u. 91	Frauenfeld	86 u. 87			Srewis	130
Andermatt	125	Fribourg	104 u. 105	Marsens	128	Sils-Maria	131
Arosa	114 u. 115			Meiringen	106 u. 107	Sion	110 u. 111
Auen (Linthal)	92 u. 93	Genève	108 u. 109	Mezzana	133	Soleil Mont	126
		Glarus	92 u. 93	Montana	112 u. 113	Solothurn	100 u. 101
Baden	86 u. 87	Göschenen	96 u. 97	Montreux-Clarens	110 u. 111	Splügen (Dorf)	118 u. 119
Basel (Binningen)	98 u. 99	Grächen	129	Muri (Aargau)	122	St. Bernhard	110 u. 111
Beatenberg	106 u. 107	Grimmialp	128			St. Gallen	88 u. 89
Bellinzona	120 u. 121	Grimsel	108 u. 109	Neuchâtel	100 u. 101	St. Gotthard	98 u. 99
Bern	104 u. 105	Grindelwald	134			Sta. Maria (Münstertal)	132
Bever	116 u. 117	Grono	132	Oberiberg	92 u. 93	St. Moritz	116 u. 117
Beznau	102 u. 103	Gurtnellen	125	Olten	126		
Bivio	131	Guttannen	106 u. 107			Thun	127
Bosco-Gurin	118 u. 119			Pilatus-Kulm	94 u. 95	Tschiertschen	131
Braggio	118 u. 119	Haidenhaus	88 u. 89	Platta (Medels)	114 u. 115		
Braunwald (ob Linthal)	123	Hallau	102 u. 103	Porrentruy	98 u. 99	Vättis	123
Brévine, la	125	Heiden	88 u. 89			Vicosoprano	118 u. 119
Brè Monte (ob Lugano)	133	Heiligenschwendi	127	Ragaz, Bad	90 u. 91		
Buffalora (Ofenpass)	116 u. 117			Reckingen	112 u. 113	Walchwil	124
		Interlaken	106 u. 107	Rheinfelden	126	Wald (Faltigberg)	123
Cernier	125	Jungfraujoch	108 u. 109	Rigi-Staffel	94 u. 95	Walenstadtberg	123
Chasseron	100 u. 101			Romont	129	Weggis	124
Château d'Oex	128	Kreuzlingen	88 u. 89	Rorschach	122	Weissenstein	134
Chaumont	100 u. 101			Rougemont	128	Weissfluhjoch	114 u. 115
Chaux-de-Fonds, la	98 u. 99	Langenbruck	102 u. 103			Werthenstein	124
Chur	112 u. 113	Langnau i. E.	104 u. 105	Saanen	134	Winterthur	86 u. 87
Comprovasco	132	Lausanne (Champ de l'Air)	108 u. 109	Saas-Fee	130		
		Leukerbad	129	Säntis	90 u. 91	Zermatt	130
Davos-Platz	114 u. 115	Leysin	110 u. 111	Sargans	90 u. 91	Zürich	86 u. 87
Disentis	112 u. 113						

Anhang: Ergänzende Beobachtungen und Abhandlungen.

Nr. 1. M. Grütter. Übersicht über den Witterungsverlauf in der Schweiz im Jahre 1952.

Nr. 2. J. Rieker. Liste des chutes de grêle en Suisse pendant l'année 1952.

Nr. 3. Ergebnisse der Niederschlagsmessungen im Jahre 1952.
Ergebnisse der im Alpengebiet aufgestellten Totalisatoren für das hydrologische Jahr 1951/52.

Nr. 4. Ergebnisse der Registrierungen der Sonnenscheinautographen im Jahre 1952.

Nr. 5. E. Wanner. Jahresbericht des Erdbebendienstes 1952.

Nr. 6. Aerologische Station Payerne. Radiosondierungen 1952.

Nr. 7. Agrarmeteorologische Beobachtungen:
Verdunstung in mm Wasserhöhe von Zürich und Château-d'Oex.
Bodentemperaturen von Zürich.

P. Ackermann. Klima der freien Atmosphäre.

M. Schüepp. Die Häufigkeitsverteilung der Zürcher Temperatur-Tagesmittel im Zeitraum 1901—1940.

Vorwort

Das Berichtsjahr war ziemlich reich an Mutationen im Netz unserer Beobachtungsstationen. Neu eingerichtet, bzw. aufgenommen wurden zu Jahresbeginn eine meteorologische Station in Bivio (Beobachter: U. Grisch) und fünf Regenmeßstationen: Marmorera-Castiletto (Bauleitung des Kraftwerkes), Pregassona (H. Heberlein und H. Wibmer, zugleich agrarmeteorologische Station), Waldegg b. Uitikon (Institut für Waldbau an der ETH), Zürich-Albishof (Wasserversorgung der Stadt Zürich) und Zürich-Wollishofen (M. Schüepp). Im Laufe des Jahres traten hinzu eine meteorologische Station in Allaman (E. Honegger) und eine Regenmeßstation auf dem Niederhorn ob Beatenberg (R. Homberger). Die bisherigen Regenmeßstationen Saanen (Kindersanatorium Solsana) und Grindelwald wurden in meteorologische Stationen umgewandelt. Im Zusammenhang mit der Verlegung der meteorologischen Station Château d'Oex verschwand die Regenmeßstation Villa d'Oex, ferner mußten die Regenmeßstationen Chambrelien und leider auch die seit fünf Jahren bestehende meteorologische Station Porrentruy aufgegeben werden. Hieraus ergeben sich folgende Bestände:

	1. Januar	31. Dezember
Meteorologische Stationen	125	128
Regenmeßstationen	300	297

Beobachterwechsel (* mit Stationsverlegung, † Todesfälle):

Meteorologische Stationen

	bisher	neu
*Grindelwald	—	G. Bohren
Bosco	A. Della Pietra †	Frau R. Della Pietra
Chasseron	R. Colomb	Ch. H. Martin
*Château-d'Oex	C. Delachaux †	E. Jaccard
*Glarus	E. Wehrli	F. Friedau
Hallau	H. Huber-Rupli	H. Rahm
Kreuzlingen	P. Zwick †	Familie Zwick
Sta. Maria	Frau A. Hartmann	Frau B. Graber
Reckingen	J. Stucky †	Th. Weißen
Rigi-Staffel	A. Gernet	R. Scherer
Schaffhausen	A. Streckeisen †	Th. Bächtold
Schwäbrig	Frl. D. Hofstetter	Frl. H. Hugentobler
*Sils-Maria	St. Hartmann	K. Breu-Sciucchetti

Regenmeßstationen

	bisher	neu
*Grindelwald	M. Schild	—
*Brienz	Kant. Alpwirtschaftsschule	H. Thöni
Cossonay	G. Golay	A. Mollien
La Cure	E. Joly	A. Cavernier
*Flawil	J. Heule	W. Weber-Weber
La Frêtaz	J. Signer	H. Lüthy
Gsteig b. Gstaad	R. Wenger	W. Ammann
Jaun	Ph. Buchs †	H. Buchs
Kaiserstuhl	A. Holliger	W. Zimmermann
*Marbach (Luz.)	O. Glanzmann †	A. Glanzmann
*Les Ponts de Martel	A. Erb	A. Vassalli
Savognin	M. Plaz-Bossi †	J. Plaz
Tomils	A. Christoffel †	Ch. Christoffel

Unter den zurückgetretenen Beobachtern möchten wir die Herren A. Erb, Les Ponts-de-Martel, M. Schild, Grindelwald, und H. Huber, Hallau, besonders erwähnen. Alle drei haben unseren Dank verdient durch langjährige, vorbildliche Beobachtungen (53, bzw. 45, bzw. 39 Jahre) und erfolgreiche Bemühungen um die Nachfolge.

Zürich, im Dezember 1953.

Der Direktor der
Schweizerischen Meteorologischen Zentralanstalt:
Jean Lugeon.

Eidgenössische Meteorologische Kommission 1952

Prof. Dr. Ch. Borel, Gymnasium, La Chaux-de-Fonds, Präsident
Prof. Dr. A. Kreis, Chur, Vizepräsident
Prof. Dr. W. Jost, Gymnasium, Bern
Prof. Dr. Fr. Gaßmann, ETH, Zürich
Dr. Gottfried von Meiß, Zürich
Dr. Max Bider, Astronomisch-Meteorologische Anstalt, Basel
Prof. Dr. S. Bays, Universität, Fribourg

Verzeichnis der 1952 erschienenen oder sich auf dieses Jahr beziehenden schweizerischen meteorologischen und seismologischen Literatur

Abkürzungen: NG = Naturforschende Gesellschaft. — SNG = Schweizerische Naturforschende Gesellschaft. — SHSN = Société Helvétique des Sciences Naturelles.

Dieses Verzeichnis führt, um Raum zu sparen, die im vorliegenden Bande publizierten Arbeiten nicht nochmals auf
(s. Inhaltsverzeichnis S. II)

a) *Meteorologie*

Schweizerische Meteorologische Zentralanstalt: Annalen der..., 1952. Jg. 89. — Zürich 1953.

Schweizerische Meteorologische Zentralanstalt: Ergebnisse der täglichen Niederschlagsmessungen auf den meteorologischen und Regenmeß-Stationen der Schweiz im Jahre 1952. — Zürich 1953.

Schweizerische Meteorologische Zentralanstalt: Meteorologische Monatsberichte Januar-Dezember 1952. Verf. von M. Grütter. — Zürich 1952; je 1 S.

Schweizerische Meteorologische Zentralanstalt: Wetterbericht der... = Bulletin de la Station Centrale Suisse... Jg. 72, No. 1—366. — Zürich 1952; erscheint täglich.

Eidg. Institut für Schnee- und Lawinenforschung: Schnee und Lawinen in den Schweizeralpen Winter 1950/51. Winterbericht Nr. 15. — Davos-Platz 1952; 231 S.

Observatoire de Genève: Résumés météorologiques 1952. — Arch. des Sc., vol. 5, Genève 1952.

Observatoire de Lausanne, Champ-de-l'Air: Résumés mensuels 1952. — Lausanne, Obs. mét. cant. vaud., 1952; 12 pp.

Observatoire de Neuchâtel: Observations météorologiques faites en 1951 à l'Observatoire cantonal de Neuchâtel. Publ. par E. Guyot. — Bull. Soc. Neuchât. Sc. Nat., 75, pp. 195—216, Neuchâtel 1952.

Observatoire de Neuchâtel: Observations météorologiques faites en 1952 à l'Observatoire cantonal de Neuchâtel. Publ. par E. Guyot. Bull. Soc. Neuchât. Sc. Nat., 76, pp. 177—184, Neuchâtel 1953.

Ackermann, Paul: s. Lugeon, Jean.

Ambrosetti, Flavio: Le condizioni del gelo al margine meridionale delle Alpi. — Geof. pura e appl., 22/1—2, pp. 108—127, Milano 1952.

Ambrosetti, Flavio: Erfahrungen mit der Kammermannschen Regel für die Frostvorhersage auf der Magadinoebene. — Verh. SNG 1952, S. 116, Aarau 1953.

Berger, Karl; Seylaz, E.: Versuchsanlage für die Messung der Koronaverluste von Höchstspannungsleitern unter willkürlich erzeugbaren oder natürlichen klimatischen Verhältnissen. — Bull. Schweiz. Elktrotechn. Verein, 43, S. 593—601, Zürich 1952.

Bianca, W.: Der Einfluß der Alpung auf die Körperentwicklung und die Blutbeschaffenheit von Jungziegen. — Schweiz. Landw. Monatshefte, 6, S. 197—213, Bern 1952.

Bider, Max: Der Tagesgang des Dampfdrucks in Basel. — Verh. SNG 1952, S. 107—110, Aarau 1953.

Biéler, Pierre-Louis: Vérification de la méthode de Kammermann pour la prévision du minimum de température à Cointrin. — Actes SHSN 1952, p. 130, Aarau 1953.

Bouët, Max: Betrachtungen zum Föhn. — Leben u. Umwelt, VIII/11, S. 259—264, Aarau 1952.

Bouët, Max: Le brouillard dans les Alpes valaisannes. — Archiv Met. Geoph. Biokl., B, IV/1, S. 26—33, Wien 1952.

Bouët, Max: Le brouillard en Valais. — Bull. «La Murithienne», Soc. Valais. Sc. Nat., 69, 9 pp., St-Maurice 1952.

Bouët, Max: Vagues de brouillard. — Actes SHSN 1952, pp. 114—115, Aarau 1953.

Bouët, Max: La variation diurne de la pression dans la vallée du Rhône suisse. — Journal sc. de la mét., IV/14, pp. 41—46, Paris 1952.

Brunner, Thomas: Einige Beobachtungen über das Haften von Eis an Oberflächen. — Zeitschr. f. angew. Math. u. Physik «ZAMP», 33/6, S. 460—466, Basel 1952.

Brunner-Hagger, William: Bedeutung der Lang- und Mittelfristprognosen im Verhältnis zu Kurzfristprognosen. — Verh. SNG 1952, S. 112, Aarau 1953.

Brunnschweiler, Dieter H.: The geographic distribution of air masses in North America. — Vierteljahrsschrift NG Zürich, 97/1, S. 42—49, Zürich 1952.

Comte, René: Im Moswey 4 zur Stratosphäre. — Schweiz. Aero-Revue, 27/2, S. 53—55, Bern 1952.

Däniker, Albert Ulrich: Die Inseln von Brissago und ihre Bedeutung für die «Akklimatisation» fremdländischer Pflanzen. — Leben u. Umwelt, 1, S. 1—8, Aarau 1951.

Dessauer, Friedrich: s. Der Einfluß schneller Schwerkraftänderungen...

Drotschmann, Hugo: Das heiztechnische Klima der Schweiz im Winter 1951/52. — Schweiz. Bl. f. Heizg. u. Lüftg., 19, S. 77—91, Zürich 1952.

Eidg. Volkswirtschaftsdepartement, Abteilung für Landwirtschaft: Großversuch zur Bekämpfung des Hagels auf der Magadinoebene. Tätigkeitsbericht Nr. 4, 1951. — Bern 1952; 54 S.

Eidg. Volkswirtschaftsdepartement, Abteilung für Landwirtschaft: Großversuch zur Bekämpfung des Hagels auf der Magadinoebene. Tätigkeitsbericht Nr. 5, 1952. — Bern 1953; 69 S.

Der Einfluß schneller Schwerkraftänderungen auf die Atmosphäre. Von Friedrich Dessauer, André Mercier, Edith Schaffhauser, Joseph Schaffhauser. — Helv. phys. acta, 25, S. 476—477, Basel 1952.

Ekhart, E.: Zur Anomaliemethode. — Archiv Met. Geoph. Biokl., B. IV/3, S. 311—315, Wien 1952. / Kritik an Uttinger, H.: Zur Höhenabhängigkeit der Niederschlagsmenge in den Alpen. — Archiv Met. Geoph. Biokl., B, II/4, 1951.

Faes, Henry: La défense contre la grêle. — Terre vaud., 44, pp. 393—394, Lausanne 1952.

Fichter, Rudolf: Der Einfluß des Rheinfalls auf das Klima seiner Umgebung. — Mitt. NG Schaffhausen, 24, S. 165—180, Schaffhausen 1952.

Gensler, Gian Alfred: Die Albula- und Berninakette als Wasserscheiden bei Nordstau. — Verh. SNG 1952, S. 111—112, Aarau 1953.

Gockel, Paula: Das meteorologische Jahr 1951 (in Freiburg). — Bull. Soc. Frib. Sc. Nat., 41, pp. 170—171, Fribourg 1952.

Gockel, Paula: Das meteorologische Jahr 1952 (in Freiburg). — Bull. Soc. Frib. Sc. Nat., 42, pp. 249—250, Fribourg 1953.

Graffunder, Walter; Günther, Werner: Einige Ergebnisse über die Ausbreitung der quasiperiodischen Luftdruckschwankungen. — Helv. phys. acta, 25, S. 485—487, Basel 1952.

Grütter, Max: s. Schweiz. Met. Zentralanstalt: Meteorolog. Monatsberichte...

Günther, Werner: s. Graffunder, Walter.

Guyot, Edmond: Présentation commentée de prises de vue sur la formation des nuages. — Bull. Soc. Neuchât. Sc. Nat., 75, pp. 234—235, Neuchâtel 1952.

Guyot, Edmond: s. auch Observatoire de Neuchâtel.

Hensel, H.: Wärme- und Temperaturleitung in der lebenden Haut. — Experientia, VIII/12, S. 477—482, Basel 1952.

Heß, W.: Die Messung der Luftfeuchtigkeit. — Techn. Mitt. PTT, 30, S. 127—140, Bern 1952.

Hoeck, Erwin: Der Einfluß der Strahlung und der Temperatur auf den Schmelzprozeß der Schneedecke. — Bern, Kümmerly & Frey, 1952; 36 S.

Jaggi, Martin: Farbphotographien eines Sonnenhalos in Cuba. — Geof. pura e appl., 23, pp. 124—129, Milano 1952.

Israël, Hans; Kasemir, H. W.; Wienert, K.: Luftelektrische Tagesgänge und Massenaustausch im Hochgebirge der Alpen. Die luftelektrischen Verhältnisse am Jungfraujoch, 3472 m, I. — Archiv Met. Geoph. Biokl., A, III, S. 357—381, Wien 1951.

Jucker, W.: Ein Föhnsturm, im Flug erlebt. — Leben u. Umwelt, VIII/8, S. 169—170, Aarau 1952.

Kasemir, H. W.: s. Israël, Hans.

Kuhn, Walter: Der Firnzuwachs pro 1951/52 in einigen schweizerischen Firngebieten. — Vierteljahrsschrift NG Zürich, 97, S. 277—282, Zürich 1952.

Kuhnke, W.: s. Zink, O.

Die Lawinenkatastrophen in den Schweizer Alpen Januar und Februar 1951. [Von] Marcel R. de Quervain, Theodor Zingg, André Roch und Melchior Schild. — Die Erde, S. 15—32, Berlin 1952.

Lugeon, Jean: Die neue Gewitterkarte der Schweiz. — Verh. SNG 1952, S. 116—117, Aarau 1953.

Lugeon, Jean: L'orage grêlifuge du Sechseläuten, photographié au radar. — Actes SHSN 1952, pp. 117—118, Aarau 1953.
Lugeon, Jean; Ackermann, Paul: L'acte final de la première comparaison mondiale des radiosondes à Payerne, 1950. — Actes SHSN 1952, p. 119, Aarau 1953.
Lugeon, Jean; Rieker, Jean: Le recoupement radiogoniographique des tempêtes orageuses dans un rayon de 600 km autour de la base Payerne-Zurich. — Actes SHSN 1952, pp. 118—119, Aarau 1953.
Menzl, Oswald: Bestimmungen der Himmelsbläue mittels der Linke-Ostwald'schen Blauskala. — Vierteljahrsschrift NG Zürich, 97, S. 186—194, Zürich 1952.
Mercanton, Paul-Louis: Climatologie lausannoise (nouvelles contributions). — Bull. Soc. Vaud. Sc. Nat., 65/282, pp. 331—340, Lausanne 1952.
Mercanton, Paul-Louis; Renaud, André: Les variations des glaciers des Alpes Suisses. — Les Alpes, 8, 10 pp., Berne 1952.
Mercier, André: s. Der Einfluß schneller Schwerkraftänderungen ...
Mörikofer, Walter: Meteorologische Gesichtspunkte zur Föhn- und Wetterfühligkeit. — Bull. Schweiz. Akademie d. med. Wissenschaften, VIII/5—6, S. 494—503, Basel 1952.
Mörikofer, Walter; Nagel, Erich: Über die Beziehung zwischen Sonnenscheindauer und Bewölkung. — Verh. SNG 1952, S. 112—113, Aarau 1953.
Monheim, F.: Beobachtungen über die Getreidegrenze und Feldsysteme der französischen und Schweizer Alpen. — Erdkunde, 5, S. 157—165, Bonn 1951.
Nägeli, Werner: s. Tanner, Heinrich.
Nagel, Erich: s. Mörikofer, Walter.
Organisation météorologique mondiale: Association régionale européenne (AR VI) — European regional association (RA VI). Acte final de la première session tenue à Zurich, 25. 5.—7. 6. 1952. — Final act of the first session ... — Zurich, Station centrale suisse de météorologie, 1952; 2 vol.
Organisation météorologique mondiale: Comparaison mondiale des radiosondes ... Payerne, 8—30 mai 1950. Acte final vol. III. [De l'] OMM: Commission des instruments et méthodes d'observation. Sous-commission d'aérologie expérimentale (JSAé). — Zurich, Station centrale suisse de météorologie, 1952; 71 pp., polycopié.
Pollog, Carl Hanns: Routineflüge zum Nordpol. — Schweiz. Aero-Revue, 27/2, S. 60—62, Bern 1952.
Quervain, Marcel R. de: s. Die Lawinenkatastrophen ...
Regel, Constantin: Zur Klimaänderung der Gegenwart. — Experientia, VIII/1, S. 34, Basel 1952.
Renaud, André: Observations on the surface movement and ablation of the Corner Glacier, Switzerland. — Journal of Glaciology, II/11, pp. 54—57, London 1952.
Renaud, André: s. auch Mercanton, Paul-Louis.
Rieker, Jean: s. Lugeon, Jean.
Roch, André: s. Die Lawinenkatastrophen ...
Sänger, Raymund: Versuche zur Beeinflussung des Wetters in den USA. — Landw. Jahrbuch d. Schweiz, N. S. I, 32 S., Bern 1951.
Sandoz AG: Wetterfühligkeit. — Basel, Sandoz AG, 1952; 15 S.
Saxer, Leonhard: Beziehungen zwischen quasiperiodischen Luftdruckschwankungen und meteorologischen Erscheinungen. — Helv. phys. acta, 25, S. 478—479, Basel 1952.
Schaffhauser, Edith: s. Der Einfluß schneller Schwerkraftänderungen ...
Schaffhauser, Joseph: Messungen von kurzperiodigen Schwankungen der Luftionisation. — Archiv Met. Geoph. Biokl., A, V, S. 179—186, Wien 1952.
Schaffhauser, Joseph: s. auch Der Einfluß schneller Schwerkraftänderungen ...
Schaufelberger Paul: Die Klimabodentypen des tropischen Kolumbiens. — Vierteljahresschrift NG Zürich, 97, S. 92—114, Zürich 1952.
Schaufelberger, Paul: Zur Gliederung des tropischen Klimas. — Geogr. Helv., 7, S. 153—155, Bern 1952.
Schild, Melchior: s. Die Lawinenkatastrophen ...
Schmid, Friedrich: 60 Jahre Zodiakallichtforschung. — Verh. NG St. Gallen, 74, 15 S., St. Gallen 1952.
Schneider, Raymond: La prévision du brouillard de rayonnement et la baisse nocturne de température. — Actes SHSN 1952, pp. 113—114, Aarau 1953.
Schüepp, Walter: Beobachtungen und Überlegungen zum tagesperiodischen Luftmassenaustausch. — Archiv Met. Geoph. Biokl., A, V/1. S. 36—43, Wien 1952.
Schüepp, Walter: Die qualitative und quantitative Bedeutung der Föhnmauer. — Met. Rundschau, 5, S. 136—138, Berlin 1952.
Schüepp, Walter: Zur Definition des Begriffes der Intensität der Sonnenstrahlung. — Geof. pura e appl., 23, pp. 147—150, Milano 1952.
Seylaz, E.: s. Berger, Karl.
Tanner, Heinrich; Nägeli, Werner: Wetterbeobachtungen und Untersuchungen über die Windverhältnisse im Bereich von Laub- und Nadelholzschutzstreifen. — Jahresbericht 1947 d. Melioration d. Rheinebene, 22. S., Altstätten 1948.
Tetrode, Pieter: Seasonal effects in meteorology of solar origin. I. — Verh. SNG 1952, S. 128—130, Aarau 1953.
Thams, Johann Christian: Die Hochwasser vom August und November 1951 am Alpensüdfuß der Schweiz. — Wasser u. Energiewirtschaft, 44/9, S. 171—179, Zürich 1952.
Thams, Johann Christian: Mensch und Wetter. — Das Schweiz. Rote Kreuz, 61/5, S. 6—9, Bern 1952.
Thams, Johann Christian; Zenone, Eleno: Über Sonnenscheindauer und Globalstrahlung auf der Magadinoebene unter besonderer Berücksichtigung des Tabakanbaues. — Landwirtschaftl. Jahrbuch d. Schweiz, 66, N. F. 1, S. 139—180, Bern 1952.
Truesdell, Clifford A. T.: On Ertel's vorticity theorem. — Zeitschr. f. angew. Math. u. Physik «ZAMP», II/2, S. 109—114. Basel 1951.
Urfer Charlotte: Temperaturamplituden in Genf. — Verh. SNG 1952, S. 110—111, Aarau 1953.
Uttinger, Heinrich: s. Ekhart, E.
Veranneman, N.: Déclanchement artificiel des précipitations. — Bull. OMM, I/2, pp. 48—49; I/3, pp. 80—83, Genève 1952.
Verzar, Fritz: Kondensationskernzähler mit automatischer Registrierung. — Archiv Met. Geoph. Biokl., A, V/3, S. 372—376, Wien 1952.
Volz, F.: Über die Zerstörung des Ozons in der Troposphäre. — Berichte D. Wetterdienst, US-Zone, 35, S. 257—261, Bad Kissingen 1952.
Wanner, Ernst: Wie entsteht unser Wetter? — Das Schweiz. Rote Kreuz, 61/5, S. 9—13, Bern 1952.
Went, F. W.: Klima und Pflanzenwachstum. — Vierteljahresschrift NG Zürich, 97, S. 291, Zürich 1952.
Wienert, K.: s. Israël, Hans.
Zenone, Eleno: L'influenza del ciclone di Genova sul tempo del Canton Ticino. — Geof. pura e appl., 21, pp. 32—38, Milano 1952.
Zenone, Eleno: s. auch Thams, Johann Christian.
Zimmermann, Eduard: Verfahren zur Bekämpfung der Hagelbildung in Wärmegewittern und diesen verwandten Gewitterarten. — Schweiz. Patentschrift Nr. 279551, Meilen 1952; 13 S.
Zingg, Theodor: Gletscherbewegungen der letzten 50 Jahre in Graubünden. — Wasser- und Energiewirtschaft, 44/5—7, S. 132—135, Zürich 1952.
Zingg, Theodor: Meteorologie. — Winterbericht d. Eidg. Institutes f. Schnee- u. Lawinenforschung, 15, S. 7—29, Davos-Platz 1952.
Zingg, Theodor: Die meteorologischen Bedingungen der Lawinenperioden 19.—22. Januar und 10.—13. Februar 1951. — Winterbericht d. Eidg. Institutes f. Schnee- und Lawinenforschung, 15, S. 91—97 u. 162—166. Davos-Platz 1952.
Zingg, Theodor: Photogrammetrische Schneehöhenmessung. — Verh. SNG 1952, S. 119—120, Aarau 1953.
Zingg, Theodor: s. auch Die Lawinenkatastrophen ...
Zink, O.; Kuhnke, W.: Die biologische Bedeutung der langwelligen Hochfrequenzstrahlung der Atmosphäre. — Schweiz. med. Wochenschrift, 82, S. 1168—1172, Basel 1952.

b) *Seismologie und Erdmagnetismus*

Florin, Reto: s. Kreis, Alfred.
Gaßmann, Fritz: Elastic waves through a packing of spheres. — Mitt. aus d. Inst. f. Geophysik, 21, 13 S., Zürich 1952.
Kreis, Alfred; Florin, Reto; Süßtrunk, August: Die Ergebnisse der seismischen Sondierungen des Unteraargletschers 1936 bis 1950. — Verh. SNG 1952, S. 125—126, Aarau 1953.
Röthlisberg, Hans; Vögtli, K.: Geophysikalische Untersuchungen auf dem Stadlerberg, Kt. Zürich. — Verh. SNG 1952, S. 126 bis 128, Aarau 1953.
Süßtrunk, August: s. Kreis, Alfred.
Vögtli, K.: s. Röthlisberger, Hans.

Tägliche Beobachtungen

der Stationen:

Bern, Neuchâtel, Altdorf, Genève, Zürich, Chasseron, Bever, Sion, Lugano, Basel, Säntis und St. Gotthard

im Jahre 1952

Für die Bezeichnung der Hydrometeore und anderer Phänomene werden folgende international vereinbarte Symbole (Wien 1873, Warschau 1935) verwendet:

● = Regen	⚡ = Gewitter	⚡ = starker Wind
⚲ = Nebelregen	⚡ = Wetterleuchten	⚡ = Sturm
✳ = Schnee	T = Donner	⦶ = Sonnenhof
← = Eisnadeln	≡ = Nebel	☽ = Mondhof
⛆ = Regenschauer	⌓ = Tau	⊕ = Sonnenring (Halo)
⛆ = Schneeschauer	⊔ = Reif	⊕ = Mondring (Halo)
⛆ = Regen- und Schneeschauer	V = Rauhreif	⌒ = Regenbogen
△ = Graupeln, Riesel	∾ = Glatteis	⌂ = Nordlicht
▲ = Hagel	✢ = Schneetreiben	⊠ = Schneedecke

Das Zeichen * kennzeichnet interpolierte Daten. Die Windstärken sind in der sechsteiligen (halben) Beaufortskala ausgedrückt. Die Tages- und Monatsmittel der Temperatur werden in diesem Abschnitt aus den drei Terminbeobachtungen nach der Formel $M = 1/3\ (7.30 + 13.30 + 21.30)$ berechnet. Im Abschnitt der Monats- und Jahresübersichten wird dagegen die Formel $M = 1/4\ (7.30 + 13.30 + 2 \cdot 21.30)$ verwendet.

In der Spalte «Witterung» bedeuten die Abkürzungen: fl = Flocken, tr = Tropfen. Gewitter werden mit dem Symbol ⚡ oder, wenn vom Beobachter ausdrücklich als Ferngewitter gemeldet, mit (⚡) ohne jede Zeitangabe bezeichnet. Die näheren Angaben sind den «Ergänzenden Witterungsnotizen» auf Seite 73 ff zu entnehmen. Das Gleiche gilt auch für die Symbole Donner T und Ferndonner (T).

Die Intensität der einzelnen Erscheinungen wird durch eine dem Symbol als Exponent beigefügte ^{0} als schwach und ^{2} als stark bezeichnet. Das Zeichen ⊠ bedeutet, daß mehr als die Hälfte der Bodenfläche in der Umgebung der Station an dem betreffenden Tage mit Schnee bedeckt war.

Alle Zeitangaben beziehen sich auf *mitteleuropäische Zeit. Vom Jahrgang 1918 an ist die 24-Stundenzählung* durchgeführt. Außerdem werden folgende Abkürzungen verwendet: a (ante meridiem) = vormittags, p (post meridiem) = nachmittags, n = nachts, fr = früh, mtg = mittags, abd = abends, ztw = zeitweise, mU = mit Unterbrechungen. Die römischen Ziffern geben an, daß das betreffende Phänomen um die Zeit des ersten (I), bzw. zweiten (II) oder dritten (III) Beobachtungstermins beobachtet worden ist, die arabischen Zahlen bedeuten die bürgerlichen Zeitstunden.

λ bezeichnet die geographische Länge in Graden von Greenwich, β die geographische Breite, H_b die Höhe des Stationsbarometers über dem Meer in Metern, H die Höhe der Station (des Regenmessers) über der Meeresfläche, G ist die Korrektion, welche an den Luftdruckdaten für deren Reduktion auf die Normalschwere (45° Breite und das Meeresniveau) noch anzubringen ist, h_r die Höhe des oberen Randes des Regenmessers über dem Erdboden. Die Stationen, bei denen die Höhe (des Barometergefäßes) bis auf den Dezimeter angegeben ist, sind an das schweizerische Präzisionsnivellement angeschlossen. Alle Höhen sind auf Pierre du Niton 373.6 m (neuer Wert) bezogen.

Die Schwerekorrektionen (G) sind vom Jahrgang 1936 an auf Grund neuer Berechnungen von Herrn Professor Niethammer, Basel, eingesetzt worden.

Auf dem Chasseron erfolgten die Abendbeobachtungen um 20.30 Uhr.

ERRATA

1951:

Seite 89. *St. Gallen:* Tage mit Gewitter Juli 7, Jahr 17
Seite 101. *Chasseron:* Tage mit Hagel Mai 3, Jahr 4
Seite 122. *Ebnat:* Tage mit Gewitter April 1, Jahr 11
Koordinaten unrichtig, vgl. vorliegenden Band, Seite 122
Seite 125. *Andermatt:* Tage mit Hagel Juli und Jahr 0
Seite 128. *Château-d'Oex:* Tage mit Hagel Juli 3, Jahr 5
Anhang Nr. 3, Seite 4. *Walchwil:* Juni 146 (nicht 446)

1952:

Seite 10. *Sion:* Luftdruck am 2. 7^{30} 705.2 (nicht 700.2),
Monatsmittel 7^{30} 715.2 (nicht 715.0)
Anhang Nr. 3, Seite 1. *Bivio (neu):* Höhe ca. 1774 (nicht 1744)

$\lambda = 7° 26'$, $\beta = 46° 57'$,
$H_b = 572.2$ m, $G = 0.00$ mm.

Bern

Januar 1952
Beobachter: *Meteorol. Observatorium.*

Tag	Lufttemperatur					Luftdruck			Relative Feuchtigkeit			Windrichtung und Stärke			Bewölkung			Niederschlag	Witterung
	7^{30}	13^{30}	21^{30}	Mittel	Abweich. vom Normalst	7^{30}	13^{30}	21^{30}	7^{30}	13^{30}	21^{30}	7^{30}	13^{30}	21^{30}	7^{30}	13^{30}	21^{30}		
1	6.4	2.3	2.2	3.6	5.2	707.8	711 0	713.3	87	82	59	**W** 3	WNW 3	WSW 2	10●	9△	9	1.6	●2¾-11¼, △13-13½, ✳22¾-24, ⬋ n-p
2	2.2	3.5	1.4	2.4	4.0	713.7	712.4	707.1	**47**	66	75	W 2	W 1	SSW 1	10	10	9	0.0	✳ 0-1¼, ≡½-12, Ψ 18½
3	5.0	4.0	1.2	3.4	5.0	705.3	706.7	709.5	50	69	65	W 3	WSW 3	S 1	10	9	10	4.5	● 8¾-10, 10-12½, 15¾-16½, 21½-24,
4	−0.3	1.7	0.6	0.7	2.4	713.7	716.4	718.7	75	67	63	W 1	SSW 2	W 1	9	6	10	0.6	✳ 9¾-16½ mU, ⌒ l ⌊⬋ n-p
5	0.0	2.8	1.4	1.4	3.1	714.3	715.4	719.7	63	53	67	NW 1	SSW 1	SSE 1	10	9	10	0.0	✳fl 8¾-11¼
6	1.2	4.1	0.5	1.9	3.6	722.8	723 1	726.3	78	67	81	E 1	NE 2	NNE 1	9	1	0	.	⌒ l
7	−2.3	−0.6	−2.2	−1.7	0.1	727.7	727.9	**728 2**	97	86	98	E 0	NNE 1	NW 0	10≡	10	10≡	.	≡ n-a, p-n, ⌊ ⌒ l
8	−3.6	−1.3	−3.0	−2.6	−0.8	725.9	723.0	720.8	97	84	97	S 0	S 0	S 1	10≡	0	10≡	0.0	✳fl 8½-10, ≡ n-a, p-n, ⌒ l
9	−4.0	0.9	2.0	−0.4	1.4	716.6	713.7	716.0	95	85	76	SE 1	S 0	SSW 1	8	0	10	2.0	● 17-19¾, ⌊ ⌒ l
10	2.0	4.0	2.7	2.9	4.7	712.8	709.4	703.3	65	60	88	SSW 2	WSW 2	WNW 2	10	10	10●	9.1	✳ 9-9¾, ● 10¾-24
11	6.6	**7.5**	4.3	6.1	7.9	699.2	697.8	696.9	76	78	88	WSW 3	WSW 3	WSW 3	10●	10●	10	**33.4**	● 0-21¾, ⬋ n-n
12	1.0	2.8	−0.7	1.0	2.8	699.4	699.9	703.2	73	51	73	W 1	WSW 1	SE 1	8	5	3	0.1	● 0½-3, ⌊ III
13	−1.8	1.3	−2.0	−0.8	1.0	709.6	712.9	716.2	84	57	74	SE 1	ENE 1	SE 1	8	2	1	0.0	✳fl n (12./13.), ⌊ III
14	−2.3	0.8	−0.4	−0.6	1.2	717.8	718.1	719.8	68	60	73	SSE 1	W 1	SE 1	10	10	1	0.0	✳fl 9-11, 11¾-11¾, ⌊ III
15	−3.2	3.6	0.3	0.2	2.0	720.0	719.2	718.7	92	64	76	S 1	S 1	S 1	1	3	3	.	⌊ l
16	1.6	2.6	1.6	1.9	3.7	716.0	714.0	712.1	68	83	91	SE 1	SSE 1	S 1	9	10	9	0.8	● 7½-12¾ mU
17	1 4	6.4	0.6	2.8	4.5	708.6	704.9	701.8	94	58	97	SSW 0	SSW 3	W 1	9	9	10*	13.4	● 18-20¾, ✳ 20¾-24, ⬋ II
18	−1.2	−0.4	−1.4	−1.0	0.7	702.0	702.0	703.1	88	80	90	SSW 2	WSW 2	WSW 1	**9***	8	10*	5.7	✳ 0-8¾, 10-24 mU
19	−1.6	−1.1	−1.8	−1.5	0.2	706.5	708.3	708.3	92	77	87	WSW 1	WSW 1	WSW 1	10*	10*	9	7.8	✳ 0-24 mU
20	−3.1	−1.1	−4.8	−3.0	−1.4	709.0	709.1	709.6	90	68	80	W 1	**W** 1	SE 0	10*	9	9	0.6	✳ 0-20¾ mU
21	−11.4	−6.7	−9.2	−9.1	−7.5	710.3	711.7	713.3	83	80	64	SE 0	NE 1	S 0	1	8	9	.	⌒ l
22	**−12.0**	−5.2	−8.9	−8.7	−7.1	715.1	714.6	713.9	81	67	84	SSE 0	SSE 1	SSW 1	7	3	9	.	⌒ l
23	−9.3	−6.4	−9.2	−8.3	−6.8	712.1	710.0	707.6	92	80	93	S 1	NE 1	SSW 1	10≡	9	10≡	.	≡ n-a, p-n, ⌒ l
24	−10.1	−6.1	−6.8	−7.9	−6.4	703.6	700.8	697.7	88	75	89	SE 1	NE 1	N 2	10≡	9	10	0.1	✳ n (24./25.), ≡ n-a, ⌊ ⌒ l
25	−6.3	−1.6	−1.7	−3.2	−1.8	696.8	697.1	699.1	87	71	90	SE 1	NNE 1	WNW 1	10*	9	10*	1.2	✳ 7-8¾, 16½-24
26	−3.3	−1.5	−6.8	−3.9	−2.5	701.3	701.9	700.7	86	67	84	W 1	SSW 1	SSE 1	10*	8	0	0.0	✳ 0-10¼, ⌒ l
27	−8.0	−1.4	−6.6	−5.3	−4.0	698.4	699.8	705.1	83	86	76	S 1	W 1	SSW 1	8	10*	5	4.2	✳ 8-15¾, ⌊ ⌒ l
28	−6.6	−3.8	−9.1	−6.5	−5.2	708.7	709.7	710.6	82	62	79	SE 1	SSE 1	SE 1	10	0	0	.	✳ 6¾-7, ⌒ l
29	−9.7	−1.8	−1.6	−4.4	−3.2	710.7	710.8	710.7	80	59	70	SSE 1	SE 1	SE 1	10	9	10	.	⌊ ⌒ l
30	−4 4	2.0	−1.6	−1.3	−0.2	710.5	710.4	710.1	86	56	81	SE 1	N 1	SSW 1	9	6	10	.	⌊ ⌒ l
31	−4.3	0.0	1.6	−0.9	0.2	704.5	698.1	**696.4**	87	70	91	S 1	SSE 1	WSW 2	10	10●≋	9	6.9	● ✳ 16-24
																		Summe	
Mittel	−2.6	0.4	−1.9	−1.4	—	710.4	710.0	710.3	81	70	81				8.8	7.1	7.6	92.0	

Neuchâtel

$\lambda = 6° 57'$, $\beta = 47° 0'$,
$H_b = 487.3$ m, $G = 0.02$ mm.

Januar 1952
Beobachter: *Observatorium.*

1	**7.0**	4.3	3.1	4.8	5.3	715.9	718.0	721.3	83	65	75	SW 3	W 4	SW 3	10	6	10	0.9	● 3-7½, 12½-13¾, 23¾-0½, ⬋ n-n
2	0.5	3.0	4.4	2.6	3.1	721.9	720.4	715.0	90	85	70	SW 4	**SW** 4	W 1	10	10	10	2.1	✳ -½-13, ⬋ n-p
3	4.0	4.7	2.5	3.7	4.3	713.2	714.6	717.3	81	62	68	SW 4	SW 3	W 3	10	9	10	2.7	● ∧¾-10, 21¾-0¾, ⬋ n-n
4	0.3	1.6	1.1	1.0	1.6	721.7	724.4	726.6	82	81	74	**W** 2	SW 2	W 1	10	9	10	1.7	✳ 7¾-10¾
5	1.1	3.7	2.6	2.5	3.1	721.9	723.3	727.3	76	67	85	**SW** 2	SW 2	**SW** 1	10	9	10	0.0	△ 9½
6	1.9	5.4	2.5	3.3	4.0	730.7	731.5	734.2	91	75	71	NE 0	NE 3	NE 2	10	2	0	.	⬋ II
7	−2.0	−0.4	−1.0	−1.1	−0.4	735.6	736.0	**736.1**	94	93	94	NE 0	E 1	E 0	0	10	10	.	≡ 8-9½
8	−2.3	−0.9	−0.6	−1.3	−0.6	733.9	731.2	728.6	98	96	94	E 0	E 0	W 0	10≡	10≡	10	.	≡ n-p
9	−1.2	5.8	3.8	2.8	3.5	724.0	721.5	723.6	98	74	66	SW 0	SW 2	W 2	10	4	10	1.5	● 17-18
10	0.8	1.5	2.2	1.5	2.2	720.8	717.4	711.3	98	96	96	SW 3	SW 4	SW 5	10*	10●	10●	27.8	✳ 3¾-13, ● 12-21, ⬋ n-n, ⬋ III
11	5.4	**7.0**	4.6	5.7	6.4	706.6	705.0	703.6	96	94	90	SW 3	SW 3	SW 2	10●	10●	10●	**32.6**	● 0-21½, ●✳ 23½-3, ⬋ n-p
12	0.6	4.7	0.3	1.9	2.6	706.8	707.3	710.4	86	**60**	71	SW 2	SW 2	W 0	4	2	9	.	● ✳ 5¾-6½
13	−1.8	3.6	−1.3	0.2	0.9	717.1	720.9	724.1	88	65	70	N 0	SE 1	N 0	1	2	0	.	⌊ l
14	−0.3	0.3	0.4	0.1	0.8	725.7	726.0	727.5	74	88	89	N 1	W 2	W 1	10	10*	1	0.3	✳ 8¾-17 mU
15	−2.4	5.1	3.6	2.1	1.5	728.0	726.9	726.6	96	74	75	W 0	SW 2	SW 1	0	2	9	.	⌊ l
16	4.8	4.8	3.6	4.4	5.0	723.7	721.8	719.7	75	84	87	W 2	W 2	SW 0	10	10	8	.	
17	3.5	6.5	1.4	3.8	4.4	716.1	712.7	708.9	90	75	89	SW 1	SW 3	SW 2	10	9	10*●	14.8	✳ ● 16¾-n, ⬋ II
18	−1.0	0.6	−1.0	−0.5	0.1	709.3	709.6	711.0	85	75	98	SW 2	W 2	SW 2	2	10	10*	13.4	✳ 3½-14 mU, 19-1
19	−0.7	−0.2	−0.8	−0.6	−0.1	714.2	716.4	716.2	96	71	87	SW 2	SW 1	SW 0	10*	10	10*	11.0	✳ 5-7½, 14¾-2
20	−2.9	0.0	−5.8	−2.9	−2.4	717.0	717.0	717.4	81	66	90	NW 0	NW 2	W 0	6	8	4	.	
21	−7.2	−5.6	−5.5	−6.1	−5.6	718.2	719.7	721.4	94	93	93	W 0	E 2	NE 0	10	10	10	.	
22	−7.2	−4.8	−7.4	−6.5	−6.1	722.8	722.6	722.0	87	81	89	NE 0	NE 0	NE 0	10	10	10	.	
23	−7.4	−5.8	−7.9	−7.0	−6.6	719.9	718.2	715.5	92	90	94	NE 0	NE 0	NE 1	10	10	10	.	
24	**−9.6**	−6.8	−5.7	−7.7	−7.4	711.2	708.1	705.2	93	92	93	NE 0	NE 1	NE 1	10	10	10	0.3	
25	−5.6	−2.3	−1.0	−3.0	−2.7	704.3	704.5	706.2	95	86	93	NE 0	NE 1	NE 0	10*	10	10	0.1	✳ 6¾-8½
26	−3.0	1.3	−3.2	−1.6	−1.4	708.7	709.1	707.9	83	65	83	W 1	SW 2	W 0	10	7	0	0.2	
27	−4.8	−0.8	−4.7	−3.4	−3.2	705.4	707.0	712.8	95	76	77	W 0	W 1	W 1	10*	10	8	1.8	✳ 6¾-10, ✳fl p
28	−6.0	−1.6	−6.9	−4.8	−4.7	716.5	717.5	718.5	82	73	89	N 0	E 1	E 0	7	3	4	.	
29	−6.9	−2.1	−1.6	−3.5	−3.4	718.5	718.7	718.4	94	82	84	E 0	**E** 0	NE 0	10	10	10	0.5	✳ 7½-10¾
30	−3.2	1.1	−0.7	−0.9	−0.9	718.2	718.3	718 0	92	74	89	NE 0	NE 0	E 0	9	8	10	.	
31	−3.5	2.9	1.6	0.3	−0.3	711.9	705.4	**703.2**	95	78	96	E 0	SW 2	W 2	10	10	10●	12.6	● 14-23
																		Summe	
Mittel	−1.6	1.2	−0.6	−0.3	—	718.1	717.8	717.9	89	79	84				8.4	8.1	8.2	124.3	

Januar 1952
Beobachter: *Frl. H. Nager.*

Altdorf

$\lambda = 8° 39'$, $\beta = 46° 53'$,
$H_b = 456.3$ m, $G = -0.05$ mm.

Tag	Lufttemperatur 7³⁰	13³⁰	21³⁰	Mittel	Abweich. vom Normalst	Luftdruck 7³⁰	13³⁰	21³⁰	Relative Feuchtigkeit 7³⁰	13³⁰	21³⁰	Windrichtung und Stärke 7³⁰	13³⁰	21³⁰	Bewölkung 7³⁰	13³⁰	21³⁰	Niederschlag	Witterung
1	3.8	7.5	2.2	4 5	4.3	717.3	719.2	723.6	97	62	64	C 0	NW 1	NW 0	10●	10●	6	2.3	● n-p
2	1.4	4.8	8.2	4.8	4.6	723.3	722.0	715.8	72	79	37	SE 0	SE 0	NW 0	10	10	6	.	
3	7.7	3 2	0.8	3.9	3.8	713.8	717.0	719.9	32	94	100	SE 2	W 0	NE 0	7	10●	6	4.8	● a-p mU, ✳ n (3./4.)
4	1.3	3.4	1.0	1.9	1.8	723.1	726.1	729.3	79	38	95	N 0	NW 1	SW 0	10*	10	10	0.9	✳ n-a
5	-0.2	2.4	1.6	1.3	1.2	724.5	726.0	730.0	65	55	89	E 0	SE 0	SE 0	10	8	10	.	
6	1.7	5.1	0.2	2.3	2.2	734 0	734.6	737.8	100	79	85	SE 0	SE 0	SE 0	10	4	2	.	
7	-2.2	2.3	-1.4	-0.4	-0.5	738.6	738.6	739 9	83	86	92	E 0	NW 0	E 0	0	2	0	.	
8	-0.9	0.1	-1.2	-0.7	-0.8	736.7	733.1	732.0	100	100	100	E 0	E 0	SE 0	10≡	10≡	10≡	.	≡ n-n
9	-2.4	3.8	2.2	1.2	1.1	726 5	723.9	726.7	100	75	100	S 0	S 0	NW 0	7	4	10●	1.2	● 2 ¼-n
10	0.7	4.8	5 8	3.8	3.7	722.3	718.7	712.1	90	60	62	E 0	S 0	S 0	10	10	10●	6.6	● 21-n
11	4.5	6.8	3.9	5.1	5.0	708.5	706.3	705 8	100	100	99	NE 0	NE 0	W 0	10●	10●	10●	17.6	● n-n
12	2.2	3.7	-0.8	1.7	1.5	708.7	709.6	713.0	60	53	97	N 1	W 0	SE 0	10	5	4	0.4	✳ n (12./13.)
13	-0.8	2.9	-1.2	0.3	0.1	720.0	722.8	727.3	90	63	57	E 0	NW 1	SE 0	10	6	4	0.3	✳ n (13./14.)
14	-2.0	1.0	-0.9	-0.6	-0.8	728 7	727.6	731.9	69	52	93	SE 0	E 0	SE 0	10	10	3	.	
15	-1.8	3.6	-1.0	0.3	0.1	730.0	729.3	729.0	95	70	83	NW 0	NW 1	SE 0	4	5	5	.	
16	0.4	5.3	2.1	2.6	2.4	726.6	723.7	722 2	80	63	100	E 0	SE 0	NW 0	7	8	10	3.0	● 17-20
17	1.5	6.7	3.5	3.9	3.7	718.5	714 8	710.8	97	59	67	NE 0	W 0	NW 2	4	7	10●	6.1	● 17¾-n, ✳ n (17./18.)
18	-0.1	0.7	-0.8	-0.1	-0.4	710.9	710.9	712.5	100	85	100	NE 0	E 0	E 0	10*	10	10*	8.9	✳ n-n mU
19	1 5	-0.7	-1.3	-0 2	-0.5	715.0	717.2	717.8	42	95	100	N 1	NE 0	E 0	10*	10*	10*	15.8	✳ n-n
20	-1.2	-0.6	-4.0	-1.9	-2.2	718.2	718.8	720 3	80	62	67	NE 0	N 1	N 0	10	10	10	4.2	▽ a-p mU
21	-9.8	-4.2	-8.7	-7.6	-7.9	720.7	722.0	724.2	75	60	78	E 0	E 0	E 0	10	6	6	.	
22	-10.6	-3.8	-6.8	-7.1	-7.5	726.7	725.3	724.4	80	66	84	S 0	SE 0	E 0	7	4	10	.	
23	-4.8	-2.6	-3.8	-3.7	-4.1	722.5	720.0	717.3	88	85	93	S 0	NW 1	N 0	10	5	10	.	
24	-3.7	-1.0	-2.3	-2.3	-2.7	713.3	710.2	707.4	95	82	95	N 0	N 0	NW 0	10	10	10	.	
25	-2.9	-1.0	-1.6	-1.8	-2.3	706.6	707.1	709.5	93	80	86	W 0	NW 0	NW 0	10	10	10	1.2	✳ n (25./26.)
26	-1.0	0.5	-5.0	-1.8	-2.3	711.1	711.2	710.8	94	76	82	NE 0	NW 0	NE 0	10	10	7	0.3	✳ n (26./27.)
27	-4.2	-0.4	-2.2	-2.3	-2.9	708.0	709.2	714.9	90	88	55	E 0	W 0	NW 0	10	10*	10	2.2	✳ 13-14, 16¾-17
28	-4.2	-1.4	-7.7	-4.4	-5.0	718.9	719.9	728.1	85	57	65	E 0	E 0	E 0	10	5	4	.	
29	-8.9	-0.7	-0.8	-3.5	-4.2	720.5	720.9	721.2	74	55	81	SE 0	SE 0	SE 1	10	10	10	.	
30	-3.0	2.2	-1.2	-0.7	-1.4	720.9	720.7	720.1	93	88	95	NE 0	E 0	E 0	9	5	10	.	
31	-3.4	6.1	5.1	2.6	1.8	714.1	707.6	706.9	90	35	45	E 0	SE 2	SW 1	8	9	10	8.8	✳ n (31./1.)
Mittel	-1.3	1.9	-0.5	0 0	—	720.3	719.8	720 8	84	71	82				8 8	7.8	7.8	Summe 84.6	

Januar 1952
Beobachter: *Observatorium.*

Genève

$\lambda = 6° 9'$, $\beta = 46° 12'$,
$H_b = 405.0$ m, $G = -0.03$ mm.

1	5.0	6 0	4.2	5.1	4.8	724.1	726.3	729.1	69	61	83	E 0	S 1	S 1	3	4	7	.	
2	2.2	5.0	4.0	3 7	3.4	730.5	728.5	723.8	67	69	70	E 0	S 1	S 2	6	6	7	3.5	● p-n mU
3	5 0	6.2	2.2	4.5	4.2	721 8	721.3	725.9	69	74	75	S 3	S 1	S 1	10	9	10	0.2	● p, ⌐
4	0.0	3.0	0.0	1.0	0 8	728 8	732.5	735.0	71	83	78	S 1	S 1	S 0	5	9	9	0.0	✳ fl p
5	0.0	1.0	0.3	0.4	0.2	730.7	731.6	735.9	81	81	96	W 1	W 1	E 0	10	10	10	0.0	✳ fl a
6	0 5	6.3	4.0	3 6	3.4	736.4	738.1	741.4	90	74	87	E 0	NNE 1	E 0	2	1	7	.	
7	1 0	1.2	-2 0	0 1	-0.1	743 6	742.8	743 4	88	85	96	E 0	NNE 1	NNE 1	9	1	3	.	
8	-1.0	0.5	-2 0	-0 8	-1.0	741.3	738.9	736.2	96	90	100	E 0	E 0	E 0	10	10	10≡	.	≡ p-n
9	-1.0	8.0	4 0	3.7	3.5	732.0	730.1	732.3	100	72	80	ENE 0	S 1	S 0	1	3	10	0.1	▽ p
10	4.5	5.0	5.6	5.0	4.8	729.0	727.2	720.0	60	69	91	S 2	S 2	S 2	10	10	10●	24.0	● p-n
11	8.0	8.5	6.0	7.5	7.3	716.4	714.1	713 7	92	92	85	S 2	S 1	S 1	10	10	10	12.1	● p
12	3.2	4.0	2.7	3 3	3.1	714 9	715.0	719.1	73	61	64	SSE 1	NE 1	E 0	8	1	0	.	
13	1.0	3.8	0.0	1.6	1.4	725.2	727.6	732.6	85	54	89	NE 1	NNE 1	ENE 1	1	2	1	.	
14	-0.6	2.5	0.0	0.6	0.4	734.6	734.5	735.6	85	65	93	E 0	ENE 0	E 1	10	10	4	0.0	✳ fl a
15	-3.2	4.6	1.7	1.0	0.7	736.2	734.8	734.4	96	59	87	E 0	ENE 1	E 0	1	5	10	.	
16	2.0	6.2	4.2	4.1	3 8	731.2	729.1	728 4	82	67	80	E 0	ESE 1	E 0	10	10	10	.	
17	4.0	7.5	3.0	4.8	4 5	727 7	719.1	718.2	93	58	95	ESE 1	SSE 1	S 1	10	10	10	3.0	●tr 17, ✳ n (17./18.)
18	-0.6	0.5	0.3	0.1	-0.2	718 5	719.6	720.8	92	92	94	S 1	S 0	S 0	10	9	10	14.5	✳ p-n mU
19	-0 3	2.0	0.3	0.6	0 2	723.4	725 6	725.2	92	64	81	S 1	S 1	S 0	10	8	9	2.0	✳ a
20	-0.5	1.8	-2.4	-0.4	-0.8	725.4	725.7	726.3	85	61	83	ESE 0	S 1	E 0	10	9	7	.	
21	-5 0	-3 8	-5.2	-4.7	-5.1	725 9	727.3	729.0	76	77	85	E 0	NNE 1	E 0	8	9	10	.	
22	-6.8	-2.0	-5.0	-4 6	-5.1	730 8	729.3	729.4	79	71	76	E 0	NNE 1	E 0	10	10	10	.	
23	-6.5	-2.6	-4.2	-4 4	-4.9	727.2	724.4	722.5	79	74	81	E 0	ENE 1	E 0	10	10	10	.	
24	-4 6	-1.6	-3 4	-3.2	-3.8	717.9	714 6	712.4	90	92	87	E 0	E 0	E 0	10	10	10	.	
25	-3.0	0.2	-1.0	-1.3	-1.9	711.9	712.2	715.0	92	92	92	E 0	E 0	E 0	10	10	10	1.0	✳ 9, p
26	-1.8	1.1	-2.4	-1.0	-1.7	717.1	716.7	715.4	84	75	74	E 0	S 1	E 0	10	3	2	.	
27	0 3	1.9	-4.8	-1.0	-1.7	715.1	716.6	721.3	85	64	76	E 0	NNE 1	E 0	10	10	9	0.0	▽ 9½
28	-10.0	-2 2	-6.5	-6.2	-7.0	724.7	725.1	726.2	81	67	79	E 0	ENE 1	E 0	2	0	6	.	
29	-5.6	2.6	-0.4	-1.1	-1.9	726.7	726.1	725.5	90	55	85	E 0	ENE 0	ENE 0	0	4	3	.	
30	-3.2	2.5	-2.4	-1.0	-1.9	726.0	724.9	725.2	70	57	83	ESE 0	ESE 1	ESE 0	5	6	2	.	
31	-1.0	4.0	3.6	2.2	1.2	717.8	713.2	710.2	80	83	76	ENE 0	S 1	S 1	10	10●	10●	12.5	● a-n mU
Mittel	-0.6	2.7	0.1	0.7	—	726.2	725.6	726.1	83	72	84				7.5	7.1	7.6	Summe 72.9	

$\lambda = 8°\ 34'$, $\beta = 47°\ 23'$,
$H_b = 569.4$ m, $G = 0.03$ mm

Zürich

Januar 1952
Beobachter: *Meteorol. Zentralanstalt.*

Tag	Lufttemperatur 7³⁰	13³⁰	21³⁰	Mittel	Abweich. vom Normalst	Luftdruck 7³⁰	13³⁰	21³⁰	Relative Feuchtigkeit 7³⁰	13³⁰	21³⁰	Windrichtung und Stärke 7³⁰	13³⁰	21³⁰	Bewölkung 7³⁰	13³⁰	21³⁰	Niederschlag	Witterung
1	7.7	3.2	2.4	4.4	6.0	707.1	710.0	712 8	72	81	53	SSW 3	WSW 3	SSW 2	10	10●	10	2.5	● 8-10, 13½-14¼, ✳ 22¼-1½, 🌧 n-n
2	1.8	2.1	1.4	1.8	3.4	712.7	712.0	707.2	51	86	82	SSW 3	SSW 3	SW 1	10	10●	8	1.8	✳0¾-13, ●13-13½, 🌧 n-17½, 23¾-n
3	1.7	3.1	1.6	2.1	3.7	705.4	706.6	709.6	86	78	60	NW 1	SSW 2	SSW 2	10	10	9	1.6	● 10½-11¾, 🌧 n-6¼, 9-1
4	-0.6	2.3	0.3	0.7	2.4	713.4	715.8	718.4	81	70	70	SW 1	SW 2	WSW 2	6	9	10	0.8	✳ 10-11½, 9½-6
5	-0.7	1.7	1.1	0.7	2.4	714.3	715.5	719.4	75	60	84	SSW 1	SSW 2	SW 1	10	10	10	0.0	
6	1.4	4.3	-1.3	1.5	3.2	723.7	724.4	727.3	91	76	92	WSW 1	NE 1	NE 1	10	2	0	0.1	
7	-3.1	1.3	-3.3	-1.7	0.0	728.2	728.0	**728.8**	99	78	99	ENE 1	SSW 1	E 1	10	1	10a	0.1	≡ n-7¾, 8¾-9½, 21½-n, ⌙ l
8	-3.5	-2.5	-2.5	-2.8	-1.0	726.1	723.1	720.4	100	100	99	SW 1	S 1	SSW 1	10≡	10≡	10≡	0.0	≡ n-n, ⋁ l
9	-1.1	6.3	1.8	2.3	4.1	716.3	713.5	715.5	93	58	81	WSW 1	SSW 1	SSW 2	10=	1	10	0.7	● 17½-18¾, ≡ n-9½, ⌙ l
10	2.0	3.8	2.7	2.8	4.6	712.0	708.5	701.9	61	62	86	SW 2	SW 3	SSW 3	10	10	10●	10.0	● 19¾-24, 🌧 n-n
11	6.5	7.3	3.3	5.7	7.5	697.9	696.8	696.0	82	79	87	SSW 3	SSW 3	SW 2	10●	10●	10	**14.8**	● 0-9, 10¾-12, 13¼-20, 🌧 n-19
12	0.0	2 7	0.3	1.0	2.8	698.7	699.5	703.2	68	54	70	SW 2	SSW 2	S 1	2	3	9	0.1	● 1¾-2, ⌙ l
13	-1.6	1.8	-1.8	-0.5	1.3	710.2	713.4	716.4	96	61	78	SSW 0	E 1	S 1	9	5	1	0.0	✳fl a
14	-1.3	0.8	0.6	0.0	1.8	717.5	717.5	720.1	68	57	78	SSW 2	SSW 2	S 1	10	10	9	0.0	✳ 9½-11
15	-0.6	5.6	3.6	2.9	4.7	719.6	719.2	718.3	91	62	68	WSW 1	SSW 2	SSW 2	1	2	4	.	⌙ l
16	3.2	4.2	2.8	3.4	5.2	715.6	713.7	712 0	80	85	99	S 1	S 1	S 1	10	10	1	0.4	● 10-11½, 16-18
17	1.9	7.1	-0 5	2 8	4.6	708.4	704.9	701.3	94	58	98	SSW 1	SW 2	W 3	9	5	10*≡	8.4	✳ 20¼-21¾, 22¾-24, ≡ n-8¾ mU, *)
18	-0.7	-0.1	-1.7	-0.8	0.9	701.2	701.0	701.7	92	79	92	WSW 2	SW 2	SSW 2	10	8	10*	3.5	✳ 5½-15 mU, 19¾-24
19	-1.5	-1.4	-2.0	-1.6	0.1	705.1	707.0	707.4	75	86	85	WSW 2	WSW 2	WSW 2	10	10	10	2.5	✳ 23¾-1¼
20	-3.3	-1.9	-5.5	-3.6	-1.9	708.9	709.4	710.1	96	87	91	WNW 1	WSW 1	E 1	10*≡	10*	6	1.2	✳ 2½-9, 11¼-13¾, fl p, ≡ n-a
21	-7.0	-3.9	-7.2	-6.0	-4.3	710.9	712.2	713.7	96	75	93	ENE 1	NNE 1	ENE 1	10	9	7	0.1	⌙ l
22	-6.3	-3.1	-7.7	-5.7	-4.0	715.0	714.9	713.9	94	82	92	S 1	SSW 1	ESE 0	10	10	2	0.1	⌙ l
23	-7.2	-5.6	-6.8	-6.5	-4.9	712.5	710.5	707.5	96	91	96	NE 1	NNE 1	SE 1	10	10	10	0.0	⌙ l ✳
24	-6.8	-5.3	-7.4	-6.5	-4.9	703.5	701.5	698.4	97	89	94	ENE 1	NNE 1	NNE 1	10	10	10	0.0	⌙ l
25	-7.0	-2.7	-3.2	-4.3	-2.7	697.1	697.3	699.3	96	80	91	WNW 1	S 1	SW 1	10	10	10	0.6	⌙ l
26	-4.9	-2.6	-5.7	-4.4	-2.8	701.5	702.1	702.0	93	76	88	WSW 1	WNW 1	S 1	10*	10*≡	0	0.6	✳ 6-9, ✳fl 9-p, ≡ a-p mU
27	-6.2	-2.5	-4.5	-4.4	-2.9	6 8.3	699.6	704.5	97	88	69	S 1	WSW 1	W 2	8	10*≡	9	3.7	✳ 11-14, 15¾-16½, ≡ a-p
28	-4.7	-0.0	-6.9	-4.1	-2.6	708.9	710.1	710.7	81	55	88	W 1	SSW 1	S 0	10	1	0	0.1	
29	-7.0	-1.1	-2.0	-3.4	-1.9	710.7	711.1	710.9	87	60	83	S 1	SSW 1	ENE 0	9	10	10	0.2	✳ 10¾-10¾, ⌙ l
30	-2.4	3.5	-0.7	0.1	1.5	710.7	710.9	710.2	91	53	89	SSW 0	SSW 1	N 1	9	10	10	0.0	
31	-2.5	3.5	2.5	1.2	2.6	704.3	698.2	**695 9**	93	55	85	WNW 1	WNW 1	W 2	6	10	10	3.4	✳● 17¾-19¾, ✳ 22, *)
																		Summe	
Mittel	-1.7	1.0	-1.5	-0.7	—	710.2	709.9	710.1	86	73	84				9.0	7.9	7.6	57.3	

*) **17.** 21½-n, 🌧 9½-21½ mU, ⌙ l **31.** 23¾, ⌙ l, ⊕ 9¾

$\lambda = 6°\ 32'$, $\beta = 46°\ 51'$
$H_b = 1589$ m, $G = -0{,}13$ mm

Chasseron

Januar 1952
Beobachter: *R. Colomb*

1	-2.0	-5.4	-6.0	-4.5	—	623.9	625.9	627.5	100	100	100	W 4	W 3	WNW 3	10*≡	10*≡	10≡	6 5	✳ n-11, ✳ n-15¾, 18-n, 🌧 n-n
2	-6.1	-3.0	-2.7	-3.9	—	628.0	627.4	623.9	100	100	90	SW 4	SSW 4	S 3	10*≡	10*≡	10	2.8	✳ n-13¾, ≡ n-14¾, 🌧 n-n
3	-5.2	-6.0	-7.1	-6.1	—	620.5	621.3	624.0	100	100	98	W 4	W 4	SW 3	10*≡	10*≡	8	3.7	✳ 5-10½, ≡ n-19¾, 🌧 n-n
4	-8.2	-6.7	-7.8	-7.6	—	626.8	629.7	631.6	100	100	100	WNW 3	NNW 2	W 3	10*≡	10≡	10≡	3.8	✳ n-11¼, ≡ n-15¾, 17¼-n, 🌧 n-n mU
5	-8.2	-3.8	-5.0	-5.7	—	627.8	629.5	632.9	85	100	98	S 3	W 2	NNW 2	10*	10≡	8	1.2	✳ 7½ 9¾, ≡ 9¾-18¾, 🌧 a
6	-4.8	-3.4	-6.2	-4.8	—	635.9	636.9	638 8	90	100	50	NE 2	ENE 2	ENE 3	6	10≡	1	.	≡ 12-14½, 🌧 III
7	1.1	2.8	4.0	2.6	—	640.4	641.1	**641.6**	37	50	62	ENE 2	E 2	E 2	1	2	1	.	
8	5.9	**10.1**	5.4	7.1	—	640.3	638.3	636.3	41	**35**	36	E 1	SSW 1	SSW 2	1	1	1	.	
9	-1.4	-0.7	-5.4	-2.5	—	631.0	629.3	629.4	99	92	100	W 4	WSW 4	W 4	10≡	7	10*≡	4.4	✳ 16½-n mU, ≡ 1-9¾, 15½-n,
10	-5.6	-4 4	-2.3	-4.1	—	627.2	624 2	619.4	100	100	100	W 4	WSW 4	SW 5	10*≡	10*≡	10*≡	13.7	✳≡ 🌧 n-n, 🌧 III [🌧 n-n
11	0.2	-0.1	-1.9	-0.6	—	615.4	614.5	613.1	100	100	100	W 6	WSW 6	WNW 6	10*≡	10*≡	10*≡	**41.5**	✳≡ 🌧 n-n
12	-7.9	-5.7	-8.3	-7.3	—	614.2	615.3	617.2	100	90	98	WNW 3	WSW 2	NW 2	10≡	5	4	.	≡ n-11, 🌧 l
13	-8.9	-6.0	-10.1	-8.3	—	622.9	626.8	629.5	98	92	82	NNE 2	NE 1	E 1	6	3	1	.	
14	-9.2	-4.6	-3.4	-5.7	—	630 6	631.5	633.6	85	100	100	WNW 2	WSW 3	WSW 3	10	10*≡	8	4.1	✳ 9-17¾, ≡ 9-20¼, 🌧 a-n
15	-5.8	-0.3	-1.2	-2.4	—	633.6	633.5	633.4	65	98	100	W 3	W 3	W 3	1	6	10●≡	1.6	● 20-n, ≡ 14½-n, 🌧 n-n
16	-0.8	-0.1	-1.7	-0.9	—	630.7	629.7	628 1	100	100	100	WSW 3	W 3	W 3	10≡	10≡	10≡	1.8	● 8¾-17 mU, ≡ n-n, 🌧 n-n
17	-3.9	-3.0	-4.8	-3.9	—	623.9	621.2	615.8	100	100	100	W 3	WSW 3	W 4	10≡	10≡	10*≡	10.5	✳ 8½-12 mU, 15¾-n, ≡ 🌧 n-n
18	-8.8	-8.3	-8.0	-8.4	—	616.1	615.8	616.7	100	100	100	W 4	WNW 4	NW 4	10*≡	10*≡	10*≡	13.1	✳ n-14, 15-n, ≡ 🌧 n-n
19	-8.1	-9.4	-8.8	-8.8	—	619.6	622.0	621.4	100	100	100	WNW 3	WNW 3	WNW 3	10≡	10≡	10≡	8.1	✳ n-n mU, ≡ 🌧 n-n
20	-10.9	-9.7	-11.6	-10.7	—	622.1	622.4	622.4	100	98	75	NNW 3	NNW 3	NNE 1	10*≡	9	3	0.8	✳ n-11¼ mU, ≡ 🌧 n-12½
21	-18.7	-11.1	-11.9	-12.2	—	622.1	623.8	625.0	98	97	93	E 2	E 3	E 3	6	7	4	.	🌧 a-n
22	-11.1	-8.0	-10.6	-9.9	—	626.4	626.9	626.6	100	80	57	E 2	SW 2	SE 2	10≡	4	3	.	≡ n-10¼
23	-8.9	-6.4	-6.7	-7.3	—	625.0	623.6	621.4	72	68	54	SSE 2	ESE 2	ESE 2	5	1	5	.	
24	-5.0	-3.2	-3.8	-4.0	—	617.6	616.0	613.1	65	54	53	SE 1	E 1	ENE 2	9	7	9	1.7	✳ ≡ (24./25.)
25	-6.0	-5.0	-8.8	-6.6	—	**611.6**	612.4	613.4	100	100	100	W 3	WNW 2	WNW 3	10≡	10≡	10*≡	1.3	✳ n-9, 17¾-n mU, ≡ n-16¾, *)
26	-11.9	-9.6	-9.9	-10.5	—	614.9	615.6	615.3	100	98	90	W 2	S 2	S 3	10≡	9	3	1.6	✳ n (26./27.), ≡ n-12¾, 🌧 III
27	-6.8	-9.9	-12.1	-9.6	—	612.9	613.6	617.0	100	100	100	SW 3	WNW 3	WNW 3	10*≡	10≡	10≡	2.8	✳ n-n mU, ≡ 7-n, 🌧 n-n
28	-13.3	-4.9	-12.0	-10.1	—	621.4	622.7	623.5	98	46	70	WNW 1	S 1	SSE 1	1	1	2	.	
29	-6.8	-4.4	-3.9	-5.0	—	623.8	624.8	625.0	90	93	59	WSW 4	SW 2	SW 3	10	10	10	0.5	✳ 7¾-11 mU, 🌧 n-n
30	-5.6	-2.9	-4.3	-4.3	—	624.7	625.3	624.7	70	60	85	WSW 3	WSW 2	WSW 3	6	3	10	.	🌧 a, p
31	-4.7	-2.7	-3.4	-3.6		619.6	613.6	612.6	96	98	100	S 3	SSW 4	WSW 4	9	10*	10*≡	7.4	✳ 12½-n mU, ≡ 14-n, 🌧 n-n
																		Summe	
Mittel	-6.2	-4.4	-5.8	-5.5	—	624.2	624.3	624.3	90	89	85				8.1	7.6	7.1	132.9	*) **25.** 13-n, 🌧 a, p

Januar 1952
Beobachter: *B. Minsch und C. Clavuot*

Bever

$\lambda = 9° 53'$, $\beta = 46° 33'$,
$H_b = 1711.8$ m, $G = -0.23$ mm

Tag	Lufttemperatur					Luftdruck			Relative Feuchtigkeit			Windrichtung und Stärke			Bewölkung			Niederschlag	Witterung
	7^{30}	13^{30}	21^{30}	Mittel	Abweich. vom Normalst.	7^{30}	13^{30}	21^{30}	7^{30}	13^{30}	21^{30}	7^{30}	13^{30}	21^{30}	7^{30}	13^{30}	21^{30}		
1	−2.9	1.2	−5.2	−2.3	7.3	615.5	614.4	617.6	93	63	59	SW 0	S 0	NW 0	9	10	9	0.0	✳fl 14–17
2	−13.8	−3.4	−10.6	−9.3	0.3	619.6	618.7	617.7	87	45	76	SW 0	SW 0	S 0	7	9	3	.	⌊ l
3	−4.5	−7.8	−7.8	−6.7	3.0	614.2	612.8	614.2	87	85	90	W 1	SW 1	NE 0	10	10	8	.	
4	−11.2	−5.6	−11.4	−9.4	0.3	617.2	618.5	621.6	94	49	74	SW 0	W 0	SW 0	8	10	7	.	⌊ l
5	−15.3	−7.4	−4.2	−9.0	0.7	620.4	620.3	621.3	90	58	68	SW 0	S 0	NE 1	7	7	10	0.3	✳ n (5./6.)
6	−4.8	−2.8	−12.2	−6.6	3.2	626.4	627.3	630.7	73	49	70	NE 1	NW 1	SW 0	10	2	0	.	⌊ l
7	−16.6	−6.0	−11.3	−11.3	−1.5	632.0	631.8	**633.0**	95	66	89	SW 0	W 0	SW 0	0	1	0	.	⌊ l
8	−13.6	−4.8	−9.8	−9.4	0.4	632.1	630.0	628.5	98	78	88	SW 0	SW 0	SW 0	0	0	0	.	⌊ l
9	−13.0	1.2	−8.2	−6.7	3.1	623.5	620.2	619.8	98	52	93	SW 0	SW 0	W 1	0	2	6	.	⌊ l
10	−12.6	−3.2	−3.2	−6.3	3.6	618.3	615.2	612.2	91	41	**82**	N 0	SW 1	SW 0	2	6	10	4.2	✳ n (10./11.)
11	−3.7	0.4	−1.0	−1.4	8.5	608.1	606.4	604.6	89	68	99	SW 1	SW 1	**W** 1	6	9	10	3.9	✳ p–n mü
12	−4.6	−5.3	−19.5	−9.8	0.1	**604.1**	605.6	610.1	73	42	81	**W** 1	W 1	SW 0	10	5	3	.	
13	−16.4	−5.6	−19.1	−13.7	−3.8	613.3	620.6	621.2	82	54	83	SW 0	SW 0	W 0	4	3	0	0.0	⌊ l, III
14	−17.7	−12.9	−9.2	−13.3	−3.5	621.0	620.2	624.5	89	58	73	SW 0	SW 0	SW 0	8	10	0	0.0	✳fl 13¾–14, ⌊ l, III
15	−14.8	−3.1	−10.0	−9.3	0.5	624.5	624.3	624.7	93	46	74	SW 0	W 1	SW 0	1	2	0	.	⌊ l
16	−10.0	1.5	−9.2	−5.9	3.9	621.9	619.7	619.0	88	42	83	SW 0	SW 1	SW 0	9	8	6	.	⌊ l
17	−7.2	−1.3	−3.6	−4.0	5.8	615 8	612.9	609.4	94	64	78	S 0	SW 0	**SW** 0	10	7	10	1.9	✳ n (17./18.), ⌊ l
18	−7.8	−7.2	−12.5	−9.2	0.5	606.4	605.9	607.6	93	70	80	NE 1	E 1	SW 0	10*	10	10	3.9	✳ n–9½, n (18./19.)
19	−9.0	−7.5	−10.0	−8.8	0.9	609.1	609.6	611.5	97	85	94	NE 0	W 0	E 1	10	10	10	**7.0**	✳ n (19./20.)
20	−12.3	−8.8	−16.4	−12.5	**−2.8**	611.1	611.7	613.1	95	65	83	SW 0	NW 0	SE 0	10	10	5	.	
21	**−25.9**	−13.8	−19.4	−19.7	−10.1	614.4	615.1	617.5	89	66	89	SW 0	S 0	SW 0	2	3	6	.	⌊ l, III
22	−20.9	−8.5	−15.8	−15.1	−5.5	620.0	619.3	620.8	94	72	96	SW 0	SW 0	S 0	7	5	7	.	⌊ l, III
23	−17.6	−9.4	−17.0	−14.7	−5.2	618.4	617.4	615.1	98	77	92	SW 0	SW 0	SW 0	5	2	2	.	⌊ l, III
24	−12.0	−7.6	−7.0	−8.9	0.5	611.3	608.9	607.3	98	74	99	SW 0	SW 0	SW 0	8	8	8*	4.8	✳ p–n, ⌊ l
25	−12.4	−4.9	−9.0	−8.8	0.6	605.5	604.7	604.3	93	69	95	SW 0	SW 0	SW 0	3	8	10	.	⌊ l
26	−13.5	−6.3	−18.8	−12.9	−3.6	607.2	606.9	609.0	97	59	87	SW 0	S 0	SW 0	5	2	0	.	⌊ l, III
27	−12.9	−6.5	−9.2	−9.5	−0.3	606.8	604.5	606.9	96	85	62	SW 1	E 0	SW 0	10*	10	10	1.5	✳ 7–a
28	−13.0	−7.8	−21.7	−14.2	−5.0	612.3	613.5	615.9	88	45	72	SW 1	SW 1	NE 2	2	0	3	.	⌊ l
29	−20.8	−4.4	−13.3	−12.8	−3.7	616.6	616.8	617.5	90	38	78	**SW** 0	SW 0	SW 0	3	3	7	.	⌊ l, III
30	−17.1	−7.1	−11.5	−11.9	−2.9	616.8	616.1	616.4	95	64	87	SW 0	W 0	SW 0	2	3	10	.	⌊ l, III
31	−17.2	−4.1	−4.8	−8.7	0.2	613.6	609.3	606.2	97	86	92	SSW 0	SW 1	**S** 1	3	10	10*	2.9	✳ 13–n mü
																		Summe	
Mittel	−12 8	−5.5	−11.0	−9.8	–	616.1	615.4	616.1	91	62	81				5.8	6.0	5.8	30.4	

Januar 1952
Beobachter: *Couvent des Capucins.*

Sion

$\lambda = 7° 21'$, $\beta = 46° 14'$,
$H_b = 548.6$ m, $G = -0.11$ mm.

1	3.0	**7.2**	2.6	4.3	5.1	712.1	712.9	716.5	100	56	62	W 0	WSW 2	W 0	10●	7	10	1.7	● 6¾–8¾, ✳fl 21½
2	1.2	3.4	0.5	1.7	2.6	718.5	717.0	713.8	60	59	86	WNW 0	NE 1	NE 1	10	**9**	8	.	
3	2.9	4.1	0.3	2.4	3.3	708.8	709.8	713.4	62	79	81	E 1	WSW 1	NE 1	10	10	1	0.2	✳ n (3./4.)
4	−0.1	2.6	−1.0	0.5	1.4	716.4	717.9	721.8	89	61	81	W 0	WSW 1	NW 1	10	9	1	.	
5	−0.8	1.3	−1.1	−0 2	0.8	718.8	718.8	721.6	75	73	82	NE 0	ENE 0	ENE 1	10	3	1	0.1	✳fl a
6	−3 8	2.3	−0.5	−0 7	0.3	725.0	725.2	728.1	97	69	79	ENE 0	ENE 1	ENE 0	1	1	0	.	
7	−3.3	1.8	−1.2	−0.9	0.1	730.3	729.7	**730.4**	92	66	80	E 0	E 1	ENE 0	0	2	0	.	
8	−2.2	4.9	−0.5	0.7	1.7	728.9	725.1	723.6	87	57	94	E 1	ENE 0	E 0	0	0	0	.	
9	−2.6	3.0	3.0	1.1	2.1	719.5	716.6	716.8	99	74	85	E 0	E 1	WSW 1	0	0	8	.	
10	1.4	3.4	2.0	2.3	3.3	716.9	713.6	709.8	65	61	98	NW 0	WNW 1	WNW 0	10	10	10*●	**20 5**	● ✳ 20–n
11	1.2	4.8	6.1	4.0	5.0	704.8	702.5	700.2	100	100	89	NW 0	NW 0	WSW 2	10●	10●	10●	18.9	● n–n
12	2.2	3.7	−0.9	1.7	2.7	701.2	702.4	705.8	83	64	61	S 1	W 2	N 2	9	5	1	.	
13	−3.7	−0.2	−2.6	−2.2	−1.2	712.3	715.0	718.4	67	56	66	N 2	N 0	E 2	0	0	0	.	
14	−3.7	−0.5	−2.1	−2.1	−1.2	721.1	721.6	723.2	65	50	74	E 1	E 1	E 1	8	9	0	.	
15	−3.9	2.0	−0.8	−0.9	0.0	723.9	722.3	722.5	92	65	82	E 1	ENE 1	NE 1	0	2	0	.	
16	−2.8	3.2	1.2	0.5	1.4	719.9	717.3	715.6	88	62	74	E 0	E 1	E 0	4	8	7	1.6	
17	−0.2	3.8	1.9	1.8	2.6	713.0	709.9	704.8	100	78	100	E 0	ENE 0	E 0	10	7	10*●	5.8	✳ 3¾–4¾, 6½–7, ✳ ● 19¾–23¾
18	0.1	0.2	−1.2	−0.3	0.5	705.2	705.2	706.5	77	85	96	WNW 3	WSW 1	WNW 1	10	10*	10*	2.2	✳ 5¾–6½, 13¼–13¾ 21–24
19	−1.3	0.9	−2.3	−0.9	−0.2	709.4	711.0	711.4	100	56	100	SW 0	**SW** 2	NW 1	10*=	10	10	3.4	✳ 0–3¾, 7¼–10¾, 20¾–4¼, ≡ a
20	−2.5	−0.1	−5.0	−2.5	−1.8	711.4	711.6	712.3	98	56	83	SW 2	W 1	**NNE** 1	5	7	0	.	
21	−9.0	−5.2	−8.7	−7.6	−7.0	713.8	714.3	715.7	70	58	71	NE 2	NE 0	NNE 1	0	0	0	.	
22	**−10.5**	−4.0	−8.2	−7.6	−7.0	717.8	716.7	716.3	80	60	81	NE 0	NE 0	NE 0	1	4	0	.	
23	−8.0	0.0	−3.0	−3.7	−3.2	715.1	713.0	711.0	93	56	68	NE 0	NE 0	NE 0	0	0	0	.	
24	−7.3	0.4	−4.6	−3.8	−3.4	705.9	703.0	700.8	93	58	96	NE 0	NE 0	NE 0	1	7	3	.	
25	−5.4	0.1	−0.6	−2.0	−1.6	**699 6**	**699.6**	701.0	100	75	90	SE 0	ESE 1	W 0	1	3	10	.	
26	−2.5	1.1	−3.6	−1.7	−1.4	7 4.2	704.7	705.5	92	63	74	WSW 1	WSW 0	NE 1	10	9	1	.	
27	−4.2	0.2	−3.4	−2.5	−2.3	702.5	702.3	707.2	72	82	75	NE 0	WSW 1	W 3	10	10	2	0.0	✳fl 13–14
28	−7.4	−2.7	−5.4	−5.2	−5.1	711.9	712.6	714.1	68	52	62	ENE 0	ENE 0	ENE 0	1	0	0	.	
29	−7.4	0.3	−0.4	−2.5	−2.5	714.5	713.7	713.5	66	**47**	57	E 0	ENE 0	ENE 0	2	7	8	.	
30	−3.9	2.4	−0.8	−0.8	−0.9	713.6	713.1	713.4	85	59	73	E 0	ENE 1	N 1	3	2	0	.	
31	−3.9	2.2	0.6	−0.4	−0.6	709.1	703.5	701.6	87	60	100	E 1	E 0	NNE 0	2	10	10	14.3	✳ 17–2
Mittel	−2.9	1.5	−1.3	−0.9	—	713.7	713.0	713.4	84	64	81				5.1	5.5	3.9	68.7	

$\lambda = 8°\,57'$, $\beta = 46°\,0'$,
$H_b = 276.2$ m, $G = -0.01$ mm.

Lugano

Januar 1952
Beobachter: *G. Vicari.*

Tag	Lufttemperatur					Luftdruck			Relative Feuchtigkeit			Windrichtung und Stärke						Bewölkung			Niederschlag	Witterung
	7^{30}	13^{30}	21^{30}	Mittel	Abweich. vom Normalst.	7^{30}	13^{30}	21^{30}	7^{30}	13^{30}	21^{30}	7^{30}		13^{30}		21^{30}		7^{30}	13^{30}	21^{30}		
1	−0.8	8.6	6.2	4.7	3.0	736.1	734.1	735.9	80	41	16	NW	1	SSE	1	N	2	1	9	0	.	⊏, 🌧 19½-1½
2	2.8	9.8	1.2	4.6	3.0	738.8	739.0	739.2	34	27	48	W	1	SSW	1	N	1	0	1	0	.	⊏
3	1.0	2.8	0.4	1.4	−0.2	736.0	733.8	733.9	86	71	88	N	1	WNW	1	N	1	10●	10	0	0.0	● ✳ n-8½
4	1.4	10.0	0.8	4.1	2.5	736.3	738.8	742.6	39	18	29	N	1	NNE	2	NNW	1	0	1	0	.	⊏
5	−1.8	8.2	−0.4	2.0	0.4	742.0	741.6	742.0	46	27	42	N	1	E	1	NNW	1	1	0	0	.	⊏
6	−1.8	8.0	0.8	2.3	0.8	745.0	749.8	753.1	71	26	44	N	1	S	1	N	1	0	0	0	.	⊏
7	−2.2	7.2	−0.6	1.5	0.0	**754.2**	753.9	753.8	73	39	68	N	1	S	1	N	1	0	0	0	.	⊏
8	−2.4	6.8	0.2	1.5	0.0	751.8	749.4	748.0	78	46	71	N	1	S	1	NNW	1	0	0	0	.	⊏
9	−1.6	4.8	1.4	1.5	0.0	744.7	742.0	739.5	87	63	83	N	1	NW	1	NW	1	5	10	10	.	⊏
10	0.4	9.2	1.4	3.7	2.2	737.3	735.3	732.1	92	27	50	S	1	SE	1	N	1	0	9	8	.	⊏
11	1.4	9.6	1.8	4.3	2.9	727.2	724.2	721.5	61	38	64	N	1	W	1	WNW	1	6	6	5	.	
12	1.6	**11.6**	3.8	5.7	4.3	**719.2**	721.2	725.2	78	**13**	16	W	1	**NNE**	2	N	2	8	0	0	.	🌧 9½-17, 19-1
13	5.2	10.8	2.4	6.1	4.7	731.2	735.2	740.2	19	14	18	N	2	N	2	N	1	1	0	0	.	🌧 2-21
14	−0.2	6.8	−1.4	1.7	0.3	742.4	742.8	743.4	33	28	44	W	1	S	1	NNW	1	10	0	0	.	⊏
15	−3.2	7.4	−0.4	1.3	−0.1	744.6	744.7	744.7	64	38	60	N	1	N	1	WNW	1	0	1	6	.	⊏
16	−1.4	5.4	1.8	1.9	0.5	743.3	741.8	740.2	73	54	77	NNW	1	S	1	N	1	9	9	7	.	⊏
17	1.2	3.0	1.8	2.0	0.5	736.7	734.2	730.0	85	73	81	NNE	1	S	1	NNW	1	10	10	10	0.0	❩ n-15½ mU
18	−0.4	9.8	1.4	3.6	2.1	724.4	723.4	726.4	99	**13**	21	WNW	1	N	2	N	1	8	0	0	.	⊏, 🌧 11-18½
19	2.2	8.8	1.8	4.3	2.8	729.0	729.9	731.3	32	22	24	W	1	N	2	N	1	7	1	0	.	⊏ 8-19, ⊏
20	0.4	7.2	1.2	2.9	1.3	731.2	731.2	732.9	32	17	21	NNW	1	NNE	2	NNE	2	0	0	0	.	🌧 9-24, ⊏
21	−2.8	6.0	−1.2	0.7	0.9	735.0	735.8	737.5	28	23	32	N	1	ESE	1	N	1	0	4	0	.	⊏
22	−1.2	4.4	1.6	1.6	0.0	740.8	741.6	741.6	33	32	43	N	1	S	1	WNW	1	9	9	10	.	⊏
23	0.6	4.4	1.6	2.2	0.6	740.5	738.6	735.5	46	38	45	N	1	NE	1	W	1	9	10	10	.	⊏
24	0.8	1.6	0.4	0.9	−0.8	731.3	729.4	727.4	54	90	100	N	1	S	1	N	1	10	10*	10*	**16.7**	✳ 10½-n, ⊏
25	0.4	2.2	0.0	0.9	−0.8	725.1	725.6	722.3	100	86	99	N	1	N	1	W	1	10	10	5	3.6	✳ ❩ a-13½
26	−2.4	6.4	−1.2	0.9	−0.8	724.3	725.3	728.2	85	42	74	NNW	1	E	1	NNW	1	2	0	4	0.0	⊏
27	−1.0	0.6	−2.8	−1.1	−0.7	727.4	724.5	725.0	87	90	85	N	1	—	0	N	1	10*	10*	1	6.2	✳ 6½-15
28	0.2	8.6	−1.8	2.3	0.5	730.7	732.9	736.4	21	15	45	N	2	S	1	N	1	0	0	3	.	🌧 n-8½
29	**−6.4**	5.2	−1.2	−0.5	−2.4	739.5	739.8	739.8	48	30	49	N	1	SE	1	N	1	5	1	10	.	⊏
30	−4.2	6.2	−2.2	−0.1	−2.0	739.2	738.5	738.3	54	32	54	N	1	SSE	1	N	1	10	0	3	.	⊏
31	−4.6	0.2	−2.4	−2.3	−4.3	735.6	732.1	727.0	64	58	99	N	1	S	1	—	0	9	10	10*	6.1	✳ 14½-n
Mittel	−0.6	6.5	0.5	2.1	—	736.2	735.8	736.0	61	40	55							4.8	4.2	3.6	Summe 32.6	

$\lambda = 7°\,35'$, $\beta = 47°\,35'$,
$H_b = 317.3$ m, $G = 0.11$ mm.

Basel

Januar 1952
Beobachter: *Astronom.-Meteorol. Anstalt.*

1	7.6	3.4	1.0	4.0	4.5	729.7	733.8	735.9	86	85	92	WSW	3	WNW	3	SSW	1	10●	7	9	3.4	● 6½-8½, 12-13, ✳ 20½-21, 🌧 n-20½
2	2.4	5.4	5.7	4.5	5.0	734.7	733.6	729.4	75	74	61	S	2	S	2	WSW	1	10*	9	10	2.2	✳ 7-10, 🌧 n-n mU
3	2.5	5.7	1.6	3.3	3.9	727.7	728.7	731.9	98	61	83	NW	1	WSW	3	WSW	1	10●	6	9	2.2	● 6½-7½, ✳ 9-9½, ● 15½-15½, 🌧
4	1.1	2.6	1.8	1.8	2.4	735.9	739.1	741.0	77	70	73	WSW	1	WNW	2	WSW	1	7	10	10	0.0	● 8½-9½ (a-p
5	0.8	4.0	2.2	2.3	2.9	736.3	738.1	742.5	68	70	91	E	1	N	0	S	1	10	10	10	.	
6	2.3	5.3	1.9	3.2	3.8	746.7	747.5	750.4	96	80	98	N	1	E	0	S	0	10	8	10	.	
7	−3.2	2.7	−1.8	−0.8	−0.2	**751.8**	750.9	**751.3**	100	74	96	E	0	ESE	1	ESE	1	0	1	0	.	⊏
8	−2.9	3.8	−1.5	−0.2	0.4	748.5	745.4	741.7	89	70	94	E	1	ESE	0	ESE	1	0	0	0	.	⊏
9	2.1	8.0	4.2	4.8	5.4	737.9	734.9	738.0	75	59	69	E	1	WNW	1	WSW	2	9	6	10	0.3	● 16½-17, 🌧 a-p mU
10	4.0	5.7	5.4	5.0	5.6	734.1	730.9	723.5	69	70	77	W	2	WSW	1	WSW	2	10	10	10	2.3	● 20-20½, 21½-23½, 🌧 a-p mU
11	9.5	9.2	5.2	8.0	8.6	719.3	718.3	718.1	88	80	80	WSW	2	WSW	3	WSW	4	10●	10●	9	9.8	● 3½-8½ mU, 13-19, 🌧 n-n,
12	1.3	5.0	1.1	2.5	3.1	721.3	722.0	725.5	82	52	79	WSW	1	WSW	2	WSW	1	8	9	2	0.1	
13	−0.8	4.5	0.0	1.2	1.8	733.1	736.3	739.3	96	53	87	SW	1	NNW	1	SW	1	0	1	0	.	✳ 0-4½, ☾
14	−1.3	0.9	0.7	0.1	0.7	740.0	740.2	742.5	82	79	98	E	1	ESE	1	S	1	10	10	10	0.2	✳ 7½-8½
15	2.2	**9.9**	7.0	6.4	6.9	742.0	741.1	740.3	80	59	78	S	1	SSW	0	SSW	0	9	9	7	.	
16	5.4	9.6	4.6	6.5	7.0	737.4	735.6	735.0	91	71	97	E	0	W	0	S	0	10	9	10	0.0	
17	1.8	9.4	1.3	4.2	4.7	730.7	726.4	724.1	98	54	98	SE	0	SW	2	WSW	2	8	7	10	9.5	● 18½-19½, ✳ 19½-21, ⊕ 13½,
18	−0.2	1.7	1.0	0.8	1.3	724.0	724.2	724.5	98	77	87	W	1	WSW	1	WNW	2	10*	9	10	1.3	✳ 3½-10 🌧 15⅝
19	0.3	1.2	0.0	0.5	0.9	728.6	730.7	731.9	81	73	87	WSW	2	W	2	WNW	3	9	10	10	6.1	✳ 23½-1, 8½-9½, 16-18, ☾
20	−1.7	0.4	−6.0	−2.4	−2.0	732.4	733.0	733.2	86	73	93	W	0	SW	1	E	0	10	9	0	0.9	✳ 0-0½, 5½-6½, 9-12½
21	−8.2	−1.4	−4.2	−4.6	−4.2	733.9	735.3	737.1	94	72	89	E	0	E	0	E	0	3	6	10	.	☾
22	−3.4	−1.8	−5.9	−3.7	−3.4	737.8	737.8	736.8	91	84	90	SE	0	SE	1	E	1	10	10	0	.	
23	**−12.4**	−2.6	−5.7	−6.9	−6.6	735.2	733.2	730.8	96	70	82	SE	0	E	0	ESE	0	3	5	3	.	☾
24	−9.4	−1.9	−4.7	−5.3	−5.1	726.6	724.6	721.3	94	76	88	SW	0	E	0	E	0	10	10	10	.	⊕
25	−6.1	−2.4	−3.0	−3.8	−3.6	720.2	720.3	722.8	90	77	85	E	0	NW	1	W	1	10	10	10	1.2	✳ 9½-10½, 23½
26	−3.5	−1.5	−5.6	−3.5	−3.4	724.2	724.9	723.6	93	86	90	NW	0	E	1	SE	1	10	10	0	1.1	✳ 5-7
27	−4.4	0.0	−2.7	−2.4	−2.3	720.6	722.6	727.2	95	78	77	SE	1	WNW	1	WSW	1	10	10	10	1.5	✳ 6½-11 mU
28	−3.4	0.7	−6.5	−3.1	−3.1	731.9	733.0	733.2	74	**46**	87	SSW	1	WNW	1	E	1	8	0	0	.	
29	−7.4	−0.6	−1.8	−3.3	−3.4	733.2	733.3	733.4	89	75	98	SE	1	E	1	E	1	10	10	10	1.5	✳ 8½-9½, 16½-22½ mU
30	−1.6	2.1	0.8	0.4	0.3	733.4	733.7	733.3	98	84	96	SE	1	E	0	E	0	10*	10	10	0.1	✳ 7½-13, ● 15½
31	−0.7	7.4	4.9	3.9	4.1	726.8	718.8	**717.7**	86	**46**	84	SE	1	SSW	2	W	1	10	10	10●	2.7	● 15½-16½, 21-22½, 🌧 14½
Mittel	−0.9	3.1	0.0	0.7	—	732.8	732.5	732.8	88	70	87							8.2	7.8	7.0	Summe 46.4	

Januar 1952
Beobachter: *Observatorium.*

Säntis

$\lambda = 9° 20'$, $\beta = 47° 15'$,
$H_b = 2500.1$ m, $G = -0.27$ mm.

Tag	Lufttemperatur 7³⁰	13³⁰	21³⁰	Mittel	Abweich. vom Normalst	Luftdruck 7³⁰	13³⁰	21³⁰	Relative Feuchtigkeit 7³⁰	13³⁰	21³⁰	Windrichtung und Stärke 7³⁰	13³⁰	21³⁰	Bewölkung 7³⁰	13³⁰	21³⁰	Niederschlag	Witterung
1	-4.6	-8.1	-13.6	-8.8	-0.7	556.1	554.9	557.1	100	100	98	WSW 4	W 4	W 3	10*≡	10≡*	10≡	18.3	✳ n-11½, ▽ 12-14, ✳ 14-17. *)
2	-14.4	-8.0	-7.4	-9.9	-1.7	556.8	557.3	556.2	75	98	78	WSW 5	W 4	SW 4	10	10≡*	4	1.4	✳ 8½-14½. ≡ 7½-17½, ✢ n-15½*)
3	-9.2	-9.8	-13.8	-10.9	-2.7	553.4	552.8	554.2	86	100	96	SW 3	W 3	W 4	10	10≡*	10≡	12.1	✳ 8¾-15. ≡ 9-n, ✢ 12-n, ⌒ III
4	-14.7	-14.6	-14.8	-14.7	-6.5	556.1	557.6	559.8	95	95	95	W 3	WSW 3	W 3	10≡*	10≡*	10≡*	9.8	✳ n-6¾. 16½-n, ▽ 7-16½, *)
5	-14.4	-10.2	-10.7	-11.8	-3.5	557.7	559.2	562.5	82	100	100	WSW 4	W 3	W 3	10	10≡	10≡*	17.1	✳ 8-11, 20¾-n, ≡ 7½-n, *)
6	-10.2	-11.0	-9.2	-10.1	-1.8	566.1	567.3	570.0	96	82	**19**	N 2	N 1	NNE 3	10≡	2	0	0.2	✳ n-7 mU, ▽ 8½-9½ mU,
7	-3.6	-2.6	-3.0	-3.1	5.2	571.8	572.9	**573.7**	82	77	56	NNE 3	NNE 3	N 2	1	4	0	.	[≡ n-11½
8	-3.7	**-0.6**	-2.2	-2.2	6.2	572.3	570.5	568.1	62	60	54	WSW 2	SW 2	SW 3	1	0	0	.	
9	-2.6	-4.3	-11.4	-6.1	2.3	563.5	560.9	559.5	34	54	100	WSW 3	W 4	WNW 4	1	1	10≡*	4.4	✳ 19½-n, ≡ 16½-n, ⌒ a-n
10	-12.6	-10.6	-6.7	-10.0	1.6	556.6	553.9	549.8	96	96	98	W 4	W 5	SW 5	10≡	10≡*	10≡	3.0	✳ 8¾-16½, ≡ ⌒ n-n, ✢ ⌒ 9-n*)
11	-4.6	-5.1	-8.2	-6.0	2.4	547.5	546.7	**544.8**	100	100	100	WSW 5	W 5	W 4	10≡*	10≡	10≡*	**33.3**	✳ 6¾-10 mU, 14½-n, ≡ ⌒ n-n, *)
12	-14.0	-14.2	-14.4	-14.2	-5.7	544.9	545.6	549.0	95	100	100	W 4	WSW 4	WSW 3	10≡*	4≡	10≡	7.5	✳ n 12½, ≡. ⌒ n-n mU
13	-14.6	-15.0	-16.5	-15.4	-6.9	553.5	556.2	559.0	100	94	94	N 2	W 2	N 2	10≡*	3	1	0.2	✳ 6¾-9¾ mU, n-9½ mU, 14¾-17¾
14	-14.4	-9.3	-9.2	-11.0	-2.5	559.9	560.8	563.6	53	100	98	WSW 4	W 3	W 4	10	10≡	10≡	6.2	✳ 10-12½ mU, 14-15½, ≡ 9¾-n,
15	-9.1	-7.6	-5.2	-7.3	1.3	564.3	564.2	564.7	48	64	51	WSW 4	WSW 4	WSW 4	1	6	3	.	⌒ n-n [✢ 8-n, ⌒ n-n mU
16	-5.3	-4.4	-7.1	-5.6	3.0	562.6	560.9	559.1	92	100	100	WNW 3	WNW 4	W 3	10≡	10≡*	10≡	12.7	✳ 11½-15½, 17-19½, ≡ 7-n mU, *)
17	-10.1	-8.5	-9.3	-9.3	-0.7	555.3	552.8	548.4	97	95	96	W 3	WSW 3	WSW 3	4	6	10≡*	2.3	✳ 20-n, ≡ 13-14½ mU. 19¾-n
18	-14.0	-15.0	-15.3	-14.8	-6.1	546.1	545.8	546.5	93	93	90	W 3	W 4	W 4	10≡*	10≡*	10≡*	12.7	✳ 6¾-n, ≡ n-n, ✢ ⌒ 8-n, ⋁ 16½
19	-15.3	-15.0	-16.0	-15.4	-6.7	548.5	550.2	550.9	90	89	89	WNW 3	WNW 3	W 3	10≡*	10≡*	10≡*	17.7	✳ ≡ n-n, ✢ n-16
20	-17.0	-16.3	-18.0	-17.1	-8.4	551.1	551.7	552.2	87	86	87	N 2	NNW 2	WNW 2	10≡*	10≡*	10≡	5.0	✳ n-13½, ▽ 13¾-17 mU, ≡ n-n
21	-18.2	-15.0	-12.6	-15.3	-6.5	552.5	554.3	556.4	73	87	98	NE 3	NE 3	ENE 3	2	9	1	.	≡ 18-19, ⊕ 10½-13½
22	-9.9	-8.0	-9.7	-9.2	-0.4	558.0	558.8	558.5	85	78	85	SE 3	SE 2	SE 3	1	1	2	.	
23	-11.6	-10.0	-9.3	-10.3	-1.5	556.9	555.6	553.8	76	79	64	SW 1	SW 3	SSE 3	6	1	0	.	
24	-8.9	-7.6	-9.8	-8.8	0.0	550.6	549.1	546.6	78	77	93	SSW 3	S 3	SE 3	10	7	8	.	
25	-10.1	-9.6	-13.0	-10.9	-2.0	544.9	545.0	545.2	86	67	98	SW 3	SSW 3	W 3	8	6	10≡*	5.3	✳ 20¼-n, ≡ 16¾-n, ⊕ 16½
26	-15.8	-13.4	-14.7	-14.6	-5.7	545.6	546.8	547.4	95	94	92	W 4	WSW 2	WSW 3	10≡*	4	0	1.3	✳ n-9½, ≡ n-13, ⌒ I, ⋁ 10½
27	-14.3	-14.1	**-19.0**	-15.8	-6.9	545.6	545.0	546.6	79	96	93	SW 3	W 3	W 4	2	10≡*	10≡	2.5	✳ 11¾-20½, ≡ 12-n, ⌒ III
28	-18.2	-17.4	-13.6	-16.4	-7.4	550.7	552.2	553.8	91	91	44	WSW 2	WSW 3	W 3	10≡	1	1	.	≡ n-12½ mU
29	-12.3	-9.1	-7.8	-9.7	-0.7	554.6	555.9	556.7	39	99	100	W 4	W 4	W 3	9	10≡*	10≡	3.4	✳ 11¾-20. ≡ 11½-n. ✢ 7-10, 17-n
30	-8.8	-7.2	-10.4	-8.8	0.2	556.5	556.8	556.3	97	95	93	W 3	W 3	WSW 3	10≡	10≡	10	0.0	✳fl 15-15¾, ≡ n-17½ [⌒ I, II, ⋁ II
31	-9.4	-6.8	-8.2	-8.1	1.0	552.5	548.4	545.2	74	75	100	WSW 3	SSW 3	W 4	8≡	10	10≡*	14.0	✳ 13½-n, ≡ 18-n, ⊕ 10½, ⌒ p-n
Mittel	-11.2	-10.0	-11.0	-10.7	—	555.2	555.2	555.1	89	81	86				7.5	6.9	6.8	Summe 140.4	

*) 1. ≡ ✢ n-n, ⌒ n-p 2. ⌒ n-n, ⌒ I 4. ≡ ✢ n-n, ⋁ I 5. ⌒ n-n mU, ⋁ II 10. ⋁ 10½ 11. ⋁ II 16. ⋁ II, ⌒ a-p

Januar 1952
Beobachter: *E. Chiesa*

St. Gotthard (Hospiz)

$\lambda = 8° 34'$, $\beta = 46° 33'$,
$H_b = 2095$ m, $G = -0.25$ mm.

1	-3.4	-4.8	-10.0	-6.1	0.9	587.2	586.6	587.3	98	93	85	SE 1	NW 2	NW 2	10	10	3	3.4	✳ n (1./2.)
2	-8.9	-7.2	-6.9	-7.7	-0.6	588.9	589.1	588.6	40	87	81	NW 1	SE 1	SE 1	10	10	0	0.7	✳ n (2./3.)
3	-8.4	-6.3	-10.6	-8.4	-1.3	585.1	583.9	584.8	85	89	95	SE 1	SE 0	NW 2	10*	10≡	0	2.9	✳ n-a, ≡ a-p, ⋁ III
4	-11.0	-10.7	-12.2	-11.3	-4.2	586.4	588.3	590.7	80	69	94	NW 2	NW 3	NW 2	10	10	0	0.7	✢ a-p, ⌒ II
5	-10.9	-6.2	-8.7	-8.6	-1.5	589.7	590.1	592.1	75	82	94	SE 1	SE 0	NW 1	10	10*	10	1.3	✳ 12-p
6	-8.3	-8.0	-8.8	-8.4	-1.3	595.6	597.2	690.0	97	85	32	NW 2	NW 2	NW 1	6	0	0	.	
7	-2.7	-1.0	-1.8	-1.8	-5.4	601.1	601.7	**602.6**	35	36	35	NW 2	NW 2	NW 2	0	0	0	.	
8	-1.3	**1.9**	-0.3	0.1	7.3	601.9	600.3	598.5	32	30	27	NW 1	NW 1	NW 0	0	0	0	.	
9	-5.0	-1.8	-6.9	-4.6	2.6	594.0	592.1	590.6	48	48	99	SE 0	SE 0	NW 3	0	0	10*	0.9	✳ ✢ 20½-n, ⌒ III
10	-9.8	-6.0	-8.1	-8.0	-0.8	588.3	586.6	583.2	82	75	94	NW 1	SE 0	SE 2	10	10	10*	16.2	✳ ✢ 15½-n
11	-6.0	-1.4	-3.3	-3.6	3.6	580.0	578.6	576.1	99	88	100	SE 0	NW 0	NW 0	10*	10*	10*	**19.9**	✳ n-n
12	-10.1	-11.0	-14.2	-11.8	-4.6	**574.9**	576.0	578.7	95	92	70	NW 3	NW 1	NW 1	10≡	0	0	0.8	≡ ✢ n-a, ⌒ I
13	-12.6	-11.7	-13.4	-12.6	-5.3	582.7	586.1	589.2	92	94	96	NW 3	NW 3	NW 3	10≡	3	3	.	≡ n-a, ⋁ III, ⌒ n-n
14	-9.7	-7.6	-8.1	-8.5	-1.2	589.8	591.2	593.9	23	98	100	NW 3	NW 2	NW 3	0	10	9	1.1	✳ 9¾-12. ⋁ III, ⌒ I, III
15	-5.1	-0.9	-2.0	-2.7	4.6	594.1	595.1	595.2	26	**5**	15	NW 1	NW 1	NW 1	0	3	0	.	
16	-2.0	-4.3	-4.7	-3.7	3.6	592.9	591.7	591.8	22	49	86	NW 1	NW 0	NW 1	0	6	10	.	
17	-7.8	-5.2	-7.5	-6.8	0.5	586.3	584.0	579.9	97	84	97	NW 0	NW 0	SE 2	0	6	10	6.5	✳ 18¾-n mU
18	-11.4	-10.9	-12.2	-11.5	-4.2	576.8	576.8	577.2	93	78	85	NW 2	NW 2	NW 1	10≡	10	10*	7.4	✳ p-n, ≡ n-a, ✢ n-n
19	-13.4	-12.2	-13.0	-12.9	-5.5	579.0	580.4	581.2	96	92	88	NW 4	NW 2	NW 3	10≡	10*	10	12.6	✳ 10¼-p, ≡ n-10¼, ✢ n-n, ⌒ III
20	-14.5	-13.3	-13.4	-13.7	-6.3	581.0	581.5	582.3	92	88	90	NW 2	NW 3	NW 2	10≡	9	10≡	1.4	✳ a-p mU, ≡ n-a, p-n, ⌒ II [⌒ I
21	**-17.3**	-13.9	-11.3	-14.2	-6.8	582.9	584.1	585.8	72	45	34	NW 1	NW 2	NW 1	0	6	0	.	
22	-10.7	-7.6	-10.0	-9.4	-2.0	587.9	589.2	589.2	53	46	60	NW 0	S 0	SE 0	9	3	6	.	
23	-10.6	-8.1	-9.0	-9.2	-1.8	588.1	587.2	585.0	72	70	91	SE 1	SE 0	SE 0	10	9	10	.	
24	-8.8	-6.3	-9.0	-8.0	-0.6	581.3	579.4	577.6	94	94	98	SE 0	SE 0	SE 1	10	10*	10*	9.0	✳ 10¼-n
25	-10.1	-8.6	-10.9	-9.9	-2.5	575.5	575.4	**574.9**	95	96	95	SE 1	SE 0	NW 2	10*≡	10≡	10	2.8	✳ n-a, ≡ n-p
26	-12.8	-12.2	-12.7	-12.6	-5.1	576.0	576.9	578.3	90	85	76	NW 1	NW 1	SE 1	6	0	0	.	
27	-11.8	-7.2	-14.4	-11.1	-3.6	576.6	575.6	577.1	90	71	85	SE 0	SE 0	NW 3	10	9	10	3.9	✳ 7½-10½, ⌒ III
28	-16.2	-14.8	-13.1	-14.7	-7.2	580.3	582.6	584.5	90	91	67	NW 3	NW 2	NW 0	9	0	0	.	≡ a, ⌒ I
29	-13.6	-6.7	-10.6	-10.3	-2.8	585.7	587.0	587.0	80	43	54	SE 1	SE 0	SE 0	0	9	10	.	
30	-9.7	-0.8	-7.5	-6.0	1.5	586.7	586.8	586.6	80	55	64	SE 0	SE 0	NW 0	0	0	0	.	
31	-10.4	-8.0	-9.5	-9.3	-1.8	583.7	580.5	576.5	78	82	95	SE 1	SE 2	SE 2	3	10*≡	10*≡	6.3	✳ ≡ 11¼-n
Mittel	-9.5	-7.2	-9.2	-8.6	—	585.8	585.9	586.0	74	72	77				5.9	6.2	5.5	97.8	

$\lambda = 7°\,26'$, $\beta = 46°\,57'$,
$H_b = 572.2$ m, $G = 0.00$ mm.

Bern

Februar 1952
Beobachter: *Meteorol. Observatorium.*

Tag	Lufttemperatur					Luftdruck			Relative Feuchtigkeit			Windrichtung und Stärke			Bewölkung			Niederschlag	Witterung
	7^{30}	13^{30}	21^{30}	Mittel	Abweich. vom Normalst	7^{30}	13^{30}	21^{30}	7^{30}	13^{30}	21^{30}	7^{30}	13^{30}	21^{30}	7^{30}	13^{30}	21^{30}		
1	-0.6	2.2	0.4	0.7	1.7	700.2	696.8	**696.1**	77	53	90	W 1	WSW 2	WSW 4	5	9	10*	7.3	● 3-4, ✳ 4-6½, 16½-22, 🌧 III
2	-1.0	1.9	-0.3	0.2	1.2	701.6	703.9	704.1	81	60	68	SSW 1	WSW 2	S 1	10	9	9	2.0	✳ 3½-5, 8½-14½ mU
3	-2.0	2.6	1.0	0.5	1.4	701.8	702.5	704.0	81	80	76	S 1	WSW 2	SSW 1	10*	9	10	13.0	✳ 4-24 mU
4	-0.3	0.5	-1.3	-0.4	0.4	706.3	710.4	713.6	94	74	87	W 1	WSW 1	W 1	10*	9	10	2.3	✳ 0-3½, 13-20 mU, 23-24
5	-2.4	1.4	-1.9	-1.0	-0.3	718.3	719.9	723.4	87	60	72	W 1	ENE 1	E 1	9	9	9	0.8	✳ 14-17
6	-7.7	-1.9	-3.2	-4.3	-3.7	723.8	**724.4**	722.6	84	59	75	E 1	E 1	SSE 1	7	10	9	0.0	≏ I
7	-3.4	1.9	-0.4	-0.6	0.0	719.6	717.4	713.8	77	55	75	SSE 1	ENE 1	ESE 1	10ˣ	9	9	6.6	✳ 7-8½, ☾ III, ≏ I
8	1.5	2.3	0.0	1.3	1.8	706.2	704.1	707.8	91	82	63	WSW 2	WSW 2	W 1	10●	10●	9	8.6	✳ 2-7, ● 7-14, ✳ 14-17½
9	-1.8	-1.2	-2.5	-1.8	-1.4	708.4	708.4	711.0	86	71	74	WSW 1	W 3	WSW 1	9	9*	10*	2.5	✳ 0-n mU, 🌧 II
10	-3.2	-0.8	0.1	-1.3	-1.0	712.6	712.8	711.6	76	63	56	WSW 2	WSW 3	WSW 3	10*	10	10	0.0	✳fl 4½-13, ≏ I, 🌧 a-n
11	0.6	2.0	2.7	1.8	2.0	707.6	705.2	702.5	60	73	86	WSW 2	S 1	WNW 2	10	10	10●	10.9	✳ 11½-12¾, 15-15¾, ● 18-21
12	3.8	3.4	-1.0	2.1	2.2	701.0	702.3	705.6	86	83	89	W 2	W 3	NE 1	10●	10●	10*	**19.3**	● 0-14 mU, ✳ 14-24
13	-2.8	-0.8	-2.3	-2.0	-2.0	706.0	706.3	706.9	78	78	79	NE 1	NNE 1	N 1	10*	10*	10	0.4	✳ 0-19
14	-4.3	-1.6	-6.8	-4.2	-4.1	707.2	705.6	704.5	85	63	84	NW 1	NE 1	SE 0	9	1	0	.	≏ I
15	-8.4	-4.7	-4.0	-5.7	-5.9	702.8	703.9	707.2	88	74	81	N 0	NE 2	NE 2	10	10	10	0.1	≏ I
16	-5.8	-3.3	-5.6	-4.9	-5.2	709.8	712.0	714.5	79	67	87	ENE 2	ENE 2	NE 1	9	10	1	.	✳ 3-7, ≏ I
17	-8.2	-2.6	-6.4	-5.7	-6.1	714.7	713.2	712.6	83	63	88	NNE 1	NNE 1	NE 1	9	3	0	.	⌐ ≏ I
18	-11.7	-1.8	-3.3	-5.6	-6.1	712.0	711.3	713.1	85	59	65	SE 1	NNE 1	NE 1	4	1	0	.	⌐ ≏ I
19	-7.2	-0.3	-3.6	-3.7	-4.3	714.1	714.9	716.8	79	55	71	ENE 1	ESE 1	ESE 1	10	9	0	.	⌐ ≏ I
20	-3.8	2.6	1.6	0.1	-0.6	717.4	718.0	719.7	74	53	71	ESE 1	NE 1	NE 1	10	10	9	.	≏ I
21	0.4	5.1	0.0	1.8	1.0	721.3	721.2	721.0	81	56	83	ESE 1	ENE 1	E 1	10	3	0	.	≏ I
22	-5.0	4.2	0.2	-0.2	-1.1	720.2	719.0	718.1	94	62	81	S 1	S 1	SE 1	3	0	0	.	≡ a, ⌙ I
23	-4.2	**6.7**	0.5	1.0	0.0	717.1	716.4	716.6	92	47	75	S 1	NE 1	SE 1	2	0	0	.	≏ I
24	-4.8	4.8	0.0	0.0	-1.1	717.2	717.0	718.1	92	53	74	SE 1	NNE 1	N 1	1	0	0	.	⌐ ≏ I
25	-2.5	1.5	-2.2	-1.1	-2.3	719.8	719.5	719.2	89	69	85	NE 1	E 1	N 1	10	9	0	.	⌐ ≏ I
26	-2.6	0.0	-0.6	-1.1	-2.5	718.9	718.4	718.2	92	74	79	SSE 1	N 1	SSE 1	10≡	10	10	.	≡ n-9½, ≏ I
27	-3.0	1.0	-0.4	-0.8	-2.3	717.2	716.7	717.0	89	74	76	SE 1	NE 1	E 1	10	1	0	.	⌐ ≏ I
28	-4.4	5.6	1.0	0.7	-0.9	717.6	717.9	718.6	86	52	76	SE 1	NE 2	SE 1	0	0	0	.	⌐ I
29	-2.7	6.4	4.0	2.6	1.0	717.7	716.6	716.6	82	**46**	63	S 1	WSW 1	SSW 1	10	10	10	0.2	● n (20./1.), ⌙ I
																		Summe	
Mittel	-3.4	1.3	-1.2	-1.1	—	712.4	712.3	712.9	84	64	77				8.2	6.9	5.7	74.0	

$\lambda = 6°\,57'$, $\beta = 47°\,0'$,
$H_b = 487.3$ m, $G = 0.02$ mm.

Neuchâtel

Februar 1952
Beobachter: *Observatorium.*

1	0.1	1.8	1.2	1.0	0.9	707.6	704.2	**703.1**	82	67	82	W 1	SW 3	W 3	8	10	10	7.9	● ✳ 2¾-3¾, ✳ 15½-21, 🌧 a-n
2	0.0	2.6	0.6	1.1	1.0	709.8	711.5	711.2	76	68	79	W 1	SW 2	W 0	9	7	10	0.8	✳ 1½-4
3	0.3	1.7	1.8	1.3	1.1	709.0	710.1	711.6	91	85	87	SW 3	SW 2	SW 3	10*	10	10	**13.2**	✳ 4-24 mU, 🌧 I, III
4	0.3	0.9	-0.9	0.1	-0.2	714.0	718.3	721.5	96	85	91	W 0	SW 2	SW 0	10*	9	10*	4.3	✳ 0-24 mU
5	-1.2	1.8	-1.7	-0.4	-0.7	726.3	727.9	731.5	89	61	78	N 1	NE 1	NE 1	10	10	8	0.4	✳ 0-0¾, 6¾, 14½-17
6	-3.0	-0.2	-2.4	-1.9	-2.3	731.8	**732.3**	730.5	72	63	83	NE 2	NE 2	NE 1	7	10	7	.	
7	-3.4	0.4	0.8	-0.7	-1.2	727.7	725.4	721.5	92	82	89	NE 0	E 0	SW 0	10	9	10	4.2	✳fl p
8	1.0	1.2	0.1	0.8	0.3	714.1	711.7	715.8	96	95	74	SW 3	W 2	NW 2	10●	10*	9*	7.1	● ✳ 3¼-15½, 🌧 I
9	-1.1	-0.4	-2.1	-1.2	-1.8	716.3	716.4	719.0	89	76	88	NW 1	W 2	NW 1	10*	10	10*	4.3	✳ 3-5½, 7½-24 mU
10	-3.0	-1.2	0.7	-1.2	-1.9	720.6	721.0	719.7	81	83	75	W 2	SW 3	SW 2	10	10*	10	0.0	✳ 0-4½, ✳fl p, 🌧 II
11	0.8	2.1	2.6	1.8	1.0	715.4	712.9	710.2	69	69	93	SW 3	SW 3	SW 4	10	10	10●	10.6	● 18¼-24, 🌧 n-n, 🌧 III
12	3.8	3.2	-0.5	2.2	1.4	708.5	709.9	713.0	92	90	69	SW 3	W 2	N 3	10●	10●	10	5.6	● 0-17½, 🌧 I, II
13	-1.8	1.6	-1.8	-0.7	-1.6	713.6	714.1	714.8	71	71	67	N 0	SE 1	E 0	10	9	10	0.1	✳ 14-16
14	-5.9	0.9	-4.3	-3.1	-2.1	714.8	713.3	711.8	80	65	78	E 0	SE 1	SE 0	2	2	0	.	
15	-6.3	-3.4	-2.9	-4.2	-3.1	710.3	711.5	715.1	95	78	81	NE 1	E 2	NE 3	10	10	10	.	🌧 III
16	-4.3	-1.8	-4.0	-3.4	-4.6	717.6	719.8	722.5	82	71	78	NE 2	E 3	NE 0	2	10	10	.	🌧 II
17	-7.5	-0.1	-3.5	-3.7	-5.9	722.6	721.3	720.4	81	62	72	NE 0	E 2	NE 1	2	2	4	.	
18	-7.6	0.2	-1.4	-2.9	-4.2	719.9	719.3	720.8	92	65	69	NE 0	E 2	NE 1	8	4	3	.	
19	-3.3	0.0	-1.8	-1.7	-3.1	721.8	722.9	724.6	**87**	70	71	NE 1	E 2	N 0	10	5	2	.	
20	-3.4	1.2	1.9	-0.1	-1.6	725.4	726.0	727.6	88	75	77	N 0	N 1	NE 1	10	10	10	.	
21	1.5	6.8	2.4	3.6	2.0	729.1	729.2	728.7	85	62	81	NE 1	E 1	N 1	10	6	1	.	
22	-2.7	4.1	0.9	0.8	-0.9	728.0	727.1	725.9	96	81	87	N 0	SE 0	SE 0	2	1	0	.	≡ 7½-10½, ⌙ I
23	-2.5	5.7	1.2	1.5	-0.3	724.9	724.4	724.5	98	73	79	SE 0	S 0	S 0	2	0	0	.	≡ 8¾-9½, ⌙ I
24	-2.8	5.5	1.8	1.5	-0.4	725.1	725.0	725.8	94	70	72	S 0	SE 1	NE 1	2	1	0	.	
25	-0.8	1.2	-1.7	-0.4	-2.4	727.7	727.5	727.2	91	82	92	NE 1	E 1	NE 0	10	10	7	.	
26	-1.0	0.4	-1.9	-0.8	-2.9	726.7	726.4	726.1	91	86	92	E 0	E 0	NE 0	10	10	0	.	
27	-2.0	4.5	2.8	1.8	-0.4	725.0	724.5	724.7	94	66	68	NE 0	E 2	NE 1	10	1	0	.	
28	0.2	**9.2**	5.5	5.0	2.7	725.3	725.7	726.1	88	57	66	NE 2	NE 2	N 1	0	0	0	.	
29	-1.3	5.7	6.9	3.8	1.5	725.5	724.4	723.8	96	76	**51**	NE 0	SW 0	W 1	10	10	10	.	⌙ I
																		Summe	
Mittel	-2.0	1.9	0.0	0.0	—	720.2	720.1	720.7	87	74	78				7.7	7.1	6.2	58.5	

Februar 1952
Beobachter: *Frl. H. Nager.*

Altdorf

$\lambda = 8° 39'$, $\beta = 46° 53'$,
$H_b = 456.3$ m, $G = -0.05$ mm.

Tag	Lufttemperatur					Luftdruck			Relative Feuchtigkeit			Windrichtung und Stärke			Bewölkung			Niederschlag	Witterung
	7^{30}	13^{30}	21^{30}	Mittel	Abweich. vom Normalst	7^{30}	13^{30}	21^{30}	7^{30}	13^{30}	21^{30}	7^{30}	13^{30}	21^{30}	7^{30}	13^{30}	21^{30}		
1	0.7	2.8	0.9	1.5	0.7	710.3	705.7	**705.0**	87	65	10	N o	E o	SE o	10*	6	10*	4.4	✳ n-a, 21-n
2	1.8	1.5	-0.6	0.9	0.0	712.0	713.5	714.2	**45**	68	85	NW o	N o	SW o	10	10	10	.	
3	-0.3	0.9	1.1	0.6	-0.4	711.8	717.9	714.1	84	100	100	SE 1	E o	NE o	10	10*	10*	21.3	✳ a-n
4	0.7	0.6	-0.4	0.3	-0.7	715.6	719.7	724.0	100	100	100	W o	N o	N o	10*	10*	10*	**28.6**	✳ n-n
5	-0.2	1.6	-1.3	0.0	-1.1	728.1	730.0	734.1	81	88	62	N o	N o	N o	10*	10*	10	3.7	✳ n-19
6	**-7.5**	-1.8	-4.2	-4.5	-5.7	**735 8**	735.2	733.9	75	52	77	SE o	E o	E o	4	8	7	.	
7	-3.1	1.3	-2.9	-1.6	-2.8	733.2	727.8	724.0	85	66	90	SE o	SE o	SE o	10	10	5	2.7	✳ n (7./8.)
8	-0.5	1.3	0.7	0.5	-0.8	716.1	713.1	716.9	100	100	63	E o	E o	NW 1	10*	10	10*	14.6	✳ n-a, 15½-19½, 21½-n
9	0.1	0.0	-0.4	-0.1	-1.5	717.9	717.3	719.9	61	66	53	N 1	N 2	N 1	10*	10*	10*	2.0	✳ n-n mU
10	-1.0	0.1	-1.0	-0.6	-2.0	721.5	722.5	721.8	53	54	72	N 1	E o	S o	10	10	10	.	
11	-0.6	3.2	1.7	1.4	-0.1	717.4	714.6	712.1	92	64	100	E o	SE o	E o	10	10	10●	23.5	● 19½-n
12	2.0	**2.8**	0.5	1.8	0.2	710.8	710.8	714.8	100	100	100	E o	E o	**W** o	10●	10●≡	10*	21.4	● n-p, ✳ p-n, ≡ 13½-14½
13	-0.8	0.3	-0.8	-0.4	-2.0	716.1	716.3	717.3	100	77	95	**W** o	W o	**W** o	10*	10*	10*	2.3	✳ n-n
14	-1.8	-0.1	-5.7	-2.5	-4.2	717.2	715.4	714.5	85	59	71	N o	NW o	E o	10	8	4	.	
15	-6.6	-2.7	-3.0	-4.1	-5.0	713.1	714.5	719.5	85	75	87	SE o	NW o	E o	8	10	10	.	
16	-2.7	-1.2	-2.8	-2.2	-4.1	721.0	722.6	724.5	78	64	92	**S** o	NW o	E o	10	10	10	0.2	✳fl p
17	-3.0	-0.6	-5.2	-2.9	-4.8	724.9	723.8	723.7	89	67	83	N o	NW o	NW o	10	10	5	.	
18	-6.0	-0.7	-1.9	-2.9	-4.9	723.6	721.8	724.1	80	64	90	S o	NW o	NW o	10	5	10	.	
19	-3.2	-0.2	-1.9	-1.8	-3.9	724.9	725.5	727.6	68	55	74	E 1	NW o	E o	10	4	10	.	
20	-1.8	2.1	1.2	0.5	1.7	728.0	728.9	730.9	82	59	90	SE o	NW o	NW o	10	10	10	0.2	△ n (20./21.)
21	1.9	**4.7**	-0.7	2.0	-0.2	731.5	731.8	731.8	100	65	99	NW o	NW o	E o	10	8	5	.	
22	-0.6	1.8	-0.9	0.1	-2.2	730.7	729.8	728.4	100	96	100	N o	N o	NW o	10≡	7	0	.	≡ n-a, p mU
23	-3.7	0.1	-1.7	-1.8	-4.2	727.6	727.0	727.1	100	100	98	N o	N o	NW o	10≡	10≡	3	.	≡ n-p
24	-2.7	1.0	-2.3	-1.3	-3.8	728.2	728.0	729.5	100	95	100	N o	NE o	NE o	10≡	10≡	10≡	.	≡ n-n
25	-1.6	1.0	0.4	-0.1	-2.7	731.9	730.2	731.3	100	73	91	NE o	NE o	N o	10	10	10	.	
26	-1.7	1.1	0.1	-0.2	-3.0	729.3	729.0	728.7	93	71	88	S o	S o	NW o	10	10	10	.	
27	-1.2	1.1	-1.5	-0.5	-3.4	727.7	727.2	728.5	94	77	92	E o	W o	N o	10	6	5	.	
28	-4.1	2.9	-1.0	-0.7	-3.7	728.8	729.1	729.7	90	69	83	W o	W o	N o	4	3	0	.	
29	-2.4	**4.7**	2.0	1.4	-1.6	727.5	726.7	727.0	86	59	100	W o	W o	W o	10	10	10●	6.5	● 17½-n
Mittel	-1.7	1.0	-1.1	-0.6	—	722.7	722.6	723.4	86	74	87				9.4	8.8	8.1	Summe 131.4	

Februar 1952
Beobachter: *Observatorium.*

Genève

$\lambda = 6° 9'$, $\beta = 46° 12'$,
$H_b = 405.0$ m, $G = -0.03$ mm.

1	1.0	0.5	1.5	1.0	0.0	715.3	**710.4**	713.7	81	90	70	S 1	**W** 1	WSW 1	10	10	10	0.2	✳ 14-p
2	-0.3	3.5	0.8	1.3	0.2	718.8	719.8	719.2	85	83	79	ESE o	S 1	**S** 1	10	10	10	0.3	✳ n (8./9.)
3	0.0	3.0	1.8	1.6	0.4	717.5	719.2	719.8	96	83	93	S 1	S 1	S o	10	3	10*●	0.3	● ✳ 20-n
4	-0.2	1.4	-0.5	0.2	-1.0	721.7	726.3	729.4	97	85	92	E o	E o	S o	10	10	8	1.0	✳ n (4./5.)
5	-0.2	1.5	-1.2	0.0	-1.3	734.5	734.5	736.5	85	58	88	NE 1	NNE 2	NNE 4	10	2	2	0.0	♆ 9, ☍ III
6	-1.0	0.8	-1.0	-0.4	-1.8	738.4	**738.9**	736.6	88	68	73	NNE 1	NNE 1	NNE 1	2	4	2	.	
7	-1.8	2.4	0.0	0.2	-1.2	735.9	733.5	730.8	83	68	81	E o	ENE 1	E o	2	6	9	4.0	● n (7./8.)
8	1.6	2.5	1.0	1.7	0.2	722.4	720.6	723.9	93	83	60	E o	NNE 1	E o	10●	10●	9	2.0	● n-p, ✳ n (8./9.)
9	-1.5	1.0	-3.0	-1.2	-2.8	724.6	724.8	727.3	92	81	94	E o	ENE 1	E o	10	10	9	0.3	✳ n
10	-3.0	0.6	-0.2	-0.9	-2.5	729.1	729.5	729.1	87	68	70	**E** o	ENE 1	E o	10	10	10	.	
11	-1.0	4.0	4.5	2.5	0.8	724.5	721.5	719.0	80	77	87	E o	S 1	S 2	10	10	10●	15.0	● 19-n
12	5.6	4.8	-0.3	3.4	1.0	717.8	717.9	719.9	75	71	96	S o	SSW 1	NNE 1	10	10	10*	**18.6**	✳ 21-n
13	-2.7	0.6	-1.5	-1.2	-3.1	720.4	721.5	722.2	96	88	70	E o	NE o	E o	10	10	10	.	
14	-5.4	0.2	-3.3	-2.8	-4.7	722.2	721.0	720.0	80	63	91	SE 1	NE o	E o	0	1	8	.	
15	-2.4	-1.7	-2.2	-2.1	-4.1	717.7	718.3	721.3	87	77	83	E o	ENE 1	NNE 1	10	9	10	0.2	✳ 9½
16	-3.0	-1.0	-2.5	-2.2	-4.3	723.7	726.0	728.4	78	61	70	NNE 1	NNE 1	NNE 1	9	8	8	.	
17	-3.0	0.0	-3.0	-2.7	-4.9	729.2	729.0	728.3	76	63	78	E o	NNE 1	NNE 1	5	3	0	.	
18	-5.6	0.0	0.2	-1.8	-4.0	728.1	726.3	726.9	80	70	70	E o	NNE 1	NNE 1	2	3	0	.	
19	-2.2	1.0	0.5	-0.2	-2.5	730.4	730.2	731.7	75	65	62	NE o	ENE 1	**E** o	9	7	6	.	
20	-5.0	2.4	1.0	-0.5	-2.9	732.9	732.7	734.2	86	72	92	SE o	NNE 1	NE 1	5	8	0	.	
21	-1.5	4.2	1.7	1.5	-1.0	736.5	736.0	736.1	96	74	93	E o	E 1	E 1	2	1	0	.	
22	-1.6	4.0	0.6	1.0	-1.6	735.5	734.5	733.1	96	70	92	E o	E 1	E 1	0	1	1	.	
23	-2.0	5.0	1.5	1.5	-1.1	733.3	731.5	731.7	96	63	93	E o	E 1	E o	1	3	0	.	
24	-1.0	6.5	2.5	2.7	0.0	732.0	732.4	732.8	96	**54**	91	E o	E 1	E 1	1	1	3	.	
25	0.2	2.2	1.4	1.3	-1.5	734.8	734.8	734.2	96	85	85	E o	E 1	E 1	10	10	10	.	
26	0.8	2.5	1.2	1.5	-1.4	733.8	733.6	733.8	85	75	85	E 1	NNE 1	E 1	10	10	10	.	
27	1.2	2.8	1.6	1.9	-1.2	732.8	732.2	731.4	88	66	78	E o	NNE 1	E o	10	1	0	.	
28	-1.0	**7.2**	2.0	2.7	-0.5	732.8	732.4	733.6	96	69	89	E o	NNE 1	**E** o	0	0	0	.	
29	-0.6	**7.2**	4.3	3.6	0.4	733.0	731.5	731.3	96	69	90	E o	NNE 1	NE 1	2	10	10	0.0	●tr n (29./1.)
Mittel	-1.3	2.4	0.3	0.5	—	727.9	727.6	728.2	88	72	83				6.6	6.2	6.0	Summe 41.8	

$\lambda = 8°\ 34'$, $\beta = 47°\ 23'$,
$H_b = 569.4$ m, $G = 0.03$ mm

Zürich

Februar 1952
Beobachter: *Meteorol. Zentralanstalt.*

Tag	Lufttemperatur 7³⁰	13³⁰	21³⁰	Mittel	Abweich. vom Normalst	Luftdruck 7³⁰	13³⁰	21³⁰	Relative Feuchtigkeit 7³⁰	13³⁰	21³⁰	Windrichtung und Stärke 7³⁰	13³⁰	21³⁰	Bewölkung 7³⁰	13³⁰	21³⁰	Niederschlag	Witterung
1	−0.5	3.5	−0.4	0.9	2.2	700.1	696.8	**694.8**	81	53	99	SSW 1	SSW 2	WSW 2	5	S	10*	4.9	✳ 3½–3¾, 18½–23½
2	−0.8	−0.7	−1.3	−0.9	0.3	702.3	703.6	703.8	79	90	81	WSW 2	W 1	S 1	10	10*	9	1.1	✳ 4¾–5½, 8¾–10¾, 13–18½
3	−1.3	−0.7	−0.3	−0.8	0.4	701.5	701.9	703.8	83	99	91	SSW 1	SSW 1	SW 1	10*	10*≡	10*	**22.6**	✳ 5–9½, ✳● 9½–17¾, *)
4	−0.9	1.2	−1.5	−0.4	0.7	706.3	709.9	713.5	100	79	99	WNW 1	WSW 1	W 1	10*≡	10	10*≡	15.6	✳ 2½–11, 14¾–15¾, 17¾–21¾, *)
5	−2.3	−1.0	−3.7	−2.3	−1.3	718.5	720.1	723.9	90	80	89	NNW 1	WNW 1	N 0	10	10*≡	10*	2.2	✳ 0¾–1¾, 3¾–4¾, 10¾–10¾, *)
6	−6.7	−1.5	−3.6	−3.9	−3.0	724.6	**724.9**	723.2	93	77	92	WNW 0	WSW 1	W 0	10≡	10*	10	0.3	✳ 13–14, ≡ 7½–8¼, ⌙ I
7	−4.1	0.8	−0.7	−1.3	−0.5	719.9	717.5	713.4	92	72	87	S 1	SSW 1	S 1	10*	10	7	6.1	✳ 5–8¾, 19¾–21
8	0.7	0.5	−1.2	0.0	0.7	705.7	703.6	706.6	96	97	91	SW 2	WSW 2	SW 1	10*	10*	10	12.6	✳ 1¾–16¾, ⌿ 3½
9	−2.1	0.3	−3.2	−1.7	−1.1	707.8	707.6	709.7	88	72	86	SW 2	WSW 2	WSW 2	9	9	10	1.5	✳ 2¾–4¼
10	−3.7	−2.4	−1.8	−2.6	−2.1	711.5	712.3	710.6	80	74	84	SW 2	SW 2	SSW 3	10	10*	10*≡	0.8	✳ 1¾–2¾, 11¾–15, 21–23, *)
11	1.1	2.4	1.9	1.8	2.2	706.8	704.7	701.7	63	76	92	SSW 2	SW 2	SSW 2	10	10	10*●	15.3	✳ 16¾–17¾, ✳● 17¾–21, ⌿ p mU
12	3.7	0.7	−1.7	0.9	1.2	700.5	702.4	705.7	88	98	97	SW 2	W 1	**W** 1	10●	10*	10	16.9	● 0–11¾, ✳ 11¾–16¾, ≡ 14–21
13	−3.8	−2.0	−3.7	−3.2	−3.0	706.3	706.6	707.4	95	85	93	N 1	N 1	N 1	10*	10*	10*	0.8	✳fl n–n mU
14	−5.4	−0.5	−6.8	−4.2	−4.1	707.6	706.1	704.9	92	70	93	ENE 1	NE 1	ENE 1	10	3	8	0.1	
15	−8.0	−3.9	−4.9	−5.6	−5.6	703.2	704.5	708.0	95	78	88	ENE 2	NE 1	N 1	10	10	10	0.7	✳ n (15./16.), ⌙ I
16	−6.5	−3.5	−5.9	−5.3	−5.4	711.1	712.8	715.2	91	72	83	NNE 1	NNE 1	N 1	10	10	10	0.2	✳ 14–p
17	−8.0	0.2	−6.1	−4.6	−4.8	715.3	714.0	713.3	88	55	90	NNE 1	NNE 1	SSE 1	10	2	0	0.0	
18	−6.9	1.1	−4.3	−3.4	−3.7	712.6	712.0	713.6	97	61	80	SSE 1	NE 1	NNE 1	10≡	5	9	0.0	≡ n–8, ⌙ I
19	−5.9	−0.2	−2.3	−2.8	−3.2	714.6	715.2	716.8	92	62	80	NNE 1	ENE 1	SSE 1	10	2	10	0.0	⌙ I
20	−2.4	0.6	0.0	−0.6	−1.1	717.7	718.5	720.2	85	77	90	S 1	S 1	S 0	10	10	10	0.3	✳fl a
21	−0.1	5.4	−0.4	1.6	1.0	721.9	722.0	721.5	95	67	92	SSW 1	SW 1	SSE 1	10	3	0	0.2	
22	−2.8	6.8	0.7	1.6	0.9	720.3	719.6	718.4	100	57	85	SSW 1	SSW 1	SW 0	10≡	1	0	0.1	≡ n–11½, ⌙ I
23	−4.6	6.9	0.8	1.0	0.2	717.2	716.9	716.9	99	55	78	ENE 1	SSW 1	S 1	2	1	0	.	≡ 7–7½, 7¾–9½, ⌙ I
24	−5.5	4.8	−1.7	−0.8	−1.7	717.8	718.0	719.1	100	57	90	E 0	ENE 0	NE 1	10≡	0	0	0.1	≡ n–10¼
25	−1.9	0.2	−1.7	−1.1	−2.1	720.4	720.2	719.6	93	75	88	S 1	ENE 1	S 1	10	10	10	.	
26	−2.3	0.6	−2.1	−1.3	−2.4	719.1	719.0	718.4	94	77	93	SSW 1	SSW 1	S 1	10	10	0	0.0	
27	−3.3	3.5	−0.4	−0.1	−1.3	717.4	717.4	717.6	100	65	84	WSW 1	S 1	**S** 1	10≡	3	0	0.1	≡ n–12, ⌙ I
28	−3.6	**7.2**	1.5	1.7	0.4	718.5	718.6	718.6	95	**52**	75	ENE 0	S 1	SSW 0	2	0	0	0.0	⌙ I
29	−1.1	4.8	1.7	1.8	0.4	717.3	716.6	716.6	86	59	88	SW 0	WSW 1	WSW 2	10	10	10*●	3.8	✳● 19½–24½, ⌙ I
Mittel	−3.1	1.2	−1.8	−1.2	—	712.5	712.5	713.0	91	72	88				9.2	7.1	7.0	Summe 106.3	

*) **3.** ✳ 19½–21½ mU, ≡ a–p mU **4.** ≡ n–n mU **5.** 13–16¾, 21½, ≡ a–p mU **10.** ≡ ⌿ p–n

$\lambda = 6°\ 32'$, $\beta = 46°\ 51'$
$H_b = 1589$ m, $G = -0{,}13$ mm

Chasseron

Februar 1952
Beobachter: *R. Colomb, Ch. H. Martin*

Tag	Lufttemperatur 7³⁰	13³⁰	21³⁰	Mittel	Abweich. vom Normalst	Luftdruck 7³⁰	13³⁰	21³⁰	Relative Feuchtigkeit 7³⁰	13³⁰	21³⁰	Windrichtung und Stärke 7³⁰	13³⁰	21³⁰	Bewölkung 7³⁰	13³⁰	21³⁰	Niederschlag	Witterung
1	−8.4	−8.3	−6.0	−7.6	—	614.8	612.1	**609.2**	100	100	100	W 3	SSE 3	W 4	10≡	10≡	10*≡	8.1	✳ n–7, 13¾–n, ≡ n–9½, 12¾–n, *)
2	−8.3	−6.7	−8.2	−7.7	—	617.1	618.5	618.5	100	99	90	WNW 3	W 2	WSW 3	10≡	10	9	3.0	✳ 9½–11 mU, ≡ n–13, ⌿ n–n mU
3	−5.7	−5.8	−6.2	−5.8	—	616.3	617.3	618.4	100	100	100	WSW 4	W 4	**W** 4	10*≡	10*≡	10*≡	**12.1**	✳ ≡ ⌿ n–n
4	−7.6	−8.0	−8.6	−8.1	—	619.9	623.8	626.4	100	100	100	WNW 4	WNW 3	NW 3	10*≡	10*≡	10*≡	7.0	✳ ≡ ⌿ n–n
5	−9.3	−7.7	−10.5	−9.2	—	630.7	632.6	633.8	100	100	85	NNW 2	N 1	NE 3	10	10	2	0.8	✳ 14–17 mU, ≡ n–9, 9–14 mU, [⌿ III
6	−12.0	−8.9	−8.8	−9.9	—	634.7	**635.8**	634.7	84	90	98	ENE 3	ENE 3	NE 2	2	10	S	.	⌿ n–p
7	−6.0	−1.8	−3.0	−3.6	—	632.4	630.9	628.7	98	100	100	NNW 1	NW 2	NW 2	10	10≡	10≡	2.5	✳ n (7./8.), ≡ 7½–n
8	−5.2	−5.0	−9.0	−6.4	—	621.5	619.8	621.5	100	100	95	W 4	W 4	NW 3	10*≡	10*≡	10*≡	5.6	✳ ≡ ⌿ n–n
9	−9.0	−9.2	−10.0	−9.4	—	622.0	622.1	625.0	90	90	90	W 3	NW 3	NNW 3	10*≡	10*≡	10*≡	6.5	✳ ≡ ⌿ n–n
10	−12.0	−4.0	−3.0	−6.3	—	625.6	620.7	619.0	90	95	100	NNW 3	WSW 3	W 4	10*≡	10⌐	10≡	2.5	✳ a, ⌖ a–n, ≡⌿ n–n
11	−7.0	−4.0	−13.0	−8.0	—	622.0	620.7	619.0	95	95	100	W 3	WSW 3	W 4	10≡	10	10*≡	3.0	✳ 17½–n, ≡ n–a, p–n, ⌖ a–p,
12	−2.0	−4.0	−6.0	−4.0	—	617.3	617.7	618.5	100	95	95	W 4	W 3	ENE 2	10*≡	10*≡	10≡	6.0	✳ ⌿ n–20½, ≡ n–n [⌿ n–a
13	−14.0	−8.0	−12.0	−11.3	—	620.4	619.3	620.5	90	90	85	NE 2	E 2	SSE 2	0	7	4	.	
14	−14.0	−5.0	−12.0	−10.3	—	620.4	619.3	618.1	84	92	85	NNE 2	WSW 1	SSE 2	4	6	3	.	
15	−9.0	−5.0	−10.0	−8.0	—	616.2	617.8	619.2	55	30	90	SE 3	SE 3	**E** 4	7	8	10≡	.	≡ 19½–n, ⌿ n–n
16	−11.4	−10.0	−14.0	−11.8	—	622.0	624.5	626.1	50	95	95	E 3	NNE 3	ENE 3	5	10≡	3	.	≡ a–p, ⌿ n–n
17	−11.4	−10.0	−10.0	−10.5	—	626.9	627.0	625.5	50	75	55	NE 3	NE 3	NE 2	5	2	4	.	⌿ n–p
18	−9.2	−6.0	−9.0	−8.1	—	624.8	625.0	625.5	45	75	90	NE 2	NE 2	ENE 3	4	5	8	.	⌿ p–n
19	−11.8	−7.8	−7.8	−9.1	—	626.3	627.3	627.0	93	95	95	NE 3	NE 2	NNW 0	10≡	1	3	.	≡ ⌿ n–a
20	−5.8	−5.3	−2.8	−4.6	—	630.1	630.7	632.8	95	96	67	NNE 2	**NNE** 2	NNE 2	10≡	10≡	9	.	≡ n–p
21	−1.6	0.4	3.2	0.7	—	634.4	635.6	635.4	80	48	**16**	NE 1	NE 1	NE 1	4	S	1	.	
22	2.0	**5.0**	3.2	3.4	—	634.7	634.8	634.0	43	39	35	E 3	**S** 2	W 2	**5**	1	1	.	⌿ I
23	2.6	4.9	3.0	3.5	—	632.3	632.6	632.3	35	37	39	ENE 2	E 1	E 2	**5**	1	1	.	
24	0.7	3.2	0.0	1.3	—	632.1	632.6	632.8	49	39	37	E 2	E 2	E 2	**2**	1	1	.	
25	0.0	3.0	2.0	1.7	—	633.2	633.7	633.3	50	38	41	S 2	W 1	SW 1	1	1	1	.	
26	0.8	2.2	−0.4	0.9	—	632.4	632.5	632.3	38	39	49	SW 1	W 1	W 1	1	1	1	.	
27	−2.6	−1.8	−1.4	−1.9	—	630.8	630.9	631.1	46	60	44	E 1	E 2	E 3	5	**2**	1	.	⌿ III
28	−1.4	1.2	1.4	0.4	—	631.0	633.4	633.5	68	69	54	E 3	E 1	E 2	1	1	1	.	⌿ I
29	−0.6	−0.8	−2.8	−1.4	—	632.6	631.9	631.2	69	94	90	NNW 1	W 3	**W** 3	9	10	10	.	⌿ a–n
Mittel	−6.2	−3.9	−5.6	−5.2	—	626.0	626.2	626.3	76	78	77				6.5	6.7	5.9	Summe 57.1	

*) **1.** ⌿ n–n

Februar 1952
Beobachter: *B. Minsch und C. Clavuot*

Bever

$\lambda = 9° 53'$, $\beta = 46° 33'$,
$H_b = 1711.8$ m, $G = -0.23$ mm

Tag	Lufttemperatur					Luftdruck			Relative Feuchtigkeit			Windrichtung und Stärke			Bewölkung			Niederschlag	Witterung
	7^{30}	13^{30}	21^{30}	Mittel	Abweich. vom Normalst	7^{30}	13^{30}	21^{30}	7^{30}	13^{30}	21^{30}	7^{30}	13^{30}	21^{30}	7^{30}	13^{30}	21^{30}		
1	-6.0	-4.6	-9.3	-6.6	2.3	605.3	604.7	**602.7**	78	40	66	NE 1	W 1	SW 0	9	8	10	1.6	✳ a, n (1./2.)
2	-8.4	-6.3	-13.9	-9.5	-0.7	606.3	608.0	609.7	79	54	73	NE 0	NE 2	S 0	10	10	4	.	
3	-18.1	-7.4	-7.8	-11.1	-2.4	608.6	608.0	609.2	89	77	87	SW 0	NW 0	NE 0	7	10	10	2.5	✳ n (3./4.), ⌙ I
4	-10.0	-3.9	-11.8	-8.6	0.0	610.1	612.2	616.0	99	42	81	S 0	NE 1	SW 0	10	10	10	1.2	✳ 14¾-16, ⌙ III
5	-9.0	-6.8	-10.2	-8.7	-0.2	618.7	621.1	623.9	60	48	75	SE 2	NE 1	N 2	10	10	10*	0.6	✳ 21-n
6	-22.0	-7.2	-19.0	-16.1	-7.7	624.8	624.2	624.1	85	39	61	SW 0	NE 2	S 0	0	0	0	.	⌙ I, III
7	-19.8	-3.2	-12.0	-11.7	-3.4	622.9	620.5	618.8	77	53	87	NW 0	N 1	SW 0	5	6	0	.	⌙ I, III
8	-10.8	-1.8	-8.2	-6.9	1.3	611.3	607.6	609.5	90	60	84	SW 1	N 0	NE 1	10	9	9*	1.8	✳ 14-n
9	-9.4	-5.7	-10.8	-8.6	-0.5	610.4	610.3	612.2	75	60	81	NE 0	E 0	E 0	10	9	8	1.8	✳ n (9./10.)
10	-11.8	-8.6	-10.1	-10.2	-2.2	613.0	614.9	614.8	79	29	80	SW 1	SW 3	NE 1	10*	10	6	1.2	✳ n-a, ⸝ ┼ a-p
11	-7.9	-1.9	-3.8	-4.5	3.4	612.6	611.5	610.4	76	48	65	SW 0	W 0	SW 0	10	7	6	.	
12	-4.7	-0.3	-2.5	-2.5	5.3	609.8	608.7	609.3	90	79	87	SW 1	SW 2	SW 1	8	8	7	1.2	✳ n (12./13.)
13	-5.8	-5.6	-8.2	-6.5	1.2	609.9	609.9	610.7	99	92	98	NE 0	NE 1	NE 0	10*	10	10*	**5.5**	✳ n-9, 16-n
14	-9.1	-7.0	-18.6	-11.6	-4.0	609.7	609.2	609.9	94	72	89	NNE 0	N 1	S 0	10*	10*	2	1.3	✳ n-16, ≡ 22-n, ⌙ III
15	-21.1	-6.2	-17.8	-15.0	-7.4	609.7	609.0	611.2	94	53	83	S 0	S 0	NE 0	8	9	6	.	⌙ I
16	-21.2	-4.7	-13.4	-13.1	-5.6	613.3	614.0	616.3	93	51	69	NE 0	NE 1	E 1	4	6	4	.	⌙ I, III
17	-22.8	-5.4	-14.4	-14.2	-6.8	616.6	615.6	616.3	96	50	75	S 0	NE 1	NE 0	0	1	0	.	⌙ I, III
18	**-23.4**	-8.0	-11.0	-14.1	-6.8	615.8	614.7	616.6	95	60	75	S 0	NE 0	N 0	0	9	5	.	⌙ V I, ⌙ III
19	-22.9	-6.9	-12.8	-14.2	-7.0	618.1	617.6	619.6	93	60	68	SW 0	SW 0	SW 0	0	0	0	.	⌙ V I, ⌙ III
20	-11.0	-0.2	-1.6	-4.3	2.8	620.1	620.7	622.6	87	51	53	SW 0	W 1	N 3	9	8	5	.	⸝ p-n
21	-4.0	2.6	-7.3	-2.9	4.1	624.2	625.9	**626.9**	82	42	81	S 0	NW 1	SW 0	10	9	0	.	
22	-12.4	3.4	-7.0	-5.3	1.6	626.6	625.4	625.7	99	54	83	SW 0	SW 0	NW 0	0	1	0	.	
23	-14.2	3.7	-11.8	-7.4	-0.6	624.9	623.7	624.3	99	47	78	SW 0	SW 0	S 0	0	0	0	.	⌙ I, III
24	-18.3	4.4	-11.4	-8.4	-1.7	624.1	623.8	625.4	91	36	70	S 0	S 0	SW 0	1	0	0	.	⌙ III
25	-17.6	2.8	-12.1	-9.0	-2.4	625.9	624.4	625.3	91	40	70	SW 0	SW 0	SW 0	0	0	0	.	⌙ I, III
26	-17.3	0.8	-12.4	-9.6	-3.1	624.4	623.2	623.4	93	41	74	SW 0	S 0	SW 0	0	0	0	.	⌙ I, III
27	-14.3	2.2	-8.9	-7.0	-0.6	621.5	620.9	622.4	91	34	74	SW 0	W 2	S 0	2	2	0	.	⌙ I, III
28	-13.8	3.0	-7.9	-6.2	0.1	623.2	623.0	624.3	99	47	66	S 0	NW 1	SW 0	1	0	0	.	⌙ V I
29	-14.2	**4.8**	-2.3	-3.9	2.4	623.7	620.7	620.3	90	**26**	90	SW 0	N 1	SW 2	0	10	10*	0.7	✳ 21-n, ┼ 15½-n
Mittel	-13.8	-2.5	-10.3	-8.9	—	616.7	616.3	617.3	88	51	77				5.3	5.9	4.2	Summe 19.4	

Februar 1952
Beobachter: *Couvent des Capucins.*

Sion

$\lambda = 7° 21'$, $\beta = 46° 14'$,
$H_b = 548.6$ m, $G = -0.11$ mm.

Tag																			
1	0.7	3.9	-0.3	1.4	1.1	702.8	701.7	**699.5**	93	60	100	SSE 0	ESE 0	SE 0	8	10	10	6.6	✳ 4-4¾, 16-20¾, 22-22½
2	-0.7	3.1	-0.2	0.7	0.3	700.2	706.6	706.7	73	53	67	W 1	WSW 1	WNW 0	10	4	10	.	
3	-1.2	2.1	0.8	0.6	0.1	705.7	706.0	707.6	97	78	90	ENE 0	ESE 0	WNW 2	10*	10	10	4.8	✳ 7½-13, 23½-2¾, ✳fl p
4	0.0	3.5	-1.0	0.8	0.2	708.8	712.1	715.1	100	52	99	WNW 1	WNW 2	WSW 1	10	9	10	2.2	✳ 13¾-21¾, 8-10½, ≡ a
5	-0.6	2.5	-1.5	0.1	-0.6	718.6	720.4	722.7	62	53	72	WSW 3	WNW 2	NW 1	10	9	4	.	
6	-7.9	-3.0	-5.5	-5.5	-6.3	**726.2**	724.9	724.0	65	52	65	NE 2	NE 0	NE 1	0	7	3	.	
7	-7.0	0.1	-3.5	-3.5	-4.4	723.0	719.8	717.7	80	53	67	ENE 1	ENE 0	ENE 1	9	7	0	0.4	
8	-3.8	-1.1	-0.4	-1.8	2.8	711.1	707.3	709.6	100	94	69	ENE 0	ENE 0	W 3	10*	10*	5	6.2	✳ 7-14, 15½-17¾
9	-1.3	1.2	-2.0	-0.7	-1.8	711.3	711.4	713.5	83	73	80	WSW 3	S 1	NW 1	10*	7	9	0.8	✳ 7½-9¾, 12¾
10	-1.5	1.0	-1.2	-0.6	-1.8	715.4	715.7	715.5	55	50	70	NW 1	WSW 1	W 0	10	10	10	0.0	
11	-1.6	2.8	1.1	0.8	-0.5	712.4	709.6	707.9	75	58	100	NW 1	NW 0	ENE 0	10	10	10●	7.4	△ 7-7½, ● 19-24
12	1.9	4.9	1.9	2.9	1.5	705.7	705.7	706.3	100	92	100	E 0	ENE 0	WSW 2	10●	10	10●	7.0	● 0-9¾ inf., 16-n
13	-0.8	1.8	-1.1	0.0	-1.5	708.1	708.6	709.2	98	79	81	WNW 0	WSW 1	W 0	10	10*	10	2.0	● n-6, ✳ 7½-7¾, ✳fl p, 24-2¾
14	-3.1	1.2	-4.5	-2.1	-3.7	709.0	708.2	707.9	83	63	75	NW 1	WNW 0	NNW 2	6	4	0	.	
15	-7.1	0.1	-3.8	-3.6	-5.3	705.8	705.8	709.1	84	74	80	SW 1	WSW 1	WSW 0	10	8	6	.	
16	-4.0	0.2	-2.2	-2.0	-3.8	712.8	713.8	715.1	70	51	74	WSW 1	WSW 0	WSW 2	10	7	10	0.0	✳fl 8-9
17	-4.4	0.2	-4.7	-3.0	-4.9	716.0	714.9	714.7	95	63	75	WSW 0	W 0	WNW 1	10*	4	0	0.0	✳fl 7¾-7¾
18	**-9.4**	-1.4	-3.1	-4.6	-6.6	714.9	713.7	714.4	88	55	65	NE 0	NE 0	**NE** 0	0	0	5	.	
19	-8.0	-0.4	-3.8	-4.1	-6.3	716.1	716.6	719.0	86	56	72	ENE 1	ENE 0	**NNE** 1	0	0	0	.	
20	-7.0	0.4	-1.3	-2.6	-4.9	720.0	719.5	721.4	87	56	72	NE 0	ENE 0	**ENE** 1	1	0	0	.	
21	-4.8	3.9	0.3	-0.2	-2.6	724.4	723.1	723.6	91	54	75	ENE 1	ENE 1	ENE 0	2	0	0	.	
22	-2.6	7.0	3.2	2.5	0.0	725.3	721.2	720.8	95	49	68	ENE 1	ENE 1	ENE 0	1	0	0	.	
23	-1.6	**8.0**	4.1	3.5	0.9	720.5	718.4	719.5	89	**44**	62	ENE 1	ENE 1	ENE 0	1	1	0	.	
24	-1.5	6.8	1.8	2.4	-0.3	720.1	718.7	721.0	80	46	72	E 0	E 0	NNE 0	0	0	0	.	
25	-2.3	4.5	-0.6	0.5	-2.3	722.0	720.6	721.9	80	56	94	NNE 0	WSW 1	WSW 0	0	0	0	.	
26	-3.5	4.4	-0.7	0.1	-2.9	721.2	719.7	720.7	100	59	92	WSW 0	WSW 1	WSW 0	0	0	0	.	
27	-2.7	3.3	0.0	0.2	-2.9	719.2	718.1	719.4	99	68	85	WSW 0	WSW 1	WSW 0	3	1	0	.	
28	-3.2	6.2	1.7	1.6	-1.6	720.3	719.3	721.0	93	45	67	SW 1	WSW 1	WSW 1	0	0	0	.	
29	-1.0	6.4	4.0	3.1	-0.1	720.5	718.3	718.1	80	50	70	SW 0	WSW 1	WSW 1	3	9	10	.	
Mittel	-3.1	2.5	-0.8	-0.5	—	715.0	714.5	715.3	86	60	78				5.7	5.1	4.6	37.4	

$\lambda = 8°\,57'$, $\beta = 46°\,0'$,
$H_b = 276.2$ m, $G = -0.01$ mm.

Lugano

Februar 1952
Beobachter: *G. Vicari.*

Tag	Lufttemperatur					Luftdruck			Relative Feuchtigkeit			Windrichtung und Stärke			Bewölkung			Niederschlag	Witterung
	7^{30}	13^{30}	21^{30}	Mittel	Abweich. vom Normalst.	7^{30}	13^{30}	21^{30}	7^{30}	13^{30}	21^{30}	7^{30}	13^{30}	21^{30}	7^{30}	13^{30}	21^{30}		
1	-4.0	8.0	2.2	2.1	0.0	723.2	721.1	**720.2**	89	33	55	N 1	N 1	E 1	9	0	10	.	⌊ l, ⌿ 13¾–15¾ ✳
2	0.8	10.2	1.6	4.2	2.0	724.3	725.8	728.2	40	14	23	E 1	N 2	N 1	1	0	0	.	⌊ l, ⌿ 9–19½ ✳
3	-2.2	6.8	-0.2	1.5	-0.7	728.5	728.2	728.7	43	28	44	N 1	ESE 1	W 1	0	4	4	.	⌊ l ✳
4	-1.4	7.2	3.4	3.1	0.8	729.6	731.4	735.8	60	29	25	N 1	NNE 2	N 1	3	8	0	.	⌊ l, ⌿ 12½–18 ✳
5	3.2	8.2	2.2	4.5	2.1	739.0	741.0	743.5	25	19	22	NNE 2	N 2	N 2	0	0	0	.	⌿ 5½–n ✳
6	1.2	9.4	1.2	3.9	1.4	745.5	745.6	745.6	21	12	25	N 1	N 2	N 1	0	0	0	.	⌿ n–20 ✳
7	-2.2	8.2	1.0	2.3	-0.2	742.6	739.4	736.9	41	24	29	N 1	SSE 1	SE 1	9	0	7	.	⌊ l ✳
8	-1.8	8.4	4.4	3.7	1.1	731.6	726.9	727.9	55	32	28	N 1	SE 1	NNE 2	10	1	1	.	⌊ l, ⌿ 18½–n ✳
9	1.2	7.8	1.8	3.6	0.9	729.4	730.2	733.5	35	17	26	NNW 1	N 2	N 1	0	6	1	.	⌿ n–20 ✳
10	-1.8	9.2	1.2	2.9	0.1	735.7	735.4	736.3	46	17	37	NW 1	N 2	WNW 1	9	1	0	.	⌊ l, ⌿ 10–15 ✳
11	-2.8	9.4	3.2	3.3	0.4	734.3	732.5	731.7	45	29	62	N 1	W 1	NW 1	1	1	3	.	⌊ l ✳
12	2.4	5.0	3.0	3.5	0.5	729.7	729.1	728.6	68	55	77	N 1	NE 1	W 1	10	10	8	.	✳
13	2.8	5.6	3.8	4.1	1.0	728.3	728.5	728.9	88	66	93	N 1	E 1	— 0	10	10	10•	8.2	● 19–n ✳
14	2.2	6.2	-0.4	2.7	-0.5	727.0	726.3	726.9	97	44	81	SE 1	SE 1	N 1	10	9	3	.	✳
15	-1.8	6.2	2.8	2.4	-0.9	728.1	728.3	730.1	68	34	82	N 1	SSE 1	— 0	10	9	9	.	⌊ l ✳
16	-1.6	8.2	3.2	3.3	0.0	732.5	732.8	734.2	74	34	51	NW 1	S 1	E 1	2	3	0	.	⌊ l ✳
17	1.4	9.8	1.6	4.3	0.9	734.8	734.1	735.3	31	29	61	SSE 1	S 1	NNW 1	0	0	0	.	⌊ l ✳
18	-2.4	7.4	1.8	2.3	1.2	736.2	735.6	736.8	58	43	68	N 1	S 1	NNW 1	0	1	10	.	⌊ l ✳
19	-1.8	8.4	1.2	2.6	1.0	738.7	738.7	738.9	74	32	70	N 1	SSE 1	N 1	1	0	10	.	⋁ l ✳
20	-1.6	9.4	2.6	3.5	0.3	737.9	738.1	739.7	79	41	63	N 1	S 1	N 1	1	1	4	.	⌊ l ✳
21	3.2	12.2	4.2	6.5	2.6	742.3	742.6	**745.7**	58	30	82	N 1	S 1	NE 1	9	7	4	.	⌿ 10–13 ✳
22	0.2	11.6	4.8	5.5	1.5	745.1	743.4	742.9	90	43	66	E 1	SSE 1	NNW 1	10	0	3	.	✳
23	0.2	10.6	4.8	5.2	1.0	742.9	741.7	742.5	93	47	75	N 1	E 1	NNE 1	0	0	0	.	✳
24	0.4	10.2	4.8	5.1	0.8	742.7	742.4	743.5	93	48	66	N 1	S 1	N 1	1	0	0	.	≡ 9–11 ✳
25	1.4	**13.2**	5.2	6.6	2.2	745.1	743.9	744.0	79	31	68	N 1	S 1	NNW 1	0	0	0	.	✳
26	0.6	12.2	4.4	5.7	1.1	744.9	743.4	742.9	85	49	80	N 1	S 1	W 1	1	0	3	.	✳
27	2.2	12.4	5.2	6.6	1.9	740.4	738.3	738.6	89	42	75	N 1	S 1	E 1	9	0	0	.	✳
28	1.0	12.4	4.8	6.1	1.2	740.6	741.1	742.2	98	49	81	N 1	S 1	NNW 1	1	0	0	.	✳
29	2.4	11.8	6.6	6.9	2.0	742.5	739.2	736.8	82	46	71	N 1	SSE 1	**NNE** 2	10	10	0	.	⌿ 21–n ✳
																		Summe	
Mittel	0.0	9.2	3.0	4.1	—	736.0	735.3	736.1	66	35	58				4.4	2.8	3.1	8.2	

$\lambda = 7°\,35'$, $\beta = 47°\,33'$,
$H_b = 317.3$ m, $G = 0.11$ mm.

Basel

Februar 1952
Beobachter: *Astronom.-Meteorol. Anstalt.*

1	0.0	4.1	1.6	1.9	1.7	722.2	718.6	**716.9**	85	47	73	WSW 1	WSW 2	WSW 2	2	9	10	2.2	✳ 18–19, ⌿ 22½, ∾ l ✳
2	0.8	1.5	-0.5	0.6	0.3	725.8	726.3	726.2	87	92	94	SW 1	W 0	ESE 1	10	10	10	1.5	✳ 10–13¾ ✳
3	-0.6	0.6	1.9	0.6	0.3	723.9	724.6	726.2	94	96	84	E 1	WNW 1	**W** 1	10	10*	10	**14.0**	✳ 6¾–7½, 8½–15½ ✳
4	0.2	1.3	-0.2	0.4	0.0	729.0	733.0	736.2	94	85	96	NW 1	**W** 1	WNW 0	10*	10	10	4.7	✳ 0–8¼, 11¾–12½, 20½–23½ mU ✳
5	-1.0	-0.2	-4.0	-1.7	-1.2	742.1	744.0	747.3	96	96	95	NW 1	NW 1	NW 0	10	10*	4	1.9	✳ 11½–14 mU ✳
6	-7.9	-1.7	-2.3	-4.0	-4.5	748.3	**748.4**	746.4	97	80	94	E 1	**E** 0	E 1	9	10	10	0.0	⌊ ⋁ l ✳
7	-2.8	1.2	0.6	-0.3	-0.9	742.6	739.9	736.2	96	73	92	ESE 1	E 1	SE 1	10	10	9	4.7	✳ 15½–15¾, ● 17¾–18 ✳
8	2.1	2.1	1.1	1.8	1.1	728.7	727.0	729.7	94	87	75	WSW 1	W 2	WSW 1	10•	10	10	0.9	● 0¾–11¾ mU, ✳ ● 12¾–13¾, ✳
9	-0.5	0.1	-1.2	-0.5	-1.2	730.9	731.1	733.1	81	79	80	WSW 1	W 1	WNW 1	9	10	10	0.0	✳ fl p [✳ 13¾–14¾ ✳
10	-1.6	0.4	1.9	0.2	-0.6	734.4	734.9	733.6	74	66	67	W 1	WSW 1	W 3	10	10	10	0.0	∾ l ✳
11	3.3	5.4	1.5	3.4	2.5	729.7	727.5	723.6	63	59	94	SW 2	WSW 1	E 1	10	10	10	8.4	● 16½–n mU, ∾ l ✳
12	4.8	-1.0	-2.0	0.6	-0.4	722.6	726.0	729.1	84	96	96	WSW 1	NW 1	**W** 1	10•	10*	10	9.3	● n–10¼, ✳ 10½–15 ✳
13	-2.7	-0.2	-6.1	-3.0	-4.0	729.6	730.2	730.7	96	89	95	NW 0	NW 1	W 1	10*	10*	7	0.0	✳ 7½–11, ✳ fl 12¾–15½, ✳
14	-6.5	1.1	-4.2	-3.2	-4.3	731.0	729.2	727.5	97	65	81	S 1	E 1	E 1	10	0	0	.	≡ n–6 [≡ 22½–n ✳
15	-5.7	-4.1	-4.2	-4.7	-5.9	726.5	728.0	732.0	90	82	93	N 1	NW 1	NW 1	6	9	10	.	✳
16	-6.9	-2.4	-4.8	-4.7	-2.0	734.7	736.4	736.5	94	71	90	NW 1	WNW 1	SW 1	10	10	10	.	✳
17	-8.7	3.1	-2.5	-2.7	-4.0	738.3	737.1	736.5	97	**46**	77	SE 0	SW 0	E 0	8	0	10	.	✳
18	-4.0	2.4	-0.8	-0.8	-2.2	735.3	735.0	736.8	87	50	77	E 1	E 1	WNW 1	10	8	10	.	✳
19	-2.6	2.4	-1.3	-0.5	-2.0	737.9	738.5	739.6	94	65	82	E 0	NW 0	**S** 1	10	7	10	.	✳
20	-0.9	3.0	1.2	1.1	-0.5	740.4	741.7	743.0	80	68	94	E 1	SE 0	**SW** 1	10	10	10	.	✳
21	1.1	7.0	1.0	3.0	1.4	744.5	744.7	743.9	90	57	92	S 0	NW 0	S 1	10	7	0	.	✳
22	-2.3	5.9	1.0	1.5	-0.2	742.5	741.8	740.8	100	63	87	E 1	E 1	E 1	3	0	0	.	⌊ l
23	-3.4	2.6	-0.8	-0.5	-2.3	739.9	739.7	740.1	100	79	96	E 1	NNW 1	NNW 0	0	0	10≡	.	≡ 7¾–10½, 17½–n, ⌊ l
24	-1.8	-0.1	-0.3	-0.7	-2.6	740.5	741.3	742.3	98	98	96	NW 0	NW 1	SW 1	10≡	10	10	.	≡ n–10
25	-0.9	4.4	-0.4	1.0	-1.0	742.9	742.5	742.1	90	65	96	NW 1	ESE 1	E 0	10	6	0	.	
26	-0.8	5.8	1.3	2.1	0.0	741.4	741.2	740.8	96	63	94	N 0	ESE 1	SE 1	10	1	0	.	⌊ l
27	-2.9	7.4	2.2	2.2	0.0	740.3	740.0	740.5	94	53	84	E 1	NNE 1	ESE 1	4	1	0	.	⌊ l
28	-2.5	**8.6**	2.2	2.8	0.5	741.4	741.5	741.3	96	56	87	E 1	NE 1	S 1	0	0	0	.	⌊ l
29	-1.8	7.2	3.9	3.1	0.7	739.9	739.3	739.4	100	64	93	SE 1	WNW 1	WNW 1	10≡	10	10•	1.0	● 19, 20½–22¼, ≡ 4–10
																		Summe	
Mittel	-1.9	2.3	-0.5	0.0	—	735.4	735.5	735.9	91	72	88				8.3	7.2	7.2	48.6	

Februar 1952
Beobachter: *Observatorium.*

Säntis

$\lambda = 9° 20'$, $\beta = 47° 15'$,
$H_b = 2500.1$ m, $G = -0.27$ mm.

Tag	Lufttemperatur 7³⁰	13³⁰	21³⁰	Mittel	Abweich. vom Normalst	Luftdruck 7³⁰	13³⁰	21³⁰	Relative Feuchtigkeit 7³⁰	13³⁰	21³⁰	Windrichtung und Stärke 7³⁰	13³⁰	21³⁰	Bewölkung 7³⁰	13³⁰	21³⁰	Niederschlag	Witterung
1	-14.4	-14.0	-12.4	-13.6	-4.5	545.7	544.5	**541.8**	96	85	98	WNW 3	SW 3	W 4	10≡*	8	10≡*	7.6	✳ n-10½, 19½-n, ≡n-11½, 19-n, *)
2	-14.7	-14.7	-15.4	-14.9	-5.8	546.7	548.4	548.9	98	98	93	W 3	W 3	W 3	10≡*	10≡*	10≡	7.7	✳ n-10, 12-19¾, ≡ n-n, ⋁ II
3	-12.4	-11.2	-13.2	-12.3	-3.1	547.4	547.5	549.3	96	97	96	WNW 3	WNW 4	W 3	10≡*	10≡*	10≡*	**29.9**	✳ 6¾-8, 9¾-n, ≡ ⫩ n-n, ⌒ II,
4	-14.1	-14.2	-15.4	-14.6	-5.4	550.4	553.1	556.1	93	91	90	N 2	N 2	NE 2	10≡*	10≡*	10≡*	16.0	✳ ≡ n-n [⋁ p
5	-16.4	-14.0	-18.0	-16.1	-6.9	559.3	561.0	563.2	91	88	89	NNE 2	N 2	NE 2	10≡*	10≡	10≡*	7.5	✳ n-9¾, fl 11-12, 13¾-n, ≡ n-n
6	**-18.7**	-17.1	-15.4	-17.1	-7.9	563.5	564.2	563.6	92	68	92	NNE 3	N 3	N 3	1	6	7	0.0	✳ 18-18¾, ≡ 9¾-12, 15-20½,
7	-9.4	-6.8	-9.4	-8.5	0.7	562.3	561.7	558.4	95	95	96	NNW 2	NNW 2	WSW 3	8≡	10≡	10●	15.8	✳ 8-8½, ≡ n-n [⫩ 8-12
8	-10.2	-11.2	-15.4	-12.3	-3.1	551.5	548.9	550.6	97	96	95	W 4	W 4	WNW 3	10≡*	10≡*	10≡*	25.8	✳ ≡ n-n, ⫩ ⌒ n-16, ⋁ I
9	-16.0	-15.3	-17.2	-16.2	-7.0	550.9	550.7	551.6	93	92	89	W 2	WNW 3	**W** 3	10≡*	10≡*	10≡*	12.2	✳ ≡ n-n, ⫩ 12-n
10	-18.1	-17.4	-14.6	-16.7	-7.5	552.1	553.0	552.9	92	93	92	W 4	WSW 4	**W** 5	10≡*	10≡*	10≡	3.3	✳ 6½-15½, ≡⫩ ⌒ n-n, ⌒ III
11	-10.6	-7.2	-6.8	-8.2	1.0	551.5	550.9	549.5	93	97	98	WSW 5	W 5	W 5	10≡	10≡	10≡	1.7	≡ ⌒ n-n, ⋁ p
12	-6.7	-8.0	-12.1	-8.9	0.3	548.5	549.1	550.6	100	100	94	WSW 5	NW 4	W 3	10≡	10≡*	10≡	29.8	✳ n-20 mU, ≡⫩ n-n, ⌒ II, ⌒ I,
13	-12.4	-11.7	-14.4	-12.8	-3.6	550.3	550.6	550.9	100	100	97	W 3	W 3	W 2	10≡	10≡	10≡	2.8	✳ fl 14-16, 17-19½, ≡ 6¾-n [⋁ p
14	-16.0	-13.1	-15.7	-14.9	-5.8	550.0	549.4	549.4	94	97	52	WSW 2	SW 1	W 2	10≡*	9	2	1.3	✳ n-9. ≡ n-9½
15	-12.2	-9.3	-11.0	-10.8	-1.7	549.0	549.7	551.5	78	34	98	SSW 1	NE 2	NE 3	10	10	4	.	
16	-16.0	-14.0	-17.3	-15.8	-6.7	552.7	554.4	556.0	94	94	95	NE 3	NNE 3	N 3	10≡	10≡	10≡	0.6	✳ 17¾-n mU, ≡ n-8½, 12-n, ⋁ I
17	-16.4	-14.4	-15.7	-15.5	-6.5	555.8	555.9	555.6	94	93	90	NNE 2	NE 2	NNE 2	10≡	4	1	.	≡ n-12, ⋁ a
18	-15.3	-14.2	-15.3	-14.9	-5.9	554.8	555.1	556.1	90	90	91	NNE 2	NNE 2	NNE 2	4	3	10≡*	0.4	✳ 16-n mU. ≡ 15¼-n
19	-15.3	-12.0	-11.7	-13.0	-4.0	556.6	557.9	559.5	81	68	80	ENE 2	NNE 1	N 3	1	1	10	.	
20	-11.5	-9.4	-8.2	-9.7	-0.8	560.3	561.8	563.8	100	91	95	N 3	NNW 2	N 3	10≡	9	10≡	1.4	✳ 8¾-9¼, 15¾-17, ≡ n-n mU, ⋁ I
21	-9.0	-6.4	-4.2	-6.5	2.4	564.7	566.5	**567.4**	91	92	89	WNW 2	SW 2	N 2	10	10	0	.	≡ 8½-12½
22	-4.1	**-2.4**	-3.4	-3.3	5.5	567.0	567.0	566.3	79	80	73	NNW 2	NW 2	NW 1	3	1	0	.	
23	-4.6	-2.9	-5.7	-4.4	4.4	564.9	564.9	564.8	64	54	72	NNW 2	ESE 1	NE 2	2	1	0	.	
24	-5.4	-3.4	-5.4	-4.7	4.0	564.2	564.6	565.3	37	47	47	NE 3	ENE 2	ENE 3	1	1	0	.	
25	-3.4	-3.5	-6.5	-4.5	4.1	565.4	565.4	564.9	**21**	44	56	NNW 1	W 2	W 3	1	1	0	.	
26	-7.2	-5.0	-7.4	-6.5	2.1	564.1	564.1	563.5	42	46	54	**W** 2	SW 2	WNW 3	1	1	1	.	
27	-7.1	-5.6	-7.6	-6.8	1.7	562.1	562.6	563.2	46	39	98	NNW 3	NNE 3	NNE 3	3	7	1	.	
28	-7.8	-6.4	-5.1	-6.4	2.0	563.4	564.6	565.0	96	88	32	NNE 3	NNE 3	NNE 3	1	1	0	.	
29	-6.6	-8.0	-9.3	-8.0	0.4	563.5	561.7	560.5	42	98	98	WSW 3	**W** 4	W 4	10	10≡	10≡*	17.6	✳ 15-n, ≡ 11¾-n, *)
Mittel	-11.5	-10.1	-11.4	-11.0	—	556.5	556.9	557.3	82	81	84				7.1	7.0	6.4	Summe 181.4	

*) **1.** ⫩ n-12, 20-n, ⌒ III **29.** ⫩ 15½-n, ⋁ p, ⊕ 10½, ⌒ a-n

Februar 1952
Beobachter: *E. Chiesa*

St. Gotthard (Hospiz)

$\lambda = 8° 34'$, $\beta = 46° 33'$,
$H_b = 2095$ m, $G = -0.25$ mm.

1	-10.8	-10.0	-12.0	-10.9	-3.4	575.7	575.7	**572.9**	96	64	95	NW 2	NW 1	SE 0	10	0	10*	6.8	✳ 20-n, ≡ 10-12
2	-12.1	-10.9	-12.5	-11.8	-4.3	576.3	578.4	579.0	74	90	92	NW 3	NW 3	NW 2	10	10≡	10≡	1.7	✳ n (8./3.), ≡ a-n, ⫩ n-n,
3	-10.9	-7.0	-10.2	-9.4	-1.9	578.5	578.7	579.4	96	75	100	NW 0	SE 0	NW 2	10*	10*	10*	11.6	✳ n-n [⌒ n-p
4	-10.6	-10.4	-10.5	-10.5	-3.0	580.2	582.8	585.5	86	82	94	NW 1	NW 2	NW 3	10	10*≡	10*≡	6.8	✳ a-n mU, ≡ a-n, ⌒ I
5	-12.9	-12.2	-15.0	-13.4	-5.9	588.2	590.3	592.3	97	90	86	NW 4	NW 3	NW 3	10≡	10≡	10	1.8	≡ n-16, ⫩ n-n, ⌒ n-n, ⌒ I
6	**-16.7**	-13.3	-14.2	-14.7	-7.2	594.2	594.4	594.0	90	36	55	NW 2	NW 3	NW 3	0	6	0	.	⌒ a-n
7	-12.0	-8.3	-8.5	-9.6	-2.1	592.3	591.5	588.8	52	59	62	NW 3	NW 3	NW 3	9	10	0	2.1	✳ n (7./8.), ⌒ n-n
8	-7.4	-6.3	-11.9	-8.5	-1.0	582.5	579.8	579.2	68	82	80	NW 1	NW 2	NW 3	10	10*●	10	2.9	✳ ≡ a-p, ⌒ III
9	-12.5	-12.3	-14.0	-12.9	-5.5	580.4	581.0	581.9	72	90	85	NW 3	NW 2	NW 3	10	10	10●	2.3	≡ p-n, ⫩ n-n, ⌒ I, III
10	-14.6	-12.2	-12.3	-13.0	-5.6	582.9	584.8	585.1	90	82	92	NW 3	NW 2	NW 2	10≡	10	10	1.7	✳ a-p mU, ≡ n-a, ⌒ I
11	-7.7	-4.8	-7.9	-6.8	0.6	583.9	583.3	582.0	96	85	98	SE 0	SE 1	SE 1	10	10*≡	10*	**21.7**	✳ 11¼-n, ≡ 12-15
12	-7.6	-4.2	-9.0	-6.9	0.5	580.8	580.8	580.9	100	94	95	SE 0	SE 1	NW 2	10*	10*≡	10≡	11.3	✳ n-p, ≡ a-n
13	-11.8	-11.6	-12.7	-12.0	-4.6	580.5	580.7	580.7	96	95	94	NW 2	NW 2	NW 3	10	10≡	10≡	3.0	≡ a-n, ⫩ n-n, ⌒ III
14	-14.5	-14.0	-13.9	-14.1	-6.8	580.1	579.8	579.6	97	90	36	NW 3	NW 2	NW 2	10≡	6	0	.	≡ n-a, ⌒ I
15	-10.0	-5.7	-10.9	-8.9	-1.6	578.7	579.1	580.7	17	19	46	NW 2	NW 1	NW 2	6	3	0	.	
16	-15.5	-13.0	-15.4	-14.6	-7.3	582.3	584.1	585.2	95	79	92	NW 3	NW 2	NW 3	3	10≡	10≡	2.1	✳ n (16./17.), ≡ 12½-n, ⌒ I,
17	-16.3	-14.1	-16.2	-15.5	-8.3	585.7	585.9	585.5	90	38	85	NW 2	NW 3	NW 2	9	0	0	.	⋁ III, ⌒ II [III
18	-15.2	-12.0	-13.1	-13.4	-6.2	585.0	585.1	585.8	84	82	90	NW 2	NW 2	NW 1	0	0	10	0.9	✳ 16¾-n mU. ⋁ III
19	-14.8	-11.3	-12.2	-12.8	-5.7	586.3	587.7	589.1	85	59	65	NW 2	NW 2	NW 2	0	0	0	.	
20	-10.3	-7.8	-7.8	-8.6	-1.6	589.3	590.8	592.7	92	95	97	NW 4	NW 4	NW 4	6	10≡	10≡	1.9	≡ a-n, ⫩ ⌒ n-n, ⋁ III
21	-7.4	-4.3	-3.8	-5.2	1.8	594.5	595.9	**596.9**	100	75	61	NW 3	NW 2	NW 1	10≡	6	0	.	≡ n-a, ⋁ I, ⌒ I
22	-2.1	**0.8**	-2.2	-1.1	5.8	591.7	596.6	596.1	41	36	45	NW 1	NW 1	NW 1	0	0	0	.	
23	-4.0	0.4	-0.9	-1.5	5.4	594.8	594.5	594.5	42	20	24	NW 1	NW 1	NW 1	0	0	0	.	
24	-4.8	0.7	-0.8	-1.6	5.2	593.7	594.2	594.8	15	**2**	30	NW 2	NW 0	SE 0	0	0	0	.	
25	-7.5	-0.4	-4.7	-4.2	2.5	595.0	595.1	594.9	34	41	20	SE 1	SE 0	NW 1	0	0	0	.	
26	-5.4	-2.2	-6.5	-7.7	2.0	594.0	594.1	593.6	19	20	34	NW 1	NW 1	NW 2	0	0	0	.	
27	-7.5	-4.7	-6.9	-6.4	0.2	592.0	592.2	592.4	38	35	52	NW 2	NW 2	NW 2	0	0	0	.	
28	-7.6	-3.2	-3.9	-4.9	1.7	592.7	594.0	594.3	76	69	58	NW 2	NW 2	NW 2	0	0	0	.	
29	-3.0	-2.0	-6.1	-3.7	2.8	593.7	592.6	591.2	12	42	95	NW 2	NW 2	NW 3	0	6	10	3.7	✳ 17¼-n mU, ⌒ III
Mittel	-10.1	-7.5	-9.5	-9.0	—	586.4	587.0	587.2	71	63	71				5.6	5.4	5.2	82.3	

$\lambda = 7°\,26'$, $\beta = 46°\,57'$,
$H_b = 572.2$ m, $G = 0.00$ mm.

Bern

März 1952
Beobachter: *Meteorol. Observatorium.*

Tag	Lufttemperatur					Luftdruck			Relative Feuchtigkeit			Windrichtung und Stärke			Bewölkung			Niederschlag	Witterung
	7^{30}	13^{30}	21^{30}	Mittel	Abweich. vom Normalst	7^{30}	13^{30}	21^{30}	7^{30}	13^{30}	21^{30}	7^{30}	13^{30}	21^{30}	7^{30}	13^{30}	21^{30}		
1	1.3	6.3	1.9	3.2	1.5	**716.4**	715.8	714.8	91	61	77	NE 1	NNE 2	NE 1	8	3	0	.	☾ III
2	−1.7	7.5	3.0	2.9	1.1	712.9	711.7	711.2	92	49	68	S 1	SE 1	SSE 1	3	0	0	.	⌊ ☽ I
3	−1.1	9.2	4.5	4.2	2.3	710.6	709.9	709.3	85	42	66	E 1	WSW 1	S 1	8	8	8	.	⌊ I, ☾ III
4	1.0	10.6	6.2	5.9	3.8	710.1	709.5	710.4	76	**40**	62	SSW 1	SSE 1	SSE 1	3	1	9●	0.0	● 21–21½
5	4.2	8.7	6.4	6.4	4.2	709.8	710.3	711.5	73	71	88	SSE 1	SE 1	WSW 1	8	9	9	8.9	● 10¼–21 mU
6	3.4	8.9	5.4	5.9	3.6	713.5	714.1	714.4	92	58	81	SSE 1	S 1	SSW 1	9	10	9	1.5	● 0–1¾
7	3.7	5.8	3.8	4.4	2.0	713.1	712.6	712.2	93	85	91	SE 1	S 1	ESE 1	10●	10●	10●	**15.1**	● 4–24
8	1.6	2.9	2.5	2.3	−0.2	712.0	712.6	713.0	95	82	83	N 1	NE 1	N 1	9	10	10	0.0	● 0–5½, ≡ 7½–a
9	2.8	6.5	5.8	5.0	2.3	712.6	712.6	712.7	92	76	94	SE 1	W 1	S 1	10≈	10	10●	5.9	● 7¾, 8–8½, 14½–24, ≡ n–a
10	5.0	5.6	5.2	5.3	2.5	711.9	713.8	714.3	88	82	84	W 1	SSW 1	SSE 1	10●	10●	9	3.2	● 0–14¾
11	0.2	7.9	4.2	4.1	1.2	713.4	712.0	710.4	96	60	80	NE 1	NNE 1	N 1	10≈	4	5	.	≡ n–9¾
12	−0.1	8.8	5.8	4.8	1.8	709.3	708.3	707.5	92	50	68	S 1	NE 1	SSW 1	1	6	9	.	⌊ I
13	1.6	8.6	5.6	5.3	2.1	708.3	708.5	710.4	92	42	58	NE 1	ENE 1	W 1	6	1	0	.	⌊ I
14	1.6	3.7	−0.4	1.6	−1.7	712.5	713.1	712.7	76	55	47	NE 2	ENE 3	ENE 2	9	2	0	.	↙ II
15	**−4.2**	4.1	1.8	0.6	−2.8	712.1	711.1	711.4	71	46	68	NE 1	NNE 1	SW 1	0	1	0	0.1	⌊ I
16	1.7	8.8	6.9	5.8	2.2	710.9	710.7	710.9	78	61	71	SE 1	W 1	SE 1	9	9	9	0.0	● 3½–4½, 9
17	2.6	11.3	8.4	7.4	3.7	711.4	711.3	712.9	87	47	67	SSE 1	NE 1	S 1	9	3	10	0.0	●tr 21½
18	6.0	11.5	8.8	8.8	5.0	713.2	712.1	711.7	86	51	66	SE 1	N 1	SSW 1	10	9	10	.	△ I
19	5.6	11.0	9.2	8.6	4.6	711.1	710.8	711.6	83	56	71	SE 1	WNW 1	SSW 1	9	10	10	0.0	△ I
20	7.0	9.8	6.8	7.9	3.8	712.5	711.6	709.7	76	52	83	SSW 1	SSW 2	WSW 2	10●	10	10●	3.4	● 5¾–8¼, 15¾–24
21	7.2	8.5	5.9	7.2	3.0	710.0	711.6	713.6	70	59	72	W 2	W 2	W 1	9	10●	5	2.2	● 0–6¾, 13¼–15¾
22	5.2	10.4	9.0	8.2	3.8	711.5	709.1	710.7	93	67	84	W 1	WSW 4	WSW 2	10●	10●	7	9.7	● 2–20¾, 22–24, ↙ II
23	8.5	11.9	9.5	10.0	5.5	711.7	711.6	710.9	76	75	74	W 2	NW 2	SSW 1	10	8●	9	1.5	● 4½–6¾, 7¾–13¾, ⌒ II
24	6.1	10.8	8.5	8.5	3.9	708.4	707.4	708.1	88	66	72	S 1	WSW 3	WSW 2	6	10●	9●	5.1	● 11¾–15½, 20½–23¾, △ I, ↙ II
25	6.8	9.8	9.2	8.6	3.8	707.5	707.5	704.7	89	61	58	WSW 2	WSW 3	WSW 3	10●	10●	10	14.5	● 1¾–7¾, 13¾–15½, 22–24, ↙ a-n
26	3.4	4.4	1.2	3.0	−1.9	705.6	706.9	707.2	84	43	69	WNW 1	WNW 3	SSE 1	6	4	8	1.0	● 0–6½, ✳ 8½, 21¾–24, ↙ II
27	−1.4	4.1	2.0	1.6	−3.4	705.9	704.1	702.1	78	50	79	NNE 2	NE 2	NNE 1	1	3	3	0.1	✳ 0–0½ ⊠
28	−0.2	0.8	1.3	0.6	−4.6	698.8	698.0	696.5	89	92	95	N 1	NE 1	NNE 1	10	10●	10	3.6	✳ 3¾–5, 7½–10½, ● 10½–16¾ mU
29	1.6	6.2	6.0	4.6	−0.7	694.1	**693.0**	695.8	95	88	94	E 1	W 1	NNE 1	10≈	10●	10	12.1	● 0½–8¾, 8¾–10¾, 12¾–20¾, ≡ n-a
30	4.8	9.8	8.6	7.7	2.3	696.5	696.9	700.2	93	80	87	WSW 1	W 1	WSW 1	10●	10●	10●	6.0	● 7¾–8¾, 11½–15¼, 20¼–24
31	5.6	**13.7**	11.6	10.3	4.7	701.6	701.0	697.6	92	57	77	SSE 1	WSW 1	SE 1	10	6	10●	6.0	● 0–1, 3½–9¼, 9¾–10¾, 21–22
																		Summe	
Mittel	2.9	8.0	5.6	5.5	—	709.3	709.0	709.1	86	61	75				7.8	7.0	7.4	99.9	

$\lambda = 6°\,57'$, $\beta = 47°\,0'$,
$H_b = 487.3$ m, $G = 0.02$ mm.

Neuchâtel

März 1952
Beobachter: *Observatorium.*

1	2.2	9.6	3.5	5.1	2.7	**724.1**	723.3	722.7	88	63	82	NE 0	E 2	NE 1	9	2	2	.	
2	−1.0	6.7	3.4	3.0	0.5	720.8	719.5	718.5	96	61	68	NE 0	S 1	SW 0	2	1	0	.	⌊ I
3	−0.8	9.3	5.0	4.5	1.8	718.6	717.6	716.8	92	56	78	SW 0	SE 1	SE 0	2	4	5	.	
4	0.9	10.8	8.4	6.7	3.9	717.7	717.3	717.6	93	59	73	SE 0	SE 1	SW 0	2	2	9	.	
5	4.5	9.0	7.2	6.9	4.0	717.3	717.7	718.9	90	81	91	SW 0	SW 1	W 1	8	10●	10	6.9	● 9¼–24 mU
6	4.3	8.8	5.2	6.1	3.0	721.0	721.7	722.1	95	74	94	W 0	SW 0	SW 0	8	10	10●	2.5	● 0–3, 17½–24
7	4.2	6.7	4.5	5.1	1.9	720.8	720.1	719.9	97	93	98	SW 0	SW 0	E 0	10●	10	10●	9.5	● 0–11, 14¼–24
8	2.5	3.6	3.1	3.1	−0.2	719.7	720.5	721.1	96	87	87	NE 1	E 2	E 0	10	10	10	.	● 0–4
9	1.9	5.2	5.4	4.2	0.7	720.3	720.5	720.3	91	88	97	NE 0	S 1	SW 1	10	10●	10●	5.3	● 13½–24
10	5.3	6.2	5.7	5.7	2.1	719.6	721.5	721.9	91	94	81	SW 3	SW 1	NW 0	10●	10	9	0.4	● 0–10, ↙ I
11	0.0	4.5	3.6	2.7	−1.0	721.2	720.2	717.9	97	89	87	NW 0	SW 0	SW 0	3	2	1	.	≡ 8–13, ⌊ I
12	−0.2	7.1	5.4	4.1	0.2	716.9	716.1	714.8	97	75	83	NE 0	SE 0	SW 0	10≈	7	8	.	≡ 0–11, ⌊ I
13	2.4	11.6	7.8	7.3	3.3	716.1	716.3	717.9	88	55	53	NE 0	SE 1	N 3	1	1	0	.	
14	2.0	5.9	0.4	2.8	−1.3	720.3	720.9	720.3	77	56	52	NE 2	NE 4	NE 4	9	2	0	.	↙ a-n
15	**−3.0**	5.6	1.6	1.4	2.9	720.0	719.0	719.0	79	53	77	NE 2	S 1	SE 0	0	2	0	0.3	● n (15./16.)
16	2.0	8.6	5.7	5.4	1.0	718.7	718.5	718.5	93	77	85	E 0	SW 1	SW 0	10	9	0	.	
17	3.5	12.6	8.8	8.3	3.8	719.1	719.2	720.4	97	60	74	SW 0	S 1	N 0	10	6	9	.	
18	6.2	12.8	8.4	9.1	4.4	720.7	720.0	719.2	91	62	77	NE 0	S 1	S 0	8	8	8	0.1	♈ 7
19	6.0	12.8	7.8	8.9	4.1	718.7	718.4	719.0	94	63	81	W 0	SW 1	SW 0	10	7	7	.	
20	8.0	10.5	7.0	8.5	3.6	719.9	719.4	717.7	63	60	89	NW 2	W 3	SW 2	10	10	10●	2.9	●tr 8¾, 16½, 18½–24
21	7.2	8.7	6.1	7.3	2.2	717.6	719.2	721.2	81	67	87	SW 1	SW 2	SW 0	10	10	8	1.3	● 0–5½, 8½–9
22	6.2	8.6	9.2	8.0	2.8	719.0	717.1	718.5	96	91	86	SW 1	W 2	W 2	10●	10●	10●	4.0	● 6½–24 mU
23	8.1	12.2	10.3	10.2	4.9	719.5	719.1	718.3	90	77	77	W 2	SW 1	W 0	10●	9	7	2.4	● 0–12½
24	6.2	10.6	8.4	8.4	2.9	715.9	714.9	715.8	94	71	86	NW 0	SW 3	SW 2	8	10	10●	7.9	● 15½–16¼, 21½–21½, ↙ II
25	6.4	8.8	7.8	7.7	2.1	715.1	715.1	712.1	91	88	83	W 2	SW 3	SW 2	10●	9	10●	12.6	● 0¾–15 mU, 21½–24, ↙ II
26	3.4	6.6	1.0	3.7	−2.0	713.4	714.7	715.0	81	**51**	76	W 3	W 3	NW 1	10●	3	8	0.5	● 0–7½, ✳11 a, ✳ 18–20½,
27	−0.4	6.0	3.7	3.1	−2.8	713.2	711.9	709.4	76	60	61	NE 2	E 3	NE 2	1	1	4	1.7	↙ II [↙ n–p
28	0.2	0.7	1.5	0.8	−5.2	706.1	705.0	703.6	95	94	98	NE 1	NE 2	NE 1	10≈	10	10	8.2	✳ 3½–15¼, ● 13½–24 mU ⊠
29	2.0	3.8	5.4	3.7	−2.4	701.0	**699.9**	702.7	98	97	97	NE 0	SW 0	SW 0	10	10●	10	**15.3**	● 0–4¼, 8¾–22½
30	5.8	8.6	7.9	7.4	1.1	703.5	704.3	707.3	98	97	84	SW 1	SW 0	SW 1	10●	10●	10●	7.4	● 7½–14¾, 18½–21¾, ↖ 20¾–21¼
31	6.6	**14.8**	11.1	10.8	4.4	708.9	707.9	704.7	96	71	88	SW 0	SW 1	NW 0	10	6	10●	5.3	● 0–0½, 20¾–23½
																		Summe	
Mittel	3.3	8.3	5.8	5.8	—	716.9	716.7	716.6	90	73	82				7.8	6.8	6.9	94.5	

März 1952
Beobachter: *Frl. H. Nager.*

Altdorf

$\lambda = 8° 39'$, $\beta = 46° 53'$,
$H_b = 456.3$ m, $G = -0.05$ mm.

Tag	Lufttemperatur					Luftdruck			Relative Feuchtigkeit			Windrichtung und Stärke						Bewölkung			Niederschlag	Witterung
	7^{30}	13^{30}	21^{30}	Mittel	Abweich. vom Normalst	7^{30}	13^{30}	21^{30}	7^{30}	13^{30}	21^{30}	7^{30}		13^{30}		21^{30}		7^{30}	13^{30}	21^{30}		
1	1.6	5.5	1.0	2.7	-0.4	**726.9**	726.2	725.6	100	82	99	E	0	E	0	E	0	10	7	4	.	
2	-1.2	5.1	0.8	1.6	-1.7	722.6	721.4	722.9	88	83	88	E	0	NW	0	NW	0	3	2	2	.	
3	-1.2	6.8	6.8	4.1	0.7	721.0	720.4	719.4	88	54	45	W	0	W	0	SE	1	0	6	7	.	
4	1.1	7.7	4.0	4.3	0.8	720.3	719.4	720.9	81	56	65	SE	0	SE	0	S	0	7	2	10	.	
5	4.9	7.7	4.6	5.7	2.1	720.0	721.5	721.7	86	85	100	W	1	NW	0	S	0	10	10●	10●	8.1	● 12–n
6	4.3	6.4	4.0	4.9	1.1	723.3	724.4	724.9	100	85	100	N	0	E	0	SE	0	10●	10	10	7.0	● n–a, 18
7	3.7	5.2	2.2	3.7	-0.2	723.6	722.9	722.8	100	100	100	E	0	E	0	W	0	10●	10	10●*	**26.1**	● n–a, ● ✳ p–n
8	1.4	3.9	2.4	2.6	-1.4	722.8	723.8	723.4	100	84	100	W	0	W	0	**W**	0	10*	10	10	0.8	✳ n–a
9	1.6	4.3	3.8	3.2	-0.9	723.1	722.8	723.1	100	96	100	**W**	0	W	0	**W**	0	10≡	10●	10●	4.5	● 13–n mU, ≡ n–a
10	3.7	6.7	3.9	4.8	0.5	721.7	723.4	725.0	100	91	100	W	0	W	0	W	0	10●	10●	10●	2.6	● n–n mU
11	3.0	7.4	4.7	5.0	0.6	723.7	722.0	721.0	100	67	67	W	0	N	0	SE	0	7	3	5	.	
12	0.4	7.8	5.3	4.5	0.0	719.6	718.3	717.7	88	48	83	E	0	**W**	0	E	0	0	8	10	1.6	● n (12./13.)
13	4.0	8.5	8.3	6.9	2.3	718.6	718.6	720.6	100	53	45	E	0	NW	0	NW	0	10	4	8	0.1	●tr a
14	3.3	5.4	0.9	3.2	-1.6	722.3	723.8	724.0	71	53	70	NW	2	NW	2	E	0	10	7	3	.	
15	**-2.3**	4.9	0.7	1.1	-3.8	722.3	721.1	721.9	71	53	77	N	0	E	0	E	0	0	0	0	.	
16	1.7	7.7	5.6	5.0	0.0	721.6	720.8	721.8	70	46	65	NW	0	NW	1	E	0	10	8	5	.	
17	1.4	10.9	7.0	6.4	1.3	721.8	721.3	723.2	84	47	64	NE	0	NW	1	NW	0	4	4	10	.	
18	4.2	12.3	5.9	7.5	2.3	723.6	721.6	722.3	79	49	74	SE	0	SE	0	E	0	6	2	4	.	
19	3.0	12.3	8.6	8.0	2.6	721.6	720.4	721.7	87	53	71	S	0	NW	1	NW	0	3	7	10	0.6	● n (19./20.)
20	6.7	8.5	6.3	7.2	1.7	722.1	721.5	719.6	100	85	100	SE	0	NE	0	NW	0	10●	10	10●	14.3	● n–a, 17–n
21	8.9	8.9	6.5	8.1	2.5	717.9	721.1	723.7	71	47	75	N	3	NW	2	SE	0	10●	10	10	8.6	● n–p mU, ⛈ I
22	5.9	7.6	7.0	6.8	1.1	721.9	719.1	721.1	94	100	100	SE	1	SE	0	E	0	10●	10●	10●	17.2	● n–n
23	6.9	10.5	8.9	8.8	2.9	721.8	721.8	721.1	100	80	91	E	0	NW	0	E	0	10●	8	10	2.5	● n–a
24	6.2	14.7	8.3	9.7	3.7	718.4	716.2	717.9	99	53	100	E	0	NW	2	NW	0	7	6	10	5.4	● n (24./25.)
25	7.1	10.7	7.9	8.6	2.5	716.9	717.3	714.0	100	66	89	NE	0	E	0	NW	0	10	8	10	14.2	● n–n mU
26	5.7	3.0	1.2	3.3	-2.9	714.0	715.9	716.8	76	88	96	NW	1	NW	1	NW	0	10●	10*	10	8.2	● n–a, ✳ a–p
27	-0.2	4.9	2.6	2.4	-4.0	716.2	714.2	711.8	98	49	81	E	0	NW	1	E	0	3	0	0	.	
28	8.3	13.9	12.4	11.5	5.0	707.9	706.0	704.6	35	**29**	33	SE	2	SE	2	SE	4	10	9	10	.	⛈ III
29	15.8	**17.5**	7.7	13.7	7.1	702.3	**700.7**	705.5	31	34	93	**S**	3	SE	2	NW	0	10	10	10	0.0	●tr 17½, ⛈ I
30	7.2	11.4	8.1	8.9	2.2	705.8	705.6	709.9	95	72	94	N	0	W	1	SE	0	10	10	10	0.1	● 10¾–11, 16½–17
31	7.2	15.3	15.8	12.8	5.9	711.1	709.9	706.8	95	48	30	NW	0	W	0	SE	2	7	3	6	.	
																					Summe	
Mittel	4.0	8.5	5.6	6.0	—	719.3	718.8	719.3	87	66	81							7.7	6.9	7.9	121.9	

März 1952
Beobachter: *Observatorium.*

Genève

$\lambda = 6° 9'$, $\beta = 46° 12'$,
$H_b = 405.0$ m, $G = -0.03$ mm.

1	2.3	9.8	5.3	5.8	2.5	**731.1**	730.2	730.1	89	52	91	E	0	NNE	1	E	0	1	2	4	.	
2	2.2	10.4	6.5	6.4	3.0	727.9	726.2	725.3	89	60	94	E	0	E	1	E	1	0	0	0	.	
3	**0.0**	9.5	6.0	5.2	1.7	725.7	724.3	724.9	96	68	75	E	1	E	1	E	1	3	9	9	.	
4	2.0	**15.0**	9.8	8.9	5.2	724.9	723.9	725.1	93	**45**	62	E	0	SSW	1	ENE	0	3	3	9	.	
5	7.8	13.0	8.6	9.8	6.0	725.2	725.2	727.0	81	55	94	E	0	S	1	S	1	10	10	10●	3.0	●tr a, ● p–n
6	6.2	11.0	7.6	8.3	4.4	728.6	728.4	729.2	94	63	94	E	0	E	0	NE	0	10	10	10●	0.3	● p–n mU
7	6.0	9.2	6.8	7.3	3.3	727.5	726.9	727.3	97	97	97	E	0	S	1	NE	1	10	10	10●	5.0	● p–n mU
8	6.6	7.8	6.3	6.9	2.8	726.6	726.2	728.0	94	83	80	NE	0	ENE	1	NE	1	10	10	10	.	
9	4.5	9.0	6.9	6.8	2.5	727.8	727.7	728.1	77	89	71	S	1	**S**	1	S	1	10	10●	10●	2.5	● a–n mU
10	8.5	9.4	5.0	7.6	3.2	728.6	728.8	729.2	89	66	90	S	1	ESE	0	ENE	0	9	9	3	0.1	● n (10./11.)
11	3.0	8.0	5.2	5.4	0.9	728.3	726.9	725.0	97	72	81	ENE	0	ENE	1	ENE	1	10	1	0	.	
12	4.5	9.8	7.6	7.3	2.7	723.8	723.0	722.0	92	54	80	ENE	0	NE	1	**W**	1	5	9	7	.	
13	3.8	10.6	9.0	7.8	3.1	723.3	723.3	724.7	87	62	63	E	0	NNE	1	E	0	5	2	0	.	
14	1.5	11.5	2.0	5.0	0.1	726.8	726.2	726.8	91	68	64	ESE	1	NNE	3	NNE	2	0	0	3	.	⛈ II
15	1.0	5.0	4.7	3.6	-1.4	726.6	725.4	725.5	81	**45**	83	E	0	ENE	1	E	1	2	3	9	.	
16	7.2	13.3	9.0	9.8	4.7	725.4	724.7	724.6	94	59	81	E	1	NNE	1	**E**	0	9	5	9	0.5	● n (16./17.) mU
17	7.5	13.0	9.8	10.1	4.9	725.7	726.8	728.2	94	55	81	E	0	ESE	0	SE	0	9	9	9	.	
18	7.0	13.0	10.5	10.2	4.9	727.8	726.2	726.5	88	53	75	E	0	ESE	0	S	1	9	8	10	.	
19	7.8	10.5	10.0	9.3	3.8	726.6	725.7	726.9	94	70	74	ESE	1	S	1	ESE	1	10	6	9	.	
20	8.5	13.0	8.5	10.0	4.4	727.3	727.0	725.9	73	**45**	94	ESE	0	S	1	S	1	10	10●	10●	4.0	● p–n
21	9.0	10.0	7.7	8.9	3.2	726.7	727.1	729.1	95	74	94	ENE	0	ENE	1	E	0	10●	10	9	0.2	● n–a, ▽ n (21./22.)
22	11.0	14.1	12.1	12.4	6.6	727.8	725.6	727.2	85	67	82	E	0	SW	1	SSW	1	10	10	10●	2.5	● p–n
23	11.0	11.2	9.0	10.4	4.5	727.6	726.3	725.6	85	55	86	E	0	NNE	1	E	1	5	2	3	.	
24	8.5	14.0	8.4	10.3	4.2	723.7	723.6	724.1	92	58	89	E	0	**S**	1	ESE	1	9	10●	10●	9.8	● a–n, ◠ 17
25	8.2	8.0	7.2	7.8	1.6	723.6	723.3	720.5	83	78	85	SSW	1	SSW	1	SSW	1	10	10●	10●	0.0	●tr p mU
26	3.0	2.8	**0.0**	1.9	-4.4	720.6	722.6	721.8	50	49	78	ENE	1	NNE	1	NNE	1	9	3	9	.	
27	1.5	5.0	1.2	2.6	-3.8	721.3	719.6	716.1	91	60	78	NNE	2	NNE	1	E	0	8	5	9	7.0	● n (27./28.)
28	2.5	3.5	3.7	3.2	-3.3	712.9	712.3	710.9	93	93	93	E	0	ESE	1	ESE	1	10●	10	10●	8.5	● n–n mU
29	6.2	5.3	5.8	5.8	-0.9	708.8	**708.3**	710.2	97	93	94	SW	1	NE	1	ESE	0	10●	10●	10●	**25.5**	● n–n mU
30	13.0	9.5	13.0	11.8	5.0	711.0	711.6	714.6	90	80	88	SSW	1	NE	1	ESE	1	10	9	10	8.3	● 18, ⛈ 19¾, ● n (30./31.)
31	12.0	14.5	14.2	13.6	6.7	715.7	713.3	711.7	93	83	76	ESE	0	S	1	E	0	10	3	8	5.2	● n (31./1.)
																					Summe	
Mittel	5.9	10.0	7.3	7.7	—	724.4	723.7	723.9	88	66	83							7.6	6.7	7.6	82.4	

$\lambda = 8°\ 34'$, $\beta = 47°\ 23'$,
$H_b = 569.4$ m, $G = 0.03$ mm

Zürich

März 1952
Beobachter: *Meteorol. Zentralanstalt.*

Tag	Lufttemperatur					Luftdruck			Relative Feuchtigkeit			Windrichtung und Stärke			Bewölkung			Niederschlag	Witterung
	7^{30}	13^{30}	21^{30}	Mittel	Abweich. vom Normalst	7^{30}	13^{30}	21^{30}	7^{30}	13^{30}	21^{30}	7^{30}	13^{30}	21^{30}	7^{30}	13^{30}	21^{30}		
1	0.8	4.5	1.2	2.2	0.7	716 9	716 7	715.3	100	79	95	S 0	NE 1	S 1	10	10	0	0.1	● 0–0½, ≡ 14½–15
2	−1.1	8.7	3.8	3.8	2.2	712.9	712.0	711.5	100	52	65	NW 1	SSW 1	S 1	10≡	1	0	.	≡ n–11, ⌴
3	0.9	10.6	5.2	5.6	3.9	710.8	710.5	709.4	79	44	54	S 0	S 1	S 1	2	7	1	.	⌴
4	1.5	12.8	8.9	7.7	5.9	710.3	709.8	710.2	72	41	46	W 0	SSW 1	SSW 1	3	1	10●	0.0	● 21½, ⌴
5	4.7	6.5	6.5	5.9	4.0	710.0	710.5	711.4	77	91	90	WSW 1	S 2	WSW 2	8	10	10●	7.7	● 12¾–13¾, 15½–17¾, 20–22
6	3.2	6.1	3.7	4.3	2.3	713.5	714 5	714.6	99	86	93	SSW 1	S 1	S 1	10	10	10	1.0	● 4½–5½, 9–10, 23½–1
7	2.0	2.6	1.7	2.1	−0.1	713.7	713.4	712.8	97	86	95	ENE 1	NE 1	NE 1	10	10	10●	7.9	● 19¾–2
8	−2.0	4.8	0.9	1.2	−1.1	713.1	713.6	713.4	79	56	62	NE 1	NNE 1	NNE 1	10	7	8	0.0	✳ 2–6½
9	−0.8	3.6	5.2	2.7	0.3	713.4	712.8	712.4	82	75	93	W 1	SSW 1	S 1	10	10	10●	7.1	● 14–18¾, 19¼, 21½–24
10	4.5	5.0	4.5	4.7	2.2	711.5	713.3	714.3	93	84	84	SSW 1	SW 2	S 1	10	10●	10	0.4	● 0–6¾, 9¼–11¼, ●tr 13½
11	1.3	8.6	4.8	4.9	2.2	713.7	712.4	711.1	96	60	66	SE 1	N 2	NE 1	1	6	1	0.0	⌴
12	−0.2	7.6	5.1	4.2	1.4	709.4	709.0	707.8	98	60	81	ENE 1	S 1	NE 1	0	9	10	0.0	≡ 9–10, ⌴
13	2.3	9.3	5.0	5.5	2.6	708.9	709.1	710.8	92	47	59	ENE 1	NW 1	N 1	9	2	9	0.0	
14	1.0	3.6	−1.9	0.9	−2.1	713.5	714.9	714.5	75	52	57	NNE 1	ENE 2	NE 2	10*	2	0	0.1	✳fl 7½
15	−4.8	5.7	1.5	0.8	−2.4	712.6	711.9	711.5	81	43	64	ENE 1	ESE 1	NE 0	1	1	0	0.0	⌴
16	1.2	8.7	5.9	5.3	2.0	711.4	711.3	711.3	80	62	80	NNW 1	SSW 1	SE 1	10●	9	9	0.0	●tr 7½
17	4 4	13.2	8.2	8.6	5.2	711.8	711.6	712.8	76	50	68	ENE 1	NE 1	WNW 1	8	5	9	.	
18	6.0	12.5	7.8	8.8	5.2	713.5	712.4	711.8	89	55	77	W 1	NNW 1	ENE 1	9	5	7	.	△
19	3.4	14.4	9.1	9.0	5.3	711.3	710.9	711.4	94	52	73	SSE 1	S 1	S 1	3	4	10	0.0	△
20	6.9	8.6	5.9	7.1	3.3	712.3	711.5	708.8	88	63	91	WSW 1	SSW 2	SSW 3	10	10	10●	8.6	● 18–24¾, ⌿ III
21	6.9	7.9	6.7	7.2	3.2	709.0	711.1	713.3	82	67	72	WSW 2	WSW 1	SW 2	10	10	10	1.4	● 1¼–3¼, 4¼–4¾, 12–12¾
22	5.1	8.6	9.1	7.6	3.5	710.8	708.9	710.1	96	87	85	SSW 1	SSW 2	SW 2	10●	10●	9	22.3	● 6½–14, 15½–17½, 20½–21, 22¾–23½
23	7.0	6.4	6.8	6.7	2.5	711.7	712.1	711.1	99	100	96	N 1	S 1	S 1	10●	10●≡	10	4.6	● 1–10¾, 12¾–16, 18½–19½, ≡ a–p
24	6.3	10.3	7.3	8.0	3.6	708.6	706.8	707.7	93	72	85	WSW 1	SW 2	WSW 2	9	10●	10	8.7	● 13–21½ mU [mU
25	7.2	11.0	9.3	9.2	4.7	707.0	707.2	704.1	83	63	60	SSW 2	SW 2	SSW 3	10●	5	9	9.5	● 3–15½ mU, 22¾–23¾, ⌿ III
26	2.4	5.2	−0.1	2.5	−2.1	705.0	706.5	707.4	94	60	80	WSW 1	WSW 2	S 1	10	8	10*	9.6	● 0–5¾, ✳fl 7¾–10¾, 16½–15¾, 21½–
27	−2.0	5.7	1.0	1.6	−3.2	706.8	705.1	702.7	93	51	70	NE 1	ENE 1	ENE 2	9	1	3	0.8	✳ 1½–6¾, 8–8¾ [23¾
28	−1.4	1.6	1.4	0.5	−4.4	699.3	698.7	697.0	97	90	98	ENE 2	NNE 1	NNW 1	10*	10●	10	7.6	✳ 6¾–13, ● 13–15½
29	1.6	8.4	6.3	5.4	0.3	693.7	692 3	695.5	98	73	95	WNW 1	WNW 1	SSW 1	10≡	10	10●	2.7	● 1¾–3¾ mU, 10¼–10¾, 15¾–21½ mU,
30	5 9	13.0	8.1	9.0	3.8	696.3	696.5	699.8	96	68	91	SW 0	WSW 1	SW 1	10	9	10	4.2	● 15¾–17¾ mU, 23¼–24½ [≡6¾–7¾
31	7.6	14.7	12.3	11.5	6.1	701.6	701.1	697.6	86	52	52	S 1	S 2	N 1	9	5	10	0.6	● 1¾–2¾, 8½–8¾
																		Summe	
Mittel	2.6	8.1	5.2	5.3	—	709.5	709.3	709.1	89	65	77				8.1	7.0	7.6	104.9	

$\lambda = 6°\ 32'$, $\beta = 46°\ 51'$
$H_b = 1589$ m, $G = -0{,}13$ mm

Chasseron

März 1952
Beobachter: *Ch. H. Martin*

1	−2.6	−1.2	0.2	−1.2	—	630.1	631.1	630.3	97	90	61	N 1	N 1	W 1	10≡	5	4	.	≡ n–a
2	2.2	4.4	1.0	2.5	—	628.3	628.3	628.2	35	39	50	W 3	W 3	W 3	4	1	1	.	⌿ n–n
3	2.0	4.0	3.0	3.0	—	626.7	626.8	626.1	52	55	45	SW 2	S 2	SW 2	5	5	9	.	
4	1.6	3.4	2.6	2.5	—	626.3	626.7	627.1	51	60	75	S 2	S 2	W 3	5	2	10	.	⌿ III
5	3.0	1.8	0.3	1.7	—	626.7	626.8	626.5	75	95	100	SW 2	W 4	WNW 4	10	10*	10≡	10.5	✳ 8½–16¾, ≡ 9½–10¾, *)
6	−1.7	−0.6	−1.1	−1.1	—	628.8	629.9	629.9	100	100	100	W 2	W 1	SW 1	10≡	10≡	10≡	5.6	✳ 8¼–12 mU, ≡ n–n mU, ⋁ I
7	−1.3	0.1	−0.8	−0.7	—	628.8	628.3	627.9	100	100	100	WNW 2	WNW 2	NW 3	10*≡	10*≡	10*≡	8.4	✳ n–n, ≡ n–11½, 12½–n,
8	1.4	2.2	2.2	1.9	—	627.8	628.4	628.8	90	90	90	N 2	NE 1	E 2	10	9	7	.	[⋁ I, ⌿ III
9	1.2	2.0	1.0	1.4	—	628.1	628.8	628.6	100	99	90	S 3	W 3	W 3	9	10●	10●	6.8	● 10¾–n mU, ≡ n–9 mU, ⌿ n–n
10	−2.0	−1.6	−2.0	−1.9	—	627.2	628.9	629.8	100	100	100	WNW 3	WNW 3	W 1	10*≡	10≡	10≡	2.3	✳ 5–13, ≡ n–15, 16–22, ⌿ n–p
11	−3.2	−1.0	−2.0	−2.1	—	628.5	628.2	626.9	100	100	100	E 2	E 1	E 1	2	6	2	.	≡ 8½–n mU
12	−2.4	0.4	−0.6	−0.9	—	624.8	624.9	624.2	90	80	90	SE 1	W 1	W 1	1	9	9	.	≡ 5–6½
13	−2.0	0.6	−1.6	−1.0	—	624 2	625.2	626.4	85	65	80	N 2	NE 1	N 3	5	2	5	.	⌿ p–n
14	−3.0	−5.0	−7.0	−5.0	—	626.6	627.1	626.4	45	75	60	N 3	E 3	E 3	1	3	0	.	≡ 8–9½, ⌿ n–n
15	−5.0	1.0	−1.0	−1.7	—	625.5	626.5	626.7	85	55	75	SE 3	S 2	W 2	1	2	3	0.6	✳ n (15./16.), ⌿ I
16	−2.0	1.0	−1.0	−0.7	—	626.4	627.0	627.2	100	100	100	SW 2	S 1	W 2	10≡	10≡	6	0.5	✳ n–11 mU, ≡ n–16½
17	−0.6	2.2	0.6	0.7	—	627.4	628.4	629.2	100	86	98	SE 1	W 1	W 2	10≡	9	9	0.2	✳ 5–7, 18–18¼, ≡ 5¾–8, 15½–17½
18	−0.4	2.0	1.0	0.9	—	629.2	629.0	628.5	100	90	96	E 1	E 2	S 2	10●≡	9	6	0.1	● ✳ n–10, n–11 mU
19	−0.4	1.0	1.0	0.5	—	626.9	627.4	628.2	100	100	100	S 2	S 2	SW 1	10*≡	10≡	10≡	0.1	✳ n–(1), 17–17½, ≡ n–n mU
20	−2.0	−1.0	−0.5	−1.2	—	628.3	628.1	626.1	100	100	100	W 2	W 3	W 4	10≡	10≡	10●≡	9.0	☽ 16–17, ✳ 17–16, *)
21	−0.8	−1.3	−0.8	−1.0	—	626.0	627.7	629.6	100	100	100	W 3	NW 3	W 2	10≡	10≡	10≡	0.2	● n–4, ✳ 4–8 mU, *)
22	2.0	2.4	2.0	2.1	—	627.9	626.6	627.0	100	100	100	W 4	W 3	W 3	10≡	10≡	10≡	18.5	● n (22./23.), ≡ ⌿ n–n
23	1.0	2.0	1.8	1.6	—	628.1	628.7	628.4	100	100	100	W 3	W 3	W 2	10≡	10≡	10≡	4.0	● 4–19, ≡ n–n, ⌿ n–p
24	1.0	1.0	1.0	1.0	—	625 5	624.8	624.6	100	100	100	SW 2	W 3	W 4	10≡	10●≡	10●≡	15.4	☽ 9–11, ● 11–15½, 19–n, *)
25	−0.6	−0.6	−0.1	−0.4	—	622.8	624.3	622.3	100	100	100	W 4	W 4	W 4	10*≡	10≡	10*≡	21.6	✳ 3–13, ● 15–19, ✳ 19½–n, *)
26	−0.3	−5.0	−7.0	−4.1	—	621.0	622.2	621.9	100	100	100	W 3	NW 3	W 2	10≡	7	10≡	3.0	✳ n–12, 16–n mU, *)
27	−9 4	−6.2	−5.8	−7.1	—	619.5	619.2	618.0	100	100	93	E 2	E 2	E 2	10≡	6	7	0.2	≡ n–11 mU, ⋁ I
28	−3.2	−2.0	3.0	−0.7	—	614.0	614.0	613.2	100	100	100	SE 2	SE 2	S 4	10≡	10●≡	10●≡	5.6	△ 4–10 mU, ● 10–11, *)
29	7.0	3.0	1.8	3.9	—	611.7	611.0	613.4	70	100	97	SW 4	SW 4	SW 1	9	10	10	16.0	● 8½–12, ✳ 16–18, *)
30	1.2	2.2	0.2	1.2	—	614.4	615.1	617 3	100	100	100	S 2	SW 2	W 3	10●≡	10≡	10*≡	15.8	☽ 7–9, ●✳ 9–12, 19–4 mU, *)
31	2.0	5.2	6.0	4.4	—	618.6	618.6	617.3	100	95	81	W 3	S 2	W 3	10≡	6	7	2.6	≡ n–8 mU, ● n (31./1.),
																		Summe	[⌿ I, III
Mittel	−0.6	0.5	−0.1	−0.1	—	625.0	625.4	625.4	90	90	90				8.1	7.8	7.9	147.0	

*) 5. ≡ 10¾–13¾ mU, 13¾–n, ⌿ a–n 20. ● 19–n, ≡ n–n, ⋁ ∞ I, ⌿ a–n 21. △ 8–12, ≡ n–n mU, ⌿ n–p 24. ≡ 6–n, ⌿ a–n 25. ≡ ⌿ n–n 26. ≡ n–n mU, ⋁ III, ⌿ n–p 28. ✳ 11–12, △ 12–13, ● 13–n, ≡ 3½–n, ⌿ III 29. ≡ 8½–n mU, ⌿ n–p 30. ≡ 7–n mU, ∠ (30./31.) ⌿ III

März 1952
Beobachter: *B. Minsch und C. Clavuot*

Bever

$\lambda = 9° 53'$, $\beta = 46° 33'$,
$H_b = 1711.8$ m, $G = -0.23$ mm

Tag	Lufttemperatur 7³⁰	13³⁰	21³⁰	Mittel	Abweich. vom Normalst.	Luftdruck 7³⁰	13³⁰	21³⁰	Relative Feuchtigkeit 7³⁰	13³⁰	21³⁰	Windrichtung und Stärke 7³⁰	13³⁰	21³⁰	Bewölkung 7³⁰	13³⁰	21³⁰	Niederschlag	Witterung
1	-2.1	2.0	-8.0	-2.7	3.5	620.5	621.0	621.8	69	46	72	SE 2	NW 1	SW 0	7	0	0	.	⌊⌊ [I]
2	-12.3	7.4	-5.2	-3.4	2.7	620.1	618.9	619.9	92	**33**	73	SW 0	NW 1	SW 0	1	1	1	.	⌊⌊
3	-12.8	3.6	-5.0	-4.7	1.2	619.8	619.6	619.5	97	56	84	SW 0	W 1	W 0	0	8	10	.	⌊⌊
4	-10.0	4.2	-3.3	-3.0	2.8	618.7	618.8	619.1	100	58	76	SW 0	SW 0	SW 0	6	2	4	.	⌊⌊
5	-2.8	**7.5**	1.1	1.9	7.5	618.3	617.7	617.9	87	43	92	SW 0	SW 0	**W** 0	9	8	8	0.0	✳ n (5./6.)
6	-2.3	1.3	-1.8	-0.9	4.6	618.1	619.7	620.0	99	74	67	NE 0	NE 0	N 0	10	10	9	0.0	✳fl p
7	-1.6	2.8	-1.0	0.1	5.4	618.7	617.6	617.5	61	43	52	N 0	N 0	N 1	9	8	7	.	
8	1.2	3.8	-7.6	-0.9	4.3	616.8	619.1	**622.2**	59	41	100	NW 0	NE 1	S 1	8	0	0	.	
9	-9.8	0.3	-4.0	-4.5	0.5	622.1	620.9	621.2	98	65	90	SW 0	SW 1	SW 0	8	5	7	.	
10	-4.8	0.3	-2.0	-2.2	2.7	619.2	618.6	620.0	98	76	99	SW 1	SW 1	NE 0	10	10	10	2.1	✳ a-p mU
11	-3.9	4.1	-1.8	-0.5	4.2	619.4	618.3	618.1	99	44	70	S 0	SW 0	SW 0	4	4	9	.	
12	-10.3	3.6	-1.8	-2.8	1.8	616.2	614.8	614.2	93	36	65	SW 0	W 1	NW 0	0	8	10	1.9	✳ n (12./13.)
13	-5.8	0.1	-4.2	-3.3	1.1	614.7	615.0	616.4	95	43	52	NE 0	NW 2	S 0	5	0	1	.	
14	-3.4	-1.8	-9.8	-5.0	-0.7	615.9	617.2	618.6	66	39	47	E 1	NE 0	NE 0	8	1	0	.	
15	**-18.7**	1.7	-9.7	-8.9	4.8	618.7	616.9	618.8	92	39	72	NE 0	NE 0	SW 0	0	0	0	.	⌊
16	-14.5	6.1	-4.6	-4.3	-8.3	618.9	618.0	619.3	95	37	77	SW 0	S 0	SW 0	0	8	2	.	⌊
17	-6.9	5.0	-2.2	-1.4	2.5	619.4	619.3	620.8	95	46	81	SW 0	SW 1	SW 0	9	2	8	0.0	✳fl 19
18	-7.8	6.7	-1.8	-1.0	2.7	621.1	619.4	620.0	97	48	77	W 0	NE 0	SW 0	3	4	2	.	⌊
19	-9.2	6.9	1.2	-0.4	3.2	619.6	618.4	618.8	99	47	69	SW 0	SW 0	SE 0	1	2	8	1.8	✳ n (19./20.), ⌊
20	-0.8	3.8	0.0	1.0	4.4	618.5	617.2	617.7	100	57	99	SW 0	W 1	SE 0	9	9	10	1.7	✳ a mU, n (20./21.)
21	-0.5	2.0	-3.1	-0.5	2.8	613.3	615.4	618.5	95	61	98	**W** 0	E 0	NE 0	10	10	10*	4.2	✳ 18½-n
22	-6.3	1.3	1.8	-1.1	2.0	618.5	616.7	617.1	82	47	93	S 0	SW 1	S 0	9	10	4	2.8	● 18½, ✳ n (22./23.)
23	4.8	5.5	-1.3	3.0	6.0	617.7	618.1	619.4	51	47	70	W 2	NW 2	N 0	5	3	1	.	
24	-2.2	7.4	1.2	2.1	4.9	617.1	614.7	615.4	84	47	99	S 0	SW 2	NE 1	2	5	9	0.0	●tr 19
25	-0.8	4.7	-0.3	1.2	3.9	615.1	614.7	613.5	84	48	72	E 0	NW 1	NW 0	5	5	2	1.5	✳ n (25./26.)
26	-1.8	-0.4	-6.0	-2.7	-0.2	609.5	610.3	611.6	97	60	54	NE 1	NE 0	N 0	10*	9	5	0.0	✳ n-a
27	-15.0	-1.0	-5.5	-7.2	-4.8	612.0	611.4	611.8	75	35	46	N 0	NE 0	S 0	0	0	0	.	⌊
28	-4.1	-1.8	-1.3	-2.4	-0.2	610.1	610.0	610.2	81	90	98	SW 1	SW 1	SW 0	9	10	10	.	
29	1.7	4.8	1.8	2.8	4.9	608.5	**606.4**	607.2	98	88	98	SW 1	SW 1	W 1	10●	10	10	15.8	● n-n mU
30	1.3	2.8	0.2	1.4	3.3	607.2	607.3	610.6	99	95	98	W 0	SW 1	SW 0	10	10●	4	9.5	● 8-16
31	0.4	6.4	3.4	3.4	5.2	612.4	612.4	612.2	99	67	99	SW 0	SW 1	N 0	8	8	10	+3.0 Summe	
Mittel	-5.2	3.3	-2.6	-1.5	—	616.7	616.3	617.1	88	53	79				6.0	5.5	5.5	44.3	

März 1952
Beobachter: *Couvent des Capucins*

Sion

$\lambda = 7° 21'$, $\beta = 46° 14'$,
$H_b = 548.6$ m, $G = -0.11$ mm.

1	2.4	8.8	4.4	5.2	1.9	**717.7**	716.8	717.5	74	50	70	W 0	WSW 1	NE 0	3	1	0	.	
2	0.1	9.6	5.1	4.9	1.5	716.1	713.9	714.0	89	46	65	NE 0	NE 0	NE 1	1	0	0	.	
3	0.8	10.2	7.4	6.1	2.5	714.4	712.8	712.4	84	42	55	NE 0	NE 1	NE 1	3	4	4	.	
4	2.9	11.0	6.9	6.9	3.2	713.8	712.4	713.1	74	41	61	NE 0	NE 1	WSW 0	1	4	9	.	
5	4.6	9.3	6.4	6.8	3.0	713.9	713.8	713.7	81	71	100	SW 0	WSW 0	WNW 1	10	10	10●	7.9	●tr 12, ● 16½-24
6	5.7	10.7	6.7	7.7	3.7	715.4	715.4	716.2	91	57	80	**W** 1	W 2	**WSW** 1	10	10	10	3.0	● 22½-24
7	4.8	8.3	6.3	6.5	2.4	715.3	714.3	714.2	100	77	99	SW 0	WSW 1	**WSW** 1	10	10	10●	2.6	● 0-4½, ●tr 7¾-10, 15½-16½, 20-22½
8	5.5	11.8	6.3	7.9	3.6	714.2	713.4	715.8	100	67	100	**WSW** 1	W 1	**WSW** 0	10	7	9	.	
9	5.0	10.8	6.4	7.7	3.3	715.6	715.0	715.5	94	45	100	WSW 0	**WSW** 0	WSW 0	10	10●	10●	2.6	● 13½-24
10	5.4	8.2	4.8	6.1	1.5	714.8	715.4	716.4	100	75	80	WSW 0	SSW 1	W 0	10	10	3	0.8	● 0-5¾, 8¼-9¾
11	2.2	11.2	5.0	6.1	1.4	716.3	713.8	713.6	93	42	73	N 1	N 1	N 1	0	2	0	.	
12	0.9	13.6	6.7	7.1	2.2	712.5	710.5	709.9	93	38	64	NE 1	NE 1	W 1	0	4	9	.	
13	4.0	14.4	6.6	8.3	3.3	710.5	710.2	712.4	83	38	55	N 0	**WSW** 2	N 2	1	1	0	.	
14	2.8	9.9	3.9	5.5	0.3	713.6	712.5	713.8	70	50	67	ENE 0	W 3	NW 0	1	0	0	.	⌐ a-p mU
15	**-0.4**	10.0	4.8	4.8	-0.5	714.6	713.1	713.7	77	33	65	NE 1	NE 1	NNE 0	0	3	0	.	
16	2.4	12.0	7.5	7.3	1.8	714.3	712.6	713.5	67	37	72	NNE 0	NNE 0	**W** 0	2	3	3	.	
17	4.0	15.0	8.5	9.2	3.6	714.3	713.3	714.7	79	39	66	N 0	WSW 1	W 0	4	3	3	.	
18	5.7	15.3	9.5	10.2	4.4	716.2	713.9	713.8	72	42	64	**W** 1	WSW 1	W 0	5	4	9	.	
19	4.7	14.2	8.4	9.1	3.2	714.4	712.7	713.5	87	46	76	NE 0	SW 1	WSW 0	4	8	3	0.1	●tr 23¾-24
20	7.1	14.6	4.9	8.9	2.8	715.0	713.4	713.3	95	47	100	WSW 0	W 4	WNW 0	9	9	10●	3.6	● 17½-24, ⌐ 10-15
21	8.1	9.4	6.9	8.1	1.8	711.9	713.8	715.7	78	66	89	**WSW** 1	WSW 1	WSW 0	10	10	10	1.0	● 0-5¾, 14¼-18½
22	6.0	8.1	7.8	7.3	0.9	715.3	713.9	713.7	97	91	100	SW 0	WSW 1	**WSW** 0	10	10●	10●	**10.1**	●tr 10, 12½-23½
23	8.3	13.0	10.8	11.4	4.8	714.7	713.3	713.5	93	50	62	SW 0	WSW 2	WSW 0	8	3	0	.	⌐ a-p mU
24	5.9	15.6	9.1	10.2	3.5	712.2	709.1	711.9	90	47	85	ENE 1	WSW 1	WSW 1	3	6	10●	7.4	● 15¾-16¾, 21-24, ⌐ p
25	6.9	12.9	9.2	9.7	2.8	710.8	710.4	708.7	100	48	68	WSW 0	WSW 1	NE 1	10●	9	8	7.1	● 0-8½
26	5.0	7.4	3.0	5.1	-1.9	707.2	708.6	709.2	100	46	61	SW 1	WSW 2	WSW 3	10●	7	3	0.0	● 1¾-9¾ mU, ⌐ a-p mU
27	-0.1	8.0	5.4	4.4	-2.8	708.8	706.5	705.0	69	**32**	52	NE 0	NE 1	NE 1	0	3	3	1.6	
28	2.2	8.4	7.6	6.1	-1.2	705.0	704.1	701.4	100	55	65	E 1	E 0	E 0	10●	10	8	0.1	● ✳ 5-7¼, ● 7½-8
29	7.2	10.1	7.3	8.2	0.7	699.4	**695.1**	698.4	63	43	100	E 0	**E** 1	WSW 0	8	10	6	3.1	● 14¾-17
30	6.9	12.6	9.9	9.8	2.2	699.3	699.8	703.5	91	66	86	NW 0	NW 1	W 2	10	10●	10●	4.2	●tr 10, 13½-13¾, 21-24½
31	7.0	**17.6**	13.2	12.6	4.8	705.5	703.6	702.2	100	41	43	NNE 1	NNE 1	NE 1	9	6	3	. Summe	⌐ p
Mittel	4.3	11.4	7.0	7.6	—	712.3	711.2	711.8	87	51	75				5.9	6.0	5.6	55.2	

$\lambda = 8° 57'$, $\beta = 46° 0'$,
$H_b = 276.2$ m, $G = -0.01$ mm.

Lugano

März 1952
Beobachter: *G. Vicari.*

Tag	Lufttemperatur					Luftdruck			Relative Feuchtigkeit			Windrichtung und Stärke			Bewölkung			Niederschlag	Witterung
	7^{30}	13^{30}	21^{30}	Mittel	Abweich. vom Normalst	7^{30}	13^{30}	21^{30}	7^{30}	13^{30}	21^{30}	7^{30}	13^{30}	21^{30}	7^{30}	13^{30}	21^{30}		
1	12.2	14.6	7.4	11.4	6.4	736.4	738.0	738.9	33	43	69	NNE 2	S 1	WNW 1	1	0	0	.	☄ n–8
2	2.2	15.4	8.2	8.6	3.5	738.7	737.4	737.5	80	56	78	N 1	S 1	NW 1	1	0	10	.	
3	6.0	9.4	6.4	7.3	2.0	739.2	739.1	738.5	98	77	91	S 1	S 1	— 0	10	10	10	.	
4	5.8	13.0	6.2	8.3	2.9	737.4	735.6	735.5	88	57	89	N 1	S 1	NNW 1	10	2	4	.	
5	3.4	12.4	8.2	8.0	2.5	736.2	734.3	734.1	95	58	73	N 1	S 1	NW 1	8	1	4	.	≡ 8½–11½
6	10.2	18.8	11.2	13.4	7.7	734.4	734.9	737.0	37	25	32	N 2	N 2	N 1	6	1	1	.	☄ 6½–18
7	5.8	6.6	5.2	5.9	0.1	737.4	737.0	736.8	87	80	82	NNE 1	S 1	NW 1	10	10	10	.	
8	3.2	0.6	0.4	1.4	−4.5	738.4	744.2	**746.4**	93	95	86	S 1	S 1	S 1	10	10●	10	0.3	● 9½–15½
9	**−1.4**	7.6	4.8	3.7	−2.4	745.6	744.1	743.1	92	48	66	N 1	S 1	NW 1	8	8	10	.	⌴
10	3.4	3.8	2.4	3.2	−3.0	741.8	741.6	741.5	74	87	94	WNW 1	S 1	S 1	10	10●	10	0.0	● 12½–14½ mU
11	0.8	12.2	5.4	6.1	−0.2	741.2	739.6	738.2	97	49	81	N 1	S 1	NNW 1	3	1	10	.	
12	4.2	8.4	4.4	5.7	−0.8	736.8	735.4	734.1	85	62	71	— 0	S 1	— 0	10	10	10	.	
13	1.8	11.2	5.2	6.1	−0.5	733.4	733.3	733.4	91	61	82	N 1	S 1	WNW 1	1	2	0	.	
14	9.4	15.4	5.8	10.2	3.5	732.4	733.6	738.3	33	23	78	N 2	N 3	S 1	0	0	0	.	☄ 6½–20
15	2.8	10.6	3.2	5.5	−1.4	740.3	739.8	740.7	57	41	63	SSW 1	S 1	N 1	10	0	0	.	
16	−0.4	11.4	4.2	5.1	−1.9	740.7	739.2	740.2	78	45	65	N 1	S 1	N 1	9	0	0	.	⌴
17	0.8	14.2	5.6	6.9	−0.2	740.6	739.7	740.7	86	44	72	N 1	S 1	N 1	1	1	0	.	
18	2.2	14.4	6.4	7.7	0.4	740.6	738.8	737.9	94	53	73	N 1	S 1	N 1	3	0	0	.	
19	3.2	16.0	6.6	8.6	1.2	738.3	736.4	736.9	95	52	73	N 1	S 1	W 1	1	2	0	.	
20	4.2	18.8	10.8	11.3	3.8	736.3	733.8	732.3	93	43	81	N 1	S 1	E 1	1	3	4	.	
21	7.0	19.2	12.4	12.9	5.2	729.7	731.1	734.8	96	32	33	N 1	N 2	N 3	9	9	0	.	☄ 9–n
22	8.2	18.4	11.2	12.6	4.8	735.8	733.7	732.5	57	33	68	S 1	— 0	NNW 1	8	9	0	.	
23	6.4	**28.4**	12.4	15.1	7.2	732.8	731.9	733.8	77	24	41	N 1	NNW 1	N 1	0	0	0	.	☄ 10–18
24	7.4	17.8	10.8	12.0	3.9	735.8	733.4	732.1	83	48	86	S 1	S 1	N 1	9	1	5	.	
25	5.2	19.8	13.4	12.8	4.6	730.8	729.1	728.0	91	41	42	N 1	S 1	WNW 1	0	5	3	0.2	● n (25./26.)
26	8.4	18.2	7.4	11.3	3.0	726.0	725.1	729.0	94	**22**	29	W 1	N 2	N 2	5	1	0	.	☄ 10–23½
27	4.8	15.8	7.2	9.3	0.8	730.4	730.2	731.1	34	26	44	NNE 1	S 1	NNW 1	0	0	0	.	
28	6.4	7.4	6.4	6.7	−1.9	729.0	729.8	729.4	67	65	81	NE 1	S 1	E 1	10	10	10●	2.4	● 21–n
29	4.2	5.4	3.2	4.3	−4.4	727.9	724.5	724.5	98	99	99	W 1	N 1	NW 1	10●	10●	10	**23.4**	● n–a, ● a–20½
30	5.4	8.0	7.4	6.9	−2.0	724.4	**724.2**	728.4	99	92	79	N 1	SW 1	W 1	10●	10●	4	15.1	● 7–14
31	6.4	11.8	8.8	9.0	0.0	729.5	730.2	729.1	92	71	99	W 1	SSE 1	N 1	6	10	10	13.9	● 16–20
Mittel	4.8	13.0	7.1	8.3	—	735.4	734.8	735.3	80	53	71				5.8	4.4	4.3	Summe 55.3	

$\lambda = 7° 35'$, $\beta = 47° 33'$,
$H_b = 317.3$ m, $G = 0.11$ mm.

Basel

März 1952
Beobachter: *Astronom.-Meteorol. Anstalt.*

1	2.8	7.4	1.8	4.0	1.5	**739.5**	739.3	737.9	96	72	97	SE 0	NW 1	SSE 1	10	8	0	.	
2	−0.8	9.9	5.0	4.7	2.1	735.5	734.1	733.1	100	53	87	ESE 1	E 1	E 1	10≡	0	0	.	≡ 6½–9½, ⌴
3	0.1	13.1	7.4	6.9	4.2	732.9	732.0	731.0	87	43	65	ESE 1	E 1	ESE 1	7	8	2	.	⌴
4	2.4	15.5	10.4	9.4	6.6	732.0	731.2	731.6	80	37	66	ESE 1	E 1	S 1	S	2	10	.	
5	5.5	15.2	8.1	9.6	6.6	731.5	731.3	733.1	79	57	96	E 1	SSW 1	WSW 1	9	10	10	3.4	● 9–10⅝, 17–20¾ mU
6	4.8	11.4	7.8	8.0	4.9	735.6	736.2	736.8	96	60	79	S 0	E 0	SE 1	9	9	10	0.4	
7	4.3	4.7	3.7	4.2	1.0	736.1	735.7	735.2	96	92	93	NW 1	NW 1	E 1	10≡●	10	10	10.0	● 6¾–n mU, ≡ 6¾–10½
8	0.1	5.4	3.0	2.8	−0.5	735.6	736.0	735.7	87	56	62	E 1	ESE 1	ESE 1	10	10	0	.	● n–7½
9	1.1	5.4	4.6	3.7	0.2	734.6	734.7	734.7	77	75	94	E 2	E 1	ESE 1	10	10	10●	4.7	● 14–23¼
10	5.2	8.0	6.1	6.4	2.8	733.8	735.7	736.7	97	78	81	SE 1	WNW 1	S 0	10≡	10	10	.	≡ 7½–7⅝
11	1.5	13.7	4.4	6.5	2.8	736.0	734.5	733.4	100	44	96	E 1	SSE 1	E 0	4	4	0	.	⌴
12	0.4	10.4	7.4	6.1	2.2	732.0	731.2	730.3	100	58	86	SSE 1	W 1	NW 1	8≡	8	10	.	≡ 8¼–8½, 11½–11⅝
13	2.6	9.4	6.7	6.2	2.2	731.5	732.0	733.5	100	59	80	NW 1	NNE 1	NW 1	10	2	9	.	
14	1.3	6.2	0.6	2.7	1.4	736.3	737.2	737.4	83	38	52	NW 1	E 1	NE 2	10	3	0	0.0	✳ 8–8¼
15	**−2.4**	8.0	4.8	3.5	0.7	735.2	733.7	733.3	67	**29**	50	ESE 1	NNE 2	ESE 1	0	0	0	0.0	
16	1.6	9.2	7.0	5.9	1.5	731.1	733.3	733.1	75	52	77	ESE 1	E 1	ESE 1	10	10	7	0.0	● 6½–14 mU
17	3.2	15.2	7.8	8.7	4.2	733.7	734.0	735.4	92	51	89	E 1	NW 1	ESE 1	7	7	10●	0.9	● 20½–22½ mU
18	7.2	**17.0**	8.6	10.9	6.3	735.4	734.4	733.9	72	48	91	ESE 1	W 1	SE 1	10	8	10	0.0	● 18–18¾
19	6.0	15.9	10.2	10.7	6.0	733.5	732.8	733.9	82	49	83	E 1	E 1	SE 1	7	7	8	0.0	● 23¾–0½
20	7.8	10.0	9.1	9.0	4.1	734.5	733.9	730.9	67	49	75	NW 1	WSW 1	WSW 2	10	10●	10	0.6	● 13–17 mU
21	7.8	10.2	8.6	8.9	3.9	731.8	733.5	735.3	78	59	78	WNW 1	NW 1	WSW 1	10	10	10	2.6	
22	7.8	11.7	10.1	9.9	4.8	732.0	730.9	732.1	89	76	82	S 1	W 2	WSW 2	10●	10	0	9.5	● 3¾–11, 15¾–16½, ☄ 1½–2½, ◠ 16¾
23	7.4	10.8	10.1	9.4	4.1	733.8	734.3	733.5	98	73	79	SW 1	W 1	NW 1	10●	10	10	0.0	● 2–8, 10¾
24	8.0	10.5	9.5	9.3	3.9	730.3	729.6	729.7	88	82	80	E 1	W 1	WSW 1	10	10●	10	2.6	● 1¾–14¾, 19, ☄ 18½, ◠ 17
25	8.5	9.8	8.5	8.9	3.4	728.3	728.2	726.3	86	84	79	W 1	W 1	SW 2	10●	9●	10●	10.8	● 2½–14¾ mU, 17¾–23¾ mU, ☄ 14½
26	3.7	5.3	0.1	3.0	−2.6	728.4	729.6	730.5	82	51	98	NW 1	W 2	NW 0	10●	8	10	4.9	● 0¼–8½, ✳ 8½–11 mU, 19¾–22½ mU
27	−0.8	6.6	3.5	3.1	−2.7	730.0	728.1	725.3	90	46	55	E 1	ENE 1	ENE 2	7	5	0	2.3	✳
28	−0.2	0.8	0.2	0.3	−5.6	722.2	721.4	718.8	100	100	100	NE 1	NE 0	NW 0	10*	10*	10●	**17.2**	✳ 5¾–14½, ● 14½–24 mU, ≡ 14½ ✳
29	0.6	4.4	8.3	4.4	−1.6	715.8	**713.9**	716.4	96	93	87	NW 1	NW 0	SE 1	10≡	10●	10●	7.4	● 0–5½, 9¾–10½, 12½–17¾, *) ✳
30	6.7	12.2	9.4	9.4	3.2	717.7	718.4	721.3	91	82	96	SSE 1	S 0	E 1	10●	10●	10	6.3	● 7½–8¾, 13–17, 19½–19¾, ☄ 23¼
31	7.8	16.2	11.4	11.8	5.5	723.1	722.5	719.6	94	59	91	ENE 1	NNE 1	NW 1	10●	7	10●	13.5	● 4½–8¾, 15¾–15¾, 20½–21¾
Mittel	3.6	10.0	6.6	6.7	—	731.7	731.4	731.3	88	61	81				8.9	7.6	7.0	Summe 97.1	

*) **29.** 21–23½, ≡ 7¼–7⅝

März 1952
Beobachter: *Observatorium.*

Säntis

$\lambda = 9°\,20'$, $\beta = 47°\,15'$,
$H_b = 2500.1$ m, $G = -0.27$ mm.

Tag	Lufttemperatur 7³⁰	13³⁰	21³⁰	Mittel	Abweich. vom Normalst	Luftdruck 7³⁰	13³⁰	21³⁰	Relative Feuchtigkeit 7³⁰	13³⁰	21³⁰	Windrichtung und Stärke 7³⁰	13³⁰	21³⁰	Bewölkung 7³⁰	13³⁰	21³⁰	Niederschlag	Witterung
1	−8.8	−7.0	−7.5	−7.8	0.6	561.5	**561.9**	561.7	97	93	61	W 2	SW 3	WSW 3	10≡	10≡	2	.	≡ n-14½, ⋁ a
2	−4.8	−3.2	−5.0	−4.7	3.6	560.6	560.5	560.1	63	60	93	W 3	W 3	**W** 3	6	2	1	.	
3	−3.5	−1.2	−3.8	−2.8	5.5	560.4	560.3	559.8	46	41	54	S 1	ESE 2	WSW 2	1	2	3	.	⊕ 16½
4	−5.5	−1.1	−5.1	−3.9	4.3	559.5	560.0	559.8	83	78	100	W 3	SW 1	**W** 3	5	3	10≡*	2.4	✳ 21-n, ≡ 20¾-n
5	−4.0	−4.2	−4.5	−4.2	3.9	559.0	559.3	558.6	98	98	100	W 4	W 3	W 4	10≡	10≡*	10≡*	23.4	✳ 11½-n, ≡ n-n, ⋁ p
6	−8.6	−7.5	−8.5	−8.2	−0.1	559.4	560.7	560.8	98	96	94	W 2	NW 3	NW 2	10≡	10≡	10≡	5.9	✳ n-7, 8-9½ mU, 17½-20¾. ≡ n-
7	−9.2	−6.9	−8.3	−8.1	−0.1	559.6	559.1	558.6	94	93	93	NNW 2	NW 2	WNW 3	10≡	10≡	10≡	2.1	≡ n-10, 11-n [15½, 16½-n, ⋁ a
8	−8.0	−6.2	−6.3	−6.8	1.1	558.6	560.2	561.2	93	85	59	W 3	W 2	WSW 3	10≡	3	5	.	≡ ⋁ n-11½
9	−4.2	−0.4	−3.2	−2.6	5.3	561.1	561.6	560.9	98	76	100	WSW 3	WSW 2	W 2	10	9	10≡*	21.2	✳ 15-n mU, ≡ 15-n
10	−5.0	−6.9	−8.1	−6.7	1.1	558.8	558.8	560.5	98	98	94	W 4	**W** 4	WNW 3	10≡*	10≡*	10≡*	19.0	✳ ≡ n-n, ✣ ⌐ n-17
11	−8.4	−5.4	−7.8	−7.2	0.5	560.0	559.8	558.7	95	75	79	NNW 1	NNE 1	NW 1	9	7	1	0.0	✳ 8¾-9½ mU, ≡ 15½-16¾ mU
12	−8.3	−7.4	−8.6	−8.1	−0.4	556.4	556.5	555.4	65	92	98	WSW 2	W 3	NW 3	1	10	10≡	6.5	✳ 19½-20¾, n (12./13.) *)
13	−11.2	−9.0	−8.9	−9.7	−2.1	554.8	556.3	557.3	95	71	98	WNW 2	WSW 2	NW 2	10≡	3	10≡	1.8	✳ n (13./14.), ≡ n 8, 8-10½ mU *)
14	−13.1	−13.0	−12.9	−13.0	−5 5	557.0	558.2	558.2	93	72	**36**	N 2	NNW 2	NE 3	10≡	2	0	0.6	✳ 7¾-9, 10-10¾, ≡ n-9, [9½-10¾
15	−8.3	−5.6	−8.3	−7.4	0.1	557.7	558.6	559.0	58	41	76	NE 3	SSE 1	W 3	1	1	1	.	
16	−7.4	−3.6	−5.8	−5.6	1.8	558.5	559.3	559.7	85	94	98	W 2	W 2	W 2	10	10≡	10≡	0.2	✳ 10¾-11½, ≡ 8½-17, 20¼-n
17	−5.7	−1.4	−5.4	−4.2	3.1	559.8	560.8	561.4	92	65	89	SSW 1	SW 1	WSW 1	2	8	10	0.0	✳ n (17./18.)
18	−5.3	−2.2	−5.5	−4.3	3.0	561.2	561.4	560.9	96	80	100	NNE 1	ESE 1	SW 1	10	3	2	.	
19	−4.9	−2.8	−4.8	−4.2	3.0	559.9	560.2	560.7	97	87	100	ENE 1	SSW 1	NW 1	1	8	10≡	5.4	△ 15½, 16¼, ≡ 15-17½ mU, 20¾-n
20	−4.8	−5.6	−5.6	−5.3	1.8	559.8	558.6	555.6	98	97	98	W 2	W 3	W 5	10≡	10≡	10≡*	37.8	▽ 6¾-7, 7¼-7½, ✳ 8-9½, *)
21	−5.1	−7.4	−7.5	−6.7	0.4	555.5	557.1	559.8	98	100	97	W 3	WNW 3	W 3	10≡*	10≡	10≡	20.8	✳ n-17 mU, ≡ n-n, ⋁ II
22	−5.6	−3.7	−3.6	−4.3	2.7	558.0	556.2	558.3	98	100	100	W 4	W 5	W 4	10≡	10≡*	10≡	**54.1**	✳ 11-19½, ≡ ⌐ n-n. *)
23	−4.9	−3.2	−3.5	−3.9	3.0	559.0	559.8	559.9	100	100	100	NW 3	**W** 3	W 3	10≡*	10≡	10≡	16.4	✳ n-11, ≡ n-n, ✣ n-9½, ⋁ p
24	−3.5	−1.8	−5.0	−3.4	3.5	557.8	556.8	555.7	100	100	100	W 3	W 3	W 4	10≡	10≡	10≡*	33.8	✳✣ 14½-n, ≡ n-8, 11¾-n, *)
25	−6.0	−5.7	−5.4	−5.7	1.1	554.7	555.3	553.9	100	100	98	W 4	W 4	WSW 4	10≡*	10≡*	10■	11.8	✳✣ n-15, ≡ ⌐ n-n, ⋁ a
26	−9.0	−11.4	**−14.9**	−11.8	−5.1	551.3	551.8	551.8	100	98	96	W 3	NW 2	WNW 3	10≡*	10≡*	10≡	24.2	✳ n-19½, ≡ n-n, ⋁ II
27	−14.0	−13.8	−10.8	−12.9	−6.2	551.1	551.1	550.8	80	82	74	N 1	SE 2	SW 2	0	1	1	0.2	
28	−6.4	−4.2	−1.9	−4.2	2.4	548.6	549.2	549.7	97	98	83	WSW 2	SSW 3	S 2	10≡*	10≡*	10	4.5	✳ n-14¾ mU, ≡ 6-14½, ⌐ p
29	−0.4	**1.4**	−2.6	−0.5	6.0	548.3	**548.7**	548.3	82	83	98	SSW 4	SSW 4	SW 3	9	10	3	3.5	✳ 15¾-19½, ≡ 15½-20½, *)
30	−3.0	**−2.0**	−3.2	−2.7	3.8	548.8	548.9	551.8	87	97	100	SW 2	SW 2	W 3	10	10≡	5	8.0	✳ 8½-8¾, 11¾-12¾, 16-19¼, ≡
31	−4.2	−1.3	−1.7	−2.4	4.0	553.1	553.9	551.4	97	88	86	WSW 2	SW 2	SSW 4	9	6	4	.	⌐ III [8-9, 10¾-20½ mU
																		Summe	
Mittel	−6.5	−5.0	−6.3	−5.9	—	557.1	557.4	557.4	90	85	89				7.9	7.4	7.0	303.6	

*) **12.** ≡ 11-n, ⊕ II **13.** 14¾-n **20.** 11¼-11½, ☽ 18-n, ≡ n-n, ⋁ I, ✣ 17-n, ⌐ p-n, ⌐ III **22.** ✣ ⌐ 7-20, ⋁ p **24.** ⋁ p, ⌐ III **29.** ✣ 7-9½, ⌐ n-p

März 1952
Beobachter: *E. Chiesa*

St. Gotthard (Hospiz)

$\lambda = 8°\,34'$, $\beta = 46°\,33'$,
$H_b = 2095$ m, $G = -0.25$ mm.

1	−6.3	−4.4	−5.2	−5.3	1.0	590.7	591.4	591.5	95	92	73	NW 3	NW 2	NW 1	10≡	10≡	0	.	≡ n-p, ⌐ I
2	−1.0	1.7	−1.8	−0.4	6.0	590.8	590.9	590.3	24	22	38	NW 1	NW 0	NW 0	0	0	0	.	
3	−5.0	−1.4	−3.6	−3.3	3.1	590.4	590.4	590.1	35	74	90	NW 0	S 1	SE 1	0	10	9	.	
4	−3.3	−0.2	−1.0	−1.5	4.8	589.3	589.4	589.7	41	35	50	NW 1	NW 1	NW 1	0	0	6	.	
5	−1.9	0.5	−2.0	−1.1	5.2	589.4	589.4	589.1	77	82	97	NW 0	NW 2	NW 2	6	10	10≡	5.5	✳ 16½-19¾, ≡ p-n
6	−5.4	−4.0	−5.2	−4.9	1.3	588.9	590.0	590.0	100	97	100	NW 2	NW 3	NW 3	10*≡	10	10■	3.4	✳ n-a mU. ≡ n-n mU, ⌐ a-n
7	−5.3	−4.2	−5.8	−5.1	1.0	589.0	588.8	588.3	100	100	100	NW 2	NW 2	NW 3	10*	10*	10*≡	13.6	✳ n-n mU, ≡ p-n, ⌐ III
8	−5.6	−1.5	−9.0	−5.4	0.7	588.0	589.5	591.5	100	75	86	NW 3	NW 1	NW 1	10*≡	10●≡	10≡	6.4	✳ n-a, ● a-p, ≡ n-n, ⌐ I
9	−9.2	−6.4	−6.8	−7.5	−1.5	**591.8**	591.6	591.5	88	85	90	NW 0	SE 0	SE 1	3	10≡	10≡	0.9	✳ p-n mU, ≡ 9-n
10	−6.5	−2.4	−5.9	−4.9	1.1	589.9	589.8	589.9	85	94	95	SE 0	NW 2	NW 3	10≡	10≡	10	1.2	≡ n-p, ✣ n-n, ⌐ III
11	−7.0	−3.1	−5.9	−5.3	0.6	589.9	589.7	589.5	90	76	58	NW 1	NW 0	NW 0	3	0	0	.	
12	−9.3	−3.7	−5.4	−6.1	−0.3	586.8	586.4	585.4	36	51	85	SE 0	NW 2	NW 1	0	6	10	3.4	✳ 21¼-n mU
13	−6.9	−5.4	−5.9	−6.1	−0.3	584.4	585.9	586.2	94	78	95	NW 2	NW 2	NW 2	10≡	0	10*	2.4	✳ 20¼-n, ≡ n-a
14	−7.8	−8.0	−12.2	−9.3	−3.6	586.1	587.5	588.2	95	93	87	NW 3	NW 3	NW 1	10≡	10≡	0	.	≡ n-p, ⌐ n-p
15	−7.9	−3.2	−7.6	−6.2	−0.5	586.7	588.1	588.5	10	7	26	NW 0	NW 1	NW 0	0	0	0	.	
16	−6.8	−0.8	−7.0	−4.9	0.7	588.4	588.9	589.4	35	59	85	NW 0	NW 0	SE 0	3	3	0	.	
17	−7.0	−0.5	−6.2	−4.6	0.9	589.5	590.4	591.0	66	65	76	SE 0	SE 0	SE 0	0	0	0	.	
18	−4.7	1.1	−5.1	−2.9	2.6	580.7	590.8	590.4	61	54	75	NW 1	SE 0	SE 0	0	0	0	.	
19	−4.7	2.1	−2.9	−1.8	3.6	589.6	589.6	589.8	70	45	90	SE 0	SE 0	NW 1	0	0	3	1.0	✳ n (19./20.)
20	−2.7	0.7	−3.0	−1.7	3.7	589.3	589.3	587.5	98	95	80	NW 2	NW 1	NW 2	10≡	10	10*≡	10.5	✳ 17¼, ≡ n-n mU
21	−3.5	−3.4	−5.6	−4.2	1.1	585.4	586.0	589.3	86	90	92	NW 3	NW 3	NW 4	10≡	10≡	10≡	3.8	≡ ✣ ⌐ n-n, ⌐ III
22	−4.9	0.6	−1.5	−1.9	3.3	589.2	588.3	588.2	100	90	100	NW 2	NW 1	NW 1	10*≡	10*	10	19.3	△ 16½, ✳ n-p, ≡ n-a
23	−3.2	−0.6	−2.2	−2.0	3.2	588.6	589.5	589.7	100	100	96	NW 2	NW 2	NW 2	10≡	10≡	3	.	≡ n-p
24	−2.3	**2.3**	−1.0	−0.3	4.8	588.4	587.6	586.8	58	53	71	NW 0	SE 1	NW 2	0	3	0	1.8	✳ 15½-18
25	−1.1	−0.4	−2.0	−1.2	3.9	585.6	585.9	584.9	56	80	77	NW 2	NW 1	SE 0	9	3	3	2.5	✳ n (25./26.)
26	−5.3	−7.8	−11.3	−8.1	−3.1	581.2	581.4	581.2	80	78	92	NW 3	NW 3	NW 3	10≡	10*≡	10≡	6.2	✳ n-p, ≡ ⌐ n n
27	**−12.5**	−6.7	−7.6	−8.9	−4.0	581.5	581.7	581.8	90	76	44	NW 1	SE 1	SE 2	9	0	0	2.1	✳ n (27./28.), ≡ a
28	−8.1	−6 5	−5.1	−6.6	−1.7	580.7	580.9	580.9	96	96	100	SE 2	SE 2	SE 2	10*	10≡	10≡	2.3	✳ n-a, ≡ a-n mU
29	−1.9	−0.4	−2.1	−1.5	3.3	579.8	**577.6**	577.8	100	100	100	SE 2	SE 1	SE 0	10≡	10*≡	10*≡	**21.3**	✳ 9¼-n, ≡ n-n
30	−1.5	1.1	−1.6	−0.7	4.1	578.4	578.5	581.2	100	92	97	SE 0	SE 0	SE 1	10*≡	10≡	10*≡	6.8	✳ n-a, p-n mU, ≡ n-n
31	−1.9	1.2	−1.0	−0.6	4.1	581.8	583.6	582.9	98	79	100	SE 1	SE 2	SE 2	10	10≡	10≡	18.7	△ 15¼-n mU, ≡ a-n
Mittel	−5.2	−2.0	−4.8	−4.0	—	587.1	587.4	587.5	76	75	82				6.2	6.3	5.9	133.1	

$\lambda = 7°\,26'$, $\beta = 46°\,57'$,
$H_b = 572.2$ m, $G = 0.00$ mm.

Bern

April 1952
Beobachter: *Meteorol. Observatorium.*

Tag	Lufttemperatur					Luftdruck			Relative Feuchtigkeit			Windrichtung und Stärke						Bewölkung			Niederschlag	Witterung
	7^{30}	13^{30}	21^{30}	Mittel	Abweich. vom Normalst.	7^{30}	13^{30}	21^{30}	7^{30}	13^{30}	21^{30}	7^{30}		13^{30}		21^{30}		7^{30}	13^{30}	21^{30}		
1	8.4	5.5	−1.0	4.3	−1.4	694.9	**694.3**	699.4	92	92	88	S	1	NNE	2	NE	1	9	10●	10*	**19.9**	● 4½–7¾, 8½–17¾, ✳ 17¾–24
2	−2.0	1.0	−1.1	−0.7	−6.5	704.7	706.7	709.6	82	54	65	NE	1	NNE	2	NE	1	10*	4	0	0.0	✳ 0–8½
3	**−2.7**	2.9	1.4	0.5	−5.5	712.4	714.0	716.4	73	44	56	NE	1	ENE	4	NE	1	1	5	10	.	
4	−1.3	5.1	2.2	2.0	−4.1	716.5	715.9	715.2	76	46	58	NE	2	ESE	3	ENE	1	3	3	0	.	☄ II
5	−0.4	6.5	3.8	3.3	−3.0	713.7	712.5	713.5	81	47	58	S	1	**W**	1	SSW	1	9	9	8	.	
6	2.4	9.2	6.4	6.0	−0.4	715.1	716.2	716.8	70	46	59	S	1	NW	1	SE	1	10	9	6	0.0	●tr 8–8¾
7	3.8	14.6	10.3	9.6	3.0	718.3	718.4	719.0	68	**33**	48	S	1	W	3	WNW	1	7	8	2	.	☥ III, ☄ II
8	5.0	16.1	11.3	10.8	4.1	**719.9**	718.2	717.7	74	38	64	SSE	1	SSW	1	S	1	6	1	6	.	⊿ I, ☥ III
9	6.2	16.3	12.4	11.6	4.7	717.2	715.3	713.1	81	40	61	S	1	NNE	1	E	1	7	5	8	.	⊿ I, ☥ III
10	7.7	17.7	13.6	13.0	6.0	712.9	711.6	711.7	79	41	49	SE	1	SSW	1	SSW	1	6	5	7	.	⊿ I
11	7.8	19.5	15.3	14.2	7.0	712.8	712.0	712.7	77	37	38	SE	1	NNE	1	SE	2	2	1	2	.	⊿ I
12	8.4	18.1	14.4	13.6	6.2	713.5	713.2	714.8	62	40	49	S	1	WSW	1	SSW	1	9	9	10	.	
13	12.1	19.2	14.9	15.4	7.9	716.7	715.9	716.8	63	38	50	ESE	1	NE	2	SE	1	8	3	0	.	
14	8.4	19.7	14.7	14.3	6.6	717.2	715.3	715.0	73	40	60	S	1	NNE	2	NE	1	0	1	0	.	⊿ I
15	9.5	19.9	14.4	14.6	6.7	714.9	712.8	712.9	75	46	59	SSE	1	N	1	NE	1	0	2	0	.	⊿ I
16	9.4	19.1	15.4	14.6	6.5	712.8	711.8	712.2	80	45	59	SE	1	NE	2	E	1	1	1	0	.	⊿ I
17	10.3	20.0	16.0	15.4	7.1	713.0	712.4	713.2	77	46	55	SE	1	NNE	2	NE	1	1	1	0	.	⊿ I
18	9.9	20.4	14.6	15.0	6.5	715.0	714.5	714.7	82	41	46	SSE	1	NNW	1	SSE	1	1	2	0	.	⊿ I
19	10.7	**21.3**	12.4	14.8	6.2	714.9	712.5	712.7	67	37	78	S	1	NNE	2	SE	2	5	8	5	1.7	● 17½–20¾, ⊿ I
20	10.0	14.4	12.1	12.2	3.4	711.1	709.6	709.8	86	61	74	SSE	1	WSW	2	**S**	1	2	10●	9	0.8	● 13¾–15½ m⊿
21	10.3	17.0	13.4	13.6	4.6	708.4	706.7	705.7	86	52	69	ESE	1	NW	2	NE	1	10●	10	10	4.2	● 7–10¾, 16
22	9.3	13.4	9.6	10.8	1.7	706.8	707.3	709.4	90	63	96	WSW	3	SSW	1	W	1	10●	10	10●	14.2	● 4¾–10, 14¾–24
23	7.2	8.1	7.4	7.6	−1.7	711.5	711.7	711.8	90	84	88	E	1	NNE	1	N	1	10●	10●	10●	16.5	● 0–24
24	5.6	6.8	6.4	6.3	−3.1	713.4	713.5	714.0	91	87	96	SSE	1	NE	1	NNE	1	10●	10●	10●	9.1	● 0–24
25	6.9	9.3	8.7	8.3	−1.3	713.2	713.5	714.4	94	81	85	ENE	2	ENE	2	NNE	2	10●	10	10	0.5	● 0–11½, ☽ 14¼–18½
26	8.3	9.4	8.5	8.7	−1.0	713.4	712.8	712.4	92	82	86	NE	2	NE	2	NE	2	10	10	10	.	☽ 7½
27	8.1	11.5	8.2	9.3	−0.6	710.4	710.0	709.6	83	64	83	NE	1	NE	1	NE	1	10	9	0	.	
28	6.1	14.8	11.9	10.9	0.9	710.6	710.2	710.3	92	43	58	**S**	1	WNW	1	ENE	1	10	7	0	.	⊿ I
29	6.8	17.6	13.4	12.6	2.4	711.2	710.2	709.7	82	42	56	SE	1	NNE	1	E	1	0	1	0	.	⊿ I
30	9.2	20.2	15.0	14.8	4.5	709.4	708.0	707.1	78	41	54	S	1	NNE	1	SE	1	0	1	1	.	⊿ I
																					Summe	
Mittel	6.7	13.8	10.2	10.2	—	712.5	711.9	712.4	80	52	65							5.9	5.8	4.8	66.9	

$\lambda = 6°\,57'$, $\beta = 47°\,0'$,
$H_b = 487.3$ m, $G = 0.02$ mm.

Neuchâtel

April 1952
Beobachter: *Observatorium.*

1	9.3	9.9	−0.3	6.3	−0.2	701.5	**700.8**	706.6	95	75	93	SW	1	W	2	NE	0	10●	10●	10*	**17.2**	● 4¾–17½, ✳ 17½–24
2	**−1.6**	3.6	0.1	0.7	−6.0	712.3	714.3	717.4	96	71	79	NE	1	E	2	NE	1	10*	8	4	.	✳ 0–7½
3	−0.8	6.9	2.0	2.7	−4.1	720.0	721.7	724.4	85	52	67	NE	2	E	3	NE	2	2	4	1	.	☄ 10–15
4	0.4	7.1	3.0	3.5	−3.4	724.3	723.6	723.0	77	48	62	NE	2	E	3	NE	2	0	1	1	.	☄ 11½–19
5	0.2	8.8	5.0	4.7	−2.4	721.6	720.1	720.9	86	54	58	NE	0	S	1	NW	2	0	1	2	.	
6	4.3	9.0	5.8	6.4	−0.8	722.7	723.4	724.5	71	62	73	SW	1	SW	1	SW	0	10	9	4	0.0	●tr a
7	4.2	13.7	9.5	9.1	1.7	725.8	726.1	726.5	80	51	71	NW	0	SW	2	S	0	6	7	0	.	
8	6.2	17.2	10.9	11.4	3.9	**727.5**	726.2	725.1	88	51	75	SW	0	S	1	SW	0	2	0	1	.	
9	7.0	17.7	11.2	12.0	4.3	724.8	722.9	720.5	85	46	67	SW	0	**S**	1	S	0	3	3	2	.	
10	8.4	18.6	12.0	13.0	5.2	720.3	719.4	719.1	86	44	61	SE	0	SW	1	W	0	3	2	2	.	
11	8.9	20.3	15.5	14.9	6.9	720.3	719.7	719.7	78	44	55	SW	0	S	1	NW	0	1	1	1	.	
12	10.0	16.0	15.8	13.9	5.8	721.1	720.9	722.1	70	54	56	**E**	0	**S**	0	N	0	8	9	10	.	
13	11.4	21.2	16.7	16.4	8.1	724.1	723.7	724.3	76	**41**	50	NE	1	NE	2	NE	1	8	0	0	.	
14	9.9	21.5	16.8	16.1	7.7	724.8	722.9	722.3	82	46	60	NE	0	E	2	**NE**	1	0	1	0	.	
15	10.0	21.7	15.0	15.6	7.0	722.5	720.7	720.2	88	52	67	NW	0	S	1	NE	1	2	2	0	.	
16	10.0	21.2	14.8	15.3	6.5	720.3	719.3	719.4	90	53	75	E	0	**SE**	1	N	0	3	2	2	.	
17	10.9	21.9	17.7	16.8	7.9	720.5	720.3	720.6	89	43	55	SE	0	E	2	NE	2	7	1	0	.	
18	10.8	21.1	14.6	15.5	6.4	722.6	722.1	722.0	90	57	73	NE	0	SE	1	NE	0	3	3	1	.	
19	10.7	**22.2**	13.7	15.5	6.3	722.4	720.1	720.3	84	43	76	E	0	SW	2	NE	0	2	7	10	0.0	●tr 19
20	10.8	14.6	11.5	12.3	2.9	718.6	717.3	717.1	90	80	96	W	0	W	2	W	0	2	10●	10	8.6	● 11¾–12½, 13½–16¾, ⊤ 12½
21	10.5	16.3	13.8	13.5	3.9	715.7	713.9	712.9	99	69	78	SW	0	SW	2	SW	0	10	10	10	3.8	
22	9.5	12.6	9.1	10.4	0.7	714.2	714.6	717.0	96	76	95	SW	2	W	1	SW	0	10●	10	10●	5.8	● 0¾–7½, 15¼–24
23	7.9	9.6	7.9	8.5	−1.4	718.9	719.1	719.6	94	84	96	W	1	SE	0	E	0	10	10	10●	4.8	● 0–2¾, 9½–13, 19–24
24	7.0	7.9	6.6	7.2	−2.8	720.9	721.2	721.8	97	94	97	SW	0	E	1	E	0	10●	10●	10●	11.3	● 0–23½
25	7.6	10.1	9.5	9.1	−1.1	720.8	721.2	722.0	97	84	92	NE	1	E	2	NE	1	10	10	10	0.2	● 5¾–6
26	8.7	9.9	9.0	9.2	−1.2	721.1	720.6	720.0	97	93	95	NE	1	NE	2	NE	0	10●	10	10	0.2	● 6½–8¾
27	9.3	14.3	9.9	11.2	0.7	717.8	717.5	717.1	86	65	77	NE	1	E	2	N	1	9	7	0	.	
28	6.3	14.8	11.5	10.9	0.2	718.2	717.9	717.8	96	60	66	N	0	SE	1	NW	0	10	6	0	.	
29	7.5	18.4	12.4	12.8	2.0	718.9	717.8	717.0	90	53	67	SE	1	SE	1	NW	0	0	1	0	.	
30	9.2	21.2	18.6	16.3	5.3	716.8	715.4	714.1	92	43	48	S	0	SE	1	NW	3	0	0	9	1.5	●tr 21, ● 23¼–1
31																						
																					Summe	
Mittel	7.5	15.0	10.6	11.0	—	720.0	719.5	719.8	88	59	73							5.4	5.2	4.3	53.4	

April 1952
Beobachter: *Frl. H. Nager.*

Altdorf

$\lambda = 8° 39'$, $\beta = 46° 53'$,
$H_b = 456.3$ m, $G = -0.05$ mm.

Tag	Lufttemperatur					Luftdruck			Relative Feuchtigkeit			Windrichtung und Stärke			Bewölkung			Niederschlag	Witterung
	7^{30}	13^{30}	21^{30}	Mittel	Abweich. vom Normalst	7^{30}	13^{30}	21^{30}	7^{30}	13^{30}	21^{30}	7^{30}	13^{30}	21^{30}	7^{30}	13^{30}	21^{30}		
1	10.4	8.5	2.2	7.0	0.0	**704.0**	704.1	706.4	76	93	98	N 0	NW 1	N 0	7	10	10●	1.9	● 13¾-n
2	2.0	5.7	1.2	3.0	−4.1	711.5	714.2	719.9	98	61	72	NW 0	N 2	NE 0	10	8	10	2.2	✳ n-a mU
3	**−0.9**	5.1	1.3	1.8	−5.5	723.1	724.0	726.9	74	36	70	NE 0	N 1	NW 0	4	6	9	.	
4	0.9	5.1	3.7	3.2	−4.2	726.9	725.9	725.2	74	52	71	N 0	NW 2	NW 0	7	7	10	.	
5	0.7	8.4	6.2	5.1	−2.4	724.0	721.9	722.1	87	47	78	NE 0	NW 2	NW 0	2	3	10●	0.0	● abd
6	4.8	8.8	4.8	6.1	−1.6	725.1	726.2	728.0	80	51	67	N 0	NW 0	SE 0	10	10	6	.	
7	4.9	14.3	9.5	9.6	1.8	728.1	728.5	729.9	70	33	52	E 0	NW 1	SE 0	3	3	0	.	
8	6.3	15.7	10.0	10.7	2.8	**730.4**	728.0	728.4	76	100	58	E 0	NW 1	W 0	2	2	0	.	
9	6.9	15.9	12.7	11.8	3.7	726.3	724.7	723.4	59	47	47	NW 0	W 0	SE 0	2	4	4	.	
10	13.4	21.2	15.0	16.5	8.3	722.3	721.0	721.8	45	30	33	SE 0	W 1	SE 2	3	6	5	.	ω III
11	14.6	21.2	16.0	17.3	8.9	723.0	722.4	724.0	34	29	30	E 1	**S** 2	S 3	3	4	6	.	↙ III
12	16.8	19.0	16.8	17.5	9.0	723.2	723.4	726.2	**25**	27	29	SE 2	SE 3	**S** 2	10	6	7	.	↙ II
13	12.4	19.4	13.9	15.2	6.6	727.2	725.6	727.6	50	66	42	NW 0	NW 1	E 1	7	8	6	.	
14	9.4	17.2	12.1	12.9	4.1	727.5	725.5	725.5	71	49	60	E 0	NW 0	SE 0	7	7	4	.	
15	9.1	17.9	12.7	13.2	4.3	725.0	722.8	723.0	84	49	59	E 0	W 0	E 0	0	6	4	.	
16	8.9	16.8	14.7	13.5	4.4	723.0	721.7	722.7	86	60	56	W 0	NW 1	NW 0	6	7	7	.	
17	9.5	17.8	15.0	14.1	4.9	723.3	722.5	723.7	97	61	58	NW 0	NW 1	NW 0	4	6	8	.	
18	9.7	18.9	13.9	14.2	4.8	725.2	724.2	725.0	94	55	56	E 0	NW 1	E 0	7	5	7	.	
19	11.6	20.7	12.0	14.8	5.3	724.8	721.9	723.1	87	49	100	E 0	NW 1	E 0	6	6	8	4.7	● 17½-19½
20	11.4	18.5	11.7	13.9	4.3	721.2	718.8	720.0	100	54	100	E 0	NW 1	NW 0	10●	7	10	2.0	● n-8¾
21	11.7	19.3	14.2	15.1	5.3	718.3	715.3	715.9	88	47	73	NE 0	NW 1	NW 0	10	6	10	.	
22	13.5	14.9	11.4	13.3	3.4	715.5	717.0	719.2	84	68	100	**W** 0	NW 1	NW 0	10	10	10●	5.4	● p-n
23	9.9	10.4	9.2	9.8	−0.3	721.2	721.2	721.8	96	85	100	W 0	NW 1	NW 0	10●	10●	10●	**14.2**	● n-n
24	6.9	7.8	7.5	7.4	−2.8	723.6	724.0	724.5	100	93	100	NE 0	E 0	NW 0	10●	10●	10●	13.3	● n-n
25	7.9	11.8	8.6	9.4	−0.9	723.5	723.5	723.8	100	75	100	E 0	W 1	N 0	10	10	10	0.4	●tr n-n mU
26	8.5	10.7	9.6	9.6	−0.9	722.5	720.7	722.1	100	81	100	NW 0	N 0	NW 0	10	10	10●	0.5	● p-n
27	9.7	12.3	10.0	10.7	0.1	720.2	720.0	719.8	100	70	96	W 0	NW 2	NW 0	10	9	9	.	
28	9.3	15.5	10.0	11.6	0.9	720.5	719.7	720.5	97	48	85	W 0	N 2	NW 0	10	7	8	.	
29	8.4	16.3	13.3	12.7	1.8	721.3	720.0	720.0	100	56	67	SW 0	NW 1	NW 0	2	3	0	.	
30	9.5	**22.4**	17.3	16.4	5.4	719.0	717.3	716.8	98	30	35	SE 0	SE 2	SE 2	0	2	0	.	
Mittel	8.6	14.6	10.6	11.3	—	722.4	721.5	722.6	81	57	70				6.4	6.6	6.9	Summe 44.6	

April 1952
Beobachter: *Observatorium.*

Genève

$\lambda = 6° 9'$, $\beta = 46° 12'$,
$H_b = 405.0$ m, $G = -0.03$ mm.

1	10.8	14.5	0.5	8.6	1.6	708.8	**708.4**	714.9	90	76	98	SSE 0	S 2	NE 2	10●	10	10●	3.0	● a, ● ✳ n (1./2.)
2	**−0.4**	4.0	2.5	2.0	−5.1	719.4	721.0	723.6	92	52	91	NNE 3	NNE 3	NNE 3	8	2	2	.	↙ n-n mU
3	1.4	6.0	4.0	3.8	−3.5	726.7	727.6	730.2	81	46	62	NNE 4	NNE 4	NNE 3	3	2	1	.	↙ n-n mU
4	1.6	6.4	3.5	3.8	−3.6	731.6	730.3	730.1	78	67	66	NNE 2	NNE 1	NE 0	10	5	0	.	
5	0.2	10.8	5.5	5.5	−2.1	728.9	726.9	728.8	93	35	62	E 0	SSW 0	S 0	0	1	0	.	
6	7.0	14.0	8.1	9.7	2.0	731.0	731.3	732.3	60	37	75	S 1	SSW 1	S 0	9	3	0	.	
7	4.2	17.0	12.6	11.3	3.5	733.9	733.5	734.0	70	34	60	SSW 0	SSW 2	SSW 0	0	3	0	.	
8	8.2	18.0	14.2	13.5	5.5	**734.6**	732.7	732.5	86	43	51	SE 0	**W** 2	S 0	0	2	2	.	
9	8.0	14.5	12.0	11.5	3.4	73 .0	728.2	727.5	70	63	71	E 0	NNE 1	E 0	2	5	6	.	
10	10.0	20.0	15.0	15.0	6.7	727.4	726.4	725.9	70	**32**	66	E 0	SSW 1	WNW 1	8	2	9	.	
11	10.0	19.0	15.2	14.7	6.3	726.9	726.5	725.9	86	43	56	**E** 1	NW 1	ESE 0	1	3	6	.	
12	10.5	16.6	14.2	13.8	5.3	726.6	727.9	728.2	93	47	67	S 1	S 1	ENE 0	10	10	10	.	
13	11.5	18.0	14.5	14.7	6.0	731.0	730.5	730.8	79	39	76	E 0	NE 1	NE 0	1	3	1	.	
14	9.8	19.1	15.8	14.9	6.1	731.1	729.3	728.9	76	50	66	E 0	NE 0	E 0	0	1	1	.	
15	11.9	20.4	14.2	15.5	6.5	729.2	726.9	726.8	72	44	74	E 0	NE 1	E 0	0	4	3	.	
16	19.3	20.0	16.1	15.5	6.4	727.0	726.4	726.1	90	60	64	E 0	NE 1	E 0	3	4	3	.	
17	12.8	19.8	16.4	16.3	7.0	727.3	726.7	727.6	75	52	75	E 0	NE 1	E 0	0	2	2	.	
18	11.0	19.2	17.0	15.7	6.3	729.8	728.3	729.3	90	61	67	E 0	NNE 1	**E** 0	0	4	5	.	
19	13.6	**23.2**	13.3	16.7	7.1	729.3	726.5	728.1	82	46	92	NE 1	NNE 1	ESE 1	3	6	10●	**10.0**	☇ 16½, ▽ p-n
20	12.7	14.4	12.3	13.1	3.3	725.3	725.7	724.5	90	82	80	ESE 0	S 2	S 0	8	10●	10	1.8	☇ 12¾-p
21	11.8	19.8	16.3	16.0	6.1	722.7	720.5	720.1	85	64	81	S 1	SSW 1	S 1	10	9	10	0.8	● n (21./22.)
22	11.8	13.0	11.0	11.9	1.8	721.6	722.1	724.6	87	81	85	S 1	S 1	S 1	10	10	10●	1.1	● n-n mU
23	9.8	12.2	9.0	10.3	0.1	725.9	725.8	727.3	89	68	92	NNE 1	NNE 1	NE 0	9	10	10●	3.0	● p-n
24	6.7	8.5	7.2	7.5	−2.9	727.5	727.5	728.1	91	87	91	NE 1	NNE 1	NNE 1	10	10●	10●	6.3	● p
25	7.5	11.2	10.4	9.7	−0.8	727.3	727.3	727.4	78	75	82	NNE 2	NNE 2	ENE 1	10	10	5	.	
26	9.5	11.5	10.0	10.3	−0.4	727.1	726.4	726.0	89	75	86	NNE 1	NNE 2	E 0	10	10	9	.	
27	10.0	14.2	11.5	11.9	1.1	725.1	724.3	724.0	76	59	79	E 0	NNE 1	E 0	9	1	0	.	
28	8.8	15.0	12.4	12.0	1.0	725.1	724.8	724.6	89	60	78	E 0	NNE 1	E 0	0	1	0	.	
29	9.5	17.0	14.5	13.7	2.6	725.7	724.3	724.2	76	50	73	E 0	NNE 1	E 0	0	1	0	.	
30	10.7	19.0	16.0	15.2	3.9	723.9	721.6	721.8	90	53	85	E 0	NNE 1	E 0	0	1	9	4.5	☇ 18½
Mittel	8.7	15.2	11.5	11.8	—	726.9	726.2	726.8	82	56	75				4.8	4.8	4.8	Summe 30.5	

$\lambda = 8°\ 34'$, $\beta = 47°\ 23'$,
$H_b = 569.4$ m, $G = 0.03$ mm

Zürich

April 1952
Beobachter: *Meteorol. Zentralanstalt.*

Tag	Lufttemperatur 7³⁰	13³⁰	21³⁰	Mittel	Abweich. vom Normalst	Luftdruck 7³⁰	13³⁰	21³⁰	Relative Feuchtigkeit 7³⁰	13³⁰	21³⁰	Windrichtung und Stärke 7³⁰	13³⁰	21³⁰	Bewölkung 7³⁰	13³⁰	21³⁰	Niederschlag	Witterung
1	9.1	3.2	−2.3	3.3	−2.2	**695.3**	696.0	699.8	96	96	98	S 1	NNE 2	NNE 1	10	10●	10*	**37.5**	● 5¾–6¼, 10½–11½, ✳ 14½–24 mU
2	−3.1	4.4	−2.2	−0.3	−6.0	705.3	707.5	710.3	91	48	84	NE 1	NE 1	N 1	10*	4	1	1.4	✳ 0–8½
3	**−3.3**	5.1	−0.6	0.4	−5.4	713.3	715.2	717.4	83	51	80	ENE 1	**NNE** 2	NE 1	1	2	0	0.0	
4	−1.8	7.0	2.0	2.4	−3.6	717.4	716.6	716.0	86	43	70	NE 1	ENE 2	ENE 1	2	7	10	.	⊏
5	−0.7	8.5	4.1	4.0	−2.1	713.9	712.5	713.5	82	51	58	NE 1	SW 1	W 1	0	2	10	.	⊏
6	3.6	8.2	5.7	5.8	−0.5	715.4	716.0	716.8	60	59	63	SSW 1	SSW 1	S 1	10	7	1	.	
7	5.7	15.4	11.2	10.8	4.4	718.1	718.6	719.3	64	41	51	SW 1	SW 2	S 1	8	3	1	.	
8	7.1	17.8	12.0	12.3	5.7	**719.9**	718.4	717.7	70	40	61	WSW 0	S 1	WSW 1	8	1	4	.	◬
9	8.4	19.7	12.9	13.7	7.0	717.2	715.4	713.1	72	44	61	SW 0	WNW 1	S 0	5	4	3	.	◬
10	9.8	20.8	15.0	15.2	8.3	712.7	711.6	711.6	77	45	53	SSW 1	WSW 1	ESE 1	3	7	7	.	◬
11	11.7	21.3	15.4	16.1	9.1	713.1	712.6	713.2	55	39	42	S 1	NE 1	ESE 1	2	1	7	.	◬
12	11.9	20.2	15.0	15.7	8.5	713.9	713.5	714.8	48	39	40	SSW 1	SSW 1	S 1	7	10	2	.	◬
13	11.8	21.3	13.9	15.7	8.4	717.3	716.9	717.3	56	45	55	SSW 0	ENE 2	ENE 1	5	1	0	.	
14	11.1	21.0	15.1	15.7	8.2	717.6	715.9	715.4	73	52	70	NE 1	ENE 1	NNE 1	1	1	2	.	◬
15	11.7	21.2	13.1	15.3	7.7	715.0	713.5	713.3	77	42	70	SW 1	S 1	NE 1	2	7	0	0.0	◬
16	10.2	20.7	14.5	15.1	7.3	713.1	712.5	712.2	86	51	75	NNE 0	NNE 1	N 1	1	1	0	.	◬
17	10.8	21.1	14.1	15.3	7.4	713.5	713.3	714.1	89	44	67	NE 1	NNE 2	NE 1	0	1	0	.	◬
18	11.2	20.6	15.3	15.7	7.6	715.3	715.2	714.8	83	48	64	SSE 1	NNE 1	SSE 1	0	1	0	.	◬
19	12.0	22.1	13.2	15.8	7.6	714.7	712.8	712.6	80	46	71	SSW 1	SW 1	SSE 1	2	6	10	.	◬
20	12.3	20.5	11.5	14.8	6.4	711.3	709.4	709.8	78	51	83	SW 1	S 1	S 1	7	6	10	17.3	● 14¾–18¼, ⚿ ▲ ⌿ 15¼
21	12.2	19.9	13.6	15.2	6.7	708.6	706.8	706.2	80	45	84	S 1	WSW 2	WSW 1	9	4	9	0.0	●tr a
22	11.8	11.7	7.9	10.5	1.8	706.6	707.9	709.6	73	81	98	WSW 2	S 1	WNW 1	10	10●	10●	15.1	● 8½–24
23	7.3	8.7	7.8	7.9	−0.9	712.0	712.0	711.9	93	85	97	W 1	NW 1	NE 1	10●	10●	10●	25.4	● 0–24
24	6.1	8.1	7.4	7.2	−1.8	713.3	713.7	714.1	89	78	93	WNW 1	WNW 1	NNW 1	10●	10●	10	10.3	● 0–24 mU, ≡ a mU
25	7.3	9.5	8.5	8.4	−0.7	713.7	714.1	715.1	97	90	94	NNE 1	NNE 1	NNE 1	10ϑ	10	10ϑ	1.2	ϑ 5½–7½, 9¾–11¾, 16¾–22¾
26	8.1	8.9	8.3	8.4	−0.8	713.9	713.4	712.7	94	86	95	NNE 1	NE 1	N 1	10ϑ	10	10●	3.8	ϑ 5¼–7½, ● 17¾–2
27	7.7	10.0	7.0	8.2	−1.2	711.1	710.9	710.3	94	77	88	N 1	N 1	ENE 1	10●	10	0	1.2	● 5¼–11
28	6.9	15.7	10.1	10.9	1.4	710.9	710.9	710.9	91	44	57	S 1	S 1	NNW 1	10	8	2	.	◬
29	8.1	20.0	13.4	13.8	4.2	711.8	711.0	710.3	80	42	57	WSW 1	NW 1	ENE 1	4	2	0	.	◬
30	11.2	**23.4**	15.0	16.5	6.7	709.7	708.5	707.3	78	**82**	55	S 1	NE 1	E 1	1	1	0	.	◬
Mittel	7.9	15.2	9.9	1.0	—	712.8	712.4	712.7	79	55	71				5.4	5.1	4.5	Summe 113.2	

$\lambda = 6°\ 32'$, $\beta = 46°\ 51'$
$H_b = 1589$ m, $G = -0{,}13$ mm

Chasseron

April 1952
Beobachter: *R. Colomb, Ch. H. Martin*

1	3.2	1.2	−6.2	−0.6	—	613.1	**612.9**	613.7	90	100	100	SW 4	W 2	NE 1	8	10≡	10*≡	15.5	● 4-12, ● ✳ 12-16 mU *)
2	**−9.2**	−7.0	−9.0	−8.4	—	618.5	621.0	623.2	100	90	97	E 2	NE 1	NE 2	10≡	9	4	.	≡ n-11
3	**−9.2**	−6.8	−7.0	−7.7	—	625.3	627.6	629.1	100	97	97	NE 2	NE 2	NE 2	6	9	8	.	≡ 5½–7
4	−9.0	−5.0	−6.2	−6.7	—	629.1	629.8	629.3	80	80	90	NE 3	NE 2	E 1	1	3	4	.	
5	−6.2	−2.2	−5.3	−4.6	—	627.7	627.7	628.3	98	80	91	WSW 1	W 2	WNW 2	2	7	4	0.0	
6	−5.2	−1.4	0.0	−2.2	—	628.2	631.3	632.4	100	97	98	WSW 2	W 1	W 2	10≡	7	8	0.0	≡ n-9
7	1.0	5.4	4.8	3.7	—	633.5	635.2	**635.8**	70	64	61	SW 3	SW 1	SW 2	8	5	4	.	
8	3.2	6.4	7.2	5.6	—	635.6	**635.8**	635.3	71	72	56	S 2	S 2	W 1	4	3	6	.	
9	5.2	9.0	7.8	7.3	—	633.6	633.3	631.7	73	56	54	S 1	S 1	S 1	6	6	8	.	
10	5.6	9.4	7.8	7.6	—	630.0	630.5	630.1	61	56	47	SE 3	SE 1	S 2	6	5	8	.	
11	7.0	10.2	8.6	8.6	—	630.5	631.2	631.5	58	56	60	SE 2	SE 1	E 1	5	5	6	.	
12	6.4	9.2	7.0	7.5	—	631.3	631.7	632.9	46	**35**	58	SE 2	SE 2	SE 1	9	9	10	0.0	● 18½–19¾
13	7.8	10.4	8.6	8.9	—	634.1	634.5	635.0	54	59	61	E 1	E 1	E 1	6	3	3	.	
14	7.8	11.0	8.6	9.1	—	634.6	634.5	633.7	65	53	78	E 1	E 1	E 1	1	1	2	.	
15	8.2	**12.8**	7.4	9.5	—	632.9	632.4	631.7	77	65	80	E 1	SE 1	NE 1	0	4	6	.	
16	8.4	12.4	8.0	9.6	—	630.8	630.9	630.8	70	70	80	NE 1	SE 1	NE 1	3	4	5	.	
17	7.8	9.0	8.8	8.5	—	631.0	631.8	632.2	81	80	80	E 1	SE 1	NE 1	4	4	5	.	
18	8.2	10.2	8.8	9.1	—	632.8	633.6	633.4	81	81	82	NE 1	SW 1	E 1	1	6	6	0.4	● 12-12½
19	8.8	7.2	6.2	7.4	—	632.8	631.8	631.0	75	76	85	WSW 1	WSW 1	ESE 2	5	8	9	1.9	● 13-14, 18-19½, ⚿ 13-14
20	6.0	4.4	5.2	5.2	—	629.1	628.2	628.0	81	100	100	WSW 2	NW 3	WSW 2	6	10●≡	8	**21.6**	● 11½-15, ⚿ 12-14½, *)
21	5.4	6.8	5.0	5.7	—	626.2	625.4	624.6	81	95	95	WSW 3	S 1	S 2	8	8	8	7.4	● 5-9 mU, 11-n mU, ◠ 17
22	1.8	2.8	0.4	1.7	—	624.3	625.0	626.1	100	100	100	SW 4	WNW 1	NW 2	8	10≡	10*≡	2.6	● n-8 mU, 12-20 mU, *)
23	−0.2	1.8	−0.2	0.5	—	627.6	628.0	628.2	100	95	100	NW 1	N 1	N 1	10≡	10≡	10*≡	6.5	● 11½-20, ✳ ● 20-n, ≡ n-n mU
24	−1.4	−0.2	−1.2	−0.9	—	628.8	629.3	629.6	100	100	100	NNW 1	NNE 1	N 1	10*≡	10●≡	10*≡	6.8	✳ n-9, ●✳ 9-13, ✳ 13-n, ≡n-n
25	−0.2	1.6	2.0	1.1	—	629.0	629.9	630.6	100	100	100	E 2	NE 1	NE 1	10●≡	10ϑ≡	10ϑ≡	0.8	● 5-11, ϑ 11-13, 18-n, ≡ n-n
26	1.8	2.8	1.8	2.1	—	629.8	629.6	629.0	100	100	100	NE 1	NE 1	NE 1	10≡	10≡	10≡	0.5	ϑ n-n mU, ≡ n-n
27	1.2	5.0	1.8	2.7	—	627.0	627.2	626.9	100	95	98	NE 1	ENE 1	NE 1	10≡	10	6	0.0	ϑ n-9 mU, ≡ n-18 mU
28	2.2	8.2	3.6	4.7	—	627.2	628.0	628.4	85	55	75	NW 1	NW 1	N 1	3	6	3	.	
29	5.6	10.0	7.4	7.7	—	628.5	629.0	628.6	52	97	74	WSW 1	ESE 1	NE 1	3	4	3	.	
30	9.0	12.0	8.0	9.7	—	627.6	627.6	627.0	61	58	95	E 1	E 1	NW 1	3	4	9	0.0	● 20-20¾
Mittel	2.7	5.2	3.3	3.7	—	629.0	629.5	629.6	80	79	83				5.9	6.7	6.8	Summe 64.0	

*) 1. ✳ 16-n, ≡ 5-7, 13-n, ⌿ a 20. ▲ 12½–12½, ≡ 12-14 22. ✳ 20-24, ≡ 12-n, ⌿ |

April 1952
Beobachter: *B. Minsch und C. Clavuot*

Bever

$\lambda = 9° 53'$, $\beta = 46° 33'$,
$H_b = 1711.8$ m, $G = -0.23$ mm

Tag	Lufttemperatur					Luftdruck			Relative Feuchtigkeit			Windrichtung und Stärke			Bewölkung			Niederschlag	Witterung
	7^{30}	13^{30}	21^{30}	Mittel	Abweich. vom Normalst	7^{30}	13^{30}	21^{30}	7^{30}	13^{30}	21^{30}	7^{30}	13^{30}	21^{30}	7^{30}	13^{30}	21^{30}		
1	2.6	3.8	0.5	2.3	3.9	607.4	**605.2**	605.4	94	92	99	S 0	SW 0	SW 0	10	10	10	**40.5**	● ✳ n-18 mU, ✳ 20-n
2	−5.8	−4.5	−7.6	−6.0	−4.5	608.0	609.9	613.2	85	53	62	W 2	NW 1	NW 0	10	10	10	*3.0	✳ n-n mU
3	−7.1	−0.8	−8.2	−5.4	−4.1	616.4	618.0	619.7	70	47	63	NE 0	NE 0	NE 0	7	8	2	.	
4	**−18.0**	2.4	−9.2	−8.3	−7.1	620.2	620.5	621.0	90	42	83	N 0	E 0	SW 0	0	4	0	.	
5	−12.8	3.4	−4.6	−4.7	−3.7	619.1	617.8	619.2	94	45	88	W 0	SW 1	SW 0	8	1	5	.	⌊
6	−8.2	2.8	−1.4	−2.3	−1.4	620.9	621.5	623.9	84	41	72	SW 0	W 0	NW 0	1	5	5	.	
7	−3.2	6.0	0.0	0.9	1.6	626.1	626.2	**628.2**	77	46	82	W 0	SW 1	SW 0	6	2	4	.	
8	−4.1	9.8	−1.2	1.5	2.1	627.8	627.9	628.3	95	31	86	W 0	SW 1	SW 0	2	0	2	.	
9	−3.8	10.3	1.2	2.6	3.0	626.5	625.0	625.2	98	38	85	S 0	SW 1	W 0	6	2	4	.	⌊
10	−0.4	10.0	1.6	3.7	4.0	624.4	623.4	624.1	98	50	94	SW 0	SW 0	SW 0	4	2	3	.	
11	−1.6	9.8	2.8	3.7	3.8	624.3	624.0	625.6	98	37	88	SW 0	W 0	SW 0	4	2	8	.	
12	0.9	10.1	3.7	4.9	4.8	625.7	625.3	626.8	96	34	78	S 0	SW 1	SW 0	9	8	7	.	
13	0.1	10.6	2.3	4.3	4.1	627.2	626.7	628.1	96	36	79	SW 0	W 1	S 0	8	10	2	.	⌊
14	−1.2	13.3	3.2	5.1	4.7	626.9	625.2	625.7	97	33	75	SW 0	SW 1	W 0	0	1	0	.	⌊
15	4.2	14.8	3.8	7.6	7.0	624.8	623.5	623.9	85	36	81	W 0	SW 0	SW 0	8	6	8	.	
16	4.2	15.0	3.6	7.6	6.9	622.8	621.9	622.8	87	32	79	SW 0	NE 0	SW 0	2	3	3	.	
17	0.2	14.4	4.1	6.2	5.3	622.8	621.1	624.1	99	32	73	SW 0	S 1	SW 0	1	6	10	.	
18	4.0	12.0	5.4	7.1	6.0	625.1	623.9	624.8	78	37	70	SW 0	SW 0	SW 0	8	4	3	.	
19	2.5	**15.4**	6.1	8.0	6.7	623.6	622.2	622.9	88	40	78	SW 0	NE 0	SW 0	4	4	5	.	
20	4.8	10.5	4.7	6.7	5.3	620.4	619.1	619.4	77	60	84	SW 0	SW 2	**SW** 0	4	7	3	.	
21	3.6	11.3	5.8	6.9	5.3	618.3	617.6	618.0	98	49	96	NE 0	SW 2	S 0	5	9	10	.	⌊
22	5.4	7.1	3.8	5.4	3.6	616.9	618.4	619.1	94	73	93	SW 0	SW 1	SW 1	9	10	10	4.9	● 19½-n mU
23	3.7	8.0	3.2	5.0	3.0	618.7	618.8	619.8	98	76	98	SW 0	SW 1	SW 1	9●	10●	10●	7.6	● n-n mU
24	3.6	5.7	3.3	4.2	2.0	619.0	619.2	620.5	99	90	99	NW 0	SW 0	SW 0	10●	10●	10	6.2	● n-p
25	4.0	9.6	3.9	5.8	3.5	620.8	620.2	621.7	98	68	99	NE 1	SW 0	NE 0	9	7	8	.	
26	5.0	9.0	5.1	6.4	3.9	620.6	619.3	617.3	95	61	98	NE 0	NW 2	NW 1	10	9	10	.	
27	3.0	10.2	5.2	6.1	3.4	617.7	616.7	618.8	95	43	70	NE 1	NE 2	NE 0	8	5	1	.	
28	3.0	8.8	3.4	5.1	2.2	618.5	618.9	620.0	94	58	86	SW 0	W 1	SW 0	10	9	0	.	
29	1.0	13.4	2.9	5.8	2.7	620.7	620.1	620.4	99	33	87	SW 0	SW 2	SW 1	2	4	3	.	⌊
30	1.8	13.4	5.0	6.7	3.4	618.7	619.7	619.9	99	39	**31**	S 0	SE 0	SW 0	1	5	1	.	⌊
Mittel	−0.3	8.8	1.8	3.4	—	621.0	620.6	621.6	92	49	82				5.8	5.8	5.2	Summe 62.2	

April 1952
Beobachter: *Couvent des Capucins.*

Sion

$\lambda = 7° 21'$, $\beta = 46° 14'$,
$H_b = 548.6$ m, $G = -0.11$ mm.

1	9.8	16.7	6.6	11.0	3.1	698.1	**696.0**	698.0	64	45	87	NNE 0	WSW 1	NNW 2	9	8	10	5.6	▽ 16¾, ● 18¾-19, 22-1¾, [↙ 16-17
2	1.0	5.7	2.0	2.9	−5.2	704.3	706.1	710.0	78	52	55	W 2	WNW 2	W 2	10	5	1	.	
3	**−0.1**	7.7	3.6	3.7	−4.5	713.8	713.8	716.3	71	43	53	W 0	SW 1	W 2	3	4	1	.	
4	0.5	9.3	4.2	4.7	−3.7	718.1	715.7	716.7	78	46	59	W 0	WSW 2	**WSW** 1	0	1	0	.	
5	0.1	9.7	6.7	5.5	−3.0	716.3	713.9	714.7	98	48	50	NE 1	WSW 1	WSW 1	2	2	1	.	
6	3.8	12.1	7.0	7.6	−1.1	717.8	714.3	719.3	74	41	49	WSW 0	WSW 1	WNW 1	10	2	2	.	
7	3.6	16.5	10.4	10.2	1.4	721.7	720.0	721.0	64	**35**	48	N 1	NW 0	WSW 1	1	1	0	.	
8	6.6	19.5	12.3	12.8	3.8	**722.8**	719.8	720.0	68	**33**	54	ENE 0	NE 0	W 0	1	0	3	.	
9	8.3	20.4	12.9	13.9	4.8	720.0	716.6	715.9	69	37	57	ENE 0	ENE 0	WNW 0	3	3	5	.	
10	10.2	21.0	14.1	15.1	5.8	716.6	714.1	715.0	65	37	46	NNE 0	E 1	**ENE** 0	8	8	6	.	
11	10.8	19.3	15.4	15.2	5.8	716.9	715.1	716.1	59	36	42	ENE 0	E 2	ENE 0	1	3	2	.	↙ p
12	11.2	19.7	15.2	15.4	5.8	717.6	716.2	718.5	52	36	41	ENE 0	ENE 0	NE 1	10	7	8	.	↙ p
13	11.2	20.2	14.3	15.2	5.5	720.1	718.0	719.1	52	36	44	NNE 0	NNE 2	**NNE** 0	9	2	0	.	
14	9.7	21.8	15.6	15.7	5.8	719.8	716.9	717.2	61	35	48	NNE 0	NNE 0	W 1	0	0	0	.	
15	10.8	22.6	16.2	16.5	6.5	717.8	714.8	714.9	63	34	42	NNE 0	NE 0	E 0	0	3	0	.	
16	11.2	23.0	11.8	15.3	5.1	715.2	713.4	714.1	60	36	44	SSW 0	NNE 0	**NE** 0	0	2	0	.	
17	10.4	22.3	16.1	16.3	6.0	715.7	714.2	715.3	64	39	51	NE 0	SW 1	**W** 0	0	3	0	.	
18	11.7	**23.6**	15.6	17.0	6.5	717.8	715.8	717.3	69	40	51	ENE 0	W 1	ENE 2	0	2	0	.	
19	11.8	22.9	16.3	17.0	6.4	717.8	714.3	715.1	79	40	57	NNE 0	**WSW** 1	NE 0	3	7	10	4.2	● n (19./20.)
20	11.8	20.2	11.2	14.4	3.6	714.7	712.2	713.0	100	46	94	W 0	W 0	W 0	10	4	5	0.8	● n-6¾, 8-8¼, 15¾-16½
21	12.2	21.1	16.2	16.5	5.6	711.8	709.2	709.1	81	39	49	WSW 0	S 0	WSW 1	9	8	10	0.2	
22	11.5	14.5	10.6	12.2	1.1	709.0	709.7	712.1	96	83	100	WSW 2	WSW 1	WSW 0	10●	10●	10●	**19.9**	● 7¼-24
23	8.7	10.8	8.6	9.4	−1.8	713.6	713.5	714.2	100	84	100	WSW 0	WSW 1	WSW 0	10●	10●	10●	13.0	● 0-24
24	7.2	10.1	7.9	8.4	−3.0	715.0	714.5	715.3	100	71	82	WSW 0	WSW 0	WSW 0	10●	10●	10	2.4	● 0-15¼
25	7.6	15.6	10.8	11.3	−0.2	715.3	714.1	715.0	95	49	80	WSW 0	WSW 1	WSW 1	8	8	1	.	
26	10.5	17.8	11.7	13.3	1.6	714.9	712.9	712.9	92	52	74	W 0	WSW 2	WSW 1	10	3	9	.	↙ p
27	10.6	16.5	12.3	13.1	1.3	712.5	711.5	711.1	85	59	66	SW 0	SW 1	WSW 0	10	3	0	.	
28	9.8	18.9	12.5	13.7	1.7	713.3	711.5	712.4	93	48	58	WSW 0	W 2	W 0	1	2	1	.	
29	10.4	21.2	14.5	15.4	3.3	714.1	711.1	712.2	77	41	51	ENE 0	W 2	NNE 1	0	2	1	.	
30	12.3	22.0	16.0	16.8	4.5	712.7	710.2	710.3	70	34	47	NE 0	NE 1	NE 1	0	2	2	.	
Mittel	8.5	17.4	11.6	12.5	—	715.2	713.5	714.4	76	45	59				4.9	4.2	3.6	46.1	

$\lambda = 8°\,57'$, $\beta = 46°\,0'$,
$H_b = 276.2$ m, $G = -0.01$ mm.

Lugano

April 1952
Beobachter: *G. Vicari.*

Tag	Lufttemperatur 7³⁰	13³⁰	21³⁰	Mittel	Abweich. vom Normalst	Luftdruck 7³⁰	13³⁰	21³⁰	Relative Feuchtigkeit 7³⁰	13³⁰	21³⁰	Windrichtung und Stärke 7³⁰	13³⁰	21³⁰	Bewölkung 7³⁰	13³⁰	21³⁰	Niederschlag	Witterung
1	9.2	10.4	9.0	9.5	0.4	723.5	721 3	**720.2**	99	86	99	SSW 1	NW 1	S 1	10●	10	10●	66.6	● ☽ n-13½, ● 13½-n, ⊼ 18½, ☰ n-a
2	7.4	9.4	5.8	7.5	-1.8	731.2	723.9	727.8	93	**88**	55	ESE 1	N 2	WNW 1	10●	10	6	1.0	● n-8 ⌈21½,
3	5.4	9.8	5.8	7.0	-2.4	734.8	737.3	740.7	77	63	78	SSE 1	S 2	ESE 1	10	5	10	0.5	● n (3./4.)
4	5.4	10.8	6.8	7.7	-1.9	742.3	741.4	740.8	76	53	61	N 1	S 1	WNW 1	6	7	8	.	
5	6.2	7.6	4.8	6.2	-3.5	740.1	739.5	739.3	72	66	81	N 1	S 1	SW 1	10	10	7	.	
6	**2.2**	16.2	9.2	9.2	-0.6	740.7	740 6	742.7	85	44	62	N 1	S 1	W 1	0	1	4	.	
7	5.4	15.8	8.4	9.9	-0.1	747.2	747.3	**747.6**	86	52	74	N 1	S 1	WNW 1	3	5	0	.	
8	5.6	18.4	11.4	11.8	1.7	**747.6**	746.5	745.7	87	47	67	NNE 1	S 1	N 1	1	0	0	.	
9	7.6	18.4	12.8	12.9	2.7	745.0	742.9	742.8	92	53	75	N 1	S 1	N 1	4	0	10	.	
10	8.4	19.0	13.2	13.5	3.1	742.7	741.1	741.5	93	47	61	E 1	S 1	N 1	8	3	0	.	
11	9.2	21.4	11.8	14.1	3.6	742.6	741.7	743.1	91	45	70	E 1	S 1	NNW 1	8	4	5	.	
12	9.2	18.8	13.4	13.8	3.2	744.0	744.4	745.6	92	50	81	S 1	S 1	— 0	10	8	10	.	
13	9.2	17.4	13.2	13.3	2.5	745.9	744.6	744.7	90	60	79	— 0	S 1	NW 1	10	9	5	.	
14	8.2	20.8	14.4	14.5	3.6	744.3	741.9	741.8	95	50	71	E 1	S 1	N 1	3	0	0	.	
15	10.2	20.2	15.2	15.2	4.2	741.4	739.3	739.0	85	52	61	N 1	E 1	— 0	7	10	10	.	
16	11.6	21.2	14.2	15.7	4.5	738.2	736.7	738.3	75	53	81	NE 1	S 1	N 1	1	7	10	4.1	● 17½-19, ⊼ 15-16
17	10 6	23.4	16.8	16.9	5.6	738.0	737.1	739.1	81	42	64	N 1	S 1	E 1	0	2	10●	4.2	● 20½-n mU
18	13 2	**25.0**	17.4	18.5	7.1	741.7	740.5	740.4	96	43	65	NNW 1	S 1	N 1	8	4	0	.	
19	12.8	20.4	14.2	15.8	4.2	740.4	738.4	737.8	86	63	75	NE 1	W 1	SSW 1	1	9	1	0.9	♈ 12½, ● 13½-14½
20	12.2	19.8	14.4	15.5	3.8	736.3	734.8	734.8	87	54	81	ESE 1	S 1	— 0	9	9	4	0.3	♈ 14½, ●tr 20½
21	12.8	17.4	12.8	14.3	2.5	734.5	733.8	734.3	86	66	98	S 1	SSE 1	— 0	8	8	10	8.6	●tr 8, ● ☽ 15½-19
22	12.4	16.4	12.4	13.7	1.7	733.8	735.0	735.2	98	67	98	S 1	NE 1	S 1	10☽	10	10●	39.9	● ☽ n-7½, ● 16-n
23	10.0	10.8	10.2	10.3	-1.8	736.7	736.7	737.2	95	87	98	W 1	W 1	W 1	10●	10●	10●	**92.4**	● n-n
24	9.4	10.2	10.0	9.9	-2.3	735.5	737.2	737.4	98	96	97	E 1	E 1	N 1	10●	10●	10●	44.0	● n-n mU
25	10.0	19.0	14.0	14.3	1.9	737.7	737.0	736.8	97	54	86	NNE 1	S 1	N 1	10●	7	7	0.6	● n-8
26	12.4	21.8	13.0	15.7	3.2	735.5	734.2	733.9	88	53	97	N 1	S 1	N 1	10	8	8	5.2	● 15-17
27	11.4	20.0	15.0	15.5	2.9	733.4	732.6	734.0	83	61	78	N 1	S 1	NNE 1	2	4	8	15.2	● n (27./28.)
28	12.2	14.0	13.2	13.1	0.3	735.1	736.0	736.1	97	91	87	N 1	NNE 1	N 1	10●	5	1	12.9	● n-13, n (28./29.)
29	12.2	18.4	14.8	15.1	2.2	737.2	736.5	737.0	94	67	80	S 1	S 1	N 1	3	8	1	.	
30	12.2	20.8	15.2	16.1	3.0	736.8	735.2	734.6	87	55	75	SW 1	SSE 1	N 1	1	6	2	.	
Mittel	9.5	17.1	12.1	12.9	—	738.5	737.9	738.3	89	59	78				6.4	6.3	5.9	Summe 296.4	

$\lambda = 7°\,35'$, $\beta = 47°\,33'$,
$H_b = 317.3$ m, $G = 0.11$ mm.

Basel

April 1952
Beobachter: *Astronom.-Meteorol. Anstalt.*

Tag																			
1	0.4	-1.1	-1.6	-0.8	-7.3	**719.0**	719.4	722.6	96	100	100	NW 2	NW 2	NW 1	10●	10*	10*	**49.2**	● 2½-10, mU, ✳ 10-24 ✳
2	-1.7	6.2	-1.3	1.1	-5.5	728.4	730.4	733.6	98	52	61	NW 0	NW 1	NE 0	9	3	0	0.0	✳ 0-4¼, 6½, 20½ ✳
3	-1.9	5.8	1.6	1.8	-4.9	736.4	738.2	740.1	97	52	73	SE 1	N 1	E 1	7	8	0	.	✳
4	**-2.8**	7.0	3.8	2.7	-4.2	740.8	739.2	738.8	96	40	55	S 0	SE 1	NE 1	1	7	10	.	✳
5	0.0	9.0	3.3	4.1	-2.9	736.8	735.2	736.0	79	48	63	E 1	NW 1	SW 1	0	10	3	.	
6	3.9	10.8	7.1	7.3	0.1	737.4	738.0	738.7	72	53	76	SE 0	W 0	ESE 1	10	9	8	0.0	●tr 14-14½, ♈ 21
7	5.4	18.9	9.7	11.3	4.0	739.6	739.9	740.4	69	31	77	E 1	WNW 1	W 1	4	4	1	.	
8	7.6	21.8	12.6	14.0	6.6	**741.5**	739.5	739.2	72	37	69	E 1	E 1	S 1	6	1	3	.	
9	8.4	21.9	14.2	14.8	7.2	739.1	736.4	734.6	60	40	53	E 1	ESE 1	ESE 1	7	3	1	.	⊕ 16½
10	10.4	23.0	14.6	16.0	8.3	734.2	732 8	732.7	72	37	64	SSE 1	ESE 1	ESE 1	4	5	9	.	
11	9.3	23.8	13.7	15.6	7.7	734.5	734.0	733.9	76	**24**	65	ESE 1	E 1	E 0	3	1	10	.	
12	10.7	21.3	15.5	15.8	7.8	735.4	734.8	736.8	63	35	64	E 1	E 1	WSW 1	10	10	4	.	⊕ 11
13	11.8	22.7	12.7	15.7	7.6	738 9	738.2	738.7	72	33	69	E 1	SE 1	E 1	7	2	0	.	
14	11.2	22.8	14.5	16.2	7.9	739.5	737.6	737.0	69	41	76	E 1	NW 1	S 1	0	1	4	0.0	●tr 16½-16¾
15	11.1	22.9	12.3	15.4	7.0	736.9	735.2	734.7	84	44	82	SE 1	NW 1	S 1	0	2	3	.	
16	10.4	21.6	14.0	15.3	6.7	735.1	734.5	734.4	85	47	82	S 1	NW 1	SW 1	0	1	1	.	
17	10.8	22.4	13.7	15.6	6.9	735 4	734.9	735.8	89	50	89	E 1	NNW 1	W 1	3	1	0	0.0	●tr 16
18	11.2	22.4	16.4	16.7	7.8	737.2	736.7	735.9	90	48	67	SW 0	NW 1	E 1	0	1	1	.	
19	12.6	16.4	13.3	14.1	5.1	736.2	734.4	734.0	78	71	80	NE 1	SW 2	SE 1	3	9	4	0.4	● 13½-14¾, ⊼ 12-13¾, 13¾-14¾
20	11.4	17.1	12.3	13.6	4.5	732.6	731.1	731.3	81	77	94	ESE 1	WNW 3	E 1	3	10●	7	22.2	● 13¾-15¾, ⊼ ▲ 13½-13¾
21	11.0	18.3	14.4	14.6	5.3	730.2	729.1	727.2	91	63	75	E 1	W 1	ESE 1	10●	10	8	10.0	● l, ⊕ 17½
22	10.2	11.2	8.6	10.0	0.6	728.8	730.0	732.2	95	79	99	NW 0	NNW 1	SE 1	10●	10	10	8.4	● 1¾-8½, 14¾-24 mU
23	8.7	11.6	9.1	9 8	0.2	733.8	734.0	734.2	92	76	96	SE 1	SE 1	SE 0	10●	10●	10●	9.6	● 0-24 mU
24	7.4	9.6	8.2	8.4	-1.3	735.8	736.0	736.7	98	86	94	SW 1	NW 1	NW 1	10●	10●	10●	9.9	● 0-24
25	8.1	10.8	9.7	9.5	-0.3	736.4	736.6	737.5	96	89	94	NW 1	NNW 1	WNW 1	10	10	10	0.0	● 0-6¾, 18
26	9.2	10.4	9.2	9.6	-0.4	736.3	735.9	735.3	92	88	95	NW 1	NNW 1	SW 1	10	10	10	0.0	
27	4.9	12.8	7.4	8.4	-1.7	734.3	733 7	732.5	86	70	88	NW 1	NNW 1	SW 1	10	10	1	.	
28	5.2	16.5	9.8	10.5	0.2	733.0	732.7	733.0	97	47	80	E 1	NW 1	SW 1	8≈	7	1	.	☰ n-a mU
29	7.5	20.4	11.9	13.3	2.9	733.9	732.7	731.9	83	44	75	NE 1	NW 1	E 0	0	1	0	.	
30	10.8	**24.9**	15.4	17.0	6.5	731.5	730.0	729 3	71	31	86	E 1	N 1	SE 0	0	1	0	.	
Mittel	7.5	16.1	10.2	11.3	—	735.0	734.4	734.6	83	54	78				5.5	5.9	4.6	Summe 109.7	

April 1952
Beobachter: *Observatorium.*

Säntis

$\lambda = 9° 20'$, $\beta = 47° 15'$,
$H_b = 2500.1$ m, $G = -0.27$ mm.

Tag	Lufttemperatur					Luftdruck			Relative Feuchtigkeit			Windrichtung und Stärke			Bewölkung			Niederschlag	Witterung
	7^{30}	13^{30}	21^{30}	Mittel	Abweich. vom Normalst	7^{30}	13^{30}	21^{30}	7^{30}	13^{30}	21^{30}	7^{30}	13^{30}	21^{30}	7^{30}	13^{30}	21^{30}		
1	−1.8	−0.2	−4.0	−2.0	4.4	548.5	547.3	**547.1**	88	96	100	SW 3	SW 2	SSW 2	8	10≡*	10≡	4.4	✳ 12¾–16¾, ≡ 11½–n
2	−14.0	−12.1	**−16.4**	−14.2	−7.9	549.0	551.3	553.9	92	91	51	NNE 1	N 1	**NNE** 2	10*	10≡*	9	0.5	✳ n–15½, ≡ n–15¾ mU
3	−16.2	−14.6	−13.8	−14.9	−8.7	555.6	558.4	560.3	89	94	92	NNE 3	NE 3	ENE 2	1	10≡	10≡	0.1	✳ 14–18½ mU, ≡ 12¾–n
4	−11.1	−8.7	−7.8	−9.2	−3.0	560.2	560.6	560.2	41	**24**	42	NE 3	NE 3	NNW 1	1	1	1	.	
5	−8.6	−7.8	−9.0	−8.5	−2.4	558.6	558.7	559.0	79	90	96	WSW 2	W 2	**W** 3	1	1	10≡	2.3	✳ n (5./6.), ≡ 14½–n
6	−11.3	−7.8	−8.0	−9.0	−3.0	559.4	561.4	563.3	96	96	98	WSW 3	W 3	WSW 3	10≡	10≡	3	2.2	✳ 9–12, n–18¾, ∨ I
7	−4.9	−3.0	−3.0	−3.6	2.3	565.0	566.7	568.2	64	59	86	WSW 3	WSW 3	WSW 3	6	2	10	.	
8	−1.1	1.0	−0.5	−0.2	5.7	568.3	568.5	568.5	67	65	69	SW 2	SW 2	SW 2	8	1	2	.	
9	2.0	3.6	0.7	2.1	7.9	567.1	566.9	565.6	57	52	66	SW 1	SSW 2	SSE 2	5	3	5	.	
10	3.7	4.8	1.3	3.3	9.0	564.7	564.9	564.5	38	50	55	W 2	S 1	SW 1	3	5	3	.	
11	1.6	3.6	1.1	2.1	7.7	564.5	564.9	565.6	59	60	54	N 1	SW 2	S 2	5	3	7	.	
12	0.7	3.7	0.2	1.5	7.0	565.3	565.8	566.7	48	40	66	SSW 2	SSW 2	SW 2	6	10	5	.	⊕ 10½–13½
13	1.5	2.6	0.5	1.5	6.9	567.5	567.8	**568.7**	62	67	81	E 1	SW 2	SE 1	4	1	0	.	
14	1.7	3.3	1.0	2.0	7.3	568.1	567.6	567.5	82	72	91	ENE 2	SE 2	E 1	0	1	0	.	
15	2.5	5.4	1.4	3.1	8.3	566.3	566.1	565.5	62	58	78	**W** 1	SW 1	SSE 1	1	9	2	.	
16	1.6	5.3	1.4	2.8	7.8	564.4	564.8	564.8	67	70	76	WSW 1	SSW 1	ENE 1	7	2	0	.	⊕ I
17	2.1	3.4	1.1	2.2	7.1	564.6	565.4	565.9	78	86	89	NNE 1	SE 1	E 2	0	3	1	1.6	△ 15–15¾, 15¾, 16½–17½, ≡ 15¾–
18	1.7	4.0	1.1	2.3	7.4	566.0	567.2	566.9	82	92	100	W 2	WSW 2	WSW 2	1	6	0	0.0	△ 14¾, ⊼ 14¾ [19¾
19	1.1	3.7	0.2	1.7	6.3	565.9	565.4	564.2	100	80	88	W 2	W 2	N 1	10≡	6	3	0.8	△ 9–9¾, ▽ 17–18, ≡ 6¾–9½, *)
20	−0.5	3.8	−1.0	0.8	5.3	562.0	562.0	560.7	100	79	100	W 3	W 2	W 3	10≡	7	10≡*	**14.7**	△ 16½–21¾, ⊼ 16½–17¾
21	−0.9	3.6	0.8	1.2	5.5	559.9	559.9	559.4	100	89	100	W 3	WSW 2	SSW 2	10≡	7	10≡	0.0	△ 7¾–8¾, ≡ n–11½, 15¾–18, *)
22	1.5	0.0	−1.1	0.1	4.3	558.0	559.1	560.0	82	100	100	SSW 3	WSW 2	SSW 2	8	10≡*	10≡*	4.4	✳ 10¾–15¾, 21¼–n, ≡ 8½–17¾, *)
23	−1.4	1.2	−1.4	−0.5	3.5	560.4	560.7	560.9	100	91	100	ESE 2	SE 2	SE 2	10≡	10≡	10≡	3.6	← n–9¾, 11¾–20½, ≡ n–n
24	−3.7	−2.6	−4.0	−3.4	0.4	560.8	561.1	562.0	98	95	99	N 1	NNE 2	NE 2	10≡*	10≡*	10≡	1.2	✳ n–20¾, ≡ n–n
25	−1.8	1.8	−2.0	−0.7	3.0	562.0	563.1	563.7	100	75	100	E 2	SE 1	NE 1	10≡	3	10≡	.	≡ n–9¾, 19¾–n, ∾ III
26	−1.8	−0.4	−2.1	−1.4	2.1	562.6	562.4	561.5	100	100	100	NE 2	E 2	NE 2	10≡	10≡	10≡	1.7	● 8–11¾, ✳ 20–20¾, ≡ n–n, *)
27	−2.2	1.2	−3.4	−1.5	1.8	559.9	559.8	559.7	100	83	94	WSW 1	SSW 1	W 2	10≡*	10≡*	1	0.0	✳ n–8, 12½–14¾, ≡ n–10¾, 11¾–18
28	−4.4	2.5	−1.4	−1.1	2.0	559.4	561.0	561.4	98	79	100	**W** 3	WSW 2	WSW 2	10≡	10≡	1	.	≡ 6¾–9¾, 11½–18
29	−0.4	3.8	1.2	1.5	4.5	561.7	562.8	563.0	71	72	91	WSW 2	SW 2	SW 2	6	7	0	.	≡ 16–17¾
30	2.8	**5.5**	2.8	3.7	6.4	562.0	562.2	561.6	65	61	85	NNE 1	SW 2	ESE 2	0	6	0	.	
Mittel	−2.1	0.4	−2.1	−1.3	—	561.9	562.5	562.7	79	76	85				6.0	6.1	5.1	Summe 37.5	

*) **19.** 16–18¾ **21.** 20¾–21½ **22.** 21¾–n **26.** ∨ ∾ I

April 1952
Beobachter: *Elvezio Chiesa*

St. Gotthard (Hospiz)

$\lambda = 8° 34'$, $\beta = 46° 33'$,
$H_b = 2095$ m, $G = -0.25$ mm.

1	−1.1	0.5	−1.0	−0.5	4.1	578.5	577.1	**576.5**	100	85	100	SE 2	SE 0	SE 0	10*	10*	10≡	**136.4**	✳ n-p, n (1./2.), ≡ n-n mU
2	−12.1	−11.0	−12.3	−11.8	−7.3	577.7	580.0	582.4	90	88	90	NW 3	NW 4	NW 3	10*≡	10≡	10	6.0	✳ n-n, ≡ n-p, ⌐ n-n, ⌐ II
3	**−14.2**	−10.5	−10.7	−11.7	−7.2	584.9	587.9	590.0	82	91	89	NW 2	NW 3	NW 2	10	3	3	.	⌐ II
4	−10.2	−7.1	−10.0	−9.1	−4.7	590.0	590.1	590.5	80	55	69	NW 0	NW 1	NW 0	0	0	0	.	
5	−7.7	−4.3	−6.9	−6.3	−2.0	589.2	588.9	589.4	72	48	90	SE 0	NW 1	NW 1	3	0	0	.	
6	−8.6	−2.5	−6.8	−6.0	−1.8	590.1	591.7	593.2	90	62	65	NW 2	NW 1	NW 1	9	3	0	.	≡ n mU
7	−5.9	1.0	−1.7	−2.2	1.9	595.5	597.1	597.9	80	57	55	SE 1	SE 1	SE 0	0	0	0	.	
8	−1.2	3.9	0.3	1.0	5.0	597.8	**598.4**	598.1	59	48	90	NW 0	SE 1	SE 0	0	0	0	.	
9	−0.8	5.4	1.8	2.1	5.9	596.6	596.6	596.0	75	47	96	SE 1	SE 0	SE 1	0	0	3	.	
10	0.9	4.1	1.5	2.2	5.8	594.8	594.7	594.9	100	62	93	SE 1	SE 1	SE 1	10≡	10	10	.	≡ n-n mU
11	0.1	4.0	1.1	1.7	5.2	594.8	595.0	595.5	100	51	94	SE 1	SE 1	SE 0	10	9	3	.	
12	0.0	4.2	0.4	1.5	4.8	595.8	596.4	597.4	90	47	84	SE 0	SE 2	SE 1	9	9	10	.	
13	1.0	5.1	0.2	2.1	5.2	597.2	597.6	597.8	100	97	92	SE 0	SE 1	SE 0	6	3	0	.	
14	1.3	5.5	1.7	2.8	5.7	597.3	597.4	596.8	79	64	82	SE 0	SE 0	SE 0	3	3	0	.	
15	1.5	7.8	1.8	3.7	6.4	595.9	595.7	594.9	64	59	94	SE 0	SE 0	SE 1	0	3	0	.	
16	1.5	7.3	2.2	3.7	6.2	594.0	594.1	593.9	76	45	70	SE 0	SE 0	SE 0	0	0	0	.	
17	3.1	6.3	3.4	4.3	6.6	593.7	594.2	594.3	49	61	97	NW 1	NW 1	NW 1	0	0	3	.	
18	2.3	**8.0**	3.7	4.7	6.8	594.9	596.0	595.3	100	53	87	SE 0	SE 0	NW 1	10≡	3	0	.	≡ n-n
19	3.1	7.1	2.2	4.1	6.0	595.5	594.7	592.9	70	46	75	NW 1	NW 1	NW 1	0	3	10	.	
20	1.6	7.0	2.2	3.6	5.3	594.2	591.8	589.8	100	46	100	NW 1	NW 1	NW 1	10	6	3	2.1	● 18¾–18½
21	3.0	5.5	1.9	3.5	5.0	591.5	589.3	587.9	77	79	100	NW 0	SE 1	SE 1	9	10	10≡	18.0	● 18½–n mU, ≡ p-n mU
22	1.8	2.0	−0.8	1.0	2.3	588.3	587.1	588.0	98	83	100	SE 0	SE 3	SE 2	10●	10●	10*	33.2	● n-p mU, ✳ p-n mU, ≡ p, ⌐ II
23	−0.4	2.1	−0.5	0.4	1.5	590.1	589.7	589.4	100	85	99	SE 0	SE 1	SE 1	10*≡	10*≡	10*≡	45.8	✳ ≡ n-n
24	−3.2	−1.8	−3.1	−2.7	1.8	588.8	590.8	590.5	100	100	100	NW 2	NW 1	NW 2	10*≡	10≡	10*	37.2	✳ n-a, p-n, ≡ n-p
25	1.0	7.7	−0.2	2.8	3.5	590.5	591.6	592.6	100	48	100	SE 0	SE 0	NW 1	10	10	10	.	≡ 17½–21½
26	−0.7	2.1	−0.4	0.3	0.8	592.3	592.4	591.3	100	84	97	NW 1	NW 2	NW 2	10	6	10	1.6	● 15¾–21½, ≡ p
27	−0.4	2.0	−0.5	0.4	0.7	589.1	590.3	590.2	100	87	95	NW 1	NW 1	NW 1	10	0	3	.	≡ a
28	0.2	5.3	2.0	2.5	2.6	589.2	589.6	590.1	96	67	96	SE 0	SE 0	SE 1	3	6	10	.	
29	1.4	6.5	3.4	3.8	3.7	590.9	592.2	591.8	85	**40**	90	SE 0	SE 0	SE 0	0	6	9	.	
30	3.0	7.1	3.3	4.5	4.2	592.1	591.6	590.9	86	57	95	SE 0	SE 1	SE 0	3	10	9	1.1	● 16¾–17½
Mittel	−1.3	2.7	−0.7	0.2	—	591.7	592.0	592.0	87	65	89				5.8	5.1	5.2	Summe 281.4	

$\lambda = 7°\,26'$, $\beta = 46°\,57'$,
$H_b = 572.2$ m, $G = 0.00$ mm.

Bern

Mai 1952
Beobachter: *Meteorol. Observatorium.*

Tag	Lufttemperatur					Luftdruck			Relative Feuchtigkeit			Windrichtung und Stärke			Bewölkung			Niederschlag	Witterung
	7^{30}	13^{30}	21^{30}	Mittel	Abweich. vom Normalst	7^{30}	13^{30}	21^{30}	7^{30}	13^{30}	21^{30}	7^{30}	13^{30}	21^{30}	7^{30}	13^{30}	21^{30}		
1	12.3	20.8	15.4	16.2	5.8	707.5	706.2	706.4	71	43	76	ESE 1	NNW 1	SSW 1	0	2	5	3.9	● 17½–18½, ⛆ ▲ 18, ⌓ I
2	13.4	19.5	17.2	16.7	6.1	708.3	706.9	704.7	76	45	55	S 1	NNE 2	E 1	9	5	10	7.3	
3	10.4	15.0	13.1	12.8	2.1	706.8	705.7	703.5	93	61	74	W 1	NNE 1	E 1	10●	8	2	2.6	● 4–9¼
4	10.8	12.8	9.5	11.0	0.1	**700.2**	701.7	702.8	88	65	93	NE 1	W 2	N 2	10●	10	10●	16.3	● 7¼–7½, 8½, 13¾–14¼, 19¾–21½, ⛆
5	8.2	16.6	10.0	11.6	0.6	705.5	706.5	708.9	90	46	83	W 2	WSW 2	S 1	9	3	1	1.8	●10¾–11¾,15–15¾, ⛆ 14–14¼ [20–21½
6	8.1	17.4	9.5	11.7	0.6	708.5	705.9	708.2	78	51	88	S 1	NNE 2	SSW 3	1	9	10	2.8	● 17½–24 mU, ⌓ I, 🌧 III
7	10.0	16.5	13.5	13.3	2.0	711.9	711.9	712.6	82	44	56	SE 1	NNE 2	NE 1	1	2	0	.	
8	9.6	18.1	12.3	13.3	1.9	712.8	711.4	711.6	80	51	88	SW 1	NNE 1	S 1	7	9	10	3.2	● 15½, 18–19¼, 22¾–24
9	11.6	17.4	14.0	14.3	2.8	713.1	712.2	711.6	93	47	74	SE 1	N 2	NE 1	4	6	9	6.7	● 0–3¼, 20, 21½–24, ⛆ 22–23¼
10	12.0	18.6	15.2	15.3	3.6	712.8	711.4	711.3	86	49	63	E 1	SE 1	SSE 1	1	2	1	0.1	
11	13.0	19.5	12.1	14.9	3.1	711.7	710.3	712.5	85	46	88	SSE 1	NE 1	S 1	9	8	10	**16.9**	● 7–7¼, 14–24 mU, ⛆ 14–15¼
12	8.1	13.8	10.6	10.8	−0.9	714.7	715.3	716.8	94	44	61	SE 1	W 2	SSW 1	10●	4	9	4.9	● 0–11½
13	9.4	13.8	11.4	11.5	−0.3	717.5	717.0	717.4	78	47	56	ESE 1	NNE 1	NE 1	6	6	7	.	
14	10.0	17.5	14.0	13.8	1.6	717.0	715.9	715.6	71	37	52	SE 1	SSE 1	NE 1	1	3	1	.	⌓ I
15	10.8	19.2	15.2	15.1	2.8	714.3	713.3	713.6	71	**34**	46	NE 1	ENE 3	ESE 1	7	3	1	.	⌓ I, 🌧 II
16	12.5	21.1	16.3	16.6	4.2	713.9	713.6	714.5	70	40	57	SE 1	NNE 1	E 1	0	1	1	.	⌓ I
17	13.5	19.5	14.4	15.8	3.2	715.6	714.4	714.1	81	51	74	E 1	ENE 2	NNE 2	0	1	0	.	⌓ I
18	10.6	18.0	13.6	14.1	1.4	713.4	712.5	712.6	84	44	51	NE 1	NNE 2	NE 1	9	1	1	.	
19	11.1	19.0	13.8	14.6	1.8	712.9	712.1	712.2	75	53	95	SSE 1	NNW 1	ESE 1	3	9	9	0.4	● 18–19¼
20	12.5	16.4	11.8	13.6	0.7	712.1	712.4	713.5	98	58	51	NE 1	ENE 3	ENE 2	9	5	1	.	● 3¼–3½, 🌧 II
21	**7.3**	13.0	8.7	9.7	−3.4	714.2	714.1	716.7	57	47	61	ENE 1	NE 3	NNE 1	0	1	1	.	🌧 II
22	**7.3**	13.9	9.2	10.1	−3.1	717.9	717.9	719.0	71	41	57	ENE 2	ESE 2	N 1	1	1	1	.	
23	9.2	15.0	11.4	11.9	−1.4	719.1	719.0	**719.7**	73	41	61	ENE 1	ENE 3	E 1	0	1	1	.	🌧 II
24	9.1	18.0	14.5	13.9	0.5	719.6	718.3	717.6	79	44	54	SE 1	NNE 1	NNW 2	1	5	10	1.8	● 22¾–24
25	10.5	15.5	12.6	12.9	−0.6	717.4	716.7	716.9	83	48	69	ENE 1	NE 2	ENE 1	6	4	10	.	● 0–1¾, ⌓ I
26	10.9	16.0	13.6	13.5	−0.2	716.4	715.9	716.0	84	51	62	E 1	NNE 2	NNE 1	1	9	10	0.3	⌓ I
27	12.6	17.5	13.8	14.6	0.8	715.1	714.1	714.4	80	56	76	WNW 1	NNE 2	NNE 1	2	9	10	.	● 0–0¾
28	11.8	20.2	16.6	16.2	2.3	712.7	710.5	709.9	86	41	54	WSW 1	WNW 2	SSW 1	9	8	9	.	⌓ I
29	15.2	21.2	16.4	17.6	3.6	710.3	710.0	712.4	69	43	62	W 1	WSW 3	WSW 1	10	7	8	0.0	● 7¾–8, 🌧 II
30	14.3	20.1	16.3	16.9	2.8	713.7	712.8	712.5	69	53	73	NE 1	NW 2	NNE 1	9	1	1	.	
31	14.8	**22.8**	16.2	17.9	3.7	712.5	711.4	712.1	84	57	100	SE 1	WNW 1	SE 1	6	9	10●	0.5	● 15–22¼ mU
																		Summe	
Mittel	11.0	17.5	13.3	13.9	—	712.9	712.2	712.6	80	48	68				4.9	4.9	5.5	69.5	

$\lambda = 6°\,57'$, $\beta = 47°\,0'$,
$H_b = 487.3$ m, $G = 0.02$ mm.

Neuchâtel

Mai 1952
Beobachter: *Observatorium.*

1	11.7	21.9	17.4	17.0	5.9	714.9	713.5	713.7	87	51	64	W 0	SE 0	N 3	0	1	10	7.9	⛆ 23–24, ● 21½–24,
2	13.0	21.7	16.9	17.2	5.9	715.9	714.2	711.9	86	59	68	N 0	SE 1	S 0	6	6	10	2.4	[🌧 16½–n
3	11.1	17.9	13.9	14.3	2.9	714.3	712.9	710.4	96	60	76	SW 0	E 1	NE 0	10	2	2	.	● 2½–6¼
4	12.1	11.3	11.3	11.6	0.0	**707.0**	708.6	710.0	92	87	87	NE 0	SW 2	NE 1	10	10●	9	4.0	● 8¼–14¾, 19½
5	8.8	12.6	10.1	10.5	−1.2	713.3	714.3	716.1	94	81	81	SW 1	SW 2	W 0	10●	10●▲	1	6.7	● 7¼–9¾, 13½–13¾, ⛆ ▲ 13–13¾
6	7.8	15.8	10.4	11.3	−0.5	716.1	713.6	715.9	97	67	83	NE 0	SW 1	SW 3	10≡	10	10●	2.0	● 17¼–22½, ≡ 0¾–7¾, 🌧 III
7	10.4	18.6	15.2	14.7	2.7	719.4	719.6	720.1	86	50	54	SE 1	SE 1	NE 2	6	1	0	.	● 1¾–2¼
8	11.8	17.7	12.5	14.0	1.9	718.3	719.0	719.4	83	65	89	NE 1	S 0	SW 0	6	10	10	0.8	● 18¼–18¾
9	12.8	20.4	14.2	15.8	3.6	720.6	719.8	719.3	90	47	82	SW 0	SE 1	NW 1	3	2	10●	7.2	● 0–4½, 21–24
10	11.0	19.1	14.6	14.9	2.5	720.5	719.0	718.6	99	63	78	SW 0	SE 1	NW 0	10	1	4	1.2	
11	13.6	22.1	12.4	16.0	3.5	719.3	718.2	720.4	94	54	79	W 0	NW 2	NW 1	3	8	10●	**18.9**	● 0¾–1½, 18¼–18¾, 21½–24
12	9.3	15.8	10.4	11.8	−0.8	722.2	722.9	724.2	94	51	73	W 1	SW 2	NW 0	10	4	2	0.8	● 0–7¼, 8¾–9¼, 19¼–19¾,
13	9.8	15.5	10.7	12.0	−0.8	725.1	724.8	724.8	85	51	63	NE 1	S 0	NE 1	6	8	1	.	[◠ 19½
14	10.4	18.5	13.2	14.0	1.1	724.5	723.5	723.1	80	52	61	NE 0	E 1	E 0	0	5	1	.	
15	12.6	21.4	14.4	16.1	3.1	721.7	720.9	720.6	71	43	65	NE 2	E 2	NE 1	2	1	0	.	
16	12.3	22.6	18.6	17.8	4.7	721.6	721.0	721.7	80	51	62	NE 0	SE 1	NE 1	1	6	1	.	
17	15.0	**23.0**	16.3	18.1	4.8	722.9	721.7	721.4	74	50	55	E 2	E 2	NE 2	0	2	0	.	
18	12.4	22.0	16.0	16.8	3.4	720.8	719.9	719.9	75	37	43	E 1	E 2	N 1	7	2	0	.	
19	11.0	21.2	15.8	16.0	2.5	720.6	719.6	719.7	74	47	66	NE 0	S 1	N 1	7	5	9	0.2	● 17–17½
20	13.7	19.9	12.7	15.4	1.8	719.3	719.6	720.8	89	57	47	NE 1	E 2	NE 3	9	7	0	.	🌧 21¼–n
21	**7.4**	15.8	9.8	11.0	−2.8	721.9	721.8	724.3	52	41	58	E 4	E 3	NE 2	0	0	0	.	🌧 n–24¾
22	8.1	16.9	10.9	12.0	1.9	725.8	725.4	726.7	60	39	44	E 2	E 3	NE 2	0	0	0	.	🌧 II
23	10.1	17.6	13.5	13.7	−0.3	726.9	726.6	727.2	58	**33**	47	E 2	E 3	NE 2	0	1	0	.	🌧 II
24	10.0	19.8	15.2	15.0	0.9	**727.3**	726.0	725.0	73	42	54	NE 0	S 1	NW 4	2	7	9	.	🌧 17–23
25	11.6	19.1	13.8	14.8	0.6	725.1	724.5	724.2	72	43	55	NE 2	E 2	N 3	4	2	7	.	🌧 III
26	11.9	20.0	15.0	15.6	1.2	724.1	723.1	723.3	73	50	65	E 2	SE 1	NE 0	2	3	10	.	
27	13.2	20.1	15.1	16.1	1.6	722.7	721.7	721.6	83	45	56	NW 0	N 2	N 1	1	6	10	.	
28	11.6	20.5	17.9	16.7	2.1	720.4	718.1	717.2	87	42	48	N 0	SW 1	W 1	6	6	10	.	
29	15.1	21.2	16.6	17.6	2.9	717.7	717.4	719.1	62	42	57	SW 1	SW 2	NW 3	9	8	4	.	
30	14.6	22.8	18.0	18.5	3.7	721.3	720.2	719.8	73	46	60	E 1	S 1	NE 1	0	1	0	.	
31	14.2	22.4	17.3	18.0	3.1	720.1	718.9	719.1	84	59	77	SE 0	SW 0	W 1	3	10	10	0.2	● 15½–17
																		Summe	
Mittel	11.6	19.2	14.2	15.0	—	720.4	719.7	720.0	81	52	64				4.5	4.7	4.8	47.3	

Mai 1952
Beobachter: *Frl. H. Nager.*

Altdorf

$\lambda = 8° 39'$, $\beta = 46° 53'$,
$H_b = 456.3$ m, $G = -0.05$ mm.

Tag	Lufttemperatur					Luftdruck			Relative Feuchtigkeit			Windrichtung und Stärke						Bewölkung			Niederschlag	Witterung
	7^{30}	13^{30}	21^{30}	Mittel	Abweich. vom Normalst	7^{30}	13^{30}	21^{30}	7^{30}	13^{30}	21^{30}	7^{30}		13^{30}		21^{30}		7^{30}	13^{30}	21^{30}		
1	11.1	23.2	16.7	17.0	5.8	716.9	715.7	716.2	74	27	35	NE	0	SE	2	SE	0	0	2	0	.	
2	14.3	22.4	19.0	18.6	7.3	717.9	716.1	715.0	78	32	33	N	0	E	1	S	2	10	3	5	0.0	●tr n (2./3.)
3	15.0	15.8	17.5	16.1	4.6	715.9	715.2	713.6	78	65	34	NW	0	NE	0	SE	3	6	4	6	.	⌿ III
4	17.0	17.4	12.7	15.7	4.4	710.7	**710.1**	712.3	33	46	84	E	2	E	2	E	0	8	10	10	1.0	∵ p
5	8.9	16.5	11.0	12.1	0.3	714.7	715.9	719.3	100	54	100	NW	0	NW	2	NW	0	5	4	7	.	
6	8.7	20.6	17.8	15.7	3.8	717.8	716.0	716.6	100	29	29	SW	0	SE	2	SW	3	4	8	10	2.1	● n (6./7.), ⌿ III
7	11.7	16.9	12.8	13.8	1.7	722.0	721.9	723.2	100	46	70	SE	0	NW	0	SE	0	6	9	4	.	
8	9.9	21.0	16.2	15.7	3.5	722.7	720.8	721.0	94	29	42	SE	0	SE	1	SE	1	8	7	8	0.3	● n (8./9.)
9	12.8	18.1	13.8	14.9	2.6	723.2	721.8	722.0	100	57	91	NW	0	W	1	W	0	10	8	7	.	
10	13.2	19.0	14.9	15.7	3.2	722.6	721.1	721.9	96	54	75	NE	0	NW	1	SE	0	5	7	6	.	
11	12.8	23.5	13.8	16.7	4.1	721.9	719.8	722.8	87	47	85	E	0	NW	1	NW	0	3	7	10	12.4	● n (11./12.)
12	9.2	20.9	9.2	13.1	0.3	724.9	725.9	727.0	100	89	100	NW	0	NW	1	NW	0	10●	10●	10●	10.2	● n–n mU
13	9.2	16.3	12.0	12.5	−0.4	727.7	726.8	727.9	100	39	72	W	0	NW	1	NW	0	10	6	7	.	
14	11.0	18.4	12.2	13.9	0.9	727.0	725.4	725.9	87	40	71	NE	0	NW	1	NW	0	7	6	2	.	
15	10.7	19.2	13.8	14.6	1.4	724.4	723.1	724.2	78	47	69	N	0	NW	1	N	0	2	6	0	.	
16	10.9	21.3	20.0	17.4	4.1	724.2	722.8	724.5	82	47	42	S	0	NW	1	NW	0	0	4	7	.	
17	14.7	20.0	12.3	15.7	2.3	725.7	719.0	724.7	90	46	67	NE	0	NW	2	NW	0	4	6	4	.	
18	10.8	19.5	11.7	14.0	0.5	723.7	721.7	723.1	84	43	58	NW	0	N	1	N	0	6	3	0	.	
19	11.2	18.7	13.8	14.6	0.9	722.6	721.9	722.4	75	42	100	NE	0	NW	0	NW	0	8	7	10	4.9	∵ 18
20	12.7	15.7	12.7	13.7	−0.1	722.0	722.0	724.0	100	58	36	NE	0	N	2	NE	2	10	8	6	0.7	⌇ 4½–5½
21	7.4	15.1	11.3	11.3	−2.6	724.5	723.9	726.4	79	39	45	NE	0	NW	2	N	1	1	4	10	.	
22	8.3	14.9	12.2	11.8	−2.2	728.4	727.5	729.0	77	49	37	NW	0	N	1	NW	0	7	0	6	.	
23	7.9	15.4	10.4	11.2	−2.9	729.7	728.7	**730.8**	73	35	64	NE	0	NW	1	NW	0	3	7	6	.	
24	10.0	18.1	11.0	13.0	−1.2	729.5	728.0	728.5	76	39	100	E	0	NE	1	NW	0	1	4	10●	**24.3**	● 19–n
25	10.2	15.7	14.0	13.3	−1.0	727.4	726.7	726.9	95	65	47	SW	0	NW	2	NW	0	10	7	10	.	
26	12.5	15.0	14.6	14.0	−0.4	726.2	725.2	725.6	79	54	52	NW	0	NW	2	NW	0	8	10	10	0.2	● n (26./27.)
27	12.2	15.9	12.8	13.6	−0.9	725.0	724.1	725.0	95	65	100	E	0	NW	2	NW	0	10	9	10●	1.7	● p–n mU
28	12.1	19.8	15.0	15.6	1.0	722.1	720.0	720.2	92	40	80	S	0	NW	1	NE	0	6	7	8	0.2	●tr n (28./29.)
29	13.9	19.2	18.3	17.1	2.4	720.3	719.5	721.6	97	46	50	E	0	NW	0	NW	0	9	7	10●	0.1	● p–n mU
30	14.9	21.1	16.2	17.4	2.6	723.3	722.0	723.3	72	48	73	N	0	NW	2	SE	0	6	4	0	.	
31	15.3	**23.7**	18.8	19.3	4.4	722.1	721.0	722.2	81	33	62	S	0	SE	2	E	0	3	8	9	.	
																					Summe	
Mittel	11.6	18.7	14.2	14.8	—	722.8	721.6	722.8	86	47	65							6.0	6.2	6.7	58.1	

Mai 1952
Beobachter: *Observatorium.*

Genève

$\lambda = 6° 9'$, $\beta = 46° 12'$,
$H_b = 405.0$ m, $G = -0.03$ mm.

1	11.0	20.3	16.0	15.8	4.4	721.7	720.6	721.4	90	51	87	ESE	0	SSE	1	E	0	0	4	9	5.1	⌇ ∵ abd
2	13.0	19.2	14.5	15.6	4.0	722.5	720.9	720.2	90	63	82	E	0	S	1	S	2	2	5	9	3.3	⌇ ∵ 19, ● n (2./3.)
3	13.0	20.0	14.4	15.8	4.1	721.0	719.4	717.2	88	47	80	NNE	1	S	2	SE	0	3	6	9	+1.0	● p–n mU
4	12.0	14.0	13.0	13.0	1.1	**715.0**	715.4	716.7	95	84	70	S	1	S	1	S	1	10●	9	5	**+19.0**	● a, p–n mU
5	10.0	15.2	11.6	12.3	0.3	720.9	722.2	723.0	92	64	83	S	1	S	1	E	0	10●	8	1	3.0	● n–a
6	10.0	15.0	9.7	11.6	−0.6	722.4	721.0	724.2	89	68	89	ESE	1	W	1	E	0	2	10●	10●	7.1	● p–n
7	10.8	17.0	13.0	13.6	1.3	726.8	726.4	726.7	87	**43**	75	E	0	NNE	1	E	0	0	1	2	.	
8	10.5	17.0	14.0	13.8	1.3	727.3	726.3	726.1	75	68	91	S	1	S	1	S	1	2	10	9	0.1	● p
9	13.5	18.5	14.4	15.4	2.8	727.0	725.7	727.9	67	58	86	E	0	NE	1	S	1	10	4	10●	0.2	∵ 21½–22
10	11.3	19.5	16.6	15.8	3.1	726.9	725.5	726.0	93	59	70	NNE	1	NNE	1	SE	1	1	2	10	0.1	∵ abd
11	14.6	22.0	14.0	16.9	4.0	726.2	725.9	728.1	74	57	83	E	1	NNE	1	S	1	3	9	10●	10.0	● 21–n
12	10.4	16.2	11.3	12.6	−0.4	730.5	730.3	731.1	95	50	84	E	0	ENE	0	ESE	0	3	7	6	.	
13	11.0	16.7	13.0	13.6	0.5	731.9	731.2	731.7	85	45	66	E	0	NNE	1	E	0	2	2	0	.	
14	16.3	20.0	14.4	16.9	3.6	730.5	729.3	729.3	86	55	76	E	0	NNE	1	E	0	0	2	0	.	
15	13.0	20.0	16.2	16.4	3.0	728.4	726.9	727.0	90	47	58	NNE	1	NNE	2	ENE	0	8	1	1	.	
16	12.8	22.6	17.2	17.5	4.0	728.4	727.5	728.6	75	44	73	NNE	0	NNE	1	ENE	0	0	1	1	.	
17	15.6	23.5	17.6	18.9	5.2	728.9	727.0	727.0	83	75	75	NNE	2	NNE	2	NNE	2	0	1	1	.	
18	13.8	18.9	16.3	16.3	2.5	726.9	726.5	726.9	76	52	77	NNE	1	NNE	1	E	0	4	5	2	.	
19	12.6	20.6	17.6	16.9	3.0	727.4	726.5	726.5	75	62	74	NNE	1	W	1	NNE	0	0	6	7	.	
20	15.0	18.8	14.3	16.0	2.0	725.1	725.1	726.4	92	67	75	E	0	NNE	2	NNE	3	8	8	2	.	⌿ III
21	7.9	14.0	11.4	11.1	−3.1	728.3	728.4	730.5	68	69	55	NNE	2	NNE	2	NNE	2	0	1	1	.	
22	9.5	16.0	12.5	12.7	−1.6	732.6	732.0	732.6	78	55	48	NNE	1	NNE	2	NNE	1	0	2	0	.	
23	9.4	16.4	13.8	13.2	−1.2	733.3	732.7	733.1	76	47	54	NNE	2	NNE	3	NNE	2	0	0	0	.	⌿ II
24	13.2	19.6	16.5	16.4	1.9	**734.2**	732.3	731.6	64	**43**	70	ESE	0	NNE	1	**NNE**	2	1	3	2	.	
25	12.0	18.4	14.7	15.0	0.3	730.9	730.4	730.7	86	71	64	NNE	2	NNE	2	ENE	1	1	2	1	.	
26	12.5	20.0	15.4	16.0	1.2	731.0	729.6	730.0	82	46	64	NNE	1	NNE	1	ENE	0	0	2	1	.	
27	16.0	20.5	16.2	17.6	2.7	729.6	728.0	728.0	63	49	75	E	0	NNE	1	E	0	1	5	3	.	
28	14.0	**24.0**	18.2	18.7	3.7	727.1	725.1	724.7	80	48	60	E	0	ESE	1	E	0	3	4	5	.	
29	18.8	**24.0**	18.4	20.4	5.2	725.2	725.0	726.5	61	40	64	E	0	SW	2	SE	0	9	3	1	.	
30	14.6	21.0	20.0	18.9	3.6	727.4	726.9	727.2	84	45	68	E	0	NNE	0	E	0	2	1	0	.	
31	18.0	**24.0**	18.2	20.1	4.7	726.8	726.4	726.8	72	90	98	E	0	ESE	1	E	0	5	10	9	0.2	∵ 13
																					Summe	
Mittel	12.8	19.1	15.0	15.6	—	727.2	726.3	726.9	81	57	73							2.9	4.3	4.1	49.1	

$\lambda = 8°\ 34'$, $\beta = 47°\ 23'$,
$H_b = 569.4$ m, $G = 0.03$ mm

Zürich

Mai 1952
Beobachter: *Meteorol. Zentralanstalt.*

Tag	Lufttemperatur 7³⁰	13³⁰	21³⁰	Mittel	Abweich. vom Normalst	Luftdruck 7³⁰	13³⁰	21³⁰	Relative Feuchtigkeit 7³⁰	13³⁰	21³⁰	Windrichtung und Stärke 7³⁰	13³⁰	21³⁰	Bewölkung 7³⁰	13³⁰	21³⁰	Niederschlag	Witterung
1	12.4	22.7	15.5	16.9	7.0	707.3	706.1	705.7	75	42	59	S 1	ENE 1	NNE 1	0	1	2	.	⌓ I
2	13.3	21.5	15.0	16.6	6.5	708.0	707.2	704.8	74	46	61	WNW 1	ENE 1	ENE 1	7	8	2	0.0	
3	11.4	15.7	12.9	13.3	3.1	706.5	706.0	703.1	83	62	73	W 1	ENE 1	NE 1	10●	6	2	.	●tr 7½
4	11.5	16.3	11.3	13.0	2.6	**699.7**	700.5	702.9	79	61	81	NE 1	WNW 2	N 1	9	9	10	6.9	● 22-1¼
5	10.3	17.1	9.0	12.1	1.5	704.9	706.6	708.9	78	48	95	S 1	SSW 1	SSW 1	4	2	2	5.6	● 15½-17¾, ⸝ 9½-13
6	9.4	21.1	15.5	15.3	4.6	708.1	705.9	705.8	85	41	54	ENE 1	NNE 1	SW 1	1	7	10	0.3	● 22¾-23¼, ⌓ I, ⸝ 22-23½
7	10.5	16.3	12.1	13.0	2.1	712.2	712.5	713.1	76	50	66	S 1	N 1	E 1	2	3	1	.	● 1-1¾
8	12.0	21.0	13.3	15.4	4.4	713.0	711.7	711.1	75	44	79	ENE 1	N 1	NNE 1	5	9	10	5.5	● 18-18¾, 22¾-23¾, ⌓ I
9	11.8	18.9	13.7	14.8	3.6	713.7	712.8	712.0	91	48	80	S 1	W 1	NE 1	10	10	4	13.6	● 0½-5¾
10	12.7	20.7	13.8	15.7	4.3	713.0	711.9	711.5	80	45	74	NE 1	NNW 1	S 1	2	1	1	0.0	● 0¾-2¾, ⸜ 0¾-1½
11	13.5	19.6	11.4	14.8	3.3	712.1	710.8	712.6	80	46	94	S 1	NE 1	S 1	5	3	10●	**23.9**	● 17½-24
12	7.9	11.5	9.0	9.5	−2.2	714.3	715.3	716.7	90	79	90	SSW 2	S 1	SE 1	10●	9	9	12.4	● 0-1¾, 14¾-15, 16¼-17,
13	9.9	13.9	10.5	11.4	−0.4	717.5	717.3	717.6	77	45	67	S 1	NW 1	N 1	3	9	10	.	⌓ I [19-19¼
14	11.8	18.9	14.0	14.9	3.0	717.1	716.5	715.9	79	40	60	SSW 1	WSW 1	N 1	5	4	7	.	⌓ I
15	10.9	19.9	14.4	15.1	3.1	715.1	714.5	714.1	76	40	58	NE 1	NNE 1	NE 1	7	2	4	.	⌓ I
16	13.1	22.2	16.8	17.4	5.2	714.4	714.0	714.8	76	45	63	SSW 1	ENE 1	NE 1	0	2	9	.	⌓ I
17	14.2	19.9	13.0	15.7	3.4	716.5	715.6	714.8	74	43	64	NE 1	NE 1	E 1	3	3	1	.	⌓ I
18	10.7	19.4	12.4	14.2	1.7	714.2	713.4	712.7	74	38	49	NE 1	NE 1	E 1	7	1	1	.	
19	12.1	18.8	13.8	14.9	2.3	712.7	712.3	712.4	67	53	80	SSW 1	S 1	SSW 1	6	9	10	1.0	⸜ ● 16-16¾, ⌓ I
20	9.4	17.3	8.1	11.6	−1.1	713.0	713.3	715.4	83	45	48	NNE 1	NNE 2	NE 1	10	1	1	.	
21	**5.6**	13.4	7.1	8.7	−4.2	715.6	715.5	717.4	60	42	57	NNE 2	NE 2	NE 2	0	1	0	.	⸝ a
22	6.0	14.5	7.6	9.4	−3.6	718.6	718.6	719.7	68	**36**	60	NE 1	NNE 2	ENE 1	1	2	2	.	⌓ I
23	8.5	16.7	11.1	12.1	−1.1	720.1	719.9	**720.3**	67	40	62	NE 1	NE 2	N 2	0	2	10●	0.0	⌓ I
24	10.5	17.4	10.2	12.7	−0.6	719.7	718.5	718.3	76	45	82	S 1	WNW 1	N 1	1	9	10●	3.5	● 19¼-22½, 23¼-24½
25	9.1	16.1	9.8	11.7	−1.7	718.2	717.5	717.4	85	44	85	NE 1	SSE 1	NE 1	3	7	10	0.2	● 20¼-21
26	10.9	16.5	11.3	12.9	−0.7	716.7	716.2	716.2	65	47	90	ENE 1	WNW 1	W 1	5	8	10●	5.6	⸜ 16½, ● 19¼-1
27	11.4	16.0	11.8	13.1	−0.6	715.3	715.0	714.7	87	56	78	W 1	ENE 1	WNW 1	10	10	10	0.0	● 2¾-3¼, 4¾-5
28	13.2	18.8	14.5	15.5	1.7	712.6	711.1	709.9	71	50	65	SSW 1	NW 1	SE 1	9	9	10	0.2	⌓ I, ⊕ II
29	13.7	20.6	15.3	16.5	2.6	710.1	710.0	712.2	79	42	60	SSW 2	WSW 2	WSW 1	10●	8	9	0.1	● 7-7½
30	13.5	21.1	14.9	16.5	2.5	714.1	713.3	713.1	60	46	62	WNW 1	WNW 1	NNE 1	10	1	1	.	
31	15.2	**25.5**	17.8	19.5	5.4	712.7	711.4	712.5	73	37	67	SSW 1	SW 1	SW 1	4	9	10	2.3	● 16-17, 23¼-23¾
																		Summe	
Mittel	11.2	18.4	12.5	14.0	—	713.1	712.6	712.8	76	47	70				5.1	5.3	6.1	81.1	

$\lambda = 6°\ 32'$, $\beta = 46°\ 51'$
$H_b = 1589$ m, $G = -0{,}13$ mm

Chasseron

Mai 1952
Beobachter: *Ch. H. Martin*

1	8.2	12.0	8.0	9.4	—	626.1	626.2	625.9	80	54	100	E 1	SE 1	NW 2	1	5	10≡	11.2	● 20½-23, ⸜ 21-22, ▲ 21¼-21½*)
2	6.0	10.6	9.0	8.5	—	626.7	626.5	624.9	100	80	81	NW 1	E 1	E 2	10≡	6	9	9.4	● 20-21, ≡ 7-8
3	3.4	5.6	6.2	5.1	—	624.5	624.2	622.6	96	90	100	SE 2	SE 2	E 1	9	8	9●	0.7	● 20-21½ mU, ≡ 9-12 mU
4	5.4	3.2	2.2	3.6	—	**619.0**	619.8	619.7	84	100	100	SE 2	SW 2	W 5	10●	10●≡	8	**17.8**	● 4-14 mU, ≡ 12-20 mU
5	1.0	3.8	4.2	3.0	—	623.0	624.6	626.3	100	90	81	WSW 5	WSW 4	SW 3	10●*≡	8	5	13.6	● ✳ 6-8, ⸜ ● ▲ 12-12½ *)
6	5.0	4.0	2.0	3.7	—	625.8	625.2	625.3	85	65	100	E 2	E 2	W 2	4	10●	10≡	7.1	● 13-n, ≡ 19-n mU
7	4.0	7.8	6.0	5.9	—	628.6	630.1	630.7	72	76	81	WSW 1	ESE 1	ENE 4	3	5	3	0.0	
8	7.2	10.2	7.0	8.1	—	630.5	630.6	629.6	76	55	81	E 2	SE 4	E 1	9	9	10●	2.8	● 17-n mU, ≡ 18-n mU
9	5.2	8.0	7.0	6.7	—	630.4	630.8	630.3	81	85	100	SW 2	N 1	NE 1	4	8	10●	5.2	● 20-n, ⸜ 20-20½
10	7.0	10.3	8.6	8.6	—	630.5	630.6	630.2	90	65	80	SE 1	SE 1	N 1	2	6	5	0.8	▲ 16¼-17
11	6.6	8.2	4.8	6.5	—	630.0	629.9	629.8	92	95	100	WSW 2	WSW 2	WNW 3	6	9	10●≡	13.8	△ 10-11¾, 12½-13½, *)
12	1.0	3.2	1.2	1.8	—	630.7	632.3	632.8	100	82	100	NW 3	NW 2	NW 3	10●≡	8	6	1.8	● ✳ n-9½, ● 19-19½, *)
13	1.8	5.4	3.8	3.7	—	633.7	634.0	634.1	90	69	65	NNW 1	NNW 1	N 2	9	9	4	.	
14	4.8	8.2	6.0	6.3	—	633.5	633.9	633.4	86	74	80	NNE 1	ESE 1	NE 2	3	5	4	.	
15	6.0	12.0	8.0	8.7	—	631.5	632.3	631.6	75	55	60	ENE 3	ESE 1	NE 3	4	4	4	.	
16	9.0	13.0	10.2	10.7	—	632.4	632.9	633.5	75	70	85	ENE 3	N 1	NNE 1	3	5	6	.	
17	9.0	11.8	8.0	9.6	—	633.4	633.4	632.6	85	82	80	ENE 2	NE 1	NE 2	3	4	4	.	
18	7.0	10.8	7.0	8.3	—	631.0	631.2	630.9	65	**50**	55	NE 2	N 1	NNE 2	8	8	8	.	
19	7.0	11.0	8.4	8.8	—	630.9	631.2	630.8	85	72	74	NNW 1	WSW 1	NNW 3	6	8	8	0.2	● 18½-19
20	7.4	8.4	4.0	6.6	—	630.1	630.3	630.1	95	78	85	NNW 2	NNW 1	NE 2	8	8	4	.	≡ 4-7 mU
21	−1.2	4.8	1.2	1.6	—	629.3	630.7	632.1	55	**50**	75	NE 3	E 2	E 3	4	4	3	.	
22	0.2	5.0	2.0	2.4	—	632.7	634.5	634.8	70	52	**50**	E 3	ENE 1	ENE 1	3	4	4	.	
23	1.0	6.2	3.8	3.7	—	631.5	635 6	636.0	65	52	82	E 3	NE 2	NE 1	3	4	4	.	
24	5.2	8.0	5.8	6.3	—	636.2	**636 3**	635.2	75	65	100	E 2	N 1	W 3	4	8	10	0.0	● 21½-22
25	1.4	7.0	4.0	4.1	—	633.2	634.0	633.9	100	65	85	NW 2	N 1	NNW 2	10≡	6	8	.	≡ 3-8 mU
26	6.0	9.2	5.4	6.9	—	632.9	633.2	633.5	82	67	90	NNE 1	NNE 1	N 1	4	6	9	.	
27	5.2	9.7	5.0	6.6	—	632.6	632.6	632.2	100	70	90	NW 2	NW 1	N 1	10≡	8	8	.	≡ 4-8½ mU
28	7.0	10.2	8.0	8.4	—	630.6	630.0	629.1	65	65	60	E 1	NW 2	WNW 3	8	8	9	.	
29	7.2	10.4	6.0	7.9	—	628.8	629.4	630.4	70	60	100	NW 3	W 3	WNW 3	8	8	5	.	
30	5.2	12.0	10.6	9.3	—	631.5	631.9	631.9	85	64	68	WNW 1	NW 1	ESE 1	5	6	4	.	
31	11.2	**13.4**	11.0	11.9		631.3	631.3	630.8	78	70	65	S 2	SW 2	SSW 4	6	10	10	1.2	● 14-17 mU
																		Summe	
Mittel	5.2	8.5	5.9	6.5	—	630.1	630.6	630.5	82	70	82				6.0	6.9	6.8	85.6	

*) **1.** ≡ 19-21 **5.** ● ▲ 14-18, ≡ 6¼-13, 15-17 **11.** ● 20½-n, ≡ 14-17 mU, 19¾-n **12.** ≡ n-9¾, 9¾-10¾ mU

Mai 1952
Beobachter: *B. Minsch und C. Clavuot*

Bever

$\lambda = 9° 53'$, $\beta = 46° 33'$,
$H_b = 1711.8$ m, $G = -0.23$ mm

Tag	Lufttemperatur					Luftdruck			Relative Feuchtigkeit			Windrichtung und Stärke			Bewölkung			Niederschlag	Witterung
	7^{30}	13^{30}	21^{30}	Mittel	Abweich. vom Normalst	7^{30}	13^{30}	21^{30}	7^{30}	13^{30}	21^{30}	7^{30}	13^{30}	21^{30}	7^{30}	13^{30}	21^{30}		
1	2.1	14.5	6.7	7.8	4.3	619.5	618.1	618.8	99	35	72	SW 0	SW 1	W 0	0	3	3	.	⌊ l
2	3.4	12.8	6.8	7.7	4.1	619.3	619.1	618.8	96	43	76	W 0	W 1	S 0	4	8	2	1.5	● n (2./3.)
3	6.0	13.5	4.2	7.9	4.1	617.3	616.9	617.4	95	47	76	SW 0	SW 2	W 0	10	7	10	.	
4	5.0	5.4	3.8	4.7	0.7	614.5	614.2	614.8	65	88	97	SW 0	SW 1	SW 0	9	10	10	**16.5**	● 10-n mU
5	4.3	8.1	2.3	4.9	0.7	616.3	617.4	**618.5**	89	62	99	SW 0	SW 2	SW 1	8	10	10	5.6	● p
6	3.6	10.3	4.8	6.2	1.8	619.5	619.0	618.5	98	58	57	SW 0	**W** 0	SW 0	7	7	9	3.2	● 22½-n
7	6.2	11.7	3.0	7.0	2.4	620.2	621.0	623.1	94	57	68	**SW** 0	SW 1	SW 0	8	7	1	.	
8	1.8	15.4	7.6	8.3	3.5	623.4	622.0	622.1	98	30	73	S 0	SW 1	SW 0	1	5	10●	3.4	● p-n, ≡ a
9	7.0	11.0	6.7	8.2	3.2	621.7	622.1	623.0	98	57	71	SW 0	SW 1	SW 0	8	9	8	0.0	●tr a, ≡ a
10	4.8	11.6	8.0	8.1	3.0	622.5	621.0	622.1	98	57	70	S 0	SW 1	W 0	2	3	2	.	⌊ l
11	6.9	14.9	7.6	9.8	4.5	621.7	620.4	620.6	95	34	66	W 0	SW 2	**SW** 0	2	7	4	0.3	●tr n (11./12.)
12	6.3	5.2	4.3	5.3	-0.2	619.5	621.5	623.1	74	74	55	NE 0	NW 1	NE 0	9	10	9	.	
13	3.5	8.9	5.2	5.9	0.3	623.3	623.7	624.8	50	43	47	NE 1	NE 1	W 0	6	4	7	.	
14	5.1	11.0	4.3	6.8	1.0	624.4	623.4	624.2	52	37	58	NE 0	NE 2	NE 0	4	4	5	.	
15	3.2	14.2	4.3	7.2	1.2	622.9	622.2	623.6	67	38	74	SE 0	NE 1	NE 0	2	7	2	.	
16	4.4	13.2	10.0	9.2	3.1	622.9	623.0	623.5	88	45	47	SW 0	**W** 1	NE 1	5	8	10	.	
17	9.0	14.1	5.1	9.4	3.1	622.9	622.9	623.3	52	44	62	NW 2	NW 1	N 0	10	2	9	.	
18	4.0	15.0	5.3	8.1	1.7	621.8	620.5	621.6	54	**26**	42	S 0	NE 2	N 0	1	0	0	.	⌊ l
19	7.4	9.7	5.6	7.6	1.0	620.9	621.4	621.6	56	60	95	NE 0	E 0	E 0	8	10	10	9.0	● n (19./20.)
20	4.6	9.2	2.4	5.4	-1.3	619.9	620.2	621.9	98	41	45	E 0	W 1	E 0	10	8	2	.	
21	-1.1	10.0	1.2	3.4	-3.5	621.9	622.2	623.6	74	31	89	NE 0	S 2	SW 2	0	1	2	.	⌊ l
22	1.4	7.5	2.4	3.8	-3.2	623.7	623.5	625.1	80	42	59	NE 1	NE 1	NW 1	4	8	10	.	
23	1.6	9.2	4.3	5.0	-2.1	625.6	625.0	**626.3**	66	35	62	E 1	E 2	N 1	1	6	10	.	
24	4.5	9.7	3.8	6.0	-1.3	626.2	625.3	623.7	67	42	89	S 0	N 0	NE 1	4	9	10●	4.7	● 19-n
25	4.4	9.6	4.9	6.3	-1.1	623.5	623.1	624.0	51	41	53	NE 2	NE 1	N 0	4	4	3	.	
26	6.0	8.9	4.0	6.3	-1.2	623.1	623.0	623.6	54	47	93	W 0	NE 1	S 0	9	10	9	0.4	● n (26./27.)
27	4.7	10.5	5.8	7.0	-0.7	621.6	621.8	622.8	91	49	70	NE 0	N 0	NW 0	8	8	10	.	
28	6.7	9.5	7.3	7.8	0.0	621.7	622.3	620.5	86	47	86	NE 0	SW 1	SW 1	5	7	6	.	
29	10.3	14.5	8.7	11.2	3.3	619.7	620.0	621.6	56	47	89	S 1	SW 2	SW 1	5	6	3	.	
30	6.8	**16.9**	9.8	11.2	3.2	622.8	622.2	624.6	95	33	79	W 0	SW 1	S 0	3	3	0	.	
31	10.2	14.4	10.2	11.6	3.5	625.2	625.0	625.1	96	58	77	SW 0	S 1	W 1	3	9	10	.	
Mittel	5.0	11.3	5.5	7.3		621.6	621.4	622.0	78	47	71				5.2	6.5	6.3	Summe 44.6	

Mai 1952
Beobachter: *Couvent des Capucins.*

Sion

$\lambda = 7° 21'$, $\beta = 46° 14'$,
$H_b = 548.6$ m, $G = -0.11$ mm.

1	12.5	23.1	15.7	17.1	4.7	710.9	708.4	709.0	68	**33**	46	NE 1	ENE 3	ENE 0	0	3	4	.	↙ p
2	13.8	22.0	17.5	17.8	5.2	711.3	709.0	708.2	71	36	42	ENE 0	ENE 4	ENE 3	1	5	8	3.2	↙ a-n
3	13.0	20.0	15.8	16.3	3.6	709.7	707.4	706.5	97	41	41	W 0	SE 2	E 1	9	2	2	.	● 3¼-5¼, ↙ p
4	15.4	17.7	14.4	15.8	2.9	**704.0**	**704.0**	706.4	39	45	61	E 3	E 2	W 2	9	9	8	0.1	▽ 18¾, ↙ 3-a
5	12.8	18.0	11.8	14.2	1.2	708.4	709.4	711.5	66	52	60	ENE 0	WSW 2	ENE 1	2	9	5	.	
6	11.2	20.2	12.9	14.8	1.6	711.6	708.6	710.4	75	36	79	NE 0	NNE 3	W 3	2	9	10	2.0	● 22½-1¼, ↙ p
7	11.4	20.2	13.6	15.1	1.8	714.4	713.2	714.7	75	42	60	N 0	WSW 1	NE 2	1	1	0	.	
8	11.6	21.3	13.8	15.6	2.1	715.4	713.4	714.1	71	36	74	NE 0	NNW 0	NW 0	10	10	10	.	
9	13.9	22.1	15.4	17.1	3.5	715.2	713.3	713.6	76	46	66	WNW 0	W 1	W 1	3	2	2	0.5	
10	14.4	22.5	16.2	17.7	3.9	715.2	712.8	713.6	80	43	55	WSW 0	WSW 2	N 2	2	5	2	.	▽ 1-1¼
11	13.9	23.6	12.6	16.7	2.8	714.7	712.1	714.3	66	41	98	ENE 2	W 1	W 2	6	4	10●	11.8	● 19-24, ↙ 16-18½
12	9.5	17.3	12.2	13.0	-1.0	716.9	716.2	718.2	88	47	48	WSW 2	WSW 3	WSW 1	10●	5	6	0.0	● 0-5, ●tr 7½
13	11.2	19.5	13.8	14.8	0.6	719.2	717.4	718.3	68	39	49	NW 0	WSW 2	WSW 1	1	1	0	.	
14	11.5	21.0	14.0	15.5	1.2	719.1	716.2	716.7	69	42	56	NE 0	WSW 1	WSW 0	1	2	0	.	
15	10.4	21.9	16.3	16.2	1.8	716.6	714.2	714.6	76	44	55	NE 1	WSW 1	NE 2	3	3	0	.	
16	13.9	24.0	17.9	18.6	4.0	716.3	714.4	715.9	66	45	46	NE 0	SW 1	NE 2	0	2	0	.	
17	15.9	**25.0**	17.8	19.6	4.9	716.9	714.0	714.0	63	38	51	NE 0	WSW 1	W 0	0	0	0	.	
18	13.7	22.4	16.6	17.6	2.8	715.2	712.9	713.8	61	44	45	NE 0	WSW 2	WNW 1	2	4	5	0.1	●tr 18½
19	13.3	22.6	17.8	17.9	3.0	715.5	713.6	712.5	62	40	54	NE 1	WSW 1	WSW 1	2	8	9	.	
20	15.1	21.0	14.3	16.8	1.7	713.8	712.6	713.0	75	48	59	NE 0	W 1	N 2	8	8	2	.	
21	10.3	18.3	12.1	13.6	-1.6	714.7	713.5	716.4	67	47	66	WSW 2	WSW 2	WNW 1	3	4	5	0.1	●tr 18½, ↙ p
22	**9.2**	16.2	11.8	12.4	-2.9	719.1	717.3	718.5	77	51	52	SW 2	W 2	N 1	3	8	2	.	
23	10.6	20.0	14.1	14.9	-0.5	720.5	718.4	719.5	65	39	45	NE 0	WSW 2	ENE 2	0	2	8	.	
24	11.6	22.0	17.5	17.0	1.5	**721.7**	718.7	718.1	60	39	42	NE 1	W 1	W 2	0	5	8	0.4	● 22½-24
25	13.3	20.4	15.6	16.4	0.7	717.4	715.7	717.0	68	43	47	SW 0	WSW 3	W 1	1	2	4	.	
26	12.7	22.6	16.7	17.3	1.5	718.0	715.6	716.2	63	41	50	WSW 0	**W** 2	W 2	1	8	5	.	
27	16.7	24.4	16.7	19.3	3.4	716.6	714.7	715.3	58	39	55	WSW 0	WSW 2	WSW 1	2	8	2	.	
28	14.4	23.8	18.7	19.0	3.0	715.3	711.9	712.3	67	46	44	NE 0	WSW 2	W 2	3	5	4	.	
29	16.2	24.0	18.0	19.4	3.3	713.6	712.3	713.5	63	43	51	W 0	W 1	W 1	9	3	1	.	
30	15.2	24.2	18.6	19.3	3.1	716.0	713.7	714.5	70	48	50	NE 0	WSW 2	W 0	0	3	1	.	
31	17.7	24.7	17.4	19.9	3.6	715.5	713.7	715.1	65	43	84	NE 0	NNE 2	E 1	2	8	8	0.2	● 20½-20¾
Mittel	13.1	21.5	15.4	16.7	—	715.1	713.2	714.1	69	43	56				3.1	4.8	4.2	18.4	

$\lambda = 8°\,57'$, $\beta = 46°\,0'$,
$H_b = 276.2$ m, $G = -0.01$ mm.

Lugano

Mai 1952
Beobachter: *G. Vicari.*

Tag	Lufttemperatur 7³⁰	13³⁰	21³⁰	Mittel	Abweich. vom Normalst.	Luftdruck 7³⁰	13³⁰	21³⁰	Relative Feuchtigkeit 7³⁰	13³⁰	21³⁰	Windrichtung und Stärke 7³⁰	13³⁰	21³⁰	Bewölkung 7³⁰	13³⁰	21³⁰	Niederschlag	Witterung
1	12.4	23.8	16.2	17.5	4.2	734.5	733.3	734.2	82	46	76	NNE 1	S 1	N 1	0	1	2	.	● n (2./3.)
2	14.4	18.2	16.4	16.3	2.9	735.0	735.2	735.2	78	65	77	N 1	S 1	— 0	9	9	10	13.1	● n (2./3.)
3	13.4	18.2	14.2	15.3	1.7	733.7	733.6	733.8	98	57	79	NW 1	S 1	SW 1	10	9●	7	7.2	▽ 7¾, 10, 13½, p
4	12.0	10.2	9.8	10.7	−3.0	731.1	730.6	**730.4**	99	96	99	N 1	WNW 1	W 1	10●	10●	10●	**78.3**	● n-22, ⊼ 19½-21½
5	13.2	12.0	10.8	12.0	−1.8	733.1	734.8	736.1	80	96	99	N 1	NNW 1	W 1	5	10●	10	57.2	▽ n-n mU, ⊼ 12¾-13½, 16, 18¾
6	10.4	12.8	12.2	11.8	−2.2	737.3	737.1	735.9	96	91	99	NNW 1	ENE 1	NW 1	10	10●	10●	38.3	● 9½-10, 12½-n
7	11.2	17.8	13.8	14.3	0.2	737.3	738.1	739.3	95	63	82	NW 1	SSE 1	SSE 1	10●	3	0	1.8	● n-8½
8	12.2	20.4	12.4	15.0	0.8	739.8	738.8	739.4	88	58	98	E 1	S 1	NW 1	5	8	10●	20.5	● 16-n
9	12.2	15.8	15.4	14.5	0.1	738.6	738.7	738.0	97	79	92	W 1	S 1	— 0	10	9	4	0.7	● n-6½, ▽ ⊼ n (9./10.)
10	14.4	21.6	16.2	17.4	2.9	737.8	737.5	737.0	91	59	83	N 1	S 1	NW 1	8	3	0	.	
11	14.4	14.6	15.2	14.7	0.1	737.0	737.1	735.3	86	95	80	SE 1	N 1	NW 1	5	9●	10	14.3	● 12-14, ▽ 19-19½, ● n (11./13.)
12	14.0	18.4	16.2	16.2	1.4	736.0	736.0	737.6	55	39	34	NNW 3	NNE 2	N 2	10	10	0	.	⌐ a
13	15.6	24.2	17.4	19.1	4.2	739.3	738.8	739.1	36	30	36	N 2	N 2	N 2	0	0	0	.	
14	12.4	22.0	16.2	16.9	1.9	740.4	738.4	738.7	65	38	65	N 1	S 1	— 0	0	1	2	.	
15	12.2	17.4	14.2	14.6	0.6	739.1	738.4	738.6	77	66	71	N 1	S 1	N 1	9	9	5	.	
16	12.4	24.8	17.8	18.3	3.0	738.0	736.5	736.6	83	53	72	N 1	S 1	N 1	1	0	0	.	
17	17.2	**27.2**	19.2	21.2	5.8	736.1	735.1	737.0	62	**20**	44	S 1	NNE 2	NNE 1	0	0	0	.	
18	11.8	20.8	16.0	16.2	0.6	739.6	738.2	738.3	74	59	69	ENE 1	S 1	S 1	0	3	10	.	
19	13.2	22.4	18.4	18.0	2.3	738.3	735.9	734.8	86	55	71	SSW 1	S 1	N 1	6	3	1	.	
20	14.8	23.2	19.2	19.1	3.3	734.7	733.2	735.0	82	61	33	SE 1	S 1	ENE 1	4	4	2	.	
21	10.4	18.2	13.2	13.9	−2.1	741.5	741.4	742.8	77	48	62	S 1	S 1	— 0	10	1	10	.	
22	11.4	17.4	12.2	13.7	−2.4	743.8	742.9	743.8	61	52	71	N 1	S 1	N 1	4	5	4	.	
23	11.2	16.8	12.6	13.5	−2.7	**744.5**	743.6	743.6	74	58	67	N 1	S 1	WNW 1	0	8	2	.	
24	12.2	23.4	18.2	17.9	1.5	743.0	740.4	737.6	67	43	41	ESE 1	S 1	NNE 1	0	1	0	.	
25	15.8	24.8	18.4	19.7	3.2	736.9	736.8	738.6	53	27	42	W 1	N 1	NNE 2	1	1	0	.	
26	13.8	26.2	20.2	20.1	3.5	738.6	736.8	737.9	71	31	36	S 1	E 1	NNE 2	0	2	1	.	
27	14.8	23.4	17.8	18.7	1.9	738.1	736.4	736.6	69	54	66	NE 1	S 1	SSW 1	4	3	9	.	
28	15.8	19.2	17.2	17.4	0.5	738.4	737.2	736.5	91	71	82	S 1	W 1	— 0	10	9	10	0.5	▽ n (28./29.)
29	16.2	22.8	17.8	18.9	1.9	736.2	735.7	736.4	82	59	72	S 1	ESE 1	N 1	9	8	3	.	
30	16.6	23.8	17.4	19.3	2.1	738.4	738.4	740.5	88	57	92	S 1	S 1	WNW 1	6	8	10●	33.2	● 20-n, ⊼ 20
31	16.2	20.2	17.2	17.9	0.6	741.6	741.7	741.2	94	75	98	S 1	N 1	WNW 1	10●	9	10●	12.8	● 7-8, ▽ 17½-18, ● 20-23, ⊼ 21½
																		Summe	
Mittel	13.5	20.1	15.8	16.5	—	738.0	737.3	737.6	79	58	71				5.3	5.4	4.9	277.9	

$\lambda = 7°\,35'$, $\beta = 47°\,33'$,
$H_b = 317.3$ m, $G = 0.11$ mm.

Basel

Mai 1952
Beobachter: *Astronom.-Meteorol. Anstalt.*

1	14.6	23.8	16.0	18.1	7.4	729.1	728.8	728.0	70	37	82	SE 0	S 0	SW 1	0	1	3	.	
2	15.3	21.5	14.6	17.1	6.3	730.3	729.7	727.5	73	51	99	SW 1	NNW 1	SW 1	7	3	9	1.4	
3	11.9	18.2	12.5	14.2	3.2	729.3	728.1	725.9	85	63	100	NW 0	ENE 0	SSW 1	10●	3	4	1.3	● 5¾-8, 10-10½
4	13.3	14.0	11.2	12.8	1.7	**722.9**	723.9	725.1	89	69	100	S 0	NW 2	SE 1	8	10	9	5.1	● 15-16¾, 19¾-22¼ mU, ◠ 18½-19
5	10.4	18.2	11.6	13.4	2.2	727.0	728.3	730.5	87	56	82	SE 1	WNW 1	SE 0	10	8	6	1.2	● 8¾-9¼, 14½-14¾, 15¾-16¼, ⌐ 14½
6	12.8	20.2	12.5	15.2	3.8	730.6	728.3	729.2	73	42	71	E 1	ESE 1	WNW 2	1	9	10	2.0	● 17¼, 20-21¾, 23¼-24, ⌐ 19¾
7	12.8	19.7	12.5	15.0	3.5	734.0	734.3	735.1	86	43	78	SE 1	W 1	SW 1	5	1	0	.	● 0-1¾, 2½-3¾
8	12.4	21.5	13.1	15.7	4.0	735.2	733.4	733.1	74	52	96	SSW 0	NNE 1	W 1	4	9	10	4.9	●tr 19¼, ● 19¾-24 mU, ⊕ 14
9	14.6	18.9	13.8	15.8	4.0	734.9	734.7	734.6	83	60	93	E 1	WSW 1	WNW 1	4	10	10	1.9	● 1-5¾, 23½-1½
10	14.1	22.8	12.4	16.4	4.5	734.9	733.6	733.1	85	46	97	S 1	N 1	SW 1	3	1	0	2.3	● 18¾-19¼
11	12.9	18.0	13.5	14.8	2.7	733.4	732.9	734.0	93	76	90	E 1	WSW 2	SW 1	10●	8	9	16.8	● 2-7½, 13-13½, 23½-24, ⊼ 18¾-13½
12	10.4	16.1	10.1	12.2	0.0	736.2	737.3	738.6	88	50	91	W 1	W 2	S 1	10	8	7	.	● 0-7, ◠ 19¼, ⌐ 13½, 16¾
13	9.4	17.0	11.8	12.7	0.3	739.9	739.6	739.7	86	47	80	SSE 1	NW 1	SW 1	7	8	6	.	
14	14.7	20.0	11.5	15.4	2.9	739.4	738.6	737.9	69	40	83	S 1	SSW 1	SW 1	2	5	0	.	
15	11.0	21.8	15.1	16.0	3.4	737.1	736.0	735.6	77	43	64	SW 0	WNW 1	SE 1	6	6	0	.	
16	13.0	23.9	16.1	17.7	4.9	736.3	735.7	736.7	74	42	68	E 1	NW 1	NW 1	0	0	0	.	
17	14.2	20.6	13.9	16.2	3.3	738.7	737.3	736.8	84	54	67	SW 0	WNW 1	W 1	1	4	0	.	⊕ 15-17
18	13.1	21.0	12.9	15.7	2.7	736.2	735.3	734.5	71	43	76	SE 1	WNW 1	WSW 1	8	1	3	.	
19	11.7	17.6	13.6	14.3	1.1	734.6	734.0	734.0	70	66	98	E 1	SSW 1	ESE 1	2	7	3	6.3	● 13½, 17½-18½, ⊼ 13, 17¼
20	10.0	17.4	11.8	13.1	−0.2	734.9	735.1	737.1	88	56	37	W 1	NW 1	ENE 1	10	8	5	.	
21	9.2	16.2	9.5	11.6	−1.8	738.1	737.6	740.1	46	**31**	60	ESE 1	E 2	NE 1	0	1	0	.	
22	8.4	15.8	9.5	11.2	−2.3	741.4	740.9	742.2	63	36	60	E 0	NE 1	SE 0	0	7	0	.	⌐ ⌊
23	10.0	19.4	11.0	13.5	−0.2	**742.9**	741.9	742.3	62	34	73	SW 0	NE 1	SE 0	0	7	0	.	⌐ ⌊
24	11.9	19.5	13.2	14.9	1.1	742.1	740.7	740.3	65	41	69	SE 1	NNW 1	WNW 1	1	8	10	0.0	●tr 21
25	11.6	18.6	12.6	14.3	0.4	740.1	739.3	739.1	80	45	69	WNW 1	WNW 1	WNW 0	4	5	9	.	
26	11.6	17.6	12.6	13.9	−0.1	739.2	738.7	738.5	91	50	99	NW 1	NNW 1	NW 1	7	10	10●	2.3	● 20¾-24, ⊕ 15½
27	11.8	17.2	13.1	14.0	−0.1	737.7	737.4	736.6	84	52	77	WNW 1	NW 1	SW 1	10	10	10	.	⊕ 12-15
28	13.2	20.7	15.3	16.4	2.2	734.6	732.7	731.9	80	48	78	E 1	NW 1	E 1	10	10	10	0.0	⊕ 17
29	13.7	21.2	16.4	17.1	2.8	732.0	731.9	734.0	80	37	64	E 1	WNW 2	W 1	10	8	6	.	●tr 3½
30	15.6	22.2	13.8	17.2	2.8	736.0	735.2	734.9	57	43	86	E 1	WNW 1	S 1	4	4	2	.	
31	16.8	**25.8**	18.0	20.2	5.7	734.1	732.8	733.7	65	48	78	ESE 1	NW 1	E 0	9	10	10	0.0	⊼ 11½, ⊕ 8
																		Summe	
Mittel	12.5	19.6	13.1	15.0	—	735.3	734.6	734.9	77	48	79				5.3	6.1	5.2	47.5	

Mai 1952
Beobachter: *Observatorium.*

Säntis

$\lambda = 9° 20'$, $\beta = 47° 15'$,
$H_b = 2500.1$ m, $G = -0.27$ mm.

Tag	Lufttemperatur					Luftdruck			Relative Feuchtigkeit			Windrichtung und Stärke			Bewölkung			Niederschlag	Witterung
	7^{30}	13^{30}	21^{30}	Mittel	Abweich. vom Normalst	7^{30}	13^{30}	21^{30}	7^{30}	13^{30}	21^{30}	7^{30}	13^{30}	21^{30}	7^{30}	13^{30}	21^{30}		
1	4.9	5.9	2.9	4.6	7.1	560.7	560.9	561.0	66	66	73	ESE 1	SSW 2	SSW 2	1	3	1	.	
2	3.9	6.5	2.5	4.3	6.6	560.8	561.4	560.0	66	64	75	SSE 2	SW 2	NE 3	7	7	1	.	
3	1.9	2.4	1.1	1.8	3.9	558.9	558.5	557.8	81	93	71	S 3	SE 2	SSE 3	9	2	7	.	≡ 10–13 mU
4	1.2	4.2	−0.5	1.6	3.5	555.2	**554.9**	555.3	65	73	98	SSW 4	SW 3	SSW 3	10	10	10	2.5	∗ 18, ⌿ 1
5	1.7	4.8	−1.6	1.6	3.3	557.1	558.9	560.3	65	81	100	SSW 2	SW 2	W 2	2	8≡	10≡	1.5	△ 17–18¾, ∗ 18¾–19¼ mU *)
6	0.3	3.8	2.2	2.1	3.7	560.0	559.9	559.9	72	64	70	**S** 3	S 2	SE 2	1	5	10	4.0	∗ n (6./7.)
7	−2.6	1.9	0.2	−0.2	1.2	561.5	563.4	564 8	100	90	98	W 3	**SE** 1	S 1	10≡	10≡	1	.	≡ n–8, 10½–19 mU
8	4.0	5.8	2.5	4.1	5.3	564.4	564.7	563.8	54	58	91	SW 1	SW 2	SE 2	2	8	10	0.6	☽ n (8./9.)
9	0.2	3.4	2.4	2.0	3.1	564.0	564.5	564.5	100	90	93	W 2	SSE 1	SSW 2	10*	10≡	6	2.2	∗ 6–9¾, ●tr 15¾, ≡ n–17
10	0.8	8.1	2.8	3.9	4.8	564.2	564.4	564.6	92	74	92	WSW 2	SW 2	WSW 1	10	9≡	2	0.4	▽ 15½, ≡ 12½–18 mU, 19–21
11	5.9	6.7	0.0	4.2	5.0	563.8	563.8	563.4	74	75	100	SSE 1	SW 2	WNW 1	1	8≡	10≡	12.0	▽ 15½, ☽ 18¾–19½, *)
12	−3 6	−1.6	−4.4	−3.2	−2.5	562.3	563.5	564.8	100	100	100	W 2	**W** 2	NW 2	10≡*	10≡	10≡*	21.3	∗ n–13, ▽ 13¾, 15, 16¾–17 *)
13	−4.3	−3.2	−4.0	−3.8	−3.3	564.8	565.6	566.2	100	100	98	WSW 2	**WSW** 2	WNW 3	10≡	10≡	3	1.6	∗ n–5¾, ▽ 7¾–9¾ mU, *)
14	−3.2	1.0	−2.2	−1.5	−1.1	565.6	566.2	566.3	98	91	98	WSW 1	WNW 2	NNE 1	10	10≡	3	.	≡ 9¾–19¼ mU
15	−0.4	2.2	0.3	0.7	1.0	564.7	565.7	565.8	33	91	100	N 2	NNE 2	NE 2	4	6	10≡	.	≡ 20–n
16	2.7	4.6	2.4	3.2	3.4	565.4	566.3	566.9	83	92	100	N 2	NW 2	N 2	2	8	10≡	.	≡ 11½–n mU
17	0.0	3.0	−1.8	0.4	0.4	566.3	566.3	565.4	100	69	92	NW 2	N 1	N 2	10≡	7	2	.	≡ n–11
18	0.1	2.9	−0.5	0.8	0.7	563.6	564.2	564.1	**15**	89	73	N 2	WSW 1	N 2	7	8	1	.	⊕ I
19	−1.3	−0.6	−1.1	−1.0	−1.2	563.2	563.6	563.2	90	100	100	W 2	WSW 2	N 3	10	10≡*	10≡△	26.7	▽ 8¾–9, 9¾–15¾ mU, 17–17¾, *)
20	−1.3	−0.4	**−7.0**	−2.9	−3.2	562.6	562.9	562.9	100	94	98	N 2	NW 1	NNE 2	10≡	10≡	10≡	.	≡ n–15, 17¾–n
21	−4.0	−3.9	−4.8	−4.2	−4.6	562.2	563.6	564.7	35	96	100	ENE 2	E 1	NNE 1	0	10≡	10≡	.	≡ 12–18¾, 20¾–n
22	−1.8	−3.7	−6.5	−4.0	−4.5	564.7	566.0	566.8	50	88	100	NNW 1	N 1	NNE 2	1	7	4	0.0	∗ fl 16½–18¾, ≡ 11–13 mU, 16–20¾
23	−4.9	−3.4	−4.3	−4.2	−4.8	566.4	567.6	**568.2**	77	96	100	NE 2	N 2	NNE 2	1	9	10	1.0	▽ 14¼–17¾ mU, ≡ 12–18¾ mU
24	−2.7	−1.4	−3.5	−2.5	−3.2	567.6	567.8	565.9	82	98	100	NNE 1	NW 2	N 2	2	10≡	10≡*	16.4	▽ 16¾–18¾ mU, ∗ 18¾–n *)
25	−4.7	−1.9	−3.0	−3.2	−4.0	565.1	566.0	565.4	100	92	100	N 2	N 2	W 3	10≡	10≡	10≡*	6.0	∗ 17¾–n, ≡ n–n mU
26	−2.6	−1.0	−2.0	−1.9	−2.8	564.8	565.2	564.8	100	98	100	W 3	W 2	WNW 3	10≡	10≡	10≡*	**29.4**	▽ 15½, 16¼–16½, 17–17¼, *)
27	−1.8	−0.7	−3.1	−1.9	−2.9	564.0	564.4	564.3	100	100	98	W 2	WNW 3	NW 2	10≡*	10≡	10≡	9.7	∗ n–9¾, ☽ 9¾–13, △ 17¼–17½, *)
28	−1.3	1.7	0.7	0.4	−0.7	563.1	563.0	562.2	100	90	100	W 3	W 2	**W** 3	10≡	9	10≡☽	3.9	☽ 21–n, ≡ n–6, 7–8¾, 9½–13, *)
29	−1.0	1.0	1.6	0.5	−0.7	561.2	562.3	563.8	100	100	100	W 4	WSW 3	**W** 3	10≡	10≡	10≡	4.0	∗ n–6¾, ● n (29./30.), ≡ n–15¾,
30	0.4	4.0	4.0	2.8	1.5	564.3	565.4	566.4	100	83	93	**W** 3	WSW 2	WSW 2	10≡	4	1	.	≡ n–19 mU ⌈17½–n, ⋁ I, ⌿ 1
31	8.2	**8.8**	4.5	7.2	5.8	566.4	566.4	566.2	60	65	79	SW 2	SW 3	SSW 3	4	10	10	0.2	▽ 18¼
Mittel	−0.2	2.0	−0.7	0.4	—	563.2	563.8	563.9	79	86	93				6.6	8.3	7.2	Summe 143.4	

Mai 1952
Beobachter: *E. Chiesa*

St. Gotthard (Hospiz)

$\lambda = 8° 34'$, $\beta = 46° 33'$,
$H_b = 2095$ m, $G = -0.25$ mm.

1	3.4	8.3	3.9	5.2	4.7	590.6	590.7	589.2	82	39	73	SE 1	SE 1	SE 1	9	6	0	.	
2	3.0	5.3	3.1	3.8	3.2	590.9	590.5	589.5	97	79	96	SE 0	SE 1	SE 2	10	10	10	17.7	● 19-n mU, ∗ n (2./3.), ≡ a mU
3	1.2	3.4	1.5	2.0	1.2	589.6	587.4	587.4	100	81	95	SE 1	SE 3	SE 3	10●	10●	10●	27.8	● n–n mU, ⌿ a–n
4	−0.2	0.7	0.8	0.4	−0.5	584.7	586.6	**584 1**	100	97	98	SE 3	SE 2	SE 1	10*	10*	10*	**45.0**	∗ n–n, ⌿ 1
5	0.2	4.4	0.2	1.6	0.5	586.3	587.8	589.2	100	79	100	SE 1	SE 1	SE 0	10*	10*	10≡	7.2	∗ n–p mU, ≡ 18–n
6	1.5	2.6	0.4	1.5	0.3	589.0	590.1	590.3	97	98	100	SE 1	SE 2	SE 1	10≡	10≡	10*	24.8	∗ a–n, ≡ n–p
7	0.3	7.5	3.0	3.6	2.3	590.1	592.0	593.4	99	86	95	NW 1	SE 1	SE 0	10	10	9	.	≡ a mU
8	3.1	10.0	0.5	4.5	3.1	593.6	594.5	593.4	57	39	98	SE 0	SE 1	SE 0	9	6	10*	13.6	∗ 16½–n
9	2.2	8.3	4.2	4.9	3.4	593.0	593.4	593.3	100	70	100	NW 0	SE 0	SE 0	10*	10	10●≡	5.7	∗ n–8, ● 8–n mU, ≡ p–n
10	2.7	8.6	4.0	5.1	3.5	593.3	592.9	594.0	100	61	77	NW 0	SE 1	SE 0	10≡	10	0	.	≡ n–a
11	3.1	6.2	2.8	4.0	2.3	593.6	592.9	592.5	80	68	99	SE 0	SE 0	SE 1	0	10	10≡	12.3	● 14¾–14¾, ∗ n (11./12.), ≡
12	−1.6	0.0	−1.6	−1.1	−0.7	591.7	592.0	592.3	100	100	100	NW 2	NW 3	NW 3	10	10≡	10	.	≡ a–p mU, ⌿ a–n [30¼–n
13	−2.7	2.2	−0.5	−0.3	−2.2	593.2	594.2	595.2	97	61	100	NW 2	NW 1	NW 2	3	3	10≡	.	≡ a mU, 21¾–n
14	−1.0	4.2	1.6	1.6	−0.4	595.0	594.6	595.5	71	44	90	NW 1	NW 2	NW 2	0	0	3	.	
15	1.1	5.7	2.9	3.2	1.1	594.3	594.2	594.5	69	43	95	NW 1	NW 2	NW 1	3	6	0	.	
16	3.3	8.6	5.0	5.6	3.4	594.1	594.4	594.7	74	45	74	NW 1	NW 1	NW 1	0	0	0	.	
17	2.8	6.5	0.6	3.3	1.0	595.1	596.7	594.6	97	46	92	NW 2	NW 2	NW 1	9	0	0	.	≡ a mU
18	1.7	4.8	1.0	2.5	0.1	589.8	594.1	593.7	63	38	75	NW 2	NW 1	NW 2	0	0	0	.	
19	1.0	5.9	2.3	3.1	0.6	592.6	592.5	592.6	59	64	97	NW 2	NW 2	NW 2	0	9	10●	6.4	● 20¾–n
20	1.8	1.9	−0.8	1.0	−1.6	592.2	592.6	592.0	100	100	90	NW 2	NW 2	NW 2	10●	10●≡	6	2.9	● n–p mU, ≡ a–p mU
21	−3.4	5.3	−0.8	0.4	−2.3	592.1	592.0	592.2	**32**	35	97	NW 0	SE 0	NW 1	0	3	9	.	
22	−1.6	3.7	−2.0	0.0	−2.8	593.7	592.7	594.3	95	82	84	NW 0	NW 2	NW 2	6	9	10	.	
23	**−4.0**	1.7	−0.4	−0.9	−3.8	595.5	595.9	**597.0**	93	45	82	NW 1	NW 2	NW 1	0	6	10	.	
24	−0.9	2.7	0.4	0.7	−2.3	596.9	596.6	594.8	88	67	100	NW 1	NW 3	NW 4	0	6	10	4.6	∗ n (24./25.). ⌿ a–n, ⌿ III
25	−1.2	−0.2	−0.2	−0.5	−3.6	594.0	594.5	594.5	100	100	100	NW 3	NW 3	NW 2	10≡	0	9	.	≡ n–8½, ⌿ n–p
26	−0.3	3.0	1.0	1.2	−2.0	594.0	594.2	594.2	100	87	100	NW 2	NW 2	NW 2	10≡	10≡	10●≡	1.9	● 12¼–n mU, ≡ n–n mU
27	1.2	4.3	1.7	2.4	−0.9	593.6	593.8	594.0	97	76	100	NW 1	NW 2	NW 1	10	10	10	4.5	● 16¼–n mU, ≡ n–a, p–n
28	3.0	8 5	4.8	5.4	2.0	593.4	593.2	592.5	62	51	94	NW 0	S 0	SE 0	6	3	10≡	.	≡ 18¾–n
29	3.7	9.0	4.8	5.8	2.3	592.1	592.4	592.2	79	43	86	SE 1	NW 0	NW 1	10	6	9	.	
30	2.5	**10.1**	6.8	6.5	2.9	593.3	593.4	593.9	100	40	81	NW 0	SE 0	SE 1	0	3	9	.	
31	5.7	6.1	4.7	5.5	1.9	596.5	596.4	596.0	94	100	100	SE 1	SE 1	SE 1	10	10	10●≡	41.2	● 9¾–n mU, ≡ n–n mU
Mittel	1.0	5.1	1.8	2.6	—	592.5	592.9	592.8	86	67	93				6.3	6.6	7.5	215.6	

*) Säntis. **5.** ≡ 11½–n mU **11.** ≡ 9–14½, 17¾–n **12.** 17¾–18¾, ∗ 20¾–n, ≡ n–n, ⋁ I **13.** ≡ n–10½, 11½–21¾ mU **19.** △ 20¼–21¾, ∗ 22–22¾, ⌿ 21¼, ≡ 8½–n mU **24.** ⌿ 19, ≡ n–6, 11–n **26.** ∗ 19–n, ≡ n–n, ⋁ I **27.** ≡ n–18¾, 21–n, ⋁ I **28.** 15¾–n, ⊕ II

$\lambda = 7°\,26'$, $\beta = 46°\,57'$,
$H_b = 572.2$ m, $G = 0.00$ mm.

Bern

Juni 1952
Beobachter: *Meteorol. Observatorium.*

Tag	Lufttemperatur					Luftdruck			Relative Feuchtigkeit			Windrichtung und Stärke			Bewölkung			Niederschlag	Witterung
	7^{30}	13^{30}	21^{30}	Mittel	Abweich. vom Normalst	7^{30}	13^{30}	21^{30}	7^{30}	13^{30}	21^{30}	7^{30}	13^{30}	21^{30}	7^{30}	13^{30}	21^{30}		
1	15.1	21.0	15.8	17.3	3.0	712.7	712.7	712.6	98	57	97	SE 1	NNE 1	SE 1	9	9	9	8.0	● 7¾, 16-16½, 21½-21¾, 23½-24, ⛆
2	14.9	18.9	16.2	16.7	2.2	715.9	716.5	717.1	98	71	98	SSE 1	WNW 1	SE 1	10	9	9	**19.9**	● 0-24 mU [16¼-16¾, 23½-23
3	13.3	19.7	15.1	16.0	1.4	719.7	719.0	**720.2**	98	48	67	SE 1	WNW 2	ENE 1	9	8	7	.	● 1¼-6¾
4	14.3	19.6	16.6	16.8	2.1	719.8	718.5	717.8	73	52	56	NNE 2	ENE 2	NE 1	1	1	1	.	⊿ I
5	13.7	22.7	19.5	18.6	3.8	717.7	716.7	715.8	80	49	54	W 1	SSW 2	W 1	1	5	8	.	⊿ I, Ψ III
6	16.8	17.7	14.9	16.5	1.6	714.0	714.1	712.4	78	85	98	SSE 1	WSW 4	WSW 2	9	10●	10●	10.1	● 12¾-14¼, 19¾-22¾, ⛆ 20¼-21½
7	14.1	18.2	13.8	15.4	0.4	711.8	711.8	714.0	95	67	94	W 1	SSW 3	SE 1	9	9	10	8.7	● 5½-13½ mU, 15½-18¾, 21½-24, ▲ 16
8	12.5	14.5	14.0	13.7	−1.4	715.1	715.1	715.4	85	73	89	S 1	NNW 2	E 1	5	9●	8	0.0	● 0-3¾, ●tr 10-10½, 13½
9	**11.3**	18.2	15.3	14.9	−0.3	715.5	714.1	715.5	92	55	72	SE 1	NE 1	NE 1	7	6	8	.	⊿ I
10	14.7	20.4	16.6	17.2	1.9	715.5	715.3	714.8	80	53	70	E 1	NNE 1	NE 1	1	6	1	.	⊿ I
11	14.0	23.5	19.5	19.0	3.6	714.4	713.1	712.9	82	43	70	ESE 1	WNW 2	W 1	1	5	1	.	⊿ I
12	16.3	24.4	20.4	20.4	4.9	712.9	711.4	710.7	77	46	67	SSE 1	NE 2	SE 1	1	3	4	.	⊿ I
13	18.1	22.3	15.8	18.7	3.1	711.9	711.0	711.8	80	67	97	SW 1	NNE 1	SE 1	9	4	8	14.6	⛆ 15-15¾
14	15.4	21.1	17.3	17.9	2.2	711.6	710.4	710.3	96	53	60	SE 1	WSW 2	W 1	9	4	1	0.1	● 7¾-8
15	15.0	24.2	15.0	18.1	2.3	709.4	**707.5**	708.5	81	49	98	SE 1	WNW 2	SSW 1	1	8	10●	10.6	● 18¾-23½, ⛆ 20½
16	15.4	19.7	15.8	17.0	1.1	709.1	710.5	712.1	90	75	98	SE 1	NNW 1	E 1	4	9	8	6.9	● 9-10½, 14¼-19¾ mU
17	14.4	21.8	17.4	17.9	1.9	712.6	711.0	710.6	98	73	91	WSW 2	NNE 1	SE 1	10●	8	10	1.3	● 7-8¾, 17¾-18
18	17.8	20.2	14.6	17.5	1.4	710.3	710.0	713.5	95	75	97	E 1	WSW 1	SE 1	6	9●	8	6.9	● 3¾-15¾ mU, ⛆ 14¼-14½
19	14.5	17.7	16.0	16.1	−0.1	715.5	715.7	715.9	95	75	77	S 1	SE 1	ENE 1	9●	9	9	0.3	● 4¼-10 mU
20	14.1	15.6	14.1	14.6	−1.7	716.3	717.0	717.7	90	72	80	NE 1	N 1	ESE 1	10	10	9	0.1	● 5¾-9½ mU
21	13.0	18.0	14.8	15.3	−1.1	718.9	718.2	717.0	73	49	74	NE 1	WNW 2	N 1	9	5	1	.	
22	12.9	21.9	18.6	17.8	1.3	715.8	713.7	713.3	84	46	57	SE 1	WSW 2	W 1	0	1	1	.	⊿ I
23	16.1	22.8	17.4	18.8	2.2	713.2	713.5	715.4	75	45	57	SSE 1	WSW 3	WNW 1	9	5	6	.	⊿ I
24	16.4	21.6	17.6	18.5	1.9	716.9	716.8	717.5	78	43	57	NNW 1	WNW 2	NNE 1	2	7	1	.	
25	15.0	24.3	21.0	20.1	3.4	716.9	715.3	714.5	81	48	49	ESE 1	WNW 2	SSW 1	1	4	9	.	⊿ I
26	16.7	23.3	18.9	19.6	2.8	713.2	712.2	712.1	75	49	59	SSE 1	ENE 2	NE 2	1	3	1	.	⊿ I
27	14.4	21.7	17.4	17.8	0.9	711.3	711.8	713.1	82	62	65	NNE 2	NE 3	NNE 1	0	1	0	.	⊿ I
28	15.1	24.5	20.6	20.1	3.1	715.1	715.0	716.2	85	58	65	NE 1	NE 1	NE 1	0	1	1	.	⊿ I
29	18.1	28.0	22.4	22.8	5.8	718.1	717.7	717.9	83	43	54	ESE 1	NNE 1	ENE 1	0	1	1	.	⊿ I
30	19.3	**28.8**	23.0	23.7	6.6	718.9	718.4	718.2	70	**42**	56	SE 1	NNE 1	NE 1	1	1	1	.	⊿ I
Mittel	15.1	21.2	17.2	17.8	—	714.7	714.1	714.5	85	57	74				4.8	5.6	5.4	Summe 87.5	

$\lambda = 6°\,57'$, $\beta = 47°\,0'$,
$H_b = 487.3$ m, $G = 0.02$ mm.

Neuchâtel

Juni 1952
Beobachter: *Observatorium.*

1	16.5	22.3	18.2	19.0	4.0	720.1	720.0	719.9	69	48	77	W 1	SW 1	NW 0	6	7	10	4.8	● 21½-24 mU
2	14.5	20.4	16.7	17.2	2.0	723.3	723.8	724.6	98	61	78	W 1	W 1	NE 0	10●	2	8	5.2	● 0-8½ mU, ▽ 11-11¼
3	14.3	20.5	16.2	17.0	1.7	727.1	726.5	**727.4**	98	60	51	SW 0	SW 1	N 2	10	8	8	.	● 0-5¾ mU
4	15.2	22.8	17.7	18.6	3.2	727.3	726.1	725.0	62	42	45	NE 2	E 2	NE 2	1	0	1	.	
5	14.0	24.8	19.6	19.5	4.0	725.3	724.0	722.9	80	48	58	SE 1	SE 1	NW 0	2	2	5	.	
6	16.6	17.0	15.9	16.5	0.9	721.5	720.8	719.5	81	96	89	NW 0	SW 2	W 1	10	10●	10●	9.1	● 12¼-13½, 19½-22, ⛆ 19½
7	14.7	19.3	13.8	15.9	0.2	719.3	719.0	721.5	97	60	87	SW 2	SW 2	W 0	10	8	10●	4.6	● 4¾-8¼ mU, 16¼-18¾,
8	13.4	17.9	14.1	15.1	−0.7	722.4	722.5	722.9	93	57	66	E 1	NW 2	N 0	2	7	4	.	● 0¾-2¾ [21½-23
9	**12.0**	20.4	16.9	16.4	0.5	723.0	722.6	722.9	87	45	54	N 0	SE 1	N 1	8	7	9	.	
10	15.0	20.6	17.9	17.8	1.8	723.1	722.9	722.0	74	55	46	NE 1	SE 1	N 1	0	9	1	.	
11	14.4	23.6	19.6	19.2	3.1	722.0	720.5	720.2	76	51	51	E 1	S 1	N 0	1	8	2	.	
12	16.6	25.9	22.3	21.6	5.4	720.4	718.6	717.9	79	49	46	NE 0	SE 0	NE 1	1	6	4	11.8	
13	16.2	25.1	16.5	19.3	3.0	719.3	718.4	719.0	94	64	90	W 1	SE 1	SW 0	10	7	9	0.5	● 5¼-6, 15-15¾, ⛆ 5-6
14	18.0	24.5	19.6	20.7	4.3	718.7	717.7	717.3	68	49	38	SW 1	SW 2	NW 2	3	2	0	.	
15	14.7	24.0	15.0	17.9	1.4	716.9	**714.7**	716.8	76	47	96	NW 0	SW 2	SW 1	3	8	10●	**16.6**	▽ 17, ● 18¼-23, ⛆ 18¼-18¾, [19¾-20¼
16	16.7	22.4	17.0	18.7	2.1	716.4	717.6	719.3	82	71	89	W 0	S 1	NE 1	8	8	8	4.6	● 9-10
17	15.0	22.8	18.7	18.8	2.1	720.1	718.2	717.9	96	76	83	W 1	SW 0	W 0	10●	8	10	1.0	● 6¾-8, ▽ 16¼, 19, 21¾
18	18.3	18.4	14.8	17.2	0.4	717.8	717.5	720.7	94	92	91	NE 0	SW 1	SW 0	6	10●	7	3.6	● 4½-5, 9½-9¾, 10¾, 13½-14¾
19	16.2	18.9	16.6	17.2	0.3	722.6	723.1	723.3	83	64	76	W 0	E 0	N 1	9	10	8	.	● 3½-4½
20	15.3	16.8	15.7	15.9	−1.1	723.8	724.3	725.2	84	57	59	N 0	NW 2	N 1	10	10	9	.	
21	15.1	21.0	15.9	17.3	0.3	726.4	725.7	724.2	75	50	61	SE 1	S 1	N 2	4	2	0	.	
22	13.5	23.4	19.6	18.8	1.7	723.3	721.2	720.3	87	50	55	SE 0	S 1	NW 2	0	0	0	.	
23	18.3	24.7	17.5	20.2	3.0	720.6	720.7	722.8	79	39	68	SW 1	W 3	W 0	7	1	4	.	↙ II
24	17.6	26.0	19.3	21.0	3.7	724.3	724.0	724.6	69	43	41	SW 1	S 1	NW 1	1	2	2	.	
25	15.6	25.5	21.5	20.9	3.5	724.6	722.7	721.7	74	45	47	NE 0	S 1	W 0	1	1	10	.	
26	18.4	25.6	19.5	21.2	3.7	720.6	719.3	719.0	67	42	53	E 0	SE 1	NE 2	0	5	0	.	
27	16.4	26.1	19.6	20.7	3.2	718.6	719.1	720.4	63	43	51	NE 3	E 2	NE 2	0	0	0	.	↙ n-10
28	16.2	26.0	22.7	21.6	4.0	722.7	722.7	723.2	71	48	46	E 0	S 1	N 1	0	0	0	.	
29	18.0	29.8	24.5	24.1	6.4	725.5	725.0	724.9	75	42	36	E 1	SE 1	N 1	0	1	1	.	
30	18.4	**32.0**	24.9	25.1	7.3	726.2	725.8	725.4	72	**37**	39	E 0	SE 1	N 1	0	0	0	.	
Mittel	15.8	22.9	18.3	19.0	—	722.1	721.5	721.8	80	54	62				4.4	5.0	5.0	Summe 61.8	

Juni 1952
Beobachter: *Frl. H. Nager.*

Altdorf

$\lambda = 8° 39'$, $\beta = 46° 53'$,
$H_b = 456.3$ m, $G = -0.05$ mm.

Tag	Lufttemperatur					Luftdruck			Relative Feuchtigkeit			Windrichtung und Stärke			Bewölkung			Niederschlag	Witterung
	7^{30}	13^{30}	21^{30}	Mittel	Abweich. vom Normalst.	7^{30}	13^{30}	21^{30}	7^{30}	13^{30}	21^{30}	7^{30}	13^{30}	21^{30}	7^{30}	13^{30}	21^{30}		
1	16.7	23.7	21.9	20 8	5.8	722.5	722.2	722.7	90	**30**	36	NW 1	SE 2	SE 2	7	8	7	.	
2	17.6	21.3	16.8	18.6	3.5	725.2	726.4	727.5	76	58	95	E 0	NW 1	NW 1	5	6	10	1.9	● n (2./3.)
3	15.2	19.4	14.4	16.3	1.1	729.5	728.5	**730.7**	82	55	100	W 0	NW 1	NW 0	10●	8	10	5.4	● n-a
4	12.9	21.3	16.3	16.8	1.5	730.3	728.3	728.1	96	46	69	NW 0	N 2	SE 0	6	4	0	.	
5	13.9	23.7	19.5	19.0	3.6	727.0	725.6	725.9	88	43	60	E 0	N 1	SE 0	0	3	5	.	
6	17.7	23.9	16.9	19.5	4.1	723.5	721.6	722.8	75	43	100	E 0	NW 2	NW 0	6	9	10●	16.0	● p-n
7	14 8	16.7	13.8	15.1	-0.4	721.0	723.4	724.5	99	94	99	NE 0	NE 0	NW 0	7	10	10●	**25.8**	● a-n mU
8	**12.7**	17.0	13.3	14.3	-1.3	725.1	724.8	726.0	99	58	95	NE 0	SE 0	N 0	8	9	10	0.1	● tr a mU
9	12.9	18.3	15.0	15.4	0.3	725.2	725.1	725.8	85	49	85	NE 0	N 1	NE 0	7	8	10	.	
10	14.9	18.3	14 4	15.9	0.1	725.3	725.2	725.4	88	59	85	NE 0	NE 0	SW 0	6	10	7	.	
11	14.2	22.7	17.7	18.2	2.3	724.0	722.3	722.3	83	44	80	NE 0	NW 2	SW 0	0	5	5	.	
12	16.2	25.2	17.8	19.7	3.8	722.5	721.7	721.3	90	47	88	NE 0	NE 1	SE 0	0	3	6	0.2	● n (12./13.)
13	15.9	22.9	15.2	18.0	2.0	721.4	721.7	722.3	99	58	100	E 1	SE 0	SE 0	7	8	10	3.6	● 17¾-19
14	15.5	19.4	17.3	17.4	1.3	721.5	720.2	720.3	100	74	99	NE 0	NW 0	NW 0	7	6	10	1.0	● n (14./15.)
15	15.7	24.2	16.4	18.7	2.5	719.0	718.0	718.8	88	42	94	SE 1	NW 1	NW 0	0	5	10●	13.2	⛆ 20¾, ● 20¾-n
16	15.7	18.2	16.2	16.7	0.4	719.0	720.6	723.0	100	87	100	SE 0	NW 0	NW 0	7	10●	10	9.4	● a-n mU
17	15.3	21.2	17.6	18.0	1.7	720.9	720.4	720.6	100	68	100	E 0	NW 0	NE 0	7	8	10	1.7	● 19¾-20
18	18.4	18.9	14.2	17.2	0.8	**716 6**	719.8	724.0	95	100	100	SW 0	NE 0	NW 0	7	10	8	11.2	● ⛆ 16½-20
19	14 8	18.2	15.0	16.0	-0.5	725.0	725.6	726.3	96	62	100	W 0	N 0	NW 0	8	9	10	4.7	● 19¾-21¼
20	14.8	15.1	12.8	14.2	-2.4	725.2	726.8	728.5	100	67	97	N 0	N 1	NE 0	10	10●	10	2.9	● a-p mU
21	**12.7**	18.6	13.8	15.0	1.6	728.9	727.9	727.0	100	49	83	E 0	W 1	S 0	10	6	4	.	
22	**12.7**	20.9	16.7	16.8	0.1	725.7	723.1	723.2	89	53	87	SE 0	NW 0	SE 0	0	2	8	.	
23	15.3	20.3	15.7	17.1	0.3	722.8	722.7	724.8	92	61	100	E 0	E 0	NW 0	4	7	10	4.9	● 10¾-p mU
24	16.0	21.7	16.8	18.2	1.3	726.3	725.9	727.7	91	45	63	SE 0	NW 2	S 0	8	8	7	.	
25	14.4	23.0	19.2	18.9	2.0	726.9	724.7	724.0	90	43	57	S 0	N 0	S 0	5	4	6	.	
26	17.3	22.9	18.5	19.6	2.6	722.4	722.0	722.6	82	43	75	SE 0	NW 1	E 0	6	6	6	.	
27	15.4	22.0	18.7	18.7	1.6	721.5	721.9	723.4	94	62	75	E 0	W 1	W 0	0	4	0	.	
28	15.7	22.8	19.0	19.2	2.1	724.6	724.6	726.5	95	58	88	N 0	NW 1	W 0	2	4	0	.	
29	18.3	**26.7**	19.6	21.5	4.3	728.0	727.0	728.4	88	42	54	W 0	W 0	NW 0	0	1	3	.	
30	17.4	25.7	22.3	21.8	4.5	728.8	728.1	728.7	64	47	57	SE 0	N 0	E 0	0	1	0	.	
Mittel	15.4	21.1	16.8	17.8	—	724.2	723.9	724.8	91	56	84				5.0	6.4	7.1	Summe 102.0	

Juni 1952
Beobachter: *Observatorium.*

Genève

$\lambda = 6° 9'$, $\beta = 46° 12'$,
$H_b = 405.0$ m, $G = -0.03$ mm.

1	17.0	24 0	21.5	20.8	5.3	728.9	727.8	727.9	80	72	78	ESE 1	S 1	S 1	9	5	9	3.5	⛆ n (1./2.)
2	16.3	24.4	19.0	19.9	4.3	730.4	730.2	730.7	98	51	92	SSE 1	SW 1	S 0	5	2	9	1.5	⛆ n (2./3.)
3	17.9	21.3	17.7	18.7	3.0	**734.2**	733.2	733.9	86	50	70	NE 1	NNE 1	E 0	5	5	2	.	
4	15.2	20.4	17.2	17.6	1.7	734.1	732.8	731.9	78	58	70	**E** 0	NNE 1	E 0	0	2	0	.	
5	17.4	27.4	22.4	22.4	6.4	732.4	730.0	729.6	65	**32**	58	NE 1	SSW 1	SSW 0	1	2	2	.	
6	21.0	22.4	15.8	19.7	3.6	728.2	728.2	724.2	62	64	99	SSW 0	W 1	SW 1	10	6	10	**38.0**	● 11, ⛆ ⛆ abd
7	15.0	21.6	13 5	16.7	0.5	727.2	727.3	728.2	89	54	94	W 1	S 1	ESE 0	9	9	9	15.5	● n (7./8.)
8	15.2	18.0	15.3	16.2	-0.1	728.9	729.2	729.4	76	71	76	ENE 0	NNE 1	NNE 1	2	6	5	.	
9	14.5	17.2	18.3	16.7	0.3	729.4	728.7	729 5	83	50	57	E 0	NNE 1	ENE 1	2	2	3	.	
10	16.2	21.2	19.0	18.8	2.3	730.2	729.2	729.0	75	49	90	E 0	NNE 1	ENE 0	1	1	5	.	
11	**13.2**	24.5	18 2	18.6	2.0	728.7	726.7	726.9	93	58	78	E 1	NW 0	ENE 0	0	3	0	.	
12	20.2	24.0	21.5	21.9	5.2	727.7	726.1	725.4	80	67	86	E 0	NNE 1	WSW 1	2	6	7	1.3	⛆ ⛆ 21
13	19.2	24.8	19.5	21.2	4.4	726.0	725.7	726.2	94	82	96	ESE 0	SSW 1	E 0	5	3	5	.	
14	20.0	25.0	19.0	21.3	4.4	726.2	725.3	724.3	81	58	59	E 0	ESE 1	E 0	1	3	2	.	
15	18.0	28.4	17.8	21.4	4.4	723.8	**721.5**	723.9	66	43	94	ESE 0	S 1	S 1	3	7	10●	9.1	⛆ 18¾, ● 19-n
16	18.3	24.6	19.2	20.7	3.6	723.8	724.6	726.0	95	54	96	NNE 1	S 1	S 2	9	10	5	5.0	⛆ ⛆ n (16./17.)
17	19.4	26.2	19.0	21.5	4.3	726.7	724.5	724.3	98	75	92	ESE 0	NNE 0	ESE 0	5	8	1	3.3	⛆ ⛆ 15¾
18	18.7	16.4	17.7	17.6	0.3	725.2	726.7	728.4	84	83	94	S 1	S 1	E 0	10●	10●	2	12.0	● n-p
19	17.5	22.6	18.9	19.7	2.3	730.2	729.7	730.3	85	57	76	E 0	NNW 0	NNW 0	3	5	6	.	
20	17.0	19.5	16.2	17.6	0.1	731.1	731.0	732.2	75	52	67	SSE 0	S 1	SSE 0	6	8	7	.	
21	15.5	19.3	19.0	17.9	0.3	732.8	732.2	731.1	68	58	54	E 0	NNE 1	NNE 1	2	3	0	.	
22	17.5	25.5	20.5	21.2	3.6	731.0	727.8	727.5	79	45	73	E 0	NNW 2	NNW 1	3	2	9	.	
23	19.8	25.0	19.6	21.5	3.8	728.5	728.4	729.3	62	42	75	SSW 2	SSW 1	ESE 0	8	3	0	.	
24	19.2	25.0	19.5	21.2	3.4	731.5	731.1	731.5	79	47	71	E 0	NNE 1	NNE 1	1	3	0	.	
25	17.8	24.8	20.5	21.0	3.1	731.1	729.7	728.6	76	57	65	E 0	NNE 1	ENE 0	1	2	2	.	
26	19.5	26.0	22.0	22.5	4.5	727.3	725 8	725.3	72	58	56	E 0	NNE 1	NNE 1	2	2	1	.	
27	17.1	22.8	21.2	20.4	2.3	723.4	725.6	726.8	80	57	57	E 0	N 0	NNE 0	1	2	0	.	
28	19.0	23 8	22.8	21.9	3.8	729.8	729.3	730.8	63	58	90	NNE 1	NNE 1	E 0	0	2	0	.	
29	20.2	26.4	24.6	23.7	5.5	732.2	731.7	731.3	83	52	71	E 0	NNE 1	NNE 3	0	1	1	.	
30	22.0	**28.5**	20.4	23.6	5.3	733.0	732.6	732.2	82	49	74	E 0	NNE 1	E 0	0	1	0	0.0	
Mittel	17.8	23.4	19.2	20.1	—	729.1	728.4	728.6	80	57	77				3 5	4.1	3.7	Summe 89.2	

$\lambda = 8°\ 34'$, $\beta = 47°\ 23'$,
$H_b = 569.4$ m, $G = 0.03$ mm

Zürich

Juni 1952
Beobachter: *Meteorol. Zentralanstalt.*

Tag	Lufttemperatur 7³⁰	13³⁰	21³⁰	Mittel	Abweich. vom Normalst	Luftdruck 7³⁰	13³⁰	21³⁰	Relative Feuchtigkeit 7³⁰	13³⁰	21³⁰	Windrichtung und Stärke 7³⁰	13³⁰	21³⁰	Bewölkung 7³⁰	13³⁰	21³⁰	Niederschlag	Witterung
1	16.2	22.2	15.6	18.0	3.8	713.0	713.1	712.5	83	45	80	SSW 1	WSW 1	SW 1	10	6	9	3.5	● 13¼-19¾, 20½-20¾, ⌇ 18¾-19
2	16.7	19.1	15.1	17.0	2.7	715.8	717.1	717.7	79	65	93	S 1	SSW 1	SSW 1	7	8	10●	13.8	● 0¼-0¾, 1¾-5, 20½-24
3	12.8	19.4	14.6	15.6	1.2	719.9	719.5	**720.6**	90	55	67	WSW 1	NW 1	NE 1	10●	8	9	0.8	● 2-2¼, 3¼-9½
4	13.8	21.4	14.9	16.7	2.2	**720.6**	719.5	718.2	69	40	58	NNE 1	NNE 1	NNE 1	1	2	0	.	◬ I
5	13.9	23.9	17.8	18.5	3.9	717.6	716.8	715.8	71	40	55	NE 1	W 1	NW 1	0	3	3	.	◬ I
6	17.9	24.0	16.5	19.5	4.8	714.0	712.6	712.0	72	46	91	SSE 1	W 1	SSW 1	7	9	10●	**30.3**	● 14¾-15¾, 21¼-22, 22¼-24, *)
7	**11.8**	13.7	13.7	13.1	−1.7	712.1	711.6	713.7	98	86	79	SSW 1	WNW 2	S 1	10●	10●	10	19.3	● 4-8½ mU, 13-16½, 23-23¾, *)
8	**11.8**	15.5	13.7	13.7	−1.2	715.5	715.4	715.6	80	56	71	ENE 1	WSW 1	SW 1	4	9	10	0.0	● 0½-1¾, 2¾-4¾
9	12.8	18.7	14.7	15.4	0.4	715.5	715.5	715.7	73	44	53	SSW 1	WNW 1	NNE 1	9	6	9	.	◬ I
10	13.6	19.8	13.7	15.7	0.7	715.9	715.6	715.1	81	45	76	NE 1	WSW 1	SSE 0	8	6	2	.	◬ I
11	14.5	23.1	17.0	18.2	3.1	714.4	713.3	713.2	75	40	61	SSW 1	NW 1	N 1	1	6	1	.	◬ I
12	16.5	26.0	19.2	20.6	5.4	713.3	712.0	711.1	72	39	57	S 1	WNW 1	NNE 1	1	1	1	.	◬ I
13	18.0	23.6	14.3	18.6	3.3	711.6	711.4	711.9	73	58	93	SSW 0	SSW 1	S 1	9	6	10	4.8	● 17¾-20, ⌇ 17½-19¼, ◬ I
14	15.5	19.7	15.6	16.9	1.5	711.6	710.8	710.3	85	67	63	SSW 1	SSW 1	N 1	9	7	5	1.0	● 7-7¾, 8½-9, 11½-11¾
15	14.9	24.9	14.8	18.2	2.8	709.7	**707.9**	708.7	79	40	93	S 0	WSW 2	SW 1	1	3	10●	12.2	● 20-24¾, ⌇ 20¼-20¾
16	16.4	15.9	14.6	15.6	0.1	709.5	711.1	712.7	75	81	90	SSW 1	WNW 1	SE 1	9	10●	9	13.1	● 10¾-11¾, 12½-16¼, ⌿ 2¼
17	15.2	22.3	16.4	18.0	2.4	711.3	711.5	711.2	80	56	94	NE 1	SSW 1	SSE 1	9	10	9	10.2	● ⌇ 19¼-20, 23¾-24
18	17.3	18.2	14.0	16.5	0.8	711.1	710.4	713.4	90	77	92	S 1	ESE 1	W 1	8●	9	8	5.2	● 3½-7¾, 10¾-10¾, 11¾-13½, 16-17¾,
19	14.8	15.1	14.0	14.6	−1.2	715.5	716.2	716.2	93	89	85	S 1	SSE 1	E 1	10	10●	9	3.1	● 6¾-7¼, 8-14¼ mU [⌿ 15¼
20	12.9	14.6	12.4	13.3	−2.5	716.4	717.2	717.8	83	75	80	N 1	WSW 1	SSW 1	10●	10●	9	0.2	● 7½, 12¾-13¾
21	12.5	17.4	13.7	14.5	−1.4	719.0	718.5	717.5	72	48	60	WSW 1	WSW 1	WNW 1	9	4	2	.	
22	12.6	22.7	17.4	17.6	1.6	715.9	713.7	713.3	80	39	56	S 1	WSW 2	WNW 1	0	1	2	.	◬ I
23	17.7	22.8	14.3	18.3	2.2	712.9	713.4	715.3	63	47	80	WSW 1	W 2	S 1	3	5	5	0.4	● 18¾-19½, ◬ I
24	15.3	19.7	15.8	16.9	0.8	716.9	717.0	717.9	72	54	65	SW 1	WNW 1	NE 1	2	7	10	.	◬ I
25	14.8	23.6	19.9	19.4	3.2	717.0	715.2	712.0	77	46	50	S 1	SSW 2	S 1	2	3	10	.	◬ I
26	18.5	21.8	16.4	18.9	2.6	713.2	712.8	713.1	50	54	65	WNW 1	NW 1	ENE 2	2	5	6	.	
27	13.5	23.1	17.0	17.9	1.6	712.3	712.8	713.9	76	45	57	N 2	NE 2	ENE 2	1	1	0	.	
28	14.5	24.6	17.7	18.9	2.5	715.4	715.6	716.3	73	47	58	ENE 2	ENE 1	N 1	0	1	1	.	◬ I
29	17.3	29.5	20.9	22.6	6.1	718.3	718.2	718.0	74	36	48	S 1	SSE 1	W 1	0	1	1	.	◬ I
30	19.3	**30.9**	21.8	24.0	7.5	719.4	718.8	718.7	68	**33**	41	SSW 1	E 1	NE 1	1	1	1	.	◬ I
Mittel	15.1	21.2	15.9	17.4	—	714.8	714.5	714.6	77	53	70				5.1	5.6	6.0	Summe 117.9	

*) 6. ⌇ 14¾-14½, 21¼-21½, ⌿ 20¾ 7. ⌇ 6½-6¾, 13½-14, 14½

$\lambda = 6°\ 32'$, $\beta = 46°\ 51'$
$H_b = 1589$ m, $G = -0{,}13$ mm

Chasseron

Juni 1952
Beobachter: *Ch. H. Martin*

1	10.4	13.0	12.4	11.9	—	631.5	632.0	631.8	65	55	72	SW 3	WSW 3	W 3	9●	9	10●	6.6	● 6-12, 20-22 mU
2	7.4	9.0	9.0	8.5	—	633.7	634.8	635.3	100	100	80	W 3	W 2	W 2	10●≡	10≡	6	8.1	● 3-11 mU, ≡ 5-19 mU
3	6.2	10.0	7.0	7.7	—	636.7	637.1	637.5	100	75	78	WNW 2	NW 2	NW 1	10≡	8	4	.	● 3-6, ≡ 4-8½ mU
4	7.0	10.6	9.2	8.9	—	636.6	636.8	635.9	85	61	55	E 2	E 1	E 2	4	4	5	.	
5	10.3	13.4	13.0	12.2	—	635.7	636.0	635.4	75	70	55	WSW 2	SE 2	W 2	5	5	8	.	
6	12.4	10.0	11.0	11.1	—	633.4	632.9	631.2	62	100	94	SW 2	S 2	WSW 3	10	10≡	10	14.9	● 12-12½, 19-n mU, ≡ 13-15½, ⌇ 19-
7	7.6	7.2	7.0	7.3	—	630.3	630.3	632.0	100	100	92	W 4	W 4	W 2	10●≡	10●≡	10	**26.1**	● n-n mU, ≡ 3-n mU, ⌿ n-p [19½
8	5.8	5.6	4.8	5.4	—	632.3	633.0	633.2	80	100	90	ENE 1	NW 2	NW 2	6	10	8	0.2	● 10½-11, ≡ 9-12
9	5.4	10.4	7.0	7.6	—	632.8	633.5	633.6	75	64	85	NW 1	W 1	NNW 1	6	9	8	.	⊕ 13½
10	7.2	12.2	9.4	9.6	—	633.5	634.0	633.5	72	65	70	NE 1	W 2	N 1	4	8	6	.	
11	10.0	15.0	12.0	12.3	—	632.9	632.9	632.6	80	65	65	W 2	W 2	NW 1	5	7	5	.	
12	14.0	17.0	14.0	15.0	—	632.5	632.0	631.2	60	60	65	SW 1	E 1	E 2	4	6	6	.	
13	11.0	11.0	10.0	10.7	—	631.4	631.2	631.2	90	100	100	WSW 3	W 3	NW 2	10●	10●≡	10≡	14.7	● 7½-7¾, 12-15, ≡ 12-12½, ▲ 12½,
14	7.3	12.0	9.6	9.6	—	630.1	630.2	629.7	100	66	70	WNW 3	W 3	WNW 3	10≡	6	2	.	≡ n-9 mU [≡ 12-15, 20-n
15	11.0	14.0	8.2	11.1	—	628.7	628.4	**626.7**	70	75	100	SW 2	SE 2	W 4	6	8	10●≡	21.5	⌇▲ 16¼-16½, 18-18¾, ⌇ 20-20½, *)
16	10.0	11.8	11.4	11.1	—	628.3	629.9	631.2	92	85	88	W 2	W 4	W 2	8	9	6	6.0	● 8½-9¼, ≡ 9-12 mU, ⌿ mtg
17	9.0	15.0	14.0	12.7	—	631.1	631.1	630.7	100	75	65	S 3	W 3	WSW 4	10●≡	8	9	1.0	● 6-8½, 15½-16½, ≡ 6-9 mU, ⌿ p-n
18	11.0	9.0	9.0	9.7	—	629.6	629.8	631.7	90	98	100	SSW 4	W 4	W 3	6	10●	10≡	3.4	● 8-12 mU, ⌇ 13¼-13½, ≡ 8½-14
19	6.4	9.6	8.0	8.0	—	633.2	634.2	633.9	100	85	99	NW 2	NW 2	NNW 2	10≡	9	9	.	≡ n-8 [mU, 20¼ · n, ⌿ n-p
20	5.4	7.6	5.2	6.1	—	634.2	634.7	634.9	100	71	81	NW 2	NW 2	NW 2	10≡	9	8	.	≡ n-8½ mU
21	**4.4**	9.2	7.0	6.9	—	635.7	636.1	635.3	81	66	66	N 2	NW 3	NW 2	8	6	2	.	
22	8.0	13.0	10.0	10.3	—	633.6	633.4	632.6	50	65	80	WNW 2	W 2	W 4	2	4	4	.	⌿ III
23	10.4	12.8	8.0	10.4	—	632.0	633.0	632.8	76	65	100	WNW 3	NW 4	NW 4	8	6	10≡	0.8	● 18½-19, ≡ 19-n mU, ⌿
24	7.0	12.0	12.0	10.3	—	634.9	635.8	636.0	100	70	65	NW 2	NW 3	NW 3	8	4	4	.	≡ n-8 mU [a-n
25	12.0	15.0	13.0	13.3	—	635.6	635.5	634.5	50	60	60	NNW 1	NW 3	NW 3	2	5	8	.	
26	12.2	15.0	11.0	12.7	—	632.5	632.3	631.4	100	16	**11**	NNW 2	E 1	E 1	4	6	4	.	
27	10.4	15.0	11.8	12.4	—	630.0	632.0	632.4	75	65	65	ESE 3	E 1	E 2	1	2	4	.	
28	13.0	17.4	15.6	15.3	—	634.0	635.4	636.1	65	69	60	W 2	S 1	S 1	2	4	4	.	
29	17.0	19.0	18.0	18.0	—	637.6	638.3	638.3	55	58	50	SSW 1	SE 1	E 1	1	4	8	.	
30	17.6	**20.0**	18.6	18.7	—	638.6	**639.3**	**639.3**	47	45	42	E 2	E 1	E 2	2	2	2	.	
Mittel	9.6	12.4	10.5	10.8	—	633.1	633.5	633.4	80	72	73				6.4	6.9	6.7	Summe 102.3	

*) **15.** ● 17¾-22, ≡ 19-22, ⌿ p-n

Juni 1952
Beobachter: *B. Minsch und C. Clavuot*

Bever

$\lambda = 9° 53'$, $\beta = 46° 33'$,
$H_b = 1711.8$ m, $G = -0.23$ mm

Tag	Lufttemperatur					Luftdruck			Relative Feuchtigkeit			Windrichtung und Stärke			Bewölkung			Niederschlag	Witterung
	7^{30}	13^{30}	21^{30}	Mittel	Abweich. vom Normalst.	7^{30}	13^{30}	21^{30}	7^{30}	13^{30}	21^{30}	7^{30}	13^{30}	21^{30}	7^{30}	13^{30}	21^{30}		
1	10.4	14.8	8.8	11.3	3.1	624.6	625.3	626.3	80	49	73	SW 0	SW 1	SW 0	9	9	10	0.6	● n (1./2.)
2	9.6	13.7	9.8	11.0	2.7	626.1	626.8	627.6	87	60	94	SW 0	S 2	W 0	6●	10	10●	6.3	● n–n mU
3	9.0	14.0	9.2	10.7	2.3	627.4	627.1	628.0	94	64	75	SW 0	NW 1	N 0	10●	8	8●	1.0	● n–a, 19–n mU
4	7.9	16.5	7.4	10.6	2.1	627.8	626.8	627.9	89	34	57	NE 1	W 1	N 0	9	3	0	.	
5	6.0	17.0	9.2	10.7	2.1	629.2	628.0	627.6	93	36	82	SW 0	SW 1	SW 1	4	3	0	.	
6	8.0	17.2	10.2	11.8	3.1	626.6	624.8	623.5	89	42	82	SW 0	SW 2	SW 0	8	4	1	2.9	● n (6./7.)
7	10.1	11.1	9.3	10.2	1.4	622.2	620.5	622.7	90	62	82	E 0	E 3	N 1	4	9	10	0.6	⊼ 16, ● n (7./8.)
8	6.3	14.0	8.7	9.7	0.8	622.6	622.3	623 4	64	63	58	W 0	W 2	N 1	6	5	2	.	
9	8.2	14.4	3.4	8.7	−0.3	623.3	622.9	624.4	84	42	61	NE 0	W 1	N 1	6	8	10	0.0	●tr 20
10	6.2	17.4	8.4	10.7	1.6	624.2	625.0	625.2	72	37	90	SW 0	W 1	N 0	7	7	1	.	
11	8.8	20.2	9.4	12.8	3.6	624.2	622.9	624.2	84	30	63	SW 0	W 1	SW 1	0	4	2	.	⌴ l
12	8.2	19.4	9.0	12.2	2.9	623.6	622.7	623.3	68	26	71	S 0	W 0	S 0	0	2	4	.	
13	10.1	16.8	10.0	12.3	2.9	623.1	623.0	623.2	83	57	90	S 0	W 2	SW 2	9	8	10●	18.7	⊼ ● 21–n
14	7.8	18.2	10.3	12.1	2.6	621.7	619.8	620.9	100	34	82	SW 0	S 1	W 0	6	5	8	.	≡ n–7¼
15	12.0	18.2	9.8	13.3	3.7	620.5	620.6	619.9	68	43	89	S 0	S 2	S 0	1	5	10	11.6	● 19–n mU
16	10.4	18.4	18.2	15.7	6.0	620.2	619.9	622.6	88	41	85	SE 0	S 2	S 0	4	9	0	.	
17	7.8	18.1	11.4	12.4	2.6	624.1	623.5	625.1	96	48	96	SW 0	S 2	S 0	3	5	10●	8.9	● 19–n
18	11.1	14.2	9.1	11.5	1.6	623.5	622.4	624.5	97	58	98	S 0	S 0	NW 0	9	9●	9●	6.7	● n–n mU
19	8.0	18.7	8.4	11.7	1.7	624.5	624.3	625.1	100	63	97	W 0	SW 2	NE 1	10	10●	10●	13.8	● 15½–n, ⊼ 15½
20	9.1	13.9	7.4	10.1	0.0	625.2	623.1	625.4	97	54	71	N 0	NW 2	NE 0	9●	8	3	0.0	● 14¾–16 mU
21	9.1	14.3	6.0	9.8	−0.3	625.6	626.0	626.3	57	39	75	E 0	NW 2	N 0	3	2	1	.	
22	7.7	16.1	8.1	10.6	0.4	625.1	624.8	625.1	71	44	85	SW 1	SW 2	S 0	5	3	0	.	
23	8.8	13.3	9.0	10.4	0.1	623.3	621.9	624.3	92	53	78	SW 0	S 1	N 1	10	10	10	0.5	⊼ 13¾
24	9.0	15.9	9.8	11.6	1.2	624.8	624.1	625.5	60	39	53	NE 0	W 0	NE 0	8	6	2	.	
25	10.3	17.9	11.0	13.1	2.7	626.2	624.9	625.2	68	39	54	NE 1	W 0	N 0	10	6	2	.	
26	12.0	16.1	11.0	13.0	2.5	622.1	622.7	623.3	53	42	57	NE 1	E 2	N 0	7	9	1	.	
27	7.1	19.1	16.8	14.3	3.7	622.8	623.0	623.6	81	42	72	S 0	S 2	S 0	1	0	0	.	
28	12.0	22.1	11.9	15.3	4.7	625.8	625.7	627.2	72	44	53	SW 0	S 2	S 0	1	1	0	.	
29	11.1	24.5	13.3	16.3	5.6	628.9	628.9	630.1	67	22	45	S 0	NE 0	NE 0	0	0	1	.	
30	8.5	26.0	16.4	17.0	6.2	630.8	628.9	630.7	77	24	37	NE 0	W 0	N 0	0	0	1	.	
																		Summe	
Mittel	9.0	17.0	10.0	12.0	—	624.7	624.1	625.1	81	44	73				5.2	5.6	4.5	71.6	

Juni 1952
Beobachter: *Couvent des Capucins.*

Sion

$\lambda = 7° 21'$, $\beta = 46° 14'$,
$H_b = 548.6$ m, $G = -0.11$ mm.

1	16.7	23.4	19.5	19.9	3.5	715.9	714.8	715.8	73	46	55	ENE 0	ENE 1	E 1	9	8	3	.	
2	17.2	24.4	17.9	19.8	3.3	718.0	716.7	719.3	78	54	83	W 0	WSW 2	W 0	8	7	10●	1.5	●tr 19½, 22½, ● 22½–23½
3	16.1	23.0	18.8	19.3	2.7	721.2	718.9	720.8	90	43	49	WSW 2	WSW 3	WSW 1	8	8	7	.	● 4½–4¾, ⸗ p
4	16.6	23.7	17.6	19.3	2.6	721.6	718.3	719.1	62	42	58	NNE 1	WSW 2	WSW 1	1	2	0	.	
5	17.4	25.7	19.4	20.8	4.0	720.2	717.3	717.9	60	42	50	ENE 0	WSW 2	W 1	0	2	1	.	
6	18.8	21.1	17.8	19.6	2.7	717.3	716.3	714.8	58	50	87	NE 0	WNW 4	NE 1	6	10●	10●	19.1	● 13½–14¼, ⛆ 20½, ● 21½–24½, *)
7	17.4	22.1	15.3	18.3	1.3	715.1	713.6	715.8	76	50	75	SW 0	WSW 1	WSW 2	9	7	10●	3.3	● 2–3½, 14–14¾, ●tr 17¼, 21, 21½
8	14.8	20.6	16.0	17.1	0.0	717.0	715.5	715.9	81	46	57	W 0	SW 3	WSW 1	3	3	5	.	● 0½–3½
9	13 2	22.4	16.5	17.4	0.2	717.6	715.2	716.3	85	46	52	ENE 0	WSW 1	WNW 1	3	3	4	.	
10	15.4	22.8	17.9	18.7	1.4	717.9	715.5	716.2	70	45	53	NE 0	WNW 1	W 0	1	5	3	.	
11	16.0	25.2	18.7	20.0	2.7	717.0	714.3	714.8	66	44	55	ENE 1	WSW 2	WNW 1	1	3	2	.	
12	17.7	27.5	20.4	21.9	4.5	715.8	712.9	713.2	63	42	57	NE 1	NE 1	NE 1	4	7	4	0.1	
13	17.7	26.7	16.3	20.2	2.7	714.5	712.2	714.5	81	50	100	NE 0	WSW 1	S 1	7	5	10●	8.0	● 3¾, 4¾, ⛆ 15–15¼, 18–18¾, [21½
14	16.4	24.7	19.0	20.0	2.4	714.5	711.9	712.4	81	49	53	NE 0	WSW 1	SW 0	2	3	0	.	
15	17.1	26.6	21.6	21.8	4.1	712.8	710.0	710.2	66	44	48	NE 1	WSW 0	SW 2	0	2	10●	5.7	● 21½–24
16	16.6	23.6	19.0	19.7	1.9	712.5	712.0	714.0	91	54	74	SE 1	WSW 1	WSW 0	5	7	8	.	● 0–1¾
17	16.6	25.6	18.9	20.4	2.5	715.5	712.9	713.4	82	46	79	SW 2	ENE 0	ESE 2	10●	5	10	4.3	●tr 7½, ⛆ 17½–17¾, ⸗ p
18	18.6	22.3	13.5	18.1	0.2	714.3	712.2	716.3	92	68	90	ENE 0	ENE 1	ENE 1	10●	7	2	8.7	● 4½–18 mU, ⸗ p
19	15.8	21.6	16.8	18.1	0.1	717.6	716.0	716.6	76	55	70	ENE 1	WNW 2	WNW 3	7	7	10	1.7	●tr 21, ● 21¾–22¾, ⸗ p
20	17.0	21.5	15.9	18.1	0.0	717.9	716.4	718.3	83	49	54	WNW 1	WSW 3	W 1	9	3	2	.	● 0–0½, 3½–4¾, ⸗ p
21	16.3	22.0	15.8	18.0	−0.2	720.1	718.4	718.3	61	44	57	ENE 0	W 3	N 2	2	1	0	.	⸗ p
22	16.3	23.5	20.5	20.1	1.8	718.3	715.1	714.8	65	43	44	ENE 0	WSW 1	W 0	0	0	1	.	
23	17.5	24.2	19.8	20.5	2.1	715.6	715.3	716.4	60	47	51	NE 0	WSW 2	W 1	2	3	8	.	
24	18.7	24.9	20.5	21.3	2.9	718.7	717.4	718.2	65	42	48	NW 0	W 2	NNE 1	0	1	0	.	
25	18.1	26.0	22.8	22.3	3.8	718.9	716.3	716.4	59	45	42	NNE 1	WSW 2	W 2	0	2	1	.	
26	20.4	28.6	21.3	23.4	4.8	715.2	712.3	712.7	54	36	53	NNE 0	WSW 2	WSW 0	0	1	1	.	
27	19.2	25.6	22.5	22.4	3.7	713.4	712.5	714.0	62	54	57	ENE 1	W 3	W 2	0	1	1	.	
28	20.2	26.6	21.8	22.9	4.1	717.1	715.9	717.6	71	54	60	W 0	WSW 3	WNW 1	1	1	1	.	
29	20.5	29.2	23.8	24.5	5.7	720.2	718.7	718.9	62	44	48	NNE 0	WSW 2	WNW 1	0	0	2	.	
30	20.4	30.1	24.0	24.8	5.9	721.3	719.3	719.7	59	42	50	NNE 1	WSW 1	NE 0	0	0	2	.	
																			*) 6. ⊼ 21½
Mittel	17.4	24.5	19.0	20.3	—	717.1	715.1	716.1	71	47	60				3.6	3.8	4 3	52.4	

$\lambda = 8°\,57'$, $\beta = 46°\,0'$,
$H_b = 276.2$ m, $G = -0.01$ mm.

Lugano

Juni 1952
Beobachter: *G. Vicari.*

Tag	Lufttemperatur					Luftdruck			Relative Feuchtigkeit			Windrichtung und Stärke			Bewölkung			Niederschlag	Witterung
	7^{30}	13^{30}	21^{30}	Mittel	Abweich. vom Normalst	7^{30}	13^{30}	21^{30}	7^{30}	13^{30}	21^{30}	7^{30}	13^{30}	21^{30}	7^{30}	13^{30}	21^{30}		
1	**16.0**	21.8	17.8	18.5	1.1	741.6	741.6	741.7	93	66	84	— 0	S 1	NNW 1	10	8	10	2.8	☆ 22, n (1./2.)
2	17.0	22.8	19.4	19.7	2.2	742.5	742.8	742.2	92	56	66	SSE 1	W 1	N 1	9	8	7	9.8	☆ 9–11, ● n (2./3.)
3	17.4	24.6	20.8	20.9	3.2	743.1	741.5	741.4	95	53	76	N 1	W 1	N 1	9	4	2	.	
4	17.2	25.2	19.4	20.6	2.8	742.5	742.6	743.1	73	55	71	NNE 1	SSW 1	N 1	3	1	1	.	
5	19.4	24.4	20.2	21.3	3.4	**744.9**	744.0	742.8	80	56	55	— 0	S 1	N 1	9	1	2	0.0	●tr 8
6	17.4	25.2	18.4	20.3	2.3	742.3	740.4	738.0	84	51	81	— 0	S 1	NNE 1	10	8	9	14.8	●tr 15½–16½, ● n (6./7.)
7	16.8	22.4	18.4	19.2	1.0	736.1	734.6	735.5	92	66	72	N 1	S 1	N 1	5	9	0	0.9	●tr 17, ☆ n (7./8.)
8	17.0	24.6	17.4	19.7	1.4	737.0	737.3	738.4	65	55	77	S 1	S 1	N 1	0	3	9	7.4	● n (8./9.)
9	16.2	21.8	17.2	18.4	0.0	739.9	739.4	739.0	93	68	94	W 1	S 1	NNE 1	9	6	10	1.2	●tr 10, ☆ 19¾–20¼
10	**16.0**	22.8	19.2	19.3	0.8	739.9	739.4	739.5	84	64	71	S 1	S 1	N 1	1	6	8	.	
11	19.0	25.6	20.4	21.7	3.1	739.8	737.7	737.5	83	55	75	S 1	S 1	N 1	9	1	1	.	
12	17.0	26.0	21.4	21.5	2.7	737.7	736.0	736.5	83	55	78	N 1	N 1	WNW 1	1	4	10●	7.4	● 20½–n, ☇ n (12./13.)
13	18.0	25.2	18.4	20.5	1.6	737.8	736.4	735.9	98	60	97	N 1	S 1	NNE 1	10●	3	9	4.3	● n–8, 17½–20½, ☇ 5–7¼, 17½–18½
14	17.4	26.4	19.8	21.2	2.2	735.7	734.3	734.0	73	54	76	E 1	S 1	N 1	0	1	0	.	
15	18.0	23.8	17.0	19.6	0.5	734.6	734.5	734.2	81	64	93	S 1	S 1	WNW 1	4	7	10	**27.3**	☆ 9-10, ● 16-20, 22-n, ☇ 16, 18, 19
16	17.4	26.0	21.4	21.6	2.4	734.4	734.3	735.4	86	59	76	N 1	S 1	NNE 1	1	3	0	.	
17	19.4	22.8	21.8	21.3	2.0	737.7	738.3	737.7	80	87	88	S 1	N 1	SW 1	8	9	10	10.5	☆ 8¾, 19¾–n mU, ☇ 13¾, 19¾, 23
18	20.0	19.0	17.8	18.9	−0.5	738.2	738.6	736.9	82	95	95	S 1	SSW 1	N 1	10●	10●	1	19.0	● n–19 mU, ☇ 13¾, 18¾
19	18.0	24.8	18.2	20.3	0.8	738.0	737.7	739.2	80	66	86	S 1	S 1	E 1	1	9	10●	5.0	☆ 15, 20, ● 21–n, ☇ 21½
20	16.2	23.6	17.4	19.1	−0.5	738.9	737.7	737.9	86	56	84	NNE 1	S 1	NNE 1	1	8	5	1.9	● 20–21
21	17.8	25.6	19.4	20.9	1.2	740.7	740.8	740.8	68	56	69	SSE 1	S 1	N 1	0	1	0	0.3	☆ n (21./22.)
22	17.6	25.0	20.4	21.0	1.2	741.6	740.1	738.3	94	56	75	N 1	SW 1	N 1	9	1	0	.	
23	18.4	25.8	22.2	22.1	2.2	737.8	736.2	736.1	78	60	66	N 1	S 1	NNW 1	6	9	0	0.0	●tr 13⅜
24	18.2	28.8	23.4	23.5	3.5	738.7	737.8	737.4	74	38	39	S 1	S 1	N 1	1	0	0	.	
25	18.8	27.4	23.2	23.1	3.0	740.2	738.5	736.8	62	58	67	N 1	SSE 1	N 1	1	0	2	.	
26	19.4	28.6	23.8	23.9	3.7	734.3	**733.0**	734.0	75	**33**	41	E 1	NNE 1	— 0	9	9	9	0.0	
27	19.4	24.2	22.8	22.1	1.8	737.4	737.7	738.6	94	58	71	S 1	S 1	NNE 1	10●	6	10	1.3	☽ 7¼–9½
28	19.8	27.0	21.8	22.9	2.5	741.6	741.4	741.6	64	49	63	N 1	S 1	N 1	10	0	0	.	
29	19.4	29.8	24.4	24.5	4.0	742.9	741.1	741.1	81	57	75	NE 1	S 1	N 1	0	0	3	.	
30	19.2	**30.8**	25.0	25.0	4.4	743.6	742.5	742.3	73	53	72	N 1	SSW 1	N 1	0	0	1	.	
Mittel	18.0	25.1	20.3	21.1	—	739.4	738.6	738.5	81	59	74				5.2	4.5	4.6	Summe 113.9	

$\lambda = 7°\,35'$, $\beta = 47°\,33'$,
$H_b = 317.3$ m, $G = 0.11$ mm.

Basel

Juni 1952
Beobachter: *Astronom.-Meteorol. Anstalt.*

1	16.8	26.3	19.0	20.7	6.1	734.2	733.8	733.5	83	36	67	E 0	NE 1	E 1	9	6	9	3.1	● 21¼–24
2	16.5	19.4	16.0	17.3	2.6	737.7	739.6	739.2	88	66	85	E 0	WNW 1	W 1	10	8	9	2.5	● 4¼–6½, 7¾–9, 11–11½
3	14.7	19.9	14.5	16.4	1.6	741.7	741.5	742.6	89	47	58	SW 0	W 1	NW 0	9	9	5	.	● 2½–5¼ mU
4	**12.8**	22.0	13.7	16.2	1.3	**743.3**	741.4	740.0	70	45	79	W 1	S 1	SW 1	1	3	6	.	
5	14.8	25.4	17.2	19.1	4.1	739.6	738.0	736.9	68	41	79	E 1	SW 1	SW 1	1	6	3	.	⊕ 9½, ♉ 23½
6	18.2	21.9	15.3	18.5	3.4	735.0	734.7	733.6	68	62	96	ESE 1	NW 1	S 3	9	10●	10●	**34.7**	● 13½–14½, 20½–22¼, ☇ 21–22, *)
7	14.0	15.5	14.6	14.7	−0.5	733.5	733.7	735.8	91	88	85	S 1	W 1	NW 1	6	10	10	5.1	● 2½–3, 5½–10 mU, ☇ 5¼–5¾, [☄ 5¼, ◠ 19, 20
8	16.4	19.7	14.0	16.7	1.4	737.3	737.0	737.5	76	45	54	S 0	WNW 0	W 0	7	6	4	.	
9	13.1	20.3	16.0	16.5	1.1	737.8	738.0	737.6	78	45	67	E 0	NW 1	W 1	9	8	10	.	⊕ 8, 12, 14
10	17.3	22.9	15.2	18.5	3.0	737.7	737.4	736.5	70	47	87	W 0	N 1	SW 1	4	2	0	.	
11	15.3	25.6	16.8	19.3	3.7	736.1	734.9	734.6	67	41	80	E 1	NW 1	W 1	2	6	0	.	
12	17.3	27.3	18.8	21.1	5.4	735.1	733.5	732.4	70	39	70	E 1	WNW 1	SW 1	1	1	0	.	
13	17.8	23.0	16.9	19.2	3.4	733.4	733.1	733.4	73	61	83	SW 1	W 1	S 1	8	8	6	0.0	
14	19.0	23.2	15.4	19.2	3.3	733.4	732.5	731.9	72	41	72	W 1	WNW 2	SW 1	9	2	1	.	
15	17.4	27.4	15.9	20.2	4.2	731.4	**729.0**	729.9	65	50	92	SE 1	NW 1	S 1	1	5	10●	8.0	☇ 16¼, 18¾, ● 18–18¼, 18¾–21¾, [☄ 8½
16	15.1	17.0	16.2	16.1	0.0	730.9	733.0	733.6	94	90	91	S 1	NW 0	SE 1	10	10	8	5.8	● 5¾–6, 8¾–11, 12½–13½
17	16.2	24.5	19.5	20.1	3.9	732.5	732.6	731.9	83	67	84	E 1	NE 1	ESE 1	10●	8	9	1.0	● 7½–8¾, 17½–17½
18	18.8	24.5	14.8	19.4	3.1	731.7	730.9	735.1	83	57	91	ESE 1	N 1	SE 1	7	10	10	0.0	● 18–18¼, ☄ 10½–11
19	17.4	20.9	16.6	18.3	1.9	737.1	738.0	737.7	78	59	74	W 1	NW 1	W 1	9	8	9	.	
20	13.9	18.5	14.8	15.7	−0.8	739.0	739.0	739.7	71	51	68	W 1	WNW 1	SW 1	9	10	9	.	
21	16.0	20.7	14.3	17.0	0.4	741.2	740.4	739.5	56	48	75	NW 1	NW 1	W 1	2	6	2	.	
22	15.0	24.2	15.8	18.3	1.6	737.6	735.1	734.8	69	45	84	E 1	W 1	SW 1	0	1	0	.	
23	19.2	20.8	15.4	18.5	1.8	734.9	735.4	736.9	53	62	86	W 1	NW 1	SW 1	7	8	1	0.3	● 17¾–18¼
24	16.0	22.4	16.1	18.2	1.4	739.1	738.9	739.5	64	41	46	NW 1	WNW 1	W 1	2	3	9	.	⊕ 11–14
25	16.6	26.4	19.4	20.8	3.9	738.9	736.6	735.7	64	35	65	E 1	WSW 1	SW 1	1	4	4	.	
26	20.0	24.4	16.8	20.4	3.4	735.3	734.8	734.7	51	51	68	SW 0	NW 1	W 1	1	2	2	.	
27	14.9	25.2	19.1	19.7	2.6	734.5	734.3	735.3	75	46	47	NNW 0	NE 1	ESE 1	0	0	0	.	
28	17.4	27.4	17.9	20.9	3.8	737.4	736.9	737.6	60	35	72	ESE 1	E 1	NW 1	0	0	0	.	
29	19.0	31.3	19.2	23.2	6.0	739.4	738.9	739.6	65	29	67	NE 0	NW 1	NW 0	0	1	0	.	
30	20.8	**32.8**	20.6	24.7	7.4	740.6	740.0	739.4	59	**26**	74	E 1	SE 1	E 1	1	1	3	.	
Mittel	16.6	23.4	16.5	18.8	—	736.6	736.1	736.2	72	50	75				4.8	5.4	4.6	Summe 60.5	

*) 6. ▲ 21½, ☄ 11¼, 21

Juni 1952
Beobachter: *Observatorium.*

Säntis

$\lambda = 9° 20'$, $\beta = 47° 15'$,
$H_b = 2500.1$ m, $G = -0.27$ mm.

Tag	Lufttemperatur					Luftdruck			Relative Feuchtigkeit			Windrichtung und Stärke			Bewölkung			Niederschlag	Witterung
	7^{30}	13^{30}	21^{30}	Mittel	Abweich. vom Normalst	7^{30}	13^{30}	21^{30}	7^{30}	13^{30}	21^{30}	7^{30}	13^{30}	21^{30}	7^{30}	13^{30}	21^{30}		
1	5.7	8.0	4.9	6.2	4.7	566.1	567.2	567.3	77	78	80	SW 2	S 1	SSW 2	10	10	9	0.0	●tr 19¾
2	6.0	7.6	5.4	6.3	4.7	567.8	569.0	569.5	84	73	100	SSW 2	SSW 2	SW 1	1	10≡●	10≡	11.2	▽ 13¾-13½, ≡ 5¾-6, 11-n mU
3	1.9	3.0	0.3	1.7	0.0	569.6	569.9	570.3	100	97	100	NW 2	W 3	NW 3	10≡●	10≡	10≡	6.9	● n-9½, 17¾-19, ≡ n-10, 10½-
4	0.9	5.6	3.4	3.3	1.5	569.7	570.3	570.0	92	82	71	NW 1	SSW 1	WSW 1	3	7	1	.	≡ 13-17 mU [n mU
5	5.8	9.2	6.0	7.0	5.1	569.2	570.2	569.6	64	56	68	WSW 2	WSW 2	W 2	1	4	5	.	
6	6.6	10.0	4.5	7.0	5.0	568.0	567.4	565.6	74	66	100	WSW 2	WSW 2	WSW 3	9	9	10≡	15.2	▽ 11¾, 13¼, ● 14¾-16½ mU, *)
7	2.1	1.9	0.3	1.4	−0.7	563.2	563.5	564.8	100	100	100	W 3	W 4	WNW 3	10≡●	10≡	10≡	39.1	▽ n-17¾ mU, ≡ n-n mU, ⌿ II
8	−1.2	2.0	0.2	0.3	−1.8	564.8	565.8	566.1	100	89	100	WNW 2	WSW 2	WSW 2	10≡	10≡	10	0.7	▽ n-5¾, 17½, 21¾, ≡ n-16 mU
9	0.3	2.8	−0.4	0.9	−1.3	565.3	566.2	566.6	100	88	96	WSW 2	WSW 2	W 2	10≡	10≡	3	.	≡ n-19 mU
10	0.7	3.7	1.3	1.9	−0.4	566.1	567.0	566.9	98	88	82	W 2	W 2	W 2	10≡	10≡	1	0.2	▽ 16½, ▽ 16¾, ≡ 5½-19 mU
11	2.3	5.4	4.6	4.1	1.7	565.9	566.5	566.8	96	87	100	W 3	W 2	W 2	10≡	10≡	10≡	.	≡ n-15½, 20¼-n
12	4.7	9.3	6.9	7.0	4.5	566.2	566.8	566.4	84	74	86	WSW 3	WSW 2	WSW 2	3	5	1	.	
13	7.7	10.2	3.3	7.1	4.5	566.0	566.2	565.2	78	76	92	WNW 2	SW 2	SW 3	5	9	10	10.8	●9½-10¾, 18½-21, ≡ 9-10½, 17½-20½
14	3.5	3.2	4.0	3.6	0.9	564.0	563.5	564.0	100	100	100	WSW 2	WSW 3	SW 3	10≡☽	10≡	10≡	4.0	☽ 6½-7½, ● 7½-10½, ▽ 12¾, *)
15	3.2	8.6	2.0	4.6	1.8	562.8	563.3	**561.9**	87	75	100	SW 3	SW 2	W 4	1	8	10≡●	32.5	▲ 19, ▽ 19¾-19¾, ● 20¾-n, *)
16	2.7	3.8	3.4	3.3	0.5	562.5	563.4	565.5	98	100	100	W 3	WSW 4	WNW 2	10	10≡●	10≡	10.3	●11½-14½, ▽ 14¾-17, 18-18¾, 19*)
17	7.6	11.3	6.7	8.5	5.6	566.1	566.9	566.6	62	75	98	WSW 2	SW 2	SW 3	3	3	9	9.7	● 20¼-21, ≡ 19-21
18	7.9	7.1	2.6	5.9	2.9	565.8	564.9	566.3	83	98	100	S 2	SSW 2	W 3	10●	10≡●	2	28.6	▽ 7¾-7½, 9¾-10¾, 11-14½, 15¾-16½*)
19	3.5	7.3	2.8	4.4	1.3	566.9	567.5	567.7	100	83	100	WSW 2	WSW 1	NW 2	10≡	10≡	10≡	4.0	☽ 16¾-18½, ● 20-21¼, ≡ n-n
20	2.0	4.1	−1.6	1.5	−1.7	566.7	567.2	567.7	100	93	96	W 2	SSW 1	NW 2	10≡●	10≡●	10	6.9	● n-9¾, 12¾-13¾, *)
21	−0.8	3.6	1.0	1.3	−2.0	567.8	568.5	568.2	100	80	100	W 2	WSW 2	WSW 2	10≡	7≡	2≡	.	≡ n-14, 15½-n mU
22	3.2	8.2	4.1	5.2	1.8	566.8	567.0	566.5	78	77	94	W 2	SW 2	WSW 3	1	1	8	.	
23	2.9	3.2	2.3	2.8	−0.7	565.2	565.4	565.9	98	100	100	WSW 3	WSW 4	W 4	10≡	10≡	10≡●	4.7	▽ 9¼, 12-12¾, 14, 19¾-20*)
24	0.7	2.7	0.8	1.4	−2.1	566.7	567.8	568.9	100	100	84	W 4	W 3	W 3	10≡	10≡	9	.	≡ n-19¼, ⌿ n-a
25	2.6	5.5	3.8	4.0	0.4	568.4	568.2	567.3	68	74	76	W 2	W 3	W 4	9	9	9	.	≡ 16¾-19½, ⌿ p-n
26	1.8	6.2	3.7	3.9	0.2	565.5	566.1	566.0	80	88	100	W 3	W 2	NW 2	10	10≡	3	.	≡ 9½-16, 20-21½
27	7.8	10.3	7.1	8.4	4.6	565.1	566.3	567.3	**12**	46	17	NNE 2	SE 1	NW 1	1	2	0	.	
28	7.4	10.5	7.6	8.5	4.6	568.2	569.8	570.7	68	80	84	WSW 2	WSW 2	WSW 3	1	3	1	.	
29	8.5	12.2	8.1	9.6	5.6	571.8	573.0	573.3	53	48	76	NW 2	WSW 2	NNE 2	1	1	2	.	
30	11.0	**14.2**	12.0	12.4	8.3	573.3	574.2	**574.8**	59	51	14	NE 2	S 2	NW 2	1	1	2	.	
Mittel	4.0	6.7	3.7	4.8	—	566.7	567.0	567.5	83	81	87				5.3	7.6	6.5	Summe 184.8	

Juni 1952
Beobachter: *E. Chiesa*

St. Gotthard (Hospiz)

$\lambda = 8° 34'$, $\beta = 46° 33'$,
$H_b = 2095$ m, $G = -0.25$ mm.

1	5.0	6.1	5.1	5.4	1.7	594.7	596.6	594.4	100	97	98	SE 1	SE 1	SE 2	10●	10●≡	10●	26.4	● n-n mU, ≡ a-p
2	5.9	6.7	5.2	5.9	2.1	597.0	597.9	598.0	93	96	100	SE 2	SE 1	SE 0	10●	10●	10	7.0	● n-p mU
3	4.2	8.3	3.7	5.4	1.5	597.8	600.2	597.1	100	86	100	NW 1	NW 1	NW 1	10☽≡	3	10	1.1	☽ ≡ n-a, ≡ 16¾-n mU
4	2.2	9.2	9.0	6.8	2.8	596.7	**601.4**	600.6	100	36	95	NW 2	NW 1	NW 0	6	0	6	.	
5	6.1	12.3	7.1	8.5	4.4	599.8	600.2	600.3	79	43	98	SE 1	SE 1	SE 0	10	3	10≡	.	≡ 20¾-n
6	7.4	11.7	6.9	8.7	4.5	600.1	600.1	600.1	95	73	100	SE 0	SE 0	SE 1	10	10	10●	13.6	● 15¼-n mU, ≡ a mU
7	5.8	6.0	2.9	4.9	0.6	598.3	598.0	597.2	69	90	100	NW 0	NW 1	NW 1	0	10	10●≡	6.7	● 12½-n mU, ≡ p-n
8	**0.2**	7.0	2.5	3.2	−1.2	594.0	595.8	593.4	100	41	97	NW 2	NW 1	NW 2	10≡	9	10	.	≡ n-a, 16¾-n mU
9	2.9	8.8	3.4	5.0	0.5	595.6	596.4	595.2	95	42	100	NW 1	NW 1	NW 1	6	6	10●≡	2.3	● 16¾-n mU, ≡ 20¾-n
10	3.0	7.3	4.6	5.0	0.4	595.7	596.0	596.4	91	71	95	NW 1	NW 2	NW 1	0	9	3	.	
11	5.9	11.8	6.0	7.9	3.2	596.6	597.1	597.0	100	75	97	SE 0	NW 1	NW 1	0	0	0	.	
12	7.1	14.2	8.2	9.8	5.0	597.2	598.1	597.2	74	38	84	NW 0	NW 0	NW 0	0	0	0	.	
13	9.5	10.6	5.8	8.6	3.7	597.9	598.1	597.6	91	100	100	SE 0	SE 0	NW 0	9	10	10	14.6	● 11-13¼, 17¾-20
14	5.5	9.8	6.0	7.1	2.1	597.1	596.4	595.8	91	90	96	NW 1	NW 1	NW 1	0	3	0	.	
15	7.1	12.7	7.1	9.0	3.9	596.0	596.2	595.7	59	73	100	NW 0	SE 0	SE 1	0	6	10≡	12.3	● 19¾-n mU, ≡ 17¾-n mU
16	6.9	10.7	5.9	7.8	2.7	595.9	595.6	594.4	72	70	100	NW 0	NW 1	NW 1	6	9	10≡	.	≡ 16¾-n mU
17	10.2	11.8	9.0	10.3	5.1	594.9	593.9	595.1	100	90	100	SE 0	SE 1	SE 1	3	10	10●≡	14.5	● 19-n, ≡ a-n mU
18	8.4	8.6	6.1	7.7	2.4	583.3	593.4	595.6	89	100	75	SE 1	SE 1	NW 1	10	10	0	53.6	● 12¾-13, ⌞ 16¾-17
19	4.9	7.6	4.1	5.5	0.1	594.5	595.4	595.8	100	95	100	NW 1	NW 2	NW 1	0	10	10≡	1.8	● 16¼-n mU, ≡ a-n mU
20	3.8	6.7	1.9	4.1	−1.4	594.1	595.2	595.1	100	97	100	NW 2	NW 2	NW 1	10☽≡	9	10☽●	1.4	≡ ☽ n-a, p-n
21	1.7	8.3	3.7	4.6	−1.0	597.6	598.1	597.5	100	44	97	NW 2	NW 1	NW 1	9	6	3	.	
22	8.3	12.9	9.0	10.1	4.4	597.8	597.5	597.0	83	74	97	S 0	SE 1	SE 1	9	6	10≡	.	≡ 20¾-n
23	8.4	10.5	6.5	8.5	2.7	595.5	593.0	**592.3**	75	47	89	NW 0	NW 1	NW 2	0	6	9	.	
24	4.0	10.9	5.0	6.6	0.7	597.0	595.9	597.5	97	24	95	NW 2	NW 3	NW 3	3	3	0	.	≡ 19¼-n mU, ⌿ a-n
25	5.2	13.0	9.2	9.1	3.1	597.6	597.9	597.5	86	35	59	NW 1	NW 1	NW 2	3	6	0	.	
26	7.6	11.0	7.2	8.6	2.5	594.5	596.2	596.1	62	53	97	NW 3	NW 3	NW 2	3	6	3	.	⌿ n-p
27	8.7	15.1	9.5	11.1	4.9	595.7	596.1	596.3	54	60	98	S 0	SE 0	NW 0	0	0	9	.	≡ 18¾-n mU
28	8.9	17.6	10.2	12.2	5.9	595.7	597.3	597.2	100	72	96	SE 0	SE 0	NW 0	10≡	3	0	.	≡ n-a
29	10.0	15.4	11.0	12.1	5.7	596.2	596.0	598.3	79	30	40	NW 1	NW 1	NW 1	0	0	0	.	
30	11.2	**18.7**	13.7	14.5	8.0	599.0	598.9	600.2	39	**7**	30	NW 1	NW 1	NW 1	0	0	0	.	
Mittel	6.2	10.7	6.5	7.8	—	596.5	597.0	596.7	86	65	91				4.9	5.8	6.1	155.3	

*) Säntis. **6.** 20-20¾, ≡ 14½-16¾, 19¾-n **14.** ≡ n-n **15.** ⌞ 20½-22¼, ≡ 21-n, ⌿ III **16.** ≡ 11-n, ⌿ II **18.** ● 16½-18¾, ≡ 13-14½, 15¼-18, ⌿ 14¼-15¾ **20.** ☽ 15¼-18¾, ≡ n-19¼ **23.** ● 20¾-n, ≡ 7-n mU, ⌿ a-n

$\lambda = 7°\,26'$, $\beta = 46°\,57'$,
$H_b = 572.2$ m, $G = 0.00$ mm.

Bern

Juli 1952
Beobachter: *Meteorol. Observatorium.*

Tag	Lufttemperatur					Luftdruck			Relative Feuchtigkeit			Windrichtung und Stärke			Bewölkung			Niederschlag	Witterung
	7^{30}	13^{30}	21^{30}	Mittel	Abweich. vom Normalst	7^{30}	13^{30}	21^{30}	7^{30}	13^{30}	21^{30}	7^{30}	13^{30}	21^{30}	7^{30}	13^{30}	21^{30}		
1	21.0	30.4	24.6	25.3	8.1	**718.6**	717.6	717.1	75	44	66	ENE 1	NNW 1	S 1	1	1	1	.	⌓ |
2	21.3	31.7	26.6	26.5	9.2	717.1	715.7	714.7	72	48	65	SE 1	NW 1	SE 1	1	1	10	.	⌓ |
3	20.6	29.2	23.4	24.4	7.0	714.1	712.2	713.0	80	61	70	NE 1	NNE 1	SSE 1	4	3	9	0.0	●tr 19¾
4	20.9	31.4	26.9	26.4	9.0	714.9	714.8	715.8	80	45	58	SE 1	N 1	N 1	2	1	1	.	⌓ |
5	22.5	**32.4**	27.5	27.5	10.0	717.3	716.6	715.5	75	38	70	ESE 1	WSW 2	NE 1	1	1	7	.	⌓ |
6	22.2	31.7	26.2	26.7	9.1	716.4	714.8	713.7	70	40	60	SSE 1	NE 1	SE 1	0	1	2	.	⌓ |
7	22.4	30.5	20.1	24.3	6.7	715.3	714.3	715.0	76	51	95	SE 1	ENE 1	SE 1	0	2	5	0.1	● 19–19½, ⊼ 19–19½
8	20.3	25.1	20.7	22.0	4.3	714.7	713.2	715.7	85	63	75	SE 1	NNW 2	SE 1	1	9	10	0.3	● 21¾, ⊼ 21½
9	18.7	18.9	16.8	18.1	0.4	716.2	716.5	717.7	92	76	83	NNE 1	SE 1	SE 1	9	9	9	3.9	● 9½–12¾ mU, 13¾–16½ mU,
10	17.1	21.1	19.8	19.3	1.5	718.3	**718.6**	718.4	86	62	68	SSE 1	ESE 2	ENE 1	4	9	1	.	[⊼ 15½–16¾
11	17.3	25.8	21.9	21.7	3.9	718.2	716.9	715.5	84	47	68	SE 1	NW 2	E 1	0	2	1	.	
12	19.1	26.5	19.3	21.6	3.7	715.0	713.8	715.8	76	48	66	SE 1	W 2	N 1	2	7●	6	2.2	∴ 12½–16 mU, ⊼ 15½, ⌓ |
13	18.0	23.1	20.0	20.4	2.5	715.6	714.2	713.6	72	46	67	WNW 1	NNW 1	N 1	9	8	1	.	
14	17.1	24.4	21.6	21.0	3.1	713.6	711.9	712.1	78	45	56	SE 1	SE 1	NW 1	2	3	9	.	
15	18.1	24.4	19.4	20.6	2.7	713.1	712.0	713.9	78	45	64	SE 1	SSW 2	N 1	4	8	6	0.0	●tr 18¾
16	16.3	17.9	16.6	16.9	−1.1	714.8	714.9	714.6	85	71	76	NNE 1	N 2	NE 1	9	10	6	.	
17	15.3	23.8	19.6	19.6	1.6	714.2	713.1	712.8	88	37	46	SE 1	WNW 1	N 1	1	1	1	.	⌓ |
18	15.3	23.8	18.8	19.3	1.3	713.2	712.8	714.4	73	**36**	53	SE 1	NNE 2	N 1	1	9	8	.	
19	16.1	22.1	18.2	18.8	0.8	716.1	716.0	716.4	75	54	64	SE 1	N 2	NE 1	9	6	0	.	
20	16.1	25.3	23.4	21.6	3.6	715.8	714.5	714.3	79	45	44	E 1	ENE 1	ENE 1	0	1	3	.	⌓ |
21	18.7	27.3	22.0	22.7	4.7	714.0	713.3	713.5	73	47	62	NE 1	NNE 1	W 1	6	9	6	.	
22	17.7	27.7	21.4	22.3	4.3	713.4	712.0	712.2	80	44	64	SE 1	ENE 2	SE 1	9	5	8	0.0	●tr 16½–17
23	18.5	27.6	22.2	22.8	4.8	712.6	711.7	711.8	81	40	55	SE 1	NNE 2	NE 1	1	1	1	.	
24	15.8	22.1	16.0	18.0	0.0	712.3	711.7	712.6	73	58	70	NNE 1	ENE 2	ENE 2	6	8	1	.	
25	13.1	20.8	17.4	17.1	−0.9	712.7	712.5	712.9	70	50	51	NNE 2	ENE 2	NE 1	1	1	0	.	
26	15.5	24.4	20.2	20.0	2.1	713.1	711.9	710.9	67	41	50	ENE 1	NE 2	N 1	0	1	0	.	
27	15.3	28.1	22.1	21.8	3.9	709.8	707.4	705.9	75	**36**	48	SE 1	WNW 2	SSW 1	0	1	1	3.4	⌓ |
28	15.3	14.1	12.8	14.1	−3.8	**705.2**	706.7	709.0	98	98	88	SSW 1	S 1	SW 1	10●	10●	10	**22.5**	●tr 5¼–6, ⊼ 6–6¾, ● 6–17¾
29	**12.0**	18.5	15.2	15.2	−2.7	710.7	711.6	713.3	90	43	58	SE 1	NNE 1	NE 1	1	4	0	.	
30	12.4	21.7	18.0	17.4	−0.4	715.2	714.8	715.2	77	37	63	SSE 1	WNW 1	W 1	1	1	1	.	⌓ |
31	13.9	23.7	19.4	19.0	1.2	715.7	714.4	713.3	77	37	58	SSE 1	W 1	NNW 1	0	1	1	.	⌓ |
																		Summe	
Mittel	17.6	25.0	20.6	21.1	—	714.4	713.6	713.9	79	50	64				3.1	4.3	4.0	32.4	

$\lambda = 6°\,57'$, $\beta = 47°\,0'$,
$H_b = 487.3$ m, $G = 0.02$ mm.

Neuchâtel

Juli 1952
Beobachter: *Observatorium.*

1	19.2	30.9	24.2	24.8	6.9	**726.1**	724.9	724.0	71	41	61	N 0	SE 0	S 0	0	0	0	.	
2	21.5	33.2	26.0	26.9	9.0	724.4	722.8	722.1	81	42	64	SE 0	SW 1	SW 0	2	3	10	5.2	⊼ ● 21¾–22½
3	22.6	30.8	24.4	25.9	7.9	721.5	719.6	719.9	74	47	70	NE 0	SE 1	N 1	2	3	6	0.1	∴ 21¾
4	21.4	32.2	27.1	26.9	8.8	722.3	722.1	722.9	77	45	57	E 1	SE 1	NE 0	2	2	1	.	
5	23.0	**34.0**	27.6	28.2	10.0	724.4	723.7	722.8	80	39	59	NE 0	SW 1	NE 0	0	2	0	.	
6	23.6	33.5	25.8	27.6	9.4	723.5	722.3	720.8	74	33	41	E 1	SE 0	W 0	0	0	1	.	
7	23.3	31.9	21.5	25.6	7.3	722.3	721.6	722.6	71	42	82	E 0	W 2	NE 0	1	1	2	0.6	● 20½–20¾, ⊤ 20½
8	21.0	22.8	20.3	21.4	3.0	722.0	720.8	722.5	87	51	72	NE 0	NW 4	NW 2	1	8	7	2.0	∴ 12½–13, 20–20½, ⊼ 11¾–
9	20.3	25.6	19.3	21.7	3.3	723.6	723.3	725.1	62	57	76	W 0	SE 1	E 0	8	9	10	.	[13¾, ⌿ II
10	19.0	24.3	20.8	21.4	2.9	725.6	725.7	725.7	79	50	63	E 1	E 1	NE 1	1	8	1	.	
11	19.0	29.0	24.3	24.1	5.5	725.5	724.2	722.4	82	47	50	SE 1	S 1	N 0	1	1	2	.	
12	21.6	26.7	19.9	22.7	4.1	722.1	721.2	722.9	62	46	60	SW 1	SW 2	NW 1	4	8	4	.	
13	18.2	27.0	21.4	22.2	3.5	722.9	721.7	720.8	70	38	47	NW 0	SE 1	NW 2	9	2	1	.	
14	19.0	26.9	21.9	22.6	3.9	720.9	719.2	719.3	68	39	50	SW 1	SE 1	NW 2	3	2	1	.	
15	21.0	25.6	20.4	22.3	3.6	720.3	719.4	720.7	46	43	52	SW 2	SW 1	NW 3	0	7	8	.	⌿ III
16	18.4	20.1	17.2	18.6	−0.2	722.3	722.4	722.2	67	53	65	NE 0	N 0	N 1	10	10	1	.	
17	15.8	26.0	21.9	21.2	2.4	721.9	720.4	719.7	74	36	31	E 1	S 1	NW 2	0	0	0	.	
18	17.0	25.2	19.2	20.5	1.7	720.6	720.2	721.4	64	**29**	51	NW 0	W 2	N 3	0	9	10	.	⌿ III
19	17.7	25.4	19.4	20.8	2.0	723.5	723.4	723.7	63	40	55	NW 1	NW 1	NW 2	8	4	0	.	
20	17.4	27.7	22.5	22.5	3.7	723.2	722.0	721.5	73	44	51	E 1	SE 1	NE 0	0	1	1	.	
21	19.4	29.5	21.4	23.4	4.6	721.6	720.7	720.7	68	35	70	NE 1	E 2	SW 1	3	8	7	.	
22	18.8	30.6	19.8	23.1	4.2	720.8	719.3	719.3	80	34	73	SW 0	E 1	N 2	9	2	10	1.4	⊼ 20–21, ● 20½–21
23	19.0	32.0	23.5	24.8	5.9	720.1	718.9	718.7	85	42	41	NE 0	E 2	N 2	2	2	1	.	
24	18.2	26.5	18.0	20.9	2.0	719.8	718.9	719.9	64	44	59	E 1	E 2	NE 2	7	6	0	.	
25	15.0	24.0	19.6	19.5	0.6	720.2	720.0	720.2	57	36	42	E 3	E 2	NE 2	0	0	0	.	
26	16.8	28.1	22.2	22.4	3.5	720.4	719.3	718.1	57	38	49	E 2	E 3	N 1	0	0	0	.	⌿ II
27	16.4	29.8	24.9	23.7	4.8	717.2	714.5	712.7	75	37	34	E 0	S 1	NW 2	0	2	0	.	
28	19.2	14.9	**13.4**	15.8	−3.0	**711.9**	713.7	716.1	64	89	74	SW 1	W 0	W 0	10	10●	7	**12.8**	● 9½–15½, ⊼ 6–6¼, 10
29	13.3	19.6	16.6	16.5	−2.3	718.0	719.1	720.5	68	47	48	N 0	S 1	NW 2	0	7	0	.	
30	13.5	24.5	20.8	19.6	0.8	722.7	722.2	722.3	79	35	36	N 0	S 1	NW 3	0	1	0	.	⌿ III
31	15.2	25.8	22.2	21.1	2.3	723.1	721.8	720.7	73	35	36	N 1	SE 1	N 2	0	2	4	.	
																		Summe	
Mittel	18.9	27.2	21.5	22.5	—	721.8	721.0	721.0	71	43	56				2.7	3.9	3.1	22.1	

Juli 1952
Beobachter: *Frl. H. Nager.*

Altdorf

$\lambda = 8° 39'$, $\beta = 46° 53'$,
$H_b = 456.3$ m, $G = -0.05$ mm.

Tag	Lufttemperatur					Luftdruck			Relative Feuchtigkeit			Windrichtung und Stärke			Bewölkung			Niederschlag	Witterung
	7^{30}	13^{30}	21^{30}	Mittel	Abweich. vom Normalst.	7^{30}	13^{30}	21^{30}	7^{30}	13^{30}	21^{30}	7^{30}	13^{30}	21^{30}	7^{30}	13^{30}	21^{30}		
1	19.4	27.3	22.2	23.0	5.7	728.4	726.9	727.3	65	52	66	E 0	NW 1	E 0	0	0	0	.	
2	19.4	29.3	24.6	24.5	7.1	726.6	724.8	724.1	68	43	72	NE 0	NE 1	NW 0	0	2	7	.	
3	22.0	28.3	22.1	24.1	6.7	723.6	721.6	723.6	80	55	56	SE 0	NW 1	SE 1	7	5	8	2.4	⚿ ● 17½
4	20.3	28.1	26.0	24.8	7.3	723.9	724.6	725.9	85	50	62	SW 0	NW 0	SE 0	2	4	2	.	
5	22.1	**31.5**	25.6	26.4	8.9	726.5	725.5	725.6	82	45	42	W 0	NW 1	SE 0	0	0	5	.	
6	22.8	31.0	24.8	26.2	8.6	725.8	724.2	723.9	52	45	70	E 0	NW 2	SE 0	0	4	2	.	
7	21.9	30.8	20.0	24.2	6.6	724.8	723.0	726.1	78	43	93	E 0	NW 2	SE 0	0	4	10	9.9	⚿ ● 17½–19
8	19.7	27.8	18.9	22.1	4.4	724.4	722.5	724.3	79	49	100	SW 0	NW 1	E 0	0	7	10●	**45.6**	⚿ ▲ 15, ● 15–21½
9	18.4	20.8	17.9	19.0	1.3	726.3	725.2	727.4	100	64	100	NE 0	NW 1	E 0	9●	10	10	17.4	⚿ 3, ▽ 3–8 mU
10	17.1	19.6	17.4	18.0	0.3	728.1	728.8	**729.0**	100	83	99	N 0	N 0	NE 0	10●	10	6	2.1	● n-p mU
11	16.7	24.8	19.6	20.4	2.6	727.9	726.2	725.9	92	55	100	E 0	NW 1	N 0	0	4	10	2.3	⚿ 19–19½
12	18.3	25.3	17.9	20.5	2.7	724.7	723.6	725.8	89	46	100	E 0	NW 1	SW 0	0	7	10●	23.6	● n-n mU
13	17.1	22.2	17.9	19.1	1.3	725.6	724.0	723.7	100	53	95	NE 0	NW 0	NW 0	10	8	7	.	
14	17.8	21.8	19.0	19.5	1.7	723.3	721.8	722.3	97	56	100	W 0	NW 1	NW 0	10	9	10●	4.7	● 20½–n, ⚿ 21½
15	18.1	22.5	17.8	19.5	1.6	722.9	722.0	724.2	100	53	100	NW 0	NW 1	NW 0	7	10	10●	14.3	● n-n mU
16	17.3	19.7	16.9	18.0	0.1	724.5	724.4	724.9	100	63	92	SE 0	W 1	NW 0	10	10	10	0.1	● tr a
17	17.4	22.3	17.9	19.2	1.3	724.1	722.4	723.1	85	52	92	NW 0	NW 1	NW 0	8	6	2	.	
18	15 9	23.7	20.5	20.0	2.1	722.6	721.8	724.2	92	**33**	40	W 0	N 1	NW 1	2	7	9	.	
19	17.7	21.0	18.2	19.0	1.1	725.8	725.8	726.5	81	55	83	W 0	W 0	N 0	6	7	7	.	
20	15.7	23.8	20.3	19.9	2.0	725.7	724.1	724.8	84	49	70	N 0	NW 0	SE 1	0	0	0	.	
21	18.5	23.5	17.7	19.9	1.9	723.6	722.7	724.6	87	63	94	S 0	N 0	NW 0	6	7	10	5.9	● 16¾–17¾
22	17.1	23.1	17.9	19.4	1.4	723.2	722.1	722.8	97	56	88	NE 0	NW 0	SE 0	6	5	5	0.4	● 16¾, ⚿ 17¾
23	16.8	25.4	19.4	20.5	2.5	722.8	720.8	721.5	93	55	78	NE 0	NW 1	NW 0	0	6	2	.	
24	17.3	19.4	17.6	18.1	0.1	722.3	722.3	722.9	89	69	90	NE 0	NW 1	E 0	8	10	10	.	
25	14.9	19.7	17.3	17.3	−0.7	722.9	722.8	723.2	74	56	80	N 1	NW 1	E 0	10	6	3	.	
26	14.7	22.7	18.5	18.6	0.6	723.4	721.7	721.1	98	51	64	E 1	NW 1	E 1	1	3	0	.	
27	15.4	26.3	19.2	20.3	2.3	719.4	716.4	715.5	93	41	75	E 0	NW 0	NW 0	0	3	4	.	
28	17.2	16.1	14.5	15 9	−2.1	**718.3**	713.9	718.6	90	100	86	E 0	E 0	NW 1	6	10●	10●	18.9	● 8¾–n
29	13.8	19.4	15.5	16.2	−1.8	720.8	721.7	723.3	100	41	70	E 0	NW 1	NW 0	8	6	8	.	
30	**13.3**	22.3	17.9	17.8	−0.2	724.9	724.0	725.2	92	40	77	E 0	NW 1	N 0	0	3	7	.	
31	14.8	24.2	18.7	19.2	1.3	725.7	723.7	723.8	98	37	73	NW 0	NW 1	SE 0	0	4	5	.	
																		Summe	
Mittel	17.7	24.0	19.3	20.3	—	724.1	723.1	724.0	88	53	81				4.1	5.7	6.4	148.1	

Juli 1952
Beobachter: *Observatorium.*

Genève

$\lambda = 6° 9'$, $\beta = 46° 12'$,
$H_b = 405.0$ m, $G = -0.03$ mm.

1	22.5	29.5	25.5	25.8	7.4	**732.8**	731.2	732.1	71	56	85	E 0	NNE 1	E 0	1	0	0	.	
2	24.0	**34.8**	25.4	28.1	9.6	731.5	729.0	727.7	91	52	73	E 0	E 0	S 1	0	0	6	1.0	⚿ 19½–20
3	21.2	28.4	23.2	24.3	5.7	727.8	725.8	727.5	80	50	76	ESE 1	NNE 1	E 0	0	2	8	.	
4	21.0	31.0	28.0	26.7	8.1	729.0	728.6	727.4	78	43	73	NE 1	NNE 1	NNE 0	5	2	3	.	
5	26.7	33.0	27.1	28.9	10.2	731.6	730.2	729.3	63	44	63	E 0	NNE 1	SSE 0	1	2	2	.	
6	25.8	31.8	28.2	28.6	9.8	730.3	727.1	728.1	70	56	80	NE 0	NNE 0	NNE 0	1	0	3	.	
7	25.9	31.0	26.8	27.9	9.0	729.2	726.0	728.3	60	44	69	NE 0	NNW 1	NE 1	0	5	7	.	
8	24.0	29.1	23.8	25.6	6.6	728.3	727.5	729.6	74	50	67	N 1	NNE 1	NNE 1	3	5	8	.	
9	22.2	25.4	20.4	22.7	3.7	730.6	729.8	731.5	65	51	73	NE 1	NNE 1	E 1	10	8	9	.	
10	20.4	25.3	23.4	23.0	3.9	732.4	731.7	731.9	68	47	62	NNE 1	NE 2	NE 1	7	3	1	.	
11	20.7	27.6	24.0	24.1	4.9	732.3	729.0	729.7	79	60	53	NE 0	S 0	SE 0	1	4	1	.	
12	23.6	30.3	23.8	25.9	6.6	729.5	728.2	729.7	62	36	49	SE 0	WSW 1	NNW 0	9	7	7	.	
13	22.0	27.3	21.2	23.5	4.2	729.7	728.1	727.9	60	41	61	SE 0	WSW 0	E 0	5	2	0	.	
14	21.3	28.9	22.8	24.3	4.9	727.8	724.9	726.1	59	40	55	SE 1	SW 1	S 1	1	2	1	.	
15	21.4	27.8	21.2	23.5	4.1	726.8	722.8	727.8	61	52	59	W 0	NW 0	NE 1	5	3	3	.	
16	18.6	22.5	19.4	20.2	0.8	729.5	728.0	728.7	78	54	72	SW 0	NNE 1	NNE 1	10	5	2	.	
17	18.6	25.3	23.1	22.3	2.9	728.7	727.1	726.6	92	92	97	NE 0	NNE 0	NE 0	1	1	1	.	
18	20.0	28.1	22.0	23.4	3.9	727.7	724.8	724.9	71	44	61	ESE 0	N 0	N 1	1	1	1	.	
19	19.0	23.5	22.8	21.8	2.3	730.6	730.4	729.8	83	68	56	N 0	NNE 1	NNE 2	1	1	0	.	
20	18.8	25.9	23.9	22.9	3.4	729.8	729.6	727.2	87	67	73	NNE 0	NNE 1	NNE 0	0	1	7	.	
21	22.2	26.8	21.8	23.6	4.1	728.2	726.6	727.6	69	49	62	ENE 0	NNE 1	SE 0	8	8	9	.	
22	19.8	26.2	25.0	23.7	4.2	727.4	725.5	725.6	92	55	49	ESE 0	N 0	SSW 0	6	6	8	.	
23	21.8	28.2	25.3	25.1	5.6	726.6	722.0	725.0	66	62	47	N 0	N 1	NE 1	3	7	2	.	
24	20.0	25 1	20.3	21.8	2.3	726.1	725.1	725.9	60	66	61	NE 1	NNE 1	NNE 2	0	8	2	.	✓ p
25	16.9	23.8	21.8	20.8	1.3	727.0	725.8	726.1	61	48	45	NNE 1	N 1	NE 2	8	1	0	.	
26	19.8	24.8	22.2	22.3	2.9	727.0	723.9	724.4	85	69	53	E 0	N 0	NE 0	0	1	0	.	
27	20.0	30.6	24.6	25.1	5.7	723.8	721.0	719.9	58	27	51	NW 0	SSW 1	WSW 0	0	2	6	4.0	● n (27./28.)
28	18.6	18.6	**15.6**	17.6	−1.8	720.0	**718.3**	722.0	94	98	93	S 0	S 0	E 0	10●	10●	2	**13.4**	● n–14
29	16.0	20.1	18.6	18.2	−1.2	724.8	723.5	727.2	65	46	51	SE 0	N 0	NNE 0	1	0	1	.	
30	16.5	22.6	21.3	20.1	0.8	729.7	727.0	729.3	66	42	54	NNE 0	NE 0	NE 0	0	0	1	.	
31	19.0	18.6	21.2	19.6	0.3	729.8	725.1	727.3	61	56	65	ENE 0	ENE 0	NNE 0	0	0	9	.	
																		Summe	
Mittel	20.9	26.8	23.0	23.6	—	728.6	726.6	727.5	72	54	64				3.2	3.1	3.5	18.4	

$\lambda = 8°\ 34'$, $\beta = 47°\ 23'$,
$H_b = 569.4$ m, $G = 0.03$ mm

Zürich

Juli 1952
Beobachter: *Meteorol. Zentralanstalt.*

Tag	Lufttemperatur					Luftdruck			Relative Feuchtigkeit			Windrichtung und Stärke			Bewölkung			Niederschlag	Witterung
	7^{30}	13^{30}	21^{30}	Mittel	Abweich. vom Normalst	7^{30}	13^{30}	21^{30}	7^{30}	13^{30}	21^{30}	7^{30}	13^{30}	21^{30}	7^{30}	13^{30}	21^{30}		
1	19.8	32.3	22.2	24.8	8.2	718.9	717.7	717.2	67	34	57	SW 0	E 1	NE 1	1	1	0	.	⊿ I
2	21.5	32.5	25.5	26.5	9.8	717.1	715.8	714.0	69	39	64	S 1	SSW 1	N 1	0	1	10	.	⊿ I
3	22.7	31.5	25.5	26.6	9.9	714.5	712.6	712.8	67	43	50	NNW 1	NE 1	ENE 2	8	2	10	0.0	⛆ 17½
4	21.8	32.7	26.0	26.8	10.0	715.1	715.1	716.1	70	41	57	SW 1	ENE 1	NE 1	1	0	7	.	
5	23.9	33.2	26.4	27.8	10.9	717.1	716.8	715.8	73	42	62	SSW 1	SSW 1	S 1	0	1	10	.	
6	22.6	31.8	24.6	26.3	9.4	716.2	715.3	714.0	70	42	67	S 0	WNW 1	NE 1	0	1	1	.	
7	22.1	31.2	21.2	24.8	7.8	715.5	714.7	714.4	72	50	75	W 1	NW 1	SSE 1	1	1	9	1.9	⛆ 18, ● 18–18½, ⊿ I
8	20.5	29.0	19.5	23.0	5.9	714.9	713.5	715.5	75	43	80	S 1	NNW 1	SSW 1	0	9	9	8.8	● 19½–19¾, 23–24, ⊿ I
9	18.1	21.2	16.5	18.6	1.5	716.5	716.4	717.4	83	62	95	SSW 1	SW 1	N 1	10	9	10●	4.7	⛆ ● 3–3¾, ● 5–6½, 11¾–12, 18–[19½, 21½–22¾, 23
10	16.1	21.2	17.5	18.3	1.1	718.5	719.1	718.8	90	62	81	NW 1	ESE 1	NE 1	10	9	1	.	
11	17.6	26.5	21.1	21.7	4.4	718.4	717.1	715.6	82	45	72	SSW 1	NE 1	ESE 1	2	1	3	.	⊿ I
12	21.0	22.6	18.3	20.6	3.3	714.7	713.8	715.6	66	59	94	SSW 1	SSW 2	N 1	2	9●	9	12.2	● 13½–15, 15¾–16¾, 18½–19, ⛆ 13¾, [14¾–15, 15¾–16¾, ⛈ 14¾, 16, ⊿ I
13	17.9	21.8	17.9	19.2	1.8	715.8	714.7	714.0	72	49	63	S 1	NW 1	N 1	6	8	1	0.0	
14	18.3	23.9	19.1	20.4	3.0	713.7	712.4	712.1	60	45	56	W 1	SSW 1	NW 1	9	4	4	.	⊿ I
15	18.0	25.3	19.0	20.8	3.4	713.3	712.2	714.0	57	40	78	WNW 1	NW 1	NNE 1	5	3	9	0.4	● 17¼–17½
16	15.7	19.6	16.2	17.2	−0.3	715.1	715.2	714.6	81	57	75	NW 1	WSW 1	NE 1	9	9	10	.	
17	16.3	23.6	17.5	19.1	1.6	714.4	713.4	712.9	83	41	51	SSE 0	WSW 2	NNE 1	1	1	1	.	⊿ I
18	16.1	22.0	18.0	18.7	1.2	712.9	712.7	714.5	62	40	54	WNW 1	WNW 1	NNE 1	1	9	9	.	
19	16.2	22.7	17.7	18.9	1.4	716.3	716.5	717.0	71	50	62	WNW 1	W 1	NNE 1	9	8	8	.	
20	15.6	25.1	19.9	20.2	2.6	716.0	715.0	714.6	81	43	46	NE 1	SSW 1	NE 1	0	1	5	.	⊿ I
21	18.9	27.3	20.7	22.3	4.7	714.5	713.8	713.5	66	38	55	ENE 1	NNW 1	NNE 0	6	8	5	.	
22	18.9	29.0	20.3	22.7	5.1	713.5	712.6	712.5	66	40	75	ENE 1	ENE 1	ESE 1	3	1	9	.	⊿ I
23	18.5	28.6	21.0	22.7	5.1	713.0	712.1	712.2	79	84	55	SSE 1	NE 2	SW 1	0	1	1	.	⊿ I
24	15.9	19.9	14.2	16.7	−0.9	712.7	712.9	713.6	71	58	70	NNE 1	NNE 1	NE 1	7	10	1	.	
25	11.6	22.5	16.2	16.8	−0.8	713.7	713.4	713.4	70	43	51	NNE 1	ENE 1	NE 1	8	1	0	.	
26	14.8	25.0	18.6	19.5	1.9	713.7	712.7	711.2	64	39	57	NNE 1	NNE 1	E 1	0	1	1	.	
27	15.7	27.7	20.2	21.2	3.6	709.9	707.4	705.8	79	37	52	NE 1	W 1	W 1	0	1	0	0.5	
28	16.7	12.9	12.7	14.1	−3.4	704.5	706.8	708.7	81	95	95	NW 1	NE 1	W 1	10	10●	10	21.9	● 6½–7¼, 7½–8½, 9¼–18¾, 19¼–20¼
29	12.9	18.3	15.3	15.5	−2.0	710.9	711.8	713.6	72	42	50	WNW 1	SW 1	NNW 1	1	2	9	.	⊿ I
30	13.6	22.8	16.8	17.7	0.2	715.2	714.9	715.3	75	37	60	ESE 1	NW 1	N 1	1	1	0	.	⊿ I
31	15.5	24.3	19.1	19.6	2.1	715.7	714.6	713.6	75	38	52	S 1	SSW 1	ENE 0	0	1	3	.	⊿ I
Mittel	17.9	25.4	19.5	20.9	—	714.6	714.0	714.0	73	46	65				3.6	4.0	5.3	Summe 50.4	

$\lambda = 6°\ 32'$, $\beta = 46°\ 51'$
$H_b = 1589$ m, $G = -0{,}13$ mm

Chasseron

Juli 1952
Beobachter: *Ch. H. Martin*

1	19.6	24.0	23.6	22.4	—	638.0	639.2	638.9	52	45	44	SE 2	SSE 1	NW 1	2	1	1	.	
2	23.0	24.0	21.2	22.7	—	638.3	637.8	636.6	41	50	70	SW 1	SE 1	W 2	1	3	10	0.8	⛆ ● 22–23
3	18.0	24.4	19.0	20.5	—	634.7	634.5	634.8	60	42	62	ESE 2	W 1	W 1	4	4	7	.	
4	20.0	24.0	21.0	21.7	—	636.0	636.9	637.7	55	55	50	E 2	SE 1	E 2	2	4	6	.	
5	20.4	24.8	21.0	22.1	—	638.1	638.7	637.6	65	45	54	SE 1	SSE 1	E 1	2	4	4	.	
6	19.0	24.0	21.0	21.3	—	637.2	637.1	636.1	55	45	47	W 3	SE 1	S 1	2	4	6	.	
7	17.2	20.0	17.0	18.1	—	636.0	636.0	635.6	72	75	80	W 2	N 2	N 2	4	4	4	.	[⛈ a–n
8	20.0	12.0	13.0	15.0	—	635.2	634.8	635.6	62	100	80	S 1	NW 3	NW 3	4	10≡	9	13.9	⛆ ● 11½–13, ▲ 12–12¾, ≡ 13–14,
9	10.4	14.0	10.0	11.5	—	635.3	635.6	635.6	100	70	98	NW 2	NW 2	N 3	10≡	9	9	10.8	● 18½–19½, 20¾–24 mU, ≡ 6–9, 20½–
10	8.8	12.8	12.0	11.2	—	636.5	637.5	637.5	100	80	90	NNE 1	N 1	NE 1	10≡	8	5	.	≡ n–8 [n mU, ⛈ III
11	13.0	17.0	15.0	15.0	—	636.9	637.1	636.2	85	70	65	E 2	SSE 1	NW 2	2	5	5	.	
12	14.0	16.2	11.8	14.0	—	634.8	634.5	633.9	60	60	85	W 3	W 3	NW 4	5	8	6	.	⛈ n–n, ⛈ III
13	8.8	14.1	11.4	11.4	—	634.2	634.2	633.6	72	68	70	NW 1	NW 1	NW 2	6	6	0	.	
14	11.4	13.7	11.4	12.2	—	632.6	632.2	632.0	72	67	77	NW 2	NW 1	NW 2	1	6	3	.	
15	10.0	15.4	10.0	11.8	—	632.2	632.6	633.0	68	66	98	NW 2	NW 2	WNW 2	1	8	10≡	.	≡ 20–n
16	7.2	9.2	9.0	8.5	—	633.3	633.5	633.3	96	84	78	WNW 1	W 1	NNW 1	10≡	10	5	.	≡ n–10⅔
17	10.4	15.4	11.4	12.4	—	632.8	633.0	632.6	57	45	47	NW 1	W 2	NW 2	0	1	1	.	
18	10.2	12.9	9.8	11.0	—	631.8	632.8	632.9	55	54	75	NW 3	NW 3	NW 3	1	9	9	.	⛈ n–n
19	7.6	11.6	10.0	9.7	—	634.4	635.2	635.4	99	75	90	N 1	N 1	NNE 1	10≡	9	0	.	≡ 6¾–8½
20	12.7	18.2	15.4	15.4	—	634.5	635.1	634.8	80	55	60	E 1	E 1	NE 1	0	1	1	.	
21	16.2	18.4	15.0	16.5	—	634.1	634.3	633.6	55	56	64	E 1	E 1	E 1	9	9	9	0.0	⛆ 15½–16½, (|) 9½
22	13.7	18.9	15.6	16.1	—	633.3	633.4	632.8	73	52	66	E 1	E 1	ENE 2	9	5	9	0.0	⛆ 19¾–20¼
23	14.2	18.5	14.3	15.7	—	632.5	633.1	632.3	74	55	75	E 2	N 1	N 1	0	5	1	.	
24	13.5	14.6	8.6	12.2	—	631.4	631.6	631.5	79	71	90	N 1	NNW 1	E 2	3	8	4	.	
25	7.4	13.3	10.4	10.4	—	630.4	631.7	632.1	75	54	52	E 2	E 1	ENE 2	1	1	0	.	
26	10.6	16.2	13.6	13.5	—	631.4	632.3	631.5	55	38	50	E 3	E 1	E 2	0	0	0	.	
27	13.8	19.5	14.9	16.0	—	629.1	629.1	627.5	51	45	51	NW 2	NW 2	NW 3	0	1	1	0.0	⛈ III
28	11.1	7.2	5.2	7.8	—	624.5	625.2	626.8	74	100	100	NW 3	NW 3	NW 3	9	10●≡	10	8.3	● 6–6¼, 9–14 mU, ● ☽ 15–17,
29	6.0	11.2	7.2	8.1	—	628.8	630.3	631.4	65	55	60	NW 2	NW 2	NNW 2	1	6	2	.	[≡ 8½–17, ⛈ n–n
30	10.0	12.6	10.2	10.9	—	633.1	634.0	634.5	60	48	55	WNW 1	WSW 1	NW 2	1	4	4	.	
31	10.4	14.0	12.2	12.2	—	634.3	634.2	633.6	60	52	55	W 1	NW 1	NW 2	1	4	5	.	
Mittel	13.2	16.5	13.6	14.4	—	633.8	634.1	633.9	69	61	69				3.6	5.4	4.7	Summe 33.8	

Juli 1952
Beobachter: *B. Minsch und C. Clavuot*

Bever

$\lambda = 9° 53'$, $\beta = 46° 33'$,
$H_b = 1711.8$ m, $G = -0.23$ mm

Tag	Lufttemperatur					Luftdruck			Relative Feuchtigkeit			Windrichtung und Stärke			Bewölkung			Niederschlag	Witterung
	7^{30}	13^{30}	21^{30}	Mittel	Abweich. vom Normalst	7^{30}	13^{30}	21^{30}	7^{30}	13^{30}	21^{30}	7^{30}	13^{30}	21^{30}	7^{30}	13^{30}	21^{30}		
1	10.8	27.5	13.0	17.1	6.3	**631.4**	629.5	630.1	71	**23**	26	SW 0	SW 1	W 0	1	2	0	.	
2	11.2	**30.0**	19.2	20.1	9.2	630.5	628.0	628.3	71	**23**	85	W 0	E 0	SW 0	0	3	4	.	
3	15.8	26.7	14.6	19.0	8.0	627.5	625.4	627.5	60	37	87	S 0	SW 1	W 0	0	7	8	.	
4	13.0	25.9	14.4	17.8	6.8	628.7	628.3	630.6	83	31	89	SW 0	SW 1	SW 0	0	4	6	.	
5	13.3	26.8	10.4	16.8	5.7	630.9	629.6	631.1	95	32	100	SW 0	SW 1	SW 0	0	2	1	22.5	⛈ ▲ ● 17½-18½
6	18.4	26.7	19.6	21.6	9.8	628.7	626.7	627.7	36	27	45	S 0	SW 0	NE 0	0	0	4	.	
7	13.2	26.3	18.0	19.2	8.0	627.9	627.1	626.9	78	30	67	W 0	NE 1	N 1	0	3	10●	9.2	⛈ ● 20½-22
8	11.4	24.9	12.8	16.4	5.1	627.5	625.2	627.8	97	33	90	SW 0	NW 1	SW 0	10≡	5	10	6.8	● 14½-15, 20½-n mU, ≡ n-
9	10.8	17.1	10.3	12.7	1.3	626.1	624.8	626.1	97	56	96	SE 0	NW 1	SW 1	5	6	10	3.4	● 16½-19¾, ≡ a [7¾
10	10.6	17.6	11.8	13.3	1.9	626.8	626.3	629.2	94	58	70	NE 0	NE 0	NE 0	10	1	1	.	
11	8.9	20.9	15.2	15.0	3.5	629.1	628.6	627.9	96	37	76	SW 0	SW 2	S 0	1	3	9	0.4	● n (11./12.)
12	13.6	18.0	10.1	13.9	2.4	627.2	624.9	626.0	94	46	93	NE 0	SW 2	N 0	9	6	5	.	
13	11.7	19.4	11.9	14.3	2.8	625.2	624.0	625.7	87	44	86	SW 0	SW 2	SW 0	3	6	0	.	
14	11.3	20.8	14.4	15.5	3.9	624.2	623.0	623.6	98	45	82	SW 0	SW 1	SW 2	9	8	10	3.1	● a mU, 20½-n mU
15	11.8	20.9	9.8	14.2	2.6	623.8	623.5	624.6	96	32	94	S 0	SW 1	S 0	9	7	8	6.3	● 14½-20, ≡ n-a mU
16	8.9	17.0	11.9	12.6	1.0	624.1	623.8	623.7	98	44	76	SW 0	W 1	NW 1	10≡	5	1	.	≡ n-a
17	10.8	17.4	11.4	13.2	1.5	624.0	622.9	623.9	90	47	80	SW 0	SW 2	W 1	10	9	10●	2.9	● ⛈ 20½-23½
18	8.4	18.9	13.8	13.7	2.0	623.3	622.1	623.7	98	42	53	SW 0	SW 2	W 1	3	9	10	.	≡ n-7
19	6.9	16.2	12.0	11.7	0.0	625.1	625.0	626.6	95	44	62	SW 0	SW 1	N 0	4	8	0	.	
20	7.8	21.8	11.0	13.5	1.8	626.8	625.3	626.9	92	32	90	SW 0	SW 1	W 0	0	0	0	.	≡ a
21	10.8	21.2	9.4	13.8	2.0	628.2	624.8	626.4	97	40	96	SW 0	S 2	N 0	7	6	1	.	● 17-n ztw, ≡ a
22	9.2	18.2	9.8	12.4	0.6	625.3	624.8	625.3	97	42	92	S 0	E 0	SW 0	10	8	9	1.9	● 17-19, ≡ n-7
23	8.4	21.4	9.7	13.2	1.4	624.1	622.2	623.6	98	35	93	SW 0	SW 2	SW 0	1	5	4	0.8	⛈ ● 16-17 mU
24	7.8	18.4	13.1	13.1	1.3	622.8	620.9	622.4	99	36	59	SW 0	NW 0	W 0	1	7	7	.	⏢ |
25	7.0	19.6	12.7	13.1	1.3	622.6	621.3	623.1	96	27	42	E 0	N 0	N 0	10	0	0	.	⏢ |
26	5.4	20.0	13.4	12.9	1.2	623.3	621.7	622.6	87	28	48	S 0	S 0	E 0	0	0	0	.	⏢ |
27	8.4	25.9	13.1	15.8	4.1	621.6	619.4	619.7	83	31	81	SW 0	S 0	S 0	0	1	4	15.1	
28	7.2	14.0	7.4	9.5	-2.2	618.4	**616.1**	617.6	100	68	98	NE 1	S 0	S 0	10	10	10	21.2	● n-n mU
29	7.3	14.8	6.8	9.6	-2.1	619.2	619.7	622.3	86	33	74	N 0	W 1	E 0	4	1	0	.	
30	5.4	17.8	9.0	10.7	-0.9	624.3	624.0	625.7	96	40	80	S 0	S 2	N 0	1	3	3	0.3	● n (30./31.)
31	8.0	17.8	11.4	12.4	0.8	626.1	624.4	625.1	99	44	85	SE 0	SW 2	N 0	10≡	8	6	.	≡ n-a
																		Summe	
Mittel	10.1	21.0	12.3	14.5	—	625.6	724.3	725.5	89	38	77				4.2	4.6	4.9	93.9	

Juli 1952
Beobachter: *Couvent des Capucins.*

Sion

$\lambda = 7° 21'$, $\beta = 46° 14'$,
$H_b = 548.6$ m, $G = -0.11$ mm.

1	21.0	31 0	24.6	25.5	6.5	**722.5**	718.8	719.3	56	40	48	NE 0	WSW 1	WNW 1	0	0	0	.	
2	22.6	32.4	24.1	26.4	7.4	720.0	716.9	718.2	51	37	50	ENE 1	WNW 2	NNE 1	0	1	10	0.2	● 19½-19¾, ⛈ p
3	18.8	29.8	24.2	24.3	5.2	717.1	714.0	715.4	75	46	60	ENE 0	WSW 1	**NNE** 0	6	4	3	.	
4	23.0	**34.0**	26.0	27.7	8.5	717.4	716.1	718.0	60	**36**	43	NE 1	WSW 1	NE 1	0	4	1	.	
5	23.2	32.6	25.3	27.0	8.0	720.1	718.1	717.9	49	38	42	NE 1	WSW 1	WNW 1	0	0	0	.	
6	23.6	32.9	27.6	28.0	8.7	718.9	716.2	716.4	46	40	41	NE 0	WNW 1	NE 3	0	1	4	.	
7	23.2	32.6	28 0	27.9	8.6	717.4	715.2	715.4	51	42	47	NE 0	**SW** 1	WNW 1	0	3	2	.	
8	24.0	32.8	20.4	26.4	7.1	717.1	713.7	717.2	59	44	96	NE 1	SE 0	NW 0	0	2	1	1.1	● 16¾-17¾, ⛈ p
9	19.6	24.8	19.4	21.3	1.9	718.2	716.3	719.6	92	56	66	NNE 0	W 3	NNE 1	10	5	10	0.3	● 0¾, 9-9¾
10	18.8	26.7	21.5	22.3	2.9	719.0	718.5	719.2	82	46	59	NW 0	WSW 2	W 0	9	1	1	.	
11	19.4	27.8	24.4	23.9	4.5	720.4	717.9	717.2	68	47	48	NE 1	SW 2	W 1	1	1	4	.	
12	21.6	27.8	21.5	23.6	4.1	717.8	716.2	717.0	65	51	67	ENE 0	SW 1	NW 1	4	3	9	0.4	●tr 9¾, 17
13	19.2	26.3	21.8	22.4	2.9	717.3	714.9	715.2	71	48	52	NW 1	W 2	WSW 1	5	1	1	.	
14	20.8	26.8	22.4	23.3	3.8	715.8	712.9	713.5	65	50	51	ENE 1	WSW 2	NNE 0	1	1	2	.	
15	19.9	22.3	20.2	20.8	1.3	715.5	715.0	715.2	65	63	66	ENE 0	WSW 1	NNE 0	0	9	7	0.3	●tr 13¾, 19-19½
16	19.4	24.5	20.0	21.3	1.7	716.8	714.5	715.5	72	53	60	NNE 0	W 2	W 2	5	1	0	.	⛈ p
17	18.3	26.0	22.4	22.2	2.6	716.5	714.0	714.2	73	48	42	ENE 0	SW 2	W 1	1	1	0	.	
18	18.8	26.0	21.5	22.1	2.5	715.5	713.5	715.4	57	40	43	ENE 1	SW 3	W 2	0	3	2	.	
19	18.6	21.6	20.6	20.3	0.7	718.2	715.9	716.9	59	44	58	E 1	WSW 2	W 2	0	1	0	.	
20	18.4	27.4	22.6	22.8	3.2	718.0	715.3	715.9	66	48	51	ENE 1	W 3	W 0	0	1	4	0.1	
21	20.0	28.7	20.9	23.2	3.6	716.6	714.5	715.8	68	47	56	ENE 3	W 1	ENE 2	10	5	7	.	● tr 5¾-6¾
22	18.6	28.8	20.2	22.5	3.0	716.0	713.5	714.4	75	43	86	NE 0	WSW 1	NE 1	10	5	8	1.8	● 19¾-20½
23	19.2	29.8	21.8	23.6	4.1	715.1	712.9	713.1	72	46	63	NE 1	W 3	WSW 1	0	7	2	1.2	▽ 15¾, ⛈ ll
24	20.0	25.6	21.1	22.2	2.7	714.2	711.7	712.5	70	53	58	ENE 0	WSW 3	WNW 3	1	8	4	.	⛈ p
25	18.2	24.2	20.9	21.1	1.6	714.4	712.6	713.5	75	55	51	W 2	WSW 2	WNW 2	0	2	0	.	⛈ p
26	18.2	25.8	23.5	22.5	3.1	714.8	712.6	712.5	67	51	43	NE 0	SW 2	W 1	0	1	0	.	
27	18.2	27.8	23.9	23.3	3.9	712.6	709.3	708.3	63	45	38	NE 1	SW 2	W 0	0	1	6	.	
28	18.6	18.2	16.4	17.7	-1.7	**707.1**	708.6	710.7	73	83	76	NNE 0	SW 0	WSW 0	10	10●	9	6.9	● 8-16¼, 19-20
29	15.6	21.9	17.2	18.2	-1.2	713.0	712.6	714.5	70	43	50	ENE 1	SW 3	SW 1	2	1	0	.	
30	15.5	23.3	20.3	19.7	0.4	717.4	715.6	716.8	69	47	43	ENE 0	WSW 1	SSW 1	0	2	1	.	
31	16.6	25.3	22.5	21.5	2.2	717.9	715.2	715.2	65	45	43	NE 0	WSW 1	WSW 0	0	2	6	.	
																		Summe	
Mittel	19.7	27.3	22.2	23.1	—	716.7	714.6	715.5	66	48	55				2.4	2 8	3.4	12.3	

$\lambda = 8° 57'$, $\beta = 46° 0'$,
$H_b = 276.2$ m, $G = -0.01$ mm.

Lugano

Juli 1952
Beobachter: *G. Vicari.*

Tag	Lufttemperatur 7³⁰	13³⁰	21³⁰	Mittel	Abweich. vom Normalst.	Luftdruck 7³⁰	13³⁰	21³⁰	Relative Feuchtigkeit 7³⁰	13³⁰	21³⁰	Windrichtung und Stärke 7³⁰	13³⁰	21³⁰	Bewölkung 7³⁰	13³⁰	21³⁰	Niederschlag	Witterung
1	21.2	31.8	25.4	26.1	5.5	744.4	743.2	742.4	83	54	77	N 1	S 1	N 1	0	1	0	.	
2	23.2	32.2	26.4	27.3	6.6	743.0	740.6	740.1	87	55	76	— 0	S 1	N 1	1	6	0	.	
3	25.0	32.6	25.8	27.8	7.0	739.7	738.3	739.4	87	53	70	NNW 1	S 1	N 1	0	1	1	.	▽ 21
4	23.2	32.6	26.4	27.4	6.6	744.0	741.5	**745.0**	77	49	68	N 1	S 1	N 1	1	0	4	.	
5	23.4	33.2	26.2	27.6	6.7	743.4	742.7	742.6	79	53	65	NE 1	S 1	N 1	0	0	0	.	
6	23.2	**33.8**	26.4	27.8	6.8	741.5	739.6	739.1	75	45	62	N 1	S 1	N 1	0	0	0	.	
7	22.6	33.2	27.2	27.7	6.7	739.5	738.1	738.0	73	51	68	N 1	S 1	N 1	0	0	9	.	
8	22.8	32.8	25.4	27.0	5.9	739.3	738.0	739.1	65	52	62	N 1	SSE 1	E 1	1	0	8	0.9	● 20–20½ mU
9	20.2	26.8	19.4	22.1	1.0	739.5	737.3	739.6	75	63	95	N 1	N 1	NE 1	0	9	9	1.8	● 17¾–19, n (9./10.), ⊼ 18½
10	19.0	28.8	21.2	23.0	1.8	740.1	740.5	741.9	91	54	74	N 1	S 1	NE 1	0	0	1	0.1	⊽ 20½
11	20.4	30.0	23.8	24.7	3.5	743.2	742.4	741.3	80	52	66	N 1	SSE 1	N 1	1	1	0	.	
12	22.6	30.0	22.8	25.1	3.8	740.7	739.0	738.3	72	53	73	NW 1	S 1	N 1	6	8	1	7.3	● 14–15½
13	19.8	27.8	23.4	23.7	2.4	738.3	738.2	738.0	77	54	71	N 1	SE 1	N 1	0	5	1	4.2	● n (13./14.)
14	20.4	27.6	19.4	22.5	1.2	737.9	737.0	736.5	98	55	98	N 1	S 1	NNE 1	10●	2	10	15.7	● n–8, 17½–18½, ⊼ 17¾, 21¾
15	20.4	25.2	19.2	21.6	0.2	737.6	736.5	737.5	81	67	94	N 1	S 1	N 1	4	9●	9	7.6	⊽ 13–14, 15½–17, ⊼ 15½
16	18.2	27.8	23.4	23.1	1.7	737.4	736.5	736.1	79	55	70	N 1	SSE 1	N 1	1	0	6	.	
17	20.4	27.8	24.2	24.1	2.7	738.5	737.1	736.0	84	53	75	W 1	S 1	N 1	9	1	5	0.9	● n (17./18.)
18	19.8	26.0	22.6	22.8	1.3	737.2	735.4	735.5	81	63	72	NNE 1	S 1	N 1	7	6	1	.	
19	19.4	29.6	22.8	23.9	2.4	737.5	737.4	738.8	62	51	63	N 1	S 1	N 1	0	0	0	.	
20	21.0	29.2	23.4	24.5	3.0	741.0	740.0	739.7	68	54	71	W 1	S 1	N 1	9	1	0	0.3	●tr n (20./21.)
21	21.4	26.6	22.4	23.5	1.9	740.2	739.3	738.6	92	62	68	N 1	S 1	N 1	10●	9	6	0.0	● n–7¾
22	21.2	29.8	21.6	24.2	2.6	738.7	737.6	737.7	76	50	68	SSW 1	S 1	N 1	10	3	4	.	
23	18.8	30.6	24.4	24.6	3.0	737.0	735.1	734.3	75	48	58	N 1	S 1	N 1	0	0	2	.	
24	20.4	30.8	19.6	23.6	2.0	734.6	733.2	733.8	72	57	94	N 1	S 1	E 1	1	3	5	2.8	● 18½–19¾, ⊼ 18½
25	19.8	25.6	22.4	22.6	1.0	736.6	736.5	736.7	77	59	73	N 1	S 1	SSW 1	6	7	9	.	
26	20.4	27.4	21.4	23.1	1.5	737.5	736.0	735.7	69	55	70	SW 1	S 1	N 1	9	1	0	.	
27	21.4	28.4	24.0	24.6	3.0	735.3	733.8	732.8	75	53	66	N 1	S 1	N 1	9	1	10	**28.3**	● n (27./28.)
28	18.0	19.8	16.6	18.1	−3.5	731.7	730.0	**729.5**	69	73	97	N 1	E 1	N 1	9	10●	8	13.4	● n–p mU
29	**15.8**	27.0	19.8	20.9	−0.6	731.2	732.7	735.6	53	**33**	61	N 1	N 1	N 1	0	0	0	.	
30	18.0	25.2	21.0	21.4	−0.1	739.7	739.8	739.8	73	62	77	— 0	ESE 1	N 1	9	7	2	.	
31	18.2	24.4	20.4	21.0	−0.5	741.8	739.7	739.2	86	62	73	NW 1	SSW 1	N 1	8	5	1	10.2	● a
																		Summe	
Mittel	20.6	28.9	22.9	24.1	—	739.0	737.9	738.0	77	55	73				3.9	3.1	3.6	93.5	

$\lambda = 7° 35'$, $\beta = 47° 33'$,
$H_b = 317.3$ m, $G = 0.11$ mm.

Basel

Juli 1952
Beobachter: *Astronom.-Meteorol. Anstalt.*

1	20.9	34.0	24.4	26.4	9.0	740.0	738.4	737.5	55	**27**	53	E 1	E 1	SE 1	1	0	0	.	
2	23.2	**35.4**	25.5	28.0	10.6	737.9	736.4	735.2	61	34	57	E 1	NW 1	W 1	1	1	10	0.2	⊼ 22¾
3	21.9	32.5	27.0	27.1	9.6	735.6	733.6	733.9	76	38	42	E 1	NNW 1	N 1	7	2	6	.	
4	23.7	34.1	25.5	27.8	10.2	736.4	736.2	737.0	67	44	70	ESE 1	N 1	SW 1	2	0	0	.	
5	25.2	35.0	26.0	28.7	11.1	738.2	737.5	736.5	74	41	73	S 0	W 1	SW 1	0	0	5	.	
6	24.8	34.8	24.8	28.1	10.4	737.1	735.9	734.7	69	29	75	SE 0	W 1	SSE 1	1	1	0	.	
7	24.9	31.1	23.8	26.6	8.8	736.9	736.2	736.1	64	53	81	SW 1	NW 1	SW 1	1	3	1	.	
8	22.6	27.8	20.6	23.7	5.9	735.9	734.2	736.8	75	53	90	ESE 1	N 1	S 1	0	10	10●	**15.2**	● 14–15¾, 21¼–21¾, ⊼ 14, ⌿ 14–14¼
9	20.2	22.7	18.2	20.4	2.5	738.0	738.0	739.4	80	64	88	W 1	NW 1	NW 1	7	9	3	4.6	● 0½–2½, 16–16½, ⊼ 0¾–6¾, 15¾–16¼, ⌿ 16¾
10	19.3	24.2	19.4	21.0	3.1	740.3	**740.4**	740.2	76	94	68	NW 1	NW 1	ESE 0	6	6	0	.	
11	19.7	29.0	21.1	23.3	5.3	740.2	738.3	736.7	79	44	75	SSW 1	NE 1	NW 1	0	1	1	.	
12	21.2	27.1	19.8	22.7	4.7	735.9	734.6	737.5	69	45	60	E 1	W 2	W 2	9	7	9	.	⌿ 14¼
13	19.5	25.5	17.4	20.8	2.8	737.5	736.3	735.3	65	46	69	E 1	W 1	SW 0	1	6	0	.	
14	19.0	25.4	20.4	21.6	3.5	735.3	733.6	733.4	69	47	63	E 1	WNW 1	WNW 1	8	6	7	.	
15	22.0	26.4	17.4	21.9	3.8	734.9	733.8	736.2	57	44	62	SSW 0	NW 2	NW 1	1	3	10	.	
16	16.4	21.0	14.9	17.4	−0.7	737.5	737.4	736.2	66	51	86	NW 1	NNW 1	SW 0	10	9	0	.	
17	15.5	26.2	17.6	19.7	1.6	736.2	737.4	734.5	70	34	50	E 1	NW 1	SW 1	0	1	0	.	
18	18.3	25.6	19.0	21.0	2.8	735.1	734.6	736.0	60	33	52	S 0	NNW 2	W 1	1	4	7	.	⌿ 14¾
19	18.0	22.2	16.5	18.9	0.7	738.2	738.5	738.4	68	53	68	W 1	WNW 1	W 0	10	10	0	.	
20	16.2	27.5	19.8	21.2	3.0	738.2	736.5	736.2	73	40	56	SW 0	N 1	N 1	0	0	1	.	
21	17.6	29.2	22.0	22.9	4.7	736.4	735.4	734.5	70	39	64	NE 0	NW 1	N 1	7	8	5	.	
22	19.6	30.1	24.8	24.8	6.6	735.3	734.3	733.7	60	38	50	N 1	NW 1	N 0	2	2	10	.	
23	19.4	29.6	21.5	23.5	5.2	735.0	733.9	734.0	54	28	54	NW 1	N 1	NNW 1	1	1	10	.	
24	15.4	22.4	16.0	17.9	−0.4	735.1	734.7	735.7	66	47	52	NW 1	NNE 1	WNW 1	8	9	6	.	
25	**13.0**	24.8	17.7	18.5	0.2	736.1	735.1	734.9	68	28	55	NW 1	SE 1	NW 0	1	0	0	.	
26	15.8	27.0	21.0	21.3	3.1	735.9	734.4	733.1	66	31	74	NW 1	NW 1	NW 0	0	0	0	.	
27	18.4	29.4	19.9	22.6	4.4	731.4	729.1	727.6	75	35	65	NW 0	WNW 0	SW 0	0	2	0	1.9	
28	15.3	14.7	14.2	14.7	−3.5	**726.8**	728.4	730.8	94	89	95	NW 1	S 1	SW 1	10	10●	8	4.3	● 6½–7½, 10–15, ⌿ 9
29	13.4	19.8	**13.0**	15.4	−2.8	732.1	733.8	735.3	77	43	77	SE 0	W 1	SW 0	4	9	1	.	
30	14.5	26.5	15.8	18.9	0.8	736.8	736.3	736.8	66	34	69	SE 1	SW 1	SW 1	1	2	0	.	
31	17.0	27.1	18.2	20.8	2.7	737.6	736.2	735.1	64	34	63	SW 0	NW 1	SW 0	0	1	1	.	
																		Summe	
Mittel	19.1	27.4	20.1	22.2	—	736.2	735.4	735.5	69	44	66				3.2	4.0	3.6	26.2	

Juli 1952
Beobachter: *Observatorium.*

Säntis

$\lambda = 9° 20'$, $\beta = 47° 15'$,
$H_b = 2500.1$ m, $G = -0.27$ mm.

Tag	Lufttemperatur					Luftdruck			Relative Feuchtigkeit			Windrichtung und Stärke			Bewölkung			Niederschlag	Witterung
	7^{30}	13^{30}	21^{30}	Mittel	Abweich. vom Normalst	7^{30}	13^{30}	21^{30}	7^{30}	13^{30}	21^{30}	7^{30}	13^{30}	21^{30}	7^{30}	13^{30}	21^{30}		
1	16.2	18.4	14.7	16.4	12.2	574.3	**574.7**	574.6	30	39	**25**	NE 1	SSW 2	SW 2	1	2	0	.	
2	15.0	**19.4**	16.0	16.8	12.5	574.1	573.9	572.9	60	47	30	WNW 2	SSW 2	N 2	1	2	7	.	
3	12.0	18.6	13.2	14.6	10.3	571.1	570.9	571.2	70	51	60	NE 2	SSW 2	E 2	7	2	10	0.0	⛆ 19½–19¾
4	16.6	17.0	14.2	15.9	11.5	571.8	573.1	574.1	47	48	87	SSW 2	ESE 1	E 2	1	1	7	.	
5	16.4	17.4	13.8	15.9	11.4	574.1	574.6	574.1	48	45	60	SSW 2	SSE 1	ESE 2	1	6	9	0.3	⛆ ● 19¼–19½
6	14.8	17.1	13.4	15.1	10.5	572.9	572.6	571.9	53	75	80	WSW 2	SSW 1	SSW 2	1	3	2	0.0	⛆ 16¼–16½
7	12.4	14.3	10.8	12.5	7.9	571.3	571.8	571.6	65	90	65	WNW 2	SSE 1	SSW 2	2	9	9	0.0	⛆ ● 19¾, ≡ 6¾–6¾, 15–16¾, 18–19
8	12.4	16.0	9.4	12.6	7.9	570.5	570.3	570.4	65	75	85	WSW 2	SSW 1	ESE 2	1	9	9	14.6	⛆ ● 17–17½, ⛆ 20½–21½ mU, *)
9	6.4	8.8	4.6	6.6	1.8	569.1	569.4	569.7	85	92	100	WSW 2	WNW 2	N 1	9	10≡	10≡	14.7	⛆ 6¾–7, 9¾, ● 11¾–12½, 14–17¾, *)
10	4.6	6.6	6.1	5.8	1.0	570.0	571.4	571.7	100	97	93	NNE 2	NNE 1	ENE 2	10≡	10≡	1	1.7	⛆ 7–7¾, 8¾–9¾, ☽ 10¾–11¾, ≡ 7–13½, 18½–19
11	11.0	13.4	8.0	10.8	5.9	571.3	571.6	570.7	60	57	90	— 0	SW 2	W 3	0	9	6	.	≡ 13¾, 14–19 mU
12	7.0	8.2	6.4	7.2	2.3	569.0	568.7	568.8	93	75	100	WSW 3	WSW 3	SSE 2	5	6	10●	**34.5**	⛆ ▲ 16¾–16½, ⛆ 21¾–22 mU, *)
13	4.4	10.0	6.8	7.1	2.1	567.8	568.1	568.1	100	96	100	SSW 3	SSW 2	SW 3	10≡	10≡	10≡	.	≡ n–n
14	11.2	13.2	7.2	10.5	5.5	567.0	566.8	566.8	74	79	93	SW 2	SSW 2	WSW 3	1	10≡	10	3.7	⛆ ● 22–22½, ≡ 10½–16½
15	6.2	9.0	5.5	6.9	1.8	566.6	566.9	567.3	100	92	100	WSW 3	WSW 2	NW 2	10≡	10≡	10≡	24.7	⛆ ● 16½–16¾, ⛆ 18–18¾, ≡ n–n
16	4.8	7.2	4.4	5.5	0.4	566.9	567.3	567.3	100	95	100	WSW 2	WSW 2	WSW 2	10≡	10≡	10≡	.	≡ n–n
17	3.6	11.1	5.1	6.6	1.5	566.3	566.9	566.9	100	76	85	SW 3	SW 2	WSW 3	10≡	10≡	2	.	≡ n–7¾, 9¾–15½, 17–19½
18	5.3	8.8	3.0	5.7	0.5	565.7	566.3	567.1	85	85	97	WSW 3	SW 3	W 2	1	10≡	9	0.3	≡ ☽ 13–14½
19	3.0	4.7	4.2	4.0	−1.2	567.5	568.7	569.4	100	98	100	WSW 2	WSW 2	WSW 2	10≡	10≡	10≡	.	≡ n–n
20	9.0	12.2	8.6	9.9	4.7	569.0	569.7	569.9	35	56	47	SSE 2	SSW 2	W 3	0	3	1	.	
21	10.0	12.4	8.0	10.1	4.8	569.2	569.6	569.1	69	69	95	WNW 1	S 2	ENE 2	6	9	1	.	
22	9.4	12.0	8.2	9.9	4.6	568.1	568.6	568.2	77	95	82	ENE 2	SSW 2	ENE 2	2	10≡	9	0.5	⛆ 13¾–14¾, 20¼–20½, ≡ 13½–14½
23	8.0	9.6	6.2	7.9	2.6	567.5	567.8	567.3	85	97	100	NNE 2	NNE 2	NE 2	1	10≡	10≡	.	≡ 13–14½ mU, 21¾–n
24	7.2	11.4	3.6	7.4	2.1	565.6	565.8	565.5	97	75	100	W 2	W 2	WSW 2	10≡	10≡	10≡	.	≡ n–n
25	5.2	7.8	5.0	6.0	0.6	564.7	565.9	566.5	26	85	77	WNW 1	S 1	WSW 2	1	10≡	0	.	≡ 12¾–20 mU
26	6.2	8.2	6.6	7.0	1.6	566.1	566.8	566.2	38	77	77	NNE 2	SSE 1	WSW 2	1	3	1	.	
27	7.4	10.7	8.6	8.9	3.5	564.3	563.9	562.9	79	64	85	WSW 2	WSW 2	WSW 3	1	1	3	0.4	⛆ n (27./28.)
28	5.4	3.6	3.6	4.2	−1.2	**559.9**	**559.9**	560.1	100	100	100	WSW 3	WNW 2	WNW 2	10	10●	10*●	31.9	⛆ 9–13, ● 13–13¾, ✳● 13¾–15½, *)
29	**−1.8**	3.0	1.8	1.0	−4.4	561.4	563.4	565.3	100	100	100	WNW 2	SW 2	WSW 2	10≡	10≡	10≡	.	≡ n–n, ⋁ I
30	2.1	9.7	4.2	5.3	−0.1	566.2	567.6	568.5	80	75	86	WSW 2	SW 1	W 2	2	10≡	8	.	≡ 12–19¾
31	7.0	11.3	6.1	8.1	2.7	568.1	568.3	568.2	63	76	98	WSW 1	SSW 1	N 1	1	10≡	10	.	≡ 11–19½
																		Summe	
Mittel	8.3	11.3	7.7	9.1	—	568.3	568.8	568.8	74	77	84				4.4	7.6	6.6	127.3	

Juli 1952
Beobachter: *E. Chiesa*

St. Gotthard (Hospiz)

$\lambda = 8° 34'$, $\beta = 46° 33'$,
$H_b = 2095$ m, $G = -0.25$ mm.

1	14.8	22.4	15.8	17.7	11.1	600.4	601.7	600.5	15	21	23	NW 0	NW 0	NW 0	0	0	0	.	
2	16.9	**24.3**	16.3	19.2	12.5	599.8	601.6	601.2	14	**13**	21	NW 1	NW 0	NW 0	0	0	3	.	
3	16.2	24.1	13.6	18.0	11.2	600.7	**601.9**	601.1	48	41	54	SE 0	SE 1	S 0	3	3	6	1.6	⛆ ▲ 17¼–17½
4	13.9	21.3	14.7	16.7	9.8	600.3	601.5	600.9	84	42	90	SE 0	SE 1	SE 0	3	0	0	.	
5	15.0	22.3	16.1	17.8	10.8	600.1	601.6	600.9	53	26	55	SE 0	SE 1	SE 0	0	0	0	.	
6	14.9	22.0	15.9	17.6	10.5	600.2	601.6	600.6	38	21	62	SE 0	SE 0	NW 1	0	0	0	.	
7	15.0	20.1	11.6	15.6	8.4	599.2	601.0	598.1	61	29	82	NW 0	NW 1	NW 2	0	3	10●	1.4	⛆ 21¼, ● 21¾–n
8	14.0	19.5	10.3	14.6	7.3	601.2	601.4	598.3	52	37	96	NW 0	SE 1	NW 0	0	9	3	4.4	● 15¾–17¾, ⛆ 18¼–18¾
9	9.0	10.2	7.0	8.7	1.3	597.2	596.0	598.4	98	95	100	NW 2	NW 3	NW 2	3	10≡	10≡	3.8	● 15¾–16¾, ≡ n–n mU, ⛆ 11
10	6.9	11.0	8.2	8.7	1.2	598.0	597.9	599.1	100	72	97	NW 2	NW 1	NW 1	10≡	9	10≡	.	≡ n–a, 20¾–n
11	10.4	17.5	12.0	13.3	5.7	600.4	600.8	600.1	64	39	92	NW 0	SE 1	SE 0	0	3	10	**15.7**	⛆ 22¾–23½
12	10.2	13.3	9.9	11.1	3.4	598.6	598.4	597.4	91	80	95	SE 0	NW 0	NW 1	0	9	0	4.2	● 12½, 16½–16¾
13	7.6	15.5	11.5	11.5	3.7	596.8	596.9	595.3	100	45	80	NW 1	SE 0	SE 1	9	6	10	.	
14	10.6	11.0	10.4	10.7	2.8	595.9	594.7	595.4	100	98	100	SE 0	SE 1	SE 0	10≡	10	10≡	2.7	● 17¾–17¾, ≡ n–n mU
15	9.2	10.6	9.0	9.6	1.6	595.2	595.2	595.1	81	78	86	SE 0	SE 0	NW 1	3	10●	3	5.5	● 13¾–17¾
16	7.2	10.5	7.4	8.4	0.3	595.6	596.3	594.1	100	84	100	NW 1	NW 2	NW 2	0	6	10≡	.	≡ p–n
17	5.4	15.2	8.5	9.7	1.5	595.3	595.8	594.5	100	49	97	NW 1	SE 0	NW 1	10≡	3	9	.	≡ n–a
18	7.6	14.0	7.1	9.6	1.3	594.5	594.2	595.0	75	60	72	NW 1	NW 1	NW 2	0	6	0	.	
19	5.4	10.9	7.6	8.0	−0.3	595.5	597.1	596.9	100	66	100	NW 2	NW 2	NW 2	10≡	3	10≡	.	≡ n–8½, 20¼–n
20	10.0	17.2	10.4	12.5	4.1	598.1	598.4	598.3	65	53	68	SE 0	SE 0	NW 0	0	0	0	.	
21	11.4	17.9	9.2	12.8	4.4	597.8	597.9	596.5	93	34	93	NW 0	S 0	NW 1	6	9	10	2.8	● 20¾–21, ⏢ I
22	9.6	16.7	9.0	11.8	3.4	596.6	597.0	596.5	94	59	82	S 1	SE 0	NW 0	10	3	0	14.8	● 7¾–8, 18¾–19¾, ≡ a mU
23	9.7	14.2	11.6	11.8	3.3	595.7	594.9	594.1	62	51	55	NW 1	NW 2	NW 2	0	3	6	.	
24	9.5	10.1	6.6	8.7	0.2	594.7	594.4	594.7	90	98	100	NW 1	NW 2	NW 2	3	9	10≡	.	≡ 13–14¾ mU, 14¾–n, ⏢ I
25	5.7	9.7	7.2	7.5	−1.0	594.9	594.4	593.5	90	71	97	NW 0	NW 2	NW 2	0	0	10≡	.	≡ 9¾–10½, 18½–n
26	6.5	13.4	8.9	9.6	1.1	594.3	594.4	594.7	89	24	82	NW 1	NW 2	NW 2	0	0	0	.	
27	9.4	15.2	10.4	11.7	3.2	593.8	593.6	592.4	100	50	95	NW 0	SE 1	SE 0	3	3	10	4.9	● 16¾–n mU
28	7.4	5.9	3.8	5.7	−2.8	589.7	588.4	**587.9**	98	100	100	SE 1	NW 1	NW 2	10≡	10≡	10≡	10.3	● n (28./29.), ≡ n–n mU
29	**1.6**	7.5	4.0	4.4	−4.1	589.4	591.0	593.3	100	48	97	NW 2	NW 2	NW 1	10≡	0	0	.	≡ n–a, 19¾–n mU
30	6.8	13.2	7.6	9.2	0.7	594.8	596.1	596.7	72	57	98	NW 0	SE 1	NW 1	6	3	6	.	
31	8.3	15.5	9.9	11.2	2.7	596.7	596.8	596.6	90	52	97	NW 0	SE 1	SE 0	6	6	10≡	.	≡ 20¼–n mU
Mittel	9.9	15.2	10.1	11.7	—	596.8	597.0	596.7	78	55	83				3.7	4.4	5.7	72.1	

Säntis: *) 8. ≡ 17–19 mU 9. ⛆ ● 14¾, ≡ 7¾–17½ mU, 19–24 12. ≡ 4–7, 15¾–19½, 21¼–22, ⛆ 16½ 28. ✳ 15½–17½, ●✳ 17½–n mU, ≡ 10½–n, ⛆ 9½

$\lambda = 7°\,26'$, $\beta = 46°\,57'$,
$H_b = 572.2$ m, $G = 0.00$ mm.

Bern

August 1952
Beobachter: *Meteorol. Observatorium.*

Tag	Lufttemperatur					Luftdruck			Relative Feuchtigkeit			Windrichtung und Stärke			Bewölkung			Niederschlag	Witterung
	7^{30}	13^{30}	21^{30}	Mittel	Abweich. vom Normalst	7^{30}	13^{30}	21^{30}	7^{30}	13^{30}	21^{30}	7^{30}	13^{30}	21^{30}	7^{30}	13^{30}	21^{30}		
1	15.5	25.9	21.1	20.8	3.1	712.5	710.8	710.8	81	38	42	S 1	WNW 2	WSW 1	1	2	3	.	⏢ |
2	16.5	26.4	22.0	21.6	3.9	710.5	709.5	710.0	73	42	60	SE 1	WNW 1	W 1	9	3	9	0.6	⏢ |
3	17.5	24.6	20.1	20.7	3.1	712.4	712.1	714.3	86	49	72	SSE 1	NNW 1	E 1	5	6	9	.	● 3–3½
4	17.7	24.5	21.1	21.1	3.5	715.6	714.8	714.9	85	43	49	SE 1	NNE 1	NE 1	3	1	1	.	⏢ |
5	17.3	27.5	22.2	22.2	4.8	716.0	714.4	713.5	75	36	46	SE 1	NNW 1	SE 1	1	1	1	.	⏢ |
6	17.9	29.5	17.4	21.6	4.1	712.9	710.8	712.2	65	35	98	SE 1	NW 2	SSW 1	8	8	10●	18.5	⛆ 18-18¼, 20, 20½, ● 17¾-18½, 19½-
7	15.2	18.7	18.1	17.3	−0.1	711.5	711.9	710.9	88	67	73	W 2	WSW 1	SE 1	10●	9	10	0.6	● 1-1¾, 2½-10¾, 23½-24 [24 ◠ 18½
8	16.8	22.0	18.3	19.0	1.6	711.7	711.4	711.8	88	54	76	SE 1	WNW 1	NNW 1	7	8	3	.	● 2¾–3½
9	14.0	21.5	15.4	17.0	−0.3	710.0	707.5	710.1	93	61	98	SE 1	NE 1	SW 1	5	9	10●	14.8	● 15½–18¾, 20¾–22¾
10	15.7	19.1	16.6	17.1	−0.1	711.4	712.4	713.9	86	51	62	WSW 1	WNW 2	W 1	8	7	4	.	
11	14.5	23.8	20.4	19.6	2.4	715.1	714.4	714.4	78	40	77	SE 1	SE 1	SSW 1	0	0	0	.	
12	17.9	28.1	22.8	22.9	5.8	715.8	715.1	714.8	79	44	68	S 1	NW 2	SE 1	2	2	0	.	
13	19.4	**29.7**	24.0	24.4	7.4	715.3	714.0	712.5	81	44	61	SSE 1	W 2	SE 1	6	1	0	.	
14	19.0	28.9	23.6	23.8	6.8	710.6	710.1	709.4	82	47	65	SE 1	SSW 2	S 1	1	8	6	0.7	● 22¾–23
15	20.0	26.0	17.8	21.3	4.4	710.6	710.8	712.3	86	47	98	SE 1	NE 1	W 1	5	8	10●	**36.8**	● 19½–24, ⛆ 20–21½
16	16.3	20.6	14.2	17.0	0.2	713.3	712.5	713.3	99	63	94	SE 1	SSW 1	SSW 2	9●	6	10	22.0	● 0–7½, 17½–20¾
17	12.9	17.5	14.8	15.1	−1.7	712.9	711.8	711.7	93	57	66	NW 1	NW 2	WSW 1	9	8	5	.	
18	12.2	18.6	15.6	15.5	−1.2	710.1	707.2	705.9	87	55	98	S 1	NE 1	W 1	8	4	10●	10.8	● 20½–24
19	12.9	18.0	16.3	15.7	−0.9	705.0	704.1	**703.5**	98	67	87	SSW 1	W 1	S 1	10●	9	7	1.1	● 1½, 3½–11
20	14.3	14.7	14.6	14.5	−2.1	704.7	706.2	708.9	96	84	73	SSW 1	W 2	SW 2	9●	9●	8	4.8	● 6–15¾ mU
21	13.9	15.9	13.0	14.3	−2.2	710.5	712.8	715.0	77	70	89	W 1	WSW 2	SE 1	5	7	9	0.2	● 1½–1¾, 12½–12¾
22	10.7	17.5	14.6	14.3	−2.1	716.3	717.0	**717.2**	90	51	63	SE 1	W 1	E 1	4	4	4	.	⏢ |
23	**10.4**	16.2	14.0	13.5	−2.9	716.4	715.2	713.5	86	67	89	NE 1	NE 1	NE 1	3	10	9	5.5	
24	12.2	14.8	12.8	13.3	−3.0	712.4	712.9	713.8	98	75	98	N 1	NE 1	SE 1	10●	10	10●	2.8	● 2½–9¾, 17½–22
25	12.2	19.3	15.7	15.7	−0.5	713.0	712.4	712.7	91	63	89	SE 1	NNE 1	SE 1	10	2	0	.	
26	12.4	22.2	17.0	17.2	1.1	713.9	714.1	714.2	93	49	79	SE 1	N 1	SE 1	0	1	0	.	⏢ |
27	14.1	24.9	19.0	19.3	3.2	715.8	715.8	715.4	90	50	72	S 1	W 1	S 1	0	2	0	.	
28	15.5	27.3	19.1	20.6	4.6	716.4	715.6	714.6	75	37	70	SE 1	W 1	SE 1	0	1	2	.	
29	15.3	25.5	20.2	20.3	4.4	713.9	712.3	710.2	74	44	82	SE 1	NE 1	W 1	1	2	1	.	⏢ |
30	17.5	25.1	15.8	19.4	3.6	708.3	707.5	710.1	86	55	98	E 1	NNW 1	W 1	5	3	10●	26.7	● 19–24, ⛆ 19½–20½
31	15.2	19.7	16.3	17.1	1.4	710.6	712.1	715.0	98	65	98	S 1	W 2	W 1	10●	9	9	2.7	● 1¼–8¾, 19¾–20¾
Mittel	15.3	22.4	17.9	18.5	—	712.4	711.9	712.3	86	53	77				5.3	5.2	5.5	Summe 148.6	

$\lambda = 6°\,57'$, $\beta = 47°\,0'$,
$H_b = 487.3$ m, $G = 0.02$ mm.

Neuchâtel

August 1952
Beobachter: *Observatorium.*

1	16.0	27.4	21.2	21.5	2.8	719.9	718.1	718.1	75	32	38	E 1	S 1	W 0	0	5	0	.	
2	17.7	28.4	22.6	22.9	4.2	717.8	716.7	717.3	74	36	59	N 0	SW 1	SW 1	9	4	10	1.0	▽ 16
3	18.8	23.4	21.2	21.1	2.4	719.7	719.9	721.3	77	60	48	SW 1	SW 1	NW 3	2	6	8	0.4	▽ 12¾, 15½
4	18.6	27.8	23.1	23.2	4.6	723.0	722.4	722.2	60	34	39	N 0	SE 1	N 2	4	2	0	.	
5	17.2	30.1	23.0	23.4	4.8	723.2	721.7	720.6	79	35	44	NE 0	SE 1	NW 0	0	0	0	.	
6	18.5	**30.8**	16.6	22.0	3.5	720.2	717.9	720.0	67	**29**	92	NW 0	SW 2	W 2	1	4	10●	29.8	● 18½–24, ⛆ 19–20½
7	15.5	19.5	18.0	17.7	−0.8	718.9	719.2	718.5	95	73	83	W 1	SW 1	SW 0	9	9	10	0.2	● 0–7½, ▽ 9¾
8	18.3	25.0	19.6	21.0	2.6	719.1	718.8	719.1	85	50	60	W 0	S 1	NW 0	9	7	4	.	
9	15.6	24.7	16.7	19.0	0.7	717.4	714.5	717.2	81	54	92	NW 0	SE 1	SW 2	3	8	10	12.0	● 15½–18, ▽ 20½, ⛆ 15¾–17
10	16.3	22.2	19.3	19.3	1.0	718.6	719.5	721.3	67	42	50	W 2	W 3	W 1	4	3	5	.	🌧 II
11	15.1	25.8	19.6	20.2	2.0	722.7	721.9	721.8	80	45	69	N 0	SE 1	SE 0	0	0	0	.	
12	17.8	29.3	22.4	23.2	5.1	723.1	722.5	721.9	88	45	66	SE 0	W 2	SW 0	1	2	0	.	
13	19.5	30.4	23.4	24.4	6.3	722.8	721.3	719.7	85	46	64	W 0	SW 1	N 0	3	2	0	.	
14	19.6	26.7	23.5	23.3	5.3	717.8	717.5	716.5	84	53	66	SW 0	SW 1	W 0	1	10	5	.	
15	21.5	28.0	18.2	22.6	4.7	718.1	717.9	719.8	84	46	97	NE 0	S 1	N 0	6	4	10	19.8	●tr 8–9, ● 16¾–24 mU
16	16.1	24.5	15.0	18.5	0.6	720.7	719.6	720.5	95	56	83	W 0	SE 1	SW 2	10	4	5	5.3	● 0–7¾, ⛆ ● 19½–20¾
17	14.6	18.2	15.5	16.1	−1.7	720.2	719.5	719.1	76	63	64	W 0	SW 1	SW 1	9	8	7	0.1	
18	12.6	20.8	16.2	16.5	−1.2	717.4	714.5	712.6	86	58	95	W 0	SE 1	SW 2	9	5	10●	3.1	● 18½–22 mU
19	14.1	19.4	18.0	17.2	−0.5	711.8	710.8	**710.5**	88	68	71	W 3	SW 3	SW 2	10	8	10	0.7	▽ 3¾–4¾, 6½–7, 🌧 n–p
20	15.0	13.2	15.4	14.5	−3.1	711.8	713.8	716.5	85	93	66	W 2	W 2	SW 2	8	10●	10	8.5	● 2½–7¾ mU, ⛆ 13¾–14
21	14.6	15.0	13.5	14.4	−3.1	717.9	720.5	722.5	70	83	67	W 3	W 1	N 2	7	7●	4	4.2	● 8¾–13½, 🌧 |
22	**11.4**	21.2	14.5	15.7	−1.7	724.0	724.7	**725.1**	87	56	67	N 0	SE 1	NE 0	5	6	0	.	
23	13.0	18.4	15.2	15.5	−1.9	723.7	722.8	721.1	67	60	71	NE 2	NE 2	N 0	3	8	8	1.6	
24	13.0	16.0	14.9	14.6	−2.7	720.1	720.7	721.3	98	87	86	NE 0	E 0	E 0	10●	10	10	0.5	● 5–10½
25	14.4	21.9	17.2	17.8	0.6	720.5	719.9	720.2	91	66	73	NE 0	S 1	N 0	10	4	0	.	
26	13.2	23.0	16.6	17.6	0.5	721.5	721.7	721.4	93	54	72	N 0	SE 0	SE 0	2	1	0	.	
27	14.6	25.5	22.2	20.8	3.8	723.2	723.2	722.4	94	61	50	SE 0	S 0	W 1	0	1	0	.	
28	16.6	28.0	20.0	21.5	3.6	723.7	722.9	721.7	86	41	66	W 0	SW 1	SW 0	0	1	2	.	
29	15.7	26.8	20.5	21.0	3.2	721.3	719.9	717.2	84	43	61	SW 0	SE 0	S 0	0	1	5	0.1	
30	18.7	26.0	16.6	20.4	2.7	715.6	714.8	717.0	87	48	96	W 0	SW 1	W 0	7	4	10●	**40.6**	● 5¾–6½, ⛆ 15¾–22 mU
31	16.1	18.8	17.8	17.6	0.0	717.9	719.8	722.5	97	81	78	W 1	SW 2	W 0	10	8	10	2.5	● 2¼–9¾ mU
Mittel	16.1	23.8	18.6	19.5	—	719.8	719.3	719.6	83	55	69				5.1	5.1	5.4	Summe 130.4	

August 1952
Beobachter: *Frl. H. Nager.*

Altdorf

$\lambda = 8° 39'$, $\beta = 46° 53'$,
$H_b = 456.3$ m, $G = -0.05$ mm.

Tag	Lufttemperatur					Luftdruck			Relative Feuchtigkeit			Windrichtung und Stärke						Bewölkung			Niederschlag	Witterung
	7^{30}	13^{30}	21^{30}	Mittel	Abweich. vom Normalst	7^{30}	13^{30}	21^{30}	7^{30}	13^{30}	21^{30}	7^{30}		13^{30}		21^{30}		7^{30}	13^{30}	21^{30}		
1	16.9	24.9	19.2	20.3	2.4	722.3	720.2	721.3	97	64	93	SE	0	NW	1	SE	0	5	6	10	0.1	●tr 19½
2	18.3	24.7	18.8	20.6	2.7	720.8	719.4	720.2	79	44	91	E	0	SE	0	SE	1	9	6	8	4.8	● 19–20
3	17.7	23.3	17.7	19.6	1.7	722.5	721.7	724.8	97	57	100	E	0	NW	0	SE	0	10	7	8	3.4	●tr n–n mU
4	15.9	24.4	18.8	19.7	1.9	725.6	724.7	725.5	100	50	94	E	0	NW	2	SE	0	7	6	5	.	
5	16.5	26.8	21.0	21.4	3.6	725.8	724.1	725.1	96	36	71	E	0	NW	1	E	0	0	2	1	.	
6	20.4	23.5	22.0	22.0	4.2	723.2	724.1	722.5	66	33	54	E	0	SE	2	NE	0	1	9	4	2.6	∴ n (6./7.)
7	17.3	20.1	18.0	18.5	0.8	722.3	722.2	723.5	100	62	80	E	0	NW	2	E	0	10	9	2	0.4	●tr a
8	17.0	23.4	19.9	20.1	2.4	722.5	722.1	723.0	80	49	79	E	0	NW	2	N	0	1	5	5	.	
9	17.3	27.2	16.0	20.2	2.5	720.3	718.8	720.2	94	32	100	E	0	SE	2	NW	0	4	10	10	14.6	● 17–18½, ⊼ 17¾
10	15.4	22.0	17.0	18.1	0.5	722.1	722.8	724.6	100	55	90	E	0	NW	1	N	0	10	6	0	.	
11	15.0	23.3	18.3	18.9	1.3	725.8	725.1	725.3	85	46	90	W	0	NW	0	NW	0	0	0	0	.	
12	17.1	26.8	21.0	21.6	4.1	726.2	724.9	724.9	96	46	76	NW	0	NW	0	NW	0	0	1	0	.	
13	19.3	28.0	21.3	22.9	5.4	726.6	725.4	724.5	90	46	70	E	0	NW	0	E	0	0	1	0	.	
14	21.0	**30.3**	26.3	25.9	8.5	721.5	720.1	719.7	80	28	41	SW	0	SW	0	SE	0	0	5	0	.	
15	21.3	27.0	20.2	22.8	5.4	721.4	722.0	722.7	82	55	90	NE	0	NW	2	NE	0	2	3	10●	**16.7**	⊼ 17–17½, ● 17½–n
16	17.2	21.1	17.3	18.5	1.2	725.3	723.0	722.9	100	66	100	SE	0	NW	1	NW	1	10	10	10●	15.5	∴ 16½–n mU
17	15.2	17.3	13.8	15.4	−1.8	722.5	721.4	722.4	100	72	98	E	0	E	0	NW	0	10	8	10●	4.7	● 20–n
18	11.9	19.9	16.7	16.2	−1.0	719.8	716.0	715.1	100	46	81	E	0	NW	0	NW	0	4	7	10	6.5	● n (18./19.)
19	14.9	17.5	16.0	16.1	−1.0	714.9	**713.0**	713.6	100	85	99	E	0	NW	0	NW	0	10●	10	10	1.7	●tr n–n mU
20	14.9	17.3	14.2	15.5	−1.5	713.9	715.2	719.1	100	73	100	N	0	NW	1	NW	0	10●	10	10●	9.7	● n–n mU
21	12.8	15.4	12.5	13.6	−3.4	720.4	722.5	725.2	100	65	100	E	0	NE	1	NE	0	7	10●	10	4.8	● a–n mU
22	12.0	18.4	13.5	14.6	−2.3	726.2	726.8	**728.3**	100	49	85	E	0	NW	2	E	1	7	7	0	.	
23	**10.8**	17.2	14.2	14.1	−2.7	725.6	725.3	723.7	99	64	100	E	0	NW	0	NW	0	7	8	10	4.0	● n (23./24.)
24	14.2	14.7	12.8	13.9	−2.8	722.2	722.3	724.2	100	100	100	NW	0	NW	0	E	0	10●	10●	10	5.5	● n–p
25	12.3	20.1	14.9	15.8	−0.9	723.1	721.7	723.2	100	62	92	E	0	NW	1	SE	0	6	4	0	.	
26	12.2	24.1	15.9	17.4	0.8	724.0	723.8	724.2	100	54	88	E	0	NW	1	NW	0	0	2	0	.	
27	13.6	24.3	17.7	18.5	2.0	725.3	725.0	725.6	98	53	77	E	0	NW	1	E	1	0	3	0	.	
28	13.9	24.4	17.5	18.6	2.2	725.6	724.7	724.6	100	38	65	E	0	NW	0	E	0	0	0	0	.	
29	15.2	24.3	20.7	20.1	3.8	723.9	722.2	719.9	80	46	45	SE	0	NW	0	NE	0	0	0	0	.	
30	27.7	27.7	20.7	25.4	9.2	715.9	717.4	719.9	**25**	35	57	SE	3	SE	3	W	2	3	7	10	4.5	● 10, n (30./31.), ☔ n–p
31	16.8	20.3	17.1	18.0	1.9	720.6	721.7	725.2	100	62	100	SE	0	NW	0	NW	0	10	7	10	4.8	● 6½–10, 18¾–19¾
																					Summe	
Mittel	16.2	22.6	17.8	18.9	—	722.5	721.9	722.7	92	54	84							4.9	5.7	5.3	104.3	

August 1952
Beobachter: *Observatorium.*

Genève

$\lambda = 6° 9'$, $\beta = 46° 12'$,
$H_b = 405.0$ m, $G = -0.03$ mm.

1	20.0	28.0	24.2	24.1	4.8	726.4	725.2	724.8	62	**39**	47	NE	0	W	1	S	0	4	2	8	.	
2	19.0	30.0	22.4	23.8	4.6	724.7	723.7	726.3	81	41	95	ESE	0	S	1	S	1	5	5	10●	8.7	⊼ 21½
3	19.4	28.0	22.6	23.3	4.1	726.6	726.1	728.3	88	54	41	S	1	S	1	W	0	3	2	1	.	
4	19.0	25.2	22.0	22.1	2.9	729.9	728.7	729.4	84	45	72	NE	0	NNE	1	NNE	0	1	1	0	.	
5	19.2	30.1	23.2	24.2	5.1	730.0	728.7	727.1	79	49	72	SE	0	S	1	NNE	0	0	1	1	.	
6	20.0	**31.6**	21.8	24.5	5.4	726.9	724.3	725.3	81	41	94	SSW	0	S	1	S	1	1	4	10	24.7	⊼ 17, ● 17–n mU
7	17.6	23.0	20.4	20.3	1.3	726.8	725.8	725.4	88	59	79	SSE	1	ENE	1	NNE	0	10	2	10	.	
8	21.6	25.8	19.0	22.1	3.1	725.9	725.7	726.0	62	49	70	SSW	1	SW	1	ESE	0	5	9	9	.	
9	17.2	24.8	17.0	19.7	0.8	724.3	721.5	724.8	69	55	98	ESE	0	S	1	E	0	3	10	1	13.6	⊼ ∴ 15¾–16¾
10	17.6	24.0	19.0	20.2	1.4	726.8	727.3	728.7	74	53	63	SSW	1	SW	1	SW	0	5	2	1	.	
11	16.6	24.8	20.6	20.7	1.9	729.9	727.6	729.2	80	55	80	ENE	0	NNE	1	E	0	1	0	1	.	
12	19.0	30.4	23.0	24.1	5.4	730.3	729.0	729.2	92	44	86	E	0	SSW	0	W	0	2	1	5	.	
13	21.0	26.0	23.5	23.5	4.9	729.1	727.4	726.1	90	66	80	WSW	0	NNE	1	E	0	0	1	1	.	
14	21.8	29.7	25.3	25.6	7.1	724.3	723.9	723.6	82	50	60	E	0	S	1	S	1	5	3	10	.	
15	21.5	27.2	19.5	22.7	4.2	724.8	723.8	726.1	73	61	90	ESE	0	E	0	NNE	1	6	9	10	**28.6**	∴ 13, 17½, ⊼ 19¾
16	19.6	25.5	17.5	20.9	2.5	727.5	726.1	728.9	87	45	68	E	0	SSW	1	S	1	2	5	3	.	
17	14.5	19.4	14.8	16.2	−2.1	727.6	726.3	726.4	81	65	91	E	0	NE	0	E	0	10	8	5	.	
18	12.0	21.5	16.3	16.6	−1.6	723.8	721.3	720.2	87	49	97	SE	0	S	1	S	1	7	9	10	21.3	● n (18./19.)
19	13.8	22.4	18.5	18.2	0.1	718.6	**717.6**	718.5	96	59	79	SE	0	S	2	S	1	8	5	10	1.0	● n (19./20.)
20	18.0	18.6	14.5	17.0	−1.0	719.7	721.4	724.6	77	88	95	S	2	S	1	S	1	5	6	10	4.9	∴ 13¾–p mU
21	15.4	16.5	13.5	15.1	−2.9	726.0	727.5	729.9	93	75	90	S	0	NE	1	E	0	2	2	1	.	
22	**10.2**	19.2	15.8	15.1	−2.8	731.3	731.4	**731.6**	97	56	73	E	0	NE	1	E	0	1	1	0	.	
23	13.2	16.6	15.4	15.1	−2.7	730.2	729.5	727.6	90	77	96	E	0	N	0	E	0	8	10	9	3.7	● p mU
24	15.8	16.0	15.7	15.8	−1.9	727.0	727.4	727.7	93	79	96	E	0	NE	0	ESE	0	10	9	5	0.2	●tr 13½, ● n (24./25.)
25	12.0	21.0	17.2	16.7	−0.9	727.5	726.8	727.1	95	62	80	E	0	NNE	1	E	0	1	1	3	.	
26	15.0	21.4	18.0	18.1	0.6	728.7	728.3	728.6	87	67	90	E	0	NNE	1	E	0	1	1	0	.	
27	16.0	26.3	21.0	21.1	3.7	730.6	730.1	730.3	94	61	75	E	0	S	1	E	0	0	1	0	.	
28	17.6	22.7	20.0	20.1	2.8	730.9	729.0	728.8	80	72	92	ESE	0	E	1	E	0	0	0	0	.	
29	17.4	22.6	21.8	20.6	3.4	728.4	726.2	723.1	90	71	82	ESE	0	NNE	1	E	0	2	1	2	.	
30	19.4	27.0	17.9	21.4	4.3	722.8	720.5	723.8	94	58	96	ESE	0	ESE	1	S	1	9	9	10●	18.6	●tr 7, ⊼ 17¼, ● 17¾–n
31	17.4	21.4	18.0	18.9	1.9	726.5	727.3	730.0	98	82	92	S	2	S	1	SE	1	10	8	9	0.1	● n (31./1.)
																					Summe	
Mittel	17.4	24.1	19.3	20.3	—	726.9	726.0	726.7	85	59	81							4.1	4.1	5.0	125.4	

$\lambda = 8°\ 34'$, $\beta = 47°\ 23'$,
$H_b = 569.4$ m, $G = 0.03$ mm

Zürich

August 1952
Beobachter: *Meteorol. Zentralanstalt.*

Tag	Lufttemperatur					Luftdruck			Relative Feuchtigkeit			Windrichtung und Stärke			Bewölkung			Niederschlag	Witterung
	7^{30}	13^{30}	21^{30}	Mittel	Abweich. vom Normalst.	7^{30}	13^{30}	21^{30}	7^{30}	13^{30}	21^{30}	7^{30}	13^{30}	21^{30}	7^{30}	13^{30}	21^{30}		
1	17.1	27.0	21.3	21.8	4.4	712.5	711.1	710.4	67	36	58	ENE 0	S 1	S 1	1	1	9	.	⛰ |
2	18.2	27.5	18.6	21.4	4.0	710.8	709.6	709.8	73	36	63	S 1	SSW 1	S 1	2	3	9	1.9	⛆ ● 18¾, ⛰ |
3	18.2	25.4	16.7	20.1	2.7	712.7	712.5	715.0	76	48	95	SSW 1	WNW 2	SE 1	7	4	8	6.6	● 3, 19½-20, ⛆ 19-19½,
4	17.6	23.7	19.1	20.1	2.8	715.9	715.3	715.4	79	41	55	S 1	W 1	ESE 1	3	1	1	.	⛰ | [🌧 19½
5	17.6	28.5	21.4	22.5	5.2	715.8	714.5	713.7	77	31	51	S 0	SW 1	SSE 1	1	1	1	.	⛰ |
6	19.2	30.6	18.7	22.8	5.6	712.7	711.0	711.6	76	**30**	75	S 1	SW 2	W 1	2	7	9	2.2	⛰ |
7	15.0	19.1	17.3	17.1	−0.1	711.2	711.7	711.1	95	65	75	W 1	W 1	S 1	10●	9	10	9.3	● 4-4¾, 7-11½
8	16.9	23.3	18.8	19.7	2.6	711.8	711.6	712.2	82	50	56	SSW 1	W 1	NNW 1	8	8	3	.	● 4-4½
9	15.6	25.0	15.3	18.6	1.5	710.4	707.6	709.5	80	44	92	W 1	S 1	S 1	6	10	10	13.1	● 17¾-20¼, 23¾-24½, 🌧 15¾
10	15.2	21.1	16.2	17.5	0.5	711.4	712.2	714.0	94	51	65	S 1	SSW 2	S 1	9	8	1	0.1	
11	16.0	26.4	20.1	20.8	3.9	715.2	714.7	714.5	66	38	61	SW 1	WSW 1	S 1	1	0	0	.	
12	18.3	29.2	22.4	23.3	6.4	715.7	715.2	714.7	82	40	60	SSE 1	SSW 2	S 1	1	1	0	.	⛰ |
13	20.1	30.2	21.9	24.1	7.3	715.5	714.3	713.1	75	40	56	SSW 1	SSW 1	NE 1	2	2	0	.	⛰ |
14	19.4	**31.7**	23.3	25.0	8.3	710.9	709.8	709.5	74	37	53	SW 1	SSE 1	S 1	2	4	1	0.1	⛰ |
15	21.2	27.6	16.7	21.8	5.2	710.2	711.1	711.8	78	41	93	NNW 1	WSW 1	NE 1	3	2	10●	**23.1**	● 0½-0¾, 16-16¼, 20¼-24, *)
16	16.8	19.5	15.0	17.1	0.6	713.7	713.0	713.1	89	64	87	SE 1	NW 1	SW 1	10●	10	10●	12.3	● 0¾-7, 19¾-20¼, 21¼-24, *)
17	13.1	19.4	12.2	14.9	−1.5	713.1	711.6	711.8	71	47	93	SSW 1	SSW 1	W 1	9	7	1	6.2	● 14¾, 17¾-18
18	13.9	21.2	16.3	17.1	0.8	709.9	707.3	705.5	79	39	70	S 1	S 1	W 1	2	3	10	3.0	● 22-22½
19	14.1	16.7	15.8	15.5	−0.7	704.6	704.1	**703.4**	87	70	83	SSW 2	SSE 1	S 1	9●	9	10	1.2	● 5½-7¾, 8½-10
20	15.0	18.1	15.1	16.1	0.0	704.5	705.6	707.8	81	62	63	W 1	S 2	SW 2	10●	9	10	4.2	● 14¼-14¾, 18½-18¾
21	14.4	16.1	11.4	14.0	−2.0	710.6	712.4	715.1	70	64	98	SSW 2	W 2	S 1	8	8	10●	8.3	● 21-22¼
22	10.9	18.6	12.8	14.1	−1.9	716.7	717.5	**718.5**	92	49	66	E 1	WSW 1	NE 1	10≡	5	1	0.1	● 3½-6, ≡ n-8
23	**10.3**	19.3	15.1	14.9	−1.0	717.1	715.6	713.8	84	47	66	ENE 1	NE 1	NE 1	6	7	10	3.9	⛰ |
24	12.1	17.2	13.2	14.2	−1.6	712.7	712.8	713.8	88	60	95	N 1	ENE 1	S 1	10●	10	10●	2.8	● 4-8½, 18½-23¾
25	13.8	20.1	14.9	16.3	0.6	713.3	712.7	713.1	89	54	85	SW 0	NNE 1	NNE 1	10	2	0	0.0	≡ n-10
26	12.8	23.7	16.4	17.6	2.0	714.3	714.4	714.3	97	39	71	SSE 1	NNW 1	ESE 0	10≡	1	0	.	
27	15.7	25.4	19.0	20.0	4.5	715.5	715.7	715.1	80	43	74	SSW 0	SW 1	N 1	1	5	0	.	⛰ |
28	17.0	27.9	19.1	21.3	5.9	716.1	715.3	714.6	75	31	52	WSW 1	SW 2	N 1	0	1	1	.	⛰ |
29	16.9	29.3	21.1	22.4	7.0	714.1	712.8	710.2	75	33	52	SW 1	S 1	SSE 1	4	2	9	.	⛰ |
30	18.5	25.2	15.8	19.8	4.5	709.1	707.9	710.4	70	52	96	WSW 2	S 1	SW 1	5	6	10●	11.5	● 21-21. ⛆ 21, 🌧 18¼-23 mU
31	15.3	19.6	16.8	17.2	2.0	710.6	712.0	714.8	92	65	92	S 1	SSW 1	WSW 1	10●	9	10	2.8	● 0-1¼, 6½-8¾, 14¼, 17½-18¾
Mittel	15.9	23.7	17.4	19.0	—	712.5	712.0	712.3	80	47	73				5.5	5.0	5.6	Summe 112.7	

*) **15.** ⛆ 1, 20-21¾ **16.** ⛆ 9¾, ⛆ 1, 21-21½, 🌧 21¼

$\lambda = 6°\ 32'$, $\beta = 46°\ 51'$
$H_b = 1589$ m, $G = -0{,}13$ mm

Chasseron

August 1952
Beobachter: *Ch. H. Martin*

1	14.2	16.2	14.0	14.8	—	632.0	631.5	631.0	53	50	47	SW 1	W 1	NW 2	4	5	6	.	
2	13.0	16.0	14.0	14.3	—	630.5	630.4	630.2	60	60	60	S 2	W 2	W 2	8	5	9	3.3	▽ 11-12
3	9.2	13.8	10.4	11.1	—	631.5	632.6	633.5	100	76	80	W 2	NW 2	NW 2	10≡	8	4	.	≡ 6-9
4	11.0	16.2	14.0	13.7	—	634.3	634.8	635.3	60	55	48	ENE 1	SW 1	N 2	6	4	2	.	
5	15.0	19.2	17.2	17.1	—	635.3	635.4	634.7	50	45	41	W 2	SE 3	NW 1	2	3	5	.	🌧 II
6	17.0	20.0	11.0	16.0	—	633.3	632.3	631.4	45	40	90	SW 2	W 3	NW 3	6	6	10●	18.4	▽ 16-16¾, 20-n, ⛆ 18-19, 🌧 a-n
7	8.0	10.4	11.0	9.8	—	630.1	630.5	630.8	100	100	80	NW 2	W 2	W 2	10●≡	8	10	0.8	▽ n-6, ☾ 6-8, ≡ n-11
8	9.0	12.4	10.0	10.5	—	631.0	631.5	631.7	100	70	81	NW 3	W 2	NW 2	10≡	7	8	.	≡ 5-9, 🌧 I
9	12.4	15.8	10.0	12.7	—	629.4	628.2	628.9	65	62	100	S 4	SSE 3	S 3	6	8	10≡	14.3	▽ 15-21, ⛆ 15-16, ≡ 15-n,
10	6.8	10.2	9.6	8.9	—	629.9	631.3	632.7	100	70	70	W 2	W 3	W 3	10≡	6	5	.	≡ 5-11, 🌧 a-n [🌧 n-n, 🌧 I
11	10.8	18.4	16.6	15.3	—	633.2	634.7	635.0	68	55	60	W 2	W 1	W 1	2	2	4	.	
12	16.8	18.6	18.2	17.9	—	635.7	**636.5**	636.0	60	65	55	SW 2	S 1	SW 2	3	5	5	0.0	▽ 13½-13¾
13	18.4	20.0	19.0	19.1	—	635.9	635.7	634.1	55	60	55	SW 2	SSE 1	E 2	3	5	3	0.0	▽ 17½
14	18.2	19.4	19.2	18.9	—	631.7	631.9	630.9	60	60	50	S 3	W 3	S 3	5	9	8	.	🌧 n-n
15	13.2	17.4	13.2	14.6	—	631.4	632.0	632.2	66	66	90	W 4	SSE 1	NW 2	9	6	10	**26.1**	▽ 6¼-6½, 8-10 mU, *)
16	9.0	11.2	6.2	8.8	—	632.1	632.0	631.0	100	90	100	W 2	W 1	WNW 4	10≡	8	10≡	17.9	⛆ ▲ 19¾-19¾, ☾ n (16./17.),*)
17	5.2	7.8	6.0	6.3	—	630.6	630.7	629.9	100	80	90	WNW 3	NW 2	NW 3	10≡	8	6	0.7	● 10-12 mU, ≡ n-12, 🌧 n-n mU
18	5.8	9.6	10.0	8.5	—	628.2	626.4	625.1	80	80	100	S 2	S 2	S 4	9	8	10●≡	6.2	● 18-n mU, ≡ 19-n, 🌧 III
19	6.2	8.8	9.2	8.1	—	623.5	623.2	**622.9**	100	80	80	SW 2	S 3	S 3	10●≡	8	9	3.6	☾ n-7, ● 7-8, ≡ n-12, 🌧 a-n
20	6.4	5.2	5.4	5.7	—	623.3	625.0	626.7	100	100	100	NW 3	NW 4	W 4	10●≡	10≡	10≡	3.5	● 1-9, ☾ 9-11 ≡ 🌧 n-n, 🌧 a-n
21	4.5	5.0	4.0	4.5	—	628.5	630.7	632.3	100	100	95	W 3	NW 3	NW 2	10≡	10●	8	8.8	● 9-14, 18-18½, ≡ n-15,
22	6.8	9.6	6.0	7.5	—	633.4	635.2	635.3	80	80	96	E 1	E 1	NE 2	1	6	4	.	[🌧 n-p
23	6.2	9.0	7.8	7.7	—	633.5	633.7	632.5	80	65	73	E 3	E 2	NE 2	7	9	9	0.5	● 18¼-18½, 🌧 I
24	6.0	6.2	7.4	6.5	—	630.5	631.2	632.0	97	100	90	NE 2	NE 1	NE 2	10●	10●≡	9	2.2	● 5-15½, ≡ 6-7, 13-15 mU
25	8.2	11.6	10.2	10.0	—	631.3	631.8	632.1	90	85	87	E 2	NE 1	NE 1	4	8	4	.	
26	12.0	15.0	13.8	13.6	—	632.7	633.9	633.9	70	68	50	NNE 1	SE 1	SSW 1	4	5	1	.	
27	12.0	17.8	13.8	14.5	—	634.9	636.1	635.8	91	50	73	W 2	WNW 2	WNW 2	2	5	4	.	
28	14.2	20.0	16.0	16.7	—	635.9	636.4	635.5	61	45	47	SSW 2	NNW 2	W 1	1	2	4	.	
29	18.0	20.2	**20.8**	19.7	—	634.3	633.6	632.0	40	**35**	36	SE 2	SE 1	W 3	4	4	7	0.0	🌧 III
30	14.0	17.2	10.0	13.7	—	629.4	629.1	628.8	72	65	100	W 3	SE 1	WSW 5	9	8	10●≡	4.9	● 6¼, ▽ 16¼-n mU, *)
31	9.0	10.6	9.4	9.5	—	629.5	631.4	633.7	100	100	100	W 3	NW 2	NW 2	10●≡	10≡	10≡	8.2	● 7-12 mU, ≡ n-n, 🌧 I
Mittel	10.9	13.8	11.7	12.1	—	631.5	631.9	631.9	78	70	75				6.6	6.7	6.9	Summe 119.4	

*) **15.** 16-16½, 20½-n, ⛆ 16¼-16½, 20¼-20½, 🌧 I **16.** ≡ 4-10, 19½-n, 🌧 III **30.** ⛆ 18½-18¾, ≡ 16-n, 🌧 I, 🌧 III

August 1952
Beobachter: *B. Minsch und C. Clavuot*

Bever

$\lambda = 9° 53'$, $\beta = 46° 33'$,
$H_b = 1711.8$ m, $G = -0.23$ mm

Tag	Lufttemperatur					Luftdruck			Relative Feuchtigkeit			Windrichtung und Stärke			Bewölkung			Niederschlag	Witterung
	7^{30}	13^{30}	21^{30}	Mittel	Abweich. vom Normalst	7^{30}	13^{30}	21^{30}	7^{30}	13^{30}	21^{30}	7^{30}	13^{30}	21^{30}	7^{30}	13^{30}	21^{30}		
1	10.4	16.6	9.0	12.0	0.4	624.3	622.8	623.2	94	54	90	S 0	SW 2	S 0	3	9	10	.	
2	15.0	17.2	9.4	13.9	2.4	622.7	622.3	623 4	68	48	82	S 1	S 0	S 0	10	10	8	.	
3	15.0	17.4	11.4	14.6	3.1	623.6	622.9	625.3	40	37	84	S 1	SW 1	W 0	7	6	5	.	
4	10.8	24.2	9.2	14.7	3.3	626.1	624.0	627.5	86	31	85	SE 0	SW 0	NE 0	9	1	0	.	
5	8.0	22.0	10.2	13.4	2.0	627.5	625.7	627.4	98	36	90	S 0	S 2	SW 0	9	5	0	.	
6	8.9	21.3	11 0	13.1	1.7	626.8	624.1	623.4	98	38	77	S 0	SW 2	W 0	0	5	8	.	
7	10.0	20.9	12.8	14.6	3.3	621.4	620.5	623.7	93	39	72	SE 1	SW 1	N 1	9●	8	9	1.2	● n-9 mU
8	8.2	20.0	9.0	12.4	1.1	624.5	621.7	623.8	95	32	96	S 0	S 1	S 0	2	4	0	.	
9	8.0	19.2	9.2	12.1	0.9	622.5	621.8	621.9	97	39	98	SW 0	SW 1	NE 0	4	8	10●	19.8	● 20-n
10	7.3	20.4	10 2	12.6	1.4	621.1	621.1	624.1	99	36	75	N 0	SW 2	SW 0	10≡	1	0	0.8	● a mU, ≡ n-8
11	7.8	21.4	8.8	12.7	1.6	626.6	625 9	628.4	99	44	96	SW 0	S 2	SW 0	10	0	0	.	
12	8.8	23.6	14.4	15.6	4.5	**629 3**	626.6	628.2	99	39	86	SW 0	S 2	W 0	0	3	10●	4.2	● 20½-n
13	9.4	**31.4**	14.2	18.3	7.3	628.2	625.8	626.9	98	27	77	SW 0	S 1	**W** 0	0	4	0	.	
14	10.3	24.3	16.2	16.9	6.0	625 7	624.4	624.9	97	33	70	S 0	SW 2	W 0	0	2	0	.	
15	10.2	24.6	11.2	15.3	4.4	624.1	624.6	624.6	98	37	96	SW 0	S 0	W 1	0	1	5	3.1	● n (15./16.)
16	14.8	18.4	11.6	14.9	4.1	623.0	623.0	623.1	86	38	93	N 0	W 1	E 1	1	3	10●	18.3	● n-8, 17-n, ⚿ < 17-n mU
17	10.8	11.5	10.1	10.8	0.1	621.0	620.2	619.1	79	63	89	NE 1	NW 2	NE 2	9	10	10	.	
18	8.4	21.7	10.1	13.7	3.0	619.1	617.5	618.4	70	29	80	S 0	SW 2	W 2	3	5	1	3.4	● n (18./19.)
19	10 0	11.0	9.4	10.1	−0.5	615.7	**615.3**	615.7	84	51	98	NE 1	**SW** 0	SE 1	10●	10●	10●	20.8	● n-n mU
20	6.4	10.4	3.0	6 6	−3 9	615.7	617.2	619.2	93	34	98	NW 1	SW 2	N 0	10●	10●	0	**21.2**	● n-16½
21	7.8	15.1	6.0	9.6	−0.8	619.9	620.5	623.1	99	38	93	**SW** 0	SW 2	E 0	10≡	10●	10●	5.6	● 13-n mU, ≡ n-8¼
22	3.8	14.0	6.4	8.1	−2.3	624.4	624.7	627.0	100	38	73	SW 0	NW 1	W 0	10≡	2	2	.	≡ n-8
23	4.0	14.4	8.8	9.1	−1.2	626.8	625.5	623.2	96	46	89	S 0	S 1	SW 0	9	10	10●	8.2	● 21-n
24	9.0	11.4	8.4	9.6	−0.6	621.4	621.1	622.0	95	85	99	NE 0	S 0	E 0	10	10●	10●	10.6	● n-6¼, 11¼-n mU
25	7.6	12.5	5.2	8.4	−1.7	622.1	621.7	623.8	84	53	92	N 1	NW 2	SW 0	10	10	0	.	
26	**1.2**	18.6	7.2	9.0	−1.0	624.9	623.9	626.4	99	30	91	S 0	W 0	W 0	10≡	0	0	.	≡ n-7¾
27	7.4	20.1	9.4	12.3	2.4	626 9	626.9	627.0	98	29	74	S 0	W 1	SW 0	0	1	0	.	
28	4.0	20.6	8.0	10.9	1.1	627.7	626.3	627.0	98	24	74	S 0	SW 1	S 0	0	0	0	.	
29	4.8	24.1	8.2	12.4	2.7	626.8	624.5	624.8	95	**22**	82	**S** 0	S 0	**S** 1	0	0	0	.	
30	7.8	15.8	10.6	11.4	1.8	624.5	623.8	621.7	96	69	98	S 0	SE 0	SE 0	1	9●	10	19.1	● 11½-13¾, n (30./31.)
31	8.2	16.2	9.4	11.3	1.8	621.5	622.4	623.6	93	63	98	W 1	SE 1	W 0	10	9	10	14.2	● n-n mU
																		Summe	
Mittel	8.5	18.7	9.6	12 3	—	623.7	622.9	623 9	91	42	87				5.7	5.2	4.8	150.5	

August 1952
Beobachter: *Couvent des Capucins.*

Sion

$\lambda = 7° 21'$, $\beta = 46° 14'$,
$H_b = 548.6$ m, $G = -0.11$ mm.

1	19.0	26 9	22.3	22.7	3.4	715.2	712.3	713.9	63	43	65	NE 0	W 2	WSW 0	3	2	9	.	
2	18.0	27.2	19.5	21.6	2.4	713.6	711.4	714.1	70	45	73	NNE 0	**SW** 1	WSW 0	4	4	10	2.2	● 20½-21, ☂ p
3	17.0	26.6	20.4	21.3	2.1	715.1	713.7	715.4	96	47	57	NE 1	W 1	W 0	4	4	4	.	● 0-0½, 3½, 5¾-6
4	18.5	26.1	20.5	21.7	2 6	717.9	715.9	716.5	66	47	55	NE 0	SW 2	WNW 1	3	2	2	.	
5	18.8	28.2	22.3	23.1	4.0	718.6	715.8	715.6	67	**40**	42	NNE 1	SW 2	NE 1	0	2	0	.	
6	19.1	28.9	19.2	22.4	3.4	715.8	712.6	714.6	65	42	92	NE 1	**SW** 2	SW 1	1	7	10●	18.4	● 15½, 17-18, 19-24
7	17.0	21.3	17 7	18.7	−0.3	714.5	714.0	713.5	78	58	77	WSW 0	WNW 0	WSW 1	10	9	8	.	● 0-1, 3-7¾
8	18.0	23.3	20.0	20.4	1.5	714.5	712.9	713.7	76	55	59	SW 0	WSW 2	W 1	1	8	2	.	
9	16.4	26.8	15.8	19.7	0.9	714.0	710.1	713.3	82	43	100	NE 1	ENE 0	W 1	1	7	5	12.2	● 16¾-19¾
10	14.8	22.6	16.6	18.0	−0.8	713.9	713.4	716.1	100	53	60	W 1	WSW 2	**WNW** 1	10	1	0	.	● 2-3
11	15.8	26.0	20.5	20.8	2.1	718.1	715.8	716.9	68	45	60	NE 1	WNW 1	NNW 2	0	0	0	.	
12	18.6	28.2	22.4	23.1	4.5	718.7	716.6	717.2	74	45	62	NNE 1	WSW 2	NE 2	0	4	0	.	
13	19.8	**29.4**	23.7	24.3	5.7	718.5	715.7	714.6	75	44	51	NE 0	SW 0	NE 2	1	4	0	.	
14	20.2	27.0	24.0	23.7	5.2	714.5	712.8	712.5	70	54	63	ENE 2	SW 1	SSE 2	0	7	2	.	
15	21.6	28.4	20.7	23 6	5.2	713.0	712.2	714.8	64	47	84	NE 0	SW 2	WSW 0	8	6	7	4.2	☆ 19¾, 23, ⚿ 19-19½
16	19.6	25.0	19.2	21.3	3.0	715.5	713.4	714 3	82	59	64	**W** 1	WSW 2	SSW 3	8	2	10	1.2	● 0-1¼, 4¾, 18, 21½-21¾,
17	17.0	21.2	15.9	18.0	−0.3	714.8	713.0	713.8	67	46	59	ENE 0	SW 3	W 3	10	7	8	.	[22¾-23
18	13.6	21.8	17.0	17.5	−0.7	713.2	709.8	709.4	69	41	89	WSW 0	SSE 0	SSE 0	8	2	10●	**18.8**	● 19¾-24
19	16.8	15.9	14.6	15.8	−2.3	709.2	708.9	**707.8**	84	89	99	W 0	W 0	E 1	10●	10●	9	9.5	● 0-2, 2¾-12¾, 19¾-21¼
20	15.0	18.6	14.2	15.9	−2.1	708.0	708.5	711.8	83	60	76	ENE 0	WNW 1	W 0	9	9	7	.	● 6¼-6¾
21	13.6	18.0	14.8	15.5	−2.5	713.6	714.0	716.7	92	58	65	WSW 0	SW 3	W 1	10	9	2	.	
22	13.2	20.0	14.5	15.9	−2.0	718.6	717.8	**719.0**	70	50	66	NE 1	WSW 2	W 2	7	1	0	.	
23	**12.8**	19.6	14.5	15.6	−2.2	718.7	716.9	716.2	75	64	96	ENE 0	ENE 0	WNW 1	9	8	10	4.3	
24	15.4	16.6	13.8	15.3	−2.4	714.1	714.3	715.6	93	85	100	W 0	W 1	W 0	10	10●	10●	5.7	● 1-3¾, 8¾-21¾
25	13.6	21.3	16.3	17.1	−0.5	715.3	714.2	714.8	98	47	75	W 0	W 1	N 2	10≡	2	0	.	≡ n-a
26	15.0	22.8	17.9	18.6	1.0	716.7	715.6	716.2	83	53	68	NNE 0	W 2	ENE 1	0	1	0	.	
27	15.2	24.4	19.5	19.7	2.2	718.8	717.5	717.4	82	52	58	ENE 1	WSW 1	WSW 1	0	0	0	.	
28	14.9	25.2	19.8	20.0	2.6	719.7	717.5	716.7	74	47	46	ENE 0	ENE 1	ENE 2	0	1	2	.	
29	15.2	26.7	20.4	20.8	3.5	717.6	714.5	713.4	61	42	59	NE 1	NE 1	NE 1	0	0	7	0.2	● 21¾
30	19 6	26.4	17.4	21.1	3.9	711.7	710.2	713.0	64	44	97	NE 1	ENE 3	W 1	6	5	10●	18.5	● 21½-24¾
31	15.1	21.0	18.7	18.3	1.2	714.2	714.4	717.0	99	54	79	W 0	WNW 0	WSW 0	9	10	9	.	● 4½-6¼
																		Summe	
Mittel	16.7	23.9	18.5	19.7	—	715.3	713.7	714.7	77	52	71				4.9	4 6	4.9	95.2	

$\lambda = 8°\,57'$, $\beta = 46°\,0'$,
$H_b = 276.2$ m, $G = -0.01$ mm.

Lugano

August 1952
Beobachter: *G. Vicari.*

Tag	Lufttemperatur					Luftdruck			Relative Feuchtigkeit			Windrichtung und Stärke			Bewölkung			Niederschlag	Witterung
	7^{30}	13^{30}	21^{30}	Mittel	Abweich. vom Normalst	7^{30}	13^{30}	21^{30}	7^{30}	13^{30}	21^{30}	7^{30}	13^{30}	21^{30}	7^{30}	13^{30}	21^{30}		
1	19.2	25.8	21.0	22.0	0.6	738.4	737.3	736.3	77	65	74	NNE 1	S 1	N 1	10	4	3	1.2	▽ 7½-8
2	18.6	25.8	21.4	21.9	0.5	736.1	735.5	735.7	79	54	74	NW 1	SSE 1	N 1	10	4	1	3.2	▽ 7½-8
3	19.2	28.2	22.8	23.4	2.1	736.6	736.0	737.4	83	59	73	NE 1	SSE 1	N 1	3	4	0	.	
4	19.2	28.4	22.8	23.5	2.2	739.2	739.0	739.5	78	53	69	N 1	E 1	N 1	8	4	0	.	
5	20.0	28.2	22.8	23.7	2.5	741.1	740.3	739.4	86	60	68	N 1	E 1	N 1	4	5	0	.	
6	19.2	28.4	21.2	22.9	1.7	739.7	737.9	735.9	84	56	87	N 1	S 1	NNW 1	0	8	10	14.2	● 13¾-15¾, n (6./7.), ⚿ 14½
7	18.2	23.0	20.4	20.5	−0.6	735.1	735.3	734.9	95	62	77	N 1	N 1	N 1	10	8	9	0.3	▽ 7¾
8	16.6	27.0	21.8	21.8	0.8	735.6	735.2	736.0	84	54	77	N 1	S 1	N 1	1	3	0	.	
9	19.4	24.8	19.2	21.1	0.1	736.9	735.8	734.3	84	67	98	N 1	W 1	NNE 1	8	9	10●	46.0	● 14½-21½, ⚿ 14¾, 19
10	15.6	26.0	21.0	20.9	0.0	734.3	734.5	736.3	92	58	77	N 1	S 1	N 1	0	3	0	.	
11	17.0	27.8	22.4	22.4	1.6	739.4	740.7	741.2	83	57	76	N 1	S 1	N 1	0	0	0	.	
12	18.4	28.6	23.4	23.5	2.7	741.9	740.7	740.1	85	56	72	N 1	S 1	N 1	0	1	0	.	
13	19.8	29.8	24.6	24.7	4.0	740.1	738.9	738.5	87	60	78	N 1	S 1	N 1	0	0	0	.	
14	20.4	**31.0**	24.4	25.3	4.7	737.9	736.6	736.7	83	61	78	N 1	S 1	N 1	5	2	4	.	
15	22.0	29.8	24.2	25.3	4.8	736.7	736.4	736.3	84	57	76	N 1	S 1	N 1	4	4	5	.	
16	22.2	29.0	18.0	23.1	2.6	736.0	735.2	735.8	83	62	98	N 1	S 1	N 1	8	8	10●	12.6	▽ 15, ● 19½-22½, ⚿ 20
17	16.2	25.8	22.0	21.0	0.6	733.8	732.1	732.1	84	48	**96**	NNE 1	SSE 1	NNE 2	5	8	1	.	
18	15.8	25.6	20.0	20.5	0.2	732.7	732.3	732.5	56	51	64	SSE 1	S 1	N 1	0	1	4	7.4	● n (18./19.)
19	15.6	16.2	16.8	16.2	−4.0	731.4	730.6	730.1	97	93	94	N 1	W 1	NW 1	10●	10●	10●	12.1	● n-14½, 21-n
20	16.6	22.2	15.6	18.1	−2.0	729.1	**728.9**	732.0	98	61	82	N 1	SE 1	N 1	9	7	1	22.2	● 14½-15½, ⚿ 14½
21	13.2	22.6	14.2	16.7	−3.4	734.2	734.5	737.3	82	57	82	N 1	S 1	N 1	8	6	1	1.1	▽ 15, ⚿ 15-16
22	**11.4**	24.0	17.4	17.6	−2.4	739.2	739.7	740.2	79	48	60	NNE 1	S 1	NNW 1	0	0	0	0.5	● n (22./23.)
23	14.6	21.2	18.4	18.1	−1.8	742.1	**742.4**	740.4	72	65	90	NNE 1	S 1	N 1	10	10	10	7.9	●tr 18, ● n (23./24.)
24	15.4	16.0	15.6	15.7	−4.1	737.4	737.3	736.5	98	95	97	SSW 1	W 1	N 1	10●	10	9	9.2	● n-7½, ● 7½-12½, 14½-19
25	14.2	23.8	17.8	18.6	−1.1	736.5	736.0	737.6	95	63	82	N 1	ESE 1	N 1	5	1	0	.	
26	16.0	25.0	19.4	20.1	0.5	739.4	739.5	740.5	87	58	88	N 1	S 1	NNW 1	1	1	0	.	
27	18.2	26.2	20.2	21.5	2.0	741.5	740.8	740.0	88	64	77	N 1	S 1	N 1	8	0	0	.	
28	16.8	27.8	20.8	21.8	2.4	740.4	739.2	738.8	84	56	74	N 1	S 1	N 1	0	0	0	.	
29	16.0	28.2	20.4	21.5	2.2	739.1	737.8	737.4	73	49	65	N 1	E 1	N 1	0	0	0	.	
30	17.8	24.2	18.2	20.1	0.9	736.6	736.7	735.4	75	67	95	N 1	S 1	NW 1	8	9	9	78.7	▽ 10-11, ● p, n (30./31.), ⚿ 21-1
31	17.2	23.2	18.4	19.6	0.5	734.5	734.6	736.8	98	58	75	NNE 1	N 1	N 1	9	0	0	.	
																		Summe	
Mittel	17.4	25.6	20.2	21.1	--	737.2	736.7	736.8	84	60	78				5.0	4.2	3.1	216.6	

$\lambda = 7°\,35'$, $\beta = 47°\,33'$,
$H_b = 317.3$ m, $G = 0.11$ mm.

Basel

August 1952
Beobachter: *Astronom.-Meteorol. Anstalt.*

1	16.4	29.6	20.3	22.1	4.0	734.2	732.0	731.9	68	**25**	60	E 1	W 1	SW 1	0	4	3	0.0	⛆ 18½
2	19.8	29.4	21.6	23.6	5.6	731.8	730.9	731.1	54	31	70	SE 1	NW 1	E 0	7	8	10	0.2	● 18¾, 23¾, ⛆ 13¾
3	19.8	24.9	18.4	21.0	3.0	733.7	734.1	735.9	74	49	64	SE 0	W 1	SW 0	2	8	8	.	
4	17.5	27.8	19.6	21.6	3.7	737.5	736.7	736.5	70	28	55	E 0	W 1	SSE 1	4	2	0	.	
5	19.0	31.7	21.5	24.1	6.3	737.4	735.3	734.3	56	**25**	52	ESE 1	NW 1	SW 1	1	4	0	.	
6	19.8	**34.5**	18.1	24.1	6.3	733.9	731.8	732.8	54	26	95	E 1	N 1	S 1	7	8	10●	19.3	● 14½-24 mU, ⚿ 19¼-19¾
7	17.0	20.4	19.2	18.9	1.2	732.4	733.2	732.5	90	69	73	W 0	NW 1	SE 1	10●	10	10	.	● 0-7¾
8	18.1	22.4	17.3	19.3	1.7	733.4	733.4	733.6	80	56	52	SE 0	NW 1	SW 1	7	8	2	.	⛆ 13¾-14¾
9	17.1	29.7	16.8	21.2	3.6	731.4	727.4	730.8	63	32	89	SE 1	SSW 3	SE 1	6	10	8	7.2	● 15¾-20¾
10	16.5	21.8	17.5	18.6	1.1	733.0	733.7	735.1	77	44	57	SW 1	WNW 1	S 1	9	5	3	.	
11	17.3	29.7	21.6	22.9	5.5	736.4	735.7	735.5	65	39	66	ESE 1	WNW 1	SE 1	3	1	1	.	
12	20.3	33.0	23.2	25.5	8.2	736.6	735.7	735.5	68	34	69	SE 1	WNW 1	SW 1	1	1	0	.	
13	20.5	34.4	21.6	25.6	8.3	736.1	734.6	734.0	73	35	65	SSE 1	NW 1	W 1	8	1	0	0.0	⛆ 15¾,
14	22.2	30.1	22.3	24.9	7.7	731.6	731.2	729.9	66	47	82	SE 1	WNW 1	W 0	2	9	4	.	
15	22.2	26.0	18.2	22.1	5.0	732.0	733.2	734.1	76	65	89	SW 0	NW 1	SE 1	7	8	10●	14.4	● 9-10, 17¾-24, ⚿ 19¾
16	17.1	23.6	17.4	19.4	2.4	735.2	734.4	734.5	93	53	68	SE 1	NW 1	W 1	10●	8	10	0.0	● 0-8
17	15.0	22.2	15.3	17.5	0.5	734.7	733.3	733.5	75	43	69	SE 1	W 1	W 1	10	5	5	.	⛆ 17
18	15.3	23.6	17.0	18.6	1.7	732.0	728.4	726.4	77	43	89	ESE 1	SE 1	SE 1	5	8	10	1.2	● 21¾-22¾
19	15.2	22.2	18.2	18.5	1.7	725.9	725.4	**724.7**	86	52	68	WNW 0	ESE 1	SE 0	10	9	6	0.0	
20	16.2	17.6	15.1	16.3	−0.4	726.3	727.3	730.2	75	76	71	W 1	W 1	W 0	5	8	9	3.2	● 13¾-14¾, ⚿ 14-14½, ⛆ 13¾
21	13.9	16.8	13.2	14.6	−2.0	732.4	734.6	737.4	80	78	94	W 1	WNW 1	W 0	9	8	9	0.8	● 15¾-17, 18¾
22	11.1	19.8	11.7	14.2	−2.3	738.7	739.7	**740.3**	94	52	55	SE 0	NW 1	SW 1	10	7	3	.	⏢ |
23	**9.9**	19.6	15.0	14.8	−1.7	739.5	737.4	735.8	84	48	72	SW 0	N 1	NW 1	3	10	2	0.0	
24	13.4	17.4	15.3	15.4	−1.0	734.9	735.2	735.6	86	72	92	NW 1	NW 0	NW 0	10●	10	10	0.1	● n-u
25	14.6	23.8	15.1	17.8	1.5	735.3	734.5	734.7	92	52	78	NW 0	NW 1	N 1	8	5	0	.	
26	13.0	26.6	16.0	18.5	2.3	735.9	735.7	735.7	89	41	73	SE 1	N 1	NW 0	1	1	0	.	
27	15.0	29.0	18.4	20.8	4.7	735.9	736.8	736.5	80	41	75	ESE 1	WNW 1	SW 1	1	3	0	.	
28	17.1	30.6	19.3	22.3	6.3	737.2	736.4	735.8	72	32	64	ESE 1	WNW 1	W 1	0	1	0	.	
29	15.4	31.2	20.6	22.4	6.4	735.7	733.8	731.5	81	28	72	E 0	NE 1	WNW 1	3	6	6	0.1	
30	18.2	30.3	17.1	21.9	6.0	730.0	729.1	731.2	80	46	94	N 1	SE 1	SE 1	8	3	10●	**27.5**	● 0¾-6½, 11-23¾ mU, ⚿ 16¾, 18-
31	16.0	22.8	18.0	18.9	3.1	732.0	733.7	736.4	96	70	82	SW 1	NW 1	S 1	10●	9	10	4.3	● 1-6, 7¼-12 [19½, ⛆ 16¾
																		Summe	
Mittel	16.8	25.9	18.1	20.3	---	734.0	733.4	733.7	76	46	73				5.7	6.1	5.1	77.8	

August 1952
Beobachter: *Observatorium.*

Säntis

$\lambda = 9°\,20'$, $\beta = 47°\,15'$,
$H_b = 2500.1$ m, $G = -0.27$ mm.

Tag	Lufttemperatur					Luftdruck			Relative Feuchtigkeit			Windrichtung und Stärke			Bewölkung			Niederschlag	Witterung
	7^{30}	13^{30}	21^{30}	Mittel	Abweich. vom Normalst	7^{30}	13^{30}	21^{30}	7^{30}	13^{30}	21^{30}	7^{30}	13^{30}	21^{30}	7^{30}	13^{30}	21^{30}		
1	6.3	11.5	7.5	8.4	3.0	566.6	566.3	566.3	83	70	86	WSW 2	SSW 2	W 1	2	10	10	1.9	▽ 17, ≡ 15¾–17
2	8.6	11.2	6.0	8.6	3.2	565.5	565.8	566.0	65	63	86	SW 1	S 1	WSW 2	5	7	10●	9.2	● 20¼–21½
3	5.3	9.2	4.6	6.4	1.0	566.2	567.0	568.2	100	90	93	WSW 2	SW 2	WSW 2	10≡	10≡	8	22.9	▽ 16¾, 18¾–19¾, ▲ 18½–18¾, *)
4	7.3	11.2	7.7	8.7	3.4	568.4	569.3	570.2	82	76	83	WSW 2	SSW 1	W 1	6	9	5	.	≡ 12–19 mU
5	8.3	13.1	9.9	10.4	5.1	570.1	570.3	570.2	83	72	71	NW 1	S 2	W 2	1	3	8	.	
6	13.1	15.5	8.7	12.4	7.1	568.8	568.3	566.6	61	64	63	SSW 1	SSW 2	SW 2	1	6	4	9.1	▽ 14–14¾, ⊼ 14¾–14½, ≡ 14½–14¾
7	5.4	5.6	3.6	4.9	0.4	564.2	564.7	564.9	94	100	88	S 2	WSW 2	W 2	10●	10≡	10	2.8	● n–9¾, ≡ 7¾–18
8	3.9	10.4	6.9	7.1	1.8	563.2	563.9	566.7	99	88	100	WSW 2	SW 1	WSW 1	10≡	10≡	10≡	.	▽ 6¾, ≡ 7–18 mU, 19¾ n
9	8.3	12.7	4.0	8.3	3.1	565.3	564.6	563.1	65	58	100	SSW 2	SW 3	W 4	9	7	10≡●	33.4	● 18–n, ≡ 17¾–n mU, ⌿ III
10	2.9	4.5	2.4	3.3	1.9	563.5	564.9	566.5	100	100	100	W 2	W 2	W 3	10≡●	10≡	10≡	2.2	● n–9 mU, ≡ n–n
11	5.5	12.5	10.4	9.4	4.2	568.3	569.8	570.7	69	61	77	W 3	S 2	SSW 2	1	1	1	.	
12	11.0	13.9	10.9	11.9	6.7	571.1	**571.6**	571.5	72	62	88	W 2	SW 1	W 2	1	1	1	.	
13	11.1	15.3	11.8	12.7	7.6	571.4	571.3	570.7	68	70	58	WNW 2	S 1	W 1	1	4	1	.	
14	13.7	**18.2**	12.7	14.9	9.8	568.1	568.5	568.0	59	50	74	SW 2	SSW 2	S 3	1	2	1	.	
15	13.8	14.2	9.4	12.5	7.4	567.4	567.9	567.3	64	80	98	S 2	SSE 2	S 2	1	5	9	32.8	● 17¾–18¾, ▲ 17½–17¾, *)
16	5.2	10.2	4.7	6.7	1.7	566.5	566.4	565.5	100	76	100	W 2	S 2	NW 1	10≡●	8	10≡	22.8	● 2½–5¾, ● 5¾–8, ▽ 16¾–n mU,*)
17	0.4	1.9	0.4	0.9	−4.1	564.1	563.8	563.1	100	96	100	WSW 2	W 3	W 3	10≡	10≡	10≡	2.4	● ✳ 17¾–17½, 20–20¾, *)
18	**−0.3**	6.4	5.6	3.9	−1.0	561.5	561.1	560.4	100	74	78	WSW 2	SSW 2	SW 2	8≡	6	10	9.3	≡ n–8, 8–12½ mU
19	2.2	3.6	4.8	3.5	−1.4	558.7	558.1	558.6	100	92	92	SW 2	WSW 3	WSW 2	10≡●	10●	10	8.6	● n–10¼ mU, 12¼–15¼ mU,*)
20	2.2	1.4	0.7	1.2	−3.6	**557.8**	558.5	560.3	100	100	100	W 2	W 3	W 4	10≡●	10≡●	10≡●	16.0	▽ 7¾–7½, ● 7¾–n mU, ≡ n–n
21	0.1	0.9	**−0.3**	0.2	−4.6	561.6	563.4	565.2	100	100	100	W 3	W 3	WNW 3	10≡	10≡*	10≡	29.5	✳ 12–17¾, 19–20, ⊼ 13¾, ≡ n–n
22	−0.2	3.2	−0.1	1.0	−3.7	565.9	567.6	568.8	100	87	86	SW 2	W 2	W 2	2≡	10≡	2	.	≡ n–5½, 7–20¾ mU ☒
23	5.6	7.7	5.6	6.3	1.7	568.1	568.0	566.8	**29**	47	76	SW 2	SE 2	SE 2	8	6	7	1.5	⊕ 10½
24	3.4	3.2	0.0	2.2	−2.4	564.3	564.6	565.0	94	96	100	NNE 2	NNE 3	NNE 3	10≡●	10	10≡*	3.7	● 5¼–7¾, 9½–10¾, 15¾–20¼,*)
25	1.2	5.0	3.6	3.3	−1.2	564.7	565.3	566.4	74	93	82	NNE 2	S 1	S 1	1	10≡	0	.	≡ 12¾–16
26	5.0	9.9	6.4	7.1	2.7	566.8	568.1	568.6	70	78	48	W 1	SW 2	W 3	1	5	0	.	
27	6.0	8.3	6.8	7.0	2.6	568.7	569.7	569.7	72	80	85	W 3	WSW 3	W 4	2	7	2	.	≡ 9–12 mU, ⌿ III
28	5.9	11.2	7.9	8.3	4.0	569.3	570.3	570.0	64	44	77	WSW 3	SW 3	W 3	1	1	1	.	
29	9.4	14.1	13.3	12.3	**8.1**	569.1	569.5	568.5	56	43	42	WSW 3	SSW 3	WSW 3	2	1	2	.	
30	14.0	11.2	6.8	10.7	6.6	566.0	565.7	564.4	44	63	100	SW 3	SW 4	W 4	2	9	10≡	17.6	▽ 12, ● 21¾–n, ≡ 21¾–n, *)
31	3.8	4.7	5.0	4.5	0.5	563.8	564.9	567.4	100	100	100	W 2	W 3	WNW 2	10≡●	10≡	10≡	26.0	● n–12, ▽ 15¾–16¾, *)
																		Summe	
Mittel	6.1	9.1	6.0	7.1	—	566.0	566.5	566.6	80	76	85				5.4	7.0	6.5	251.7	

August 1952
Beobachter: *E. Chiesa*

St. Gotthard (Hospiz)

$\lambda = 8°\,34'$, $\beta = 46°\,36'$,
$H_b = 2095$ m, $G = -0.25$ mm.

1	8.6	12.0	9.2	9.9	1.4	593.8	595.2	594.8	98	75	91	SE 0	SE 1	SE 0	3	10≡	10≡	1.5	● n (1./2.), ≡ a–n mU, ⌓ I
2	10.2	14.7	9.1	11.3	2.8	594.2	594.4	594.1	66	61	86	NW 0	SE 1	SE 0	6	6	9	.	
3	8.7	10.9	7.6	9.1	0.6	594.1	594.5	595.4	92	91	100	NW 1	NW 1	NW 2	9	9●	10●	11.3	● 13½–14¾, 18¾–19, ⊼ ▲ 13½
4	9.0	16.2	9.6	11.6	3.2	596.8	597.5	597.4	72	50	98	NW 1	SE 0	NW 1	6	3	0	.	
5	10.3	16.4	10.8	12.5	4.1	597.9	598.4	598.6	90	56	96	NW 0	SE 1	SE 0	0	3	0	.	
6	11.0	12.2	10.0	11.1	2.7	597.7	597.4	595.7	95	74	66	SE 0	SE 0	SE 0	6	9	6	17.7	● 11½–13½, ⊼ 14–14¼
7	6.8	9.9	7.0	7.9	−0.5	594.0	592.7	593.4	90	72	100	SE 0	NW 2	NW 2	10●	10	10≡	1.3	● n–a, ≡ p–n
8	7.2	15.7	9.0	10.6	2.3	593.8	594.2	594.8	88	32	95	NW 1	SE 1	NW 0	0	3	3	.	
9	9.0	10.4	7.0	8.8	0.5	594.2	594.2	593.2	90	96	92	SE 1	SE 1	NW 1	6	10≡	6	12.6	● 14¾, ⊼ 18¾, ≡ 9¼–p mU
10	6.1	10.2	6.5	7.6	−0.7	592.0	593.3	595.0	93	82	100	NW 2	NW 2	NW 2	3	0	6	.	≡ p–n mU
11	8.0	15.9	10.6	11.5	3.3	596.7	598.0	598.5	55	32	100	NW 0	SE 1	SE 0	0	0	3	.	
12	9.5	19.2	13.0	13.9	5.7	598.7	599.7	599.0	73	42	81	SE 0	SE 0	NW 1	0	0	0	.	
13	11.8	18.5	12.4	14.2	6.1	599.5	597.7	**600.3**	70	16	97	NW 1	NW 1	NW 0	0	0	0	.	
14	12.3	17.3	13.6	14.4	6.3	599.7	599.8	599.2	75	52	81	SE 1	SE 1	SE 1	0	9	9	.	
15	13.5	14.5	12.4	13.5	5.5	599.2	599.0	598.4	88	75	81	SE 1	SE 0	SE 1	9	10	10≡	9.0	● ⊼ 15½–16, ● 20¾–20½, ≡ 16¼–n
16	9.0	13.1	7.2	9.8	1.9	597.9	598.0	597.6	100	76	100	NW 1	NW 1	NW 1	6	9	10≡	2.0	⊼ 2¾–3, ▽ 17, ≡ p–n
17	4.6	5.2	3.5	4.4	−3.5	591.3	594.7	592.6	100	95	98	NW 2	NW 2	NW 3	10≡	10≡	10≡	.	≡ n–n mU, ⌿ III
18	2.1	11.8	7.4	7.1	−0.7	591.2	590.6	590.1	92	33	88	NW 1	SE 1	SE 0	0	9	10●	16.1	● 21–n
19	5.9	7.4	6.9	6.7	−1.0	588.8	588.1	587.5	100	100	100	SE 0	SE 1	SE 1	10≡●	10●	10●≡	8.9	● n–n, ≡ n–a, p–n
20	5.9	5.8	4.9	5.5	−2.1	587.0	**586.8**	589.3	98	90	100	SE 0	NW 1	NW 1	6	10	10≡	2.8	● 19¾–20¾, ≡ p–n
21	2.7	5.2	1.8	3.2	−4.4	590.1	591.3	593.9	100	97	100	NW 1	NW 2	NW 2	10	10●	10≡	3.4	● 13¾–16½, ≡ a mU, p–n
22	**1.6**	7.6	3.4	4.2	−3.3	594.2	595.9	597.1	92	67	98	NW 2	NW 2	NW 2	0	0	10≡	.	≡ 17½–n, ⌓ I
23	5.6	8.6	5.8	6.7	−0.7	597.1	597.4	596.3	43	60	100	SE 0	SE 1	SE 2	6	10	10≡	5.7	● n (23./24.), ≡ p–n
24	4.8	5.9	2.6	4.4	−2.9	593.2	593.0	593.2	100	100	100	NW 2	NW 1	NW 2	10	10●≡	10≡	11.1	● a–18, ≡ a–n
25	3.0	9.4	6.0	6.1	−1.1	593.0	593.2	594.6	80	45	100	NW 1	NW 2	NW 2	0	0	3	.	
26	5.8	13.6	8.8	9.4	2.2	594.7	595.9	596.8	73	38	97	NW 0	NW 0	NW 0	0	0	6	.	
27	7.6	16.2	10.4	11.4	4.3	597.1	598.1	598.5	85	54	75	NW 0	NW 0	NW 0	0	0	0	.	⌓ I
28	8.4	15.2	11.2	11.6	4.6	598.2	598.4	598.4	46	**0**	44	NW 1	NW 1	NW 1	0	0	0	.	⌓ I
29	10.2	**19.4**	12.1	13.9	7.0	598.1	598.3	597.8	35	15	52	NW 0	NW 0	SE 0	0	0	0	.	⌓ III
30	11.8	9.9	9.0	10.2	3.4	596.1	596.0	593.9	29	96	88	SE 1	SE 1	SE 2	3	10	10●≡	**19.7**	● 10–11, 16¾–16½, 21–n, ≡ a–n mU
31	7.1	9.0	7.0	7.7	1.0	593.2	593.2	594.0	100	84	100	NW 1	NW 2	NW 2	10≡	6	10●≡	1.9	● 8–8¾, 19½–n mU, ≡ n–a, p–n mU
																		Summe	
Mittel	7.7	12.2	8.3	9.4	—	595.0	595.3	595.5	81	63	90				4.2	5.7	6.5	125.0	

*) Säntis. **3.** ● 19¾–20½, ⊼ 20–20¾, ≡ n–8½, 11½–20½ mU **15.** ⊼ 17½–18¾, ≡ 11–14 mU, 16½–17¾, 20¾–n mU **16.** ⊼ 2½–3½, ≡ n–10, 18¾–n **17.** ≡ n–10, 11–n mU **19.** ≡ 5½–n **24.** ✳ 20½–n, ≡ 7–7¾, 14¼–n **30.** ⌿ 13½–n **31.** 19¾–n mU, ≡ n–n

$\lambda = 7°\,26'$, $\beta = 46°\,57'$,
$H_b = 572.2$ m, $G = 0.00$ mm.

Bern

September 1952
Beobachter: *Meteorol. Observatorium.*

Tag	Lufttemperatur					Luftdruck			Relative Feuchtigkeit			Windrichtung und Stärke			Bewölkung			Niederschlag	Witterung
	7^{30}	13^{30}	21^{30}	Mittel	Abweich. vom Normalst	7^{30}	13^{30}	21^{30}	7^{30}	13^{30}	21^{30}	7^{30}	13^{30}	21^{30}	7^{30}	13^{30}	21^{30}		
1	15.7	**21.0**	18.0	18.2	2.6	716.5	716.7	716.5	100	59	79	N 1	NNE 1	NE 1	10●	6	9	0.0	● 4–8¾
2	15.9	20.3	16.5	17.6	2.1	716.3	716.0	716.4	90	57	72	SE 1	N 1	N 1	5	9	3	.	⌓ I
3	13.1	20.1	15.1	16.1	0.8	715.9	714.8	714.6	87	49	58	SE 1	W 2	WSW 1	2	6	5	0.3	⌓ I
4	13.5	19.2	15.1	15.9	0.7	712.4	711.7	709.7	89	59	80	WNW 1	WSW 2	WNW 1	9	7	2	0.3	● 4¾, 6–7¾, 9¼–11
5	12.5	18.8	14.1	15.1	0.0	706.1	703.2	703.8	89	63	75	SE 1	SSW 1	WSW 3	6	9	10●	1.7	●tr 21–22, ⌓ I, ⌐ III
6	10.8	11.8	10.0	10.9	−4.0	705.5	707.6	708.4	98	72	88	NW 1	W 1	E 1	10●	10	7	2.2	● 4¼–8¾, 8½–11, ◠ 8¼, 9
7	9.3	12.3	9.8	10.5	−4.3	708.6	709.5	710.9	95	78	98	ESE 1	SE 1	SE 1	9	10●	5	4.6	● 10¾–13¾, 15¾–17, ⌓ I
8	7.7	10.6	8.5	8.9	−5.8	711.4	710.6	713.0	100	82	71	SE 1	WSW 2	W 1	10●	9●	9	4.7	● 4¾–9¾, 13¼–18¾, ⍂ 13–13¾, *)
9	7.8	11.6	9.0	9.5	−5.0	713.4	712.7	712.3	94	68	94	WSW 1	WSW 1	N 1	9	9	10●	1.4	● 0¾–7, 8¾–12¾, 14¾, 21¾–23, *)
10	7.5	13.9	9.7	10.4	−4.0	711.3	710.4	710.8	98	58	100	NE 1	NNE 1	S 1	10●	9	10●	6.0	● 3¼–4¼, 16½–24, ❩ 6½–8¾
11	9.0	10.9	9.8	9.9	−4.3	709.3	708.6	707.2	100	97	100	NW 1	E 1	NE 1	10	10●	10●	24.3	❩ 8¼–9¼, ● 10¼–24
12	9.0	12.4	9.1	10.2	−3.9	706.3	708.2	711.7	98	62	90	W 1	SW 2	WSW 1	10●	8	10	3.8	● 0–11, 14¾–17¼ mU, ▲ 17¼
13	7.5	14.4	10.4	10.8	−3.1	714.1	714.3	714.6	93	51	74	SE 1	NNE 2	NE 1	1	1	0	.	⌓ I
14	8.5	14.3	12.6	11.8	−2.0	713.3	713.3	714.2	93	63	92	NE 1	N 1	N 1	2	6	10●	4.6	● 21–24 mU, ⌓ I
15	11.4	16.9	12.5	13.6	0.0	715.5	715.4	715.1	98	69	73	NE 1	NNE 1	ENE 2	10	6	1	.	● 0–4½
16	8.6	13.5	9.1	10.4	−3.1	715.6	715.8	714.5	89	75	97	N 1	N 1	N 1	10	6	0	.	⌓ III
17	10.3	15.0	11.8	12.5	−0.8	713.6	712.1	711.6	98	71	88	SSE 1	WSW 1	SW 1	10	7	6	10.0	● 10½–10¾, 19¼–20¾, 23¾–24, ⌓ I
18	10.7	11.5	10.4	10.9	−2.3	710.6	710.2	710.2	98	93	85	W 1	SSW 1	W 1	10●	10●	9	13.6	● 0–4¾, 6¼–8½, 10½, 12¾–13¾ mU
19	6.4	7.8	4.8	6.3	−6.7	709.4	711.4	714.2	94	79	90	W 1	SSW 2	S 1	10●	9	1	4.8	● 2¾–9, 10½–12¾, 14–18¾,
20	4.2	10.7	5.7	6.9	−6.0	714.8	715.3	716.9	98	50	91	NE 1	ENE 1	SSW 1	7	7	0	.	⌓ I [▲ ● 13¾–14
21	**2.8**	13.6	10.7	9.0	−3.7	716.3	714.1	713.5	97	**48**	74	S 1	SSE 2	W 1	9	2	10●	2.6	● 21¼–24, ⌴ I
22	9.5	10.0	9.7	9.7	−2.8	713.6	715.4	718.5	96	83	97	W 1	WSW 1	NE 1	10●	10●	10	1.5	● 0–13¾ mU
23	5.5	13.9	9.0	9.5	−2.9	**719.7**	719.2	719.3	98	53	87	SSE 1	W 1	N 1	2	2	0	.	⌓ I
24	7.5	15.0	9.7	10.7	−1.5	717.5	715.4	713.8	97	57	93	NE 1	WNW 1	WSW 1	0	4	0	.	⌓ I, III
25	7.0	18.4	13.3	12.9	0.8	710.8	706.6	705.2	98	**48**	94	SE 1	SSW 2	WSW 2	4	9	10●	12.6	● 16¾–24, ⌓ I
26	9.5	13.4	9.6	10.8	−1.1	707.5	706.9	704.6	76	**48**	72	WSW 2	SW 3	NW 1	3	7	10	3.0	● 0–3, 10¼–10½, ⌐ II
27	7.5	7.5	7.4	7.5	−4.2	**698.7**	702.6	710.1	98	85	68	E 1	WSW 5	WSW 3	6	10●	8	6.1	● 4–7¼, 9¾–18½ mU, ⌐ II, ⌐ III
28	6.3	12.7	7.0	8.7	−2.8	713.1	712.5	710.0	95	50	91	SSW 1	WNW 1	SSE 1	8	4	1	8.8	● 0¾–0½, 4½–5¾
29	6.0	13.3	8.1	9.1	−2.2	708.4	706.6	708.1	98	51	92	SSW 1	SSW 3	W 1	10●	7	9	2.1	● 3¾–7½, 9–12¾, 15¾–18, ⌐ II
30	7.0	10.0	8.3	8.4	−2.7	703.9	702.5	703.2	85	89	98	N 1	NNE 1	NE 1	9	10●	6	1.2	● 10½–11¾, 13–13½, 17¼–24 mU
																		Summe	
Mittel	8.9	13.8	10.5	11.1	—	711.7	711.3	711.8	95	66	85				7.4	7.3	6.0	120.2	

*) 8. ▲ 13½ 9. ❩ 21¼–21¾

$\lambda = 6°\,57'$, $\beta = 47°\,0'$,
$H_b = 487.3$ m, $G = 0.02$ mm.

Neuchâtel

September 1952
Beobachter: *Observatorium.*

1	16.3	22.4	19.8	19.5	3.0	723.9	724.2	723.8	97	70	65	W 0	SE 1	N 2	10	7	9	.	● 2¾–5
2	17.2	22.6	16.9	18.9	2.5	723.8	723.3	723.8	89	64	67	N 0	SE 1	W 1	8	9	1	.	
3	13.9	**23.3**	16.7	18.0	1.7	723.2	722.3	721.9	85	51	54	NW 0	S 2	**W** 3	2	5	4	0.1	
4	14.6	21.4	17.0	17.7	1.5	720.0	719.1	717.0	83	63	64	SW 3	SW 2	W 1	10	7	6	.	● 5½–6¼, ⌐ I
5	14.8	19.4	15.8	15.7	−0.4	713.1	710.1	711.0	87	68	94	W 0	SW 1	SW 1	6	10	10	4.4	● 20¼–20¾
6	10.2	16.1	10.7	12.3	−3.7	712.8	714.8	716.0	92	69	94	SE 0	S 1	N 0	10●	9	10●	4.6	● 3½–8¼, 19½–20, 21¼–22
7	9.4	13.4	8.2	10.3	−5.5	716.0	717.0	718.4	97	77	94	NE 0	SE 0	W 0	8	10	2	2.8	● 14¾–16
8	9.2	9.6	9.5	9.4	−6.3	718.7	718.0	720.5	97	83	71	W 0	NW 3	W 2	10	10●	8	3.8	● 4–6½, 12½–12¾, 13½–13¾,
9	8.1	12.0	8.2	9.4	−6.2	721.1	720.3	720.3	92	74	94	W 1	SW 0	N 1	10	10	10●	2.8	● 4½–6, 19¾–23½ [⌐ I
10	8.3	13.8	9.8	10.6	−4.8	718.9	718.3	718.6	93	68	97	N 0	SE 1	N 0	10	9	10●	10.5	● 17¾–21¾
11	9.2	11.8	10.2	10.4	−4.9	716.6	716.1	714.7	97	95	97	N 0	NE 0	NE 0	10	10●	10●	18.2	● 13–24
12	9.6	13.4	10.1	11.0	−4.2	713.5	715.4	719.2	98	77	79	NE 0	S 1	W 1	10●	8	10	1.5	● 0–4½, 7½–8¾, ⛆ 19, 22¾
13	8.1	17.4	12.6	12.7	−2.3	721.7	722.0	722.0	90	57	62	W 0	SE 1	NE 2	2	1	0	.	
14	10.4	14.5	12.8	12.6	−2.3	721.0	721.0	721.9	80	72	87	NE 2	E 1	N 0	3	9	10	1.7	● 19–21, 23¾–24
15	12.0	19.4	13.6	15.0	0.3	723.1	723.0	722.6	98	68	65	NE 0	E 1	NE 3	7	3	0	.	● 2¾–3¼, ⌐ I
16	10.2	16.2	10.4	12.3	−2.3	723.5	723.4	722.4	81	70	90	NE 2	SE 1	NE 1	10	6	2	0.2	
17	11.2	18.4	12.5	14.0	−0.4	721.2	719.4	719.2	94	66	81	**W** 0	**W** 2	W 2	10	3	0	3.1	● 1¾–3½, 17¾–19, 22¼–24
18	11.3	14.0	12.1	12.5	−1.7	717.9	717.4	717.6	93	78	70	SW 1	SW 1	W 1	10	10	9	3.9	● 0–5¾
19	7.0	7.0	6.7	6.9	−7.2	716.9	719.3	721.8	85	71	75	N 0	W 1	SW 1	8	9	6	0.4	● 3½–5¾, 9½–10, 11–11½
20	5.4	11.6	6.0	7.7	−6.2	722.6	723.2	724.5	88	61	79	NW 0	SE 1	N 0	5	4	0	.	
21	**4.4**	15.4	12.6	10.8	−2.9	724.1	721.9	720.9	93	56	65	N 0	SW 2	W 2	9	1	10	2.7	
22	9.7	11.6	10.5	10.6	−3.0	721.2	722.8	726.1	96	83	69	W 2	W 1	N 0	10●	10	8	1.4	● 2–8¾, 10¾–11¼, 12½–12½
23	6.7	14.6	9.2	10.2	−3.2	**727.3**	726.8	727.0	93	67	84	N 0	**S** 1	N 0	5	8	0	.	
24	7.8	17.6	10.3	11.9	−1.3	725.2	723.1	721.3	92	61	85	N 0	SW 1	W 0	1	1	0	.	
25	9.4	18.7	13.5	13.9	0.9	718.3	713.6	712.3	92	**44**	97	SW 0	SW 4	SW 3	7	9	10●	6.6	● 16¾–17½, 19½–0½, ⌐ a–n, ⌐ II
26	10.5	10.9	10.6	10.7	−2.1	714.5	714.3	711.8	65	78	78	W 3	**W** 2	W 1	2	9	10	14.2	● 9½–13 mU, ⌐ n–a
27	9.4	6.6	8.3	8.1	−4.5	**705.5**	710.3	717.6	97	94	76	SW 0	SW 4	SW 2	10●	10●	10	15.2	● 3¼–16½, 19¼–19¾, 23¾, ⌐ II
28	6.3	15.8	7.5	9.9	−2.5	720.6	720.1	717.4	87	55	89	W 0	SW 2	W 0	3	2	1	16.8	
29	6.2	10.8	9.3	8.8	−3.4	716.1	714.1	715.4	97	79	78	W 1	SW 3	**W** 2	10●	9	5	1.9	● 3¼–7½, ⍂ 3¼–4¼, ● 7½–15½ mU,
30	8.0	9.8	8.0	8.6	−3.4	711.7	710.1	710.3	93	95	97	NE 1	E 0	NE 0	10	10●	7	12.9	● 16¾–18½, 21¼–22¾ mU [⌐ II
																		Summe	
Mittel	9.8	15.0	11.2	12.0	—	719.1	718.8	719.3	91	70	80				7.5	7.3	5.9	129.7	

September 1952
Beobachter: *Frl. H. Nager.*

Altdorf

$\lambda = 8° 39'$, $\beta = 46° 53'$,
$H_b = 456.3$ m, $G = -0.05$ mm.

Tag	Lufttemperatur					Luftdruck			Relative Feuchtigkeit			Windrichtung und Stärke						Bewölkung			Niederschlag	Witterung
	7^{30}	13^{30}	21^{30}	Mittel	Abweich. vom Normalst	7^{30}	13^{30}	21^{30}	7^{30}	13^{30}	21^{30}	7^{30}		13^{30}		21^{30}		7^{30}	13^{30}	21^{30}		
1	16.8	20.9	17.5	18.4	2.4	725.8	726.2	726.5	100	65	95	W	0	NW	0	W	0	10	8	10	.	
2	16.8	22.4	18.9	19.4	3.5	725.9	725.0	726.2	98	48	85	N	0	NW	1	E	0	8	7	10●	0.8	● 21½-n
3	14.7	20.9	16.4	17.3	1.5	725.9	723.8	723.9	98	50	85	E	0	NW	1	NW	0	7	4	9	0.0	●tr n (3./4.)
4	15.8	19.4	16.5	17.2	1.5	721.5	720.9	719.6	90	63	95	W	0	W	0	NW	0	10	8	10	0.3	● 7½, 18
5	15.7	20.9	14.8	17.1	1.5	716.0	712.3	713.7	100	55	100	W	0	NW	0	E	0	8	8	10●	13.5	● 18½-n
6	12.9	13.3	11.4	12.5	−3.0	714.4	717.5	719.2	98	75	98	NW	1	NW	0	NW	0	10●	10●	10	5.0	● n-p
7	10.9	13.4	11.4	11.9	−3.5	718.6	719.3	721.3	100	84	90	SE	0	E	0	NW	0	10	10●	10●	2.3	● a-n
8	8.4	14.4	9.0	10.6	−4.7	721.0	719.5	722.9	100	52	100	E	0	NW	1	NW	0	0	10	10	7.6	● 14-n mU
9	8.8	11.9	9.7	10.1	−5.1	723.0	722.9	722.3	100	58	93	SE	0	N	0	N	0	10●	10	10	4.2	● n-a
10	9.3	14.3	11.2	11.6	−3.5	720.8	720.4	721.1	100	53	100	E	0	NW	0	NW	0	10	10	10	1.4	● n-n mU
11	10.5	13.7	11.1	11.8	−3.2	719.0	718.1	717.0	100	83	100	N	0	N	0	NW	1	10●	10	10●	28.2	● n-n mU
12	8.7	10.4	9.9	9.7	−5.2	716.6	718.8	721.4	100	95	100	SE	0	SE	0	NW	0	10●	10	10●	8.7	● n-n mU
13	7.7	15.4	9.4	10.8	−3.9	724.3	724.1	725.5	100	52	93	E	0	NW	1	NE	0	3	3	0	.	
14	8.4	17.0	11.1	12.2	−2.4	724.3	723.7	724.5	100	50	100	SE	0	NW	1	NW	0	2	4	0	4.5	● n (14./15.)
15	11.5	16.2	12.2	13.3	−1.2	725.9	725.3	725.4	100	76	100	W	0	NW	1	NW	0	10	7	10	.	
16	12.0	16.8	10.8	13.2	−1.2	725.3	724.5	724.7	95	66	100	NE	0	NW	0	NE	0	10	4	0	.	
17	10.3	16.2	12.1	12.9	−1.3	723.7	721.6	721.3	100	69	100	E	0	N	0	W	0	3	7	10	3.0	● 15–17¾
18	11.2	15.9	11.7	12.9	−1.2	720.7	719.3	720.1	100	62	100	W	0	E	0	NW	0	10●	8	10●	7.3	● a mU, 15¾-n
19	8.9	8.4	8.5	8.6	−5.4	717.7	721.0	724.4	76	72	50	NW	3	NW	0	NW	1	10●	10●	10●	5.7	● n-n mU, ⌿ I
20	7.0	11.9	7.0	8.6	−5.2	725.3	725.2	727.1	89	44	84	E	0	NW	1	E	0	10●	6	3	0.2	● n-a
21	3.7	13.5	9.4	8.9	−4.8	726.4	723.7	723.5	98	47	92	SE	0	W	1	W	0	0	3	7	0.3	● n (21./22.)
22	9.3	12.4	9.9	10.5	−3.0	723.3	724.8	727.4	100	82	95	SE	0	N	0	NW	0	10	10	10	1.9	● n-p mU
23	7.7	14.3	10.3	10.8	−2.5	729.6	728.5	729.5	100	47	87	E	0	NW	0	NE	0	4	6	4	.	
24	8.3	15.3	9.8	11.1	−2.1	727.6	725.2	723.8	99	62	100	E	0	NW	1	NW	0	4	3	2	.	
25	8.3	16.8	13.1	13.4	0.4	721.0	716.3	714.1	100	60	73	SE	0	NW	0	NW	1	7	8	10	4.7	● n (25./26.)
26	8.0	14.8	9.0	10.6	−2.2	716.9	715.6	714.2	100	44	90	SE	0	NW	1	NE	0	4	7	8	0.6	● n (26./27.)
27	9.4	13.7	10.1	11.1	−1.6	708.4	710.2	720.0	100	66	60	E	0	NW	1	NW	0	10●	10●	10	2.3	● n-n mU
28	6.1	15.8	7.9	9.9	−2.6	723.1	721.0	720.0	99	50	85	E	0	NW	0	NW	0	5	4	0	.	
29	10.7	14.2	7.8	10.9	−1.4	718.3	715.3	718.5	64	56	94	NW	1	NW	1	NE	0	10	5	3	1.2	● n (29./30.)
30	7.4	17.0	12.3	12.2	0.1	714.7	711.7	712.6	95	37	67	SE	0	SE	3	S	1	8	10	6	.	⌿ a-p
Mittel	10.2	15.4	11.4	12.3	...	721.5	720.7	721.7	97	61	90							7.4	7.3	7.4	Summe 103.7	

September 1952
Beobachter: *Observatorium.*

Genève

$\lambda = 6° 9'$, $\beta = 46° 12'$,
$H_b = 405.0$ m, $G = -0.03$ mm.

1	16.8	22.0	18.5	19.1	2.2	730.8	730.4	730.7	94	64	86	ENE	1	NE	1	E	0	9	2	6	.	
2	15.2	22.9	19.0	19.0	2.2	730.8	729.9	730.8	93	75	90	E	1	NNE	1	NE	0	1	9	5	.	
3	14.5	21.6	16.2	17.4	0.7	730.3	729.6	730.0	93	61	73	SE	1	NNE	0	E	0	3	5	0	.	
4	14.8	21.7	17.0	17.8	1.2	728.5	726.1	724.4	84	68	94	SSW	0	SW	1	ESE	0	10	5	7	.	
5	13.3	23.4	14.7	17.1	0.6	719.7	716.6	718.5	93	56	95	NE	0	S	2	S	1	8	9	10●	7.5	● p-n
6	13.2	15.2	13.0	13.8	−2.6	720.1	721.8	723.0	92	71	79	S	1	NE	1	E	0	10	7	9	.	
7	10.6	17.4	12.3	13.4	−2.9	723.9	724.0	725.3	93	62	95	S	1	SSW	1	E	0	9	8	2	1.4	● 11–11½
8	9.8	13.0	11.5	11.4	−4.7	726.1	726.2	728.6	95	72	70	SSE	0	SE	1	SE	1	8	6	9	5.4	● n (8./9.)
9	9.0	14.8	11.4	11.7	−4.3	729.2	726.7	726.6	92	61	86	E	0	NE	1	ENE	0	10	6	5	.	
10	10.3	16.4	12.4	13.0	−2.9	725.8	724.9	725.1	89	66	95	NE	0	E	0	S	0	10	10	10●	4.7	⌿ 19
11	12.0	12.6	11.6	12.1	−3.7	723.6	722.9	721.4	95	93	95	NE	0	NE	0	NE	0	10●	10●	10●	16.3	● n-n
12	11.0	13.0	10.3	11.4	−4.3	721.5	724.6	727.5	90	77	82	S	1	S	1	S	1	9	10	7	2.0	∀ 14½, ● n (12./13.)
13	6.2	15.4	14.4	12.0	−3.5	729.1	728.6	728.5	94	59	78	ESE	0	NE	1	NE	1	2	1	8	.	
14	11.5	15.0	14.0	13.5	−1.9	727.5	727.2	729.1	82	78	91	E	0	NNE	1	E	0	5	5	7	6.3	⌿ n)14./15.)
15	14.0	18.2	14.6	15.6	0.3	730.1	729.0	729.2	93	71	78	E	0	NNE	2	NE	2	5	1	9	.	
16	13.0	15.9	15.0	14.6	−0.5	730.8	729.9	729.4	77	79	91	NNE	1	NE	1	NE	1	9	4	10●	6.3	● p-n
17	14.0	19.8	12.5	15.4	0.4	728.3	726.2	726.8	88	61	93	NNE	0	SSE	1	E	0	10	4	9	3.3	∀ 17¾–18, ● n (17./18.), ⌿ 18
18	14.0	15.8	12.5	14.1	−0.7	725.5	725.1	725.2	91	76	77	SSE	1	S	1	SE	1	4	9	5	5.0	∀ 13¼, ● n (18./19.)
19	10.0	12.2	7.0	9.7	−5.0	725.2	727.4	729.3	82	57	88	E	0	NNE	0	E	0	10	9	3	.	
20	6.0	12.1	7.0	8.4	−6.1	729.8	730.0	731.8	91	79	94	E	0	NNE	1	E	0	1	2	0	.	
21	3.4	14.8	14.0	10.7	−3.6	731.5	728.9	728.7	93	60	72	E	0	SE	1	E	0	2	1	10	2.0	● n (21./22.)
22	13.0	12.8	11.4	12.4	−1.7	729.8	730.4	733.5	88	86	93	SE	0	E	0	E	0	10	10●	1	2.0	● 13½-p
23	6.0	14.8	12.4	11.1	−2.8	735.3	733.6	733.8	97	63	78	E	0	ENE	1	NNE	0	0	0	9	.	
24	11.5	17.0	10.3	12.9	−0.8	731.9	730.4	728.9	93	65	92	ENE	0	ENE	1	E	0	10	5	0	.	
25	10.0	19.6	15.5	15.0	1.5	725.4	721.9	720.6	95	65	94	SE	1	SSW	2	S	2	1	10	10●	6.0	● 17¾-n
26	12.0	15.8	12.7	13.5	0.2	721.6	721.1	718.9	78	66	78	E	0	S	1	E	0	10	7	6	4.0	● n (26./27.), ⌿ p
27	14.0	10.0	7.0	10.3	−2.8	714.2	721.6	726.7	67	89	97	SSW	2	SSW	2	E	0	10●	10●	5	6.3	● n-n mU, ⌿ 10
28	7.5	15.5	11.0	11.3	−1.6	728.4	725.3	724.3	97	61	85	ESE	1	SSE	1	E	0	1	1	5	10.0	⌿ n (28./29.)
29	8.6	15.0	10.9	11.5	−1.2	723.9	723.3	722.8	92	60	84	NE	0	SSW	1	E	0	9	9	5	1.0	● n (29./30.)
30	10.6	11.4	10.2	10.7	−1.8	718.5	716.7	717.5	93	87	97	E	0	NE	0	ENE	0	10	10●	9	11.3	● n-n mU
Mittel	11.2	16.1	12.7	13.3	—	726.6	726.0	726.6	90	70	87							6.7	6.2	6.4	Summe 100.8	

$\lambda = 8°\ 34'$, $\beta = 47°\ 23'$,
$H_b = 569.4$ m, $G = 0.03$ mm

Zürich

September 1952
Beobachter: *Meteorol. Zentralanstalt.*

Tag	Lufttemperatur					Luftdruck			Relative Feuchtigkeit			Windrichtung und Stärke			Bewölkung			Niederschlag	Witterung
	7^{30}	13^{30}	21^{30}	Mittel	Abweich. vom Normalst	7^{30}	13^{30}	21^{30}	7^{30}	13^{30}	21^{30}	7^{30}	13^{30}	21^{30}	7^{30}	13^{30}	21^{30}		
1	16.0	20.4	17.3	17.9	2.8	716.6	716 9	716.6	94	66	83	W 1	S 1	ESE 1	10●	3	9	0.8	● 7-8
2	16.4	**21.4**	16.3	18.0	3.0	716.5	716.1	716.6	90	50	68	SSE 1	W 1	WSW 1	6	10	7	.	⏢ I
3	13.3	19.7	16.0	16.3	1.4	715.8	714.5	713.8	83	47	50	NNE 1	SW 2	W 1	3	6	10	0.8	⏢ I
4	13.7	19.0	14.3	15.7	0.9	711.8	711.1	709.9	78	58	90	WSW 2	WSW 3	SE 1	9	9	9	0.3	◕ 4½-6¼, 9½-9½, 19½-20
5	14.0	21.0	12.4	15.8	1.1	706.3	703.0	704.2	88	**41**	93	SSE 1	SSE 1	ENE 1	5	9	10●	**16 3**	◕ 18½-23¾
6	10.0	11.7	10.4	10.7	-3.9	705.3	707 6	708.6	90	79	81	W 1	WSW 1	SW 1	10●	10●	10	3.2	● 3¾-13¾ mU
7	9.4	12.3	9.5	10.4	-4.1	709.0	709.9	710.7	88	71	92	ESE 1	ENE 1	W 1	9	10	9	0.9	◕ 1½-2¾, 11-12½, 19¾-19¾
8	8.5	12.3	6.7	9.2	-5.1	711.2	710.6	712.9	94	60	94	SSW 1	SSE 1	NNW 1	6	8	10	7.6	◕ 9-10¾, 15-17¾ mU, 21½-24 mU,
9	7.5	10.8	8.0	8.8	-5.4	712.9	712.9	712.7	89	65	93	SW 1	WSW 1	ENE 0	10	9	10	3.3	◕ 0-6½, 3-7, 14¾ [☇ 15-15½
10	8.2	13.5	9.6	10.4	-3.7	712.0	710.9	711.2	87	56	95	E 1	N 1	S 1	9	8	10	9.1	◕ 0¼-6, 18-24
11	8.8	11.5	9.2	9.8	-4.1	709.3	708.9	707.4	95	87	79	NE 1	W 1	E 1	10●	10●	10●	12.9	◕ 0-2½, 6-7½, 10½-10¾, 13-24
12	8.6	10.8	9.5	9.6	-4.2	706.1	708.1	711.3	95	80	76	E 1	S 1	W 1	10●	9	10	3.5	◕ 0-10¼, 11½-12¾, 16¼-16¾,
13	9.6	16.5	9.8	12.0	-1.6	714.6	715.2	715.3	79	43	77	SW 1	NNE 1	NE 1	9	3	0	.	[19¼-19¾
14	7.8	17.1	13.0	12.6	-0.9	714.4	713.5	714.2	89	50	74	NE 1	NE 1	NE 1	9	1	10●	1.1	●tr 21½, ⏢ I
15	10.1	16.2	10.6	12.3	-1.1	716.4	716.6	716.4	92	65	75	NE 1	N 1	NE 1	10	7	1	0.0	● 5½-6½
16	8.6	11.1	8.8	9.5	-3.7	716.1	716.7	714.8	84	75	92	NE 1	NE 1	N 1	10	10	2	.	
17	10 2	16.1	15.4	13.9	0.8	713.8	712.0	710.9	96	61	60	SW 1	SSW 1	SW 2	9	9	10●	2.9	◕ 21½-22½
18	11.2	11.6	10.4	11.1	-1.8	710.6	710.3	709.8	88	90	92	WSW 2	W 1	W 0	10	10●	10	12.5	◕ 0¾-2, 3¼-3¾, 5-5½, 7½-8¼, *)
19	5.4	7.4	5.2	6.0	-6.8	709.5	711.2	714.7	92	73	84	N 1	SSW 2	W 1	10●	9	9	5.9	◕ 4½-8½, 9-10, 14¾-15¼, 17¼-
20	**4.5**	10.1	4.8	6.8	-5.8	715.3	715.8	716.9	93	54	86	NE 1	N 1	W 0	10	7	0	0.0	[18¼, ☇ 17-17½
21	4.9	13.9	12.0	10.3	-2.1	716.1	714.2	712.9	98	42	55	S 1	SW 2	SW 2	7	3	10	0.9	⛈ p
22	10.1	10.5	8.6	9.7	-2.6	713.3	715.0	718.4	81	91	96	SW 1	S 1	SW 1	10●	10●	10	6.1	● 3-10½, 11¼-14, ≡ a
23	8.7	13.5	10.0	10.7	-1.4	719.4	719.2	**719.7**	84	54	79	W 0	SW 1	SSW 1	8	9	10	.	
24	7.9	16.8	10.4	11.7	-0.2	717.8	715.6	713.5	95	47	90	NE 1	ENE 1	S 1	0	1	0	.	⏢ I
25	10.5	19.1	13.4	14.3	2.6	711.1	706.7	704.9	82	46	84	SW 1	SW 2	SW 2	6	9	10●	12.6	● 19¾-24, ⛈ 19½-n mU, ⏢ I
26	9.6	13.6	9.3	10.8	-0.7	706.9	706.3	704.5	72	51	60	SW 2	WSW 3	SSW 1	2	5	9	1.6	◕ 0-2¾, ⛈ n-18¾ mU
27	8.3	9.9	6.6	8.3	-3.0	**698.4**	700.4	709.6	91	57	85	SSE 1	SSW 4	SW 2	9	10	9	7.3	◕ 5¾-6½, 13¼, 14¾-16½, *)
28	7.2	14.2	6.4	9.3	-1.8	712.8	712.9	710.0	75	43	86	SW 2	WSW 2	ENE 1	4	3	1	4.7	◕ 3¾-4¼, ⛈ 11½-13½
29	6.6	12.6	9.1	9.4	-1.5	708.8	706.3	707.9	83	57	65	SW 2	WSW 2	WSW 2	9	3	3	1.8	◕ 6-9½
30	7.6	11.2	9.6	9.5	-1.2	704.3	702.8	703.4	85	70	88	NE 1	ENE 1	SSE 1	10	10	10●	0.2	●tr 21½
Mittel	9.4	14.2	10.4	11.3	—	711.7	711.4	711.8	88	61	81				8.0	7.3	7.6	Summe 116.3	

*) **18.** 12¼-14, 17½-17¾ **27.** 18¾-19½, 20½-21, ⛈ 12½-16

$\lambda = 6°\ 32'$, $\beta = 46°\ 51'$
$H_b = 1589$ m, $G = -0{,}13$ mm

Chasseron

September 1952
Beobachter: *Ch. H. Martin*

1	9.0	11.2	10.0	10.1	—	635.1	636.0	635.7	100	100	100	NNW 1	NW 1	N 0	10≡	9	9	.	≡ n-12
2	10.0	**12.0**	8.6	10.2	—	635.3	635.4	635.1	70	81	100	N 1	NNW 2	NNW 3	7	9	6	.	⛈ III
3	8.2	10.2	6.2	8.2	—	633.9	634.0	633.6	90	65	92	NW 2	NW 3	W 4	9	7	5	7.9	◕ n (3./4.), ⛈ a-n, ⛈ III
4	8.0	8.4	7.2	7.9	—	631.0	630.9	628.9	100	100	100	W 3	W 3	W 4	10◕≡	10≡	6	9.1	◕ n-12 mU, ≡ n-13, ⛈ n-n, ⛈ III
5	7.4	11.2	7.4	8.7	—	624.9	623.1	622.7	80	83	100	SW 2	SW 2	W 4	6	9	10◕≡	6.8	◕ 17-n mU, ≡ 16-n mU, ⛈ III
6	2.3	3.8	3.2	3.1	—	623.0	625.4	626.3	100	91	100	NW 3	NW 2	NW 1	10◕≡	9	8	0.8	◕ n-8½ mU, ≡ n-12, ⛈ I
7	3.2	4.3	3.4	3.6	—	626.0	627.3	628.4	79	95	91	NW 1	NW 1	SW 2	9	10●	7	2.4	⛆ 10-15½ mU
8	2.0	2.0	0.1	1.4	—	628.1	627.8	628.6	100	100	100	W 4	WNW 3	WNW 4	10≡	10≡	10≡	9.2	◕ ◕ 7½-10½, ☇ 11¾-12, *)
9	0.3	1.3	1.6	1.1	—	628.7	629.9	629.4	100	100	93	WNW 3	NW 2	ENE 1	10≡	10≡	10	0.7	✳ 0-1, 18½-18¾, ● 14½-15, *)
10	1.1	3.2	3.0	**2.4**	—	628.1	628.1	627.9	100	90	100	SE 2	SSE 2	SW 2	10✳≡	10	10◕≡	8.1	✳ ● n-8½, ● 14-n mU,*) ⛝
11	3.0	4.2	3.3	3.5	—	626.5	626.3	625.3	94	97	100	W 2	SW 1	SSW 2	10	10●	10◕≡	8.4	● 12½-n mU, ≡ 14½-n mU
12	2.0	2.2	1.3	1.8	—	623.5	625.5	628.0	100	100	100	NW 2	NW 2	W 4	10◕≡	10≡	10◕≡	3.2	◕ n-9, ◕ 9 ✳ 15-n mU,
13	1.0	6.6	3.8	3.8	—	630.6	631.8	631.8	100	66	84	NW 1	NE 1	E 3	4	4	4	.	⛈ III [≡ n-n, ⛈ III
14	7.6	11.4	7.2	8.7	—	630.8	631.7	632.3	**50**	54	96	E 3	N 1	NW 2	6	8	10◕≡	12.6	● 14½-15, 18-n mU, ≡ 19½-
15	5.8	9.2	6.0	7.0	—	633.0	633.6	632.6	86	91	100	SSE 2	NE 1	E 2	8	8	6	.	[n mU, ⛈ I
16	7.0	11.8	9.0	9.3	—	632.6	633.6	632.8	96	72	55	NW 2	NW 2	E 2	7	7	4	4.0	◕ n (16./17.)
17	6.0	7.2	5.4	6.2	—	631.2	630.5	629.3	81	100	90	S 3	SE 2	W 4	9	10≡	8	2.2	◕ n-8½ mU, 14-19 mU, ≡ 13-14, ⛈ III
18	4.0	3.8	3.0	3.6	—	627.9	628.0	627.5	100	100	100	W 4	NW 3	NW 3	10◕≡	10≡	10≡	6.2	◕ n-12 mU, ✳ n (18./19), *)
19	-1.2	-1.2	-2.2	-1.5	—	625.8	627.3	629.3	100	100	100	N 3	NW 3	N 3	10≡	10✳≡	10✳≡	2.3	✳ 8-n mU, ≡ ⛈ n-n mU ⛝
20	**-3.0**	-1.0	-1.2	-1.7	—	630.0	631.6	632.4	100	100	95	NW 2	NE 1	NNW 2	8	8	3	.	≡ n-7 ⛝
21	-0.3	5.1	3.0	2.6	—	631.8	631.6	631.0	100	65	100	WSW 2	W 2	NW 3	3	5	10≡	9.8	◕ n (21./22.), ≡ ⛈ 20-n
22	3.0	2.8	0.8	2.2	—	630.3	631.9	634.2	100	100	100	NW 3	NW 3	N 2	10◕≡	10◔≡	5	10.5	◕ n-17 mU, ≡ ⛈ n-17
23	1.0	5.0	2.2	2.7	—	635.4	636.1	**636.3**	100	90	100	NW 2	NW 2	NW 1	4	5	10≡	.	≡ 7½-10, 10-n mU
24	3.2	7.4	4.8	5.1	—	634.0	633.3	631.9	100	86	92	E 2	NNW 1	S 2	10≡	5	2	.	≡ n-9
25	6.0	10.2	6.2	7.5	—	628.7	626.4	624.1	70	56	100	SW 4	WSW 5	W 5	6	9	10◕≡	17.4	◕ 15½-n mU, ≡ 20-n mU, ⛈ n-n
26	1.0	2.2	3.2	2.1	—	624.5	624.7	622.8	100	90	80	W 5	W 5	SW 4	10≡	9	10	3.5	◕ ✳ 9-12 mU, ≡ n-11 mU, ⛈ n-n
27	3.8	-1.0	1.2	1.3	—	**616.3**	618.4	625.1	100	100	100	S 5	NW 5	NW 5	10≡	10≡	10≡	13.7	◕ n-7 mU, ✳ 9-n mU, ≡ n-nmU, *)
28	-0.2	2.6	3.2	1.9	—	629.1	629.6	627.4	100	85	80	W 3	S 2	S 3	9	8	6	6.3	✳ n (28./29.), ≡ n-7, ⛈ n-n mU ⛝
29	-1.0	2.0	0.8	0.6	—	625.0	624.2	625.1	100	91	100	S 3	SW 5	W 4	10◕≡	10●	10✳≡	6.5	◕ ✳ 3-n mU, ≡ n-n mU, ☇ 4-4½, *) ⛝
30	1.8	3.0	4.8	3.2	—	621.3	620.0	621 4	95	100	100	S 4	S 4	S 3	10	10◕≡	10◕≡	**18.1**	◕ 11-n mU, ≡ 12-n mU, ⛈ n-n mU
Mittel	3.4	5.4	3.9	4.2	—	628.8	629.1	629.2	93	88	95				8.5	8.6	8.0	Summe 169.7	

*) **8.** ✳ 12½-12¾, 14-14½, ≡ ⛈ n-n mU **9.** ≡ n-15 **10.** ≡ 7-8, 15½-n mU **18.** ≡ 5-15, 19-n, ⛈ I, ⛈ n-n **27.** ⛈ n-n **29.** ⛈ n-n mU

September 1952
Beobachter: *B. Minsch und C. Clavuot*

Bever

$\lambda = 9° 53'$, $\beta = 46° 33'$,
$H_b = 1711.8$ m, $G = -0.23$ mm

Tag	Lufttemperatur 7³⁰	13³⁰	21³⁰	Mittel	Abweich. vom Normalst.	Luftdruck 7³⁰	13³⁰	21³⁰	Relative Feuchtigkeit 7³⁰	13³⁰	21³⁰	Windrichtung und Stärke 7³⁰	13³⁰	21³⁰	Bewölkung 7³⁰	13³⁰	21³⁰	Niederschlag	Witterung
1	11.4	18 2	9.4	13 0	3.6	626.1	626.3	626.8	90	61	83	SE 0	SW 0	SW 1	9	5	0	.	
2	6.2	18.2	12.4	12.3	3.0	626.5	625.5	625.7	98	42	72	N 0	SW 0	NE 1	10≡	6	8	.	≡ n-8
3	8.7	17.4	9.0	11.7	2.6	624.9	624.1	624.1	92	30	74	S 0	NE 1	SE 1	3	2	0	.	
4	9.2	17.0	8.2	11.5	2.5	621.5	620.1	619.5	76	42	82	SE 0	SE 2	S 0	5	3	1	.	
5	9.4	14.0	8.2	10.5	1.6	616.9	615.5	614.9	93	75	99	S 0	S 1	SW 0	6	10	10●	23.4	● 14-n
6	11.4	10.6	7 4	9.8	1.0	614.6	614.9	617.0	78	76	94	SW 1	SW 0	N 1	10	10●	10●	3.6	● a, 13-n mU
7	5.4	7.0	4.4	5.6	-3.0	617.5	617.0	618.9	94	75	89	NE 1	SW 2	N 1	10	10	10	8.9	● n-a mU
8	2.2	11.4	1.2	4.9	-3.6	619.7	618.2	619.5	100	47	96	W 0	S 1	NE 1	10≡	8	10*	11.7	● 18-20½, * 20½-n, ≡ n-8½ ⊠
9	0.0	5.4	1.2	2.2	-6.2	618.8	620.3	621.0	99	48	92	SW 1	W 0	E 0	9	8	10	.	
10	2.0	7.3	4 2	4.5	-3.7	620.1	620.1	620.6	95	66	96	W 0	SW 2	W 1	10	10	10●	3.8	● 20-n
11	4.4	11.4	5.1	7.0	-1.1	619.0	617.4	616.4	99	60	96	S 0	SW 1	S 0	10●	9●	10●	41.4	● n-n
12	3.1	4.0	1.2	2.8	-5.2	614.3	616.2	619.3	92	57	100	S 0	SW 1	SW 0	10*	10●	10●	5.8	● n-7, 10-n, * 7-10
13	-0.3	10.0	-0.1	3.2	-4.6	622.8	623.2	624.6	99	43	84	SW 0	NE 1	S 0	10≡	0	0	.	≡ n-8¾, ⌙ l
14	-0.1	11.7	3.8	5.1	-2.6	625.3	624.3	624.7	97	46	94	S 0	SW 1	SW 0	1	5	5	.	
15	5.2	13.1	5.4	7.9	0.3	624.0	623.9	625.2	80	43	87	W 1	SW 1	W 1	4	3	5	.	⌙ l
16	5.0	13.9	5.8	8.2	0.8	625.7	625.0	625.6	90	38	95	W 0	SW 0	SW 0	10	8	4	.	
17	7.0	10.4	7.0	8.1	0.8	624.2	623.2	621.1	96	65	97	S 0	SW 1	S 0	8	9	8	0.4	● 15-abd
18	1.4	12.8	4.5	6.2	-1.0	619.7	618.1	618.2	99	39	92	SW 0	SW 1	W 0	1	3	3	0.7	● n (18./19.), ≡ a, ⌙ l
19	4.4	5.4	-0.7	3.0	-4.0	614.9	616.4	619.4	90	48	57	NE 0	W 0	NW 1	7	6	6	.	
20	5.2	4.0	-1.4	2.6	-4.3	621.7	621.9	623.6	44	42	58	NE 0	W 2	NE 1	5	4	2	.	
21	-7.2	9.6	0.4	0.9	-5.9	624.0	622.9	622.0	83	44	96	S 0	S 2	S 1	0	0	0	.	⌙ l
22	1.2	9.9	4.4	5.2	-1.4	621.4	621.0	624.0	99	40	71	SW 0	NW 0	NNW 0	9	8	4	.	⌙ l
23	4.0	10.6	5.4	6.7	0.4	625.7	625.0	626.9	62	47	69	SW 0	W 1	NE 0	S	1	0	.	
24	-3.8	14.1	4.6	5.0	-1.4	625.9	624.3	623.9	99	39	90	S 0	SW 1	W 0	10≡	0	1	.	≡ n-8¾, ⌙ l
25	5.8	10.7	6.8	7.8	1.6	621.8	619.9	617.6	80	56	88	W 0	SW 2	SW 1	7	6	10●	5.3	● 20¼-n
26	3.7	8.4	1.7	4.6	-1.5	615.3	614.4	614.9	98	41	83	SE 0	W 2	SW 0	1	1	3	.	
27	2.7	6.3	2.2	3.7	-2.3	610.9	610.1	615.8	92	82	53	S 0	SW 2	W 1	8	8	7	0.0	● 9¼-10
28	0.4	11.2	-1.8	3.3	-2.5	619.4	620.6	621.7	58	48	76	W 0	SW 1	W 1	6	2	0	6.9	* n (28./29.)
29	0.2	5.2	-1.7	1.2	-4.5	618.1	616.5	618.0	99	68	92	S 1	SW 1	NW 0	10*	7	8	12.7	* n-12
30	-1.3	5.4	3.7	2.6	-2.9	615.5	616.0	617.0	96	70	96	N 0	SE 1	S 1	10	10	10●		● 20-n
Mittel	3.6	10.5	4.1	6.1	—	620.5	620.1	620.9	89	53	85				7.2	5.8	5.5	Summe 124.6	

September 1952
Beobachter: *Couvent des Capucins.*

Sion

$\lambda = 7° 21'$, $\beta = 46° 14'$,
$H_b = 548.6$ m, $G = -0.11$ mm.

1	15.7	23 9	17.8	19.1	2.1	718.8	717.8	718.0	91	57	80	WSW 0	WSW 1	NE 2	9	2	1	.	
2	16.0	24.1	19.6	19 9	3.0	718.6	716.6	717.4	98	51	65	NE 0	W 2	WSW 1	8	2	2	.	☂ p
3	16.6	22.0	16.3	18.3	1.5	717.6	716.0	716.7	78	53	64	ENE 0	WSW 3	WSW 0	1	4	2	.	
4	15.8	22.0	15.9	17.9	1.2	715.7	713.3	712.1	73	55	82	WSW 0	WNW 3	W 1	8	6	2	.	☂ p
5	14.3	22.8	15 5	17.5	0.9	709.6	704.4	716.6	80	54	76	NE 1	W 1	WNW 3	2	6	10●	2.5	● 18, 21½-24
6	12 9	17.2	13.5	14.5	-1.9	717.7	708.2	710.4	100	55	63	WNW 0	WSW 3	W 2	8	7	10	.	● 0-1¼, 3½-4, ☂ p
7	11.2	14.4	10 0	11.9	-4.4	711.4	712.5	713.1	90	63	81	WNW 0	W 3	WSW 1	9	10	1	.	
8	9.9	16 4	10 4	12.2	-4.0	713.9	711.7	715.7	86	52	81	ENE 0	SW 1	WSW 0	7	3	10	1.5	● 19¾-21, 22-22½
9	9.8	14.8	10.9	11.8	-4.3	716.0	714.2	714.6	83	47	75	NW 0	WNW 0	WSW 0	10	10	10	0.9	
10	9.8	12.8	9.9	10.8	-5.2	710.1	713.6	713.7	92	77	100	WNW 0	E 0	W 1	9	10●	10	6.6	● 1¾-4, 13¾-19½ mU, 22¼-24¼
11	9.9	14.1	11.4	11.8	-4.0	712.0	710 9	710.1	100	78	100	E 1	WSW 1	W 1	10	10	10●	7.4	● 12½-13, 14½-15½, 19¼-24
12	10.2	14.2	10.0	11.5	-4.2	709 0	710.5	714.3	100	55	70	WSW 0	SW 2	SW 0	9	9	7	0.8	● 0-4, 6½-7, 10¾-11¼
13	7.0	17.3	12.3	12.2	-3.4	717.1	715.7	716.6	88	38	76	NNE 0	NNE 0	WNW 0	1	1	10	.	
14	10.3	20.4	13.0	14.6	-1.9	716.4	714.6	716.4	73	45	91	ENE 1	NNE 0	WNW 0	9	4	1	.	
15	11.4	19.3	14.2	15.0	-0.3	718.1	716.1	716.2	98	52	82	NW 0	WSW 2	WNW 1	9	2	1	.	
16	10.6	19.6	8.9	13.0	-2.2	717.8	716.3	717.2	98	49	67	NE 1	NE 0	WSW 1	8	6	3	.	
17	12.2	16.0	12.4	13.5	-1.6	716.4	715.3	714.8	97	78	98	NNE 1	WSW 0	WNW 2	8	10●	10●	1.1	● 13½, 20¼-21¾
18	11.2	17.8	12.8	13.9	-1.0	713 8	711.6	712.5	100	53	63	WNW 1	W 1	W 2	10●	6	3	0.4	● 7¼-8, ☂ p
19	10.2	10.8	7.8	9.6	-5.2	711.6	714.2	715.8	96	63	66	WSW 1	WSW 2	WSW 2	10●	8	10	1.6	● 7-8½
20	7.0	14.6	7.6	9.7	-4.9	711.6	716.2	717.3	92	45	66	W 0	SW 2	NE 1	9	2	0	.	☂ p
21	4.7	14.6	12.2	10.5	-3.9	719.4	716.1	716.3	78	47	55	NE 0	WSW 2	W 1	0	0	5	.	
22	10.3	17.4	11.0	12.9	-1.4	716.6	715.8	719.6	95	48	69	NNE 0	WSW 3	W 0	9	6	1	0.4	● 8-8¼, ☂ p
23	8.3	16.2	10.4	11.6	-2.5	721.4	720.4	721.2	83	51	77	NNE 0	WSW 1	WNW 1	0	0	0	.	
24	9.2	17.6	10.6	12.5	-1.4	719.9	716.7	717.1	96	52	90	NE 0	NE 1	NNE 1	10	0	0	.	
25	6.8	19.8	12.9	13.2	-0.5	714.9	710.2	709.8	100	42	100	NNE 0	NNE 1	N 0	3	6	10	13.6	● 18¾-24
26	8.2	16 8	9.7	11.6	-1.9	711.0	709.2	708.2	88	47	68	ENE 0	WSW 2	WNW 1	0	8	4	6.6	● 0-1½
27	8.0	10.1	7.8	8.6	-4.7	705.4	707.5	713.7	100	70	98	NNE 1	WSW 3	WNW 2	8●	10●	10●	7.7	● 4½-8, 10½-0½
28	8.1	14.6	8.6	10.4	-2.7	716.2	714.9	714.2	86	40	58	SE 0	SE 0	NE 2	5	4	2	6.5	
29	8.0	12.3	8.0	9.4	-3.5	713.2	711.1	712.4	100	57	74	ENE 0	ENE 0	ENE 2	10●	8	5	6.4	● 5¾-9½
30	7 8	12.0	10.9	10.2	-2.5	708.4	707.3	708.0	78	73	65	ENE 0	ENE 0	ENE 2	9	10	8	.	
Mittel	10.4	16.9	11.7	13.0	—	714.7	713.3	714.7	91	55	77				6.9	5 7	5 3	Summe 64.0	

$\lambda = 8°\,57'$, $\beta = 46°\,0'$,
$H_b = 276.2$ m, $G = -0.01$ mm.

Lugano

September 1952
Beobachter: *G. Vicari.*

Tag	Lufttemperatur					Luftdruck			Relative Feuchtigkeit			Windrichtung und Stärke			Bewölkung			Niederschlag	Witterung
	7^{30}	13^{30}	21^{30}	Mittel	Abweich. vom Normalst.	7^{30}	13^{30}	21^{30}	7^{30}	13^{30}	21^{30}	7^{30}	13^{30}	21^{30}	7^{30}	13^{30}	21^{30}		
1	16.4	**27.4**	20.2	21.3	2.3	738.6	738.6	739.5	82	57	67	N 1	S 1	N 1	0	0	0	.	
2	17.8	**27.4**	20.0	21.7	2.8	739.7	738.8	737.9	85	62	73	N 1	ESE 1	N 1	1	0	0	.	
3	17.4	26.8	20.2	21.3	2.7	737.7	736.7	736.3	74	57	76	N 1	S 1	N 1	9	1	3	.	
4	16.2	26.8	20.4	21.1	2.4	735.0	733.4	732.4	77	55	78	N 1	S 1	N 1	3	0	7	.	
5	19.2	19.8	15.8	18.3	−0.2	730.9	729.8	728.0	94	97	99	S 1	E 1	N 1	9	9	10●	**107.4**	● 10¼–13¼, 14½–n, ⛆ 15–16½, 22
6	17.2	19.0	17.8	18.0	−0.4	728.8	729.1	730.0	98	91	63	NNE 1	NNW 1	N 2	9	10●	10	3.8	▽ 13½, p
7	15.6	20.8	16.4	17.6	−0.7	731.4	731.8	732.7	88	53	48	W 1	N 2	N 1	10	3	0	0.0	●tr 10
8	11.4	21.4	17.2	16.7	−1.5	734.5	733.3	733.1	72	44	38	N 1	E 1	N 2	0	5	7	.	
9	11.2	19.8	13.4	14.8	−3.2	735.2	735.3	736.4	58	35	63	N 1	N 2	N 1	0	5	10	.	
10	13.0	15.4	11.8	13.4	−4.5	737.4	737.5	737.1	73	64	95	WNW 1	N 1	SW 1	3	10●☂	10●	6.4	⊛ ☂ 13½–14½, ● 20–n
11	12.2	13.4	12.8	12.8	−5.0	735.6	734.1	731.6	95	94	99	NNW 1	N 1	NW 1	10	10●☂	10●	47.5	▽ 7½, ● ☂ 7½–15, ● 15–n
12	12.8	19.2	12.2	14.7	−2.9	729.1	729.4	734.3	94	53	66	NNW 1	S 1	NNW 1	10	8	0	0.9	▽ 7¾
13	9.2	20.8	12.8	14.3	−3.2	738.0	739.2	740.8	75	44	76	N 1	S 1	N 1	3	0	0	.	
14	10.4	18.0	14.6	14.3	−3.1	742.0	742.0	741.0	87	57	86	N 1	S 1	N 1	9	9	6	.	
15	11.4	21.4	14.8	15.9	−1.3	740.5	739.5	740.7	88	57	80	N 1	S 1	N 1	0	0	4	3.4	● n (15./16.)
16	14.2	16.0	13.0	14.4	−2.7	742.7	743.6	**744.4**	93	73	98	NW 1	SW 1	W 1	9	10	10	7.2	⛆ 2–3, ● 14½–20½, n (16./17.)
17	12.8	14.0	13.2	13.3	−3.6	741.9	740.5	738.5	95	87	96	N 1	SW 1	N 1	10	10☂	10	1.6	☂ 7½–20½
18	10.6	20.0	13.8	14.8	−2.0	735.8	734.5	734.2	94	63	89	NNW 1	S 1	N 1	1	5	1	.	
19	12.6	20.4	13.4	15.5	−1.1	730.8	730.3	734.8	91	35	**29**	N 1	N 2	N 2	2	0	0	.	
20	9.2	19.8	11.2	13.4	−3.0	738.2	738.4	740.5	51	30	48	N 1	NNW 1	N 1	0	0	0	.	
21	7.8	15.8	11.4	11.7	−4.5	743.4	741.3	739.6	72	57	86	WNW 1	S 1	NW 1	2	3	7	.	
22	9.8	19.8	12.0	13.9	−2.1	739.0	737.9	739.8	87	50	85	N 1	S 1	N 1	8	1	0	.	
23	12.6	21.8	14.4	16.3	0.4	741.6	741.7	741.3	60	48	74	S 1	S 1	N 1	0	0	0	.	
24	9.8	21.0	13.4	14.7	−1.0	742.0	741.4	741.1	90	58	88	N 1	S 1	N 1	0	1	0	.	
25	11.6	17.8	14.4	14.6	−0.9	739.3	737.0	733.8	93	68	96	N 1	S 1	N 1	6	9	10	5.3	● 20–21, n (25./26.)
26	11.8	21.2	14.0	15.7	0.4	730.3	728.6	728.7	95	51	81	N 1	S 1	N 1	0	0	5	2.2	● n (26./27.)
27	11.8	13.8	11.2	12.3	−2.8	726.6	**725.4**	730.5	91	81	89	**W** 1	NNW 1	N 1	10●	10●	0	10.8	● n–14½
28	**7.6**	19.8	9.4	12.3	−2.6	736.4	737.5	739.1	70	38	75	N 1	ESE 1	N 1	0	2	0	5.6	● n (28./29.)
29	9.2	9.6	8.8	9.2	−5.5	736.8	735.7	734.9	99	88	93	N 1	W 1	N 1	10●	10	5	8.1	● n–11
30	8.6	10.2	9.8	9.5	−5.0	734.0	734.2	734.6	88	87	99	N 1	N 1	NNE 1	10	10☂	10●	20.7	☂ 9–14½, ● 16–n
																		Summe	
Mittel	12.4	19.3	14.1	15.3	—	736.4	735.9	736.3	84	61	78				4.8	4.7	4.5	230.9	

$\lambda = 7°\,35'$, $\beta = 47°\,33'$,
$H_b = 317.3$ m, $G = 0.11$ mm.

Basel

September 1952
Beobachter: *Astronom.-Meteorol. Anstalt.*

1	17.2	**23.2**	17.5	19.3	3.6	738.5	738.6	738.0	89	61	86	W 1	WNW 1	SW 1	10	8	1	.	⌓ 1
2	16.3	19.4	14.2	16.6	1.0	738.1	738.6	738.6	88	70	77	SE 1	W 1	SW 1	7	10	0	.	
3	14.2	21.4	17.5	17.7	2.2	737.4	736.4	735.9	78	51	54	E 1	WNW 2	SW 1	3	6	7	0.3	
4	15.9	16.5	15.0	15.8	0.4	733.7	733.5	731.8	89	82	89	SSW 1	WNW 1	W 1	10●	10	8	1.8	● 7¼–8, 12½–15¼ mU
5	13.9	21.5	14.1	16.5	1.2	728.1	725.0	725.7	90	58	90	E 1	E 1	NE 1	9	9	9	0.6	⛈ 16
6	10.8	16.0	11.5	12.8	−2.4	727.5	729.3	730.8	90	55	85	W 1	W 1	SW 1	10●	9	9	1.0	● 5–9¼
7	10.1	15.1	8.5	11.2	−3.9	731.1	731.6	732.6	94	71	94	S 1	ESE 1	NE 1	7	10	1	3.4	● 14½–16½, 19½–19¾
8	7.6	9.2	9.2	8.7	−6.2	733.4	733.4	734.7	94	88	80	NE 0	W 1	W 1	10●	10●	9	8.9	● 5¾–8½ mU, 11¾–14¼, ⛆ 12¾–13,
9	9.1	13.6	9.2	10.6	−4.2	735.2	735.0	734.8	84	64	89	W 1	WNW 1	NE 0	10	8	10	0.3	[◠ 17¼
10	8.8	16.2	10.1	11.7	−3.0	733.9	733.0	733.4	93	59	94	E 1	E 1	SW 1	9	4	10●	8.3	● 3¾–5½, 15¾–22¼ mU
11	7.7	14.6	10.8	11.0	−3.6	731.8	730.8	729.4	96	76	89	S 0	W 0	SE 1	10	10	10☂	5.6	● 3–5½, ☂ 15–17, 21–22
12	10.0	14.8	11.1	12.0	−2.4	728.4	729.8	733.5	95	60	74	S 0	WNW 1	WNW 1	10●	9	10	0.0	● 0–7½ mU
13	10.3	17.8	8.6	12.2	−2.1	736.4	736.9	737.6	93	52	95	S 0	NE 1	N 1	8	2	0	.	
14	6.6	17.0	13.1	12.2	−2.0	736.5	735.9	736.9	99	65	81	N 1	NW 1	NW 1	10≡	3	10	5.2	●tr 19½, ● 22¾–24, ≡ 2¾–3¾,
15	11.5	15.4	12.0	13.0	−1.0	737.8	738.5	738.5	96	81	94	N 1	N 1	NE 1	10	8	0	.	● 0–5¾ mU [4¾–10¾
16	7.3	16.6	10.4	11.4	−2.5	738.8	738.4	736.8	88	70	85	N 1	ENE 1	E 1	10	7	0	.	
17	9.5	19.0	13.1	13.9	0.1	734.9	733.6	733.0	89	61	91	E 1	E 0	**W** 1	2	8	8	4.5	● 11¾, 16½–18¾, 22–22½, ⛆ 16½–16¾
18	12.3	15.0	11.3	12.9	−0.7	732.5	731.9	732.2	90	66	80	W 1	WSW 1	NW 1	10	10	10	8.6	⊛ 3½–4¾ [17½–17¾, ◠ 18¼
19	7.2	9.8	6.2	7.7	−5.8	732.1	733.6	736.6	96	71	86	SW 1	WSW 2	SW 1	10●	5	10	1.6	● 0¾–8¾, 12½–13, ⛈ 12½
20	4.9	12.1	5.6	7.5	−5.8	737.4	738.4	738.8	92	56	85	E 1	WNW 1	SE 1	8	8	1	.	● 7–7¼
21	**2.1**	16.2	12.4	10.2	−3.0	738.3	736.1	735.3	98	**46**	72	E 1	WSW 2	W 1	7≡	5	5	0.2	≡ 5¼–8
22	11.0	13.1	10.6	11.6	−1.4	735.2	737.1	740.5	87	85	79	WSW 1	NW 0	WSW 1	10	10●	10	1.3	● 6¾–7½, 8½–9¾, 13½, ⛈ 23¼
23	9.0	14.8	8.4	10.7	−2.2	741.7	741.6	**741.9**	92	56	92	E 1	W 1	SW 1	10	10	2	.	
24	5.3	19.5	9.8	11.5	−1.2	740.2	737.6	735.8	99	54	91	SE 1	W 1	NW 1	5≡	0	0	.	≡ 4¼–7¾, ⌓ 1
25	8.6	19.3	13.2	13.7	1.1	732.5	728.3	726.2	92	57	85	E 1	NW 1	S 1	6	10	10●	5.9	● 15¾–23½, ⌓ 1, ⛈ 22
26	8.8	14.8	8.3	10.6	−1.8	728.0	728.6	726.5	87	48	82	SW 1	W 2	NE 1	1	9	9	2.3	● 3–3½, 15½, ◠ 8, 15½, ⛈ 12½
27	8.8	9.6	8.1	8.8	−3.5	**719.6**	722.1	731.6	87	70	74	ENE 1	WSW 4	SW 1	4	10●	7	6.0	● 4–6, 12–17¾ mU, ◠ 17¾,
28	6.7	15.4	8.5	10.2	−1.9	734.9	734.7	731.5	91	51	69	SW 0	NW 1	SE 1	1	6	0	**15.4**	[⛈ 9½–15½
29	6.9	15.8	11.3	11.3	−0.7	730.3	728.4	730.0	88	47	67	SE 1	SW 2	SW 1	10	8	3	0.0	● 4–6¾, 14¼, ◠ 14¼, ⛈ 4¼, ⛈ 12¾
30	8.2	9.6	10.9	9.6	−2.2	726.0	724.7	724.6	86	89	83	ESE 1	SE 1	SE 1	10	10	8	5.5	● 11¾–13, 16¾–18¼
																		Summe	
Mittel	9.6	15.7	11.0	12.1	—	733.7	733.4	733.8	91	64	83				7.9	7.7	5.9	86.7	

September 1952
Beobachter: *Observatorium.*

Säntis

$\lambda = 9° 20'$, $\beta = 47° 15'$,
$H_b = 2500.1$ m, $G = -0.27$ mm.

Tag	Lufttemperatur 7³⁰	13³⁰	21³⁰	Mittel	Abweich. vom Normalst	Luftdruck 7³⁰	13³⁰	21³⁰	Relative Feuchtigkeit 7³⁰	13³⁰	21³⁰	Windrichtung und Stärke 7³⁰	13³⁰	21³⁰	Bewölkung 7³⁰	13³⁰	21³⁰	Niederschlag	Witterung
1	5.0	7.2	5.0	5.7	1.7	568.7	**569.5**	**569.5**	100	100	99	N 1	SW 1	WSW 2	10≡●	10≡	10	3.8	● n–9½, ≡ n–16¾
2	4.5	**7.8**	3.5	5.3	1.4	568.6	568.7	568.5	100	83	100	W 2	W 2	WNW 2	10≡	10≡	10≡	0.2	● 8–8¼, ≡ n–n
3	1.1	4.3	2.7	2.7	–1.1	566.7	566.5	565.5	96	92	100	W 3	WSW 3	WSW 4	9	5	10≡	1.5	● n (3./4.), ≡ 7¾–12, 14–n, ⌿ III
4	2.4	3.6	3.4	3.1	–0.6	563.0	563.5	562.8	100	100	100	W 4	WSW 4	W 3	10≡●	10≡●	10≡●	23.1	● n–11 mU, ● 11–14½, 16¾–n,*)
5	3.1	6.6	3.7	4.5	0.9	559.6	558.3	557.5	100	91	100	SW 2	SSW 3	N 1	10≡	10	10≡●	26.6	▽ 15½, ● 17½–n, ✳ n (5./6.),*)
6	0.3	0.0	–2.0	–0.8	–4.4	557.0	558.3	559.7	100	100	98	SW 2	SW 1	W 3	10≡*	10≡*	10	19.3	✳ n–10½, ▽ 11–15½ mU,*) ✳
7	–2.4	1.0	–2.2	–1.2	–4.7	559.6	560.1	561.1	100	87	100	W 2	W 1	W 1	10≡*	10≡*	10≡	5.1	✳ n–16½, ≡ n–17, 17¾–n ✳
8	–3.0	0.8	–5.0	–2.4	–5.8	560.9	561.6	560.6	89	94	100	WSW 3	SE 1	W 3	1	10≡	10≡*	23.1	✳ 15¾–n, ≡ 8–n mU, ⋁ III ✳
9	–5.2	–3.4	–4.6	–4.4	–7.7	560.3	561.5	561.9	100	100	96	W 3	WSW 2	SSW 2	10≡*	10≡*	10	18.2	✳ n–15½, ≡ n–17¾, ⋁ 10½ ✳
10	–4.0	–0.3	–1.1	–1.9	–1.7	561.2	561.5	561.5	100	95	100	SW 2	SSW 2	S 3	10≡	10≡	10≡	10.8	✳ n–8½ mU, 16½–19, ≡ n–n mU ✳
11	–1.3	1.4	–1.5	–0.5	–3.6	560.2	560.0	558.7	100	94	100	W 3	SW 2	E 2	10≡*	10	10≡	24.6	✳ n–11, 13½–19½, *) ✳
12	–2.7	–2.2	–3.0	–2.9	–6.0	556.3	557.9	560.2	100	100	100	WNW 2	W 3	W 4	10≡*	10≡*	10≡	21.4	✳ n–11½, 12¾–14, 18¼–20½, *) ✳
13	–4.1	–0.5	–1.0	–1.9	–4.9	562.9	564.7	565.8	100	90	65	WSW 2	SW 2	W 2	10≡	10≡	1	.	≡ n–14 mU, ⋁ I ✳
14	4.5	4.9	3.4	4.3	1.4	565.6	566.0	566.2	71	67	78	WSW 2	S 2	SSW 1	1	1	7	1.1	● n (14./15.) ✳
15	0.6	3.0	0.8	1.5	–1.3	566.2	567.1	567.1	100	92	94	NW 1	SSW 1	E 2	10≡	10≡	0	0.5	✳ 8–9 mU, ≡ n–9½, 11–17¾ ✳
16	3.1	5.0	3.1	4.0	1.3	566.7	567.5	566.9	68	68	79	SSW 2	SSW 1	SSW 3	3	1	2	.	✳
17	3.2	6.8	1.3	3.8	1.2	565.2	564.2	562.9	73	84	100	S 2	SW 2	W 3	1	10≡	10≡△	17.9	● 14¼–16½, ▽ 16½–17, *) ✳
18	–1.1	–0.2	–2.2	–1.2	–3.7	560.9	561.0	560.0	100	100	100	W 3	W 3	W 4	10≡*	10≡	10≡	17.9	▽ 6¾–7¼, 8½–11½, 15¼–19¾, *) ✳
19	–3.4	–5.9	–8.1	–5.8	–8.2	557.4	558.4	559.8	100	100	98	W 3	NW 2	W 3	10≡	10≡	10≡*	22.4	✳ 7¾–12½, 13¾–n, *) ✳
20	**–8.3**	–4.8	–7.2	–6.8	–9.1	561.0	562.8	563.8	100	96	97	W 2	WSW 2	WSW 2	10≡	10≡	10	.	≡ n–8¾, 10¼–19½ ✳
21	–5.5	–3.6	–3.0	–4.0	–6.2	563.2	563.4	561.6	88	74	100	SW 3	W 3	WSW 4	1	7	10≡	11.0	✳ n (21./22.), ≡ 18–n, ⌿ III ✳
22	–2.8	–2.0	–3.8	–2.9	–5.0	562.1	563.6	565.6	100	100	100	W 3	NW 3	WNW 3	10≡*	10≡*	10≡	28.0	✳ n–7¾, 8¼–15½ mU, *) ✳
23	–5.0	–1.8	–2.2	–3.0	–5.0	566.8	567.4	568.1	98	100	97	WSW 3	SW 3	W 3	10	10≡	10	.	≡ 7¾–19¾ mU ✳
24	–1.3	0.6	0.8	0.0	–1.9	566.8	566.3	565.3	87	84	68	ENE 3	SSW 3	WSW 3	1	1	1	.	✳
25	2.9	4.4	1.0	2.8	1.1	562.5	560.9	558.4	**48**	53	97	WSW 3	WSW 3	SW 3	8	8	10	15.1	✳ n (25./26.) ✳
26	–4.6	–2.4	–4.5	–3.8	–5.5	556.7	556.9	555.9	100	100	96	WSW 4	SW 3	WSW 3	10≡	10≡	3	1.4	△ 12¾, ≡ n–9¾, 11½–20¼, *) ✳
27	–2.0	–1.2	–3.7	–3.0	–4.0	551.9	**551.5**	556.9	100	100	100	WSW 4	WSW 3	W 4	10	10≡*	10≡	26.4	✳ n–6¾, 12¾–17, 18½–19¾, *) ✳
28	–6.2	–4.1	–4.1	–4.8	–6.3	559.7	562.1	561.7	100	97	60	W 4	SW 3	SSW 3	10≡	4	1	.	≡ n–12¾, ⋁ I ✳
29	–4.6	–2.6	–4.0	–3.7	–5.1	557.8	557.5	558.8	100	100	98	W 3	WSW 3	WSW 3	10≡*	9	10	6.3	✳ 7–7½, 8½–11, 18½–20,*) ✳
30	–2.3	0.2	–0.6	–0.9	–2.2	556.5	555.9	557.0	69	84	90	SW 2	SSW 3	SSW 4	10	10	2	.	⌿ III ✳
Mittel	–1.3	0.8	–1.3	–0.6		561.7	562.1	562.3	93	91	94				8.2	8.5	7.9	Summe 325.7	

September 1952
Beobachter: *E. Chiesa*

St. Gotthard (Hospiz)

$\lambda = 8° 34'$, $\beta = 46° 33'$,
$H_b = 2095$ m, $G = -0.25$ mm.

1	7.1	11.7	8.1	9.0	2.3	595.5	596.3	597.4	100	61	100	NW 2	NW 2	NW 2	10≡	6	10	.	≡ n–a
2	7.3	**11.9**	7.2	8.8	2.2	596.9	**597.5**	596.8	89	56	100	NW 1	NW 1	NW 1	0	3	10	.	
3	4.6	10.2	5.9	6.9	0.4	595.5	596.0	595.2	100	45	100	NW 1	NW 2	NW 1	3	0	6	.	
4	7.0	9.8	5.0	7.6	1.2	593.5	593.4	592.2	65	55	97	NW 1	NW 1	NW 2	3	6	0	.	
5	6.2	8.1	6.0	6.8	0.5	591.2	588.5	581.9	78	100	100	S 0	SE 0	SE 0	6	10●≡	10●≡	34.7	● 12½–n, ≡ a–n mU
6	3.0	1.3	0.1	2.1	–4.1	585.8	586.1	587.2	70	100	100	NW 0	NW 2	NW 2	10	10≡	10	12.4	▲ ● 15¼, ▽ 20½, ≡ a–p mU
7	0.3	0.0	0.3	0.1	–6.0	587.7	586.6	589.6	100	100	100	NW 2	NW 1	NW 2	10	10≡	10–	4.9	✳ n (7./8.), ≡ a–n mU
8	–0.3	4.4	–2.2	0.6	–5.4	589.6	589.8	589.7	88	55	97	NW 1	NW 1	NW 2	0	6	10*	10.3	✳ 16¾–n ✳
9	–2.6	0.3	–0.8	–1.0	–6.9	589.6	590.8	591.3	100	98	100	NW 2	NW 1	NW 0	10–	3	10*	5.6	✳ 20¾–n mU, ≡ n–a ✳
10	–0.5	1.2	1.3	0.7	–5.1	590.8	591.1	591.1	100	97	100	SE 1	SE 1	SE 0	10≡	10≡	10≡	11.1	✳ 15¼–n mU, ≡ n–n ✳
11	1.0	4.8	0.4	2.1	–3.6	589.7	589.4	587.6	100	95	100	SE 0	SE 0	NW 1	10●	10●	10●	**34.8**	● n–n mU, ✳ p ✳
12	–1.4	0.0	–1.0	–0.8	–6.1	585.4	586.7	589.3	100	100	100	NW 1	NW 2	NW 2	10*–	10≡	10≡	2.3	✳ n–a, ≡ n–n ✳
13	–2.8	2.5	0.8	0.2	–5.3	591.4	593.4	594.8	100	65	80	NW 2	NW 2	NW 0	9	0	0	.	✳
14	1.9	6.3	2.8	3.7	–1.7	594.9	595.3	595.2	72	60	100	SE 1	SE 2	SE 0	3	0	0	.	✳
15	2.7	6.9	4.0	4.5	–0.8	594.6	595.5	595.7	100	59	100	NW 2	NW 2	NW 1	10●●	3	3	3.7	● a, ● n (15./16.), ≡ n–a ✳
16	3.7	4.2	3.0	3.6	–1.5	595.7	596.6	596.6	100	93	100	SE 1	SE 1	SE 0	10●	10●	10●	9.0	● n–n ✳
17	2.5	2.9	2.4	2.6	–2.4	595.0	594.2	592.7	100	100	100	SE 1	SE 1	SE 0	10≡	10●≡	10≡	5.7	● ● a–p, ≡ n–n ✳
18	2.4	6.7	1.9	3.7	–1.2	594.7	590.8	589.6	100	70	100	SE 0	NW 0	NW 1	6	6	10≡	.	≡ 17¾–n ✳
19	0.0	–2.7	–5.0	–2.6	–7.4	587.2	587.6	588.8	98	100	100	NW 2	NW 3	NW 3	9	10	10	3.6	✳ n (19./20.), ≡ 8½–11¼, ✳
20	**–5.1**	–2.3	–4.8	–4.1	–8.7	589.9	592.0	593.1	100	66	100	NW 2	NW 1	NW 2	10	3	3	.	⌈⌿ a–n ✳
21	–2.8	4.0	–0.2	0.3	–4.2	593.5	593.4	592.7	70	64	100	SE 1	S 0	SE 1	0	0	10≡	.	≡ 18¼–n ✳
22	–0.3	2.2	–1.0	0.3	–4.1	591.9	592.8	594.2	98	92	100	NW 1	NW 2	NW 2	10	10	10	3.4	✳ 8½–10, ⌖ 18¼ ✳
23	–2.0	3.4	1.0	0.8	–3.4	595.0	596.7	597.4	100	72	100	NW 2	NW 2	NW 2	10≡	0	10≡	.	≡ n–a, 18–n ✳
24	0.0	8.2	4.2	4.1	0.0	595.6	595.5	595.1	90	48	100	NW 2	SE 1	SE 2	0	0	10≡	.	≡ 17¾–n ✳
25	3.0	3.8	2.5	3.1	–0.8	592.8	591.6	588.4	92	96	100	SE 1	SE 1	SE 0	10	10	10●	21.0	● 19¾–n ✳
26	–1.8	4.0	2.6	1.6	–2.2	586.6	586.5	585.8	100	30	25	NW 1	NW 1	NW 0	0	3	0	6.9	✳ n (26./27.) ✳
27	–1.6	1.8	–3.0	–0.9	–4.5	582.6	**581.1**	587.0	100	92	100	SE 1	SE 1	NW 2	10*≡	10*	10*	5.2	✳ n–n mU, ≡ n–a ✳
28	–3.8	3.4	–1.0	–0.1	–3.6	589.3	591.6	591.5	65	35	68	NW 2	SE 0	SE 1	0	0	0	2.5	✳ n (28./29.) ✳
29	–2.6	–0.2	–3.4	–2.1	–5.4	588.8	588.1	588.3	100	97	94	SE 1	SE 1	SE 0	10*≡	10≡	0	5.0	✳ n–a, ≡ n–18¼ ✳
30	–0.6	0.2	–0.4	–0.3	–3.4	586.6	586.5	587.1	73	100	99	SE 2	SE 2	SE 1	10	10*≡	10*≡	22.5	✳ 8¼–n, ≡ a–n mU ✳
Mittel	0.9	4.0	1.2	2.0	–	591.1	591.4	591.4	91	77	95				7.0	6.0	7.4	Summe 204.6	

*) Säntis. **4.** ⌿ n–16½ **5.** ≡ n–8½, 12–15½, 17½–n mU **6.** ✳ 17–19¼, ≡ n–20¾ **11.** ≡ n–11½, 13½–n **12.** ≡ n–n, ⌿ III **17.** △ 21–n, ≡ 12½–17, 20¾–n **18.** ≡ n–n, ⋁ I, ⌿ III **19.** ⌖ 15–n ≡ n–n, ⋁ I, ⌿ 16½ **22.** ⌖ n–7½, ≡ n–n, ⋁ I, ⌿ 10½ **26.** ⋁ I, ⌿ I **27.** ▽ 7½–8½, ⌞ 12¾, ⌖ 12½–n, ≡ n–7, 7½–8½, 12¼–n, ⌿ n–n **29.** △ 17¾–18¼, ⌖ 9–11, ≡ 6–11½, 16¾–20½, ⌿ 10½

$\lambda = 7°\,26'$, $\beta = 46°\,57'$,
$H_b = 572.2$ m, $G = 0.00$ mm.

Bern

Oktober 1952
Beobachter: *Meteorol. Observatorium.*

Tag	Lufttemperatur					Luftdruck			Relative Feuchtigkeit			Windrichtung und Stärke			Bewölkung			Niederschlag	Witterung
	7^{30}	13^{30}	21^{30}	Mittel	Abweich. vom Normalst.	7^{30}	13^{30}	21^{30}	7^{30}	13^{30}	21^{30}	7^{30}	13^{30}	21^{30}	7^{30}	13^{30}	21^{30}		
1	8.3	11.2	9.3	9.6	−1.3	704.7	705.4	708.7	95	51	69	W 1	WSW 3	SSW 2	10	9	10	0.4	☉ 0–0¾, 5½–8½ mU, ☄ a–p
2	6.3	10.2	7.6	8.0	−2.7	710.8	710.6	713.3	75	56	88	WSW 2	WSW 3	WSW 2	2	4	10●	4.1	☉ 3¾–5¾, 11¾–15¾, 18–24, ☄ a–p
3	7.4	10.9	7.9	8.7	−1.8	714.6	714.3	716.7	75	52	73	SSW 1	SSW 3	W 1	6	9	10	0.1	☉ 0–1½, 11¾, 18–18¾, 21¾–23, ☄ a–p
4	5.7	12.2	7.9	8.6	−1.7	715.9	713.3	710.5	96	57	98	SE 1	W 1	W 1	1	9	10●	13.1	☉ 18½–24, ⌓ I
5	10.9	13.9	9.8	11.5	1.4	709.4	711.8	713.8	96	64	90	WNW 2	NW 2	NNE 1	9●	6	8	0.0	☉ 0–8½
6	8.5	11.5	10.5	10.2	0.3	713.0	712.1	711.3	94	83	100	SE 1	SE 1	SSE 1	10	10	10	9.7	☉ 14–20¾, 22½–24
7	11.0	14.3	7.9	11.1	1.4	712.9	713.1	713.3	91	52	86	NW 1	WSW 2	S 1	10●	9	6	0.0	☉ 0–2, 6–8
8	7.9	11.1	5.6	8.2	−1.3	715.2	717.5	**719.9**	76	48	87	SSW 1	W 1	NE 1	9	9	0	.	
9	1.7	10.9	7.7	6.8	−2.5	718.0	715.9	714.1	98	57	89	SE 1	W 1	SE 1	0	3	0	.	⌴ I, ⌓ III
10	5.7	11.3	7.6	8.2	−0.9	712.5	711.3	711.2	95	**47**	84	S 1	W 1	W 1	4	9	10	0.6	☉ 20½–21, 22¾–24, ⌓ I
11	5.1	8.5	3.2	5.6	−3.3	709.9	708.2	708.8	86	58	90	ESE 1	NNE 2	NE 1	8	2	0	.	☉ 0–0¼, 2½–2¾
12	**−0.3**	8.8	2.2	3.6	−5.1	710.2	710.8	711.1	96	48	93	S 1	NNE 1	ESE 1	9≡	2	0	0.4	≡ n–7¾, ⌴ I
13	1.4	4.4	10.0	5.3	−3.2	707.4	704.2	703.6	92	98	93	W 1	SSE 1	SSW 2	10●	10●	10●	26.7	☉ 7¼–24
14	9.0	10.7	7.6	9.1	0.8	**703.3**	**703.3**	706.9	62	54	82	W 1	SSW 5	WSW 3	6	10	10●	8.4	☉ 0–2, 4¼–4¾, 13½–24, ☄ a–n, ☄ II
15	6.9	7.5	4.4	6.3	−1.8	710.4	711.7	711.7	89	83	95	W 1	S 1	NE 1	9	9	5	0.2	☉ 0–5, 7¾–12¼,
16	4.3	10.0	8.2	7.5	−0.5	711.5	711.8	714.2	96	68	90	S 1	NNW 1	S 1	9	9	10	2.2	
17	8.2	12.2	8.3	9.6	1.8	716.8	717.7	718.4	100	79	98	S 1	N 1	NE 1	10●	9	10≡	0.2	☉ 5¼–9½, ≡ p–n
18	6.6	7.6	7.1	7.1	−0.5	717.4	716.6	715.0	100	96	98	E 1	NNE 1	NE 1	10≡	10	10	0.0	☽ 8¼–9, ≡ n–9
19	6.8	9.1	8.3	8.1	0.7	713.5	713.2	712.2	90	84	98	SSW 1	NE 1	N 1	10	10☽	10●	1.7	☉ 9¾–11¼, 13½–15¾, 20–21½, *)
20	6.3	9.1	8.6	8.0	0.8	710.2	709.0	706.3	100	98	100	SE 1	NNE 1	NW 1	10≡	10●	10≡	3.8	☉ 3¾–5¼, 12¼–13¾, ☽ 11¾–12¼, *)
21	8.3	13.9	12.8	11.7	4.7	704.9	706.0	709.7	100	83	85	ENE 1	WNW 2	WSW 1	10≡	9	9	0.4	☉ 15–16¼ mU, ≡ n–a
22	8.8	13.2	8.4	10.1	3.2	711.1	709.9	711.0	100	77	97	SE 1	E 1	SSW 2	9≡	9	10●	10.5	☉ 8¼–9½, 15¾–13¼, 19½–23 ≡ n–a
23	8.0	11.7	10.9	10.2	3.5	707.5	707.2	708.1	98	93	97	SSE 1	S 1	SSE 1	10●	10●	10	4.6	☉ 3½–13¾, 22½–24
24	10.6	**16.6**	14.6	13.9	7.4	707.9	708.0	708.1	98	75	84	SE 1	WSW 2	S 1	10●	10●	7	11.6	☉ 0–0¼, 3¼–9¾, 13½, 23–24
25	12.5	11.9	11.2	11.9	5.6	706.6	710.3	709.9	99	95	99	SE 1	SE 1	SE 1	10●	10●	10●	**38.6**	☉ 0–24
26	9.2	11.8	8.1	9.7	3.6	711.4	712.7	715.7	98	70	88	S 1	SSW 2	SE 1	10●	5	8	8.5	☉ 0–10¾
27	3.4	10.8	6.1	6.8	0.8	715.1	715.4	716.5	97	56	95	SE 1	ENE 1	S 1	7	1	1	.	⌴ I, ⌓ III
28	3.5	12.3	7.3	7.7	1.9	717.2	716.7	715.7	97	56	89	SSE 1	NNE 1	S 1	8	8	5	0.0	⌴ I
29	7.3	12.3	9.9	9.8	4.2	714.7	714.0	714.8	84	83	95	SSE 1	WSW 1	WSW 1	10●	10●	7	14.4	☉ 7½, 12–12¾, 13¼–19½
30	7.8	12.2	6.6	8.9	3.4	712.8	710.9	709.3	89	53	82	W 1	WSW 2	WSW 2	8	5	9	9.6	☉ 0¾–4, 18–20¼, 23–23½, 23¾–24
31	5.1	6.5	2.8	4.8	−0.5	706.8	708.0	710.3	88	65	97	SSW 3	WSW 2	WSW 1	9●	9●	10●	7.2	☉ 0–24 mU, ☄ n–a
Mittel	6.9	10.9	8.0	8.6	—	711.4	711.3	712.0	92	69	91				8.2	7.9	7.6	Summe 177.0	

*) **19.** ☽ $11^{1}/_{4}$–$13^{1}/_{2}$ **20.** ≡ n–a, p–n

$\lambda = 6°\,57'$, $\beta = 47°\,0'$,
$H_b = 487.3$ m, $G = 0.02$ mm.

Neuchâtel

Oktober 1952
Beobachter: *Observatorium.*

1	8.5	13.8	9.8	10.7	−1.1	712.0	713.0	716.0	94	62	70	W 2	SW 3	SW 2	10●	8	9	1.0	☉ 4½–9½, ☄ 11–15
2	6.9	7.2	6.2	6.8	−4.8	718.5	718.8	721.2	71	86	95	SW 1	W 2	W 3	6	10●	10●	5.8	☉ 12½–15, 17½–24, ☄ 11–n
3	7.4	11.8	8.8	9.3	−2.1	722.2	722.1	724.3	83	57	71	W 1	W 2	W 1	8	10	10	.	[mU
4	5.3	13.0	8.5	8.9	−2.3	723.5	721.2	717.8	95	65	93	W 0	S 1	SW 2	0	7	10●	13.1	☉ 17¾–24, ⊕ 11
5	11.7	**16.7**	10.4	12.9	1.9	717.7	719.4	721.1	92	53	75	SW 1	SW 3	N 2	9	3	4	.	☉ 0–6¾, ☄ 10½–20½
6	6.6	11.4	12.4	10.1	−0.7	720.6	719.8	718.9	95	86	95	NE 0	SW 1	SW 2	8	10●	10●	4.0	☉ 13½–15, 19–19¼, 21½–0½
7	11.5	15.8	10.6	12.6	2.0	720.5	720.6	720.8	86	49	72	W 1	NW 3	SW 1	10	1	4	.	☄ 11–20
8	8.9	10.9	6.8	8.9	−1.5	722.4	725.1	**727.5**	62	55	75	N 3	N 3	N 1	8	9	0	.	☄ n–19¾
9	2.7	12.0	9.7	8.1	−2.1	725.7	723.6	721.6	97	68	76	NE 0	S 1	SW 1	2	0	3	.	≡ 7¾–9
10	8.5	12.4	8.9	9.9	−0.1	719.3	719.1	718.7	65	**48**	73	NW 0	W 2	NW 1	6	8	10	0.1	☉ tr 21
11	4.0	11.9	4.5	7.1	−2.7	717.6	716.9	716.6	89	55	78	NE 0	E 2	N 0	2	2	0	.	
12	**0.1**	10.8	5.6	5.5	−4.1	717.8	718.5	718.8	93	55	69	NE 0	SE 0	N 1	1	2	0	1.7	⌴ I
13	2.6	4.1	10.1	5.6	−3.8	714.8	711.6	710.7	96	99	99	N 0	NE 0	SW 1	10●	10●	10●	**29.0**	☉ 6½–21¾
14	10.6	10.9	6.8	9.4	0.2	**710.2**	710.4	714.6	62	62	94	SW 3	SW 3	SW 2	8	10	10●	6.1	☉ 0¾–0½, 16¾–24, ☄ 11–14
15	6.4	11.1	4.8	7.4	−1.6	717.8	719.2	719.3	87	69	87	SW 0	S 1	N 0	8	7	0	.	☉ 0–6½
16	4.0	9.2	8.3	7.2	−1.6	719.2	719.5	722.0	97	81	91	NE 0	E 1	N 0	10	8	10	0.6	
17	9.3	11.8	7.6	9.6	1.0	724.2	725.1	725.8	96	87	97	W 1	SE 0	NE 0	10●	9	0	0.1	☉ 5¾–7½
18	7.2	8.7	7.2	7.7	−0.7	725.2	724.4	723.0	96	88	91	NE 0	E 0	E 0	10	10	10	.	
19	7.1	9.0	8.6	8.2	0.0	721.2	720.5	719.9	93	96	97	SE 0	S 0	E 0	10	10●	10	1.7	☉ 9–9¾, 13–14
20	6.9	8.8	8.7	8.1	0.0	717.6	716.5	713.8	100	99	100	E 0	SW 0	NE 0	10≡	10●	10≡	11.7	☉ 11¾–19½, ≡ n–a, p–n
21	8.8	10.9	11.6	10.4	2.5	712.3	713.6	717.1	100	99	95	E 0	SW 1	W 0	10●≡	10●	10●	8.0	☉ 6¼–14¼, 18½–22, ≡ n–a
22	9.8	12.1	7.9	9.9	2.2	718.5	717.7	718.7	99	95	97	SW 0	W 0	SW 0	10	10	10●	10.3	☉ 8½–13¾ mU, 13¾–23, ☄ 13¾–19½
23	8.2	11.2	12.4	10.6	3.1	714.9	714.4	715.6	99	97	93	W 0	SW 2	SW 2	10●	10●	10	7.4	☉ 4¾–13½, 18½–19
24	11.6	14.0	14.1	13.2	5.8	716.2	715.6	715.1	97	98	94	SW 1	W 2	SW 1	10●	10	9	17.9	☉ 3½–10½, 12¾–13, 20½–21, 23–24
25	12.3	11.6	10.7	11.5	4.3	713.9	717.7	718.4	99	99	97	SW 0	SW 0	W 0	10●≡	10●	10●	26.5	☉ 0–24, ≡ n–a
26	9.2	11.1	7.9	9.4	2.4	718.9	720.5	723.2	99	87	88	W 0	SW 2	W 0	10●	4	4	1.0	☉ 0–8, 13¼–13½
27	4.3	10.3	5.6	6.7	−0.2	723.0	723.4	724.3	97	81	94	NE 0	S 1	SE 0	7	1	0	.	≡ 8¼–11
28	5.3	9.5	7.4	7.4	0.7	724.7	724.3	723.1	99	84	90	SE 0	SE 0	S 0	10	7	7	.	
29	9.8	12.6	10.7	11.0	4.5	722.1	721.4	722.4	89	86	79	SW 0	SW 2	W 1	9	10●	9	4.1	☉ 12¼–18
30	8.1	10.3	6.7	8.4	2.0	720.5	717.8	717.1	76	76	90	SW 1	SW 3	W 2	3	10●	10●	11.7	☉ 13¼–13¾, 17½–23, ☄ 9–18
31	4.9	8.7	3.9	5.8	−0.4	714.4	715.4	717.8	91	65	93	W 2	SW 2	W 0	10●	8	10●	5.9	☉ 0–8, 14¾–23¾, ▽ 8–11 mU
Mittel	7.4	11.1	8.5	9.0	—	719.0	718.9	719.5	90	77	87				7.9	7.5	7.1	Summe 167.7	

Oktober 1952
Beobachter: *Frl. H. Nager.*

Altdorf

$\lambda = 8° 39'$, $\beta = 46° 53'$,
$H_b = 456.3$ m, $G = -0.05$ mm.

Tag	Lufttemperatur					Luftdruck			Relative Feuchtigkeit			Windrichtung und Stärke			Bewölkung			Niederschlag	Witterung
	7^{30}	13^{30}	21^{30}	Mittel	Abweich. vom Normalst	7^{30}	13^{30}	21^{30}	7^{30}	13^{30}	21^{30}	7^{30}	13^{30}	21^{30}	7^{30}	13^{30}	21^{30}		
1	11.4	12.9	8.8	11.0	−0.9	713.7	715.1	718.7	85	82	100	NW 1	NE 0	E 0	8	10●	10●	**22.7**	● a–n
2	7.3	10.4	8.1	8.6	−3.2	720.7	720.5	723.6	101	84	100	E 0	SE 0	W 0	10	8	10●	3.7	● 17¼–n
3	6.5	12.5	8.8	9.3	−2.3	724.6	723.5	726.8	100	47	96	E 0	W 1	W 0	7	8	10	0.3	● 17½–n mU
4	8.0	13.3	9.9	10.4	−1.0	726.2	723.1	720.4	98	52	100	NE 0	NW 1	NW 0	10	7	10●	17.6	● 20¾
5	8.9	12.3	10.8	10.7	−0.5	719.0	721.8	724.3	100	88	100	W 0	NW 0	NW 0	10●	10	10	5.5	● n–n mU
6	6.6	12.9	11.5	10.3	−0.7	722.9	721.9	720.9	100	98	94	E 0	N 0	NW 0	8	10	10	7.5	● n–n mU
7	10.9	13.3	11.1	11.8	0.9	721.9	722.5	723.3	100	68	87	SE 0	NW 1	NW 0	8	9	10	1.6	● p–n mU
8	8.5	9.2	6.3	8.0	−2.7	724.5	727.4	**731.0**	73	75	91	W 1	W 1	E 0	10●	9	7	1.1	● n–a mU
9	2.6	10.5	6.1	6.4	−4.1	728.3	726.3	724.6	93	64	90	E 0	NW 1	N 0	0	1	2	.	
10	5.4	10.3	7.7	7.8	−2.5	722.7	721.3	721.5	95	66	97	NW 0	W 0	N 0	5	10	10	2.7	● a–p mU
11	5.9	9.7	3.9	6.5	−3.7	719.7	718.0	719.1	93	55	85	NW 0	NW 0	NW 0	10	8	3	0.0	●tr a
12	3.4	8.5	3.3	5.1	−4.9	720.6	721.0	722.2	91	55	83	N 0	NW 1	N 0	7	7	0	.	
13	2.8	8.3	8.4	6.5	−3.3	716.7	713.9	713.9	90	88	100	E 0	W 1	NW 0	10	10●	10●	12.3	● a–n
14	5.8	13.3	8.4	9.2	−0.5	713.1	712.6	716.6	98	47	97	SE 0	NW 1	NW 0	4	10	10●	6.8	● p–n
15	7.5	7.8	4.0	6.4	−3.1	718.9	722.3	722.2	93	82	94	SE 1	NW 0	N 0	10●	10●	4	0.7	● n–p mU
16	**2.1**	10.7	6.4	6.4	−2.9	722.2	722.1	724.6	94	64	92	NE 0	NW 0	NW 0	2	7	10	0.0	● n (16./17.)
17	7.8	9.8	7.2	8.3	−0.9	726.9	727.6	729.2	90	95	98	N 0	NE 0	NW 0	10●	10●	6	4.4	● n–p
18	3.8	9.3	7.4	6.8	−2.2	727.6	726.7	725.5	97	85	91	NE 0	NE 0	N 0	10≡	10	10	.	≡ 7–a
19	5.2	10.0	9.1	8.1	−0.8	723.6	723.4	722.3	97	75	97	N 0	NW 0	E 0	9	10	10●	2.3	● 16½–n
20	6.9	12.8	17.8	12.5	3.8	720.1	718.1	715.0	98	70	**43**	SE 0	NW 2	SE 1	10	10	10	.	
21	13.5	15.9	12.1	13.8	5.3	713.9	714.2	**709.6**	72	70	97	N 1	NW 0	E 0	10	6	5	0.2	●tr 20
22	9.9	**18.7**	12.4	13.0	4.6	721.4	719.8	719.4	96	74	90	NW 0	NW 0	NW 0	7	8	10	3.1	● n (22./23.)
23	9.8	12.1	10.3	10.7	2.5	717.7	717.8	718.4	98	88	93	NW 0	NW 0	NW 0	10●	10●	10	4.9	● n–n mU
24	10.5	11.5	12.8	11.6	3.5	719.9	717.2	718.3	96	67	96	E 0	NW 0	E 2	10	10	10●	2.5	● p–n
25	12.1	13.4	11.4	12.3	4.4	716.2	720.7	721.3	97	96	97	W 0	NW 0	NW 0	10	10●	10	19.0	● a–p mU, n (25./26.)
26	10.1	10.5	7.9	9.5	1.7	721.9	723.2	727.3	97	91	96	W 0	E 0	E 0	10●	7	10	3.0	● n–a
27	10.3	11.4	5.5	9.1	1.5	725.5	725.2	727.0	93	57	81	E 0	W 0	E 0	4	2	0	.	
28	5.2	12.5	6.8	8.2	0.7	727.0	725.8	726.1	78	60	88	SE 0	NW 0	NE 0	7	8	8	.	
29	6.6	11.7	10.2	9.5	2.2	724.5	723.6	725.5	85	70	100	NE 0	NW 0	NW 0	8	10	10●	2.9	● 17–n
30	8.5	11.7	8.4	9.5	2.3	722.8	719.2	718.4	99	77	95	N 0	N 0	SE 0	10	7	10●	4.1	● a–p mU, ☽ p–n
31	6.4	8.5	5.3	6.7	−0.3	716.4	717.0	720.1	88	51	91	SE 0	NW 1	SW 0	10●	10	10●	4.8	● n–n mU
																		Summe	
Mittel	7.4	11.4	8.7	9.2	—	721.3	721.1	721.8	93	72	92				8.2	8.5	8.2	133.7	

Oktober 1952
Beobachter: *Observatorium.*

Genève

$\lambda = 6° 9'$, $\beta = 46° 12'$,
$H_b = 405.0$ m, $G = -0.03$ mm.

1	10.0	14.5	9.8	11.4	−0.9	720.1	720.6	724.5	89	81	82	ENE 1	S 1	S 1	10	10●	10●	2.3	● n–n mU
2	7.8	8.6	9.2	8.5	−3.6	726.9	727.5	730.0	81	76	89	S 1	S 1	SE 1	9	10●	10	4.5	● n–n mU
3	7.0	13.0	9.4	9.8	−2.1	730.4	731.7	731.9	88	66	79	SSW 1	S 1	E 0	5	5	10	.	
4	6.0	14.5	10.7	10.4	−1.4	731.1	727.9	724.4	88	64	93	SSE 1	ENE 0	S 2	0	6	10●	14.3	● p–n
5	8.7	17.5	11.2	12.5	0.9	723.7	726.8	727.5	93	79	97	ESE 0	SW 1	ESE 0	10	6	8	.	
6	11.8	13.6	13.0	12.8	1.4	727.7	727.0	727.1	95	88	95	E 0	ENE 0	ENE 0	10	10●	10●	2.5	● a–n
7	14.6	17.6	12.0	14.7	3.5	728.8	727.2	728.1	78	61	87	WSW 1	SSE 1	SSE 2	3	6	6	.	
8	10.3	13.0	8.8	10.7	−0.3	730.8	732.0	**733.8**	80	68	73	E 0	NNE 1	NNE 1	5	4	0	.	
9	4.0	13.2	12.5	9.9	−0.9	733.2	730.8	729.2	87	75	71	E 0	NNE 1	ENE 0	0	4	5	.	
10	9.2	15.0	9.4	11.2	0.5	727.1	726.0	725.8	79	76	86	SW 1	ENE 1	E 1	5	5	8	0.2	● n (10./11.)
11	6.5	11.0	8.0	8.5	−2.0	723.5	722.5	723.0	84	63	75	NNE 2	NW 2	NNE 2	2	5	1	.	
12	**1.5**	10.0	4.6	5.4	−4.9	725.4	725.4	725.7	96	89	90	E 0	NNE 1	NE 1	0	1	1	8.5	● n (12./13.)
13	3.5	11.0	12.2	8.9	−1.2	721.0	720.7	**719.0**	95	97	98	S 1	E 0	W 2	10●	10●	10	18.7	● n–p
14	12.4	10.6	8.8	10.6	0.7	719.3	719.7	724.0	61	84	94	S 3	S 2	S 1	9	10●	10●	8.3	● p–n, ☄ a
15	9.3	12.6	6.0	9.3	−0.5	725.9	726.0	726.8	92	68	89	SSE 1	ESE 1	E 0	9	7	0	.	
16	4.5	14.3	13.0	10.6	1.0	726.4	726.9	729.7	98	64	95	S 1	S 0	E 0	6	5	10	.	
17	8.4	16.5	10.0	11.6	2.2	732.3	731.9	732.8	94	98	86	ESE 1	ESE 1	E 0	3	3	5	.	
18	8.2	10.2	8.7	9.0	−0.2	733.4	732.3	731.5	97	86	93	NE 1	ESE 1	E 0	10	9	10	.	
19	9.0	11.0	8.6	9.5	0.5	728.5	727.3	726.8	97	90	97	E 0	ESE 1	E 0	10	10	10	2.2	● n (19./20.)
20	7.6	10.2	10.0	9.3	0.4	724.8	722.7	720.8	100	92	100	ESE 0	ENE 0	E 0	10	10●	10	**35.0**	● n–n mU
21	10.2	14.4	15.0	13.2	4.5	720.1	720.8	724.9	97	89	89	NE 1	NE 1	E 1	10●	4	10●	11.5	● n–a, p–n
22	12.0	13.6	12.4	12.7	4.2	725.8	725.2	725.8	90	93	93	ENE 0	NE 0	S 2	10	10●	10	12.5	● a–p, ☄ 19
23	12.0	15.2	13.4	13.5	5.2	722.8	722.6	723.8	93	91	95	W 0	S 1	S 0	10	10	8	3.2	● n (23./24.)
24	14.4	**18.4**	16.0	16.3	8.1	723.2	722.9	723.2	98	73	96	NNW 1	SSE 1	S 1	9	10	10●	18.0	● p–n
25	16.0	14.5	12.0	14.2	6.2	721.4	724.5	725.8	98	93	98	SE 0	ESE 1	S 1	10●	10●	9	14.2	● n–p
26	11.0	14.0	9.5	11.5	3.7	726.5	727.9	730.6	90	67	92	S 1	S 1	E 0	9	8	1	.	
27	5.5	11.3	7.0	7.9	0.2	731.2	730.7	731.8	95	91	94	SE 1	NE 1	E 0	5	5	0	.	
28	4.8	14.7	11.0	10.2	2.7	732.5	731.6	730.7	90	71	87	E 0	ENE 1	E 0	0	5	3	.	
29	12.4	14.3	12.5	13.1	5.8	730.2	729.1	730.0	72	83	88	E 0	S 1	S 1	9	10●	5	0.5	● a–p mU
30	10.0	12.2	12.5	11.6	4.4	728.0	726.3	725.2	84	**59**	62	S 1	SSW 1	S 1	3	8	10●	9.9	● p–n
31	6.2	7.0	4.4	5.9	−1.1	723.6	724.1	725.9	88	85	93	S 1	ENE 1	ESE 1	10●	9	9	4.1	● n–a
Mittel	8.9	13.2	10.4	10.8	—	726.8	726.4	727.1	89	79	89				6.8	7.3	7.1	170.4	

$\lambda = 8° 34'$, $\beta = 47° 23'$,
$H_b = 569.4$ m, $G = 0.03$ mm

Zürich

Oktober 1952
Beobachter: *Meteorol. Zentralanstalt.*

Tag	Lufttemperatur					Luftdruck			Relative Feuchtigkeit			Windrichtung und Stärke			Bewölkung			Niederschlag	Witterung
	7^{30}	13^{30}	21^{30}	Mittel	Abweich. vom Normalst	7^{30}	13^{30}	21^{30}	7^{30}	13^{30}	21^{30}	7^{30}	13^{30}	21^{30}	7^{30}	13^{30}	21^{30}		
1	8.5	11.2	9.5	9.7	−0.8	704.3	705 6	708.0	93	62	81	SSW 1	WSW 1	W 1	10	10	10	2.2	
2	7.0	9.1	5.7	7.3	−3.0	710.7	710.7	713.0	81	55	87	SW 1	SSW 1	SW 2	9	9	10●	12.3	● 1½–3¼, 5½–6½, 20–24, ⌿ p
3	8.2	10.0	7.7	8.6	−1.5	713.9	714.1	716.2	62	56	71	SW 2	WSW 2	WSW 2	8	10	10	0.5	● 0–0½, 20½–20¾
4	7.7	13.7	8.6	10.0	0.1	716.1	713.6	710.6	81	50	96	SSW 1	ENE 1	S 0	10	4	10●	15.2	● 19¾–24
5	8.4	11.3	8.9	9.5	−0.2	709.3	712.2	714.7	96	66	78	W 2	WSW 2	WNW 0	9●	9	10	0.5	● 0–7½, 10–11½
6	7.5	12.7	13.2	11.1	1.5	712.8	711 8	710.4	91	70	76	SW 1	SSW 1	SW 2	10	10	9	4.0	● 23½–23¾, ⌿ p–n mU
7	9.7	12.6	8.1	10.1	0.7	712.8	713.2	713.4	85	59	75	WSW 2	W 2	W 1	9●	8	3	0.5	● 0–1¼, 6¼–8½
8	6.9	10.0	5.0	7.3	−1.9	714.9	717.5	720.2	82	55	87	SW 1	WNW 2	N 1	10	9	1	0.1	● 13¾–14¾
9	2.0	10.9	7.5	6.8	−2.2	718.0	716.1	713.8	96	54	78	ENE 1	WSW 1	SSW 1	0	1	4	.	≡ 8½–9½, ⌓ l
10	7.1	10.5	6.7	8.1	−0.8	712.6	711.7	711.4	84	50	91	SW 1	W 2	NW 1	9	9	10●	13.1	● 21–24, ⌓ l
11	4.5	6.8	3.8	5.0	−3.7	710.2	709.0	709.2	92	70	90	ENE 1	NE 1	NE 1	10	6	9	0.2	● 0–4¾, 6¾–6¾
12	1.7	8.6	2.9	4.4	−4.1	710.1	711.3	711.7	99	51	91	NE 1	ENE 1	SSE 1	4≡	3	0	.	≡ n–9¾
13	0.3	3.3	9.8	4.5	−3.8	707.2	703.1	703.1	98	96	93	E 1	SSW 1	SSW 2	10	10●	10●	29.4	● 7¾–9¾, 10–23¾- ≡ 11¼–12¾, *)
14	9.5	11.4	6.8	9.2	1.1	702.7	702.2	706.0	64	48	87	SSW 2	SW 3	SSW 2	3	10	10●	14.8	● 1–2¾, 5¼–5¾, 15¾–16½, 19¾–24, *)
15	5.5	7.3	3.3	5.4	−2.6	710.3	712.2	712.1	95	61	95	WSW 1	S 1	S 1	10●	9	0	0.1	● 0–1¾, 2¾–3, 4¼–4¾, 5¾–7½
16	3.7	9.5	6.5	6.6	−1.2	711.8	712.2	714.3	98	65	90	SW 1	WNW 1	S 0	10	10	9	2.7	⌓ l
17	7.2	9.0	7.5	7.9	0.3	716.9	718.4	718.9	97	93	98	SSE 1	S 1	E 1	10●	10●	10	0.8	● 2¾–4½, 5¼–10¼, 13½–13¾, ≡ 6½–
18	6.3	8.2	6.2	6.9	−0.5	717.7	716.9	715.1	97	76	96	ENE 1	NE 1	NE 1	10	10	10	0.0	⌓² l [7¼, 9–10½
19	5.2	9.1	8.3	7.5	0.2	713.7	713.3	712.2	89	77	97	NNE 1	S 1	S 1	10	10	10≡	5.8	● 14½–21½, 23¼–23½, ≡ 16½–n
20	7.6	10.3	9.5	9.1	2.0	710.5	709.3	706.2	97	91	97	SE 0	WNW 1	SSW 1	10≡	10●	9	4.1	● 1–1½, 13½–17¾, ≡ 7–10¼
21	8.9	15.8	13.4	12.7	5.8	705.2	705.4	709.5	96	64	75	WNW 1	SSW 1	SW 2	10≡	3	9	1.1	● 17¾–18¾, ≡ n–a, ⌿ p
22	10.1	16.0	8.7	11.6	4.9	711.5	710.3	710.4	95	60	82	ESE 1	SSW 1	NW 2	9	10	10●	5.0	● 18¼–18¾, 19½–23½, ⌓ l
23	7.8	11.3	11.9	10.3	3.7	707.7	706.6	708.1	95	80	88	S 1	SSW 2	SSW 1	10●≡	10●	10	7.7	● 0¾–0½, 6¼–9¾, 13¼–13½, 23¾–24, *)
24	11.1	15.4	14.6	13.7	7.3	707.8	707.8	708.9	95	74	77	WNW 1	SSW 1	SSW 1	10●≡	9	10	28.1	● 0–1¼, 5½–10¾, ≡ 7¼–10
25	11.1	10.6	10.5	10.7	4.5	706.9	710.4	711.0	95	91	95	SE 1	SSW 1	S 1	10●≡	10●	10	38.0	● 0¼–16, 17¼–20½, 21¾–23¾, *)
26	8.7	11.4	8.6	9.6	3.6	711.3	712.4	715.5	94	74	81	S 1	S 2	WSW 1	10●	5	9	6.5	● 0–3¼, 4½–10¾, 14½–15
27	5.0	12.1	6.9	8.0	2.1	715.4	715.7	716.5	97	60	90	SE 1	ENE 1	SSE 1	2	1	1	.	≡ a mU
28	6.0	13.1	11.3	10.1	4.4	716.9	716.8	715.3	83	48	61	SSE 1	WNW 1	SSW 1	8	9	6	.	⌓ l
29	12.1	11.8	10.3	11.4	5.8	714.5	714.2	714.1	56	80	81	WSW 1	WNW 1	SW 2	9	10●	4	11.9	● 9¾–9½, 13½–20¾
30	8.4	12.6	7.3	9.4	4.0	712.6	709.9	708.8	71	48	70	SW 2	WSW 2	SSW 2	2	6	7	5.4	⌿ n–n mU
31	4 0	5.0	3.7	4.2	−1.1	706.0	707.5	709.8	91	72	90	SW 2	WSW 2	SW 1	10●	10	10	3.8	● 2¼–3¼, 5½–11¼, 22¾–24
																		Summe	
Mittel	7.0	10.7	8.2	8.6	—	711.4	711.3	711.9	89	66	85				8.4	8.1	7.7	213.8	

*) **13.** ⌓ ⌴ l **14.** ⌿ n–n mU **23.** ≡ n–a, ⌿ 13½–21¼, **25.** ≡ n–a mU, 16¾–17¼

$\lambda = 6° 32'$, $\beta = 46° 51'$
$H_b = 1589$ m, $G = —\ 0{,}13$ mm

Chasseron

Oktober 1952
Beobachter: *Ch. H. Martin*

1	1.2	2.8	0.2	1.4	—	621.9	623.4	624.7	95	81	100	SW 4	SW 4	W 4	9	9	10≡	7.2	● ✳ n–8 mU, ● ☽ 6–n, *)
2	−2.6	−1.2	−0.8	−1.5	—	626.7	627.4	628.8	95	100	100	W 4	SW 4	W 4	9	10*≡	10*≡	13.4	✳ 9¾–n mU, ≡ n–n mU, *) ⊠
3	−1.0	−0.6	−0.2	−0.6	—	630.4	630.8	632.1	100	100	100	W 4	W 3	NW 3	10≡	9	10*≡	2.0	✳ 14–n mU, ≡ n–9½,, *) ⊠
4	0.2	3.0	1.2	1.5	—	632.0	630.8	627.7	95	67	100	— 0	SE 2	SSW 3	2	8	10●≡	17.7	✳ ● 17–n mU, ≡ 19–n mU,*) ⊠
5	4.6	4.2	3.0	3.9	—	627.1	629.8	631.0	100	100	100	NW 3	W 3	W 3	10●≡	10≡	8	3.6	● n–13, ≡ n–n mU, ⌿ n–n
6	6.0	7.8	6.2	6.7	—	630.1	630.1	629.6	100	100	100	W 4	NW 3	W 3	10≡	10☽≡	10●≡	21.2	☽ 13–15 mU, ● 15–n mU, *)
7	4.2	3.8	1.4	3.1	—	630.4	630.7	630.6	100	100	100	NW 3	NW 3	NW 3	10☽≡	10≡	5	1.4	☽ 7–8, ≡ n–15½, 15½–n mU, ⌿ n–n
8	−1.2	1.8	−1.0	−0.1	—	630.9	633.9	635.1	100	83	92	NNW 3	NW 2	ENE 2	10≡	8	2	0.0	△ 11½, ≡ n–9½ mU, ⌿ n–a
9	6.0	7.6	5.0	6.2	—	633.5	633.2	631.2	21	55	65	SE 2	W 2	W 4	1	3	4	.	⌿ III
10	−1.0	0.0	−0.2	−0.4	—	629.2	628.1	627.8	100	94	100	W 2	NW 3	NW 3	4	9	10*≡	0.6	●✳ 19½–n mU, ≡ 6–8 mU, 18–n, [⌿ a–n
11	−3 2	0.8	−3.0	−1.8	—	625.5	624.8	624.8	100	74	90	NE 2	SE 1	NE 2	1	6	2	0.3	△ 16½–16¾
12	−3.2	−0.2	−2.4	−1.9	—	624.5	626.9	627.1	86	85	94	ENE 2	NW 1	ESE 2	2	5	2	0.2	
13	−1.3	6.0	3.2	2.6	—	623 1	621.8	620.7	100	100	100	SSE 4	WSW 5	W 5	10*■	10●≡	10●≡	45.1	✳ ● n–8, ● 8–n, ≡ 5–n ⌿ n–n
14	1.0	0.2	−0.2	0.3	—	621.0	619.6	622.3	90	100	100	SW 3	W 5	NW 5	7	10*≡	10*≡	24.7	✳ ● 9–11 mU, ✳ 11–n mU, *) ⊠
15	−1.3	−0.2	−1.0	−0.8	—	626.5	627.9	627.9	100	100	100	NW 3	NW 2	SSE 2	10≡	6	8	1.8	● ✳ n–9 mU, ≡ n–13, ⌿ n–a ⊠
16	1.2	5.0	4.6	3.6	—	627.5	629.0	631.1	95	70	68	W 3	W 3	W 3	8	8	10	1.4	● n (16./17.), ⌿ n–n ⊠
17	3.0	6.6	4.4	4.7	—	633.3	634.7	635.1	100	83	95	NW 3	NW 2	SE 1	10≡	8	0	.	≡ n–8½ mU, ⌿ n–a
18	5.0	9.0	7.0	7.0	—	633.6	633.3	632.0	65	45	57	SSE 1	SSE 1	SW 2	4	4	2	.	
19	7.0	6.2	6.8	6.7	—	630.4	630.5	630.0	80	92	93	W 4	W 2	W 3	9	10●≡	9	1.5	● 9–17 mU, ≡ 13–19 mU, ⌿ n–n mU
20	6.2	4 8	6.2	5.7	—	627.7	626.5	624.6	74	100	100	SE 2	ESE 2	SE 2	6	10●≡	10●≡	15.2	● 11–n, ≡ 12–18, 18–n mU
21	6.0	6.6	5.0	5.9	—	623.1	624.4	627.3	100	100	100	WSW 3	W 5	NW 3	10●≡	10●≡	10●≡	21.6	● n–14 mU, 17–n mU, *)
22	5.2	6.4	−0.1	3.8	—	628.7	628.3	626.7	94	90	100	S 3	SSW 2	NW 3	9	8	10*≡	10.1	● 11–11½, 14½–16, △ 18½–18½, *)
23	3.0	6.2	6.8	5.3	—	625.0	625.1	626.7	100	100	100	SW 3	W 3	W 3	10●≡	10☽≡	10☽≡	16.9	● ☽ n–n, ≡ 7–n, ⌿ n–n
24	7.7	8.4	9.2	8.4	—	626.3	627.2	627.4	100	100	100	W 4	W 4	W 4	10●≡	10≡	10●≡	25.4	● n–10, 16–n, ≡ n–14, 18–n
25	6.0	5.0	3.0	4.7	—	625.5	627.8	628.3	100	100	100	NW 3	W 3	W 4	10●■	10●≡	10●■	35.3	●≡⌿ n–n [mU, ⌿ n–n
26	2.0	2.0	1.9	2.0	—	627.8	629.4	631.6	100	100	100	NW 3	NW 3	NW 3	10●≡	10☽≡	10≡	0.0	● ☽ n–17, ≡ ⌿ n–n
27	2.0	6.0	5.3	4.4	—	631.1	632.2	633.1	87	45	65	SE 2	SW 2	W 4	4	2	4	.	⌿ III
28	0.6	11.2	9.8	7.2	—	633.5	634.3	633.7	57	50	47	W 3	SW 2	SW 3	9	6	4	.	⌿ n–n mU
29	6.4	5.0	3.0	4.8	—	632.3	631.6	631.1	90	100	100	W 4	NW 3	NW 5	9	10●≡	10≡	12.4	● 10¾–18, ≡ 9¾–n, ⌿ n–n, ⌿ III
30	0.3	0.1	−0.6	−0.1	—	629.1	627.1	625 7	100	100	100	NW 3	NW 5	W 4	10≡	10*≡	10*≡	20.6	✳ 10–15 mU, 17–n mU, *)
31	−2.4	−2.6	−3.0	−2.7	—	622.1	624.1	625.1	100	100	100	NW 5	NNW 2	NNW 3	10*≡	10*≡	10*≡	7.0	✳ n–8½ mU, 11–n mU, ≡ n–n, *) ⊠
																		Summ	
Mittel	2.2	3.9	2.6	2.9	—	628.1	628.5	628.7	91	87	92				7.8	8.4	7.7	306.6	

*) **1.** ≡ 17½–n, ⌿ n–n **2.** ⌿ n–n **3.** 13¾–n mU, ⌿ n–n **4.** ⌿ p–n **6.** ≡ n–n mU, ⌿ n–n **14.** ≡ 12–n, ⌿ n–n **21.** ≡ 7–9½, 12–15 mU, 17½–n, ⌿ n–n, ⌿ II **22.** ● ✳ 18½–n, ≡ 14½–n mU, ⌿ n–a, p–n **30.** ≡ n–11, 12–n mU, ⌿ n–n, ⌿ II **31.** ⌿ n–n mU, ⌿ I

Oktober 1952
Beobachter: *B. Minsch und C. Clavuot*

Bever

$\lambda = 9° 53'$, $\beta = 46° 33'$,
$H_b = 1711.8$ m, $G = -0.23$ mm

Tag	Lufttemperatur					Luftdruck			Relative Feuchtigkeit			Windrichtung und Stärke			Bewölkung			Niederschlag	Witterung
	7^{30}	13^{30}	21^{30}	Mittel	Abweich. vom Normalst	7^{30}	13^{30}	21^{30}	7^{30}	13^{30}	21^{30}	7^{30}	13^{30}	21^{30}	7^{30}	13^{30}	21^{30}		
1	3.8	6.6	4.2	4 9	−0.4	615.6	615.5	615.9	99	98	96	NE 1	NE 0	NW 0	10●	10	10	28 3	● n–n mU
2	1.3	1.4	−5.9	−1.1	−6.3	617.5	617.8	620.6	97	88	98	NE 0	NW 0	S 0	9	10*	1	8.2	✳fl a, 12–17
3	−8.1	5 3	0.8	−0.7	−5 7	621.4	620.8	622.8	98	43	86	SW 0	SW 0	S 0	1	2	9	.	≡ a, ⌙ l
4	−0.1	8.4	4.7	4.3	−0.5	623.1	621.9	620.2	96	42	62	SW 0	SW 1	SW 0	10	1	10	4.6	✳ n (4./5.)
5	2.2	7.6	4.2	4.7	0.1	617.8	619.7	621.4	97	46	51	W 1	W 3	N 1	10	4	0	0.0	✳ n–8
6	−3.4	8.4	5.1	3.4	−1.0	622.3	621.2	621.0	96	42	61	SW 0	SW 2	SW 0	1	10	9	2.3	● a (6./7.), ⌙ l
7	2.6	9.8	0.6	4.3	0.1	620.4	620.4	621.1	92	39	80	NE 0	SW 1	W 0	7	3	0	.	
8	−1.8	1.5	0.4	0.0	−4.0	620.0	621.9	625.4	94	70	64	SE 1	NE 0	NE 1	7	10	8	.	⌙ l
9	−5.2	10.4	−0.6	1.5	−2.4	626 3	623.9	623.3	94	30	84	S 0	S 0	S 0	0	0	0	.	⌙ l
10	−2.4	8.5	2 4	2.8	−0.9	619.5	617.2	616.6	93	37	73	S 0	W 1	W 1	9	9	7	.	
11	−0.5	−0.3	−2.4	−1.1	−4.6	614 8	614.6	615.5	90	72	70	E 0	W 1	NW 1	8	8*	5	0.3	✳ 13–15
12	−5.6	1.4	−4.6	−2.9	−6.2	615.8	616.9	618.6	85	46	62	SW 0	W 2	NE 1	3	5	1	.	⌙ l
13	−7.2	−0.3	1.0	−2.2	−5.3	617.1	615.6	615.1	87	98	98	SW 0	SW 1	SW 1	10	10	10	7.0	✳ 9½–n
14	1.5	6.2	0.0	2.6	−0.3	613 1	**612.1**	613.5	98	63	81	NE 0	SW 2	SW 1	9	2	1	.	
15	0.8	3.4	−2.8	0.5	−2.2	616.1	617.9	619.9	44	42	77	SE 0	NW 1	SW 0	9	4	6	.	
16	−1.8	5.2	−2.4	0.3	−2.2	620.1	620.5	622 9	82	61	98	E 0	SW 1	SW 0	4	3	1	.	⌙ l
17	−1.2	6.1	5.1	3.3	1.0	623.8	624.4	625.6	97	65	68	S 0	W 1	N 0	8	10	8	.	⌙ l
18	−4.2	10.0	−1.8	1.3	−0.8	625.4	623.8	624.7	98	**29**	90	SW 0	W 0	SW 0	1	0	2	.	⌙ l
19	−4.3	5.8	3.0	1.5	−0.4	622.7	622.0	622.3	71	74	93	SW 1	SW 1	SW 1	9	10	10	.	
20	1.9	6.1	4.8	4.3	2.6	622.0	621.2	620.4	98	92	99	W 1	W 0	W 0	10	10●	10●	32.9	● 10–n
21	4.8	**11.2**	6.4	7.5	6.0	619.0	617.3	619.9	94	61	93	W 1	SW 1	SW 0	10●	8	7	8.2	● n–9, 22–n
22	3.1	9.3	5.4	5.9	4.6	622.0	620.9	620.0	87	56	90	SW 1	SW 0	S 0	8	8	10●	7.6	● 19½–n
23	2.6	8.9	1.4	4.3	3.2	617.0	616.9	619.1	99	59	98	SW 0	W 1	SW 0	10	10	2	0.4	●tr a
24	0.9	9.4	4.6	5.0	4.0	618.8	619.2	621.0	99	67	91	SW 0	SW 1	SW 0	9	8	1	.	
25	5.8	9.0	7.0	7.3	6.5	619.2	618.8	619.7	95	75	99	NW 0	S 3	SW 0	9	8	10●	**38.7**	● 17–n
26	3.0	3.4	1.0	2.5	1.9	619.1	619.4	623.0	96	87	81	NE 0	N 0	NE 0	10*	10	3	5.1	✳ 5½–11½
27	−6.0	5.0	−2.4	−1.1	−1.5	625.0	624.2	626.1	95	49	84	SW 0	S 0	SW 0	0	1	0	.	⌙ l
28	−5.1	8.9	−1.3	0.8	0.6	626.3	626.1	**626 6**	97	33	83	SW 0	SW 0	SW 0	6	10	0	.	⌙ l
29	−2.1	8.3	1.2	2.5	2.5	624.7	623.6	622.4	95	39	81	SW 0	SW 1	SW 0	7	10	5	.	⌙ l
30	−1.3	5.2	2.0	2.0	2.2	620.3	617.2	615.9	98	72	92	S 0	E 1	N 0	9	9	9	0.0	✳fl p, ⌙ l
31	−3.9	−0.3	−2.8	−2.3	−2.0	613.4	612.9	615.4	96	89	66	S 0	N 0	W 0	6	10*	10	4.2	✳ a-p, ≡ a, ⌙ l
																		Summe	
Mittel	−1.0	6.1	1.2	2.1	—	620.0	619.5	620.5	94	60	82				7.1	6.9	5.3	145.8	

Oktober 1952
Beobachter: *Couvent des Capucins.*

Sion

$\lambda = 7° 21'$, $\beta = 46° 14'$,
$H_b = 548.6$ m, $G = -0.11$ mm.

1	8.2	12.4	10.6	10.4	−2.1	707.5	708.7	711.0	90	68	74	NNW 1	ENE 1	NW 2	9	10	8	0.1	● 14–14¼
2	7.4	13 6	7.6	9 5	−2.8	713.4	713.3	717.3	89	**36**	97	SSW 0	WSW 2	WSW 1	6	5	10●	3.5	● 4½–4¾, 18–22¼
3	4.9	13.2	8.4	8.8	−3.3	717.9	716.1	719.1	100	48	76	ENE 1	WSW 2	SSW 0	1	5	9	0.1	● 17
4	8.9	14.4	8.6	10.6	−1.3	719.2	715.7	714.7	95	40	100	NNE 0	NE 1	E 0	0	8	10●	31.0	● 19¼–24
5	5.3	11.1	9.8	8.7	−3.0	714.0	715.0	716.2	100	94	89	E 1	ENE 1	NW 1	10●	9	5	2.6	● 0–11, 13¼–13½
6	5.8	14.0	10.7	10.2	−1.3	716.4	715.1	715.3	100	55	100	N 0	WNW 0	W 0	7	10	10	1.9	● 17½–17¾, 21–21¼, 24
7	10.7	**17.2**	10.1	12.7	1.4	715.4	714.6	715.3	100	55	76	WSW 1	WNW 2	WNW 0	10	5	3	.	● 0–5½
8	8.3	14.1	6.6	9.7	−1.4	716.1	718.2	**721.2**	93	43	68	N 1	WSW 2	N 1	6	5	0	.	
9	3.3	12.3	7 6	7.7	−3.2	721.1	717.7	712.3	89	47	78	NE 0	WSW 1	N 0	0	0	0	.	
10	4.9	13.5	8.9	9.1	−1.6	715.6	712.7	712.7	100	59	71	NNE 0	WSW 2	S 0	8	8	9	0.1	● tr n (10./11.)
11	9.0	13.2	5.8	9.3	−1.2	711.3	709.2	710.6	79	43	68	NNW 0	WSW 2	ENE 1	5	3	0	.	
12	2.0	10.7	4.6	5.8	−4.5	713.8	712.3	713.7	95	54	69	NE 0	WSW 1	NE 1	4	0	0	.	
13	4.8	8.6	**1.2**	4.9	−5.2	712.3	711.3	709.0	82	100	100	NNE 0	ENE 1	ENE 0	10●	10●	10●	**45.7**	● 7½–24
14	4.2	13.0	5.2	7.5	−2.4	707.7	**706.4**	711.3	100	45	100	SSE 0	WSW 1	WNW 0	4	10	10●	5.4	● 0–3¾, 18½–24
15	4.7	13.8	6.6	8.4	−1.3	713.4	713.1	714.7	100	51	90	NW 1	WNW 1	NNW 1	8	4	2	.	● 0–6¾
16	4.2	14.9	10.8	10.0	0.4	714.8	714.1	715.9	96	49	66	NW 1	NNW 0	NNW 1	6	3	3	1.2	
17	8.2	14.2	9.6	10.7	1.3	719 8	719.6	720.4	100	57	71	NNW 0	NNW 0	NNE 1	9	6	0	0.3	● 0½–8¼
18	4.2	15.0	7.4	8.9	−0.3	720.2	717.7	717.8	100	45	96	NNE 1	SSE 2	N 0	0	4	0	.	
19	4.8	12.8	8.7	8.8	−0.2	716.5	715.4	715.2	95	57	89	NNE 1	SW 2	S 0	10	10	0	0.4	● 16½–19¼
20	8.2	12.8	12.9	11.3	2.5	714.2	712.5	711.0	95	77	65	SE 1	ENE 0	ENE 1	10●	10	10	0.6	● 7¼–8¾
21	10.1	17.1	12.1	13.1	4.5	708.1	708.1	712.7	87	58	100	ENE 0	WNW 2	NNW 1	5	8	3	0.9	●tr 18¾, 19¾–23¼ mU
22	9.5	16.5	10.9	12.3	3.8	714.4	712.5	714.7	100	61	100	NNW 1	NNW 0	WNW 0	7	9	10●	8.9	● 15½–18¾, 20¼–22½
23	8.9	12.0	10.2	10.4	2.1	711.8	711.5	712.2	100	87	100	NW 0	NW 1	NW 0	10●	9	0	2.8	● 0½–11¾
24	9.6	14.5	12.6	12.2	4.1	712.5	712 3	712.3	100	82	100	NW 0	NW 1	NW 0	10●	8	10	7.8	● 4¾–5½, 6¾–10½, 20¾–24
25	11.9	13.0	11.8	12.2	4.3	711.0	712.8	713.6	100	100	100	NNW 0	WSW 1	WNW 0	10●	10●	10●	21.7	● 0–3½, 7½–13¾, 16–22¼, 23–24
26	10.3	13 2	7.3	10.3	2.6	713.9	714.7	718.1	100	55	82	WSW 0	WSW 2	ENE 1	10●	3	0	0.4	● 0–9½, ●tr 12
27	5.1	13.6	6.9	8.5	0.9	718.1	717.6	720.4	79	46	71	ENE 1	ENE 0	ENE 1	1	6	0	.	
28	4.8	14.1	8.5	9.1	1.7	720.7	719.4	718.9	84	44	65	ENE 0	ENE 0	ENE 0	6	4	2	.	
29	6.5	10.6	10.3	9.1	1.9	718.0	716.4	716.8	82	63	100	ENE 0	ENE 0	SE 1	8	9	9	2.2	● 10¾, 17¾–22¾ mU
30	7 0	13.7	7.6	9.4	2.4	715.4	712.6	712.6	88	49	86	ENE 1	WSW 2	WNW 2	4	8	10●	2.0	● 20¾–22½
31	5.9	8.0	4.8	6.2	−0.7	709.9	710.7	712.6	99	61	100	ESE 1	WSW 3	SSW 1	9	8	10●	3.1	● 0¼–0¾, 3¾–9½, 19½–24, ⌿ a–p
																		Summe	
Mittel	6.8	13.3	8.5	9.5	-	714.7	713.8	714.8	94	59	85				6.5	6.7	5.3	142.7	

$\lambda = 8° 57'$, $\beta = 46° 0'$,
$H_b = 276.2$ m, $G = -0.01$ mm.

Lugano

Oktober 1952
Beobachter: *G. Vicari.*

Tag	Lufttemperatur					Luftdruck			Relative Feuchtigkeit			Windrichtung und Stärke			Bewölkung			Niederschlag	Witterung
	7^{30}	13^{30}	21^{30}	Mittel	Abweich. vom Normalst	7^{30}	13^{30}	21^{30}	7^{30}	13^{30}	21^{30}	7^{30}	13^{30}	21^{30}	7^{30}	13^{30}	21^{30}		
1	10.4	11.8	11.8	11.3	-3.1	732.3	732.5	732.1	99	99	99	NNW 1	N 1	N 1	10●	10☽	10☽	16.3	● ☽ n–n
2	9.2	16.4	9.0	11.5	-2.7	733.9	734.7	737.7	77	45	83	N 1	N 2	N 1	1	4	0	0.2	♁ 11¼, ⛉ ▲ 3¼-3½
3	5.8	16.4	8.8	10.3	-3.7	740.0	738.1	739.6	86	43	80	N 1	S 1	N 1	0	0	0	.	
4	6.0	18.4	11.8	12.1	-1.7	740.3	738.7	737.6	86	52	81	N 1	SSE 1	N 1	0	6	10	1.1	● n (4./5.), ⊕ II
5	10.0	17.8	10.4	12.7	-0.9	735.9	734.5	736.2	91	53	87	N 1	S 1	N 1	6	0	1	.	
6	7.2	14.4	11.4	11.0	-2.4	738.4	738.9	738.1	87	72	92	N 1	W 1	N 1	1	10	6	.	
7	8.6	19.4	11.4	13.1	-0.1	736.9	735.3	736.2	94	53	88	N 1	S 1	N 1	1	0	0	.	
8	8.0	18.4	13.4	13.3	0.3	735.3	737.6	741.8	92	**27**	32	N 1	NNE 3	N 2	0	0	0	.	☄ 9½-21
9	5.6	18.0	9.2	10.9	-1.9	744.4	743.2	740.9	71	46	86	N 1	S 1	N 1	0	0	0	.	
10	6.2	14.8	8.8	9.9	-2.7	737.0	734.0	733.3	93	63	90	N 1	S 1	N 1	2	9	0	.	
11	7.8	17.0	9.2	11.3	-1.1	731.4	729.7	731.8	95	**27**	41	N 1	N 2	N 1	5	1	0	.	
12	**4.6**	17.2	6.2	9.3	-3.0	733.2	732.8	735.7	69	53	63	N 1	NE 1	N 1	0	0	0	.	
13	5.6	8.8	7.2	7.2	-4.9	736.0	735.5	733.9	76	63	87	N 1	NNE 1	— 0	10	10	10	0.4	●tr 10½, 17, ☽ n (13./14.)
14	7.2	13 2	6.4	8.9	-3.0	730.9	729.7	730.4	93	59	91	W 1	SSE 1	NNW 1	10	0	1	.	
15	5.8	**19.6**	9.2	11.5	-0.2	732.9	733.5	737.2	96	44	91	N 1	S 1	N 1	0	0	0	.	
16	10.0	12.8	8.4	10.4	-1.1	738.9	739.6	740.8	92	73	93	W 1	NE 1	N 1	9	9	3	.	
17	6.8	17.8	9.4	11.3	0.0	741.4	741.0	742.6	93	47	89	N 1	S 1	N 1	1	0	0	.	
18	8.4	14.4	10.2	11.0	-0.1	744.0	743.1	743.2	94	66	95	N 1	SSE 1	N 1	9	4	10	0.2	☽ n (18./19.)
19	10.4	12.0	10.8	11.1	0.2	741.8	740.8	740.4	99	77	95	N 1	S 1	W 1	10☽	10	10	0.4	☽ n–10½
20	10.4	11.6	10.4	10.8	0.1	740.0	739.6	739.3	98	92	99	E 1	S 1	N 1	10	10●	10●	**42.1**	●tr 7¾, 12½-n
21	11.0	12.4	11.8	11.7	1.1	735.8	733.7	737.0	99	96	98	NW 1	S 1	S 1	10●	10☽	10	9.4	● n-13½, ☽ 13½-19
22	11.8	15.2	12.4	13.1	2.7	738.6	738.3	736.2	98	76	99	WNW 1	SE 1	W 1	10	9	10●	29.4	● 18¼-n
23	11.4	16.0	11.8	13.1	2.9	733.9	733.2	735.2	98	62	85	N 1	S 1	W 1	10	1	2	.	
24	11.2	14.8	12.8	12.9	2.9	735.3	736.3	737.1	90	76	93	N 1	N 1	NW 1	9	10	10	1.8	☽ n (24./25.)
25	12.4	13.2	13.2	12.9	3.1	736.5	736.1	735.9	99	98	99	WNW 1	SE 1	W 1	10☽	10☽	10●	38.1	☽ n–p, ● p–n
26	12.8	18.8	12.6	14.7	5.1	733.6	733.1	738.0	96	60	44	W 1	S 1	NNW 1	10	1	0	.	
27	7.2	17.2	9.4	11.3	1.9	741.6	741.4	744.1	65	47	91	N 1	SSE 1	N 1	0	4	3	.	
28	6.4	14.4	9.2	10.0	0.8	744.9	744.5	**745.2**	93	58	82	N 1	S 1	N 1	3	9	1	.	
29	5.8	15.2	9.4	10.3	1.3	743.4	741.4	740.1	94	53	91	N 1	S 1	N 1	4	7	5	.	
30	6.8	15.6	11.4	11.3	2.5	737.4	734.1	732.4	95	55	99	N 1	S 1	— 0	8	1	10	.	
31	6.2	18.8	11.0	12.0	3.4	729.4	**728.8**	731.3	92	**27**	31	NNW 1	N 2	N 2	9	4	0	.	
																		Summe	
Mittel	8.3	15.5	10.3	11.4	—	737.3	736.6	737.5	90	60	83				5.4	4.8	4.4	139.4	

$\lambda = 7° 35'$, $\beta = 47° 33'$,
$H_b = 317.3$ m, $G = 0.11$ mm.

Basel

Oktober 1952
Beobachter: *Astronom.-Meteorol. Anstalt.*

1	9.2	14.0	10.4	11.2	-0.4	726.3	727.0	730.4	98	61	76	SE 1	SW 1	WSW 1	10●	8	8	2.1	● 1½-9¾ mU
2	7.4	11.6	7.5	8.8	-2.6	732.8	732.8	734.1	80	62	93	WSW 1	WSW 1	WSW 1	1	10	10●	3.4	● 1¾-3¾, 15½-24 mU
3	9.0	10.6	9.3	9.6	-1.6	736.1	736.3	738.1	73	56	78	WSW 1	W 1	WSW 1	10	10	10	0.0	● 0-1, ☽ 19¾, 21, 23½
4	8.5	15.1	9.6	11.1	0.1	738.1	735.7	732.7	93	62	94	E 1	E 1	N 1	10	8	10	7.6	● 18¾-24 mU
5	9.4	11.4	6.4	9.1	-1.7	732.0	734.9	736.2	98	89	96	WNW 1	WNW 1	NW 1	10●	10	6	.	● 0-7½
6	5.2	11.3	13.0	9.8	-0.8	734.9	733.5	732.6	94	80	78	SE 1	E 1	WSW 1	10	10	9	1.9	● 23½-24, ☄ 23½, ⌓ I
7	11.6	14.2	8.2	11.3	0.9	734.9	735.8	735.6	80	54	87	WSW 1	WNW 1	SW 1	10	6	10	.	● 3-4½
8	8.6	11.8	4.8	8.4	-1.8	737.3	740.3	**742.9**	76	60	94	WSW 1	NW 1	N 1	10	10	0	.	
9	1.2	15.4	6.3	7.6	-2.4	740.4	738.1	736.2	98	57	94	SE 1	NW 1	SE 1	0	0	0	.	⌣ I, Ψ 23½
10	7.0	11.0	8.3	8.8	-1.0	735.2	734.4	733.9	81	64	93	W 1	NNW 1	WNW 1	2	10	9	2.3	● 21¾-23¾, ⌓ I
11	4.4	9.5	2.6	5.5	-4.0	733.2	731.9	731.9	93	69	94	NW 1	WNW 1	N 1	10	6	0	.	● 1½-3½
12	**0.4**	9.3	1.7	3.8	-5.5	733.2	733.8	733.9	100	56	94	SE 1	E 1	N 1	8≡	2	0	.	≡ 3-4, 6½-7¾, 8¾-9½, ⌣ I
13	2.8	4.4	7.0	4.7	-4.4	729.5	725.0	**724.5**	84	96	96	E 1	ESE 1	WSW 1	10	10●	10	12.7	● 8½-17, 22½-22¾, ☄ 23
14	11.1	9.5	8.9	9.8	0.9	724.7	725.2	728.4	**52**	82	86	WSW 1	W 1	WSW 1	3	10●	10	4.4	● 13¼-14, 17½-19¾, 22½-23¾, ☄ 0.
15	5.1	9.8	1.7	3.5	-3.2	733.5	734.9	734.8	83	53	96	NW 1	WNW 1	N 1	10	2	0	.	● 0¾-1¾, 3½-4¾ [11¼-12
16	1.3	11.0	6.8	6.4	-2.1	734.2	734.3	736.4	98	63	88	SE 1	E 0	SE 1	8	8	0	0.2	⌣ I
17	6.2	12.0	4.5	7.6	-0.7	739.5	740.5	740.7	97	74	94	NW 1	N 0	SW 0	10●	4	0	.	● 4¼-5½, 7¼-7½, ≡ 10¼-10½
18	6.9	12.1	6.2	8.4	0.3	740.0	738.7	737.1	94	75	93	E 0	ESE 1	E 1	10	7	0	.	
19	6.6	9.8	8.8	8.4	0.5	735.4	735.0	734.3	83	83	93	E 1	SE 1	SE 1	10	10●	10	1.9	● 13¾-19¾ mU
20	8.1	9.2	7.3	8.2	0.5	732.4	731.2	728.6	99	98	99	N 0	N 0	N 1	9≡	10●≡	10	14.8	● 13-20½, ≡ 5¼-11½ mU, 13¼-15½
21	9.2	14.2	12.4	11.9	4.4	726.8	727.4	731.7	98	87	89	NE 1	SE 1	WNW 1	10	9●	9	2.4	● 9-11¼, 13½, 19½-19¾
22	10.2	14.7	9.2	11.4	4.0	732.9	731.9	732.3	95	84	87	E 1	**SE** 1	S 1	10	9	10●	3.9	● 14½-14¾, 19½-21½, ☄ 19½
23	7.4	12.2	12.4	10.7	3.5	729.3	728.3	729.7	94	96	97	ESE 1	E 1	SE 1	10●	10●	10	1.8	● 5¾-8¾, 11¾-12½, 13¼-13¾
24	11.2	**18.8**	14.6	14.9	7.9	729.0	729.2	729.8	98	66	92	E 1	W 1	NW 0	10●	10	10	19.8	● 3¾-8½ mU, 17-20, 23¼-24
25	12.3	12.2	10.7	11.7	4.9	729.1	731.4	732.8	98	91	97	S 1	S 1	SE 1	10●	10●	10	**21.5**	● 0-18
26	9.8	14.5	9.4	11.2	4.5	733.6	734.3	737.5	98	58	88	SW 1	W 1	S 1	10●	8	5	0.3	● 6½-19¼
27	4.4	15.0	7.8	9.1	2.6	737.8	737.5	738.2	97	55	93	ESE 1	E 1	SE 1	8	7	0	.	≡ 7¾-9½, ⌣ I
28	4.7	14.0	9.4	9.4	3.1	738.4	737.6	736.6	97	61	76	SE 1	ESE 1	SE 1	8	6	4	0.0	≡ 6¾-7¼, ⌓ I
29	8.6	11.8	10.3	10.2	4.0	735.8	736.0	736.0	88	96	85	E 1	NW 0	SE 1	10	10●	4	3.1	● 12-17½ mU, ◠ 7½, Ψ Ψ 23
30	5.2	12.6	7.1	8.3	2.3	734.7	732.6	731.1	92	59	96	SW 1	W 1	SSW 1	2	7	10●	9.9	● 18¼-19, 20¾, 21¼-22¾, ☄ 22½
31	5.1	7.0	4.9	5.7	-0.2	728.6	730.3	732.9	88	67	86	SSW 1	SSW 2	WSW 1	10	10	10●	3.0	● 0-7 mU, 12, 16¾-21¾ mU
																		Summe	
Mittel	7.0	11.9	8.0	9.0	—	733.5	733.4	733.9	90	71	90				8.4	8.0	6.3	117.0	

Oktober 1952
Beobachter: *Observatorium.*

Säntis

$\lambda = 9°\,20'$, $\beta = 47°\,15'$,
$H_b = 2500.1$ m, $G = -0.27$ mm.

Tag	Lufttemperatur					Luftdruck			Relative Feuchtigkeit			Windrichtung und Stärke			Bewölkung			Niederschlag	Witterung
	7^{30}	13^{30}	21^{30}	Mittel	Abweich. vom Normalst	7^{30}	13^{30}	21^{30}	7^{30}	13^{30}	21^{30}	7^{30}	13^{30}	21^{30}	7^{30}	13^{30}	21^{30}		
1	0.6	1.8	−3.8	−0.5	−1.6	556.1	557.1	557.6	96	100	100	SSW 3	S 3	W 4	8	10≡	10≡*	25.3	☽ 15¾-16¾, ✳ 16¾-19½, 20½-n,*)
2	−5.3	−6.9	−5.8	−6.0	−7.0	558.6	558.7	560.2	100	95	100	W 3	W 3	WSW 4	10≡*	10	10≡*	16.4	✳ n-9½ mU, 21–n, ♆ 17-18¾,*)
3	−6.4	−4.6	−6.0	−5.7	−6.6	561.3	562.0	562.6	100	100	100	WSW 4	WSW 3	WSW 4	5	10≡	10≡	11.2	♆ 14, 15½, ✳ 18¾-20¼, *)
4	−4.4	−1.8	−3.0	−3.1	−3.9	563.7	563.0	560.1	100	98	100	SW 2	SSW 2	SSW 3	10≡	4≡	10≡*	17.7	✳ 21-n, ≡ n-11, 13-14, 20½-n*)
5	−2.0	−1.8	−2.2	−2.0	−2.6	558.4	560.9	563.2	100	100	100	WNW 3	W 4	W 4	10≡	10≡	10≡	23.6	✳ n-7, 9-10¾ mU, 11¼-12½,*)
6	−3.3	0.0	0.4	−1.2	−1.7	562.6	562.6	561.8	83	100	100	WSW 4	WSW 4	WSW 4	3	10≡	10≡	25.5	♆ 18, 18½, ● n (6./7.), *)
7	−1.1	−1.2	−2.6	−1.6	−2.0	561.5	562.4	562.3	100	100	100	W 4	W 4	W 3	10≡	10≡	10≡	19.0	✳ 7¾-11½, n (7./8.), ≡ n-n,*)
8	−6.4	−6.0	−7.6	−6.7	−6.9	561.4	563.7	566.3	100	100	98	WNW 3	WNW 3	WNW 2	10≡	10≡*	10≡	14.6	✳ 6¾-9 mU, 12¾-15½, ⊼ 14-14¾,
9	−1.9	1.2	−2.1	−0.9	−1.0	566.5	566.2	564.1	71	58	88	N 1	WSW 2	WSW 3	1	1	3	.	[≡ n-n
10	−3.1	−3.8	−5.6	−4.2	−4.2	561.0	559.9	559.3	100	100	100	W 4	W 3	NW 2	10≡	10≡	10≡*	10.0	✳ 15¼-n, ≡ n-14, 15½-n,*)
11	−8.7	−7.0	−9.4	−8.4	−8.2	556.7	556.2	556.5	98	100	98	N 2	SW 1	N 1	10≡*	10≡*	9	3.5	✳ n-9½, 12¾-14½ mU, ≡ n-19½
12	−10.2	−8.3	−11.2	−9.9	−9.6	556.1	557.4	558.4	96	97	82	WNW 2	NW 2	W 3	10≡	10≡	0	9.1	✳ 7¾-12½, 15-15¾, ≡ n-18
13	−4.8	−0.9	−0.7	−2.1	−1.6	556.3	554.3	555.0	45	100	100	WSW 3	W 4	W 4	10	10≡*	10≡*	22.2	✳ 10-15½, 20-n, ≡ 10¾-n, *)
14	−5.1	−3.1	−5.2	−4.5	−3.9	553.7	553.9	**553.6**	96	88	100	WSW 4	WSW 4	W 5	2	9	10≡*	35.0	✳ 14½-17½, 19-n, ≡ 14-n *)
15	−5.6	−6.4	−6.9	−6.3	−5.5	557.4	558.9	559.9	100	100	98	WNW 3	WNW 4	WSW 3	10≡*	10≡	9	12.1	✳ n-11½, ≡ n-22, ┼ n-12, ⌿ II
16	−5.7	−3.1	−2.9	−3.9	−3.0	559.8	561.2	563.0	84	81	100	WSW 3	WSW 3	W 4	1	10	10≡	9.3	✳ n (16./17.), ≡ 17¾-n, ⌿ III
17	−3.4	−1.8	−2.4	−2.5	−1.4	564.5	565.9	567.0	100	100	100	WNW 3	W 2	WNW 2	10≡*	10≡	10≡	17.9	✳ n-12, 15-17, ≡ n-n, ⋁ II
18	−3.2	−2.3	−1.7	−2.4	−1.2	565.8	566.1	565.2	95	59	60	W 3	W 2	W 2	1	1	1	.	
19	−1.1	−0.8	−0.2	−0.7	0.6	563.9	563.4	562.9	84	100	100	WNW 2	W 3	W 3	9	10≡	10≡	9.6	✳ 15¼-20¼, ≡ 9¾-n, ⋁ p
20	0.4	2.0	3.2	1.9	3.4	562.3	561.8	560.2	98	78	76	WSW 3	SSW 2	S 4	9	10	10	0.3	● 14-15¼, ⌿ III
21	2.3	**4.2**	0.8	2.4	4.0	559.1	559.1	561.3	84	70	100	S 3	S 4	WSW 3	10	1	10≡	8.3	● 19-20, ≡ 15¾-n, ⌿ II
22	0.4	3.6	−0.6	1.1	2.8	562.9	562.8	560.9	100	86	99	W 2	SSW 2	SW 2	10≡	10≡	10*	9.9	✳ 19¾-n, ≡ n-8¾, 12½-15 mU
23	−2.4	0.4	1.6	−0.1	1.8	558.1	557.6	559.9	100	100	100	WSW 3	W 4	SW 4	10≡*	10≡	10≡●	**35.1**	✳ n-11, ● 14½-n, ≡ n-n, ⌿ a-n
24	0.2	2.4	3.0	1.9	3.9	560.0	560.6	561.9	100	100	100	WSW 3	W 4	SW 3	10≡●	10≡	10	7.5	● n-11¾, ≡ n-18, ⌿ a-p
25	1.6	0.3	−1.0	0.3	2.4	559.6	560.9	561.8	100	100	100	SSW 3	W 3	WSW 3	9	10≡*	10≡*	24.9	● 9¾-12 mU, ✳ 12-15, 20-n*)
26	−2.4	−3.4	−4.5	−3.4	−1.1	560.8	561.3	563.3	100	100	100	WSW 2	W 2	W 3	10≡*	10≡*	10≡	26.9	✳ n-14¼, 15½-19½, ≡ n-n
27	−6.2	−0.5	−0.8	−2.5	−0.1	564.3	565.5	566.4	65	33	44	SW 2	WSW 2	WSW 3	1	1	1	.	
28	1.1	3.4	**4.2**	2.9	5.4	567.0	**567.9**	567.6	**22**	25	36	WSW 3	W 3	SW 3	9	10	7	.	
29	0.9	0.3	−2.8	−0.5	2.2	565.5	564.3	563.5	64	100	100	WSW 4	SW 4	W 4	9	10≡	10≡*	17.3	✳ 17-n, ≡ 11¼-n mU,*)
30	−3.8	−3.2	−5.5	−4.2	−1.4	561.3	559.6	557.0	100	96	100	WSW 3	WSW 3	W 3	10≡	10≡	10≡*	23.4	✳ n-6½, 8-9½ mU, 19¼-n,*)
31	−7.4	−8.8	−9.0	−8.4	−5.5	553.8	553.9	556.3	96	97	95	W 3	WSW 4	SW 2	10≡*	10≡*	10≡*	21.5	✳ n-17, 19-n, ≡ n-n, *)
																		Summe	
Mittel	−3.1	−1.8	−2.9	−2.6	–	560.7	560.9	561.3	90	89	93				8.0	8.6	8.7	455.1	

Oktober 1952
Beobachter: *E. Chiesa*

St. Gotthard (Hospiz)

$\lambda = 8°\,34'$, $\beta = 46°\,33'$,
$H_b = 2095$ m, $G = -0.25$ mm.

1	0.0	2.8	−1.3	0.5	−2.5	585.7	586.3	586.8	98	98	100	SE 1	SE 1	NW 1	10*	10●	10	**41.3**	✳ n-a, ● a-p
2	−3.0	−0.3	−3.0	−2.1	−4.9	587.6	588.6	590.5	100	71	98	NW 2	NW 1	NW 0	10≡	6	10	3.1	✳ 8¾-11 mU, 17¾-n mU,
3	−2.5	−0.4	−3.0	−2.0	−4.6	591.2	590.8	592.4	64	60	97	NW 1	NW 1	NW 2	0	0	1	.	[≡ n-a
4	−2.1	5.5	−0.7	0.9	−3.4	593.3	593.0	591.2	98	30	97	NW 1	SE 1	SE 2	3	6	10*	18.7	✳ 19¼-n
5	−1.2	2.7	0.1	0.5	−2.8	588.8	590.6	591.8	100	94	100	SE 1	NW 2	NW 2	10*≡	10≡	10≡	1.4	✳fl a-p mU, ≡ n-n
6	1.2	5.0	2.0	2.7	0.6	592.2	592.7	592.1	24	31	72	NW 0	SE 0	SE 0	3	10	6	.	
7	1.8	3.2	−0.2	1.6	−0.4	591.6	591.6	591.9	100	95	100	NW 2	NW 2	NW 2	10≡	3	6	0.7	✳fl a, ≡ n-a
8	−2.2	−2.8	−4.3	−3.1	−4.9	590.5	592.2	595.3	100	95	100	NW 2	NW 3	NW 3	10≡	10*≡	10≡	0.5	✳fl a-p, ≡ n-n, ⌿ a-n
9	0.0	5.3	2.3	2.5	4.1	595.5	595.6	594.1	**4**	23	30	NW 0	S 1	SE 0	0	0	0	.	
10	−1.2	0.0	−2.3	−1.2	−2.7	590.9	589.9	588.9	92	100	100	NW 2	NW 2	NW 2	6	10≡	10≡	3.2	✳ n (10./11.), ≡ a-n
11	−4.8	−4.4	−6.0	−5.1	−6.4	586.2	585.9	585.5	100	100	100	NW 2	NW 2	NW 2	10≡	10≡	10≡	1.0	✳fl n-n mU, ≡ n-n
12	−7.4	−5.0	−7.0	−6.5	−7.6	585.6	587.1	588.2	100	100	100	NW 2	NW 1	NW 2	6	6	0	.	
13	−4.6	−3.4	−2.5	−3.5	−4.4	586.2	586.4	585.7	76	92	100	SE 1	SE 2	SE 1	10	10	10	16.9	✳ 14½-n mU
14	−2.4	1.8	−2.0	−0.9	−1.7	584.1	**584.0**	585.1	85	52	94	SE 0	SE 0	SE 0	0	0	10	6.6	✳ 17¾-n mU
15	−2.9	−1.4	−2.2	−2.2	−2.8	586.4	588.6	589.6	100	100	75	NW 2	NW 2	NW 2	10	9	0	.	
16	−2.3	1.5	−2.8	−1.2	−1.6	590.2	591.6	593.1	98	82	90	SE 1	SE 1	SE 0	9	9	0	0.9	✳ n (16./17.), ≡ a-p mU
17	0.0	0.8	−1.0	−0.1	−0.3	594.0	595.5	596.4	95	100	94	NW 1	NW 1	NW 0	10	10≡	0	.	≡ a-p
18	−0.8	3.3	−1.3	0.4	0.4	595.6	595.4	594.8	35	54	100	NW 0	NW 0	SE 1	0	0	10≡	.	≡ 21-n
19	−1.0	3.9	0.0	1.0	1.1	593.6	593.3	592.8	94	68	100	SE 0	SE 0	SE 1	3	10	10≡	.	≡ 20¾-n
20	−0.7	0.5	0.0	−0.1	0.2	592.3	592.4	591.2	100	100	100	SE 1	SE 1	SE 1	10≡	10■	10*≡	18.2	✳ 20¾-n, ≡ n-n
21	0.2	3.9	2.7	2.3	2.8	589.1	588.8	590.6	100	100	100	SE 1	SE 1	SE 0	10●≡	10●≡	10●■	13.3	● n-n mU, ≡ n-a, p-n
22	2.1	2.5	0.2	1.6	2.3	591.8	591.9	590.8	100	97	100	SE 1	SE 2	SE 0	10●■	10●≡	10*≡	18.8	● n-21, ✳ 21-n, ≡ n-n
23	0.5	4.7	1.4	2.2	3.0	588.4	588.4	589.5	100	82	95	SE 0	SE 1	SE 0	10●≡	10	0	1.5	● n-9½, ≡ n-a [mU
24	1.6	3.2	2.6	2.5	3.5	589.5	590.5	591.3	97	100	100	SE 0	SE 0	SE 1	10	10≡	10☽≡	4.2	☽ p-n, ≡ a-n
25	2.6	4.0	2.4	3.0	4.2	590.6	590.5	590.7	100	100	100	SE 1	SE 1	NW 0	10●≡	10●≡	10●≡	17.3	● ≡ n-n mU
26	−1.3	0.0	−2.0	−1.1	0.2	589.8	590.2	591.8	100	100	100	NW 1	NW 3	NW 2	10*≡	10≡	10≡	0.8	✳ n-a, ≡ n-n, ⌿ II
27	−3.1	4.6	0.2	0.6	2.1	593.0	594.3	595.4	50	30	34	NW 0	SE 0	SE 0	0	0	0	.	
28	1.4	**6.1**	3.0	3.5	5.2	595.8	596.0	**597.0**	13	29	30	SE 0	SE 0	SE 0	0	9	3	.	
29	2.6	5.2	0.4	2.7	4.5	595.7	594.9	593.6	30	32	100	SE 0	SE 0	NW 1	6	9	10■	1.5	● ✳ 20¾-n mU, ≡ p-n
30	−1.3	1.5	−3.2	−1.0	1.0	591.8	589.7	586.9	95	46	100	NW 1	NW 0	NW 1	6	6	9	1.0	✳ 17¾-n mU, ≡ p-n mU *)
31	−4.2	−4.4	−6.6	−5.1	−2.9	584.1	584.2	584.8	100	86	95	NW 1	NW 2	NW 2	10	10	10≡	3.2	✳ n (31./1.), ≡ p-n
																		Summe	
Mittel	−1.1	1.6	−1.1	−0.2	—	590.4	590.7	591.0	82	76	90				6.8	7.5	6.9	174.1	

*) Säntis. **1.** ≡ 12½-n, ┼ ⌿ 18½-n, ⋁ III, ⌿ p-n **2.** ≡ n-12½, 14-n, ⌿ III **3.** ≡ ⌿ n-n mU **4.** ⌙ I **5.** ≡ n-n, ⋁ III, ⌿ a-n **6.** ≡ 9-9½, 12½-13¾, 17¾-n, ⌿ n-n **7.** ⌿ n-p **10.** ⌙ I, ⌿ n-a **13.** ⌿ 14-16, ⌿ a-n **14.** ┼ 15-n, ⌿ n-n **25.** 10¾-n **29.** ⋁ p-n, ⌿ n-n **30.** ♆ 17¾-17¾, ≡ n-n **31.** ┼ 8-19, ⌙ I, ⌿ II

$\lambda = 7°\,26'$, $\beta = 46°\,57'$,
$H_b = 572.2$ m, $G = 0.00$ mm.

Bern

November 1952
Beobachter: *Meteorol. Observatorium.*

Tag	Lufttemperatur 7³⁰	13³⁰	21³⁰	Mittel	Abweich. vom Normalst	Luftdruck 7³⁰	13³⁰	21³⁰	Relative Feuchtigkeit 7³⁰	13³⁰	21³⁰	Windrichtung und Stärke 7³⁰	13³⁰	21³⁰	Bewölkung 7³⁰	13³⁰	21³⁰	Niederschlag	Witterung
1	3.2	7.7	5.0	5.3	0.1	713.9	714.0	712.4	98	57	81	SE 1	WSW 1	WNW 2	9	9	10●	3.9	● 0–1¾, 20½–24
2	6.0	9.2	6.9	7.4	2.4	712.7	713.8	712.9	98	70	88	WSW 1	W 1	WSW 1	10●	9	10	9.5	● 0–10¾, 16½–24, 20–21, 23¾–24
3	7.7	7.4	5.1	6.7	1.8	708.5	710.2	715.9	91	91	95	W 2	W 2	WSW 1	10●	9●	10●	15.0	● 0–9¼, 10–10½, 12¾–15½, 16¾–24
4	2.4	7.0	2.2	3.9	−0.8	**719.8**	719.5	719.2	100	69	98	SE 1	NE 2	S 1	9≡	7	0	.	● 0–2½, ≡ n-a, ⏢ III
5	0.1	8.5	5.0	4.5	−0.1	717.0	714.9	714.7	97	**55**	89	S 1	S 1	S 1	7	9	8	.	⌴ I, Ψ III
6	7.9	9.0	6.6	7.8	3.4	713.7	714.1	714.6	65	77	71	SSW 2	WSW 2	SSW 2	10	10●	10	0.5	● 9–13¾ mU, 16½–17½
7	8.0	6.5	1.5	5.3	1.0	703.7	705.9	708.2	73	72	95	WSW 4	WNW 2	SSW 1	10●	10●	8	11.3	● 2–3, 4¼–12¾ mU, 16–17¾, *)
8	0.9	1.6	0.8	1.1	−3.1	706.3	705.8	707.2	90	86	86	WSW 2	WSW 3	WNW 2	10●*	10*	9	5.3	●✳ 2¾–7½, ✳ 7½–21, ☄ a-p
9	−0.8	1.5	1.0	0.6	−3.4	710.1	713.7	713.8	88	87	90	SSW 1	S 1	S 1	10*	10*	10	2.3	✳ 7¾–19
10	0.4	2.6	5.8	2.9	−1.0	709.6	708.8	706.9	97	88	84	W 3	WSW 2	WSW 3	10*	10	10	13.2	✳ 0¾–11¼, ● 14¾–24 mU,*)
11	5.6	4.4	2.5	4.2	0.5	705.4	707.0	709.4	97	92	92	W 2	SSW 1	W 1	10●	4	10●*	7.4	● 0–12½, ✳ ● 21¼–23¾
12	1.6	1.6	1.0	1.4	−2.2	712.1	713.0	714.8	88	97	97	W 1	W 2	SSW 1	10*	10●*	9	1.3	✳ 2¾–3, 5¾–9¼ mU, *)
13	−2.1	3.1	0.8	0.6	−2.8	715.2	714.3	714.6	98	64	98	SSE 1	SSE 1	SSW 1	7	9	10*	6.2	✳ 0¾–2, 16½–24 mU
14	−1.0	2.3	−0.4	0.3	−3.0	715.1	714.7	714.3	100	68	97	WNW 1	NNE 1	E 1	6≡	6	10*	3.2	✳ 0–5, 19½–24, ≡ n-a
15	−1.4	0.9	−1.6	−0.7	−3.9	713.8	713.2	712.7	98	79	98	NE 1	NE 1	NNE 1	10*	6	10	0.0	✳ 0–9¾
16	**−5.4**	−1.8	−2.6	−3.3	−6.3	711.7	710.8	709.2	92	71	93	SSE 1	SSE 1	NNE 1	10	9	10*	2.4	✳ 21½–24
17	−2.2	1.3	−0.4	−0.4	−3.3	708.1	708.6	709.4	98	85	100	NW 1	E 1	N 1	10*	10*	10≡	1.4	✳ 0–18½ mU, ≡ p-n
18	−1.7	0.1	−1.9	−1.2	−3.9	709.2	709.5	708.3	100	90	98	NNE 1	N 1	NNE 2	10≡	10	10	.	≡ n-a
19	−2.6	−0.5	0.1	−1.0	−3.6	703.5	706.4	709.0	98	92	98	NNE 1	SW 1	W 1	10	10*	10*	2.0	✳ 12¼–24
20	−2.3	−0.4	−1.9	−1.5	−3.9	709.3	707.0	707.2	98	91	98	ENE 1	NNE 1	SSW 1	10≡	9	10	0.3	✳ 0–4¼, 22–24, ≡ n-a
21	−3.4	2.6	1.1	0.1	2.2	705.9	704.3	704.6	98	67	93	E 1	SE 1	S 1	7	10	10●	0.3	✳ 0–3, ● 18–24
22	1.5	4.8	2.2	2.8	0.6	705.4	702.4	704.8	91	66	94	W 1	SE 1	SSW 3	2	10	9	5.0	● 0–3, 14–14¾, 16½–20¾, *)
23	1.1	3.0	0.8	1.6	−0.4	710.3	708.9	706.4	88	76	96	WSW 2	W 1	E 1	10	10	10	0.7	● 0–6½, ✳ ⋂ 7¾–12
24	0.9	2.7	2.7	2.1	0.2	705.9	706.2	706.9	98	97	98	S 1	S 1	ESE 1	10●	10	10	0.4	☽ 2¾–12
25	1.8	2.8	2.4	2.3	0.6	705.1	703.3	700.5	98	98	98	NE 1	NE 1	NE 1	10≡	10●	10●≡	20.4	☽ 1½–6, ● 11–24, ≡ n-a, p-n
26	3.8	11.4	8.7	8.0	6.4	**696.6**	697.9	700.1	98	70	82	S 1	WSW 3	NE 1	10	9	9	6.8	● 0–7¼, ☄ a-p
27	7.0	9.6	9.4	8.7	7.3	701.5	701.8	705.2	95	83	87	SE 1	W 1	SSW 2	10●	10●	10●	**26.4**	● 1–24 mU
28	7.1	12.4	9.0	9.5	8.2	705.6	705.9	710.0	98	66	70	S 1	WSW 4	SSW 2	10●	9	3	2.5	● 0–10¼, ☄ II
29	4.2	**13.4**	3.7	7.1	5.9	711.3	710.6	709.7	96	79	98	N 1	N 1	SE 1	7	9	8	.	⏢ I, III, Ψ III
30	3.6	10.0	8.7	7.4	6.4	709.0	708.5	708.3	95	63	83	S 1	E 1	SE 1	9	8	10●	9.9	● 16¼–24 mU, ⏢ I
Mittel	1.7	4.8	2.8	3.1	—	709.2	709.2	709.7	94	78	92				9.1	9.0	9.1	Summe 157.6	

*) 7. ✳ 17¼–19, ☄ I 10. ☄ n-n mU 12. ● ✳ 3–4¼, 12¾–15, 19¼–20½ 22. ✳ ● 21¾–24, ☄ p-n

$\lambda = 6°\,57'$, $\beta = 47°\,0'$,
$H_b = 487.3$ m, $G = 0.02$ mm.

Neuchâtel

November 1952
Beobachter: *Observatorium.*

1	3.8	9.7	4.5	6.0	−0.1	721.5	721.6	720.3	90	**59**	90	N 0	SW 2	SW 3	9	6	10●	9.6	● 20–24, ☄ 19¼–n
2	5.8	8.7	7.2	7.2	1.3	720.5	721.6	720.6	97	84	93	W 0	SW 1	SW 2	10●	10	10●	12.6	● 0–9, 18½–24
3	7.8	7.5	5.8	7.0	1.2	716.2	718.1	723.3	99	80	85	SW 3	W 1	NW 1	10●	7	10●	5.0	● 0–9¾, 9¾–24 mU, ☄ 3¾–7½
4	2.6	8.8	2.3	4.6	−1.0	**727.5**	727.4	726.8	98	62	91	NE 0	NE 2	N 0	2	6	0	.	● 2¾–3½
5	1.7	10.0	5.4	5.7	0.2	724.6	722.5	722.2	100	62	86	N 0	SW 2	W 0	10≡	6	8	.	≡ n–9½ mU, ⊕ 13½
6	9.4	9.6	7.5	8.8	3.5	721.5	721.9	722.3	76	79	75	SW 3	W 2	W 2	10	10	10	2.5	● 12–12¾, 15½–16, ☄ n-n mU
7	6.6	6.0	2.8	5.1	−0.1	711.5	713.6	716.0	97	76	76	SW 4	W 3	NW 3	10●	10●	8△	14.0	● 2–2¾, 5½–19½, △ 19½–23¾, ☄ n-n
8	1.8	1.7	1.8	1.8	−3.2	713.8	713.5	715.2	79	85	68	NW 3	W 3	NW 2	10*	10*	4	5.2	△ 0–1, ✳ 6–21 mU, ☄ n-n
9	−0.4	1.0	1.4	0.7	−4.2	717.9	719.9	721.5	96	93	89	W 1	W 1	W 1	10*	10	10	5.0	✳ 6¼–14½
10	0.8	1.7	5.2	2.6	−2.1	717.7	717.0	714.5	93	95	94	SW 3	W 3	SW 3	10*	10●	10	12.9	✳ 6½–11, ● 11–20½, ☄ n-n
11	5.0	5.3	3.3	4.5	−0.1	713.1	714.5	716.9	97	86	75	SW 1	SW 2	NW 2	10●	10	8	6.8	● 3½–12½, 16–16¾, ⛆ 20½
12	2.0	4.2	2.0	2.7	−1.7	719.9	720.8	722.6	80	73	75	W 1	SW 1	NE 0	9	10	8	0.3	● 1½–1¾, ✳ ⋂ a, ⛆ 14
13	−0.2	4.6	1.8	2.1	−2.2	723.0	722.1	722.5	93	67	89	NW 0	SW 1	W 1	9	10	10●*	2.9	● ✳ 20½–23½
14	0.5	4.1	0.2	1.6	−2.5	722.8	722.3	722.1	73	68	96	W 1	E 1	N 0	8	8	10*	5.5	✳ 18–22½,
15	−0.6	1.0	−0.6	−0.1	−4.1	721.6	721.1	720.4	96	85	87	NE 0	E 1	E 1	10	8	10	0.5	✳ 0½–2¾, 8–10¼
16	**−2.9**	−1.0	−1.6	−1.8	−5.7	719.5	718.9	717.2	92	83	88	NE 0	SE 1	NE 0	10	10	10*	12.5	✳ 21½–24
17	−2.0	0.2	0.2	−0.5	−4.2	715.7	716.3	717.0	94	93	96	NE 0	NE 0	NE 0	10*	10	10*	3.0	✳ 0–12½, 16¼–22
18	−0.9	0.4	−1.2	−0.6	−4.2	717.0	717.4	715.9	94	89	92	NE 1	NE 0	NE 2	10	10	10	.	
19	−1.8	−0.2	−0.1	−0.7	−4.2	711.1	714.0	716.8	92	95	93	NE 2	NE 0	SW 0	10	10*	10	1.9	✳ 12½–18½
20	−1.8	−1.0	−1.2	−1.3	−4.6	716.9	715.0	714.7	96	94	94	NE 0	E 1	E 0	8	10	10*	12.3	✳ 20½–24, ≡ a mU
21	0.5	1.8	3.3	1.9	−1.3	713.1	711.6	711.9	98	93	95	NE 1	NE 1	SW 2	10	10	10●	3.4	✳ 0–3½, ● 16¾–24
22	3.4	3.8	3.0	3.4	0.3	712.7	709.8	712.0	89	89	85	SW 2	SW 3	SW 2	8	10●	10●	6.5	● 13¼–14¼, 16½–24, ☄ a-p
23	1.8	3.5	1.0	2.1	−0.8	718.1	716.5	714.0	84	71	87	W 2	W 1	W 0	10	10	10	0.7	● 0–3¾, ☄ 9–9½
24	1.2	4.0	2.5	2.6	−0.2	713.4	713.6	714.5	98	89	95	W 0	SW 0	SW 0	10	10	9	.	● 3–7
25	2.4	2.7	2.6	2.6	−0.1	712.7	710.7	707.8	93	97	98	NE 1	NE 1	E 0	10	10●	10●	**28.2**	● 10¼–24
26	5.1	11.4	9.2	8.6	6.1	**709.5**	705.1	706.9	98	88	87	SW 1	W 2	W 2	10●	8●	8	5.0	● 0–13¾
27	9.0	9.2	8.7	9.0	6.6	708.5	708.8	712.4	88	93	94	W 2	W 2	W 1	10●	10●	9	12.2	● 0½–2½, 7½–24 mU
28	8.3	**11.9**	9.2	9.8	7.5	712.6	713.1	717.3	97	76	72	SW 1	SW 3	SW 2	10	8	1	1.2	● 0–7 mU, 8¾–9½, ☄ 8¾–[20¾
29	4.2	8.3	4.5	5.7	3.6	718.6	718.3	717.4	93	81	93	N 0	SE 0	S 0	1	9	4	0.1	
30	4.1	7.6	11.6	7.8	5.8	716.7	716.0	716.6	99	89	86	E 0	E 0	SW 2	10	10	10	9.3	⛆ 5½, ● 14¾–16, 22¼–24
Mittel	2.6	4.9	3.4	3.6	—	716.8	716.8	717.3	92	83	88				9.1	9.2	8.6	Summe 179.1	

November 1952
Beobachter: *Frl. H. Nager.*

Altdorf

$\lambda = 8° 39'$, $\beta = 46° 53'$,
$H_b = 456.3$ m, $G = -0.05$ mm.

Tag	Lufttemperatur 7³⁰	13³⁰	21³⁰	Mittel	Abweich. vom Normalst.	Luftdruck 7³⁰	13³⁰	21³⁰	Relative Feuchtigkeit 7³⁰	13³⁰	21³⁰	Windrichtung und Stärke 7³⁰	13³⁰	21³⁰	Bewölkung 7³⁰	13³⁰	21³⁰	Niederschlag	Witterung
1	5.4	7.9	5.7	6.3	−0.6	723.8	724.5	722.7	73	57	73	N 0	W 0	SE 0	10	7	10	8.4	● n (1./2.)
2	4.8	9.4	7.3	7.2	0.5	721.9	723.4	722.9	99	60	87	E 0	NW 1	E 0	10●	10●	10●	10.2	● n–n
3	6.8	8.7	6.3	7.3	0.7	717.9	719.3	725.1	98	87	81	W 0	NE 0	N 1	10●	10●	10●	17.3	● n–n
4	5.3	8.8	2.4	5.5	−1.0	**730.0**	729.6	729.6	95	61	86	NE 0	NW 1	SE 0	10	6	0	.	
5	0.8	8.4	6.0	5.1	−1.2	727.3	725.1	725.5	88	61	83	E 0	W 0	E 0	2	7	0	.	
6	3.7	9.8	7.0	6.8	0.6	723.4	721.8	723.7	85	70	82	SE 0	E 0	NW 0	4	10●	10●	3.6	● a–n
7	7.9	7.8	4.4	6.7	0.6	711.9	712.7	716.5	83	68	58	N 2	NW 3	N 2	10●	10●	10	21.4	● n–16½, ⌐ 16¾, ∗ 16½–p mU,
8	2.8	1.7	1.0	1.8	−4.1	714.3	714.2	716.1	76	97	94	N 0	SE 0	N 1	10●*	10*	10*	**26.1**	● ∗ n-a, ∗ a-n ⌐ a-p ⊠
9	−1.7	1.3	−0.6	−0.3	−6.1	720.2	723.0	724.5	96	89	97	S 0	S 0	N 0	7	9	7	2.3	∗ ● n (9./10.) ⊠
10	0.5	0.9	1.2	0.9	−4.7	719.7	718.0	715.5	100	100	99	S 0	SW 0	S 0	10*	10*	10●	25.8	∗ n–p, ● p–n ⊠
11	7.7	3.5	2.4	4.5	−1.0	722.7	716.8	719.0	68	100	97	N 1	N 0	E 0	10●	10●	10	23.2	● n–p ⊠
12	3.8	4.3	−0.4	2.6	−2.8	721.5	722.8	725.5	57	58	93	N 1	W 1	NW 0	10	9	10●*	5.9	∗ ● p–n
13	−0.8	2.4	0.8	0.8	−4.4	725.9	725.4	725.4	96	84	86	NE 0	NE 0	N 0	10	10	8	6.8	∗ n (13./14.) ⊠
14	0.5	2.3	−1.3	0.5	−4.6	725.3	725.1	725.6	97	83	73	S 0	S 0	SE 0	10*	9	6	1.6	∗ n–a ⊠
15	−1.4	2.1	−3.3	−0.9	−5.9	725.0	723.6	723.9	91	73	67	SE 0	SE 0	E 0	10*	7	0	0.4	∗ n–a ⊠
16	**−6.8**	−0.4	3.9	−1.1	−5.9	722.2	722.4	719.7	80	67	**37**	SE 0	NW 0	S 2	4	4	7	.	⊠
17	4.9	3.8	−0.8	2.6	−2.1	716.8	718.3	720.0	40	70	94	SE 2	NW 1	NW 0	10	2	6	.	⊠
18	0.6	2.8	1.3	1.6	−3.0	719.7	719.5	719.1	87	81	90	W 0	N 1	NW 0	10	8	10●	4.4	● p–n
19	0.7	2.4	1.4	1.5	−2.9	714.1	716.3	719.3	97	99	99	NW 0	W 0	NW 0	10●	10●	10●	22.4	● n–n, ∗ n (19./20.)
20	0.7	6.4	6.9	4.7	0.4	720.2	718.0	716.5	98	97	60	E 0	S 3	S 3	9	2	3	.	⌐ a–n ⊠
21	7.0	9.6	5.0	7.0	2.8	715.8	713.6	715.0	40	**37**	70	SE 2	S 2	NW 0	2	7	8	.	
22	2.2	7.3	3.8	4.5	0.5	715.7	711.5	714.7	85	54	88	SE 0	NW 1	NW 0	6	7	10●	2.9	● 16½–n
23	4.3	5.3	0.9	3.5	−0.4	719.5	719.5	716.8	65	67	78	NW 1	S 0	E 0	10●	7	6	0.0	● n–a
24	1.5	4.1	2.9	2.8	−0.9	716.0	716.2	717.5	80	91	99	S 0	NW 0	NW 0	10	10	10=	1.6	∗ 9–10¾, ≡ p–n
25	0.3	4.8	3.3	2.8	−0.8	716.0	713.5	710.1	95	75	98	NW 0	NW 0	NW 0	8	10	10●	12.2	● 14½
26	4.5	8.2	6.9	6.5	3.0	**705.9**	708.1	710.4	98	100	98	N 0	NW 0	SE 0	10●	10●	10	6.3	● n–n mU
27	5.8	10.9	8.6	8.4	5.1	711.2	710.0	715.1	95	74	87	E 0	N 0	SE 0	10	7	10●	4.9	● p–n
28	5.2	11.4	4.9	7.2	4.0	714.8	715.2	720.3	95	67	83	NW 0	N 2	N 0	10	9	0	.	
29	3.4	7.8	2.9	4.7	1.6	721.8	720.9	719.9	93	78	93	E 0	NE 0	E 0	6	7	7	.	
30	10.5	**14.1**	8.8	11.1	8.2	718.8	717.8	719.5	47	46	96	SE 0	SE 0	NW 0	8	4	10●	7.9	● 21–n
Mittel	3.0	5.9	3.3	4.1	—	719.3	718.9	719.8	83	75	84				8.5	7.9	7.6	Summe 215.6	

November 1952
Beobachter: *Observatorium.*

Genève

$\lambda = 6° 9'$, $\beta = 46° 12'$,
$H_b = 405.0$ m, $G = -0.03$ mm.

1	5.0	10.0	6.4	7.1	0.2	729.3	729.0	728.6	87	55	91	E 0	ENE 1	SSW 1	0	5	10●	7.0	● p–n
2	5.0	7.8	8.4	7.1	0.4	729.8	730.0	729.1	95	97	94	NNE 1	SSW 1	SW 1	10	10	10●	10.0	● p–n
3	9.6	10.3	8.0	9.3	2.7	726.6	727.1	731.6	92	83	91	ESE 0	E 0	E 0	10●	10●	10●	8.1	● n–a
4	6.2	9.3	5.0	6.8	0.4	**734.3**	734.2	733.9	85	57	90	ENE 0	NNE 2	E 0	0	3	0	.	
5	1.7	11.7	9.8	7.7	1.4	732.3	729.8	730.5	91	**54**	76	E 0	SSE 1	SSW 1	0	5	5	.	⌊
6	5.8	10.0	7.6	7.8	1.7	729.9	730.5	730.5	85	80	77	SSE 0	W 1	S 1	5	10●	8	2.0	● a–p
7	8.4	7.7	2.8	6.3	0.3	721.8	721.9	724.4	83	70	93	SW 2	NW 2	SSE 1	10●	9	10	6.1	● n–a
8	3.0	2.8	1.3	2.4	−3.5	723.6	722.8	724.3	69	83	94	SSW 1	SSW 1	S 1	10	10	10	12.0	● ∗ p
9	1.0	2.0	1.2	1.4	−4.3	727.1	727.9	729.9	96	89	96	SSE 0	S 1	E 0	10	10	10	1.6	● ∗ a ⊠
10	1.0	2.6	6.0	3.2	−2.4	727.0	725.9	724.2	93	93	88	S 1	NNE 1	SSW 1	10	10●	10●	4.9	● a–n
11	7.7	7.5	4.3	6.5	1.0	722.2	723.2	724.9	78	80	93	SSW 2	SSW 1	E 0	10●	10	10	⌒	● n–a
12	1.5	6.0	2.0	3.2	−2.1	728.1	728.6	730.3	93	64	75	E 0	NE 1	E 0	10	6	5		
13	−1.6	4.4	1.8	1.5	−3.7	730.8	729.8	730.2	96	62	85	ESE 0	ENE 1	ENE 0	1	3	1		
14	0.4	4.6	1.4	2.1	−3.0	731.1	729.4	729.5	88	65	85	NNE 0	ESE 1	ESE 0	1	2	1	16.3	
15	−1.0	2.6	−1.0	0.2	−4.7	728.9	728.1	727.5	92	86	91	E 0	ENE 0	E 0	9	5	5		
16	−4.0	1.8	−0.6	−0.9	−5.7	726.7	725.1	724.1	87	64	92	NE 0	NNE 1	ENE 1	10	10	10*	⌒	∗ 17½–n
17	0.0	1.2	1.4	0.9	−3.8	724.2	723.6	724.5	97	78	85	NE 0	NE 0	NE 0	10*	10*	10*	11.5	∗ n–n ⊠
18	1.6	1.8	1.5	1.6	−3.0	724.3	724.5	723.0	89	93	94	NE 0	NE 0	NE 1	10*	10*	10*	7.0	∗ n–n mU ⊠
19	0.4	1.4	−1.1	0.2	−4.2	720.5	722.2	724.3	100	93	100	ENE 0	ENE 1	ESE 0	10	10	1	2.7	∗ a ⊠
20	**−5.6**	1.0	2.6	−0.7	−5.0	724.2	722.2	722.2	95	76	72	SSE 0	SSW 0	S 1	0	5	1	4.0	∗ p ⊠
21	4.0	6.0	3.8	4.6	0.4	720.3	719.2	720.1	70	67	87	S 0	S 1	S 1	9	10●	10●	7.5	● a–n, ⌐ 11¾ ⊠
22	2.8	2.2	2.5	2.5	−1.6	720.8	717.9	722.1	96	93	87	S 1	SSE 1	SSE 1	5	10	10	⌒	▽ ▽ p, n ztw
23	2.5	3.2	1.0	2.2	−1.7	726.5	724.2	721.1	71	80	76	S 1	S 0	SSW 1	10	10	10●	13.0	● p–n
24	1.8	4.9	4.0	3.6	−0.2	721.1	721.2	721.9	96	85	93	SSW 1	SSW 0	SSW 1	10	10	10●	⌒	● p–n
25	4.2	5.0	4.4	4.5	0.8	719.6	717.7	714.5	100	93	100	SSW 1	SSW 1	SSW 1	10●≡	10●	10●≡	**31.5**	● n–n, ≡ n–a, p–n
26	10.8	13.2	9.0	11.0	7.4	**712.4**	713.6	715.0	97	77	92	S 1	SSW 1	S 1	10●	10	10●	10.0	● n–a, p–n
27	10.0	13.2	10.0	11.1	7.7	716.3	717.3	720.2	86	66	92	SSW 1	SSW 1	NE 2	9	10	10●	4.0	● p–n mU
28	11.0	**14.5**	10.4	12.0	8.7	720.8	721.7	724.9	83	59	80	SSW 1	S 1	S 1	10	10	5	0.1	▽ a
29	5.2	10.4	5.0	6.9	3.7	726.3	724.4	724.8	91	93	93	E 0	ESE 1	ESE 0	0	2	9	0.1	▽ n (29./30.)
30	6.0	14.0	12.4	10.8	7.7	724.0	723.4	724.7	85	76	93	SSE 1	SSE 1	S 1	9	9	10●	14.5	● p–n mU
Mittel	3.5	6.4	4.4	4.8	—	725.0	724.5	725.3	89	77	89				7.3	8.1	7.7	175.8	

$\lambda = 8°\ 34'$, $\beta = 47°\ 23'$,
$H_b = 569.4$ m, $G = 0.03$ mm

Zürich

November 1952
Beobachter: *Meteorol. Zentralanstalt.*

Tag	Lufttemperatur 7³⁰	13³⁰	21³⁰	Mittel	Abweich. vom Normalst	Luftdruck 7³⁰	13³⁰	21³⁰	Relative Feuchtigkeit 7³⁰	13³⁰	21³⁰	Windrichtung und Stärke 7³⁰	13³⁰	21³⁰	Bewölkung 7³⁰	13³⁰	21³⁰	Niederschlag	Witterung
1	3.7	7.2	6.2	5.7	0.6	713.7	714.0	711.6	87	56	58	SW 1	SSW 1	SSW 2	9	9	10	4.8	
2	5.3	7.4	7.5	6.7	1.8	712.0	713.4	712.0	93	88	70	WSW 1	SW 1	SW 1	10●	10	10	18.6	● 0¾–6½, 7½–9½, 12¼–13¾
3	7.4	8.4	4.7	6.8	2.0	707.1	709.2	715.1	76	77	90	SSW 3	WSW 1	WNW 1	10●	9●	10●	10.2	● 1½–10¾ mU, 12¾–13½, 17¾–24,
4	3.9	7.5	2.8	4.7	0.1	**720.1**	**720.1**	719.2	96	60	86	NW 1	NNE 1	ENE 1	9	4	0	.	● 0–0¾ [⌐ n-a
5	1.5	11.1	9.2	7.3	2.8	716.7	714.8	713.8	79	**37**	42	S 1	S 1	SSW 1	3	7	9	0.0	⌙ I
6	9.8	6.9	7.1	7.9	3.6	712.5	712.9	713.2	55	92	62	SW 2	WSW 2	SW 2	9●	10●	10	1.8	● 7½, 8¼–8½, 13¼–13¾, 19–21
7	7.6	4.8	1.1	4.5	0.3	701.0	703.9	706.9	73	82	84	SW 4	WSW 3	SSW 1	10●	9	7	12.3	● 7½–10¾ mU, 12½–12¾, 19½–19¾, *)
8	0.7	1.1	−0.3	0.5	−3.5	704.9	703.9	706.0	89	83	100	WSW 2	SW 2	NW 1	10	10	10	4.5	● 0¾–1¾, ✳ 14¼–24 mU
9	−1.1	1.1	1.2	0.4	−3.5	710.0	711.7	713.2	87	71	79	WNW 1	SSW 2	SSW 2	10	10	10	0.7	✳ 0–0¾ ⊠
10	0.3	2.1	2.6	1.7	−2.0	708.8	707.9	705.7	87	82	94	SSW 3	SW 2	WSW 2	10*	10	10●	30.4	✳ 7½, ● 13½–24 mU, ⌐ n-a
11	4.3	3.5	2.9	3.6	0.0	704.4	706.3	708.7	92	93	76	WSW 2	SSW 1	SSW 2	10●	10	9	4.2	● 0–12¾ mU, 15¼–15¾, 17–18, ⌐ n-6
12	1.9	1.8	0.1	1.3	−2.1	711.4	712.7	714.6	77	86	98	WSW 2	WSW 1	NW 1	10*	10*	10	4.6	✳ 7½ 8½–10¾, 11¼–11¾, 13½–15½
13	−0.4	2.0	0.1	0.6	−2.7	714.8	714.2	714.5	87	64	98	WSW 1	SW 2	WSW 1	9	10	10*	2.8	✳fl p, ✳ 20½–22¼
14	−2.0	1.7	−1.5	−0.6	−3.7	715.2	715.0	715.0	91	73	93	NE 0	NE 1	ENE 1	10	5	10*	1.7	✳ 3½–6, 20½–24 ⊠
15	−2.6	−0.6	−3.8	−2.3	−5.3	714.4	713.8	712.9	92	75	93	ENE 1	NE 1	NE 1	9	7	0	.	
16	**−6.1**	−1.6	−4.7	−4.1	−6.9	712.0	711.3	709.5	92	66	92	NE 1	NE 1	N 1	5	7	0	.	⌙ I
17	−3.6	1.6	−2.2	−1.4	−4.1	707.9	709.0	709.8	89	68	92	NNW 1	SSW 1	NE 1	10	4	0	0.0	
18	−4.4	−2.6	−2.8	−3.3	−5.8	709.9	709.8	709.8	97	92	94	NE 1	ENE 1	NE 2	10≡	10	10	.	≡ n-11¼
19	−2.8	0.6	−0.5	−0.9	−3.3	703.9	706.2	708.8	95	87	100	NE 2	SSW 1	S 0	10	8	10*	2.1	✳ 18–21½ mU
20	−2.3	3.5	−0.7	0.2	−2.0	709.7	707.2	705.9	92	75	84	ENE 1	ENE 1	WNW 1	2	1	1	.	≡ 9–9½, 10–11¼
21	−1.3	3.5	1.8	1.3	−0.8	706.1	704.4	704.5	88	58	86	E 1	W 1	S 1	2	10	10	0.0	
22	2.8	6.4	2.2	3.8	1.9	705.2	702.0	703.9	75	58	85	SW 1	SSW 1	SSW 2	1	9	10●	5.3	● 18¾–24 mU
23	1.5	3.2	−1.1	1.2	−0.6	709.9	709.4	706.7	83	67	94	SW 2	SSW 2	NE 1	10	9	2	0.1	● 0–3¾, ⌐ a
24	−0.5	1.5	1.4	0.8	−0.8	705.7	706.2	707.1	93	96	97	ENE 0	SSW 1	SSW 1	10≡*	10●,	9	0.4	✳ 7½–8, ● ❩ 8–15 mU, ≡ n-a,
25	0.5	1.2	0.7	0.8	−0.7	705.8	703.7	700.5	99	97	98	ENE 1	NE 1	NNE 1	10≡	10●	10●	**31.2**	● 12¾–24, ≡ 7¼–12 [⌙ I
26	1.9	9.7	11.0	7.5	6.2	**696.6**	696.7	699.4	98	85	65	SSE 1	SW 2	WSW 2	10●≡	10●	10	4.2	● 0–7½, 12¾–13½, ≡ 7–8¼,*)
27	6.9	8.9	9.2	8.3	7.1	700.9	700.7	704.5	87	80	71	WNW 1	S 1	SSW 2	9	9	9	4.0	● 3–3¾, 17½–19¾, 20½–20¾, *)
28	7.7	**12.4**	8.4	9.5	8.5	705.1	705.0	709.8	82	60	60	SW 1	SW 2	WSW 1	9	8	4	0.9	● 0¾–2, 8¼–8¾, 10¾–11,
29	4.6	10.8	3.6	6.3	5.4	711.6	711.0	709.5	83	60	94	SSW 1	**ENE** 1	N 1	9	4	6	.	[⌐ 8–21 mU
30	3.7	11.9	11.7	9.1	8.3	709.3	708.5	708.8	95	54	65	SE 1	SW 1	SW 1	10	9	10	3.5	● 16¾–17¾, 23¼–24
Mittel	1.6	4.6	2.6	2.9	—	708.9	708.8	709.4	87	74	83				8.5	8.3	7.5	Summe 148.3	

*) 7. 23¼–24, ⊠ △ 10, ⌐ n-p, ⌐ 0–10 26. ⌐ 9½–22¼ mU 27. ⌐ 14½-n

$\lambda = 6°\ 32'$, $\beta = 46°\ 51'$
$H_b = 1589$ m, $G = -0{,}13$ mm

Chasseron

November 1952
Beobachter: *Ch. H. Martin*

1	−4.0	−0.4	−2.0	−2.1	—	629.0	629.7	628.5	100	55	100	N 2	NNW 1	S 2	10≡	6	10*≡	10.0	✳ 18–n mU, ≡ n–7½ mU, *) ⊠
2	0.0	−0.2	0.2	0.0	—	628.6	630.0	629.6	100	100	100	NNW 3	W 2	WNW 3	10≡	10≡	10●≡	22.2	● ✳ n-7, △ 11½–12½, *) ⊠
3	2.0	−1.6	−2.2	−0.6	—	625.2	625.2	629.7	100	100	100	NW 5	NNW 5	NW 5	10●≡	10*≡	10*≡	25.2	● n-10, ✳ 12–n, ≡⌐ n-n ⊠
4	−3.2	−2.4	−1.0	−2.2	—	634.3	**634.6**	**634.6**	100	100	100	NE 2	E 2	SE 3	10≡	6	3	.	≡ n–8, ⌐ III ⊠
5	5.0	5.6	3.2	4.6	—	632.5	631.9	631.0	**33**	40	55	WSW 3	SW 3	W 5	6	8	9	.	⌐ n–n, ⌐ II ⊠
6	1.0	−0.2	−1.8	−0.3	—	630.1	630.2	630.5	100	100	100	NW 4	NNW 4	W 4	10≡	10≡	10≡	12.7	❩ n–11 mU, ✳ 11–n mU, *) ⊠
7	−0.4	−2.4	−5.8	−2.9	—	619.6	621.0	622.2	100	100	100	W 6	NW 5	NNW 5	10*≡	10*≡	10*≡	16.0	✳ n–12 mU, 12–18, 18–n mU, *) ⊠
8	−7.0	−5.0	−7.0	−6.7	—	619.8	620.1	621.3	100	100	100	NW 5	NW 4	NW 4	10*≡	10*≡	10≡	5.6	✳ n–19 mU, ≡ ⌐ n-n, ⌐ I ⊠
9	−7.4	−4.0	−5.6	−5.7	—	624.1	626.4	628.1	100	100	100	W 1	NW 3	NW 2	10*≡	10*≡	10*≡	4.6	✳ n–n mU, ≡ n-14, 14-18 mU,*) ⊠
10	−6.6	−3.2	−1.0	−3.6	—	624.5	624.3	622.7	100	100	100	WSW 5	NW 5	W 6	10*≡	10❩≡	10*≡	10.7	✳ n-13 mU, ❩ 13½–14½,*) ⊠
11	−1.0	−2.4	−3.8	−2.4	—	621.1	622.1	624.2	100	100	100	W 4	NW 4	NW 3	10●≡	10*≡	10*≡	19.6	✳△● n-10, ✳ 10-n, ≡⌐ n-n ⊠
12	−6.0	−3.8	−5.8	−5.2	—	626.6	627.4	628.8	100	100	100	NW 3	NNW 2	NNW 2	10△≡	10*≡	10*≡	5.8	△ 6¾–8 mU, ✳ 8–n mU, *) ⊠
13	−7.6	−4.8	−5.2	−5.9	—	629.0	628.7	628.6	100	100	100	NNW 2	NNW 2	NW 2	7	9	10*≡	5.2	✳ 15½–n mU, ≡ 14–n ⊠
14	−7.9	−2.8	−7.0	−5.9	—	628.5	628.5	628.0	91	100	100	NNW 2	W 2	NW 2	8	5	10*≡	2.3	✳ 17–n mU, ≡ n–7, 15–n ⊠
15	−8.0	−6.6	−8.2	−7.6	—	627.3	626.8	626.2	95	100	100	W 1	SE 1	W 1	9	10*≡	10*≡	1.2	✳ 11½–n, ≡ n–7, 11–n mU ⊠
16	**−10.2**	−7.3	−8.1	−8.5	—	624.7	624.4	623.2	90	93	100	WSW 1	WSW 2	SE 2	4	9	10*≡	2.1	✳ 19–n mU, ≡ 18–n ⊠
17	−6.4	−3.3	−4.4	−4.7	—	622.1	623.2	623.9	100	100	100	S 3	W 1	SE 3	10*≡	10*≡	10*≡	3.0	✳ ≡⌐ n-n ⊠
18	−5.1	−3.4	−2.4	−3.6	—	623.6	624.5	623.6	98	100	100	SE 2	S 3	E 1	9	10*≡	10≡	0.0	✳ 12–14, ≡ 12–n mU, *) ⊠
19	−2.6	−3.8	−8.2	−4.9	—	618.8	621.2	623.1	100	100	95	E 3	W 3	WSW 2	8	10*≡	9*	1.1	✳ 11½–n mU, ≡ 11–19,*) ⊠
20	−8.8	−6.4	−5.2	−6.8	—	623.1	621.4	620.7	94	90	100	SW 3	SW 3	S 4	5	3	10*≡	2.4	✳ 17–n, ≡ 9½–12 mU, *) ⊠
21	−4.0	−3.2	−3.0	−3.4	—	620.2	619.6	619.7	95	100	100	S 5	S 5	W 4	5	10≡	10*≡	2.0	✳ 10–n mU, ≡ 10¼–n mU,*) ⊠
22	−4.8	−3.0	−4.8	−4.2	—	620.7	618.3	618.8	70	100	100	W 4	SW 4	NW 5	6	10*≡	10*≡	13.2	✳ 12–n, ≡ 12½–n, ⌐ n-n,*) ⊠
23	−6.2	−5.6	−5.2	−5.7	—	624.9	623.7	621.7	100	80	100	W 2	S 3	S 3	10*≡	9	10*≡	0.6	✳ n–9 mU, 18–n mU *) ⊠
24	−2.0	−0.2	−2.4	−1.5	—	621.1	621.8	622.5	100	100	100	W 3	W 2	W 3	10❩≡	10≡	10≡	0.2	❩ n–8½ mU, ≡ n–11½, *) ⊠
25	−0.1	0.4	3.8	1.4	—	621.1	619.4	617.5	100	100	100	WSW 3	S 4	W 3	9	10●≡	10●≡	28.9	● 9–n, ≡ 8½–n mU, ⌐ n-n ⊠
26	4.6	3.8	2.8	3.7	—	**614.0**	616.5	617.6	100	100	100	W 6	W 4	W 5	10●≡	10●≡	9	17.5	● n–8 mU, 8–14½, *) ⊠
27	1.0	3.4	3.0	2.5	—	619.2	619.7	622.0	98	90	100	W 4	W 5	W 5	10●*	10●	10●≡	19.3	● ✳ 7–8, ● 8–n mU, *) ⊠
28	3.0	2.8	0.8	2.2	—	622.8	623.7	627.0	100	100	100	W 5	W 5	**W** 4	10	9	10≡	2.6	● △ n-12 mU, ▲ 14-16,*) ⊠
29	1.2	4.4	3.6	3.1	—	627.9	627.8	627.0	100	70	76	W 3	S 3	SE 3	5	6	8	.	⌐ n-n ⊠
30	5.1	**6.8**	4.8	5.6	—	626.2	626.8	627.2	91	100	100	S 4	W 4	W 4	9	9	10●≡	6.0	● 12–n mU, ≡ 19–n, ⌐ n-n ⊠
Mittel	−2.9	−1.7	−2.6	−2.4	—	624.4	624.6	625.0	95	94	98				8.7	9.0	9.6	Summe 240.0	

*) 1. 10–12 mU, 18–n 2. ● ✳ 16–n mU, ≡ n–n, ⌐ I, III 6. ≡ ⌐ n–n 7. ≡ ⌐ n–n 9. 18–n, ⌐ II 10. ✳ 14½–n, ≡ ⌐ n–n 12. ≡ n–n, ⌐ I 18. ⌐ II 19. ⌐ n-p 20. ⌐ n–n, 21. ⌐ n–n 22. ⌐ II 23. ≡ n–11½, 18–n, ⌐ a–n 24. 11½–14 mU, 14–n, ⌐ I, III 26. ≡ n–15, 15–n mU, ⌐ n–n 27. ≡ n–14½ mU, 14½–n, ⌐ n–n 28. ● 16–n mU, ≡ n–7 mU, 18–n mU, ⌐ n-n

November 1952
Beobachter: *B. Minsch und C. Clavuot*

Bever

$\lambda = 9° 53'$, $\beta = 46° 33'$,
$H_b = 1711.8$ m, $G = -0.23$ mm

Tag	Lufttemperatur					Luftdruck			Relative Feuchtigkeit			Windrichtung und Stärke			Bewölkung			Niederschlag	Witterung
	7^{30}	13^{30}	21^{30}	Mittel	Abweich. vom Normalst	7^{30}	13^{30}	21^{30}	7^{30}	13^{30}	21^{30}	7^{30}	13^{30}	21^{30}	7^{30}	13^{30}	21^{30}		
1	−3.2	−0.4	−3.5	−2.4	−1.9	618.2	619.1	619.3	71	53	70	NE 0	W 1	NW 0	9	7	5	3.9	✳ n (1./2.)
2	−1.1	4.4	0.5	1.3	2.0	617.3	618.2	618.8	82	51	66	S 1	SE 0	NE 0	9	8	8	.	
3	−0.3	2.2	−1.0	0.3	1.2	615.6	615.9	619.3	85	73	89	NE 0	SE 1	NE 1	10	10*	10*	2.5	✳ 8¾–10, 13–n
4	−2.1	0.4	−8.5	−3.4	−2.3	623.5	625.4	**626.7**	72	47	78	NE 0	W 1	**W** 0	9	2	0	.	
5	−10.1	**5.0**	−3.8	−3.0	−1.7	625.3	624.4	623.5	91	47	77	SW 0	SW 0	SW 0	1	1	1	.	⌊
6	−5.0	4.7	1.9	0.5	2.0	621.1	618.7	618.7	96	**44**	50	SW 1	N 1	NW 1	1	10	10	.	⌊
7	1.4	−0.4	−6.0	−1.7	0.0	610.3	608.8	608.9	59	54	97	S 2	NW 2	E 1	10	10	10	14.3	✳ n–n mU
8	−7.8	−4.9	−6.8	−6.5	−4.6	608.8	609.0	609.2	95	79	98	N 0	E 0	SW 0	10	10*	10	9.3	✳ 8¾–n mU
9	−12.2	−6.1	−8.2	−8.8	−6.7	614.0	616.1	618.0	80	47	85	SW 0	SW 1	**SW** 0	4	0	10	.	
10	−9.5	−5.4	−3.8	−6.2	−3.9	614.8	612.9	612.2	93	94	99	SW 0	SW 1	SW 1	10*	10*	10*	16.0	✳ 7–n
11	0.0	−1.3	−7.0	−2.8	−0.3	609.5	612.2	613.7	74	84	96	NE 1	NE 0	W 0	10	10	10	.	
12	−8.5	−1.8	−7.2	−5.8	−3.1	615.7	616.3	618.3	93	58	89	SW 0	NW 0	NW 0	9	10	10	.	⌊
13	−15.2	−7.4	−10.1	−10.9	−8.0	619.7	619.4	619.8	93	62	86	SW 0	S 0	SW 0	7	10	5	.	⌊ ⌊
14	−13.8	−3.8	−14.6	−10.7	−7.6	619.0	618.6	619.3	91	59	84	SW 0	SW 0	S 0	10	5	6	.	⌊ ⌊
15	−22.8	−11.6	−20.4	−18.3	−15.0	618.5	617.5	618.3	93	65	87	SW 0	SW 0	**W** 0	1	1	0	.	≡ a, ⌊
16	**−23.6**	−11.0	−6.5	−13.7	−10.2	618.6	618.0	618.3	90	72	96	SW 0	SW 0	NE 0	0	3	6	.	⌊
17	−14.2	−4.6	−15.2	−11.3	−7.6	617.2	616.7	617.8	84	57	89	NE 0	NE 0	SW 0	9	4	0	.	⌊
18	−11.1	−1.6	−3.2	−5.3	−1.4	617.8	617.9	618.1	96	79	100	SW 0	SW 0	NE 0	5	10	10*	8.6	✳ 20½–n, ⌊
19	−0.9	0.7	−5.0	−1.7	2.4	616.1	614.2	615.4	99	97	99	NE 1	NE 1	SW 0	10	10*	10*	**22.5**	✳ 8–n
20	−9.6	−2.8	−6.4	−6.3	−2.0	616.4	617.1	617.5	90	62	83	SW 0	S 0	SW 0	5	2	9	.	⌊
21	−8.2	−0.4	−6.4	−5.0	−0.5	616.4	615.2	613.6	92	57	84	SE 0	S 0	SW 0	4	5	10	.	⌊
22	−15.1	−5.6	−8.8	−9.8	−5.1	613.2	611.2	610.8	92	76	89	SW 0	SE 0	SW 0	0	9	6	2.1	✳ n (22./23.), ⌊
23	−8.4	−2.8	−13.8	−8.3	−3.4	614.8	615.1	615.0	95	49	82	S 0	W 1	W 0	10	5	6	0.0	✳fl n–10 mU
24	−12.4	−6.6	−14.4	−11.1	−6.0	613.6	613.1	614.0	89	74	91	SW 0	SW 0	SW 0	6	0	0	.	⌊
25	−16.6	−4.0	−3.8	−8.1	−2.8	613.4	612.1	611.2	93	62	98	S 0	S 0	NE 0	3	10	10*	4.6	✳ 20–n, ⌊
26	−2.4	4.2	−2.6	−0.3	5.2	607.7	**607.6**	610.0	99	80	99	S 0	S 0	NE 0	10	10	10	.	≡ p–n
27	−3.4	3.2	1.4	0.4	6.1	611.5	613.0	615.3	99	69	92	S 0	SW 1	NW 0	9	9	10	.	⌊
28	1.2	3.5	−3.3	0.5	6.4	616.2	625.4	618.1	88	76	90	SW 1	SW 1	W 0	10	8	8	.	⌊
29	−9.2	−1.8	−9.0	−6.7	−0.7	620.9	620.6	621.7	97	67	91	SW 0	SW 0	SW 0	6	8	5	.	⌊
30	−5.8	4.6	3.0	0.6	6.8	620.9	620.3	620.4	90	63	79	E 0	SW 1	SW 0	6	8	5	3.2	✳ n (30./1.), ⌊
																		Summe	
Mittel	−8.3	−1.7	−6.4	−5.5	—	616.2	616.0	616.7	89	65	87				6.8	6.8	7.0	87.0	

November 1952
Beobachter: *Couvent des Capucins.*

Sion

$\lambda = 7° 21'$, $\beta = 46° 14'$,
$H_b = 548.6$ m, $G = -0.11$ mm.

1	3.4	8.2	5.5	5.7	−1.0	710.6	716.1	716.1	93	46	74	NNE 0	WNW 2	WSW 0	4	5	10	6.4	● 0–4, 22¾–24
2	4.3	10.4	7.3	7.3	0.8	716.3	716.0	715.9	100	59	88	S 0	WNW 2	SW 0	10	7	10●	8.1	● 0–4¾, 21–24
3	6.4	9.2	6.0	7.2	0.9	712.8	712.3	717.4	100	78	91	SSW 0	WNW 3	WSW 1	10●	10●	10●	7.2	● 0–14¾, 16, 18¾, 20¼–22¾, ⌊ II
4	4.9	9.8	4.6	6.4	0.2	720.7	721.1	**722.5**	93	56	72	WSW 0	E 2	E 1	3	6	0	.	
5	1.0	10.4	6.3	5.9	−0.1	720.9	717.9	717.6	85	**41**	76	ENE 1	ENE 0	E 0	2	8	9	.	
6	1.4	9.2	7.6	6.1	0.3	717.8	716.4	717.1	97	64	72	ENE 1	ENE 0	W 3	6	10	10	1.1	● 15¼–18½, ⌐ III
7	6.7	5.0	2.6	4.8	−0.9	708.1	707.6	709.8	85	89	80	WNW 3	WSW 1	WNW 2	10●	10●	10	13.2	● 4½–19¼, ⌐ a
8	1.5	1.2	1.0	1.2	−4.3	708.8	709.4	709.7	85	87	100	WNW 2	WNW 2	WNW 2	10	10	10	4.8	● ✳ 1–7, 15½–24
9	−1.4	1.2	−0.4	−0.2	−5.6	713.1	715.1	716.9	77	86	89	WSW 0	WSW 0	WSW 0	10	10	2	1.0	● ✳ 0–2
10	−0.8	0.9	3.5	1.2	−4.0	714.6	713.2	711.1	100	100	100	WSW 0	WSW 0	WSW 0	10*	10*	10●	16.5	✳ 6½–16½, ● 16½–24
11	6.6	9.8	4.4	6.9	1.9	708.1	708.3	716.3	76	66	71	SW 2	WSW 0	WSW 2	10●	10	10	3.4	● 0–12, 13¾–16¼, ●tr 21¼
12	1.1	6.2	2.8	3.4	−1.5	714.8	714.8	716.4	87	51	85	WSW 0	SW 2	WSW 2	8	7	8	.	
13	−1.0	4.4	0.8	1.4	−3.3	718.4	717.0	718.1	67	57	63	WSW 1	WSW 1	WSW 1	2	10	4	.	
14	−0.6	4.2	0.2	1.3	−3.2	717.5	716.6	716.9	90	56	73	WSW 0	WSW 1	WSW 0	7	4	2	.	
15	−0.5	3.1	−1.1	0.5	−3.9	716.7	710.4	715.6	82	54	64	WSW 0	WSW 1	WSW 1	5	2	0	.	
16	**−4.7**	1.2	1.3	−0.7	−4.9	715.7	714.4	714.1	68	43	55	ENE 0	ENE 0	ENE 0	1	9	10	.	
17	−0.4	5.7	2.7	2.7	−1.4	712.9	712.0	712.4	64	44	56	ENE 1	ENE 0	ENE 1	10	9	3	.	
18	0.2	5.5	2.4	2.7	−1.2	712.3	712.0	711.1	69	61	91	NNE 1	WSW 1	WSW 0	7	8	10	.	
19	7.1	2.6	1.8	3.8	0.1	707.0	707.9	711.0	65	96	89	NNE 2	NNW 3	WNW 0	10	10	8	0.3	● 11¼–12½, ⌐ II
20	−1.0	5.3	3.9	2.7	−0.9	712.9	711.1	710.6	100	52	43	WNW 0	W 1	ENE 0	10	0	8	.	⌐ P
21	0.1	6.9	3.6	3.5	0.1	712.0	708.9	709.0	64	47	90	ENE 1	**ENE** 1	WNW 0	0	10	10	3.0	● 20½–21½, 23¾–24
22	0.2	4.1	0.9	1.7	−1.5	710.0	706.4	707.8	100	80	100	WNW 0	**E** 0	W 0	10	10	10*	10.4	● 0–5⅛, ✳ 15¼–18¼, 19–24
23	2.1	4.6	1.0	2.6	−0.5	713.0	712.3	710.9	75	57	100	WSW 0	WSW 0	WSW 0	10	10	10	1.4	✳ 0–4½, ● 19¼–21⅛
24	0.7	4.8	2.7	2.7	−0.2	708.6	709.5	710.5	100	77	97	ENE 0	ENE 1	ENE 0	6	2	10	.	
25	0.6	4.8	3.9	3.1	0.3	708.9	707.0	705.6	98	80	100	ENE 0	ENE 0	ENE 0	10	10●	10●	**32.7**	● 13–24
26	5.1	6.2	5.1	5.5	2.9	**701.9**	702.7	704.2	100	100	100	E 0	E 0	E 0	10●	10●	7	14.2	● 0–15¾
27	3.0	7.8	6.7	5.8	3.4	706.0	707.5	710.9	100	91	100	ENE 0	ENE 0	ENE 0	10	10●	10●	6.5	● 0¼–6¾, 8¼–22¼
28	4.8	8.6	5.4	6.3	4.0	710.8	711.1	713.2	100	99	92	ENE 0	ENE 0	ESE 1	10	10●	2	3.1	● 8¼–9, 10½–14¾
29	2.6	8.0	6.1	5.6	3.5	714.4	713.9	713.3	100	66	99	ENE 1	ENE 1	ENE 0	1	5	3	.	
30	5.4	**12.4**	8.3	8.7	6.8	713.6	708.0	708.0	66	42	65	ENE 0	ENE 0	ENE 0	10	2	4	25.6	● 22¾–24
																		Summe	
Mittel	2.0	6.1	3.6	3.9	—	712.6	711.9	713.0	86	68	83				7.4	7.8	7.3	158.9	

$\lambda = 8° 57'$, $\beta = 46° 0'$,
$H_b = 276.2$ m, $G = -0.01$ mm.

Lugano

November 1952
Beobachter: *G. Vicari.*

Tag	Lufttemperatur 7³⁰	13³⁰	21³⁰	Mittel	Abweich. vom Normalst	Luftdruck 7³⁰	13³⁰	21³⁰	Relative Feuchtigkeit 7³⁰	13³⁰	21³⁰	Windrichtung und Stärke 7³⁰	13³⁰	21³⁰	Bewölkung 7³⁰	13³⁰	21³⁰	Niederschlag	Witterung
1	10.8	16.6	11.2	12.9	4.4	734.6	735.5	735.9	31	27	39	N 2	N 2	N 1	0	0	7	.	☿ 18
2	6.0	17.4	8.4	10.6	2.3	734.7	734.0	735.8	65	42	62	N 1	S 1	N 1	0	0	0	.	
3	6.4	18.0	11.2	11.9	3.8	733.2	732.2	734.5	77	41	41	N 1	ESE 1	WNW 1	9	1	0	0.0	● tr 8¼
4	12.4	18.4	8.8	13.2	5.3	740.3	742.4	745.1	35	27	63	N 2	N 2	N 1	0	0	0	.	
5	3.8	14.4	7.2	8.5	0.7	745.5	743.5	742.4	76	41	76	N 1	S 1	N 1	3	8	10	.	
6	4.4	15.0	6.4	8.6	1.0	739.7	736.5	734.7	87	43	81	N 1	SE 1	N 1	9	4	6	.	
7	5.2	8.8	5.4	6.5	-0.9	727.9	725.1	727.6	91	82	63	NNE 1	N 1	N 2	10	9	9	0.9	● 12¾-13, 19-19½
8	3.6	10.8	6.2	6.9	-0.4	727.9	727.6	728.4	62	45	44	N 1	N 2	N 2	3	2	0	.	
9	4.4	11.8	4.4	6.9	-0.2	732.8	734.7	737.6	36	26	42	N 1	N 2	N 1	1	0	0	.	
10	3.4	7.8	5.0	5.4	-1.6	735.2	732.8	731.3	60	53	71	N 1	N 1	NNE 1	10	10	10	0.2	☽ n (10./11.)
11	5.2	14.8	7.4	9.1	2.3	727.6	727.8	730.7	93	42	41	W 1	N 2	N 2	9	4	0	.	
12	4.2	13.8	5.4	7.8	1.1	734.7	735.2	737.9	45	29	42	N 1	NNE 1	N 1	0	1	0	.	
13	2.2	11.0	4.8	6.0	-0.5	739.5	739.4	741.0	47	37	65	N 1	S 1	N 1	0	8	4	.	
14	0.8	8.8	1.4	3.7	-2.7	740.9	740.0	739.9	83	57	81	W 1	S 1	N 1	9	5	0	0.6	● ☽ 9-10, ✳fl 10-10¾
15	-1.8	8.4	0.2	2.3	-3.9	739.3	738.2	739.1	73	42	75	N 1	S 1	NNW 1	0	0	0	.	⌊ l
16	-2.2	7.2	0.0	1.7	-4.4	740.0	739.8	740.3	78	44	79	N 1	S 1	N 1	0	3	8	.	⌊ l
17	1.2	6.8	3.6	3.9	-2.0	738.7	737.2	737.1	77	61	85	N 1	SSE 1	N 1	10	9	10	0.4	☽ n (17./18.)
18	3.4	4.0	0.8	2.7	-3.1	737.8	738.9	738.1	91	99	99	NNW 1	S 1	N 1	10	10●	10●*	30.1	● 10½-13½, ● ✳ 13½-n
19	1.4	2.2	3.2	2.3	-3.3	734.5	734.6	735.0	99	99	99	W 1	N 1	N 1	10●	10●	10	45.8	● n-n mU, ⛆ 22½ ▣
20	3.4	7.8	3.8	5.0	-0.5	737.3	738.3	738.6	93	50	83	N 1	S 1	N 1	8	9	10	2.3	☽ p, ● n (20./21.)
21	3.2	6.4	3.4	4.3	-1.1	737.3	735.6	733.0	96	74	93	W 1	N 1	N 1	10	10	10	0.9	☽ ● 17½-21
22	0.8	10.0	3.2	4.7	-0.5	731.7	729.5	729.5	95	52	90	N 1	S 1	N 1	0	1	4	0.7	● 18-19
23	3.8	10.4	3.6	5.9	0.8	733.6	733.1	733.1	67	36	62	NNE 1	N 2	NW 1	1	6	10	.	⌊ l
24	1.8	12.2	1.2	5.1	0.2	732.4	731.8	733.1	78	41	82	N 1	S 1	N 1	5	0	0	.	
25	-0.4	6.2	4.8	3.5	-1.3	732.0	731.3	730.1	86	63	74	N 1	E 1	N 1	5	10	10	.	⌊ l
26	3.8	11.2	3.4	6.1	1.4	725.5	723.8	726.5	88	54	91	N 1	E 1	N 1	10	3	0	.	☿ III
27	2.2	6.6	6.8	5.2	0.7	729.3	730.5	732.1	97	80	90	N 1	W 1	W 1	1	10	10	.	
28	6.8	8.4	5.8	7.0	2.6	734.5	734.5	735.4	88	86	91	N 1	W 1	N 1	10	10	3	0.1	☽ 11-12 mU, (|) 18
29	3.6	10.6	5.2	6.5	2.2	737.6	739.0	740.1	90	68	93	N 1	E 1	— 0	0	10	5	1.4	● n (29./30.), ⊕ II
30	6.4	9.2	8.4	8.0	3.9	739.9	739.3	738.8	98	76	90	N 1	SE 1	— 0	9	10	10	.	
Mittel	3.7	10.5	5.0	6.4	—	735.2	734.7	735.4	76	54	73				5.1	5.4	4.9	Summe 83.4	

$\lambda = 7° 35'$, $\beta = 47° 33'$,
$H_b = 317.3$ m, $G = 0.11$ mm.

Basel

November 1952
Beobachter: *Astronom.-Meteorol. Anstalt.*

1	4.3	8.5	5.9	6.2	0.4	736.3	736.7	734.2	90	64	94	SW 1	WSW 1	SE 1	10	10	10●	2.3	● 20¾-24
2	8.0	10.4	7.8	8.7	3.1	734.2	735.3	734.0	89	72	99	WNW 2	WNW 1	NE 0	10	10	10●	3.9	● 0-3, 7¼, 20¾-24 mU, ⸗ 11¼
3	11.2	9.0	6.4	8.9	3.4	729.6	732.1	737.9	80	78	88	WSW 2	WNW 1	SW 1	10●	10	10●	8.2	● 0-21 mU, △ 14¼, ⸗ 6¾, 8¾, 19½
4	2.8	9.1	3.2	5.0	-0.4	742.9	742.7	742.1	98	73	90	SW 0	NW 1	SE 1	6	3	0	.	● 0-1, ≡ 9½-10¾, ⏢ l
5	0.9	11.0	5.9	5.9	0.7	738.3	736.5	735.9	98	58	84	SE 1	SE 1	E 1	6	7	10	0.0	⊕ 11½-13, 14-14½, ⌴ l
6	9.2	9.6	8.1	9.0	3.9	735.4	735.6	735.8	81	74	70	W 2	W 2	WSW 2	10●	10	10	2.9	● 7½, 9¼-12, 17-17¾, ⸗ 12, 15, 17½
7	8.4	7.9	3.4	6.6	1.6	723.2	727.7	730.5	92	61	82	WSW 3	NW 1	W 1	6●	9	10	4.3	● 6¾-9½, △ 9¾, ⸗ 0-9½
8	2.1	2.4	2.5	2.3	-2.6	729.0	727.4	730.2	80	84	82	W 2	WSW 3	W 1	9	10*	10	0.8	✳ 13¾-14, 19½-20, ⸗ 8-18
9	0.7	3.8	3.3	2.6	-2.1	732.8	734.3	736.1	89	83	83	NE 1	W 0	WSW 1	10*	10	10	1.3	✳ 7½-9¾ mU
10	2.8	5.4	7.4	5.2	0.6	731.8	730.4	728.1	72	75	89	W 1	WNW 2	WSW 2	10	10	10	10.4	● 16-21
11	5.8	4.6	3.8	4.7	0.2	727.1	729.0	731.6	84	89	82	WSW 1	NW 1	WSW 1	10●	10●	10	5.3	● 0¼-9½, 13¼-16½ mU, △ 13½-14¾
12	3.1	3.8	0.5	2.5	-1.8	734.3	735.6	737.7	79	85	94	WSW 2	W 1	SW 1	9	10	8	0.8	● 10¾-12½
13	-0.3	5.2	0.6	1.8	-2.4	737.4	736.7	737.7	94	72	96	E 0	W 1	SW 1	6	10	10*	1.2	☽ 14-14¾, ● 17¾-20½, ✳ 20½-21½
14	-0.3	3.0	0.2	1.0	-3.1	738.4	737.6	737.3	96	74	98	SW 0	E 1	E 0	10	8	10*	6.0	✳ 14½-24 mU, ⌴ l [⌴ l, ☋ 6¾
15	-1.0	1.8	-1.0	0.0	-4.0	737.3	736.6	736.0	100	77	92	E 0	E 1	E 1	10*	10	0	.	✳ 0-8½ ▣
16	-2.6	0.8	-2.0	-1.3	-5.1	734.6	733.9	732.3	89	83	100	E 1	ENE 1	E 1	4	5	8	8.7	
17	-1.8	1.2	-1.1	-0.6	-4.3	731.0	731.4	732.5	100	87	100	E 1	E 1	NW 0	10*	9	10	3.3	✳ 0½-10¾, ≡ 22-n ▣
18	-2.2	0.2	-1.3	-1.1	-4.7	733.8	732.7	733.1	100	87	87	NE 0	NNE 1	NE 1	10=	9	9	.	≡ n-11 ▣
19	-1.0	1.3	0.2	0.2	-3.3	727.2	729.0	732.1	86	98	94	E 1	E 0	N 0	10	10	10	0.5	✳ 16½-17¼, ▣
20	-0.8	3.5	0.1	0.9	-2.4	732.1	730.2	729.7	98	62	89	SE 1	E 1	SW 1	1	0	10	0.5	✳ 17½, 23¼-23½ ▣
21	1.2	3.5	3.2	2.6	-0.6	728.3	726.4	726.3	83	67	80	SSE 2	SE 2	SE 1	5	10	10	0.6	● 23½ ▣
22	1.8	8.4	4.0	4.7	1.6	727.2	723.9	726.3	82	50	75	SSW 1	SW 2	WSW 2	2	10	10	4.4	● 15-24 mU, △ 15, ⸗ 15¼ ▣
23	2.8	4.8	-0.1	2.5	-0.4	732.7	731.9	729.5	82	74	89	WSW 1	S 1	E 1	10	10	6	0.0	● 2¼-5 mU, ⸗ 4½
24	0.4	3.8	-1.2	1.0	-1.8	728.9	729.1	729.8	96	85	98	E 0	E 0	E 0	10*	7	0	0.0	✳fl 9
25	-0.4	-0.4	-0.5	-0.4	-3.1	728.7	726.1	722.5	96	98	100	E 0	SW 1	NW 1	10	10=●	10●	23.0	● 13¼-24, ≡ 9¾-10½, 13-14¼
26	0.2	2.5	7.3	3.3	0.7	717.2	718.8	721.3	100	98	93	NW 0	N 0	NW 1	10=●	10=●	9	9.8	● 5¾-14½ mU, ≡ n-p
27	8.1	12.4	10.4	10.3	7.9	723.1	722.4	725.9	85	65	73	ENE 1	WSW 2	SW 1	9	10●	8	5.0	● 2½-18½ mU, ⸗ p
28	10.1	15.1	8.1	11.1	8.8	726.2	726.5	732.4	79	45	77	S 2	WSW 3	NW 1	10	4	9	0.1	● 5¾-12 mU, ⸗ 14, ☋ 21-23
29	3.9	9.7	2.8	5.5	3.3	734.2	733.2	732.6	93	68	100	ESE 1	NW 1	NW 0	9	6	10=	0.0	≡ 17¾-24
30	5.4	10.2	8.3	8.0	5.9	730.5	730.0	730.2	87	60	93	ESE 1	ESE 2	ESE 1	10	8	10●	2.3	● 20¼-24 mU, ≡ 0-3¼
Mittel	2.8	5.7	3.2	3.9	—	731.5	731.3	732.0	89	75	89				8.4	8.5	8.6	Summe 105.6	

November 1952
Beobachter: *Observatorium.*

Säntis

$\lambda = 9° 20'$, $\beta = 47° 15'$,
$H_b = 2500.1$ m, $G = -0.27$ mm.

Tag	Lufttemperatur					Luftdruck			Relative Feuchtigkeit			Windrichtung und Stärke			Bewölkung			Niederschlag	Witterung
	7^{30}	13^{30}	21^{30}	Mittel	Abweich. vom Normalst	7^{30}	13^{30}	21^{30}	7^{30}	13^{30}	21^{30}	7^{30}	13^{30}	21^{30}	7^{30}	13^{30}	21^{30}		
1	-9.7	-8.7	-9.3	-9.2	-6.1	559.0	560.0	558.9	93	93	80	W 2	W 2	SW 3	10≡*	4≡	10	18.6	✳ n-8¾, ≡ n-16¾ mU
2	-6.6	-5.6	-5.2	-5.8	-2.6	558.0	560.3	560.1	100	98	100	W 3	W 3	W 3	10≡*	10≡	10≡	48.5	✳ n-12½, ≡ ⫩ ▬ n-n
3	-3.7	-5.0	-7.4	-5.4	-2.1	555.2	556.7	560.8	100	100	100	W 5	W 5	NW 3	10≡*	10≡*	10≡*	57.7	✳ n-15¾, 17-n, K 10, ≡ ⫩ V
4	-9.4	-8.0	-6.6	-8.2	-4.7	564.3	565.4	**566.1**	95	57	43	NNE 1	N 2	NNE 2	10≡	1	1	.	≡ n-8¾ [n-n, ⌿ n-p
5	-4.0	-2.1	-2.0	-2.7	0.9	564.9	564.8	564.0	**42**	45	53	WSW 3	WSW 3	WSW 3	3	9	10	.	
6	-4.8	-4.6	-7.6	-5.7	-2.0	559.4	559.1	559.2	100	100	100	W 5	W 5	W 4	10≡	10≡*	10≡*	42.4	✳ 9½-n, ≡ ⫩ ⌿ n-n, V II
7	-5.0	-8.1	-12.7	-8.6	-4.8	549.3	548.0	551.6	100	100	94	WSW 6	W 5	WNW 4	10≡*	10≡*	10≡*	40.3	✳ ≡ ⫩ ⌿ V n-n
8	-12.6	-12.4	-12.0	-12.3	-8.3	549.8	549.4	550.3	97	97	97	WNW 4	W 4	NNW 2	10≡*	10≡*	10≡*	33.1	✳ ≡ n-n, ⫩ ⌿ n-19½
9	-15.7	-12.5	-12.3	-13.5	-9.4	553.6	555.6	557.3	96	96	98	WNW 3	W 3	W 3	10≡	10≡	10≡*	12.7	✳ n-7, 14-n, ≡ n-8½,
10	-11.8	-10.6	-7.8	-10.1	-5.9	553.0	553.0	552.0	98	100	100	W 4	W 5	W 4	10≡*	10≡*	10≡*	37.5	✳ ≡ ⌿ n-n [11½-n
11	-7.7	-10.1	-10.4	-9.4	-5.1	551.6	553.0	554.4	100	96	93	WNW 4	NW 3	WNW 3	10≡*	10≡*	10≡*	**58.4**	✳ ≡ ⫩ n-n, ⌿ n-a, V a
12	-11.8	-12.1	-13.0	-12.3	-7.9	555.6	557.0	558.2	95	98	98	W 3	NW 2	WNW 2	10≡*	10≡*	10≡*	27.4	✳ ≡ ⫩ n-n
13	-14.0	-12.4	-12.4	-12.9	-8.3	558.4	558.1	558.1	98	92	97	WSW 2	SW 3	SW 3	10≡	10	10≡	11.8	▽ 7½-8¾, 8¾-9½, ≡ n-11, 15-n
14	-14.0	-13.9	-14.4	-14.1	-9.4	557.8	557.8	557.9	97	96	97	WNW 2	WSW 3	W 2	10≡*	10≡	10≡	4.9	✳ n-11, ≡ n-n mU
15	-15.1	-13.8	**-15.8**	-14.9	-10.1	556.9	556.7	556.2	95	92	95	WNW 2	SW 2	SW 2	10≡	1	0	.	≡ n-8
16	-15.4	-12.0	-11.6	-13.0	-8.1	555.4	555.8	555.6	74	60	67	SW 3	SW 2	S 1	1	1	10	0.3	✳ n (16./17.)
17	-9.0	-7.62	-9.1	-8.1	-3.1	555.3	556.0	556.4	90	78	77	E 2	SW 2	ESE 2	10	2	2	.	≡ 5¾-6¾
18	-8.2	-5.3	-5.0	-6.2	-1.1	556.6	557.5	558.1	86	76	91	S 3	SSW 3	E 4	1	9	10	.	⌿ III
19	-3.2	-2.3	-6.2	-3.9	1.4	555.1	555.7	555.4	87	100	100	S 5	SSE 3	SE 3	4	10≡*	10≡	1.6	✳ 12¾-17, ≡ 12¾-n,
20	-11.3	-11.2	-10.3	-10.9	-5.5	555.8	554.9	554.7	93	66	77	SSE 4	SSW 4	S 4	2	2	2	.	⌿ n-n [⫩ ⌿ n-12
21	-9.3	-6.6	-8.6	-8.2	-2.7	554.6	554.0	553.0	64	58	94	SW 3	SE 2	SSW 2	1	8	10≡	1.7	✳ n (21./22.), ≡ 20-n
22	-9.6	-8.6	-10.8	-9.7	-4.1	552.7	551.2	550.7	98	84	98	W 3	WSW 3	W 4	10≡	9	10≡*	20.4	✳ 16-n mU, ≡ n-8¾, *)
23	-11.7	-11.2	-11.0	-11.3	-5.6	554.3	555.1	553.7	98	95	93	W 3	W 3	WSW 2	10≡*	10≡	2	12.5	✳ n-12½, ≡ n-14, ⫩ n-12
24	-6.8	-6.8	-8.0	-7.2	-3.4	553.0	552.8	553.6	100	100	100	W 3	W 4	W 4	10≡	10≡	10≡	.	≡ n-n, ⌿ a-n
25	-6.7	-4.6	-2.2	-4.5	1.4	553.3	552.8	551.3	100	100	100	W 4	W 4	WSW 4	10≡	10≡	10≡*	40.9	✳ 14-n, ≡ n-8½, 12½-n,*)
26	-0.8	-1.8	-3.2	-1.9	4.1	**547.5**	549.0	550.9	100	100	100	W 5	W 5	W 5	10≡	10≡*	10≡	25.4	✳ n-5½, 12½-15, ≡ ⌿ n-n,*)
27	-4.3	-2.8	-2.6	-3.2	2.8	552.4	553.2	554.9	93	100	100	SW 5	WSW 5	WSW 5	9	10≡*	10≡*	17.1	▽ 10-10½, 13-13½, 15-15¾, *)
28	-3.1	-2.9	-3.9	-3.3	2.8	556.4	555.4	557.2	98	100	100	W 3	W 4	W 6	9	10≡*	10≡*	9.5	▽ 9¼-9¾, ✳ 11½-15¼, *)
29	-4.0	-3.2	-1.6	-2.9	3.3	560.1	561.3	561.2	100	85	83	W 4	WSW 3	SW 2	10≡	2	3	.	≡ n-8
30	-0.7	0.2	**0.4**	0.0	6.3	560.4	560.5	560.4	77	96	100	W 3	SW 3	W 4	10	10	10≡	7.7	▽ 8-8¾, ☽ 20½-n, ≡ 19-n, ⌿ III
																		Summe	
Mittel	-8.4	-7.5	-8.1	-8.0		555.7	556.0	556.4	92	88	91				8.3	7.9	8.3	530.4	

November 1952
Beobachter: *E. Chiesa*

St. Gotthard (Hospiz)

$\lambda = 8° 34'$, $\beta = 46° 33'$,
$H_b = 2095$ m, $G = -0.25$ mm.

1	-7.0	-7.0	-3.4	-5.7	-3.4	587.5	589.6	589.4	100	95	52	NW 3	NW 2	NW 1	10≡	3	10	4.0	✳ n (1./2.), ≡ ⌿ n-a
2	-2.3	-2.4	-3.1	-2.6	-0.1	587.8	589.0	589.7	97	83	100	NW 2	NW 3	NW 3	10*≡	10≡	10	3.5	✳ n-a, ≡ n-p mU, ⌿ a-n
3	-2.0	-1.1	-4.4	-2.5	0.1	587.4	587.3	589.1	100	85	100	SE 1	NW 1	NW 3	10*≡	10	10	3.3	✳ ≡ n-a, ⌿ III
4	-5.9	-5.4	-2.3	-4.5	-1.7	592.9	595.0	**595.8**	100	95	**10**	NW 3	NW 2	NW 0	10≡	3	0	.	≡ n-a mU, ⌿ I
5	-4.7	**2.0**	-0.5	-1.1	1.8	595.5	595.2	593.8	20	22	25	NW 0	NW 0	NW 0	0	3	0	.	
6	-2.8	0.3	-4.2	-2.2	0.8	591.7	590.5	590.0	33	59	97	NW 1	NW 1	NW 3	0	10	10	5.0	✳ n (6./7.), ⌿ p-n
7	-1.2	-5.7	-9.8	-5.6	-2.4	583.0	580.0	580.1	77	96	87	S 0	NW 3	NW 4	10*	10*≡	10	17.8	✳ p-n mU, ≡ a-p, ⌿ a-n
8	-9.6	-9.2	-9.8	-9.5	-6.2	579.6	579.9	579.9	90	95	94	NW 3	NW 2	NW 3	10	10	10	8.3	✳ n-n mU, ≡ n-a- ⌿ n-n
9	-12.2	-9.8	-10.6	-10.9	-7.5	583.4	585.7	587.4	96	93	93	NW 3	NW 2	NW 3	10	10	6	6.3	✳ n-p mU, V III, ⌿ n-n
10	-9.7	-6.0	-4.0	-6.6	-3.1	585.3	584.1	583.0	96	98	100	NW 0	NW 1	NW 1	10*≡	10*≡	10≡	32.2	✳ n-n, ≡ n-p
11	-3.6	-5.7	-8.3	-5.9	-2.2	581.1	582.3	584.1	100	100	100	NW 2	NW 3	NW 2	10	10	10	16.4	✳ n-n mU, ⫩ n-n, ⌿ II
12	-10.4	-9.8	-10.0	-10.1	-6.3	585.0	586.8	587.7	98	75	97	NW 3	NW 2	NW 2	10≡	9	10≡	2.6	✳fl n-n, ≡ n-a, p-n, ⌿ I
13	-12.3	-9.3	-12.2	-11.3	-7.4	588.8	588.9	589.2	98	95	94	NW 1	NW 1	NW 0	3	10	3	0.8	✳ n (13./14.)
14	-11.2	-10.6	**-14.2**	-12.0	-8.0	588.8	588.7	588.6	82	94	82	S 0	NW 1	NW 0	10	3	0	0.4	✳ n-a
15	-13.5	-11.1	-13.8	-12.8	-8.7	587.5	587.6	587.2	92	71	59	NW 1	NW 1	NW 0	0	0	0	.	
16	-13.7	-10.2	-12.5	-12.1	-7.9	586.9	587.3	587.4	76	73	86	SE 2	SE 2	SE 1	3	9	0	0.4	✳fl (16./17.)
17	-11.5	-7.6	-9.2	-9.4	-5.1	586.9	586.9	587.1	92	75	97	SE 1	SE 1	SE 1	9	3	9	1.4	✳ 19¼-n mU
18	-6.7	-4.8	-5.2	-5.6	-1.2	587.0	587.7	587.8	100	100	100	SE 1	SE 1	SE 1	10*≡	10*≡	10*	26.9	✳ n-n mU, ≡ n-p
19	-4.0	-2.3	-4.4	-3.6	0.9	585.2	585.4	584.8	100	100	100	SE 2	SE 2	SE 3	10*≡	10*≡	10*≡	**37.4**	✳ ≡ ⫩ n-n, ⌿ III
20	-8.2	-8.5	-8.4	-8.4	-3.8	585.7	586.4	586.4	98	99	100	SE 1	SE 3	SE 1	10*≡	10*	10*≡	21.6	✳ n-n, ≡ n-a, p-n, ⌿ a-p
21	-6.2	-6.2	-6.8	-6.4	-1.7	586.4	585.5	583.6	100	100	100	SE 2	SE 2	SE 1	10*≡	10*≡	10*≡	11.4	✳ ≡ n-n mU
22	-10.0	-5.3	-8.2	-7.8	-3.0	583.1	581.8	581.1	96	98	100	NW 0	SE 1	SE 0	0	9	10*	10.2	✳ 17¼-n
23	-8.8	-8.4	-8.0	-8.4	-3.5	584.3	585.1	584.5	100	96	78	NW 2	NW 1	NW 0	10≡	6	6	0.5	✳fl a, ≡ n-a
24	-9.9	-5.7	-8.0	-7.9	-2.9	583.6	584.0	583.9	70	64	95	SE 1	SE 0	NW 0	0	0	0	.	≡ 17¼-19½
25	-3.5	-1.8	-4.5	-3.3	1.8	583.7	583.5	582.0	18	26	100	NW 0	SE 1	SE 2	0	10	10*≡	4.7	✳ 14¾-n mU, ≡ p-n
26	-3.0	1.0	0.2	-0.6	4.6	**579.0**	579.3	580.9	100	100	100	SE 0	NW 0	NW 0	10*≡	10*≡	3	5.9	✳ ≡ n-14½
27	-1.2	-0.6	-1.4	-1.1	4.2	582.4	583.7	586.4	100	100	100	SE 0	SE 1	SE 1	6	10*≡	10*≡	5.6	✳ ≡ 10¼-n mU
28	-1.8	0.0	0.7	-0.4	5.0	586.6	587.1	588.2	100	100	75	SE 1	SE 0	NW 1	10≡	10*≡	0	2.2	✳ a-p mU, ≡ n-p
29	-2.4	1.5	-3.4	-1.4	4.1	590.0	590.9	591.0	47	52	97	NW 0	SE 1	SE 1	0	3	3	.	
30	-2.2	0.3	-1.0	-1.0	4.5	591.2	591.3	591.2	100	92	97	SE 2	SE 1	SE 1	10	10	10≡	2.1	✳ n (30./1.), ≡ p-n
																		Summe	
Mittel	-6.7	-5.0	-6.4	-6.0	—	586.2	586.6	586.7	86	84	87				7.0	7.7	6.7	230.9	

*) Säntis: 22. 15¾-n, ⌿ III 25. ⌿ n-n, V p 26. ⫩ 12½-15½, V a 27. ✳ ⫩ 17-n, ≡ n-7, 9¾-15¾ mU, 16½-n, ⌿ n-n 28. 19-n, ≡ 9¼-9¾, 11½-16¾, 18-n, ⌿ a-p, ⌿ p-n

$\lambda = 7°\,26'$, $\beta = 46°\,57'$,
$H_b = 572.2$ m, $G = 0.00$ mm.

Bern

Dezember 1952
Beobachter: *Meteorol. Observatorium.*

Tag	Lufttemperatur					Luftdruck			Relative Feuchtigkeit			Windrichtung und Stärke			Bewölkung			Niederschlag	Witterung
	7^{30}	13^{30}	21^{30}	Mittel	Abweich. vom Normalst.	7^{30}	13^{30}	21^{30}	7^{30}	13^{30}	21^{30}	7^{30}	13^{30}	21^{30}	7^{30}	13^{30}	21^{30}		
1	8.5	10.1	8.2	8.9	8.0	709.1	709.3	708.5	98	96	98	SSW 1	W 1	SE 1	10●	10	9	14.6	● 0–10¾, 13¾–19¼, 21½–24
2	7.8	4.8	2.6	5.1	4.4	708.5	709.7	709.7	98	98	98	SE 1	NNE 1	NNE 1	10●	10●	10●	7.9	● 0–23
3	1.7	4.0	0.3	2.0	1.4	708.0	707.8	710.1	98	70	79	NE 1	NNE 1	NNE 1	10≡	9	10	3.2	✳ 15¾–17, 23–24, ≡ n–11¾
4	−1.0	−0.1	−1.1	−0.7	−1.2	712.3	713.8	716.4	87	81	73	NNE 2	NE 3	ENE 3	10*	8	10	0.1	✳ 0–13½, ⸗ a–n
5	−2.2	−2.2	−2.5	−2.3	−2.6	718.2	718.6	**719.8**	72	71	70	ENE 2	NE 3	ENE 2	10	9	10	.	⸗ a–p
6	−4.1	−3.7	−3.2	−3.7	−3.9	719.0	718.8	719.4	77	77	76	NE 2	NE 2	ENE 2	10	10*	10	0.1	✳ 11¼–14, ✳fl 21–24
7	−3.5	−3.1	−2.8	−3.1	−3.2	718.5	718.2	718.1	83	79	71	NE 2	ENE 3	ENE 3	10	10	10	.	✳fl 0–5, ⸗ a–n
8	−4.3	−3.8	−3.8	−4.0	−4.0	718.0	718.5	718.6	71	74	86	NE 2	NE 1	N 1	10	10	10	.	
9	−4.1	−3.9	−4.0	−4.0	−3.9	718.4	718.6	718.6	96	97	96	NE 1	NE 1	N 1	10	10	10	.	
10	**−4.6**	−2.3	−2.2	−3.0	−2.8	717.3	716.0	715.0	96	90	93	SW 1	SW 1	**S** 1	10	10	10	.	
11	−2.2	1.7	1.1	0.2	0.5	712.2	711.3	710.7	96	86	96	SSE 1	SE 1	SSE 1	9	10	10	0.7	✳ 8¾–11, ● 18–24 mU
12	1.6	3.4	2.3	2.4	2.8	706.8	705.1	702.4	81	95	98	SSE 1	S 1	SSE 1	10	10●	10●	3.2	● 0–2, 8¼–23¼
13	6.5	5.7	3.2	5.1	5.6	693.5	696.5	698.5	81	68	81	WSW 2	WSW 3	SSW 2	10●	10●	6	10.4	● 3¾–9¾, 13¾–16½, ⸗ n–n mU
14	2.3	5.0	0.5	2.6	3.2	697.8	695.8	**691.6**	89	68	98	WSW 2	SSE 1	NE 1	9	9	10*	13.3	✳ 2¾–5½, 19–24, ● 16½–19
15	0.6	0.7	−2.0	−0.2	0.5	696.1	698.7	705.0	94	85	93	SSW 2	WSW 2	WSW 2	10*	6	10*	3.9	✳ 0–1, 7–14½ mU, 20½–21½, ● 4–7
16	−2.5	−0.7	−1.8	−1.7	−0.9	706.8	708.6	706.1	76	68	80	WSW 2	WSW 2	S 0	10*	7	10	8.4	✳ 0–11¼, 21¾–24
17	2.8	2.9	1.7	2.5	3.3	694.6	696.6	697.9	95	96	95	W 2	WSW 2	SSW 2	10●	10●	10	14.4	✳ 0–4½, ●5–17¾, ●✳ 20–24 mU
18	0.3	0.7	1.1	0.7	1.6	700.9	702.9	707.3	68	82	90	SSW 2	WSW 3	WSW 3	10	10*	10*	3.0	✳ 0–5¾, 8½ 24 mU, ⸗ a–p
19	0.5	2.5	0.4	1.1	2.1	710.3	708.4	707.2	88	71	98	SSW 1	W 1	S 1	3	9	10*	4.5	✳ ● 0 4¾, 17¼–18, ✳ 18–23
20	1.2	5.6	5.4	4.1	5.1	709.3	712.2	712.9	98	74	**64**	SE 1	NW 1	SSW 2	9	9	9	2.2	● 0–5¾, 8–10¾
21	6.2	5.4	2.5	4.7	5.8	708.1	707.7	710.9	69	92	86	WSW 3	WSW 4	SSW 1	10●	10●	7	10.0	● 4¼–14¾, ⸗ n–p, ⸗ ll
22	0.4	3.4	1.8	1.9	3.0	714.0	715.0	716.1	91	74	87	ENE 1	W 1	SE 1	7	10	10	0.9	
23	1.0	3.0	3.0	2.3	3.5	715.0	715.6	716.0	98	98	100	SE 1	S 1	SE 1	10●*	10●	10≡	3.4	✳ 0½–4, ✳ ● 4–7½, ● 7½–17¼,
24	3.1	7.0	2.4	4.2	5.4	715.1	714.6	714.4	98	81	98	SSW 1	NW 1	SSW 1	10≡	9	9	3.6	● 5½–6½, ≡ n–a, ∪ 18½ [≡ p–n
25	3.6	5.8	0.6	3.3	4.6	716.6	717.2	715.8	96	80	98	SSW 1	S 1	S 1	10●	4	1	0.9	● 5½–11¾
26	−1.6	0.6	−1.6	−0.9	0.4	712.6	710.6	708.0	95	86	98	S 1	W 1	S 1	5	9	6	0.0	⌊
27	−0.9	1.2	0.8	0.4	1.8	705.8	705.4	705.2	93	91	94	S 1	SE 1	SE 1	10*	10*	9	0.4	✳ 7¼–13¾, ✳fl 14–16
28	−1.8	−0.6	−2.0	−1.5	−0.1	703.4	702.4	703.4	83	88	98	E 1	NNE 1	NNE 1	1	1	10	.	⌊
29	−3.2	−1.4	−1.9	−2.2	−0.7	704.9	705.4	706.7	93	80	87	NE 1	NE 1	NNE 1	10	10	10	.	
30	−2.4	−1.3	−2.0	−1.9	−0.4	707.8	708.0	707.8	83	82	91	ENE 1	NE 1	NE 1	10	10	10	.	
31	−2.5	−1.1	−2.1	−1.9	−0.4	706.2	704.2	701.3	90	84	96	SSW 0	WSW 1	NE 1	10	10	1		
Mittel	0.2	1.6	0.2	0.7	—	709.2	709.4	709.7	88	82	89				9.1	9.0	8.9	Summe 109.1	

*) 7. ✳ 17¾–19, ⸗ l 10. ⸗ n–n mU 12. ● ✳ 3–4¼, 12¾–15, 19¼–20¼ 22. ✳ ● 21¾–24, ⸗ p–n

$\lambda = 6°\,57'$, $\beta = 47°\,0'$,
$H_b = 487.3$ m, $G = 0.02$ mm.

Neuchâtel

Dezember 1952
Beobachter: *Observatorium.*

1	8.8	**9.6**	8.8	9.1	7.2	716.5	716.9	716.1	99	99	99	SW 0	SW 0	SW 0	10●	10●	10●	22.3	● 0–15½ mU, ☆ 21½
2	9.0	5.5	3.2	5.9	4.1	715.9	717.3	717.6	93	91	97	W 1	NE 2	NE 2	10	10	10	0.3	● 17–19
3	2.2	4.4	0.5	2.4	0.7	715.7	715.6	718.0	96	66	79	E 0	SW 1	E 1	10	9	9	0.0	✳fl 14¾
4	0.2	1.4	0.0	0.5	−1.1	720.0	721.4	724.2	77	65	70	NE 3	NE 3	NE 4	10	5	10	0.0	✳fl p, ⸗ n–n
5	−1.4	−0.5	−2.2	−1.4	−2.9	725.9	726.3	**727.6**	77	71	71	NE 4	NE 4	NE 3	10	3	10	.	⸗ n–n
6	−3.3	−2.9	−2.2	−2.8	−4.2	727.0	726.7	727.2	76	77	82	NE 3	NE 3	NE 3	10	10	10	.	⸗ n–n
7	−2.8	−1.0	−2.4	−2.1	−3.4	726.4	726.0	726.2	77	73	69	NE 3	NE 3	NE 3	2	10	5	.	⸗ n–n
8	−3.8	−2.2	−3.1	−3.0	−4.2	726.0	726.4	726.7	**63**	75	83	NE 2	NE 2	NE 1	3	9	10	.	
9	−3.9	−3.6	**−4.3**	−3.9	−5.0	726.4	726.9	726.8	89	91	93	NE 0	NE 1	NE 1	10	10	10	.	
10	−4.0	−2.1	−1.2	−2.4	−3.4	725.3	724.9	722.8	93	90	92	NE 0	NW 0	W 1	10	10	10	0.1	
11	−1.0	0.7	3.3	1.0	0.1	719.9	718.9	718.3	96	96	90	W 0	NE 0	W 2	10*	10	10	1.2	✳ 7–11
12	4.4	4.4	4.6	4.5	3.7	714.1	712.3	709.5	85	85	94	SW 3	SW 3	SW 2	10●	10	10	13.7	● 7¼–11¾, ⸗ n–17
13	6.6	5.6	4.4	5.5	4.7	700.2	703.8	705.8	96	70	81	SW 4	SW 3	SW 2	10●	10●	10	3.0	● 2½–8, 13½–14¾, ⸗ 4½–p
14	3.1	6.3	0.4	3.3	2.6	705.1	702.7	**698.9**	88	73	98	SW 3	SW 2	NE 0	10●	8	10*	**23.9**	● 2¾–8¾, ✳ 16¼–24
15	0.6	1.1	−1.0	0.2	−0.4	703.5	706.1	712.7	96	87	81	W 1	W 1	SW 2	10	8	10	3.4	✳ 0–7½, 9–11, 20–21½
16	−2.6	−0.5	0.5	−0.9	−1.4	714.6	716.5	713.7	96	83	82	W 3	SW 2	SW 3	10*	9	10	23.5	✳ 5½–10, 23¼–24 ⸗ n–n mU
17	3.3	2.9	1.4	2.5	2.1	701.6	703.5	705.0	95	91	93	SW 5	SW 2	W 1	10●	10●	10	11.6	● 0–17¼, ✳ 19½–20¼, ⸗ n–10
18	−0.9	0.1	1.4	0.2	−0.2	708.7	710.5	715.2	96	98	95	W 3	SW 3	SW 2	10*	10*	10●	12.4	✳ 1½–2, 6¾–17½, ● 17½–21½, ⸗
19	0.4	2.6	1.6	1.5	1.2	718.2	716.2	715.0	93	83	96	SW 0	SW 1	SW 3	10	8	10*●	4.8	●✳ 17–24 ⊕ 11, ⸗ 19½–n [n–13½
20	3.1	5.8	4.6	4.5	4.3	717.2	719.9	720.8	95	77	78	W 2	SW 2	W 2	10●	9	10	5.7	● 0–9¾, 11¾–12
21	4.5	4.9	2.6	4.0	3.8	716.5	715.3	718.8	89	92	82	SW 4	SW 1	W 0	10●	10●	10	13.2	● 1¼–5½, ⸗ a
22	2.7	4.8	2.6	3.4	3.3	721.6	722.7	724.0	73	72	83	W 0	SW 1	NE 0	10	10	10	2.1	
23	1.9	4.0	4.0	3.3	3.3	722.8	723.3	723.6	95	97	98	W 1	SW 2	E 0	10●	10●	10	2.2	● 2–17
24	3.4	4.8	2.4	3.5	3.5	722.8	722.5	722.2	100	99	100	W 0	W 0	W 0	10	10	5	1.5	≡ 20½–n mU
25	5.0	7.8	0.9	4.6	4.7	724.0	724.8	723.5	86	76	93	SW 2	SW 1	W 0	10●	2	4	0.1	● 4½–10
26	0.8	1.8	0.4	1.0	1.2	720.4	718.5	715.6	98	85	92	W 0	SW 1	SE 0	10≡	10	9	4.8	≡ n–9¼
27	−0.1	0.5	0.8	0.4	0.6	713.2	712.8	712.6	97	98	98	E 0	E 0	NE 0	10*	10	10	3.0	✳ 3–12
28	0.4	0.0	−1.5	−0.4	−0.1	710.7	709.9	711.1	98	93	94	NE 0	E 1	E 1	10	10	10	.	
29	−1.8	−1.0	−1.3	−1.4	−1.1	712.5	713.2	714.5	88	83	86	E 1	NE 1	NE 1	10	10	10	.	
30	−2.0	−0.9	−1.6	−1.5	−1.1	715.6	715.9	715.8	86	84	87	E 0	NE 1	NE 0	10	10	10	.	
31	−2.4	−0.9	−0.8	−1.4	−1.0	714.0	711.7	708.6	90	88	92	NE 0	N 0	NE 0	10	10	10		
Mittel	1.0	2.1	0.9	1.3	—	716.9	717.1	717.4	90	84	88				9.5	9.0	9.4	Summe 152.8	

Dezember 1952
Beobachter: *Frl. H. Nager.*

Altdorf

$\lambda = 8° 39'$, $\beta = 46° 53'$,
$H_b = 456.3$ m, $G = -0.05$ mm.

Tag	Lufttemperatur					Luftdruck			Relative Feuchtigkeit			Windrichtung und Stärke			Bewölkung			Niederschlag	Witterung
	7^{30}	13^{30}	21^{30}	Mittel	Abweich. vom Normalst	7^{30}	13^{30}	21^{30}	7^{30}	13^{30}	21^{30}	7^{30}	13^{30}	21^{30}	7^{30}	13^{30}	21^{30}		
1	8.7	**10 0**	8.7	9.1	6.3	719.1	719.9	718.8	100	95	95	SE 0	SE 0	SE 0	10●	10●	10	13.1	● n-p
2	7.4	5.5	4.8	5 9	3.2	717.9	720.5	720.6	98	96	96	NE 0	N 0	N 0	10●	10●	10●	**23.3**	● n-n
3	3.7	3.3	1.4	2.8	0.2	718.6	717.5	719 9	95	89	80	N 0	E 0	N 0	10●	10●	10	3.0	● n-17, ✳ 17-n mU
4	0.7	1.5	0.3	0.8	-1.6	722.4	724.1	727.5	75	80	76	NW 1	E 1	NW 0	10	10	10	0.0	✳fl p
5	−0.8	0.8	−0.2	−0.1	−2.4	729.3	728.5	**730.8**	67	58	60	SE 0	SE 0	NW 0	10	7	10	.	
6	-1.1	−0.5	-1.2	−0.9	−3.1	730.0	729.2	730.7	61	62	60	E 0	E 0	E 0	10	10	10	.	
7	−1.6	0.4	−0 3	−0.5	−2.6	730.1	728.8	729.5	71	61	75	N 0	N 0	E 0	10	10	10	.	
8	−0.4	−0.5	−0.9	−0.6	−2.6	728.1	728.2	729.8	77	83	80	N 0	N 1	E 0	10	10	10	.	
9	-1.4	−0.5	-1.2	−1.0	−2.9	729.1	729.1	729.4	77	98	78	SE 0	E 0	E 0	10	10	10	.	
10	−1.7	−0.1	−0.6	−0.8	−2.6	727.2	726.1	725.6	80	77	85	SE 0	SE 0	SE 0	10	10	10	.	
11	−0.9	3.1	1.1	1.1	−0.6	722.9	721.4	720.8	89	79	90	NE 0	W 0	NW 0	10	7	10	.	
12	0 9	4.9	1.6	2.5	0.9	717.4	714.6	711.8	94	80	92	NE 0	N 0	NE 0	10	10	8	.	
13	3.3	5.4	1.6	3.4	1.9	702.1	705.4	708.2	**37**	83	99	S 3	N 0	SE 0	10	5	6	8.3	● 9-12, 17¾-20½
14	−0.1	4 5	4.1	2.8	1.4	707.3	705 5	**700.5**	95	68	69	SE 0	W 0	W 0	10	8	10	3.0	● n (14./15.)
15	2.8	2.4	0.3	1.8	0.5	704.3	708.2	714.2	85	82	85	W 0	NW 2	NW 0	10●	10*	10	2.2	● n-a ✳ a-p
16	-1.1	−0.1	−1.6	−0.9	−2.1	716 9	719.0	716.1	65	73	65	E 0	E 0	E 0	10	8	10	2.3	✳ n-n mU
17	2.9	1.5	1.5	2.0	0.9	705.0	706.6	707.8	76	97	95	SE 3	N 0	NW 0	10●	10*	10*	15.7	● n-13, ✳ 13-n, ☄ n-a
18	0.6	1.7	0.9	1.1	0.1	710.5	712.8	717.0	95	90	100	NW 0	SE 0	NW 0	10	10	10*	14.8	✳ a-p mU, p-n
19	1.3	2.2	0.4	1.3	0.4	720.5	719.1	717.5	94	78	93	E 0	NE 0	SE 0	10	4	10	1.0	✳fl p, ●n (19./20.)
20	1.4	3.4	3.2	2.6	1.7	719 7	721.8	723.0	99	96	91	E 0	NE 0	NW 0	10	9	10	6.0	● 10-12½, p-n mU
21	2.8	6.3	3.5	4.2	3.4	717.6	715.7	720.2	98	78	77	E 0	NW 4	E 1	10●	10●	10	14.5	● n-p, ☄ a-p, ☄ ll
22	4.2	4.3	2.4	3.6	2.9	723.1	724.9	726.9	55	74	80	NE 2	E 1	N 0	10	10	10	3.4	✳ n (22./23.)
23	1.2	1.9	2.1	1.7	1.1	726.2	725.7	726.6	97	99	90	E 0	NE 0	NW 0	10●	10●	10	11.1	● n-p
24	1.4	5.7	1.2	2.8	2.2	725.8	724.6	724.5	100	93	95	E 0	E 0	E 0	10	10	7	.	
25	2.7	6.1	0.3	3.0	2.5	727.7	727.6	726.6	91	85	96	E 1	E 0	SE 0	10	5	6	1.0	● a mU
26	−2.2	1.7	−0.8	−0.4	−0.8	722.8	720.7	718.1	77	76	93	E 0	SE 0	NW 0	5	6	7	.	
27	−0.4	3.7	−0.4	1.0	0.6	715.9	714.9	715.8	85	87	85	NW 0	E 0	SE 0	10	8	9	.	
28	−2.2	1.5	−1.8	−0.8	−1.1	713.7	712.0	713.8	76	78	94	SE 0	NW 0	SE 0	4	2	10	.	
29	**-2.4**	0.3	0.1	−0.7	−1.0	715.1	715.6	717.3	94	80	85	SE 0	NW 0	NW 0	10	10	10	.	
30	−2.1	0.9	0.1	−0.4	−0.6	718.0	718.1	718.4	85	78	81	E 0	NW 0	NE 0	10	10	10	.	
31	−0.2	1.3	−0.7	0.1	−0.1	716.9	713.6	711.0	85	78	90	E 0	NE 0	E 0	10	8	6	.	
																		Summe	
Mittel	0.9	2.7	1.0	1.5	—	719.4	719.4	720.0	83	82	85				9.6	8.6	9.3	122.7	

Dezember 1952
Beobachter: *Observatorium.*

Genève

$\lambda = 6° 9'$, $\beta = 46° 12'$,
$H_b = 405.0$ m, $G = -0.03$ mm.

1	10.2	9 7	9.2	9.7	6.7	724 4	724.0	723.3	97	96	95	NE 1	NNE 1	NE 0	10●	9	9	6.0	● n-n mU
2	10 6	**12 0**	7.4	10.0	7.1	723 8	723.7	724.0	85	74	89	ESE 0	NNE 0	NNE 0	5	8	9	.	
3	6.0	5.8	2.5	4.8	2.1	722 7	722 7	724.3	85	**53**	69	NNE 0	NNE 1	NNE 3	10	10	4	0.0	▽ 16¼, ☄ p-n
4	1.7	3.6	1.4	1.9	−0.7	725.7	726.6	729.3	71	58	74	NNE 5	NNE 5	NNE 5	5	5	5	.	☄ n-n
5	0.6	0.5	−0.5	0.2	−2.3	732.1	732.5	**734.0**	81	82	87	NNE 4	NNE 3	NNE 2	10	10	10	.	☄ n-n mU, ☄ i
6	−1.2	−1.4	−2.0	−1.5	−3 9	733.2	733.1	733.5	80	80	79	NNE 2	NNE 1	NNE 3	10	10	10	.	☄ p-n
7	−1.0	−0.4	−0.4	−0.6	−2.9	733.1	732.6	732.8	89	87	89	NNE 1	NNE 2	NNE 1	10	10	10	.	
8	−1.1	−0.2	−0.7	−0.7	−2.9	733.4	733.5	733.7	92	92	96	ENE 1	NE 0	NE 1	10	10	10	.	
9	−1.2	−0.7	−1 8	−1.2	3.3	733.6	733.5	733.8	96	94	100	NE 1	ENE 1	ENE 0	10	10	10	.	
10	−1.9	−1.0	**−2 4**	−1.8	−3.8	732.8	731.8	729.9	94	92	98	ESE 0	ESE 0	ESE 0	10	2	0	.	
11	1.0	4.4	5.2	3.5	1.6	727.2	726.7	725 8	100	71	78	ESE 0	SSW 0	S 1	10≡	10●	10	0.8	● a-p, ≡ n-a
12	5.0	6.3	6.4	5.9	4.1	722.8	720.4	717.0	81	78	76	SSW 1	WSW 1	SW 1	10●	10●	10	7.3	● n-p mU
13	8.	8.4	6.0	7.5	5.8	711.2	711.2	714.5	91	65	88	SSW 2	SW 2	SSW 1	10●	5	10	6.5	● n-a, ⛈ ▽ 8¼
14	3.8	7.0	0.8	3.9	2.3	712.8	710.1	**708 8**	90	85	96	W 1	W 1	W 1	7	10	10	**14 5**	● p, ✳ 18-n mU
15	2.2	2.8	0.5	1.8	0.3	713.5	714.3	723.6	75	75	94	SSW 1	SSW 1	SSW 1	8	10	10	0.1	● ✳ p mU
16	0.2	1.0	−0.2	0.3	−1.1	723.5	724.5	723.7	92	75	85	SSW 1	SSW 1	SW 1	10	10	10	8.0	● n 16./17.), ☄ p
17	7.2	4.5	3.6	5.1	3.8	710.9	713.5	713.8	88	95	90	SW 3	S 2	S 0	10	10	10	8.5	● ✳ p-n mU, ☄ n-a
18	1.4	2.6	1.8	1.9	0.7	718.5	719 7	724.7	85	89	89	SW 1	SSW 1	SSW 1	10	10	10●	3.0	● p-n
19	0.7	3.0	2.0	1.9	0.8	725.9	723 2	724.2	90	84	89	SSW 1	SSW 1	SW 1	2	10	10	8.0	▽ p
20	3.2	8.2	5.0	5.5	4.4	726.2	728.0	729.5	93	67	78	SW 1	SSW 1	SW 1	10	4	7	3.5	● n (20./21.)
21	6.8	7.6	3.2	5 9	4.9	726 9	724.6	726 8	85	91	76	S 2	S 1	E 0	10●	10	6	6.6	● n-a
22	1.6	4.7	3.1	3.1	2.2	730.1	731.0	731.5	85	72	89	ENE 0	NNE 0	NNE 0	10	9	7	.	
23	2.5	4.8	3.0	4.1	3 3	731.0	731.2	731.0	96	90	100	E 0	N 0	WNW 0	10	10	10●≡	0.1	● ≡ p-n
24	3.8	6.8	3.0	4.5	3.7	729.1	728.1	728.4	97	97	100	ESE 0	SW 1	WSW 1	10	2	8	.	
25	5.0	7.3	1.0	4.4	3.7	731.8	732.1	730.8	100	95	100	WSW 0	W 0	W 0	9	3	9≡	.	≡ p-n
26	−0.3	2.0	0.5	0.7	0.1	728.0	725.8	722.4	97	96	100	W 0	WSW 1	WSW 1	10	10	10≡	7.0	● n (26./27.), ≡ p-n
27	2.2	4.2	1.3	2.6	2.0	721.2	720.4	720.0	93	90	100	WSW 1	WSW 1	SW 0	10	6	9	.	
28	0.0	1.8	−0.1	0.6	0.1	716.8	717.3	718.3	96	89	92	E 0	ENE 1	E 0	8	3	8	.	
29	0.0	0.4	0.2	0.2	−0.3	719.6	720.1	722.4	93	78	84	E 1	ENE 1	NNE 1	10	10	10	.	
30	−0.3	0.3	0.5	0.2	−0.2	722.5	723.4	723.0	94	86	86	E 0	NNE 1	ENE 1	10	10	10	.	
31	−0.8	1.4	0.4	0.3	−0.1	721.2	718.9	716.0	89	76	96	E 0	E 0	E 0	10	10	10	.	
Mittel	2.5	3.7	2.0	2.7	—	724.7	724.5	724.9	90	82	89				9.2	8.3	8.7	79.9	

$\lambda = 8°\ 34'$, $\beta = 47°\ 23'$,
$H_b = 569.4$ m, $G = 0.03$ mm

Zürich

Dezember 1952
Beobachter: *Meteorol. Zentralanstalt.*

Tag	Lufttemperatur					Luftdruck			Relative Feuchtigkeit			Windrichtung und Stärke			Bewölkung			Niederschlag	Witterung
	7^{30}	13^{30}	21^{30}	Mittel	Abweich. vom Normalist	7^{30}	13^{30}	21^{30}	7^{30}	13^{30}	21^{30}	7^{30}	13^{30}	21^{30}	7^{30}	13^{30}	21^{30}		
1	8.3	8.8	7.7	8.3	7.7	708.7	709 5	708.8	95	97	97	SSW 1	SSW 1	NE 2	10●	10●	10●	37.2	● 0-7½, 8¼-11¾, 12¾-17¾, *)
2	2.4	2.3	0.9	1.9	1.4	709.1	710.6	710.5	97	91	95	NNE 2	NNE 1	NNE 1	10●	10●	10	5.4	● 1½-3¾, 4¼-10½ mU, 16½-17
3	−0.3	−1.2	−1.7	−1.1	−1.5	708.5	708.3	710.0	97	83	90	NNW 1	W 1	W 1	10≡	10	10	3.0	✳ 15-16, 22¾-23¾, ≡ n-8¾
4	−1.8	0.4	−2.4	−1.3	−1.6	713.0	714.8	717.8	92	72	77	NNE 1	NNE 2	NE 1	10*	9	9	0 7	✳ 1¾-2¼, 7-8 ⊠
5	−3.4	−1.9	−3.9	−3.1	−3.3	719.5	720.0	**721.1**	80	68	80	ENE 2	NE 2	NE 1	10	9	10	0.0	
6	−5.1	−4.7	−3.4	−4.4	−4.5	720.3	719 9	720.1	77	82	78	NE 2	NE 1	SW 1	10	10*	10	0.3	✳fl a-p
7	−4.4	−3.4	−4.3	−4.0	−4.1	720.1	719.8	719.2	79	73	74	NE 1	ENE 2	NW 1	10	10	10	.	
8	−5.8	−5.5	−5.3	−5.5	−5.5	718.7	719.1	719.3	75	80	84	NE 2	NNE 1	NE 1	10	10	10	.	
9	−5.7	−4.2	−5.1	−5.0	−4.9	718.7	719.0	719.3	94	90	94	SE 1	ENE 1	NE 1	10	10	10	0.0	
10	−5.3	−3.9	−3.7	−4.3	−4.1	717.4	715.9	714.7	95	90	96	W 1	SSW 1	S 1	10	10	10	0.0	
11	−3.4	1.7	2.2	0.2	0.5	712.3	711.5	710.3	97	83	85	S 1	SSW 1	SSW 2	10≡	10●	10	0.6	● 13½-14½, ≡ n-8½
12	2.7	2.9	3.1	2.9	3.3	706.5	704.8	702.3	83	91	91	SSW 1	SSW 1	SSE 1	10	10●	9	2.4	● 13-15½, ⸗ 0-7
13	2.7	5 9	3.7	4.1	4.5	692.3	695.4	697.3	87	**59**	62	WSW 1	SW 3	SSW 2	10	4	1	4.8	● 5¼-5½, 8¾-9¼, 15¾-17¼,
14	1.2	3.6	2.1	2.3	2.8	697.3	695.9	**691** 1	72	74	76	SW 1	SSW 1	N 1	8	10	10●	5.1	●tr 21½]⸗ a-p
15	−0.2	3.1	−1.1	0.6	1.2	694.5	697.9	703.6	97	70	71	WSW 1	SW 1	SSW 2	10*≡	9	9	0.5	✳ 1¾-8¾, 12¾-13½, ≡ n-a ⊠
16	−2.9	−1.7	−4.1	−2.9	−2.2	706.2	708.2	705.9	72	77	73	SW 2	SW 2	SSW 1	10*	9*	9	9.6	✳ 8¼-9½, ✳fl 13½ ⊠
17	1 3	2.3	0.1	1.2	1.9	693.6	694.9	697.1	95	95	90	SSW 2	SW 1	SW 1	10●	10●	10	14.9	● 2-15, ✳ 15-21 ⊠
18	0.3	0.6	0.7	0.5	1.3	699.9	702.9	706.1	65	73	90	SW 2	SSW 2	WSW 2	10	10*	10*	5.0	✳ 3-3½, ✳fl 13-14, 16¼-18½, ⸗ ⊠
19	0.5	4.0	−0.1	1.5	2.4	710.3	708.6	706.7	91	62	96	SW 1	SSW 1	S 1	10	4	10*	3.9	✳ 0-2¾, 19-24 [n (18./19.) ⊠
20	4.5	5.0	5.4	5.0	5.9	708.7	711.6	712.0	77	75	61	SSW 2	SW 2	SSW 2	9●	10●	10●	6.3	✳ 0-0½, ●tr 5-5¾, *) ⊠
21	6.1	3.9	3.0	4.3	5.3	706.8	706.4	710.4	70	86	66	SW 2	WSW 3	SW 1	10●	10●	10	8.7	● 1½-3, 7½-8¾, 11¼-13½,
22	1.7	2.9	1.1	1.9	3.0	714.0	715.1	716.5	70	72	78	WSW 1	WSW 1	S 1	10*	10	10	1.2	✳ 7½-10 [⸗ a-p
23	0.2	2.0	2.4	1.5	2.6	714.7	715.1	715.9	98	98	98	S 1	SSW 1	WSW 1	10*≡	10●	10≡	4.8	✳ 5½-6¼, 7½-10¼, *) ⊠
24	2.8	4.8	2.8	3.5	4.7	715.0	714.5	714.1	98	86	94	SSE 1	SSW 1	WSW 0	10	10	9	1.2	≡ n-7¼, 8¾-11½
25	4.5	7.7	1.3	4.5	5.7	716.3	717.1	716.1	94	70	96	SSW 1	SW 1	S 0	10●	3	1	1.0	● 6¼-8¾
26	−2.1	−0.8	−1.7	−1.5	−0.2	712.6	710.7	708.5	98	98	98	WNW 1	WNW 1	SSW 1	10≡	10	10≡	0.0	≡ n-9½, 10½-11¾, p-n, ⌙ l
27	−1.9	1.3	0.6	0.0	1.3	705.7	705.2	705.3	97	86	97	SSW 1	S 1	S 1	10	10*	10	0.2	✳fl 12-14, ⌙ l
28	−3.2	1.6	−2.0	−1.2	2.6	703.6	702.5	703.6	96	76	90	ENE 1	ENE 1	SE 1	2	6	10	.	≡ 7-9 mU, ⌙ l
29	−2.3	−2.2	−2.4	−2.3	−0.9	705.2	705.7	707.0	87	87	86	ENE 1	NNE 1	ENE 1	10	10	10	.	
30	−3.0	−2.0	−2.9	−2.6	−1.1	707.9	708.3	708.4	85	83	87	ENE 1	NNE 1	NNE 1	10	10	10	.	
31	−3 1	−0.5	−2.6	−2.1	−0.6	706.1	703.7	703.9	89	80	95	SSW 0	S 1	S 0	10	6	9	.	
																		Summe	
Mittel	−0.5	1.1	−0.3	0.1	—	709.2	709.4	709.7	87	81	85				9.6	9.0	9.2	116.8	

*) **1.** 19¼-23¾, ≡ 8¾-9½, 12¼-14½, 15¼-n **9.** 8¾-10¾, tr 10¾-22 mU **23.** ● 12-15½ mU, ✳ 17½-17¾, ≡ 7-11, 14½-15½

$\lambda = 6°\ 32'$, $\beta = 46°\ 51'$
$H_b = 1589$ m, $G = -0{,}13$ mm

Chasseron

Dezember 1952
Beobachter: *Ch. H. Martin*

1	5.4	5.2	4.4	5.0	—	626.7	627.0	626.2	100	100	100	W 3	WSW 3	W 4	10●≡	10●≡	10≡	16.5	● n-6 mU, 6-8, ❩ 12-16½,*) ⊠
2	2.6	2.4	0.6	1.9	—	625.7	626.5	626.2	100	100	100	WNW 3	NW 1	NNW 2	10❩≡	10≡	10❩≡	2.8	❩ n-11, 18-n mU, ≡ n-12.*) ⊠
3	−3.8	−6.4	−8.2	−6.1	—	623.8	622.8	623.4	100	75	100	NNW 2	NNW 3	N 4	10≡	6	10*≡	2.3	✳ 11-n mU, ≡ n-10½ mU,*) ⊠
4	−9.0	−8.0	−9.0	−8.7	—	625.2	626.7	628.5	100	100	100	NE 3	NE 4	E 3	10*≡	10≡	10*≡	0.4	✳ n-8½ mU, 18-n mU, *) ⊠
5	−10.6	−8.8	−11.2	−10.6	—	629.5	630.0	630.6	100	100	100	E 3	E 4	E 3	10≡	0	10≡	.	≡ n-11, 17-n, ⋁ l, ⸗ n-n ⊠
6	−12.4	−10.4	−11.0	−11.3	—	629.9	629.9	630.4	100	100	100	E 2	E 3	E 3	0	1	0	.	⸗ a-n ⊠
7	−7.6	−7.4	−9.2	−8.1	—	629.5	629.5	629.2	100	100	90	ENE 4	E 5	E 5	4	10≡	6	.	≡ n-16 mU, ⸗ n-n ⊠
8	−9.8	−2.6	1.0	−3.8	—	629.9	630.7	631.3	90	80	65	E 4	E 1	SSW 1	6	7	0	.	⸗ l ⊠
9	1.4	3.2	0.4	1.7	—	631.3	**632** 2	631.9	60	**23**	24	E 2	E 2	E 2	1	1	0	.	⊠
10	0.4	2.2	−1.8	0.3	—	630.5	630.1	629.4	30	62	63	SE 1	SW 2	W 3	0	0	0	0.0	✳fl n (10./11.), ⸗ III ⊠
11	−3.4	−2.8	−2.8	−3.0	—	626.9	626.3	626.0	100	100	100	WSW 2	WSW 3	W 3	10*≡	10*≡	10*≡	2.8	✳ 6½-11½, 19-n mU, *) ⊠
12	3.2	2.2	1.2	2.2	—	622.4	620.5	619.2	100	100	100	SW 3	W 4	W 4	10*≡	10*≡	10*≡	8.3	✳ 7-14 mU, 18-n mU,*) ⊠
13	0.2	−3.2	−4.2	−2.4	—	610 0	613.4	614.0	100	100	100	W 6	W 4	NW 5	10●≡	10*≡	10≡	10.9	✳ ● n-9, ✳ 11-15½ *) ⊠
14	−4 4	−3.8	−4.2	−4.1	—	614.0	612.5	**609.1**	100	100	100	WSW 4	S 2	SE 2	10*≡	9*	10*≡	8.0	✳ n-7½ mU, 13-15 mU,*) ⊠
15	−6.8	−7.4	−9.7	−8.0	—	611.9	614.0	617.2	100	100	100	NW 4	NW 3	NW 4	10*≡	10*≡	10*≡	9.1	✳ n-16, 16-n mU, *) ⊠
16	−9.2	−7.8	−8.0	−8.3	—	619.8	622.1	621.5	100	100	100	NW 4	NW 2	SSW 3	10*≡	10≡	10	2.2	✳ n-13 mU, ≡ n-14, ⋁ l, *) ⊠
17	−0.3	−3 7	−5.0	−3.0	—	611 0	612.1	613.2	100	100	100	W 5	NW 3	NW 4	10≡	10*≡	10≡	0.9	✳ 12-18, ≡ ⸗ n-n, ⋁⸗ l ⊠
18	−8.2	−6.0	−6.2	−6.8	—	616.0	617.9	620.9	100	100	100	NW 4	NW 4	NW 3	10≡	10*≡	10*≡	7.3	✳ n-n mU, ≡⸗ n-n, ⋁ l ⊠
19	−5.8	−5.2	−2.4	−4.5	—	624.8	623.3	622.1	100	100	100	NW 3	S 2	WSW 4	10≡	6	10*≡	4.0	✳ 15½-n mU, ≡ n-15 mU,*) ⊠
20	−1.6	−2.0	−2.8	−2.1	—	625.2	627.4	628.8	100	100	100	W 5	N 4	W 4	10*≡	10*≡	9	6.5	✳ ❩ n-14½, ≡ n-19, *) ⊠
21	−1.2	−1.2	−4.4	−2.3	—	624.2	624.2	625.9	100	100	100	W 6	WNW 5	NW 3	10*≡	10*≡	10≡	11.1	✳ n-17 mU, ≡ n-17, *) ⊠
22	−5.8	−4.0	−5.4	−5.1	—	628.2	629.7	630.9	100	100	100	NW 3	NW 2	E 1	10≡	9	10	0.5	✳ 10-11 mU, 18-n mU,*) ⊠
23	−1.0	0.6	−0.4	−0 3	—	629.5	631.1	631.3	100	100	90	WNW 3	NW 2	W 3	10*≡	10❩≡	8	7.2	✳ ● n-8, ❩ 8-19, *) ⊠
24	1.0	1.2	3.0	1.7	—	630.8	630.7	630.4	100	100	82	WNW 3	W 2	W 3	10❩≡	10❩≡	8	2.9	❩ n-11, 13-14, *) ⊠
25	−2.8	−3.0	−2.6	−2.8	—	630.6	**632.2**	630.8	100	60	85	NW 5	SSW 2	W 1	10*≡	2	4	0.0	✳ 8½, ≡ n-11½, ⸗ l ⊠
26	−2.0	−2.2	−3.0	−2.4	—	627.2	625.5	623.4	68	46	95	W 2	WSW 3	S 3	1	7	7	0.2	✳ n (26./27.), ⸗ a-n ⊠
27	−4.2	−4.8	−5.4	−4.8	—	620.6	620.4	620.3	100	100	90	SSW 3	SW 2	W 3	10*≡	10≡	S	1.7	✳ 4½-11, 22-24 mU, *) ⊠
28	−5.6	−6.2	−4.8	−5.5	—	618.4	617.8	618.0	100	53	70	SE 2	SSE 2	ESE 2	10≡	2	1	.	≡ n-8 ⊠
29	−4.3	−5.2	−3.0	−4.2	—	619.3	619.9	621.0	51	62	50	SE 2	SE 2	SE 3	7	9	4	.	⸗ III ⊠
30	−2.0	−2.4	−1.6	−2.0	—	622.3	622.9	623 0	5?	55	64	E 2	E 2	W 1	9	9	6	.	⊠
31	−1.8	−1.6	−4.7	−2.7	—	621.4	619.6	617.3	69	68	95	N 1	S 1	SW 2	8	8	8	.	⊠
																		Summ	
Mittel	−3.5	−3.2	−3.9	−3.6	—	623.8	624.2	624.2	91	87	89				8.3	7.6	7.4	105.6	

*) **1.** ≡ n-12 mU, 12-n, ⸗ n-n **2.** 12-n mU, ⸗ l **3.** 14-n, ⌙ ⋁ l, ⸗ a-n **4.** ≡ n-11, 11-14 mU, 17-n mU, ⋁ l, ⸗ n-n **11.** ≡ 6½-n mU, ⸗ a-n **12.** ≡ ⸗ n-n, ⋁ l **13.** ≡ ⸗ n-n, ⋁ l **14.** 15-n, ≡ n-8, 15-n, ⋁ ⸗ l **15.** ≡ ⸗ n-n, ⋁ l **16.** ⸗ n-n mU **19.** 15-n, ⋁ l, ⸗ n-n mU **20.** 19-n mU, ⋁ l, ⸗ n-n **21.** 17-n mU, ⋁ l, ⸗ n-n **22.** ≡ n-12, ⋁ ⸗ l **23.** ≡ n-18, ⋁ l, ⸗ n-n mU **24.** ≡ n-12, 12½-17, ⸗ n-n mU **27.** ≡ 4½-14, ⋁ l, ⸗ n-n mU

Dezember 1952
Beobachter: *B. Minsch und C. Clavuot*

Bever

$\lambda = 9° 53'$, $\beta = 46° 33'$,
$H_b = 1711.8$ m, $G = -0.23$ mm

Tag	Lufttemperatur					Luftdruck			Relative Feuchtigkeit			Windrichtung und Stärke			Bewölkung			Niederschlag	Witterung
	7^{30}	13^{30}	21^{30}	Mittel	Abweich. vom Normalst	7^{30}	13^{30}	21^{30}	7^{30}	13^{30}	21^{30}	7^{30}	13^{30}	21^{30}	7^{30}	13^{30}	21^{30}		
1	0.3	3.4	0.8	1.5	7.9	619.0	618.8	618.5	98	91	99	SW 0	SW 1	W 0	10	9●	10	2.0	● 7½-a, 11-16
2	-0.6	2.6	0.1	0.7	7.3	617.5	616.0	616.3	97	73	96	W 1	SW 0	NE 1	10	9	9	.	
3	-3.4	-0.6	-5.1	-3.0	3.7	614.2	611.8	613.1	99	59	49	N 1	NW 2	W 1	10	1	8	.	
4	-6.1	-2.4	-9.1	-5.9	1.0	615.3	616.6	619.4	56	51	59	N 1	N 1	NE 1	10	8	0	.	⌊
5	-15.2	-7.4	-15.6	-12.7	-5.0	622.1	622.6	624.2	79	62	78	SW 0	NE 1	NE 0	5	3	3	.	⌊
6	-17.4	-9.8	-14.2	-13.8	-6.8	623.2	621.6	621.6	85	73	91	SW 0	SW 0	NE 0	5	3	8	.	⌊
7	-7.9	-4.1	-6.8	-6.3	1.0	622.0	621.4	622.4	90	78	87	NE 0	NE 0	NE 0	10	10	10	.	⌊
8	-11.9	-2.4	-8.9	-7.7	-0.3	623.2	622.8	623.5	91	76	87	SW 1	SW 1	SW 0	10	6	4	.	⌊
9	-15.7	-9.2	-14.6	-13.2	-5.6	623.5	622.9	624.4	93	76	81	SW 0	SW 0	SW 0	0	0	2	.	
10	-18.0	-8.0	-14.6	-13.5	-5.8	**624.6**	623.3	622.5	87	67	79	SW 0	SW 0	SW 0	0	0	0	.	⌊
11	-16.3	-3.9	-8.8	-9.7	-1.9	620.5	619.1	618.9	90	66	96	SW 0	SW 0	SW 0	2	10	10	.	
12	-8.0	-2.3	-5.4	-5.2	2.8	615.4	613.3	612.8	97	71	85	SW 0	SW 0	SW 0	10	10	10	2.2	✳ 8¾-9½
13	-4.2	-2.8	-5.6	-4.2	3.9	607.4	605.6	606.8	99	94	97	W 1	S 2	NW 0	10	10*	5	1.2	✳fl n-n
14	-12.6	-7.7	-5.8	-8.7	-0.5	607.3	606.5	603.7	93	88	97	SW 0	SW 0	SE 0	8	6	10*	11.8	✳ 20-n, ⌊
15	-4.0	-3.8	-9.3	-5.7	2.6	**600.6**	604.2	607.6	73	60	82	W 0	NE 1	SW 0	10	10	8	.	
16	-16.6	-9.4	-19.9	-15.3	-6.8	611.0	612.2	613.5	81	56	87	S 0	SE 0	SW 0	7	3	10	0.8	✳ n (16./17.), ⌊
17	-9.8	-4.3	-8.7	-7.6	1.0	607.3	604.1	605.6	91	71	94	SW 1	SE 1	N 0	10	10	8	.	
18	-13.6	-5.9	-13.2	-10.9	-2.2	606.6	608.7	612.4	93	60	85	SW 0	SE 0	S 0	10	2	4	4.8	✳ n-a
19	-13.8	-8.4	-12.4	-11.5	-2.7	616.1	615.3	616.0	77	64	81	S 1	NW 0	S 0	1	0	0	.	
20	-11.2	0.3	-4.4	-5.1	3.8	616.1	617.2	619.5	85	**47**	97	SW 0	SW 0	SW 0	5	5	9	.	⸝ 15½-20
21	-1.1	-1.6	-6.0	-2.9	6.1	614.9	611.7	614.4	66	97	98	SW 2	SW 1	NE 0	10	10*	9*	**18.6**	✳ 12½-n
22	-7.1	-4.4	-9.4	-7.0	2.1	617.1	618.2	621.4	94	76	96	SE 0	E 1	SW 0	10	10	6	0.0	✳fl n-p
23	-8.4	-2.5	-5.2	-5.4	3.7	620.7	620.6	622.4	93	83	92	SW 0	SW 0	SW 0	10*	8	1	6.2	✳ n-a
24	-16.7	-4.8	-9.8	-10.4	-1.2	622.8	622.8	623.0	97	70	96	SW 0	SW 0	SW 0	1	9	0	.	⌊
25	-10.9	0.2	-12.4	-7.7	1.6	622.2	622.3	622.3	100	71	92	SW 0	W 1	SW 0	4	8	7	.	
26	-17.4	-7.1	-10.4	-11.6	-2.3	620.7	618.5	617.5	94	75	86	SW 0	SW 0	SW 0	0	1	9	.	⌊
27	-15.1	-8.9	-15.0	-13.0	-3.6	614.1	612.1	611.7	93	73	89	S 0	SW 0	SW 0	5	8	7	.	⌊
28	-21.0	-12.6	-12.2	-15.3	-5.9	611.8	610.4	612.0	90	77	92	SW 0	SW 0	SW 0	1	3	4	.	⌊
29	-16.7	-8.8	-9.8	-11.8	-2.3	613.5	613.1	614.9	93	74	93	SE 0	SE 0	SE 1	8	10	10	0.8	✳ 21½-n, ⌊
30	-15.4	-8.9	-9.0	-11.1	-1.6	616.5	616.0	615.6	94	78	90	SE 0	S 0	SW 0	9	7	7	.	
31	-11.4	-4.9	-5.6	-7.3	2.3	613.6	611.4	608.5	96	84	100	S 0	S 0	S 0	9	10*	9	2.4	✳ a-n mU
																		Summe	
Mittel	-11.2	-4.9	-9.2	-8.4	—	616.2	615.5	616.3	89	72	88				6.8	6.4	6.4	48.8	

Dezember 1952
Beobachter: *Couvent des Capucins.*

Sion

$\lambda = 7° 21'$, $\beta = 46° 14'$,
$H_b = 548.6$ m, $G = -0.11$ mm.

1	6.7	7.9	6.6	6.4	4.6	714.1	714.1	713.1	100	86	100	ENE 0	ENE 2	ENE 1	10●	9	10	16.5	● 0-11½, ●tr 14, 17¾-18½
2	6.2	**9.0**	8.6	7.9	6.3	712.2	712.0	711.7	100	96	94	ENE 0	ENE 0	ENE 1	10●	8	10	1.4	● 7-10 mU
3	6.4	6.8	1.9	5.0	3.5	710.1	708.5	710.4	97	71	82	NW 1	WSW 2	WNW 2	10	8	9	.	
4	0.3	3.5	-0.6	1.1	-0.3	711.8	713.2	716.5	73	51	68	WSW 1	WSW 1	WSW 1	6	2	4	.	
5	-3.2	0.8	-2.0	-1.5	-2.7	718.8	718.8	720.4	94	64	86	WSW 0	WSW 1	WSW 0	0	0	0	.	
6	-4.8	-0.4	-1.5	-2.2	-3.3	719.9	718.9	719.9	100	76	72	WSW 0	WSW 1	WSW 1	0	0	10	.	
7	-0.4	1.6	-1.6	-0.1	-1.1	719.1	718.8	719.5	78	57	86	WSW 0	WSW 0	WSW 0	10	5	3	.	
8	-3.6	0.8	-0.4	-1.1	-2.0	719.9	719.9	**720.7**	100	75	76	WSW 0	WSW 0	WSW 0	6	7	10	.	
9	-1.2	-0.6	-1.2	-1.0	-1.7	720.4	720.2	**720.7**	86	75	91	WSW 0	WSW 0	WSW 0	10	10	10	.	
10	-3.0	-1.4	**-5.1**	-3.2	-3.8	719.8	718.8	717.8	100	100	100	WSW 0	WSW 0	WSW 0	10	5	5	.	
11	-1.6	4.6	2.4	1.8	1.3	715.8	714.8	715.3	76	55	65	WSW 0	WSW 0	WSW 0	8	10	10	.	
12	0.8	2.7	1.6	1.7	1.3	711.4	710.1	707.6	91	100	100	WSW 0	WSW 0	WSW 0	10	10*	6	8.7	✳ 11½-18¾
13	1.0	2.6	1.2	1.6	1.3	701.4	700.9	702.7	100	95	100	WSW 0	W 0	W 1	10*	9	10	12.4	✳ 5¾-11¾, ● 16½-19½
14	1.0	2.9	2.3	2.1	1.9	702.0	700.5	**695.8**	89	66	78	NNW 1	NNW 0	NNW 0	10	9	10	5.7	✳ 22-24
15	1.6	3.1	-0.8	1.3	1.2	698.4	700.8	707.0	96	68	82	WSW 1	WNW 1	WSW 1	10*	5	8	0.1	✳ 0-8
16	-2.2	0.2	-1.0	-1.0	-1.0	710.5	712.1	712.1	66	58	70	W 1	WSW 0	WNW 0	10	7	10	**30.5**	✳ 21½-24
17	2.4	-0.3	2.7	1.6	1.7	701.8	699.6	700.6	100	98	93	ENE 0	WNW 1	WSW 1	10*	10*	10	23.3	✳ 0-16, 22-24, ● 18¾-19¾
18	-0.8	1.0	0.4	0.2	0.3	704.7	707.1	710.4	77	79	100	WNW 0	NNE 0	NNE 0	6	10	10	5.4	✳ 0-1½, 2¾-3½, 15¾-19½
19	0.4	2.5	-0.2	0.9	1.1	713.5	713.0	712.5	96	66	100	NNE 0	NNE 0	NNE 0	8	6	10	3.9	✳ 18¾-22¼
20	-1.0	2.2	3.6	1.6	1.9	714.0	714.8	716.8	100	88	88	NNE 1	NNE 0	NNE 0	10	3	10	2.2	● ✳ 11¼-11¾, ● 23¼-24
21	3.2	3.4	2.2	2.9	3.2	714.6	710.0	713.4	96	100	80	NNE 0	NNE 0	NNE 0	10●	10●	4	15.0	● 0-3, 7½-18
22	0.4	4.8	2.0	2.4	2.8	716.2	717.2	718.4	71	59	70	ENE 1	NNE 0	NNE 1	5	10	8	6.0	
23	0.6	2.7	1.9	1.7	2.2	718.7	718.9	719.1	100	90	97	ENE 0	ENE 0	ENE 0	10●*	9	10	5.6	● ✳ 3½-13
24	1.6	5.1	2.2	3.0	3.5	719.0	717.8	717.6	100	71	100	NNE 0	ENE 0	ENE 0	10	4	4	.	
25	-1.6	3.2	3.0	1.5	2.1	719.0	719.8	718.6	98	88	75	ENE 0	ENE 0	ENE 0	2	8	10	0.3	● 9¼-10½
26	-2.6	1.0	0.1	-0.5	0.1	716.1	714.0	712.9	80	56	56	ENE 0	ENE 0	ENE 0	0	6	5	.	
27	0.3	3.6	-0.1	1.3	2.0	709.8	708.1	708.3	64	54	63	ENE 0	ENE 0	ENE 1	10	7	3	.	
28	-4.6	-1.1	-1.5	-1.7	-1.0	708.1	705.9	706.7	76	57	52	ENE 0	ENE 1	ENE 0	0	1	0	.	
29	-3.8	0.6	0.0	-1.1	-0.4	708.5	708.2	709.4	60	57	63	NE 1	NE 0	ENE 0	9	10	10	.	
30	-2.1	1.6	-1.0	-0.5	0.3	711.0	710.9	710.7	72	56	80	ENE 0	ENE 0	ENE 0	9	10	5	.	
31	-4.0	1.1	0.2	-0.9	-0.1	709.4	707.4	704.5	90	66	83	ENE 0	NE 0	NE 0	10	9	6	.	
																		Summe	
Mittel	-0.2	2.4	0.8	1.0	—	712.6	712.1	712.6	83	74	82				7.4	7.0	7.4	142.0	

$\lambda = 8° 57'$, $\beta = 46° 0'$,
$H_b = 276.2$ m, $G = -0.01$ mm.

Lugano

Dezember 1952
Beobachter: *G. Vicari.*

Tag	Lufttemperatur					Luftdruck			Relative Feuchtigkeit			Windrichtung und Stärke			Bewölkung			Niederschlag	Witterung
	7^{30}	13^{30}	21^{30}	Mittel	Abweich. vom Normalst	7^{30}	13^{30}	21^{30}	7^{30}	13^{30}	21^{30}	7^{30}	13^{30}	21^{30}	7^{30}	13^{30}	21^{30}		
1	7.8	11.0	8.4	9.1	5.1	736.9	736.4	736.3	87	70	95	NNE 1	S 1	NW 1	10	8	9	0.6	● 9½-10½
2	8.2	**13 6**	5.4	9.1	5.2	734 5	732.9	732.4	90	57	90	N 1	S 1	N 1	10	0	0	.	
3	4.2	6.4	8.4	6.3	2.5	731.0	728.9	728.1	100	89	27	— 0	S 1	N 3	10≡2	10	8	.	≡ 5½-8½, ⸗ III
4	7.2	9.4	4.8	7.1	3.5	731.2	733.9	736.4	26	**25**	36	N 2	N 2	N 1	6	1	5	.	
5	1.6	8.8	0.8	3.7	0.2	741.9	741.7	744.2	66	43	84	N 1	S 1	N 1	0	1	0	.	
6	−1.6	4.4	0.4	1.1	−2.3	743.4	742.6	743.4	91	66	92	N 1	S 1	N 1	0	8	10	.	⌊
7	1.0	3.8	2.8	2.5	−0.8	742.1	741.9	744.6	77	70	91	NW 1	— 0	— 0	10	9	10	.	
8	2.2	7.4	1.4	3.7	0.5	**744.9**	744.7	744.0	85	61	92	— 0	S 1	N 1	10	5	7	.	
9	0.2	7.6	0.2	2.7	−0.5	743.9	743.6	744.3	96	58	88	N 1	S 1	NNW 1	9	0	0	.	
10	−1.6	6.8	1.6	2.3	−0.8	744.7	744.2	744.4	94	62	88	N 1	S 1	N 1	0	0	10	.	⌊
11	1.4	5.2	2.8	3.1	0.1	742.3	741.1	739.8	87	62	81	W 1	S 1	WNW 1	6	10	10	0.0	●tr 17½
12	2.4	4 4	0.8	2.5	−0.4	736.7	734.4	732.7	88	75	96	N 1	SSE 1	N 1	10	10	5	2.0	● ✳ n (12./13.)
13	1.0	1.4	1.4	1.3	−1.6	727.2	724.0	724.7	99	99	96	N 1	N 1	NNW 1	10●	10●	7	6.1	● ✳ n-p
14	−1.2	4.2	1.4	1.5	−1.3	724.9	725.1	721.0	93	67	99	N 1	NW 1	— 0	9	10	10*	**19.6**	● 16½-18½, ✳ 18½-n
15	1.0	9.2	4.4	4.9	2.2	**717 3**	720.1	725.2	99	38	39	N 1	N 1	N 2	10	1	0	.	✳
16	1.8	6.8	−1.8	2.3	−0.3	730.0	732.4	734.4	33	33	51	N 2	N 2	N 1	0	0	0	.	
17	0.6	0.4	−1.2	−0.1	−2.7	729.0	725.0	723.8	72	86	95	N 1	NW 1	N 1	10	10*	9	0.4	☽ ✳ 8-16, ⌊
18	**−3 0**	8.8	−1.2	1.5	−1.0	724.2	726.1	730.9	88	42	81	N 1	S 1	N 1	0	0	0	.	⌊ ✳
19	−2.8	7.0	0.8	1.7	−0.7	733.8	734.5	735.2	86	47	71	NNW 1	SSE 1	N 1	0	0	8	.	⌊
20	−1.8	8.0	1.2	2.5	0.1	734.8	734.9	737.4	68	45	79	N 1	SW 1	W 1	2	0	0	.	⌊
21	2.2	4.8	5.2	4.1	1.8	735.8	731.0	733.3	76	73	48	N 1	W 1	N 1	10	10	0	2.1	● 15½-17½, ⌊
22	2.4	12.2	5.4	6.7	4.5	736.5	737.0	739.2	53	29	41	N 1	N 2	W 1	3	2	0	.	
23	3.2	10.0	0.8	6.7	2.5	739.6	739.8	740.6	67	53	82	N 1	S 1	N 1	10	0	0	.	
24	−1.6	5.2	−0.2	1.1	−1.0	742.2	742.7	742.5	94	64	88	N 1	SSW 1	N 1	6	9	5	.	⌊
25	−1.2	7.2	0.4	2.1	0.1	742.1	740.4	740.8	95	57	87	N 1	SE 1	NNW 1	9	0	0	.	⌊
26	−1.4	7.4	3.4	3.1	1.1	740.5	738.5	736.8	92	58	83	N 1	S 1	N 1	6	5	10	.	⌊
27	2.2	5.4	1.2	2.9	1.0	733.9	732.5	731.3	85	70	91	N 1	S 1	N 1	9	10	9	.	
28	−2.2	3.2	0.4	0.5	−1.3	731.5	730.6	732.0	93	67	99	N 1	S 1	NW 1	1	10	10	2.2	● ✳ 15½-18, n (28./29.)
29	−0.8	2.0	0.6	0.6	−1.2	733.2	733.0	734.4	92	83	99	N 1	N 1	N 1	10	10	10●	4.3	☽ 15-n
30	−0.4	4.2	1.8	1.9	0.2	736.0	736.5	735.3	93	74	93	N 1	W 1	— 0	10	10	10	.	
31	1.4	2.6	2.0	2.0	0.3	733.2	730.9	728.8	93	94	99	N 1	NNE 1	— 0	10	10●	10	4.1	● 8¾-21
																		Summe	
Mittel	1.1	6.4	2.1	3.2	—	735.5	734.9	735.4	83	62	80				6.7	5.5	5.6	41.4	

$\lambda = 7° 35'$, $\beta = 47° 33'$,
$H_b = 317.3$ m, $G = 0.11$ mm.

Basel

Dezember 1952
Beobachter: *Astronom.-Meteorol. Anstalt.*

1	9.2	4.3	2.0	5.2	3.2	730.4	732.1	732.0	98	98	96	SSW 0	NNW 1	NW 1	10	10●	10●	**30.5**	● 7¾-15¾ mU, 18½-24, *)
2	−0.5	−0.6	−1.0	−0.7	−2.6	733.1	734.1	734.0	100	100	100	WNW 1	WNW 0	W 1	10≡	10	10≡	0.0	● 0-2¼, 3¼-6¾. △ 14-14¾,*)
3	−1.3	0.0	−0.8	−0.7	−2.4	732.6	732.0	733.5	100	91	87	WNW 1	WNW 1	W 1	10*	10*	10*	1.4	✳ 7½, 12½-13¾, 22¼-24
4	−0.2	0.0	−0.2	−0.1	−1.7	736.4	738.4	741 3	86	89	85	NNE 2	N 2	NNE 1	10	9	10	0.0	✳ 15½-16¼ ✳
5	−1.3	0.8	−1.9	−0.8	−2.3	743.1	743.6	**744.5**	65	59	69	NNE 1	NNW 1	NW 1	9	2	0	.	✳
6	−6.0	−2.8	−4.0	−4.3	−5.7	744.0	743.4	744.4	86	80	89	NW 1	NW 0	NW 0	4	10	7	.	
7	−5.5	−3.2	−4.7	−4.5	−5.8	744.2	743.7	743.1	93	82	89	NW 0	NNW 1	NW 0	4	9	10	.	
8	**−6 2**	−4.0	−3.0	−4.4	−1.9	742.4	742.5	742.4	97	78	76	W 0	W 0	ENE 1	4	8	2	.	⌊, ψ 7¼
9	−4.0	−2.8	−3.6	−3.5	−4.6	742.0	742.5	742.7	84	82	83	ESE 1	E 1	ENE 1	10	10	10	.	
10	−3.9	−3.1	−5.0	−4.0	−5.0	740.7	738.8	737.1	92	85	92	NNE 1	WNW 1	SSE 1	10	10	0	.	
11	−2.2	0.7	0.9	−0.2	−1.2	734.5	733.5	732.7	92	100	96	ESE 1	ESE 1	E 1	8	10	10	1.7	● 9-12¼, 15½-16¼, 20½-20¾,
12	2.2	3.5	3.1	2.9	2.0	729.1	727.3	724.1	96	97	97	E 1	E 1	ESE 1	10●	10●	10	5.1	● 7½-14¼ mU, 20-20¾ [≈ 10
13	8.9	8.1	5.4	7.5	6.7	**713.8**	718.0	719.7	72	**56**	57	SSW 3	W 2	WSW 1	10●	8	5	0.2	● 4¼-7¾ mU, ⸗ a
14	1.2	4.7	2.0	2.6	1.9	719.4	717.9	714.3	87	79	96	SSE 0	E 1	NE 0	10	10	10●	21.7	● 9¼-9½, 18¾-24
15	1.1	2.0	−0.6	0.8	0.2	718.0	721.1	727.1	89	78	83	WSW 2	W 1	W 2	10	8	10	1.9	● 0-1, ✳ 1-6¼, 8¾-10¾ ✳
16	−2.0	2.4	−2.9	−0.8	−1.4	730.4	731.4	727.4	100	93	85	W 0	SW 1	ESE 1	10*	6	10	3.9	✳ 6-8¼, 23½ ✳
17	5.0	4.0	1.1	3.4	2.9	715.6	717.4	719.4	87	84	90	WSW 1	WSW 2	SW 0	10●	10	1	9.6	● 1½-12 mU, ●✳ 16½-17,*)
18	0.9	2.0	2.6	1.8	1.4	722.3	724.4	729 2	82	85	84	SSW 2	SW 1	W 2	10	10●	10	0.5	✳ 8½-9½, ● 12-13½, ⸗ 18¾
19	1.6	5.1	0.8	2.5	2.2	733.2	731.2	728.8	89	71	98	SSW 1	E 0	E 1	10	6	10	2.2	● 17½-18, ●✳ 18-21½, *)
20	6.4	8.4	5.5	6.8	6.6	730.8	734.1	734.5	84	67	77	WSW 1	WSW 1	WNW 1	10	9	10	2.7	● 8-9¾, ⸗ 11¼
21	7.6	7.2	3.4	6.1	5.9	728.9	729.5	733.1	77	80	75	WSW 3	W 2	WSW 1	10●	10	1	7.9	● 3¾-8 mU, 10½-12½, ⸗ 11½
22	3.2	4.8	2.2	3.4	3.3	736.6	737.9	739.0	83	65	82	WSW 1	SW 1	ESE 1	10	10	10	1.8	
23	1.0	3.1	4.0	2.7	2.7	736.7	737.2	738.0	100	98	97	ESE 1	ESE 0	E 1	10●	10	10	2.3	● 6-12 mU
24	3.6	6.7	6.0	5.4	5.5	736.9	736.5	736.1	95	90	91	E 1	E 1	E 1	10	10	10	0.6	
25	6.4	**9.5**	1.2	5.7	5.8	738.3	739.5	738.5	79	67	96	SW 1	W 1	ESE 1	10	4	0	0.0	● 4¾-6, ♁ 11¾
26	−0.5	2.6	1.1	1.1	1.3	735.0	732.8	729.9	100	85	84	ESE 1	SE 1	E 1	10	10	10	1.1	⌊ [
27	0.2	2.0	0.1	0.8	1.1	727.3	728.2	728.0	100	91	97	E 1	ESE 1	E 1	10●	10●	8	2.1	● 6½-8½, 13-13¾, ≡ 19¼-
28	0.4	3.2	−0.2	1.1	1.4	725.7	724.9	725.9	92	73	84	E 1	ENE 1	E 1	2	0	1	.	⌊ ⌊ [24¼ mU, ≈ p
29	−0.9	−0.5	−1.0	−0.8	−0.4	728.2	729.2	730.1	80	81	85	NNE 1	NNE 1	N 1	10	9	10	.	⌊ ⌊
30	−1.0	0.0	−1.1	−0.7	−0.3	731.2	731.6	731.6	80	79	80	E 1	NE 1	E 1	10	10	10	.	
31	−3.8	−0.6	0.0	−1.5	−1.0	729.4	727.0	723.8	94	82	84	S 1	SE 0	ESE 1	6	6	10	.	
																		Summe	
Mittel	0.6	2.2	0.3	1.0	—	731.9	732.3	732.5	89	82	87				8.9	8.5	7.6	97.2	

*) 1. ≡ 7¾-13 2. ≡ 7¼-12½, 13¾-23 17. ✳ 19-20¾, ⸗ 5 19. ● 21¼-21½

Dezember 1952
Beobachter: *Observatorium.*

Säntis

$\lambda = 9°\,20'$, $\beta = 47°\,15'$,
$H_b = 2500.1$ m, $G = -0.27$ mm.

Tag	Lufttemperatur 7³⁰	13³⁰	21³⁰	Mittel	Abweich. vom Normalst	Luftdruck 7³⁰	13³⁰	21³⁰	Relative Feuchtigkeit 7³⁰	13³⁰	21³⁰	Windrichtung und Stärke 7³⁰	13³⁰	21³⁰	Bewölkung 7³⁰	13³⁰	21³⁰	Niederschlag	Witterung
1	**-0.9**	-1.2	-1.9	-1.3	5.1	559.8	560.0	559.2	100	100	100	W 3	W 3	W 2	10≡	10≡*	10≡*	**18.0**	✳ n-n mU, ≡ n-n, ⋁ II
2	-2.2	-3.4	-5.8	-3.8	2.7	557.8	558.0	557.4	100	100	100	W 4	WNW_3	WNW_2	10≡*	10≡*	10≡*	34.6	✳ ≡ n-n, ⌿ I, ⋁ II
3	-7.2	-12.4	-13.3	-11.0	-4.5	554.7	553.6	554.1	100	81	100	NW 4	NW 2	N 2	10≡	3	10≡*	7.5	✳ 15½-n, ≡ n-10, 15½-n,
4	-15.6	-14.7	-16.2	-15.5	-8.9	555.7	557.1	559.2	98	96	95	NNE 2	N 2	NNE 3	10≡*	10≡*	1	2.6	✳ n-17, ≡ n-20¾ ⌊⌿ n-a
5	-12.5	-12.1	-10.8	-11.8	-5.1	560.8	561.6	562.7	73	85	58	N 4	NE 4	NE 4	1	1	0	.	⌿ n-n
6	-6.9	-5.8	-8.8	-7.2	-0.4	561.9	561.7	561.8	62	63	100	NE 3	NE 3	NE 5	1	1	10≡	.	≡ 20¾-n, ⌿ p-n
7	-9.4	-7.4	-3.8	-6.9	0.0	562.0	562.4	563.3	100	97	81	NE 4	NE 4	NE 3	10≡	9	10	.	≡ ⌙ n-11½, ⌿ n-p
8	-3.2	-1.6	-2.8	-2.5	4.4	563.3	563.8	564.0	84	73	66	NNE 3	SE 2	NNE 3	3	8	0	.	⊕ a-p
9	-3.5	-3.8	-5.3	-4.2	2.8	563.8	564.1	**564.2**	**35**	**35**	45	NE 3	NE 2	NNE 2	0	0	0	.	
10	-4.7	-3.7	-6.5	-5.0	2.1	563.1	562.7	561.6	36	41	55	S 2	SW 3	SSW 2	0	0	0	.	
11	-8.1	-7.2	-7.6	-7.6	-0.4	558.9	558.1	557.2	68	95	100	WSW_2	WSW_3	W 3	2	10≡*	10	6.6	✳ 11½-16, ≡ 12½-15½,*)
12	-8.8	-7.5	-6.8	-7.7	-0.5	554.6	552.5	551.6	98	98	100	W 3	WSW_4	W 4	10≡	10≡*	10≡	3.1	✳ 8½-11 mU, 12½-16¾, *)
13	-6.1	-8.4	-10.6	-8.2	-0.9	545.0	545.0	546.2	95	100	100	SW 5	WSW_5	WSW_5	10	10≡	10≡	4.7	✳ 9¾-12, 15½-19, ≡ 9-n,*)
14	-11.6	-8.7	-9.3	-9.9	-2.5	546.6	546.0	543.0	85	79	95	WSW_3	SW 3	SW 3	2	9	10	3.9	✳ n (14./15.)
15	-11.9	-13.4	-15.5	-13.6	-6.2	**541.7**	544.7	548.2	100	100	97	W 4	W 4	WNW_3	10≡*	10≡	10≡*	18.1	✳ n-12½ 14-n, ≡ n-n, *)
16	**-17.6**	-17.4	-15.5	-16.8	-9.3	549.3	551.0	551.6	95	95	55	W 4	W 4	WSW_4	10≡	10≡*	2	4.8	✳ 8½-15½, ≡ n-16, ⌿ n-n
17	-5.8	-8.4	-11.5	-8.6	-1.0	544.3	544.1	544.7	100	100	100	W 5	WNW_3	WSW_4	10≡*	10≡*	10≡*	24.2	✳ 6½-n, ≡ ⌖ ⌿ n-n, ⌙ p
18	-14.9	-12.8	-12.0	-13.2	-5.6	546.0	548.0	551.5	98	98	100	WSW_4	W 4	W 4	10≡	10≡*	10≡*	19.7	✳ n-7, 11½-15, 17¾-n, *)
19	-13.1	-12.2	-6.7	-10.7	-3.0	554.9	554.2	553.4	95	90	100	WNW_2	SW 3	W 4	10≡	1	10≡	10.4	⍢ 8-9½, ≡ n-11½, 20½-n, ⌿ III
20	-7.9	-8.4	-9.0	-8.4	-0.7	555.5	557.1	558.5	100	100	100	W 5	W 5	W 4	10≡	10≡*	10≡	23.4	✳ 9¾-16, 19½-20½, *)
21	-6.6	-7.4	-11.3	-8.4	-0.6	553.3	552.8	555.5	100	100	100	W 6	W 5	W 3	10≡	10≡*	10≡	24.1	✳ 9-11 mU, 12-15¾, *)
22	-13.4	-12.1	-12.1	-12.5	-4.7	557.1	558.5	560.6	100	100	100	WNW_4	WNW_3	WSW_3	10≡*	10≡*	10≡	10.3	✳ 6¾-17½, ≡ n-n, ⌙⌿ I
23	-7.4	-5.2	-4.7	-5.8	2.0	559.8	561.5	563.0	100	100	100	WSW_3	WSW_4	W 4	10≡*	10≡	10≡	26.2	
24	-8.3	-2.2	-3.5	-4.7	3.2	562.4	563.3	563.3	73	100	65	WSW_4	WSW_3	WSW_3	1	10≡	3	2.0	✳ n-12½, 17-19¾, ≡ n-n,*)
25	-3.8	-8.6	-10.5	-7.6	0.3	562.5	563.2	561.9	100	93	77	W 4	WNW_3	WSW_2	10≡	9	1	3.8	❩ 9-9½, ✳ 9½-10, *)
26	-9.6	-7.8	-8.6	-8.7	-0.8	559.4	558.0	556.2	64	61	76	SW 2	WSW_2	SW 1	0	8	10	.	✳ 8-10 mU, ≡ n-12½,*)
27	-9.2	-8.8	-10.6	-9.5	-1.5	553.2	552.6	552.1	83	90	100	NE 2	SE 1	SW 1	10	8	10≡	1.2	✳ 18-n mU, ≡ 17¾-n
28	-12.2	-9.6	-11.0	-10.9	-2.9	550.9	550.2	550.9	85	72	75	SE 1	SSW 2	SSW 2	1	1	6	.	
29	-11.1	-8.6	-8.6	-9.4	-1.4	552.3	552.7	553.6	74	72	90	S 1	SSE 1	SSW 2	2	9	10	.	⊕ a-p
30	-9.1	-6.8	-8.2	-8.0	0.1	555.0	555.4	555.4	73	72	64	WSW_2	SW 2	W 2	9	9	6	.	
31	-8.4	-6.4	-8.7	-7.8	0.3	553.5	552.1	549.9	92	91	100	SW 2	WSW_2	WSW_2	9	6	10≡	0.2	✳ 15-19 mU, ≡ 17-n
																		Summe	
Mittel	-8.7	-8.2	-9.0	-8.6	—	555.5	555.7	556.0	86	86	87				6.8	7.5	7.4	278.8	

Dezember 1952
Beobachter: *E. Chiesa*

St. Gotthard (Hospiz)

$\lambda = 8°\,34'$, $\beta = 46°\,33'$,
$H_b = 2095$ m, $G = -0.25$ mm.

1	-0.5	2.4	-1.0	0.3	5.9	589.8	589.9	589.3	100	100	97	SE 0	SE 0	SE 0	10*≡	10≡	3	6.0	✳ n-a, ≡ n-p mU, ⍫ III
2	-2.0	-0.1	-3.1	-1.7	4.0	588.2	587.9	587.3	100	100	100	SE 0	NW 1	NW 1	10*≡	10≡	10*≡	2.8	✳ ≡ n-n mU
3	-5.3	-7.0	-11.2	-7.8	-2.0	585.2	583.7	583.3	100	100	100	NW 1	NW 2	NW 4	6	10≡	10≡	1.2	✳ fl ≡ a-n, ⌿ III
4	-12.0	-11.3	-12.8	-12.0	-6.1	584.0	585.8	588.8	100	95	93	NW 4	NW 3	NW 3	10	10	10*	0.6	✳ p-n mU, ⌖ ⌿ n-n, ⋁ III
5	-13.5	-10.1	-10.6	-11.4	-5.5	590.0	591.2	591.9	90	32	20	NW 2	NW 2	NW 2	0	0	0	.	
6	-8.0	-4.0	-7.4	-6.5	-0.5	591.5	591.3	590.8	25	31	50	NW 0	NW 0	NW 2	0	0	0	.	
7	-7.0	-4.4	-4.0	-5.1	1.0	590.9	591.5	592.1	80	73	70	NW 3	NW 2	NW 1	10	10	10	.	⌿ I
8	-4.6	-1.7	-1.1	-2.5	3.7	592.4	593.2	592.9	63	65	48	NW 0	SE 0	NW 1	0	0	0	.	
9	-2.7	-0.3	-4.8	-2.6	3.6	592.8	592.6	593.2	30	**0**	5	NW 1	NW 1	NW 1	0	0	0	.	
10	-4.7	-2.1	-8.0	-4.9	1.4	**593.5**	593.3	592.4	38	22	46	SE 0	SE 1	SE 0	0	0	0	.	
11	-8.4	-6.9	-7.5	-7.6	-1.2	589.9	589.5	588.6	92	96	100	SE 1	SE 1	SE 1	9	10≡	10*≡	1.4	✳ p-n, ≡ a-n
12	-7.9	-6.4	-7.5	-7.3	-0.9	585.8	581.2	582.8	100	100	100	SE 1	SE 2	SE 1	10*≡	10*≡	10≡	8.2	✳ n-p, ≡ n-n, ⋁ III
13	-8.0	-5.6	-7.7	-7.1	-0.6	578.0	576.7	576.8	100	95	97	SE 2	SE 1	NW 0	10*≡	10≡	6	4.5	✳ n-a, 17¾-20¾, ≡ n-p
14	-9.3	-6.0	-8.0	-7.8	-1.3	577.0	577.0	573.6	50	64	100	SE 0	SE 2	SE 2	3	6	10*	6.2	✳ 14¼-n
15	-8.8	-10.0	-14.0	-10.9	-4.3	**571.6**	574.4	578.1	100	94	80	NW 3	NW 2	NW 2	10*	9	0	2.1	✳ ⌿ n-a
16	**-14.2**	-13.3	-10.6	-12.7	-6.1	580.0	581.5	582.5	72	84	52	NW 2	NW 2	NW 0	6	3	10	11.8	✳ n (16./17.)
17	-12.5	-9.8	-8.9	-10.4	-3.8	578.2	575.2	575.2	97	98	100	SE 2	SE 2	NW 1	10*	10*≡	10*	14.2	✳ n-n, ≡ a-p
18	-11.7	-8.6	-9.4	-9.9	-3.2	576.5	578.7	581.8	95	84	100	NW 1	NW 0	NW 2	6	10	10*	8.5	✳ p-n
19	-10.0	-9.0	-9.0	-9.3	-2.6	584.4	585.1	584.9	100	90	92	NW 3	SE 0	SE 1	10	0	10	0.8	✳ fl p-n, ⌿ I
20	-5.1	-4.4	-4.0	-4.5	2.2	585.9	586.8	589.1	100	82	80	NW 2	NW 2	NW 2	10≡	9	10	10.0	✳ 10¾-11, n (20./21.), ≡ n-a
21	-4.7	-3.3	-8.8	-5.6	1.2	587.2	583.4	584.9	99	100	91	SE 1	SE 0	NW 4	10	10	10	**14.6**	✳ n-n, ⌿ III
22	-10.0	-8.6	-9.2	-9.3	-2.5	586.6	588.3	590.2	95	98	100	NW 3	NW 2	NW 3	10≡	10≡	10≡	4.9	✳ n (22./23.), ≡ ⌿ n-n mU
23	-5.3	-1.8	-2.6	-3.2	3.6	590.0	590.8	592.3	100	100	100	NW 2	NW 2	NW 2	10*≡	10*≡	10≡	4.5	✳ n-p, ≡ n-n
24	-5.4	-0.7	-1.0	-2.4	4.5	592.0	592.5	592.6	100	80	90	NW 2	NW 0	NW 0	9	3	0	.	
25	-0.4	-4.6	-4.7	-3.2	3.7	592.3	592.5	591.9	43	100	22	NW 1	NW 2	NW 1	6	10≡	0	.	≡ 8½-16¼, ⋁ II
26	-4.9	-5.1	-8.4	-6.1	0.8	589.8	588.7	586.9	47	55	78	SE 1	SE 1	SE 1	0	3	6	0.7	✳ fl n (26./27.)
27	-8.3	-7.0	-10.6	-8.6	-1.7	583.6	582.7	581.8	100	100	100	SE 1	SE 1	NW 1	10*	10≡	0	0.4	✳ n-a, ≡ a-p
28	-12.8	-7.9	-9.6	-10.1	-3.1	581.0	581.0	581.1	56	60	100	NW 0	SE 0	SE 1	0	3	10*	1.1	✳ 16¼-n
29	-9.0	-6.2	-7.3	-7.5	-0.5	582.3	583.1	584.5	100	70	97	SE 1	SE 1	SE 1	10*≡	10	6	0.4	✳ ≡ n-a
30	-9.2	-5.7	-6.8	-7.2	-0.2	584.9	585.8	585.5	95	84	91	NW 0	SE 1	SE 0	9	9	6	.	
31	-6.3	-3.7	-5.6	-5.2	1.8	584.0	582.3	578.5	91	86	95	SE 0	SE 0	SE 2	10	9*	10*≡	2.9	✳ a-n mU, ≡ p-n
																		Summe	
Mittel	-7.5	-5.6	-7.3	-6.8	—	585.8	585.8	586.0	83	79	81				6.9	6.9	6.4	107.8	

*) Säntis. **11.** 16½-n, ⊕ 10½ **12.** ≡ 6¾-n, ⌖ ⌿ 13-n, ⌙ II **13.** ⌖ ⌿ n-n **15.** ⌖ ⌿ n-15, ⌙ p **18.** ≡ ⌿ n-n, ⌖ n-9, 18-n **20.** ≡ ⌿ n-n, ⋁ I **21.** 20¼-n, ≡ n-n, ⌖ ⌿ n-17 **23.** ⌖ n-13, ⌿ a-n **24.** ≡ 9-14½, ⌿ I **25.** ⌿ n-a, ⋁ I

Ergänzende Witterungsnotizen zu den Tabellen Seite 1—72

Januar

Bern. Alpen klar: **15.** II. — Alpen hell: **12.** II, **14.** I. — Alpen sichtbar: **17.** II. — Alpen schwach sichtbar: **2.**, **3.** I, **5.** II, **6.** I, **10.** II, **15.**, **16.**, **21.** I, **22.** II, **29.** I, **31.** I, II. — Schneehöhe: 4. 4 cm, **18.** 12 cm, **25.** 16 cm. — Neuschnee: **4.** 4 cm, **5.** ½ cm, **13.** ½ cm, **18.** 12,5 cm, **19.** 13 cm, **20.** 14 cm, **21.** 1,5 cm, **28.** 5,5 cm. — **Neuchâtel.** Schneehöhe: 4. 1 cm, **18.** 12 cm. — **Altdorf.** Föhn: **31.** 10^{55}–22^{30}h. — Schneehöhe: **18.** 4 cm. — **Genf.** Schneehöhe: **18.** 2 cm, **25.** 2 cm. — **Zürich.** Alpen hell: **12.** Nm., **15.**, **17.** d. g. T. — Alpen schwach sichtbar: **9.** d. g. T. — Dunst: **9.** II. — Taldunst: **7.** II. — Nebel (Sicht): **7.** III (180–200 m), **8.** I (50 m), II (150 m), **9.** I (60 m), **17.** III (180 m). — Wolkenröte: **14.** 8^{h}. — Neuschnee: **2.** 3,5 cm, **18.** 9 cm, **19.** 4 cm, **20.** 5 cm, **21.** 2 cm, **26.** 1,5 cm, **27.** 0,5 cm, **28.** 4,5 cm. — Schneehöhe: **18.** 9 cm, **25.** 7 cm. — **Chasseron:** Nebelmeer (Mittelland): **7.** I 850, II (950), III (800), **8.** I 750, II (750), III 750, **22.** II (1400), III (1050), **23.** I 900, II 850, III 800, **24.** I 800, II (700), III 700. — Neuschnee: **1.** 18 cm, **2.** 5 cm, **3.** 4 cm, **4.** 4 cm, **5.** 5 cm, **10.** 5 cm, **18.** 11 cm, **19.** 20 cm, **20.** 5 cm, **25.** 2 cm, **28.** 3 cm. — Schneehöhe: **4.** 29 cm, **11.** 26 cm, **18.** 59 cm, **25.** 67 cm. — **Bever.** Morgenrot: **15.** I, **28.** I. — Neuschnee: **6.** 2 cm, **11.** 4,8 cm, **12.** 3,9 cm **18.** 5 cm, **19.** 8 cm, **20.** 5,4 cm, **25.** 3 cm, **27.** 1 cm. — Schneehöhe: **4.** 15 cm, **11.** 18 cm, **18.** 23 cm, **25.** 31 cm. — **Sitten:** Neuschnee: **4.** 0,3 cm, **11.** 1 cm, **17.** 2 cm, **18.** 2,5 cm, **19.** 3,5 cm, **20.** 5,5 cm. — **Lugano.** Nordföhn: **1.** 19^{30}h– **2.** 1^{30}h, **12.** 9^{30}h– **13.** 21^{h}, **18.** 11^{h}– **20.** 24^{h}, **27.** 21^{30}h– **28.** 8^{30}h. — Schneehöhe: **25.** 7 cm. — **Basel.** Neuschnee: **18.** 4,2 cm, **20.** 3 cm, **26.** 1,7 cm, **27.** 1,2 cm, **28.** 1,7 cm, **30.** 2,5 cm. — Schneehöhe: **18.** 4 cm, **25.** 4 cm. — **Säntis.** Föhnmauer: **23.** I, **24.** I. — Neuschnee: **4.** 20 cm, **5.** 30 cm, **6.** 25 cm, **13.** 17 cm, **14.** 2 cm, **15.** 5 cm, **17.** 10 cm, **18.** 6 cm, **20.** 110 cm, **21.** 22 cm, **27.** 3 cm, **28.** 13 cm, **30.** 5 cm. — Schneehöhe: **4.** 140 cm, **11.** 130 cm, **18.** 140 cm, **25.** 250 cm. Schneegrenze: **4.** 600 m, **11.** 1000 m, **18.** Bodensee, **25.** Bodensee. — **St. Gotthard.** Neuschnee: **3.** 5 cm, **11.** 25 cm, **18.** 7 cm, **20.** 20 cm, **25.** 20 cm. — Schneehöhe: **4.** 155 cm, **11.** 185 cm, **18.** 190 cm, **25.** 185 cm.

Februar

Bern. Alpen klar: **23.** I, **24.** I, **29.** I, II. — Alpen hell: **22.** II. — Alpen sichtbar: **6.** II. — Alpen schwach sichtbar: **2.** I, **6.** I, **7.** I, **21.** II, **23.** II, **24.** II. — Schneehöhe: **1.** 8,5 cm, **8.** 32 cm, **15.** 30,5 cm, **22.** 23,5 cm, **29.** 17,5 cm. — Neuschnee: **1.** 2 cm, **2.** 13 cm, **3.** 5 cm, **4.** 17 cm, **5.** 2,5 cm, **6.** 0,8 cm, **8.** 2 cm, **9.** 11 cm, **10.** 6 cm, **13.** 13,5 cm, **14.** 1 cm, **16.** 0,5 cm. — **Neuchâtel.** Schneehöhe: **1.** 4 cm. — **Altdorf.** Neblig: **18.** III, **26.** III. — Schneehöhe: **6.** 60 cm. — **Genf.** Schneehöhe: **8.** 4 cm, **15.** 11 cm. — **Zürich.** Alpen hell: **29.** Vm. — Dunst: **6.** II, **7.** I, **15.** d. g. T., **17.** d. g. T., **18.** d. g. T., **19.** d. g. T., **20.** d. g. T., **21.** d. g. T., **22.** Nm., **23.** Nm., **24.** Nm., **25.** d. g. T., **26.** d. g. T. — Taldunst: **19.** Vm., **27.** Nm., **28.** d. g. T., **29.** Vm. — Nebel (Sicht): **4.** I (700 m), III (200 m), **5.** II (600 m), **6.** I (600 m), **18.** I (700 m), **22.** I (50 m), **23.** I (130 m), **24.** I (50 m), **27.** I (60 m). — Talnebel: **23.** d. g. T. — Neuschnee: **1.** 1 cm, **2.** 7 cm, **3.** 1 cm, **4.** 34 cm, **5.** 20 cm, **6.** 2 cm, **7.** 0,5 cm, **8.** 5 cm, **9.** 12 cm, **10.** 4 cm, **11.** 4,5 cm, **13.** 17 cm, **14.** 1 cm, **16.** 0,5 cm. — Schneehöhe: **1.** 9,5 cm, **8.** 45,5 cm, **15.** 32 cm, **22.** 26 cm, **29.** 14 cm. — **Chasseron:** Nebelmeer (Mittelland): **23.** I 600, II 500, **24.** I 600, **25.** I 900, II 1000, **26.** I 1100, II 1150, **27.** I 1050. — Neuschnee: **1.** 8 cm, **2.** 10 cm, **3.** 2 cm, **4.** 14 cm, **5.** 8 cm, **8.** 15 cm, **9.** 10 cm, **12.** 10 cm, **13.** 30 cm. — Schneehöhe: **1.** 76 cm, **8.** 96 cm, **15.** 120 cm, **22.** 105 cm, **29.** 90 cm. — **Bever:** Neuschnee: **1.** 8,5 cm, **2.** 4 cm, **4.** 5 cm, **5.** 2 cm, **6.** 1 cm, **9.** 3,5 cm, **10.** 4 cm, **11.** 2 cm, **13.** 5,5 cm, **14.** 8 cm, **15.** 2 cm. — Schneehöhe: **1.** 38 cm, **8.** 46 cm, **15.** 54 cm, **22.** 52 cm, **29.** 48 cm. — **Sitten.** Neuschnee: **1.** 18,5 cm, **2.** 9,5 cm, **4.** 4 cm, **5.** 2,5 cm, **8.** 1 cm, **9.** 7 cm, **10.** 2 cm, **13.** 4,5 cm, **14.** 2 cm. — **Lugano.** Nordföhn: **1.** 13^{45}–15^{45}h, **2.** 9–19^{30}h, **4.** 12^{30}–18^{h}, **5.** 7^{30}–6^{20}h, **8.** 18^{30}h–10^{15}h, **21.** 10–13^{h}, **29.** 21^{h}– **1.** 8^{h}. — Schneehöhe: **1.** 15 cm. — **Basel.** Dunst: **6.** II, **7.** II, **14.** II, **21.** I, II, **22.** I, II, **24.** II, **25.** II, **27.** I, II, **28.** I, II. — Neuschnee: **2.** 0,5 cm, **3.** 0,5 cm, **4.** 5,3 cm, **5.** 6 cm, **6.** 2 cm, **7.** 0,5 cm, **13.** 5,3 cm. — Schneehöhe: **1.** 0,5 cm, **8.** 4,8 cm. — **Säntis.** Föhnmauer: **1.** Nm. — Neuschnee: **1.** 25 cm, **3.** 25 cm, **4.** 80 cm, **5.** 60 cm, **6.** 25 cm, **9.** 50 cm, **10.** 40 cm, **14.** 5 cm, **15.** 2 cm, **17.** 1 cm, **19.** 3 cm, **21.** 3 cm. — Schneehöhe: **1.** 240 cm, **8.** 370 cm, **15.** 470 cm, **22.** 430 cm, **29.** 400 cm. — Schneegrenze: **1.** Bodensee, **8.** Bodensee, **15.** Bodensee, **22.** Bodensee, **29.** Bodensee. — **St. Gotthard.** Neuschnee: **1.** 15 cm, **4.** 8 cm, **5.** 10 cm, **12.** 27 cm, **13.** 15 cm. — Schneehöhe: **1.** 180 cm, **8.** 170 cm, **15.** 185 cm, **22.** 170 cm, **29.** 170 cm.

März

Bern. Alpen klar: **3.** II. — Alpen hell: **2.** II, **3.** I, **24.** I, **31.** II. — Alpen sichtbar: **27.** II. — Alpen schwach sichtbar: **1.** I, **4.** I, II, **5.** I, II, **17.** I, **23.** I, II, **25.** II, **31.** I. — Neuschnee: **27.** 1 cm. — **Neuchâtel.** Gewitter: **30.** ⛈ 20^{45}–21^{15}h. — **Altdorf.** Neblig: **1.** I, II. — Föhn: **28.** Vm. bis **29.** 16^{h}, **31.** 14^{45}h bis **1.** 2^{45}h. — Schneehöhe: **27.** 3 cm. — **Zürich.** Alpen klar: **31.** d. g. T. — Alpen hell: **3.** Vm. — Alpen sichtbar: **2.** Nm., **3.** Nm., **27.** Nm., **30.** Vm. — Alpen schwach sichtbar: **4.** Nm. — Dunst: **7.** d. g. T., **8.** Nm., **9.** Vm., **11.** d. g. T., **12.** d. g. T., **13.** d. g. T., **14.** Vm., **16.** Vm., **19.** d. g. T., **29.** Vm. — Taldunst: **17.** Vm., **24.** Vm. — Neblig: **30.** Vm. — Talnebel: **4.** Vm., **9.** Nm., **12.** Vm., **31.** Fr. — Nebel (Sicht): **29.** I (250 m). — Talnebel: **1.** Vm. (550 m), **11.** Vm., **30.** Vm. — Neuschnee: **8.** 7 cm, **28.** 1 cm. — Schneehöhe: **28.** 1 cm. — **Chasseron.** Nebelmeer (Mittelland): **8.** I 700, II 1200, III 1250, **9.** III 1300, **11.** I 900, **12.** I 1100, **13.** I 1100, **14.** I 1100. — Neuschnee: **6.** 1 cm, **7.** 6 cm, **8.** 5 cm, **10.** 1 cm, **16.** 1 cm, **17.** 1 cm, **19.** 1 cm, **25.** 2 cm, **26.** 10 cm. — Schneehöhe: **7.** 90 cm, **14.** 80 cm, **21.** 80 cm, **28.** 80 cm. — Gewitter: **30.** (⛈) W 17^{15}–17^{45}h, ≺ n (**30./31.**). — **Bever:** Neuschnee: **6.** 1 cm, **10.** 5 cm, **13.** 4,5 cm, **20.** 5,5 cm, **21.** 3 cm, **22.** 5 cm, **23.** 3 cm. — Schneehöhe: **7.** 45 cm, **14.** 34 cm, **21.** 38 cm, **28.** 24 cm. — **Sitten.** Schneegrenze: **6.** 1600 m, **8.** 1600 m, **23.** 1300 m, **26.** 1300 m, **28.** 650 m. — **Lugano.** Nordföhn: **6.** 6^{30}–18^{h}, **14.** 6^{30}–20^{h}, **21.** 9–24^{h}, **23.** 10–18^{h}, **26.** 10–23^{30}h. — **Basel.** Dunst: **3.** I, **4.** I, II, **5.** I, **6.** I, **7.** II, **11.** I, **16.** II, **17.** I, **18.** I, **19.** I, II, **20.** I, **30.** I, II, **31.** I. — Neuschnee: **27.** 1 cm, **28.** 2 cm. — Schneehöhe: **28.** 2,5 cm. — **Säntis.** Großes Lichtermeer: **31.** III. — Föhnmauer: **29.** I, **30.** I, **31.** Vm. — Elmsfeuer: **24.** III. — Neuschnee: **1.** 32 cm, **5.** 2 cm, **6.** 20 cm, **7.** 8 cm, **10.** 24 cm, **11.** 20 cm, **13.** 8 cm, **14.** 2 cm, **15.** 3 cm, **20.** 6 cm, **21.** 22 cm, **23.** 40 cm, **24.** 9 cm, **26.** 15 cm, **27.** 40 cm, **28.** 1 cm, **29.** 6 cm, **30.** 3 cm, **31.** 6 cm. — Schneehöhe: **7.** 420 cm, **14.** 430 cm, **21.** 410 cm, **28.** 480 cm. — Schneegrenze: **7.** 700 m, **14.** 900 m, **21.** 1000 m, **28.** 800 m. — **St. Gotthard.** Neuschnee: **6.** 5 cm, **8.** 20 cm, **21.** 8 cm, **23.** 12 cm, **26.** 3 cm, **27.** 7 cm, **28.** 5 cm, **29.** 7 cm, **30.** 20 cm, **31.** 5 cm. — Schneehöhe: **7.** 170 cm, **14.** 175 cm, **21.** 170 cm, **28.** 175 cm.

April

Bern. Alpen klar: **7.** II, **8.** II, **12.** I. — Alpen hell: **12.** II. — Alpen sichtbar: **9.** II, **11.** I, II. — Alpen schwach sichtbar: **1.** I, **9.** I, **10.** I, II, **11.** II, **14.** I, **20.** II, **21.** I. — Gewitter: **18.** (⛈) E 16^{45}–18^{h}, **19.** (⛈) Aaretal 15^{15}–16^{h}, (T), **20.** (⛈) S 13–14^{h}. — Neuschnee: **1.** 4 cm. — **Neuchâtel.** Dunst: **15.** Vm., **16.** Vm., **17.** bis 9^{30}h. Gewitter: **18.** T 14^{10}h, **19.** (T) W–N 10^{h}, **20.** T 10^{45}–11^{50}h. — Schneehöhe: **2.** 3 cm. — **Altdorf.** Föhn: **10.** 9^{20}h bis **13.** Abd., **30.** 11^{35}–00^{h}. — Gewitter: **16.** ≺ NW 20^{30}h, **21.** (T) 18^{50}h. — **Genf.** Schneehöhe: **2.** 2 cm. — Gewitter: **18.** (⛈) S 16^{40}h, **19.** ⛈ 16^{30}h, **20.** ⛈ 12^{40}h, **30.** ⛈ 18^{30}h. — **Zürich.** Alpen hell: **7.** Vm., **30.** Nm. — Alpen sichtbar: **7.** Nm., **8.** Nm., **12.** d. g. T. — Alpen schwach sichtbar: **8.** Vm., **9.** Vm., **11.** d. g. T., **13.** d. g. T., **29.** Nm. Dunst: **4.** Vm., **5.** Vm., **15.** d. g. T., **16.** d. g. T., **18** d. g. T., **19.** Vm., **29.** Vm. — Taldunst: **3.** Vm. — Gewitter: **19.** (⛈) NW 14^{30}h, **20.** (⛈) WNW 14^{25}–16^{h}, ⛈ ▲ 15^{20}h nach SE ziehend. — Schneehöhe: **2.** 25 cm, **3.** 9 cm. — **Chasseron.** Nebelmeer (Mittelland): **3.** II 900, **4.** I 1300. — Gewitter: **15.** (⛈) W 18^{h}, ≺ E 22^{h}–n, **16.** (⛈) W 15^{h}, ≺ NE 21^{h}–n, **18.** (⛈) NW 12^{h}, **19.** Nah-⛈ 13–14^{h}, **20.** ⛈ 12–14^{30}h, ▲ 12^{45}–12^{30}h, **27.** ≺ E III, **30.** (⛈) SW 20^{h}. — **Bever.** Neuschnee: **2.** 19,3 cm, **3.** 2 cm. — **Sitten.** Dunst: **4.** I, **28.** I. — Gewitter: **1.** (⛈) III, **20.** (⛈) 15^{h}. — Schneegrenze: **2.** 800 m, **25.** 1700 m. — **Lugano.** Nordföhn: **1.** 9–15^{30}h. — Gewitter: **1.** ⛈ 18^{20}–18^{30}h, ⛈ 21^{35}h, **16.** ⛈ 15–16^{h}, **19.** (⛈) 14^{h}, **20.** T 13^{15} und 13^{30}h, (⛈) 14^{30}h. — **Basel.** Dunst: **2.** II, **3.** I, II, **4.** I, **5.** I, **7.** I, **8.** I, **15.** I, **16.** I, **17.** I, **18.** I, **19.** I, **21.** I, **25.** I, **26.** I, **28.** II, **29.** I. — Gewitter: **1.** ≺ 2^{30}h, **14.** T 15^{50}h, **17.** T N 16^{h}, **18.** T NE 16^{35}h, T N 17^{20}h, **19.** ⛈ 11^{55}–12^{50}h, T NW 13^{03}h, ⛈ N 13^{20}–14^{20}h, **20.** T 11^{40}–12^{50}h, T 13^{20}–14^{10}h, ⛈ ▲ 13^{35}–13^{45}h, ≺ N 22^{h}. — Schneehöhe: **2.** 24 cm. — **Säntis.** Gewitter:

14. ≺ N u. E 21^{30h}, **17.** (⩙) N 17^{25h}, **18.** Nah-⩙ N 14^{40h}, **19.** (⩙) N 14^{55}–15^{55h}, **20.** Nah-⩙ W 16^{30}–17^{10h}, **27.** (⩙) S 19^{45h}–n. — Neuschnee: **2.** 8 cm, **3.** 5 cm, **4.** 1 cm, **7.** 4 cm, **23.** 2 cm, **24.** 6 cm. — Schneehöhe: **4.** 440 cm, **11.** 420 cm, **18.** 380 cm, **25.** 370 cm. — Schneegrenze: **4.** Bodensee, **11.** 1300 m, **18.** 1600 m, **25.** 1200 m. — **St. Gotthard.** Neblig: **22.** II. — Nebelmeer: **5.** I, S. — Neuschnee: **1.** 15 cm, **2.** 20 cm, **23.** 15 cm, **24.** 22 cm, **25.** 12 cm. — Schneehöhe: **4.** 220 cm, **11.** 180 cm, **18.** 140 cm, **25.** 180 cm.

Mai

Bern. Alpen klar: **8.** I, II. — Alpen hell: **5.** I, II, **6.** I, **14.** I, **15.** II, **18.** I, **21.** I. — Alpen sichtbar: **4.** I, **6.** II, **7.** I, II, **13.** I, **15.** I, **18.** II, **31.** I. — Alpen schwach sichtbar: **3.** II, **10.** II, **11.** I, II, **13.** II, **14.** II, **16.** I, **19.** I, **23.** II, **24.** I, II, **28.** II, **29.** II, **30.** II, **31.** II. — Gewitter: **1.** ⩙ 17^{55}–18^{03h}, ▲ 18^{09}–18^{19h}, **4.** ⩙ 20^{57}–21^{18h}, **9.** ⩙ 21^{54}–23^{15h}, **11.** ⩙ 14–15^{15h}. — **Neuchâtel.** Dunst: **18.** n–10^{30h}. — Joran: **24.** 17–23^{h}. Gewitter: **1.** (T) 19^{h}, ⩙ 23–24^{h}, **4.** (⩙) 18^{30} bis 21^{h}, **5.** ⩙ 13–13^{45h}, ▲ 13^{25}–13^{45h}, **9.** ⊤ ab 21^{15h}. — **Altdorf.** Föhn: **1.** 11^{h}–n, **2.** 20^{h}–n, **13.** 17^{h}– **14.** 13^{30h}, **6.** 9^{50}–22^{30h}, **8.** Nm., **31.** 9^{h}–n. — Gewitter: **20.** (T) 2^{15h}, ⩙ 4^{30}–5^{25h}. — **Genf.** Gewitter: **1.** ⩙ abd., **2.** ⩙ 19^{h}. — **Zürich.** Alpen klar: **3.** Nm., **6.** Nm., **7.** Nm. — Alpen hell: **5.** Vm., **6.** Vm., **8.** d. g. T., **10.** Vm., **11.** Vm., **14.** Nm., **18.** Nm. — Alpen sichtbar: **9.** Nm., **10.** Nm., **13.** Nm., **14.** Vm. — Alpen schwach sichtbar: **1.** d. g. T., **2.** Nm., **15.** Vm., **18.** Vm., **25.** Nm., **29.** Nm., **30.** Nm., **31.** Vm. — Föhnmauer: **1.** Vm., **4.** Vm., **6.** Nm. — Dunst: **15.** Vm., **16.** Vm., **26.** d. g. T., **27.** Nm., **28.** Nm., **29.** Vm. — Taldunst: **24.** — Gewitter: **5.** (T) S 15^{45h}, **8.** ≺ Albis 17^{45h}, ≺ WNW 23^{h}, **10.** Nah-⩙ Enge 0^{50}–1^{30h}, **11.** (⩙) SSW 16^{15h}, **12.** ⊤ SW 14^{30h}, **19.** (⩙) SSE 14^{05h}, ⊤ W 15^{45h}, ⩙ 16–16^{17h}, (⩙) S 16^{40h}, **26.** ⩙ 16^{25}–16^{35h}, ⊤ S 16^{35}–17^{45h}, **31.** (⩙) Albisrieden 16^{22}–16^{28h}, ⩙ 16^{19}–16^{45h}. — **Chasseron.** Nebelmeer (Mittelland): **26.** I (1400). — Gewitter: **1.** (⩙) E 17^{h}, (⩙) E 20^{h}, ⩙ 21–22^{h}, ▲ 21^{15}–21^{30h}, **4.** ≺ E 20^{h}, (⩙) N 18^{h}, **5.** ⩙ ▲ 12–12^{30h} (⩙) E 13–13^{30h}, **8.** (⩙) W 16^{30h}, (⩙) 20^{30h}–n, **9.** ⩙ 20–20^{30h}, **10.** (⩙) N 15^{50} bis 16^{10h}, (⩙) W 16^{10h}, ▲ 16^{20}–17 h, ≺ SW 21^{h}–n, **11.** (⩙) SW-NW 11–11^{20h}, Elmsfeuer 11^{20}–12^{h} und 12^{50}–14^{50h}, **30.** ≺ E 21^{h} bis nachts. — **Bever.** Schneegrenze: **5.** 1800 m. — **Sitten.** Dunst: **16.** I, **17.** I, **18.** I. — **Lugano.** Nordföhn: **12.** 5^{h} bis **13.** 23^{30h}, **17.** 9–21^{h}, **25.** 10–22^{h}, **26.** 16–22^{h}. — Gewitter: **4.** ⩙ 19^{30}–21^{30h}, **5.** ⩙ 12^{15}–13^{30h}, ⩙ 16^{h}, ⩙ 18^{20h}, **10.** ⩙ n (9./10.), **11.** ⩙ 12^{10}–13^{h}, **20.** ≺ S 19–20^{h}, (⩙) S 21^{30}, **30.** ⩙ 20h, **31.** ⩙ 21^{15h}. — **Basel.** Dunst: **10.** I, **17.** I, **26.** I. — Gewitter: **4.** (⩙) 19^{45}–20^{30h}, **8.** (⩙) N 20^{10h}, **9.** ⊤ 23^{30h}, **11.** ⩙ 12^{50}–13^{30h}, **19.** ⩙ 18^{05h}, ⩙ 17^{13h}, **31.** ⊤ 11^{30h}, ⩙ 11^{30h}. — **Säntis.** Föhnmauer: **1.** 10^{30h}, **2.** I, **3.** 10^{30h}, **5.** I, **6.** 10^{30h}, **31.** 10^{30h}. — Gewitter: **1.** ≺ NW III, **5.** (⩙) N 16–17^{h}, **9.** ≺ WSW und SSW 21^{30h}, **10.** ⊤ W 16–16^{05h}, (⩙) SW 19^{30}–19^{50h}, **11.** (⩙) N 16^{05}–16^{10h}, **19.** Nah-⩙ E 20^{40}–21^{30h}, **24.** Nah-⩙ E 18^{55}–19^{05h}. — Neuschnee: **12.** 8 cm, **13.** 12 cm, **14.** 1 cm, **20.** 8 cm, **24.** 1 cm, **25.** 19 cm, **26.** 2 cm, **27.** 15 cm, **28.** 4 cm, **29.** 1 cm. — Schneehöhe: **2.** 300 cm, **9.** 260 cm, **16.** 230 cm, **23.** 200 cm, **30.** 210 cm. — Schneegrenze: **2.** 1800 m, **9.** 1900 m, **16.** 2000 m, **23.** 2000 m, **30.** 2100 m. — **St. Gotthard.** Neblig: **12.** I. — Neuschnee: **5.** 30 cm, **7.** 15 cm, **12.** 10 cm. — Schneehöhe: **2.** 125 cm, **9.** 140 cm, **16.** 110 cm, **23.** 70 cm, **30.** 50 cm.

Juni

Bern. Alpen klar: **15.** I, **30.** II. — Alpen hell: **12.** I, **15.** II, **17.** II, **22.** I, II, **26.** I, II, **30.** I. — Alpen sichtbar: **6.** II, **7.** I, **12.** II, **18.** II, **23.** I, **24.** II, **25.** II. — Alpen schwach sichtbar: **2.** I, **4.** I, II, **8.** I, II, **11.** I, II, **13.** I, II, **14.** I, II, **16.** I, **18.** I, **23.** II, **24.** I, **25.** I. — Gewitter: **1.** ⩙ 16^{15}–16^{45h} (⩙) 21^{44}–22^{20h}, ⩙ 22^{31}–22^{54h}, ≺ E 22^{58}–23^{h}, **2.** (⩙) E 0^{30}–1^{10h}, **6.** (⩙) NE 12^{40}–13^{h}, (⩙) W 19^{35}–19^{55h}, (⩙) 19^{59}–20^{05h}, ⩙ 20^{19}–21^{10h}, **7.** (⩙) N und NE 5^{05}–5^{20h}, ▲ 15^{51}–15^{52h}, **13.** (⩙) von NE gegen E 14^{50}–16^{04h}, ⩙ 15^{05}–15^{40h}, **15.** (⩙) 18^{40}–19^{04h}, (⩙) 20^{13}–20^{23h}, ⩙ 20^{25h}, **17.** (⩙) NW 17^{45}–18^{04h}, **18.** (⩙) 13^{56}–14^{13h}, Nah-⩙ 14^{14}–14^{37h} nach E verzogen. — **Neuchâtel.** Joran: **9.** 18–20^{45h}, **10.** 20–21^{45h}, **11.** 19^{30}–21^{h}, **13.** 14^{30}–16^{h}, **15.** 18–20^{15h}, **22.** 18–22^{h}, **24.** 15–21^{h}. — Gewitter: **1.** ⊤ W ab 21^{15h}, **6.** ⩙ 19^{55}–22^{h}, **13.** ⩙ 5–6^{h}, (T) 14–16^{h}, **15.** ⩙ 18^{15}–18^{45h}, ⩙ 19^{50}–20^{15h}, **17.** (T) Abd., **18.** ⊤ 13^{25h}. — **Altdorf.** Föhn: **1.** 10^{h}–n. — Gewitter: **6.** (T) 15^{15h}, **12.** ⊤ S 18^{40h}, **13.** ⊤ E 18^{05h}, **15.** ⩙ 20^{15h}, **18.** ⩙ ⊤ 16^{30}–20^{h}, **23.** ⊤ NW 10^{45h}. — **Genf.** Gewitter: **6.** ⩙ Abd., **12.** ⩙ ab 21^{h}, **15.** ⩙ 18^{42} bis 18^{45h}, **16.** ⩙ n (16./17.), **17.** ⩙ 15^{30h}, **18.** (⩙) N 12^{05}–13^{15h}. — **Zürich.** Alpen hell: **1.** Nm., **15.** d. g. T., **17.** Vm., **18.** d. g. T., **29.** Nm. — Alpen sichtbar: **6.** d. g. T., **22.** Vm., **26.** Vm. — Alpen schwach sichtbar: **1.** Vm., **5.** d. g. T., **11.** Nm., **13.** Vm., **17.** Nm., **25.** d. g. T., **29.** Vm. — Föhnmauer: **1.** Nm., **17.** Vm. — Dunst: **9.** d. g. T., **10.** d. g. T., **17.** Vm. — Taunebel: **17.** Vm. — Gewitter: **1.** ⩙ 18^{45}–19^{h}, **6.** (⩙) ESE 13^{30h}, ⩙ 14^{12} bis 14^{25h} von W nach E, ⩙ 21^{20}–21^{35h} von W nach E, **7.** ⩙ 6^{25} bis 6^{45h} von W nach E, ⩙ 13^{30}–14^{h}, ⩙ 14^{25}–14^{30h}, **13.** ⊤ W 15^{40h}, Nah-⩙ Enge 17^{30}–19^{10h}, **15.** ⩙ 20^{10h}–20^{50h}, **17.** ⩙ 19^{10}–19^{40h}, ⩙ 23^{50h}. — **Chasseron.** Nebelmeer (Mittelland): **26.** I 1600 m. — Gewitter: **1.** ≺ W 8^{15}–8^{30h}, (⩙) W und E 21^{h}–n, **4.** ≺ ESE 22^{h}–n, **6.** ⩙ 19–19^{30h}, (⩙) 19^{30h}–20^{30h}, **12.** (⩙) SW 16^{h}, ≺ 9^{h}–n, **13.** (⩙) SE 4–7^{h}, ⩙ 12–12^{30h}, (⩙) E 12^{30} bis 14^{h}, ▲ 12^{30}–12^{35h}, **15.** ⩙ ▲ 16^{15}–16^{30h}, ⩙ ▲ 18–18^{15h}, ⩙ 20–20^{30h}, **17.** (⩙) NW 6–6^{30h}, (⩙) 21^{h}–n, **18.** ⩙ 13^{15}–13^{30h}, **21.** ≺ E 0–3^{h}, **29.** ≺ E 24^{h}. — **Sitten.** Dunst: **27.** I, **28.** I, **29.** I. — Gewitter: **6.** (⩙) 20^{10}–21^{30h}, ⩙ 21^{30h}, **13.** (⩙) 21–21^{30h}, **17.** (⩙) Nm. — Schneegrenze: **8.** 2000 m. — **Lugano.** Nordföhn: **20.** 20^{h}– **21.** 1^{30h}, **26.** 16–18h. — Gewitter: **9.** (⩙) 21^{30h}, **12.** ⩙ n (12./13.), **13.** ⩙ 5–7^{30h}, ⩙ 17^{30}–18^{30h}, **15.** ⩙ 16^{h}, ⩙ 18^{h}, ⩙ 19^{h}, **17.** ⩙ 13^{15h}, ⩙ 19^{45h}, ⩙ 22^{h}, **18.** ⩙ 13^{45h}, ⩙ 18^{40h}, **19.** (⩙) 18–20^{h}, ⩙ 21^{30h}, **20.** (⩙) 20^{h}. — **Basel.** Abendrot: **25.**, **30.** — Gewitter: **1.** (⩙) W 20^{30h}–21^{h}, ⊤ bis 23^{h}, **6.** Nah-⩙ N 13^{23} bis 13^{34h}, Nah-⩙ S 20^{30}–20^{50h}, ⩙ 21–22^{05h}, ▲ 21^{35h}, **7.** ⩙ aus WNW 5^{10}–5^{40h}, **13.** ⊤ E 16^{35}–16^{47h}, **15.** ⩙ 15^{58h}, ⩙ 19^{20}–19^{30h}. — **Säntis.** Morgenrot: **7.** — Föhnmauer: **1.** I, **2.** I. — Gewitter: **1.** (⩙) N 19^{50}–20^{20h}, ≺ NE und W 21^{30h}, **6.** (⩙) SE 16^{45}–16^{55h}, **7.** ⊤ S 14^{35h}, ⊤ E 15^{h}, **12.** ≺ SW 21^{30h}, **13.** ⊤ N 16^{15}–16^{45h}, (⩙) N 18–18^{50h}, (⩙) N und E 19–20^{h}, **15.** (⩙) N 18^{40}–19^{10h}, (⩙) E 19–19^{40h}, ▲ 18^{55}–19^{h}, ⩙ 20^{30}–22^{10h}, **17.** (⩙) NE 20^{30}–21^{30h}, ≺ N, NE und E 21^{30h}. — Elmsfeuer: **18.** 13^{15h}. — Neuschnee: **8.** 7 cm. — Schneehöhe: **6.** 140 cm, **13.** 80 cm, **20.** 30 cm. — Schneegrenze: **6.** 2200 m, **20.** 2300 m. — **St. Gotthard:** Neblig: **1.** I, **2.** d. g. T., **23.** III. — Gewitter: **18.** ⩙ 16^{10}–17^{h}.

Juli

Bern. Alpen klar: **1.** II. — Alpen hell: **1.** I, **18.** I. — Alpen sichtbar: **20.** II, **22.** I. — Alpen schwach sichtbar: **2.** I, II, **3.** II, **14.** II, **15.** I, **18.** II, **19.** I, II, **20.** I, **23.** I. — Gewitter: **2.** ≺ im SW-W-NW-N 20^{35}–24^{h}, (⩙) 20–20^{30h}, **3.** ≺ 0–2^{30h}, (⩙) 20–21^{h}, ≺ 19^{40}–22^{h}, **7.** ⩙ 19^{02} bis 19^{35h}, **8.** (⩙) 13^{45h}, ≺ 21^{20}–24^{h}, ⩙ 21^{20h}, **9.** ≺ im N-NE 0^{25} bis 0^{3h}, (⩙) über Jura 14^{30h}, (⩙) 14^{45}–15^{25h}, ⩙ 15^{34}–16^{21h}, ⊤ 19^{02h}, **11.** ≺ im SW 21^{30h}, **12.** ⩙ 15^{39h}, **22.** (⩙) 17^{02h}, ≺ 19^{40h} n, (⩙) 19^{45}–19^{48h}, ≺ im N-NW 19^{48}–21^{15h}, **28.** (⩙) 4^{58}–5^{05h}, ⩙ 5^{56}–6^{45h}. — **Neuchâtel.** Joran: **7.** 13^{15}–19^{30h}, **8.** 12^{30}–21^{45h}, **12.** 13^{40}–16^{h}, **13.** 17–22^{45h}, **14.** 15^{45}–21^{30h}, **19.** 17–21^{30h}, **23.** 19 bis 21^{45h}, **27.** 18–21^{30h}, **28.** 15^{30}–21^{30h}, **29.** 15^{15}–21^{45h}, **30.** 18^{30}–22^{45h}, **31.** 19–22^{45h}. — Gewitter: **2.** (⩙) 20^{30h}, ⩙ 21^{45}–22^{30h}, **3.** ⊤ 16^{30}–20^{15h}, ⊤ 20^{25h}, **8.** (⩙) Jura 11–14^{h}, ⊤ 11^{45}–13^{45h}, ≺ ⊤ 21–21^{15h}, **22.** (⩙) Jura 18–19^{h}, ⩙ 20–21^{h}, **28.** ⊤ 6–6^{15h}, ⊤ 10^{h}. — **Altdorf.** Dunst: **26.** I. — Neblig: **24.** II, **25.** I. — Gewitter: **2.** ≺ im NW III, **3.** ⩙ 17^{10h}, **7.** ⩙ 17^{20h}, **8.** ⩙ ▲ 15^{h} von S nach N, **9.** ⩙ 3^{h}, **11.** ⩙ 19^{15h}, **14.** ⊤ 20^{10h} im W, **22.** ⩙ 17^{50h}. — **Genf.** Gewitter: **2.** ⩙ 19^{45}–20^{h}. — **Zürich.** Alpen sichtbar: **18.** Nm. — Alpen schwach sichtbar: **1.** Vm., **2.** Vm., **3.** Vm., **8.** d. g. T., **20.** d. g. T., **21.** Nm. — Dunst: **10.** I, **17.** I, **30.** I. — Taldunst: **17.** früh. — Gewitter: **3.** ⊤ NW 5–5^{50h}, ⩙ SE 17^{15h}, **7.** ⊤ E 16^{55h}, ⊤ 17^{45h}, (⩙) SSE-SSW 20–20^{40h}, **8.** (⩙) S 19^{20}–19^{30h}, **9.** ⩙ 2^{55}–3^{15h}, ⊤ E 15^{15h}, **12.** ⩙ 13^{40h}, ⩙ 14^{50}–15^{h}, ⩙ 15^{50}–16^{10h}, **28.** (T) W 6–7^{h}. — **Chasseron.** Gewitter: **1.** ≺ 23–24^{h}, **2.** ≺ 0–2^{h}, Nah-⩙ W-N 15^{30}–17^{30h}, (⩙) 21–22^{h}, ⩙ 22–23^{h}, **3.** (⩙) W 16 bis 16^{30h}, (⩙) N 17–18^{h}, (⩙) N 20–21^{h}, ≺ 22–24^{h}, **6.** ≺ E 21 bis n, **8.** 11^{30}–13^{h}, ▲ 12–12^{45h}, Nah-⩙ E 20–21^{h}, **9.** (⩙) SE 16^{15}–16^{30h}, **11.** (⩙) SE 18^{30}–19^{h}, **21.** Nah-⩙ W 15^{30}–16^{30h}, **22.** ⩙ 19^{40}–20^{15h}. — **Bever:** Schneegrenze: **28.** 2700 m. — **Sitten.** Dunst: **5.** I, **7.** I, **24.** I, **25.** I, **26.** I, **27.** I. — Gewitter: **2.** (⩙) 18^{30h}, **3.** ⊤ 15^{30h}, **6.** (⩙) III, **8.** (⩙) III, **9.** (⩙) I. — **Lugano.** Gewitter: **7.** ≺ NW 21^{40h}, **8.** (≺) 20–30^{30h}, **9.** 18^{30h}, **10.** ⊤ 16^{30}–18^{h}, (⩙) 20^{30h}, **12.** (⩙) S 14^{30}–15^{30h}, **14.** ⩙ früh, ⩙ 17^{45h}, ⩙ 21^{40h}, **15.** ⩙ 15^{30h}, **24.** ⩙ 18^{35h}. — Nordföhn: **8.** III. — **Basel.** Dunst: **5.** I, **8.** I, **11.** I, **20.** I. — Gewitter: **2.** ≺ 21^{35h}, ⊤ 22^{h}, ⩙ 22^{45h}, **3.** ≺ NW 20^{30}–21^{30h}, **7.** ⊤ SW 20^{30}–21^{h}, **8.** ⊤ SSW-WSW 13^{07}–13^{38h}, ⩙ 13^{52h}, ⊤ 13^{52}–14^{35h}, ⊤ 20–20^{30h}, **9.** ⩙ 0^{20}–0^{50h}, ⊤ 15^{40h}, ⩙ 15^{50}–16^{20h}, **28.** ⊤ 5^{15h}. — **Säntis.** Gewitter: **2.** ≺ NW 21–23^{h}, **3.** (⩙) SE 16^{30h}, (⩙) SW-S 21^{30h}, **5.** (⩙) SE 13^{30h}, ⩙ 19^{15}–19^{30h}, Nah-⩙ 19^{45} bis 21^{h}, **7.** Nah-⩙ 19^{05}–19^{45h}, ⩙ 19^{45}–19^{50h}, (⩙) 20^{15}–20^{45h}, **8.** (⩙) SE 10^{30h}, Nah-⩙ 17–17^{25h}, (⩙) 17^{15}–18^{h}, (⩙) SE 21^{30h}, **9.** ⩙ 14^{20h}, **12.** ⩙ ▲ 16^{25}–16^{35h}, **14.** ⩙ 22–22^{30h}, **15.** ⩙ 15^{25} bis 16^{45h}, **17.** (⩙) SE 21^{45}–22^{h}, **20.** (⩙) S 23^{h}– **21.** 3^{h}, **22.** (⩙) S 16^{30h}. — **St. Gotthard.** Gewitter: **3.** ⩙ ▲ 17^{15}–17^{30h}, **7.** ⩙ 21^{15h}–n, **8.** ⩙ 18^{35}–18^{45h}, ≺ S 21^{h}, **12.** ⩙ ⊤ ≺ 22^{50}–23^{20h}.

August

Bern. Alpen klar: 11. I, II, 12. I, 14. I, 18. I, 28. II, 29. II. — Alpen hell: 5. I, 6. I, 9. I, 13. I, 28. I, 29. I, 30. I. — Alpen sichtbar: 2. I, 9. II, 12. II, 14. II, 19. II, 22. I. — Alpen schwach sichtbar: 5. II, 6. II, 13. II, 15. I, II, 17. I, II, 18. II, 20. II, 23. II. — Gewitter: 6. (⍂) Voralpen 15–16h, (⍂) 17^{37}–17^{50}h, ⍂ 17^{55}–18^{22}h von SW nach NE, ⍂ 20^{08}h, ⍂ 20^{30}h, 15. ⍂ 19^{54}h, ⍂ 20^{03}–21^{28}h, (⍂) 21^{40}h, 30. (⍂) 19–19^{14}h, ⍂ 19^{34}–20^{32}h, (⍂) NE 20^{40}h. — **Neuchâtel:** Joran: 3. 17^{30}–Abd., 4. 19^{30}–21^{15}h, 9. 14–16h, 22. 18^{30}–20^{40}h. — Gewitter: 2. ⊤ Nm., 6. ⍂ 19–20^{30}h, 9. ⍂ 15^{45}–17h, 15. ⊤ 16^{30}–22h, 16. ⊤ 16–19^{30}h, ⍂ 19^{30}–20^{15}h, 20. ⊤ 12^{45}–13h, 30. ⍂ 15^{20}–22h. — **Altdorf.** Neblig: 25. I. — Föhn: 30. 3^{30}h bis 15h. — Gewitter: 9. ⍂ 17^{45}h, 15. ⍂ 17^{05}–17^{25}h. — **Genf.** Gewitter: 2. ⍂ 21^{30}h–n, 6. ⍂ 17h, 9. 15^{15}h, 15. ⊤ 17^{33}h, ⍂ 19^{15}–19^{20}h, 30. ⍂ 17^{15}h. — **Zürich.** Alpen hell: 11. d.g.T., 29. Nm. — Alpen sichtbar: 6. Nm., 12. d.g.T., 13. d.g.T., 14. d.g.T., 28. Vm., 30. d.g.T. — Alpen schwach sichtbar: 5. Vm., 6. Vm., 28. Nm., 29. Vm. — Dunst: 1. d.g.T., 5. Vm., 15. Vm., 18. d.g.T., 23. Vm., 26. d.g.T., 27. d.g.T., 28. d.g.T. — Talneblig: 26. Vm., 30. Vm. — Nebel (Sicht): 22. n–8h (200 m), 26. n–10h (50 m). — Talnebel: 27. früh. — Gewitter: 2. ⍂ 18^{45}h, 3. ⍂ 19–19^{30}h, 15. ⍂ 1h, Nah-⍂ 20–21^{45}h, 16. Nah-⍂ 1h, (⍂) S 19^{25} bis 19^{55}h, Nah-⍂ 21–21^{20}h, 20. ⊀ Richtung Baden 18^{45}h, 30. ⍂ 21h. — **Chasseron.** Nebelmeer (Mittelland): 22. I (1100), 25. I (1100), 26. I (900). — Gewitter: 2. (⍂) W 11–11^{15}h, 3. (⍂) E 14–14^{30}h, 6. ⍂ 18–19h, ⊀ SE 20^{30}–n, 9. ⍂ 15–16h, (⍂) 17^{20}–20^{30}h, 13. (⍂) NW 17^{30}–18h, 15. ⍂ 16^{15}–16^{30}h, (⍂) 16^{30}–17h, ⍂ 20^{15}–20^{30}h, ⊀ 20^{30}h–n, 16. ⍂ ▲ 19^{15}–19^{45}h, 30. (⍂) 15–16h, ⍂ 18^{15}–18^{45}h, ⍂ N 19^{30}–20^{30}h. — **Bever.** Schneegrenze: 20. 2400 m. — **Sitten.** Dunst: 11. I, 12. I, 13. I, 26. I. — Gewitter: 2. (⍂) III, 15. Nah-⍂ 19 bis 19^{30}h, 16. (⍂) III. — **Lugano.** Gewitter: 6. ⊤ 13^{30}h, ⍂ 14^{30}h, 9. ⍂ 14^{45}h, ⍂ 19h, 16. (⍂) 15h, ⍂ 20h, 20. ⍂ 14^{30}h, 21. ⊀ ⊤ 15–16h, 31. ⍂ 0–1h. — Nordföhn: 17. 16^{30}–18. 4h. — **Basel.** Gewitter: 6. ⊤ SW-W 15^{38}–15^{50}h, ⍂ SW 19^{15}–19^{50}h, 15. ⍂ 19^{40}h, 20. ⍂ WSW nach ENE 14^{03}–14^{30}h, 30. ⊤ 6^{20}h, ⍂ 16^{10}h, Nah-⍂ N 18–19^{35}h. — **Säntis.** Föhnmauer: 19. III, 30. II. — Gewitter: 1. (⍂) SW, S, E 17–18^{30}h, ⊀ SE 21^{30}h, 2. ⊀ SW 21^{30}h, 3. (⍂) S 16^{40}–17^{45}h, Nah-⍂ 18^{35}–19^{30}h, ⍂ 20–20^{10}h, (⍂) NW 20^{10}–20^{30}h, ▲ 18^{35}–18^{50}h, 5. ⊀ E 21^{30}h, 6. Nah-⍂ SW 14^{10}–14^{30}h, Nah-⍂ N, E 14^{15}–15^{20}h, 14. (⍂) NE 15^{10}–15^{25}h, 15. (⍂) W 17–17^{30}h, ▲ 17^{35}–17^{45}h, Nah-⍂ S, E, N 17^{30}–18^{10}h, (⍂) N 18^{10}–19h, 16. Nah-⍂ S, E 23^{0}–33^{0}h, 21. ⍂ 13^{45}h. — Neuschnee: 22. 7 cm. — **St. Gotthard.** Gewitter: 3. ⍂ ▲ 13^{20}–14^{10}h, 6. ⍂ 14–14^{10}h, 9. ⍂ 18^{40}h, 15. ⍂ 15^{35}–15^{55}h, 16. ⍂ 24^{5}–3h, 20. (⍂) S 12h.

September

Bern. Alpen hell: 26. I, 28. II, 29. II, 30. I. — Alpen sichtbar: 21. II, 26. II, 28. I, 30. II. — Alpen schwach sichtbar: 3. I, 4. II, 5. I, II, 14. I, 23. I. — Gewitter: 8. (⍂) 13h, ⍂ 13^{00}–13^{14}h, ▲ 13^{25}–13^{27}h, 12. ▲ 17^{10}–17^{12}h. — **Neuchâtel.** Joran: 1. 18^{15}–22^{15}h. — Gewitter: 8. ⊤ 12^{15}–12^{45}h, 29. ⍂ 3^{15}h, ⊤ 3^{30}–4^{45}h. — **Altdorf.** Neblig: 16. I, 24. I. — Föhn: 25. 16–20h, 30. Vm.–Nm. — Schneegrenze: 9. 1100 m, 12. 1000 m, 20. 1100 m, 28. 1200 m. — **Genf.** Gewitter: 10. ⍂ 19h, 14. ⍂ abd., 28. ⍂ 23h. — **Zürich.** Alpen klar: 28. Nm., 29. Nm. — Alpen hell: 26. Nm., 28. Vm., 30. Vm. — Alpen sichtbar: 30. Nm. — Alpen schwach sichtbar: 21. Nm. — Dunst: 1. I, II, 2. I, 10. d.g.T., 14. Vm., 15. d.g.T., 16. d.g.T., 17. Vm., 23. I, 25. I. — Taldunst: 3. I, 5. I. — Talneblig: 20. früh, 23. Vm., 24. Vm., 30. d.g.T. — Nebel (Sicht): 21. früh (?). Talnebel: 7. früh. — Hochnebel: 8. 5^{30}–7^{45}h, 16. d.g.T., 17. früh, 21. 7–8^{30}h. — Gewitter: 8. ⍂ 15–15^{15}h, 19. Nah-⍂ 17^{05}–17^{30}h von W nach E. — **Chasseron.** Nebelmeer (Mittelland): 7. I (1100), 10. I (1300), 11. I (1100), 14. I (1100), 15. I (1100), 16. I 1200, 17. I (1100). — Neuschnee: 10. 1 cm, 19. 1 cm, 28. 4 cm, 29. 6 cm. — Schneehöhe: 20. 1 cm, 29. 6 cm. — Gewitter: 8. Nah-⍂ SE 11^{45}–12h, 10. ⊀ SE 20^{30}h–n, 14. (⍂) NE 15–15^{15}h (⍂) 18–19h, 17. ⊀ NNE 20h, 29. Nah-⍂ S 4–4^{30}h, 30. ⊀ N 21h. — **Bever.** Neuschnee: 9. 2 cm. — Schneegrenze: 19. 2000 m, 26. 1800 m. — **Sitten.** Hochnebel: 11. I, 12. I, 19. I, 29. I. — Schneegrenze: 9. 1600 m, 10. 1800 m, 12. 1800 m, 26. 2400 m, 27. 1400 m. — **Lugano.** Gewitter: 5. ⍂ 15–16^{30}h, ⍂ 22h, 16. ⍂ 2–3h. — Nordföhn: 7. 12^{30}–21^{30}h, 8. 19^{30}– 9. 14^{45}h, 12. 15^{30}–17^{30}h, 19. 12h– 20. 2^{30}h, 22. 22h– 23. 3h. — **Basel.** Dunst: 11. Nm., 15. II. — Gewitter: 8. ⍂ 12^{40}–13^{05}h, 17. ⍂ 16^{33}–16^{50}h, ⍂ 17^{25}–17^{40}h, ⊀ 20–22h, 19. ⊤ 15^{40}h. — **Säntis.** Föhnmauer: 16. I, 30. II. — Gewitter: 27. Nah-⍂ SE 12^{45}h. — Elmsfeuer: 12. III. — Neuschnee: 6. 1 cm, 7. 13 cm, 8. 5 cm, 9. 18 cm, 10. 10 cm, 11. 13 cm, 12. 27 cm, 13. 14 cm, 18. 5 cm, 19. 3 cm, 20. 18 cm, 23. 13 cm, 26. 6 cm, 27. 3 cm. — Schneehöhe: 12. 55 cm, 19. 25 cm, 26. 35 cm. — Schneegrenze: 12. 1700 m, 19. 1800 m, 26. 2000 m. — **St. Gotthard.** Neblig: 11. Vm. — Gewitter: 6. ▲ 15^{10} bis 15^{20}h. — Neuschnee: 9. 5 cm, 10. 5 cm, 12. 10 cm, 20. 3 cm, 27. 7 cm, 30. 5 cm.

Oktober

Bern. Alpen klar: 27. II, 28. I, 29. I. — Alpen hell: 2. II, 14. I, 28. II. — Alpen sichtbar: 3. I, 22. II, 30. II. — Alpen schwach sichtbar: 1. II, 3. II, 4. II, 5. II, 6. II, 7. I, II, 9. II, 14. II, 24. III, 27. I, 30. I. — **Altdorf.** Neblig: 19. Vm.– 20. Vm., 25. abd. — Föhn: 20. 20h– 21. Vm. — **Genf.** Gewitter: 22. ⍂ 19^{04}h. — **Zürich.** Alpen klar: 14. Vm., 28. d.g.T. — Alpen hell: 3. Vm., 6. Vm., 29. Vm. — Alpen sichtbar: 6. Nm. — Alpen schwach sichtbar: 4. Vm. — Dunst: 11. Vm., 16. II, 18. II. — Taldunst: 28. d.g.T. — Talneblig: 6. Vm., 22. Vm., 25. d.g.T. — Nebel (Sicht): 12. Vm. (300 m), 17. 6^{30}–7^{10}h (800 m), 9–10^{30}h (900 m), 20. Vm. (60 m), 21. Vm. (700 m), 23. Vm. (700 m), 24. Vm. (60 m), 25. Vm. (700 m). — Talnebel: 9. Vm. (bis 550 m), 27. Vm. (bis 500 m). — Hochnebel: 16. Vm., 18. Vm., 19. Vm. — **Chasseron.** Nebelmeer (Mittelland): 9. I (900), 11. I (1500), 12. I (900), 16. I (800), 18. I 1000, 20. I (700), 22. I (1000), 27. I (700), 28. I (700). — Neuschnee: 2. 5 cm, 3. 1 cm, 14. 1 cm, 15. 2 cm, 31. 5 cm. — Gewitter: 22. Elmsfeuer 19–20h, 31. Elmsfeuer 20h–n. — **Bever.** Neuschnee: 2. 2 cm, 3. 5 cm, 14. 4 cm, 26. 3 cm. — Schneegrenze: 1. 2400 m. — **Sitten.** Hochnebel: 5. I, 6. I, 13. I, II, 14. I, 23. I, 25. II, III, 26. I, 31. III. — Schneegrenze: 3. 1500 m, 14. 1400 m, 15. 1500 m, 31. 1300 m. — **Lugano.** Gewitter: 2. ⍂ ▲ 3^{15}h 22. (⍂) 18^{40}h. Nordföhn: 2. 3–5^{30}h, 12^{30}–14h, 8. 9–21^{30}h, 11. 12–19^{30}h, 26. 15^{30}–19h, 31. 12^{30}–n. — **Basel.** Morgenrot: 29. — Gewitter: 22. ⊤ 16^{45}h. — **Säntis.** Föhnmauer: 1. I, 20. Vm., 21. I. — Gewitter: 8. Nah-⍂ 14^{05}–14^{10}h im ENE. — Neuschnee: 2. 28 cm, 4. 8 cm, 8. 5 cm, 9. 9 cm, 11. 15 cm, 12. 5 cm, 13. 12 cm, 15. 35 cm, 16. 8 cm, 17. 7 cm, 18. 8 cm, 20. 3 cm, 23. 7 cm, 26. 14 cm, 27. 22 cm, 30. 8 cm, 31. 17 cm. — Schneehöhe: 3. 60 cm, 10. 80 cm, 17. 130 cm, 24. 80 cm, 31. 110 cm. — Schneegrenze: 3. 1600 m, 10. 1600 m, 17. 1400 m, 24. 1800 m, 31. 1300 m. — **St. Gotthard.** Neblig: 12. I, 15. I, II. — Neuschnee: 1. 10 cm, 2. 12 cm, 3. 3 cm, 5. 18 cm, 14. 8 cm, 15. 5 cm. — Schneehöhe: 3. 25 cm, 17. 15 cm.

November

Bern. Alpen klar: 5. I, II, 21. II, 22. II, 29. II. — Alpen hell: 6. I, 13. I, 16. II, 21. I, 22. I, 27. I, 30. I, II. — Alpen sichtbar: 27. II. — Alpen schwach sichtbar: 26. II, 29. I. — Schneehöhe: 14. 6 cm, 21. 4 cm. — Neuschnee: 10. 2,5 cm, 14. 6 cm, 15. 6,5 cm, 17. 3 cm, 20. 2 cm, 21. 0,5 cm. — **Neuchâtel.** Schneehöhe: 9. 1 cm, 17. 15 cm, 21. 15 cm. — **Altdorf.** Föhn: 16. 19h– 17. Vm., 20. 10h– 21. 17^{30}h. — Schneehöhe: 9. 12 cm, 13. 3 cm, 14. 10 cm, 20. 3 cm. — Gewitter: 7. ⍂ 16^{10}h. — **Genf.** Schneehöhe: 9. 2 cm, 17. 18 cm, 21. 4 cm. — **Zürich.** Alpen klar: 26. Nm., 28. Vm., 30. Nm. — Alpen hell: 5. d.g.T., 6. Vm., 27. Vm., 28. Nm., 30. Vm. — Alpen sichtbar: 21. Vm., 22. Vm., 26. Vm. — Alpen schwach sichtbar: 1. Nm., 21. Nm., 29. Nm. — Föhnmauer: 21. Vm. — Dunst: 4. d.g.T., 10. d.g.T., 15. d.g.T., 16. d.g.T., 18. Nm., 19. d.g.T., 21. d.g.T., 22. Vm. — Talneblig: 17. Vm., 27. Vm., 29. Vm., 30. Vm. — Nebel (Sicht): 18. Vm. (700 m), 20. Vm. (700 m), 25. Vm. (900 m). Talnebel: 5. Vm. (bis 550 m). — Gewitter: 7. ⍂ 10^{05}h. — Neuschnee: 9. 7 cm, 13. 1 cm, 15. 1 cm. — **Chasseron.** Nebelmeer (Mittelland): 16. I 1600, 11 (1600), 18. I 1250, 19. I 1000, 20. I 1400, 25. I 1200. — Neuschnee: 1. 12 cm, 4. 7 cm, 7. 2 cm, 8. 3 cm, 9. 5 cm, 10. 5 cm, 11. 4 cm, 12. 1 cm, 14. 5 cm, 15. 1 cm, 17. 4 cm, 18. 5 cm, 21. 2 cm, 23. 12 cm, 24. 1 cm. — Schneehöhe: 7. 17 cm, 14. 40 cm, 21. 52 cm, 28. 30 cm. — Gewitter: ▲ 14 bis 16h. — **Bever.** Neuschnee: 2. 5,2 cm, 4. 4 cm, 8. 28 cm, 9. 12 cm, 11. 25 cm, 19. 20 cm, 20. 22 cm, 23. 4,5 cm, 26. 5 cm. — Schneehöhe: 14. 47 cm, 21. 80 cm, 28. 50 cm. — **Sitten.** Hochnebel: 2. I, 3. I, 26. II, III, 27. II, 28. II. — Neuschnee: 8. 0,5 cm, 9. 1,5 cm, 23. 1 cm. — Schneegrenze: 1. 1100 m, 22. 750 m, 24. 700 m. — **Lugano.** Gewitter: 19. ⍂ 22^{25}h. — Nordföhn: 1. 7^{30}–17h, 3. 17h– 4. 16h, 7. 12^{30}h bis 9. 15h, 11. 12–22h, 23. 10–15h. — Schneehöhe: 19. 2 cm. — **Basel.** Dunst: 4. II. — Gewitter: 7. ⊤ 9^{05}h. — Neuschnee: 15. 7,3 cm, 17. 14,2 cm. — Schneehöhe: 21. 4 cm. — **Säntis.** Großes Lichtermeer: 20. III. — Föhn-

mauer: 18. I, 19. I, 20. II, 21. I, 28. I. — Gewitter: 3. N ⊠ 10–10^{05h} i. E. — Neuschnee: 1. 28 cm, 4. 45 cm, 8. 32 cm, 9. 90 cm, 12. 70 cm, 13. 40 cm, 14. 32 cm, 15. 14 cm, 17. 1 cm, 20. 4 cm, 22. 3 cm, 23. 22 cm, 24. 15 cm. — Schneehöhe: 7. 210 cm, 14. 390 cm, 21. 320 cm, 28. 330 cm. — Schneegrenze: 7. 1400 m, 14. Bodensee, 21. 700 m, 28. 1000 m. — **St. Gotthard.** Neblig: 9. I, II, 14. I. — Neuschnee: 2. 5 cm, 3. 5 cm, 10. 8 cm, 9. 30 cm, 19. 50 cm, 20. 60 cm, 21. 35 cm, 22. 15 cm, 25. 12 cm, 26. 15 cm, 28. 5 cm. — Schneehöhe: 14. 75 cm, 21. 140 cm, 28. 150 cm.

Dezember

Bern. Alpen hell: 28. I. — Alpen sichtbar: 11. II. — Alpen schwach sichtbar: 13. II, 26. I, 28. II. — Schneehöhe: 5. 2 cm, 19. 6 cm. — Neuschnee: 4. 4,5 cm, 7. 0,5 cm, 15. 7 cm, 16. 4 cm, 17. 4,5 cm, 18. 1 cm, 19. 2,5 cm, 20. 1 cm. — **Neuchâtel.** Schneehöhe: 11. 1 cm, 16. 10 cm, 27. 4 cm. — **Genf.** Schneehöhe: 15. 3 cm, 18. 1 cm. — Gewitter: 13. ⊠ 8^{10h}. — **Zürich.** Alpen klar: 14. Nm., 25. Nm. — Alpen hell: 11. Vm., 14. Vm., 16. Nm. — Föhnmauer: 14. Nm. — Dunst: 5. d. g. T., 6. d. g. T., 7. 8., 9., 10. d. g. T., 27. Vm., 28. Nm., 29. d. g. T., 30. d. g. T., 31. d. g. T. — Taldunst: 12. Vm., 13. Vm. — Nebel (Sicht): 1. mtg. (700–900 m), 3. Vm. (160–180 m), 11. Vm. (250 m), 23. Vm. (700–800 m), abd. (60–80 m), 26. Vm. (130 bis 140 m). — Talnebel: 1. I (bis 500 m). — Neuschnee: 4. 5 cm, 7. 0,5 cm, 15. 8 cm, 17. 7 cm, 18. 5 cm, 19. 6 cm, 20. 1 cm. — Schneehöhe: 5. 2 cm, 19. 13 cm. — **Chasseron.** Nebelmeer (Mittelland): 3. II (900), 5. II (1400), 6. I 1600, II, III (1500), 7. III 1400, 8. II 1250, III (1100), 9. d. g. T. 1200, 10. I, II 1200, III 800, 26. I (1000), II (1200), 28. II (1000), 29. I, II 1100, III (1200), 30. I 1150, 31. I 1100. — Neuschnee: 4. 1 cm, 12. 1 cm, 13. 1 cm, 14. 1 cm, 15. 18 cm, 16. 15 cm, 17. 5 cm, 18. 10 cm, 19. 10 cm, 20. 5 cm, 21. 2 cm, 22. 18 cm, 25. 3 cm. — Schneehöhe: 5. 4 cm, 12. 5 cm, 19. 65 cm, 26. 75 cm. — Gewitter: 1. ⊀ N 17^{15}–22^{h}, 13. ⊀ 5^{30h}, 15. ⊀ S 21^{30}–22^{h}. — **Bever.** Morgenrot: 30. — Neuschnee: 12. 18 cm, 13. 6 cm, 15. 17 cm, 17. 3 cm, 22. 25 cm, 24. 8 cm, 30. 3 cm. — Schneehöhe: 5. 40 cm, 12. 58 cm, 19. 70 cm, 26. 84 cm. — **Sitten.** Dunst. 6. I. — Hochnebel: 3. I, 7. I, 8. d. g. T., 9. d. g. T., 10. d. g. T., 13. II, 21. II. — Talnebel: 20. I, 25. I, 30. III. — Neuschnee: 13. 2 cm, 15. 4 cm, 17. 35 cm, 18. 26 cm, 19. 4 cm, 20. 10 cm, 23. 8 cm. — Schneehöhe: 19. 43 cm, 26. 20 cm. — **Lugano.** Nordföhn: 3. 18^{h}– 4. 20^{h}, 15. 21^{h}– 16. 16^{30h}, 21. 19–21^{h}, 22. 12^{30}–19^{h}. — Schneehöhe: 15. 5 cm. — **Basel.** Gewitter: 21. ⊠ 11^{25h} aus SW. — Neuschnee: 4. 2 cm, 15. 5 cm, 16. 3,2 cm. — **Säntis.** Föhnmauer: 13. I. — Neuschnee: 1. 1 cm, 2. 32 cm, 3. 30 cm, 4. 35 cm, 12. 8 cm, 18. 28 cm, 19. 25 cm, 23. 16 cm, 24. 15 cm, 26. 3 cm, 28. 2 cm. — Schneehöhe: 5. 390 cm, 12. 340 cm, 19. 400 cm, 26. 440 cm. — Schneegrenze: 5. Bodensee, 12. Bodensee, 19. Bodensee, 26. 800 m. — **St. Gotthard.** Neblig: 12. I, 15. II, 19. I, 20. III, 27. I, 29. III, 31. II. — Neuschnee: 13. 7 cm, 14. 10 cm, 15. 12 cm, 17. 10 cm, 18. 30 cm, 19. 12 cm, 21. 10 cm. — Schneehöhe: 5. 120 cm, 12. 100 cm, 19. 140 cm, 26. 140 cm.

Säntis Nebelmeer

Obergrenze des Nebelmeeres in Hektometer über Meer; ohne Klammer: geschlossenes, mit Klammer: aufgelockertes Nebelmeer.

1952 **Januar**

	6.	7.	8.	9.	13.	15.	17.	22.	23.	24.	25.	26.	27.	31.
7^{30}	—	8	8	—	—	(16)	—	(10)	9	10	10	—	(8)	(6)
10^{30}	—	8	8	(17)	(22)	—	(15)	12	10	10	9	—	—	(6)
13^{30}	(18)	(8)	8	—	25	—	—	13	10	10	14	20	—	—
16^{30}	(16)	(8)	7	(24)	—	—	—	12	10	9	12	20	—	—
21^{30}	(14)	(7)	6	—	—	(18)	—	10	10	9	—	—	—	—

Februar

	6.	15.	16.	17.	19.	20.	21.
7^{30}	(24)	9	—	—	18	—	22
10^{30}	—	10	16	—	(16)	—	21
13^{30}	22	13	—	(17)	(16)	22	14
16^{30}	—	16	19	—	16	—	(13)
21^{30}	—	19	—	(11)	16	—	—

Februar

	22.	23.	24.	25.	26.	27.	28.	29.
7^{30}	6	6	6	11	(10)	(7)	(23)	(6)
10^{30}	7	6	7	11	(10)	—	(20)	—
13^{30}	(7)	6	(7)	11	(10)	—	—	—
16^{30}	(7)	(6)	—	—	—	—	—	—
21^{30}	(6)	(6)	9	(10)	(11)	—	—	—

März

	1.	2.	6.	7.	8.	9.	11.	12.	13.	27.	28.	29.	30.
7^{30}	—	6	(5)	—	—	(8)	—	7	—	(14)	—	8	(6)
10^{30}	—	7	(6)	(12)	—	—	—	22	13	(17)	—	(9)	(7)
13^{30}	—	—	—	—	(22)	—	(23)	—	—	—	—	—	—
16^{30}	(22)	—	—	—	—	—	—	—	—	—	—	—	—
21^{30}	—	—	—	—	—	—	—	—	—	—	9	—	—

April

	1.	2.	5.
7^{30}	20	—	—
10^{30}	21	—	—
13^{30}	—	—	23
16^{30}	—	(22)	—
21^{30}	—	—	—

Mai

	2.	6.	10.
7^{30}	23	(7)	(21)
10^{30}	25	—	—
13^{30}	23	—	—
16^{30}	—	—	—
21^{30}	—	—	—

Juni

	8.	17.
7^{30}	—	8
10^{30}	23	—
13^{30}	—	—
16^{30}	—	—
21^{30}	—	—

Juli

	14.	16.	25.
7^{30}	(23)	(23)	(23)
10^{30}	—	—	(23)
13^{30}	—	—	—
16^{30}	—	—	—
21^{30}	—	—	(24)

August

	16.	23.	25.	26.
7^{30}	22	(10)	(13)	(8)
10^{30}	—	—	(14)	—
13^{30}	—	—	—	—
16^{30}	—	—	—	—
21^{30}	—	—	—	—

September

	3.	5.	8.	14.	15.	16.	17.	21.	23.	24.
7^{30}	—	—	8	(10)	—	12	(7)	(6)	—	(12)
10^{30}	—	23	—	(11)	(11)	13	—	—	—	—
13^{30}	25	24	—	—	—	14	—	—	—	(23)
16^{30}	—	—	—	—	—	13	—	—	—	21
21^{30}	—	—	—	—	16	12	—	—	(12)	—

Oktober

	1.	6.	9.	13.	16.	18.	19.	20.	21.	27.	28.
7^{30}	(18)	7	7	(7)	7	10	10	7	9	6	6
10^{30}	21	(12)	8	—	8	11	—	8	9	(7)	(7)
13^{30}	—	—	—	—	—	(10)	—	—	(9)	—	—
16^{30}	—	—	—	—	—	(12)	—	(11)	—	—	—
21^{30}	—	—	—	—	—	(10)	—	9	—	—	—

November

	5.	15.	16.	17.	18.	19.	20.	25.	30.
7^{30}	(6)	—	8	9	9	9	(7)	—	—
10^{30}	(6)	12	9	9	10	9	8	19	(8)
13^{30}	—	(12)	(9)	—	10	—	—	—	—
16^{30}	—	(20)	—	—	10	—	—	—	—
21^{30}	—	—	—	—	11	—	—	—	—

Dezember

	3.	4.	5.	6.	7.	8.	9.	10.	11.	24.	25.	26.	27.	28.	29.	30.	31.
7^{30}	—	—	20	17	—	14	12	11	(6)	6	—	7	7	7	11	11	10
10^{30}	22	—	17	17	—	14	12	11	(6)	—	—	8	(7)	8	10	11	10
13^{30}	18	—	17	17	16	14	13	10	—	—	(20)	9	(10)	9	11	11	9
16^{30}	—	—	17	17	16	14	12	9	—	16	—	8	(12)	10	11	11	(8)
21^{30}	—	23	18	—	16	15	12	8	—	—	—	8	—	10	12	11	—

Jungfraujoch: Lufttemperaturen 1952

Tag	Januar			Februar			März			April			Mai			Juni		
	7^{30}	13^{30}	21^{30}	7^{30}	13^{30}	21^{30}	7^{30}	13^{30}	21^{30}	7^{30}	13^{30}	21^{30}	7^{30}	13^{30}	21^{30}	7^{30}	13^{30}	21^{30}
1	-10.8	-15.0	-21.8	-22.2	-20.2	-20.2	-14.2	-12.4	-10.6	-8.0	-7.0	-8.8	-6.2	-5.0	-6.4	-3.0	-1.4	-2.6
2	-17.4	-14.4	-13.2	-23.6	-24.0	-22.4	-8.4	-7.8	-8.2	-17.0	-17.6	**-19.8**	-7.6	-5.0	-6.0	-3.0	-0.4	-1.4
3	-15.2	-16.6	-21.4	-19.2	-20.2	-22.0	-6.4	**-5.6**	-9.0	-17.4	-15.2	-15.2	-5.4	-5.6	-6.8	-3.8	-3.0	-4.0
4	-23.2	-23.2	-22.8	-22.4	-23.8	-24.0	-12.4	-11.6	-10.8	-14.6	-14.2	-13.4	-8.6	-6.4	-6.4	-4.8	-2.6	-2.8
5	-16.6	-16.4	-17.0	-24.2	-24.2	-25.6	-11.0	-9.8	-10.8	-13.6	-14.0	-17.6	-10.2	-7.2	-8.8	-2.0	-2.0	-1.4
6	-14.2	-12.4	-8.0	-23.4	-22.2	-14.2	-14.6	-14.4	-14.4	-18.0	-16.2	-13.0	-9.4	-6.0	-6.6	-1.4	0.2	-2.0
7	-7.6	**-5.0**	-6.4	-12.0	-11.4	-14.8	-13.0	-11.8	-12.2	-10.2	-9.0	-9.0	-7.8	-5.6	-6.8	-5.4	-3.6	-5.8
8	-7.4	-6.0	-7.0	-15.0	-18.0	-24.0	-12.0	-10.8	-10.4	-6.6	-5.0	-5.6	-4.6	-5.4	-5.8	-7.4	-4.6	-5.0
9	-6.6	-8.2	-14.6	-24.8	-25.0	-26.2	-9.0	-7.8	-8.8	-5.6	-3.8	-4.2	-5.2	-4.4	-5.0	-7.2	-4.2	-5.8
10	-20.0	-17.6	-11.2	**-27.0**	-25.0	-17.4	-10.6	-12.6	-15.2	-5.0	**-3.2**	-5.4	-6.8	-4.2	-4.4	**-8.0**	-4.4	-4.6
11	-10.6	-17.8	-12.8	-13.8	-13.4	-12.8	-13.8	-12.2	-13.0	-7.0	-4.8	-9.0	-5.6	-4.0	-5.4	-4.4	-3.0	-2.8
12	-20.0	-23.0	-23.6	-12.8	-13.0	-15.0	-13.2	-13.0	-15.4	-8.0	-7.6	-8.6	-10.0	-9.6	-11.2	-2.2	-0.2	-0.4
13	-23.0	-23.0	-19.2	-16.4	-16.6	-17.2	-18.0	-15.0	-16.2	-6.6	-6.4	-6.0	-12.8	-10.6	-9.8	0.2	1.8	-2.0
14	-18.2	-14.8	-16.0	-21.8	-20.8	-18.4	-18.6	-17.0	-12.8	-6.6	-4.6	-4.8	-9.2	-7.2	-7.2	-3.0	-2.4	-2.6
15	-13.4	-11.2	-9.0	-16.6	-15.6	-16.6	-12.8	-10.4	-12.0	-6.6	-4.6	-5.4	-4.8	-3.2	-3.8	-1.4	0.4	-0.6
16	-10.2	-10.0	-15.0	-16.8	-16.0	-19.6	-13.0	-10.6	-12.8	-7.2	-5.4	-6.4	-4.2	-5.2	-5.4	-3.0	-2.0	-1.8
17	-15.8	-15.8	-16.0	-16.4	-14.4	-16.4	-12.8	-10.0	-11.8	-7.4	-5.0	-5.8	-6.4	-5.2	-6.0	0.2	1.0	1.2
18	-23.0	-24.0	-23.0	-17.8	-17.8	-18.8	-13.0	-10.6	-11.8	-7.2	-5.6	-5.8	-6.6	-7.0	-6.6	-0.4	-0.2	-2.0
19	-24.6	-25.0	-24.2	-16.2	-14.8	-15.0	-11.8	-10.8	-12.0	-7.2	-4.4	-5.8	-8.2	-6.8	-6.4	-2.2	0.0	-3.0
20	-26.0	-25.8	-26.0	-15.2	-12.2	-14.0	-12.0	-13.6	-10.2	-7.2	-5.4	-7.8	-6.2	-7.0	-9.8	-3.8	-2.6	-5.2
21	-23.8	-20.0	-18.0	-13.4	-11.2	-10.6	-12.6	-14.2	-16.2	-7.0	-4.8	-5.4	**-13.2**	-8.0	-10.2	**-8.0**	-2.6	-0.4
22	-16.8	-16.0	-20.0	-10.0	-8.8	-9.0	-9.4	-8.8	-9.0	-5.2	-5.0	-6.8	-11.8	-10.4	-12.0	-0.2	-0.4	-1.6
23	-18.0	-18.6	-18.8	-9.2	**-7.8**	-9.0	-10.6	-12.8	-10.8	-6.8	-5.8	-7.2	**-13.2**	-11.0	-10.6	-4.6	-3.8	-4.4
24	-17.4	-17.0	-17.4	-9.6	-8.2	-9.2	-8.6	-8.0	-12.2	-7.2	-6.0	-7.8	-6.0	-8.2	-8.6	-4.2	-3.2	-3.0
25	-19.0	-19.0	-20.6	-10.4	-8.8	-10.8	-12.2	-12.4	-13.0	-7.0	-4.0	-5.8	-8.4	-7.2	-8.0	-1.8	-1.0	-5.0
26	-21.8	-19.0	-21.2	-12.4	-11.0	-12.6	-16.0	-19.8	**-22.0**	-6.0	-4.0	-6.6	-8.0	-8.0	-8.0	-2.8	-1.8	1.4
27	-19.4	-20.0	**-27.0**	-12.0	-10.4	-9.8	-21.2	-17.8	-15.0	-8.8	-7.2	-6.8	-8.0	-6.4	-6.8	1.4	0.6	1.0
28	-25.8	-22.4	-17.2	-8.8	-8.6	-10.2	-9.0	-7.0	-6.0	-8.0	-7.0	-7.2	-9.0	-5.6	-7.8	-0.2	1.4	1.6
29	-15.0	-14.0	-13.8	-11.0	-12.2	-16.4	-5.8	-6.4	-8.4	-8.2	-6.8	-6.4	-6.4	-5.2	-5.2	0.6	1.8	3.0
30	-15.2	-14.0	-15.0				-9.4	-8.2	-9.2	-7.6	-4.8	-5.6	-6.4	-2.0	**-1.2**	5.8	5.8	**6.8**
31	-14.6	-13.8	-14.8				-10.0	-9.2	-8.2				-3.4	**-1.2**	-2.0			
Mittel	-17.1	-16.7	-17.2	-16.4	-15.7	-16.3	-12.1	-11.4	-11.9	-8.6	-7.1	-8.1	-7.7	-6.2	-6.9	-2.7	-1.2	-1.9

Tag	Juli			August			September			Oktober			November			Dezember		
	7^{30}	13^{30}	21^{30}	7^{30}	13^{30}	21^{30}	7^{30}	13^{30}	21^{30}	7^{30}	13^{30}	21^{30}	7^{30}	13^{30}	21^{30}	7^{30}	13^{30}	21^{30}
1	7.2	8.0	7.0	-1.0	1.8	-0.2	-1.6	-1.4	-0.2	-6.4	-5.0	-8.1	-18.2	-16.8	-9.8	**-5.6**	-6.2	-7.8
2	6.8	**9.8**	7.0	-0.4	2.0	0.4	-0.8	0.0	-2.2	-11.6	-14.0	-12.0	-11.6	-12.4	-11.2	-8.6	-8.8	-9.8
3	4.0	6.0	3.6	-0.8	1.2	-1.0	-3.4	-3.0	-3.4	-14.2	-11.4	-12.8	-9.8	-12.2	-14.0	-15.0	-14.0	-21.0
4	3.6	5.6	5.2	-1.6	1.0	2.0	-3.8	-2.2	-2.8	-10.6	-8.0	-10.0	-16.0	-10.2	-10.0	-20.8	-19.6	-19.2
5	3.8	5.6	5.0	1.8	3.0	2.0	-1.8	-1.0	-1.6	-7.5	-8.0	-10.3	-7.2	-6.4	-7.2	-16.6	-12.4	-12.2
6	4.8	6.8	5.0	1.4	3.0	-0.6	-3.8	-4.0	-6.0	-6.2	-6.0	-4.6	-10.2	-11.0	-13.0	-11.0	-9.2	-9.8
7	5.2	7.6	5.8	-1.2	-1.0	-1.8	-6.4	-5.0	-8.8	-8.8	-9.8	-7.0	-11.8	-16.2	-20.2	-11.8	-10.0	-9.8
8	4.6	6.2	1.6	-2.4	2.4	1.0	-9.6	-7.0	-11.2	-12.2	-13.8	-10.4	-21.4	-21.2	-22.0	-9.2	-9.0	-9.8
9	0.8	1.0	-2.0	1.0	1.0	-1.0	-12.4	-10.4	-9.0	-4.0	-3.0	-4.0	**-24.0**	-21.2	-20.8	-9.6	-9.0	-10.4
10	-2.0	0.0	1.6	-2.0	0.0	0.2	-8.8	-7.4	-6.8	-9.0	-8.8	-11.2	-14.2	-14.8	-12.0	-12.2	-11.4	-13.4
11	1.6	3.8	2.4	2.0	**6.0**	5.0	-6.0	-5.2	-4.8	-14.6	-17.2	-17.0	-12.6	-16.0	-19.0	-13.6	-14.0	-14.4
12	0.0	0.2	-0.8	3.4	5.0	3.4	-8.4	-8.8	-11.2	**-18.2**	-16.8	-12.4	-20.4	-20.6	-20.8	-15.6	-14.0	-15.0
13	0.6	2.0	3.8	2.8	5.0	4.0	-11.2	-6.6	-4.0	-6.4	-5.0	-5.2	-21.2	-19.4	-20.0	-11.0	-16.0	-18.8
14	2.8	3.2	1.8	5.0	5.4	5.0	-3.8	-0.6	-3.0	-13.0	-12.2	-12.0	-21.2	-21.0	-22.0	-18.0	-15.2	-15.8
15	-0.8	0.8	-1.0	4.0	5.0	2.2	-5.4	-4.0	-4.2	-12.4	-13.0	-12.0	-23.0	-22.8	-22.2	-19.8	-21.6	-22.4
16	-1.2	2.0	1.1	1.0	2.0	-1.8	-5.2	-3.8	-4.4	-9.6	-9.0	-8.8	-19.2	-17.2	-15.4	-24.0	**-26.8**	-21.0
17	0.4	2.0	0.0	-2.2	-2.4	-6.0	-5.6	-3.0	-5.0	-9.0	-9.2	-10.0	-13.6	-13.4	-14.0	-11.0	-13.2	-19.2
18	-1.4	-0.4	-2.0	**-7.2**	-1.4	-2.4	-6.8	-4.8	-7.0	-5.8	-5.4	-3.6	-14.4	-12.0	-11.8	-22.4	-20.4	-20.0
19	-1.2	0.0	1.4	-2.6	-2.6	-2.0	-9.6	-11.4	-15.0	-5.2	-3.6	-5.8	-10.6	-10.6	-14.0	-21.2	-17.4	-11.4
20	2.0	2.4	2.6	-3.8	-5.0	-5.2	**-16.2**	-15.6	-9.0	-5.6	-3.8	-3.4	-18.0	-18.2	-18.6	-14.8	-16.4	-15.4
21	1.0	3.4	0.4	-7.0	-5.6	-6.4	-7.6	-6.4	-8.0	-4.8	-4.0	-5.4	-16.6	-13.2	-15.2	-12.0	-11.8	-19.6
22	1.2	3.0	1.0	-6.6	-3.8	-3.2	-8.2	-8.4	-10.0	-7.8	-6.0	-6.8	-17.2	-16.4	-18.0	-21.2	-20.6	-16.0
23	2.2	2.4	0.4	-1.4	3.0	-1.2	-6.4	-4.0	-3.4	-5.2	-3.4	-6.4	-19.4	-17.4	-12.2	-8.8	-8.8	-13.0
24	0.6	1.0	-1.0	-2.0	0.0	-3.8	-1.8	-0.6	-1.0	-3.0	-3.0	-2.4	-12.0	-15.2	-14.8	-7.6	-6.4	-9.0
25	-0.8	1.6	2.0	-2.2	-1.8	-0.8	**0.4**	-0.2	-4.2	-2.4	-2.6	-4.0	-11.6	-7.0	-4.8	-10.4	-13.2	-12.6
26	-0.2	1.8	0.6	-1.2	0.8	1.4	-10.6	-10.2	-8.0	-7.8	-8.8	-12.4	-6.8	-7.2	-9.4	-13.6	-13.6	-14.8
27	1.0	2.4	0.6	0.2	0.6	1.8	-7.2	-9.2	-13.2	-6.0	-1.4	-4.6	-9.8	-8.6	-8.2	-15.6	-14.4	-18.2
28	-0.2	-1.4	-4.6	0.6	0.2	0.6	-13.8	-11.2	-10.0	-3.0	-2.2	-0.2	-9.8	-9.0	-12.2	-18.0	-16.0	-18.8
29	**-8.0**	-4.2	-1.2	3.0	5.6	5.2	-9.8	-10.8	-9.2	**0.2**	-2.4	-6.0	-7.6	-5.8	-5.6	-17.2	-15.4	-15.4
30	-1.0	-0.2	-1.0	3.2	1.8	0.2	-5.4	-8.2	-6.8	-9.4	-11.4	-12.4	-4.6	**-4.0**	-5.0	-13.8	-14.4	-13.6
31	-1.2	1.0	0.4	-3.0	-1.8	-1.8				-14.6	-17.2	-17.0				-14.0	-12.4	-14.8
Mittel	1.2	2.7	1.5	-0.6	1.0	-0.1	-6.7	-5.8	-6.4	-8.2	-7.9	-8.3	-14.5	-13.9	-14.1	-14.3	-13.9	-14.9

1952

Tägliche Maxima und Minima der Lufttemperatur

Zürich

(Nach den Aufzeichnungen des Thermographen)

Tag	Januar		Februar		März		April		Mai		Juni		Juli		August		Septemb.		Oktober		Novemb.		Dezember	
	Max	Min.	Max.	Min.	Max	Min.	Max.	Min.	Max	Min.	Max.	Min.	Max.	Min.	Max.	Min.	Max.	Min.	Max	Min	Max.	Min.	Max.	Min.
1	8.2	-0.6	4.6	-1.6	6.7	0.1	10.3	-3.0	25.1	9.7	26.9	13.6	34.0	15.9	28.4	13.3	22.8	15.6	12.8	7.0	8.6	2.8	9.8	6.6
2	4.2	0.0	4.0	-1.9	9.9	-1.4	7.5	-3.9	22.8	10.0	22.4	13.5	35.7	17.4	29.7	16.7	22.3	13.7	11.9	5.6	7.9	3.6	5.1	0.7
3	5.0	-0.1	0.3	-2.2	12.5	-0.1	6.1	-5.6	19.9	9.9	20.2	12.1	32.9	20.0	26.4	16.5	22.6	11.5	10.6	6.9	10.5	4.7	0.5	-2.4
4	2.3	-1.3	1.6	-2.4	14.6	1.3	7.0	-3.9	18.9	8.9	22.0	10.5	34.8	18.3	27.1	15.5	21.3	12.2	15.2	7.5	9.6	1.9	1.3	-3.1
5	2.0	-0.7	1.9	-5.5	8.3	4.3	9.9	-2.7	18.6	7.0	25.7	9.2	35.1	20.5	29.9	14.5	23.0	12.0	13.8	7.6	12.6	1.0	-1.2	-4.2
6	4.9	-1.9	-0.2	-7.1	6.9	3.2	10.7	3.1	22.7	5.8	25.8	14.5	34.4	20.3	31.7	16.7	12.3	9.8	13.7	6.4	9.9	5.6	-3.4	-5.2
7	1.7	-3.7	2.3	-4.7	3.3	0.6	17.1	3.7	20.7	9.1	20.3	12.4	33.0	18.7	21.5	14.8	13.4	8.5	12.7	7.1	7.6	0.6	-3.2	-4.5
8	-2.0	-3.8	0.8	-1.7	5.5	-2.0	20.0	6.0	22.3	8.1	20.2	10.1	30.8	17.3	24.3	14.7	15.9	6.7	10.1	3.9	1.1	-1.0	-4.6	-5.9
9	7.7	-3.4	3.0	-3.5	5.4	-2.3	21.1	6.8	22.1	11.2	20.4	10.3	22.6	15.1	28.0	13.6	12.6	6.6	13.6	1.6	2.9	-2.3	-4.2	-5.7
10	4.2	2.0	-0.4	-3.7	5.4	3.7	22.8	8.1	23.2	9.4	22.7	11.7	25.0	15.6	22.3	13.9	15.1	6.6	11.7	5.9	5.3	0.3	-3.7	-5.5
11	7.7	3.1	3.1	0.0	10.2	1.0	22.9	8.9	23.0	10.3	24.9	10.9	29.0	14.6	28.6	13.8	12.5	8.4	10.9	2.1	5.9	1.3	2.7	-3.8
12	4.3	0.0	4.1	-2.6	9.1	-0.3	22.6	8.8	13.4	7.4	27.9	12.1	27.5	16.7	31.8	16.4	14.4	8.3	9.8	-0.1	3.4	-0.9	3.7	2.2
13	3.1	-2.9	-0.9	-4.0	11.0	1.5	21.6	10.0	17.6	6.9	26.2	13.1	25.2	15.3	32.1	17.8	18.3	8.5	9.8	-0.6	2.0	-0.7	7.7	0.8
14	1.1	-3.2	1.2	-8.0	4.7	-3.3	22.6	8.6	19.9	8.5	23.1	13.2	25.9	14.8	33.7	16.6	19.0	6.5	15.8	6.4	3.1	-2.6	4.6	0.7
15	5.9	-0.6	-3.9	-8.5	8.3	-5.4	23.3	9.0	21.6	8.0	27.1	12.2	27.2	15.3	28.9	16.5	17.5	8.7	8.8	3.2	0.1	-4.4	3.1	-2.7
16	5.3	1.6	-3.0	-6.5	10.1	-0.1	22.2	7.8	24.4	9.0	19.4	12.5	19.6	14.9	22.5	13.6	12.4	7.1	10.0	2.9	-0.5	-6.2	0.0	-5.1
17	8.1	-0.7	2.1	-8.4	15.2	2.0	22.8	9.3	21.9	11.0	25.5	11.4	25.1	13.5	20.6	11.5	19.3	8.8	10.8	6.1	3.5	-4.3	3.2	-4.0
18	2.5	-2.0	1.6	-8.7	14.9	5.4	22.5	8.8	20.5	6.9	21.6	13.7	24.7	12.7	23.1	11.3	14.2	9.6	11.6	5.4	-2.5	-5.0	1.0	-1.2
19	-1.0	-2.3	3.9	-9.2	14.9	3.0	22.1	9.4	20.8	8.1	16.0	13.3	24.1	15.2	21.5	13.6	8.7	3.2	9.7	4.9	0.9	-3.4	4.6	-0.5
20	-1.0	-6.8	2.6	-2.8	9.3	5.9	20.9	10.2	18.8	5.1	15.6	11.4	28.2	12.5	19.3	14.4	13.4	2.9	10.8	7.3	5.9	-2.5	6.1	1.5
21	-2.3	-8.2	6.9	-1.3	9.2	6.3	20.3	10.2	15.2	2.5	20.0	10.3	30.6	15.1	18.2	10.5	15.2	3.6	17.2	8.3	4.0	-2.1	6.6	1.0
22	-2.7	-8.0	8.9	-3.3	10.1	5.1	13.5	7.3	16.3	2.4	24.9	9.1	30.9	15.7	20.9	8.8	10.8	8.2	17.7	7.9	7.0	1.1	2.9	0.6
23	-5.4	-7.2	9.6	-5.0	9.4	5.3	9.8	6.8	17.8	4.5	23.9	13.3	30.0	15.7	20.6	8.8	14.0	8.0	12.8	7.6	3.2	-1.3	3.0	0.2
24	-4.9	-7.6	6.3	-5.7	11.7	5.5	8.5	5.9	19.5	6.2	22.1	12.5	21.2	12.9	17.6	11.8	18.7	6.5	16.4	10.9	1.5	-1.3	5.5	2.2
25	-2.7	-7.4	3.9	-2.2	12.1	6.3	9.6	6.9	17.8	7.4	25.9	12.1	24.0	9.5	21.9	12.4	20.4	8.2	13.2	10.4	1.6	0.0	7.9	-0.1
26	-2.3	-6.9	3.6	-3.0	6.1	-1.2	8.9	7.9	16.9	8.3	25.7	13.7	27.0	11.5	25.6	11.6	14.7	8.2	11.4	7.0	12.0	0.7	-0.7	-2.6
27	-2.3	-7.2	6.6	-4.2	6.7	-3.2	13.4	5.7	16.9	9.7	24.7	10.3	30.1	12.7	26.9	13.4	15.4	6.3	13.9	4.7	11.1	0.9	1.4	-2.5
28	0.5	-8.1	9.4	-4.0	1.6	-1.7	17.8	4.6	20.1	10.2	27.5	10.5	17.9	12.2	29.3	15.3	15.8	5.6	15.9	4.9	13.0	5.8	2.2	-3.8
29	0.0	-8.7	5.1	-1.6	10.8	1.0	21.0	5.0	23.0	11.6	31.2	14.1	20.8	9.7	30.8	14.3	14.3	4.5	14.2	8.1	10.8	2.7	-1.9	-3.1
30	4.9	-2.9			13.0	5.1	24.8	7.3	22.8	11.9	31.9	15.6	24.6	10.6	27.7	14.9	11.6	5.8	13.7	7.1	13.8	1.8	-2.0	-3.4
31	3.6	-2.3			17.6	5.3			26.7	11.4			26.2	11.9	21.1	14.5			6.6	3.0			0.3	-3.4
Mittl. Max.	1.95		3.07		9.50		16.79		20.36		23.75		27.68		25.55		16.06		12.49		5.86		1.88	
Mittl. Min.	-3.28		-4.25		1.64		5.57		8.27		12.11		14.91		13.94		8.00		5.71		-0.11		-1.81	
Differenz	5.23		7.32		7.86		11.22		12.09		11.64		12.77		11.61		8.06		6.78		5.97		3.69	
Abs. Max.	8.2		9.6		17.6		24.8		26.7		31.9		35.7		33.7		23.0		17.7		13.8		9.8	
Abs. Min.	-8.7		-9.2		-5.4		-5.6		2.4		9.1		9.5		8.8		2.9		-0.6		-6.2		-5.9	
Differenz	16.9		18.8		23.0		30.4		24.3		22.8		26.2		24.9		20.1		18.3		20.0		15.7	

Stündliche Monatsmittel der Lufttemperatur

	Januar	Februar	März	April	Mai	Juni	Juli	August	Septemb.	Oktober	Novemb.	Dezemb.	Jahr
1^{30}	-1.55	-2.53	3.52	7.69	9.92	13.66	16.78	15.83	9.51	7.43	1.52	-0.38	6.78
2^{30}	-1.62	-2.63	3.18	7.40	9.41	13.28	16.40	15.47	9.42	7.29	1.50	-0.38	6.56
3^{30}	-1.61	-2.76	2.97	7.17	9.14	12.94	15.84	15.13	9.15	7.12	1.49	-0.37	6.35
4^{30}	-1.75	-2.90	2.74	6.85	8.94	12.64	15.43	14.84	9.03	7.01	1.50	-0.42	6.16
5^{30}	-1.66	-3.03	2.49	6.46	8.81	12.78	15.41	14.46	8.78	6.90	1.35	-0.48	6.02
6^{30}	-1.79	-3.16	2.35	6.69	9.50	13.55	16.18	14.61	8.82	6.75	1.37	-0.48	6.20
7^{30}	-1.74	-3.08	2.64	7.87	11.17	15.11	17.90	15.99	9.44	7.02	1.63	-0.47	6.96
8^{30}	-1.73	-2.76	3.06	9.33	13.12	16.97	19.84	17.72	10.23	7.25	1.66	-0.46	7.85
9^{30}	-1.29	-2.10	4.99	10.82	14.44	18.33	21.26	19.42	11.19	7.97	2.23	-0.24	8.84
10^{30}	-0.61	-1.14	5.22	12.13	15.78	19.51	22.76	20.54	12.18	8.97	2.96	0.06	9.86
11^{30}	-0.10	0.05	6.55	13.18	16.78	20.30	23.85	21.67	13.12	9.83	3.72	0.28	10.77
12^{30}	0.32	0.63	7.31	14.26	17.76	21.02	24.96	23.04	13.77	10.58	4.15	0.55	11.53
13^{30}	1.01	1.20	8.07	15.20	18.36	21.24	25.42	23.66	14.19	10.66	4.57	1.05	12.05
14^{30}	0.88	1.74	8.39	15.32	18.67	21.75	25.91	23.98	14.41	10.86	4.62	0.76	12.27
15^{30}	0.76	1.39	8.29	15.02	18.66	21.76	26.15	24.04	14.03	10.70	4.28	0.45	12.13
16^{30}	0.39	1.05	8.12	14.82	17.79	21.88	26.03	23.72	13.76	10.15	3.92	0.13	11.81
17^{30}	-0.40	-0.17	7.54	14.08	17.24	21.19	25.07	23.11	13.00	9.36	3.36	-0.13	11.10
18^{30}	-0.73	-0.94	6.33	12.74	16.03	19.88	23.80	21.38	11.77	8.89	3.19	-0.13	10.18
19^{30}	-1.19	-1.40	5.80	10.95	14.17	18.38	21.83	19.09	10.91	8.70	2.98	-0.20	9.17
20^{30}	-1.51	-1.69	5.44	10.44	12.85	16.57	20.15	18.05	10.62	8.36	2.66	-0.28	8.47
21^{30}	-1.49	-1.83	5.20	9.83	12.38	15.92	19.51	17.36	10.42	8.15	2.60	-0.31	8 14
22^{30}	-1.75	-2.02	4.82	9.21	11.64	15.20	18.88	16.75	10.08	7.90	2.55	-0.39	7.74
23^{30}	-1.72	-2.20	4.35	8.62	10.96	14.68	18.29	16.42	9.81	7.80	2.27	-0.45	7.40
0^{30}	-1.75	-2.43	4.08	8.17	10.54	14.14	17.44	16.19	9.40	7.58	1.97	-0.58	7.06
Mittel	-0.94	-1.36	5.11	10.59	13.50	17.19	20.63	18.85	11.13	8.47	2.67	-0.12	8.81

1952 **Tägliche Maxima und Minima der Lufttemperatur** Säntis

(Nach den Aufzeichnungen des Thermographen)

Tag	Januar		Februar		März		April		Mai		Juni		Juli		August		Septemb.		Oktober		November		Dezember	
	Max.	Min.	Max.	Min.	Max.	Min.	Max.	Min.	Max.	Min.	Max.	Min.	Max.	Min.	Max.	Min.	Max.	Min.	Max.	Min.	Max.	Min.	Max.	Min.
1	-4.1	-14.1	-11.3	-14.8	-6.1	-9.2	-0.2	-7.0	6.7	1.9	8.0	4.2	18.8	11.8	11.7	6.0	7.2	4.9	2.0	-4.2	-6.3	-10.3	**0.1**	-2.0
2	-6.9	-14.8	-14.2	-15.6	-2.7	-5.9	-8.2	**-17.6**	6.9	1.6	9.2	3.0	**19.4**	13.7	11.4	5.9	**7.8**	2.8	-4.9	-6.9	-4.2	-6.7	-1.5	-6.0
3	-8.0	-14.0	-11.2	-14.8	-0.2	-5.0	-13.0	-17.0	3.3	0.3	4.8	0.3	18.8	11.8	9.9	4.6	4.8	1.1	-4.3	-6.4	-3.7	-8.1	-5.8	-15.6
4	-13.2	-15.0	-12.4	-16.2	-1.1	-5.5	-7.1	-12.3	4.2	-1.0	6.4	0.1	18.2	13.5	11.8	5.0	3.6	1.1	-1.8	-5.0	-6.6	-10.3	-14.7	-16.2
5	-10.1	-15.0	-14.2	-18.0	-3.3	-6.4	-7.1	-10.2	5.1	-1.7	9.2	3.0	19.2	13.8	13.1	7.2	6.9	1.4	-1.3	-2.3	-1.3	-6.5	-10.3	-14.4
6	-7.8	-13.9	-13.3	**-18.7**	-7.0	-9.1	-7.4	-11.3	4.0	-1.6	10.9	3.0	18.2	12.9	15.5	7.1	1.7	-2.7	0.4	-3.4	-4.6	-7.8	-5.8	-10.3
7	-1.8	-7.3	-6.8	-13.0	-6.7	-9.2	-1.6	-7.3	4.4	-3.0	2.9	-0.4	16.4	10.7	7.0	3.6	1.0	-3.0	0.3	-3.4	-4.9	-12.7	-3.5	-10.6
8	**-0.4**	-4.0	-9.0	-15.4	-5.0	-8.4	1.8	-3.0	5.9	0.2	2.8	-1.6	17.4	8.1	10.8	3.8	0.8	-5.1	-3.9	-8.2	-11.2	-13.8	-1.6	-3.7
9	-1.6	-12.7	-15.1	-17.8	-0.4	-5.7	4.7	-0.8	5.5	0.2	2.9	-0.4	9.6	4.2	12.7	3.7	-3.4	-5.2	1.2	-8.2	-12.2	**-16.0**	-3.0	-5.4
10	-5.3	-13.0	-13.3	-18.4	-4.7	-8.6	4.8	0.9	8.1	-1.0	4.5	-0.1	7.2	4.1	4.8	1.9	-0.2	-4.8	-2.8	-6.0	-6.8	-12.2	-2.7	-7.8
11	-4.0	-9.8	-6.3	-13.0	-5.3	-8.9	3.6	0.2	6.7	-0.7	5.9	1.1	14.0	6.3	12.7	1.9	1.5	-2.4	-6.1	-10.1	-6.2	-11.3	-6.1	-8.0
12	-10.0	-15.0	-6.2	-12.6	-7.2	-9.0	3.8	0.2	-0.9	-4.9	10.6	3.6	8.3	4.9	14.2	9.8	-1.6	-4.2	-8.3	**-11.2**	-10.9	-14.7	-6.6	-8.8
13	-12.0	-17.2	-11.2	-14.6	-7.2	-12.1	3.2	0.3	-2.6	-5.0	10.2	3.3	10.0	4.2	15.4	10.3	0.3	-4.4	0.1	-9.7	-12.4	-14.7	-6.1	-10.6
14	-9.0	-15.1	-12.9	-16.1	-9.0	-14.4	4.0	0.3	1.0	-4.3	4.8	2.8	13.2	6.9	**18.2**	11.5	7.4	0.2	-3.0	-5.2	-12.1	-14.8	-8.3	-11.8
15	-4.8	-9.8	-9.3	-15.2	-5.6	-10.0	5.4	0.8	2.2	-2.0	9.1	2.0	9.0	4.2	15.6	8.8	3.9	0.6	-5.1	-6.9	-13.0	-15.8	-8.1	-16.7
16	-4.2	-8.0	-13.9	-17.6	-3.6	-8.0	5.6	0.4	5.3	0.7	4.3	1.8	8.0	3.7	10.2	1.9	5.9	1.2	-2.8	-6.6	-9.8	-15.6	-9.2	**-18.2**
17	-7.2	-13.4	-12.0	-17.3	-1.2	-5.9	3.6	0.9	3.0	-1.8	12.5	4.3	11.1	3.1	1.9	0.1	6.8	-0.9	-1.7	-3.4	-6.2	-9.2	-5.8	-12.4
18	-12.9	-16.0	-13.9	-16.0	-2.1	-6.3	4.3	0.8	2.9	-1.8	7.9	2.6	9.0	2.8	7.0	-0.6	-0.2	-2.8	-1.2	-3.2	-5.0	-8.9	-11.9	-14.9
19	-13.8	-16.2	-11.3	-15.6	-1.3	-5.9	4.2	0.1	0.4	-1.4	7.8	2.5	5.8	2.3	4.9	2.2	-2.9	-8.7	0.1	-1.7	-1.9	-8.6	-6.2	-13.2
20	-16.3	-18.4	-8.1	-12.0	-4.1	-6.1	3.8	-1.0	-0.8	**-7.0**	4.7	**-1.9**	12.4	4.3	3.9	0.4	-4.8	**-9.3**	3.2	0.2	-8.2	-11.4	-6.2	-9.0
21	-11.8	**-19.1**	-4.1	-9.0	-4.9	-7.8	4.0	-1.1	-3.3	-6.4	3.7	-1.8	13.7	7.8	1.9	-0.9	-2.2	-7.1	**4.2**	0.4	-6.0	-9.7	-5.9	-12.1
22	-7.1	-12.4	**-2.3**	-4.3	-2.9	-7.0	1.5	-1.7	-1.8	-6.7	8.2	1.2	12.0	8.1	3.2	**-1.2**	-1.4	-4.1	3.6	-3.4	-8.0	-11.0	-11.9	-13.9
23	-9.1	-11.6	-2.9	-5.9	-3.1	-4.9	1.3	-1.9	2.9	-6.9	3.7	1.3	10.8	6.2	10.0	0.3	-1.8	-5.3	1.6	-3.7	-9.9	-11.8	-4.7	-11.9
24	-7.2	-10.0	-3.2	-6.2	-1.8	-5.2	-1.9	-4.2	-0.3	-4.8	3.0	0.3	11.4	3.4	5.0	0.0	2.1	-2.5	3.0	-0.2	-6.7	-8.4	-1.6	-8.3
25	-9.3	-14.8	-3.1	-6.9	-4.9	-6.1	2.4	-3.8	-1.3	-4.7	6.1	0.3	9.2	2.8	6.2	0.2	4.4	0.3	2.4	-1.9	-1.3	-7.7	-3.5	-10.5
26	-12.7	-15.0	-4.9	-7.7	-6.0	**-15.4**	-0.1	-2.9	-1.0	-3.2	6.2	1.8	8.9	5.0	9.9	3.9	-2.0	-4.6	-1.8	-4.7	-0.8	-3.5	-6.8	-10.6
27	-12.1	**-19.1**	-5.3	-8.3	-10.0	-14.6	1.6	-3.8	-0.3	-3.5	10.3	3.8	11.3	6.0	8.3	5.8	0.2	-6.2	-0.2	-6.4	-2.4	-4.3	-8.2	-12.0
28	-12.9	-18.2	-5.1	-8.7	-1.8	-9.8	2.5	-4.6	1.9	-3.0	11.2	5.9	7.3	-0.2	11.2	5.1	-3.8	-6.8	**4.2**	-0.3	-2.8	-4.3	-9.6	-13.1
29	-7.8	-12.8	-5.2	-9.4	**1.4**	-2.9	4.8	-1.6	2.0	-1.1	12.2	6.0	4.2	**-1.8**	14.2	7.9	-1.7	-4.9	3.2	-2.9	-1.2	-4.6	-7.8	-11.7
30	-7.2	-10.9			-2.0	-4.0	**6.0**	1.2	6.2	0.1	**14.4**	8.1	9.8	1.1	14.8	4.0	0.3	-4.8	-3.0	-6.4	**0.8**	-1.6	-6.8	-9.3
31	-6.4	-10.0			-1.3	-5.3			**9.2**	3.9			11.3	4.3	5.0	3.3			-6.6	-9.7			-6.4	-8.8
Mittl. Max	-8.29		-9.03		-3.91		1.01		2.57		7.28		12.06		9.75		1.35		-0.94		-6.19		-6.34	
Mittl. Min.	-13.47		-13.07		-7.82		-3.57		-2.21		2.03		6.13		3.98		-2.87		-4.89		-9.88		-10.90	
Differenz	5.18		4.04		3.91		4.58		4.78		5.25		5.93		5.77		4.22		3.95		3.69		4.56	
Abs. Max.	-0.4		-2.3		1.4		6.0		9.2		14.4		19.4		18.2		7.8		4.2		0.8		0.1	
Abs. Min.	-19.1		-18.7		-15.4		-17.6		-7.0		-1.9		-1.8		-1.2		-9.3		-11.2		-16.0		-18.2	
Differenz	18.7		16.4		16.8		23.6		16.2		16.3		21.2		19.4		17.1		15.4		16.8		18.3	

Stündliche Monatsmittel der Lufttemperatur

	Januar	Februar	März	April	Mai	Juni	Juli	August	Sept.	Okt.	Nov.	Dez.	Jahr
1^{30}	-10.78	-11.51	-6.53	-2.55	-1.20	3.09	7.38	5.48	-1.59	-2.97	-8.16	-8.69	-3.17
2^{30}	-10.81	-11.49	-6.61	-2.47	-1.27	3.06	7.35	5.48	-1.65	-3.02	-8.20	-8.73	-3.20
3^{30}	-10.73	-11.50	-6.58	-2.55	-1.31	3.02	7.23	5.43	-1.67	-3.11	-8.25	-8.67	-3.22
4^{30}	-10.79	-11.54	-6.60	-2.62	-1.31	3.01	7.13	5.38	-1.65	-3.19	-8.29	-8.64	-3.26
5^{30}	-11.04	-11.74	-6.67	-2.72	-1.06	3.19	7.24	5.41	-1.69	-3.32	-8.33	-8.74	-3.29
6^{30}	-11.12	-11.60	-6.71	-2.44	-0.48	3.53	7.73	5.72	-1.51	-3.27	-8.34	-8.81	-3.11
7^{30}	-11.16	-11.45	-6.49	-2.04	-0.17	3.97	8.33	6.08	-1.30	-3.11	-8.35	-8.74	-2.87
8^{30}	-10.92	-11.06	-5.94	-1.62	0.22	4.38	9.13	6.80	-1.03	-2.73	-8.15	-8.59	-2.46
9^{30}	-10.47	-10.83	-5.66	-1.10	0.70	4.89	9.95	7.55	-0.56	-2.43	-7.94	-8.36	-2.02
10^{30}	-10.11	-10.58	-5.24	-0.44	1.15	5.50	10.73	8.16	-0.12	-2.19	-7.77	-8.30	-1.60
11^{30}	-9.98	-10.34	-5.06	-0.28	1.37	5.95	11.18	8.59	0.23	-1.95	-7.64	-8.19	-1.34
12^{30}	-9.96	-10.25	-4.97	-0.04	1.75	6.49	11.29	8.86	0.47	-1.94	-7.52	-8.09	-1.16
13^{30}	-9.92	-10.10	-4.95	0.26	1.96	6.69	11.34	9.09	0.78	-1.81	-7.51	-8.19	-1.03
14^{30}	-10.23	-10.03	-4.78	0.31	2.05	6.71	11.09	9.01	0.63	-1.98	-7.51	-8.23	-1.08
15^{30}	-10.41	-10.25	-5.26	0.21	1.95	6.64	10.75	8.66	0.28	-2.17	-7.53	-8.55	-1.31
16^{30}	-10.59	-10.65	-5.39	-0.07	1.66	6.25	10.12	8.30	-0.04	-2.38	-7.80	-8.72	-1.61
17^{30}	-10.88	-10.92	-5.60	-0.57	1.19	5.95	9.58	7.77	-0.41	-2.65	-7.97	-9.01	-1.96
18^{30}	-10.87	-11.03	-5.92	-1.07	0.64	5.43	9.09	7.13	-0.76	-2.82	-8.00	-9.24	-2.28
19^{30}	-10.94	-11.29	-6.19	-1.69	0.10	4.71	8.53	6.68	-1.07	-2.89	-8.06	-9.10	-2.60
20^{30}	-10.84	-11.41	-6.25	-2.05	-0.27	4.22	7.96	6.29	-1.23	-2.87	-8.12	-8.99	-2.80
21^{30}	-10.97	-11.35	-6.26	-2.15	-0.65	3.70	7.55	6.05	-1.29	-2.91	-8.08	-8.95	-2.94
22^{30}	-11.20	-11.39	-6.19	-2.22	-0.80	3.65	7.40	5.74	-1.42	-3.05	-8.07	-8.95	-3.04
23^{30}	-11.04	-11.38	-6.18	-2.31	-0.97	3.54	7.37	5.59	-1.54	-3.15	-8.01	-8.93	-3.08
0^{30}	-11.05	-11.47	-6.26	-2.38	-1.08	3.40	7.24	5.51	-1.60	-3.22	-8.01	-8.90	-3.15
Mittel	-10.70	-11.05	-5.93	-1.44	0.17	4.62	8.86	6.86	-0.82	-2.71	-7.98	-8.68	-2.40

Temperatur-Minima 1952

(Ablesungen an den Minimumthermometern)

Tag	Januar							Februar							März						
	Bern	Neuchâtel	Genève	Basel	Altdorf	Bever	Lugano	Bern	Neuchâtel	Genève	Basel	Altdorf	Bever	Lugano	Bern	Neuchâtel	Genève	Basel	Altdorf	Bever	Lugano
1	1.0	2.6	4.0	0.9	2.2	-10.0	-1.2	-0.8	-0.7	0.0	0.0	0.0	-10.5	**-5.2**	0.5	1.4	0.8	2.6	1.0	-8.3	4.8
2	1.0	0.3	1.0	0.9	1.4	-16.5	1.0	-1.4	-0.9	-0.5	-0.6	-0.6	-13.9	-1.4	-1.8	-1.5	-0.1	-0.9	-1.2	-13.3	0.6
3	-0.1	1.9	2.0	2.4	0.3	-10.0	-1.2	-2.4	-0.4	-0.2	-0.9	-0.7	-21.4	-4.0	-1.4	-1.3	**-0.2**	0.0	-1.2	-13.6	5.2
4	-0.8	-1.1	-0.2	0.5	0.5	-13.5	-2.0	-1.4	-1.8	-0.7	-0.2	-0.4	-13.5	-2.4	1.0	0.5	1.3	2.0	1.0	-10.8	5.2
5	-0.2	0.1	-0.3	0.8	-0.3	-18.0	-2.6	-2.8	-2.5	-2.0	-4.0	-1.3	-13.0	-0.4	4.0	4.1	7.5	5.5	3.8	-4.6	2.2
6	-0.6	1.1	0.3	2.0	0.2	-12.5	-3.0	-8.2	-5.0	-2.2	**-11.2**	**-7.4**	-22.5	0.2	3.4	4.0	6.0	4.6	4.3	-3.2	3.6
7	-2.9	-2.9	-2.2	-3.3	-2.2	-18.2	-2.8	-5.8	-4.1	-2.0	-3.8	-5.0	-21.7	-3.8	3.6	3.7	5.5	3.4	2.2	-3.3	3.0
8	-3.6	-2.8	-2.4	-4.0	-1.6	-14.0	-3.2	-1.5	-0.4	-0.5	0.1	-3.0	-17.0	-3.6	0.5	1.3	6.1	0.1	1.4	-7.8	0.4
9	-4.1	-2.0	-3.5	-3.1	-2.4	-13.9	-2.4	-3.1	-3.5	-3.2	-1.2	-1.5	-11.0	-1.2	2.2	0.2	4.2	0.3	1.6	-13.1	**-2.4**
10	1.8	0.3	3.9	3.5	0.3	-13.6	-0.4	-3.6	-3.5	-4.0	-1.8	-1.5	-11.8	-2.8	3.3	4.6	4.7	4.6	3.4	-5.2	2.0
11	2.6	1.9	3.6	5.2	3.9	-5.8	0.4	0.1	-0.1	-1.2	1.2	-0.9	-13.0	-3.6	0.2	-0.8	2.5	1.3	3.0	-7.0	0.0
12	-0.7	-0.7	2.2	0.0	-0.8	-20.0	0.4	-1.6	-1.2	-0.5	-2.0	0.4	-5.7	1.4	-0.6	-0.7	1.0	0.4	0.4	-11.0	3.2
13	-2.1	-2.6	-0.5	-0.8	-1.2	-21.2	2.2	-2.9	-2.3	-3.2	-6.3	-0.8	-8.2	0.8	1.6	2.0	3.2	1.6	4.0	-6.0	0.4
14	-3.8	-3.8	-2.5	-2.9	-2.2	-22.6	-2.0	-8.7	-6.6	-5.8	-8.1	-5.6	-19.4	-0.4	-2.0	0.0	1.0	1.3	0.9	-10.0	0.6
15	-3.3	-3.0	-3.3	-1.1	-1.8	-18.1	-4.0	-9.7	-6.7	-4.0	-8.5	-6.7	-22.9	-3.0	**-4.5**	-3.5	0.6	**-2.6**	**-2.3**	**-20.1**	1.8
16	-0.4	3.0	0.8	4.9	-1.1	-12.5	-2.8	-7.1	-4.9	-3.4	-6.9	-2.9	-22.8	-2.4	0.4	0.2	4.6	1.3	0.4	-16.5	-1.8
17	-0.2	0.9	2.0	1.0	1.5	-10.5	0.2	-8.9	-8.1	-5.6	-9.6	-5.1	-23.2	-0.6	2.2	3.1	6.3	2.7	1.4	-8.8	-0.8
18	-1.4	-1.5	-1.0	-0.2	-0.8	-15.0	-1.2	**-11.9**	**-8.6**	**-8.0**	-4.1	-6.9	**-25.6**	-3.2	5.6	5.7	6.5	6.7	4.1	-9.4	0.4
19	-2.2	-2.0	-0.5	-0.6	-1.3	-14.5	-0.8	-8.4	-5.4	-2.8	-2.6	-3.9	-23.6	-2.6	5.2	5.2	7.0	5.8	3.0	-10.0	1.6
20	-6.9	-6.3	-2.5	-6.8	-4.0	-16.5	-0.8	-6.4	-5.4	-5.5	-2.1	-1.9	-16.0	-2.4	6.6	5.7	7.8	6.5	6.2	-1.4	2.2
21	-11.7	-8.0	-6.0	-9.4	-9.7	**-27.0**	-3.8	-1.4	-0.4	-2.6	0.7	-1.0	-7.3	-1.2	5.1	5.8	7.5	7.4	6.0	-3.1	5.0
22	**-12.6**	-8.1	-7.2	-5.9	**-10.5**	-21.6	-2.0	-5.3	-3.2	-3.0	-2.4	-1.8	-13.7	-0.8	4.9	5.7	7.0	6.5	5.5	-8.8	6.4
23	-11.7	-8.2	-6.6	**-12.4**	-6.1	-19.4	-0.4	-4.2	-3.0	-3.2	-3.4	-3.7	-15.5	-0.8	7.9	7.5	8.7	7.5	6.5	-1.6	4.2
24	-10.3	**-10.0**	-5.2	-9.6	-3.7	-18.8	0.0	-5.0	-3.2	-2.0	-3.8	-2.8	-19.0	-1.0	5.9	5.0	6.3	7.7	6.2	-4.3	5.2
25	-7.8	-6.5	-4.0	-6.1	-2.9	-14.2	-0.2	-3.8	-2.9	0.0	-0.9	-1.9	-18.5	0.2	6.0	5.8	6.8	7.9	7.1	-2.2	4.0
26	-8.2	-4.1	-2.9	-7.0	-5.0	-19.2	-3.2	-3.8	-2.3	0.2	-2.2	-1.7	-19.5	-0.6	-0.4	0.4	-0.1	0.1	1.2	-6.4	7.2
27	-9.1	-6.3	-5.3	-6.0	-5.9	-20.7	-3.6	-3.0	-2.6	0.5	-3.0	-1.5	-15.3	0.4	-1.5	-1.9	**-0.2**	-1.0	0.2	-15.9	3.0
28	-10.4	-7.9	**-10.5**	-7.9	-7.6	-23.3	-4.2	-4.4	-1.5	-2.0	-2.5	-4.1	-14.5	0.0	-0.4	-0.3	1.0	-0.4	2.6	-6.5	4.4
29	-11.9	-8.3	-8.8	-8.5	-8.9	-23.6	**-6.4**	-3.0	-1.7	-1.4	-1.9	-2.4	-16.1	1.6	1.0	1.2	3.5	0.4	7.7	-1.5	3.2
30	-5.2	-4.1	-4.7	-1.8	-3.5	-18.0	-5.0								4.2	5.1	5.5	6.7	6.9	0.0	2.2
31	-5.2	-4.3	-4.8	-1.5	-3.4	-18.0	-6.0								4.8	5.7	7.0	7.7	6.6	-1.4	4.8
Mittel	-4.2	-3.0	-2.2	-2.5	-2.5	-17	-2.0	-4.5	-3.2	-2.4	-3.2	-2.6	-16.8	-1.5	2.2	2.4	4.2	3.2	3.0	-7.6	2.6

Tag	April							Mai							Juni						
	Bern	Neuchâtel	Genève	Basel	Altdorf	Bever	Lugano	Bern	Neuchâtel	Genève	Basel	Altdorf	Bever	Lugano	Bern	Neuchâtel	Genève	Basel	Altdorf	Bever	Lugano
1	-1.6	-0.8	0.0	-1.6	1.2	0.5	7.8	9.1	9.5	10.7	8.4	10.2	-1.7	9.4	14.4	14.6	16.1	14.7	16.5	7.1	14.4
2	-2.6	-2.1	**-0.8**	-2.6	0.3	-7.7	6.2	10.4	11.7	12.8	12.6	13.5	-0.4	10.6	13.7	14.1	15.6	15.5	16.0	5.5	14.8
3	**-3.7**	**-2.7**	0.6	**-6.3**	**-0.9**	-9.4	4.0	10.0	10.4	11.6	11.6	13.1	3.4	12.4	12.9	13.0	15.1	13.6	14.4	7.5	15.8
4	-1.7	-1.3	1.4	-5.3	-0.4	**-18.1**	3.6	9.5	10.8	10.8	10.7	12.7	**-5.6**	9.4	11.1	10.8	11.2	7.9	11.3	6.5	15.0
5	-1.7	-1.6	-0.6	-2.1	0.1	-14.0	4.4	6.6	6.7	9.0	8.7	8.5	0.7	9.0	10.5	10.3	11.5	**7.0**	11.7	0.6	16.6
6	1.9	2.1	5.0	1.7	3.4	-11.9	**0.0**	5.4	5.6	**5.9**	7.6	7.3	0.5	9.2	14.1	13.5	15.5	14.3	15.6	2.0	14.6
7	2.0	1.6	3.6	3.9	3.6	-8.5	4.0	7.3	6.9	6.9	8.9	11.4	2.5	9.8	12.0	13.3	13.3	11.6	13.0	3.0	15.0
8	3.8	4.0	6.8	5.8	5.1	-6.8	3.2	7.5	8.6	8.6	6.8	7.9	-1.1	8.8	11.1	10.6	12.2	12.4	11.8	2.0	14.8
9	5.4	4.8	7.5	6.2	5.5	-5.3	5.4	11.1	11.3	11.3	12.1	12.8	4.5	10.6	**9.0**	**8.8**	**10.7**	7.4	11.4	1.5	14.2
10	6.6	5.6	9.0	5.9	11.0	-1.1	6.8	9.5	8.9	10.0	9.2	12.1	1.2	12.0	12.4	11.0	11.6	12.6	13.3	3.4	13.8
11	7.0	6.3	9.0	7.5	13.5	-3.7	6.4	9.2	11.5	13.0	9.7	10.6	-0.5	11.2	10.8	10.2	12.3	9.8	11.1	**0.0**	16.2
12	8.1	7.6	9.8	9.4	15.0	-2.2	7.4	7.7	8.6	9.0	9.9	9.2	-1.6	10.2	12.5	12.6	15.5	11.1	13.6	2.0	14.8
13	10.4	10.5	10.8	10.4	12.2	-5.0	7.6	7.3	7.7	7.5	6.5	7.9	1.9	13.2	14.8	15.4	17.0	13.0	15.0	3.5	17.0
14	6.8	7.8	9.2	6.4	9.0	-3.0	6.4	6.5	7.1	7.7	8.4	9.8	1.0	10.2	13.9	15.1	16.0	14.2	14.6	5.0	**13.2**
15	7.8	8.4	9.2	7.6	8.2	-2.4	8.4	7.4	8.3	9.4	5.9	8.5	-3.3	9.2	11.0	10.7	13.0	10.9	13.6	2.9	15.6
16	7.8	8.1	9.3	6.7	7.9	-0.3	9.2	8.6	10.0	10.1	7.6	9.5	1.8	9.8	13.6	13.5	15.6	13.0	14.6	3.5	15.0
17	8.7	9.6	9.5	8.2	9.0	-2.1	8.4	10.1	11.8	12.1	8.7	12.3	1.8	13.8	13.5	12.9	16.4	12.9	13.7	6.5	16.2
18	8.5	9.4	9.8	7.1	9.0	1.0	11.8	8.0	10.8	11.9	5.8	8.9	-3.9	9.8	13.4	14.4	16.0	14.8	**10.5**	8.6	17.6
19	9.0	8.9	12.6	10.4	9.9	0.0	10.6	7.2	8.4	9.5	6.8	8.8	-3.8	11.2	13.4	14.0	15.3	13.1	12.6	4.5	14.8
20	8.8	9.0	10.6	7.0	11.4	-1.3	9.4	8.0	11.0	12.6	9.9	12.6	2.2	11.0	12.9	13.4	14.1	13.4	12.8	7.2	14.2
21	8.6	9.7	11.3	10.2	10.7	0.4	9.2	**3.9**	5.7	6.7	4.0	**5.8**	-4.5	9.6	11.6	11.4	12.7	12.2	12.4	5.6	16.2
22	7.7	8.7	10.5	8.6	11.4	3.6	11.4	4.3	**5.3**	6.4	**1.4**	7.0	-1.0	**8.0**	9.6	9.3	15.7	8.6	**10.5**	3.4	16.4
23	6.9	6.5	8.1	7.9	9.2	2.3	9.0	5.3	6.2	7.3	1.8	6.0	-2.5	9.2	12.2	14.2	16.0	11.6	13.6	3.0	16.2
24	5.6	5.8	6.0	7.2	6.5	2.0	8.4	5.8	6.6	7.3	4.4	8.5	1.7	9.2	14.1	13.9	14.7	13.8	14.0	5.0	15.0
25	6.4	6.1	7.0	8.1	7.0	2.5	8.2	8.1	9.4	11.0	9.7	9.5	-1.2	14.0	11.5	11.4	13.3	10.6	13.8	5.0	17.0
26	8.1	8.4	8.8	9.1	7.7	2.5	11.0	7.6	8.6	9.1	7.9	11.3	1.5	11.2	13.6	15.1	14.4	11.6	15.5	6.5	15.6
27	6.3	8.4	9.6	4.6	9.4	3.0	10.0	10.6	10.3	10.6	10.9	11.7	2.8	13.0	12.2	14.0	16.1	9.0	14.3	1.1	17.2
28	4.7	3.6	6.0	2.5	6.9	0.6	11.2	9.3	8.6	9.7	9.8	10.5	3.8	14.6	12.3	12.6	16.2	9.9	14.3	7.0	18.4
29	5.0	4.7	6.1	3.9	6.8	-2.2	10.8	13.8	14.4	15.1	11.9	13.5	3.7	14.2	14.4	14.3	15.8	12.7	15.7	2.7	16.4
30	7.4	7.3	8.6	5.4	8.0	-1.5	9.8	11.6	10.2	11.3	8.9	14.3	1.0	13.8	14.2	14.5	16.3	13.3	15.3	3.0	16.6
31								11.5	11.2	14.0	9.5	12.4	3.5	14.2							
Mittel	5.3	5.5	7.1	5.1	7.3	2.9	7.7	8.3	9.1	10.0	8.3	10.3	0.3	11.0	12.6	12.7	14.5	11.9	13.6	4.2	15.6

Temperatur-Minima 1952

Tag	Juli							August							September						
	Bern	Neu-châtel	Genève	Basel	Altdorf	Bever	Lugano	Bern	Neu-châtel	Genève	Basel	Altdorf	Bever	Lugano	Bern	Neu-châtel	Genève	Basel	Altdorf	Bever	Lugano
1	15.4	14.8	16.7	15.2	17.0	3.0	18.4	13.0	13.0	14.9	12.1	15.9	6.5	17.0	15.4	15.5	15.5	16.7	16.4	2.5	14.6
2	17.7	18.0	19.3	19.0	17.5	4.9	20.8	14.8	14.8	17.3	14.6	16.5	7.0	17.0	15.1	14.7	13.8	13.5	16.0	3.1	16.2
3	19.9	19.0	19.2	19.6	20.7	11.0	22.6	16.3	17.4	18.0	16.7	16.3	9.0	17.4	11.8	11.6	13.3	10.8	14.6	6.8	15.8
4	16.6	17.5	20.0	18.3	18.7	6.6	21.0	15.5	16.2	16.3	12.6	15.0	7.6	17.6	13.4	13.8	14.0	15.0	15.2	3.6	14.2
5	19.4	20.3	22.6	19.5	21.5	7.8	20.6	14.4	14.3	15.6	12.6	15.5	3.6	18.4	11.9	12.5	12.0	13.3	14.8	3.6	15.8
6	19.6	20.8	21.2	19.4	21.5	5.6	20.4	15.0	15.6	17.0	14.9	18.5	6.0	18.2	9.6	9.8	12.7	10.8	9.6	5.9	13.4
7	19.3	20.1	22.1	19.8	20.0	7.9	20.0	14.5	14.9	17.0	15.9	17.3	6.4	17.2	8.2	7.7	10.0	8.5	10.8	3.5	14.2
8	17.7	18.3	20.8	17.2	17.7	7.9	20.8	15.2	17.0	18.0	15.4	16.0	4.7	15.6	7.1	7.1	8.8	6.2	7.8	0.6	9.8
9	16.8	18.4	20.2	17.7	16.6	8.5	17.6	12.6	13.2	14.0	13.4	16.0	5.2	17.8	7.2	7.1	8.3	8.7	8.5	-1.1	9.8
10	15.0	15.3	17.5	15.5	17.0	9.5	16.6	13.4	13.6	15.3	13.1	15.0	5.2	14.6	7.4	6.7	10.0	8.3	9.2	0.4	11.2
11	14.6	15.6	17.1	14.1	15.0	4.8	18.0	10.5	12.6	13.0	12.5	13.0	4.0	15.8	8.8	7.2	11.0	6.7	10.3	3.0	11.0
12	16.0	17.9	18.6	17.6	16.7	9.6	20.2	15.2	15.0	16.0	17.0	15.5	5.1	17.6	8.7	8.9	9.8	9.7	8.5	0.9	11.8
13	16.2	16.5	18.8	13.5	16.7	7.5	17.8	17.5	17.3	19.0	19.0	17.5	6.5	18.6	6.6	6.6	5.4	8.6	7.4	-3.7	7.4
14	14.9	15.6	15.8	12.8	17.0	7.5	19.2	17.4	17.2	18.3	17.6	18.5	7.1	19.6	7.4	9.8	11.2	6.4	7.9	-4.0	9.0
15	15.4	17.1	17.2	13.5	17.0	8.6	18.0	17.4	17.7	18.3	18.2	20.0	7.3	20.6	10.0	11.0	12.5	11.2	10.4	1.8	9.8
16	14.0	16.9	17.8	14.4	16.6	6.9	15.8	13.2	13.6	17.2	16.7	17.2	7.9	20.6	8.4	9.8	11.6	6.4	10.5	2.5	12.8
17	12.7	11.7	13.8	8.8	15.8	6.4	19.2	11.6	12.4	13.5	12.0	13.8	7.8	14.8	8.8	9.8	12.2	7.7	10.0	4.5	11.8
18	12.6	12.8	15.0	10.5	14.5	4.6	18.8	10.7	9.8	10.6	12.2	11.1	4.8	15.2	9.5	10.7	12.0	10.9	10.8	0.3	9.2
19	15.2	17.0	14.8	16.5	16.9	3.4	17.2	12.8	13.6	13.0	15.0	14.9	7.7	14.8	4.4	5.7	6.8	5.6	7.0	-0.7	11.6
20	12.6	15.0	15.6	9.5	14.0	1.5	19.4	13.4	12.8	14.2	13.6	14.0	2.4	15.4	3.8	3.6	5.3	4.2	7.0	-1.6	8.0
21	15.5	16.1	18.8	12.9	16.5	7.2	20.2	11.9	12.2	13.0	12.5	11.6	1.0	11.6	**2.0**	**2.4**	**2.7**	**1.4**	**3.7**	**-7.5**	5.6
22	16.4	16.2	17.8	14.8	15.6	6.5	19.4	9.7	**8.3**	**8.8**	9.2	10.5	**-1.0**	**10.4**	8.5	9.2	8.5	9.9	9.2	-2.7	7.6
23	16.0	15.8	17.7	14.4	15.5	4.6	16.8	**9.3**	10.7	11.0	**6.2**	**10.0**	0.7	12.6	5.2	4.8	5.3	8.2	7.7	1.2	10.6
24	13.5	16.3	18.8	12.8	16.5	3.5	18.2	12.0	12.3	13.4	12.8	12.8	7.2	14.4	7.1	6.8	10.0	4.1	8.3	-4.5	8.4
25	10.4	12.8	14.5	**7.4**	14.9	3.5	17.8	11.7	13.4	10.7	12.8	12.1	5.2	12.2	6.1	8.1	8.6	7.4	7.7	3.5	10.2
26	11.1	14.0	13.8	9.3	13.2	**1.0**	19.0	11.6	11.5	10.8	10.4	11.5	-0.5	14.4	8.7	7.9	9.5	6.9	8.0	1.2	10.6
27	11.1	13.7	14.0	11.6	14.1	2.7	19.2	12.3	12.3	13.0	11.4	12.7	2.1	16.0	6.8	6.1	6.6	7.4	9.2	0.5	10.6
28	12.2	13.0	15.2	14.2	14.5	6.8	16.6	13.2	14.0	14.5	12.7	13.1	2.0	15.4	5.1	5.5	6.6	5.3	6.1	-2.1	**5.4**
29	10.4	**9.0**	**10.6**	8.4	12.9	4.9	**12.8**	13.3	13.2	14.0	12.8	14.4	1.9	14.4	4.6	5.0	6.9	6.5	7.7	-3.7	7.2
30	**9.9**	9.7	11.2	8.7	**11.9**	1.6	15.2	15.0	16.0	17.1	15.6	15.1	1.2	16.2	5.7	6.7	9.0	6.9	6.6	-5.4	5.6
31	11.3	12.0	13.2	10.7	13.6	6.0	16.6	15.0	15.1	16.2	15.7	16.8	7.5	15.8							
Mittel	14.8	15.7	17.1	14.1	16.4	5.9	18.5	13.5	13.9	14.8	13.8	14.8	4.8	16.0	8.1	8.4	9.7	8.4	9.6	0.4	10.6

Tag	Oktober							November							Dezember						
	Bern	Neu-châtel	Genève	Basel	Altdorf	Bever	Lugano	Bern	Neu-châtel	Genève	Basel	Altdorf	Bever	Lugano	Bern	Neu-châtel	Genève	Basel	Altdorf	Bever	Lugano
1	6.8	7.2	8.8	9.2	8.8	2.8	8.8	2.0	3.4	4.0	4.1	4.9	-5.1	8.4	7.5	8.4	8.2	2.0	8.4	-2.5	6.4
2	6.0	5.1	7.2	6.7	7.3	-6.4	8.2	3.2	3.7	4.7	5.0	4.8	-4.2	4.8	-2.2	3.1	6.8	-1.0	4.8	-1.9	5.4
3	6.0	5.8	6.4	7.6	6.5	-9.6	4.4	5.0	4.2	7.5	6.4	6.1	-3.9	4.6	-0.5	-0.4	2.2	-1.6	1.4	-6.2	1.8
4	5.3	4.7	4.4	8.5	7.9	-3.9	4.8	1.3	2.0	4.5	2.5	2.4	-10.5	8.8	-1.5	-0.8	1.0	-0.7	0.3	-9.9	4.8
5	7.7	8.1	6.5	6.4	8.9	0.1	8.4	-0.6	0.4	0.3	0.7	0.8	-12.2	2.2	-2.8	-2.7	-0.7	-2.8	-0.8	-17.0	0.6
6	7.5	5.2	9.0	4.3	5.6	-4.8	6.0	3.0	5.1	5.0	3.6	1.0	-7.5	3.2	-4.6	-3.8	-2.2	-6.3	-1.2	-18.6	-2.4
7	7.7	10.3	11.6	8.0	10.5	0.0	7.8	0.5	2.3	2.3	3.4	4.2	-7.8	3.4	-4.5	-3.3	-2.2	-6.0	-1.6	-9.7	-1.4
8	4.1	6.0	8.6	4.8	6.3	-4.3	6.8	0.3	0.6	0.5	1.9	1.0	-9.2	1.8	-4.3	-4.3	-1.6	-6.2	-0.9	-12.9	0.4
9	1.0	2.0	2.3	0.7	2.5	-8.0	4.4	-1.1	-1.0	0.8	0.4	-1.7	-15.0	3.2	**-4.8**	**-4.8**	-2.2	-4.2	-1.6	-16.5	-1.8
10	5.6	7.6	9.0	4.3	5.0	-6.0	5.2	0.1	0.1	0.6	2.7	-0.3	-13.8	2.6	**-4.8**	**-5.0**	-2.5	-5.2	-1.7	-19.1	-2.8
11	1.8	3.8	6.2	2.6	3.9	-2.7	6.2	1.4	2.1	3.8	3.8	1.4	-8.9	3.4	-3.3	-1.7	**-3.8**	**-6.5**	-0.9	-17.4	-0.4
12	**-0.7**	**-0.6**	**0.8**	**-1.2**	3.3	-8.3	2.2	0.0	0.7	1.3	0.4	-0.4	-11.5	3.0	0.7	2.1	4.3	0.9	0.5	-11.0	0.8
13	0.1	1.4	2.6	1.0	**2.0**	**-10.9**	**3.0**	-2.4	-1.5	-2.5	-0.6	-0.8	-17.1	1.4	0.4	3.4	5.3	2.2	1.0	-11.2	-0.4
14	7.0	6.1	8.5	6.7	5.8	-1.6	6.0	-1.3	-0.6	-0.5	-0.7	-1.3	-16.1	-1.0	0.4	0.1	0.3	1.2	-0.1	-13.8	-2.4
15	4.0	4.3	5.7	1.7	4.0	-3.0	4.8	-2.9	-1.4	-1.6	-1.0	-3.3	-25.0	-2.8	-3.4	-2.2	0.2	-0.6	0.3	-11.6	-0.4
16	3.2	2.5	4.3	0.7	2.1	-6.6	8.0	**-5.5**	**-3.4**	-4.3	**-3.1**	**-6.8**	**-26.0**	**-3.4**	-4.4	-3.6	-1.6	-4.6	-1.9	**-22.8**	-1.8
17	7.1	7.6	8.0	4.5	6.4	-4.0	5.6	-2.7	-2.8	-1.2	-2.4	-1.5	-16.4	-0.6	-1.8	-0.7	-0.4	-3.0	-1.2	-20.4	-3.2
18	6.0	5.9	7.8	3.9	**2.0**	-6.1	6.2	-2.2	-1.4	0.2	-2.6	-0.5	-16.2	0.8	-0.4	-1.5	0.3	0.9	0.6	-15.7	**-4.2**
19	6.3	6.5	8.0	5.9	5.0	-5.3	9.4	-3.2	-2.7	-1.4	-2.5	0.7	-5.0	-0.8	-0.3	0.0	0.3	0.6	0.4	-15.6	**-4.2**
20	5.6	6.5	6.8	7.3	6.5	-1.0	8.8	-3.7	-2.3	-6.3	-1.8	0.7	-12.0	1.2	0.4	1.0	1.4	0.6	1.4	-12.8	-3.4
21	8.0	8.0	9.3	6.7	11.4	2.7	9.8	-3.4	-1.5	2.2	-0.1	2.0	-12.0	2.2	1.9	2.0	3.0	3.4	2.5	-9.5	-0.2
22	8.1	7.4	11.0	9.2	9.9	1.8	10.8	0.6	1.4	2.0	1.8	2.0	-17.4	-0.4	0.4	1.2	0.4	1.5	2.4	-9.4	1.2
23	7.7	6.9	9.9	5.7	9.5	-0.1	10.4	0.7	-0.1	0.5	-0.4	0.9	-15.2	0.2	0.7	1.0	2.4	1.0	1.2	-11.6	0.6
24	10.2	11.2	11.2	11.2	9.7	-1.5	9.2	0.5	0.5	0.3	-1.2	1.3	-17.1	1.0	1.7	1.7	2.8	3.0	1.2	-17.6	-2.8
25	10.3	10.3	11.6	10.7	11.4	1.5	11.4	1.6	1.8	3.3	-2.3	0.3	-18.6	-1.4	-0.8	0.5	0.7	0.9	0.3	-13.2	-2.4
26	6.4	7.6	9.0	8.7	7.7	-0.6	11.8	2.4	2.0	4.2	-0.3	3.5	-4.9	3.0	-2.4	-0.9	-0.7	-1.0	-2.2	-18.7	-2.6
27	3.0	3.6	4.1	4.1	4.4	-8.0	5.8	6.7	7.4	9.2	6.2	5.0	-7.8	0.8	-2.4	-1.0	0.3	0.1	-0.7	-17.3	1.2
28	3.5	3.8	3.7	4.2	4.5	-7.0	5.2	6.8	7.3	8.6	8.1	4.8	-4.4	5.4	-2.7	-2.0	-0.5	-0.2	-2.2	-22.4	-3.2
29	5.8	6.6	9.3	8.3	5.5	-4.7	4.6	3.2	3.7	4.8	2.5	2.9	-11.9	2.2	-3.5	-2.4	-1.0	-1.1	**-2.5**	-18.2	-1.8
30	6.5	6.2	8.6	5.2	8.3	-4.0	5.8	2.1	2.9	3.3	2.3	3.0	-10.5	5.2	-2.6	-2.5	-0.8	-1.1	-2.1	-18.2	-1.4
31	2.0	3.1	4.0	4.6	5.3	-6.0	4.8								-3.0	-3.0	-1.0	-4.0	-0.7	-14.5	0.4
Mittel	5.5	5.8	7.2	5.6	6.4	3.8	6.9	0.4	1.0	1.9	1.2	1.2	-12.1	2.1	-1.5	-1.1	0.6	-1.2	0.1	-14.1	-0.6

Temperatur-Maxima 1952 (Ablesungen an den Maximumthermometern)

Tag	Januar							Februar							März						
	Bern	Neu-châtel	Genève	Basel	Altdorf	Bever	Lugano	Bern	Neu-châtel	Genève	Basel	Altdorf	Bever	Lugano	Bern	Neu-châtel	Genève	Basel	Altdorf	Bever	Lugano
1	6.8	7.4	7.0	11.8	7.5	1.6	8.8	2.4	2.1	1.7	5.8	5.7	-3.0	10.2	6.5	10.2	11.5	10.0	5.5	5.5	15.8
2	4.6	8.6	5.5	7.2	8.2	-2.6	10.2	2.2	3.3	4.0	3.5	3.1	-5.2	10.4	10.4	11.7	14.5	14.3	5.5	11.6	15.4
3	5.2	5.7	6.5	9.1	8.5	1.0	3.6	2.7	3.0	4.0	2.7	2.0	-4 5	8.2	11.2	11.3	11.0	14.9	7.5	7.1	10.4
4	2.2	2.2	3.5	3.5	8.9	1.8	10.0	1.0	1.7	2.0	2.3	1.3	-2.8	7.8	12.3	13.5	16.5	18.5	9.5	6.7	14.0
5	3.0	3.9	1.1	5.7	3.4	-2.9	8.4	1.6	2.9	1.8	2.3	1.6	-4.3	8.4	9.0	10.1	15.0	15 5	12.0	11.5	14.0
6	4.1	5.9	6.7	5.8	5.1	0.7	8.2	-1.2	0.5	1.0	0.6	2.6	-2.4	9.6	9.1	9.0	11.4	11.9	9 5	7.5	19.4
7	0.5	0.0	1.3	3.3	5.0	0.5	7.2	2.5	2.0	3.0	2.4	4.5	-1.6	8.4	6.3	6.9	9.5	7.8	6.5	4.5	8.4
8	-0.6	0.1	0.7	4.6	2.5	3.2	7.2	2.4	2.2	3.0	2.8	1.5	-0.3	9.0	3.8	4.5	8.6	6.8	5.5	4.6	3.2
9	6.3	7.6	8.2	11.9	3.8	1.5	5.0	0.5	1.2	1.2	1.6	1.4	-1.2	9.6	7.2	5.9	9.8	6.3	4.3	1.7	8.8
10	4.0	2.5	5.8	6.1	5.8	4.7	10.0	0.7	0.9	0.9	2.3	0.6	-1.2	9.2	7.4	8.7	10.2	11.4	9.0	3.0	5.4
11	7.6	7.2	9.0	10.7	6.8	4.9	10.2	3.9	4.3	5.2	5.7	3.2	-1.4	9.6	9.3	9.9	8.3	13.9	7.4	5.2	13.0
12	4.6	5.1	4.2	6.3	6.8	4.5	11.8	5.2	4.5	5.6	6.9	3.0	3.3	6.2	10.0	10.2	12.0	12.0	7.8	4.7	10.4
13	1.4	4.1	4.2	4.9	3.7	?3.2	11.0	-0.4	2.1	0.8	1.1	3.0	-2.6	6.6	10.6	12.6	11.2	13.3	9.5	7.1	11.6
14	1.7	1.7	2.6	0.8	2.9	-1.0	7.0	-0.9	1.8	0.6	1.3	-0.1	-4.9	8.2	5.6	6.4	12.3	7.9	11.5	-1.0	16.4
15	4.1	6.4	5.0	10.8	3.6	-1.5	7.6	-3.8	-2.5	-1.6	-1.6	0.5	-5.4	8.2	6.8	7.2	6.4	9.9	6.8	2.4	11.2
16	3.2	5.8	7.0	10.3	5.3	1.7	5.8	-3.3	-0.4	-0.5	-1.0	-1.2	-3.9	9.2	10.2	11.1	13.8	12.4	9.5	8.4	12.2
17	6.7	7.1	8.2	9.8	6.7	2.7	3.4	-1.7	0.6	0.4	5.7	-0.6	-3.6	10.2	12.9	14.2	14.4	15.4	10.9	9.4	14.4
18	0.6	1.5	2.0	2.5	2.2	?2.7	10.2	-0.1	1.8	0.5	3.6	-0.6	-4.7	8.4	12.8	13.7	14.0	17.7	15.4	7.6	15.6
19	-0.6	0.1	2.5	1.3	1.5	0.3	8.8	0.2	1.7	1.3	3.0	-0.2	-3.3	9.6	12.8	14.0	11.5	17.0	15.7	7.7	17.0
20	-1.0	0.3	2.3	1.3	1.5	?0.3	8.0	3.6	2.6	4.6	6.1	2.1	1.1	10.0	10.5	10.7	14.0	10.9	12.4	7.7	19.2
21	-4.8	-4.3	-2.2	0.1	2.4	-9.4	6.2	5.3	7.1	4.5	9.7	4.7	3.6	17.6	8.8	9.2	11.0	11.0	9.5	7.6	20.0
22	-5.2	-4.3	-1.8	-1.3	-3.4	-3.1	4.6	6.3	6.3	5.6	7.7	4.5	4.4	12.4	11.1	11.3	14.5	12.4	9.0	5.7	21.2
23	-5.0	-5.5	-2.4	-1.7	-2.6	-2.2	5.2	8.0	7.6	6.5	5.3	3.0	5.4	11.4	12.3	14.3	12.0	14.9	10.5	12 0	26.8
24	-5.9	-5.3	-1.5	-1.5	-1.0	0.2	2.0	6.4	8.1	8.0	0.5	11.1	5.2	12.8	11.8	11.9	15.0	13.9	14.7	14.1	18.2
25	-1.4	-0.8	0.6	-1.2	-1.0	-4.0	2.8	2.0	2.4	2.5	5.6	1.0	5.4	14.0	11.4	9.7	11.5	13.3	14.0	7.6	22.4
26	-0.8	2.0	1.4	-1.3	0.3	-2.9	7.2	1.3	1.2	2.8	6.5	2.0	5.6	14.2	9.2	7.2	7.4	9.1	11.5	6.5	19.8
27	-1.3	-0.5	2.1	0.6	0.6	-4.3	1.4	4.9	6.1	4.5	10.0	2.1	5.0	15.0	6.5	6.6	6.5	8.4	5.7	7.0	16.4
28	-3.0	-0.8	-2.0	2.6	-0.3	-7.2	8.6	7.6	10.2	8 0	10.8	2.9	3.3	14.4	2.0	2.1	4.0	3.7	13.9	1.0	8.0
29	-0.5	-1.0	3.0	0.0	-0.7	-1.9	5.4	7.2	7.5	8.0	7.9	6.0	7.0	12.2	7.6	6.3	6.5	9.3	17.5	5.7	5.4
30	3.2	2.2	3.1	3.8	-0.6	0.6	6.4								11.6	10.5	14.0	13.9	18.1	6.9	10 4
31	2.4	4.3	4.2	8.1	1.9	-3.1	0.4								15.6	16 7	19.0	18.3	15.8	8.4	12.6
Mittel	1.3	2.2	3.2	4.4	3.1	-0.3	6.9	2.3	3.2	3.1	4.2	2.4	-0.3	10.4	9.4	9.9	11.5	12.1	10.4	6.6	14.1

Tag	April							Mai							Juni						
	Bern	Neu-châtel	Genève	Basel	Altdorf	Bever	Lugano	Bern	Neu-châtel	Genève	Basel	Altdorf	Bever	Lugano	Bern	Neu-châtel	Genève	Basel	Altdorf	Bever	Lugano
1	11.6	10.1	15.5	11.7	18.4	?8.4	11.2	22.2	22.6	21.5	21.6	24.0	16.1	25.4	22.7	23.6	25.3	28.8	25.4	18.4	22.4
2	2.5	4.8	4.4	11.1	13.4	0.4	10.	20.4	21.9	20.6	22.7	25.5	19.6	20.2	21.0	22.5	25.2	22.5	25.7	16.6	25.4
3	3.7	7.0	6.2	7.7	6.1	-0.8	10.4	17.4	18.7	21.0	2 .9	23.2	13.5	21.0	20.3	21.2	24.0	22.4	22.8	19.2	20.6
4	6.2	8.1	7.5	9.2	7.3	2.4	12.8	14.3	14.1	14.6	17.4	18.3	10.0	12.0	20.4	22.9	22.2	24.0	21.3	16.9	26.2
5	9.2	10.6	12.0	10.4	8.4	5.0	9.2	17.1	16.7	19.0	20.7	18.5	?15.9	14.4	26.2	25.2	28.2	28.1	23.8	18.5	26.0
6	10.9	11.7	14.6	13.0	9.0	5.5	17.2	17.6	17.8	15.4	21.9	20.6	15.6	13.8	26.0	23.6	26.0	25.4	25.3	18.2	25.6
7	16.4	16.5	17.3	20.1	14.3	6 4	16.2	18 1	18.9	18.0	21.5	21.6	17.5	21.4	19.5	21.1	22 5	20 9	24.4	16.8	25.8
8	17.5	18.6	20.0	23 3	17.3	13.4	19 2	18.1	19.0	17.1	22.8	22.0	20.1	22.0	17.7	18.5	19.5	20.6	17.0	14.8	25.0
9	19.3	19.4	15.5	24.1	20.6	10.4	19.2	18.7	20.4	19.0	22.1	20.0	?21.0	21.0	19.6	21.3	20.8	21.9	18.3	16.6	23.0
10	20.2	20.6	21.4	24.7	21.2	11.4	20.	21.1	20.1	19.8	24.1	21.0	17.9	23.4	21.5	22.2	22.4	24.8	18.5	18.1	25.0
11	22.2	21.5	20.0	24.3	21.4	14.0	21.4	20.2	22.1	22.8	22.9	23.5	16.5	21.2	24.6	25.3	27.2	27.0	22.7	21.1	27.0
12	20.6	18.8	17.4	22.9	22.0	11.7	21.0	15.5	16.8	17.0	17.5	23.7	?18.5	23.6	26.3	27.6	24.7	28.6	25.2	27.6	29.2
13	20.7	21.9	20 2	23.6	19.8	12.6	18.4	15.7	16.9	17.4	20.5	16.3	18.2	24.6	22.9	25.1	25.5	26.0	26.5	20.6	27 2
14	21.3	22.4	20.6	24.5	22.0	13.3	22.4	18.3	20.3	20.2	21.4	18.6	19.8	25.0	22.9	25.1	26.5	24.3	24.3	19.7	27.4
15	22.3	22.4	20.8	23.3	20.5	18.0	22.2	19.6	21.9	21.0	23.5	20.7	20.5	19.4	26.4	26.8	28.7	28.9	24.2	18.2	25.6
16	21.3	22.1	21.0	23.1	20.0	15.0	23.2	22.0	23 5	23.5	25.1	21.3	20.0	26.0	19.7	22.7	25.8	22.5	26.3	19.7	27.2
17	21.4	22.5	21.7	23.3	20.7	17.7	25 0	20.3	23.1	23.6	22.5	24.5	16.2	27.8	24.8	24.0	27.6	27.5	21.2	20.0	26.2
18	22.3	21.8	20.5	24.4	20.5	15.0	25.6	19.4	22.0	21.6	22.8	22.0	?24.0	21.8	20.6	19.9	21.5	24.7	18.9	20.0	23.6
19	21.5	22.7	23.5	23.3	21.3	16.8	23.6	20.2	21.9	22.0	24.1	22.0	21.8	24.0	19.0	21.6	23.2	22.5	20.0	19.2	25.6
20	19.3	18.2	20.5	21.9	20.5	?20.1	24.0	17.1	20.1	19.6	19.9	19.5	17.4	25.6	16.6	19.9	20.5	20.8	18.5	15 0	27.4
21	18.0	18.5	20.6	19.9	19.3	19.5	19.6	14.1	16.2	15.5	17.2	16.7	10.9	19.4	20.1	21.8	21.2	22.2	18.6	20.8	27.2
22	13.4	13.1	13.6	15.7	19.7	12.6	19.4	15.6	17.3	16.8	18.7	18.5	9.0	19.2	24.5	24.3	26.0	25.5	20.9	17.0	26.4
23	9.6	10.1	13.0	12.4	15.0	10.0	11.4	16.2	18.2	17.1	20.1	18.4	14.5	20.6	23.3	25.4	25.6	23.2	23 8	17.7	27.4
24	7.4	9.2	9.0	9.9	11.0	9.1	10.6	18.7	20 7	20.7	21.4	18.1	14.6	25.0	23.7	26.1	26.2	24.0	21.7	17.1	29 4
25	9.4	10.9	12.0	11.3	11.8	12.7	20.6	16.7	19.3	18.8	20.7	20.0	16.3	26.6	26.3	26.6	26.2	27.2	23.0	19.5	28.2
26	9.9	10.5	12.1	11.4	12.2	13.7	22.2	17.5	20.7	20.6	18.8	16.8	13.0	26.8	24.6	27.6	27.2	25.7	26.0	16.8	31.0
27	12.1	15.3	15.4	15.7	12.3	13.2	21.0	18.3	20.6	21.0	18.7	17.6	13.3	25.0	22.0	26.3	25.2	27.1	26.4	19.5	27.2
28	17.4	16.6	15.8	18.7	15.5	12.0	20.0	21.3	22.9	24.5	22.6	19.8	16.1	21.0	26.7	26.9	26.2	30.6	24.2	23.0	28.2
29	20.2	19.7	17.3	22 6	17.0	15.0	22.2	22.2	22.9	25.0	23.5	19.5	10.3	24.0	29.7	30.7	30.2	34.1	26.7	?31.5	30.6
30	21.7	21.8	22.2	26.1	22.4	18.2	23.2	22 8	23.1	22.0	24.2	21.1	17.8	25.0	30.5	32.6	31.5	34.5	29.6	26.2	32.2
31								22.8	22.5	25.0	27.2	23.7	18.5	22.4							
Mittel	15.7	16.2	16.4	18.5	16.7	11.8	18.7	18.7	20.1	20.1	21.6	20.6	16.6	22.2	23.0	24.3	25.1	25.5	23.0	19.5	26.8

Temperatur-Maxima 1952

Tag	Juli							August							September						
	Bern	Neuchâtel	Genève	Basel	Altdorf	Bever	Lugano	Bern	Neuchâtel	Genève	Basel	Altdorf	Bever	Lugano	Bern	Neuchâtel	Genève	Basel	Altdorf	Bever	Lugano
1	32.7	32.1	31.8	36.1	30.0	28.0	32.4	27.7	28.5	29.5	31.7	25.4	18.7	27.6	**21.5**	23.6	22.6	**25.6**	20.9	20.1	**28.2**
2	33.5	33.7	**35.8**	**39.0**	33.1	**30.5**	33.4	27.9	30.0	30.3	30.8	25.8	20.5	28.2	21.3	**24.0**	**23.2**	22.9	**22.8**	**20.2**	27.8
3	30.4	31.5	29.6	35.3	33.9	28.4	33.8	25.6	26.8	28.5	27.7	24.6	22.5	29.6	21.0	23.3	21.8	22.7	22.4	17.5	27.6
4	32.6	33.2	33.6	35.7	32.3	28.3	33.6	26.7	28.4	28.6	29.5	24.4	26.1	29.6	20.2	21.7	22.2	20.3	22.4	17.8	27.6
5	**33.9**	34.4	35.1	36.8	33.4	28.1	34.6	30.7	31.4	32.0	33.4	26.8	24.3	30.0	20.2	20.9	24.0	23.1	20.9	17.8	20.4
6	33.2	**34.5**	32.9	36.7	**34.0**	28.2	**35.0**	29.8	**31.8**	**32.5**	34.6	28.0	22.4	28.8	14.3	17.0	16.0	18.6	20.8	11.9	20.8
7	31.5	33.0	32.8	32.9	33.3	27.1	34.4	20.7	22.0	25.0	24.9	27.5	22.4	26.2	13.3	14.3	17.6	16.5	14.0	8.4	21.0
8	28.9	29.3	30.2	33.6	31.3	27.5	33.2	23.8	26.7	26.0	26.7	23.4	22.0	28.0	14.0	14.3	15.2	13.0	14.4	13.9	23.4
9	21.0	27.4	26.4	26.4	28.5	25.2	29.8	22.4	25.2	25.0	30.3	27.2	19.6	26.2	12.3	14.4	15.8	14.4	14.9	6.6	22.4
10	23.2	27.5	26.5	27.1	21.0	18.5	29.6	21.5	23.5	24.5	24.6	26.0	23.2	28.6	14.1	14.0	16.6	16.7	14.3	9.4	17.0
11	28.4	29.4	30.4	31.1	24.8	21.8	31.2	26.6	26.2	25.6	30.9	23.3	26.1	28.8	11.1	11.9	12.8	15.3	14.3	12.0	13.6
12	27.6	28.4	32.4	29.1	26.4	20.4	30.2	30.1	30.4	32.0	35.1	29.0	25.3	30.0	13.1	14.1	14.0	16.7	13.7	4.7	20.0
13	25.6	27.5	29.2	26.1	24.6	26.0	29.8	**31.8**	31.3	27.2	**35.4**	28.0	**33.6**	31.6	15.1	17.4	16.8	19.4	15.4	10.0	21.8
14	25.8	28.6	28.9	28.3	23.4	21.0	29.4	29.9	30.7	31.0	33.6	30.5	24.9	**32.2**	16.0	17.2	17.0	19.7	17.6	11.7	18.4
15	26.6	29.6	29.6	27.9	24.6	25.5	27.0	26.5	29.3	28.8	28.3	**30.9**	26.3	31.2	17.1	19.5	19.0	18.7	17.9	13.1	23.4
16	19.4	22.0	23.8	23.1	22.5	21.0	29.4	23.0	25.2	25.5	24.8	27.9	22.0	29.4	14.7	16.7	16.8	17.4	19.0	15.8	16.6
17	25.9	27.1	29.2	27.5	22.3	20.5	29.0	19.0	20.3	20.0	23.2	21.1	14.2	28.6	18.6	19.5	20.8	22.2	17.0	10.6	14.4
18	24.8	26.3	28.5	27.1	24.3	20.7	29.2	20.4	21.2	22.0	25.9	19.9	26.5	27.0	14.0	15.5	19.0	18.0	15.9	13.9	20.6
19	23.7	26.1	26.7	25.0	25.0	19.8	30.6	20.0	21.7	22.8	23.5	22.4	13.0	17.2	10.4	9.8	13.0	12.2	15.9	7.4	22.2
20	29.5	29.0	28.0	30.0	23.8	23.2	30.0	17.7	20.2	20.2	21.2	18.8	10.4	23.0	11.4	13.8	13.0	16.0	11.9	8.4	20.4
21	28.2	30.9	28.5	30.2	27.4	23.5	28.4	17.4	16.4	18.4	19.6	17.4	15.1	23.8	15.0	16.0	17.0	17.1	13.5	9.6	18.8
22	28.2	31.5	29.6	31.7	27.4	20.9	30.0	18.6	21.3	19.4	21.7	18.4	16.2	25.6	12.0	13.4	14.2	15.1	16.5	12.7	20.2
23	28.4	32.5	31.6	30.7	25.5	22.8	32.2	17.2	18.9	16.9	22.7	18.5	15.5	21.4	15.2	16.0	16.0	15.4	14.3	13.6	23.2
24	22.5	26.7	26.0	24.7	27.7	23.6	31.4	16.3	17.2	16.2	20.7	17.0	12.7	16.4	15.9	17.8	17.8	21.4	15.7	14.3	21.2
25	22.7	25.4	25.1	27.0	19.7	19.8	26.8	20.6	22.6	21.2	25.5	20.1	12.5	24.6	18.8	19.0	20.2	20.5	17.2	11.7	18.6
26	25.7	28.7	27.3	28.3	23.8	20.7	28.8	24.5	23.6	22.5	28.7	24.1	25.8	26.2	13.9	14.0	16.5	17.1	17.2	12.2	23.4
27	29.4	30.9	32.3	30.2	26.3	26.8	29.2	26.8	26.4	27.5	29.9	24.4	20.5	27.6	11.1	10.5	16.6	15.8	14.9	7.6	16.2
28	22.1	19.2	24.6	19.1	27.4	14.5	19.8	28.4	28.9	24.2	31.3	24.9	20.7	29.2	13.7	16.2	16.5	17.5	15.8	11.9	20.0
29	20.1	22.4	21.6	22.5	19.4	15.4	28.6	27.3	27.7	23.0	33.7	27.8	24.5	29.6	13.9	11.3	15.6	16.1	18.0	6.1	11.8
30	24.1	25.4	25.8	27.4	22.3	19.5	27.2	26.4	27.3	27.8	31.0	27.7	18.8	24.4	10.3	10.2	12.0	11.4	17.0	6.9	10.4
31	25.5	26.7	25.3	28.5	24.2	20.0	25.8	21.3	21.3	22.2	24.3	27.9	20.1	25.8							
Mittel	26.9	28.7	29.0	29.5	26.6	23.1	30.1	24.1	25.2	25.0	27.9	24.5	20.9	27.0	15.1	16.2	17.3	17.9	16.9	11.9	20.4

Tag	Oktober							November							Dezember						
	Bern	Neuchâtel	Genève	Basel	Altdorf	Bever	Lugano	Bern	Neuchâtel	Genève	Basel	Altdorf	Bever	Lugano	Bern	Neuchâtel	Genève	Basel	Altdorf	Bever	Lugano
1	13.1	14.0	15.0	16.3	17.0	7.0	12.4	8.3	9.7	10.2	9.1	8.4	2.2	17.0	**10.1**	**9.6**	12.6	9.9	**13.8**	**5.1**	11.0
2	11.5	11.0	12.0	13.0	13.1	6.8	16.8	9.5	8.7	9.0	11.1	9.8	5.7	17.6	8.2	9.3	**14.0**	2.2	10.2	4.0	**13.8**
3	11.4	13.4	13.8	11.1	12.5	7.4	17.8	10.3	11.2	10.6	12.3	9.8	6.2	18.2	4.2	4.5	6.5	0.2	9.5	−0.4	8.4
4	12.3	13.2	14.8	16.7	13.3	9.6	19.4	7.5	8.9	10.0	11.4	9.0	5.8	**18.6**	0.3	2.1	3.0	0.6	4.3	0.2	10.6
5	15.4	16.8	18.2	13.9	13.1	8.0	19.0	9.3	10.6	13.4	12.3	8.7	**8.6**	14.6	−1.1	−0.4	1.4	0.9	1.7	−7.2	9.0
6	11.6	12.4	14.0	14.3	12.9	11.0	16.4	9.6	10.1	12.2	11.3	9.8	5.8	15.4	−2.5	−2.2	−0.3	−1.3	1.3	−9.2	5.2
7	14.7	**16.9**	18.2	16.5	13.3	10.8	20.0	8.2	7.1	9.4	10.4	11.0	5.3	12.6	−2.4	−0.4	0.0	−3.0	0.4	−3.1	4.2
8	11.5	13.3	14.0	12.7	13.5	10.8	19.0	1.6	2.8	3.2	3.8	9.0	1.9	11.4	−2.8	−1.8	0.2	−1.3	0.5	2.6	7.4
9	13.3	14.1	16.0	16.3	10.5	10.9	19.0	1.6	1.6	2.5	5.6	3.3	−5.1	12.4	−2.0	−3.6	−0.5	−2.3	0.0	−8.1	7.6
10	11.9	13.6	15.6	13.1	13.8	11.2	15.6	6.7	5.2	7.0	7.7	1.4	−2.2	8.6	2.0	−1.1	−0.6	−1.9	0.0	−6.2	7.2
11	9.2	11.9	11.7	11.2	11.1	1.7	17.6	7.1	5.5	8.4	9.2	7.7	0.0	16.2	2.0	3.9	5.3	1.2	3.1	?2.8	5.4
12	9.5	11.3	10.6	12.1	10.2	1.7	18.2	4.1	4.5	6.5	4.2	9.3	0.5	14.2	3.9	4.7	7.0	4.4	4.9	−0.1	4.8
13	10.3	10.3	12.4	7.3	8.5	2.0	9.8	3.3	5.3	5.0	5.5	5.4	0.7	12.0	7.0	6.6	8.6	10.5	5.4	−0.4	3.0
14	13.5	11.1	14.0	15.5	13.3	9.1	14.2	2.6	4.5	4.8	3.7	2.4	1.2	9.2	5.1	6.6	7.2	6.2	9.0	−5.8	5.4
15	8.0	12.4	13.6	12.2	12.0	9.4	**20.8**	1.1	1.3	3.2	3.3	2.1	?0.6	8.8	1.2	1.1	3.0	2.9	7.8	−3.4	9.4
16	13.8	10.5	15.4	12.0	10.7	9.9	14.4	−0.9	−0.4	2.0	1.0	3.9	?4.3	8.2	−0.4	0.5	1.5	3.5	4.0	−2.5	7.0
17	13.1	12.4	16.8	15.4	10.7	10.0	19.0	1.7	0.3	2.0	3.3	4.9	−0.2	8.0	4.2	3.7	7.3	6.9	3.5	−0.2	0.6
18	8.3	8.9	10.6	13.9	9.9	**16.3**	15.6	0.7	0.4	2.2	1.7	5.0	0.3	4.6	1.7	1.4	3.2	3.1	3.5	−1.1	9.2
19	9.2	9.7	12.0	11.3	10.0	6.0	13.2	0.2	0.3	2.0	1.7	2.8	2.4	3.6	2.7	2.6	4.6	6.5	3.0	−2.4	7.4
20	10.0	8.9	10.5	10.1	17.8	6.3	12.0	0.5	−0.7	3.0	4.7	6.9	1.1	8.2	5.8	5.9	8.4	8.5	3.4	1.7	8.2
21	14.5	13.6	16.8	17.3	**18.2**	11.9	12.4	2.8	4.3	7.4	4.5	9.6	0.8	6.6	6.4	5.9	8.0	9.1	6.3	1.8	7.2
22	13.4	12.6	14.0	16.7	16.7	12.3	15.4	5.2	6.4	5.9	8.7	9.0	0.9	10.8	3.7	4.9	5.0	5.3	7.0	−4.4	12.2
23	12.5	12.4	15.8	15.1	16.8	10.1	17.4	3.1	3.5	3.6	5.3	6.8	1.2	11.0	3.6	4.4	6.0	4.7	4.4	−0.6	10.2
24	**16.9**	15.8	**19.3**	**19.6**	12.8	12.6	15.0	3.2	4.2	5.4	6.3	5.5	?1.0	12.2	7.1	5.2	7.6	9.5	5.7	−2.6	5.4
25	14.6	12.4	18.6	15.7	15.2	10.3	13.8	3.2	2.7	5.2	0.1	4.8	1.3	6.4	5.8	7.9	8.0	**10.9**	6.1	0.2	7.4
26	12.7	13.7	15.0	15.8	13.9	7.3	19.4	12.5	11.4	14.0	9.4	8.2	5.1	11.2	1.1	2.2	2.5	2.9	5.4	−4.6	7.6
27	12.2	11.4	11.7	16.5	11.4	9.8	18.2	13.0	10.5	14.5	13.9	10.9	4.2	7.4	1.4	0.9	5.4	2.5	3.7	−0.3	5.8
28	13.3	12.6	16.0	15.6	12.5	13.1	15.4	12.6	**12.6**	**15.2**	**15.5**	11.7	6.6	9.4	0.8	0.4	3.0	3.3	3.5	−4.8	4.6
29	13.7	13.3	14.8	13.4	12.3	10.2	16.6	**13.4**	9.0	11.2	10.5	10.7	3.7	11.2	−1.3	−1.0	1.0	0.0	1.5	−7.9	2.4
30	12.3	12.6	13.4	15.8	11.7	5.4	15.8	10.8	11.6	14.7	10.7	**14.1**	6.7	9.4	−1.1	−0.9	0.8	0.2	0.9	1.5	4.8
31	7.2	8.9	7.4	9.8	11.8	1.6	19.2								−0.5	−0.4	1.7	0.2	1.3	−3.6	3.2
Mittel	12.1	12.4	14.3	14.1	12.9	8.7	16.4	5.8	5.8	7.5	7.3	7.4	2.5	11.2	2.4	2.7	4.6	3.4	4.4	−1.9	7.0

Monats- und Jahresübersichten sämtlicher schweiz. meteorologischen Stationen

In die hier folgenden Uebersichten werden die Beobachtungsresultate aller schweizerischen Stationen, soweit es die Zuverlässigkeit und Vollständigkeit derselben gestatten, aufgenommen. Zu beachten ist:

1. Die Minima und Maxima bei Luftdruck, Temperatur und die Minima bei der relativen Feuchtigkeit sind stets den üblichen Terminbeobachtungen entnommen (7^{30} 13^{30} 21^{30}, resp. 7^{30} 13^{30} 20^{30}).
2. Die Monatsmittel der Temperatur werden aus den 3 Terminbeobachtungen in der Weise abgeleitet, daß der Abendbeobachtung (21^{30}) das doppelte Gewicht beigelegt ist [$m = \frac{1}{4}$ ($7^{30} + 13^{30} + 2 \cdot 21^{30}$)]. Bei den wenigen Stationen, die eine andere Kombination der Beobachtungsstunden haben, wird eine nach den stündlichen Werten von Bern und Säntis berechnete Reduktion angebracht.
3. Als Tage mit Niederschlag werden diejenigen gezählt, an denen wenigstens 0.3mm gemessen wurden. Eine zweite Rubrik enthält die Zahl der Tage mit Niederschlagsmengen von mindestens 1.0mm.
4. Für die Zählung der Tage mit Gewittern werden nur die Gewitter berücksichtigt, welche über der Beobachtungsstation selbst niedergehen oder in höchstens 3 km Distanz an ihr vorüberziehen (Nahgewitter). Tage mit mehreren Gewittern werden als «Gewittertage» nur einfach gezählt.
5. Als heitere (trübe) Tage werden solche bezeichnet, deren mittlere Bewölkung < 2 (> 8) Zehntel ist.
6. Bei der Uebersicht der Windverteilung wird nur die Häufigkeit der verschiedenen Windrichtungen mit Index > 0 berücksichtigt.
7. λ bezeichnet die geographische Länge in Graden von Greenwich, β die geographische Breite, H_b die Höhe des Stationsbarometers über dem Meer in Metern, H die Höhe der Station (des Regenmessers) über Meer, G ist die Korrektion, welche an den Luftdruckdaten für deren Reduktion auf die Normalschwere (45° Breite und das Meeresniveau) noch anzubringen ist, h_r die Höhe des oberen Randes des Regenmessers über dem Erdboden. Die Stationen, bei denen die Höhe (des Barometergefäßes) bis auf den Dezimeter angegeben ist, sind an das schweizerische Präzisionsnivellement angeschlossen. Alle Höhen sind auf Pierre du Niton 373.6m bezogen.

NB. Die Schwerekorrektionen *(G)* sind vom Jahrgang 1936 an auf Grund neuer Berechnungen von Herrn Prof. Niethammer, Basel, eingesetzt worden.

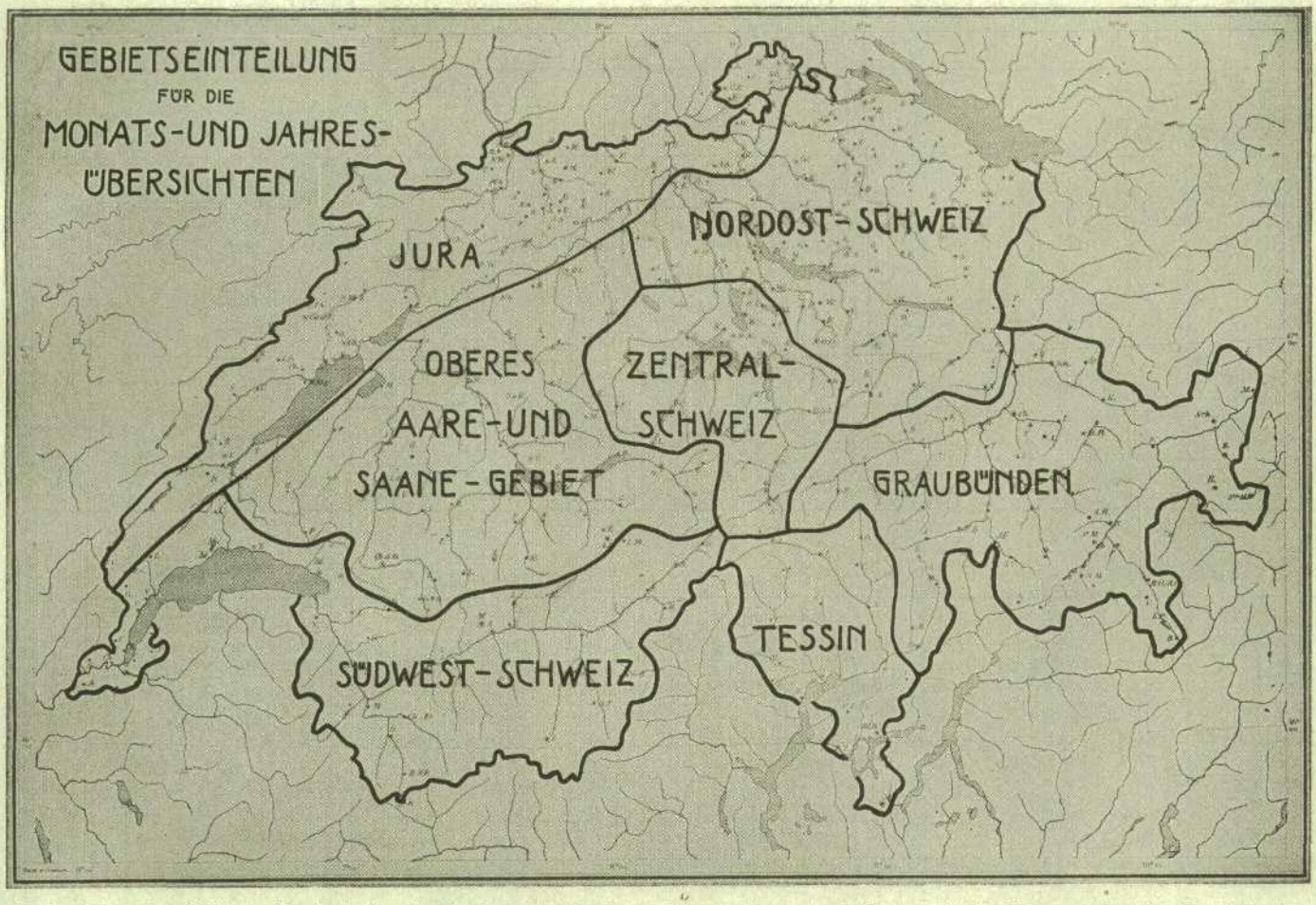

Reihenfolge der Gebiete: Nordostschweiz, Zentralschweiz, Jura, Oberes Aare- und Saanegebiet, Südwestschweiz, Graubünden, Tessin.

Zürich

$\lambda = 8° 34'$, $\beta = 47° 23'$, $H_b = 569.4^m$, $G = 0.03$ $^m/_m$, $h_r = 1.4^m$

1952	Luftdruck					Luft-Temperatur								Relative Feuchtigkeit					
	Mittel	Minimum	Tag	Maximum	Tag	7^{30}	13^{30}	21^{30}	Mittel	Minimum	Tag	Maximum	Tag	7^{30}	13^{30}	21^{30}	Mittel	Minimum	Tag
Januar	710.1	695.9	31	728.3	7	-1.7	1.0	-1.5	-0.9	-7.7	22	7.7	1	86	73	84	81	51	2
Februar	712.7	694.8	1	724.9	6	-3.1	1.2	-1.8	-1.4	-8.0	15. 17	7.2	28	91	72	88	84	52	28
März	709.3	692.3	29	716.9	1	2.6	8.1	5.2	5.3	-4.8	15	14.7	31	89	65	77	77	41	4
April	712.7	695.3	1	719.9	8	7.9	15.2	9.9	10.7	-3.3	3	23.4	30	79	55	71	68	32	30
Mai	712.9	699.7	4	720.3	23	11.2	18.4	12.5	13.6	5.6	21	25.5	31	76	47	70	64	36	22
Juni	714.6	707.9	15	720.5	3. 4	15.1	21.2	15.9	17.0	11.8	7. 8	30.9	30	77	53	70	67	33	30
Juli	714.2	704.5	28	719.1	10	17.9	25.4	19.5	20.6	11.6	25	33.2	5	73	46	65	61	34	1. 23
August	712.3	703.4	19	718.5	22	15.9	23.7	17 4	18.6	10.3	23	31.7	14	80	47	73	67	30	6
September	711.6	698.4	27	719.7	23	9.4	14.2	10.4	11.1	4.5	20	21.4	2	88	61	81	77	41	5
Oktober	711.5	702.2	14	718.9	17	7.0	10.7	8.2	8.5	0.3	13	16.0	22	89	66	85	80	48	14. 28 30
November	709.0	695.6	26	720.1	4	1.6	4.6	2.6	2.8	-6.1	16	11.9	30	87	74	83	81	37	5
Dezember	709.4	691.1	14	721.1	5	-0.5	1.1	-0.3	0.0	-5.8	8	8.8	1	87	81	85	84	59	13
Jahr	711.7	691.1	XII	728.3	I	6.9	12.1	8.2	8.8	-8.0	II	33.2	VII	83	62	78	74	30	VIII

Baden

$\lambda = 8° 19'$, $\beta = 47° 22'$, $H_b = 386.6^m$, $G = 0.08$ $^m/_m$, $h_r = 1.5^m$

Januar	726.4	711.0	31	745.6	7	-1.2	1.5	-1.0	-0.4	-8.5	28	8.0	11	79	65	78	74	42	28
Februar	729.1	709.9	1	741.8	6	-2.0	1.3	-1.3	-0.8	-7.6	6	5.4	21	81	63	78	74	46	16. 19
März	725.3	707.6	29	733.1	1	3.6	9.0	5.1	5.7	-2.9	15	16.8	31	86	57	78	74	34	15
April	728.5	710.3	1	735.9	8	7.8	16.2	9.8	10.9	-2.2	3	24.4	30	88	46	74	69	26	11
Mai	728.6	716.1	4	736.8	23	12.7	20.0	12.7	14.5	8.0	22	26.7	31	77	43	74	65	25	18
Juni	730.3	722.6	15	736.5	3	16.4	23.1	16.4	18.1	12.5	21	31.3	30	78	50	78	69	24	30
Juli	729.7	720.4	28	734.4	10	18.4	27.9	19.6	21.4	12.8	29	35.4	5	76	44	69	63	31	23. 30
August	727.6	718.3	19	733.4	22	16.2	24.8	17.5	19.0	11.8	22	34.1	14	86	48	81	72	29	1. 5
September	727.3	714.2	27	736.0	23	10.0	15.1	10.7	11.6	2.5	21	22.2	1	92	62	83	79	43	28
Oktober	727.6	718.2	14	736.4	8	7.5	11.4	7.7	8.6	0.9	12	16.8	24	93	69	91	84	49	2. 28
November	725.3	710.9	26	736.7	4	2.5	5.4	2.9	3.4	-3.3	16	13.2	28	87	74	83	81	54	28
Dezember	725.9	707.8	13. 14	739.6	7	0.8	2.3	0.7	1.1	-4.2	8	10.9	1	82	75	79	79	48	7
Jahr	727.6	707.6	III	745.6	I	7.7	13.2	8.4	9.4	-8.5	I	35.4	VII	84	58	79	74	24	VI

Winterthur

$\lambda = 8° 44'$, $\beta = 47° 30'$, $H = ca\ 485^m$, $G = 0.05$ $^m/_m$, $h_r = 1.6^m$

Januar	—	—	—	—	—	-1.5	1.4	-1.1	-0.6	-10.4	29	8.0	11	77	66	78	74	44	30
Februar	—	—	—	—	—	-2.9	0.8	-1.7	-1.4	-8.8	14	5.4	28	84	68	83	78	45	1
März	—	—	—	—	—	2.6	8 3	4.9	5.2	-3.8	15	16.2	31	87	58	74	73	30	4
April	—	—	—	—	—	7.6	14.7	9.4	10.3	-5.0	3	22.6	19	78	50	68	65	33	7. 8
Mai	—	—	—	—	—	11.7	17.9	12.1	13.5	7.7	21	23.8	31	71	41	66	60	31	18
Juni	—	—	—	—	—	15.5	21.1	15.8	17.0	11.6	8	28.2	29. 30	72	48	69	63	27	30
Juli	—	—	—	—	—	18.2	24.9	19.1	20.3	13.0	28	32.8	5	65	41	63	56	27	23
August	—	—	—	—	—	16.4	23.7	17.3	18.7	11.0	22	32.3	14	76	43	71	63	28	5
September	—	—	—	—	—	9.5	14.2	10.1	11.0	2.2	21	21.2	2	91	60	84	78	39	28
Oktober	—	—	—	—	—	6.8	10.7	7.7	8.2	0.9	13	15.5	22	93	66	89	83	43	30
November	—	—	—	—	—	1.8	4.9	2.4	2.9	-4.2	16	12.0	28	89	73	85	82	42	5
Dezember	—	—	—	—	—	0.1	1.5	0.2	0.5	-4.8	8	10.2	1	85	77	82	81	51	13
Jahr	—	—	—	—	—	7.2	12.0	8.0	8.8	-10.4	I	32.8	VII	81	58	76	71	27	VI/VII

Frauenfeld

$\lambda = 8° 54'$, $\beta = 47° 34'$, $H_b = 432.9^m$, $G = 0.06$ $^m/_m$, $h_r = 1.5^m$

Januar	722.3	707.0	31	741.4	7	-1.4	1.2	-0.9	-0.5	-11.3	29	8.5	11	83	70	82	78	44	12
Februar	725.1	705.4	1	737.7	6	-2.9	1.0	-1.7	-1.3	-8.9	14	6.0	28	89	71	87	82	47	1
März	721.5	704.1	29	729.3	1	2.4	8.1	5.0	5.1	-3.5	15	15.4	31	92	58	78	76	29	15
April	724.7	706.7	1	732.2	8	7.7	15.0	9.6	10.5	-4.2	3	22.4	19	85	49	73	69	30	11
Mai	725.0	712.0	4	732.9	23	12.3	18.5	12.6	14.0	7.8	6	25.4	31	72	39	73	61	27	22
Juni	726.6	719.5	15	732.8	4	16.7	21.9	16.3	17.8	13.0	8	28.6	29. 30	73	47	72	64	26	30
Juli	726.0	715.9	28	731.0	10	19 7	25.2	19.5	21.0	13.4	28	32.6	5	67	41	67	58	26	23
Dezember	724.1	715.1	19	730.8	22	17.4	24.2	17.7	19.2	11.4	23. 26	32.4	14	78	42	75	65	25	6
August	723.7	710.6	27	731.8	23	9.0	14.8	10.4	11.2	0.8	21	22.1	2	97	59	88	81	38	28
September	723.7	714.3	14	733.0	8	6.5	10.5	7.8	8.1	0.6	13	16.6	24	96	70	93	86	42	30
Oktober	721.3	707.5	26	732.7	4	2.1	4.6	2.4	2.9	-3.9	15. 16	12.0	28	92	75	89	88	48	22
November	722.0	703.8	14	734.5	5	0.0	1.4	0.1	0.4	-5.5	11	10.2	1	88	79	84	84	55	13
Jahr	723.8	703.8	XII	741.4	I	7.5	12.0	8.2	9.0	-11.3	I	32.6	VII	84	58	80	74	25	VIII

Beobachter: Meteorolog. Zentralanstalt

Zürich

Bewölkung				Niederschlag			Zahl der Tage								Windverteilung									1952
7^{30}	13^{30}	21^{30}	Mittel	Summe	Maximum	Tag	●	●≥1.0	✳	▲	⛆	≡	heiter	trüb	N	NE	E	SE	S	SW	W	NW	Calmen	
9.0	7.9	7.6	8.2	57	15	11	16	11	12	—	—	7	—	20	3	7	5	1	25	31	13	3	5	Januar
9.2	7.1	7.0	7.8	106	23	3	16	11	16	—	—	11	2	17	9	10	4	2	21	21	10	1	9	Februar
8.1	7.0	7.6	7.6	105	22	22	17	14	3	—	—	5	1	16	8	16	6	2	25	18	8	4	6	März
5.4	5.1	4.5	5.0	113	38	1	9	9	2	1	1	1	6	6	12	22	6	2	19	12	7	5	5	April
5.1	5.3	6.1	5.5	81	24	11	11	10	—	—	4	—	4	6	13	29	8	2	17	9	10	5	—	Mai
5.1	5.6	6.0	5.6	118	30	6	13	11	—	—	6	—	7	11	8	11	6	3	21	16	14	8	3	Juni
3.6	4.0	5.3	4.3	50	22	28	7	5	—	—	3	—	8	4	12	21	7	3	12	11	10	12	5	Juli
5.5	5.0	5.6	5.4	113	23	15	16	16	—	—	5	2	6	8	6	7	3	5	32	19	14	2	5	August
8.0	7.3	7.6	7.6	116	16	5	22	17	—	—	2	1	1	15	7	15	7	5	12	26	14	—	4	September
8.4	8.1	7.7	8.1	214	38	25	23	19	—	—	—	11	2	18	2	8	6	4	21	28	15	5	4	Oktober
8.5	8.3	7.5	8.1	148	31	25	20	17	9	—	1	5	1	19	4	16	5	1	15	31	10	5	3	November
9.6	9.0	9.2	9.3	117	37	1	20	16	13	—	—	8	—	27	7	18	4	3	20	27	8	2	4	Dezember
7.1	6.6	6.8	6.9	1338	38	X	190	156	55	1	22	51	38	167	91	180	67	33	240	249	133	52	53	Jahr

Beobachter: Nordostschweiz. Kraftwerke

Baden

8.9	8.7	8.2	8.6	71	15	11	16	14	10	—	—	—	1	21	11	4	1	—	—	17	38	3	19	Januar
8.9	6.8	7.1	7.6	98	24	3	13	12	12	—	—	5	1	15	5	13	9	—	1	11	18	9	21	Februar
8.7	6.6	6.2	7.2	108	21	22	16	13	4	—	—	6	2	15	2	12	11	1	2	14	25	8	18	März
5.1	5.5	4.8	5.1	79	28	1	8	5	1	—	1	—	8	7	9	10	16	1	1	9	17	7	20	April
5.2	4.9	5.5	5.2	76	30	11	12	7	—	—	1	1	4	5	4	17	5	2	—	15	26	13	11	Mai
4.7	5.2	4.4	4.8	73	23	6	11	10	—	—	3	—	9	7	18	—	3	—	1	10	45	8	5	Juni
2.5	3.6	4.5	3.5	45	25	28	5	4	—	—	4	—	13	3	15	11	10	—	—	7	33	11	6	Juli
5.4	5.3	4.9	5.2	114	38	30	14	14	—	—	3	—	6	8	10	4	—	—	3	15	39	7	15	August
8.2	7.5	6.6	7.4	87	11	12	21	18	—	—	—	2	1	16	1	3	2	—	—	6	47	2	29	September
9.1	7.8	7.2	8.0	169	34	25	22	19	—	—	—	10	—	18	—	6	—	—	—	7	55	8	17	Oktober
9.4	7.8	7.8	8.3	181	47	10	23	20	8	—	—	2	—	18	4	2	—	—	—	5	46	7	26	November
9.9	8.9	8.7	9.2	126	29	1	17	16	10	—	—	3	—	23	8	12	9	—	—	3	42	7	12	Dezember
7.2	6.6	6.3	6.7	1227	47	XI	178	152	45	—	12	29	45	156	87	94	66	4	8	119	431	90	199	Jahr

Beobachter: A. Meyer

Winterthur

8.5	8.1	8.2	8.3	67	16	11	14	13	8	—	—	—	—	22	—	1	4	7	8	4	—	—	69	Januar
9.1	6.7	6.9	7.6	105	25	11	16	13	13	—	—	2	1	15	1	—	2	4	6	—	—	1	73	Februar
7.7	6.1	6.7	6.8	85	21	22	17	14	1	—	—	1	2	13	—	7	—	6	8	—	—	—	72	März
5.2	5.3	4.7	5.1	92	32	1	8	8	1	—	2	—	5	6	1	6	4	4	—	—	—	—	75	April
5.3	4.9	5.1	5.1	79	24	9	15	10	—	—	3	—	4	3	1	6	7	2	2	—	—	—	75	Mai
5.2	5.1	4.7	5.0	132	49	6	13	12	—	—	2	1	9	5	1	5	1	1	3	—	—	—	79	Juni
2.9	3.6	3.5	3.3	66	28	28	6	5	—	—	3	—	11	1	—	3	—	—	—	—	1	1	88	Juli
4.5	4.6	5.0	4.7	73	22	15	15	11	—	—	2	—	7	4	—	1	1	1	2	—	—	—	88	August
7.7	7.2	6.2	7.0	104	14	5	23	19	—	1	1	—	1	13	—	2	4	5	2	—	—	—	77	September
8.8	7.3	7.6	7.9	173	33	25	23	21	—	—	—	6	—	15	—	2	2	5	4	1	—	—	79	Oktober
9.0	7.4	6.9	7.8	137	26	10	19	17	6	—	—	2	—	16	—	—	2	4	9	2	1	—	72	November
9.3	8.9	9.2	9.1	129	32	1	19	16	10	—	—	—	—	23	1	10	6	1	6	1	1	—	67	Dezember
6.9	6.3	6.2	6.5	1242	49	VI	188	159	39	1	13	12	40	136	5	43	33	40	50	8	3	2	914	Jahr

Beobachter: S. Dannacher

Frauenfeld

8.8	8.6	8.4	8.6	54	12	10	14	11	9	—	—	1	—	22	—	1	6	5	8	32	7	2	32	Januar
9.7	6.6	7.8	8.0	96	24	11	15	13	14	—	—	3	—	17	1	7	7	6	7	20	6	—	33	Februar
8.4	7.2	7.7	7.8	71	18	22	17	13	2	—	—	2	1	18	1	12	11	7	5	16	5	2	34	März
5.4	5.3	4.6	5.1	66	16	23	7	6	1	—	1	—	4	7	4	18	8	10	4	3	5	2	36	April
6.2	5.5	5.5	5.7	79	30	11	11	7	—	—	2	1	3	8	5	21	12	12	5	8	4	4	22	Mai
5.6	5.8	5.5	5.6	106	49	6	12	10	—	1	4	—	8	11	4	9	5	11	6	9	8	3	35	Juni
3.9	3.8	4.2	4.0	58	28	28	4	4	—	—	—	1	10	2	6	11	9	10	2	3	6	1	45	Juli
5.0	4.9	5.1	5.0	57	21	15	12	8	—	—	1	2	9	7	3	4	11	12	12	9	11	2	29	August
7.8	7.8	6.5	7.4	97	13	5	19	16	—	—	—	4	2	14	2	7	7	9	8	21	5	—	31	September
9.1	7.6	8.5	8.4	142	30	25	22	20	—	—	—	12	—	19	2	6	4	6	6	19	8	1	41	Oktober
9.4	8.2	8.2	8.6	99	21	25	18	15	7	—	—	5	—	22	1	11	4	4	3	28	8	2	29	November
9.7	9.1	9.5	9.4	108	27	1	20	17	11	—	—	1	—	27	—	15	12	4	2	18	10	—	32	Dezember
7.4	6.7	6.8	7.0	1033	49	VI	171	140	44	1	8	32	37	174	29	122	96	96	68	186	83	19	399	Jahr

Kreuzlingen (West)

$\lambda = 9^\circ 10'$, $\beta = 47^\circ 39'$, $H_b = 445.6^m$, $G = 0.06$ ‰, $h_r = 1.4^m$

1952	Luftdruck					Luft-Temperatur								Relative Feuchtigkeit					
	Mittel	Minimum	Tag	Maximum	Tag	7^{30}	13^{30}	21^{30}	Mittel	Minimum	Tag	Maximum	Tag	7^{30}	13^{30}	21^{30}	Mittel	Minimum	Tag
Januar	720.9	705.7	11	739.9	7	−1.5	0.9	−1.1	−0.7	−8.0	27. 29	8.6	11	85	72	85	81	43	2. 12
Februar	723.5	704.3	1	736.0	6	−2.5	0.9	−1.8	−1.3	−8.8	15	6.0	28	91	72	87	83	47	1
März	719.9	703.5	29	727.9	1	2.9	7.9	4.5	4.9	−2.8	3. 9	15.2	31	87	60	78	75	23	15
April	723.2	706.4	1	730.7	8	8.9	14.2	9.6	10.6	−3.0	2	21.0	17	76	49	69	65	23	11
Mai	723.5	710.7	4	731.5	23	12.0	17.8	12.1	13.5	7.0	21	25.4	31	72	38	71	60	26	18. 22
Juni	725.2	718.2	15	731.5	4	15.6	21.2	15.6	17.0	12.0	7	28.4	30	72	46	71	63	19	30
Juli	724.7	714.7	28	730.0	10	18.5	25.1	19.2	20.5	12.6	28	31.8	5	66	38	62	55	20	23
August	722.6	713.9	19	729.1	22	17.1	23.6	17.5	18.9	12.0	22	30.8	14	78	39	67	61	22	2
September	722.3	710.3	27	730.6	23	10.0	14.6	10.5	11.4	3.8	19	22.0	2	90	56	84	77	38	3. 13
Oktober	722.3	713.1	14	731.6	8	6.6	10.2	7.5	7.9	1.0	12.13	16.4	24	96	67	94	86	40	14
November	719.7	707.4	26	731.3	4	1.9	4.2	2.1	2.6	−4.0	16	12.0	28	93	77	91	87	51	22
Dezember	720.5	703.2	13	732.9	5	−0.2	1.1	0.0	0.2	−6.0	8	9.2	1	89	81	85	85	56	7
Jahr	722.4	703.2	XII	739.9	I	7.4	11.8	8.0	8.8	−8.8	II	31.8	VII	83	58	79	73	19	VI

Kreuzlingen: P. Zwick † anfangs Juli.

Haidenhaus

$\lambda = 9^\circ 0'$, $\beta = 47^\circ 39'$, $H_b = 694.4^m$, $G = -$ ‰, $h_r = 1.7^m$

Januar	—	—	—	—	—	−2.8	−0.7	−2.6	−2.2	−9.2	28	5.6	11	92	83	93	89	61	28
Februar	—	—	—	—	—	−3.1	−0.3	−2.8	−2.3	−9.5	15	5.5	28	99	78	90	89	56	27
März	—	—	—	—	—	2.3	6.1	4.2	4.2	−4.6	15	13.2	31	89	68	80	79	31	15
April	—	—	—	—	—	7.8	12.3	8.5	9.3	−4.1	2	18.8	11	78	57	71	69	31	12
Mai	—	—	—	—	—	11.3	15.7	11.9	12.7	2.1	21	22.4	31	71	50	65	62	40	1. 5 20. 22
Juni	—	—	—	—	—	16.0	19.5	14.5	17.1	12.0	3	26.0	30	71	58	68	66	29	30
Juli	—	—	—	—	—	18.8	22.7	19.9	20.3	11.8	28	30.2	5	71	55	66	64	35	1
August	—	—	—	—	—	17.4	21.9	17.7	18.7	9.8	23	30.1	14	80	57	73	70	38	29
September	—	—	—	—	—	9.3	12.6	9.4	10.2	3.7	19	20.3	2	96	78	92	89	56	13
Oktober	—	—	—	—	—	6.4	9.0	6.9	7.3	0.6	16	14.9	22	96	84	94	91	59	10
November	—	—	—	—	—	0.6	3.0	1.0	1.4	−7.2	16	9.6	3	98	88	93	93	36	20
Dezember	—	—	—	—	—	−2.0	−0.8	−1.8	−1.6	−8.4	8	8.9	1	98	95	97	97	72	7
Jahr	—	—	—	—	—	6.8	10.1	7.2	7.9	−9.5	II	30.2	VII	87	71	82	80	29	VI

St Gallen (Bruggen)

$\lambda = 9^\circ 20'$, $\beta = 47^\circ 24'$, $H_b = 678.8^m$, $G = -0.01$ ‰, $h_r = 1.5^m$

Januar	700.6	686.8	31	718.4	7	−3.5	1.3	−2.9	−2.0	−13.2	22	7.7	11	82	63	86	77	39	29. 30
Februar	703.0	684.9	1	714.8	6	−4.2	1.5	−3.1	−2.2	−13.0	19	7.9	23	89	63	90	81	44	23. 29
März	702.1	683.6	29	707.1	1	1.1	7.2	3.0	3.6	−7.8	15	15.4	31	92	60	84	79	32	4
April	703.6	686.7	1	710.0	7	6.2	13.2	7.4	8.6	−7.4	3	19.8	12	83	54	81	73	32	7
Mai	704.0	691.5	4	711.6	23	10.0	16.6	10.5	11.9	4.2	21. 22	23.2	31	87	45	78	70	29	18
Juni	705.8	699.9	15	711.3	4	14.1	20.2	14.4	15.8	10.7	8	27.2	30	88	51	80	73	30	30
Juli	705.4	696.2	28	709.9	10	16.4	23.5	17.6	18.8	10.4	25	30.4	2. 5	85	49	76	70	31	21. 27
August	703.6	695.6	19	709.7	22	15.0	22.2	15.8	17.2	8.8	23	30.7	14	86	48	81	72	26	28
September	702.8	691.1	27	710.3	23	8.3	13.8	8.8	9.9	2.3	19	20.4	2	89	59	86	78	43	21
Oktober	702.7	693.7	14	711.2	8	5.9	10.1	6.8	7.4	−0.5	13	17.9	24	88	69	96	81	39	28
November	700.0	687.0	26	710.7	4	0.3	4.1	0.8	1.5	−12.2	16	11.5	27	88	69	83	80	36	20
Dezember	700.4	683.5	14	711.7	5	−1.8	0.6	−1.6	−1.1	−8.0	10	10.3	1	88	76	87	84	58	27
Jahr	702.8	683.5	XII	718.4	I	5.7	11.2	6.5	7.4	−13.2	I	30.7	VIII	87	59	83	76	26	VIII

Heiden

$\lambda = 9^\circ 32'$, $\beta = 47^\circ 27'$, $H_b = 811.4^m$, $G = -0.03$ ‰, $h_r = 1.7^m$

Januar	688.6	674.8	31	705.9	7	−3.7	−0.5	−3.1	−2.6	−15.1	22	6.5	9	79	71	81	77	42	31
Februar	691.1	673.2	1	702.7	6	−4.5	−0.7	−4.0	−3.3	−12.1	17	5.9	23	91	76	94	87	42	23
März	688.5	671.6	29	695.6	1	1.6	5.5	2.7	3.1	−5.7	19. 26	13.1	31	85	64	80	76	32	29. 31
April	692.1	675.2	1	699.0	8	7.1	11.6	7.1	8.2	−7.9	3	18.9	10	64	57	78	66	20	12
Mai	692.7	680.4	4	700.0	23	9.9	14.5	9.4	10.8	3.1	21	21.9	31	67	47	76	63	27	4
Juni	694.6	688.7	15	700.0	3	14.6	17.9	13.0	14.6	8.5	8	25.5	30	69	59	79	69	28	30
Juli	694.4	684.9	28	698.8	1	16.8	21.5	16.1	17.6	9.9	29	28.1	2. 5	66	50	73	63	33	1. 21
August	692.4	684.2	19	698.3	22	15.8	20.4	15.4	16.7	8.9	22	28.5	14	64	52	73	63	24	28. 30
September	691.3	679.0	27	698.6	23	7.9	11.7	8.0	8.9	1.9	19. 21	17.9	1. 2	81	68	85	78	45	8
Oktober	691.0	682.8	14	699.1	8	5.9	8.9	6.5	7.0	−0.1	12. 15 14	16.1	24	82	71	84	79	34	13
November	688.1	675.4	26	699.3	4	0.0	2.9	0.8	1.1	−11.1	16	12.3	30	86	72	79	79	27	5
Dezember	688.3	671.8	14	699.2	5	−2.1	−0.7	−2.1	−1.8	−8.3	10	9.1	1	88	86	90	88	35	13
Jahr	691.1	671.6	III	705.9	I	5.8	9.4	5.8	6.7	−15.1	I	28.5	VIII	77	64	81	74	20	IV

Beobachter: P. Zwick, Fam. Zwick

Kreuzlingen (West)

Bewölkung				Niederschlag			Zahl der Tage								Windverteilung								1952
7^{30}	13^{30}	21^{30}	Mittel	Summe	Maximum	Tag	●	≧1.0	*	▲	K	≡	heiter	trüb	N	NE	E	SE	S	SW	W	NW	Calmen	
9.0	8.4	8.1	8.5	64	17	11	11	10	9	—	—	2	—	23	—	—	—	—	—	38	12	—	43	Januar
9.3	6.5	6.8	7.5	84	36	11	12	9	10	—	—	3	1	16	—	—	1	—	—	21	4	—	61	Februar
8.0	6.8	5.7	6.8	83	18	24	15	12	—	—	—	3	2	12	—	—	8	—	1	15	15	—	54	März
5.2	5.7	3.3	4.7	75	25	1	6	5	1	—	1	—	8	7	—	—	11	—	—	5	5	·	69	April
6.0	5.7	5.1	5.6	75	22	9	14	8	—	—	—	—	4	7	1	4	10	—	2	12	17	1	46	Mai
5.1	5.5	5.2	5.3	86	19	7	15	13	—	—	4	—	9	7	—	2	—	—	1	10	10	1	66	Juni
3.3	3.5	4.2	3.7	47	22	28	5	4	—	—	2	—	10	3	1	1	4	—	—	4	3	1	79	Juli
4.9	4.4	4.5	4.6	54	14	15	10	10	—	—	4	—	9	5	7	—	4	—	—	8	12	2	60	August
8.4	7.9	6.2	7.5	86	15	12	19	15	—	—	—	2	1	14	3	1	1	—	—	8	9	4	64	September
9.0	7.3	6.8	7.7	150	31	25	24	21	2	—	—	3	—	17		—	1	—	1	3	15	1	72	Oktober
9.4	7.5	6.8	7.9	139	32	10	17	16	5	—	—	1	—	17	1	—	—	—	1	16	9	2	61	November
9.8	8.3	8.3	8.8	112	20	1	18	17	8	—	—	2	—	21	1	—	8	—	2	9	11	—	62	Dezember
7.3	6.5	5.9	6.6	1055	36	II	166	140	35	—	11	16	44	149	14	8	48	—	8	149	122	12	737	Jahr

Beobachter: J. Sommer

Haidenhaus

8.5	7.6	7.7	7.9	56	14	10	15	12	14	—	—	3	1	19	—	—	—	1	—	61	—	1	30	Januar
8.3	6.7	6.4	7.1	88	18	11	14	14	14	—	—	2	3	17	7	5	—	—	—	32	2	1	40	Februar
8.0	7.0	7.0	7.3	77	17	24	16	14	4	—	—	6	1	16	1	14	—	4	—	31	2	5	36	März
6.3	6.0	4.1	5.5	77	31	1	6	6	1	—	1	—	3	8	2	16	—	—	2	13	4	1	52	April
6.2	5.4	5.9	5.8	103	29	9	11	9	—	—	4	—	5	8	3	32	2	1	1	12	6	10	26	Mai
5.4	5.0	5.1	5.2	95	29	6	13	12	—	—	5	3	9	9	1	14	—	1	—	40	3	12	19	Juni
2.6	3.4	4.5	3.5	42	22	28	5	5	—	—	3	—	13	5	12	23	—	1	—	18	2	3	34	Juli
5.2	4.2	5.7	5.0	48	23	15	8	7	—	—	3	4	7	9	1	11	1	2	2	47	2	4	23	August
6.7	7.6	7.8	7.4	79	14	11	20	17	—	—	—	5	2	17	1	11	—	9	—	57	—	1	11	September
8.2	7.5	7.9	7.9	151	26	25	19	18	3	—	—	10	—	16	6	2	—	1	—	56	—	8	20	Oktober
8.8	7.4	8.3	8.2	103	23	25	18	17	8	—	—	9	—	20	—	—	3	6	—	45	3	6	27	November
9.5	5.5	9.0	8.0	86	17	1	18	18	12	—	—	7	—	24	—	12	—	2	2	38	3	9	27	Dezember
7.0	6.1	6.6	6.6	1005	31	IV	163	149	56	—	16	49	44	168	34	140	6	28	7	450	27	61	345	Jahr

Beobachter: P. Flückiger

St. Gallen (Bruggen)

7.3	6.5	6.6	6.8	57	13	11	16	10	15	—	—	1	2	12	—	2	3	28	2	5	25	—	28	Januar
8.4	6.6	7.1	7.4	114	31	3	15	15	14	—	—	1	3	16	—	4	1	26	—	5	11	—	40	Februar
7.5	6.9	6.1	6.8	91	15	22	16	14	3	—	-	2	1	12	—	11	2	35	2	2	17	5	19	März
4.9	5.4	5.2	5.2	77	28	19	10	10	1	—	2	1	7	9	7	17	3	41	—	3	3	1	15	April
5.5	5.3	5.7	5.5	116	26	5	14	10	—	—	4	—	4	7	6	16	8	32	2	2	12	4	11	Mai
5.0	4.8	5.3	5.0	244	81	13	14	11	—	—	5	—	8	5	—	10	4	33	3	3	15	7	15	Juni
3.6	3.9	5.2	4.2	57	19	28	8	6	—	—	3	—	7	3	9	15	4	37	—	1	7	4	16	Juli
4.6	4.5	5.0	4.7	99	16	9	16	16	—	—	3	—	8	4	1	12	5	37	2	5	14	3	14	August
7.3	7.4	7.5	7.4	113	28	5	18	16	—	—	—	1	2	15	4	6	1	20	8	12	18	4	17	September
7.5	8.1	7.6	7.7	164	23	25	27	23	1	—	—	3	2	15	3	3	2	18	6	15	17	2	27	Oktober
8.1	7.7	7.8	8.0	137	24	25	21	19	11	—	—	3	1	17	—	5	—	14	6	14	21	2	28	November
8.5	8.8	8.8	8.7	120	29	1	21	17	15	—	—	2	—	10	4	10	—	18	3	8	13	—	37	Dezember
6.5	6.3	6.5	6.4	1389	81	VI	195	167	60	—	17	14	45	135	34	111	33	339	34	75	173	32	267	Jahr

Beobachter: Frau F. Niederer-Tobler

Heiden

7.0	6.2	6.1	6.4	73	15	19	17	14	15	—	—	4	4	12	1	—	8	3	26	15	23	11	6	Januar
8.1	6.9	6.1	7.0	142	29	3	17	16	17	—	—	5	4	16	7	—	31	9	6	12	14	3	5	Februar
7.7	6.8	6.2	6.9	108	18	22	14	13	3	—	—	3	2	14	8	5	10	11	17	9	20	12	1	März
4.5	5.2	4.5	4.7	72	17	23	12	11	3	—	2	6	10	8	20	6	5	5	9	3	16	22	4	April
5.7	5.7	5.6	5.7	94	17	11	15	14	—	—	4	3	5	10	16	2	10	13	3	2	19	25	3	Mai
5.4	5.1	5.5	5.3	180	32	7	15	13	—	—	4	1	10	9	3	3	6	2	5	1	25	43	2	Juni
2.9	3.3	4.7	3.6	58	25	9	7	5	—	—	3	—	9	3	10	13	22	2	6	2	10	27	1	Juli
4.6	4.4	4.8	4.6	100	20	9	14	14	—	—	5	—	12	6	1	2	19	4	16	4	32	11	4	August
7.2	7.7	6.0	7.0	126	20	5	20	16	1	—	2	2	3	14	1	5	13	2	20	5	35	2	7	September
7.6	8.1	7.5	7.7	182	21	25	26	26	3	—	—	3	2	17	—	—	8	6	26	7	37	7	2	Oktober
8.3	7.9	7.2	7.8	170	29	10	20	20	12	—	—	2	2	19	—	1	6	5	33	7	25	9	4	November
8.4	8.2	8.7	8.4	120	27	1	17	16	15	—	—	9	—	21	20	—	15	3	26	8	20	—	1	Dezember
6.5	6.3	6.1	6.3	1425	32	VI	194	178	69	—	20	38	63	149	87	37	153	65	193	75	276	172	40	Jahr

Altstätten

$\lambda = 9° 33'$, $\beta = 47° 23'$, $H_b = 467.6^m$, $G = 0.01\ ^{mgal}/_m$, $h_r = 1.5^m$

1952	Luftdruck					Luft-Temperatur							Relative Feuchtigkeit					
	Mittel	Minimum	Tag	Maximum	Tag	7^{30}	13^{30}	21^{30}	Mittel	Minimum	Tag	Maximum	Tag	7^{30}	13^{30}	21^{30}	Mittel	Minimum	Tag
Januar	719.3	704.4	31	738.0	7	-3.2	1.0	-2.1	-1.6	-12.4	22	8.8	11	89	73	90	84	47	12
Februar	721.7	703.5	1	734.1	6	-3.7	1.6	-2.6	-1.8	-11.0	18	6.0	28	92	69	59	73	50	2. 28
März	718.3	700.4	29	726.0	1	2.4	8.6	4.2	4.8	-3.8	15	16.4	31	94	65	87	82	33	31
April	721.5	703.9	1	728.9	8	8.8	15.8	9.8	11.0	-3.6	3	23.6	11	82	51	78	70	20	11
Mai	721.8	708.3	4	730.3	23	11.7	18.8	12.1	13.7	6.0	22	25.2	31	81	49	76	69	30	22. 31
Juni	723.4	716.3	15	729.5	4	15.8	22.1	15.7	17.3	12.1	8	30.6	30	80	59	78	72	30	30
Juli	722.8	712.9	28	728.0	1	18.5	26.0	19.5	20.9	12.2	28	33.2	3. 5	79	49	71	66	26	21
August	721.0	711.9	19	727.8	22	16.7	24.4	17.5	19.0	11.0	23. 25	31.6	13	85	51	80	72	23	28
September	720.4	707.5	27	728.7	23	9.2	15.4	9.8	11.1	3.2	21	22.8	3	95	64	93	84	43	3
Oktober	720.5	710.5	14	730.0	8	6.4	11.1	7.5	8.1	-0.4	16	17.6	22	95	73	93	87	42	28
November	718.1	705.0	26	729.5	4	0.9	4.6	2.1	2.4	-8.0	16	12.0	28. 30	95	76	90	87	29	20. 21
Dezember	710.3	700.8	14	730.5	5	-0.5	1.3	-0.6	-0.1	-6.7	11	10.2	13	91	85	92	90	34	13
Jahr	720.7	700.4	III	738.0	I	6.9	12.6	7.7	8.7	-12.4	I	33.2	VII	88	64	82	78	20	IV

Säntis

$\lambda = 9° 20'$, $\beta = 47° 15'$, $H_b = 2500.1^m$, $G = -0.27\ ^{mgal}/_m$, $h_r = 1.3^m$

Januar	555.2	544.8	11	573.7	7	-11.2	-10.0	-11.0	-10.8	-19.0	27	-0.6	8	89	81	86	85	19	6
Februar	556.9	541.8	1	567.4	21	-11.5	-10.1	-11.4	-11.1	-18.7	6	-2.4	22	82	81	84	82	21	25
März	557.3	546.7	29	561.9	1	-6.5	-5.0	-6.3	-6.0	-14.9	26	1.4	29	90	85	89	88	36	14
April	562.4	547.1	1	568.7	13	-2.1	0.4	-2.1	-1.5	-16.4	2	5.5	30	79	76	85	80	24	4
Mai	563.6	554.9	4	568.2	23	-0.2	2.0	-0.7	0.1	-7.0	20	8.8	31	79	86	93	86	15	18
Juni	567.2	561.9	15	574.8	30	4.0	6.7	3.7	4.5	-1.6	20	14.2	30	83	81	87	84	12	27
Juli	568.6	559.9	28	574.7	1	8.3	11.3	7.7	8.7	-1.8	29	19.4	2	74	77	84	78	25	1
August	566.4	557.8	20	571.6	12	6.1	9.1	6.0	6.8	-0.3	18.21	18.2	14	80	76	85	80	29	23
September	562.0	551.5	27	569.5	1	-1.3	0.8	-1.3	-0.8	-8.3	20	7.8	2	93	91	94	93	48	25
Oktober	561.0	553.6	14	567.9	28	-3.1	-1.8	-2.9	-2.7	-11.2	12	4.2	21. 28	90	89	93	91	22	28
November	556.0	547.5	26	566.1	4	-8.4	-7.5	-8.1	-8.0	-15.8	15	0.4	30	92	88	91	90	42	5
Dezember	555.7	541.7	15	564.2	9	-8.7	-8.2	-9.0	-8.7	-17.6	16	-0.9	1	86	86	87	86	35	9
Jahr	561.0	541.7	XII	574.8	VI	-2.9	-1.0	-3.0	-2.5	-19.0	I	19.4	VII	85	83	88	85	12	VI

Sargans

$\lambda = 9° 26'$, $\beta = 47° 3'$, $H_b = 509.9^m$, $G = -0.05\ ^{mgal}/_m$, $h_r = 1.5^m$

Januar	715.3	700.3	31	733.9	7	-2.7	0.5	-1.3	-1.2	-12.0	22	6.8	31	81	69	78	76	40	3. 31
Februar	717.7	699.9	1	729.9	6	-2.8	0.9	-1.6	-1.3	-8.4	18	6.5	28	85	70	88	81	47	2
März	714.2	695.3	29	722.0	1	4.0	9.0	5.5	6.0	-2.2	15	18.4	29	79	60	78	72	37	28
April	717.5	699.4	1	725.4	8	8.5	15.6	10.8	11.4	-2.6	3	22.8	19. 30	79	53	72	68	24	12
Mai	717.7	704.1	4	725.3	23	11.8	17.8	13.7	14.3	8.2	12	23.4	1. 31	79	51	70	67	30	1
Juni	719.5	712.3	15	725.5	4	15.6	21.3	16.8	17.6	11.1	8	29.2	30	78	59	75	71	34	30
Juli	719.0	709.7	28	723.8	10	18.4	25.4	20.1	21.0	12.4	28	33.0	4. 5	77	54	75	68	39	1
August	717.2	708.6	19	723.5	22	16.4	23.0	17.5	18.6	11.3	22	33.0	14	80	56	80	72	33	14
September	716.6	703.2	27	724.7	23	9.5	14.9	10.6	11.4	3.0	21	22.4	2	90	64	88	81	39	13
Oktober	716.6	706.5	14	726.1	8	7.1	11.1	8.2	8.7	1.1	16	16.4	22	85	71	89	82	45	28
November	714.3	701.8	26	725.0	4	1.5	4.9	2.2	2.7	-7.2	14	14.0	30	83	70	82	78	40	30
Dezember	714.6	697.0	14	726.5	5	-0.5	1.3	-0.1	0.1	-6.4	10	9.2	1	84	81	84	83	44	13. 28
Jahr	716.7	695.3	III	733.9	I	7.2	12.2	8.5	9.1	-12.0	I	33.0	VII VIII	82	63	80	75	24	IV

Bad Ragaz

$\lambda = 9° 30'$, $\beta = 47° 0'$, $H_b = 518^m$, $G = -0.06\ ^{mgal}/_m$, $h_r = 1.6^m$

Januar	715.0	700.2	31	733.6	7	-3.1	0.3	-1.7	-1.5	-11.1	22	7.6	1	89	85	87	87	41	3
Februar	717.4	699.5	1	729.5	6	-3.6	0.7	-2.2	-1.8	-11.3	18	6.2	28	*92	*75	*90	*86	?	—
März	714.0	696.0	29	721.6	1	3.3	9.1	5.1	5.7	-2.9	15	19.1	31	90	70	84	81	34	31
April	717.3	699.0	1	725.1	8	8.9	15.6	10.8	11.5	-2.3	3	23.3	30	83	57	73	71	29	12
Mai	717.6	705.3	4	725.0	23	12.0	18.0	13.6	14.3	7.0	21	24.5	1	85	53	70	69	31	1
Juni	719.4	712.1	15	725.4	4	16.0	21.0	16.7	17.6	11.5	8	28.9	30	86	64	78	76	38	6
Juli	718.9	710.2	28	724.0	1	18.7	25.1	19.5	20.7	12.3	28	33.5	5	84	56	75	72	40	1
August	717.1	708.6	19	723.4	22	16.8	23.1	17.3	18.6	11.5	20	33.9	14	88	60	84	77	32	14
September	716.5	702.8	27	724.7	23	9.5	14.9	10.7	11.4	3.5	20	21.6	2	96	71	90	86	39	25
Oktober	715.5	706.7	14	725.7	8	6.7	11.4	8.0	8.5	0.2	12	22.9	21	95	77	93	88	41	21
November	714.1	701.3	26	725.1	4	0.9	4.4	2.0	2.3	-8.2	16	14.0	30	93	79	89	87	42	16. 30
Dezember	714.5	696.5	14	726.2	5	-0.9	0.9	-0.2	-0.1	-7.4	10	8.6	1	90	88	89	89	45	14
Jahr	716.5	696.0	III	733.6	I	7.1	12.0	8.3	8.9	-11.3	II	33.9	VIII	89	70	84	81	29	IV

Beobachter: E. Eisenring

Altstätten

Bewölkung				Niederschlag			Zahl der Tage								Windverteilung								1952
7^{30}	13^{30}	21^{30}	Mittel	Summe	Maximum	Tag	●	●≥1.0	✳	▲	⛆	≡	heiter	trüb	N	NE	E	SE	S	SW	W	NW	Gabmen	
7.3	7.5	6.5	7.1	89	26	11	17	13	14	—	—	4	2	14	—	2	—	—	—	16	—	12	63	Januar
8.9	7.0	6.5	7.5	126	39	3	16	13	16	—	—	6	2	17	—	2	—	—	—	4	—	5	76	Februar
7.4	6.8	5.4	6.5	141	31	22	17	14	3	—	—	1	2	12	—	2	—	2	—	13	—	14	62	März
4.6	5.9	4.4	5.0	35	9	23	9	6	2	—	1	4	10	8	—	9	—	—	1	7	—	13	60	April
5.1	5.8	5.8	5.6	90	17	24	15	14	—	1	—	2	6	9	3	14	—	2	—	9	—	13	52	Mai
5.5	5.9	5.9	5.8	161	29	7	14	13	—	1	1	4	6	9	2	12	1	1	—	6	2	13	53	Juni
3.4	4.1	5.4	4.3	60	21	9	7	6	—	—	—	2	6	1	—	8	—	3	—	3	1	15	63	Juli
4.7	4.6	4.5	4.6	115	27	9	15	15	—	—	—	5	11	7	1	5	—	2	—	7	—	10	68	August
7.1	7.6	6.0	6.9	140	25	11	19	18	—	—	—	8	3	14	1	8	—	—	—	11	—	15	55	September
7.7	8.3	7.5	7.8	179	19	25	24	23	—	—	—	13	2	17	—	8	1	3	—	16	—	28	37	Oktober
8.5	7.5	6.1	7.4	229	42	10	20	19	10	—	1	8	3	17	—	3	—	2	—	22	—	18	45	November
8.1	8.8	8.7	8.5	132	30	1	18	13	12	—	—	6	—	21	3	5	—	3	—	12	—	17	53	Dezember
6.5	6.6	6.1	6.4	1497	42	XI	191	167	57	2	3	63	53	146	10	78	2	18	1	126	3	173	687	Jahr

Beobachter: E. Hostettler

Säntis

7.5	6.9	6.8	7.1	190	33	11	20	20	20	—	—	25	9	15	9	3	1	4	4	20	49	3	—	Januar
7.1	7.0	6.4	6.8	181	30	3	17	15	17	—	—	20	6	15	20	16	3	—	1	7	30	10	—	Februar
7.9	7.4	7.0	7.4	304	54	22	20	19	20	—	—	24	2	15	5	3	2	2	6	17	45	13	—	März
6.0	6.1	5.1	5.7	38	15	20	11	9	10	—	2	17	4	8	8	11	8	8	8	25	22	—	—	April
6.6	8.3	7.2	7.4	143	29	26	17	15	16	—	2	24	1	10	19	6	3	6	10	17	24	8	—	Mai
5.3	7.6	6.5	6.5	185	39	7	14	13	2	1	1	22	4	13	1	2	—	1	6	27	42	11	—	Juni
4.4	2.6	6.6	6.2	127	35	12	11	7	—	1	7	22	4	8	6	7	6	3	13	29	10	18	1	Juli
5.4	7.0	6.5	6.3	252	33	9	18	18	4	2	5	21	5	12	2	2	—	2	17	27	40	3	—	August
8.2	8.5	7.9	8.2	326	28	22	22	21	18	—	1	25	1	18	2	—	3	1	9	30	41	4	—	September
8.0	8.6	8.7	8.4	455	35	23	27	26	24	—	1	26	3	22	3	—	—	—	7	26	50	7	—	Oktober
8.3	7.9	8.3	8.2	530	58	11	22	21	22	—	1	26	—	18	2	1	3	3	7	18	49	7	—	November
6.8	7.5	7.4	7.2	279	48	1	20	20	20	—	—	22	3	12	6	13	—	3	5	22	38	6	—	Dezember
6.8	7.5	7.0	7.1	3010	58	XI	219	204	173	4	20	274	36	166	83	64	29	33	93	265	440	90	1	Jahr

Beobachter: J. Albrecht

Sargans

7.7	7.7	6.8	7.4	103	37	11	18	13	15	—	—	4	1	17	1	3	39	4	4	1	19	19	3	Januar
7.3	6.7	5.8	6.6	147	29	4	16	13	15	—	—	—	4	13	1	8	22	15	—	—	23	14	4	Februar
7.6	7.0	7.1	7.2	90	17	20	16	13	3	—	—	1	1	15	1	2	11	19	15	9	29	4	3	März
5.6	6.2	4.8	5.5	47	16	23	8	8	1	—	1	—	4	7	—	1	9	21	23	4	26	3	3	April
6.2	6.6	6.6	6.5	81	18	19	13	10	—	—	—	—	1	8	—	1	23	12	13	—	37	4	3	Mai
5.6	6.2	5.7	5.8	95	23	7	13	12	—	—	—	—	4	9	—	—	1	29	3	5	48	—	4	Juni
3.7	4.7	5.7	4.7	107	23	8	13	10	—	—	3	—	4	3	—	—	10	29	7	3	38	2	4	Juli
5.2	5.8	5.6	5.5	141	16	15	17	17	—	—	1	—	7	11	—	—	22	16	6	—	44	1	4	August
7.7	7.3	7.1	7.4	195	48	11	21	18	—	—	—	1	2	18	—	3	19	10	2	1	42	6	7	September
7.8	8.2	7.8	7.9	183	21	25	24	21	—	—	—	—	1	18	—	—	19	17	7	7	39	3	1	Oktober
7.7	8.0	7.2	7.6	263	55	10	17	17	7	—	—	2	—	13	5	5	17	10	15	5	21	10	2	November
8.5	8.2	8.2	8.3	107	21	2	15	14	12	—	—	2	—	18	—	8	39	9	5	1	22	8	1	Dezember
6.7	6.9	6.5	6.7	1559	48	IX	191	166	53	—	5	10	29	150	8	31	231	191	100	36	388	74	39	Jahr

Beobachter: Frl. M. Wermelinger

Bad Ragaz

7.7	7.0	6.4	7.0	93	34	11	16	13	14	—	—	2	2	14	—	—	2	13	2	8	14	9	45	Januar
7.6	7.0	6.7	7.1	98	20	8	14	11	14	—	—	1	3	15	—	—	1	6	—	4	15	26	35	Februar
7.7	6.6	6.1	6.8	74	17	20	14	12	1	—	—	1	2	14	1	1	2	18	—	12	21	11	27	März
5.6	5.4	5.2	5.4	33	13	23	5	5	1	—	—	—	7	9	1	2	2	14	3	11	15	20	22	April
6.0	6.0	6.6	6.2	91	27	19	12	9	—	—	1	—	2	7	—	—	2	15	1	12	22	20	21	Mai
5.6	5.6	6.2	5.8	84	18	7	13	11	—	—	2	—	5	10	—	—	1	6	1	21	15	15	31	Juni
4.1	4.0	6.3	4.8	81	22	28	11	9	—	—	6	—	5	2	—	1	—	5	1	20	21	15	30	Juli
5.0	5.1	5.4	5.2	138	20	31	18	17	—	—	3	—	8	10	—	1	—	9	2	17	16	14	34	August
7.7	6.4	6.4	6.8	195	64	5	18	17	—	—	1	1	3	13	1	—	2	7	1	10	14	11	44	September
7.6	7.9	6.9	7.5	146	24	25	24	21	—	—	—	—	2	14	—	—	2	11	2	13	6	14	45	Oktober
7.7	7.6	7.1	7.5	220	49	10	18	17	12	—	—	1	1	16	—	1	2	23	4	6	3	15	36	November
8.0	8.3	8.1	8.1	81	19	2	14	12	10	—	—	3	—	18	1	2	—	19	—	12	1	18	40	Dezember
6.7	6.4	6.4	6.5	1334	64	IX	177	154	52	—	13	9	40	142	4	8	16	146	17	146	163	188	410	Jahr

Glarus

$\lambda = 9° 3'$, $\beta = 47° 3'$, $H_b = 479.6^m$, $G = -0.04\ ^m/_m$, $h_r = 1.5^m$

1952	Luftdruck					Luft-Temperatur								Relative Feuchtigkeit					
	Mittel	Minimum	Tag	Maximum	Tag	7^{30}	13^{30}	21^{30}	Mittel	Minimum	Tag	Maximum	Tag	7^{30}	13^{30}	21^{30}	Mittel	Minimum	Tag
Januar	716.8	701.5	31	735.5	7	-4.5	-0.3	-3.4	-2.9	-14.9	23	5.3	1	92	76	91	86	53	29
Februar	719.2	701.0	1	731.8	16	-4.5	0.1	-3.4	-2.8	-10.7	15	5.9	29	91	70	89	83	39	29
März	715.7	697.4	29	723.5	1	1.7	6.9	2.8	3.5	-6.1	15	15.4	31	85	61	85	77	32	31
April	718.9	700.8	1	726.9	8	6.5	15.3	8.9	9.9	-4.7	3	22.2	12	83	45	70	66	18	12
Mai	719.3	?	—	?	—	11.6	18.1	13.1	14.0	6.0	23	25.5	31	76	42	65	61	?	—
Juni	720.7	713.7	15	726.7	3. 4	15.1	20.9	16.0	17.0	12.4	22	27.7	30	78	51	79	69	33	29
Juli	720.0	710.3	28	725.3	1	17.1	24.4	19.2	20.0	12.0	30	32.0	5	79	48	73	67	33	2
August	718.4	709.6	19	724.6	22	14.7	22.2	17.2	17.8	10.1	22	31.1	14	88	52	80	73	31	1. 5
September	717.8	705.3	27	725.9	23	9.5	14.3	10.3	11.1	2 5	21	20.5	2	93	62	93	83	42	20
Oktober	717.8	707.9	14	727.0	8	6.7	10.6	8.0	8.3	0.0	12	16.7	22	93	69	94	85	45	29
November	715.3	702.2	26	726.1	4	1.4	3.5	1.5	2.0	-6.3	15. 18	9.5	6	89	75	88	84	38	20
Dezember	715.8	697.7	13	727.3	5	-1.3	0.6	-1.1	-0.7	-8.5	29	7.5	13	85	79	90	85	38	13
Jahr	718.0	697.7	XII	735.5	1	6.2	11.4	7.4	8.1	-14.9	1	32.0	VII	86	61	83	77	18	IV

Glarus: Stationsverlegung und Beobachtungswechsel anfangs Mai. Neues $H_b = 503.4$ m.

Elm

$\lambda = 9° 10'$, $\beta = 46° 55'$, $H = 962^m$, $G = -\ ^m/_m$, $h_r = 1.6^m$

Januar	—	—	—	—	—	-4.9	-2.1	-4.7	-4.1	-13.7	22	6.2	3	79	68	78	75	30	2
Februar	—	—	—	—	—	-5.6	-0.8	-5.1	-4.2	-12.0	19	6.5	23	81	60	81	74	30	24
März	—	—	—	—	—	0.9	6.1	1.8	2.7	-8.6	15	13.6	30	78	51	78	69	28	31
April	—	—	—	—	—	5.7	12.6	6.4	7.8	-6.1	3	19.8	30	71	45	75	64	23	12
Mai	—	—	—	—	—	10.5	15.0	9.4	11.1	4.8	20. 22	20.5	31	65	41	76	61	26	1
Juni	—	—	—	—	—	15.1	18.6	12.7	14.8	9.7	8	25.9	30	62	49	83	65	24	29
Juli	—	—	—	—	—	18.4	21.9	15.6	17.9	9.3	28	29.5	2. 5	56	47	80	61	23	6
August	—	—	—	—	—	14.5	19.8	13.9	15.5	7.9	22	30.0	14	74	50	84	69	21	28
September	—	—	—	—	—	7.1	12.5	7.7	8.7	0.2	21	21.2	3	89	55	87	77	25	13
Oktober	—	—	—	—	—	4.4	8.7	5.5	6.0	-1.1	12	14.7	20	87	61	87	78	26	9
November	—	—	—	—	—	-1.3	1.3	-1.2	-0.6	-11.3	16	7.1	5	85	69	83	79	32	28
Dezember	—	—	—	—	—	-3.8	-1.4	-3.6	-3.1	-12.0	9	5.2	1	78	70	81	76	29	14
Jahr	—	—	—	—	—	5.1	9.3	4.9	6.0	-13.7	I	30.0	VIII	75	56	81	71	21	VIII

Auen (Linthal)

$\lambda = 8° 59'$, $\beta = 46° 51'$, $H_b = 815.2^m$, $G = -0.11\ ^m/_m$, $h_r = 1.5^m$

Januar	688.8	675.3	25	706.5	6	-4.0	0.3	-3.4	-2.6	-11.0	21	6.8	31	77	56	77	70	26	31
Februar	691.1	673.9	1	702.6	6	-4.4	0.7	-3.5	-2.7	-10.4	6	9.4	23	78	55	78	70	29	23
März	688.5	671.5	29	695.4	1	1.7	6.9	2.6	3.5	-6.4	15	14.8	31	74	49	72	65	24	15
April	692.1	674.3	1	699.3	8	6.8	14.2	7.4	9.0	-5.6	3	23.0	30	62	39	63	55	18	12
Mai	692.5	679.9	4	699.7	23	10.6	16.3	10.2	11.8	5.2	21	22.8	1	66	39	63	56	23	6
Juni	694.7	688.1	15	700.2	3	14.8	19.8	13.9	15.6	9.0	8	27.4	30	63	45	72	60	25	29
Juli	694.5	685.1	28	700.0	10	17.6	23.4	16.7	18.6	11.6	28	31.4	2	60	42	68	57	24	1
August	692.6	683.7	19	698.4	22	15.0	21.5	15.0	16.6	9.8	21	33.0	14	68	44	71	61	25	14
September	691.3	679.2	27	700.2	23	8.1	13.2	8.5	9.6	1.6	19	19.6	1. 2	85	52	82	73	30	13
Oktober	691.3	682.1	14	700.4	8	5.5	9.7	6.4	7.0	0.0	12	15.8	24	85	60	83	76	27	28
November	688.3	675.6	26	698.7	4	-0.5	2.6	-0.1	0.5	-8.8	16	7.4	21	80	60	77	72	25	21
Dezember	688.4	670.9	14	699.4	5	-2.5	0.1	-2.6	-1.9	-9.0	10	8.0	13	78	63	78	73	26	13
Jahr	691.2	670.9	XII	706.5	I	5.7	10.7	5.9	7.1	-11.0	I	33.0	VIII	73	50	74	66	18	IV

Oberiberg

$\lambda = 8° 47'$, $\beta = 47° 2'$, $H_b = 1090^m$, $G = -0.10\ ^m/_m$, $h_r = 1.7^m$

Januar	665.6	651.7	25	683.3	7	-6.0	-.02	-5.7	-4.4	-18.4	21	6.3	8	80	58	83	74	35	29
Februar	668.0	651.0	1	678.7	6	-6.7	0.3	-5.9	-4.5	-16.7	6	7.6	23	84	57	84	75	32	1
März	665.7	649.6	29	672.3	1	0.0	6.4	0.7	1.9	-11.0	27	11.7	30	83	50	83	72	31	15
April	669.6	652.2	1	676.7	7	3.9	12.1	3.8	5.9	-10.5	3	19.6	15	79	48	81	69	25	12
Mai	670.4	658.8	4	677.0	23	8.4	15.5	7.5	9.7	-0.9	21	21.6	18	70	43	78	64	28	1
Juni	672.7	666.8	15	678.0	3	13.3	19.4	11.1	13.7	7.9	20	27.6	29	69	47	82	66	24	29
Juli	672.7	663.0	28	677.1	1	15.7	22.6	14.2	16.7	8.8	28	32.4	1	68	48	78	65	28	1
August	670.8	662.3	19	675.8	22	13.2	20.7	12.7	14.8	6.6	22	29.8	14	74	46	81	67	26	28
September	661.0	656.2	27	676.0	23	5.9	12.2	6.4	7.7	-1.0	21	18.4	1	84	52	86	74	35	28
Oktober	668.5	660.2	14	676.5	8	3.7	9.1	4.5	5.5	-3.0	12	15.8	24	85	60	86	77	36	9
November	665.2	653.1	26	676.0	4	-1.9	2.5	-1.5	-0.6	-14.3	16	8.9	27	82	60	81	74	27	20
Dezember	665.2	648.7	14	674.8	5	-3.7	-0.1	-4.6	-3.3	-12.8	9	6.4	25	79	64	82	75	37	13
Jahr	668.6	648.7	XII	683.3	I	3.8	10.0	3.6	5.3	-18.4	I	32.4	VII	78	53	82	71	24	VI

Beobachter: E. Wehrli, F. Friedau

Glarus

Bewölkung				Niederschlag			Zahl der Tage							Windverteilung								1952
7^{30}	13^{30}	21^{30}	Mittel	Summe	Maximum	Tag	●	●≥1.0	*	▲	K.	=	heiter	trüb	N	NE	E	SE	S	SW	W	NW	Kalmen	
7.1	5.9	6.5	6.5	145	34	11	19	18	15	—	—	2	4	10	2	1	—	1	1	3	8	6	71	Januar
7.3	6.8	6.3	6.8	144	26	3	16	13	15	—	—	—	6	16	2	—	—	—	—	1	3	21	60	Februar
6.8	6.3	6.3	6.5	134	22	20	17	15	3	—	—	—	4	15	2	—	—	3	3	3	5	17	60	März
5.6	5.4	4.5	5.2	34	10	23	11	8	2	—	1	—	6	8	3	—	—	1	5	3	11	14	53	April
4.7	5.3	4.3	4.8	78	23	24	12	10	—	—	1	—	5	6	19	6	1	2	8	3	6	8	40	Mai
5.3	5.4	5.3	5.3	165	26	7	14	12	—	—	3	—	8	7	22	4	1	4	1	3	4	7	44	Juni
3.0	4.3	4.7	4.0	118	29	7	9	9	—	—	6	—	9	3	20	—	—	2	8	1	2	10	50	Juli
4.1	5.4	4.8	4.8	171	24	16	16	16	—	—	4	—	10	7	16	—	—	5	13	5	1	11	42	August
7.0	6.6	6.8	6.8	156	26	11	21	18	—	—	—	—	3	12	26	—	2	3	7	4	3	8	37	September
7.5	7.7	7.3	7.5	207	21	1	25	25	—	—	—	2	2	16	16	—	—	4	5	5	7	12	44	Oktober
7.9	7.4	6.7	7.3	305	53	10	19	17	11	—	—	1	1	15	9	—	—	8	11	7	5	11	39	November
8.2	8.0	7.0	7.7	180	30	17	18	15	13	—	—	3	2	16	10	—	—	6	7	8	4	8	50	Dezember
6.2	6.2	5.9	6.1	1837	53	XI	197	176	59	—	15	8	60	131	147	11	4	39	69	46	59	133	590	Jahr

Beobachter: E. Frei-Altherr

Elm

6.1	6.4	5.8	6.1	150	30	19	18	17	18	—	—	—	6	11	22	—	—	3	3	11	7	47	—	Januar
6.8	6.4	6.3	6.5	191	29	8	17	16	17	—	—	—	8	15	8	—	—	—	—	—	15	7	57	Februar
7.2	6.2	6.8	6.7	163	33	22	19	16	9	—	—	1	3	14	32	—	—	3	4	3	2	49	—	März
5.3	5.5	5.4	5.4	60	18	23	10	9	4	—	2	—	4	8	36	2	1	6	4	8	1	32	—	April
6.0	6.7	6.8	6.5	99	18	24	13	12	—	—	1	—	1	11	54	—	2	5	3	5	1	23	—	Mai
5.8	6.6	6.9	6.4	124	26	18	18	14	—	—	3	—	3	10	53	—	—	1	2	2	—	32	—	Juni
3.7	5.3	6.4	5.1	125	27	15	15	12	—	—	10	—	5	4	59	3	—	—	1	4	2	24	—	Juli
4.5	6.3	5.7	5.5	135	17	30	18	17	—	—	5	1	8	10	46	—	1	7	—	5	—	34	—	August
7.6	6.7	6.7	7.0	216	41	11	22	17	4	—	2	—	3	14	47	2	—	6	—	—	—	35	—	September
7.5	8.2	7.3	7.7	198	35	1	27	22	4	—	—	—	4	19	40	1	—	3	—	2	6	41	—	Oktober
7.7	7.7	7.2	7.5	281	48	10	19	19	15	—	—	3	—	15	22	—	—	5	—	6	—	57	—	November
7.6	7.9	7.3	7.6	158	22	18	15	15	14	—	—	—	3	17	14	8	—	10	—	8	5	48	—	Dezember
6.3	6.7	6.5	6.5	1900	48	XI	211	186	85	—	23	5	48	148	433	16	4	49	17	54	39	429	57	Jahr

Beobachter: J. Zweifel

Auen (Linthal)

6.3	6.3	5.5	6.0	212	41	19	16	16	14	—	—	2	6	11	—	—	—	—	—	1	—	—	92	Januar
6.6	5.9	5.3	5.9	236	54	9	13	13	11	—	—	1	8	12	—	—	—	—	—	—	—	—	87	Februar
7.0	6.1	6.0	6.4	237	47	21	15	15	6	—	—	—	5	12	1	—	—	1	2	—	—	—	89	März
4.8	5.1	5.0	5.0	71	16	23	8	8	1	—	1	—	10	9	—	—	—	—	1	3	—	—	86	April
5.5	6.3	5.8	5.9	106	22	26	13	12	—	—	—	—	2	6	—	—	1	—	6	2	—	—	84	Mai
4.7	5.7	5.2	5.2	123	27	7	14	14	—	—	1	—	7	9	2	—	—	1	1	—	—	—	86	Juni
3.2	4.7	5.3	4.4	144	25	15	12	12	—	—	2	—	9	5	1	—	—	—	—	—	—	—	92	Juli
4.4	5.6	5.4	5.1	151	28	31	17	17	—	—	—	—	8	9	—	—	—	1	1	—	—	—	91	August
7.4	6.9	7.2	7.2	178	29	11	18	17	1	—	—	—	3	13	—	—	—	—	—	—	—	—	90	September
7.5	8.0	8.1	7.9	208	32	1	26	26	1	—	—	1	2	19	—	—	—	—	—	—	—	—	93	Oktober
6.8	7.2	7.0	7.0	195	50	8	20	20	11	—	—	1	1	12	1	—	—	—	2	2	—	—	85	November
7.9	7.5	7.5	7.6	247	54	18	15	15	13	—	—	—	2	17	1	—	—	1	—	—	—	—	91	Dezember
6.0	6.3	6.1	6.1	2318	54	XII	187	185	58	—	4	5	63	134	6	—	1	4	13	8	—	—	1066	Jahr

Beobachter: A. Holdener

Oberiberg

6.8	6.4	5.7	6.3	212	64	11	18	18	17	—	—	—	6	12	—	1	—	—	2	12	7	1	70	Januar
7.1	6.7	6.3	6.7	238	40	12	15	14	15	—	—	—	7	16	—	2	—	—	2	7	2	4	70	Februar
7.2	6.5	6.4	6.7	191	40	22	18	16	8	—	—	4	5	14	1	1	—	1	3	4	2	1	80	März
4.6	6.6	4.0	5.1	56	9	1	11	10	2	1	1	4	7	9	—	1	—	4	—	3	—	—	82	April
6.1	7.1	5.5	6.2	104	21	24	18	15	—	1	2	—	2	10	—	4	—	1	1	4	3	1	79	Mai
5.7	6.8	5.4	6.0	195	35	7	14	13	—	—	4	2	5	9	1	2	—	—	2	4	—	—	81	Juni
3.5	5.6	5.3	4.8	150	52	7	10	9	—	1	4	1	7	4	-	2	—	1	—	1	—	1	88	Juli
4.6	6.2	5.8	5.5	221	34	15	16	16	—	—	2	1	10	11	—	2	—	—	3	2	—	1	85	August
7.5	7.6	7.6	7.6	193	27	11	21	19	2	—	—	2	15	—	—	—	—	—	1	3	4	2	80	September
7.6	8.3	7.2	7.7	250	28	1	25	24	4	—	—	2	3	18	1	1	—	—	—	7	3	2	79	Oktober
8.1	7.7	7.2	7.7	334	46	10	21	20	13	—	—	3	2	17	—	2	—	2	2	6	4	9	65	November
8.0	8.0	6.5	7.5	193	26	17	19	18	18	—	—	3	2	16	—	1	—	—	—	7	1	2	82	Dezember
6.4	7.0	6.1	6.5	2337	64	I	206	192	79	3	13	22	71	136	3	19	—	9	16	60	26	24	941	Jahr

Einsiedeln

Die Abendbeobachtung erfolgt um 20.30 $\lambda = 8^\circ 45'$, $\beta = 47^\circ 8'$, $H_b = 913.9^m$, $G = -0.08\ ^m/_m$, $h_r = 1.5^m$

1952	Luftdruck					Luft-Temperatur							Relative Feuchtigkeit					
	Mittel	Minimum	Tag	Maximum	Tag	7^{30}	13^{30}	21^{30}	Mittel	Minimum	Tag	Maximum	Tag	7^{30}	13^{30}	21^{30}	Mittel	Minimum	Tag
Januar	680.3	666.7	25	697.5	7	-4.3	-0.6	-3.3	-2.8	-13.6	22	5.3	11	—	—	—	—	—	—
Februar	682.6	664.7	1	694.0	6	-5.2	-1.0	-3.4	-3.4	-12.4	19	5.3	24 . 29	—	—	—	—	—	—
März	680.2	663.9	29	687.1	1	1.2	5.6	2.9	3.0	-8.0	15	11.8	31	—	—	—	—	—	—
April	683.9	666.4	1	691.1	8	5.1	11.5	7.6	7.8	-7.8	3	17.6	30	—	—	—	—	—	—
Mai	684.5	672.2	4	691.5	23	9.4	14.7	10.6	11.2	4.2	22	21.9	31	76	56	74	69	25	18
Juni	686.6	680.2	15	692.1	3	13.6	18.8	14.7	15.2	10.2	8	25.2	30	83	64	78	75	45	29
Juli	686.5	676.6	28	691.4	10	16.4	21.9	17.8	18.2	11.0	30	29.0	5	81	64	77	74	48	18
August	684.5	675.4	19	689.7	22	14.0	20.0	16.2	16.3	9.1	22	28.6	14	88	65	79	77	35	28
September	683.1	670.3	5	691.4	23	7.7	12.0	8.9	9.2	2.0	21	18.8	2	94	78	91	88	64	5
Oktober	682.8	674.2	14	690.7	8	5.2	9.2	6.5	6.8	-0.7	12	16.2	24	—	—	—	—	—	—
November	679.7	667.4	26	690.3	4	0.1	3.0	0.8	1.1	-9.3	16	9.0	27	90	80	86	85	34	20
Dezember	679.9	662.7	14	690.2	5	-2.2	-0.3	-1.9	-1.6	-8.3	30	8.3	1	88	84	89	87	53	13
Jahr	682.9	662.7	XII	697.5	I	5.1	9.6	6.4	6.7	-13.6	I	29.0	VII	—	—	—	—	—	—

Zentralschweiz

Luzern

$\lambda = 8^\circ 19'$, $\beta = 47^\circ 3'$, $H_b = 497.8^m$, $G = -0.02\ ^m/_m$, $h_r = 1.5^m$

Januar	717.2	703.0	31	734.9	7	-1.5	1.6	-0.7	-0.3	-9.4	21	9.2	11	83	71	77	77	42	10
Februar	719.6	700.7	1	731.6	6	-2.4	1.3	-0.7	-0.6	-8.8	19	6.0	28	87	75	83	81	47	10
März	716.2	698.5	29	723.5	1	3.4	8.4	6.0	6.0	-4.2	15	15.5	31	87	66	72	75	44	4
April	719.3	701.5	1	726.2	8	7.4	14.5	11.1	11.0	-5.2	3	20.9	30	82	55	67	68	33	11
Mai	719.5	706.9	4	726.4	23	11.0	18.7	14.6	14.7	6.0	22	25.6	31	81	44	61	62	32	22 . 23
Juni	721.2	714.9	15	726.9	3	15.1	21.5	17.7	18.0	12.2	9	28.3	30	82	53	69	68	33	29
Juli	720.8	711.3	28	725.6	10	17.5	24.8	21.3	21.2	12.3	30	32.4	5	78	50	63	64	23	18
August	719.0	709.9	19	724.6	22	16.0	22.9	19.0	19.2	9.8	23	30.0	14	85	53	72	70	36	6
September	718.5	705.5	27	726.1	23	9.8	15.0	11.7	12.1	3.7	21	22.0	2	90	62	80	77	43	26
Oktober	718.6	710.0	14	726.7	8	7.4	11.2	8.8	9.0	0.6	13	16.0	24	91	72	87	83	45	30
November	716.3	702.9	26	726.3	4	2.6	5.4	3.4	3.7	-3.8	16	13.5	28	86	73	80	80	49	5
Dezember	716.5	698.6	14	727.3	5	0.4	1.9	0.8	1.0	-3.8	8 . 10	10.2	1	86	79	82	82	55	16
Jahr	718.6	698.5	III	734.9	I	7.2	12.3	9.4	9.6	-9.4	I	32.4	VII	85	63	74	74	23	VII

Rigi-Staffel

$\lambda = 8^\circ 28'$, $\beta = 47^\circ 03'$, $H_b = 1595.8^m$, $G = -0.18\ ^m/_m$, $h_r = 1.8^m$

Januar	624.2	—	—	—	—	-6.3	-4.4	-6.5	-5.9	-14.2	21	6.2	8	—	—	—	—	—	—
Februar	625.9	613.0	1	635.2	21	-6.8	-4.2	-6.7	-6.1	-14.2	6 . 10	4.4	25	—	—	—	—	—	—
März	625.2	613.0	29	631.2	1	-1.0	-0.1	-1.2	-0.9	-9.2	27	6.0	29	—	—	—	—	—	—
April	628.7	613.8	1	635.1	8	3.0	5.0	3.8	3.9	-8.4	4	13.0	15	—	—	—	—	—	—
Mai	630.2	620.2	4	636.3	24	5.2	8.3	6.5	6.6	0.0	12 . 21	17.2	31	—	—	—	—	—	—
Juni	632.5	628.2	16	639.0	30	9.9	13.5	11.1	11.4	3.6	8	24.2	29	—	—	—	—	—	—
Juli	634.2	625.8	28	639.0	1	13.9	16.2	14.8*	14.9	4.2	29	25.2	3	—	—	—	—	—	—
August	631.5	623.9	19	636.0	12 . 13	11.2	13.4	10.2	11.2	4.6	17	22.4	14	—	—	—	—	—	—
September	628.4	618.0	27	635.1	2	4.0	5.2	3.3	4.0	-3.4	20	11.2	2 . 14 . 16	—	—	—	—	—	—
Oktober	628.4	621.3	14	634.2	8	2.6	3.9	2.9	3.1	-4.0	12	12.4	28	—	—	—	—	—	—
November	624.6	616.2	26	631.9	4	-2.8	-1.5	-2.7	-2.4	-10.8	16	8.2	30	—	—	—	—	—	—
Dezember	624.0	611.2	15	632.0	25	-3.5	-2.9	-3.6	-3.4	-11.2	6	4.0	1	—	—	—	—	—	—
Jahr	628.2	611.2	XII	639.0	VI VII	2.4	4.4	2.7	3.0	-14.2	I II	25.2	VII	—	—	—	—	—	—

Rigi: Beobachterwechsel anfangs Oktober

Pilatus-Kulm

Die Abendbeobachtung erfolgt um 20.30 $\lambda = 8^\circ 16'$, $\beta = 46^\circ 59'$, $H_b = 2068^m$, $G = -0.23\ ^m/_m$, $h_r = 2.0^m$

Januar	587.4	575.6	25	605.2	7	-8.5	-5.9	-7.9	-7.5	-16.8	20	5.0	8	71	71	66	69	26	7
Februar	589.1	573.2	1	598.9	21	-8.6	-5.7	-8.5	-7.8	-15.6	6	2.4	22	61	61	63	62	25	28
März	588.9	576.1	29	593.9	1	-3.2	0.3	-3.1	-2.2	-12.6	27	5.0	29	86	83	86	85	34	15
April	593.2	577.4	1	599.6	7 . 8	0.0	3.7	0.2	1.0	-13.6	3	9.2	30	82	77	88	82	44	12
Mai	594.4	584.2	4	600.3	24	2.6	5.6	2.5	3.2	-4.6	21	14.0	31	79	80	88	82	30	18
Juni	598.0	592.4	15	604.9	30	7.5	10.2	7.4	7.9	1.4	8	17.8	30	77	76	87	80	52	28 . 29
Juli	598.8	590.6	28	604.5	2	11.0	14.3	10.7	11.5	2.0	29	23.0	1	73	77	84	78	33	26
August	596.7	588.2	19	602.3	13	8.8	12.6	9.2	9.8	2.4	21	19.8	13 . 14	76	73	83	77	25	23
September	593.4	581.8	27	599.7	23	1.4	4.7	1.5	2.2	-5.6	20	13.4	5	88	83	92	88	46	30
Oktober	592.3	584.8	14	598.5	28	-0.1	2.3	0.4	0.7	-7.0	12	9.0	28	81	82	89	84	17	9
November	587.9	579.1	26	597.7	4	-5.1	-3.1	-5.3	-4.7	-13.8	15	4.4	5	87	85	86	86	45	5
Dezember	587.3	573.1	14	595.3	9	-5.8	-4.1	-6.2	-5.5	-14.0	16	2.2	24	79	76	79	78	21	9
Jahr	592.3	573.1	XII	605.2	I	0.0	2.9	0.1	0.7	-16.8	1	23.0	VII	78	77	83	79	17	X

Beobachter: P. C. Merkt

Einsiedeln

Bewölkung				Niederschlag		Zahl der Tage								Windverteilung								1952
7^{30}	13^{30}	21^{30}	Mittel	Summe	Maximum Tag	●	●≧1.0	✳	▲	⛆	≡	heiter	trüb	N	NE	E	SE	S	SW	W	NW	Calmen	
6.7	6.1	5.5	6.1	158	35	11	20	17	18	—	—	—	6	13	—	—	—	3	2	17	8	8	55	Januar
7.2	6.6	4.8	6.2	203	42	8	16	16	16	—	—	2	6	13	2	1	—	—	—	5	9	4	66	Februar
7.3	6.7	6.8	6.9	162	29	22	18	15	13	—	—	2	3	15	—	2	—	4	1	9	10	6	61	März
5.7	5.1	5.4	5.4	54	16	1	10	8	2	—	1	1	7	10	4	14	1	—	2	1	1	15	52	April
5.4	6.1	5.4	5.6	86	27	11	15	11	—	—	3	—	3	7	11	7	3	—	3	6	4	15	44	Mai
5.6	5.9	5.4	5.6	125	25	7	14	13	—	—	3	—	6	10	8	2	—	3	1	1	6	19	50	Juni
3.5	4.7	5.1	4.4	104	38	9	8	8	—	—	4	—	7	5	10	3	1	2	—	5	2	15	55	Juli
4.1	5.4	5.2	4.9	152	24	9	17	16	—	—	2	—	10	9	7	3	—	2	1	7	9	12	52	August
7.4	7.4	7.3	7.4	184	28	5	19	19	1	—	1	—	2	16	4	3	—	2	2	6	5	15	53	September
7.2	8.1	6.9	7.4	220	29	25	24	23	3	—	—	1	2	15	2	—	—	2	2	6	7	10	64	Oktober
7.5	7.7	6.5	7.2	246	41	10	22	19	12	—	—	—	2	13	—	—	—	1	2	16	14	5	52	November
8.6	8.2	8.2	8.3	183	30	17	20	18	16	—	—	5	2	21	2	6	2	1	—	9	5	1	67	Dezember
6.4	6.5	6.0	6.3	1877	42	II	203	183	81	—	14	11	56	149	50	41	7	20	16	88	80	125	671	Jahr

Zentralschweiz

Beobachter: Kloster Wesemlin

Luzern

8.9	7.7	6.6	7.7	76	20	11	14	14	9	—	—	9	2	17	15	3	2	10	3	1	9	5	45	Januar
10.0	7.4	7.2	8.2	84	27	12	14	12	12	—	—	13	—	20	16	1	1	13	2	—	1	3	50	Februar
8.4	7.2	6.5	7.4	78	18	7	17	15	3	—	—	12	1	13	11	4	1	18	3	1	6	3	46	März
4.6	4.9	4.8	4.8	74	26	1	10	9	1	—	—	5	11	9	21	2	4	10	1	1	—	6	45	April
5.7	6.1	6.2	6.0	69	25	11	11	11	—	—	4	1	1	8	21	8	1	11	1	—	1	8	42	Mai
5.5	5.9	5.8	5.7	150	25	7	14	13	—	—	7	4	6	9	9	4	5	9	—	—	—	5	58	Juni
4.0	4.4	4.8	4.4	76	29	28	8	8	—	—	5	2	9	3	14	7	3	15	1	—	—	1	52	Juli
4.9	5.2	5.6	5.2	136	22	30	16	16	—	—	6	5	8	8	9	3	5	15	2	2	6	1	50	August
8.3	7.3	7.4	7.7	113	18	5	19	17	—	—	1	4	1	16	11	6	1	6	3	2	5	10	46	September
8.9	8.0	7.8	8.2	132	34	25	24	23	—	—	—	9	—	19	10	5	2	18	4	3	2	4	45	Oktober
8.5	8.2	7.2	8.0	132	22	25	21	20	10	—	—	4	1	19	11	7	4	14	4	2	6	11	31	November
9.6	9.0	9.3	9.3	119	32	2	18	16	10	—	—	9	—	26	24	13	6	10	2	—	6	9	23	Dezember
7.3	6.8	6.6	6.9	1239	34	X	186	174	45	—	23	77	40	167	172	63	35	149	26	12	42	66	533	Jahr

Beobachter: A. Gernet; R. Scherer

Rigi-Staffel

7.5	6.5	8.0	7.3	149	29	19	16	16	16	—	—	9	2	16	—	4	14	4	1	6	50	13	1	Januar
7.0	6.6	7.0	6.9	214	62	4	14	14	14	—	—	9	8	17	12	1	27	5	—	5	28	9	—	Februar
7.7	7.9	8.1	7.9	85	12	7	14	14	12	—	—	10	4	23	—	7	12	1	—	1	70	1	1	März
5.7	6.0	6.0	5.9	87	14	23	10	10	6	—	3	5	2	10	—	6	33	2	—	5	32	6	6	April
4.7	5.3	6.6	5.5	100*	?	—	12*	12*	—	—	1	4	6	8	—	4	25	—	—	—	60	2	2	Mai
5.2	5.3	5.8	5.4	158	26	7	14	14	—	—	4	4	7	9	—	1	19	2	—	8	55	—	5	Juni
4.7	4.7	6.1	5.2	131	26	28	10	10	—	—	5	5	8	8	—	1	18	3	—	2	38	15	16	Juli
5.6	6.8	7.3	6.6	239	29	15	17	17	—	1	6	5	5	13	—	13	14	—	—	3	58	—	5	August
8.0	8.1	8.7	8.3	277	26	9	22	22	7	—	1	12	1	21	—	6	7	—	2	3	69	3	—	September
6.7	4.4	7.6	6.2	225*	?	—	25*	25*	15*	—	—	14	4	18	—	—	—	—	—	—	—	—	—	Oktober
8.0	7.3	8.1	7.8	250*	?	—	20*	20*	17*	—	—	12	1	15	11	4	4	—	—	2	40	12	17	November
7.1	7.4	8.0	7.5	140*	?	—	18*	16*	16*	—	—	9	2	17	5	—	—	—	—	10	36	41	1	Dezember
6.5	6.4	7.3	6.7	2055	?	—	192	190	99	1	20	98	50	175	—	—	—	—	—	—	—	—	—	Jahr

Beobachter: Pilatusbahn

Pilatus-Kulm

7.4	7.4	5.5	6.8	134	25	19	19	18	18	—	—	21	5	15	3	12	—	2	—	15	32	29	—	Januar
6.6	6.0	5.3	6.0	169	36	4	14	13	14	—	—	17	8	13	20	13	—	1	—	5	14	34	—	Februar
7.4	7.5	8.2	7.7	131	26	7	16	14	16	—	—	20	3	18	2	9	—	1	3	24	19	35	—	März
5.1	6.1	5.8	5.7	93	16	1	9	9	7	—	—	16	6	9	9	12	7	1	2	23	29	6	1	April
5.3	7.1	6.4	6.3	99	37	11	10	10	3	—	1	11	1	7	26	12	3	2	1	31	15	1	2	Mai
5.7	7.5	6.1	6.4	158	39	7	11	11	1	—	2	12	3	11	13	2	15	18	4	30	8	—	—	Juni
3.9	5.6	5.9	5.1	116	27	28	9	8	—	2	2	1	7	8	5	15	3	7	4	22	20	11	6	Juli
4.3	6.1	6.0	5.5	118	15	9	15	13	—	—	1	12	8	10	4	2	2	28	9	23	20	5	—	August
6.3	7.9	7.0	7.1	125	19	5	19	19	11	—	1	11	4	16	—	—	—	1	—	19	67	3	—	September
7.5	8.1	7.9	7.8	181	38	25	23	22	16	—	—	14	3	20	4	—	—	1	—	25	57	6	—	Oktober
8.0	8.2	7.7	8.0	221	38	3	20	20	18	—	—	22	2	18	6	6	—	2	1	22	24	29	—	November
7.7	7.3	6.3	7.1	128	20	2	19	16	18	—	—	18	4	17	10	2	2	10	3	10	35	21	—	Dezember
6.3	7.1	6.5	6.6	1673	39	VI	184	173	122	2	7	175	54	162	102	85	32	74	27	249	340	180	9	Jahr

Sarnen

$\lambda = 8°\,15'$, $\beta = 46°\,54'$, $H_b = 479^m$, $G = -0.03\ ^m/_m$, $h_r = 1.7^m$

1952	Luftdruck					Luft-Temperatur							Relative Feuchtigkeit					
	Mittel	Minimum	Tag	Maximum	Tag	7^{30}	13^{30}	21^{30}	Mittel	Minimum	Tag	Maximum	Tag	7^{30}	13^{30}	21^{30}	Mittel	Minimum	Tag
Januar	718.4	703.5	11	736.7	7	−2.1	1.5	−1.2	−0.8	−11.4	22	9.6	11	84	69	80	78	40	2. 10
Februar	721.1	702.4	1	733.5	6	−2.5	1.4	−1.4	−1.0	−9.0	18	5.4	21	85	67	82	78	44	10
März	717.3	699.6	29	725.1	1	2.9	8.6	4.9	5.3	−4.0	15	15.4	31	91	60	82	78	38	16
April	720.5	702.5	1	728.2	8	7.1	14.6	9.6	10.2	−1.2	2	22.1	19	87	52	75	71	30	11
Mai	720.7	707.5	4	728.1	23	11.5	18.3	13.1	14.0	7.0	21. 22	24.5	31	79	45	69	64	34	24
Juni	722.5	715.3	15	728.7	3	15.7	21.5	16.6	17.6	13.0	22	28.4	30	81	53	79	71	35	29
Juli	721.7	711.9	28	727.3	10	17.9	24.5	19.9	20.5	12.4	28	30.3	5	79	49	72	67	38	18
August	719.5	709.8	19	724.4	28	15.6	22.6	17.6	18.4	10.7	22	28.9	14	88	51	80	73	34	2
September	719.6	706.4	27	728.2	23	9.8	15.1	11.0	11.7	3.0	21	22.6	2	92	59	85	79	43	28
Oktober	719.7	710.0	14	728.5	8	6.9	11.5	8.2	8.7	0.2	12	15.9	24	95	68	90	84	32	14
November	717.5	703.6	26	728.5	4	1.9	5.4	3.2	3.4	−6.6	16	11.8	28	90	71	81	81	42	7
Dezember	717.6	699.6	14	728.8	5	0.4	2.2	0.5	0.9	−4.0	28	11.2	1	85	77	85	82	53	16
Jahr	719.7	699.6	III XII	736.7	I	7.1	12.3	8.5	9.1	−11.4	I	30.3	VII	86	60	80	75	30	IV

Engelberg

Die Abendbeobachtung erfolgt um 20.30 $\lambda = 8°\,25'$, $\beta = 46°\,49'$, $H_b = 1017.8^m$, $G = -0.12\ ^m/_m$, $h_r = 1.6^m$

Januar	671.6	658.1	25	688.4	7	−5.0	−1.3	−4.2	−3.6	−15.0	21	7.5	2	81	71	82	78	39	2. 10
Februar	673.7	656.8	1	684.2	6	−5.7	−1.4	−4.8	−4.2	−13.9	6	6.1	23	86	72	86	81	42	29
März	671.7	655.7	29	678.0	1	0.6	5.2	2.0	2.4	−8.7	15	11.5	31	84	66	81	77	38	12
April	675.3	658.2	1	681.7	7	3.7	11.0	6.1	6.6	−10.5	3	18.3	30	80	57	77	71	30	12
Mai	675.8	664.3	4	682.0	23	7.8	14.3	10.8	10.6	1.1	21	21.3	31	79	53	68	67	33	1
Juni	678.0	671.4	15	682.9	30	12.0	17.7	14.0	14.1	6.9	22	25.0	30	80	59	80	73	32	29
Juli	678.0	669.0	28	682.5	1	13.9	21.3	16.4	16.4	8.7	30	28.4	2	80	61	79	73	42	1
August	676.2	667.8	19	680.8	22	12.0	18.8	14.4	14.7	5.9	22	27.1	14	84	60	82	75	26	28
September	674.7	662.2	27	682.0	23	6.5	11.3	8.0	8.3	0.1	21	17.7	5	89	67	88	81	51	20
Oktober	674.1	665.7	14	681.8	8	4.2	8.5	5.6	5.9	−2.4	12	14.7	24	86	69	88	81	36	14
November	671.5	659.3	26	681.3	4	−1.0	2.0	−0.4	0.0	−11.6	16	7.8	30	81	70	79	77	39	20
Dezember	671.2	656.0	14	680.1	6	−3.2	−1.1	−3.4	−2.7	−12.1	10	5.9	13	80	73	83	79	42	1
Jahr	674.3	655.7	III	688.4	I	3.8	8.8	5.4	5.7	−15.0	I	28.4	VII	82	65	81	76	26	VIII

Altdorf

$\lambda = 8°\,39'$, $\beta = 46°\,53'$, $H_b = 456.3^m$, $G = -0.05\ ^m/_m$, $h_r = 1.5^m$

Januar	720.3	705.8	11	739.9	7	−1.3	1.9	−0.5	−0.1	−10.6	22	8.2	2	84	71	82	79	32	3
Februar	722.9	705.0	1	735.3	6	−1.7	1.0	−1.1	−0.7	−7.5	6	4.7	21. 29	86	74	87	82	45	2
März	719.1	700.7	29	726.9	1	4.0	8.5	5.6	5.9	−2.3	15	17.5	29	87	66	81	78	29	28
April	722.2	704.0	1	730.4	8	8.6	14.6	10.6	11.1	−0.9	3	22.4	30	81	57	70	69	25	12
Mai	722.4	710.1	4	730.3	23	11.6	18.7	14.2	14.7	7.4	21	23.7	31	86	47	65	66	27	1
Juni	724.3	716.6	18	730.7	3	15.4	21.1	16.8	17.5	12.7	8.21.22	26.7	29	91	56	84	77	30	1
Juli	723.7	713.3	28	729.0	10	17.7	24.0	19.4	20.1	13.3	30	31.5	5	88	53	81	74	33	18
August	722.4	713.0	19	728.3	22	16.2	22.6	17.8	18.6	10.8	23	30.3	14	92	54	84	77	25	30
September	721.3	708.4	27	729.6	23	10.2	15.4	11.4	12.1	3.7	21	23.4	2	97	61	90	83	37	30
Oktober	721.4	709.6	21	731.0	8	7.4	11.4	8.7	9.0	2.1	16	16.7	22	93	72	92	86	43	20
November	719.3	705.9	26	730.0	4	3.0	5.9	3.3	3.9	−6.8	16	14.1	30	83	75	84	81	37	16. 21
Dezember	719.0	700.5	14	730.8	5	0.9	2.7	1.0	1.4	−2.4	29	10.0	1	83	82	85	83	37	13
Jahr	721.6	700.5	XII	739.9	I	7.7	12.3	8.9	9.5	−10.6	I	31.5	VII	88	64	82	78	25	IV VIII

Göschenen

$\lambda = 8°\,35'$, $\beta = 46°\,40'$, $H_b = 1107.2^m$, $G = -0.16\ ^m/_m$, $h_r = 2.7^m$

Januar	663.7	650.8	25	681.1	7	−3.2	−1.5	−3.0	−2.7	−12.6	22	5.4	8	69	65	70	68	38	29
Februar	665.5	647.7	1	676.4	6	−4.4	−2.1	−3.7	−3.5	−10.4	16	5.2	29	70	68	75	71	40	24. 26
März	663.9	640.7	29	670.1	1	1.6	4.4	2.2	2.6	−4.0	26	9.4	31	68	62	68	66	37	15
April	667.7	650.5	1	674.6	8	5.8	10.5	6.7	7.4	−5.0	2. 4	18.0	19	63	53	64	60	37	8. 19
Mai	668.5	658.6	4	674.7	23	9.0	13.7	9.4	10.4	4.4	12	17.8	8	70	51	68	63	36	18
Juni	670.7	663.8	15	675.8	3	12.8	17.5	13.5	14.3	8.6	20	24.8	29	69	57	73	66	36	29. 30
Juli	670.8	661.1	28	675.7	1	15.3	21.3	16.2	17.3	9.8	28. 30	30.4	5	67	55	71	64	35	5
August	668.9	660.3	19	673.7	22	13.9	18.9	14.6	15.5	7.0	22	27.2	14	68	56	71	65	36	28. 29
September	666.9	653.8	11	674.6	23	7.8	11.3	8.6	9.1	2.6	28	18.0	2	74	62	73	70	37	14
Oktober	666.6	657.3	15	674.3	8	5.8	8.7	6.4	6.8	0.2	31	14.0	21	69	64	73	69	36	13. 28
November	663.6	652.4	26	673.8	4	0.2	2.0	0.1	0.6	−7.8	15	8.6	5	70	65	68	68	36	5
Dezember	663.3	646.5	14	672.5	5	−2.0	−0.6	−1.8	−1.5	−9.4	5	7.0	1	71	70	70	70	38	10. 14
Jahr	666.7	646.5	XII	681.1	I	5.2	8.7	5.8	6.4	−12.6	I	30.4	VII	69	61	70	67	35	VII

Beobachter: P. Ch. Durrer

Sarnen

Bewölkung				Niederschlag			Zahl der Tage								Windverteilung									1952
7^{30}	13^{30}	21^{30}	Mittel	Summe	Maximum	Tag	● *	●* ≥1.0	*	▲	K	≡	heiter	trüb	N	NE	E	SE	S	SW	W	NW	Calmen	
8.2	7.2	6.3	7.2	64	16	11	13	10	9	—	—	3	1	13	—	23	—	—	—	13	—	—	57	Januar
9.2	7.4	7.4	8.0	104	25	4	13	10	11	—	—	4	—	18	—	21	—	—	—	3	—	—	63	Februar
8.2	6.8	7.5	7.5	74	19	7	16	12	3	—	—	3	1	15	—	25	—	—	—	1	—	—	67	März
6.3	6.3	6.9	6.5	66	15	1	11	10	1	—	1	1	1	9	—	39	—	—	—	—	—	—	51	April
5.3	5.9	6.4	5.9	61	18	11	13	8	—	1	1	1	2	4	—	47	—	—	—	2	—	—	44	Mai
5.4	6.2	6.5	6.0	136	21	16	15	14	—	—	5	1	1	5	—	30	—	—	—	2	—	—	58	Juni
3.9	5.0	6.1	5.0	66	20	8	10	8	—	—	3	—	7	4	—	32	—	—	—	1	—	—	60	Juli
5.2	6.1	6.0	5.8	135	29	9	15	14	—	1	4	—	5	10	—	28	—	—	—	2	—	—	63	August
7.3	7.2	8.1	7.5	94	19	11	19	16	—	—	—	1	—	14	—	36	—	—	—	4	—	—	50	September
8.3	7.7	8.6	8.2	137	31	25	21	20	—	—	—	3	1	20	—	28	—	—	—	5	1	—	59	Oktober
8.3	8.2	8.4	8.3	128	14	10	21	17	9	—	—	—	—	19	—	27	—	—	—	9	3	—	51	November
9.2	8.4	8.7	8.8	88	15	17	19	15	9	—	—	4	—	22	—	46	—	—	—	3	—	—	44	Dezember
7.1	6.9	7.2	7.1	1153	31	X	186	154	42	2	14	21	19	153	—	382	—	—	—	45	4	—	667	Jahr

Beobachter: P. A. Jenny

Engelberg

6.5	6.2	5.7	6.1	127	34	11	20	17	19	—	—	1	4	13	—	2	—	39	—	10	—	10	32	Januar
7.1	6.9	5.6	6.5	166	42	4	16	14	16	—	—	2	6	15	—	1	—	5	—	18	—	23	40	Februar
7.5	6.9	7.2	7.2	152	30	7	18	14	10	—	—	3	1	16	—	1	—	17	—	13	—	15	47	März
5.3	6.1	6.0	5.8	69	16	23	11	9	4	1	—	2	5	11	—	3	—	18	—	11	—	20	38	April
5.4	7.1	6.8	6.4	84	21	24	12	12	—	—	1	—	1	8	—	6	—	20	—	9	—	34	24	Mai
5.1	6.4	7.2	6.2	147	36	7	15	14	—	—	2	2	1	10	—	9	—	21	—	8	—	31	21	Juni
4.4	5.9	7.2	5.8	120	24	8	12	10	—	—	4	—	4	7	—	9	—	25	—	12	—	27	20	Juli
4.7	6.1	6.3	5.7	156	21	15	17	17	—	—	4	—	6	11	—	9	—	25	—	5	—	20	34	August
7.0	7.7	7.5	7.4	130	31	11	19	17	1	—	—	2	1	15	—	1	—	11	—	15	—	31	32	September
7.7	7.9	7.4	7.7	172	26	25	24	21	3	—	—	1	3	17	—	3	—	21	—	13	—	23	33	Oktober
7.6	7.7	7.9	7.7	271	36	8	22	18	13	—	—	1	2	15	—	2	—	35	—	7	—	13	33	November
8.3	7.5	7.7	7.8	139	25	17	18	16	16	—	—	3	2	19	—	—	—	33	—	16	—	6	38	Dezember
6.4	6.8	6.9	6.7	1733	42	II	204	179	82	1	11	17	36	157	—	46	—	270	—	137	—	253	392	Jahr

Beobachter: Frl. H. Nager

Altdorf

8.8	7.8	7.8	8.1	85	18	11	17	13	12	—	—	1	1	18	3	—	—	3	—	1	—	6	80	Januar
9.4	8.8	8.1	8.8	131	29	4	11	11	9	—	—	4	—	21	4	—	1	1	—	—	—	1	80	Februar
7.7	6.9	7.9	7.5	122	26	7	15	13	2	—	—	1	2	15	1	-	—	7	1	—	2	10	72	März
6.4	6.6	6.9	6.6	45	14	23	9	7	2	—	—	—	3	12	3	—	2	5	3	—	2	16	59	April
6.0	6.2	6.7	6.3	58	24	24	9	7	—	—	1	—	1	8	4	2	3	6	1	1	1	16	59	Mai
5.0	6.4	7.1	6.2	102	26	7	13	13	—	—	2	—	3	11	4	1	1	2	—	—	2	10	70	Juni
4.1	5.7	6.4	5.4	148	46	8	12	11	—	1	7	—	4	8	2	1	2	2	—	—	1	21	64	Juli
4.9	5.7	5.3	5.3	104	17	15	16	15	—	—	2	—	9	9	—	1	2	5	—	—	1	14	70	August
7.4	7.3	7.4	7.4	104	28	11	20	16	—	—	—	—	—	16	—	—	—	1	1	—	1	17	70	September
8.2	8.5	8.2	8.3	134	23	1	22	20	—	—	—	1	1	22	1	—	1	2	—	—	4	8	77	Oktober
8.5	7.9	7.6	8.0	216	26	8	21	20	10	—	1	1	—	16	8	—	—	2	4	—	1	6	69	November
9.6	8.6	9.3	9.2	123	23	2	15	15	8	—	—	—	—	25	1	1	4	1	1	—	—	3	82	Dezember
7.2	7.2	7.4	7.3	1372	46	VII	180	161	43	1	13	8	24	181	31	6	16	37	11	2	15	128	852	Jahr

Beobachter: O. Lendenmann

Göschenen

6.6	7.0	5.5	6.4	96	27	11	17	12	17	—	—	—	4	13	18	—	—	—	37	—	—	—	38	Januar
7.0	7.1	6.8	7.0	146	28	9	15	15	15	—	—	3	8	17	23	—	1	—	18	—	—	—	45	Februar
7.2	7.2	4.5	6.3	129	27	7	17	14	9	—	—	1	2	10	9	—	—	—	37	—	—	—	47	März
5.4	6.4	4.6	5.5	86	35	23	8	6	4	—	—	3	4	9	5	—	—	—	45	—	—	—	40	April
6.5	6.8	5.8	6.4	100	33	4	13	12	—	—	—	—	2	12	26	—	1	—	31	—	1	—	34	Mai
5.2	5.6	4.7	5.2	59	12	18	11	11	—	—	2	—	6	6	16	1	2	—	28	—	—	—	43	Juni
4.8	4.9	5.2	5.0	68	16	7	13	11	—	—	5	1	7	6	18	—	—	1	30	—	—	—	44	Juli
4.6	6.2	5.5	5.4	73	11	24	14	13	—	—	1	1	6	10	21	—	—	—	30	—	—	—	42	August
7.8	7.1	6.0	7.2	126	37	11	18	15	1	—	—	1	5	16	12	—	—	—	27	—	—	—	51	September
7.6	8.2	6.0	7.3	129	36	1	22	18	4	—	—	3	3	15	9	—	—	1	25	1	—	—	57	Oktober
7.3	7.6	5.9	6.9	285	65	19	20	16	12	—	—	—	1	12	10	—	—	1	42	—	—	—	37	November
7.5	7.1	5.7	6.8	96	19	18	14	12	13	—	—	—	5	15	7	—	—	—	35	—	—	—	51	Dezember
6.5	6.8	5.5	6.3	1393	65	XI	182	155	75	—	8	13	53	141	174	1	4	3	385	1	1	—	529	Jahr

St. Gotthard

$\lambda = 8° 34'$, $\beta = 46° 33'$, $H_b = 2095^m$, $G = -0.25\ ^m/_m$, $h_r = 1.8^m$

1952	Luftdruck					Luft-Temperatur								Relative Feuchtigkeit					
	Mittel	Minimum	Tag	Maximum	Tag	7^{30}	13^{30}	21^{30}	Mittel	Minimum	Tag	Maximum	Tag	7^{30}	13^{30}	21^{30}	Mittel	Minimum	Tag
Januar	585.9	574.9	12., 25.	602.6	7	-9.5	-7.2	-9.2	-8.8	-17.3	21	1.9	8	74	72	77	74	5	15
Februar	586.9	572.9	1	596.9	21	-10.1	-7.5	-9.5	-9.2	-16.7	6	0.9	22	71	63	71	68	2	24
März	587.3	577.6	29	591.8	9	-5.2	-2.0	-4.8	-4.2	-12.5	27	2.3	24	76	75	82	78	7	15
April	591.9	576.5	1	598.4	8	-1.3	2.7	-0.7	0.0	-14.2	3	8.0	18	87	65	89	80	40	29
Mai	592.7	584.1	4	597.0	23	1.0	5.1	1.8	2.4	-4.0	23	10.1	30	86	67	93	82	32	21
Juni	596.7	592.3	23	601.4	4	6.2	10.7	6.5	7.5	0.2	8	18.7	30	86	65	91	81	7	30
Juli	596.9	587.9	28	601.9	3	9.9	15.2	10.1	11.3	1.6	29	24.3	2	78	55	83	72	13	2
August	595.3	586.8	20	600.3	13	7.7	12.2	8.3	9.1	1.6	22	19.4	29	81	63	90	78	0	28
September	591.3	581.1	27	597.5	2	0.9	4.0	1.2	1.8	-5.1	20	11.9	2	92	77	95	88	25	26
Oktober	590.7	584.0	14	597.0	28	-1.1	1.6	-1.1	-0.4	-7.4	12	6.1	28	82	76	90	83	4	9
November	586.5	579.0	26	595.8	4	-6.7	-5.0	-6.4	-6.1	-14.2	14	2.0	5	86	84	87	86	10	4
Dezember	585.9	571.6	15	593.5	10	-7.5	-5.6	-7.3	-6.9	-14.2	16	2.4	1	83	79	81	81	0	9
Jahr	590.7	571.6	XII	602.6	I	-1.3	2.0	-0.9	-0.3	-17.3	I	24.3	VII	82	70	86	79	0	VIII XII

Jura

Basel (Binningen)

$\lambda = 7° 35'$, $\beta = 47° 33'$, $H_b = 317.3^m$, $G = 0.11\ ^m/_m$, $h_r = 1.5^m$

Januar	732.7	717.7	31	751.3	7	-0.9	3.1	0.0	0.6	-12.4	23	9.9	15	88	70	87	82	46	28., 31.
Februar	735.6	716.9	1	748.4	6	-1.9	2.3	-0.5	-0.1	-8.7	17	8.6	28	91	72	88	84	46	17
März	731.5	713.9	29	739.5	1	3.6	10.0	6.6	6.7	-2.4	15	17.0	18	88	61	81	77	29	15
April	734.7	719.0	1	741.5	8	7.5	16.1	10.2	11.0	-2.8	4	24.9	30	83	54	78	72	24	11
Mai	734.9	722.9	4	742.9	23	12.5	19.6	13.1	14.6	8.4	22	25.8	31	77	48	79	68	31	21
Juni	736.3	729.0	15	743.3	4	16.6	23.4	16.5	18.2	12.8	4	32.8	30	72	50	75	66	26	30
Juli	735.7	726.8	28	740.4	10	19.1	27.4	20.1	21.7	13.0	25., 29.	35.4	2	69	44	66	60	27	1
August	733.7	724.7	19	740.3	22	16.8	25.9	18.1	19.7	9.9	23	34.5	6	76	46	73	65	25	1., 5.
September	733.6	719.6	27	741.9	23	9.6	15.7	11.0	11.8	2.1	21	23.2	1	91	64	83	79	46	21
Oktober	733.6	724.5	13	742.9	8	7.0	11.9	8.0	8.7	0.4	12	18.8	24	90	71	90	84	52	14
November	731.6	717.2	26	742.9	4	2.8	5.7	3.2	3.7	-2.6	16	15.1	28	89	75	89	84	45	28
Dezember	732.2	713.6	13	744.5	5	0.6	2.2	0.3	0.9	-6.2	8	9.5	25	89	82	87	86	56	13
Jahr	733.8	713.6	XII	751.3	I	7.8	13.6	8.9	9.8	-12.4	I	35.4	VII	84	61	81	75	24	IV

Porrentruy

$\lambda = 7° 5'$, $\beta = 47° 25'$, $H_b = 443.7^m$, $G = 0.09\ ^m/_m$, $h_r = 1.5^m$

Januar	720.5	706.2	31	739.2	7	-1.1	1.8	-1.3	-0.5	-14.5	21	8.9	11	91	81	94	89	56	31
Februar	723.6	705.3	1	736.2	6	-2.6	1.6	-1.0	-0.7	-10.2	17	6.0	28., 29.	94	76	92	87	56	27
März	719.7	701.8	29	727.9	1	3.5	8.6	5.1	5.6	-3.1	15	15.4	31	95	67	89	84	35	3.4
April	723.1	706.3	1	729.9	8	6.1	13.4	9.3	9.5	-3.4	4	19.7	14	92	60	87	80	35	11
Mai	723.5	710.2	4	731.0	23., 24.	10.7	16.8	12.7	13.2	6.8	23	21.8	31	87	55	80	74	38	13., 18.
Juni	725.1	716.7	15	731.8	4	15.0	20.7	16.5	17.2	10.2	9	27.4	30	82	53	77	71	34	30
Juli	724.6	715.7	28	729.3	10	17.0	24.0	19.7	20.1	10.7	30	31.4	2	81	50	70	67	29	6
August	722.5	712.7	19	729.1	22	15.2	22.2	17.3	18.0	9.0	23	30.0	6	86	53	78	72	30	6
September	722.0	707.0	27	730.4	23	9.6	14.3	10.3	11.1	1.9	21	21.4	1	93	66	90	83	46	28
Oktober	722.0	712.9	13., 14.	731.5	8	6.7	10.9	7.5	8.2	-1.2	12	16.5	24	94	75	94	88	48	1
November	719.8	705.0	26	731.0	4	2.5	5.5	3.4	3.7	-5.8	20	13.0	30	95	81	94	90	51	21
Dezember	720.2	702.3	14	732.1	5	0.4	2.0	-0.1	0.5	-8.9	10	10.5	1	93	85	92	90	65	14
Jahr	722.2	701.8	III	739.2	I	6.9	11.8	8.3	8.8	-14.5	I	31.4	VII	90	67	86	81	29	VII

La Chaux-de-Fonds

$\lambda = 6° 50'$, $\beta = 47° 7'$, $H_b = 989.9^m$, $G = -0.03\ ^m/_m$, $h_r = 1.3^m$

Januar	673.3	660.1	25	690.0	7	-3.9	-0.5	-3.8	-3.0	-16.1	21	4.7	8	92	82	90	88	46	7
Februar	675.7	660.0	1	686.6	6	-5.6	-0.4	-3.9	-3.5	-11.1	17., 18.	6.9	23., 24.	93	79	92	88	45	23., 24.
März	673.3	657.6	29	680.1	1	1.2	6.3	2.6	3.2	-6.3	27	13.3	31	91	73	88	84	42	15
April	677.0	659.6	1	683.6	8	5.5	11.2	7.2	7.8	-5.7	2	19.9	12	80	61	77	73	33	10
Mai	677.7	664.9	4	684.2	23	9.6	14.5	10.0	11.0	4.3	21	20.9	31	74	53	77	68	34	18
Juni	679.6	669.2	15	685.2	3	13.6	18.5	14.2	15.1	8.5	9	27.5	30	72	52	73	66	30	30
Juli	679.9	670.6	28	685.3	10	16.6	22.0	17.3	18.3	8.5	29	30.9	1., 2.	68	48	68	61	32	1
August	677.7	669.0	30	682.6	22	13.9	20.3	15.0	16.1	5.9	22	27.3	13	75	50	73	66	23	29
September	676.3	663.7	27	683.9	23	7.0	11.1	7.8	8.4	0.9	21	17.6	1	87	65	85	79	43	20
Oktober	676.1	667.6	13	683.9	8	4.8	8.9	5.6	6.2	-2.1	12	14.9	28	88	71	86	82	35	9
November	672.8	662.4	23	685.3	4	0.6	3.0	0.7	1.2	-10.3	16	11.5	5	88	80	87	85	30	5
Dezember	673.0	656.4	14	682.2	6	-2.4	0.0	-2.3	-1.8	-10.1	9	8.3	1	89	77	86	84	32	18
Jahr	676.0	656.4	XII	690.0	I	5.1	9.6	5.9	6.6	-16.1	1	30.9	VII	83	66	82	77	23	VIII

Beobachter: E. Chiesa

St. Gotthard

Bewölkung				Niederschlag			Zahl der Tage								Windverteilung								1952
7^{30}	13^{30}	21^{30}	Mittel	Summe	Maximum	Tag	● ✱	●✱ ≧1.0	✱	▲	K	≡	heiter	trüb	N	NE	E	SE	S	SW	W	NW	Calmen	
5.9	6.2	5.5	5.9	98	20	11	18	14	18	—	—	9	4	10	—	—	—	15	—	—	—	50	28	Januar
5.6	5.4	5.2	5.4	82	22	11	16	15	16	—	—	15	9	11	—	—	—	4	—	—	—	75	8	Februar
6.2	6.3	5.9	6.1	133	21	29	20	19	20	—	—	18	7	13	—	—	—	14	1	—	—	51	27	März
5.8	5.1	5.2	5.4	281	136	1	9	9	5	—	—	13	8	10	—	—	—	23	—	—	—	32	35	April
6.3	6.6	7.5	6.8	216	45	4	14	14	8	—	—	16	3	15	—	—	—	25	—	—	—	47	21	Mai
4.9	5.8	6.1	5.6	155	54	18	12	12	—	—	1	16	5	8	—	—	—	14	—	—	—	50	26	Juni
3.7	4.4	5.7	4.6	72	16	11	12	12	—	1	4	12	7	5	—	—	—	10	1	—	—	42	40	Juli
4.2	5.7	6.5	5.5	125	20	30	15	15	—	1	5	15	8	11	—	—	—	20	—	—	—	42	31	August
7.0	6.0	7.4	6.8	205	35	11	19	19	13	1	—	17	3	14	—	—	—	22	—	—	—	49	19	September
6.8	7.5	6.9	7.1	174	41	1	21	17	20	—	—	20	3	15	—	—	—	23	1	—	—	38	31	Oktober
7.0	7.7	6.7	7.1	231	37	19	25	21	25	—	—	19	3	14	—	—	—	31	—	—	—	37	22	November
6.9	6.9	6.4	6.7	108	15	21	22	17	22	—	—	14	5	15	—	—	—	26	—	—	—	43	24	Dezember
5.9	6.1	6.3	6.1	1880	136	IV	203	184	147	3	10	184	65	141	—	—	—	227	3	—	—	556	312	Jahr

Jura

Beobachter: Astronom.-Meteorolog. Anstalt

Basel (Binningen)

8.2	7.8	7.0	7.7	46	10	11	15	13	10	—	—	—	3	21	2	—	11	8	6	15	18	5	28	Januar
8.3	7.2	7.2	7.6	49	14	3	10	9	8	—	—	4	3	18	1	2	19	6	4	10	15	14	16	Februar
8.9	7.6	7.0	7.8	97	17	28	16	13	3	—	—	6	1	18	2	4	26	14	5	5	12	15	10	März
5.5	5.9	4.6	5.3	110	49	1	7	6	1	1	2	1	7	8	4	3	23	12	4	7	6	20	11	April
5.3	6.1	5.2	5.5	48	19	11	11	11	—	—	3	—	5	7	3	4	13	8	6	12	15	18	14	Mai
4.8	5.4	4.6	4.9	61	35	6	8	7	—	1	3	—	8	8	2	3	13	6	6	11	20	15	14	Juni
3.2	4.0	3.6	3.6	26	15	8	4	4	—	—	3	—	13	2	10	1	9	4	3	9	12	25	20	Juli
5.7	6.1	5.1	5.6	78	28	30	8	7	—	—	4	—	6	9	5	1	5	20	4	9	15	16	18	August
7.9	7.7	5.9	7.2	87	15	28	19	16	—	—	2	3	1	12	5	6	13	9	2	16	20	10	9	September
8.4	8.0	6.3	7.6	117	22	25	18	17	—	—	—	5	1	15	7	1	15	19	6	11	17	9	8	Oktober
8.4	8.5	8.6	8.5	106	23	25	22	17	9	—	—	7	—	22	1	3	14	9	4	15	17	9	18	November
8.9	8.5	7.6	8.3	97	31	1	17	15	7	—	1	3	1	20	7	5	24	7	4	9	16	6	15	Dezember
7.0	6.9	6.1	6.7	922	49	IV	155	135	38	2	18	29	49	160	40	33	185	122	54	129	183	162	181	Jahr

Beobachter: Ecole normale des Instituteurs

Porrentruy

8.6	7.7	7.8	8.0	101	23	11	17	14	14	—	—	5	2	22	4	5	—	—	—	13	37	12	22	Januar
7.4	6.9	6.8	7.0	78	17	3	13	10	10	—	—	3	4	14	6	23	—	—	—	5	19	9	25	Februar
8.5	7.7	6.7	7.6	148	18	29	19	17	4	—	—	4	2	19	5	23	—	—	—	1	28	14	22	März
5.1	6.3	5.1	5.5	54	17	1	9	6	1	—	2	1	7	10	3	38	—	—	—	—	11	7	31	April
5.0	5.0	5.6	5.2	51	13	11	14	10	—	—	3	—	4	8	1	37	2	1	—	3	13	7	29	Mai
4.8	5.7	4.1	4.9	53	10	6	10	10	—	—	5		10	9	3	17	—	—		—	23	23	24	Juni
2.4	4.2	3.5	3.4	64	34	2	5	3	—	—	3	—	13	1	3	31	—	—	—	—	13	14	32	Juli
5.3	6.3	5.1	5.6	93	32	30	12	10	—	—	4	1	5	10	—	16	—	1	—	1	26	13	36	August
8.1	8.7	6.0	7.6	114	18	27	19	18	—	—	2	5	1	4	3	9	1	1	2	5	41	9	19	September
8.2	7.8	6.3	7.4	172	22	25	22	18	—	—	..	6	—	14	3	10	—	—	—	9	37	13	21	Oktober
9.6	9.0	8.8	9.1	151	25	10	23	18	9	1	1	7	—	26	6	8	1	--	—	5	41	11	18	November
9.5	8.9	7.7	8.7	143	38	1	17	15	8	—	1	2	—	22	—	29	—	—	—	3	38	7	16	Dezember
6.9	7.0	6.1	6.7	1222	38	XII	180	149	46	1	21	34	48	159	37	246	4	3	2	45	327	139	295	Jahr

Beobachter: Police locale

La Chaux-de-Fonds

8.7	6.9	6.4	7.3	156	40	11	18	17	17	—	—	2	2	16	—	1	—	1	—	31	1	—	59	Januar
6.8	6.4	5.7	6.3	103	20	9.11	12	11	12	—	—	1	8	14	1	1	—	—	—	15	1	4	69	Februar
6.9	7.3	6.7	7.0	142	24	25	19	16	6	—	—	1	5	17	—	2	—	1	—	11	2	2	75	März
4.5	6.0	4.2	4.9	81	26*	1	12	10	1	2	3	2	11	8	—	4	—	—	—	6	—	—	80	April
4.1	5.4	4.1	4.5	67	22	11	13	11	—	2	2	—	5	3	2	6	—	—	—	6	3	6	70	Mai
4.2	5.7	3.1	4.3	70	26	6	10	10	—	—	2		11	4	1	2	—	—	—	15	1	1	70	Juni
2.4	4.8	2.0	3.1	78	30	3	7	7	—	2	5	—	12	2	1	2	1	—	—	—	—	1	88	Juli
5.0	5.4	4.7	5.0	114	29	6	14	10	—	—	4	—	7	7	—	—	—	—	—	12	—	4	77	August
7.4	7.5	6.6	7.2	136	20	27	22	21	2	1	2	—	1	12	—	—	—	—	2	18	—	2	68	September
7.2	7.9	6.8	7.3	217	24	24	21	21	3	—	—	—	1	16	—	1	—	1	—	21	1	—	69	Oktober
8.2	8.4	8.6	8.4	246	35	10	24	22	18	—	—	—	—	20	—	1	—	—	—	24	2	6	57	November
7.6	6.9	7.0	7.2	188	30	1	17	17	14	—	—	1	4	18	1	9	—	—	—	8	2	—	73	Dezember
6.1	6.5	5.5	6.0	1598	40	I	189	173	73	7	18	7	67	137	6	29	1	3	2	163	13	26	855	Jahr

Chasseron

Die Abendbeobachtung erfolgt um 20.30 $\lambda = 6° 32'$, $\beta = 46° 51'$, $H_b = 1588^m$, $G = -0.13$ mGal, $h_r = 1.5^m$

1952	Luftdruck					Luft-Temperatur								Relative Feuchtigkeit					
	Mittel	Minimum	Tag	Maximum	Tag	7^{30}	13^{30}	21^{30}	Mittel	Minimum	Tag	Maximum	Tag	7^{30}	13^{30}	21^{30}	Mittel	Minimum	Tag
Januar	624.3	611.6	25	641.6	7	-6.2	-4.4	-5.8	-5.6	-13.7	21	10.1	8	90	89	85	88	35	8
Februar	626.2	609.2	1	635.8	6	-6.2	-3.9	-5.6	-5.4	-14.0	13.14.16	5.0	22	76	78	77	77	16	21
März	625.3	611.0	29	631.1	1	-0.6	0.5	-0.1	-0.3	-9.4	27	7.0	29	90	90	90	90	35	2
April	629.4	612.9	1	635.8	7.8	2.7	5.2	3.3	3.4	-9.2	2.3	12.8	15	80	79	83	81	35	12
Mai	630.4	619.0	4	636.3	24	5.2	8.5	5.9	6.1	-1.2	21	13.4	31	82	70	82	78	50	18.21.22
Juni	633.3	626.7	15	639.3	30	9.0	12.4	10.5	10.3	4.4	21	20.0	30	80	72	73	75	11	20
Juli	633.9	624.5	28	639.2	1	13.2	16.5	13.6	13.9	5.2	28	24.8	5	69	61	69	66	38	26
August	631.8	622.9	19	636.5	12	10.9	13.8	11.7	11.7	4.0	21	20.8	29	78	70	75	74	35	29
September	629.0	616.3	27	636.3	23	3.4	5.4	3.9	3.9	-3.0	20	12.0	2	93	88	95	92	50	14
Oktober	628.4	619.6	14	635.1	17	2.2	3.9	2.6	2.7	-3.2	11.13	11.2	28	91	87	92	90	21	9
November	624.7	614.0	26	634.6	4	-2.9	-1.7	-2.6	-2.6	-10.2	16	6.8	30	95	94	98	96	33	5
Dezember	624.1	609.1	14	632.2	9.25	-3.5	-3.2	-3.9	-3.6	-12.4	6	5.4	1	91	87	89	89	23	9
Jahr	628.4	609.1	XII	641.6	I	2.3	4.4	2.8	2.9	-14.0	II	24.8	VII	85	80	84	83	11	VI

Chasseron: Beobachterwechsel im Januar

Neuchâtel

$\lambda = 6° 57'$, $\beta = 47° 0'$, $H_b = 487.3^m$, $G = 0.02$ mGal, $h_r = 1.3^m$

Januar	717.9	703.2	31	736.1	7	-1.6	1.2	-0.6	-0.4	-9.6	24	7.0	1. 11	89	79	84	84	60	12
Februar	720.3	703.1	1	732.3	6	-2.0	1.9	0.0	0.0	-7.6	18	9.2	28	87	74	78	80	51	29
März	716.7	699.9	29	724.1	1	3.3	8.3	5.8	5.8	-3.0	15	14.6	31	90	73	82	82	51	26
April	719.8	700.8	1	727.5	8	7.5	15.0	10.6	10.9	-1.6	2	22.2	19	88	59	73	73	41	13
Mai	720.0	707.0	4	727.3	24	11.6	19.2	14.2	14.8	7.4	21	23.0	17	81	52	64	66	33	23
Juni	721.8	714.7	15	727.4	3	15.8	22.9	18.3	18.8	12.0	9	32.0	30	80	54	62	65	37	30
Juli	721.3	711.9	28	726.1	1	18.9	27.2	21.5	22.3	13.4	28	34.0	5	71	43	56	57	29	18
August	719.6	710.5	19	725.1	22	16.1	23.8	18.6	19.3	11.4	22	30.8	6	83	55	69	69	29	6
September	719.1	705.5	27	727.3	23	9.8	15.0	11.2	11.8	4.4	21	23.3	3	91	70	80	80	44	25
Oktober	719.1	710.2	14	727.5	8	7.4	11.1	8.5	8.9	0.1	12	16.7	5	90	77	87	85	48	10
November	717.0	703.5	26	727.5	4	2.6	4.9	3.4	3.6	-2.9	16	11.9	28	92	83	88	88	59	1
Dezember	717.1	698.9	14	727.6	5	1.0	2.1	0.9	1.2	-4.3	9	9.6	1	90	84	88	87	63	8
Jahr	719.1	698.9	XII	736.1	I	7.5	12.7	9.4	9.7	-9.6	I	34.0	VII	86	67	76	76	29	VII VIII

Chaumont

$\lambda = 6° 49'$, $\beta = 47° 1'$, $H_b = 1141^m$, $G = -0.06$ mGal, $h_r = 1.3^m$

Januar	661.1	648.4	31	677.1	7	-4.4	-1.5	-3.8	-3.4	-11.8	21	8.0	8	89	84	87	87	29	7
Februar	663.5	647.1	1	672.6	6	-4.8	-0.7	-3.6	-3.2	-12.2	17	8.2	23	90	81	86	86	38	23. 33
März	661.4	645.0	29	667.2	1	1.0	4.7	1.9	2.4	-7.0	15	9.4	31	94	79	89	87	43	2
April	664.8	648.5	1	670.9	8	5.1	10.3	6.1	6.9	-6.0	2	18.8	12	85	67	78	77	41	9. 10
Mai	665.6	654.4	4	671.3	23	8.2	14.5	9.0	10.2	3.2	22	19.8	31	85	64	80	76	50	23
Juni	667.6	661.8	15	672.7	30	12.2	18.3	12.9	14.1	8.0	8. 21	26.2	30	81	62	77	73	38	30
Juli	667.3	659.7	28	672.3	5	15.5	22.6	16.9	18.0	6.8	29	31.6	5	76	54	72	67	39	26
August	665.6	657.9	19	670.0	22	13.7	19.5	14.7	15.7	6.8	22	26.8	6	81	59	74	71	33	5
September	664.5	653.4	27	670.4	23	6.1	10.5	6.9	7.6	0.0	20	18.4	2	93	76	89	86	52	25
Oktober	664.2	657.5	1. 14	670.5	8	3.9	7.5	4.9	5.3	-2.0	12	11.4	7	94	82	91	89	56	10
November	660.8	650.2	26	671.0	4	-0.8	1.5	-0.5	-0.1	-8.0	16	9.2	30	94	88	93	92	46	5
Dezember	661.0	646.3	13	669.0	7	-2.9	-1.6	-2.9	-2.6	-9.8	10	7.0	1	94	90	93	92	48	30
Jahr	664.0	645.0	III	677.1	I	4.4	8.8	5.2	5.9	-12.2	II	31.6	VII	88	74	84	82	29	I

Solothurn

$\lambda = 7° 32'$, $\beta = 47° 13'$, $H = 470^m$, $G = —$ mGal, $h_r = 1.5^m$

Januar	—	—	—	—	—	-2.6	0.6	-2.2	-1.6	-10.8	21	6.6	1	94	78	91	88	41	13
Februar	—	—	—	—	—	-3.3	2.1	-1.3	-1.0	-9.6	17	8.0	28	92	66	85	81	45	14. 17
März	—	—	—	—	—	2.7	8.8	5.1	5.4	-3.6	15	15.2	17	92	63	84	80	34	17
April	—	—	—	—	—	7.7	15.6	9.7	10.7	-1.9	2	23.0	15	84	50	71	68	28	14
Mai	—	—	—	—	—	11.8	19.3	13.0	14.3	5.8	6	24.0	31	76	41	69	62	29	22
Juni	—	—	—	—	—	15.8	22.9	16.2	17.8	11.5	9	31.0	30	77	46	70	64	23	30
Juli	—	—	—	—	—	18.0	26.8	20.1	21.3	12.1	28	34.9	6	74	39	62	58	23	18
August	—	—	—	—	—	15.8	24.3	17.2	18.6	11.2	23	32.0	6	82	42	76	67	25	5
September	—	—	—	—	—	9.7	15.3	10.3	11.4	4.5	21	24.9	1	91	59	81	77	36	3
Oktober	—	—	—	—	—	6.9	11.7	7.7	8.5	-0.2	12	17.8	7	92	67	93	84	36	7
November	—	—	—	—	—	2.2	4.8	2.6	3.1	-2.6	17	12.7	28	93	77	89	86	49	1
Dezember	—	—	—	—	—	0.3	1.8	0.4	0.7	-4.6	8. 10	10.1	1	88	79	85	84	51	5
Jahr	—	—	—	—	—	7.1	12.8	8.2	9.1	-10.8	I	34.9	VII	86	59	80	75	23	VI VII

Beobachter: R. Colomb, Ch. H. Martin

Chasseron

Bewölkung				Niederschlag			Zahl der Tage								Windverteilung								1952
7^{30}	13^{30}	21^{30}	Mittel	Summe	Maximum	Tag	●	●≥1.0	✳	▲	K	≡	heiter	trüb	N	NE	E	SE	S	SW	W	NW	Calmen	
8.1	7.6	7.1	7.6	133	42	11	21	19	19	—	—	22	3	18	3	5	12	4	9	15	34	11	—	Januar
6.5	6.7	5.9	6.4	57	12	3	11	10	11	—	—	15	4	13	7	18	18	3	4	4	24	8	1	Februar
8.1	7.8	7.9	7.9	147	22	25	17	15	14	—	—	24	1	20	6	2	11	5	12	11	41	5	—	März
5.9	6.7	6.8	6.5	64	22	20	10	7	4	1	2	11	1	9	5	22	16	11	8	11	10	7	—	April
6.0	6.9	6.8	6.6	86	18	4	12	10	4	3	3	12	—	8	16	15	19	9	2	7	9	16	—	Mai
6.4	6.9	6.7	6.7	102	25	7	10	9	—	2	4	15	—	9	4	1	14	4	5	7	30	25	—	Juni
3.6	5.4	4.7	4.6	34	14	8	4	3	—	1	4	7	6	4	12	4	20	6	4	0	13	34	—	Juli
6.6	6.7	6.9	6.7	119	26	15	15	12	—	1	5	14	—	12	3	7	7	6	14	8	29	19	—	August
8.5	8.6	8.0	8.4	170	18	30	23	21	9	—	2	24	11	19	9	3	6	3	11	9	19	30	—	September
7.8	8.4	7.7	8.0	307	45	13	23	21	12	—	—	24	—	20	2	3	2	10	4	11	33	27	1	Oktober
8.7	9.0	9.6	9.1	240	29	25	25	24	22	1	—	28	—	24	6	1	3	6	11	7	35	21	—	November
8.3	7.6	7.4	7.8	106	17	1	19	16	17	—	—	23	3	19	5	2	19	6	7	9	24	21	—	Dezember
7.0	7.4	7.1	7.2	1565	45	X	190	167	112	9	20	219	29	175	78	83	147	73	91	99	301	224	2	Jahr

Beobachter: Observatorium

Neuchâtel

8.4	8.1	8.2	8.2	124	38	11	15	11	15	—	—	2	1	20	1	6	3	1	—	30	15	1	36	Januar
7.7	7.1	6.2	7.0	59	13	3	10	8	9	—	—	2	5	15	5	18	8	3	—	13	8	3	29	Februar
7.8	6.8	6.9	7.2	95	15	29	18	15	3	—	1	2	3	18	1	11	3	3	5	18	8	2	42	März
5.4	5.2	4.3	5.0	53	17	1	7	7	1	—	1	—	7	8	1	17	9	6	5	8	4	2	38	April
4.5	4.7	4.8	4.7	47	14	11	10	8	—	1	2	1	6	3	6	16	17	7	3	9	3	5	27	Mai
4.4	5.0	5.0	4.8	62	17	15	10	9	—	—	3	—	9	7	9	8	5	9	7	12	7	5	28	Juni
2.7	3.9	3.1	3.2	22	13	28	5	4	—	—	5	—	13	2	8	4	15	8	5	9	2	13	29	Juli
5.1	5.1	5.4	5.2	130	41	30	14	11	—	—	5	—	8	5	2	2	1	7	4	19	13	1	44	August
7.5	7.3	5.9	6.9	130	18	11	20	19	—	—	1	—	2	13	2	6	2	6	4	15	18	1	36	September
7.9	7.5	7.1	7.5	168	29	13	19	18	—	—	—	5	3	17	5	—	2	—	4	24	13	2	43	Oktober
9.1	9.2	8.6	9.0	179	28	25	25	22	12	—	—	2	—	25	—	8	4	1	—	23	19	5	30	November
9.5	9.0	9.4	9.3	153	24	14	18	17	9	—	—	2	—	27	—	22	4	—	—	26	11	—	30	Dezember
6.7	6.6	6.2	6.5	1222	41	VIII	171	149	49	1	18	16	57	160	40	118	73	51	37	206	121	40	412	Jahr

Beobachter: Frau B. Pierrehumbert

Chaumont

7.0	6.7	6.0	6.6	137	42*	11	15	15	15	—	—	4	5	13	2	—	6	—	—	4	18	2	61	Januar
6.9	6.6	4.9	6.1	109	28	11	10	10	10	—	—	6	4	12	—	—	15	—	—	—	7	2	63	Februar
7.2	7.1	6.2	6.8	106	13	29	15	15	5	—	—	11	2	13	—	1	7	—	—	1	4	—	80	März
5.3	5.7	4.6	5.2	72	21	1	10	8	1	—	2	6	5	9	—	1	19	1	—	7	1	—	61	April
4.5	5.5	4.5	4.8	50	9	4	9	9	—	—	2	2	8	1	—	—	29	—	—	1	9	3	51	Mai
4.8	4.9	4.2	4.6	69	18	15	10	10	—	—	2	5	8	5	—	1	11	—	—	3	11	2	62	Juni
3.0	4.0	2.7	3.2	32	20	28	4	4	—	—	1	—	13	2	1	1	9	2	—	3	4	4	69	Juli
5.2	5.3	4.3	4.9	141	39	30	10	10	—	—	2	4	7	4	—	—	6	—	—	4	11	—	72	August
7.4	7.2	5.5	6.7	141	16	27	20	19	2	—	—	9	2	13	—	—	5	—	—	9	18	6	52	September
7.0	7.2	6.4	6.9	194	29	13	18	18	4	—	—	14	2	13	1	—	6	1	—	7	30	—	48	Oktober
8.1	8.1	7.9	8.0	217	28	25	21	21	17	—	—	12	1	20	—	—	2	1	—	7	12	3	65	November
8.4	7.6	7.7	7.9	167	28	14	16	16	13	—	—	12	2	19	—	4	15	—	—	12	11	1	50	Dezember
6.2	6.3	5.4	6.0	1435	42*	I	158	155	67	—	9	85	59	124	4	8	130	5	—	58	136	23	734	Jahr

Beobachter: B. u. G. Glutz

Solothurn

9.4	8.0	7.8	8.4	147	40	11	16	12	12	—	—	6	—	21	—	3	3	—	—	1	24	5	57	Januar
8.8	6.9	5.4	7.0	98	17	3	12	11	12	—	—	3	2	14	—	1	18	1	—	—	17	—	50	Februar
8.6	6.7	6.7	7.3	123	17	22	18	17	3	—	—	5	1	16	—	7	5	1	—	3	14	2	61	März
6.0	5.6	4.7	5.4	68	18	1	8	6	1	—	—	1	3	9	6	15	5	—	1	—	6	1	56	April
5.4	5.2	4.9	5.2	63	17	11	11	9	—	—	1	2	5	6	—	10	8	5	—	5	4	1	60	Mai
4.5	5.0	4.7	4.7	101	32	6	11	9	—	—	6	1	10	8	—	4	6	3	—	3	8	3	63	Juni
2.8	4.1	3.8	3.6	84	58	28	6	6	—	—	3	—	12	2	—	7	4	7	—	5	2	5	63	Juli
5.5	5.3	4.8	5.2	115	32	30	15	12	—	—	4	—	7	5	—	—	2	3	—	11	3	6	68	August
8.6	6.9	5.7	7.1	130	19	27	22	21	—	—	1	5	1	13	—	5	3	3	—	4	8	5	62	September
8.5	7.7	6.6	7.6	221	40	24	19	17	—	—	—	6	—	15	—	1	2	1	—	7	15	4	63	Oktober
9.4	8.8	8.2	8.8	232	25	2	24	21	12	—	—	6	—	24	—	2	3	1	—	3	11	8	62	November
9.7	8.7	9.1	9.2	210	29	1	21	20	11	—	—	4	—	25	—	14	7	1	—	2	14	7	48	Dezember
7.3	6.6	6.0	6.6	1592	58	VII	183	161	51	—	15	39	41	158	6	69	66	26	1	44	126	47	713	Jahr

Langenbruck

$\lambda = 7° 46'$, $\beta = 47° 21'$, $H_b = 740.4^m$, $G = 0.02$ ‰, $h_r = 1.6^m$

1952	Luftdruck					Luft-Temperatur								Relative Feuchtigkeit					
	Mittel	Minimum	Tag	Maximum	Tag	7^{30}	13^{30}	21^{30}	Mittel	Minimum	Tag	Maximum	Tag	7^{30}	13^{30}	21^{30}	Mittel	Minimum	Tag
Januar	695.2	681.7	31	713.6	7	-3.2	-1.0	-2.9	-2.5	-12.0	21	5.4	1	78	70	75	74	54	13
Februar	697.8	681.1	1	709.1	6	-3.6	-0.5	-2.8	-2.4	-9.2	14	6.1	23	80	66	76	74	41	23
März	694.7	678.2	29	702.0	1	2.2	5.8	3.2	3.6	-5.4	15	13.3	31	83	64	76	74	42	4
April	698.3	681.2	1	705.2	8	7.1	11.9	8.0	8.8	-4.0	2	18.8	11	75	54	67	65	35	11
Mai	698.9	686.1	4	706.1	23	11.2	15.7	11.0	12.2	6.3	21	23.6	31	64	47	63	58	28	18
Juni	700.7	693.8	15	706.4	3	15.2	19.3	14.2	15.7	11.2	3. 10	27.6	30	63	51	64	59	31	30
Juli	700.7	691.3	28	706.1	10	18.3	22.9	17.4	19.0	10.9	28	30.4	2	61	47	60	56	33	6
August	698.5	698.7	19	704.4	22	16.3	20.9	15.8	17.2	10.3	22	27.6	13	67	51	67	62	34	5. 6
September	697.5	684.2	27	705.4	23	9.1	12.3	9.4	10.0	3.2	20	19.6	3	82	62	74	73	40	3. 15
Oktober	697.4	688.5	14	706.0	8	6.1	9.1	6.7	7.1	0.4	12	14.3	24	82	67	79	76	48	2
November	694.6	681.5	26	705.8	4	1.2	2.9	1.7	1.7	-5.6	20	11.3	30	83	74	80	79	55	4
Dezember	695.1	677.5	14	705.7	5	-1.4	-0.4	-1.5	-1.2	-7.6	6	9.5	1	84	80	82	82	57	8. 13
Jahr	697.4	677.5	XII	713.6	I	6.5	9.9	6.7	7.4	-12.0	I	30.4	VII	75	61	72	69	28	V

Aarau

$\lambda = 8° 2'$, $\beta = 47° 23'$, $H_b = 407.6^m$, $G = 0.07$ ‰, $h_r = 1.6^m$

Januar	725.1	709.5	31	744.6	7	-1.5	1.4	-1.3	-0.7	-9.0	29	8.8	1	82	67	83	77	36	13
Februar	727.7	708.7	1	740.9	6	-2.5	1.8	-1.2	-0.8	-8.0	6	7.0	28	82	65	81	76	44	20. 21
März	724.0	707.2	29	731.9	1	3.2	9.1	5.3	5.7	-3.2	15	14.8	31	85	57	78	73	30	4
April	727.2	709.6	1	734.8	8	7.7	15.5	9.7	10.7	-1.6	3	23.8	10	78	44	71	64	22	11
Mai	727.4	714.7	4	735.1	23	11.8	19.6	13.1	14.4	7.4	21. 22	27.0	31	67	34	65	55	17	18
Juni	729.2	722.4	15	735.2	4	15.9	22.3	16.1	17.6	11.6	9	30.2	29	69	46	74	63	29	4
Juli	728.5	719.6	28	734.3	10	18.2	26.0	19.9	21.0	10.6	30	34.0	5	72	44	68	61	30	23
August	726.6	717.4	19	733.1	10	16.2	24.3	17.4	18.8	11.6	22	31.4	6	79	45	79	68	30	5. 13
September	726.1	712.7	27	735.1	23	9.9	14.6	10.3	11.3	4.0	21	22.8	1	87	61	86	78	38	5
Oktober	726.2	716.3	13	735.2	8	7.1	11.3	7.8	8.5	1.0	12	15.6	24	90	67	91	83	47	3. 15
November	724.0	710.8	26	735.8	4	2.5	4.9	2.7	3.2	-3.2	17	13.2	28	88	75	88	84	59	28. 29
Dezember	724.6	706.5	14	736.5	5	0.6	2.2	0.8	1.1	-4.8	8	10.8	1	81	75	82	79	52	7
Jahr	726.4	706.5	XII	744.6	I	7.4	12.7	8.4	9.2	-9.0	1	34.0	VII	80	57	78	72	17	V

Beznau

$\lambda = 8° 14'$, $\beta = 47° 33'$, $H_b = $ ca 330^m, $G = —$ ‰, $h_r = 1.5^m$

Januar	—	—	—	—	—	-0.5	2.0	-0.3	0.2	-9.0	29	8.0	11	85	72	87	81	41	13
Februar	—	—	—	—	—	-1.8	1.9	-0.7	-0.3	-8.0	17	6.0	21	87	68	87	81	42	29
März	—	—	—	—	—	3.4	8.4	5.2	5.6	-2.6	15	15.0	31	89	65	88	81	37	17
April	—	—	—	—	—	7.3	15.1	8.8	10.0	-1.2	3	23.0	14	93	47	90	77	17	11
Mai	—	—	—	—	—	12.1	18.7	13.1	14.2	7.0	21	22.4	16	84	42	87	71	21	22
Juni	—	—	—	—	—	15.6	22.2	16.5	17.7	12.0	9	29.0	30	83	44	87	71	26	4
Juli	—	—	—	—	—	18.2	25.5	20.3	21.1	13.0	29	33.0	2	83	38	86	69	13	2
August	—	—	—	—	—	16.4	23.8	18.3	19.2	11.0	23	31.4	14	88	44	91	74	17	6
September	—	—	—	—	—	10.7	15.4	10.1	11.6	4.0	20	23.0	1	94	63	92	83	43	28
Oktober	—	—	—	—	—	7.3	11.1	7.3	8.2	1.0	9	16.6	24	95	73	95	88	45	2
November	—	—	—	—	—	2.9	5.3	2.8	3.4	-2.8	16	12.0	28	93	82	93	89	63	5
Dezember	—	—	—	—	—	1.1	2.6	0.8	1.3	-4.0	6	10.2	1	88	80	90	86	52	5. 7
Jahr	—	—	—	—	—	7.7	12.7	8.5	9.4	-9.0	I	33.0	VII	88	60	89	79	13	VII

Hallau

$\lambda = 8° 27'$, $\beta = 47° 42'$, $H_b = 449.5^m$, $G = 0.09$ ‰, $h_r = 1.3^m$

Januar	720.6	704.6	31	739.6	7	-1.7	0.7	-0.8	-0.6	-8.7	29	7.4	11	93	83	93	90	50	13
Februar	723.5	704.0	1	736.2	6	-3.3	0.6	-1.3	-1.3	-10.1	14	5.3	28	93	80	89	87	65	17. 18
März	720.0	702.7	29	727.6	1	2.9	8.1	5.2	5.4	-4.2	3	14.2	31	92	69	85	82	28	15
April	723.3	705.6	1	730.6	8	7.6	15.0	10.5	10.9	-2.4	3	22.6	14	90	55	76	74	33	11
Mai	723.6	710.7	4	731.3	23	11.6	18.7	13.8	14.5	7.8	21	24.8	31	83	47	72	67	33	18
Juni	725.1	718.0	15	731.5	4	15.0	21.9	17.3	17.9	12.0	7	30.6	30	83	51	75	70	28	30
Juli	724.7	715.1	28	729.7	1	17.7	25.9	21.0	21.4	10.8	29	33.7	4	81	47	65	64	32	1
August	722.7	713.8	19	729.4	22	16.1	24.3	18.7	19.4	11.6	22	32.1	14	85	47	74	69	29	6
September	722.1	709.4	27	730.2	23	9.6	14.7	10.8	11.5	0.3	21	23.0	1	95	65	89	83	47	28
Oktober	722.1	712.6	14	731.4	8	6.3	10.7	7.5	8.0	0.0	12	15.9	24	96	73	95	88	51	7
November	719.8	706.2	26	731.1	4	1.8	4.3	2.5	2.8	-4.9	16	11.0	28	95	83	92	90	65	14. 28
Dezember	720.4	702.5	13	733.1	5	0.0	1.5	0.1	0.4	-5.8	8	10.4	1	91	84	89	88	58	7
Jahr	722.3	702.5	XII	739.6	I	7.0	12.2	8.8	9.3	-10.1	II	33.7	VII	90	65	83	79	28	III VI

Beobachter: E. Müller

Langenbruck

Bewölkung				Niederschlag			Zahl der Tage								Windverteilung								1952
7^{30}	13^{30}	21^{30}	Mittel	Summe	Maximum	Tag	●	≧1.0	*	▲	K	≡	heiter	trüb	N	NE	E	SE	S	SW	W	NW	Calmen	
8.0	6.9	7.3	7.4	117	21	11	17	13	15	—	—	2	1	18	2	3	4	—	4	1	13	7	5	Januar
7.1	6.7	5.8	6.5	100	20	3	13	12	13	—	—	—	7	15	4	5	2	1	—	—	6	6	63	Februar
7.5	7.3	6.8	7.2	130	21	22	19	18	4	—	—	1	3	14	3	3	6	—	2	2	2	1	74	März
4.5	5.3	4.6	4.8	85	27	1	9	7	1	—	—	—	10	7	8	10	12	—	—	—	5	5	50	April
5.1	5.9	4.9	5.3	73	25	4	12	7	—	1	1	1	7	9	9	6	13	—	2	1	7	16	39	Mai
4.2	5.3	4.3	4.6	106	38	6	11	8	—	1	2	—	12	10	9	7	5	1	1	2	5	9	51	Juni
2.2	4.1	3.0	3.1	72	24	28	7	7	—	1	1	—	14	1	9	3	10	2	1	—	10	6	52	Juli
5.3	5.1	5.2	5.2	111	31	30	14	13	—	—	—	—	7	7	10	4	5	—	1	—	6	1	66	August
7.1	7.4	6.2	6.9	121	17	27	22	20	1	—	—	—	1	11	4	8	10	—	—	—	11	2	55	September
7.9	7.9	6.6	7.5	165	38	24	22	20	1	—	—	1	1	15	8	2	3	—	1	1	14	2	62	Oktober
8.2	8.4	7.9	8.2	175	33	10	23	22	13	—	—	—	1	17	4	4	2	—	3	1	10	6	6	November
9.6	9.5	9.1	9.4	158	22	1	19	17	10	—	—	8	—	26	3	7	4	—	—	2	6	6	65	Dezember
6.4	6.6	6.0	6.3	1413	38	VI	188	164	58	3	4	13	64	150	73	62	76	4	15	10	95	67	696	Jahr

Beobachter: W. Amsler

Aarau

9.3	7.9	8.4	8.5	83	21	11	16	12	14	—	—	4	—	24	—	1	1	1	1	4	53	—	32	Januar
9.2	6.7	6.3	7.4	83	23	3	13	10	11	—	—	6	1	16	2	2	6	8	—	1	31	1	36	Februar
9.0	6.5	6.5	7.3	100	17	22	19	18	3	—	—	9	1	17	—	2	7	3	—	13	27	—	41	März
4.8	5.0	4.6	4.8	68	24	1	6	5	1	—	—	1	8	7	6	8	11	3	1	10	16	3	32	April
5.0	4.1	4.9	4.7	50	17	11	10	8	—	—	2	3	8	3	4	11	13	4	2	11	19	10	19	Mai
4.8	4.3	4.5	4.5	107	31	7	12	11	—	1	5	—	9	8	1	3	5	3	1	13	10	7	38	Juni
2.8	3.5	3.0	3.1	47	21	28	6	6	—	—	4	—	13	1	2	6	7	8	3	14	10	7	36	Juli
5.4	4.7	5.1	5.1	89	22	15	13	13	—	—	3	3	6	7	2	1	1	2	3	18	29	3	34	August
8.9	7.2	6.6	7.6	112	18	14	22	20	—	—	—	11	1	16	1	4	3	1	2	17	28	2	32	September
8.8	7.7	7.5	8.0	165	52	24	23	20	—	—	—	12	1	15	2	1	2	1	—	9	35	4	39	Oktober
9.5	8.2	8.3	8.7	178	38	10	25	22	11	—	—	11	—	21	3	—	7	3	—	13	40	2	22	November
9.7	9.3	9.5	9.5	140	34	1	18	17	9	—	—	5	—	27	2	3	18	6	—	8	36	1	19	Dezember
7.3	6.2	6.3	6.6	1228	52	X	183	162	49	1	14	65	48	162	25	42	81	43	13	131	343	40	380	Jahr

Beobachter: K. Sutter

Beznau

8.9	8.5	8.7	8.7	75	19	11	15	12	10	—	—	1	1	24	3	1	—	37	16	7	5	1	23	Januar
9.6	6.9	7.8	8.1	112	38	11	11	11	11	—	—	8	—	18	5	1	1	21	12	4	2	5	36	Februar
9.1	6.0	6.7	7.3	125	34	22	16	15	2	—	—	12	1	16	5	4	2	18	6	8	2	8	40	März
5.4	4.9	4.2	4.8	61	17	1	6	5	1	—	—	2	6	7	20	5	3	10	7	4	1	8	32	April
4.9	4.8	4.8	4.8	56	22	11	10	8	—	—	1	2	7	4	21	3	5	12	5	3	1	11	32	Mai
4.6	4.4	4.3	4.4	85	23	6	9	9	—	—	6	—	10	7	13	—	4	21	8	2	4	7	31	Juni
3.1	3.2	4.0	3.4	61	33	2	5	4	—	—	5	1	12	3	10	1	5	12	6	2	2	14	41	Juli
5.5	4.5	4.9	5.0	80	20	30	12	12	—	—	7	2	6	7	5	2	1	23	11	7	1	6	37	August
8.1	7.1	6.5	7.2	102	13	25	22	21	—	—	2	5	1	4	9	1	—	19	11	1	6	13	30	September
8.7	7.3	7.3	7.8	171	27	25	20	18	—	—	—	8	—	15	4	2	3	25	13	2	3	12	29	Oktober
9.2	7.7	8.3	8.4	198	45	10	20	20	5	—	—	5	—	19	9	1	—	19	21	9	4	4	23	November
9.7	8.9	9.3	9.3	122	31	1	19	14	12	—	—	5	—	27	11	12	3	18	16	5	6	5	17	Dezember
7.2	6.2	6.4	6.6	1248	45	XI	165	149	41	—	21	51	44	151	115	33	27	235	132	54	37	94	371	Jahr

Beobachter: Hs. Huber-Rupli

Hallau

9.6	8.5	8.2	8.8	102	42	11	16	11	15	—	—	4	—	24	3	1	1	1	1	34	3	2	47	Januar
9.7	7.3	6.4	7.8	84	29	11	12	11	12	—	—	5	—	17	5	7	—	—	—	17	6	—	52	Februar
9.1	6.3	7.2	7.5	123	27	24	13	11	1	—	—	4	1	15	3	8	1	9	2	17	4	5	44	März
6.4	5.8	5.4	5.9	67	26	1	7	6	1	—	2	—	2	8	5	16	1	8	1	11	1	6	41	April
5.3	4.8	4.6	4.9	54	16	11	7	7	—	—	1	—	6	3	2	19	1	8	1	20	1	8	33	Mai
4.7	4.9	5.3	5.0	61	19	1	10	8	—	—	6	—	10	8	8	6	—	5	2	27	3	7	32	Juni
2.9	3.1	4.5	3.5	42	15	28	6	5		1	3	—	11	4	8	11	2	4	4	22	3	6	33	Juli
4.5	4.7	5.7	5.0	58	21	30	11	8	—	—	2	—	7	8	3	3	1	5	4	28	5	—	44	August
8.3	7.8	6.9	7.7	73	13	25	20	16	—	—	—	4	1	17	2	1	3	2	3	26	13	5	35	September
8.1	7.8	6.5	7.5	125	24	25	18	16	—	—	—	1	2	16	3	—	2	1	—	29	5	5	48	Oktober
9.7	8.2	7.9	8.6	140	20	25	20	18	12	—	—	3		21	7	2	2	3	—	21	16	4	35	November
9.7	9.0	9.1	9.3	119	24	16	17	16	9	—	—	5	—	27	5	15	4	2	1	13	14	2	37	Dezember
7.3	6.5	6.5	6.8	1048	42	I	157	133	50	1	14	26	40	168	54	89	18	48	19	265	74	51	481	Jahr

Lohn

$\lambda = 8°40'$, $\beta = 47°45'$, $H_b = 643^m$, $G = 0.06$ ‰, $h_r = 1.6^m$

1952	Luftdruck					Luft-Temperatur								Relative Feuchtigkeit					
	Mittel	Minimum	Tag	Maximum	Tag	7^{30}	13^{30}	21^{30}	Mittel	Minimum	Tag	Maximum	Tag	7^{30}	13^{30}	21^{30}	Mittel	Minimum	Tag
Januar	703.4	688.9	11.31	721.9	7	-2.7	-0.5	-2.1	-1.8	-8.4	24	5.6	11	90	79	90	86	46	13
Februar	706.2	687.0	1	718.3	6	-3.0	0.1	-1.9	-1.7	-9.6	15	5.8	28	88	71	81	80	54	27
März	703.2	686.7	29	710.6	1	2.2	6.5	4.2	4.3	-5.0	15	12.9	31	86	65	78	76	30	15
April	706.8	689.2	1	713.7	8	8.3	13.1	9.9	10.3	-3.0	1	20.1	14	72	55	64	64	31	10
Mai	707.2	694.8	4	714.4	23	11.5	16.6	12.2	13.1	5.8	21	23.5	31	71	46	63	60	31	22
Juni	708.9	702.0	15	714.6	3	15.5	19.9	15.9	16.8	12.2	7.8	27.0	30	71	52	65	63	33	30
Juli	708.7	698.6	28	713.7	1	18.9	24.4	19.8	20.7	11.9	28	32.2	5	62	42	56	53	31	22.23
August	706.5	697.9	19	712.8	22	17.0	23.0	18.2	19.1	11.0	23	31.0	14	70	44	59	58	28	5
September	705.6	693.0	27	713.2	23	8.7	13.0	9.5	10.2	2.2	19	20.0	1	89	64	80	78	44	3
Oktober	705.3	696.0	14	714.4	8	5.9	9.4	6.9	7.3	0.4	13	13.9	24	91	73	88	84	47	7
November	702.7	689.8	26	714.1	4	0.6	3.2	1.3	1.6	-6.5	16	9.3	28	93	79	87	86	55	4
Dezember	703.2	686.0	13	715.5	5	-1.4	-0.3	-1.3	-1.1	-7.2	8	9.2	1	91	85	88	88	40	7
Jahr	705.6	686.0	XII	721.9	I	6.8	10.7	7.7	8.2	-9.6	II	32.2	VII	81	63	75	73	28	VIII

Oberes Aare- und Saanegebiet

Bern

$\lambda = 7°26'$, $\beta = 46°57'$, $H_b = 572.2^m$, $G = 0.00$ ‰, $h_r = 1.5^m$

Januar	710.2	696.4	31	728.2	7	-2.6	0.4	-1.9	-1.5	-12.0	22	7.5	11	81	70	81	77	47	2
Februar	712.5	696.1	1	724.4	6	-3.4	1.3	-1.2	-1.1	-11.7	18	6.7	23	84	64	77	75	46	29
März	709.1	693.0	29	716.4	1	2.9	8.0	5.6	5.5	-4.2	15	13.7	31	86	61	75	74	40	4
April	712.3	694.3	1	719.9	8	6.7	13.8	10.2	10.2	-2.7	3	21.3	19	80	52	65	66	33	7
Mai	712.6	700.2	4	719.7	23	11.0	17.5	13.3	13.8	7.3	21.22	22.8	31	80	48	68	65	34	15
Juni	714.4	707.5	15	720.2	3	15.1	21.2	17.2	17.7	11.3	9	28.8	30	85	57	74	72	42	30
Juli	714.0	705.2	28	718.6	1.10	17.6	25.0	20.6	20.9	12.0	29	32.4	5	79	50	64	64	36	18.21
August	712.2	703.5	19	717.2	22	15.3	22.4	17.9	18.4	10.4	23	29.7	13	86	53	77	72	35	6
September	711.6	698.7	27	719.7	23	8.9	13.8	10.5	10.9	2.8	21	21.0	1	95	66	85	82	48	21.25.26
Oktober	711.6	703.3	14	719.9	8	6.9	10.9	8.0	8.4	-0.3	12	16.6	24	92	69	91	84	47	10
November	709.4	696.6	26	719.8	4	1.7	4.8	2.8	3.0	-5.4	16	13.4	29	94	78	92	88	55	5
Dezember	709.4	691.6	14	719.8	5	0.2	1.6	0.2	0.5	-4.6	10	10.1	1	88	82	89	86	64	20
Jahr	711.6	691.6	XII	728.2	I	6.7	11.7	8.6	8.9	-12.0	I	32.4	VII	86	62	78	75	33	IV

Fribourg

$\lambda = 7°9'$, $\beta = 46°47'$, $H_b = 670^m$, $G = -$ ‰, $h_r = 1.6^m$

Januar	—	—	—	—	—	-3.0	0.6	-2.4	-1.8	-12.1	22	7.0	9	79	65	81	75	44	14
Februar	—	—	—	—	—	-3.8	1.1	-1.8	-1.6	-12.1	18	7.4	29	84	61	77	74	37	29
März	—	—	—	—	—	3.1	7.8	5.2	5.3	-4.8	15	14.4	31	84	60	74	73	37	4
April	—	—	—	—	—	7.0	13.7	9.1	9.7	-3.0	2.3	20.9	19	76	50	66	64	34	7.12
Mai	—	—	—	—	—	10.9	17.3	12.3	13.2	6.2	21	22.3	31	70	40	61	57	26	18
Juni	—	—	—	—	—	15.1	21.3	16.6	17.4	11.8	9	28.6	30	70	42	61	58	26	30
Juli	—	—	—	—	—	17.7	24.9	19.7	20.5	11.7	29	31.8	5	64	38	52	51	26	27
August	—	—	—	—	—	15.3	22.2	17.0	17.9	9.4	23	29.0	13	69	42	64	58	25	28
September	—	—	—	—	—	8.9	13.8	10.0	10.7	3.9	20	21.9	2	87	56	77	73	39	28
Oktober	—	—	—	—	—	6.8	10.9	8.1	8.5	0.0	12	16.3	24	82	63	79	75	39	12
November	—	—	—	—	—	1.6	4.5	2.4	2.7	-7.2	16	12.8	30	86	68	84	79	45	1.13.30
Dezember	—	—	—	—	—	0.0	1.4	-0.3	0.2	-5.0	8.9	9.8	1	82	75	83	80	57	25
Jahr	—	—	—	—	—	6.6	11.6	8.0	8.6	-12.1	I II	31.8	VII	78	55	72	68	25	VIII

Langnau i. E.

$\lambda = 7°47'$, $\beta = 46°56'$, $H_b = 685^m$, $G = -$ ‰, $h_r = 1.6^m$

Januar	—	—	—	—	—	-4.1	0.8	-3.5	-2.6	-15.6	23	7.2	11	89	68	93	83	48	10
Februar	—	—	—	—	—	-4.5	1.9	-2.7	-2.0	-13.0	18	8.0	29	93	64	89	82	40	29
März	—	—	—	—	—	2.4	8.3	3.9	4.6	-4.9	15	14.7	31	94	63	89	82	41	4
April	—	—	—	—	—	6.2	14.0	7.8	8.9	-4.0	3	21.0	15	89	54	87	77	36	7.11.13.14
Mai	—	—	—	—	—	10.7	17.6	11.0	12.6	7.0	21.23	23.6	31	79	45	82	69	32	29
Juni	—	—	—	—	—	14.9	21.0	14.7	16.3	12.0	8	28.1	30	79	49	85	71	35	29.30
Juli	—	—	—	—	—	17.0	24.1	17.6	19.1	11.4	29	30.6	2.5	76	47	70	67	29	18
August	—	—	—	—	—	14.3	22.0	15.4	16.8	9.6	22	28.4	13	85	49	88	74	30	5
September	—	—	—	—	—	8.4	13.9	9.2	10.2	1.4	21	21.4	1	96	63	94	84	45	20
Oktober	—	—	—	—	—	6.0	10.9	7.2	7.8	-0.9	12	16.6	24	96	65	95	85	44	9
November	—	—	—	—	—	0.5	4.3	1.5	2.0	-11.0	16	11.4	28	94	76	93	88	48	5
Dezember	—	—	—	—	—	-0.7	1.6	-0.8	-0.2	-8.0	29	10.4	1	88	79	91	86	57	16.21
Jahr	—	—	—	—	—	5.9	11.7	6.8	7.8	-15.6	I	30.6	VII	88	60	89	79	29	VII

Beobachter: W. Sonderegger

Lohn

Bewölkung				Niederschlag		Zahl der Tage								Windverteilung								1952
7^{30}	13^{30}	21^{30}	Mittel	Summe	Maximum Tag	•	●≧1.0	*	▲	⛆	≡	heiter	trüb	N	NE	E	SE	S	SW	W	NW	Calmen	
9.1	8.7	7.7	8.5	105	35	10	16	13	16	—	—	5	—	22	5	—	2	—	1	11	37	3	34	Januar
8.3	7.4	5.7	7.1	92	19	3	13	10	13	—	—	—	3	14	2	13	6	–	2	15	17	7	25	Februar
8.3	7.2	6.0	7.2	116	23	24	17	14	2	—	—	3	2	13	5	18	13	5	6	8	18	4	16	März
6.3	6.2	3.9	5.5	85	27	1	7	5	1	—	1	1	5	7	10	20	17	2	5	9	3	3	21	April
5.8	3.3	4.5	4.5	72	18	11	12	9	—	—	3	—	4	8	6	25	7	6	5	11	10	12	11	Mai
5.3	5.5	4.9	5.2	78	14	6	14	12	—	—	4	1	9	10	4	12	3	3	4	19	14	8	23	Juni
3.1	3.6	3.2	3.3	38	18	28	5	4	—	—	3	—	15	3	7	33	11	4	1	8	9	7	13	Juli
4.9	5.4	4.8	5.0	81	28	30	12	8	—	—	4	1	7	6	2	11	3	9	1	21	18	6	22	August
8.2	7.8	5.4	7.1	78	15	25	21	17	—	—	1	5	1	11	2	11	3	3	4	15	25	8	19	September
7.5	7.6	6.5	7.2	129	28	25	22	17	—	—	—	7	2	15	2	3	5	6	5	24	20	10	18	Oktober
9.2	8.1	5.9	7.7	146	19	6	21	19	10	—	—	3	—	14		10	—	—		19	28	9	24	November
9.5	9.0	8.4	9.0	109	16	16	18	18	11	—	—	9	—	25	—	20	3	—	3	18	22	6	21	Dezember
7.1	6.6	5.6	6.4	1129	35	I	178	146	53	—	16	35	48	148	45	176	73	38	37	178	221	83	247	Jahr

Oberes Aare- und Saanegebiet

Beobachter: Meteorolog. Observatorium

Bern

8.8	7.1	7.6	7.8	92	33	11	14	11	11	—	—	4	—	19	4	5	2	17	19	12	22	2	10	Januar
8.2	6.9	5.7	6.9	74	19	12	11	9	11	—	—	2	5	16	7	19	12	11	11	8	16	1	2	Februar
7.8	7.0	7.4	7.4	100	15	7	16	16	2	—	—	4	2	18	9	15	5	13	18	11	20	2	0	März
5.9	5.8	4.8	5.5	67	20	1	8	6	1	—	—	-	8	11	9	26	9	15	18	4	6	3	0	April
4.9	4.9	5.5	5.1	70	17	11	14	11	—	1	5	—	9	6	13	26	15	13	9	5	9	3	—	Mai
4.8	5.6	5.4	5.3	88	20	2	10	9	—	1	5	—	7	7	9	20	9	20	7	6	14	5	—	Juni
3.1	4.3	4.0	3.8	32	23	28	5	4	—	—	5	—	13	3	17	19	8	25	7	2	7	7	—	Juli
5.3	5.2	5.5	5.3	149	37	15	14	11	—	—	3	—	8	7	5	10	3	26	13	7	21	8	—	August
7.4	7.3	6.0	6.9	120	24	11	22	20	—	2	1	—	3	12	14	13	5	10	9	14	20	5	—	September
8.2	7.9	7.6	7.9	177	39	25	20	16	1	—	—	6	1	18	6	10	4	17	20	12	20	4	-	Oktober
9.1	9.0	9.1	9.1	158	26	27	25	20	14	—	—	6	—	23	8	10	7	9	20	12	21	3	—	November
9.1	9.0	8.9	9.0	109	15	1	19	15	11	—	—	3	—	20	5	24	6	11	18	13	12	2	2	Dezember
6.9	6.7	6.5	6.7	1236	39	X	178	148	51	4	19	25	56	165	106	197	85	188	169	106	185	45	14	Jahr

Beobachter: Frau P. Gockel

Fribourg

7.9	7.4	7.6	7.6	59	12	11	11	11	9	—	1	2	1	17	—	2	—	—	—	38	12	4	37	Januar
8.6	7.4	7.5	7.8	41	19	12	11	8	11	—	—	2	4	19	2	14	2	—	—	23	8	4	34	Februar
7.9	7.0	8.2	7.7	88	14	29	16	13	2	—	·	7	2	18	6	6	—	—	—	27	10	5	39	März
5.9	6.2	6.5	6.2	61	19	1	7	6	1	—	2	2	3	9	7	18	—	—	1	18	5	6	35	April
4.5	4.6	6.0	5.0	66	33	11	9	7	—	1	4	—	6	5	11	24	—	—	—	12	4	5	37	Mai
5.2	5.2	5.5	5.3	90	16	2	10	10	—	—	7	—	8	8	5	10	—	—	4	13	13	10	35	Juni
2.5	3.5	2.8	2.9	45	21	9	4	4	—	—	2	—	17	2	8	14	2	—	—	16	8	4	41	Juli
5.1	5.5	5.8	5.5	164	39	15	12	10	—	—	5	—	6	9	4	4	—	—	—	32	17	4	32	August
7.6	7.0	7.5	7.4	118	25	11	20	20	—	1	2	2	1	15	3	7	—	—	2	31	12	5	30	September
7.5	6.9	8.4	7.6	135	42	25	21	19	—	—		5	—	14	3	8	1	—	—	33	11	8	29	Oktober
9.0	8.9	8.9	8.9	140	26	27	24	22	13	—	—	4	-	24	—	3	—	—	—	25	14	10	38	November
9.5	8.7	7.1	8.4	80	14	14	18	15	10	1	—	6	—	26	10	5	—	—	—	29	4	—	45	Dezember
6.8	6.5	6.8	6.7	1087	42	X	162	145	46	3	23	30	48	166	59	115	5	—	7	297	118	65	432	Jahr

Beobachter: Frl. R. Zbinden

Langnau i. E.

7.5	7.0	6.6	7.0	97	25	11	16	13	14	—	—	1	3	17	—	2	26	—	3	8	30	5	19	Januar
8.0	7.3	7.2	7.5	96	20	12	11	11	11	—	—	1	5	20	1	—	28	7	2	5	27	1	16	Februar
8.1	8.1	7.7	8.0	116	19	7	16	15	2	—	—	2	3	21	—	—	27	1	3	6	25	4	27	März
5.5	7.6	4.9	6.0	102	25	23	10	9	1	—	1	—	5	11	2	1	51	1	—	4	19	1	11	April
4.8	6.1	5.2	5.4	113	48	11	13	11	—	—	5	—	7	8	1	2	53	4	6	3	14	2	8	Mai
5.4	6.2	5.1	5.6	126	24	7	12	12	—	—	7	—	8	13	—	—	41	2	1	5	23	4	14	Juni
3.6	4.8	3.9	4.1	80	44	9	7	6	—	1	4	—	12	6	2	1	53	1	1	1	17	—	17	Juli
5.3	6.5	5.7	5.8	129	18	9	14	11	—	1	4	—	6	9	1	1	40	1	1	5	28	3	13	August
7.2	7.7	7.3	7.4	126	19	11	22	21	—	—	—	—	2	16	1	1	32	1	2	5	33	1	14	September
8.0	8.5	8.0	8.2	168	40	25	23	20	—	—	1	1	2	23	1	—	34	1	1	2	33	—	21	Oktober
8.3	9.2	8.7	8.7	192	23	10	22	21	13	—	1	4	—	21	—	—	28	5	—	2	25	1	29	November
8.9	9.4	9.7	9.3	125	20	1	21	18	13	—	—	2	—	26	1	1	44	3	1	2	18	1	22	Dezember
6.7	7.4	6.7	6.9	1470	48	V	186	168	54	2	23	11	53	191	10	9	457	27	21	48	292	23	211	Jahr

Beatenberg

$\lambda = 7° 48'$, $\beta = 46° 41'$, $H_b = 1148^m$, $G = -0.13$ $^m/_m$, $h_r = 1.1^m$

1952	Luftdruck					Luft-Temperatur								Relative Feuchtigkeit					
	Mittel	Minimum	Tag	Maximum	Tag	7^{30}	13^{30}	21^{30}	Mittel	Minimum	Tag	Maximum	Tag	7^{30}	13^{30}	21^{30}	Mittel	Minimum	Tag
Januar	661.0	647.6	25	677.9	7	-3.6	-0.5	-3.9	-3.0	-13.4	28	6.8	8	69	65	75	70	32	7
Februar	662.8	648.6	1	673.1	6	-4.6	-0.8	-4.1	-3.4	-12.0	6	5.4	22. 23	76	63	74	71	44	1
März	661.0	645.4	29	667.0	1	1.5	5.3	2.3	2.8	-5.0	27	11.4	31	76	64	76	72	39	3. 4
April	664.8	647.4	1	671.7	7	6.0	10.6	5.4	6.9	-9.2	2	18.1	19	68	58	74	67	31	12
Mai	665.2	653.3	4	671.5	23	9.1	14.3	8.4	10.1	2.8	22	19.0	31	73	56	75	68	43	23
Juni	667.6	661.6	16	672.8	30	13.3	18.0	12.5	14.1	8.6	8. 20	25.0	30	74	59	75	69	40	29
Juli	671.1	659.3	28	672.5	2	15.9	20.9	15.3	16.8	8.2	28	28.0	6	67	55	68	63	37	2. 27
August	666.4	657.4	19	669.8	12	13.8	18.5	13.6	14.9	8.0	21	25.4	13	70	59	75	68	30	29
September	664.0	651.7	27	671.6	23	7.3	10.9	7.6	8.3	1.8	19	17.7	1	84	71	81	79	43	26
Oktober	663.8	656.2	14	671.0	8	5.3	8.7	5.4	6.2	-2.2	12	14.4	24	80	69	81	77	34	28
November	660.6	650.2	26	670.7	4	-0.6	2.0	-0.5	0.1	-9.4	16	8.4	30	79	71	82	77	43	21
Dezember	663.3	643.4	14	668.5	5	-2.1	-0.3	-2.5	-1.8	-7.6	5	5.6	1	72	73	77	74	41	29
Jahr	664.1	643.4	XII	677.9	I	5.1	9.0	5.0	6.0	-13.4	I	28.0	VII	74	64	76	71	30	VIII

Interlaken (Unterseen)

$\lambda = 7° 51'$, $\beta = 46° 42'$, $H_b = 568^m$, $G = -0.07$ $^m/_m$, $h_r = 1.5^m$

Januar	711.2	696.4	25	728.5	7	-2.7	0.7	-1.8	-1.4	-10.0	28	6.8	11	78	64	79	74	43	28
Februar	713.2	697.3	1	724.9	6	-2.9	1.3	-1.5	-1.1	-9.0	18	6.2	24	80	59	75	71	42	24
März	710.0	691.7	29	717.5	1	2.9	8.5	4.7	5.2	-4.2	15	16.0	31	83	55	76	71	35	27
April	713.0	693.7	1	721.0	8	7.8	14.6	9.6	10.4	-2.5	2	21.9	13	71	46	66	61	28	13
Mai	713.3	700.8	4	720.6	24	11.3	18.7	12.5	13.8	7.5	12.	23.5	31	74	42	71	62	31	1
Juni	715.3	709.3	15	724.7	21	15.5	22.0	15.9	17.3	12.2	18. 20	28.0	29	77	48	77	68	36	12. 26
Juli	714.7	706.2	28	719.2	1	18.1	24.9	18.9	20.2	4.8	28	31.8	5	73	46	73	64	31	18
August	712.9	704.6	19	718.2	22	16.0	22.3	17.1	18.1	9.4	22	29.2	13	78	50	75	68	28	5. 28
September	712.3	700.2	27	720.0	23	9.6	14.8	10.6	11.4	5.0	20	22.2	2	88	56	85	76	40	28
Oktober	712.4	703.5	14	720.3	8	6.6	11.4	7.6	8.3	2.0	9. 12	15.8	7	91	63	88	81	28	14
November	710.2	697.5	26	720.3	4	1.5	4.7	2.1	2.6	-5.8	16	10.5	30	87	67	87	80	45	4
Dezember	710.1	691.4	14	720.0	5	0.0	2.2	0.1	0.6	-4.2	29	8.6	1	82	72	81	78	42	28
Jahr	712.4	691.4	XII	728.5	I	7.0	12.2	8.0	8.8	-10.0	I	31.8	VII	80	56	78	71	28	IV VIII. X

Meiringen

$\lambda = 8° 12'$, $\beta = 46° 44'$, $H_b = 604.7^m$, $G = -0.08$ $^m/_m$, $h_r = 1.6^m$

Januar	707.7	694.2	11. 25	725.6	7	-3.5	0.2	-2.6	-2.1	-11.4	22	6.7	1	87	68	86	80	48	21
Februar	709.8	691.0	1	721.7	6	-4.0	1.8	-2.5	-1.8	-9.7	18	5.8	21	88	58	85	77	38	2
März	706.5	688.2	29	713.7	1	1.9	8.4	4.1	4.6	-5.2	15	16.5	31	89	55	81	75	31	16. 31
April	709.6	691.6	1	717.5	8	6.3	16.0	9.7	10.4	-2.3	3	23.4	30	79	42	68	63	20	12
Mai	709.8	697.7	4	717.1	24	9.7	19.6	12.9	13.8	4.3	21	25.0	31	80	37	66	61	22	1
Juni	711.7	702.7	15	717.3	4	13.4	22.3	15.4	16.6	9.6	22	29.6	30	85	46	80	70	27	30
Juli	711.5	701.6	28	716.6	10	15.8	25.4	18.4	19.5	11.0	30	31.8	2. 5	80	44	74	66	30	2
August	709.8	700.5	19	714.9	28	13.7	23.0	16.4	17.4	8.0	22	28.8	13	87	46	81	71	32	28. 30
September	708.8	696.4	27	716.6	23	8.9	16.0	10.3	11.4	1.8	21	23.8	1	91	50	87	76	33	30
Oktober	709.0	698.6	14	717.5	8	5.4	11.9	7.1	7.9	0.0	12	16.6	21	94	60	91	82	35	14
November	706.8	694.8	26	717.8	4	0.6	4.7	1.9	2.3	-9.6	16	9.8	4	97	80	94	90	43	21
Dezember	707.0	689.2	14	717.1	5	-1.1	1.4	-0.8	-0.3	-7.4	29	8.5	1	93	86	91	90	49	13
Jahr	709.0	688.2	III	725.6	I	5.6	12.6	7.5	8.3	-11.4	I	31.8	VII	87	56	82	75	20	IV

Guttannen

$\lambda = 8° 17'$, $\beta = 46° 39'$, $H_b = 1058^m$, $G = -0.15$ $^m/_m$, $h_r = 1.5^m$

Januar	668.3	654.9	25	685.7	7	-3.4	-1.5	-2.9	-2.7	-13.5	21	5.6	2	78	74	79	77	47	2. 24
Februar	670.4	654.2	1	681.0	6	-5.1	-1.1	-4.3	-3.7	-11.0	14	5.1	24	85	72	84	80	57	24
März	668.4	653.6	29	674.8	1	0.8	4.7	2.0	2.4	-6.8	15	10.9	31	82	69	83	78	45	31
April	672.0	653.8	1	679.2	8	5.3	11.7	7.1	7.8	-5.2	3	19.3	18	75	55	72	67	33	12
Mai	672.6	661.7	4	679.4	23	8.6	14.8	10.7	11.2	3.1	23	19.8	16	78	54	71	68	38	8. 18
Juni	675.0	668.7	15	680.2	30	12.6	18.9	14.1	14.9	8.9	22	26.2	30	83	59	80	74	33	11
Juli	674.9	665.8	28	679.8	1	15.1	22.1	16.8	17.7	9.4	29	31.4	5	81	55	76	71	30	5
August	673.1	664.5	19	678.0	22	13.4	19.5	14.7	15.6	6.5	22	29.0	14	83	58	81	74	37	14
September	671.5	659.1	27	678.8	23	8.0	12.2	9.1	9.6	1.2	21	19.7	2	89	66	84	80	40	14
Oktober	671.1	661.9	14	678.7	8	5.1	8.9	6.0	6.5	-0.6	12	15.8	21	89	75	88	84	49	21
November	668.1	656.6	26	678.0	4	-0.2	1.8	0.0	0.4	-8.8	15	8.9	30	86	75	85	82	49	21. 22
Dezember	667.7	650.7	14	677.2	5	-2.2	-0.5	-1.8	-1.6	-9.1	9	5.0	1	84	79	82	82	46	14
Jahr	671.1	650.7	XII	685.7	I	4.8	9.3	6.0	6.5	-13.5	I	31.4	VII	83	66	80	76	30	VII

Beatenberg

Beobachter: B. Lutz

Bewölkung				Niederschlag			Zahl der Tage								Windverteilung									1952
7^{30}	13^{30}	21^{30}	Mittel	Summe	Maximum	Tag	●	●≥1.0	✳	▲	K	≡	heiter	trüb	N	NE	E	SE	S	SW	W	NW	Calmen	
6.3	5.8	4.7	5.6	148	26	11	17	13	16	—	—	1	7	11	2	—	—	—	—	4	7	18	62	Januar
6.6	6.2	4.8	5.9	164	31	12	14	10	14	—	—	3	8	13	—	—	—	—	—	1	4	7	75	Februar
7.0	6.3	6.6	6.6	170	33	7	17	16	6	—	—	2	2	14	—	1	—	4	2	2	1	11	72	März
4.8	4.3	4.3	4.5	106	32	1	8	7	3	—	—	5	9	8	—	—	—	4	—	4	—	14	68	April
4.5	5.5	4.4	4.8	78	35	11	13	10	—	—	—	—	2	2	1	—	—	7	1	4	—	8	72	Mai
4.8	5.5	4.7	5.0	151	30	7	15	11	—	—	—	3	8	7	—	—	1	3	2	4	—	14	66	Juni
3.6	3.6	3.7	3.6	90	34	28	12	11	—	—	—	—	11	3	1	—	—	6	3	7	—	20	56	Juli
5.0	5.5	4.9	5.1	160	34	6	15	15	—	—	—	2	6	8	—	—	—	5	2	3	—	21	62	August
7.2	6.9	6.5	6.9	127	18	8	19	17	1	—	—	5	1	10	2	—	—	4	2	5	—	8	69	September
6.9	7.1	6.1	6.7	174	34	25	23	21	2	—	—	4	3	12	2	2	—	6	3	2	1	12	65	Oktober
7.3	8.7	7.6	7.9	310	44	7	18	18	12	—	—	2	—	16	1	1	—	—	1	4	4	15	64	November
8.9	8.2	6.7	7.9	138	27	17	18	18	13	—	—	7	1	16	1	—	—	—	—	1	1	15	75	Dezember
6.1	6.1	5.4	5.9	1816	44	XI	189	167	67	—	—	34	58	120	10	4	1	39	16	41	18	163	806	Jahr

Interlaken (Unterseen)

Beobachter: P. Furrer

7.3	6.7	6.8	6.9	78	18	11	14	11	7	—	—	—	4	14	—	2	23	8	2	19	7	—	32	Januar
7.9	6.4	6.3	6.9	109	22	12	12	12	10	—	—	—	3	15	—	—	18	1	1	17	10	—	40	Februar
6.3	5.9	6.7	6.3	132	32	7	14	14	1	—	—	1	2	12	—	—	21	5	1	22	13	—	31	März
4.3	5.0	4.8	4.7	68	19	23	7	7	1	—	—	—	9	6	—	1	19	10	1	26	10	—	23	April
5.6	5.0	5.8	5.5	65	28	11	12	11	—	—	—	—	9	2	1	—	11	14	2	35	6	—	24	Mai
4.2	4.3	4.7	4.4	133	23	15	14	11	—	—	2	—	10	3	—	—	14	9	—	33	9	—	25	Juni
3.0	3.7	3.9	3.5	66	23	28	8	8	—	—	2	—	13	2	—	—	16	9	—	33	6	—	29	Juli
4.3	5.2	5.9	5.1	141	25	15	17	15	—	1	2	—	8	8	—	1	24	10	4	27	9	1	17	August
6.6	6.4	7.3	6.8	99	14	11	19	19	—	—	—	—	—	11	—	—	7	15	—	33	11	—	24	September
7.3	6.6	6.5	6.8	154	32	25	21	20	—	—	—	—	2	13	—	—	24	7	1	25	5	—	31	Oktober
7.6	8.2	8.0	7.9	246	35	10	20	20	10	—	—	—	—	16	—	2	23	6	—	22	8	2	27	November
8.5	7.8	8.2	8.2	106	19	17	15	14	8	—	—	1	2	21	1	2	27	8	—	14	5	1	35	Dezember
6.1	6.0	6.2	6.1	1397	35	XI	173	162	37	1	6	2	62	123	2	8	227	102	12	306	99	4	338	Jahr

Meiringen

Beobachter: Frau E. Michel

7.6	6.6	7.1	7.1	115	30	19	15	14	13	—	—	2	3	16	—	—	—	—	—	—	1	5	87	Januar
8.0	6.3	5.3	6.5	186	75	4	12	12	10	—	—	2	5	14	—	—	—	—	—	—	—	8	79	Februar
7.8	6.5	7.1	7.1	136	32	7	16	15	2	—	—	1	1	17	—	—	2	—	—	—	1	3	87	März
6.0	6.3	6.6	6.3	74	24	23	6	6	1	—	—	—	3	13	—	—	7	—	—	1	8	12	62	April
5.5	5.8	6.8	6.0	84	23	11	12	11	—	—	—	1	3	7	—	1	7	—	—	—	6	13	66	Mai
5.0	6.1	7.2	6.1	127	22	7	15	13	—	—	1	—	2	12	—	1	1	—	-	—	4	13	71	Juni
4.2	4.4	6.9	5.2	121	29	7	12	11	—	1	2	—	5	6	—	1	—	—	—	—	2	20	70	Juli
4.8	5.6	6.6	5.7	117	12	18	17	17	—	—	2	—	7	12	—	—	1	—	—	—	6	18	68	August
7.6	7.0	7.3	7.3	101	15	8	18	17	—	—	—	—	3	16	—	1	1	—	—	—	6	6	76	September
7.6	7.6	8.3	7.8	170	28	4	23	19	—	—	—	3	1	16	—	—	—	—	—	—	—	6	87	Oktober
8.0	8.5	8.7	8.4	272	39	8	21	19	11	—	—	2	—	20	—	2	2	—	—	—	1	10	75	November
8.8	8.5	7.8	8.4	153	41	18	18	17	12	—	—	2	1	20	—	—	1	—	—	—	2	4	86	Dezember
6.7	6.6	7.1	6.8	1656	75	II	185	171	49	1	5	13	34	169	—	6	22	—	—	1	37	118	914	Jahr

Guttannen

Beobachter: Hs. Huber

6.3	6.3	5.0	5.9	141	30	19	14	12	13	—	—	1	7	13	—	1	—	16	—	—	—	8	68	Januar
7.0	6.5	5.4	6.3	179	44	4	12	11	12	—	—	—	7	14	3	—	—	1	—	—	1	10	72	Februar
7.0	6.5	7.2	6.9	243	56	7	16	14	5	—	—	—	4	15	—	—	11	—	—	—	1	3	78	März
4.8	5.0	5.0	4.9	75	27	23	7	7	3	—	—	1	12	11	—	—	—	27	—	—	—	2	61	April
5.2	5.9	6.3	5.8	89	20	24	13	12	—	—	—	—	6	7	2	—	—	18	—	—	6	7	60	Mai
4.9	5.4	6.8	5.7	131	24	7	15	13	—	—	—	—	6	6	3	—	—	7	—	—	3	8	69	Juni
4.3	4.4	5.7	4.8	112	33	7	11	10	—	—	1	—	7	6	2	—	—	5	—	—	3	2	81	Juli
4.8	5.8	6.0	5.5	162	25	15	17	17	—	—	—	—	9	10	1	—	—	11	—	—	5	2	74	August
8.0	6.8	7.2	7.3	150	36	11	19	18	—	—	—	1	2	15	2	—	—	13	—	—	2	4	69	September
7.5	7.9	6.7	7.4	218	33	13	20	20	4	—	—	—	2	14	1	—	1	6	—	—	2	2	81	Oktober
7.7	8.6	7.0	7.8	306	35	10	19	19	12	—	—	—	—	14	—	2	—	20	—	—	—	7	61	November
8.3	8.1	7.4	7.9	171	22	17	16	16	15	—	—	1	2	18	—	—	—	15	—	—	—	4	74	Dezember
6.3	6.4	6.3	6.3	1977	56	III	179	169	64	—	1	4	64	143	14	3	12	139	—	—	23	59	848	Jahr

Grimsel

$\lambda = 8°\,20'$, $\beta = 46°\,34'$, $H = 1964^{m}$, $G = -\,{}^{m}/_{m}$, $h_r = 1.5^{m}$

1952	Luftdruck					Luft-Temperatur								Relative Feuchtigkeit					
	Mittel	Minimum	Tag	Maximum	Tag	7^{30}	13^{30}	21^{30}	Mittel	Minimum	Tag	Maximum	Tag	7^{30}	13^{30}	21^{30}	Mittel	Minimum	Tag
Januar	—	—	—	—	—	-7.7	-6.6	-7.7	-7.4	-18.4	21	2.0	16	75	73	78	75	25	16
Februar	—	—	—	—	—	-9.4	-6.0	-7.7	-7.7	-16.4	16.17	4.4	21	71	70	71	71	18	24
März	—	—	—	—	—	-3.3	0.0	-2.0	-1.8	-14.5	27	5.0	19	75	70	72	72	26	12 . 15
April	—	—	—	—	—	0.0	6.1	0.9	2.0	-13.0	3	15.6	17	65	52	68	62	30	29
Mai	—	—	—	—	—	2.7	7.2	3.7	4.3	-1.7	12	13.5	30	71	55	71	66	22	18
Juni	—	—	—	—	—	7.7	12.5	9.1	9.6	2.5	8	19.5	3	67	51	67	62	13	30
Juli	—	—	—	—	—	10.3	15.6	10.8	11.9	1.2	29	26.5	2	57	48	66	57	7	1
August	—	—	—	—	—	8.2	12.5	9.4	9.9	2.7	21	21.6	14	66	56	69	64	8	29
September	—	—	—	—	—	2.3	5.1	3.1	3.4	-4.2	20	13.5	5	82	71	84	79	27	24
Oktober	—	—	—	—	—	0.5	3.1	1.1	1.5	-7.0	12	8.0	9	71	70	79	73	14	28
November	—	—	—	—	—	-5.1	-3.8	-5.0	-4.7	-13.5	15	8.5	26	91	92	90	91	34	29
Dezember	—	—	—	—	—	-5.1	-3.5	-4.9	-4.6	-14.1	5	2.2	1	78	78	79	78	16	9
Jahr	—	—	—	—	—	0.1	3.5	0.9	1.4	-18.4	I	26.5	VII	72	66	75	71	7	VII

Jungfraujoch

$\lambda = 7°\,59'$, $\beta = 46°\,35'$, $H_b = 3577.8^{m}$, $G = -0.38\ {}^{m}/_{m}$, $h_r = 1.8^{m}$

Januar	483.1	472.8	12	500.9	7	-17.1	-16.7	-17.2	-17.1	-27.0	27	-5.0	7	81	79	86	82	20	15
Februar	484.3	470.9	1	494.9	21	-16.4	-15.7	-16.3	-16.2	-27.0	10	-7.8	23	76	70	73	73	16	23
März	485.8	477.2	29	490.6	2	-12.1	-11.4	-11.9	-11.8	-22.0	26	-5.6	3	86	81	83	83	8	3
April	490.6	476.5	2	497.2	8	-8.6	-7.2	-8.1	-8.0	-19.8	2	-3.2	10	78	83	86	82	23	27
Mai	492.0	483.1	4	496.0	31	-7.7	-6.3	-6.9	-7.0	-13.2	21 . 23	-1.2	30 . 31	81	88	94	88	25	25
Juni	496.6	492.7	15	505.0	30	-2.7	-1.2	-1.9	-1.9	-8.0	10 . 21	6.8	30	77	85	85	82	5	30
Juli	498.5	489.8	28	505.6	1	1.2	2.7	1.5	1.7	-8.0	29	9.8	2	57	70	81	69	9	1 . 25
August	496.3	487.9	20	501.9	12	-0.6	1.0	-0.2	0.0	-7.2	18	6.0	11	70	75	84	76	14	28
September	491.1	481.9	27	499.2	1	-6.7	-5.8	-6.5	-6.4	-16.2	20	0.4	25	84	82	80	82	15	25
Oktober	490.2	482.0	31	498.3	28	-8.2	-7.9	-8.3	-8.2	-18.2	12	0.2	29	78	83	84	82	17	27
November	484.3	476.7	8	494.4	5	-14.5	-13.9	-14.1	-14.2	-24.0	9	-4.0	30	92	89	93	91	26	13
Dezember	483.8	471.2	15	492.6	24	-14.3	-13.9	-14.9	-14.5	-20.8	16	-5.6	1	84	86	88	86	25	9
Jahr	489.7	470.9	II	505.6	VII	-9.0	-8.0	-8.7	-8.6	-27.0	I II	9.8	VII	79	81	84	81	5	VI

Südwestschweiz

Genève

$\lambda = 6°\,9'$, $\beta = 46°\,12'$, $H_b = 405.0^{m}$, $G = -0.03\ {}^{m}/_{m}$, $h_r = 1.7^{m}$

Januar	726.0	710.2	31	743.6	7	-0.6	2.7	0.1	0.6	-10.0	28	8.5	11	83	72	84	80	54	13
Februar	727.9	710.4	1	738.9	6	-1.3	2.4	0.3	0.4	-5.6	18	7.2	28 . 29	88	72	83	81	54	24
März	724.0	708.3	29	731.1	1	5.9	10.0	7.3	7.6	0.0	3. 26	15.0	4	88	66	83	79	45	4.15.20
April	726.6	708.4	1	734.6	8	8.7	15.2	11.5	11.7	-0.4	2	23.2	19	82	56	75	71	32	10
Mai	726.8	715.0	1	734.2	24	12.8	19.1	15.0	15.5	7.9	21	24.0	28 . 29 / 31	81	57	73	70	43	7 . 24
Juni	728.7	721.5	4	734.2	3	17.8	23.4	19.2	19.9	13.2	11	28.5	30	80	57	77	71	32	5
Juli	727.6	718.3	15	732.8	1	20.9	26.8	23.0	23.4	15.6	28	34.8	2	73	54	64	63	27	27
August	726.5	717.6	28	731.6	22	17.4	24.1	19.3	20.0	10.2	22	31.6	6	85	59	81	75	39	1
September	726.4	714.2	27	735.3	23	11.2	16.1	12.7	13.2	3.4	21	23.4	5	90	70	87	82	56	5
Oktober	726.7	719.0	13	733.8	8	8.9	13.2	10.4	10.7	1.5	12	18.4	24	89	79	89	86	59	30
November	724.9	712.4	26	734.3	4	3.5	6.4	4.4	4.7	-5.6	20	14.5	28	89	77	89	85	54	5
Dezember	724.7	706.8	14	734.0	5	2.5	3.7	2.0	2.6	-2.4	10	12.0	2	93	82	89	87	53	3
Jahr	726.4	706.8	XII	743.6	I	9.0	13.6	10.4	10.9	-10.0	I	34.8	VII	85	67	81	78	27	VII

Lausanne (Champ de l'Air)

$\lambda = 6°\,38'$, $\beta = 46°\,31'$, $H_b = 552.9^{m}$, $G = -0.02\ {}^{m}/_{m}$, $h_r = 1.4^{m}$

Januar	712.6	698.3	25	729.4	7	-0.9	1.9	-0.7	-0.1	-8.3	22	7.0	11	85	72	83	80	51	29
Februar	714.4	699.4	1	724.6	6	-1.9	2.0	-0.5	-0.2	-6.5	18	6.6	23 . 24 / 29	84	68	76	76	51	14
März	711.2	694.6	29	717.6	1	4.4	9.1	6.4	6.6	-2.5	15	14.7	31	88	69	77	78	45	4
April	714.0	695.4	1	721.2	8	8.9	15.0	10.7	11.3	-1.5	3	21.4	18	75	54	65	65	36	11
Mai	714.3	703.2	4	721.0	24	13.1	19.1	13.7	14.9	7.6	21	23.0	16 . 29	76	51	65	64	37	14 . 18
Juni	716.3	709.8	15	721.3	3	17.1	22.7	17.9	18.9	12.4	7	29.8	30	76	54	64	65	40	29
Juli	715.7	707.6	28	720.1	1	20.5	26.7	21.2	22.4	13.4	28	32.6	6	68	49	55	57	37	17
August	714.1	706.2	19	718.6	11	16.9	23.1	18.0	19.3	12.4	21 . 22	29.5	12	80	59	71	70	36	6
September	713.7	700.3	27	721.2	23	10.3	14.9	11.2	11.9	5.8	21	24.4	2	95	70	87	84	56	3. 20
Oktober	713.8	706.3	14	720.4	8	7.8	11.3	8.7	9.1	2.8	12	17.0	7	94	80	90	88	49	8
November	711.7	699.4	26	720.7	4	3.0	5.5	3.4	3.8	-4.2	16	12.6	28	89	78	91	86	46	5
Dezember	711.4	693.5	14	719.9	5.8.9	1.0	2.4	0.7	1.2	-3.6	6	9.6	1	91	85	88	88	58	3
Jahr	713.6	693.5	XII	729.4	I	8.4	12.8	9.2	9.9	-8.3	I	32.6	VII	83	66	76	75	36	IV VIII

Beobachter: Grimselwärter

Grimsel

Bewölkung				Niederschlag			Zahl der Tage								Windverteilung									1952
7^{30}	13^{30}	21^{30}	Mittel	Summe	Maximum	Tag	●	●≧1.0	*	▲	K	≡	heiter	trüb	N	NE	E	SE	S	SW	W	NW	Calmen	
6.9	7.5	6.2	6.9	262	35	10	23	23	23	—	—	18	2	14	1	4	—	31	—	19	—	34	4	Januar
6.1	6.2	6.6	6.3	209	32	11	14	14	14	—	—	14	6	12	2	1	—	5	—	18	—	47	14	Februar
7.1	7.0	6.9	7.0	294	58	7	19	19	19	—	—	17	1	13	3	2	—	24	—	19	—	41	4	März
6.1	6.8	6.3	6.4	96	38	23	10	9	9	—	—	9	1	10	1	—	—	38	—	24	—	16	11	April
6.0	8.0	7.3	7.1	117	25	4	14	13	6	—	—	10	—	13	18	1	—	32	—	13	—	29	—	Mai
5.1	6.0	6.1	5.7	121	43	18	15	14	3	—	—	8	4	10	25	·	—	27	—	13	—	23	2	Juni
4.5	5.5	6.4	5.5	104	24	9	13	12	—	—	1	11	7	7	17	—	—	8	1	29	1	37	—	Juli
5.5	6.8	6.9	6.4	147	19	30	18	18	—	—	—	12	4	15	16	—	—	22	—	29	—	23	3	August
8.0	7.5	7.8	7.8	198	23	8	21	20	14	—	—	20	1	16	22	—	1	22	—	14	1	29	1	September
8.0	8.5	8.6	8.4	300	41	1	25	25	16	—	—	15	1	24	3	1	—	37	—	18	—	33	1	Oktober
7.8	7.8	7.6	7.7	411	68	10	23	23	22	—	—	*16	1	17	—	—	—	30	—	20	—	40	—	November
7.5	7.5	7.4	7.5	251	40	21	17	16	17	—	—	14	4	18	1	—	—	29	—	34	—	29	—	Dezember
6.6	7.1	7.0	6.9	480	68	XI	212	206	143	—	1	164	32	169	109	9	1	305	1	250	2	381	40	Jahr

Beobachter: Jungfraubahn

Jungfraujoch

7.3	6.6	5.8	6.6	—	—	—		—	—	—	—	18	7	13	19	—	—	15	6	—	1	52	—	Januar
6.3	6.1	4.6	5.7	—	—	—	—	—	—	—	—	12	8	10	21	—	—	13	4	1	—	47	1	Februar
7.4	6.5	7.0	7.0	—	—	—	—	—	—	—	—	17	5	16	12	—	—	22	1	—		58	—	März
5.3	5.9	5.1	5.4	—	—	—	—	—	—	—	—	16	4	8	6	—	—	61	—	—	1	21	1	April
5.3	6.8	7.3	6.5	—	—	—	—	—	—	—	—	23	3	10	17	—	2	36	4	1	—	33	—	Mai
5.0	6.5	6.6	6.0	—	—	—		—	—	—	—	16	6	11	10	—	—	21	—	—	—	59	—	Juni
2.5	4.1	6.2	4.3	—	—	—	—	—	—	—	—	14	10	4	8	—	1	39	3	—	—	41	1	Juli
4.7	6.3	6.5	5.8	—	—	—	—	—	—	—	—	15	7	11	11	—	—	48	—	—	4	30	—	August
7.4	6.5	7.3	7.1	—	—	—	—	—	—	—	—	22	1	13	7	—	—	38	1	—	—	44	—	September
7.2	7.2	6.1	6.8	—	—	—	—	—	—	—	—	24	2	12	2	1	—	15	1	—	2	72	—	Oktober
8.5	8.3	8.4	8.4	—	—	—	—	—	—	—	—	25	—	18	14	—	—	18	—	—	1	57	—	November
7.4	7.3	5.8	6.8	—	—	—	—	—	—	—	—	11	5	13	9	2	—	28	2	—	—	52	—	Dezember
6.2	6.5	6.4	6.4	—	—	—	—	—	—	—	—	213	58	139	136	3	3	354	22	2	9	566	3	Jahr

Südwestschweiz

Beobachter: Obervatorium

Genève

7.5	7.1	7.6	7.4	73	24	10	8	8	5	—	—	1	1	17	4	7	5	2	24	—	2	—	49	Januar
6.6	6.2	6.0	6.3	42	19	12	8	5	6	—	—	—	6	13	10	15	14	1	8	—	2	—	37	Februar
7.6	6.7	7.6	7.3	82	26	29	14	12	—	—	1	—	2	16	5	13	15	3	16	5	1	—	35	März
4.8	4.8	4.8	4.8	31	10	19	8	7	1	—	3	—	8	9	12	18	3	—	12	2	2	1	40	April
2.9	4.3	4.1	3.8	49	*19	4	7	7	—	—	2	—	11	—	16	17	4	2	14	1	2	—	37	Mai
3.5	4.1	3.7	3.8	89	38	6	9	9	—	—	4	—	11	2	11	13	3	1	15	4	2	1	42	Juni
3.2	3.1	3.5	3.3	18	13	28	3	3	—	—	1	—	10	2	14	17	2	1	3	1	1	0	54	Juli
4.1	4.1	5.0	4.4	125	29	15	9	9	—	—	5	—	11	5	4	5	3	1	25	3	1	—	51	August
6.7	6.2	6.4	6.4	101	16	11	18	18	—	—	3	—	1	7	3	11	4	7	15	3	—	—	47	September
6.8	7.3	7.1	7.1	170	35	20	17	16	—	—	1	—	1	13	4	11	8	6	26	3	2	1	32	Oktober
7.3	8.1	7.7	7.7	176	32	25	22	22	10	—	—	1	3	19	2	7	3	4	26	11	1	1	35	November
9.2	8.3	8.7	8.7	80	15	14	12	11	3	—	1	4	—	22	9	13	4	—	11	17	6	—	33	Dezember
5.8	5.9	6.0	5.9	1036	38	VI	135	127	25	—	21	6	65	125	94	147	68	28	193	50	22	4	492	Jahr

Beobachter: A. George

Lausanne (Champ de l'Air)

7.2	6.2	5.9	6.4	82	16	11	14	12	12	—	—	2	5	15	—	13	16	7	4	13	31	3	6	Januar
6.2	5.8	4.9	5.6	54	17	12	9	8	8	—	—	2	7	11	7	23	13	1	6	8	17	5	7	Februar
6.3	6.1	6.3	6.2	102	21	29	17	13	—	—	—	3	8	13	4	11	8	8	7	17	16	5	17	März
4.5	3.8	3.8	4.0	45	18	1	7	7	1	—	1	—	13	7	—	28	1	9	7	10	11	3	21	April
3.1	3.1	3.0	3.1	69	29	11	11	7	—	—	4	—	14	2	1	33	2	2	9	13	16	—	17	Mai
4.2	3.3	3.4	3.6	85	21	7	10	9	—	—	5	—	15	6	2	18	4	7	8	27	12	—	12	Juni
1.9	1.7	1.8	1.8	42	36	28	4	3	—	—	1	—	21	1	4	26	5	1	2	17	8	3	27	Juli
4.6	4.0	4.9	4.5	142	53	30	8	7	—	—	2	—	10	7	2	6	4	3	3	20	6	4	45	August
6.9	6.5	7.1	6.8	130	28	11	21	18	—	—	4	—	3	14	3	17	3	2	2	14	21	2	26	September
6.8	6.4	6.4	6.5	203	55	25	19	18	—	—	1	—	5	14	1	14	2	5	5	8	23	5	30	Oktober
7.8	7.9	9.1	8.3	202	31	25	25	24	12	—	1	2	1	21	3	5	8	6	1	9	20	10	28	November
8.7	8.5	7.3	8.2	150	22	16	20	18	9	—	1	1	2	23	1	20	15	6	5	6	15	6	19	Dezember
5.7	5.3	5.3	5.4	1286	55*	X	165	144	42	—	20	10	104	134	28	214	81	57	59	162	196	46	255	Jahr

Montreux-Clarens

$\lambda = 6° 54'$, $\beta = 46° 27'$, $H_b = 408^m$, $G = -0.03$ $^m/_m$, $h_r = 1.5^m$

1952	Luftdruck					Luft-Temperatur								Relative Feuchtigkeit					
	Mittel	Minimum	Tag	Maximum	Tag	7^{30}	13^{30}	21^{30}	Mittel	Minimum	Tag	Maximum	Tag	7^{30}	13^{30}	21^{30}	Mittel	Minimum	Tag
Januar	725.2	710.8	25	743.1	7	−0.7	2.9	0.3	0.7	−10.0	22	9.0	1	78	67	78	74	42	29
Februar	727.1	717.9	1	737.9	6	−1.6	2.7	−0.1	0.2	−6.7	6	6.4	22	81	63	75	73	38	5
März	723.6	707.0	29	730.2	1	4.6	8.9	7.0	6.9	−0.8	15 . 27	14.8	31	86	68	77	77	47	4
April	726.2	707.6	1	734.5	8	8.5	13.6	12.2	11.6	−1.4	3	19.4	30	80	56	63	66	35	3
Mai	726.4	713.7	4	733.9	24	12.3	19.6	15.8	15.9	7.0	21	24.2	17 . 29	80	50	59	63	33	29
Juni	728.5	720.9	15	734.0	3	16.8	22.8	19.2	19.5	11.4	17	28.6	29	78	54	68	67	32	26
Juli	727.6	719.3	28	732.3	1	19.8	26.4	23.3	23.2	12.6	28	32.0	7	74	48	56	59	37	29
August	726.2	716.9	19	731.3	22	16.9	23.1	19.9	20.0	12.4	22	29.0	6	80	55	66	67	33	6
September	726.0	712.3	27	733.9	23	11.0	16.1	12.9	13.2	5.4	21	23.9	3	86	64	76	75	43	26
Oktober	726.4	718.0	14	733.5	8	8.4	12.6	9.7	10.1	4.2	9	19.8	7	84	68	81	78	40	10
November	724.3	711.2	26	734.0	4	3.8	6.4	4.5	4.8	−4.8	16	12.1	28 . 30	81	70	81	77	42	21
Dezember	723.9	705.1	14	733.2	8, 9	1.7	4.0	2.0	2.4	−3.0	6	13.0	1	80	69	76	75	38	28
Jahr	726.0	705.1	XII	743.1	I	8.5	13.3	10.6	10.7	−10.0	I	32.0	VII	81	61	71	71	32	VI

Leysin

$\lambda = 7° 0'$, $\beta = 46° 21'$, $H_b = 1350^m$, $G = -$ $^m/_m$, $h_r = 1.5^m$

Januar	—	—	—	—	—	−3.9	−1.6	−3.5	−3.1	−12.6	21	7.0	8	68	68	72	69	34	15
Februar	—	—	—	—	—	−4.3	−1.2	−3.8	−3.3	−10.4	16 . 18	5.8	22	72	60	72	70	35	25 . 26
März	—	—	—	—	—	2.1	4.8	2.5	3.0	−5.4	27	11.2	31	73	64	74	70	34	3
April	—	—	—	—	—	6.2	9.8	6.2	7.1	−6.6	3	16.2	18	62	56	64	61	27	12
Mai	—	—	—	—	—	9.2	13.3	9.2	10.2	3.0	12	18.6	31	66	58	63	62	41	4
Juni	—	—	—	—	—	13.5	16.8	13.2	14.2	8.6	7	23.2	30	71	62	69	67	40	15
Juli	—	—	—	—	—	16.4	20.2	16.5	17.4	8.6	28	26.2	8	64	55	57	59	30	1
August	—	—	—	—	—	14.1	17.6	14.2	15.0	8.0	21	23.8	13	67	62	66	65	32	5. 29
September	—	—	—	—	—	6.9	9.8	7.1	7.7	0.8	19	16.4	25	80	73	79	77	34	25
Oktober	—	—	—	—	—	5.7	8.1	5.5	6.2	−1.0	31	14.0	28	70	67	75	71	24	28
November	—	—	—	—	—	−0.2	1.3	−0.1	0.2	−6.6	16	9.4	30	75	73	81	76	32	5
Dezember	—	—	—	—	—	−1.8	−0.3	−1.8	−1.4	−8.8	6	7.4	1	73	69	72	71	25	10
Jahr	—	—	—	—	—	5.3	8.2	5.4	6.1	−12.6	1	26.2	VII	70	64	70	68	24	X

Gr. St. Bernhard

$\lambda = 7° 11'$, $\beta = 45° 52'$, $H_b = 2478^m$, $G = -0.32$ $^m/_m$, $h_r = 6.0^m$

Januar	557.4	546.1	25	574.4	7	−10.8	−9.7	−10.6	−10.4	−21.2	21	0.2	15	83	83	86	84	18	15
Februar	558.3	545.3	1	568.3	21	−10.8	−9.1	−10.3	−10.1	−18.2	10	−1.3	23	82	81	85	83	36	29
März	559.1	548.7	29	563.9	1	−6.4	−4.2	−5.5	−5.4	−13.7	27	−0.7	2	92	88	92	91	44	15
April	563.3	548.7	1	569.9	8	−2.2	0.6	−1.6	−1.2	−15.9	3	6.0	17	88	83	93	88	60	21 . 26
Mai	564.4	555.1	4	568.6	24	0.3	3.3	0.6	1.2	−4.5	13	8.0	28 . 30	89	72	94	85	39	17
Juni	568.3	563.4	15	575.5	30	5.3	8.5	5.7	6.3	−0.2	8. 21	16.2	30	82	68	89	80	25	30
Juli	569.3	560.8	28	575.0	1	9.1	12.6	9.1	10.0	−0.6	29	20.1	1	72	62	86	75	20	1
August	567.3	558.8	19	572.6	12	6.4	10.2	7.1	7.7	0.1	21	17.9	29	77	66	86	76	31	29
September	563.5	553.8	26	570.2	1	−0.4	2.2	0.1	0.5	−7.8	20	10.0	2	86	80	89	85	26	6
Oktober	563.0	554.9	31	569.6	28	−1.8	−0.4	−1.5	−1.3	−9.5	12	6.2	24	80	80	86	82	19	9
November	558.3	552.1	8. 26	567.7	4	−8.4	−7.3	−8.0	−7.9	−16.1	16	1.1	30	95	94	91	93	40	5
Dezember	557.5	544.2	14	565.2	24	−8.7	−7.8	−8.5	−8.4	−18.0	16	1.3	1	71	90	93	84	45	9
Jahr	562.5	544.2	XII	575.9	VII	−2.4	−0.9	−1.9	−1.6	−21.2	I	20.1	VII	83	79	89	84	18	I

Sion

$\lambda = 7° 21'$, $\beta = 46° 14'$, $H_b = 548^m$, $G = -0.11$ $^m/_m$, $h_r = 2.4^m$

Januar	713.4	699.6	23	730.4	7	−2.9	1.5	−1.3	−1.0	−10.5	22	7.2	1	84	64	81	76	47	29
Februar	715.0	699.5	1	726.2	6	−3.1	2.5	−0.8	−0.5	−9.4	18	8.0	23	86	60	78	75	44	23
März	711.8	695.1	29	717.7	1	4.3	11.4	7.0	7.4	−0.4	15	17.6	31	87	51	75	71	32	27
April	714.4	696.0	1	722.8	8	8.5	17.4	11.6	12.3	−0.1	3	23.6	18	76	45	59	60	33	8
Mai	714.1	704.0	4	721.7	24	13.1	21.5	15.4	16.4	9.2	22	25.0	17	69	43	56	56	33	1
Juni	716.1	710.0	15	721.6	4	17.4	24.5	19.0	20.0	13.2	9	30.1	30	71	47	60	59	36	26
Juli	715.6	707.1	28	722.5	1	19.7	27.3	22.2	22.8	15.5	29 . 30	34.0	4	66	48	55	56	36	4
August	714.6	707.8	19	719.0	22	16.7	23.9	18.5	19.4	12.8	23	29.4	13	77	52	71	67	40	5
September	714.2	704.4	5	721.4	23	10.4	16.9	11.7	12.7	4.7	21	24.1	2	91	55	77	74	38	13
Oktober	714.4	706.4	14	721.2	8	6.8	13.3	8.5	9.3	1.2	13	17.2	7	94	59	85	79	36	2
November	712.5	701.9	26	722.5	4	2.0	6.1	3.6	3.8	−4.7	16	12.4	30	86	68	83	79	41	5
Dezember	712.4	695.8	14	720.7	8, 9	−0.2	2.4	0.8	1.0	−5.1	10	9.0	2	88	74	82	81	51	4
Jahr	714.0	695.1	III	730.4	I	7.7	14.1	9.7	10.3	−10.5	I	34.0	VII	81	55	72	69	32	III

Beobachter: A. Thétaz

Montreux-Clarens

Bewölkung				Niederschlag			Zahl der Tage								Windverteilung									1952
7^{30}	13^{30}	21^{30}	Mittel	Summe	Maximum	Tag	❄	≧L0	✶	▲	K	=	heiter	trüb	N	NE	E	SE	S	SW	W	NW	Calmen	
6.8	7.2	6.2	6.7	114	21	19	14	14	7	—	—	—	4	15	1	3	—	2	5	2	1	2	77	Januar
6.5	6.1	7.2	6.6	73	23	12	9	8	8	—	—	—	4	12	2	2	1	1	8	5	1	1	66	Februar
7.1	7.1	7.6	7.3	101	14	7	14	14	—	—	—	—	3	18	2	2	—	3	6	6	2	1	71	März
5.6	5.6	4.8	5.3	63	17	1	8	7	1	—	2	—	8	10	2	1	—	—	12	4	—	—	71	April
4.0	5.2	4.3	4.5	71	38	11	8	8	—	—	2	—	3	2	5	7	—	1	11	1	4	—	64	Mai
5.1	4.5	4.9	4.8	137	27	18	11	11	—	—	4	—	9	6	6	2	—	1	8	5	1	—	67	Juni
3.1	3.6	3.5	3.4	41	29	28	4	4	—	—	2	—	14	3	2	3	2	1	12	2	5	—	66	Juli
5.3	5.0	5.7	5.3	170	44	30	14	10	—	—	3	—	8	7	—	3	1	—	9	4	—	—	76	August
7.9	6.9	7.2	7.3	131	22	17	19	17	—	—	4	—	—	13	1	1	—	—	3	1	3	3	78	September
7.3	7.6	7.0	7.3	192	47	25	20	21	—	—	1	—	1	15	6	—	1	—	5	3	1	—	77	Oktober
7.9	8.6	8.9	8.5	189	27	3	21	18	5	1	2	—		20	5	3	1	3	7	4	1	1	65	November
8.6	8.4	8.0	8.3	120	20	18	18	16	4	—	—	—	1	22	5	3	—	—	—	2	1	1	81	Dezember
6.3	6.3	6.3	6.3	1402	47	X	160	147	25	1	20	—	55	143	37	30	6	12	86	39	20	9	859	Jahr

Beobachter: M. Baud

Leysin

5.8	6.3	4.7	5.6	146	23	19	16	13	16	—	—	2	9	13	—	21	—	—	—	18	35	8	11	Januar
5.4	5.5	5.1	5.3	160	34	12	11	11	11	—	—	2	9	12	2	11	—	2	—	23	13	18	18	Februar
6.4	6.8	7.1	6.8	131	22	24	18	15	10	—	—	5	5	15	1	11	—	—	—	36	19	10	16	März
4.9	5.2	4.1	4.7	81	21	1	8	8	3	—	2	7	14	11	1	13	—	—	—	25	28	5	18	April
2.8	5.0	4.3	4.0	52	26	11	12	8	—	—	1	3	10	1	2	18	1	—	—	28	12	6	26	Mai
4.6	4.9	4.3	4.6	138	33	18	12	11	—	1	7	3	10	7	4	14	—	—	—	18	28	5	21	Juni
3.2	3.9	2.9	3.3	79	37	28	5	5	—	1	3	1	16	4	—	8	—	—	16	30	10	16	13	Juli
4.6	5.1	4.4	4.7	158	32	30	14	13	—	1	4	3	9	8	1	5	—	—	—	39	12	23	13	August
6.8	7.6	6.8	7.1	118	15	11	18	17	3	—	—	4	1	13	—	17	—	—	—	33	17	7	16	September
6.8	7.7	6.4	7.0	185	31	25	17	16	3	—	—	6	2	13	—	9	—	—	—	34	35	5	10	Oktober
7.5	8.6	8.4	8.2	278	36	7	24	20	17	—	2	1	—	20	2	3	—	—	—	7	39	2	37	November
7.0	7.6	5.8	6.8	182	22	21	19	18	16	—	1	4	5	15	5	12	—	—	2	15	38	6	15	Dezember
5.5	6.2	5.4	5.7	1708	37	VII	174	155	79	3	20	41	90	132	18	142	1	2	18	306	286	111	214	Jahr

Beobachter: Hospiz

Gr. St. Bernhard

5.3	5.5	5.2	5.3	202	47	11	18	18	18	—	—	16	10	11	—	47	—	—	—	17	—	—	29	Januar
5.3	4.7	5.3	5.1	116	30	11	11	11	11	—	—	15	10	12	—	60	—	—	—	2	—	—	25	Februar
6.0	6.5	7.0	6.5	245	27	24	15	15	15	—	—	20	4	14	—	45	—	—	—	25	—	—	23	März
5.7	5.7	5.6	5.7	119	45	22	8	8	7	—	—	12	6	9	—	17	—	—	—	36	—	—	37	April
5.8	5.0	6.8	5.9	131	37	11	10	10	8	—	—	14	6	10	22	23	—	3	2	24	—	3	16	Mai
5.1	4.4	5.6	5.0	99	21	6	10	10	1	—	5	12	6	7	7	30	3	1	3	18	1	4	23	Juni
2.8	4.6	4.1	3.8	28	16	28	5	5	—	—	4	5	8	3	1	40	—	2	6	12	1	1	30	Juli
4.5	5.7	5.9	5.4	161	47	6	14	14	—	—	3	11	7	12	—	36	—	2	2	27	—	—	26	August
5.5	6.0	6.9	6.1	166	23	11	14	14	11	—	—	13	3	11	3	37	—	3	2	27	—	—	18	September
6.9	6.5	5.6	6.3	275	36	4	19	19	18	—	—	15	3	9	—	19	3	13	—	4	2	26	26	Oktober
7.4	7.9	7.8	7.7	286	28	11	21	21	21	—	—	22	3	17	1	32	—	—	—	28	—	4	25	November
7.0	7.3	6.8	7.0	249	43	17	19	19	19	—	—	18	5	19	—	31	—	—	—	21	—	1	40	Dezember
5.6	5.8	6.6	5.8	2077	47	I	164	164	129	—	12	173	71	134	34	417	6	24	15	241	4	39	318	Jahr

Beobachter: Kapuzinerkloster

Sion

5.1	5.5	3.9	4.8	69	21	10	8	8	7	—	—	1	10	7	4	9	14	—	1	6	9	3	47	Januar
5.7	5.1	4.6	5.1	37	7	11	9	7	8	—	—	2	11	10	2	7	5	—	1	10	14	7	41	Februar
5.9	6.0	5.6	5.8	55	10	22	13	12	1	—	—	—	6	11	5	14	3	—	1	10	18	2	40	März
4.9	4.2	3.6	4.2	46	20	22	6	5	—	—	—	—	12	6	3	5	2	—	—	11	16	1	52	April
3.1	4.8	4.2	4.0	18	12	11	5	3	—	—	—	—	6	2	4	11	7	1	—	13	28	1	28	Mai
3.6	3.8	4.3	3.9	52	19	6	8	8	—	—	1	—	12	4	3	9	5	1	1	15	25	4	27	Juni
2.4	2.8	3.4	2.9	12	7	28	7	4	—	—	—	—	15	2	1	13	3	—	1	16	25	5	29	Juli
4.9	4.6	4.9	4.8	95	19	18	10	10	—	—	1	1	7	7	3	16	4	—	2	13	17	—	38	August
6.9	5.7	5.3	6.0	64	14	25	15	11	—	—	—	—	2	9	3	8	3	—	—	11	22	4	39	September
6.5	6.7	5.3	6.2	143	46	13	19	14	—	—	—	—	3	10	7	8	7	2	2	8	9	10	40	Oktober
7.4	7.8	7.3	7.5	159	33	25	18	17	5	—	—	—	—	14	2	5	8	—	—	7	12	4	52	November
7.4	7.0	7.4	7.3	142	31	16	14	13	10	—	—	—	2	14	3	5	3	—	—	5	9	2	66	Dezember
5.3	5.3	5.0	5.2	892	46	X	132	112	31	—	2	4	86	96	40	110	64	4	9	125	204	43	499	Jahr

Montana

$\lambda = 7^\circ 29'$, $\beta = 46^\circ 19'$, $H_b = 1453.2^m$, $G = -0.21\ ^m/_m$, $h_r = 1.5^m$

1952	Luftdruck					Luft-Temperatur							Relative Feuchtigkeit					
	Mittel	Minimum	Tag	Maximum	Tag	7^{30}	13^{30}	21^{30}	Mittel	Minimum	Tag	Maximum	Tag	7^{30}	13^{30}	21^{30}	Mittel	Minimum	Tag
Januar	636.1	623.0	25	651.7	7	-5.4	-1.3	-4.7	-4.0	-13.7	21	7.9	8	77	70	79	75	32	8
Februar	637.7	622.9	1	646.5	22	-6.4	-1.2	-4.8	-4.3	-13.3	6	6.0	25	81	68	77	75	40	26
März	636.4	624.2	29	641.6	1	0.4	4.9	1.7	2.2	-8.7	27	9.7	31	77	70	71	73	41	17
April	639.7	623.7	1	647.1	8	4.8	11.0	7.8	7.9	-6.5	3	19.2	16	73	58	61	64	37	8. 29
Mai	640.6	630.4	4	645.9	24	8.2	13.8	11.2	11.1	3.9	12	18.5	30	75	49	52	59	31	30
Juni	643.5	637.7	15	648.4	29. 30	12.4	18.3	14.9	15.1	8.3	21	23.6	29	77	47	55	60	31	5 11.26
Juli	643.8	635.5	28	649.1	1	15.6	22.3	17.9	18.4	7.6	29	29.8	2	72	46	54	57	26	1
August	642.2	634.2	19	646.7	12	12.9	18.3	14.2	14.9	7.2	22	25.5	14	76	53	60	63	31	1. 3
September	639.7	629.9	27	645.4	1	6.2	10.7	7.5	8.0	0.9	27	17.4	1	86	68	74	76	40	14
Oktober	639.4	633.0	31	645.4	28	4.1	8.6	5.0	5.7	-2.0	31	14.9	21	81	68	76	75	36	28
November	636.0	626.4	26	646.5	4	-2.4	0.9	-0.9	-0.8	-11.3	16	7.9	5	83	71	81	79	34	5
Dezember	635.4	621.6	14	643.0	25	-3.5	-0.5	-2.6	-2.3	-9.1	16	5.8	2	76	72	78	75	40	10
Jahr	639.2	621.6	XII	651.7	I	3.9	8.8	5.6	6.0	-13.7	I	29.8	VII	78	62	68	69	26	VII

Reckingen

Die Abendbeobachtung erfolgt bis September um 20^{30}

$\lambda = 8^\circ 14'$, $\beta = 46^\circ 28'$, $H_b = 1332.4^m$, $G = -0.19\ ^m/_m$, $h_r = 1.6^m$

Januar	646.7	633.9	25	664.0	7	-8.7	-2.8	-7.4	-6.4	-22.2	21	3.2	9	89	66	85	80	42	8
Februar	648.0	632.3	1	658.1	21	-10.1	-2.0	-7.1	-6.6	-19.6	18	4.6	23	87	59	82	76	38	26
März	646.9	634.8	29	652.8	1	-2.6	3.9	0.1	0.3	-11.4	15	7.8	31	89	60	82	77	55	15. 17 / 18
April	650.7	633.7	1	657.7	8	1.7	11.4	3.9	5.4	-7.9	4	16.8	18. 19 / 26. 29	81	42	70	64	28	4
Mai	650.9	641.8	4	655.0	31	6.8	14.6	8.8	9.7	3.4	12	18.8	30	72	39	65	59	30	18. 22 / 29
Juni	653.7	647.9	15	659.4	30	13.1	19.6	13.2	14.8	7.6	18	28.3	30	69	39	63	57	21	30
Juli	653.8	645.8	28	660.3	1	15.1	23.8	15.8	17.7	7.1	29	31.6	2	65	34	57	52	20	2
August	652.2*	—	—	—	—	—	—	—	14.2*	—	—	—	—	—	—		—	—	—
September	649.7	642.2	5	656.1	1. 2	5.1	12.0	5.9	7.4	-0.8	21	21.4	1	91	51	83	75	34	5
Oktober	649.0*	—	—	—	—	—	—	—	3.5*	—	—	—	—	—	—	—	—	—	—
November	646.9	637.6	26	657.5	4	-4.2	-0.2	-3.4	-2.8	-17.2	16	6.6	5	92	72	91	85	40*	5
Dezember	646.4	631.8	15	654.4	24	-6.8	-2.3	-5.4	-5.0	-15.4	28	1.8	1	87	73	83	81	42	4
Jahr	649.5	631.8	XII	664.0	I	—	—	—	4.4	-22.2	I	31.6	VII	—	—	—	—	?	—

Graubünden

Reckingen: J. Stucky † im August. Zweiter Beobachterwechsel im Oktober.

Chur

$\lambda = 9^\circ 32'$, $\beta = 46^\circ 51'$, $H_b = 633^m$, $G = -0.10\ ^m/_m$, $h_r = 1.7^m$

Januar	704.7	691.1	11	723.3	7	-3.0	0.0	-1.5	-1.5	-10.6	22	5.8	31	76	59	72	69	26	31
Februar	707.0	689.3	1	718.8	6	-3.4	0.7	-2.2	-1.8	-10.2	18	8.8	23	75	51	78	68	29	23
März	704.0	688.2	29	711.1	1	3.1	8.5	5.0	5.4	-4.0	15	16.8	31	74	43	63	60	19	3. 15
April	707.3	689.7	1	715.3	8	7.8	15.0	9.6	10.5	-2.8	3	22.3	30	64	45	58	56	15	11. 18
Mai	707.5	696.7	4	714.6	23	10.5	16.7	13.0	13.3	3.9	21	23.9	31	67	33	50	50	14	8
Juni	709.3	701.9	15	715.0	4	14.5	21.2	16.5	17.2	11.3	21	29.0	30	70	36	60	55	16	5
Juli	708.8	700.6	28	714.4	1	17.1	24.8	19.4	20.2	11.4	30	34.8	5	65	32	56	51	17	5
August	707.2	698.9	19	713.0	22	15.3	22.4	17.5	18.2	9.3	21	32.3	14	71	39	62	57	17	11
September	706.3	693.2	27	714.4	23	9.0	14.4	10.3	11.0	3.3	12	21.2	2	81	46	72	66	20	14
Oktober	706.4	696.8	14	715.0	8	6.6	11.3	7.7	8.3	2.5	13	19.8	21	81	52	76	70	21	9
November	704.0	692.3	26	715.2	4	0.5	4.0	1.1	1.7	-6.3	15	12.2	30	81	61	78	73	24	21
Dezember	704.3	688.0	14	715.6	5	-0.8	1.3	-0.6	-0.2	-7.0	6	7.8	1	72	62	73	69	20	14
Jahr	706.4	688.0	XII	723.3	I	6.4	11.7	8.0	8.5	-10.6	I	34.8	VII	74	47	66	62	14	V

Disentis

Die Abendbeobachtung erfolgt um 20.30

$\lambda = 8^\circ 51'$, $\beta = 46^\circ 42'$, $H_b = \text{ca } 1168^m$ $G = —\ ^m/_m$, $h_r = 1.8^m$

Januar	—	—	—	—	—	-3.8	-1.0	-3.0	-2.7	-10.4	21	4.6	8	74	61	72	69	27	29
Februar	—	—	—	—	—	-5.1	-0.7	-3.7	-3.4	-11.0	18	7.3	23	76	56	78	70	27	26
März	—	—	—	—	—	0.7	5.8	2.5	2.8	-6.6	15	11.5	24	77	50	71	66	23	16
April	—	—	—	—	—	5.7	12.2	7.3	8.1	-5.0	2	18.7	17	68	40	62	57	26	8
Mai	—	—	—	—	—	8.5	14.4	10.3	10.7	4.1	21	21.4	30	72	40	61	58	22	18. 21
Juni	—	—	—	—	—	13.2	19.3	14.5	15.2	9.2	8	27.1	30	70	40	65	58	20	29
Juli	—	—	—	—	—	15.9	23.7	17.4	18.5	9.5	28	30.8	2	68	36	64	56	18	2
August	—	—	—	—	—	13.8	19.7	15.5	15.9	9.0	21	27.6	15	72	45	68	62	24	29
September	—	—	—	—	—	6.9	11.9	8.3	8.7	1.2	20	20.4	2	81	51	78	70	27	14
Oktober	—	—	—	—	—	4.6	9.1	5.9	6.3	-0.1	31	14.7	24	80	55	78	71	27	9
November	—	—	—	—	—	-1.2	1.9	-0.3	-0.1	-8.7	16	7.9	27	82	64	79	75	39	20
Dezember	—	—	—	—	—	-2.6	0.0	-2.2	-1.7	-8.8	6	5.6	1	76	68	78	74	28	10
Jahr	—	—	—	—	—	4.7	9.7	6.0	6.5	-11.0	II	30.8	VII	75	51	71	66	18	VII

Montana

Beobachter: Sanatorium «La Moubra»

Bewölkung				Niederschlag			Zahl der Tage								Windverteilung								1952
7^{30}	13^{30}	21^{30}	Mittel	Summe	Maximum	Tag	●	●* ≧1.0	*	▲	K	≡	heiter	trüb	N	NE	E	SE	S	SW	W	NW	Calmen	
5.4	5.4	4.9	5.2	128	30	11	11	10	11	—	—	1	8	9	—	—	2	—	—	—	27	—	64	Januar
5.4	5.8	5.6	5.6	85	16	4	11	11	11	—	—	4	9	13	1	—	—	—	—	—	12	2	72	Februar
5.7	6.2	6.6	6.2	110	21	5	14	14	12	—	—	2	6	13	—	—	6	—	—	—	7	—	80	März
4.5	4.4	3.6	4.2	65	23	23	6	6	3	—	1	1	8	5	—	—	11	—	—	—	1	—	78	April
3.5	4.5	4.2	4.1	28	19	11	5	5	—	—	1	—	8	2	6	1	13	—	—	—	7	6	60	Mai
3.7	4.2	3.9	3.9	68	31	6	9	8	—	—	4	—	11	2	—	—	3	—	—	—	12	3	72	Juni
2.6	2.7	3.4	2.9	45	19	2	5	5	—	1	3	—	12	1	2	—	1	—	—	—	7	1	82	Juli
3.8	3.9	4.7	4.1	120	32	6	12	11	—	—	3	3	9	3	—	—	7	—	—	—	11	—	75	August
6.5	5.3	5.5	5.8	80	16	25	16	12	5	—	—	—	2	7	—	—	8	—	—	—	5	—	77	September
6.0	6.4	5.6	6.0	189	46	13	19	15	7	—	—	—	4	9	1	—	3	—	—	—	8	1	80	Oktober
6.5	7.6	7.5	7.3	263	41	25	19	17	11	—	—	1	—	14	—	—	11	—	—	—	15	1	63	November
6.5	6.3	6.2	6.3	172	35	17	15	15	14	—	—	3	6	13	—	—	5	—	—	—	14	1	73	Dezember
5.0	5.2	5.1	5.1	1353	46	X	142	129	74	1	12	15	83	91	10	1	70	—	—	—	126	15	876	Jahr

Reckingen

Beobachter: J. Stucky, P. Theodul, Th. Weißen

6.3	6.0	5.7	6.0	97	25	19	17	12	17	—	—	—	6	4	—	5	—	12	—	—	—	21	55	Januar
5.8	5.6	5.1	5.5	72	35	11	10	10	10	—	—	1	8	13	—	—	—	—	—	—	—	39	48	Februar
6.3	6.2	6.0	6.2	138	15	6	19	17	14	—	—	—	7	12	—	15	—	13	—	2	—	2	61	März
5.4	5.8	4.3	5.2	42	17	23	7	5	3	—	—	—	6	9	—	12	—	5	—	14	—	2	57	April
4.3	5.3	4.5	4.7	57	20	4	9	9	—	—	—	—	10	7	—	4	—	19	—	5	—	11	54	Mai
5.2	5.5	4.6	5.1	75	24	18	10	6	—	—	1	—	5	5	—	12	—	20	—	11	—	1	46	Juni
3.0	4.7	4.6	4.1	54	24	28	8	7	—	—	4	—	8	3	—	11	—	18	—	19	—	2	43	Juli
—	—	—	—	79	20*	18	12	12	—	—	—	—	—	—	—	—	—	—	—	—	—	—	—	August
6.2	5.7	5.6	5.8	104	19	11	18	17	3	—	—	—	6	9	—	—	—	11	—	29	—	11	39	September
—	—	—	—	147	31	13	19	17	6	—	—	—	—	—	—	—	—	—	—	—	—	—	—	Oktober
8.8	7.9	8.2	8.3	215	39	10	19	19	15	—	—	1	1	19	—	—	—	—	—	—	—	—	—	November
7.7	6.8	6.0	6.8	146	22	17	14	14	14	—	—	2	3	13	—	—	—	—	—	—	—	—	—	Dezember
—	—	—	—	1226	39	XI	162	145	82	—	—	—	—	—	—	—	—	—	—	—	—	—	—	Jahr

Graubünden

Chur

Beobachter: Kantonsschule

6.7	6.5	6.7	6.6	48	18	11	13	8	11	—	—	—	3	11	—	—	1	22	2	—	1	12	55	Januar
6.9	6.3	6.0	6.4	49	8	3	13	8	11	—	—	—	8	25	—	—	1	7	1	—	1	18	59	Februar
6.9	6.5	6.5	6.6	49	12	22	12	10	1	—	—	—	2	12	2	1	1	23	2	—	1	21	42	März
5.9	5.3	5.6	5.6	37	10	23	8	7	1	—	—	—	3	9	1	—	—	16	—	1	2	20	50	April
6.3	6.3	6.0	6.2	56	15	19	11	9	—	—	—	—	4	8	—	—	2	15	2	—	—	36	38	Mai
5.5	6.2	5.7	5.8	70	20	18	12	11	—	—	3	—	7	12	—	1	—	21	1	—	1	26	40	Juni
4.0	4.7	4.9	4.5	49	11	15	10	10	—	1	4	—	6	5	1	—	2	14	—	—	—	32	44	Juli
4.9	5.5	5.9	5.4	101	20	20	16	13	—	—	1	—	8	11	—	1	4	16	1	—	—	30	41	August
7.6	6.6	6.1	6.8	186	52	5	16	14	—	—	—	—	3	13	1	—	2	11	—	1	1	25	49	September
7.8	7.7	6.8	7.4	112	32	25	20	13	—	—	—	—	3	17	2	2	1	16	1	1	2	15	53	Oktober
7.5	7.4	6.4	7.1	120	30	10	17	14	8	—	—	—	2	12	—	—	2	26	4	—	3	3	52	November
7.6	7.8	7.9	7.8	49	8	20	13	12	11	—	—	—	—	16	1	—	3	16	2	—	—	11	60	Dezember
6.5	6.4	6.2	6.4	926	52	IX	161	129	43	1	8	—	49	141	8	5	19	203	16	3	12	249	583	Jahr

Disentis

Beobachter: P. Fl. Maissen

6.2	6.3	5.9	6.1	85	18	11	15	11	15	—	—	—	5	10	11	11	—	—	1	7	4	12	47	Januar
6.6	5.7	6.1	6.1	115	19	4	17	14	17	—	—	—	7	14	11	10	—	—	—	3	—	11	52	Februar
6.4	6.5	6.5	6.5	89	15	7	18	13	13	—	—	—	4	12	7	10	—	—	3	12	—	7	54	März
5.0	5.2	4.8	5.0	89	35	23	10	8	4	—	—	1	8	8	4	15	1	—	13	18	10	6	23	April
5.7	6.2	6.1	6.0	122	26	19	15	12	—	—	—	—	4	6	4	7	—	—	5	16	4	3	54	Mai
4.5	5.4	5.8	5.2	84	32	18	12	9	—	—	1	—	6	7	4	19	—	—	10	10	—	1	46	Juni
3.3	3.9	4.7	4.0	64	17	8	13	10	—	—	4	—	8	2	6	16	—	2	4	14	—	4	47	Juli
4.5	5.2	5.2	5.0	120	17	30	16	16	—	—	1	1	9	7	3	13	—	—	2	16	1	6	52	August
7.1	6.2	6.3	6.5	171	41	11	17	15	4	—	1	—	3	11	6	17	—	—	7	16	3	7	34	September
7.5	6.4	7.5	7.1	148	39	1	22	16	6	—	—	1	2	15	12	10	—	—	2	8	3	9	49	Oktober
7.4	7.1	7.3	7.3	264	56	10	18	17	14	—	—	—	1	13	8	9	—	—	2	9	—	12	50	November
7.0	6.7	7.0	6.9	99	22	21	16	12	15	—	—	2	4	13	6	17	1	—	—	13	—	15	41	Dezember
5.9	5.9	6.1	6.0	1450	56	XI	189	153	88	—	7	5	61	118	82	154	2	2	49	142	25	93	549	Jahr

Platta-Medels

$\lambda = 8^\circ 51'$, $\beta = 46^\circ 39'$, $H_b = 1378^m$, $G = -0.21\ ^m/_m$, $h_r = 1.2^m$

1952	Luftdruck					Luft-Temperatur								Relative Feuchtigkeit					
	Mittel	Minimum	Tag	Maximum	Tag	7^{30}	13^{30}	21^{30}	Mittel	Minimum	Tag	Maximum	Tag	7^{30}	13^{30}	21^{30}	Mittel	Minimum	Tag
Januar	642.2	629.9	25. 27	659.1	7	−5.7	−0.5	−5.8	−4.5	−15.0	21	8.4	8	70	49	66	62	24	7
Februar	644.0	627.5	1	654.8	6	−7.7	0.7	−6.6	−5.0	−15.4	18	10.0	22	76	46	79	67	28	25
März	642.9	629.6	29	648.8	1	−1.1	5.5	0.0	1.1	−10.2	15	10.4	25	72	45	76	61	21	15
April	647.1	634.1	1	654.3	7	3.6	10.4	5.2	6.1	−7.4	3	18.0	19	66	40	62	56	21	28
Mai	647.8	638.3	4	653.5	23	5.9	13.2	7.6	8.6	−1.4	22	20.6	30	72	40	60	57	26	18. 28
Juni	650.2	644.5	15	655.8	30	10.8	18.9	11.6	13.2	7.2	7	27.2	30	67	43	66	59	21	29
Juli	650.4	641.7	28	656.0	1	12.7	23.4	14.1	16.1	7.6	30	33.2	2	71	34	68	58	20	1
August	648.4	640.0	20	653.1	12	11.3	19.1	12.3	13.8	4.4	25	29.0	29	73	42	68	61	19	28
September	646.1	634.9	27	653.5	23	5.2	11.8	6.3	7.4	−1.8	21	23.2	3	79	46	74	66	19	3
Oktober	645.9	637.6	14	653.2	8	3.4	9.0	4.2	5.2	−3.0	12	14.6	7	72	47	68	62	20	14
November	642.5	632.4	26	653.2	4	−2.5	1.5	−2.3	−1.4	−13.2	15	8.0	5	69	51	70	63	26	12
Dezember	642.3	626.7	14. 15	652.3	7	−4.1	−0.3	−4.0	−3.1	−11.0	16	6.8	10	68	57	73	66	21	10
Jahr	645.8	626.7	XII	659.1	I	2.6	9.4	3.6	4.8	−15.4	II	33.2	VII	71	45	68	61	19	VIII IX

Arosa

$\lambda = 9^\circ 41'$, $\beta = 46^\circ 47'$, $H_b = 1864^m$, $G = -0.24\ ^m/_m$, $h_r = 1.6^m$

Januar	605.6	592.4	25	620.3	7	−7.7	−4.0	−7.5	−6.7	−18.2	21	5.1	8	79	63	80	74	28	15
Februar	605.1	590.4	1	615.0	21	−8.8	−4.0	−8.4	−7.4	−15.6	6. 16	4.8	22	84	66	83	78	32	25
März	604.8	593.6	29	609.8	1	−2.9	1.5	−2.3	−1.5	−11.7	27	7.0	24	80	59	80	73	29	15
April	609.2	593.9	1	615.7	8	1.7	6.8	1.9	3.1	−11.0	3	13.0	19	75	57	81	71	26	11
Mai	610.1	600.8	4	615.5	23	4.4	9.0	4.1	5.4	−0.2	21	15.3	30	74	54	81	70	24	8
Juni	613.0	607.8	15	619.2	30	9.4	13.8	8.5	10.0	4.8	8. 1.	22.3	30	73	56	82	70	28	30
Juli	613.8	604.8	28	619.2	1. 3	12.1	17.9	11.4	13.2	4.3	29	26.7	2	73	52	82	69	23	1
August	611.8	603.6	20	616.1	12	9.9	15.4	10.4	11.5	3.9	22	23.7	15	80	58	82	73	29	28. 29
September	608.6	598.0	27	615.3	1	2.6	8.3	3.1	4.3	−4.2	20	15.6	2	88	63	88	80	34	28
Oktober	607.7	599.7	19	613.5	17	0.7	4.9	1.0	1.9	−6.0	12	12.5	21	78	63	84	75	27	9
November	604.0	595.3	26	613.3	4	−5.3	−1.7	−5.0	−4.2	−13.6	15	6.8	5	77	65	83	74	28	25
Dezember	603.8	589.3	15	611.3	25	−6.1	−3.1	−6.6	−5.6	−15.0	16	2.8	1	79	66	83	76	25	9
Jahr	608.0	589.3	XII	620.3	I	0.8	5.4	0.9	2.0	−18.2	I	26.7	VII	78	60	82	74	23	VII

Davos-Platz

$\lambda = 9^\circ 49'$, $\beta = 46^\circ 48'$, $H_b = 1560.7^m$, $G = -0.21\ ^m/_m$, $h_r = 9.5^m$

Januar	627.0	615.0	25	644.7	7	−9.6	−4.0	−8.4	−7.6	−20.0	21	2.2	11	83	63	81	76	36	9
Februar	628.6	612.8	1	638.7	6. 21	−10.1	−2.7	−8.1	−7.2	−18.8	18	4.6	29	84	62	82	76	36	29
März	627.8	615.1	29	633.3	1	−3.0	3.5	−1.1	−0.4	−14.4	15	9.0	31	85	56	80	74	30	15
April	632.0	615.2	1	639.0	8	2.3	8.8	3.2	4.4	−8.0	3	16.0	30	78	52	80	70	29	11
Mai	632.7	623.1	4	638.4	23	6.9	11.6	6.2	7.7	1.0	24	17.8	10	69	49	77	65	29	8
Juni	635.5	629.6	15	641.8	30	12.4	15.6	10.0	12.0	5.8	8	22.6	30	65	52	79	65	32	30
Juli	635.9	627.2	28	641.8	5	14.8	19.6	13.2	15.2	7.0	28	27.0	2	65	49	80	65	26	1
August	634.1	626.0	19	638.7	13	11.5	16.9	11.4	12.8	4.6	21	24.8	15	75	55	81	70	31	29
September	631.5	619.6	27	638.4	23	3.7	9.5	4.4	5.5	−1.6	21	16.4	2	87	61	86	78	37	21
Oktober	631.0	622.6	14	637.9	8	0.9	6.7	2.1	2.9	−4.2	12. 13	13.6	21	88	63	85	79	29	9
November	627.3	617.5	26	637.7	4	−5.8	−0.9	−4.8	−4.1	−16.4	16	6.0	28	87	70	86	81	50	29
Dezember	627.0	611.5	15	635.3	5	−8.1	−3.1	−6.6	−6.1	−16.6	16	2.8	1	83	70	82	78	48	14
Jahr	630.9	611.5	XII	644.7	I	1.3	6.8	1.8	2.9	−20.0	I	27.0	VII	79	58	82	73	26	VII

Weißfluhjoch

$\lambda = 9^\circ 50'$, $\beta = 46^\circ 48'$, $H_b = 2667^m$, $G = -0.30\ ^m/_m$, $h_r = 3.0^m$, $H_r = 2540^m$

Januar	543.4	532.9	12. 25	561.0	7	−11.4	−10.2	−11.6	−11.2	−20.4	27. 28	0.4	8	65	74	68	69	7	28
Februar	544.6	533.6	1	555.1	21	−11.9	−10.5	−11.9	−11.5	−20.7	6	−0.4	24	68	72	62	67	5	14. 15
März	545.5	536.2	20	550.0	1	−7.2	−5.7	−7.0	−6.7	−16.6	27	0.2	29	77	81	76	78	4	8
April	550.6	535.6	1	556.9	8	−2.7	−0.6	−2.6	−2.1	−16.1	2	4.0	14	73	76	70	73	17	4
Mai	551.7	543.8	4	555.5	31	−1.9	0.7	−1.3	−1.0	−6.9	20. 23	6.2	30	84	82	90	85	43	8
Juni	555.5	550.9	15	562.8	30	3.4	6.1	3.4	4.1	−1.7	8	15.2	30	80	77	84	80	22	27
Juli	556.9	548.2	28	563.0	1	7.3	10.9	6.8	8.0	−1.2	29	18.7	2	71	68	85	75	17	1
August	554.9	540.6	20	560.1	12	5.5	9.4	5.6	6.5	−1.2	21. 22	18.4	15	76	70	82	76	24	23. 29
September	550.5	540.4	27	557.6	1	−1.3	1.2	−1.2	−0.6	−9.3	20	9.6	2	82	82	86	83	23	21
Oktober	549.5	542.1	31	556.6	28	−2.6	−1.5	−3.3	−2.7	−11.6	12	4.2	21. 28	77	77	81	78	10	27
November	544.5	536.5	8	554.1	4	−8.9	−7.9	−8.5	−8.4	−16.8	9	1.0	5	75	79	73	76	4	4?
Dezember	544.0	529.8	15	552.0	24	−9.2	−8.5	−9.4	−9.1	−19.2	16	0.8	1	68	77	73	73	8	10. 25
Jahr	549.3	529.8	XII	563.0	VII	−3.4	−1.4	−3.4	−2.9	−20.7	II	18.7	VII	75	76	77	76	4	III XI

Beobachter: Frl. G. Levy

Platta-Medels

Bewölkung				Niederschlag			Zahl der Tage								Windverteilung								1952
7^{30}	13^{30}	21^{30}	Mittel	Summe	Maximum	Tag	●	≥1.0	*	▲	K	≡	heiter	trüb	N	NE	E	SE	S	SW	W	NW	Calmen	
7.1	6.3	6.1	6.5	76	15	19	12	10	12	—	—	2	4	12	1	—	4	6	22	3	—	—	57	Januar
6.4	5.6	6.5	6.2	100	17	13	12	11	11	—	—	6	7	15	—	2	3	—	5	2	—	—	75	Februar
7.0	6.5	5.2	6.2	86	22	7	14	13	8*	—	—	4	3	10	1	-	2	1	13	7	—	—	69	März
4.6	6.5	4.8	5.3	109	54	23	6	6	4	—	—	2	7	11	—	—	—	2	20	6	—	—	62	April
6.1	7.1	6.0	6.7	102	21	4	14	11	—	—	1	7	3	12	2	2	—	4	8	8	—	—	69	Mai
5.0	5.7	5.8	5.5	98	38	18	12	9	—	—	6	4	5	6	—	1	1	—	17	1	—	—	70	Juni
4.2	4.8	5.2	4.7	56	17	28	11	10	—	—	4	3	6	4	—	—	1	1	14	2	1	—	74	Juli
4.7	6.0	5.4	5.4	186	?	—	17	16	—	1	6	5	9	10	—	3	1	2	15	3	—	—	69	August
7.7	6.4	7.1	7.1	196	50	11	17	15	7	—	2	10	2	14	—	—	1	—	12	6	—	—	71	September
7.1	6.7	7.2	7.0	150*	36	25	21*	16*	6*	—	—	5	2	15	—	—	—	1	10	15	—	—	71	Oktober
6.9	7.7	6.1	6.9	171	42	19	12	12	12	—	—	4	2	5	—	1	2	2	13	2	—	—	70	November
6.9	7.1	6.6	6.9	100*	?	—	16*	12*	15*	—	—	3	4	16	—	—	2	1	16	11	—	2	61	Dezember
6.1	6.4	6.1	6.2	1430	54	IV	164	141	75	1	19	55	54	130	4	9	17	20	165	62	1	2	818	Jahr

Beobachter: Lichtklimatisches Observatorium

Arosa

5.9	6.0	5.4	5.8	97	20	11	19	16	19	—	—	—	6	9	—	—	—	—	—	7	1	—	85	Januar
6.9	6.8	5.4	6.4	91	14	8	17	14	17	—	—	—	6	13	—	—	—	—	—	1	—	3	83	Februar
6.9	6.3	5.9	6.4	105	19	25	17	16	15	—	—	1	2	10	—	—	—	3	1	6	—	—	83	März
5.8	6.1	6.5	6.1	58	18	1	12	8	7	—	—	6	3	11	—	—	—	1	8	2	—	1	78	April
5.9	6.6	7.2	6.6	102	24	19	14	13	6	—	—	—	2	7	—	—	1	8	9	1	—	—	74	Mai
5.5	5.7	6.2	5.8	172	37	13	15	12	—	1	2	2	5	9	—	—	—	1	6	2	—	—	81	Juni
4.4	5.3	6.6	5.4	133	23	15	13	13	—	1	5	2	3	7	—	—	—	—	1	—	—	—	92	Juli
5.4	5.7	5.7	5.6	211	24	20	19	18	—	1	5	4	8	9	—	—	—	3	4	2	—	—	84	August
7.4	6.0	6.0	6.5	250	57	5	21	17	12	—	2	5	3	11	—	—	—	9	4	—	—	—	77	September
7.4	7.7	6.8	7.3	149	33	25	24	19	17	—	—	3	3	15	—	—	1	2	7	2	—	—	81	Oktober
6.4	7.0	6.5	6.6	185	42	7	19	16	18	—	—	—	2	10	—	—	—	3	1	4	2	3	77	November
6.1	7.0	6.6	6.4	93	20	21	16	15	16	—	—	1	4	13	—	—	—	1	3	4	3	—	82	Dezember
6.2	6.3	6.2	6.2	1646	57	IX	206	177	127	3	14	24	47	124	—	—	2	31	44	31	6	7	977	Jahr

Beobachter: Kurverein

Davos-Platz

6.6	7.0	5.1	6.2	71	15	19	14	13	14	—	—	—	4	10	—	4	6	—	—	7	—	—	76	Januar
7.5	6.9	6.0	6.8	79	15	3	16	13	16	—	—	—	6	16	—	1	14	2	1	—	—	—	69	Februar
7.5	7.2	6.8	7.2	75	17	20	15	12	13	—	—	—	3	16	—	4	7	3	—	5	—	—	74	März
6.4	7.0	6.4	6.6	26	15	1	7	5	3	—	—	1	1	11	—	6	11	2	1	1	—	—	69	April
6.5	7.4	6.4	6.8	64	20	19	10	7	3	—	—	—	2	9	—	6	18	2	2	7	—	—	58	Mai
5.5	6.8	5.9	6.1	102	20	13	13	11	—	—	3	—	3	7	—	7	18	2	1	4	-	—	58	Juni
4.4	5.2	6.1	5.2	90	15	27	14	11	—	—	9	—	4	5	—	9	16	4	1	—	1	—	62	Juli
5.5	6.1	5.5	5.7	137	19	20	17	14	—	—	5	—	7	11	—	4	12	—	1	2	1	—	73	August
7.5	6.4	6.6	6.8	144	29	11	19	14	10	—	1	1	3	11	—	7	10	2	1	3	—	—	67	September
8.1	7.9	6.7	7.6	119	26	25	25	17	16	—	—	—	3	15	—	4	10	1	—	1	—	—	77	Oktober
7.0	8.0	6.9	7.3	201	54	10	17	16	15	—	—	—	—	13	—	2	2	2	—	3	—	—	81	November
6.7	7.0	6.2	6.6	94	21	21	13	13	12	—	—	—	2	13	—	3	4	2	—	—	—	—	84	Dezember
6.6	6.9	6.2	6.6	1202	54	XI	180	146	102	—	18	2	38	137	—	57	128	22	8	33	2	—	848	Jahr

Beobachter: Eidg. Institut für Schnee- und Lawinenforschung

Weißfluhjoch

7.2	7.4	6.0	6.9	66	18	19	14	12	16	—	—	16	2	12	14	7	1	14	20	8	4	24	1	Januar
7.6	7.1	6.1	6.9	103	21	3	16	13	14	—	—	15	2	14	18	20	1	3	6	5	8	24	2	Februar
7.8	7.3	6.9	7.3	100	19	22	17	14	17	—	—	18	1	15	11	5	—	11	14	10	9	30	3	März
6.1	6.5	5.9	6.2	34	?	—	10	5	10	—	—	8	2	8	5	5	5	23	26	10	2	5	9	April
7.1	7.6	7.5	7.4	80	23	19	17	10	16	—	—	16	—	12	17	5	1	22	16	3	2	26	1	Mai
6.0	7.2	6.8	6.7	137	31	13	14	12	2	—	2	10	3	14	16	1	—	8	16	8	7	32	2	Juni
4.4	6.4	6.1	5.6	127	19	28	15	15	2	3	5	10	3	7	24	8	2	18	10	4	5	16	6	Juli
5.8	6.6	5.8	6.1	174	19	19	18	10	6	—	2	12	4	10	16	3	1	23	13	6	5	17	9	August
7.5	7.1	6.5	7.0	131	26	6	21	19	17	—	—	12	2	13	9	—	1	27	23	6	5	16	3	September
8.3	8.4	7.0	7.8	122	24	25	24	19	24	—	—	16	2	18	5	3	—	18	23	9	10	24	1	Oktober
7.8	7.8	6.9	7.5	240	52	10	21	19	21	—	—	15	—	15	5	—	1	12	23	14	13	22	—	November
7.1	7.2	6.2	6.8	113	26	21	13	13	13	—	—	14	3	11	5	8	7	14	22	6	10	16	5	Dezember
6.9	7.2	6.5	6.9	1427	52	XI	200	167	158	3	9	162	24	149	145	65	20	193	212	89	80	252	42	Jahr

Schuls

$\lambda = 10^\circ 18'$, $\beta = 46^\circ 48'$, $H_b = 1253.2^m$, $G = -0.17$ $^m/_m$, $h_r = 1.5^m$

1952	Luftdruck					Luft-Temperatur							Relative Feuchtigkeit					
	Mittel	Minimum	Tag	Maximum	Tag	7^{30}	13^{30}	21^{30}	Mittel	Minimum	Tag	Maximum	Tag	7^{30}	13^{30}	21^{30}	Mittel	Minimum	Tag
Januar	652.3	638.6	11	670.1	7	-9.5	-2.7	-8.5	-7.3	-19.0	28	1.0	6. 9 11. 26	80	50	79	70	29	29
Februar	653.6	637.2	1	664.1	6	-8.4	0.6	-5.9	-4.9	-16.0	6	7.0	28	78	38	80	65	20	27
März	652.4	640.2	29	658.6	1	-2.0	7.1	-0.4	1.1	-12.0	15	13.2	31	83	37	78	66	20	15.16.27
April	656.4	639.2	1	664.3	8	5.1	14.5	6.6	8.2	-7.0	3. 4	21.0	14	74	31	67	57	15	11
Mai	656.8	647.9	4	662.8	23	9.3	16.4	8.3	10.6	4.0	21	22.6	30	57	25	63	48	12	8
Juni	659.1	653.3	16	665.4	30	13.9	21.4	12.6	15.1	9.0	4	30.0	30	58	29	63	50	14	30
Juli	659.5	651.0	28	666.8	1	16.0	26.0	15.0	18.0	9.0	29	33.4	2. 3	61	23	68	51	13	2. 5
August	657.8	649.3	19	663.0	13	12.9	22.1	12.9	15.2	8.0	20. 21 22. 23	30.0	13	77	34	77	63	13	28
September	655.7	643.8	27	663.1	1	5.7	14.2	6.6	8.3	-5.0	24	24.0	2	85	36	80	67	17	3
Oktober	655.3	646.7	14	662.1	8. 28	1.6	9.5	2.4	4.0	-5.0	12	16.0	25	89	48	85	74	21	9
November	652.5	642.6	26	663.3	4	-5.2	0.4	-3.8	-3.1	-17.5	16	8.0	6	85	55	83	74	30	6
Dezember	652.4	635.6	15	661.3	5	-7.2	-2.7	-6.6	-5.8	-15.0	16. 28	3.6	1	76	55	78	70	35	10
Jahr	655.3	635.6	XII	670.1	I	2.7	10.6	3.3	5.0	-19.0	I	33.4	VII	75	38	75	63	12	V

Buffalora (Ofenpaß)

$\lambda = 10^\circ 16'$, $\beta = 46^\circ 38'$, $H_b = ca\ 1977^m$, $G = -$ $^m/_m$, $h_r = 1.5^m$

Januar	—	—	—	—	—	-15.2	-4.3	-14.4	-12.1	-27.8	21	3.2	16	89	52	91	77	17	15
Februar	—	—	—	—	—	-14.4	-3.3	-13.1	-11.0	-23.8	6. 15	5.0	22. 23 28	91	48	88	76	22	25. 29
März	—	—	—	—	—	-7.5	2.9	-5.5	-3.9	-21.3	15	8.2	31	79	53	79	70	21	2
April	—	—	—	—	—	-0.7	9.1	-0.6	1.8	-17.2	4	15.7	30	79	42	90	70	24	11
Mai	—	—	—	—	—	3.8	10.0	3.0	5.0	-2.4	21	20.0	28	64	45	77	62	17	18
Juni	—	—	—	—	—	9.0	17.1	6.9	10.0	3.5	10	25.7	30	62	42	73	59	15	27
Juli	—	—	—	—	—	11.4	20.8	9.9	13.0	5.0	25. 28	30.2	3	57	35	84	59	15	1 19.25
August	—	—	—	—	—	8.4	16.5	7.8	10.1	1.2	22	25.2	15	74	50	92	72	18	28
September	—	—	—	—	—	2.5	8.7	1.9	3.7	-6.6	30	17.4	1	79	49	90	73	24	3
Oktober	—	—	—	—	—	-1.1	5.7	-1.9	0.2	-10.0	12	11.5	21	82	53	92	76	18	9
November	—	—	—	—	—	-10.1	-1.9	-9.6	-7.8	-25.2	16	6.2	5	85	57	95	79	25	5
Dezember	—	—	—	—	—	-12.5	-3.8	-12.3	-10.2	-26.2	16	2.0	1. 2. 8	87	63	94	81	30	10
Jahr	—	—	—	—	—	-2.2	6.4	-2.3	-0.1	-27.8	I	30.2	VII	77	49	87	71	15	VI VII

Bever

$\lambda = 9^\circ 53'$, $\beta = 46^\circ 33'$, $H_b = 1711.8^m$, $G = -0.23$ $^m/_m$, $h_r = 1.6^m$

Januar	615.9	604.1	12	633.0	7	-12.8	-5.5	-11.0	-10.1	-25.9	21	1.5	16	91	62	81	78	32	10
Februar	616.8	602.7	1	626.9	21	-13.8	-2.5	-10.3	-9.2	-23.4	18	4.8	29	88	51	77	72	26	29
März	616.7	606.4	29	622.2	8	-5.2	3.3	-2.6	-1.8	-18.7	15	7.5	5	88	53	79	73	33	2
April	621.1	605.2	1	628.2	7	-0.3	8.8	1.8	3.0	-18.0	4	15.4	19	92	49	82	74	31	30
Mai	621.7	613.5	5	626.3	23	5.0	11.3	5.5	6.8	-1.1	21	16.9	30	78	47	71	65	26	18
Juni	624.6	619.8	14	630.8	30	9.0	17.0	10.0	11.5	3.4	9	26.0	30	81	44	73	66	22	29
Juli	625.1	616.1	28	631.4	1	10.1	21.0	12.3	13.9	5.4	26. 30	30.0	2	89	38	77	68	23	1. 2
August	623.5	615.3	19	629.3	12	8.5	18.7	9.6	11.6	1.2	26	31.4	13	91	42	87	73	22	29
September	620.5	610.1	27	626.9	23	3.6	10.5	4.1	5.6	-7.2	21	18.2	1. 2	89	53	85	76	30	3
Oktober	620.0	612.1	14	626.6	28	-1.0	6.1	1.2	1.9	-8.1	3	11.2	21	94	60	82	79	29	18
November	616.3	607.6	26	626.7	4	-8.3	-1.7	-6.4	-5.7	-23.6	16	5.0	5	89	65	87	80	44	6
Dezember	616.0	600.6	15	624.6	10	-11.2	-4.9	-9.2	-8.6	-21.0	28	3.4	1	89	72	88	83	47	20
Jahr	619.9	600.6	XII	633.0	I	-1.4	6.8	0.4	1.6	-25.9	I	31.4	VIII	88	53	81	74	22	VI VIII

St. Moritz

$\lambda = 9^\circ 50'$, $\beta = 46^\circ 30'$, $H_b = ca\ 1853^m$, $G = -0.24$ $^m/_m$, $h_r = 2.7^m$

Januar	603.5	591.5	12	620.4	7	-9.8	-3.7	-8.7	-7.7	-19.3	21	2.6	15	—	—	—	—	—	—
Februar	604.5	590.3	1	614.7	21	-10.2	-1.8	-8.2	-7.1	-17.9	18	6.0	29	—	—	—	—	—	—
März	604.6	594.7	29	609.4	1	-3.8	3.3	-2.9	-1.6	-15.1	15	8.0	2	—	—	—	—	—	—
April	609.1	593.1	1	616.1	8	0.8	8.8	1.6	3.2	-12.4	4	14.0	17	—	—	—	—	—	—
Mai	609.6	602.1	4	614.5	23	5.2	10.6	4.8	6.3	0.8	21	15.2	11	—	—	—	—	—	—
Juni	612.7	608.1	16	619.0	30	9.6	15.5	9.5	11.0	5.6	9	24.7	30	—	—	—	—	—	—
Juli	613.6	605.0	28	619.2	1. 5	10.8	19.9	11.9	13.6	6.4	28	28.6	2	—	—	—	—	—	—
August	611.7	603.7	20	616.5	12	8.8	16.5	10.3	11.5	2.1	20	25.0	13	—	—	—	—	—	—
September	608.5	598.4	27	614.6	23	3.2	9.4	3.9	5.1	-3.4	21	19.0	4	—	—	—	—	—	—
Oktober	608.0	600.5	14	614.7	28	-0.3	6.0	0.7	1.8	-5.5	12	11.2	9	—	—	—	—	—	—
November	604.0	595.6	26	614.1	4	-6.5	-0.7	-5.8	-4.7	-17.2	16	6.8	5	—	—	—	—	—	—
Dezember	603.6	587.9	15	611.8	9	-8.8	-3.5	-7.4	-6.8	-16.1	6	3.6	1	—	—	—	—	—	—
Jahr	607.8	587.9	XII	620.4	I	-0.1	6.7	0.8	2.1	-19.3	I	28.6	VII	—	—	—	—	—	—

Schuls

Beobachter: J. Stocker

Bewölkung				Niederschlag			Zahl der Tage								Windverteilung									1952
7^{30}	13^{30}	21^{30}	Mittel	Summe	Maximum	Tag	☽	☽≧1.0	✳	▲	K.	≡	heiter	trüb	N	NE	E	SE	S	SW	W	NW	Calmen	
5.3	6.0	4.3	5.2	34	7	10	8	7	8	—	—	—	7	5	2	1	—	—	—	—	3	—	87	Januar
6.5	5.4	6.4	6.1	44	14	12	10	10	10	—	—	—	8	13	—	1	—	—	1	2	—	1	82	Februar
7.0	5.5	5.6	6.0	47	7	29	14	11	7	—	—	3	4	12	1	—	7	1	1	7	1	1	74	März
5.6	5.6	5.2	5.5	25	18	1	5	4	2	—	—	—	4	8	—	2	7	1	5	8	2	—	63	April
5.3	5.8	6.9	6.0	22	6	24	8	7	—	—	—	—	2	7	2	2	11	1	—	9	7	6	55	Mai
4.6	5.3	4.9	4.9	58	23	13	10	10	—	—	—	—	6	5	3	3	3	2	2	9	6	2	60	Juni
3.3	4.3	5.1	4.2	69	16	28	14	12	—	—	2	—	7	3	—	1	13	1	3	7	3	1	64	Juli
5.1	5.5	4.0	4.9	119	29	16	16	15	—	—	—	4	8	5	—	—	5	—	1	2	2	2	81	August
7.8	5.4	6.1	6.4	109	25	8	13	12	2	—	1	1	5	4	—	1	3	—	3	5	2	—	76	September
7.4	6.7	5.5	6.5	119	26	25	15	15	2	—	—	4	4	13	—	1	2	—	—	4	2	—	84	Oktober
6.1	6.3	5.2	5.9	127	32	10	16	12	14	—	—	3	5	10	—	—	1	1	—	1	2	1	81	November
6.5	7.3	7.3	7.0	59	17	21	12	11	10	—	—	2	4	14	2	3	—	—	—	—	1	2	85	Dezember
5.9	5.8	5.5	5.7	832	32	XI	141	126	55	—	3	17	64	99	10	15	52	7	16	54	31	16	897	Jahr

Buffalora (Ofenpaß)

Beobachter: Ch. Waldburger

4.8	5.7	3.8	4.8	37	10	11	10	9	9	—	—	—	7	6	4	32	9	6	1	25	—	16	—	Januar
5.8	5.5	4.9	5.4	57	?	—	11	11	11	—	—	—	9	11	11	18	2	4	1	35	2	14	—	Februar
5.8	5.9	5.7	5.8	58	21	21	13	9	13	—	—	—	5	9	10	15	12	3	3	29	3	18	—	März
5.8	6.2	5.1	5.7	98	35	23	12	10	4	—	—	—	4	6	5	29	9	18	2	17	1	9	—	April
5.0	6.1	6.3	5.8	70	17	4	13	11	5	—	—	—	1	8	9	7	2	20	2	23	2	28	—	Mai
5.1	5.0	4.3	4.8	131	29	13	12	11	—	—	—	—	7	3	—	6	6	11	—	34	5	28	—	Juni
3.7	5.7	4.9	4.8	147	30	14	14	13	—	1	—	—	5	3	1	18	5	20	—	28	1	20	—	Juli
4.0	6.3	4.0	4.8	239	35	19	16	15	—	—	—	2	8	4	5	11	6	11	4	31	—	25	—	August
6.3	6.7	4.5	5.8	196	42	6	15	15	10	—	—	—	2	7	5	18	3	7	1	19	7	30	—	September
6.8	7.2	5.4	6.5	106	25	25	15	13	13	—	—	—	3	8	6	21	2	7	—	27	1	27	2	Oktober
5.6	6.5	4.9	5.7	135	38	10	12	12	12	—	—	—	3	7	6	23	—	10	1	25	—	22	3	November
5.3	5.4	4.6	5.1	52	16	21	12	10	12	—	—	—	6	7	5	36	—	4	1	33	—	13	1	Dezember
5.3	6.0	4.9	5.4	1326	42	IX	155	139	89	1	—	2	60	79	67	234	56	121	16	326	22	250	6	Jahr

Bever

Beobachter: B. Minsch u. C. Clavuot

5.8	6.0	5.8	5.9	30	7	19	9	8	9	—	—	—	4	9	—	4	2	—	1	9	6	1	70	Januar
5.3	5.9	4.2	5.1	19	6	13	11	9	11	—	—	1	10	8	5	10	1	1	—	7	3	2	58	Februar
6.0	5.5	5.5	5.7	44	16	29	10	10	8	—	—	—	3	8	1	4	1	1	1	12	5	5	63	März
5.8	5.8	5.2	5.6	62	41	1	5	5	2	—	—	—	2	6	—	3	—	—	1	14	3	3	66	April
5.2	6.5	6.3	6.0	45	17	4	9	7	—	—	—	2	2	8	1	13	2	—	3	16	4	4	50	Mai
5.2	5.6	4.5	5.1	72	19	13	11	8	—	—	4	1	4	6	4	4	2	—	8	9	6	3	54	Juni
4.2	4.6	4.9	4.6	94	23	5	13	10	—	1	4	9	7	4	1	2	—	—	2	17	4	3	64	Juli
5.7	5.2	4.8	5.2	151	21	20	14	13	—	—	1	4	5	8	2	3	1	3	9	11	5	4	55	August
7.2	5.8	5.5	6.1	125	41	11	13	11	6	—	—	5	4	11	2	6	—	3	6	17	8	1	47	September
7.1	6.9	5.3	6.4	146	37	25	13	11	7	—	—	2	3	12	1	3	1	1	1	15	10	2	59	Oktober
6.8	6.8	7.0	6.9	87	23	19	10	10	10	—	—	2	2	12	1	4	1	1	2	8	3	2	68	November
6.8	6.4	6.4	6.5	49	17	21	11	8	11	—	—	—	3	11	3	4	1	2	2	6	4	1	70	Dezember
5.9	5.9	5.5	5.8	924	41	IX	129	110	64	1	9	26	49	103	21	60	12	12	36	141	61	31	724	Jahr

St. Moritz

Beobachter: J. Tuena

5.0	5.3	4.3	4.9	20	5	31	12	8	12	—	—	—	10	7	—	16	—	—	—	18	9	2	48	Januar
5.4	4.6	3.9	4.6	15	8	13	6	4	6	—	—	—	11	9	7	19	—	—	—	4	5	—	52	Februar
5.7	4.3	4.9	5.0	45	13	29	11	9	11	—	—	—	5	9	5	16	—	—	—	32	4	—	36	März
5.5	5.2	4.1	4.9	108	64	1	8	6	2	—	—	1	6	7	2	15	—	—	—	33	5	2	33	April
5.2	6.5	5.5	5.7	40	19	4	10	7	2	—	—	—	4	8	6	29	2	—	—	33	—	3	20	Mai
5.3	5.2	4.3	4.9	71	18	15	12	11	—	—	—	1	7	6	—	12	1	—	—	34	—	1	42	Juni
3.3	4.0	4.1	3.8	84	21	28	13	11	—	—	3	3	10	3	3	18	1	—	—	29	1	—	41	Juli
4.9	4.6	4.2	4.6	114	23	20	13	12	—	—	1	—	11	6	—	16	—	—	—	35	2	—	40	August
6.8	5.6	4.0	5.5	110	25	11	14	13	6	—	—	—	6	10	1	11	—	—	1	24	—	2	51	September
6.4	6.5	4.9	5.9	135	36	20	10	10	6	—	—	—	3	8	2	10	—	—	—	18	7	—	56	Oktober
6.8	6.4	5.6	6.3	96	23	10	17	10	17	—	—	—	5	10	3	9	1	—	—	3	13	—	61	November
6.2	5.7	5.0	5.6	46	15	14	12	10	12	—	—	1	6	10	—	9	—	—	—	3	7	2	72	Dezember
5.5	5.3	4.6	5.1	884	64	IV	138	111	74	—	4	6	84	93	29	180	5	—	1	266	53	12	552	Jahr

Vicosoprano

$\lambda = 9° 37'$, $\beta = 46° 21'$, $H = ca\ 1065^m$, $G = -\ ^m/_m$, $h_r = 1.5^m$

1952	Luftdruck					Luft-Temperatur								Relative Feuchtigkeit					
	Mittel	Minimum	Tag	Maximum	Tag	7^{30}	13^{30}	21^{30}	Mittel	Minimum	Tag	Maximum	Tag	7^{30}	13^{30}	21^{30}	Mittel	Minimum	Tag
Januar	—	—	—	—	—	-2.7	-1.4	-2.4	-2.2	-8.6	21	7.1	8	56	52	57	55	28	12. 28
Februar	—	—	—	—	—	-1.1	2.6	-0.2	0.3	-6.9	11	11.5	22	44	37	45	42	22	24. 27
März	—	—	—	—	—	1.9	5.7	2.8	3.3	-3.7	15	13.1	5	64	51	64	60	21	27
April	—	—	—	—	—	6.7	11.7	7.4	8.3	-4.1	4	17.7	16	65	50	72	62	27	6
Mai	—	—	—	—	—	10.6	14.2	10.8	11.6	6.8	21	18.9	16	61	50	65	59	27	17
Juni	—	—	—	—	—	15.6	19.6	15.3	16.5	12.3	1	26.1	29	58	48	63	56	21	29
Juli	—	—	—	—	—	18.2	22.9	17.6	19.1	11.9	28	27.7	6	54	49	66	56	28	29
August	—	—	—	—	—	15.2	19.5	15.3	16.3	11.1	20	25.1	14	63	54	72	63	31	29
September	—	—	—	—	—	9.1	13.3	9.8	10.5	2.4	21	23.3	1	69	56	71	65	23	26
Oktober	—	—	—	—	—	5.7	9.5	6.4	7.0	1.9	13	15.1	7	71	57	69	66	22	15
November	—	—	—	—	—	-0.1	2.1	0.0	0.8	-5.9	16	9.9	3	66	57	64	62	27	9
Dezember	—	—	—	—	—	-1.6	0.2	-1.2	-0.9	-6.3	16	8.1	2	62	58	65	62	31	*)
Jahr	—	—	—	—	—	6.4	10.0	6.8	7.5	-8.6	I	27.7	VII	61	52	64	59	21	III VI

Vicosoprano: Die bisher angegebene Höhe von 1087 m gilt nur bis 1938. *) 3. 6. 10. 15. 16. 19.

Splügen-Dorf

$\lambda = 9° 19'$, $\beta = 46° 33'$, $H_b = ca\ 1504^m$, $G = -0.21\ ^m/_m$, $h_r = 0.8^m$

Januar	632.1	620.0	11	649.8	7	-8.1	-3.5	-8.0	-6.9	-18.0	21	4.0	9	87	67	84	79	43	29
Februar	633.5	618.1	1	644.0	21	-9.5	-2.4	-8.2	-7.1	-19.0	18	5.0	22. 25	88	65	89	81	36	29
März	632.7	621.1	29	635.1	1	-2.2	3.2	-1.4	-0.4	-11.4	15	9.4	24	85	62	85	77	30	15
April	637.1	620.6	1	644.3	8	3.9	8.7	3.3	4.8	-9.4	4	15.0	15. 16	79	59	88	75	39	16
Mai	637.8	629.0	4	643.1	23	7.8	11.6	6.3	8.0	1.0	23	19.0	30	71	57	82	70	35	18
Juni	640.2	634.6	15	646.3	30	13.3	15.5	10.4	12.4	7.4	21	24.0	30	72	59	84	72	30	30
Juli	640.8	632.0	28	646.2	1	14.8	20.5	12.9	15.3	8.0	19. 28	28.0	1. 2	71	49	84	68	28	2
August	639.1	630.7	19	643.6	13	11.2	16.6	11.7	12.8	3.0	21	25.0	13	82	60	86	76	33	28
September	636.7	625.6	27	643.2	23	5.5	9.1	4.4	5.9	-3.0	21	17.4	2	87	65	93	82	40	28
Oktober	636.3	628.0	14	642.6	8	2.6	6.2	2.1	3.3	-3.0	12. 27	11.4	24	88	71	91	83	42	9
November	632.7	623.0	26	643.3	4	-4.3	-0.4	-3.9	-2.1	-18.4	15	7.4	5	87	71	88	82	42	5
Dezember	632.2	617.1	14. 15	640.8	5	-6.2	-2.8	-5.9	-5.2	-17.0	16	4.2	1	86	73	86	82	50	10
Jahr	635.9	617.1	XII	649.8	I	2.4	6.9	2.0	3.3	-19.0	II	28.0	VII	82	63	87	77	28	VII

Braggio

$\lambda = 9° 7'$, $\beta = 46° 18'$, $H_b = 1332^m$, $G = -\ ^m/_m$, $h_r = 1.5^m$

Januar	—	—	—	—	—	-4.0	1.2	-3.5	-2.5	-10.5	21	12.7	8	63	53	59	58	30	29
Februar	—	—	—	—	—	-2.8	3.5	-2.1	-0.9	-7.7	10	11.7	23. 24	57	43	56	52	29	1
März	—	—	—	—	—	0.2	5.6	1.5	2.2	-5.9	15	12.1	23	74	58	70	67	29	14
April	—	—	—	—	—	5.4	10.4	5.8	6.9	-3.5	3	17.9	16	79	65	81	75	35	3
Mai	—	—	—	—	—	8.0	13.5	9.2	10.0	2.5	21	17.1	30	69	57	69	65	29	26
Juni	—	—	—	—	—	13.4	18.6	14.2	15.1	9.1	8	24.7	29. 30	71	60	75	69	32	29
Juli	—	—	—	—	—	16.0	21.6	16.2	17.5	9.5	28	28.7	6	73	59	75	69	34	6
August	—	—	—	—	—	13.9	19.9	15.2	16.1	9.3	25	25.7	13	78	65	78	73	35	29
September	—	—	—	—	—	7.2	12.8	8.0	9.0	1.1	20	23.9	3	81	67	79	76	36	20
Oktober	—	—	—	—	—	4.6	9.1	5.0	5.9	-0.3	12	12.3	7	76	63	76	72	?	—
November	—	—	—	—	—	-1.4	3.4	-0.8	0.1	-7.5	15. 16	8.7	4	71	59	71	67	28	1
Dezember	—	—	—	—	—	-2.8	2.6	-2.3	-1.2	-8.3	16	9.3	2	73	63	74	70	36	5
Jahr	—	—	—	—	—	4.8	10.2	5.5	6.5	-10.5	I	28.7	VII	72	59	72	68	28	XI

Tessin

Bosco-Gurin

$\lambda = 8° 30'$, $\beta = 46° 19'$, $H_b = ca\ 1510^m$, $G = -\ ^m/_m$, $h_r = 1.5^m$

Januar	—	—	—	—	—	-5.3	-3.2	-5.3	-4.8	-12.5	21	4.0	8	56	50	59	55	24	15
Februar	—	—	—	—	—	-3.8	0.1	-2.6	-2.2	-9.0	10. 19	8.0	29	52	42	50	48	30	6
März	—	—	—	—	—	-0.4	4.5	0.6	1.3	-6.7	16	8.8	25	70	54	64	63	30	13
April	—	—	—	—	—	4.5	9.7	5.0	6.1	-3.8	4	17.2	19	69	58	67	64	31	2
Mai	—	—	—	—	—	7.8	12.4	8.5	9.3	3.6	4	18.0	29	66	54	63	61	?	—
Juni	—	—	—	—	—	12.6	18.2	12.4	13.9	9.0	1	26.0	29	66	54	68	63	28	29
Juli	—	—	—	—	—	15.8	21.1	15.6	17.5	10.2	29	28.0	6	66	53	72	64	31	6. 29
August	—	—	—	—	—	13.0	18.1	12.9	14.2	5.9	21	25.0	13	71	60	76	69	28	28
September	—	—	—	—	—	6.7	11.3	7.4	8.2	1.0	21. 29	21.0	1	72	62	76	70	27	26
Oktober	—	—	—	—	—	3.5	8.1	4.2	5.0	-2.0	12	13.7	7	67	54	65	62	29	30
November	—	—	—	—	—	-2.6	0.4	-1.3	-1.2	-9.5	16	8.8	6	67	55	63	62	20	10
Dezember	—	—	—	—	—	-3.0	-1.3	-2.6	-2.4	-8.4	16	4.9	2	64	60	65	63	35	4. 22
Jahr	—	—	—	—	—	4.1	8.3	4.6	5.4	-12.5	1	28.0	VII	65	55	66	62	20	XI

Bosco-Gurin: A. Della Pietra † im Mai.

Beobachter: **H. Roffler**

Vicosoprano

Bewölkung				Niederschlag			Zahl der Tage								Windverteilung								1952
7^{30}	13^{30}	21^{30}	Mittel	Summe	Maximum	Tag	●	≧1.0	✳	▲	K.	≡	heiter	trüb	N	NE	E	SE	S	SW	W	NW	Calmen	
5.3	5.5	4.4	5.1	38	14	31	6	5	6	—	—	—	7	7	1	23	—	—	—	—	—	—	69	Januar
4.3	3.9	3.3	3.8	1	1	13	1	1	1	—	—	—	13	5	—	61	—	—	1	—	—	—	25	Februar
6.5	6.0	5.2	5.9	92	30	29	9	6	6	—	—	1	4	9	2	29	—	—	1	—	1	1	59	März
6.9	6.9	6.2	6.7	156	54	1	10	9	1	—	—	—	—	7	—	20	—	—	—	2	1	—	67	April
5.3	6.7	6.4	6.1	121	41	4	13	13	—	—	—	—	3	8	—	34	—	—	—	2	—	1	56	Mai
5.3	5.9	5.3	5.5	101	31	15	14	10	—	—	1	—	3	4	1	26	—	—	—	2	1	1	59	Juni
3.4	5.0	5.5	4.6	120	24	27	15	12	—	—	3	—	4	2	2	21	—	—	—	3	3	—	64	Juli
4.1	5.3	4.5	4.6	151	24	19	14	13	—	—	2	—	9	5	—	21	—	—	—	2	—	—	70	August
6.3	6.3	6.1	6.2	222	50	5	16	15	2	—	2	—	3	12	—	27	—	—	—	2	—	1	60	September
6.9	7.3	5.6	6.6	214	64	20	10	10	—	—	—	1	3	12	1	28	—	—	—	—	—	—	64	Oktober
3.7	3.7	5.7	4.4	110	45	19	10	8	9	—	—	—	3	11	—	31	—	—	—	—	—	—	59	November
5.9	6.0	6.1	6.0	57	18	14	7	7	6	—	—	—	3	8	—	37	—	—	—	—	—	1	55	Dezember
5.3	5.7	5.4	5.5	1383	64	X	125	109	31	—	8	2	55	91	7	358	—	—	2	13	6	5	707	Jahr

Beobachter: **J. Engi**

Splügen-Dorf

4.9	5.8	3.3	4.7	44	7	17	9	9	9	—	—	—	9	4	—	—	41	—	—	—	52	—	—	Januar
5.9	5.4	4.0	5.1	38	12	13	8	7	8	—	—	—	9	7	—	—	59	—	—	—	28	—	—	Februar
6.8	6.5	5.9	6.4	79	21	29	10	10	6	—	—	—	4	13	—	—	60	—	—	—	33	—	—	März
5.7	6.5	3.9	5.4	139	44	1	6	6	4	—	—	—	5	9	—	—	31	—	—	—	59	—	—	April
7.0	7.2	6.1	6.8	124	44	4	10	10	—	—	—	—	2	11	—	—	57	—	—	—	36	—	—	Mai
5.7	6.6	5.6	6.0	115	37	18	10	10	—	—	—	—	4	8	—	—	54	—	—	—	36	—	—	Juni
4.2	5.3	5.5	5.0	97	21	28	11	11	—	—	—	—	4	5	—	—	49	—	—	—	44	—	—	Juli
4.8	6.5	5.2	5.5	167	48	20	14	14	—	—	—	—	8	9	—	—	41	—	—	—	52	—	—	August
7.3	7.5	5.6	6.8	244	45	5	15	15	8	—	—	—	1	13	—	—	70	—	—	—	20	—	—	September
7.5	7.0	5.9	6.8	108	48	1	9	9	3	—	—	—	3	15	—	—	48	—	—	—	45	—	—	Oktober
6.5	7.9	5.9	6.8	174	38	10	10	10	9	—	—	—	3	10	—	—	40	—	—	—	50	—	—	November
5.9	6.5	4.5	5.6	51	21	21	9	9	9	—	—	—	6	9	—	—	27	—	—	—	47	—	19	Dezember
6.0	6.6	5.1	5.9	1440	48	VIII	121	120	56	—	—	—	58	113	—	—	577	—	—	—	502	—	19	Jahr

Beobachter: **M. Berera**

Braggio

5.3	4.7	3.7	4.6	23	9	24	7	4	7	—	—	5	9	8	6	6	3	1	—	—	—	—	77	Januar
5.2	3.4	2.8	3.8	4	4	13	1	1	1	—	—	—	10	4	5	11	5	4	—	1	1	9	51	Februar
5.7	6.5	4.7	5.6	76	31	30	5	3	3	—	—	8	7	11	6	9	—	12	7	2	—	2	55	März
7.4	8.0	5.1	6.8	212	81	1	7	7	—	—	2	1	1	11	1	1	1	20	3	4	—	—	60	April
6.0	6.6	5.8	6.1	177	40	5	11	10	—	—	—	4	4	9	9	9	3	9	5	2	—	5	51	Mai
5.0	6.0	5.4	5.5	132	?	—	9	8	—	—	3	2	5	6	5	4	2	11	16	2	—	—	50	Juni
4.2	4.8	4.5	4.5	144	46	21	9	9	—	—	6	2	8	4	4	3	4	9	7	1	—	—	65	Juli
5.1	5.6	4.5	5.1	147	?	—	12	12	—	—	3	4	9	9	2	3	4	15	14	2	—	—	53	August
6.4	6.7	5.3	6.1	236	60	5	13	13	2	—	—	8	3	9	4	5	9	14	8	2	—	3	45	September
6.7	7.0	4.7	6.1	158	56	20	6	6	—	—	—	7	5	11	3	8	6	7	1	2	—	1	65	Oktober
6.9	6.8	6.4	6.7	123	40	18	9	7	8	—	—	2	3	12	1	9	8	3	2	1	—	4	62	November
6.8	5.7	4.6	5.7	55	27	14	9	9	9	—	—	3	4	8	4	2	3	4	—	—	1	2	77	Dezember
5.9	6.0	4.8	5.6	1507	81	IV	98	89	30	—	14	46	68	103	30	70	48	109	63	19	2	26	711	Jahr

Tessin

Beobachter: **A. Della Pietra, Frau R. Della Pietra**

Bosco-Gurin

4.9	5.1	4.5	4.8	109	21	24	11	11	11	—	—	—	8	9	5	—	—	—	—	—	13	2	73	Januar
4.4	3.2	3.6	3.7	23	8	13	6	6	6	—	—	—	13	4	2	—	—	—	—	—	19	1	65	Februar
4.9	5.5	4.1	4.8	44	21	30	6	6	4	—	—	2	8	7	—	—	—	—	—	—	13	2	78	März
6.1	7.4	5.8	6.4	169	66	23	6	6	3	—	—	—	2	12	—	—	—	—	—	—	3	1	86	April
5.7	7.2	5.5	6.1	265	65	4	9	9	2	?	?	?	?	?	?	?	?	?	?	?	?	?	?	Mai
5.8	6.5	5.2	5.8	189	64	18	8	8	—	—	—	—	3	9	—	—	—	—	—	—	21	1	68	Juni
5.3	6.5	5.7	5.8	76	?	—	9	8	—	—	—	—	4	7	—	—	—	—	—	—	7	—	86	Juli
5.5	7.2	7.2	6.6	127	?	—	16	15	—	—	—	—	6	11	—	—	—	—	—	—	9	—	84	August
6.0	7.1	6.0	6.4	172	?	—	18	17	2	—	—	—	5	11	—	—	—	—	—	—	26	—	64	September
7.0	7.3	5.1	6.5	121	?	—	10	9	2	—	—	—	3	11	—	—	—	—	—	—	25	—	68	Oktober
6.7	7.9	6.3	7.0	222	54	18	11	11	11	—	—	—	2	13	—	—	—	—	—	—	14	—	76	November
6.5	6.6	5.6	6.2	96	23	13	8	8	8	—	—	—	4	10	—	—	—	—	—	—	16	—	77	Dezember
5.7	6.5	5.4	5.8	1613	?	—	118	114	49	—	—	—	—	—	—	—	—	—	—	—	—	—	—	Jahr

Bellinzona

$\lambda = 9^\circ 1'$, $\beta = 46^\circ 12'$, $H_b = 229.8^m$, $G = -0.02\ ^m/_m$, $h_r = 1.6^m$

1952	Luftdruck					Luft-Temperatur								Relative Feuchtigkeit					
	Mittel	Minimum	Tag	Maximum	Tag	7^{30}	13^{30}	21^{30}	Mittel	Minimum	Tag	Maximum	Tag	7^{30}	13^{30}	21^{30}	Mittel	Minimum	Tag
Januar	741.4	723.6	12	758.6	7	−0.9	4.1	0.2	0.9	−7.2	29	8.2	13	76	54	69	66	25	18
Februar	740.2	724.6	1	750.8	6	0.0	7.4	2.8	3.3	−5.1	1	15.3	21	74	45	64	61	24	21
März	739.3	728.3	30	750.7	8	5.4	11.2	7.3	7.8	−0.4	16	21.2	23	76	53	67	65	22	14
April	742.3	724.3	1	751.7	8	9.7	17.2	12.8	13.1	1.7	6	23.7	18	81	52	71	68	28	2
Mai	741.6	734.7	4	748.6	23	13.8	20.4	16.1	16.6	9.6	5	26.5	17	73	49	62	61	25	17
Juni	742.7	736.8	26	749.0	5	18.0	26.0	20.7	21.3	15.7	1	31.2	30	73	48	67	63	27	24
Juli	742.1	733.7	28	748.2	1	20.1	28.5	23.0	23.7	16.2	28	31.2	5	73	48	69	63	25	29
August	740.9	732.1	20	746.2	12	17.4	24.8	20.1	20.6	12.7	22	30.8	14	80	54	76	70	32	17
September	740.3	730.3	27	748.7	16	11.7	18.2	13.6	14.3	5.8	21	27.3	1	81	55	76	71	26	20
Oktober	741.3	732.7	31	744.4	28	7.6	14.7	9.7	10.4	4.2	9, 12	19.1	15	85	53	78	72	24	11., 12., 31.
November	739.5	728.0	26	749.8	5	3.0	8.3	4.2	4.9	−3.3	16	17.4	2	75	54	71	67	26	4
Dezember	739.6	722.1	15	749.4	7. 8	−0.1	4.2	1.5	1.8	−4.6	19	12.4	2	84	65	77	75	23	4
Jahr	740.9	722.1	XII	758.6	I	8.8	15.4	11.0	11.6	−7.2	I	34.2	VII	78	52	71	67	22	III

Locarno-Muralto

$\lambda = 8^\circ 48'$, $\beta = 46^\circ 10'$, $H_b = 238.7^m$, $G = 0.02\ ^m/_m$, $h_r = 1.2^m$

Januar	739.7	722.7	12	757.7	7	−0.1	4.5	1.0	1.6	−4.8	29	9.6	12	67	52	62	60	25	12., 13.
Februar	739.4	723.5	1	749.4	6	0.8	7.5	3.3	3.7	−3.6	1	12.0	21	66	44	56	55	25	6
März	738.7	727.3	30	749.4	8	5.5	11.5	7.6	8.0	0.4	9	22.0	23	72	50	61	61	19	14
April	741.6	723.8	1	750.9	7	10.5	16.3	12.6	13.0	3.6	6	23.0	17	78	52	60	65	34	3
Mai	740.9	733.9	4	747.8	23	14.0	19.7	14.9	15.9	9.0	5	27.4	17	73	50	64	63	24	17
Juni	742.1	735.5	26	748.9	5	18.2	24.4	19.5	20.4	15.6	1	29.0	30	75	50	70	65	30	21., 24.
Juli	741.5	733.0	28	747.4	1	20.9	27.5	22.0	23.1	15.4	29	32.8	6	75	48	69	64	28	29
August	740.2	732.1	20	745.6	23	18.3	24.3	19.7	20.5	13.8	22	30.4	14	81	54	74	70	30	18
September	739.7	729.5	27	747.9	16	12.1	17.8	13.3	14.4	7.0	21	26.2	1, 3	82	55	75	71	31	9
Oktober	740.4	731.7	31	748.4	28	8.3	14.1	10.0	10.6	4.8	12	18.0	8	83	56	75	71	25	31
November	738.8	728.1	26	749.0	5	3.5	8.1	4.8	5.3	−1.6	16	15.0	4	69	57	67	64	28	9
Dezember	739.0	720.6	15	748.6	10	1.2	4.8	2.3	2.6	−2.0	17	10.8	2	76	69	72	72	35	4
Jahr	740.2	720.6	XII	757.7	I	9.4	15.0	10.9	11.6	−4.8	I	32.8	VII	75	53	68	65	19	III

Locarno-Monti

$\lambda = 8^\circ 48'$, $\beta = 46^\circ 10'$, $H_b = 378.9^m$, $G = -0.01\ ^m/_m$, $h_r = 1.2^m$

Januar	726.9	710.4	12	744.6	7	0.3	3.9	1.5	1.8	−4.4	29	8.6	12	62	55	57	58	26	1
Februar	726.7	710.9	1	736.6	6	1.3	6.7	4.0	4.0	−3.4	1	12.6	21	60	47	53	53	26	6
März	726.1	715.2	30	738.5	8	5.6	10.2	7.5	7.7	−0.5	9	20.6	23	71	56	62	63	21	14
April	729.3	711.5	1	738.3	7	10.3	15.4	13.0	12.9	3.0	6	21.8	16	73	56	61	63	30	3
Mai	728.7	721.8	4	735.4	23	13.6	18.1	15.9	15.9	9.2	4	25.4	17	70	55	55	60	26	12., 17.
Juni	730.0	724.6	26	736.2	5	18.0	22.9	20.3	20.4	15.2	1	27.0	30	72	55	60	62	32	26
Juli	729.6	721.0	28	735.6	1	20.7	26.0	23.0	23.2	15.8	28	30.8	6	70	51	58	60	29	23
August	728.3	720.4	20	733.5	12	18.1	23.1	20.4	20.5	14.4	25	28.7	14	76	57	64	66	31	17
September	727.4	717.2	27	735.3	16	12.3	16.5	14.0	14.2	7.0	21	24.5	2	75	60	66	67	29	27
Oktober	728.1	718.8	31	736.0	28	8.6	13.1	10.6	10.7	5.9	12	17.0	8	75	61	66	67	20	31
November	726.2	715.1	26	736.3	5	3.8	7.4	4.9	5.3	−1.5	16	14.4	4	61	56	61	59	28	9
Dezember	726.2	708.5	15	735.6	8	1.4	4.4	2.2	2.7	−3.3	17	11.1	2	71	65	68	68	22	3
Jahr	727.8	708.5	XII	744.6	I	9.5	14.0	11.5	11.6	−4.4	I	30.8	VII	70	56	61	62	20	X

Lugano

$\lambda = 8^\circ 57'$, $\beta = 46^\circ 0'$, $H_b = 276.2^m$, $G = -0.01\ ^m/_m$, $h_r = 1.7^m$

Januar	736.0	719.2	12	754.2	7	−0.6	6.5	0.5	1.7	−5.4	29	11.6	12	61	49	55	52	13	12., 13.
Februar	735.8	720.2	1	745.7	21	0.0	9.2	3.0	3.8	−2.8	11	13.2	25	66	35	58	53	12	6
März	735.2	724.2	30	746.4	8	4.8	13.0	7.1	8.0	−1.4	9	26.4	23	80	53	71	68	22	26
April	738.2	720.2	1	747.6	7. 8	9.5	17.1	12.1	12.7	2.2	6	25.0	18	89	59	78	75	38	2
Mai	737.6	730.4	4	744.5	23	13.5	20.1	15.8	16.3	9.8	4	27.2	17	79	58	71	69	20	17
Juni	738.8	733.0	26	744.9	5	18.0	25.1	20.3	20.9	16.0	1, 10	30.8	30	81	59	74	71	33	26
Juli	738.3	729.5	28	745.0	4	20.6	28.9	22.9	23.8	15.8	29	33.8	6	77	55	73	68	33	29
August	736.9	728.9	20	742.4	23	17.4	25.6	20.2	20.9	11.4	22	31.0	14	84	60	78	74	36	17
September	736.2	725.4	27	744.4	16	12.4	19.3	14.1	15.0	7.6	28	27.4	1, 2	84	61	78	74	29	19
Oktober	737.1	728.3	31	745.2	28	8.3	15.5	10.3	11.1	4.6	12	19.6	15	90	60	83	78	27	8.11.31
November	735.1	723.8	26	745.5	5	3.7	10.5	5.0	6.0	−2.2	16	18.4	4	76	51	73	68	26	9
Dezember	735.3	717.3	15	744.9	8	1.1	6.4	2.1	2.9	−3.0	18	13.6	2	83	62	80	75	25	4
Jahr	736.7	717.3	XII	754.2	I	9.1	16.4	11.1	11.9	−5.4	I	33.8	VII	79	55	73	69	12	II

Bellinzona

Beobachter: A. Lienhard

Bewölkung				Niederschlag			Zahl der Tage								Windverteilung									1952
7^{30}	13^{30}	21^{30}	Mittel	Summe	Maximum Tag		●	●* ≥1.0	*	▲	↯	≡	heiter	trüb	N	NE	E	SE	S	SW	W	NW	Calmen	
4.9	5.1	4.1	4.7	24	12	24	4	3	3	—	—	3	11	10	12	16	—	—	3	—	—	1	61	Januar
4.2	4.0	3.1	3.8	2	2	13	1	1	—	—	—	1	11	4	15	15	—	1	9	—	—	—	47	Februar
6.4	5.5	5.3	5.7	58	25	29	6	5	1	—	—	6	4	11	13	14	—	—	25	4	—	—	37	März
6.5	7.3	4.7	6.2	254	104	1	9	8	—	1	2	5	2	10	3	17	—	—	22	10	—	—	38	April
5.8	6.5	5.3	5.9	193	54	4	10	9	—	—	3	4	4	10	18	21	—	—	18	17	—	—	19	Mai
5.3	5.5	5.2	5.3	114	54	17	13	9	—	—	7	—	4	8	20	12	—	—	29	3	—	—	26	Juni
4.5	3.8	2.5	3.6	191	90	14	11	11	—	—	7	—	8	2	18	11	—	—	24	8	—	—	32	Juli
5.4	5.4	3.1	4.6	145	30	9	13	12	—	—	5	2	8	7	23	13	—	—	24	7	—	—	26	August
5.9	5.6	6.3	5.9	289	70	6	18	17	—	—	3	2	5	10	24	18	—	—	17	7	—	—	24	September
6.5	6.3	4.2	5.7	163	53	1	12	7	—	—	1	6	2	9	15	12	—	—	13	8	—	—	45	Oktober
6.0	6.9	5.5	6.1	104	42	19	10	6	3	—	1	7	5	11	20	20	—	—	6	5	—	—	39	November
6.1	5.9	6.6	6.2	52	16	14	12	11	5	—	—	12	2	10	13	16	1	—	5	2	—	—	56	Dezember
5.6	5.6	4.7	5.3	1589	104	IV	119	99	12	1	29	48	66	102	194	185	1	1	195	71	—	1	450	Jahr

Locarno-Muralto

Beobachter: Frau A. Mariani

3.9	3.7	3.3	3.6	31	17	24	4	3	4	—	—	—	14	5	2	—	—	1	4	—	1	—	85	Januar
3.1	2.3	1.1	2.2	6	6	13	1	1	—	—	—	—	18	1	1	—	1	1	1	1	—	—	82	Februar
5.4	4.2	3.9	4.5	69	30	29	4	4	—	—	—	1	11	8	3	—	—	—	6	—	7	—	77	März
5.9	5.7	5.2	5.6	313	88	23	9	8	—	—	—	—	3	7	—	—	1	—	3	4	4	—	78	April
5.2	5.1	5.1	5.1	230	44	4	12	11	—	—	4	—	10	9	2	—	2	—	4	—	8	2	75	Mai
4.5	4.1	4.6	4.4	162	64	17	12	10	—	—	4	—	6	4	1	—	—	1	4	4	6	1	73	Juni
3.8	3.0	4.5	3.8	113	36	8	9	8	—	—	6	—	8	2	1	—	—	—	2	2	3	1	84	Juli
4.5	4.4	4.1	4.3	103	25	9	11	11	—	—	2	—	9	5	—	—	1	2	5	1	5	—	79	August
5.4	4.8	5.4	5.2	443	114	5	16	16	—	—	3	—	8	10	—	1	1	—	4	—	3	—	81	September
5.3	4.9	4.2	4.8	116	33	25	8	7	—	—	—	—	8	9	1	—	1	1	1	—	2	—	87	Oktober
5.1	5.5	5.1	5.2	114	56	18	7	7	3	—	—	—	6	7	—	—	2	1	—	—	1	—	86	November
5.7	4.7	4.0	4.8	44	18	14	11	10	4	—	—	—	9	8	1	—	—	1	—	—	—	—	91	Dezember
4.8	4.4	4.2	4.5	1744	114	IX	104	96	11	—	19	1	110	75	12	1	9	8	34	12	40	4	978	Jahr

Locarno-Monti

Beobachter: Osservatorio Meteorologico Ticinese

4.9	5.1	4.0	4.7	29	17	24	4	3	4	—	—	3	9	9	27	5	9	6	6	7	12	16	5	Januar
4.3	3.7	2.2	3.4	4	4	13	1	1	1	—	—	—	11	3	27	8	5	5	3	10	6	15	8	Februar
6.3	5.5	3.8	5.2	66	28	29	4	4	—	—		3	9	10	13	6	5	1	3	24	9	17	15	März
6.6	6.6	5.9	6.4	299	77	23	8	8	—	—	2	3	1	11	7	11	8	3	2	18	12	7	22	April
5.8	6.2	5.5	5.8	217	46	4	11	11	—	1	3	4	2	10	3	6	14	6	6	12	17	11	18	Mai
5.4	5.4	5.9	5.6	128	65	12	12	9	—	2	5	—	3	7	11	4	6	7	4	18	9	12	19	Juni
4.9	3.8	4.8	4.5	97	37	13	9	8	—	—	6	—	7	1	8	6	4	5	4	16	9	7	34	Juli
5.4	5.3	3.6	4.8	101	22	9	12	11	—	1	4	1	7	5	10	7	6	6	5	10	12	8	29	August
5.6	5.4	5.5	5.5	444	123	6	16	16	—	—	2	5	4	10	7	8	8	4	5	5	6	9	38	September
6.7	5.6	4.0	5.4	120	39	20	8	7	—	—	1	4	6	8	10	6	6	7	2	7	9	11	35	Oktober
5.6	6.4	5.4	5.8	116	53	18	7	7	3	—	1	1	7	7	22	5	10	8	—	1	7	7	30	November
6.7	5.8	5.0	5.8	44	16	14	10	10	8	—	—	4	2	6	21	6	10	7	2	2	6	8	31	Dezember
5.7	5.4	4.6	5.2	1665	123	IX	102	95	16	4	24	28	68	87	166	78	91	65	42	130	114	128	284	Jahr

Lugano

Beobachter: G. Vicari

4.8	4.2	3.6	4.2	33	17	24	4	4	4		—	—	10	8	49	3	3	3	12	—	11	10	2	Januar
4.4	2.8	3.1	3.4	8	8	13	1	1	—	—	—	1	11	3	43	4	8	7	13	—	4	6	2	Februar
5.8	4.4	4.3	4.8	55	23	29	5	4	—	—	—	1	8	9	36	2	2	—	32	1	7	9	4	März
6.4	6.3	5.9	6.2	296	92	23	15	11	—	—	2	1	3	11	26	5	9	2	29	3	7	4	5	April
5.3	5.4	4.9	5.2	278	78	4	12	10	—	—	6	—	8	7	28	5	5	4	28	2	7	9	5	Mai
5.2	4.5	4.6	4.8	114	27	15	15	13	—	—	5	—	8	3	35	5	3	1	33	3	4	2	4	Juni
3.9	3.1	3.6	3.5	94	28	27	12	9	—	—	4	—	10	2	49	4	4	2	26	2	2	2	2	Juli
5.0	4.2	3.1	4.1	217	79	30	14	12	—	—	6	—	11	7	54	4	4	3	21	—	3	4	—	August
4.8	4.7	4.5	4.7	231	107	5	14	13	—	—	2	—	10	8	55	1	3	1	15	3	5	7	—	September
5.4	4.8	4.4	4.9	139	42	20	9	7	—	1	1	—	8	8	51	3	1	4	18	—	9	5	2	Oktober
5.1	5.4	4.9	5.1	83	46	19	9	4	2	—	1	—	8	8	59	2	4	2	11	—	8	2	2	November
6.7	5.5	5.6	5.9	41	20	14	9	7	6	—	—	1	5	12	54	1	—	2	16	1	6	6	7	Dezember
5.2	4.6	4.4	4.7	1589	107	IX	119	95	12	1	27	4	100	86	539	39	46	31	254	15	73	66	35	Jahr

Muri (Aargau)

$\lambda = 8°20'$, $\beta = 47°16'$, $H_b = 483^m$, $h_r = 0.9^m$

Beobachter: E. Hunzinger

1952	Luft-Temperatur							Relative Feuchtigkeit						Bewölkung				Niederschlag		Zahl der Tage							
	7^{30}	13^{30}	21^{30}	Mittel	Minimum	Tag	Maximum Tag	7^{30}	13^{30}	21^{30}	Mittel	Minim.	Tag	7^{30}	13^{30}	21^{30}	Mitt.	Summe	Maxim. Tag	●	●≥1.0	✳	▲	≡	hell	trüb
Jan.	−1.9	1.1	−1.6	−1.0	−11.2	28.29	8.4	1	90	78	89	86	53	2	8.5	7.6	8.4	8.2	61	22	11	17	9	12	—	—	3	—	23
Febr.	−3.0	0.7	−2.0	−1.6	−10.2	6	5.2	21	90	78	90	86	56	1	9.9	7.6	7.0	8.2	77	18	12	12	8	10	—	—	7	—	17
März	2.3	8.4	5.0	5.2	−3.6	15	16.2	31	94	71	87	84	44	17	8.2	6.9	7.6	7.6	105	17	22	17	14	3	—	—	6	1	15
April	7.5	15.1	9.3	10.3	−3.2	3	22.2	30	91	59	81	77	34	12	5.5	5.5	4.5	5.2	87	31	1	7	6	1	—	—	1	7	6
Mai	11.3	18.9	12.9	14.0	6.2	21	24.7	31	84	51	78	71	39	18	6.3	5.9	5.7	6.0	64	25	11	12	10	—	—	6	1	3	10
Juni	15.1	21.7	16.1	17.2	11.4	7	30.2	30	85	58	82	75	36	30	5.3	5.5	5.2	5.3	100	21	6	13	12	—	—	5	1	8	11
Juli	17.5	25.5	19.5	20.5	11.2	29	32.8	5	83	52	75	70	36	18.23	4.0	3.7	4.2	4.0	41	19	28	6	4	—	—	3	1	9	4
Aug.	15.6	23.7	17.1	18.4	10.0	22	31.0	14	91	53	83	76	31	6	5.6	5.5	5.0	5.4	95	18	16	15	13	—	1	4	4	7	6
Sept.	9.5	14.9	10.8	11.5	2.2	21	22.9	1	92	67	87	82	51	3.28	8.0	7.3	6.8	7.4	93	11	11	17	16	—	—	2	2	2	16
Okt.	7.1	10.9	8.2	8.6	0.4	13	16.2	24	92	75	89	85	55	30	9.2	8.5	7.0	8.2	161	32	25	24	17	—	—	—	8	—	18
Nov.	1.9	5.2	2.7	3.1	−3.4	15	13.0	28	91	79	89	86	58	1	8.7	8.2	6.3	7.7	131	40	10	20	15	9	—	—	6	—	15
Dez.	0.2	1.6	0.1	0.5	−5.6	10	9.8	1	88	83	87	86	59	13	9.9	9.3	8.5	9.2	302	30	1	16	15	8	—	—	6	—	26
Jahr	6.9	12.3	8.2	8.9	−11.2	I	32.8	VII	89	67	85	80	31	VIII	7.4	6.8	6.4	6.9	1117	40	XI	176	139	43	1	20	46	37	167

Rorschach

$\lambda = 9°30'$, $\beta = 47°29'$, $H_b = 455^m$, $h_r = 1.4^m$

Beobachter: Seminar: J. Schenk

Jan.	0.0	1.9	−0.3	0.3	−7.2	29	9.5	11	81	75	80	79	48	10	8.2	6.4	6.7	7.1	73	18	11	16	14	8	—	—	2	2	17
Febr.	−1.7	0.9	−1.3	−0.8	−7.0	18	6.2	21	90	76	86	84	52	2	9.3	7.4	6.7	7.8	116	22	3	17	15	13	—	—	4	1	17
März	3.0	7.3	4.9	5.0	−5.4	15	13.4	31	90	74	63	76	32	15	8.3	5.9	6.6	6.9	113	17	22	15	14	—	—	—	3	2	14
April	8.2	13.3	10.3	10.5	−2.6	2	18.9	14.15	83	61	70	71	32	12	5.1	4.9	4.5	4.8	66	17	23	11	9	2	—	—	1	10	10
Mai	11.1	16.9	12.3	13.1	5.0	21	23.7	31	82	48	73	68	34	29	9.2	5.4	6.1	5.9	77	13	11	15	13	—	—	—	—	5	8
Juni	15.9	20.2	16.1	17.1	11.6	8	26.2	30	79	58	72	70	36	30	5.3	5.2	5.4	5.3	178	34	7	15	14	—	—	1	—	9	9
Juli	18.4	23.6	19.5	20.2	12.6	28.29	29.8	3.5	74	50	66	63	34	30.31	4.1	3.6	4.6	4.1	57	28	9	7	5	—	—	—	—	9	4
Aug.	16.7	22.4	18.4	19.0	10.8	23	29.5	14	83	52	69	68	32	9	5.2	4.2	5.3	4.9	83	11	9	15	14	—	—	—	—	10	8
Sept.	10.4	14.3	10.8	11.6	4.8	21	20.8	3	86	64	79	76	42	28	7.7	6.8	6.3	6.9	113	17	6.12	20	17	—	—	—	—	2	14
Okt.	7.4	10.5	8.3	8.6	1.7	13	16.6	24	88	70	85	81	45	14	8.4	8.1	7.8	8.1	170	20	25	25	24	—	—	—	6	—	19
Nov.	2.7	4.8	3.3	3.5	−4.8	16	13.6	28	85	74	79	79	31	20	8.8	7.9	7.5	8.1	161	24	25	20	19	3	—	—	7	—	18
Dez.	0.5	1.7	0.5	0.8	−4.8	9	11.3	1	83	76	81	80	46	16	9.5	8.9	9.2	9.2	113	26	1	16	13	5	—	—	13	—	27
Jahr	7.7	11.5	8.6	9.1	−7.2	I	29.8	VII	84	65	75	75	31	XI	7.2	6.2	6.4	6.6	1320	34	VI	192	171	31	—	1	36	50	165

Schwäbrig (ob Gais)

$\lambda = 9°29'$, $\beta = 47°23'$, $H_b = 1156^m$, $h_r = 1.7^m$

Beobachter: Frl. D. Hofstetter
Frl. H. Hugentobler

Jan.	−3.8	−2.0	−3.6	−3.2	−10.8	22	6.0	30	—	—	—	—	—	—	7.1	7.1	5.7	6.6	130	21	11	18	18	18	—	—	—	3	12
Febr.	−5.1	−2.8	−4.6	−4.3	−10.4	15	5.0	23	—	—	—	—	—	—	7.3	7.1	6.4	6.9	204	34	3	14	14	14	—	—	4	5	14
März	1.3	3.3	1.8	2.1	−8.2	14	12.0	29	—	—	—	—	—	—	7.3	7.0	5.9	6.7	201	?	—	16	16	8	1	—	2	3	12
April	6.0	9.3	6.2	6.9	7.4	2	16.4	12.15	—	—	—	—	—	—	5.0	6.9	3.9	5.0	57	14	23	11	9	2	—	1	7	9	7
Mai	8.4	12.2	8.3	9.3	1.6	21	19.0	31	—	—	—	—	—	—	5.5	5.4	5.2	5.4	119	20	24	13	11	—	—	1	—	4	6
Juni	12.9	15.8	12.4	13.4	8.0	7	25.0	29	—	—	—	—	—	—	5.7	6.1	5.0	5.6	213	49	13	13	13	—	1	3	5	6	7
Juli	16.3	19.6	15.9	16.9	8.4	28	27.6	2	—	—	—	—	—	—	4.0	4.9	5.1	4.7	69	24	9	8	6	—	—	—	4	6	3
Aug.	14.1	18.2	14.2	15.2	7.4	22	27.2	14	—	—	—	—	—	—	5.3	5.5	3.2	4.7	121	29	9	15	15	—	—	3	4	9	6
Sept.	6.2	9.7	6.6	7.3	−1.0	19	16.0	1	—	—	—	—	—	—	7.1	8.3	6.3	7.2	156	24	11	18	18	1	1	2	7	3	14
Okt.	4.5	6.7	5.2	5.4	−1.2	12	13.0	20.28	—	—	—	—	—	—	7.6	7.7	7.7	7.7	218	24	25	25	24	7	—	—	4	4	17
Nov.	−0.6	0.6	−0.5	−0.2	−8.8	15.16	10.0	30	—	—	—	—	—	—	8.2	8.1	6.9	7.7	266	46	10	21	20	16	—	—	1	1	16
Dez.	−2.8	2.0	−3.1	−2.7	−9.8	9	6.2	1	—	—	—	—	—	—	8.1	8.2	7.8	8.0	174	36	1	19	17	16	—	—	4	1	18
Jahr	4.8	7.4	4.9	5.5	−10.8	I	27.6	VII	—	—	—	—	—	—	6.5	6.9	5.8	6.4	1928	?	—	191	180	82	3	10	42	54	132

Schwäbrig. Beobachterwechsel am 1. Mai

Ebnat

$\lambda = 9°8'$, $\beta = 47°16'$, $H_b = 649^m$, $h_r = 1.9^m$

Beobachter: Frl. M. Kuratle

Jan.	−4.5	−0.2	−3.4	−2.9	−16.2	23	7.2	9	91	78	91	87	54	9	6.4	6.5	6.3	6.4	157	34	11	17	15	14	—	—	—	3	10
Febr.	−4.8	0.5	−3.8	−3.0	−13.6	15	7.2	29	88	73	92	84	50	26	8.1	6.4	6.5	7.0	181	31	12	15	13	13	—	—	—	5	14
März	1.0	7.2	2.5	3.3	−9.0	15	14.2	31	94	70	84	83	40	12	7.2	6.4	6.5	6.7	129	27	25	16	16	2	—	—	—	2	12
April	6.9	13.8	7.5	8.9	−6.0	3	20.6	13.19	81	66	87	78	?	—	5.1	5.3	4.7	5.0	37	12	1	9	8	1	—	1	—	3	7
Mai	12.8	16.3	11.1	12.8	7.2	22.23	25.0	31	72	57	84	71	36	31	4.4	4.6	4.9	4.6	70	18	11	12	12	—	—	—	—	5	3
Juni	16.5	20.0	14.7	16.5	10.4	8	25.0	6	74	59	86	73	40	6	4.7	4.9	4.6	4.7	151	32	7	10	10	—	—	2	—	9	5
Juli	19.9	23.4	17.2	19.4	10.0	17	32.0	2.4	66	60	85	70	32	2	2.9	3.7	4.5	3.7	68	22	9	8	8	—	—	—	—	9	1
Aug.	15.6	21.8	15.4	17.1	8.6	23	29.8	14	82	58	87	76	32	5	4.5	4.3	5.3	4.7	98	20	9	15	14	—	—	1	—	9	6
Sept.	8.4	13.1	9.4	10.1	2.4	21	22.2	2	94	70	92	85	50	21	7.2	6.6	7.0	6.9	161	29	5	18	17	—	—	—	—	1	13
Okt.	6.1	10.5	6.8	7.5	−0.6	13	17.2	28	94	75	94	88	48	28	7.4	7.5	7.7	7.5	221	29	14	24	21	—	—	—	2	1	12
Nov.	−0.3	3.1	0.5	0.9	−10.2	18	12.4	5	94	81	92	89	40	5.20	7.1	7.3	7.6	7.3	239	49	10	20	20	10	—	—	—	2	15
Dez.	−2.6	0.0	−2.1	−1.7	−9.0	31	7.0	1	93	86	92	90	60	26	7.9	7.7	8.1	7.9	219	30	1	19	19	13	—	—	—	—	19
Jahr	6.2	10.8	6.3	7.4	−16.2	I	32.0	VII	84	69	89	81	32	VII VIII	6.1	5.9	6.1	6.0	1731	49	XI	183	173	53	—	4	2	49	117

Ebnat: Temperatur und Feuchtigkeit vom Mai bis August infolge Besonnung um 7.30 h gestört.

Wald (Faltigberg)

$\lambda = 8°56', \beta = 47°16', H = 912^m, h_r = 6.7^m$

Beobachter: Sanatorium

1952	Luft-Temperatur								Relative Feuchtigkeit						Bewölkung				Niederschlag		Zahl der Tage							
	7^{30}	13^{30}	21^{30}	Mittel	Minimum	Tag	Maximum	Tag	7^{30}	13^{30}	21^{30}	Mittel	Minim.	Tag	7^{30}	13^{30}	21^{30}	Mitt.	Summe	Maxim. Tag	● *	●* ≥1.0	*	▲	⛆	=	helle	trübe
Jan.	−2.5	−0.8	−2.4	−2.0	−9.0	22	5.4	8	69	65	72	69	29	8	7.0	6.7	5.9	6.5	163	30	11	19	18	18	—	—	5	3	12
Febr.	−3.3	−1.2	−2.3	−2.3	−7.8	17	5.4	23	77	68	75	73	29	23	6.6	6.9	5.8	6.4	197	41	12	16	14	16	—	—	4	7	12
März	3.0	5.6	4.1	4.2	−4.0	15	11.6	31	65	57	59	60	15	3	7.0	7.0	6.5	6.8	157	26	22	19	14	15	—	—	5	3	14
April	7.4	12.0	9.2	9.4	−4.2	2	18.4	12	50	39	43	44	4	12	4.6	5.2	4.0	4.6	61	15	23	10	7	2	—	—	4	9	7
Mai	10.0	15.0	11.6	12.0	3.9	22	22.7	31	53	33	41	42	12	18	5.3	5.6	4.5	5.1	84	23	11	14	10	—	—	1	1	4	6
Juni	13.9	18.2	15.1	15.6	9.4	8	25.0	30	59	40	50	50	15	29.30	5.4	5.3	4.9	5.2	200	56	7	14	11	—	—	3	2	9	8
Juli	16.8	21.6	19.0	19.1	10.8	29	28.8	5	50	37	40	42	17	2	3.4	4.2	4.1	3.9	83	30	9	9	9	—	—	—	—	11	4
Aug.	15.3	20.3	16.9	17.4	9.6	22	27.6	14	60	38	49	49	15	6	4.5	5.0	4.4	4.6	155	26	31	17	15	—	—	—	—	8	8
Sept.	8.4	11.8	9.2	9.6	2.0	19	18.6	2	81	58	71	70	30	10.13	7.9	7.7	6.8	7.5	177	26	5	20	20	1	—	—	3	1	15
Okt.	6.4	8.8	7.2	7.4	1.2	12.31	14.2	22	77	64	67	73	15	28	7.4	7.9	8.4	7.9	262	32	25	27	23	3	—	—	7	2	17
Nov.	0.9	2.5	1.4	1.5	−5.8	16	10.0	30	77	67	71	72	18	20	7.7	7.3	6.9	7.3	304	32	25	21	20	15	—	—	7	2	12
Dez.	−1.4	−0.5	−1.2	−1.0	−6.8	6	8.2	1	76	77	80	78	27	31	8.1	8.2	8.3	8.2	230	51	1	21	19	16	—	—	5	2	21
Jahr	6.2	9.4	7.3	7.6	−9.0	I	28.8	VII	66	54	60	60	4	IV	6.2	6.5	5.9	6.2	2073	56	VI	207	180	86	—	4	43	61	136

Braunwald (ob Linthal)

$\lambda = 9°0', \beta = 46°56', H_b = 1189^m, h_r = 1.5^m$

Beobachter: Sanatorium

Jan.	−4.0	−0.8	−3.6	−3.0	−12.4	21	3.8	31	73	67	76	72	36	31	4.9	5.7	4.9	5.2	233	58	11	19	17	19	—	—	3	9	9
Febr.	−5.0	−0.9	−4.2	−3.6	−11.6	6	7.0	23	77	67	77	74	36	23	6.0	6.2	5.3	5.8	227	35	3	15	14	15	—	—	6	9	13
März	0.7	5.0	1.5	2.2	−7.6	15	12.0	29	78	63	74	71	30	15	7.0	6.1	6.3	6.5	232	56	22	17	14	11	—	—	3	4	13
April	4.2	10.1	5.7	6.4	−8.4	4	17.1	18	69	55	68	64	25	12	4.5	5.3	4.6	4.8	58	15	23	10	8	2	—	—	8	7	10
Mai	7.8	13.3	8.8	9.7	0.6	21	21.0	31	72	52	67	64	34	8	5.5	6.4	6.5	6.2	82	23	24	13	10	—	—	—	6	1	9
Juni	12.5	17.4	12.6	13.8	8.0	8	25.0	30	73	60	75	69	40	29	5.0	5.9	6.5	5.8	167	36	7	15	13	—	—	2	7	5	10
Juli	14.3	19.8	15.1	16.1	8.8	30	25.3	6	74	59	74	69	35	2	4.1	5.2	5.1	4.8	191	31	7	13	12	—	—	6	3	8	7
Aug.	12.9	17.7	13.9	14.6	5.9	22	26.5	14	74	62	74	70	32	14	4.0	5.3	5.2	4.8	158	24	9	17	17	—	—	3	3	9	9
Sept.	6.4	11.1	7.1	7.9	0.4	20	18.2	2	82	70	81	78	34	30	7.0	7.4	7.0	7.1	179	33	11	21	15	2	—	—	10	2	15
Okt.	4.5	7.9	5.4	5.8	−2.0	12	13.8	24	83	70	80	78	23	15	6.2	8.0	7.0	7.1	253	36	1	24	24	9	—	—	7	3	15
Nov.	−1.0	2.0	−0.2	0.2	−9.4	16	7.0	5.27	81	69	80	77	35	21	7.2	7.5	7.5	7.4	482	105	10	19	18	13	—	—	1	1	14
Dez.	−2.9	−0.6	−2.9	−2.3	−8.8	6	4.6	13	76	73	75	75	41	13	6.9	7.2	5.5	6.5	215	31	17	15	14	14	—	—	2	6	14
Jahr	4.2	8.5	4.9	5.6	−12.4	I	26.5	VIII	76	64	75	72	23	X	5.7	6.3	6.0	6.0	2477	105	XI	198	176	85	—	11	59	64	138

Walenstadtberg

$\lambda = 9°18', \beta = 47°08', H = \text{ca. } 982^m, h_r = 1.8^m$

Beobachter: Sanatorium

Jan.	−2.9	0.1	−2.3	−1.9	−10.0	22	5.2	9	72	62	73	69	33	8 20.31	6.1	6.1	4.9	5.7	206	46	11	19	18	19	—	1	10	5	8
Febr.	−3.4	0.5	−1.9	−1.7	−9.4	18	6.9	22	78	69	78	75	50	2	6.3	6.1	5.5	6.0	294	49	12	14	14	13	—	—	—	9	14
März	2.3	5.7	2.6	3.3	−4.8	15	12.8	31	70	58	68	65	27	16	7.0	6.3	5.8	6.4	205	44	22	16	16	7	—	—	4	4	14
April	6.9	11.9	7.6	8.5	−4.0	2	19.6	30	64	49	61	58	21	30	4.2	4.1	3.9	4.1	63	14	2	10	10	2	—	—	5	14	6
Mai	9.4	14.8	10.3	11.2	3.3	22	20.4	31	69	48	63	60	21	2	5.5	5.8	4.8	5.4	122	31	26	13	9	—	—	—	—	5	7
Juni	14.0	18.8	14.5	15.4	8.9	20	26.0	30	65	54	65	61	27	29.30	4.6	5.7	5.5	5.3	168	51	7	14	13	—	—	2	—	7	6
Juli	16.5	22.7	17.4	18.5	11.0	29	30.4	5	62	47	59	56	27	2	2.8	3.8	3.9	3.5	93	33	15	8	7	—	—	2	—	12	2
Aug.	15.1	20.0	15.4	16.5	9.0	21	28.0	14	66	50	65	60	25	29	4.3	5.0	5.7	5.0	164	25	15	17	17	—	—	3	2	9	8
Sept.	7.8	12.6	9.2	9.7	1.0	19	19.9	2	78	64	75	72	32	25	6.8	7.2	6.0	6.7	171	33	11	19	19	1	—	—	2	3	14
Okt.	5.6	8.5	6.4	6.7	0.5	12	14.3	21	77	65	80	74	24	28	6.0	7.2	7.2	6.8	269	34	4	26	25	3	—	—	1	3	11
Nov.	0.4	2.9	0.7	1.2	−6.2	16	9.6	5	71	61	73	68	28	5	7.1	6.8	7.0	7.0	376	64	10	20	19	12	—	—	—	1	12
Dez.	−2.0	0.8	−1.6	−1.1	−7.8	8	6.8	1	75	66	72	71	30	14	6.6	7.2	6.3	6.7	222	39	21	16	15	14	—	—	3	1	12
Jahr	5.8	9.9	6.5	7.2	−10.0	I	30.4	VII	71	58	69	66	21	IV V	5.6	5.9	5.5	5.7	2353	64	XI	192	182	71	—	8	27	73	114

Vättis

$\lambda = 9°26', \beta = 46°55', H_b = 956^m\ h_r = 1.5^m$

Beobachter: A. Jäger

Jan.	−5.0	−0.7	−4.3	−3.6	−15.2	21	3.6	1	88	71	86	82	42	23.24	6.6	6.4	4.8	5.9	80	25	11	17	13	17	—	—	—	6	10
Febr.	−6.2	−0.4	−5.4	−4.3	−14.3	18	6.9	23	92	69	92	84	39	26	6.7	6.3	5.4	6.1	94	20	4	16	14	16	—	—	—	9	14
März	0.5	6.2	1.0	2.2	−9.2	15	13.2	31	86	57	87	77	31	16	7.1	7.0	5.4	6.5	88	22	20	16	15	9		—	—	4	10
April	5.7	13.2	5.9	7.7	−5.7	4	20.3	15	80	49	79	69	26	12	5.3	6.2	4.4	5.3	33	10	23	7	5	1	—	—	—	7	8
Mai	9.4	14.7	9.2	10.6	1.6	21	21.1	31	75	50	74	66	28	1.8	5.8	7.0	6.4	6.4	67	14	19	13	10	2	—	—	8	2	11
Juni	14.2	19.2	12.1	14.4	8.1	21	25.6	30	78	51	87	72	28	5.29	5.4	6.3	5.9	5.9	92	23	13	13	12	—	—	2	—	5	11
Juli	15.9	22.8	15.0	17.2	8.0	29	32.0	5	81	50	84	72	26	5	3.6	4.1	5.7	4.5	79	16	28	11	10	—	—	4	—	8	4
Aug.	13.3	20.6	12.9	14.9	6.7	21	29.0	14	86	51	89	75	28	18.23 29	5.0	5.5	5.3	5.3	104	18	9	17	16	—	—	3	1	9	10
Sept.	7.0	13.2	7.2	8.6	−0.8	21	19.6	2	91	58	91	80	32	14	7.4	6.8	6.2	6.8	229	65	5	19	16	3	—	—	—	3	13
Okt.	4.2	9.4	5.1	6.0	−2.3	12	16.6	21	93	67	92	84	43	4.9 22.28	7.6	8.1	6.8	7.5	133	27	25	26	21	5	—	—	—	3	17
Nov.	−1.0	2.6	−0.4	0.2	−10.5	15	10.8	30	87	71	83	80	42	5	7.1	7.3	6.6	7.0	170	29	10	18	15	13	—	—	—	2	12
Dez.	−3.5	0.1	−3.0	−2.4	−12.6	6	6.2	1	84	72	84	80	34	14	6.8	7.3	6.2	6.8	78	16	21	14	12	13	—	—	1	3	12
Jahr	4.5	10.1	4.6	6.0	−15.2	I	32.0	VII	85	60	86	77	26	IV VII	6.2	6.5	5.8	6.2	1247	65	IX	187	159	79	—	9	10	61	132

Werthenstein

$\lambda = 8°6'$, $\beta = 47°3'$, $H_b = 594^m$, $h_r = 1.5^m$ — Beobachter: **D. Ineichen**

1952	Luft-Temperatur								Relative Feuchtigkeit						Bewölkung				Niederschlag		Zahl der Tage								
	7^{30}	13^{30}	21^{30}	Mittel	Minimum	Tag	Maximum	Tag	7^{30}	13^{30}	21^{30}	Mittel	Minim.	Tag	7^{30}	13^{30}	21^{30}	Mittel	Summe	Maxim. Tag	●	●≥1.0	✳	▲	K_4	≡	helle	trübe
Jan.	−3.4	0.6	−2.6	−2.0	−13.2	21	7.2	11	84	72	86	81	47	10	7.6	6.6	7.4	7.2	86	31	11	14	13	12	—	—	2	2	14
Febr.	−3.6	0.9	−2.7	−2.0	−11.5	18	7.0	23	87	70	87	81	44	23	8.3	7.2	6.4	7.3	77	23	12	14	11	12	—	—	1	4	16
März	2.3	8.1	4.1	4.6	−5.7	15	16.9	31	89	65	83	79	36	4	7.6	6.6	7.4	7.2	74	19	7	16	14	3	—	—	4	3	17
April	6.5	14.2	7.9	9.1	−8.1	3	22.5	30	83	56	83	74	29	11	5.0	5.2	4.7	5.0	112	33	1	9	9	1	—	1	2	12	8
Mai	10.4	18.3	11.1	12.7	5.6	21	24.5	31	79	45	80	68	29	18	5.0	5.3	5.7	5.3	94	30	11	13	11	—	1	2	—	6	6
Juni	14.5	21.4	14.5	16.2	10.9	8	29.1	30	81	53	83	72	27	29	5.5	5.6	5.4	5.5	126	23	15	14	12	—	—	4	1	7	9
Juli	16.6	25.1	17.6	19.2	10.8	25	33.1	2	78	48	78	68	28	18.27	3.6	4.2	4.8	4.2	47	24	28	7	7	—	—	3	—	9	3
Aug.	15.2	23.4	15.9	17.6	9.7	23	31.1	13	78	50	82	70	22	28	4.6	5.0	5.5	5.0	98	22	15	15	13	—	—	2	—	11	7
Sept.	8.4	14.6	9.5	10.5	2.4	21	21.3	3	91	64	87	81	37	26	7.1	7.2	7.6	7.3	99	18	11	17	16	—	—	—	1	2	15
Okt.	6.0	11.0	7.3	7.9	−0.4	12	17.6	24	91	70	88	83	37	14	7.8	7.8	7.6	7.7	134	36	25	23	20	—	—	—	7	1	18
Nov.	1.3	4.4	2.1	2.5	−8.0	16	11.5	28	86	73	84	81	54	6	8.4	8.1	8.5	8.3	121	20	25	21	19	12	—	1	3	—	18
Dez.	−1.0	0.7	−0.8	−0.5	−6.1	10	9.8	1	89	83	89	87	58	13	9.0	8.6	8.6	8.7	128	28	2	21	17	14	—	—	8	—	22
Jahr	6.1	11.9	7.0	8.0	−13.2	I	33.1	VII	85	62	84	77	22	VIII	6.6	6.5	6.6	6.6	1196	36	X	184	162	54	1	13	29	57	153

Walchwil

$\lambda = 8°30'$, $\beta = 47°6'$, $H = 450^m$, $h_r = 1.5^m$ — Beobachter: **K. Halter**

Jan.	−1.3	1.5	−0.6	−0.3	−8.5	22	10.2	11	74	67	72	71	40	1	9.3	7.6	8.1	8.3	69	18	11	15	14	8	—	—	—	—	18
Febr.	−2.2	0.6	−1.7	−1.2	−6.2	14.15	5.0	21	82	69	80	77	45	10	10.0	9.0	8.6	9.2	96	29	12	10	9	7	—	—	6	—	23
März	3.1	7.7	5.1	5.2	−4.0	15	14.0	31	82	63	73	73	25	4	8.4	6.6	6.9	7.3	100	15	7	15	15	2	—	—	1	2	19
April	7.4	14.5	10.5	10.7	−3.0	3	21.4	17	78	57	64	66	31	11	4.9	4.0	3.7	4.2	49	*21	1	7	7	1	—	—	—	13	7
Mai	11.8	18.8	13.6	14.4	6.0	22	25.0	31	73	48	62	61	30	1. 2	4.6	3.6	4.3	4.2	73	26	11	11	11	—	—	—	—	12	4
Juni	16.0	21.9	17.3	18.1	12.0	20	31.0	30	71	52	64	62	30	29	4.8	3.3	3.9	4.0	135	26	7	10	10	—	—	1	—	11	7
Juli	19.1	25.5	20.9	21.6	13.5	29	33.4	6	72	52	60	61	38	29	2.5	2.5	3.5	2.8	74	25	28	8	7	—	—	—	—	16	3
Aug.	16.5	22.4	18.0	18.7	11.4	23	29.5	14	76	53	69	66	40	5. 6	4.1	3.4	5.6	4.4	138	21	6	16	14	—	—	—	—	10	6
Sept.	10.6	14.1	11.5	11.9	5.4	19	22.0	3	84	65	76	75	44	3	7.6	6.8	6.7	7.0	148	20	11	19	19	—	—	—	—	1	14
Okt.	7.8	10.8	8.1	8.7	3.0	13	15.3	21	86	69	83	79	46	14	9.0	8.2	8.6	8.6	165	30	25	25	21	—	—	—	—	1	23
Nov.	2.4	4.9	3.0	3.3	−3.8	16	12.4	28	84	70	78	77	35	20	8.6	5.3	9.0	7.6	167	20	25	21	19	8	—	—	2	2	25
Dez.	0.5	1.7	0.5	0.8	−3.8	8. 9	10.2	1	82	76	81	80	50	21	9.7	9.2	9.0	9.3	125	32	1	17	17	8	—	—	2	—	26
Jahr	7.6	12.0	8.8	9.3	−8.5	I	33.4	VII	79	62	72	71	25	III	6.9	5.8	6.5	6.4	1339	32	XII	174	163	34	—	1	11	68	175

Weggis

$\lambda = 8°26'$, $\beta = 47°2'$, $H = ca\ 444^m$, $h_r = 1.5^m$ — Beobachter: **Frau R. Zimmermann**

Jan.	−0.2	2.0	0.0	0.4	−7.0	22	10.4	11	76	67	76	73	34	10	6.6	6.5	7.6	6.9	57	14	19	11	10	8	—	—	—	2	13
Febr.	−1.0	1.1	−0.8	−0.4	−5.8	6	5.4	21	78	68	76	74	40	10	8.3	7.3	7.1	7.6	106	30	12	13	9	9	—	—	3	2	15
März	3.8	7.4	5.6	5.6	−3.2	15	14.0	19	83	69	73	75	45	13.24	7.7	5.8	6.5	6.7	88	19	7	15	14	3	—	—	—	2	14
April	7.4	13.1	9.8	10.0	−2.0	3	20.4	12	79	57	68	68	21	12	4.2	3.5	3.9	3.9	56	17	1	10	9	2	—	2	—	14	7
Mai	11.6	18.4	13.0	14.0	6.6	5	24.2	2	75	47	66	63	28	2.17	3.5	3.6	4.8	4.0	80	25	11	12	11	—	—	1	—	10	4
Juni	15.4	21.2	16.8	17.6	12.0	5	26.0	29	79	56	73	69	35	24	4.5	3.7	3.9	4.0	133	32	7	13	12	—	—	5	—	10	2
Juli	17.1	24.1	19.3	20.0	12.6	29.30	30.6	7	80	54	69	68	18	4	3.4	2.8	3.2	3.1	98	26	28	7	7	—	—	4	1	15	2
Aug.	15.8	22.5	17.8	18.5	12.0	21	27.0	13	84	58	75	72	45	10	4.3	3.9	4.6	4.3	178	30	6	17	15	—	—	4	—	10	7
Sept.	10.6	15.2	11.5	12.2	5.6	19	23.0	2	86	65	78	76	46	3	6.9	5.6	6.6	6.4	139	23	11	18	17	—	—	1	—	3	12
Okt.	8.4	11.3	9.0	9.4	3.6	12	15.2	7	86	68	86	80	33	14	7.2	7.2	7.4	7.3	136	32	25	26	21	—	—	—	—	1	13
Nov.	3.4	5.3	3.8	4.1	−3.0	16	11.6	28	81	70	78	76	40	6	7.6	7.2	8.6	7.8	140	22	3	20	17	6	—	—	—	1	18
Dez.	1.4	2.1	1.1	1.4	−6.2	6	9.4	1	79	74	78	77	44	16	9.0	8.4	7.3	8.2	117	28	2	19	16	3	—	—	—	—	18
Jahr	7.8	12.0	8.9	9.4	−7.0	I	30.6	VII	81	63	75	73	18	VII	6.1	5.5	6.0	5.9	1328	32	VI X	181	158	31	—	17	4	70	125

Lungern

$\lambda = 8°10'$, $\beta = 46°48'$, $H_b = ca\ 745^m$, $h_r = 1.7^m$ — Beobachter: **O. Imfeld**

Jan.	−2.4	0.3	−2.2	−1.6	−10.2	21	7.1	11	78	69	79	75	41	8	8.0	7.4	6.4	7.3	148	54	11	16	13	12	—	—	3	3	16
Febr.	−3.0	0.1	−2.3	−1.9	−9.0	18	7.0	23	85	65	79	76	44	10	8.2	7.3	7.0	7.5	133	39	11	16	11	14	—	—	3	4	16
März	2.4	6.9	3.8	4.2	−5.0	15	14.0	31	83	62	77	74	35	3. 4	8.0	6.7	7.2	7.3	133	25	22	15	15	4	—	—	5	2	18
April	6.9	12.3	7.9	8.7	−4.0	2	19.1	29.30	71	59	68	66	23	12	5.7	6.1	5.8	5.9	56	16	23	10	6	2	—	—	1	6	11
Mai	10.7	15.6	10.5	11.8	4.3	21	25.1	31	69	51	66	62	28	4	5.0	5.5	6.0	5.5	65	25	11	14	11	—	—	—	—	6	8
Juni	14.9	19.4	14.0	15.5	10.1	21	25.4	30	74	57	77	69	37	29.30	5.7	6.2	5.3	5.7	158	37	6	15	13	—	—	—	—	5	11
Juli	17.7	22.2	17.2	18.6	11.1	25	30.1	2	65	55	68	63	35	2	4.2	5.1	4.9	4.7	83	23	8	9	7	—	—	—	—	6	5
Aug.	15.7	20.4	15.9	17.0	8.3	22	27.4	28	70	54	71	65	25	28	4.4	5.6	4.9	5.0	128	25	15	15	13	—	—	—	—	8	9
Sept.	8.7	12.7	9.5	10.1	4.1	19.21	21.1	3	86	63	83	77	39	26	6.7	7.5	7.7	7.3	121	18	11	19	18	—	—	—	—	4	17
Okt.	6.1	10.4	7.1	7.7	0.1	12	17.3	24	87	66	82	78	28	28	7.3	8.0	7.8	7.7	213	33	4	23	21	—	—	—	3	1	16
Nov.	1.3	3.8	2.0	2.3	−8.0	16	11.3	27	85	68	77	77	33	20	8.3	8.2	7.9	8.1	271	56	10	22	18	12	—	—	2	—	20
Dez.	−0.4	1.0	−1.0	−0.3	−5.4	9	10.2	2	80	77	84	81	43	13	8.7	8.4	8.5	8.5	137	21	17	19	16	10	—	—	10	—	20
Jahr	6.6	10.4	6.9	7.7	−10.2	I	30.1	VII	78	62	76	72	23	IV	6.7	6.8	6.6	6.7	1646	56	XI	193	162	54	—	—	27	45	167

Gurtnellen

$\lambda = 8°\,37'$, $\beta = 46°\,44'$, $H_b = 742^m$, $h_r = 1.5^m$

Beobachter: Stationspersonal

1952	Luft-Temperatur								Relative Feuchtigkeit						Bewölkung				Niederschlag		Zahl der Tage							
	7^{30}	13^{30}	21^{30}	Mittel	Minimum	Tag	Maximum	Tag	7^{30}	13^{30}	21^{30}	Mittel	Minim.	Tag	7^{30}	13^{30}	21^{30}	Mitt.	Summe	Maxim. Tag	●	≧1.0	✳	▲	≡	helle	trübe
Jan.	−2.3	−0.1	−1.4	−1.3	−10.0	22	8.0	2	79	70	74	74	30	2	6.6	6.5	4.9	6.0	91	24 11	14	12	13	—	—	5	11
Febr.	−3.8	0.0	−2.7	−2.3	−9.8	18	5.0	23	82	70	82	78	44	29	6.5	6.7	5.5	6.2	116	22 9	14	13	13	—	—	8	13
März	2.8	6.8	3.0	4.2	−2.0	15.27	15.0	31	75	60	74	70	30	16	6.7	7.0	5.5	6.4	126	25 22	15	13	3	—	—	5	11
April	7.6	13.9	9.0	9 9	−2.0	2	21.0	19	67	47	60	58	23	7	5.1	5.8	4.9	5.3	52	23 23	8	7	2	—	—	6	9
Mai	10.7	16.8	12.1	12.9	3.1	13	24.0	30	69	42	59	57	25	8	6.4	6.9	7.6	7.0	58	18 4	12	10	—	—	—	3	14
Juni	13.8	20.7	16.1	16.6	10.2	20	27.2	29	73	49	67	63	25	5.29	4.9	5.6	6.0	5.5	56	15 18	11	8	—	—	—	4	8
Juli	16.8	24.5	18.7	19.7	9.0	27	34.1	5	67	42	64	58	22	5	4.0	4.1	4.9	4.3	45	12 15	9	8	—	—	1	9	6
Aug.	15.2	22.1	16.6	17.6	9.1	22	33.0	14	71	50	70	64	24	30	4.4	5.2	5.7	5.1	115	26 3	17	16	—	—	—	9	8
Sept.	9.7	14.0	10.0	10.9	3.8	21	21.4	2	83	56	76	72	25	14	7.5	6.6	7.2	7.1	99	27 11	16	15	—	—	—	1	3	15
Okt.	7.0	10.5	7.7	8.2	2.0	16	18.2	21	81	65	80	75	32	20	7.5	7.8	6.6	7.3	120	24 1	20	17	—	—	—	1	4	19
Nov.	1.7	4.4	1.0	2.5	−5.0	15	13.0	30	78	64	78	73	30	17	7.4	7.6	6.4	7.1	248	51 10	19	19	10	—	—	4		14
Dez.	−0.4	1.2	−0.1	0.1	−6.0	10	8.2	1	75	71	75	74	28	26	7.8	7.8	7.1	7.6	111	17 17.18	15	13	11	—	—	3	2	16
Jahr	6.6	11.2	7.6	8.2	−10.0	I	34.1	VII	75	57	72	68	22	VII	6.2	6.5	6.0	6.2	1237	51 XI	170	151	52	—	1	9	58	144

Andermatt

$\lambda = 8°\,35'$, $\beta = 46°\,38'$, $H = 1442^m$, $h_r = 1.5^m$

Beobachter: P. C. Rusterholz

Jan.	−7.4	−4.4	−6.6	−6.2	−20.5	21	2.5	1	—	—	—	—	—	—	7.2	6.5	5.4	6.4	109	28	19	18	14	18	—	—	—	3	11
Febr.	−9.8	−3.9	−8.0	−7.4	−19.6	18	3.7	29	—	—	—	—	—	—	7.2	5.8	5.7	6.2	137	25	11	17	16	17	—	—	1	7	15
März	−2.9	2.6	−0.9	−0.6	−13.6	15	7.8	24	—	—	—	—	—	—	6.5	6.4	5.8	6.2	135	33	7	18	15	14	—	—	3	5	12
April	1.8	8.1	2.7	3.9	−9.6	4	15.4	29	—	—	—	—	—	—	5.4	5.5	4.8	5.2	73	31	23	10	5	5	—	—	4	6	9
Mai	6.1	10.9	7.2	7.7	1.8	12	15.8	31	—	—	—	—	—	—	6.0	5.9	7.0	6.3	96	31	4	15	14	—	—	—	3	4	10
Juni	10.8	15.1	10.7	11.7	6.2	20	22.0	30	—	—	—	—	—	—	4.0	4.9	5.9	4.9	72	29	18	13	12	—	—	3	1	8	6
Juli	12.8	18.3	13.0	14.2	7.0	29	27.4	2	—	—	—	—	—	—	4.4	4.5	5.5	4.8	64	15	7	10	9	—	1	5	4	7	6
Aug.	10.5	16.4	11.8	12.5	5.2	22	24.6	15	—	—	—	—	—	—	3.9	4.6	5.4	4.6	96	11	30	17	14	—	—	8	2	9	7
Sept.	5.1	9.0	5.6	6.3	−1.2	21	16.0	2	—	—	—	—	—	—	7.1	6.3	6.4	6.6	116	37	11	16	16	5	—	—	3	4	14
Okt.	2.3	6.9	3.3	4.0	−3.0	9	12.0	24	—	—	—	—	—	—	7.9	7.7	6.7	7.4	112	25	1	25	20	11	—	—	5	2	17
Nov.	−3.4	−0.1	−3.1	−2.4	−17.0	15	9.2	21	—	—	—	—	—	—	7.6	7.6	6.7	7.3	259	43	10	19	18	15	—	—	—	1	15
Dez.	−5.5	−2.7	−5.2	−4.6	−15.6	28	4.0	1	—	—	—	—	—	—	7.5	7.3	6.3	7.0	96	14	21	14	14	13	—	—	1	3	18
Jahr	1.7	6.4	2.5	3.3	−20.5	I	27.4	VII	—	—	—	—	—	—	6.2	6.1	6.0	6.1	1365	43	XI	192	167	98	1	16	27	59	140

Die Abendbeobachtung erfolgt um 20.30

Jura

La Brévine

$\lambda = 6°\,34'$, $\beta = 46°\,58'$, $H_b = $ ca 1060^m, $h_r = 1.8^m$

Beobachter: Frau A. Favre

Jan.	−6.0	−2.7	−6.7	−5.5	−30.0	21	4.0	9	89	80	88	86	49	30	9.9	7.6	7.5	8.3	123	53	11	20	15	20	—	—	1	—	20
Febr.	−9.7	−1.9	−7.3	−6.5	−19.2	18	5.2	28	88	71	90	83	39	15	8.0	6.6	6.1	6.9	63	11	12	10	10	10	—	—	2	2	14
März	−0.1	5.3	0.6	1.6	−11.6	3	11.8	31	93	65	91	83	32	2	8.8	8.4	8.2	8.5	179	?	—	17	17	6	—	—	—	1	21
April	3.1	10.5	3.4	5.1	−8.8	2	18.4	11.17	82	48	77	69	21	12	5.4	6.5	6.3	6.1	74	26	1	9	9	1	—	3	2	1	9
Mai	7.5	13.8	7.5	9.1	1.0	12	19.0	31	71	45	72	63	28	16	5.5	5.7	5.7	5.6	80	21	3	12	12	—	—	1	—	4	6
Juni	10.7	16.7	11.1	12.4	5.0	3.8	26.2	30	73	49	76	64	21	30	5.5	5.8	4.7	5.3	85	20	6	9	9	—	—	1	—	8	7
Juli	14.7	21.7	14.2	16.2	5.8	29	30.8	1	64	36	62	54	19	1	3.2	5.2	3.7	4.0	110	54	8	7	6	—	—	6	1	4	1
Aug.	11.4	19.4	11.8	13.6	4.4	22	27.0	29	79	44	73	65	19	29	7.0	7.1	5.1	6.4	115	25	30	11	10	—	—	3	5	2	10
Sept.	6.0	10.2	6.3	7.2	−1.0	20	18.0	5	88	60	83	77	38	14	8.8	8.2	6.6	7.9	160	23	27	22	22	3	—	1	3	—	15
Okt.	3.8	8.4	4.0	5.1	−6.6	12	13.8	28	86	65	86	79	29	28	9.1	8.3	7.0	8.1	252	30	13	21	21	5	—	—	3	2	20
Nov.	−0.5	2.2	−0.1	0.4	−9.0	16	11.0	30	88	76	87	84	26	5	8.6	9.0	8.5	8.7	260	?	—	26	25	18	—	—	1	—	23
Dez.	−4.0	−1.5	−3.0	−3.5	−18.0	28.29	8.2	1	86	76	80	81	35	10	8.7	7.7	8.0	8.1	144	29	1	17	17	14	—	—	3	2	19
Jahr	3.1	8.5	3.4	4.6	−30.0	I	30.8	VII	82	60	80	74	19	VII VIII	7.4	7.2	6.4	7.0	1645	54	VII	181	173	77	—	15	21	26	165

Cernier

$\lambda = 6°\,54'$, $\beta = 47°\,4'$, $H_b = 800^m$, $h_r = 1.7^m$

Beobachter: Ecole d'Agriculture

Jan.	−3.6	−0.9	−2.4	−2.3	−12.0	21 23	5.0	11	84	74	84	81	50	13	8.0	7.9	8.4	8.1	172	40	11	18	17	14	—	—	3	3	21
Febr.	−4.3	−0.9	−3.2	−2.9	−13.5	17	6.0	29	83	68	79	77	53	13	5.7	6.1	5.4	5.7	70	*16	3	11	11	11	—	—	2	10	13
März	2.2	5.4	3.0	3.4	−4.0	15.26	13.4	31	94	80	91	88	50	4	8.0	8.3	8.6	8.3	157	22	25	17	17	3	—	—	3	—	23
April	7.0	11.7	7.2	8.3	−3.0	1. 3. 5	19.2	18	75	69	80	75	34	9	4.8	4.7	4.7	4.7	60	*20	1	7	6	1	—	1	2	11	10
Mai	11.5	16.9	12.1	13.2	7.0	21	19.5	13	72	60	75	69	36	28	4.7	5.3	4.4	4.8	69	23	11	7	7	—	—	1	—	8	4
Juni	14.8	21.9	15.4	16.9	10.0	24	29.0	29	70	56	70	65	31	4	5.4	4.6	3.8	4.6	61	14	15	10	10	—	—	1	—	11	4
Juli	17.8	23.7	17.0	18.9	9.2	29	31.8	6	67	50	66	61	27	4	1.9	2.6	1.9	2.1	49	25	22	6	6	—	—	2	—	19	2
Aug.	15.4	21.4	15.6	17.0	9.0	21.22	28.4	6	78	61	82	74	34	6	5.2	5.2	2.3	4.2	125	34	30	12	10	—	—	2	1	11	4
Sept.	8.6	13.0	8.7	9.8	−0.5	21	21.0	1	90	74	88	84	45	3	7.1	7.3	6.3	6.9	151	17	27	23	23	1	—	—	2	3	12
Okt.	6.4	10.4	6.6	7.5	0.4	9	16.0	7	85	76	89	83	50	11.12	7.5	8.2	7.7	7.8	252	23	3	21	21	2	—	—	4	2	19
Nov.	0.9	3.8	1.8	2.1	−5.2	16	10.5	29	90	81	91	87	45	15	8.6	9.1	9.0	8.9	338	39	10	22	22	12	—	—	7	1	25
Dez.	−1.5	0.3	−1.2	−0.9	−7.0	29	9.0	2	94	88	92	91	45	6	8.8	8.1	7.6	8.2	154	*18	19	17	17	9	—	—	8	2	21
Jahr	6.3	10.6	6.7	7.6	−13.5	II	31.8	VII	82	70	82	78	27	VII	6.3	6.5	5.8	6.2	1658	40	I	171	167	53	—	7	32	81	158

Mont Soleil

$\lambda = 7°\,0'$, $\beta = 47°\,9'$, $H =$ ca. 1200 m, $h_r = 1.5$ m — Beobachter: H. Sutter

1952	Luft-Temperatur							Relative Feuchtigkeit						Bewölkung				Niederschlag		Zahl der Tage						
	7^{30}	13^{30}	21^{30}	Mittel	Minimum	Tag	Maximum Tag	7^{30}	13^{30}	21^{30}	Mittel	Minim. Tag		7^{30}	13^{30}	21^{30}	Mitt.	Summe	Maxim. Tag	●	●* ≧1.0	*	▲	≡	helle	trübe
Jan.	−3.7	−1.3	−3.7	−3.1	−10.4	22.23	7.5	86	83	86	85	42	7	8.6	7.2	7.0	7.6	187	49	11	20	17	18	—	—	5	2	16
Febr.	−4.8	−1.1	−4.1	−3.5	−12.1	14	6.6	85	80	86	84	57	23	7.1	6.3	6.4	6.6	117	21	3	13	13	13	—	—	4	8	17
März	1.2	4.6	1.5	2.2	−6.7	27	11.3	88	79	85	84	58	15	7.2	7.7	6.4	7.1	174	24	25	19	17	9	—	—	6	3	18
April	5.4	10.2	5.8	6.8	−6.9	2	18.5	81	70	79	77	53	11.30	4.9	5.8	5.1	5.3	88	23	1	9	8	3	—	1	4	5	9
Mai	8.2	13.6	8.4	9.7	2.1	21	19.3	81	67	80	76	55	22	4.8	6.4	4.8	5.3	71	21	11	12	10	—	—	1	2	5	6
Juni	12.4	17.1	12.0	13.4	7.2	8	27.0	79	69	80	76	50	30	4.9	5.8	4.8	5.2	91	33	6	10	9	—	—	—	2	6	7
Juli	15.8	21.0	15.4	16.9	8.6	28.29	30.2	75	65	75	72	52	1	2.6	5.1	2.7	3.5	31	11	8	6	6	—	—	1	1	11	1
Aug.	13.3	18.7	13.7	14.9	5.5	23	27.4	80	68	79	76	49	29	5.3	5.7	4.8	5.3	133	28	6	12	10	—	—	1	1	7	8
Sept.	6.2	9.7	6.3	7.1	0.4	20	18.8	89	81	88	86	65	21	7.4	8.1	6.5	7.3	151	17	25	22	21	2	—	—	3	1	16
Okt.	4.4	7.3	4.7	5.3	−0.6	11.12	12.3	88	82	88	86	58	28	7.7	8.2	7.2	7.7	234	24	25	22	21	4	—	—	8	1	16
Nov.	−0.6	1.1	−0.4	−0.1	−7.5	16	8.6	90	87	89	89	55	5	9.1	8.9	8.6	8.9	294	39	10	25	25	18	—	1	4	—	23
Dez.	−2.4	−0.7	−2.9	−2.2	−9.6	6	7.3	86	84	85	85	43	9	8.2	8.1	7.6	8.0	208	31	1	19	19	15	—	—	6	3	21
Jahr	4.6	8.4	4.7	5.6	−12.1	II	30.2	VII	84	76	83	81	42	I	6.5	6.9	6.0	6.5	1779	49	I	189	176	82	—	5	46	52	158

Allerheiligenberg

$\lambda = 7°\,49'$, $\beta = 47°\,21'$, $H = 897$ m, $h_r = 1.7$ m — Beobachter: Sanatorium

Jan.	−2.2	0.0	−1.7	−1.4	−9.6	23	6.8	8	85	82	83	83	36	7	6.9	8.0	7.5	7.5	113	19	19	16	14	16	—	—	4	2	14
Febr.	−2.4	0.6	−1.7	−1.3	−8.8	17	7.4	23	89	50	84	74	39	23	7.1	7.1	6.6	6.9	92	20	3	12	10	12	—	—	5	7	16
März	3.1	6.3	4.5	4.6	−5.0	15	12.2	31	90	77	82	83	49	3	7.9	7.5	7.9	7.8	141	22	22	18	18	5	—	—	5	3	20
April	7.9	12.6	9.3	9.8	−2.8	2	19.6	17	81	64	71	72	41	12	5.5	5.4	5.1	5.3	131	35	23	8	8	1	—	1	3	9	10
Mai	11.2	16.1	11.7	12.7	5.5	21	22.6	31	80	59	72	70	42	15	5.7	6.0	5.1	5.6	75	22	11	12	11	—	—	2	2	5	9
Juni	14.4	19.3	15.4	16.1	11.0	21	27.4	30	78	64	72	71	37	29	4.9	5.5	5.3	5.2	106	31	6	11	10	—	—	3	1	8	12
Juli	17.7	23.2	18.6	19.5	11.3	28	31.0	6	71	57	66	65	40	1	2.9	4.3	4.1	3.8	54	24	28	7	6	—	—	1	1	11	5
Aug.	16.2	20.5	16.5	17.4	10.5	21	27.5	6	78	65	74	72	40	5	5.6	5.5	5.9	5.7	113	29	30	13	11	—	—	—	1	8	9
Sept.	8.4	11.7	8.7	9.4	3.3	29	18.8	2	96	83	89	89	55	25	8.3	8.5	7.7	8.2	135	16	27	22	22	1	—	—	7	—	20
Okt.	6.5	8.7	6.8	7.2	2.0	12	13.5	24	94	83	91	90	64	10	7.9	8.5	7.8	8.1	184	38	24	22	21	1	—	—	6	1	21
Nov.	1.1	3.1	1.7	1.9	−4.0	16	10.9	30	96	90	94	94	58	5	7.9	8.6	8.2	8.2	183	27	10	23	23	14	—	—	9	1	19
Dez.	−1.0	0.0	−1.0	−0.7	−7.0	8	9.0	1	?	?	?	?	?	8	8.3	9.1	7.9	8.4	139	30	1	19	18	16	1	—	12	—	20
Jahr	6.7	10.2	7.4	7.9	−9.6	I	31.0	VII	—	—	—	—	—	I	6.6	7.0	6.6	6.7	1466	38	X	183	172	66	1	7	56	55	175

Olten

$\lambda = 7°\,54'$, $\beta = 47°\,21'$, $H_b =$ ca. 400 m, $h_r = 1.5$ m — Beobachter: Geschwister Naef

Jan.	−1.7	1.2	−1.6	−0.9	−11.8	28	7.2	11	88	76	91	85	55	3	9.1	8.5	7.4	8.3	107	27	11	20	13	17	—	—	4	1	23
Febr.	−2.2	1.8	−1.2	−0.7	−7.4	17	7.0	28	89	69	87	82	46	17	9.3	7.1	6.4	7.6	70	19	3	12	10	9	—	—	6	1	18
März	3.1	9.1	5.1	5.6	−3.4	15	15.4	31	94	62	88	81	38	17	9.3	7.4	7.0	7.9	114	17	22	19	18	4	—	—	7	1	15
April	6.9	15.5	9.8	10.5	−2.0	3	22.0	15.17	91	49	79	73	35	7.10 11.30	5.9	6.1	6.3	6.1	68	22	1	6	6	1	—	—	1	2	8
Mai	11.5	19.7	13.1	14.4	6.2	6	26.2	31	82	43	74	66	30	24	6.1	6.2	5.9	6.1	57	18	11	12	10	—	—	1	3	1	9
Juni	15.6	22.6	16.5	17.8	12.0	11	30.0	30	77	49	77	68	27	29.30	5.1	5.8	4.9	5.3	118	37	6	13	11	—	—	4	—	8	9
Juli	17.8	26.4	20.1	21.1	11.0	29	33.4	5.6	77	46	69	64	30	1.6	3.5	4.5	4.1	4.0	48	24	28	6	5	—	—	—	1	12	3
Aug.	15.4	24.3	17.6	18.7	10.4	23	31.4	13	88	47	82	72	30	5.6	6.3	5.6	5.9	5.9	92	22	15	12	11	—	—	—	4	5	8
Sept.	9.4	15.4	10.5	11.5	2.2	21	23.0	1.3	96	62	90	83	40	28	9.3	8.3	7.3	8.3	123	22	14	22	20	—	—	—	9	—	17
Okt.	7.1	11.5	7.8	8.5	0.4	13	16.2	21	94	69	95	86	45	10.12	9.0	7.8	7.8	8.2	175	43	24	22	21	—	—	—	12	—	21
Nov.	2.4	5.2	2.8	3.3	−2.4	16	12.6	28	94	78	92	88	55	1	9.5	8.7	9.0	9.1	176	26	25	24	23	10	—	—	11	—	24
Dez.	0.5	1.9	0.6	0.9	−4.2	9	10.4	1	86	80	85	84	53	7.8	9.9	9.5	9.6	9.7	158	29	1	20	17	11	—	—	7	—	29
Jahr	7.1	12.9	8.4	9.2	−11.8	I	33.4	VII	88	61	84	78	27	VI	7.7	7.1	6.8	7.2	1306	43	X	188	165	52	—	5	65	31	184

Rheinfelden

$\lambda = 7°\,47'$, $\beta = 47°\,33'$, $H_b = 287$ m, $hr = 1.6$ m — Beobachter: Frl. M. Waidele

Jan.	−1.0	2.8	−0.6	0.2	−10.5	21	10.0	11	60	58	64	61	24	1	9.1	8.2	7.3	8.2	55	11	17	17	13	11	—	—	—	3	22
Febr.	−2.1	2.4	−1.2	−0.5	−10.5	17	8.2	28	97	79	96	91	50	11	9.1	7.3	6.0	7.5	89	25	3	11	9	9	—	—	4	2	15
März	3.6	9.8	5.7	6.2	−2.0	15	17.2	31	97	74	93	88	47	15	8.4	7.5	6.2	7.4	111	18	28	15	12	1	—	—	6	3	17
April	6.6	16.4	9.2	10.4	−2.2	4	25.5	14	98	60	94	84	40	11.30	5.4	6.4	3.8	5.2	61	14	23	7	6	1	—	1	5	7	7
Mai	11.3	19.9	12.7	14.2	6.0	22	26.0	31	93	51	90	78	36	27	5.1	6.5	5.1	5.6	42	15	11	11	7	—	—	—	—	7	9
Juni	15.1	23.1	15.9	17.5	11.0	9	32.5	30	88	56	91	78	33	30	4.8	5.7	4.5	5.0	85	29	6	10	9	—	—	4	2	6	10
Juli	17.2	26.7	19.5	20.7	12.0	29.30	35.5	2	87	50	82	73	36	30	2.9	4.1	3.8	3.6	17	8	8	3	2	—	—	2	—	11	1
Aug.	15.7	25.0	17.1	18.7	9.5	23	33.0	6.13	93	51	91	78	32	29	6.6	6.0	5.4	6.0	84	20	6	9	9	—	—	2	2	4	9
Sept.	9.5	16.0	10.3	11.5	3.0	21	24.0	5	100	67	97	88	46	13	8.7	8.1	6.8	7.9	102	13	25	21	19	—	—	—	4	—	16
Okt.	6.6	12.0	7.3	8.3	−0.5	9	18.0	24	98	74	99	90	26	19	8.5	7.7	6.8	7.7	160	25	24	20	19	—	—	—	6	1	17
Nov.	2.5	5.9	2.8	3.5	−2.0	16.17 18.24	14.5	28	97	80	96	91	54	4	9.3	8.5	7.9	8.6	172	37	10	21	20	4	—	—	5	—	20
Dez.	0.3	2.3	0.1	0.7	−6.8	10	8.5	21.25	95	87	94	92	64	5	9.5	8.7	8.6	8.9	115	34	1	17	17	6	—	—	6	—	23
Jahr	7.1	13.5	8.2	9.3	−10.5	I/II	35.5	VII	92	66	91	83	24	I	7.3	7.1	6.0	6.8	1093	37	XI	162	142	32	—	9	40	44	166

Schaffhausen

$\lambda = 8° 38'$, $\beta = 47° 42'$, $H_b = 448^m$, $h_r = 1.5^m$

Beobachter: A. Streckeisen
Frau M. Streckeisen, Th. Bächtold

1952	Luft-Temperatur								Relative Feuchtigkeit						Bewölkung				Niederschlag		Zahl der Tage							
	7^{30}	13^{30}	21^{30}	Mittel	Minimum	Tag	Maximum	Tag	7^{30}	13^{30}	21^{30}	Mittel	Minim.	Tag	7^{30}	13^{30}	21^{30}	Mitt.	Summe	Maxim.	●	●≧1.0	✳	▲	≡	helle	trübe
Jan.	−1.6	0.8	−1.2	−0.8	−8.9	29	7.2	11	89	78	87	85	45	13	9.3	9.2	8.4	9.0	95	27	11	15	11	14	—	—	2	—	26
Febr.	−3.3	0.8	−1.7	−1.5	−8.8	17	5.5	28	90	76	86	84	52	18	9.0	6.5	6.5	7.3	93	23	12	13	11	13	—	—	4	2	15
März	2.3	8.0	4.3	4.7	−4.0	15	14.2	31	90	64	83	79	32	15	8.0	6.7	6.3	7.0	131	26	28	15	12	1	—	—	3	2	12
April	7.7	15.1	9.7	10.6	−2.9	3	21.4	10	84	55	73	71	31	12	5.6	6.4	3.9	5.3	83	25	1	8	6	1	—	—	—	5	6
Mai	11.2	18.7	12.4	13.7	5.6	21	24.6	31	79	46	73	66	28	18	5.1	5.4	4.6	5.0	74	22	11	11	7	—	—	—	—	5	4
Juni	15.4	21.7	16.1	17.3	12.0	9	29.6	30	79	50	73	67	31	30	5.0	5.0	4.5	4.8	71	20	6	13	10	—	—	—	—	8	6
Juli	18.7	25.9	20.3	21.3	12.6	29	34.4	2	74	47	65	62	32	:	2.9	4.0	3.8	3.6	34	20	28	6	6	—	—	2	—	12	4
Aug.	16.8	24.3	18.2	19.4	12.0	22	32.9	14	80	52	68	67	35	6 19.29	5.0	4.7	4.0	4.6	57	20	15	9	7	—	—	4	1	9	7
Sept.	9.4	14.5	10.3	11.1	2.8	21	22.2	1	91	64	85	80	50	3.28	8.2	7.2	6.2	7.2	73	11	25	19	17	—	—	1	7	2	14
Okt.	6.4	10.5	7.2	7.8	0.7	12	16.0	24	91	72	89	84	48	7	8.6	7.4	5.9	7.3	123	28	25	18	15	1	—	—	5	1	13
Nov.	1.7	4.5	2.4	2.7	−3.8	16	12.1	28	91	78	86	85	56	4	9.0	7.9	6.1	7.7	147	24	25	20	17	11	—	—	5	—	13
Dez.	0.1	1.3	0.1	0.4	−5.2	10. 16	10.2	1	87	80	84	84	51	7	9.4	8.8	8.8	9.0	122	25	16	17	14	9	—	—	3	—	24
Jahr	7.1	12.1	8.2	8.9	−8.9	I	34.4	VII	85	64	79	76	28	V	7.1	6.6	5.8	6.5	1103	28	X	164	133	50	—	7	30	46	144

Schaffhausen: A. Streckeisen † im Januar. Zweiter Beobachterwechsel am 1. Juli.

Thun

$\lambda = 7° 37'$, $\beta = 46° 46'$, $H_b = 565^m$, $h_r = 1.9^m$

Beobachter: Eidg. Munitionsfabrik: H. Stucki u. H. Rothen

Jan.	−3.2	0.5	−2.8	−2.1	−14.5	21	8.5	11	82	68	82	77	40	2	7.3	6.5	6.6	6.8	50	11	17	12	11	9	—	—	6	3	10
Febr.	−4.0	0.7	−2.7	−2.2	−14.1	18	5.7	29	86	63	82	77	40	29	7.2	6.4	6.1	6.6	40	9	12	11	9	10	—	—	—	3	11
März	2.9	8.8	5.0	5.4	−4.3	15	13.5	31	91	56	78	75	37	4	7.1	6.7	7.2	7.0	73	17	7	17	13	1	—	—	2	2	16
April	7.2	14.0	9.6	10.1	−2.5	3	20.8	30	84	49	73	69	22	11	4.5	5.7	4.9	5.0	112	26	22	10	8	1	—	3	1	10	8
Mai	11.4	18.5	13.3	14.1	6.5	21	22.7	29.31	71	39	64	58	29	13	3.9	4.8	4.9	4.5	75	38	11	9	8	—	1	1	—	7	2
Juni	15.4	21.6	16.9	17.7	11.5	9	28.7	30	74	43	73	63	25	12	3.9	4.6	4.6	4.4	115	18	2	11	11	—	—	6	—	11	7
Juli	17.6	25.0	20.1	20.7	12.4	30	32.1	6	71	40	61	57	21	27	2.1	3.4	2.8	2.8	71	22	8	6	6	—	—	—	—	16	2
Aug.	15.9	22.5	18.3	18.7	10.6	23	29.1	13	77	45	70	64	28	5	3.9	5.4	5.7	5.0	114	20	9	13	12	—	—	1	—	6	6
Sept.	9.5	14.5	10.8	11.4	3.7	21	21.9	2	90	54	77	74	40	2	6.2	6.5	7.0	6.6	85	17	11	18	16	—	—	—	—	3	11
Okt.	6.5	11.4	7.7	8.3	−0.1	12	15.7	21	88	59	86	78	36	14	7.1	7.3	7.1	7.2	106	34	25	17	14	—	—	—	3	2	15
Nov.	1.9	4.7	2.5	2.9	−10.1	16	12.1	27	86	68	82	79	44	1	7.6	8.2	8.5	8.1	110	18	3	19	19	8	—	—	—	—	18
Dez.	0.6	2.0	0.1	0.7	−4.2	28	9.1	1	80	71	82	78	42	13	9.0	8.2	8.2	8.5	64	16	2	15	15	6	—	—	—	1	21
Jahr	6.8	12.0	8.2	8.8	−14.5	I	32.1	VII	82	55	76	71	21	VII	5.8	6.1	6.1	6.0	1015	38	V	158	142	35	1	11	12	64	127

Heiligenschwendi

$\lambda = 7° 41'$, $\beta = 46° 45'$, $H_b = 1125^m$, $h_r = 1.4^m$

Beobachter: Sanatorium

Jan.	−2.7	0.6	−1.8	−1.4	−11.2	21	7.8	8	—	—	—	—	—	—	6.6	6.3	5.2	6.0	74	16	19	14	13	12	—	—	—	5	11
Febr.	−3.3	0.7	−2.1	−1.8	−9.4	6	7.4	23	67	51	62	60	36	23	7.1	6.1	6.3	6.5	84	19	8	11	10	10	—	—	2	7	16
März	2.3	6.1	3.7	3.8	−3.0	15	13.2	31	77	61	74	71	35	3	7.5	7.1	7.0	7.2	106	25	7	17	16	5	—	—	5	2	16
April	6.3	11.3	7.6	8.1	−6.2	3	18.3	15.30	66	54	65	62	29	11	5.5	6.7	4.8	5.7	176	33	22	11	10	4	1	4	7	5	9
Mai	9.5	14.6	10.8	11.2	5.2	21	18.5	16.31	67	48	60	58	37	19	5.3	4.9	5.3	5.2	76	34	11	12	11	—	—	1	1	2	5
Juni	13.5	18.1	14.5	14.9	9.5	20	25.6	30	71	52	66	63	33	29	4.6	5.1	5.5	5.1	134	27	6	15	13	—	—	4	—	5	6
Juli	16.1	21.3	17.5	17.8	8.4	29	28.5	2	64	49	60	58	35	2	3.0	4.6	5.0	4.2	107	33	8	8	7	—	1	4	—	11	4
Aug.	13.8	18.9	15.4	15.6	7.3	22	25.5	13	70	55	65	63	33	28	3.8	5.8	5.8	5.1	164	?	—	13	13	—	—	3	1	7	9
Sept.	7.6	11.3	8.5	8.8	2.8	20	19.5	2	83	66	79	76	49	2	6.9	7.5	6.3	6.9	99	17	11	19	18	1	—	—	4	1	10
Okt.	5.8	9.2	6.8	7.1	0.2	12	13.8	24	78	66	77	74	36	28	6.9	8.1	6.3	7.1	122	40	25	20	19	2	—	—	7	1	13
Nov.	0.3	2.7	1.0	1.1	−8.2	16	12.4	30	77	70	78	75	44	30	7.8	8.5	8.4	8.2	151	?	—	20	19	13	—	—	4	—	19
Dez.	−1.2	0.7	−1.0	−0.6	−7.2	6	7.3	1	77	71	76	75	46	26.28	8.7	8.9	7.6	8.4	88	13	17	19	15	16	—	—	7	1	20
Jahr	5.7	9.6	6.7	7.0	−11.2	I	28.5	VII	—	—	—	—	—	—	6.1	6.6	6.1	6.3	1381	40	X	179	164	63	2	16	38	47	138

Die Abendbeobachtung erfolgt um 20^{30}

Adelboden

$\lambda = 7° 35'$, $\beta = 46° 30'$, $H_b = $ ca. 1345^m, $h_r = 1.5^m$

Beobachter: G. Gyger-Spori

Jan.	−4.7	−0.6	−4.7	−3.7	−16.0	21	8.0	8	72	58	77	69	30	3	6.1	6.4	5.5	6.0	107	28	11	15	13	13	—	—	1	4	12
Febr.	−5.7	0.0	−4.9	−3.9	−15.0	6	7.0	22.29	82	62	83	76	38	25.29	5.6	5.2	5.6	5.5	75	16	12	11	9	11	—	—	1	8	13
März	0.4	5.9	1.7	2.4	−10.0	27	12.0	31	80	62	80	74	36	3	6.2	6.2	6.3	6.2	123	16	21	13	13	9	—	—	1	5	10
April	5.1	11.0	5.8	6.9	−8.0	3	19.6	19	82	72	81	78	49	29	5.0	6.3	6.7	6.0	71	21	22	9	9	4	—	—	1	3	10
Mai	8.6	14.2	9.6	10.5	3.8	12	19.0	31	81	66	77	75	39	24	4.9	5.1	6.0	5.3	61	34	11	9	8	—	—	1	2	2	3
Juni	12.9	17.6	12.8	14.0	9.0	20	24.8	30	—	—	—	—	—	—	4.6	6.3	6.4	5.8	128	27	6	14	13	—	—	2	4	3	9
Juli	15.8	21.0	16.2	17.3	10.0	28.29	27.4	2	73	61	74	69	35	1	4.1	5.5	5.9	5.2	76	30	28	8	7	—	—	2	2	1	4
Aug.	13.0	18.7	13.4	14.6	5.8	22	25.0	14	77	63	76	72	39	29	4.6	5.6	6.0	5.4	133	29	6	13	12	—	—	3	3	6	7
Sept.	6.7	11.4	6.2	7.6	0.0	19	17.0	5	84	71	84	80	42	26.29	6.5	6.6	7.3	6.8	97	14	27	19	18	2	—	—	2	1	11
Okt.	4.9	9.3	5.5	6.3	0.2	4	15.0	28	82	67	79	76	29	28	6.5	7.0	6.9	6.8	191	50	13	23	21	5	—	—	5	1	9
Nov.	−1.5	2.1	−0.8	−0.2	−12.2	15	11.0	30	82	71	84	79	37	20	7.5	7.8	7.9	7.7	232	30	8	20	19	13	—	—	6	1	17
Dez.	−2.6	0.8	−2.7	−1.8	−10.0	6. 7	8.0	1	77	67	78	74	40	11	7.3	6.4	7.1	6.9	99	13	14	17	16	11	—	—	2	3	15
Jahr	4.4	9.3	4.8	5.8	−16.0	I	27.4	VII	—	—	—	—	—	—	5.7	6.2	6.5	6.1	1393	50	X	171	158	68	—	8	30	38	120

Grimmialp

$\lambda = 7°\ 29'$, $\beta = 46°\ 34'$, $H_b = 1214^m$, $h_r = 1.5^m$ — Beobachter: **Kurheim**

1952	Luft-Temperatur								Relative Feuchtigkeit						Bewölkung				Niederschlag		Zahl der Tage							
	7^{30}	13^{30}	21^{30}	Mittel	Minimum	Tag	Maximum	Tag	7^{30}	13^{30}	21^{30}	Mittel	Minim.	Tag	7^{30}	13^{30}	21^{30}	Mitt.	Summe	Maxim.	●	●* ≧1.0	*	▲	⛆	≡	heller	trüber
Jan.	−4.8	0.6	−3.2	−2.6	−16.0	21	9.8	8	76	59	72	69	28	3	6.8	6.0	4.3	5.7	113	19	11	13	12	13	—	—	—	7	10
Febr.	*−5.4	*1.0	*−3.4	*−2.8	—	—	—	—	*82	*56	*81	*73	—	—	*6.2	*5.0	*5.3	*5.5	140	19	7	*12	*12	*12	—	—	*2	*8	*15
März	0.9	6.5	1.2	2.4	−10.2	27	12.9	31	79	56	78	71	28	15	6.7	6.1	7.0	6.6	106	16	7	18	14	7	—	—	1	4	16
April	3.8	11.6	4.6	6.1	−11.0	3	19.4	30	79	51	78	69	26	30	4.2	6.0	4.7	5.0	97	25	22	10	8	3	1	1	—	10	9
Mai	8.2	15.1	8.6	10.1	3.0	21	23.4	31	83	47	72	67	33	31	4.9	5.9	4.9	5.2	72	38	11	16	11	—	—	1	—	6	4
Juni	13.3	18.6	12.5	14.2	9.0	7.8	20.8	30	78	52	77	69	29	11	4.7	6.1	5.8	5.5	167	29	6	15	14	—	1	4	—	5	9
Juli	15.2	21.9	15.3	16.9	8.8	28	30.0	2	78	49	71	66	23	1	3.6	5.1	4.9	4.5	107	63	8	8	8	—	—	1	—	8	4
Aug.	11.1	19.2	12.8	14.0	4.3	22	20.7	13	83	53	79	72	23	28	5.0	6.7	5.4	5.7	176	28	30	15	14	—	—	3	1	7	11
Sept.	5.4	11.7	6.7	7.6	−0.8	21	18.9	1	90	59	85	78	31	28	7.4	7.4	6.8	7.2	147	24	27	20	18	1	—	—	—	1	12
Okt.	3.8	9.7	4.7	5.7	−3.8	12	15.3	28	83	57	83	74	31	28	8.2	7.6	6.6	7.5	228	35	25	24	21	5	—	—	1	2	16
Nov.	−1.8	2.4	−1.3	−0.5	−11.8	16	10.6	30	85	68	87	80	36	22	9.1	9.2	7.9	8.7	266	20	10	23	21	15	—	—	2	—	19
Dez.	−2.9	0.4	−3.4	−2.3	−10.2	6	5.5	1	79	65	82	75	32	26	8.4	8.3	6.9	7.9	155	28	17	20	17	16	—	—	1	3	21
Jahr	3.9	9.9	4.6	5.7	—	—	30.0	VII	81	56	79	72	23	VII VIII	6.3	6.6	5.9	6.3	1774	63	VII	194	170	72	2	10	8	61	144

Rougemont

$\lambda = 7°\ 13'$, $\beta = 46°\ 29'$, $H_b = ca\ 1010^m$, $h_r = 1.3^m$ — Beobachter: **Victor Saugy**

Jan.	−6.5	−1.7	−5.3	−4.7	−17.2	21	4.7	1	87	76	90	84	39	3	—	—	—	—	167	47	11	16	16	16	—	—	—	—	—
Febr.	−6.8	0.0	−4.5	−3.0	−14.2	18	5.2	23	87	65	85	79	47	24	—	—	—	—	135	31	12	11	9	10	—	—	—	—	—
März	−0.1	6.7	2.3	2.8	−7.7	15	14.1	31	93	64	89	82	38	31	—	—	—	—	137	24	7	19	14	6	—	—	—	—	—
April	4.1	13.7	6.6	7.7	−7.4	3	19.6	15	88	50	80	73	29	11	—	—	—	—	68	17	1	9	8	2	—	—	—	—	—
Mai	9.0	17.1	10.6	11.8	4.1	6	22.8	31	80	47	75	67	36	15	—	—	—	—	38	18	11	10	9	—	—	—	—	—	—
Juni	12.8	21.2	14.8	15.9	9.9	8	27.8	30	80	52	77	70	34	15	—	—	—	—	130	21	15	11	11	—	—	—	—	—	—
Juli	14.9	24.2	17.7	18.4	9.1	30	30.9	2	79	47	72	66	29	8	—	—	—	—	112	29	28	7	7	—	—	—	—	—	—
Aug.	12.3	21.0	14.5	15.6	7.1	23	28.5	13	85	56	83	75	29	28	—	—	—	—	159	31	18	13	12	—	—	—	—	—	—
Sept.	6.7	13.6	8.3	9.2	1.3	21	21.8	1	95	63	89	82	42	28	—	—	—	—	167	24	27	19	18	3	—	—	—	—	—
Okt.	3.9	10.4	5.5	6.3	−3.0	12	15.0	21	93	64	92	83	44	4.9 28	—	—	—	—	252	44	13	22	19	3	—	—	—	—	—
Nov.	−1.7	1.4	−0.4	−0.1	−13.5	16	7.5	30	93	80	92	88	61	2	—	—	—	—	310	32	10	25	22	18	—	—	—	—	—
Dez.	−3.1	−0.5	−3.0	−2.4	−11.0	26	5.6	2	86	77	87	83	53	5	—	—	—	—	186	34	17	19	16	15	—	—	—	—	—
Jahr	3.8	10.6	5.6	6.4	−17.2	I	30.9	VII	87	62	84	78	29	IV/VII VIII	—	—	—	—	1861	47	I	181	161	73	—	—	—	—	—

Château d'Oex

$\lambda = 7°\ 8'$, $\beta = 46°\ 29'$, $H_b = ca\ 1021^m$, $h_r = 1.5^m$ — Beobachter: **C. Delachaux, E. Jaccard**

Jan.	−5.6	−1.0	−4.5	−3.9	−15.8	21	6.0	2	84	67	87	79	35	3	6.6	6.3	5.0	6.0	139	48	11	15	14	14	—	1	—	6	12
Febr.	−6.2	−0.1	−4.2	−3.7	−13.9	18	5.6	29	87	60	85	77	39	29	6.2	5.[illegible]	5.6	5.8	114	29	12	13	11	12	—	—	—	8	13
März	0.4	6.8	2.3	2.9	−6.8	15	14.5	31	91	61	88	80	34	31	6.5	6.3	6.1	6.3	138	21	7	17	15	4	—	—	2	6	12
April	4.8	14.1	5.8	7.6	−5.7	3	21.0	30	80	45	82	69	27	11	5.2	5.8	5.0	5.3	70	18	1	10	8	1	—	2	—	6	11
Mai	9.0	17.2	9.0	11.1	4.0	12	22.6	31	72	44	81	66	32	17	4.5	6.3	4.7	5.2	48	18	11	11	8	—	1	2	—	8	6
Juni	12.5	20.4	12.0	14.7	8.5	9	27.0	30	82	50	85	72	30	15	5.0	5.5	5.2	5.2	137	22	2	12	11	—	1	5	—	8	10
Juli	14.7	23.8	16.1	17.7	9.3	30	20.8	2	78	44	71	64	21	3	3.7	3.8	2.5	3.3	38	25	28	6	4	—	1	4	—	13	4
Aug.	11.9	20.6	13.6	14.9	7.1	23	27.8	14	87	52	83	74	21	5	5.0	4.9	4.7	4.9	165	31	6	15	12	—	—	5	—	10	6
Sept.	6.3	13.0	7.5	8.6	−0.3	21	20.0	2	93	63	90	82	32	25	7.7	6.9	7.2	7.3	181	27	11	21	20	1	—	2	2	—	14
Okt.	3.9	10.3	5.1	6.1	−3.4	12	14.8	24	92	64	92	83	43	30	7.2	7.4	6.0	7.1	213	38	25	21	19	1	—	—	3	4	16
Nov.	−1.8	2.5	−0.6	−0.1	−14.6	16	11.2	30	92	73	91	85	53	30	7.7	8.8	8.3	8.3	263	32	3	25	24	17	—	2	2	—	18
Dez.	−3.0	0.2	−3.2	−2.3	−10.8	26	6.2	1, 2	86	72	85	82	49	11	7.5	7.3	6.4	7.1	160	27	17	19	19	14	—	1	6	3	16
Jahr	3.6	10.6	5.0	6.1	−15.8	I	29.8	VII	85	58	85	76	21	VII	6.1	6.3	5.6	6.0	1666	48	I	184	165	64	3	24	15	72	138

Château d'Oex: Stationsverlegung und Beobachterwechsel am 1. Juli. Neues H_b = 993.5 m.

Marsens

$\lambda = 7°\ 4'$, $\beta = 46°\ 39'$, $H_b = 727^m$, $h_r = 1.5^m$ — Beobachter: **E. Baeriswyl**

Jan.	−4.1	0.1	−3.4	−2.7	−17.4	22	5.8	1	87	40	89	72	59	31	6.9	6.5	5.1	6.2	109	26	11	15	12	13	—	—	1	6	12
Febr.	−5.3	0.2	−2.9	−2.7	−14.2	18	5.8	29	91	76	88	85	55	29	7.4	6.4	5.5	6.4	67	26	12	9	8	9	—	—	4	6	13
März	2.3	7.9	4.4	4.7	−5.4	15	13.8	31	93	71	89	84	49	4	6.7	6.6	6.7	6.7	134	19	25	18	14	2	—	—	3	3	13
April	6.2	13.3	8.3	9.0	−3.0	2	19.2	15-18 19	87	62	93	81	45	6.13	4.8	4.5	3.7	4.3	56	17	1	6	6	1	—	1	—	12	9
Mai	9.9	16.9	12.0	12.7	4.6	22	22.2	31	86	54	76	72	43	13.29	3.6	4.0	4.0	3.9	103	33	11	11	8	—	—	3	1	10	3
Juni	14.8	20.7	15.6	16.7	11.0	21	27.6	30	85	71	78	78	36	11	4.1	4.2	3.9	4.1	123	27	7	12	10	—	—	3	—	11	5
Juli	17.0	24.3	18.8	19.7	11.4	29	30.2	6	82	52	72	69	36	5.18	2.5	3.6	2.9	3.0	59	28	9	4	4	—	—	—	—	13	3
Aug.	14.7	21.6	16.0	17.1	8.0	23	27.8	13	84	56	82	74	34	6	5.1	4.9	4.7	4.9	188	47	30	13	12	—	1	4	1	11	8
Sept.	9.0	13.7	9.6	10.5	3.6	21	20.8	2	93	71	91	85	55	25	6.8	7.0	6.1	6.6	177	30	11	20	19	—	—	—	2	3	11
Okt.	6.5	11.1	7.6	8.2	−1.8	12	16.4	24	91	72	91	84	47	28	7.4	7.3	6.1	6.9	195	50	25	21	19	1	—	—	2	3	14
Nov.	1.6	4.6	2.3	2.7	−8.6	16	14.2	30	89	79	92	87	50	30	7.8	8.4	8.6	8.3	196	29	27	24	22	13	—	1	2	1	18
Dez.	−0.1	1.6	−0.4	0.2	−5.4	10	8.8	1	89	82	89	87	65	3.26	8.9	7.9	7.4	8.1	141	26	14	19	15	8	—	1	8	—	20
Jahr	6.0	11.3	7.3	8.0	−17.4	I	30.2	VII	88	66	86	80	34	VIII	6.0	5.9	5.4	5.8	1548	50	X	172	149	47	1	13	24	79	129

Romont

$\lambda = 6^\circ 55', \beta = 46^\circ 41', H_b = 764^m, h_r = 1.5^m$ — Beobachter: Couvent des Capucins

1952	Luft-Temperatur								Relative Feuchtigkeit						Bewölkung				Niederschlag		Zahl der Tage							
	7^{30}	13^{30}	21^{30}	Mittel	Minimum	Tag	Maximum	Tag	7^{30}	13^{30}	21^{30}	Mittel	Minim.	Tag	7^{30}	13^{30}	21^{30}	Mitt.	Summe	Maxim. Tag	●	●* ≥1.0	*	▲	≡	helle	trübe
Jan.	-3.2	-0.2	-2.7	-2.2	-12.6	21	5.1	11	91	82	93	89	56	29	7.4	7.1	5.6	6.7	65	19	10	12	11	11	—	—	3	5	16
Febr.	-4.2	-0.2	-2.2	-2.2	-12.3	18	6.3	29	95	80	91	89	61	23	6.4	6.9	6.0	6.4	*60	?	—	*10	*10	*10	—	—	3	8	6
März	2.6	6.8	4.4	4.6	-4.9	15	13.4	31	94	77	89	87	56	28	7.5	7.5	7.0	7.3	105	18	29	14	13	2	—	—	5	2	18
April	6.1	12.6	8.4	8.9	3.5	3	19.1	19	89	65	80	78	53	10.29	5.1	5.0	3.7	4.6	54	19	1	6	6	1	—	1	1	12	9
Mai	10.0	15.9	12.1	12.5	5.4	22	21.7	31	87	60	76	74	46	15.29	4.0	4.9	4.3	4.5	58	20	11	9	9	—	—	2	—	9	2
Juni	14.6	20.3	16.4	16.9	11.2	9	26.5	30	85	61	75	74	42	5	5.1	5.2	4.8	5.0	120	25	13	12	11	—	—	3	—	9	10
Juli	16.7	23.5	19.3	19.7	10.6	29	29.8	2.5	82	55	69	68	37	27	2.6	3.7	3.3	3.2	27	18	28	6	5	—	—	2	—	15	2
Aug.	14.6	20.9	16.3	17.0	8.8	22	27.7	6	86	62	82	77	42	5.6	5.1	5.7	4.8	5.2	169	45	30	11	10	—	—	2	—	9	8
Sept.	8.5	13.0	10.0	10.4	3.0	21	20.0	2	96	74	89	86	61	20	7.1	6.8	5.8	6.6	131	29	11	20	20	—	—	—	2	3	15
Okt.	6.6	10.1	7.7	8.0	-1.0	12	14.2	24	94	69	92	85	56	28	7.6	7.7	6.9	7.4	172	51	25	18	18	—	—	—	1	3	15
Nov.	1.4	3.9	2.0	2.4	-7.1	16	11.2	30	92	82	92	89	49	5	7.4	8.3	8.2	8.0	169	37	27	22	22	13	—	1	2	1	19
Dez.	-0.6	0.6	-0.9	-0.5	-5.2	6	9.0	1	95	89	94	93	69	22	9.6	9.0	8.5	9.0	107	19	14	15	13	9	—	—	5	—	25
Jahr	6.1	10.6	7.6	8.0	-12.6	I	29.8	VII	90	71	85	82	37	VII	6.2	6.5	5.8	6.2	1237	51	X	155	148	46	—	11	22	76	145

Südwestschweiz

Allaman

$\lambda = 6^\circ 24', \beta = 46^\circ 29', H = 432^m, h_r = 1.5^m$ — Beobachter: E. Honegger

Jan.	—	—	—	—	—	—	—	—	—	—	—	—	—	—	—	—	—	—	—	—	—	—	—	—	—	—	—	—
Febr.	—	—	—	—	—	—	—	—	—	—	—	—	—	—	—	—	—	—	—	—	—	—	—	—	—	—	—	—
März	—	—	—	—	—	—	—	—	—	—	—	—	—	—	—	—	—	—	—	—	—	—	—	—	—	—	—	—
April	9.6	15.6	11.2	11.9	-0.4	2	22.5	18	—	—	—	—	—	—	4.1	4.0	4.1	4.1	38	*12	1	7	7	1	—	—	—	10	8
Mai	14.0	19.8	14.7	15.8	8.6	21	24.3	30	—	—	—	—	—	—	3.8	3.8	2.9	3.5	73	21	4	9	9	—	—	1	—	11	2
Juni	18.6	23.7	18.6	19.9	15.8	9	31.0	30	—	—	—	—	—	—	3.9	4.2	4.4	4.2	84	17	18	10	10	—	—	2	—	9	7
Juli	21.4	28.0	22.2	23.3	15.4	29	33.1	6	—	—	—	—	—	—	2.0	2.5	1.8	2.1	68	31	28	4	3	—	1	1	—	19	—
Aug.	17.1	23.2	18.2	19.2	10.2	18	28.8	6	—	—	—	—	—	—	3.6	4.4	3.9	4.0	136	37	30	12	9	—	1	2	—	10	4
Sept.	11.8	16.5	11.9	13.0	6.8	23	24.2	2	—	—	—	—	—	—	7.4	6.8	5.3	6.5	131	18	11	17	16	—	—	2	—	2	8
Okt.	8.5	12.3	9.0	9.7	5.2	28.31	15.8	5	—	—	—	—	—	—	7.9	7.5	6.3	7.2	230	45	13	20	18	—	—	1	—	3	16
Nov.	3.1	6.1	4.2	4.5	-2.1	20	11.4	28	—	—	—	—	—	—	7.5	9.5	7.8	8.3	187	26	25	23	20	10	—	—	—	—	17
Dez.	1.6	2.9	1.3	1.8	-2.4	6.7	9.6	2	—	—	—	—	—	—	8.8	8.4	7.0	8.1	139	24	16	20	15	10	—	1	—	—	18
Jahr	—	—	—	—	—	—	—	—	—	—	—	—	—	—	—	—	—	—	—	—	—	—	—	—	—	—	—	—	—

Leukerbad

$\lambda = 7^\circ 37', \beta = 46^\circ 23', H_b = \text{ca } 1380^m, h_r = 1.1^m$ — Beobachter: Spitalbad: Schw. G. Gränicher

Jan.	-5.7	-1.5	-5.5	-4.5	-15.0	21	5.9	8	71	58	75	68	41	8.20	6.2	6.5	4.2	5.6	104	25	11	11	9	11	—	—	3	9	11
Febr.	-6.5	-0.2	-5.4	-4.4	-13.1	6	6.9	28	74	55	72	67	27	6	6.7	5.9	5.1	5.9	49	12	12	8	8	8	—	—	1	8	3
März	0.2	6.4	1.1	2.2	-9.5	27	11.5	31	74	49	74	66	26	14	6.7	6.3	7.5	6.8	102	?	—	*14	*14	*11	—	—	1	3	16
April	4.0	11.0	4.9	6.2	-5.7	3	16.2	30	67	47	66	60	32	8	5.4	6.5	5.5	5.8	46	*23	23	6	6	4	—	—	6	3	8
Mai	9.2	14.6	8.5	10.2	3.5	14	23.0	30	57	39	56	51	29	28.30	3.5	5.5	4.9	4.6	17	5	24	7	7	—	—	—	—	6	3
Juni	13.3	19.0	12.1	14.1	8.1	8	25.2	30	62	44	69	58	30	5	4.0	6.0	4.2	4.7	88	17	18	9	9	—	—	4	—	11	6
Juli	15.8	22.0	16.3	17.7	8.6	30	28.8	5	60	41	57	53	25	5	2.8	4.5	2.5	3.3	33	9	9	7	7	—	—	2	1	11	3
Aug.	11.8	19.1	13.2	14.3	6.2	18.22	24.0	8.14.15	73	48	68	63	31	28	4.4	5.6	4.4	4.8	88	20	6	13	12	—	—	2	2	7	6
Sept.	6.2	11.8	6.4	7.7	0.8	20	20.0	2	80	57	80	72	34	25	7.6	6.3	5.7	6.5	82	?	—	14	13	4	—	—	3	1	12
Okt.	3.5	9.0	4.3	5.3	-3.0	12	14.0	21	77	61	79	72	29	12	6.8	7.5	5.9	6.7	124	27	13	14	14	6	—	—	—	3	12
Nov.	-2.2	1.7	-1.4	-0.8	-10.9	16	9.5	30	78	66	81	75	28	20	7.7	8.3	7.9	8.0	146	*30	25	15	15	10	—	—	—	1	17
Dez.	-3.6	0.2	-3.5	-2.6	-9.0	16	7.5	2	76	63	75	71	32	10	7.2	7.3	6.7	7.1	179	45	17	13	12	13	—	—	8	5	16
Jahr	3.8	9.4	4.3	5.5	-15.0	I	28.8	VII	71	52	71	65	25	VII	5.7	6.3	5.4	5.8	1058	45	XII	131	126	67	—	8	25	68	113

Grächen

$\lambda = 7^\circ 51', \beta = 46^\circ 12', H_b = 1629^m, h_r = 1.5^m$ — Beobachter: P. Heinzmann

Jan.	-6.6	-2.9	-6.7	-5.5	-15.6	21	5.0	8	—	—	—	—	—	—	5.5	4.5	4.4	4.8	27	12	10	6	4	6	—	—	1	9	8
Febr.	-7.2	-2.0	-6.2	-5.3	-13.4	6	6.2	24	—	—	—	—	—	—	4.8	4.5	4.5	4.6	20	8	11	5	5	5	—	—	3	11	10
März	-0.6	3.8	0.2	0.9	-0.9	27	7.2	24.31	—	—	—	—	—	—	6.0	5.3	5.4	5.6	42	10	5	10	7	9	—	—	3	6	10
April	3.7	9.2	4.5	5.5	-7.0	3	14.2	18	—	—	—	—	—	—	4.6	4.2	4.0	4.3	47	16	23	6	6	4	—	—	6	10	5
Mai	6.7	12.6	8.1	8.7	2.2	13	17.0	17.30	—	—	—	—	—	—	3.8	4.2	4.2	4.1	19	7	2	5	4	—	—	—	2	7	1
Juni	12.0	17.9	12.2	13.5	7.2	21	24.2	30	—	—	—	—	—	—	4.2	4.0	3.5	3.9	47	18	6	8	8	—	—	5	3	11	1
Juli	15.2	20.6	15.4	16.6	7.2	29	28.4	2	—	—	—	—	—	—	3.5	3.2	3.0	3.2	21	11	9	5	5	—	—	3	3	8	1
Aug.	12.1	17.7	12.6	13.7	6.0	21.22	23.4	6	—	—	—	—	—	—	4.3	4.9	3.7	4.3	79	21	30	10	9	—	—	3	3	9	2
Sept.	4.8	10.1	5.8	6.6	-1.0	21	16.6	5	—	—	—	—	—	—	6.0	4.6	4.7	5.1	30	9	11	11	7	4	—	—	5	6	4
Okt.	2.6	7.0	3.0	4.0	-3.8	12	11.0	21	—	—	—	—	—	—	6.2	4.9	5.0	5.4	102	32	13	16	13	8	—	—	2	4	5
Nov.	-3.6	-0.2	-2.6	-2.3	-12.0	16	6.6	5	—	—	—	—	—	—	6.9	6.3	5.9	6.4	106	?	—	16	15	16	—	—	3	4	13
Dez.	-4.8	-1.5	-4.7	-3.7	-9.8	16	3.4	1.2	—	—	—	—	—	—	6.1	5.7	6.2	6.0	68	*16	1	11	10	11	—	—	2	7	11
Jahr	2.9	7.7	3.5	4.4	-15.6	I	28.4	VII	—	—	—	—	—	—	5.2	4.7	4.5	4.8	608	?	—	109	93	63	—	11	36	92	71

Die Abendbeobachtung erfolgt um 20.30

Zermatt

$\lambda = 7^\circ 45'$, $\beta = 46^\circ 8'$, $H_b = 1610^m$, $h_r = 0.8^m$ — Beobachter: G. Brantschen

1952	Luft-Temperatur								Relative Feuchtigkeit						Bewölkung				Niederschlag		Zahl der Tage							
	7^{30}	13^{30}	21^{30}	Mittel	Minimum	Tag	Maximum	Tag	7^{30}	13^{30}	21^{30}	Mittel	Minim.	Tag	7^{30}	13^{30}	21^{30}	Mitt.	Summe	Maxim.	• *	• ≧1.0	*	▲	K	≡	helle	trübe
Jan.	-8.4	-2.1	-8.1	-6.7	-18.2	28	4.0	8	75	53	75	68	36	21	4.8	4.8	3.2	4.3	37	13	10	12	8	12	—	—	—	12	4
Febr.	-9.3	-0.9	-7.7	-6.4	-17.7	6	6.3	23	78	55	74	69	37	2	4.6	4.5	4.2	4.4	24	5	3	9	8	9	—	—	1	10	8
März	-2.4	5.5	-0.2	0.7	-12.2	27	9.2	31	81	57	78	72	39	31	5.2	4.9	5.2	5.1	87	30	22	14	13	13	—	—	3	8	8
April	1.3	11.5	4.0	5.2	-9.0	3	16.6	19	85	49	76	70	30	12	4.6	4.7	3.8	4.4	50	24	23	7	5	4	—	—	3	8	6
Mai	5.9	15.4	7.0	8.8	1.7	13	21.0	17	77	42	71	63	30	11	3.8	4.6	3.9	4.1	21	12	11	7	5	—	—	—	—	8	2
Juni	10.3	19.5	10.5	12.7	7.7	8.21	27.0	30	81	47	77	68	31	11	3.9	4.6	3.9	4.1	52	14	17	9	8	—	—	3	—	9	2
Juli	11.8	22.3	12.8	14.9	7.0	29.30	30.2	2	82	46	73	67	27	1	2.3	3.7	3.5	3.2	29	10	9	10	6	—	—	3	—	10	1
Aug.	8.5	19.0	10.8	12.3	3.0	22	26.0	13	89	52	81	74	35	29	3.6	4.7	3.5	3.9	83	29	30	15	9	—	—	2	3	9	4
Sept.	3.6	12.4	4.7	6.4	-2.2	26.21	19.2	2	95	58	90	81	39	5.25	5.4	5.3	4.9	5.2	35	10	11	15	11	4	—	—	2	6	7
Okt.	1.5	6.4	2.3	3.9	-5.3	12	13.8	21	88	56	87	77	34	9	6.5	4.8	4.7	5.3	78	23	4	19	12	8	—	—	5	3	5
Nov.	-5.6	0.4	-4.0	-3.3	-17.0	16	8.0	5	87	64	87	79	35	20	5.7	6.7	6.3	6.2	108	37	10	18	17	16	—	—	3	3	12
Dez.	-7.2	-1.0	-6.6	-5.3	-14.2	28	4.3	8	83	63	83	76	37	10	6.4	6.2	4.5	5.7	60	8	22	14	12	13	—	—	1	7	9
Jahr	0.8	9.3	2.1	3.6	-18.2	I	30.2	VII	83	54	79	72	27	VII	4.7	5.0	4.3	4.7	664	37	XI	149	114	79	—	8	21	93	68

Saas-Fee

$\lambda = 7^\circ 56'$, $\beta = 46^\circ 7'$, $H = ca\ 1800^m$, $h_r = 1.5^m$ — Beobachter: Familie Imseng

Jan.	-8.4	-4.0	-8.2	-7.2	-18.8	21	2.2	8	69	60	69	66	40	20.21	5.0	5.0	3.6	4.5	51	22	10	12	10	12	—	—	—	10	6
Febr.	-9.2	-2.4	-8.1	-7.0	-16.8	18	6.2	22	71	57	71	66	34	29	4.6	4.6	4.1	4.4	51	20	11	8	7	8	—	—	—	12	8
März	-2.7	3.8	-0.8	-0.1	-10.9	27	7.9	2	74	55	72	67	29	14	5.0	5.4	4.9	5.1	54	13	22	11	10	10	—	—	—	7	10
April	2.0	8.5	3.1	4.2	-11.2	3	14.1	17	75	53	74	67	37	9	5.0	4.5	4.6	4.7	75	32	23	7	5	4	—	—	—	5	5
Mai	6.2	11.6	6.9	7.9	2.8	21	16.6	30	70	46	64	60	34	17	3.6	4.3	3.7	3.9	44	15	4	6	6	—	—	—	—	7	1
Juni	11.2	16.4	11.2	12.5	6.5	8	24.7	30	71	46	68	62	30	30	3.9	4.6	5.0	4.5	37	8	6	10	7	—	—	—	—	8	2
Juli	13.9	19.5	13.9	15.3	7.8	29	27.0	2	74	46	66	62	24	1	3.1	4.0	4.7	3.9	17	10	9	7	4	—	—	—	—	6	3
Aug.	10.7	16.3	11.3	12.4	4.4	22	23.2	14	80	54	73	69	29	29	4.3	5.6	4.5	4.8	79	15	30	11	11	—	—	—	—	9	6
Sept.	3.7	9.4	4.8	5.7	-2.9	21	16.9	5	85	57	77	73	35	21	5.9	5.1	5.6	5.5	46	16	11	15	9	2	—	—	—	3	6
Okt.	1.6	6.8	1.8	3.0	-4.7	12	11.8	9	79	56	78	71	30	9	6.1	5.1	5.0	5.4	114	28	13	14	13	7	—	—	—	4	6
Nov.	-5.0	-1.2	-3.9	-3.5	-15.2	16	7.2	5	75	66	77	73	36	5	5.2	6.4	5.8	5.8	115	21	25	19	17	17	—	—	—	3	12
Dez.	-6.4	-2.4	-6.2	-5.3	-12.6	28	4.1	8	71	63	71	68	33	22	6.0	5.6	4.8	5.5	85	18	16	14	12	13	—	—	—	5	5
Jahr	1.5	6.9	2.2	3.2	-18.8	I	27.0	VII	74	55	72	67	24	VII	4.8	5.0	4.7	4.8	768	32	IV	134	111	73	—	—	—	79	70

Graubünden

Seewis

$\lambda = 9^\circ 38'$, $\beta = 46^\circ 59'$, $H_b = 953^m$, $h_r = 1.5^m$ — Beobachter: Frau B. Janett

Jan.	-4.6	-0.2	-3.9	-3.2	-12.0	22	4.2	8	84	51	81	72	40	29.31	6.6	6.4	4.7	5.9	127	27	13	18	15	17	—	—	—	6	11
Febr.	-4.8	0.9	-4.0	-3.0	-11.4	18	7.1	22	85	57	87	76	34	29	6.0	6.2	5.1	5.8	136	20	11	17	16	17	—	—	1	9	13
März	0.9	6.8	2.0	2.9	-5.1	15	15.0	31	84	54	81	73	29	9.16	6.8	6.3	4.8	6.0	113	28	20	18	15	10	—	—	3	4	8
April	6.4	13.6	7.1	8.6	-5.0	2	20.4	19	73	46	70	63	26	12	4.7	4.9	4.4	4.7	41	11	1.23	10	6	2	—	—	7	8	7
Mai	9.8	16.8	9.8	11.5	4.2	20	22.0	4	71	42	66	60	26	8	5.5	6.0	5.2	5.6	86	19	19	14	9	—	—	—	2	3	5
Juni	14.4	20.4	13.6	15.5	10.0	8	27.2	17	70	49	76	65	26	5	4.9	5.3	4.2	4.8	84	19	18	12	11	—	—	1	3	9	6
Juli	16.9	24.5	16.3	18.5	10.4	28	33.3	5	69	44	73	62	25	5	3.6	3.5	4.7	3.9	76	15	28	12	12	—	—	3	4	8	5
Aug.	14.8	20.9	14.9	16.4	8.4	20	29.2	14	74	50	77	67	29	6	5.0	4.5	4.8	4.8	96	19	20	14	12	—	—	1	6	11	8
Sept.	7.6	13.3	7.8	9.1	1.3	20	20.0	2	87	59	99	78	33	25	7.9	6.0	6.2	6.7	224	62	5	19	15	3	—	—	7	3	13
Okt.	4.3	9.4	5.3	6.1	-1.1	12	18.4	21	92	64	90	82	31	28	7.4	7.8	7.5	7.6	172	34	25	24	22	4	—	—	6	3	18
Nov.	-1.4	2.7	-0.8	-0.1	-10.0	16	10.1	28	90	65	87	81	38	25	6.6	6.6	6.1	6.4	233	46	10	20	18	14	—	—	4	1	10
Dez.	-3.5	0.0	-2.7	-2.2	-10.2	6	5.2	1	86	68	87	80	38	29	6.3	7.4	6.3	6.7	127	28	21	15	14	14	—	—	4	3	12
Jahr	5.1	10.8	5.4	6.7	-12.0	I	33.3	VII	80	54	80	72	25	VII	5.9	5.9	5.3	5.7	1515	62	IX	193	165	81	—	5	47	68	116

Schiers

$\lambda = 9^\circ 41'$, $\beta = 46^\circ 58'$, $H_b = ca\ 682^m$, $h_r = 1.7^m$ — Beobachter: Ch. Lötscher

Jan.	-5.8	-1.8	-4.1	-3.9	-14.2	22	3.4	1	94	81	92	89	65	18 30	7.0	7.2	5.4	6.5	100	27	11	18	12	17	—	—	—	3	15
Febr.	-5.5	-0.3	-3.8	-3.3	-13.2	18	14.5	23	94	75	92	87	54	29	7.1	6.7	5.5	6.4	108	20	3	17	15	17	—	—	1	7	15
März	0.8	7.3	2.5	3.3	-6.4	15	16.9	31	91	64	91	82	32	31	7.6	6.5	6.8	7.0	74	20	22	17	13	3	—	—	3	3	14
April	5.4	15.4	7.8	9.1	-3.1	3	22.1	30	92	49	86	76	22	12	5.9	5.8	5.3	5.7	24	9	1	5	5	2	—	—	1	6	10
Mai	9.1	17.7	10.7	12.0	4.1	23	23.2	1	91	47	86	75	26	8	6.2	6.7	5.9	6.3	61	15	19	10	7	—	—	—	—	2	8
Juni	13.1	21.6	15.1	16.2	9.6	11	29.1	30	92	54	88	78	29	5.6.29	5.2	5.4	6.1	5.6	70	16	18	12	11	—	—	—	—	7	8
Juli	15.1	25.8	17.8	19.1	9.7	30	34.7	5	91	46	85	74	22	5	3.8	3.9	5.5	4.4	66	16	15	10	10	—	—	2	—	7	4
Aug.	13.3	22.8	16.0	17.0	9.0	21	32.7	14	93	53	89	78	24	13.14	4.3	5.2	5.8	5.1	93	18	20	15	13	—	—	—	—	9	9
Sept.	8.0	14.5	9.3	10.3	0.0	21	21.9	2	95	66	94	85	45	14	7.2	6.2	6.0	6.5	200	45	5	16	13	—	—	—	—	4	13
Okt.	5.0	10.6	6.4	7.1	-1.4	13	20.4	21	96	75	95	89	41	21	7.8	8.1	7.7	7.9	138	28	25	25	19	1	—	—	5	3	20
Nov.	-1.6	2.0	-0.4	-0.1	-11.7	16	8.1	4	96	84	93	91	69	5	7.3	7.9	6.4	7.2	169	38	10	17	16	12	—	—	1	2	13
Dez.	-4.1	-1.1	-2.8	-2.7	-10.1	6	3.9	1	93	86	92	90	71	5.7.29	6.9	7.6	7.5	7.3	104	27	21	15	14	15	—	—	4	1	14
Jahr	4.4	11.2	6.2	7.0	-14.2	1	34.7	VII	93	65	90	83	22	IV VII	6.4	6.4	6.2	6.3	1207	45	IX	177	148	65	—	2	15	54	143

Tschiertschen

$\lambda = 9^\circ 36'$, $\beta = 46^\circ 49'$, $H_b = 1351^m$, $h_r = 1.2^m$

Beobachter: Gg. Meister

1952	Luft-Temperatur							Relative Feuchtigkeit						Bewölkung				Niederschlag		Zahl der Tage							
	7^{30}	13^{30}	21^{30}	Mittel	Minimum	Tag	Maximum	Tag	7^{30}	13^{30}	21^{30}	Mittel	Minim.	Tag	7^{30}	13^{30}	21^{30}	Mitt.	Summe	Maxim. Tag	●	●≥1.0	✳	▲	K	≡	helle	trübe
Jan.	-6.1	-1.8	-5.7	-4.8	-13.3	28	5.9	8	—	—	—	—	—	—	6.3	5.8	5.3	5.8	76	19	11	17	11	17	—	—	5	5	12
Febr.	-6.9	-1.5	-6.6	-5.4	-13.0	6	5.8	22	—	—	—	—	—	—	6.5	6.2	5.3	6.0	85	15	12	15	13	15	—	—	9	9	12
März	0.0	4.8	0.0	1.2	-8.9	14	10.9	29	—	—	—	—	—	—	6.8	5.8	6.2	6.3	59	*12	22	17	12	12	--	—	5	4	13
April	4.5	9.9	4.4	5.8	-7.6	2	16.1	30	—	—	—	—	—	—	4.9	5.1	5.2	5.1	59	13	23	13	10	3	—	—	8	10	9
Mai	7.2	12.7	6.8	8.4	1.7	21	18.0	31	—	—	—	—	—	—	5.2	6.5	5.9	5.9	66	16	19	11	10	—	—	—	5	3	7
Juni	11.8	16.9	10.8	12.6	7.0	8	23.9	30	—	—	—	—	—	—	5.3	4.2	5.7	5.1	106	25	13	12	11	—	—	—	7	8	7
Juli	14.4	20.6	13.9	15.7	7.7	28.29	28.9	2	—	—	—	—	—	—	3.7	3.0	4.5	3.7	55	19	28	11	9	—	—	1	4	10	2
Aug.	12.4	18.1	12.8	14.0	5.5	20	25.6	14	—	—	—	—	—	—	4.5	4.6	3.8	4.3	130	25	16	16	14	—	—	—	6	12	6
Sept.	6.1	10.1	5.4	6.7	0.7	19.20	16.4	2	—	—	—	—	—	—	7.0	5.4	6.6	6.3	197	53	5	18	13	3	—	—	6	5	13
Okt.	3.0	7.3	3.8	4.5	-3.3	12	15.1	21	—	—	—	—	--	—	7.4	7.5	6.5	7.1	128	31	25	22	14	5	—	—	3	2	13
Nov.	-2.9	0.9	-2.6	-1.8	-11.3	16	9.1	5	--	—	—	—	—	—	6.3	7.2	6.6	6.7	149	35	10	18	15	15	—	—	4	1	11
Dez.	-4.5	-1.4	-5.0	-4.0	-13.0	6	6.9	1	—	—	—	—	—	—	6.5	6.9	6.9	6.8	77	13	21	16	15	16	—	—	7	3	11
Jahr	3.2	8.0	3.2	4.4	-13.3	I	28.9	VII	—	—	—	—	—	—	5.9	5.7	5.7	5.8	1187	53	IX	186	147	86	—	1	69	72	116

Bivio

$\lambda = 9^\circ 39'$, $\beta = 46^\circ 28'$, $H_b = ca\ 1770^m$, $h_r = 1.6^m$

Beobachter: U. Grisch

Jan.	-8.0	-3.6	-8.4	-7.1	-17.2	21.28	5.3	11	79	63	81	74	37	15	5.4	5.2	3.6	4.7	64	14	19	17	15	17	—	—	2	6	6
Febr.	-10.6	-5.0	-9.8	-8.3	-20.8	16	4.8	28	81	61	86	76	37	15	6.1	5.1	4.7	5.3	73	11	4	15	13	15	—	—	2	7	7
März	-3.7	3.2	-2.7	-1.5	-14.6	27	7.0	19	83	61	81	75	33	15	6.7	5.6	5.2	5.8	88	25	29	18	14	17	—	—	—	4	10
April	1.7	7.7	1.9	3.3	-13.4	4	13.1	29	79	61	86	75	45	4.6	5.8	5.7	5.1	5.5	105	55	1	13	9	6	—	2	6	2	8
Mai	5.3	10.7	4.8	6.4	0.6	20.25	16.3	30	77	55	81	71	32	18	6.2	6.3	4.5	5.7	83	31	4	14	10	3	—	—	2	2	2
Juni	9.4	14.5	8.2	10.1	3.0	8	21.5	30	75	53	88	72	31	30	5.4	5.1	4.7	5.1	95	19	13	13	12	—	--	3	—	5	6
Juli	11.6	18.8	10.8	13.0	4.4	29	25.6	2	80	52	93	75	29	1	3.8	4.4	4.7	4.3	90	21	28	13	11	—	—	7	—	7	2
Aug.	9.6	15.9	10.1	11.4	1.8	20	23.4	13	86	59	88	78	32	29	5.0	5.3	4.7	5.0	122	22	20	14	13	—	—	3	3	10	6
Sept.	3.3	8.9	3.7	4.9	-3.4	19.20	16.8	2	85	61	88	78	36	28	7.4	5.8	5.6	6.3	187	37	11	16	15	9	—	2	3	3	11
Okt.	0.3	5.9	1.3	2.2	-8.0	3	12.1	24	79	63	85	76	35	9	7.4	6.9	4.5	6.3	175	47	20	16	11	11	—	—	8	3	11
Nov.	-5.2	-1.1	-4.3	-3.7	-16.1	15	6.4	5	81	69	77	76	44	22.25	7.1	7.0	5.6	6.6	148	29	10	15	13	15	—	—	3	3	10
Dez.	-6.3	-3.3	-6.0	-5.4	-15.6	16	4.9	1	79	71	81	77	41	10	6.8	6.9	5.3	6.3	68	17	14	16	11	15	—	—	3	2	9
Jahr	0.6	6.2	0.8	2.1	-20.8	II	25.6	VII	80	61	85	75	29	VII	6.1	5.8	4.9	5.6	1298	55	IV	180	147	108	—	17	32	54	88

Sils-Maria

$\lambda = 9^\circ 46'$, $\beta = 46^\circ 26'$, $H_b = 1815^m$, $h_r = 1.8^m$

Beobachter: St. Hartmann
K. Brenn-Sciucchetti

Jan.	-10.3	-4.3	-9.3	-8.3	-20.8	21	1.0	8	—	—	—	—	—	—	5.0	4.7	5.3	5.0	31	10	31	10	9	10	—	—	—	8	7
Febr.	-10.7	-2.7	-9.5	-8.1	-18.1	6	4.8	29	—	—	—	—	—	—	4.7	3.8	3.3	3.9	13	?	—	6	4	6	--	—	—	12	4
März	-4.4	2.6	-3.5	-2.2	-15.2	15	8.1	25	—	—	—	—	—	—	5.3	4.4	5.9	5.2	67	?	—	*10	*9	*10	—	—	—	8	10
April	—	—	—	—	—	—	—	—	—	—	—	—	—	—	—	—	—	—	*120	?	—	*8	*7	3	—	—	4	5	6
Mai	—	—	--	—	—	—	—	—	—	—	—	—	—	—	—	—	—	—	87	?	—	11	9	—	—	—	3	2	8
Juni	—	—	—	—	—	—	—	—	—	—	—	—	—	—	—	—	—	—	*85	?	—	*13	*11	—	—	—	—	—	—
Juli	12.0	18.9	11.8	13.6	6.0	28	24.8	2	81	51	86	73	25	1	4.0	5.3	5.3	4.9	112	24	28	16	13	—	—	7	2	4	5
Aug.	9.9	16.1	10.1	11.5	3.5	20	22.4	14	88	63	91	80	20	28	5.2	6.2	4.1	5.2	137	36	16	12	11	—	1	2	1	8	9
Sept.	3.4	9.3	4.0	5.2	-4.0	21	18.0	2	89	65	88	81	37	28	6.4	6.1	4.9	5.8	133	35	11	14	13	5	—	—	5	4	9
Okt.	0.5	5.4	0.7	1.8	-5.6	12	9.8	10	90	70	89	83	38	10	7.2	7.3	4.9	6.5	160	41	25	11	8	4	1	—	2	3	3
Nov.	-6.1	-1.0	-5.3	-4.4	-17.2	16	4.8	5	92	68	88	83	40	5	7.1	6.8	5.7	6.5	110	39	19	7	7	7	--	—	2	10
Dez.	-9.5	-3.9	-7.9	-7.3	-18.9	16	3.5	1	92	71	89	84	41	9.10	5.5	5.5	5.5	5.5	61	20	14	13	9	13	—	—	1	3	6
Jahr	—	—	—	—	-20.8	I	24.8	VII	—	—	—	—	--	—	—	—	—	—	1116	?	—	131	110	58	—	—	—	—	--

Sils-Maria: Stationsverlegung und Beobachterwechsel am 1. Juli. Neues H = 1802 m

Scarl (Unterengadin)

$\lambda = 10^\circ 20'$, $\beta = 46^\circ 43'$. $H = ca\ 1800^m$, $h_r = 2.0^m$

Beobachter: Eidg. Grenzwachtposten

Jan.	—	—	—	—	—	—	—	—	—	—	—	—	—	—	—	—	—	—	—	—	—	—	—	—	—	—	—	—
Febr.	—	—	—	—	—	—	—	—	—	—	—	—	—	—	—	—	—	—	—	—	—	—	—	—	—	—	—	—
März	—	—	—	—	—	—	—	—	—	—	—	—	—	—	—	—	—	—	—	—	—	—	—	—	—	—	—	—
April	—	—	—	—	—	—	—	—	—	—	—	—	—	—	—	—	—	—	—	—	—	—	—	—	—	—	—	—
Mai	—	—	—	—	—	—	—	—	—	—	—	—	—	—	—	—	—	—	—	—	—	—	—	—	—	—	—	—
Juni	10.1	16.4	8.8	11.0	5.0	11	24.2	29	50	34	64	49	14	6	4.9	5.2	4.3	4.8	68	15	18	9	9	—	—	—	—	5	3
Juli	13.1	19.4	12.4	14.3	6.8	31	28.4	6	51	27	71	50	15	4.5	2.9	4.6	3.5	3.7	119	?	—	13	13	—	—	—	—	10	2
Aug.	9.1	16.3	9.6	11.2	3.0	21	22.1	15	67	38	69	58	16	29	5.5	5.7	3.6	4.9	107	18	21	14	14	—	—	—	—	4	2
Sept.	4.9	10.7	4.5	6.2	-0.2	29	17.2	3	67	45	70	61	21	3	6.4	6.1	4.6	5.7	93	20	12	11	11	4	—	—	—	4	6
Okt.	1.0	5.3	1.2	2.2	-5.0	12	11.0	25	64	50	69	61	24	18	6.5	7.7	4.5	6.2	133	32	20	13	13	9	—	—	1	4	8
Nov.	—	—	—	—	—	—	—	—	—	—	—	—	—	—	—	—	—	—	—	—	—	—	—	—	—	—	—	—	—
Dez.	—	—	—	—	—	—	—	—	—	—	—	—	—	—	—	—	—	—	—	—	—	—	—	—	—	—	—	—	—
Jahr	—	—	—	—	—	—	—	—	—	—	—	—	—	—	—	—	—	—	—	—	—	—	—	—	—	—	—	—	—

Sta. Maria (Münstertal)

$\lambda = 10°25'$, $\beta = 46°36'$, $H_b = 1411^m$, $h_r = 1.8^m$ — Beobachter: Frau B. Graber

1952	Luft-Temperatur								Relative Feuchtigkeit						Bewölkung				Niederschlag			Zahl der Tage							
	7^{30}	13^{30}	21^{30}	Mittel	Minimum	Tag	Maximum	Tag	7^{30}	13^{30}	21^{30}	Mittel	Minim.	Tag	7^{30}	13^{30}	21^{30}	Mitt.	Summe	Maxim.	Tag	● *	● * ≥1.0	*	▲	⛆	≡	helle	trübe
Jan.	—	—	—	—	—	—	—	—	—	—	—	—	—	—	—	—	—	—	12	4	27	5	4	—	—	—	—	—	—
Febr.	—	—	—	—	—	—	—	—	—	—	—	—	—	—	—	—	—	—	20	11	13	6	4	—	—	—	—	—	—
März	—	—	—	—	—	—	—	—	—	—	—	—	—	—	—	—	—	—	40	12	29	10	8	—	—	—	—	—	—
April	—	—	—	—	—	—	—	—	—	—	—	—	—	—	—	—	—	—	27	16	1	4	3	—	—	—	—	—	—
Mai	—	—	—	—	—	—	—	—	—	—	—	—	—	—	—	—	—	—	12	4	3	5	3	—	—	—	—	—	—
Juni	13.2	19.3	13.1	14.7	10.1	9	26.4	30	43	41	60	48	21	30	4.9	5.7	3.9	4.8	63	17	13	10	10	—	—	1	—	6	5
Juli	15.7	22.4	15.9	17.5	10.1	29	28.4	2.5.7	41	38	62	47	25	7.25	2.7	4.8	5.9	4.2	64	17	9	15	9	—	—	1	—	6	1
Aug.	13.4	19.0	13.5	14.8	7.8	21	25.8	13.15	57	47	72	59	20	28	4.3	5.5	5.3	5.0	95	17	16	14	13	—	—	1	3	8	8
Sept.	7.2	12.2	7.3	8.5	0.1	21	20.6	1	71	49	73	64	28	20.28	7.1	6.2	5.5	6.3	78	18	11	13	12	2	—	—	1	5	13
Okt.	3.2	7.8	3.5	4.5	−1.4	13	12.8	7	71	53	71	65	27	9	6.9	7.0	4.6	6.2	137	37	25	9	9	2	—	—	1	3	11
Nov.	−3.7	−0.1	−3.1	−2.5	−12.6	16	8.4	6	68	52	66	62	30	6	6.6	6.9	4.3	5.9	75	31	19	7	7	6	—	—	—	5	10
Dez.	−4.7	−1.9	−4.2	−3.7	−11.8	16	4.8	2	68	53	66	62	31	4	7.0	6.9	4.7	6.2	54	22	14	9	7	9	—	—	—	2	11
Jahr	—	—	—	—	—	—	28.4	VII	—	—	—	—	—	—	—	—	—	—	677	37	X	107	89	—	—	—	—	—	—

Grono

$\lambda = 9°9'$, $\beta = 46°15'$, $H_b = 335^m$, $h_r = 1.3^m$ — Beobachter: A. Parolini

Jan.	−1.2	2.5	0.3	0.5	−5.3	31	6.1	10	85	60	75	73	27	20	5.4	4.3	3.6	4.4	19	7	24	6	6	6	—	—	—	6	6
Febr.	−0.2	5.6	1.5	2.1	−5.0	1	11.0	25	66	53	63	61	36	5	2.8	2.4	1.7	2.3	3	3	13	1	1	1	—	—	—	14	1
März	4.6	10.4	5.7	6.6	1.5	5	20.2	23	72	55	67	65	36	14	5.0	3.9	3.5	4.1	56	?	—	7	6	1	—	—	2	9	6
April	9.4	15.8	10.2	11.4	1.5	4	24.0	17	80	58	72	70	40	3. 17. 27	4.6	5.0	3.7	4.4	200	60	1	9	8	—	—	—	—	8	4
Mai	13.8	19.3	14.2	15.4	10.0	4	24.7	17	76	51	67	65	30	25	4.1	3.6	3.8	3.8	157	31	5	9	9	—	—	—	—	10	4
Juni	18.4	23.4	18.6	19.7	15.0	1	27.6	30	77	53	68	66	38	7	4.3	3.3	4.5	4.0	97	30	17	8	8	—	—	1	—	5	2
Juli	21.3	27.0	21.6	22.0	16.5	30	32.0	5	70	52	64	62	40	10	2.5	1.6	2.1	2.2	84	31	14	8	8	—	—	—	—	17	1
Aug.	17.4	23.4	18.2	19.3	13.4	21	29.2	15	79	60	73	71	45	22	4.2	4.1	3.7	4.0	171	39	16	10	10	—	—	—	—	9	6
Sept.	11.5	17.6	12.7	13.6	6.5	30	27.2	4	88	63	80	77	44	28	5.3	4.2	4.4	4.6	252	63	5	15	15	—	—	—	2	8	7
Okt.	7.9	13.6	9.0	9.9	5.0	13	17.0	8. 9	84	61	74	73	40	12	4.8	4.1	3.4	4.1	180	58	1	10	10	—	—	—	1	13	7
Nov.	2.9	6.9	3.8	4.4	−2.0	15	14.4	3	80	62	73	72	40	4	3.7	4.7	4.2	4.2	119	49	19	8	8	2	—	—	—	10	4
Dez.	−0.5	3.3	0.9	1.2	−2.8	10	12.0	2	84	65	79	76	23	4	4.1	4.4	4.-	4.2	29	15	14	8	7	8	—	—	—	10	4
Jahr	8.8	14.1	9.7	10.6	−5.3	I	32.0	VII	78	58	71	69	23	XII	4.2	3.8	3.6	3.9	1367	63	IX	99	96	18	—	1	5	119	52

Tessin

Airolo

$\lambda = 8°36'$, $\beta = 46°31'$, $H_b =$ ca. 1170^m, $h_r = 0.8^m$ — Beobachter: Frau Rossi-Burkhalter

Jan.	−3.8	−1.1	−3.7	−3.1	−10.4	21	4.6	8	70	69	70	70	45	2	5.7	4.8	4.2	4.9	81	22	10	9	9	9	—	—	—	11	6
Febr.	−2.5	1.4	−2.2	−1.4	−8.8	19	8.5	23	66	59	65	63	40	29	4.6	3.2	4.0	3.9	39	22	11	6	6	6	—	—	1	12	6
März	0.7	5.1	1.9	2.4	−3.5	12	10.2	24	80	66	79	75	42	2	5.6	4.5	5.0	5.0	85	33	29	10	9	4	—	—	4	10	11
April	5.1	11.1	6.6	7.3	−4.0	4	17.1	19	80	67	77	75	38	3	4.9	5.0	4.0	4.6	200	52	23	7	7	1	—	—	—	7	4
Mai	8.6	14.1	9.8	10.6	4.8	4	18.6	30	81	66	80	76	42	17	5.2	5.8	6.0	5.7	186	58	4	13	13	—	—	—	1	4	7
Juni	12.7	19.1	13.3	14.6	8.8	9	26.4	30	82	61	81	75	40	21. 25 27	3.6	4.1	3.3	3.7	155	57	18	7	7	—	—	—	1	8	3
Juli	16.5	22.9	15.9	17.8	11.3	28	29.1	7	84	59	83	75	33	20	3.1	3.7	4.4	3.7	46	15	11	12	12	—	—	3	1	9	3
Aug.	13.4	19.2	13.5	14.9	9.0	21	26.7	13	87	66	86	80	27	28	3.5	4.5	3.6	3.9	179	35	15	15	13	—	—	2	—	11	4
Sept.	7.8	12.2	7.7	8.8	1.7	29	21.4	1	88	66	85	80	36	28	6.2	6.4	6.2	6.3	215	38	11	17	17	1	—	—	4	4	9
Okt.	4.3	8.7	4.7	5.6	0.1	12	13.2	10	86	66	83	78	35	27	6.2	5.9	5.1	5.7	157	34	1	13	12	1	—	—	—	7	11
Nov.	−1.5	1.2	−1.1	−0.6	−9.2	15	7.2	3	81	73	80	78	34	5	6.8	6.6	6.2	6.5	169	41	10	16	15	11	—	—	—	5	13
Dez.	−2.4	−0.4	−2.2	−1.8	−6.6	28	5.2	2	76	69	74	73	45	25	6.1	5.7	3.7	5.2	95	17	21	15	15	14	—	—	1	6	8
Jahr	4.9	9.5	5.4	6.3	−10.4	I	29.1	VII	80	66	79	75	27	VIII	5.1	5.0	4.6	4.9	1607	58	V	140	135	47	—	5	13	94	85

Comprovasco

$\lambda = 8°56'$, $\beta = 46°28'$, $H_b = 544.1^m$, $h_r = 1.6^m$ — Beobachter: Frl. P. Gianella

Jan.	−1.8	2.9	−1.1	−0.3	−7.8	29	6.2	10	—	—	—	—	—	—	4.8	4.5	4.1	4.5	48	14	24	9	7	9	—	—	—	9	7
Febr.	−0.1	6.9	2.3	2.8	−4.5	1	16.2	28	—	—	—	—	—	—	4.3	4.4	3.8	4.2	1	—	—	2	—	1	—	—	—	10	5
März	3.9	10.0	5.2	6.1	−1.8	15	18.6	20	—	—	—	—	—	—	5.2	5.4	5.4	5.3	69	28	29	7	6	3	—	—	—	5	13
April	8.8	16.0	9.4	10.9	−0.1	4	23.0	16	—	—	—	—	—	—	4.8	6.0	4.5	5.1	142	45	23	7	7	—	—	—	—	4	6
Mai	11.8	18.9	13.0	14.2	5.6	23	24.5	16	—	—	—	—	—	—	4.5	5.5	5.4	5.1	163	68	4	9	9	—	—	2	—	5	8
Juni	16.2	24.	16.7	18.4	12.3	18	30.0	29	—	—	—	—	—	—	4.2	5.1	4.6	4.6	101	30	18	9	7	—	—	4	—	3	3
Juli	18.4	26.3	18.7	20.5	12.0	21	32.3	7	—	—	—	—	—	—	2.9	4.3	4.1	3.8	87	22	14	15	13	—	—	5	—	8	1
Aug.	15.0	23.1	16.4	17.7	9.6	22	30.4	15	—	—	—	—	—	—	4.1	5.0	4.0	4.4	127	14	9	15	13	—	—	4	—	11	4
Sept.	9.2	16.5	10.5	11.7	3.2	21	25.6	3	—	—	—	—	—	—	5.4	5.7	5.3	5.5	326	107	5	17	17	—	—	1	—	6	11
Okt.	6.7	13.0	7.9	8.8	3.2	3.9.18	19.7	7	—	—	—	—	—	—	5.9	5.5	4.8	5.4	133	32	20	8	8	—	—	1	—	5	9
Nov.	2.0	6.2	2.1	3.1	−4.4	16	15.4	2	—	—	—	—	—	—	5.9	6.7	4.9	5.8	128	44	19	10	8	6	—	—	—	4	9
Dez.	−0.8	3.7	0.1	0.8	−5.2	17	11.2	2	—	—	—	—	—	—	5.9	5.5	4.5	5.3	61	16	14	12	9	8	—	—	1	3	7
Jahr	7.4	14.0	8.4	9.6	−7.8	I	32.3	VII	—	—	—	—	—	—	4.8	5.3	4.6	4.9	1386	107	IX	120	104	27	—	17	1	73	83

Fescoggia

$\lambda = 8^\circ 53'$, $\beta = 46^\circ 02'$, $H_b = \text{ca } 845^m$, $h_r = 1.8^m$ — Beobachter: H. Suter

1952	Luft-Temperatur								Relative Feuchtigkeit						Bewölkung				Niederschlag		Zahl der Tage							
	7^{30}	13^{30}	21^{30}	Mittel	Minimum	Tag	Maximum	Tag	7^{30}	13^{30}	21^{30}	Mittel	Minim.	Tag	7^{30}	13^{30}	21^{30}	Mitt.	Summe	Maxim. Tag	●	≧1.0	✳	▲	K	≡	helle	trübe
Jan.	−1.4	3.5	−0.9	0.1	−5.8	28	8.4	8	—	—	—	—	—	—	4.1	4.4	3.5	4.0	40	21	24	6	5	6	—	—	1	14	7
Febr.	−0.6	6.7	0.9	2.0	−4.7	1	13.4	22.23	—	—	—	—	—	—	3.2	2.9	1.9	2.7	10	10	13	1	1	1	—	—	—	13	2
März	4.3	10.0	3.9	5.5	−2.5	8	20.2	23	—	—	—	—	—	—	4.9	5.0	4.6	4.8	76	34	29	7	5	4	—	—	5	7	10
April	9.5	15.3	8.8	10.6	0.2	5	25.1	17	—	—	—	—	—	—	6.1	7.2	5.9	6.4	351	91	23	13	11	1	—	3	—	3	11
Mai	11.9	17.0	12.0	13.2	6.5	21	24.4	17	—	—	—	—	—	—	5.8	6.4	5.1	5.8	317	92	4	12	11	—	1	5	1	5	12
Juni	15.8	21.0	16.5	17.4	12.4	8	26.7	30	—	—	—	—	—	—	5.5	6.1	5.1	5.6	104	16	18	18	15	—	—	7	—	4	7
Juli	19.3	24.9	19.7	20.9	13.8	28	29.3	6	—	—	—	—	—	—	4.2	4.2	3.9	4.1	83	24	27	12	12	—	—	6	—	8	2
Aug.	17.4	22.7	17.9	19.0	13.0	21.24	27.4	13	—	—	—	—	—	—	5.8	5.8	2.7	4.8	170	63	9	14	11	—	—	7	4	7	4
Sept.	11.9	16.7	12.3	13.3	6.0	29	25.2	1	—	—	—	—	—	—	5.5	6.1	5.0	5.5	232	87	11	14	14	—	—	2	4	6	10
Okt.	8.5	13.3	8.9	9.9	5.0	13	18.0	7	—	—	—	—	—	—	5.3	5.5	3.7	4.8	130	41	20	12	10	—	—	—	4	8	9
Nov.	2.9	7.6	3.7	4.5	−2.5	15	14.8	2	—	—	—	—	—	—	4.7	5.7	5.2	5.2	96	52	18	6	5	5	—	—	—	7	7
Dez.	0.8	4.4	1.2	1.9	−4.0	17	12.8	2	—	—	—	—	—	—	6.2	5.8	5.0	5.7	40	18	14	9	8	7	—	—	1	6	8
Jahr	8.4	13.6	8.7	9.9	−5.8	I	29.3	VII	—	—	—	—	—	—	5.1	5.4	4.3	4.9	1649	92	V	124	108	24	1	30	20	88	89

Monte Brè

$\lambda = 8^\circ 59'$, $\beta = 46^\circ 1'$, $H_b = 910^m$, $h_r = 1.5^m$ — Beobachter: A. Rezzonico

Jan.	−0.9	1.0	−0.5	−0.2	−5.0	21	6.0	8	—	—	—	—	—	—	4.3	4.7	3.4	4.1	11	7	24	4	2	4	—	—	2	12	6
Febr.	0.2	3.5	1.3	1.6	−5.0	1	10.6	21	—	—	—	—	—	—	3.6	3.1	2.1	2.9	7	7	13	1	1	1	—	—	2	14	2
März	3.1	6.9	4.5	4.8	−3.5	9	15.0	23	—	—	—	—	—	—	4.9	4.7	4.6	4.7	50	22	29	4	4	1	—	—	6	7	8
April	8.7	13.1	9.1	10.0	0.5	3.4	19.5	17	—	—	—	—	—	—	6.5	6.8	6.0	6.4	279	93	23	10	10	—	—	3	6	3	9
Mai	11.6	15.6	12.9	13.2	6.0	5	20.5	30	—	—	—	—	—	—	5.5	6.0	5.7	5.7	231	63	4	10	10	—	—	3	3	5	7
Juni	16.3	20.8	17.5	18.0	13.8	9	25.0	30	—	—	—	—	—	—	5.2	4.5	4.5	4.7	111	30	15	11	11	—	—	4	—	4	4
Juli	19.3	23.5	20.4	20.9	13.8	28	27.9	3	—	—	—	—	—	—	4.1	4.0	4.1	4.1	62	19	27	7	5	—	—	5	—	10	3
Aug.	16.7	21.0	17.7	18.3	12.0	24.25	26.0	14	—	—	—	—	—	—	4.5	4.6	4.2	4.4	216	67	30	10	10	—	—	5	2	7	5
Sept.	11.0	14.2	12.0	12.3	5.3	29	22.1	2	—	—	—	—	—	—	5.2	5.6	4.8	5.2	188	59	5	13	13	—	—	1	3	5	8
Okt.	7.4	10.4	8.5	8.7	4.2	18.11	13.5	26	—	—	—	—	—	—	5.8	5.2	4.7	5.2	135	38	20	8	8	—	—	1	7	7	9
Nov.	2.3	4.9	3.0	3.3	−2.5	15	9.5	4	—	—	—	—	—	—	4.9	5.9	5.5	5.4	70	47	19	5	5	2	—	—	—	6	8
Dez.	0.5	2.1	0.8	1.0	−3.5	17	7.9	2	—	—	—	—	—	—	6.3	5.6	5.5	5.8	31	10	14	7	7	6	—	—	3	5	10
Jahr	8.0	11.4	8.9	9.3	−5.0	I II	27.9	VII	—	—	—	—	—	—	5.1	5.1	4.6	4.9	1391	93	IV	90	86	14	—	22	34	85	79

Mezzana

$\lambda = 9^\circ 0'$, $\beta = 45^\circ 51'$, $H = 335^m$, $h_r = 1.0^m$ — Beobachter: Istituto Agrario Cantonale

Jan.	−0.4	5.9	0.3	1.5	−5.5	29	10.4	11	85	63	83	77	25	12	4.1	3.6	2.5	3.4	33	15	24	5	5	5	—	—	2	16	7
Febr.	−0.3	8.3	1.7	2.8	−4.5	1	15.0	25	88	59	85	77	28	6	3.3	2.8	1.8	2.6	9	9	13	1	1	1	—	—	3	14	2
März	4.3	12.1	6.3	7.2	−1.5	9	23.5	23	90	60	84	78	25	11.26	5.1	4.7	4.0	4.6	48	22	30	4	4	—	—	—	3	10	8
April	10.1	17.5	11.8	12.8	2.5	6	26.2	16	99	68	90	86	36	16	5.9	5.9	3.8	5.2	305	168	23	11	9	—	—	4	—	5	7
Mai	14.7	21.6	15.9	17.0	10.0	5.6	28.5	17	84	56	83	74	33	13	5.0	5.0	5.4	5.1	199	52	5	10	8	—	—	3	—	5	6
Juni	19.4	26.8	20.9	22.0	17.0	8.9.10 12.13	33.0	30	91	57	88	79	40	24	5.4	4.4	4.0	4.6	115	38	8	11	9	—	—	4	—	3	4
Juli	21.9	30.2	22.4	24.2	16.5	29	35.8	5	92	53	79	75	35	29	3.5	3.5	2.1	3.0	157	31	27	11	11	—	—	6	—	12	2
Aug.	19.0	27.6	20.1	21.7	12.0	21	34.0	14	97	57	89	81	44	22	4.4	3.8	3.3	3.8	108	39	19	9	9	—	—	2	—	10	4
Sept.	13.4	20.5	14.6	15.8	8.0	28	30.5	2	96	66	90	84	32	20	5.0	5.0	4.2	4.7	126	41	11	14	13	—	1	1	—	9	8
Okt.	8.7	15.8	9.5	10.9	3.5	12	21.5	7	98	69	95	87	28	8	5.5	5.6	4.1	5.1	118	39	20	8	8	—	1	1	1	8	9
Nov.	3.8	10.3	4.8	5.9	−3.0	15	18.5	4.5	87	66	85	79	30	9	4.6	5.2	3.9	4.6	133	49	18	5	4	—	—	—	—	8	6
Dez.	0.7	5.5	1.9	2.5	−3.5	18.19	13.0	2	95	80	93	89	35	16	6.3	5.5	5.3	5.7	56	31	14	8	6	6	—	—	1	6	13
Jahr	9.6	16.8	10.8	12.0	−5.5	I	35.8	VII	92	63	87	81	25	I III	4.8	4.6	3.7	4.4	1407	168	IV	97	87	12	2	21	10	106	76

Weißenstein

Die Abendbeobachtung erfolgt um 20.30 $\lambda = 7^\circ 30'$, $\beta = 47^\circ 15'$, $H_b = 1285^m$, $G = -0.08$ $mgal$, $h_r = 1.7^m$

1952	Luftdruck					Luft-Temperatur							Relative Feuchtigkeit					
	Mittel	Minimum	Tag	Maximum	Tag	7^{30}	13^{30}	21^{30}	Mittel	Minimum	Tag	Maximum	Tag	7^{30}	13^{30}	21^{30}	Mittel	Minimum	Tag
Januar	648.5	635.6	25	665.6	7	-4.9	-3.4	-4.6	-4.4	-11.0	28	5.1	8	88	86	87	87	25	7
Februar	650.7	634.4	1	661.1	6	-5.1	-2.9	-4.8	-4.5	-11.4	14	5.2	23	87	84	89	87	36	23
März	649.1	634.1	29	655.2	1	0.3	2.5	1.1	1.1	-8.0	27	7.6	31	88	82	86	85	36	3
April	653.0	635.8	1	659.7	8	4.2	7.6	5.4	5.4	-8.0	2	16.8	18	82	72	75	76	40	10
Mai	653.9	642.2	4	660.1	23	7.0	11.1	8.0	8.3	1.8	21	17.6	1	78	62	76	72	31	18
Juni	656.2	650.3	15. 26	661.7	30	11.2	15.1	11.9	12.2	6.4	21	23.4	30	75	64	71	70	32	29
Juli	656.5	647.3	28	661.4	1	14.9	18.8	15.3	15.8	6.8	29	28.2	2	68	57	68	64	35	18
August	654.2	645.7	19	658.3	12. 13	12.6	17.0	13.8	14.1	6.0	21	24.0	6	76	64	67	69	28	29
September	652.3	639.4	27	659.8	23	5.0	7.7	6.0	5.9	-0.2	19. 20	13.4	3	93	82	86	87	45	3
Oktober	651.5	643.4	14	657.4	8	3.5	5.5	3.9	4.1	-4.0	31	10.2	28	90	86	91	89	42	28
November	648.3	638.0	26	658.8	4	-1.7	-0.3	-1.2	-1.3	-9.0	16	7.8	30	96	94	95	95	58	29
Dezember	648.1	633.2	14	657.1	5	-3.0	-2.3	-3.2	-2.9	-10.2	7	6.4	1	90	87	89	89	22	9
Jahr	651.9	633.2	XII	665.6	I	3.7	6.4	4.3	4.5	-11.4	II	28.2	VII	84	77	82	81	22	IX

Beobachter: **Th. Klein**

Weißenstein

Bewölkung				Niederschlag			Zahl der Tage								Windverteilung									1952
7^{30}	13^{30}	21^{30}	Mittel	Summe	Maximum	Tag	● *	●* ≧1.0	*	▲	⛆	≡	heiter	trüb	N	NE	E	SE	S	SW	W	NW	Calmen	
8.0	7.7	6.2	7.3	81	16	11	14	13	14	—	—	21	2	17	7	4	3	6	8	30	19	16	—	Januar
7.0	6.4	6.0	6.5	65	11	3	11	10	11	—	—	17	7	14	12	9	11	3	5	10	15	22	—	Februar
8.3	8.4	7.5	8.1	116	21	29	20	15	6	—	—	18	1	20	7	6	3	8	8	25	16	20	—	März
6.0	7.7	5.6	6.4	86	*24	1	9	9	4	—	—	9	3	11	15	13	6	13	11	21	3	8	—	April
6.6	7.9	6.7	7.1	73	?	—	11	10	—	—	—	5	—	12	26	11	6	3	10	13	9	15	—	Mai
5.8	6.9	6.0	6.2	114	29	6	12	11	—	—	2	8	5	13	14	5	4	5	7	9	17	29	—	Juni
3.2	5.1	4.7	4.3	86	30	28	6	5	—	—	1	3	10	3	26	13	6	12	7	3	4	21	1	Juli
6.1	6.4	5.9	6.1	180	44	30	14	13	—	—	—	7	4	11	9	3	3	6	14	30	14	14	—	August
8.4	9.1	7.2	8.2	146	?	—	19	19	2	—	—	16	—	18	5	1	2	2	9	26	25	20	—	September
7.9	8.5	7.7	8.0	199	54	24	20	19	5	—	—	21	—	18	6	—	—	4	13	30	22	18	—	Oktober
9.0	9.4	9.5	9.3	144	32	25	19	19	14	—	1	22	—	26	7	2	1	6	6	22	21	25	—	November
8.2	8.5	7.4	8.0	107	24	1	19	17	16	—	—	20	3	21	12	7	—	4	5	36	19	10	—	Dezember
7.0	7.7	6.7	7.1	1397	54	X	174	160	72	—	4	167	35	184	146	74	45	72	103	255	184	218	1	Jahr

$\lambda = 8^\circ 3'$, $\beta = 46^\circ 38'$, $H =$ ca 1040^m, $h_r = 1.6^m$

Grindelwald

Beobachter: **G. Bohren**

1952	Luft-Temperatur							Relative Feuchtigkeit						Bewölkung				Niederschlag			Zahl der Tage							
	7^{30}	13^{30}	21^{30}	Mittel	Minimum	Tag	Maximum	Tag	7^{30}	13^{30}	21^{30}	Mitt.	Minimum	Tag	7^{30}	13^{30}	21^{30}	Mitt.	Summe	Maximum	Tag	● *	●* ≧1.0	*	▲	⛆	≡	helle	trübe
Sept.	6.6	13.3	8.3	9.1	0.4	21	20.9	1	—		—	—	—	—	6.7	5.8	6.3	6.3	97	17	11	19	16	—	—	—	—	3	14
Okt.	4.3	9.6	5.2	6.1	-0.2	12	14.0	5	—	—	—	—	—	—	6.5	6.4	5.7	6.2	143	27	25	21	19	3	—	—	1	4	10
Nov.	-1.1	1.5	-0.4	-0.1	-10.8	16	9.6	19	—	—	—	—	—	—	6.9	7.9	7.0	7.3	257	38	10	17	17	12	—	1	2	—	14
Dez.	-2.9	-1.0	-2.9	-2.4	-8.8	10	5.1	1	—	—	—	—	—	—	7.7	6.2	5.8	6.6	108	17	18	15	14	11	—	—	3	4	14

$\lambda = 7^\circ 16'$, $\beta = 46^\circ 30'$, $H =$ ca 1155^m, $h_r = 1.6^m$

Saanen

Beobachter: **Kindersanatorium Solsana**

Aug.	11.9	18.8	15.0	15.2	7.4	23.25	25.6	6	90	58	77	75	35	5	?	?	?	?	141	32	6	13	12	—	—	—	1	6	9
Sept.	6.4	12.0	8.4	8.8	0.2	21	19.6	1	96	69	87	84	41	25	7.4	6.8	7.2	7.1	131	18	27	19	19	3	—	1	2	—	13
Okt.	4.7	9.2	6.4	6.7	-2.0	9	13.8	24	93	70	86	83	48	9	7.5	7.6	7.0	7.4	232	45	13	21	19	3	—	—	—	3	14
Nov.	-0.9	1.5	0.3	0.3	-11.0	16	9.0	30	93	82	91	89	37	20	8.1	8.5	8.5	8.4	247	28	10	22	21	17	—	2	—	—	17
Dez.	-2.3	-0.2	-1.8	-1.5	-7.8	6.16	6.0	2	88	78	85	84	54	11	7.9	7.4	6.5	7.3	144	23	17	16	15	14	—	—	1	3	17

Anhang

zum Jahrgang 1952 der Annalen der
Schweizerischen Meteorologischen Zentralanstalt

Ergänzende Beobachtungen und Abhandlungen

Nr. 1

Übersicht über den Witterungsverlauf in der Schweiz im Jahre 1952

Die Jahresdurchschnitte der Temperatur waren im Jahre 1952 wiederum, wie in den letzten 10 Jahren, höher als die langjährigen Mittelwerte. Die größten Überschüsse finden sich im Mittelland. Sie betragen hier 1°, sind also sehr beträchtlich. Immerhin liegen sie noch meist um ein halbes Grad unterhalb der bisher höchsten Jahreswerte. Eine Ausnahme bildet Genf, dessen Temperatur hinter dem bisherigen Höchstwert vom Jahre 1943 nur um 0.1° zurückbleibt. Im Jura, im Wallis und im Tessin wurden positive Abweichungen von 0.5 bis 0.7°, in Graubünden solche von 0 bis 0.5° ermittelt. Ein geringes Defizit errechnet sich für die Hochstation Säntis. Von den einzelnen Monaten war der Februar auf der Alpennordseite, der September allgemein, der November für die Höhen sehr kalt. Dagegen sind die Monate März bis August ausgesprochen warm gewesen; der Juli besonders hat ungewöhnlich hohe Temperaturen aufzuweisen.

Die Jahressummen der Sonnenscheindauer zeigen im Mittelland, aber auch im Wallis und im Engadin geringe Überschüsse, die aber nur vereinzelt größer sind als 5 % des langjährigen Mittels. Die meisten Stationen des übrigen Alpengebietes weisen ein Defizit auf, das in Davos den Betrag von 12 % des Normalwertes erreicht. (Die Größenordnung der bisher größten Abweichungen liegt bei 20 %.) Ausgesprochen helle Monate waren auf der Alpennordseite der April bis Juli; der Mai war in der Westschweiz sogar ungewöhnlich sonnig. Als ausgesprochen trübe können besonders der September und der Dezember gelten, auf der Alpennordseite auch der November, im nordöstlichen Mittelland der Februar, in der Ostschweiz der Oktober.

Die Jahressummen der Niederschläge waren im Tessin etwas zu klein (um höchstens 10% des Normalwertes). Sehr große, zum Teil ungewöhnlich große prozentuale Mengen ergeben sich für die Jurazone (130 bis 135 %), für das westschweizerische Mittelland, das Wallis, Glarus und das nördliche Graubünden (120 bis 125 %). Auf vielen Stationen des genannten Gebietes sind die diesjährigen Beträge seit dem Jahre 1864 nur viermal übertroffen worden. Das absolute Maximum der genannten Periode wurde allerdings nirgends erreicht. In Sion beträgt die Jahressumme 892 mm, das sind 151 % des Normalwertes. Das bisherige Maximum (vom Jahre 1866) betrug 1120 mm. Auf der ganzen Alpennordseite hat der November ungewöhnlich viel Niederschlag gebracht. Sehr naß waren ferner besonders in der Westschweiz der Januar, im Berner Oberland, in der Zentral- und Nordschweiz der Februar, in Graubünden der September und der November, im Wallis der Oktober, November und Dezember, im Tessin der April und strichweise der September. Anderseits war der Juli fast allgemein sehr trocken. Das Tessin hat im Februar nur wenige mm Niederschlag erhalten; das Alpengebiet war strichweise im April, ferner im Mai sehr niederschlagsarm.

Die Temperaturen des JANUAR weichen von den normalen wenig ab. In der Nordschweiz sind etwas zu hohe, in der Südwestschweiz und im Alpengebiet etwas zu tiefe Werte gemessen worden. — Die Sonnenscheindauer war im Jura und besonders in den östlichen Alpen zu klein. In der Gegend von Davos beträgt das Defizit etwa 20 % des Normalwerts. Im Mittelland waren die Beträge annähernd normal, sonst etwas zu groß. Dementsprechend zeigt auch der Bewölkungsgrad Überschüsse im Jura und in der Ostschweiz. Die Niederschlagsmengen sind im Engadin und im Tessin zu klein, sonst zu groß ausgefallen. Das südliche Tessin hat nur die Hälfte, das südwestliche Mittelland dagegen das Doppelte des Normalbetrages erhalten. Längs des Jura wurde etwa das Anderthalbfache desselben gemessen. Am Alpennordhang weisen die unregelmäßig verteilten Beträge ungefähr dieselbe Größenordnung auf.

Während der ersten Monatshälfte wurde das Wetter durch ein großes Depressionssystem im Norden, bei hohem Druck in der Gegend der Azoren, beherrscht. Etwa vom 6. mittags bis zum 9. abends war es trocken, hell und mild, allerdings meist nur in der Höhe wegen ausgedehnter Nebelbildung im Mittelland. Unbeständiges Wetter mit starkem Westwind herrschte besonders vom 10. bis 12. Relativ bedeutende Niederschlagsmengen fielen anläßlich eines Warmlufteinbruchs vom Atlantik her am 11. An diesem Tage wurde in Zürich eine Windstärke von maximal 23 m/sec registriert. Vom 18. an erstreckte sich das Hochdruckgebiet von den Azoren aus meist nord-, zeitweise nordostwärts (nach Skandinavien). Bedeutende Niederschläge (Schnee auch in den Niederungen) fielen am 18. und 19. im Bereich der Rückseite einer über Zentral- und Südosteuropa liegenden Depression. Im übrigen verursachten die flachen kontinentalen Tiefdruckgebiete in der Schweiz trübes Wetter, jedoch nur wenig Niederschlag. Eine ausgesprochene Hochnebellage herrschte vom 22. bis 25. In den Niederungen traten vom 21. bis 24. zum Teil infolge Kaltluftzufuhr vom Kontinent her (Bise) und am 29. infolge nächtlicher Ausstrahlung Morgentemperaturen von 9 bis 12° unter Null ein. Eine Schneedecke bestand im Mittelland vom 18. an.

Der FEBRUAR war am Alpensüdfuß etwas zu warm, in der übrigen Schweiz zu kalt. Die Abweichungen vom langjährigen Temperaturmittel betragen im Mittelland

meist 1 bis 1½°, im Jura und am Genfersee 1½ bis 2°, im Alpengebiet 2 bis 2½°. — Der Bewölkungsgrad war im Westen annähernd normal, in den östlichen Landesteilen um meist 10 bis 15 % des Normalwerts zu groß, am Alpensüdfuß um 20 % zu klein. Eine besonders geringe Besonnung ergab sich für die Gegend von Arosa, wo die Sonnenscheindauer nur etwa drei Viertel, und für Luzern, wo sie ungefähr die Hälfte der normalen beträgt. Überschüsse sind am Alpensüdfuß zu verzeichnen. — Die Niederschlagsmengen betragen am Alpensüdfuß nur wenige Millimeter. Außer dem Tessin haben auch das Mittel- und Oberwallis und das Oberengadin ein namhaftes Defizit aufzuweisen. Auch in der Westschweiz sind die langjährigen Mittelwerte strichweise etwas unterschritten worden. Sonst sind im Alpengebiet und im Mittelland meist Überschüsse zu verzeichnen. Im Berner Oberland, in der Zentral- und Nordschweiz übersteigen die Beträge strichweise das Doppelte der normalen.

Während der ersten Monatshälfte war das Wetter unbeständig. Niederschläge fielen auf der Alpennordseite fast jeden Tag, bedeutende Mengen am 3. und 4. (besonders in der Zentralschweiz), am 8. und 12. Sie gingen auch in den Niederungen meist als Schnee nieder, so daß in der nordöstlichen Schweiz beträchtliche Schneehöhen erreicht wurden, die am 4. größenordnungsmäßig mit denjenigen vom 10. März 1931 vergleichbar sind. Am 1., sodann vom 9. bis zum 12. mittags war das Wetter sehr windig. Die Windstärke erreichte in Zürich am 12. früh den Betrag von 19 m/sec. Die Druckverteilung war veränderlich. Meist lag das Hochdruckgebiet über der europäischen Westküste. Das unbeständige Wetter wurde verursacht durch Randstörungen einer meist über Nordeuropa zentrierten tiefen Depression, die uns kühle Luft aus Nordnordwesten zuführte.

Fast anhaltend trocken war dagegen die zweite Monatshälfte. Die Druckverteilung blieb zwar ungefähr dieselbe, doch war die Depression eher flach und der Einfluß des Hochs vermochte sich in der Schweiz geltend zu machen. Vom 22. an lag sein Kern über Westeuropa. Sonnige Tage waren im Mittelland der 14., 17. bis 19., 21. bis 24. und 28. Die Hochstationen wiesen vom 21. an relativ milde Temperaturen auf. Im Mittelland schwankte die Temperatur etwa zwischen minus 4 und plus 6°. Durch neue Vertiefung der skandinavischen Depression wurde am Monatsende in der Höhe ein Warmluftvorstoß aus Westen in Bewegung gesetzt, der an diesem Tage starke Aufgleitbewölkung und abends wieder einige Niederschläge verursachte.

Der MÄRZ war sehr warm, besonders auf der Nordseite der Alpen, wo die mittlere Monatstemperatur 2° höher war als das langjährige Mittel. Für den Alpensüdfuß erhält man einen Überschuß von 1°. — Die Sonnenscheindauer war am Alpensüdfuß und im Engadin ungefähr normal. Dagegen erscheinen die Niederungen der Alpennordseite mit etwa 80 % und der Jura mit 70 bis 75 % der normalen Dauer ausgesprochen stark bewölkt. Der Bewölkungsgrad beträgt, abgesehen vom Alpensüdfuß, 110 bis 125 %. — Die Niederschlagsmengen waren auf der Alpennordseite zu groß. Sie erreichen in der Nordschweiz das Doppelte, im Mittelland das Anderthalbfache der normalen. Dagegen wurde am Alpensüdfuß die Hälfte des Normalbetrages strichweise unterschritten. Geringe Überschüsse ergeben sich auch für Nordgraubünden und das Wallis.

Im Gegensatz zur Februardruckverteilung lagen im März Tiefdruckgebiete vor der europäischen Küste, das Hoch auf dem Kontinent. Daher die wesentlich höheren Märztemperaturen. Unter dem Einfluß des kontinentalen Hochs dauerte die Trockenperiode, die Mitte Februar begonnen hatte, zunächst fort. Während der am 5. März einsetzenden Schlechtwetterperiode lag Zentraleuropa im Bereich des Zusammenflusses der unter dem Einfluß des atlantischen Tiefs aus Südwesten heraufströmenden Warmluft und der durch das skandinavische Hoch aus Osten herangeführten kontinentalen Kaltluft. Hier entstand daher eine scharfe Frontalzone, vor der die aus Südwesten heraufziehenden Störungen stehen blieben.

Hinter einem Tiefdruckausläufer, der am 10. tiefer in den Kontinent einzudringen vermochte, baute sich ein Hochdruckrücken auf, der sich in der Folge von Island über Großbritannien, bzw. der Nordsee und Westdeutschland nach dem Balkan erstreckte und in der Schweiz vom 11. bis 15. sonniges Wetter verursachte. Mit dem 16. bekamen jedoch die vom Atlantik her in Westeuropa eindringenden Zyklonen die Oberhand. Das Wetter war bei steigender Temperatur anfangs wechselnd bewölkt aber noch trocken. Am 20. setzte eine unbeständige Westwindlage ein mit fast täglichen Niederschlägen. Über Zentraleuropa bestand dabei anfangs eine ähnliche Situation wie während der obgenannten Störungsperiode. Etwa am 25. begann sich ein Hochdruckgebiet im hohen Norden zu entwickeln, welches arktische Kaltluft nach Süden steuerte. Diese erreichte die Schweiz am 26. und verursachte hier namhafte Schneefälle. Am 27. entwickelte sich anderseits ein Tiefdrucksystem im Raum Azoren—Biscayagolf—Südfrankreich, das in der Kanalgegend eine Ablenkung der Kaltluft nach Westen verursachte und anderseits Warmluft von Südwesten her nach Westeuropa verfrachtete, womit in der Schweiz am 28. früh Aufgleitniederschläge einsetzten (im nordöstlichen Mittelland anfangs Schnee, später Regen) und die Temperatur in der Höhe um 10 bis 15° anstieg. Damit hatte sich dieselbe Situation entwickelt, die seinerzeit während des ersten Drittels des März 1931 im Mittelland bedeutende Schneemengen aufgehäuft hatte. Sie war diesmal von kurzer Dauer. Anfangs April kehrte die Kaltluft auf der Rückseite des inzwischen nach Norditalien abziehenden Tiefs in die Schweiz zurück.

Das Temperaturmittel des APRIL war in den Niederungen der Alpennordseite meist 2 bis 2½° höher als der langjährige Mittelwert, also sehr hoch. Im Nordosten sind örtlich sogar 3°, am Alpensüdfuß dagegen nur 1½° Überschuß gemessen worden. — Die Sonnenscheindauer betrug im Mittelland 120 bis 130 % des Normalwerts. Der Monat war also hier sehr hell. Etwas geringere Überschüsse haben Wallis und Graubünden aufzuweisen, und für den Alpensüdfuß ergibt sich ein mäßiges Defizit. Der Bewölkungsgrad beträgt in den Niederungen der Alpennordseite und im Jura 70 bis 80 % des normalen. Für die Südseite der Alpen ergibt sich ein leichter Über-

schuß. — Die Niederschlagsmengen erreichen am Alpensüdfuß fast das Doppelte der normalen. Auch im Wallis und in der Nordschweiz sind Überschüsse zu verzeichnen. Letztere rühren von Gewitterniederschlägen her. Die übrigen Landesteile haben ein Defizit zu verzeichnen. In der Westschweiz sinken die Beträge strichweise unter die Hälfte, im nordöstlichen Alpengebiet unter ein Drittel der normalen.

Ein Kaltlufteinbruch aus Norden, der sich durch einen Temperatursturz von 12° in 24 Stunden (in der Höhe) bemerkbar machte, verursachte am 1. bedeutende Niederschläge, die teilweise auch im Mittelland als Schnee niedergingen. Schon am 2. leitete jedoch ein Vorstoß des atlantischen Hochs nach dem Kontinent eine Trockenperiode ein, die bis zum 19. andauern sollte. Während derselben lag das Hochdruckgebiet über Osteuropa. Die Störungstätigkeit beschränkte sich auf Nordwesteuropa und Nordatlantik und machte sich in der Schweiz nur durch mäßige, meist hohe Bewölkung bemerkbar. Dabei herrschten infolge der Warmluftzufuhr aus Süden fast sommerlich hohe Temperaturen. Im Mittelland wurden zeitweise Tageshöchsttemperaturen von 23° gemessen. Am 15. hatte sich das Hoch nach der Nordsee verlagert, und es kam in der Schweiz bei meist heiterem Wetter zu vereinzelten örtlichen Gebirgsgewittern. Gegen Ende dieser Periode setzte anhaltender Luftdruckfall ein und am 20. löste die Störungslinie einer zwischen Island und Schottland zentrierten Depression in der Schweiz verbreitete Gewitterniederschläge aus. Hinter einer zweiten Störung, die am 22. passierte, entwickelte sich sodann ein vom Azorenhoch ausgehender, langsam über Nordwesteuropa nordostwärts vorstoßender Hochdruckausläufer. Diese Druckverteilung hatte einen Stillstand der genannten Störung zur Folge und vom 22. bis 26. war sie als breites Regenband über Deutschland und der Schweiz sichtbar. Am 23., 24. und 25. regnete es auf der Alpennordseite mehr oder weniger den ganzen Tag. Inzwischen hatte sich der Hochdruckkern nach Skandinavien verlagert. Es entwickelte sich eine Bisenlage. Gegen Ende des Monats erschien eine neue Depression vor den europäischen Westküsten, und am 29. und 30. war der Himmel wieder allgemein heiter.

In der Westschweiz war der MAI sehr warm und ungewöhnlich sonnig. Die Temperaturen überschritten hier den Normalwert um 2 Grad; die Sonnenscheindauer kommt mit 130 bis 150 % der normalen dem bisherigen Höchstwert sehr nahe. Auf der übrigen Alpennordseite betrugen die Temperaturüberschüsse noch $1^1/_2$ bis 2 Grad, im Osten und Süden höchstens 1 Grad. — Die Sonnenscheindauer erreichte im nordöstlichen Mittelland noch 125 % des Normalbetrages. In Davos und Lugano war sie annähernd normal. — Die Niederschlagsmengen waren im Tessin etwas zu groß, im Süden um etwa 40 %. Im Jura und strichweise in den Alpentälern sind etwa die Hälfte, im Mittelland drei Viertel des Normalbetrages gefallen.

Während des ersten Monatsdrittels wurde das Wetter durch ein Tiefdruckgebiet vor den europäischen Westküsten beherrscht. Sein Zentrum befand sich vom 1. bis 4. westlich von Frankreich, vom 5. bis 11. westlich von Irland. Es verursachte in den Alpen zeitweilig Föhn. Doch brachten die aus Südwesten heraufziehenden Störungen, die am 4., 5., 10. und 11. strichweise von Gewittern begleitet waren, fast jeden Tag einige Niederschläge. Hinter einer Kaltfront schob sich am 12. das Azorenhoch nordostwärts nach dem Kontinent vor. Es leitete eine längere Schönwetterperiode ein. Der Luftdruck stieg dann besonders im Norden. In der Schweiz entwickelte sich daher eine Bisenlage, die vom 15. bis 25. dauerte. Vom 19. bis 21. war die allgemeine Druckverteilung gekennzeichnet durch ein Hochdruckgebiet, das sich von den Azoren nach Skandinavien erstreckte. Die Ausbildung eines Hochs daselbst setzte die über Nordeuropa lagernde Kaltluft in südlicher Richtung in Bewegung. Sie erreichte die Schweiz in der Nacht vom 20. zum 21. Am 21. und 22. kam es daher in exponierten Lagen der Alpennordseite zu lokalen Nachtfrösten, die einigen Schaden verursachten, so im Thurtal, im St. Galler Rheintal und im Emmental. In der letzten Woche des Monats verlagerte sich das Hoch westwärts nach dem Atlantik. Die längs seiner Nordostflanke südostwärts ziehenden Störungen beeinflußten auch die Ostschweiz. Hier fiel fast täglich etwas Niederschlag bei (namentlich nachmittags) stark bewölktem Himmel. Dagegen blieb die Westschweiz sonnig. Über Skandinavien entwickelte sich gegen Monatsende eine Depression und eine zweite westlich von Irland. Damit setzte wieder eine etwas wärmere, instabile maritime Strömung aus West bis Südwest ein.

Der JUNI war warm und sonnig mit annähernd normalen Niederschlagsmengen. In der Westschweiz übersteigt das Monatsmittel der Temperatur den Normalwert um mehr als 2°. In Genf wurde der ganz ungewöhnlich hohe Überschuß von 2,7° erreicht, der hier bisher nur dreimal (1931, 1945, 1950) gemessen wurde. In der übrigen Schweiz waren die Abweichungen vom Normalwert kleiner. Sie sinken jedoch nirgends unter 1,5°. — Die Sonnenscheindauer übertraf den Normalwert meist um 10 bis 15 %, in der Jurazone und im Wallis um 20 bis 30 %, auf dem Säntis sogar um 40 %. Der Bewölkungsgrad beträgt im Jura und am Genfersee 70 bis 80, im Mittelland 80 bis 90, im Alpengebiet 90 bis 100 % des normalen. — Die Niederschlagsmengen waren im untern Wallis und am obern Genfersee um 10 bis 20 % des Normalbetrages zu groß, in der Voralpenzone annähernd normal, am Alpensüdfuß und in der nordöstlichen Jurazone um 40 %, sonst vorwiegend um 10 bis 20 % zu klein.

Während die Pfingstfeiertage zu Beginn des Monats bei wechselnder Bewölkung gewitterhaftes, auf der Alpennordseite ziemlich sonniges, auf der Alpensüdseite dagegen stark bewölktes Wetter aufwiesen, erfolgte in der Nacht vom 2. zum 3. Juni ein Kaltlufteinbruch. Indessen baute sich in der Kaltluft ein neues Hoch auf, das zwischen dem 3. und 6. von Frankreich nach Rußland zog und unserem Lande warmes und schönes Wetter brachte. Der übliche Sommermonsuneinbruch stellte sich pünktlich am Nachmittag des 6. ein und verursachte einen Rückgang der Temperatur um etwa 10 bis 15° und stärkere Niederschläge. In der Folge hielt das unbeständige Wetter bis etwa zum 21. an, wobei allerdings zeit-

weise ein Hochdruckkeil vom Azorenhoch nach Mitteleuropa vorstieß und eine vorübergehende Aufhellung verursachte. Am 22. trat dann eine völlige Umstellung der Wetterlage ein. Eine ausgedehnte Hochdruckzone, die sich von den Azoren bis nach Westrußland erstreckte, brachte unserem Lande eine trockene und warme Periode schönen Sommerwetters. Das Thermometer stieg dabei gegen Ende des Monats in den Niederungen häufig über 30°. Auch die Höhenstationen erhielten relativ hohe Temperaturen. So wurden auf dem Jungfraujoch am 30. Juni 6° über Null gemessen.

Im JULI sind die bisherigen Höchstwerte der Temperaturmonatsmittel im Mittelland und im Wallis auf den meisten Stationen überschritten worden (ebenso auf dem Säntis). Die Abweichungen vom Normalwert betragen hier etwa 3½°. Am Genfersee erreichen sie sogar 4.2°. Im übrigen Alpengebiet sind die ebenfalls noch ungewöhnlichen Überschüsse von 2½ bis 3° gemessen worden. Am Alpensüdfuß betragen sie noch 2 ½°. — Der Juli war ferner ein sehr heller Monat. Nur im Tessin war die Sonnenscheindauer ungefähr normal. Im Alpengebiet beträgt sie meist 120 bis 125 %, im Mittelland und im Jura 125 bis 140 % des Normalwerts. Auf dem Säntis wurde die bisher größte Sonnenscheindauer seit 1901 registriert. Die Zahl der trüben Tage beträgt auf der Alpennordseite nur etwa ein Drittel, der Bewölkungsgrad 70 bis 80 %, in der Westschweiz strichweise nur 50 % des langjährigen Durchschnitts. — Die Niederschlagsmengen betragen im nördlichen Tessin, im Wallis, am Genfersee, im Mittelland und im Jura sowie in der Nordschweiz etwa einen Drittel, im übrigen Alpengebiet und im Südtessin die Hälfte bis drei Viertel des Normalbetrages. Dieser wurde lediglich im Engadin und Puschlav erreicht.

Das vorwiegend trockene Wetter ist auf Hochdruckeinfluß zurückzuführen. Zwar lag der Kern des Hochs (wie meist im Sommer) auf dem Atlantischen Ozean, jedoch einerseits zumeist ziemlich südlich etwa in der Gegend des 45. Breitengrades oder südlich davon. Von ihm aus erstreckte sich in der Regel ein schmaler Ausläufer entweder in Richtung der britischen Inseln oder nach Westeuropa, jedoch fast immer nördlich der Schweiz, welche damit vor den Westwinden geschützt war. Die Zyklonentätigkeit spielte sich dementsprechend meist nördlich des Kontinents bzw. in Skandinavien ab und die Störungen vermochten in der Schweiz nur noch zeitweilig Bewölkung zu verursachen, wogegen in Großbritannien, Nordfrankreich und Norddeutschland unbeständiges Wetter herrschte. Als heitere Tage können gelten der 1. bis 7., der 11., 17., 20., 23., 25. bis 27. und der 29. bis 31. Bemerkenswert sind die ungewöhnlich hohen Temperaturen, die am 2., 4., 5. und 6. erreicht wurden. In Zürich sind 35 Grad überschritten worden. Am 9. früh erfolgte ein Kaltlufteinbruch und während des übrigen Monats waren die Temperaturen um 5 bis 7° tiefer als während der ersten Woche. Flache Druckverteilungen und somit Wärmegewitter waren selten. Anhaltendes Regenwetter herrschte auf der Alpennordseite am 28. infolge von Kaltluftzufuhr aus Norden, die durch ein Tief im Osten veranlaßt wurde.

Der AUGUST war besonders in der Nordschweiz sehr warm. Die Monatstemperatur war hier um 2 bis 2½° höher als das langjährige Mittel. Im südwestlichen Mittelland und in Graubünden sind noch Überschüsse von 1½ bis 2°, am Alpensüdfuß solche von ½° gemessen worden. — Die Sonnenscheindauer war im Tessin, in Graubünden und im Jura zu klein, auf der übrigen Alpennordseite zu groß. Die Abweichungen vom Normalbetrag sind aber meist kleiner als 10 % desselben. — Die Niederschlagsmengen sind in der Westschweiz, im Wallis, im Engadin und (offenbar infolge der Gewittertätigkeit) auch im Sottoceneri zu groß, in den übrigen Landesteilen dagegen zu klein ausgefallen. Sie erreichen im Wallis noch das Anderthalbfache, in der Bodenseegegend anderseits nur die Hälfte des Normalbetrages.

Das Wetter war ebenso wie die europäische Wetterlage überhaupt sehr veränderlich. Als helle Tage können gelten: der 1. bis 6., der 11. bis 14. und der 25. bis 29. Die Höchsttemperaturen wurden am 6. oder am 13. oder 14. erreicht. Vom 1. bis 6. war das Wetter bei ziemlich flacher Druckverteilung (Tief über Schottland) vorwiegend sonnig mit örtlichen Gewittern am 2. und 3. Nach einem Kaltlufteinbruch aus Westen am 7. früh, der verbreitete Niederschläge und eine Abkühlung von 5 bis 8° brachte, herrschte während vier Tagen unbeständiges Wetter, verursacht durch Randstörungen eines Tiefdruckgebietes mit wechselnden Zentren im Bereich südwestlich von Irland bis Nordsee. Vom 11. bis 15. machte sich der Einfluß eines Hochdruckgebiets geltend, das sich über Ungarn entwickelt hatte. Inzwischen hatte die Depression im Nordwesten Kaltluft vom Nordmeer her nach Süden verfrachtet. Sie verflachte sich am 14., wobei aber gleichzeitig über Frankreich ein neues Tief entstand, das nun die bereitgestellte Kaltluft nach der Schweiz steuerte, wo sie am Abend des 15. einbrach und Gewitterniederschläge verursachte, die sich am 16. abends wiederholten. Vom 18. bis zum 21. wanderte ein Tief, vom Atlantik her kommend, über Südwestirland (18.), Bretagne (19.), Poebene und Belgien (20.) nach Norddeutschland (21.). Es verursachte täglich Niederschläge und am 20. bis 21. kräftigen Westwind. Am 22. baute sich dann ein Hoch in Europa auf, trotzdem war schon der 23. nachmittags wieder bedeckt. Es handelte sich um die Vorläufer (Aufgleitbewölkung) einer sich entwickelnden Depression, die am 24. unerwartet über der Poebene sichtbar wurde und auch in der Schweiz verbreitet Regenwetter verursachte. Vom 25. bis 29. war dann das Wetter unter Hochdruckeinfluß sonnig und erst am 30. brachte ein aus Südwesten heraufziehendes Tief einen neuen Wetterumschlag.

Der SEPTEMBER zeichnete sich durch ungewöhnlich niedrige Temperaturen aus. Die Abweichungen vom langjährigen Mittel betragen in der Westschweiz und in Graubünden 2 bis 2.8° (auf dem Säntis sogar 3.6°), sonst etwa 2 bis 2.5°. Diese Werte wurden nur im September 1931 und 1912, überall, 1916, 1922 und 1925 wenigstens strichweise unterschritten. — Auch die Sonnenscheindauer war in gewissen Gebieten ganz ungewöhnlich gering, so besonders in Basel, Bern, La Chaux-de-Fonds und auf dem Säntis, wo nur etwa 60 bis 70 % des Nor-

malwertes erreicht wurden, was hier bisher (Messungen seit 1886 bzw. 1901) nur einmal vorgekommen ist. Größere prozentuale Beträge als 80 % ergeben sich nur für das Tessin und das Engadin (Lugano 92 %). Trübe September waren diejenigen der Jahre 1901, 1904, 1905 und 1944. Abgesehen vom Tessin sind 1 bis 3 Tage als «hell» zu zählen, statt 6 bis 11. Der Bewölkungsgrad erweist sich als besonders groß im Genferseegebiet (150 %). — Die Niederschlagsmengen waren annähernd normal im Berner Oberland und im Vierwaldstätterseegebiet, in der Nordschweiz und im Jura. Im südwestlichen Mittelland, im Sottoceneri und im Engadin sind 130 bis 150 %, im übrigen Graubünden und im nördlichen Tessin 150 bis 200 %, lokal (Locarno, Chur) über 200 % des Normalwerts gemessen worden.

Während der ersten drei Tage des Monats herrschte in der Schweiz unter dem Einfluß eines schwachen Hochs trockenes und mildes Wetter bei wechselnder Bewölkung, die von den Störungen einer Depression im Norden herrührte. Am 4. entwickelte sich südlich von Island eine Hochdruckzelle, welche die Kaltluftmassen des Nordmeergebiets nach Süden zu steuern begann. Dieselben erreichten die Schweiz am Abend des 5. Der Einbruch verursachte besonders in Graubünden bedeutende Niederschläge und war von einer Abkühlung von 5° begleitet. Während der nächsten Tage blieb die Schweiz im Bereich der Störungszone zwischen der in der Höhe noch fortdauernden warmen Westsüdwestströmung und der Kaltluft, die erst am 9. die Höhe des Jungfraujochs (3600 m) erreichte. Obwohl sich inzwischen über Großbritannien und Skandinavien ein Hochdruckgebiet entwickelte, kam es am 9. über Wales noch zur Bildung eines Randtiefs, das über Frankreich bis zum 12. nach der Poebene wanderte und auf der Alpennordseite anhaltendes Regenwetter verursachte. Nach Abzug des Tiefs trat eine durchgreifende Wetterbesserung ein. Ein niederer Kaltlufteinbruch aus Nordosten zeigte sich am 16. durch Hochnebel zwischen 1000 und 1400 m Höhe an. Während des letzten Monatsdrittels herrschte unter dem Einfluß der wiederbelebten Zyklonentätigkeit nördlich des Kontinents veränderliches Westwindwetter mit nur mehr zeitweiligen Niederschlägen. Nach Passage eines Warmsektors mit hellem und mildem Wetter brachte eine Kaltfront am Abend des 25. einen Temperatursturz von 8° in der Höhe. Am 27. entwickelte sich eine Randstörung über Frankreich zu einem Sturmtief, das nördlich der Schweiz ostwärts ziehend auch bei uns stürmischen Westwind erzeugte. Dieser setzte in Zürich ziemlich plötzlich um 11.30 Uhr ein und verursachte in der Schweiz strichweise erhebliche Schäden (Böenspitzenmaximum in Zürich 29 m/s.). Der Nachtag war bereits wieder sonnig.

Im OKTOBER waren die Temperaturen von den normalen wenig verschieden. Im Mittelland und im Voralpengebiet sind etwas zu große, im Jura, am Genfersee, im Wallis, in Graubünden und im Tessin etwas zu kleine Werte gemessen worden. Die Abweichungen von der Normaltemperatur erreichen aber höchstens ein halbes Grad. — Die Sonnenscheindauer entspricht am Alpensüdfuß ungefähr dem langjährigen Mittelwert. Im Mittelland beträgt sie ungefähr drei Viertel, im ostschweizerischen Alpengebiet strichweise nur noch die Hälfte desselben. Der Betrag von 60 Stunden in Davos ist hier (seit Beginn der Messungen 1890) erst einmal, nämlich im Jahre 1939 unterboten worden. — Die Niederschlagsmengen waren lediglich im Tessin zu klein. Die Beträge sinken bei Locarno auf die Hälfte der normalen. Sonst sind in der ganzen Schweiz Überschüsse zu verzeichnen. Im Jura ist das Anderthalbfache, im Mittelland das Doppelte, in Sion das Zweieinhalbfache des Normalbetrages erreicht worden, was den bisherigen Höchstwerten recht nahe kommt.

Das Wetter war während des ganzen Monats unbeständig. Ausgesprochen sonnig war nur der 9., niederschlagsfrei der 9., 18., 27. und 28. Anhaltende und bedeutende Niederschläge sind am 13. und 25. gefallen. Die Temperaturschwankungen waren in den Niederungen gering. Die Nullgradgrenze sank zeitweilig auf 1400 m über Meer herunter. Kalte Tage waren der 11., 12. und 13.

Während der ersten Monatshälfte spielten sich im europäischen Raum ziemlich verwickelte Wettervorgänge ab. Vom 1. bis 3. wanderte ein Tief, das etwa längs des 50. Breitengrades vom Atlantik her gekommen war, über die Kanalgegend nach Südschweden. Die drei folgenden Depressionen kamen dagegen von Grönland—Island und wanderten südost-, dann ostwärts nach Dänemark bzw. Skandinavien. Die Aufhellung vom 9. ist auf den vorübergehenden Aufbau eines Zwischenhochs nördlich des Alpengebietes zurückzuführen. Vom 10. bis 12. bestand ein Hoch über Nordwesteuropa, das der Schweiz Kaltluft aus Norden zuführte. Am 13. erscheint von Westsüdwesten heraufziehend ein kräftiges Tief über dem Kanal. Es verursachte besonders im Wallis und in der Westschweiz beträchtliche Niederschläge und am 14. ziemlich starken Westwind. Vom 16. bis 23. hielt sich ein stationäres Hochdruckgebiet über Nordeuropa, während das Tiefdrucksystem sich nach dem Atlantik zurückzog. Seine Randstörungen vermochten aber die Schweiz dennoch zu erreichen, da hier in der Höhe weiterhin Westwind herrschte. Während des letzten Monatsdrittels wurde der nordwesteuropäische Raum durch ausgedehnte, sehr tiefe Depressionen beherrscht, deren Zentren meist nordwestlich von Schottland und Skandinavien nordostwärts wanderten. Damit setzten sich die Südwest- bis Westwinde auch in den Niederungen der Alpennordseite durch, zunächst im Westen, gegen Monatsende dann auch im Nordosten, und das Wetter wurde ausgesprochen veränderlich.

Die mittlere NOVEMBER-Temperatur war in den Niederungen der Alpennord- und -südseite ungefähr normal. Dagegen verzeichneten die Höhenstationen teilweise ein ungewöhnlich großes Wärmedefizit. — Die Sonnenscheindauer war nur im Tessin etwas größer als normal. Ein sehr beträchtliches Defizit ergibt sich für die Westschweiz, aber auch für das nordöstliche Alpengebiet. Die Sonnenscheindauer erreichte hier strichweise nur etwa 60 % des langjährigen Mittelwerts. — Die Niederschlagsmengen waren nur im Tessin zu klein. Sie betrugen im Sottoceneri etwa 60 % der normalen. Sonst sind überall Überschüsse zu verzeichnen. Das Mittelland und das

Juragebiet haben ungefähr das Zwei- bis Zweieinhalbfache, das Alpengebiet strichweise mehr als das Dreifache des Normalwerts aufzuweisen. Es handelt sich hierbei um ganz ungewöhnlich große Novemberbeträge, die bisher nur zwei- oder dreimal übertroffen worden sind (in den Jahren 1950, 1947, 1944, 1910, 1874 oder 1875), Messungen seit 1864). Die Zahl der Niederschlagstage erreichte in der Westschweiz das Doppelte, die der Schneefallstage das Sechsfache der normalen. Die Anhäufung gewaltiger Schneemengen in den Alpen verursachte einige Lawinen. Auf dem Säntis betrug die Schneehöhe gegen Monatsende 3½ m.

Während der ersten Monatshälfte war die Alpennordseite einem Strom maritimer Polarluft ausgesetzt, der sich über Großbritannien in südöstlicher Richtung nach Mittel- und Westeuropa ergoß und eine Reihe von Strömungen mit sich führte. Nur am 4. und 5. war das Wetter unter Hochdruckeinfluß sonnig. Etwa vom 6. an erhielt die genannte Strömung einen Zufluß kalter arktischer Luft aus Norden. Diese brach am Nachmittag des 7. in die Schweiz ein und verursachte einen Temperaturrückgang von 5 bis 8°. Fortan betrug die Temperatur im Mittelland etwa null Grad. Eine Änderung der allgemeinen Situation begann am 13. durch den Aufbau einer Hochdruckbrücke über Großbritannien und Skandinavien, die die Kaltluftzufuhr aus Norden unterbrach. Diese floß in der Folge hinter einem letzten von Norden nach Süden wandernden Tief über die Kanalgegend südwestwärts, womit sich auch das Höhentief nach der Bretagne verlagerte. Damit geriet die Schweiz in den Bereich der Warmluftströmung aus Südwesten. Unter dem Einfluß eines Tiefs über Frankreich kam es zu Aufgleitniederschlägen. Am 16. nachmittags und am 17. schneite es in der Westschweiz und im Juragebiet. Im Tessin setzten Föhnniederschläge ein. Die übrige Schweiz blieb trocken. Nach Abwanderung des Tiefs nach Nordosten kehrte die Kaltluft vorübergehend in die Schweiz zurück. Erfolgreicher war ein zweiter Warmluftvorstoß, vorgetrieben durch eine mächtige Depression über dem Atlantik. Am 25. verursachte er auf der ganzen Alpennordseite beträchtliche Niederschläge und am Nachtag setzte er sich auch in den Niederungen durch (Temperaturanstieg 10°). Zwar vermochte die Kaltluft am Morgen des 29. auf der Rückseite eines in den Kontinent hineinwandernden Teiltiefs nochmals bis zu den Alpen vorzudringen und ein kleines Hoch aufzubauen. Am 30. hatte sich jedoch die Warmluft in ganz Westeuropa durchgesetzt.

Die mittleren Monatstemperaturen des DEZEMBERS weichen von den Normalwerten wenig ab. Die Niederungen waren etwas zu warm, die Höhen zu kalt. — Die Sonnenscheindauer erreichte im Mittelland höchstens die Hälfte, im Jura, am Genfersee und im Alpengebiet drei Viertel des Normalwerts. Im Tessin war sie noch etwas größer, jedoch nirgends übernormal. Helle Tage sind im Mittelland keine, im Alpengebiet nur ein Fünftel der normalen Anzahl gezählt worden. — Die Niederschlagsmengen betragen im Mittelland, in der Nordschweiz und im Voralpengebiet etwa 160 bis 180 Prozent der langjährigen Mittelwerte. Im Alpengebiet waren die Beträge im allgemeinen kleiner, abgesehen vom Wallis. Sion notierte 142 mm statt normal 60. Ein Defizit ist nur im Tessin und in Südwestgraubünden festzustellen. Im südlichen Tessin ist etwa die Hälfte des Normalbetrages gemessen worden.

Zu Beginn des Monats wurde die Warmluft aus Südwesten, die Ende November die Schweiz erreicht hatte, durch Kaltluft aus Norden verdrängt. Es handelt sich um die Rückseitenströmung einer Depression, die vom 2. bis 4. von Skandinavien her kommend zunächst südwärts, dann ostwärts wanderte. Die Temperatur sank infolge des Einbruchs im Mittelland von 9 auf Null Grad. Namhafte Niederschläge fielen in der Nacht vom 1. zum 2. Anschließend entwickelte sich über Zentraleuropa ein Hoch. Dieses verursachte in der Schweiz vom 5. bis 10. eine Bisenlage mit geschlossener Hochnebeldecke über den Niederungen der Alpennordseite, deren obere Grenze langsam von 2000 auf 1100 m absank. Die Hochlagen waren am 5. und 6. sowie am 9. und 10. meist sonnig. Im Mittelland herrschten Temperaturen von durchschnittlich 4 Grad unter Null. Am 11. setzte eine wärmere unbeständige Westwindlage ein, verursacht durch ein Depressionssystem im Norden, dessen Randstörungen sich zeitweilig durch stürmische Westwinde bemerkbar machten. So wurde am Vormittag des 21. in Zürich eine maximale Windstärke von 25 Meter pro Sekunde gemessen. Am 28. wanderte ein Tief von der Kanalgegend her, der französischen Westküste folgend südwärts. Es erzeugte über den Alpen eine leichte Föhnströmung, was eine allgemeine Aufheiterung zur Folge hatte.

M. Grütter.

Monatswerte der wichtigsten meteorologischen Elemente 1952

	Höhe m	Januar	Febr.	März	April	Mai	Juni	Juli	Aug.	Sept.	Okt.	Nov.	Dez.	Jahr
Temperatur in ° C														
Basel	317	0.6	-0.1	6.7	11.0	14.6	18.2	21.7	19.7	11.8	8.7	3.7	0.9	9.8
La Chaux-de-Fonds	990	-3.0	-3.5	3.2	7.8	11.0	15.1	18.8	16.1	8.4	6.2	1.2	-1.8	6.6
Zürich	569	-0.9	-1.4	5.3	10.7	13.6	17.0	20.6	18.6	11.1	8.5	2.8	0.0	8.8
Bern	572	-1.5	-1.1	5.5	10.2	13.8	17.7	20.9	18.4	10.9	8.4	3.0	0.5	8.9
Lausanne	553	-0.1	-0.2	6.6	11.8	14.9	18.9	22.4	19.0	11.9	9.1	3.8	1.2	9.9
Genf	405	0.6	0.4	7.6	11.7	15.5	19.9	23.4	20.0	13.2	10.7	4.7	2.6	10.9
Davos	1561	-7.6	-7.2	-0.4	4.4	7.7	12.0	15.2	12.8	5.5	2.9	-4.1	-6.1	2.9
Säntis	2500	-10.8	-11.1	-6.0	-1.5	0.1	4.5	8.7	6.8	-0.8	-2.7	-8.0	-8.7	-2.5
Lugano	276	1.7	3.8	8.0	12.7	16.3	20.9	23.8	20.9	15.0	11.1	6.0	2.9	11.9
Abweichungen von den normalen Mitteln														
Basel	317	0.9	-1.4	2.2	2.3	1.4	1.7	3.3	2.2	-2.4	-0.1	-0.4	0.6	0.9
La Chaux-de-Fonds	990	-0.4	-1.9	2.1	2.8	1.4	2.1	3.3	1.9	-2.9	-0.2	-0.7	-0.1	0.6
Zürich	569	0.6	-1.4	1.9	3.0	1.5	1.5	3.3	2.2	-2.2	0.6	-0.2	0.7	0.9
Bern	572	0.1	-1.3	2.1	2.2	1.5	2.1	3.2	1.7	-2.8	0.5	0.0	1.3	0.9
Lausanne	553	-0.1	-1.7	2.1	2.8	2.0	2.6	4.1	1.5	-2.6	-0.1	-0.8	0.2	0.8
Genf	405	0.0	-1.6	2.4	2.5	1.9	2.7	4.1	1.6	-1.8	1.0	-0.4	1.1	1.2
Davos	1561	-0.6	-1.8	1.9	2.3	0.7	1.7	3.1	1.5	-2.8	-0.5	-2.8	-0.4	0.2
Säntis	2500	2.1	-2.3	1.9	3.3	0.5	1.7	3.7	2.0	-3.6	-1.4	-3.0	-0.8	-0.1
Lugano	276	0.1	0.5	1.1	1.6	1.1	1.8	2.5	0.5	-2.0	-0.4	-0.3	0.3	0.5
Niederschlag in mm														
Basel	317	46	49	97	110	48	61	26	78	87	117	106	97	922
La Chaux-de-Fonds	990	156	103	142	81	67	70	78	114	136	217	246	188	1598
Zürich	569	57	106	105	113	81	118	50	113	116	214	148	117	1338
Bern	572	92	74	100	67	70	88	32	149	120	177	158	109	1236
Lausanne	553	82	54	102	45	69	85	42	142	130	203	202	130	1286
Genf	405	73	42	82	31	49	89	18	125	101	170	176	80	1036
Davos	1561	71	79	75	26	64	102	90	137	144	119	201	94	1202
Säntis	2500	190	181	304	38	143	185	127	252	326	455	530	279	3010
Lugano	276	33	8	55	296	278	114	94	217	231	139	83	41	1589
Abweichungen von den normalen Summen														
Basel	317	5	8	44	45	-33	-37	-64	-8	9	43	47	45	104
La Chaux-de-Fonds	990	50	8	35	-45	-63	-72	-57	-16	19	80	128	58	125
Zürich	569	3	54	33	21	-29	-13	-83	-14	12	122	82	45	233
Bern	572	44	23	34	-9	-24	-25	-80	41	31	89	90	45	259
Lausanne	553	24	-5	27	-31	-23	-14	-58	32	31	95	117	51	246
Genf	405	26	-8	19	-38	-27	10	-60	29	16	71	97	12	147
Davos	1561	12	26	21	-34	-6	-5	-45	6	52	49	139	28	243
Säntis	2500	-40	0	113	-213	-80	-95	-180	-36	103	262	350	41	225
Lugano	276	-27	-53	-60	134	86	-71	-80	30	56	-59	-53	-39	-136
Sonnenscheindauer in Stunden														
Basel	317	60	70	88	182	231	258	311	215	97	74	41	31	1658
La Chaux-de-Fonds	990	61	90	91	173	252	246	296	220	88	70	39	47	1673
Zürich	569	49	67	112	204	248	249	313	247	119	68	48	18	1742
Bern	572	57	82	105	190	273	263	310	241	120	86	40	21	1788
Lausanne	553	74	115	125	218	308	286	340	254	135	100	48	39	2042
Genf	405	67	96	112	199	316	315	354	267	162	110	56	36	2090
Davos	1561	74	87	109	157	164	198	253	191	119	60	65	55	1532
Säntis	2500	89	114	113	196	194	198	254	219	91	68	73	69	1678
Lugano	276	130	189	171	139	205	255	281	236	181	150	122	84	2143
Abweichungen von den normalen Summen														
Basel	317	-4	-24	-39	35	36	44	78	-8	-61	-35	-24	-23	-25
La Chaux-de-Fonds	990	-14	-6	-31	45	83	60	85	9	-66	-49	-46	-15	55
Zürich	569	1	-21	-22	47	46	26	68	17	-43	-35	-5	-18	62
Bern	572	-1	-15	-27	37	73	40	61	2	-52	-29	-23	-22	44
Lausanne	553	0	1	-27	42	83	35	74	-1	-53	-26	-27	-21	80
Genf	405	6	-9	-44	9	72	42	61	-8	-38	-16	-11	-11	53
Davos	1561	-20	-22	-39	6	-8	22	52	-12	-47	-74	-33	-28	-203
Säntis	2500	-23	-7	-25	69	42	57	93	48	-62	-76	-48	-37	31
Lugano	276	5	43	-1	-36	-1	15	1	-30	-15	4	13	-22	-24

Nr. 2

Liste des chutes de grêle en Suisse pendant l'année 1952

établie à l'aide des statistiques de la Station centrale suisse de météorologie et celles de la Société suisse d'assurances contre la grêle à Zurich, par Jean Rieker.

Canton	Avril								Mai													Juin														Juillet			
	4	14	15	16	17	18	19	20	1	2	3	4	5	9	10	11	12	26	30	31	1	3	5	6	7	8	12	13	14	15	17	18	19	20	23	2	3	4	5
Argovie	.	.	.	.	.	.	.	1	.	.	.	.	.	.	.	3	.	.	.	.	.	.	.	.	5	10	.	.	.	.	3	.	.	.	.	.	6	.	.	.
Appenzell	.	.	.	.	.	.	3	.	.	.	.	.	3	.	.	1	.	.	.	.	.	.	.	.	.	1	.	.	2	.	.	.	.	.	.	.	.	.	.	.
Bâle	.	.	.	.	.	.	1	1	.	.	.	.	.	.	.	6	1	.	.	.	.	.	.	.	2	.	.	.	.	.	7	.	.	.	.	.	.	.	.	.
Berne	.	.	.	.	2	1	3	.	1	.	.	1	1	34	3	21	1	.	.	1	4	.	.	1	3	.	1	26	.	4	1	17	.	1	.	26	3	.	.
Fribourg	1	.	.	1	.	.	1	.	.	.	.	11	.	6	.	1	.	1	.	.	.	.	.	.	.	.	.	21	.	.	.	.	.	.	.	1	.	1	.
St-Gall	.	.	.	.	.	.	2	.	.	.	.	.	1	.	.	6	.	.	.	.	.	.	.	.	4	.	.	4	.	2	.	.	.	1	.	.	.	.	.	2
Genève	.	.	.	.	.	.	.	.	.	.	.	.	.	5	.	.	.	.	.	.	.	.	.	.	.	.	.	.	.	.	.	1	.	.	.	2	.	.	.
Glaris	.	.	.	.	.	.	.	.	.	.	.	.	.	.	.	.	.	.	.	.	.	.	.	.	.	.	.	.	.	.	.	.	.	.	.	.	.	.	.
Grisons	.	.	.	.	.	.	.	.	.	.	.	.	.	.	.	.	.	.	.	.	.	.	.	.	.	.	.	.	.	.	.	.	.	.	.	1	.	.	.
Lucerne	.	.	.	.	.	.	3	3	.	.	.	2	2	1	2	6	.	.	1	.	9	.	.	2	12	.	.	7	.	3	1	1	.	.	.	5	6	.	.
Neuchâtel	.	.	.	.	1	.	.	.	2	.	1	4	3	.	.	1	.	.	.	.	.	.	.	.	.	.	.	.	.	.	.	.	.	.	.	.	1	1	.
Schaffhouse	.	1	.	.	.	.	1	1	.	.	.	.	1	.	.	.	.	.	.	.	.	.	.	.	.	.	.	.	.	.	.	.	.	.	.	.	.	.	.
Schwyz	.	.	.	.	.	.	.	.	.	.	.	.	.	.	2	.	.	.	.	.	.	.	.	.	1	.	.	1	.	4	.	.	.	1	.	3	.	.	.
Soleure	.	.	1	.	.	.	1	.	.	.	.	.	.	.	.	3	.	.	.	.	.	.	.	.	.	.	.	.	.	5	.	.	.	.	.	9	.	.	.
Tessin	.	.	.	.	.	.	.	.	.	.	.	4	9	2	12	.	.	.	1	.	.	.	1	.	.	.	1	5	.	2	24	17	8	1	.	.	.	.	.
Thurgovie	.	.	.	.	.	.	.	1	.	.	.	.	.	.	2	3	1	.	1	.	.	1	.	8	10	.	1	6	.	.	.	.	.	.	.	.	.	.	.
Unterwald	.	.	.	.	.	.	.	.	.	.	.	.	.	.	.	1	.	.	.	.	.	.	.	.	.	.	.	3	.	.	.	4	.	.	.	.	4	.	.
Uri	.	.	.	.	.	.	.	.	.	.	.	.	.	.	.	.	.	.	.	.	.	.	.	.	.	.	.	.	.	.	.	.	.	.	.	.	1	.	.
Vaud	.	.	.	.	.	.	.	.	.	1	.	.	.	6	.	.	.	.	.	.	.	.	.	.	2	.	.	7	1	.	1	1	.	.	43	1	.	.	.
Valais	.	.	.	.	.	.	.	.	.	.	.	.	.	1	.	.	.	.	.	.	.	.	.	.	.	.	.	.	.	.	1	1	.	.	1	.	.	.	.	.
Zurich	.	.	.	.	.	.	.	.	.	.	.	.	.	.	1	3	.	.	.	.	.	.	.	2	20	.	.	3	.	.	.	.	.	.	.	.	.	.	.	.
Zoug	.	.	.	.	.	.	.	.	.	.	.	.	.	.	1	1	.	.	.	.	.	.	.	.	.	.	.	1	.	5	.	.	.	.	.	.	.	.	.	.
totaux	1	1	1	1	2	2	15	7	3	1	1	22	20	55	23	56	3	1	3	1	13	1	1	20	63	1	2	86	1	35	28	42	8	2	3	93	19	2	2
par mois	30								189												306															116			

Suite de la dite statistique

Canton	Juillet														Août													Septembre									Oct.	Sommes
	7	8	9	10	12	13	14	15	18	21	22	23	24	28	2	3	4	6	7	9	15	16	17	19	20	21	22	30	1	5	6	8	11	12	16	17	19	2	
Argovie	1	1	1	.	2	1	.	.	.	.	.	.	.	1	2	14	.	1	.	.	.	11	.	.	.	.	.	10	.	.	6	.	.	2	.	.	2	.	83
Appenzell	.	.	.	.	.	.	.	.	.	.	.	.	.	.	.	.	.	1	.	.	.	.	.	.	.	.	.	.	.	.	.	.	.	.	.	.	.	.	11
Bâle	.	.	.	.	1	.	.	.	.	.	.	.	.	.	.	.	.	.	.	.	.	.	.	.	7	.	.	1	.	.	.	.	.	2	.	.	.	.	29
Berne	99	16	4	.	.	.	.	.	.	.	5	1	.	.	.	.	.	.	.	.	5	10	2	1	.	.	.	17	1	.	.	23	.	.	.	4	3	.	347
Fribourg	.	.	.	1	.	.	.	.	.	.	.	.	.	.	.	.	.	5	.	.	.	60	.	.	1	.	.	2	.	.	.	2	.	1	.	.	1	.	117
St-Gall	.	.	.	.	.	.	.	.	.	.	2	.	.	.	.	2	.	2	1	.	6	2	.	.	.	.	.	.	.	.	.	.	.	.	.	.	.	.	38
Genève	.	.	.	.	.	.	.	.	.	.	.	.	.	.	.	.	.	.	.	.	1	.	.	.	.	.	.	.	.	.	.	.	.	2	.	.	.	.	11
Glaris	.	.	.	.	.	.	.	.	.	.	.	.	.	.	.	.	.	.	.	.	.	.	.	.	.	.	.	.	.	.	.	.	.	.	.	.	.	.	0
Grisons	.	1	1	.	.	.	1	.	.	.	.	.	.	.	.	.	.	.	.	.	.	.	.	.	.	.	.	.	.	.	.	.	.	.	.	1	.	5
Lucerne	10	1	.	.	.	.	.	.	.	.	.	.	.	.	4	.	.	.	.	.	.	38	.	.	.	.	.	1	.	.	.	44	.	.	.	.	.	.	164
Neuchâtel	.	4	.	10	.	.	.	.	.	.	.	.	.	.	.	.	.	2	.	.	.	3	.	.	.	.	.	.	.	.	.	.	.	.	.	.	.	.	33
Schaffhouse	5	.	.	.	.	1	.	.	.	.	.	.	.	.	.	.	.	.	.	.	.	.	.	.	.	.	.	.	.	.	5	.	.	.	.	.	.	15
Schwyz	7	1	.	.	.	.	.	.	.	.	.	.	.	.	.	.	.	.	.	.	2	.	.	.	.	1	.	.	.	.	.	.	.	.	.	.	.	.	33
Soleure	31	.	1	.	.	.	.	.	.	.	.	.	.	.	.	.	.	.	.	.	.	.	.	.	3	.	.	3	.	.	.	.	.	.	.	.	1	.	58
Tessin	.	17	.	.	1	.	18	2	11	.	.	.	5	.	.	.	1	13	.	2	.	11	.	.	8	.	.	.	.	12	7	.	.	2	1	.	9	5	212
Thurgovie	.	.	.	.	5	.	.	.	.	.	.	.	.	.	.	.	.	.	.	.	.	.	.	.	.	1	.	.	.	.	.	1	.	.	.	.	1	.	42
Unterwald	.	.	1	.	.	.	.	.	.	.	.	.	.	.	.	.	.	.	.	.	.	6	.	.	.	.	.	.	.	.	.	.	.	.	.	.	.	.	19
Uri	.	1	.	.	.	.	.	.	.	.	.	.	.	.	.	.	.	.	.	.	.	.	.	.	.	.	.	.	.	.	.	.	.	.	.	.	.	.	2
Vaud	1	4	1	.	.	.	.	.	8	.	.	.	.	.	1	.	.	3	.	.	68	37	.	.	.	.	.	.	.	.	.	.	.	.	.	.	.	.	.	186
Valais	.	2	.	.	.	.	.	.	.	.	.	.	.	.	.	.	1	.	.	.	.	.	.	.	.	.	.	1	.	.	.	.	.	.	.	.	.	.	8
Zurich	34	1	3	.	.	.	.	.	.	.	.	.	.	.	.	7	.	.	.	.	.	13	.	.	.	1	1	2	.	.	.	5	.	.	.	.	2	.	98
Zoug	3	.	.	.	.	.	.	.	.	.	.	.	.	.	.	3	.	.	.	.	.	1	.	.	.	.	.	.	.	.	.	3	1	.	.	.	.	.	19
totaux	191	49	12	11	9	2	19	2	11	8	7	1	5	1	7	26	1	28	1	2	82	192	2	1	19	3	1	37	1	12	13	83	1	9	1	4	20	5	1520
par mois	116 + 328 = 444														402														144									5	

Nr. 3

Monats- und Jahressummen

der Niederschlagsmessungen sämtlicher meteorol. Stationen I.—III. Ordnung im Jahre 1952

Als Niederschlagstage werden für diese Tabelle nur die Tage mit mindestens 1.0 mm Niederschlag gezählt. Die mit * bezeichneten Summen sind nach den Nachbarstationen interpoliert.

Stationen:	Höhe üb. Meer	Jan.	Febr.	März	April	Mai	Juni	Juli	Aug.	Sept.	Okt.	Nov.	Dez.	Jahr	Maxima		Zahl d. Tage
A. Rheingebiet																	
I. Quellgebiet bis Bodensee																	
Sedrun (Tavetsch) .	ca 1401	84	119	98	79	105	69	52	107	131	145	221	113	1323	38	11. IX.	154
Platta (Medels) . .	1378	76	100	86	109	102	98	56	186	196	150*	171	100*	1430	54	23. IV	141
Disentis	ca 1168	85	115	89	89	122	84	64	120	171	148	264	99	1450	56	10. XI.	153
Vial	ca 1280	63	76	80	94	111	139	96	150	339	178	200*	110*	1636	81	6. IX.	145
Val	1210	75	94	77	84	87	121	62	122	229	155	190	109	1405	50	11. IX	121
Surrhein	ca 892	80	98	87	68	94	77	41	81	218	130*	242	98	1314	43	5. IX.	130
Panix	ca 1300	119	159	126	76	70	84	45	115	226	158	238	146	1562	50	5. IX.	174
Vrin	ca 1454	69	56	57	67	79	63	74	133	237	126	169	70	1200	61	11. IX.	133
Vala	ca 1248	38	54	77	95	96	67	67	106	223	119	131	43	1116	55	5. IX.	135
Ilanz	ca 704	66	82	74	48	54	64	54	86	208	117	170	87	1110	56	5. IX.	134
Flims	ca 1100	124	175	104	62	74	97	76	123	235	165	280	132	1647	65	5. IX.	160
Safienplatz	ca 1270	50	59	73	65	66	98	87	132	223	123	144	64	1184	62	5. IX.	140
Bernhardin-Paß . .	2073	—	—	—	—	322	165	147	183	327	290	—	—	—	—	—	—
Hinterrhein	ca 1624	—	—	—	142	190	157	110	149	429	225	125	40	—	65	6. IX.	—
Splügen (Dorf) . .	ca 1500	44	38	79	139	124	115	97	167	244	168	174	51	1440	48	20. VIII	120
Avers am Bach . . .	ca 1935	28	32	41	130	64	72	96	145	220	170	105	42	1145	74	1. IV.	121
Inner-Ferrera . . .	ca 1480	20	35*	49	108	135	90	118	152	254	158	91	40*	1250	64	5. IX.	115
Andeer	ca 980	26	26	38	67	73	63	75	114	210	120	124	21	957	?	—	103
Thusis	785	48	49	41	61	51	81	64	117	222	129	130	42	1035	71	5. IX.	121
Bivio (bisher) . . .	ca 1768	67	69	82	105	75	94	84	120	178	187	142	71	1274	44	1. IV.	136
Bivio (neu) . . .	ca 1744	64	73	88	105	83	95	90	122	187	175	148	68	1298	55	1. IV.	147
Marmorera	ca 1590	41	44	53	75	69	88	102	121	172	133	93	46	1037	43	11. IX.	135
Savognin	ca 1213	43	49	48	84	64	70	117	122	175	121	117	43	1053	46	1. IV.	132
Weißfluhjoch . . .	2540	66	103	100	34	80	137	127	174	131	122	240	113	1427	52	10. XI.	167
Davos-Platz	1561	71	79	75	26	64	102	90	137	144	119	201	94	1202	54	10. XI.	146
Albula (Hospiz) . .	ca 2315	23	—	38	50	40	73	146	152	131	105	—	—	—	?	—	—
Filisur	ca 1040	38	39	52	41	33	85	61	96	151	116	110	42	867	45	11. IX.	129
Lenzerheide	ca 1477	58	62	38	50	65	72	81	119	188	98	109	54	994	46	5. IX.	129
Niesellas (Alvaschein)	ca 890	36	32	40	53	53	98	62	93	175	108	114	41	905	42	11. IX.	121
Tomils	ca 823	47	54	44	47	57	74	71	123	213	99	142	44	1015	59	5. IX.	132
Arosa	1864	97	91	105	58	102	172	133	211	250	149	185	93	1646	57	5. IX.	177
Tschiertschen . . .	1351	76	85	59	59	66	106	55	130	197	128	149	77	1187	53	5. IX.	147
Chur	633	48	49	49	37	56	70	49	101	186	112	120	49	926	52	5. IX.	129
Klosters	ca 1207	121	125	128	37	80	112	93	142	165	146	222	109	1480	46	10. XI.	180
St. Antönien	ca 1460	144	168	129	23	70	116	88	138	190	161	252	133	1612	41	5. XI.	178
Schiers	670	100	108	74	24	61	70	66	93	200	138	169	104	1207	45	5. IX.	148
Seewis	954	127	136	113	41	86	84	76	96	224	172	233	127	1515	62	5. IX.	165
Plantahof b. Landqu.	ca 530	101	88	73	25	78	71	71	97	195	116	215	72	1202	75	10. XI.	142
Vättis	956	80	94	88	33	67	92	79	104	229	133	170	78	1247	63	5. IX.	159
Bad Ragaz	518	93	98	74	33	91	84	81	138	195	146	220	81	1334	64	5. IX.	154
Sargans	510	103	147	90	47	81	95	107	141	195	183	263	107	1559	55	10. XI.	166
Sevelen	464	63	91	66	24	81	99	62	124	171	142	157	61	1141	50	5. IX.	146
Vaduz (Liechtenstein)	460	56	75	63	22	76	88	78	108	163	136	119	65	1049	43	5. IX.	140
Haag	448	88	110	81	36	118	145	95	204	224	203	245	91	1640	58	15. VIII.	162
Altstätten	468	89	126	141	35	90	161	60	115	140	179	229	132	1497	42	10. XI.	167
Widnau	404	—	—	—	38	88	160	66	112	118	144	132	100	—	—	—	—
Heiden	811	73	142	108	72	94	180	58	100	126	182	170	120	1425	32	7. VI.	178
Rorschach	455	73	116	113	66	77	178	57	83	113	170	161	113	1320	34	7. VI.	171
St. Gallen (Bruggen)	679	57	114	91	77	116	244	57	99	113	164	137	120	1389	81	13. VI.	167

Stationen:	Höhe üb. Meer	Jan.	Febr.	März	April	Mai	Juni	Juli	Aug.	Sept.	Okt.	Nov.	Dez.	Jahr	Maxima		Zahl d. Tage
II. Bodensee bis Basel (Rorschach und St. Gallen siehe vorhergehende Seite)																	
Arbon	ca 409	47	102	67	52	57	142	35	65	88	114	123	74	966	33	13. VI.	155
Amriswil	ca 455	34	84	65	75	59	97	21	60	80	116	108	92	891	27	1. IV.	145
Altnau	ca 458	68	97	71	65	49	85	35	46	97	127	128	96	965	32	6. VI.	146
Kreuzlingen	446	64	84	83	75	75	86	47	54	86	150	139	112	1055	36	11. II.	140
Ermatingen	408	65	83	76	71	108	76	40	54	81	149	121	113	1036	32	11. II.	142
Haidenhaus	694	56	88	77	77	103	95	42	48	79	151	103	86	1005	31	1. IV.	149
Steckborn	ca 400	60	71	86	75	98	83	39	45	68	132	97	86	940	32	25. X.	134
Eschenz	ca 417	53	84	94	75	89	74	35	59	80	150	115	117	1027	32	11. II.	130
Thayngen	ca 455	97	84	103	78	79	81	36	72	84	134	135	107	1090	37	10. I.	140
Buch (Schaffhausen)	433	95*	85*	97	68	98	61	45	50	73	112	102	78	964	42	25. X.	145
Dießenhofen	ca 410	81	79	96	73	83	73	65	61	76	141	112	93	1038	40	25. X.	131
Lohn	ca 643	105	92	116	85	72	78	38	81	78	129	146	109	1129	35	10. I.	146
Merishausen	ca 535	133	87	144	91	91	79	41	63	100	151	170	128	1277	48	10. I.	143
Schaffhausen	448	95	93	131	83	74	71	34	57	73	123	147	122	1103	28	25. X.	133
Neu Rheinau	392	49	74	115	66	61	52	56	68	73	125	115	89	943	27	13. X.	140
Rheinau	358	39	71	100	74	64	53	48	58	71	130	110	84	901	28	13. X.	134
Flaach	362	68	91	96	76	67	80	98	76	81	142	133	105	1121	48	7. VII.	144
Wil (bei Rafz)	ca 410	78	108	110	77	74	72	89	86	98	146	140	126	1204	35	16. XII.	151
Kaiserstuhl	ca 342	76	116	124	93	65	84	35	92	98	178	171	141	1276	38	11. II.	153
Schleitheim	477	116	80	108	77	68	68	72	64	72	119	143	116	1103	45	10. I.	143
Hallau	450	102	84	123	67	54	61	42	58	73	125	140	119	1048	42	10. I.	133
Wilchingen	ca 415	96	89	147	82	77	80	44	82	113	161	170	142	1283	40	10. I.	140
Laufenburg	ca 325	84	143	148	83	46	83	38	83	127	207	219	159	1420	51	10. XI.	148
Wittnau	ca 415	53	104	129	86	49	83	36	82	110	168	216	121	1239	50	10. XI.	141
Frick	ca 350	63	95	134	86	54	106	41	91	139	186	225	135	1357	53	10. XI.	150
Möhlin	ca 332	66	99	111	70	42	84	26	85	100	159	171	113	1126	35	10. XI.	148
Wintersingen	444	66	98	120	85	65	64	36	110	107	161	175*	115*	1202	?	—	159
Rheinfelden	287	55	89	111	61	42	85	17	84	102	160	172	115	1093	37	10. XI.	142
Kilchberg	ca 582	99	83	119	91	51	93	37	104	132	165	200	134	1308	41	1. XII	156
Böckten	ca 385	57	85*	107	85	59	65	35	90	94	137	151	104	1069	36	1. XII.	151
Eptingen	ca 571	142	91	126	88	58	102	46	116	121	153	157	139	1339	37	6. VI.	169
Bennwil	ca 526	94	80	125	86	69	75	49	99	118	139	140	136	1210	43	1. XII.	161
Waldenburg	ca 533	140	115	146	81	69	89	59	98	123	161	173	156	1410	40	1. XII.	167
Lampenberg	ca 536	86	75	122	85	63	69	45	92	99	133	144	133	1146	43	1. XII.	160
Reigoldswil	ca 497	98	95	142	79	60	73	47	88	115	142	148	142	1229	42	1. XII.	150
Liestal	325	60	77	106	73	63	64	43	103	109	147	187	161	1193	45	1. XII.	163
Arisdorf	ca 430	60	73	121	74	59	58	21	79	100	145*	133	111	1034	36	1. XII.	150
Basel-Augst	ca 275	43	62	115	78	48	69	17	76	93	145	122	101	969	35	1. XII.	141
Mervelier	ca 560	79	63	138	86	50	95	54	125	150	148	137	132	1277	41	1. XII.	154
Bellelay	ca 930	164	116	155	101	89	82	44	123	161	196	246	201	1678	48	11. I.	166
Delémont	ca 435	70	60	106	92	53	40	27	74	102	108	131	133	996	44	1. XII.	145
Seewen	ca 551	48	74	123	81	57	74	46	102	113	153	126	129	1126	49	1. XII.	157
Grellingen	ca 328	56	64	103	91	62	75	41	86	88	122	116	117	1021	42	1. XII.	149
Pfeffingen	ca 394	53	60	109	98	65	87	34	78	95	135	131	120	1165	44	1. XII.	147
Aesch	ca 315	68	59	107	103	52	72	28	80	98	126	130	117	1040	41	1. XII.	144
Neue Welt	ca 267	44	48	101	89	41	79	20	80	87	115	109	100	913	44	6. VI.	138
Thorwil	ca 310	55	48	94	104	39	62	18	82	96	115	106	104	923	41	1. IV.	140
Basel-Binningen	317	46	49	97	110	48	61	26	78	87	117	106	97	922	49	1. IV.	135
Basel-Bernoullianum	277	48	45	100	107	46	56	23	78	83	112	102	98	898	48	1. IV.	135
III. Thur																	
Starkenbach	ca 894	213	384	171	44	105	187	128	209	217	295	332	229	2514	93	8. II.	174
Ebnat	649	157	181	129	37	70	151	68	98	161	221	231	219	1731	49	10. XI.	173
Ricken	ca 790	145	292	182	48	107	170	75	171	191	260	291	210	2142	56	10. XI.	177
Peterzell	ca 705	142	160	110	60	130	138	73	114	164	228	224	186	1729	45	1. XII.	176
Nollen	ca 740	56	96	91	62	73	106	52	84	114	183	128	113	1158	34	25. X.	165
Degersheim	ca 814	89	169	104	87	108	151	59	98	140	190	159	161	1515	37	13. VI.	176
Herisau	ca 777	39	96	79	68	98	147	65	85	103	158	103	107	1148	35	13. VI.	154
Flawil	ca 616	74	120	95	57	73	123	49	82	109	174	160	149	1256	29	11. V.	171
Säntis	2500	190	181	304	38	143	185	127	252	326	455	530	279	3010	58	11. XI.	204
Urnäsch	ca 837	131	189	140	59	129	156	109	175	193	252	247	199	1979	46	1. XII.	178
Befang b. Hundwil	870	128	185	120	93	144	238	96	129	159	223	223	183	1921	93	13. VI.	178

Stationen:	Höhe ü. Meer	Jan.	Febr.	März	April	Mai	Juni	Juli	Aug.	Sept.	Okt.	Nov.	Dez.	Jahr	Maxima		Zahl d. Tage
Appenzell	ca 781	123	141	136	61	118	205	100	124	155	157	231	164	1715	38	13. VI.	186
Schwäbrig	1156	130	204	201	57	119	213	69	121	156	218	266	174	1928	?	—	180
Teufen	ca 853	85	132	120	86	136	230	86	119	123	180	174	148	1619	93	13. VI.	172
Bischofszell	ca 502	49	115	69	72	72	117	31	96	104	145	144	115	1137	40	6. VI.	155
Sulgen	ca 483	51	104	71	78	66	97	29	67	86	132	127	102	1010	27	25. XI.	150
Weinfelden	ca 446	50	94	70	48	79	115	40	66	89	145	131	99	1026	47	6. VI.	148
Ulhart	ca 540	47	75	68	65	96	91	39	41	82	136	110	88	938	35	11. V.	133
Müllheim	ca 415	47	85	92	63	92	102	55	54	89	138	137	97	1051	36	6. VI.	144
Dußnang	ca 595	124	179	137	71	92	130	36	98	143	211	171	173	1565	38	11. II.	165
Eschlikon	ca 569	80	136	105	64	85	120	41	83	117	170	150	149	1300	36	11. II.	161
Wängi	ca 475	62	108	79	68	75	114	31	72	91	148	115	122	1088	36	25. X.	151
Andorf	ca 538	82	118	101	81	85	130	39	77	108	169	145	153	1288	36	7. VI.	153
Affeltrangen	ca 486	56	92	72	67	92	107	39	60	100	141	112	110	1048	34	6. VI.	153
Thundorf	ca 560	65	106	81	79	93	131	54	77	110	145	116	125	1182	46	6. VI.	148
Frauenfeld	433	54	96	71	66	79	106	58	57	97	142	99	108	1033	49	6. VI.	149
Kalchrain	ca 585	31	79	88	64	93	81	55	46	81	138	104	82	942	33	25. X.	136
Niederneunforn	ca 446	43	80	78	74	83	78	51	58	76	143	108	84	956	31	9. V.	137
Andelfingen	370	61	101	101	81	77	82	64	50	88	144	134	107	1090	32	1. IV., 6. VI.	146
IV. Töß																	
Bauma	ca 643	93	157	135	71	95	151	66	108	148	222	211	161	1618	42	7. VI.	181
Sternenberg	ca 880	46	101	94	80	69	119	48	93	135	171	135	106	1197	33	7. VI.	162
Kollbrunn	ca 495	74	117	104	91	83	134	69	106	109	192	163	141	1383	42	6. VI.	166
Fehraltorf	ca 536	59	100	81	68	70	115	85	111	118	178	143	114	1242	37	9. VII.	163
Winterthur	ca 485	67	105	85	92	79	132	66	73	104	173	137	129	1242	49	6. VI.	159
V. Glatt																	
Grüningen	ca 488	83	127	111	53	71	117	73	88	144	203	162	146	1378	43	1. XII.	168
Hinwil	ca 606	90	138	109	53	72	150	66	117	159	213	188	185	1540	42	1. XII.	171
Pfäffikon	ca 550	66	121	89	66	70	141	81	137	119	195	172	114	1371	43	9. VII.	163
Uster	ca 466	56	116	106	70	61	165	56	105	116	210	144	121	1326	58	7. VI.	158
Strickhof (Landwirtschaftl. Schule)	515	50	106	94	73	84	96	56	93	87	175	142	110	1166	37	1. XII.	148
Oerlikon	ca 450	54	88	91	67	59	107	47	80	86	164	147	112	1102	39	1. XII.	137
Reckenholz	443	53	80	99	77	84	105	62	81	86	190	165	115	1197	42	1. XII.	145
Kloten	428	63	78	88	68	68	111	56	84	82	158	129	108	1093	34	7. VI.	145
Dielsdorf	428	72	108	114	68	69	98	44	105	90	183	192	151	1294	56	10. XI.	157
Bülach	ca 430	59	82	80	73	65	86	44	82	76	136	116	105	1004	32	1. XII.	144
VI. Limmat																	
Weißtannen	ca 998	114	150	111	48	80	122	109	145	217	185	238	156	1675	47	5. IX.	173
Walenstadt	ca 430	126	166	143	31	74	129	93	129	155	199	263	156	1664	43	10. XI.	170
Walenstadtberg	ca 982	206	294	205	63	122	168	93	164	171	269	376	222	2353	64	10. XI.	182
Obstalden	ca 690	128	147	141	32	88	162	81	184	173	243	262	177	1818	41	15. VI.	165
Auen (Linthal)	815	212	236	237	71	106	123	144	151	178	208	405	247	2318	54	18. XII.	185
Urnerboden	ca 1400	126	230	181	59	96	147	183	186	170	191	221	159	1957	39	22. III.	187
Braunwald ob Linthal	1190	233	227	232	58	82	167	191	158	179	253	482	215	2477	105	10. XI.	176
Elm	959	150	191	163	60	99	124	125	135	216	198	281	158	1900	48	10. XI.	186
Glarus	480	145	144	134	34	78	165	118	171	156	207	305	180	1837	53	10. XI.	176
Klönthal	ca 838	151	186	165	56	118	222	167	229	209	273	312	172	2260	41	10. XI.	181
Weesen	ca 430	172	166	150	46	94	167	88	172	174	237	284	195	1945	44	11. I.	176
Schänis (Steinerried)	ca 417	109	110	119	37	81	165	73	136	165	212	196	149	1552	44	7. VI.	168
Doggen	ca 411	110	105	112	32	86	141	74	159	159	209	170	144	1501	31	7. VI.	170
Oberkirch (b. Uznach)	ca 468	132	137	128	35	85	181	69	169	169	226	238	160	1735	45	13. VI.	173
Vorder-Wägital	ca 740	173	179	181	51	93	173	95	185	207	233	283	207	2061	45	11. I.	184
Lachen	ca 409	97	116	110	48	87	119	70	129	143	206	188	157	1476	34	10. XI.	170
Wald (Sanatorium)	912	163	197	157	61	84	200	83	155	177	262	304	230	2073	56	7. VI.	180
Bachtel	1120	116	151	102	68	95	202	83	143	210	227	281	183	1861	?	—	187
Rapperswil	410	84	118	111	53	86	148	78	128	139	207	181	164	1497	38	12. II.	171
Männedorf	ca 415	72	124	109	60	71	125	52	128	132	206	166	144	1389	44	1. XII.	163
Wädenswil	ca 475	100	120	161	61	68	131	74	123	161	223	219	168	1612	43	10. XI.	162
Horgen	ca 445	66	111	154	71	65	130	57	135	150	199	197	138	1473	50	10. XI.	159
Pfannenstiel	ca 853	73	136	121	57	70	147	49	126	142	211	182	159	1476	38	1. XII.	170
Küsnacht (Zürich)	ca 412	54	80	125	78	52	130	39	101	126	165	161	109	1250	50	10. XI.	154
Zollikon (Anst. f. Ep.)	ca 460	70	100	122	88	69	145	48	89	128	207	197	116	1379	74	10. XI.	148
Wollishofen	463	64	111	110	94	68	134	61	95	120	210	169	120	1356	51	10. XI.	160

Stationen:	Höhe üb. Meer	Jan.	Febr.	März	April	Mai	Juni	Juli	Aug.	Sept.	Okt.	Nov.	Dez.	Jahr	Maxima		Zahl d. Tage
Zürich-Krähbühlstr.	569	57	106	105	113	81	118	50	113	116	214	148	117	1338	38	25. X.	156
Oberiberg	1090	212	238	191	56	104	193	150	221	193	250	334	193	2337	64	11. I.	192
Willerzell	ca 892	151	175	126	49	77	127	92	157	186	227	216	159	1735	39	10. XI.	178
Einsiedeln	914	158	203	102	54	86	125	104	152	184	220	246	183	1877	42	8. II.	183
Schönenberg (Waldh.)	ca 700	107	141	165	67	79	156	75	167	153	220	237	168	1728	35	13. VI.	172
Sihlbrugg	540	97	125	127	82	86	137	64	155	141	195	200	152	1560	41	25. X.	175
Albishof	453	60	98	100	96	73	115	58	100	104	193	157	120	1274	43	10. XI.	159
Uetliberg (Bahnhof)	815	21	63	89	114	86	117	57	91	110	184	103	81	1113	41	1. IV.	149
Waldegg	ca 625	63	102	124	98	101	122	55	91	102	183	163	132	1341	45	10. XI.	159
Dietikon	ca 392	63	103	114	77	84	101	73	97	102	183	179	135	1311	46	10. XI.	155
Otelfingen	ca 447	96	125	109	78	53	107	44	102	99	161	150	127	1251	?	—	154
Baden	387	71	98	108	79	76	73	45	114	87	169	181	126	1227	47	10. XI.	152
VII. Reuß																	
Andermatt (Dorf)	1442	109	137	135	73	96	72	64	96	116	112	259	96	1365	43	10. XI.	167
Göschenen	1107	96	146	129	86	100	59	68	73	126	129	285	96	1393	65	19. XI.	155
Gurtnellen	742	91	116	126	52	58	56	45	115	99	120	248	111	1237	51	10. XI.	151
Altdorf	456	83	131	122	45	58	102	148	104	104	134	216	123	1373	46	8. VII.	161
Isenthal	ca 778	114	156	154	51	83	186	124	166	137	169	271	147	1758	34	7. VI.	166
Muotathal	ca 603	217	209	205	46	93	180	159	196	173	252	383	242	2315	67	10. XI.	179
Schwyz	517	151	175	156	60	74	159	118	163	182	226	274	164	1902	44	11. I.	176
Sattel	ca 832	148	191	163	58	79	151	118	181	181	221	278	156	1925	37	11. I.	171
Weggis	441	57	106	88	56	80	133	98	178	139	136	140	117	1328	32	7. VI./25. X.	158
Rigi-Staffel	1596	149	214	85	87	100*	158	131	239	277	225*	250*	140*	2055	?	—	190
Küßnacht (Schwyz)	ca 440	64	87	82	58	76	110	78	179	128	128	138	109	1237	52	6. VIII.	159
Engelberg	1018	127	166	152	69	84	147	120	156	130	172	271	139	1733	42	4. II.	179
Stans	ca 456	72	107	90	71	99	148	111	136	125	144	163	105	1371	42	11. V.	163
Bürgenstock	ca 855	80	169	88	98	93	153	114	151	143	159	142	116	1503	40	12. II.	164
Lungern	ca 745	148	133	133	56	65	158	83	128	121	213	271	137	1646	56	10. XI.	162
Sarnen	479	64	104	74	66	61	136	66	135	94	137	128	88	1153	31	25. X.	154
Pilatus-Kulm	2068	134	169	131	93	99	158	116	118	125	181	221	128	1673	39	7. VI.	173
Luzern (Wesemlin)	498	76	84	78	74	69	150	76	136	113	132	132	119	1239	34	25. X.	174
Luzern (Reg.-Geb.)	ca 440	71	96	75	75	67	143	86	147	110	133	128	116	1247	43	12. II.	162
Flühli	ca 893	144	137	179	98	101	181	94	170	176	250	296	192	2018	48	11. V.	176
Entlebuch	ca 722	124	155	111	151	103	163	70	140	127	188	208	180	1720	37	11. I.	172
Ruswil	623	77	69	70	109	78	145	65	70	100*	153	129	163	1228	40	25. X.	159
Werthenstein	594	86	77	74	112	94	126	47	98	99	134	121	128	1196	36	25. X.	162
Eigenthal (Buchsteg)	ca 1050	165	139	130	146	96	176	133	183	189	241	230	181	2009	52	11. I.	181
Morgarten	ca 729	135	167	160	69	76	148	118	173	193	223	257	187	1897	44	10. XI.	175
Unterägeri	ca 735	132	156	165	57	94	176	74	197	171	214	255	164	1855	35	12. II./10. XI.	180
Lorzetobel	ca 550	78	117	119	76	86	146	66	201	140	195	184	146	1554	60	31. VIII.	177
Walchwil	450	69	96	100	49	73	135	74	138	148	165	167	125	1339	32	1. XII.	163
Zug	ca 429	58	90	97	63	76	137	72	157	123	159	148	119	1299	36	25. X.	167
Ebertswil (b. Hausen a. Albis)	ca 625	78	109	107	80	90	140	61	161	121	182	167	136	2009	44	3. VIII.	164
Mettmenstetten	ca 483	48	79	77	65	66	123	36	131	99	156	122	105	1107	39	1. XII.	143
VIII. Aare																	
Grimsel	1902	262	209	294	90	117	121	104	117	198	300	411	251	2480	68	10. XI.	206
Guttannen	ca 1055	141	179	243	75	89	131	112	162	150	218	306	171	1977	56	7. III.	169
Gadmen	1207	115	148	204	71	93	116	104	123	141	243	310	183	1851	43	4. X.	183
Meiringen	605	115	186	136	74	84	127	121	117	101	170	272	153	1656	75	4. II.	171
Brienz	ca 575	86	126	136	66	76	182	99	171	100	217	288	139	1686	51	7. XI.	163
Grindelwald	ca 1005	87	72	111	94	67	119	117	139	97	143	257	108	1411	40	9. VII.	156
Eigergletscher	2323	218	140	199	115	—	—	—	—	—	—	—	—	—	—	—	—
Lauterbrunnen	ca 810	109	83	134	63	58	96	89	142	73	145	264	109	1365	44	10. XI.	153
Interlaken	568	78	109	132	68	65	133	66	141	99	154	246	106	1397	35	10. XI.	162
Beatenberg	1148	148	164	170	106	78	151	90	160	127	174	310	138	1816	44	7. XI.	167
Kandersteg	ca 1170	94	94	113	78	61	103	50	146	81	150	193	103	1266	26	6. VI.	169
Adelboden	ca 1345	107	73	123	71	61	128	76	133	97	191	232	99	1393	50	13. X.	158
Frutigen	ca 820	106	99	131	64	76	141	129	143	97	166	220	107	1479	51	3. VII.	162
Kienthal	ca 970	90	94	114	83	79	146	111	136	89	160	215	112	1429	33	11. V.	168
Zweisimmen	ca 960	153	137	137	64	53	123	76	161	157	243	279	182	1765	42	10. XI.	155
Boltigen	ca 830	146	136	135	73	55	135	61	136	126	224	338	169	1734	42	10. XI.	157
Alp Kiley	1440	158	148	142	108	77	186	103	244	170	255	294	151	2036	66	13 X.	175
Grimmialp	1214	113	140	106	97	72	167	107	176	147	228	266	155	1774	63	8. VII.	170
Wimmis	ca 640	101	108	139	96	90	177	72	153	112	190	217	152	1609	44	11. V.	167
Heiligenschwendi	1125	74	84	106	176	76	134	107	164	99	122	151	88	1381	40	25. X.	164

Stationen:	Höhe üb. Meer	Jan.	Febr.	März	April	Mai	Juni	Juli	Aug.	Sept.	Okt.	Nov.	Dez.	Jahr	Maxima		Zahl d. Tage
Thun	565	50	40	73	112	75	115	71	114	85	106	110	64	1015	38	11. V.	142
Schwarzenegg	ca 910	86	82	94	113	73	132	60	142	112	140	155	83	1272	39	25. X.	160
Großhöchstetten	ca 750	81	72	97	103	89	143	57	144	103	146	162	97	1294	43	11. V.	139
Belp	ca 525	96	79	113	84	70	119	61	165	134	167	169	119	1376	36	30. VIII.	156
Bern	572	92	74	100	67	70	88	32	149	120	177	158	109	1236	39	25. X.	148
Lauenen	ca 1260	151	130	126	76	54	131	84	142	143	196	264	185	1682	47	11. I.	156
Gsteig bei Saanen	ca 1180	141	118	133	67	48	207	105	168	133	243	285	147	1795	60	13. X.	163
Saanen (Solsana)	1160	150	109	133	59	38	111	64	141	131	232	247	144	1559	53	11. I.	158
Rougemont	1010	167	135	137	68	38	130	112	159	167	252	310	186	1861	47	11. I.	161
Château-d'Oex	ca 1021	139	114	138	70	48	137	38	165	181	213	263	160	1666	48	11. I.	165
l'Etivaz	1140	167	147	166	81	52	161	74	197	182	258	326	190	2001	56	11. I.	167
Jaun	ca 1030	141	124	192	100	45	190	77	186	172	254	362	203	2046	50	9. VIII.	168
La Valsainte	ca 1032	145	93	169	74	120	178	64	182	187	248	284	169	1913	50	9. V.	166
Marsens	727	109	67	134	56	103	123	53	188	177	195	196	141	1548	30	25. X.	149
La Roche	ca 770	84	71	121	83	93	133	46	208	153	184	183	114	1473	56	25. X.	163
Romont	764	65	61*	105	54	58	120	27	169	131	172	169	107	1237	51	25. X.	148
Freiburg	670	59	41	88	61	66	90	45	164	118	135	140	80	1087	42	25. X.	145
Gauglera	ca 925	70	71	102	81	73	138	38	190	158	175	197	98	1391	45	25. X.	158
Schwarzenburg	ca 800	82	85	122	84	67	133	49	171	140	164	184	107	1388	40	25. X.	153
Wahlendorf	ca 760	125	106	133	91	68	87	104	147	144	217	222	168	1612	61	28. VII.	163
Aarberg	ca 465	113	66	107	73	48	64	95	115	130	178	182	156	1327	48	28. VII.	147
Rossenges s. Moudon	ca 700	122	69	132	61	64	79	37	174	181	219	216	145	1499	60	25. X.	145
Moudon	515	101	59	105	48	49	73	35	149	149	170	189	125	1252	50	25. X.	145
Payerne	ca 445	69	39	98	54	49	82	40	163	129	151	173	101	1151	45	30. VIII.	140
Avenches	480	75	38	96	54	49	73	42	131	129	159	147	88	1081	44	30. VIII.	132
Witzwil	ca 448	93	42	97	57	61	51	36	126	126	182	179	135	1184	37	30. VIII.	142
La Cure	ca 1165	131	80*	178	60	123	122	19	148	258	440	340*	144	2043	84	4. V.	152
Le Sentier	ca 1024	139	74	147	54	129	93	49	147	198	280	302	148	1760	35	27. XI.	168
Le Pont	1008	163	86	135	76	89	73	60	138	175	237	262	185	1679	37	8. VII.	168
Vallorbe-Reposoir	930	227	116	145	78	94	78	49	148	204	271	323	243	1976	50	10. I.	170
Vallorbe-Village	ca 790	141	75	143	58	87	66	77	140	195	235	289	193	1699	41	27. IX.	155
L'Abergement	640	138	63	143	51	75	65	24	99	162	198	321	164	1503	48	11. I.	140
Valleyres-s.-Rances	505	95	38	100	60	48	71	19	102	121	156	210	126	1146	27	13. X.	141
Bochuz	ca 440	82	32	99	62	65	68	12	149	131	167	188	124	1179	37	15. VIII.	141
Echallens	ca 625	85*	31	117	57	57	105	27	207	179	213	208	149	1435	57	6. VIII	141
Corcelles	ca 560	105	37	104	59	55	78	27	181	138	158	182	146	1270	35	6. VIII.	141
Yverdon	440	67	30	103	52	52	69	24	129	119	191	173	107	1116	36	13. X.	131
Baulmes	ca 634	214	95	159	44	73	62	25	119	179	234	330	213	1747	47	11. I.	157
La Frêtaz p. Bullet	ca 1200	—	—	—	—	83	86	18	131	195	294	313	149	—	—	—	—
Chasseron	1590	133	57	147	64	86	102	34	119	170	307	240	106	1565	45	13. X.	167
L'Auberson	ca 1110	159	132	170	70	94	69	44	135	196	297	300	173	1839	40	11. I.	174
St-Sulpice	ca 760	223	124	176	74	67	89	86	118	162	256	305	234	1914	54	11. I.	174
Couvet	ca 750	151	95	144	89	68	83	51	116	146	214	241	170	1571	42	11. I.	160
Champ du Moulin	620	162	90	161	73	74	76	32	153	163	237	265	202	1688	47	30. VIII.	154
Grandchamp-Areuse	ca 450	157	59	104	50	67	56	26	143	158	178	227	166	1391	53	10. I.	137
La Brévine	ca 1077	123	63	179	74	80	85	110	115	160	252	260	144	1645	54	8. VII.	173
Les Ponts	1020	190	101	165	91	72	74	57	120	136	235	297	208	1746	49	11. I.	162
Cernier	800	172	70	157	60	69	61	49	125	151	252	338	154	1658	40	11. I.	167
Serrières	ca 470	117	60*	87	49	41	39	17	104	156	194	229	157	1250	39	13. X.	149
Neuchâtel	487	124	59	95	53	47	62	22	130	130	168	179	153	1222	41	30. VIII.	149
Chaumont	1141	137	109	106	72	50	69	32	141	141	194	217	167	1435	42*	11. I.	155
Biel	ca 440	127	81	108	55	36	75	44	109	123	204	198	196	1356	39	11. I.	144
Evilard	ca 700	191	133	132	64	44	75	25	112	160	236	249	258	1679	50	10. I.	158
Mont-Soleil	ca 1200	187	117	174	88	71	91	31	133	151	234	294	208	1779	49	11. I.	176
Courtelary	ca 699	—	—	—	—	—	—	—	—	—	—	—	—	—	—	—	—
Weißenstein	1285	81	65	116	86	73	114	86	180	146	199	144	107	1397	54	24. X.	160
Solothurn	470	147	98	123	68	63	101	84	115	130	221	232	210	1592	58	28. VII.	161
Marbach	ca 875	162	150	153	120	103	165	79	168	162	218	280	174	1934	40	25. X.	183
Escholzmatt	ca 920	123	143	119	115	81	140	68	153	127	177	201	153	1600	37	2. XII.	179
Langnau i. E.	685	97	96	116	102	113	126	80	129	126	168	192	125	1470	48	11. V.	168
Wasen i. E.	ca 755	115	107	126	105	106	113	66	165	124	175	193	125	1520	47	11. V.	162
Affoltern i. E.	795	76	105	103	101	79	118	63	162	130	157	166	120	1380	36	25. X.	158
Burgdorf	ca 535	75	59	84	73	85	80	50	115	110	138	109	90	1008	41	25. X.	133
Gerlafingen	454	146	91	125	88	99	104	83	129	122	199	190	206	1582	53	28. VII.	159

Stationen:	Höhe üb. Meer	Jan.	Febr.	März	April	Mai	Juni	Juli	Aug.	Sept.	Okt.	Nov.	Dez.	Jahr	Maxima		Zahl d. Tage
Herzogenbuchsee	ca 475	67	54	110	76	71	94	60	87	98	160	150	126	1153	32	25. X.	153
St. Urban	ca 452	134	82	118	80	86	110	78	108	109	190	182	169	1446	37	25. X.	161
Luthern	ca 778	117	110	128	133	86	162	52	173	165	186	203	172	1687	48	11. I.	168
Wauwilermoos	ca 502	—	78	92	83	99	115	–	134	122	—	133	116	—	—	—	—
Zofingen	ca 436	122	83	113	79	71	111	87	85	106	177	163	159	1356	38	25. X.	159
Herbetswil	ca 526	119	80	132	64	67	104	74	126	132	142	187	183	1410	41	6. VI.	155
Langenbruck	740	117	103	130	85	73	106	72	111	121	165	175	158	1413	38	6. VI.	164
Balsthal	ca 503	96	68	108	68	55	88	60	112	113	141	158	155	1222	32	24. X.	158
Allerheiligen	897	113	92	141	131	75	106	54	113	135	184	183	139	1466	38	24. X.	172
Olten	ca 400	107	70	114	68	57	118	48	92	123	175	176	158	1306	43	24. X.	165
Barmelweid	ca 770	72	81	103	76	45	48	31	95	105	150*	172	129	1107	?	—	163
Aarau	408	83	83	106	68	50	107	47	89	112	165	178	140	1228	52	24. X.	162
Kölliken	ca 431	116	89	128	73	66	120	56	77	115	175	180	167	1392	40	6. VI.	159
Beromünster	ca 642	103	108	123	98	79	117	58	123	109	170	155	162	1405	37	11. V.	163
Unter-Kulm	ca 470	103	94	113	80	81	123	63	124	107	181	166	149	1384	35	25. X.	156
Aesch (Hitzkirch)	ca 484	88	92	101	85	82	98	54	108	103	172	154	127	1264	42	25. X.	154
Seengen	ca 471	68	83	105	88	81	110	59	110	95	161	140	114	1214	38	10. XI.	157
Muri	483	61	77	105	87	64	100	41	95	93	161	131	102	1117	40	10. XI.	139
Bötzberg	ca 500	104	161	118	77	56	95	83	115	118	192	210	119	1448	53	11. II.	150
Schinznach-Dorf	ca 365	78	95	114	70	73	73	104	114	108	102	199	121	1311	45	10. XI.	149
Brugg	ca 350	72	95	111	77	60	79	70	92	102	166	179	131	1234	42	10. XI.	153
Beznau	ca 330	75	112	125	61	56	85	61	80	102	171	198	122	1248	45	10. XI.	149
Oberweningen	ca 470	70	107	113	80	66	82	49	108	85	161	150	123	1194	31	10. XI.	148
B. Rhonegebiet I. Rhone und Genfersee																	
Oberwald	1370	174	173	192	61	121	65	41	90	150	213	355	218	1853	46	19. XI.	175
Reckingen	1332	97	72	138	42	57	75	54	79	104	147	215	146	1226	39	10. XI.	145
Fiesch	ca 1080	105	60	107	70	46	55	36	92	70	113	187	100	1041	33	10. XI.	123
Binn	ca 1450	94	44	76	87	53	63	39	76	83	112	207	83	1017	48	24. IV.	118
Sans-Fee	ca 1800	51	51	54	75	44	37	17	79	46	114	115	85	768	32	23. IV.	111
Zermatt	1610	37	24	87	50	21	52	29	83	35	78	108	60	664	37	10. XI.	114
Grächen	ca 1629	27	20	42	47	19	47	21	79	30	102	106	68	608	?	—	93
Visp	648	64	88	36	40	15	48	7	75	24	92	152	108	749	31	12. II.	103
Kippel	ca 1376	125	110	102	55	13	85	26	92	62	181	308	190	1349	70	10. XI.	135
Leukerbad	ca 1380	104	49	102	46	17	88	33	88	82	124	146	179	1058	45	17. XII.	126
Varen bei Leuk	ca 750	65	62	54	45	16	54	23	79	30	133	133	116	810	35	13. X.	100
Siders	573	82	60	53	36	17	47	22	86	41	136	148	129	857	41	13. X.	98
Montana	1453	128	85	110	65	28	68	45	120	80	189	263	172	1353	46	13. X.	129
Grimentz	ca 1570	—	69	86	—	37	—	16	119	100	129	—	—	—	—	—	—
Hérémence	ca 1240	69	43	64	49	28	63	27	112	60	137	148	89	889	44	13. X.	117
Sion	549	69	37	55	46	18	52	12	95	64	143	159	142	892	46	13 X.	112
Bagnes (Châble)	ca 836	89	77	99	51	25	41	22	94	46	127	203	118	992	37	13. X.	115
St. Bernhard	2476	202	116	245	119	131	99	28	161	166	275	286	249	2077	47	11. I.	163
Bourg St-Pierre	ca 1633	93	48	72	36	31	58	28	101	62	132	220*	143	1024	?	—	103
Orsières	ca 890	93	63	81	55	22	50	16	100	49	127	183	108	947	43	13. X.	96
Martigny-Ville	478	111	60	83	28	22	85	30	120	73	149	201	131	1093	51	13. X.	121
Marécottes	1090	181	121	144	48	25	107	38	140	119	242	359	192	1716	73	11. I.	133
Gryon	ca 1130	166	154	120	87	58	129	119	155	118	207	272	167	1752	40	13. X.	159
Les Plans	ca 1100	165	147	127	81	53	138	104	173	137	208	276	162	1771	43	6. VI.	146
Bex	430	119	98	89	64	48	102	72	146	91	156	178	116	1279	42	6. VIII.	140
Val d'Illiez	ca 890	128	79	105	67	68	142	43	188	154	225	261	164	1624	47	30. VIII	153
Diablerets-Village	1168	194	150	143	86	46	124	68	159	137	245	350	203	1905	51	13. X.	155
Leysin	1350	146	160	131	81	52	138	79	158	118	185	278	182	1708	37	28. VII.	155
Chessel	ca 380	110	80	109	60	63	149	46	147	142	227	216	129	1478	49	13. X.	142
Rochers de Naye	1982	467	305	296	126	113	193	95	284	262	371	395	240	3147	70	11. I.	162
Montreux-Clarens	412	114	73	101	63	71	137	41	170	131	192	189	120	1402	47	25. X.	147
Vevey	380	115	64	104	45	64	118	44	163	106	176	196	111	1306	57	30. VIII.	138
Riex	445	79	68	134	47	72	84	32	141	128	182	228	141	1336	?	—	142
Tour de Gourze	925	78	74	123	62	62	116	45	165	152	201	258	133	1469	44	30. VIII	147
Pully	461	85	61	130	59	89	117	53	176	177	248	262	164	1621	66	25. X.	144
Lausanne	553	82	54	102	45	69	85	42	142	130	203	202	130	1286	55	25. X.	141
Cossonay	ca 575	80	45	93	51	54	72	23	133	126	174	170	138	1159	?	—	136
Morges	380	130	39	117	55	69	82	44	157	133	229	193	157	1405	48	25. X.	140

Stationen:	Höhe üb. Meer	Jan.	Febr.	März	April	Mai	Juni	Juli	Aug.	Sept.	Okt.	Nov.	Dez.	Jahr	Maxima		Zahl d. Tage
Marcelin s. Morges	ca 425	122	29	116	56	68	72	39	156	127	211	171	142	1309	45	13. X.	136
Allaman	432	—	—	—	38	73	84	68	136	131	230	187	139	—	—	—	—
Longirod	ca 900	134	32	143	75	89	74	52	144	239	341	239	132	1694	?	—	137
Nyon	ca 405	114	35	105	43	86	90	58	111	123	219	183	142	1309	40	2. V. 13. X.	136
Céligny	ca 435	123	48	117	50	61	77	32	103	125	237	204	153	1330	40	10. I.	139
Genève	405	73	42	82	31	49	89	18	125	101	170	176	80	1036	38	6. VI.	127
Jussy	ca 475	67	31	119	34	57	91	26	124	100	179	145	68	1041	33	29. III.	136
Compesières	ca 476	62	30	89	55	49	78	20	111	115	152	168	88	1017	35	25. XI.	133
Genève-Cointrin	423	74	35	97	40	58	80	21	102	97	187	186	102	1079	32	25. XI.	129
II. Doubs																	
Les Brenets	878	198	142	165	67	102	86	92	123	154	224	263	210	1826	63	8. VII.	165
Le Locle	ca 920	225	147	163	69	84	94	74	117	134	230	282	260	1879	46	8. VII.	174
La Chaux-de-Fonds	990	156	103	142	81	67	70	78	114	136	217	246	188	1598	40	11. I.	173
Saignelégier	ca 985	141	87	176	86	58	78	47	130	156	224	217	165	1565	40	11. I.	170
Porrentruy	444	101	78	148	54	51	53	64	93	114	172	151	143	1222	38	1. XII.	149
Mormont	ca 550	80	68	160	81	54	41	52	101	111	178	146	140	1212	47	1. IV.	154
C. Pogebiet I. Tessin																	
Gotthard	2096	98	82	133	281	216	155	72	125	205	174	231	108	1880	136	1. IV.	184
Airolo	ca 1170	81	39	85	200	186	155	46	179	215	157	169	95	1607	58	4. V.	135
Lago di Tremorgio	1851	93	40	92	150	211	174	118	177	297	177	219	122	1870	73	5. IX.	142
Olivone	ca 893	66	0	91	151	165	105	85	192	398	178	167	69	1667	100	5. IX.	99
Comprovasco	544	48	1	69	142	163	101	87	127	326	133	128	61	1386	107	5. IX.	104
Biasca	ca 300	26	7	95	191	269	141	90	113	607	172	135	54	1900	243	5. IX.	105
Mesocco (Misox)	ca 785	85	0	112	167	142	146	114	147	272	181	133	58	1557	61	1. IV.	104
Braggio	1332	23	4	76	212	177	132	144	147	256	158	123	55	1507	81	1. IV.	89
Grono	335	19	3	56	200	157	97	84	171	252	180	119	29	1367	63	5. IX.	96
Bellinzona	237	24	2	58	254	193	114	191	145	289	163	104	52	1589	104	1. IV.	99
Viru (Gambarogno)	ca 210	40	4	72	335	240	144	98	104	275	134	121	42	1609	87	23. IV.	94
Fusio	ca 1285	80	19	86	173	194	151	75	154	267	160	160	71	1590	63	23. IV.	127
Cevio	ca 430	41	5	72	164	193	116	66	115	229	126	178	56	1361	64	19. XI.	107
Bosco-Gurin	1486	109	23	44	169	265	189	76	127	172	121	222	96	1613	?	—	114
Mosogno	ca 790	25	5	59	226	236	75	97	103	320	112	143	42	1443	113	5. IX.	95
Camedo	ca 610	42	2	76	307	270	76	84	125	496	126	131	52	1787	225	5. IX.	90
Locarno-Muralto	239	31	6	69	313	230	162	113	103	443	116	114	44	1744	114	5. IX.	96
Locarno-Monti	379	29	4	66	299	217	128	97	101	444	120	116	44	1665	123	6. IX.	95
Ascona	ca 203	31	3	75	297	212	119	94	101	480	128	113	45	1698	139	6. IX.	98
Brissago	ca 257	34	4	90	371	298	103	61	130	565	139	121	36	1952	150	6. IX.	91
Mezzana	ca 335	33	9	48	305	199	115	157	108	126	118	133	56	1407	168	23. IV.	87
Monte Brè	910	11	7	50	279	231	111	62	216	188	135	70	31	1391	93	23. IV.	80
Lugano	276	33	8	55	296	278	114	94	217	231	139	83	41	1589	107	5. IX.	95
Piandanazzo (Val Colla)	1620	40	13	86	285	224	128	92	216	262	197	98	68	1709	110	1. IV.	113
Crana-Torricella	1010	32	10	108	451	318	106	85	212	273	149	108	51	1913	158	1. IV.	110
Fescoggia	ca 845	40	10	76	351	317	104	83	170	232	130	96	40	1649	92	4. V.	108
Ponte Tresa	ca 280	25	8*	57	248	258	109	72	147	202	105	85	45	1361	95	4. V.	80
II. Adda																	
Bernina-Hospiz	ca 2309	61	22	164	211	129	86	108	180	253	282	122	147	1765	70	1 8. IV.	109
Cavaglia	ca 1701	43	25	122	169	108	108	115	139	212	266	116	92	1515	65	20. 25. X.	110
Brusio	ca 755	14	12	51	78	72	55	160	123	109	208	66	63	1011	65	25. X.	92
Vicosoprano	1087	38	1	92	156	121	101	120	151	222	214	110	57	1383	64	20. X.	109
Soglio	ca 1090	53	3	85	147	113	120	144	165	226	209	101	56	1422	68	20. X.	103
D. Donaugebiet Inn																	
Sils-Maria	1814	31	13	67	120*	87	85*	112	137	133	160	110	61	1116	?	—	110
St. Moritz	1853	20	15	45	108	40	71	84	114	110	135	96	46	884	64	1. IV.	111
Bever	1712	30	19	44	62	45	72	94	151	125	146	87	49	924	41	11. IX.	110
Buffalora	ca 1977	37	57	58	98	70	131	147	239	196	106	135	52	1326	42	6. IX.	139
Süs	ca 1440	24	32	51	29	27	69	63	136	84	122	119	43	799	31	19. XI.	118
Scarl	ca 1810	—	—	—	—	—	68	119	107	93	133	—	—	—	—	—	—
Schuls	1253	34	44	47	25	22	58	69	119	109	119	127	59	832	32	10. XI.	126
Martinsbruck	ca 1040	45	49	71	26	18	63	83	108	84	90	122	69	828	28	10. XI.	126
E. Etschgebiet Rombach																	
Sta. Maria	1411	12	20	40	27	12	63	64	95	78	137	75	54	677	37	25. X.	89

Monats- und Jahressummen im Jahre 1952

ausgedrückt in Prozenten der Normalmengen*)

Stationen	Höhe üb. Meer	Jan.	Febr.	März	April	Mai	Juni	Juli	Aug.	Sept.	Okt.	Nov.	Dez.	Jahr
Platta (Medels)	1378	138	192	110	118	86	80	41	125	148	98	176	139	114
Bernhardin	2073	—	—	—	—	133	85	70	80	137	97	-	—	—
Splügen	ca 1500	80	73	95	126	84	79	56	96	154	98	153	72	99
Davos-Platz	1561	120	149	139	43	91	95	67	115	157	170	324	142	125
Chur	633	107	114	102	69	79	82	45	95	221	151	214	86	111
Sargans	510	136	210	108	48	73	68	63	91	161	169	337	123	120
Altstätten	468	127	194	183	35	76	101	36	73	115	179	297	159	115
St. Gallen	679	83	178	108	71	89	143	34	64	86	159	183	158	104
Kreuzlingen	446	136	200	146	101	89	80	44	52	101	203	248	193	118
Lohn (Schaffh.)	ca 643	206	209	211	135	89	80	41	87	99	172	252	179	133
Basel-Bernoullianum	277	117	110	189	165	57	57	26	91	106	151	173	188	110
Glarus	480	177	185	158	32	68	100	61	94	123	186	351	186	129
Zürich	569	106	204	146	123	74	90	38	89	112	233	224	163	121
Einsiedeln	914	180	231	149	41	57	63	51	77	126	175	259	174	114
Altdorf	456	153	211	161	47	55	74	95	70	98	126	267	150	112
Engelberg	1018	137	193	148	56	61	85	65	88	98	137	291	138	113
Luzern-Wesemlin	498	158	175	116	83	60	102	50	96	107	150	220	205	111
Guttannen	ca 1055	126	167	187	49	62	86	67	101	111	147	262	133	120
Beatenberg	1148	168	200	156	86	58	85	51	99	107	150	337	137	123
Bern	572	192	145	152	88	74	78	29	138	135	201	232	170	127
Neuchâtel	487	203	98	138	74	57	62	23	131	151	181	224	191	125
Chaumont	1141	214	179	145	91	54	61	29	126	147	187	258	201	134
Affoltern i. E.	795	121	169	123	106	69	84	50	127	127	162	221	156	119
Langenbruck	740	150	137	155	90	65	81	55	97	119	163	222	172	119
Olten	ca 400	160	108	154	84	56	93	38	77	126	179	223	188	117
Aarau	408	138	143	154	88	53	91	40	82	122	192	251	189	120
Muri (Aargau)	483	103	133	144	100	60	76	32	79	98	181	193	136	102
Reckingen	1332	135	113	152	45	65	89	61	93	112	126	250	164	117
Sion	549	160	88	120	118	45	116	22	146	133	251	312	237	151
St. Bernhard	2476	116	74	117	56	74	61	22	117	111	128	143	117	97
Martigny	478	195	118	146	53	43	147	42	150	122	199	330	177	146
Montreux-Clarens	412	211	130	140	79	76	119	34	134	136	198	263	164	133
Lausanne	553	141	92	136	59	75	86	42	129	131	188	238	165	124
Genève	405	155	84	130	45	64	113	23	130	119	172	223	118	117
St. Gotthard	2096	63	59	67	136	104	87	38	64	99	70	111	58	81
Airolo	ca 1170	114	53	72	148	118	117	31	110	125	71	105	88	97
Braggio	1332	42	7	76	166	105	80	79	78	159	91	103	71	95
Locarno-Muralto	239	49	9	58	193	112	87	58	49	218	52	78	52	93
Lugano	276	55	13	48	183	145	62	54	116	132	70	61	51	92
Sils-Maria	1814	69	30	97	158	97	89	97	117	130	151	136	100	111
Bever	1712	81	54	85	107	63	84	89	140	137	166	128	91	108
Schuls	1253	85	133	134	60	42	87	75	129	154	198	259	118	122

*) Normalperiode 1864—1940. Die mittleren Monats- und Jahressummen sind im Jahrgang 1941 im Anschluß an die vorstehende Tabelle veröffentlicht.

Ergebnisse

der im Alpengebiet aufgestellten Niederschlags-Totalisatoren

für das hydrologische Jahr 1951/1952

Station	m ü. M.	Langjähriges Mittel		Periode 1951/1952				
		Wert	Anzahl Jahre	Zeitdauer 1951	Zeitdauer 1952	Gemessener Wert	Red. Wert 1. 10. 51 – 30. 9. 52	In % des Mittels
		cm				cm	cm	
Suchetgebiet (Jura)								
Suchet (Chalet)	1465	167	23	11. 9. — 27.10.		148	130	78
Diableretsgebiet								
Becca d'Audon	2870	162	29	12. 9. — 28.10.		186	159	98
Mont Blancgebiet								
Col d'Orny	3169	289	29	16. 9. — 16. 9.		238	243	84
Monte Rosagebiet								
Mondellipaß	2800	231	30	4.10. — 26. 9.		285	287	124
Thälliboden	2485	149	30	4.10. — 26. 9.		126	126	85
Galmen	2690	119	30	4.10. — 26. 9.		93	94	79
Seewinenberg	3025	292	30	3.10. — 24. 9.		—	305[1]	104
Ofentalpaß	2800	204	30	3.10. — 26. 9.		191	192	94
Stelli-Weißtal	2620	185	30	3.10. — 26. 9.		167	168	91
Schwarzenberggletscher (Fuß Fluchthorn)	2968	149	30	2.10. — 24. 9.		129	130	87
Schwarzenbergkopf	2565	188	30	2.10. — 1.10.		202	202	107
Mattmarksee	2117	79	30	1.10. — 1.10.		69	69	87
Allalingletscher	3369	190	30	29. 9. — 24. 9.		170	165	87
Kessjen	2840	125	30	5.10. — 23. 9.		117	119	95
Plattje	2228	149	30	5.10. — 4.10.		151	147	99
Furgghorn	3390	319	25	13. 9. — 17. 9.		290	288	90
Gornergrat	3100	122	28	12. 9. — 15. 9.		130	123	101
Simplongebiet								
Magenhorn	2470	138	14	7.10. — 28. 9.		136	136	99
Jungfraugebiet								
Mönchegrat	3810	390	31	11. 9. — 26. 9.		327	323	83
Trugberg	3530	182	26	12. 9. — 23. 9.		145	145	80
Kranzberg	3180	401	23	13. 9. — 24. 9.		405	401	100
Konkordia	2890	139	31	9.10. — 25. 9.		124	127	91
Aletschwald	2040	118	16	14. 9. — 15. 9.		115	115	97
Grimsel- und Gelmergebiet								
Kl. Siedelhorn	2430	225	33	17. 9. — 14. 7.		159	185	82
Abschwung	2900	216	33	19. 9. — 16. 7.		199	235	109
Pavillon Dollfus	2415	157	33	19. 9. — 16. 7.		140	164	104
Oberaarjoch	3310	285	33	18. 9. — 15. 7.		290	339	120
Oberaaralp	2257	140	33	17. 9. — 15. 7.		144	166	119
Gelmer Bergli	2144	185	33	20. 9. — 14. 7.		144	170	92
Titlisgebiet								
Trübsee-Jochpaß	1800	214	24	22. 9. — 15. 9.		199	200	93
Sustenpaß	2260	114	7	24. 9. — 7.10.		120	112	98
Hinterfeldalp (Melental)	1675	199	5	—	—	—	—	—
Dammastockgebiet								
Göscheneralp	1718	138	8	29. 9. — 8.10.		137	130	94
Bergsee	2420	185	6	7.10. —		—	—	—
Albert-Heim-Hütte SAC.	2530	187	9	29. 9. —		—	—	—
Oberalpstockgebiet								
Calmot (Oberalp)	2190	135	9	24. 9. —		—	—	—
Brunniboden (Maderanertal)	2040	189	7	10.10. — 10.10.		175	168	89
Gufernalp (Maderanertal)	1295	204	8	10.10. — 9.10.		180	173	85
Gotthardgebiet								
Andermatt	1440	168	9	24. 9. — 8.10.		167	158	94
Rotondohütte SAC.	2550	187	7	—	—	—	—	—
Lago Ritom*	1960	148	30	1.10. — 1.12.		208	177	120
Cristallinagebiet								
Lago di Naret	2313	263	6	30. 9. — 1.10.		257	257	98
Lago Sfundau	2523	219	6	30. 9. — 1.10.		202	202	92
Lago Bianco	2063	243	5	1.10. — 1.10.		290	290	119
Oberes Maggiagebiet								
Großalp-Bosco	1900	229	5	30. 9. — 1.10.		205	205	90
Alpe Quadrella	1810	213	5	1.10. — 30. 9.		194	194	91
Campo-Maggia	1380	200	5	1.10. — 30. 9.		196	196	98
Alpe Sfille	1623	201	3	—	—	—	—	—
Greinagebiet								
Greinaboden (West)	2327	202	15	5.10. — 21.10.		264	245	121
Greinaboden (Ost)	2327	128	15	6.10. — 22.10.		162	150	117
Alp Sutglatschèr	1420	168	15	6.10. — 16.10.		211	199	118
Medelserhütte SAC.	2480	197	15	9.10. — 8.10.		218	207	105
Alp Cugn	2154	138	15	3.10. — 16.10.		161	152	110
Alp Nadéls	1880	120	15	4.10. — 15.10.		139	131	109
Alp Naustgel	1945	135	15	2.10. — 14.10.		159	150	111
Rhätisches Alpengebiet								
Gemskanzel-Rheinwaldfirn	2916	145	28	16. 9. — 30. 9.		—	150[2]	104
Älpetlistock-Splügenpaß	2393	193	29	21. 9. — 28. 9.		223	226	117
Muotaulta-Annarosa	2300	144	29	24. 9. — 6.10.		149	140	97
Crapet-Prassignola	2650	152	28	8. 9. — 24. 9.		168	167	110
Piz Curvèr	2810	110	29	26. 9. — 8.10.		125	117	106
Piz Scalotta	2965	170	29	9.10. — 24. 9.		143	147	87
Julier-Hospiz	2515	109	29	22. 9. — 18. 9.		112	111	102
Albula-Hospiz	2315	89	19	1.10. — 5.10.		87	84	94
Cluoza (Blockhaus)	1910	92	33	30. 9. — 2.10.		102	101	110
Silvrettagebiet								
Silvrettahütte	2375	145	33	21. 9. — 19.10.		145	133	92
Eckhorn	3145	142	32	21. 9. — 18.10.		138	127	89
Taminagebiet								
Vättnerälpli	1885	130	22	25. 9. — 26. 9.		129	127	98
First (Wasserböden)	2200	100	22	28. 9. — 22.10.		112	102	102
St. Martin	1396	148	22	26. 9. — 13.10.		153	142	96
Panäraalp	2028	157	22	8.10. — 14.10.		175	164	105
Tödigebiet								
Claridenfirn	2710	347	33	12. 9. — 16. 9.		365	361	104
Säntisgebiet								
Säntis	2504	384	24	30. 9. — 30. 9.		372	372	97
Gebiet des Hohen Randen (Jura)								
Auf dem Hagen	915	87	25	26. 9. — 25. 9.		86	89	102

[1] Winterwert interpoliert. [2] Nach dem 2jährigen Resultat 1951/53 interpoliert.

* Korrektur 1950/51: Gemessener Wert 182 cm, reduzierter Wert 183 cm, in % des Mittels 124.

Im Totalisatorennetz der MZA sind für das Jahr 1951/52 folgende Änderungen zu verzeichnen. Fünf Apparate, die uns aus dem Salanfegebiet von der Salanfe S. A., Lausanne, in verdankenswerter Weise zur Verfügung gestellt worden sind, konnten im Juli 1952 abtransportiert und durch die Organe der Lärchenwickler-Station Zuoz des Entomologischen Instituts der ETH in ihrem Studiengebiet im Oberengadin aufgestellt werden. Somit erhöht sich der Bestand der MZA auf Ende 1952 von 24 auf 29 Totalisatoren, die alle in gutem Zustand sind. Hievon erhielten wir 24 Volumenergebnisse und dazu kamen noch 42 Meßresultate von 48 Stationen, die uns, wie früher, von folgenden 6 Institutionen zur Auswertung und Publikation unter bester Verdankung zugestellt wurden.

Von der Abteilung für Hydrologie der Versuchsanstalt für Wasserbau an der ETH 16 Resultate des Mattmark- und Taminagebietes; von den Rhätischen Werken für Elektrizität 12 Volumenergebnisse des Greina- und Bündner Alpengebietes; von den Kraftwerken Oberhasli AG 6 Werte des Grimsel- und Gelmergebietes; vom Studiensyndikat der Urseren-Kraftwerke (durch Herrn Th. Frey, Ingenieur, Zürich) 5 Volumenwerte des Urseren- und Gotthardgebietes; vom Baudepartement des Kantons Tessin (durch Herrn Prof. Dr. F. Gygax, Bern) 3 Resultate des Cristallina- und obern Maggiagebietes und vom Forstinspektorat, VII. Kreis, Locarno, 2 Ergebnisse aus dem obern Maggiatal.

Zufolge anhaltend ungünstiger Witterung und Lawinengefahr im Herbst 1952 konnten die Stationen Bergsee, Albert-Heim-Hütte SAC und Gemskanzel-Rheinwaldfirn nicht bedient werden. Die Apparate Rotondohütte SAC und Alpe Sfille sind seit 1951 defekt und wurden kostenhalber nicht mehr instandgestellt. Nach Entleerung sind die Totalisatoren Sustenpaß, Hinterfeldalp, Göscheneralp, Calmot, Brunniboden, Gufernalp und Andermatt, die seit 6—10 Jahren bestunden, vom Studiensyndikat der Urseren-Kraftwerke im Oktober 1952 demontiert worden. Damit reduziert sich der Bestand der obgenannten Institutionen auf Ende 1952 von 48 auf 41 Stationen.

Die kleinsten Niederschlagsmengen für das Jahr 1951/52 verzeichnen die Stationen Mattmarksee mit 69 cm, Albula-Hospiz 84 cm, Auf dem Hagen 89 cm und Galmen 94 cm. Am meisten Niederschlag sammelten die Apparate Mönchsgrat 323 cm, Oberaarjoch 339 cm, Claridenfirn 361 cm, Säntis 372 cm und Kranzberg 401 cm.

Bezogen auf die Normalmittel ergaben nachstehende Stationen die größten Niederschlagsdefizite, nämlich Suchet ungefähr 22 %, Galmen 21 %, Trugberg 20 % und Klein-Siedelhorn 18 %. Extreme Überschüsse erreichten die Totalisatoren Oberaarjoch und Lago Ritom mit je 20 %, ferner Greinaboden (West) 21 % und Mondellipaß etwa 24 % über dem Normalwert.

Nach der Größenordnung wiesen 24 Stationen Fehlbeträge von 1—9 % auf und 16 Stationen 10—22 %, während die Überschüsse auf 16 Stationen mit 1—10 % und auf 10 Stationen mit 11—24 % der langjährigen Jahresmittel entfallen.

Im allgemeinen dürften die Niederschlagsmengen im Jungfrau- und Monte-Rosa-Gebiet als unternormal, in den Gebieten Tamina, Rhätische Alpen, Grimsel und Gelmer als annähernd normal und im Greinagebiet mit einem Mehrbetrag von ungefähr 13 % als übernormal zu bewerten sein.

R. Bohner

Die Niederschläge des Jahres 1952

Die Jahressummen der Niederschläge waren nur im Tessin zu klein (um höchstens 10 Prozent des Normalwertes), sonst überall zu groß. In Sion beträgt die Jahressumme (892 mm) 151 Prozent des langjährigen Mittels. Das bisherige Maximum (Jahr 1866) erreichte 190 Prozent. Sehr bedeutende, zum Teil ungewöhnlich große prozentuale Mengen ergeben sich ferner für die Jurazone und die Nordschweiz (130 bis 135 %), für das westschweizerische Mittelland, für Glarus und das nördliche Graubünden (120 bis 125 %). Die diesjährigen Beträge sind auf vielen Stationen bisher (seit 1864) nur etwa viermal übertroffen worden. Das absolute Maximum ist allerdings nirgends erreicht worden.

Ungewöhnlich große Niederschlagsmengen hat vor allem der November der ganzen Alpennordseite, dem Wallis und dem Kanton Graubünden gebracht. Ausgesprochen «naß» waren ferner besonders in der Westschweiz der Januar, im Berner Oberland in der Zentral- und Nordschweiz der Februar, in Graubünden der September, im Wallis der Oktober und der Dezember. Im Tessin waren nur im April und im September ausgesprochene Überschüsse zu verzeichnen.

Anderseits war der Juli fast allgemein sehr trokken. Das Tessin hat im Februar nur wenige mm Niederschlag erhalten; das Alpengebiet war strichweise im April, ferner im Mai sehr niederschlagsarm.

Bemerkenswert große Tagesmengen waren u. a. an folgenden Tagen zu verzeichnen:

Am 11. Januar sind in folgenden Gebieten der Schweiz mehr als 30 mm Niederschlag gefallen: Neuenburger und westlicher Berner Jura (mit Südostfuß; im Einzugsgebiet der Areuse und der Schüß sind fast überall 40 bis 50 mm gemessen worden), bernisches Mittelland, Quellgebiet der Saane (im Pays d'Enhaut 40 bis 50 mm), Einzugsgebiet der Simme, der Wigger, der kleinen Emme (Eigenthal 52 mm), Gebiet der Kantone Schwyz und Glarus (Muotathal 44 mm, Vorderwägital 45, Weesen 44), südlicher Teil des Kantons St. Gallen (Starkenbach 74 mm, Weißtannen 47, Sargans 37, Haag 41). Das Wallis hat weniger als 20, die südlichen Teile der Kantone Wallis, Tessin und Graubünden weniger als 10 mm, vereinzelt keinen Niederschlag erhalten.

Die Niederschläge vom Vortag, dem 10. Januar, sind ähnlich verteilt, doch wurde der Betrag von 40 mm nur vereinzelt überschritten. Dazu kommt eine Niederschlagszone von 30 mm im westlichen Teil des Kantons Waadt. Im Wallis sind teilweise 20 bis 30 mm gefallen.

Die Wetterkarte des 11. zeigt eine über Norwegen zentrierte sehr tiefe und ausgedehnte Depression (Min. 965 Millibar), die im Verein mit dem Azorenhoch (Max. 1036 Millibar) über ganz Europa und dem Mittelmeer ein kräftiges Westwindfeld erzeugte. Die Niederschläge vom 10. sind die Aufgleitniederschläge einer Warmfront, die am Morgen (etwa 6 Uhr) des 11. passierte. Die Temperaturzunahme seit dem Vortag beträgt 4 bis 9 °. Die Niederschläge vom 11. sind teilweise während der Passage des Warmsektors gefallen. Die Temperatur blieb im Bereich unserer Tal- und Hochstationen ziemlich konstant. Ein (soweit ersichtlich) kleinerer Teil der Niederschläge entfällt auf die Passage der Kaltfront am Abend des 11. Die Entstehungsgeschichte dieses Warmluftschwalls ist die folgende: Am 9. erstreckt sich vom Azorenhoch aus ein keilförmiger Ausläufer nach Nordnordwesten. Auf seiner Westflanke wird durch eine bei Neufundland zentrierte Zyklone Warmluft nach Norden geschafft, die indessen durch den genannten Hochdruckkeil, der im Labradorhoch eine Fortsetzung findet, von der nordeuropäischen Depression getrennt war. Am Abend des 9. wurde dieser Riegel plötzlich abgebaut, indem sich vom genannten Neufundlandtief ein Teiltief abspaltete, so daß die Warmluft in den Strömungsbereich der europäischen Depression eindrang und von dieser ostsüdostwärts nach dem Kontinent verfrachtet wurde. Das Teiltief aus Neufundland ist jedoch auf der Wetterkarte des 11. kaum mehr zu erkennen. Analoge Fälle von bedeutenden Niederschlägen sind diejenigen vom 1. Februar, 14. Februar und 1. Dezember des Jahres 1935 und vom 17. Dezember 1949.

Am 12. Februar erstreckt sich das Gebiet mit mehr als 20 mm Niederschlag vom oberen Genfersee und Unterwallis aus als ein Streifen von gleichmäßiger Breite über die ganze Alpennordabdachung bis ins Mittelland hinein. 30 bis 40 mm wurden gemessen im Bereich der Stationen: Leysin 34 mm, Les Plans 39, Zweisimmen 31, Entlebuch 33 sowie im Gebiet des Kantons Schwyz, im Zürcher Oberland und im südwestlichen Teil der Kantone St. Gallen und Appenzell. Die Südtäler des Wallis, das Tessin, Graubünden sowie der Südostfuß des Jura haben weniger als 10 mm erhalten.

Es liegt der nicht häufige Fall vor, daß ein Tiefdrucktrog, der ungefähr parallel zur Alpenkette verläuft, von NNW nach SSE über die Schweiz hinwegzieht. Um 7 Uhr des 12. verläuft die Troglinie der Rinne etwa von Bordeaux über Dijon nach München. Sie erreichte die Schweiz um 10 Uhr und der Einbruch der kalten Rückseiteluft verursachte hier in den folgenden 10 Stunden einen Temperaturrückgang von 6 bis 7 °. Die Niederschläge hatten in Zürich bereits am Vortag um 17 Uhr eingesetzt. Sie hörten um 21 Uhr des 12. ziemlich gleichzeitig wie der Temperaturrückgang auf. Um 24 Uhr erscheint der Trog bereits über der Poebene.

Die ziemlich komplizierte Vorgeschichte dieses Tiefdrucktroges soll hier nur in großen Zügen, beschrieben werden. Als Ausgangssituation können wir etwa die in der Morgenwetterkarte vom 9. Februar dargestellte betrachten. Sie zeigt eine ausgedehnte Depression über Nordosteuropa (Minimum 980 Millibar bei Reval). Vor der europäischen Westküste liegt ein meridional gerichteter Hochdruckrücken, auf dessen Ostseite also die kalte Rückseiteluft der nordosteuropäischen Depression nach Süden fließt, während auf der Westflanke tropische Warmluft nach Norden geschafft wird. Auf diesen Hoch-

druckrücken entwickelte sich nun zunächst im hohen Norden eine Verbindung zwischen dem europäischen und dem atlantischen Tiefdrucksystem, die sich südwärts wandernd zu dem erwähnten Tiefdrucktrog auswuchs. Auf seiner Nordseite fließt somit die kalte Rückseitenluft der nordosteuropäischen auf seiner Südseite die warme Vorderseitenluft der atlantischen Depression.

Wir finden auf der 19-Uhr-Karte des 11. im Bereich der Rinne drei Luftdruckminima: Erstens eine Zyklone über der Ostsee. Sie stammt von einem über der Davisstraße, westlich von Grönland okkludierenden Tief und war der erste Anlaß der Rinnenbildung. Der Keim der Rinne ist dabei anscheinend die alte Kaltfront der Davisstraßendepression. Sie liegt auf der 01-Uhr-Karte des 8. als Troglinie einer flachen Rinne über dem 35sten westlichen Meridian. Zweitens findet sich am Abend des 11. ein Tief bei Calais. Es war ursprünglich durch Abspaltung von einer atlantischen Depression entstanden und nun ebenfalls bereits in den Strömungsbereich der europäischen Depression geraten. Drittens haben wir westlich von Portugal das Kerngebiet der genannten atlantischen Depression. Im Prinzip ist also die Entstehungsgeschichte dieses Troges eine ähnliche wie die Vorgeschichte der Falles vom 11. Januar.

Am 1. April sind Niederschlagsmengen von meist 25 bis 35 mm zunächst auf der Nordwestabdachung des Jura gefallen (Les Brenets 31 mm, Bellelay 34), im Norden dieser Zone sogar mehr als 40 mm (Mormont 47 mm, Basel 49). Ferner im Mittelland nordöstlich der Emme bis zum Alpenrand (Luthern 40 mm, Beromünster 36, Zürich 38, Kaiserstuhl 32, Winterthur 32, Steckborn 31). Sehr große Niederschläge sind am Alpensüdfuß zu verzeichnen. Der Kern des dortigen Niederschlagsgebiets ist durch die Stationen Crana Torricella (158 mm), Piandanazzo (110), Bellinzona (104), Braggio (91) bezeichnet. Von ihm aus nehmen die Beträge nach Nordwesten rasch ab. Locarno-Monti hat noch 68 mm, Mosogno nur 19 mm erhalten. Ferner fielen mehr als 60 mm im Misox und Bergell sowie vereinzelt im Oberengadin.

Die Wetterkarte vom 1. April (7 Uhr) zeigt eine eigenartige Tiefdruckrinne, deren Troglinie von einem ersten Tief über den Pyrenäen ausgehend, nördlich des Jura vorbei, über Prag bis nach einem zweiten über Danzig liegenden Tief verläuft. Auf ihrer Nordseite strömt kalte Luft nach Südwesten. Die Mittellandstationen melden meist schwache Winde aus West bis Südwest und Temperaturen von 8 bis 10 Grad, der Säntis Südwind. Etwa um 10 Uhr brach die Kaltluft zunächst im Nordosten der Schweiz ein. In Zürich setzte der Temperaturrückgang, der Druckanstieg und der Nordnordostwind um 9 Uhr ein, die Niederschläge um 10½ Uhr. Die Temperatur fiel dann während der folgenden 10 Stunden um etwa 11 °. Die durch den Kaltlufteinbruch verursachten Niederschläge entfallen nahezu ganz auf den «1. April» (7½ Uhr des 1. bis 7½ Uhr des 2.). Am 2. sind keine nennenswerten Beträge mehr gefallen. Auf dem Säntis erfolgte die Abkühlung durchschnittlich 8, auf dem Jungfraujoch 15 Stunden später als in Zürich, ebenfalls relativ langsam. Um 19 Uhr des 1. befand sich die Tiefdruckrinne bereits auf der Südseite der Alpen, der Trog der 500-Millibar-Fläche jedoch auch am Nachtag noch über Frankreich/Westdeutschland. Daher herrschte in der Höhe während des Einbruchs noch längere Zeit Südwestwind; auch die kalte Luft kam hier aus Südwesten. Auf dem Säntis erfolgte die Winddrehung nach Norden erst um 1½ Uhr des 2. mit einsetzendem Druckanstieg.

Bemerkenswert ist, daß der Einbruch der Kaltluft im Nordosten unseres Landes früher erfolgte als im Westen. Denn um 13 Uhr des 1. finden wir noch eine scharfe Luftmassengrenze in der Schweiz, die etwa über Porrentruy, Biel, Bern, Interlaken verläuft. Im Westen derselben hatte man noch Temperaturen von 10 bis 13° mit Westwind, nordöstlich, das heißt im größten Teil der Alpennordseite war die Temperatur bereits auf 3 ° zurückgegangen und es wehte schwacher Nordwind. Der Einbruch der kalten Luft erfolgte in Genf zwischen 16 und 24 Uhr, die Winddrehung nach NNE etwa um 22 Uhr. Diese Verspätung ist offensichtlich auf die Bildung einer kleinen Welle auf der Kaltfront zurückzuführen. Das «Temp» von Payerne, das jeweils um 13 Uhr stattfindet, zeigt am 1. noch keine Abkühlung gegenüber dem Vortag, am 2. ist die Abkühlung auch hier bis in große Höhen fortgeschritten. Dagegen hatte sich in München um 4 Uhr des 2. die Abkühlung erst bis in 3000 m Höhe durchgesetzt. Erst am 3. stimmt der Verlauf des «Temp» hier mit dem oben erwähnten von Payerne vom 2. überein.

Die obige Niederschlagsverteilung ist offenbar auf die Barrierenwirkung der Alpen zurückzuführen, die eine Aufstauung der Warmluft vor den einbrechenden Kaltluftmassen zur Folge hatte. Die Niederschläge dauern daher nur so lange, bis die Kaltluft die Alpenhöhe erreicht und beschränkt sich auf die tieferen Schichten, da in der Höhe der Südwestwind noch fortdauert. Daher sind im Alpengebiet die Niederschläge gering, ebenso im Westen, wo das Vordringen der Kaltluft zuerst durch die erwähnte Welle verhindert war und nachher das Abfließen der Kaltluft durch keinen Gebirgskamm aufgehalten wird. Es sei erwähnt, daß die Warmluft ungefähr indifferent geschichtet gewesen war mit einer leichten Isothermie in 5000 m Höhe.

Betreffend die Niederschläge im Tessin ist zu bemerken: Wie oben erwähnt, wehte in der Höhe während der Abkühlung Südwestwind. Dieser Kaltlufteinbruch aus Südwesten verursachte auch die großen Niederschläge am Alpensüdfuß. Es handelt sich um die Rückseiteluft des südwestlichen Tiefs, das vom 1. zum 2. nach der Poebene wanderte.

Bemerkenswert ist die Vorgeschichte dieser Situation. Der Trog lag nämlich am 28. noch als langgestrecktes Tiefdruckgebiet mit von SE nach NW gerichteter Axe auf dem Atlantik. Am 30. liegt ein westliches Teiltief vor der portugiesischen Küste, ein östliches über der Bretagne. Die Troglinie hatte sich also um 90 Grad gegen den Uhrzeiger gedreht. Am 31. lag der Trog über Nordwestfrankreich und das östliche Tief hatte sich nach Nordwestdeutschland verlagert. Am 1. sind die Positionen der Tiefe wie schon erwähnt: Pyrenäen bzw. Danzig, am 2. Mailand bzw. Helsingfors, während sich über Frankreich und Deutschland ein Kaltlufthoch aufgebaut hat, das sich in der Folge weiter verstärkte.

Der 5. und der 6. September brachte dem Tessin intensive Gewitterniederschläge. Der Gesamtertrag beider Tage war im gesamten Tessin und im bündnerischen Einzugsgebiet des Rheins größer als 70 mm. Die Maxima sind bezeichnet durch die Stationen: Camedo 285 mm, Brissago 299, Locarno-Monti 211, Biasca 317, Vals 109, Ilanz 108, Schiers 100 (Summen beider Tage).

Diese Niederschläge knüpfen sich an die Passage eines am Boden flachen, meridional gerichteten Tiefdrucktroges mit etwa 4 bis 7 ° kälterer Rückseite, der somit in der Höhe stark nach Westen verschoben war. Am 5. liegt ein flaches Tief über Westfrankreich; am 6. hat sich die Troglinie am Boden schon nach den Ostalpen verlagert. Die Niederschläge fielen sowohl am 5. wie am 6. mit kurzen Unterbrechungen den ganzen Tag und lassen erst am 7. allmählich nach. Sie waren begleitet von Gewitterstörungen.

Am 24. Oktober hat die Jurazone mit Einschluß des Aaregebiets von Biel an abwärts meist 20 bis 30 mm, strichweise bis 40 mm Niederschlag erhalten (Chaux-de-Fonds 24 mm, Biel 36, Olten 38, Zürich 28, Baden 34, Andelfingen 26, Frick 29). Die Alpensüdseite, das Alpengebiet und das nördliche Alpenvorland haben weniger als 10 mm aufzuweisen.

Die Niederschlagsverteilung des 25. Oktober zeigt folgendes Bild: 40 bis 60 mm im Gebiet des Kantons Freiburg und des waadtländischen Genferseeufers (Freiburg 42 mm, Marsens 50, Rossenges (Moudon) 60, Montreux 47, Lausanne 55, Morges 48) 40 bis 50 mm im Emmental (Burgdorf 41 mm, Wasen 46, Marbach 40); ferner im nördlichen Sottoceneri (Crana Torricella 45 mm, Piandanazzo 46) und im Hinterrheintal (Splügen [Dorf] 44 mm, Avers 59), 50 bis 70 mm im Bergell (Soglio 59 mm) und im Puschlav (Brusio 65 mm). Im übrigen sind im ganzen Mittelland, in Graubünden und im Tessin noch meist mehr als 30 mm gefallen. Dagegen haben der Alpennordhang und das Juragebiet diesmal weniger Niederschlag erhalten; unter 10 mm sind nur strichweise im Oberwallis gemessen worden.

Obige Niederschläge knüpfen sich an folgende Wetterlage: Die 1-Uhr-Wetterkarte des 25. zeigt eine ausgedehnte Depression, deren Minimum (von etwa 960 Millibar) westlich von Schottland liegt. Ihre Kaltluft hat außer Großbritannien bereits Nordfrankreich und Nordwestdeutschland überschwemmt. Die wenig scharfe Form verläuft über Bordeaux, Alpennordfuß, Straßburg nach Berlin in ein Randtief der Depression. An die Front schließt sich nordwärts ein etwa 300 km breites Regenband an. Die Kaltluft hat die Alpen in diesem Zeitpunkt nur in den untersten Schichten bereits erreicht. In Zürich zeigt sich ein stetiger Temperaturrückgang seit 20 Uhr des Vortages. Auf dieser Station setzen die Niederschläge um 00 Uhr ein. Sie knüpfen sich zunächst an das Vordringen der Kaltluft gegen die Alpen. Am 25. wanderte ferner eine Welle auf der Front von WSW herauf, begleitet von einem starken Drucksteigegebiet auf der Rückseite. Letzteres, d. h. die Kaltfront, erreichte Zürich um 10 Uhr. Der Druckanstieg war von einem weiteren Temperaturfall begleitet, der hier zwar nur 1 bis 2 ° betrug, nun aber auch in der Höhe auftrat. Die anhaltenden Niederschläge fallen in Zürich weiter bis um 16 Uhr; später folgen noch einige Kaltluftschauer nach, bei weiter sinkender Temperatur. Die Gesamtniederschlagsmenge des Hauptregenfalles (von 00 Uhr bis 16 Uhr) in Zürich beträgt 50 mm. Am Alpensüdfuß ist die Hauptmenge der Niederschläge am Abend des 25. gefallen.

Am 10. November sind im allgemeinen in der Jurazone 20 bis 40 mm, im Alpengebiet 30 bis 70 mm Niederschlag gefallen. Im Mittelland sind die Beträge in der Regel geringer, ferner im Nordosten des Landes größer als im Südwesten. Doch bestehen sehr große örtliche Unterschiede, z. B. hat Entlebuch 35 mm, Luzern nur 10 mm erhalten, Glarus 53, Auen (Linthal) 28, Braunwald 105. Ferner Frick 53 mm, Mervelier 7, Bellelay 39, ebenso Diablerets 49, Leukerbad 8, Adelboden 3, Kippel 70. Diese Unterschiede sind dem Einfluß der Orographie auf die starke Strömung und vermutlich auch dem Umstand zuzuschreiben, daß die Niederschläge auch in den Niederungen teilweise als Schnee fielen.

Die Morgenwetterkarte dieses Tages zeigt ein Tiefdruckgebiet über Nordeuropa und ein Hoch nordöstlich der Azoren. Sie unterhalten eine kräftige warme Strömung aus Nordwest bis West über Großbritannien, aus West über Nordwestfrankreich. Über Südostfrankreich und längs der Alpennordseite fließt Kaltluft nach Nordosten, die an den Vortagen von Norden her eingedrungen war und nun durch die vorübergehend veränderte Druckverteilung — vor den Alpen liegt ein kleines Hoch — wieder nach Nordosten gesteuert wird. Die Warmfront verläuft um 7 Uhr ungefähr über Pau—Limoges—Troyes—Aachen. Sie erreicht die Schweiz am Abend des 10. In Zürich erfolgt der Temperaturanstieg von 1 auf 6 ° zwischen 21 und 24 Uhr. Vom Nordmeer her stößt inzwischen kalte Polarluft nach Süden vor. Ihre Kaltfront erscheint am 10. um 6 Uhr noch über England; um Mitternacht verläuft sie etwa über Calais—Mannheim—Nürnberg und etwa um 6 Uhr des 11. dringt die Kaltluft in die Schweiz ein. Die Höhenströmung war in 5000 m Höhe die ganze Zeit über NNE-Wind, also beinahe senkrecht zur Bodenströmung. Auch hinter der Kaltfront über Frankreich, am Boden, sind die Winde aus NNE gerichtet. Die Niederschläge, die am 10. zwischen 6 und 17 Uhr in Zürich (teilweise als Schnee) fielen, sind Aufgleitniederschläge der Warmfront. Sie sind relativ gering, wohl weil vor den Alpen in der Südwestströmung noch ein dynamisches Hoch bestand, in welchem Divergenz zu erwarten ist. Die stärksten Niederschläge fallen in Zürich zwischen 17 Uhr des 10. und etwa 8 Uhr des 11., also der Hauptsache nach im Bereich des warmen Strömungsfeldes. Nach dem Einbruch der Kaltluft sind sie nur noch gering, wohl wegen der Abnahme der Windstärke in den Niederungen und der Drehung der Winde nach Nordost in der Höhe. Die stärksten Niederschläge fielen also im Bereich des vor den Alpen okkludierenden Warmsektors, in dem die Höhenwinde nahezu senkrecht (aus NNE) zu denjenigen am Boden (West bis Südwest) wehten.

Am 1. Dezember hat die Nordhälfte der Schweiz größere Niederschläge erhalten. Die 20-mm-Isohyete fällt fast genau mit dem 47. Breitengrad zusammen, d. h. sie verläuft über Neuenburg, Bern, Entlebuch, Gersau, Glarus, Bregenz. Weniger als 10 mm haben Graubünden, das Tessin, die Walliser Südtäler und teilweise das Waadtland und Genf erhalten. Andererseits fielen mehr als 30 mm (strichweise 40 bis 50 mm) im Berner und Solothurner Jura (Delemont 44 mm), im Kantonsgebiet von Baselland, Aargau (Liestal 45 mm, Bötzberg 42), Zürich (Dietikon 40 mm, Wald 51), St. Gallen (teilweise) und Appenzell (Urnäsch 46 mm). Nordwestlich dieser Zone nehmen die Beträge wieder ab. Der Kanton Schaffhausen hat weniger als 20 mm erhalten.

Die Morgenwetterkarte des 1. Dezember zeigt folgendes Bild: Westlich von Portugal liegt über dem Atlantik eine kräftige Depression, die über der iberischen Halbinsel eine Warmluftströmung aus Süden unterhält. Anderseits befindet sich in der Gegend des 57. Breitengrades eine Hochdruckzone, deren Kern westlich von Schottland liegt (Max. in 20 Grad westl. Länge: 1030 Millibar). Diese unterhält über dem Kontinent eine Strömung geringer Mächtigkeit aus Ost bis Nord. Die Grenze zwischen diesen beiden Luftmassen wird am Boden durch die großen Temperaturunterschiede auf beiden Seiten deutlich sichtbar. Sie verläuft um 00 Uhr unmittelbar nördlich der Stationen: Tours, Dijon, Mühlhausen, Augsburg, dann südlich von München, um schließlich die Ostalpen zu berühren. Südlich dieser Linie beträgt die Temperatur 12 bis 14 Grad, nördlich davon nimmt sie nach Norden ab und sinkt in Nordwestdeutschland auch im bedeckten Gebiet unter Null Grad. Um 7 Uhr hatte sie die Schweiz noch nicht erreicht. Am Nachtag, den 2. Dezember, hat sich das Tief westlich von Portugal stark ausgefüllt. Die erwähnte Luftmassengrenze hat sich nach Süden verschoben und verläuft um 7 Uhr mitten durch die Schweiz, unmittelbar nördlich der oben erwähnten 20-mm-Isohyete, etwa über Biel—Luzern. In Zürich beträgt die Temperatur 1°, in Bern noch 8°. Der Temperaturrückgang in Zürich (6°) vollzog sich in der Hauptsache zwischen 00 und 8 Uhr des 2. Dezembers. Ein Teil der Niederschläge hängt mit diesem Kaltluftvorstoß zusammen. Jedoch ist zu sagen, daß die genannte Kaltluftschicht von geringer Mächtigkeit gewesen ist, nach dem «Temp» von Friedrichshafen nur etwa 1000 m hoch. Darüber war der Temperaturrückgang gering. Der Wind wehte nur am Boden aus Nordost, in 1500 m Höhe schon aus Westnordwest bis Westsüdwest. In 5600 m Höhe (500-Millibar-Fläche) herrschte am 30. November, 1. und 2. Dezember über Spanien eine kräftige südwestliche, über West- und Mitteleuropa westliche Strömung. Auch ist der größte Teil der Niederschläge schon vor der Frontpassage gefallen, so in Zürich schon 30 von 37 mm von 8.10 Uhr bis 24 Uhr des 1. Dezembers; dasselbe gilt für die Niederschläge südlich der 20-mm-Isohyete. Es sind also hier hauptsächlich die komplizierten Strömungsverhältnisse mit ihren durch die Orographie bedingten Konvergenzen für die Niederschläge verantwortlich zu machen.

Der Abschluß der Situation wurde herbeigeführt durch den fortdauernden Druckanstieg auf dem Atlantik, der schließlich einen durchgreifenden Kaltluftvorstoß aus Norden (Tief über Skandinavien) einleitete.

M. Grütter

Nr. 4

Ergebnisse der Registrierungen der Sonnenscheinautographen im Jahre 1952

U = Stationen mit Sonnenscheinautographen «Usteri»
N = Stationen mit Sonnenscheinautographen «Negretti & Zambra» (*N* = neues Modell)
F = Stationen mit Sonnenscheinautographen «Fuess»

Monats- und Jahressummen der Sonnenscheindauer in Stunden

1952		Januar	Februar	März	April	Mai	Juni	Juli	August	September	Oktober	November	Dezember	Jahr
Zürich	N	49	67	112	204	248	249	313	247	119	68	48	18	1742
Säntis	N	89	114	113	196	194	198	254	219	91	68	73	69	1678
Hallau	U	34	69	99	176	229	230	296	228	94	75	46	19	1595
Wald	U	72	73	106	183	183	186	253	212	96	58	57	27	1506
Braunwald	F	64	79	110	180	178	180	218	185	105	62	56	36	1453
Unterägeri	U	66	64	99	187	222	206	255	216	106	62	51	24	1558
Luzern	N	51	46	93	175	221	209	280	218	114	57	46	16	1526
Jungfraujoch	N	76	124	119	191	148	199	293	200	127	76	38	59	1650
Grimmialp	N	60	88	104	154	231	203	228	175	111	87	41	41	1523
Heiligenschwendi	U	81	90	88	151	190	205	235	195	106	80	44	34	1499
Bern	N	57	82	105	190	273	263	310	241	120	86	40	21	1788
Basel	N	60	70	88	182	231	258	311	215	97	74	41	31	1658
Barmelweid	U	49	68	85	147	193	196	268	200	84	58	34	8	1390
Allerheiligen	U	67	73	91	163	210	204	278	210	89	68	39	12	1504
Mont Soleil s. St. Imier	U	65	93	79	165	220	217	274	206	89	72	35	39	1554
La Chaux-de-Fonds	U	61	90	91	173	252	246	296	220	88	70	39	47	1673
Neuchâtel	U	44	77	96	192	298	286	333	230	127	87	32	14	1816
Payerne	N	77	78	112	207	302	273	332	245	132	96	50	30	1934
Genève-Observat.	N	67	96	112	199	316	315	354	267	162	110	56	36	2090
Genève-Cointrin	N	*60	96	117	207	319	321	365	268	150	101	52	34	2090
Lausanne	N	74	115	125	218	308	286	340	254	135	100	48	39	2042
Montreux-Clarens	U	75	110	105	178	265	239	290	217	118	92	43	33	1765
Château d'Oex	F	79	118	118	186	247	242	280	229	139	102	48	50	1838
Leysin	U	97	127	124	178	237	227	288	214	109	100	50	54	1805
Sitten	U	105	123	142	208	266	279	318	234	160	120	61	42	2058
Montana s/Sierre	U	110	116	151	212	275	270	312	241	149	132	61	78	2107
Wallenstadtberg	U	70	84	102	173	164	171	222	182	101	61	63	34	1427
Plantahof b/Landquart	U	61	77	112	167	212	215	278	206	120	62	67	31	1608
Arosa	N	84	91	128	168	194	224	272	199	134	69	77	64	1704
Weissfluhjoch	F	106	116	129	193	173	222	254	200	141	81	87	90	1792
Davos-Platz	N	74	87	109	157	164	198	253	191	119	60	65	55	1532
St. Moritz	U	94	132	164	175	189	219	266	205	144	96	87	58	1829
Schuls	N	78	109	142	182	208	249	278	203	138	87	80	52	1806
Lugano	N	130	189	171	139	205	255	281	236	181	150	122	84	2143
Monte Brè	U	139	199	180	152	221	273	304	260	182	153	128	93	2284
Locarno-Monti	N	141	204	184	177	240	282	305	247	187	164	131	103	2365

1952 **Tägliche Dauer des Sonnenscheins in Stunden.**

Januar

Tag	Lugano	Genève	Montana s. Sierre	Chaux-de-Fonds	Bern	Luzern	Basel	Zürich	Davos	Säntis
1	3.8	1.4	0.0	0.9	1.4	0.5	1.9	1.8	0.0	0.0
2	6.8	0.0	0.0	0.0	0.0	0.0	0.0	0.1	0.0	0.0
3	0.0	1.1	1.0	0.0	0.8	0.0	2.2	0.4	0.0	0.0
4	6.9	2.2	0.1	0.1	2.9	2.5	0.3	0.9	0.4	0.0
5	6.2	2.3	3.5	0.0	0.9	1.8	0.5	0.0	0.0	0.0
6	6.9	5.9	6.2	4.0	4.4	0.8	1.4	3.1	3.6	5.2
7	5.1	3.7	7.7	7.3	0.7	2.8	6.0	4.0	5.5	8.4
8	6.9	0.0	8.0	7.6	3.3	0.0	7.4	0.0	5.6	8.5
9	0.0	5.8	7.9	2.6	3.2	6.0	2.5	6.2	5.7	8.3
10	0.9	0.0	0.0	0.0	0.0	1.0	0.0	0.3	0.6	0.0
11	5.2	0.0	0.0	0.0	0.0	0.6	0.0	0.1	0.1	0.0
12	7.0	3.8	4.5	1.0	4.5	5.4	5.2	6.5	3.5	0.1
13	7.1	7.4	7.0	6.6	7.2	3.9	5.6	5.1	2.4	4.7
14	4.8	0.0	0.0	0.0	0.0	0.0	0.0	0.0	0.0	0.0
15	6.7	6.8	7.5	2.5	6.7	6.5	1.5	7.4	5.0	8.7
16	0.3	0.7	0.0	0.0	0.0	0.0	0.1	0.1	0.5	0.0
17	0.0	0.0	4.3	0.7	1.9	3.9	2.4	3.0	4.8	6.3
18	5.9	0.0	0.0	0.0	1.0	0.8	1.8	1.9	0.0	0.0
19	6.8	1.7	0.0	0.0	0.2	0.0	0.0	0.0	0.0	0.0
20	6.2	2.9	0.9	0.0	0.4	0.6	1.1	0.0	0.0	0.0
21	7.2	1.4	8.1	2.0	4.1	0.6	6.1	1.0	2.3	4.1
22	0.0	0.0	6.9	2.6	1.9	5.3	0.0	0.3	4.4	8.3
23	0.0	0.0	8.1	6.3	0.0	0.0	7.0	0.0	5.9	8.5
24	0.0	0.0	3.7	2.6	0.2	0.0	0.6	0.0	5.1	2.8
25	0.0	0.0	6.9	0.0	0.1	0.0	0.3	0.0	1.3	5.4
26	7.1	4.8	1.0	2.6	2.0	0.0	0.0	0.0	3.9	3.7
27	0.0	0.6	0.1	0.0	0.0	0.0	0.0	0.0	0.0	0.0
28	7.5	4.8	7.1	7.9	6.9	5.2	6.5	5.6	6.1	5.5
29	7.1	1.9	0.5	1.9	0.1	0.0	0.0	0.0	1.5	0.1
30	7.4	8.0	8.5	2.0	2.3	2.6	0.0	1.0	6.0	0.0
31	0.0	0.0	0.0	0.0	0.0	0.0	0.0	0.3	0.2	0.2
Mittel	4.2	2.2	3.5	2.0	1.8	1.6	1.9	1.6	2.4	2.9

Februar

Lugano	Genève	Montana s. Sierre	Chaux-de-Fonds	Bern	Luzern	Basel	Zürich	Davos	Säntis
6.9	0.0	0.4	0.0	0.1	1.6	0.0	3.7	4.9	4.1
8.2	3.7	0.6	1.2	1.2	1.8	1.1	0.5	1.1	0.0
5.0	3.2	0.0	0.0	1.1	1.0	0.0	0.0	0.0	0.0
2.6	0.9	0.0	0.0	0.1	0.0	0.1	0.0	0.0	0.0
8.2	4.5	0.0	0.0	3.1	0.0	1.1	0.0	0.8	0.0
8.5	2.5	3.1	0.0	0.0	0.1	0.0	0.0	6.6	4.4
6.2	2.3	4.0	0.3	0.0	0.0	0.0	0.2	0.0	0.0
6.5	0.2	0.0	0.0	0.0	0.0	0.2	0.0	0.0	0.0
7.4	2.9	0.0	0.0	0.8	0.2	0.3	0.9	0.0	0.0
8.6	0.0	0.0	0.0	0.0	0.0	0.0	0.0	0.0	0.0
7.3	0.0	0.0	0.1	0.0	0.0	0.0	0.0	1.7	0.0
0.2	0.0	0.0	0.0	0.0	0.0	0.0	0.0	0.7	0.0
0.0	0.0	0.0	0.2	0.0	0.0	0.6	0.0	0.0	0.0
2.5	8.0	3.1	6.6	7.7	4.6	7.4	4.7	0.0	6.2
3.0	0.0	0.3	2.4	0.1	0.0	1.9	0.0	0.0	0.0
8.9	1.6	0.0	0.5	0.9	0.0	1.6	0.0	3.0	3.7
8.7	7.5	0.7	7.2	7.5	2.6	5.0	6.0	6.2	5.1
8.1	6.9	7.5	3.8	5.3	2.0	2.7	0.9	4.8	5.5
8.3	2.0	9.5	1.6	2.5	3.0	0.5	3.0	7.2	9.3
8.3	3.7	9.3	0.0	0.0	0.4	0.3	0.0	0.4	2.2
4.4	6.7	7.6	3.7	8.6	3.8	3.6	4.5	1.5	4.2
8.2	8.6	9.8	8.2	6.7	2.3	8.1	6.2	7.3	10.3
8.8	8.3	9.9	9.1	8.3	7.4	6.3	7.8	7.4	10.6
5.8	9.0	10.1	9.2	9.0	5.4	0.0	7.4	7.6	10.5
9.6	0.0	10.1	9.3	3.6	0.0	5.5	2.6	7.6	10.8
9.3	0.2	9.9	9.0	0.0	0.0	5.5	2.9	7.6	10.3
7.8	4.5	9.6	8.6	5.1	3.3	8.4	5.7	3.9	6.7
9.1	9.2	10.2	9.2	10.0	6.3	9.7	9.6	6.8	10.3
2.5	0.0	0.0	0.0	0.0	0.0	0.0	0.0	0.0	0.0
6.5	3.3	4.0	3.1	2.8	1.6	2.4	2.3	3.0	3.9

März

8.8	8.3	9.5	5.1	9.6	2.5	0.9	2.6	4.7	3.5
9.1	9.2	9.8	9.0	9.8	6.1	7.7	6.9	7.9	9.2
0.0	5.6	7.8	7.4	8.5	8.3	9.5	9.2	8.0	9.2
5.1	7.5	7.1	6.8	6.9	8.3	6.6	9.0	5.6	8.6
5.2	0.0	0.0	0.3	0.2	0.0	0.1	0.1	0.6	0.0
8.2	0.0	1.1	0.0	0.0	0.0	0.4	0.3	0.0	0.2
0.0	0.0	0.0	0.0	0.0	0.0	0.0	0.0	0.2	0.0
0.0	0.0	1.8	0.2	0.0	0.5	2.2	2.9	5.2	4.6
1.4	0.0	0.2	0.0	0.0	0.0	0.0	0.0	1.7	4.7
0.0	1.6	0.0	0.2	0.1	0.0	0.3	0.0	0.0	0.0
8.2	6.0	10.0	8.2	4.6	5.8	5.5	6.3	0.1	4.2
0.4	3.0	9.0	2.9	5.2	5.1	3.4	3.0	5.6	5.4
8.7	9.5	8.9	9.3	9.5	8.3	5.8	7.8	7.4	7.4
10.5	9.1	10.5	5.1	6.4	2.9	7.9	8.7	1.9	7.4
5.8	7.9	10.0	9.3	9.7	10.1	10.1	10.6	9.5	9.8
7.8	3.4	6.7	0.6	0.8	0.6	1.5	0.3	3.1	0.0
6.5	2.9	8.9	1.1	4.3	5.5	2.0	6.9	4.7	6.6
8.6	1.8	9.1	5.0	1.9	6.1	3.6	5.1	5.3	8.7
9.0	3.5	4.0	3.7	1.2	4.1	3.9	6.1	7.5	5.7
6.6	0.5	3.4	0.0	0.5	0.0	0.0	0.0	0.0	0.0
8.9	0.0	0.0	0.2	0.1	0.0	0.1	0.9	0.2	0.0
4.1	0.0	0.0	0.0	0.0	0.5	0.1	0.0	0.0	0.0
10.7	6.8	7.6	0.6	3.3	0.9	1.4	0.9	5.0	0.0
7.5	2.1	5.8	*1.0	2.3	1.2	1.6	0.5	2.4	1.0
9.3	0.8	0.1	0.2	0.9	3.0	0.3	2.9	2.8	0.0
9.5	7.3	1.2	2.3	5.5	0.8	2.1	4.7	0.5	0.0
10.3	6.9	8.7	8.4	9.8	6.4	7.6	9.4	10.0	10.1
0.0	0.0	0.2	0.0	0.0	0.0	0.0	0.0	0.7	0.0
0.0	0.0	0.1	0.0	0.1	1.3	0.0	1.3	0.0	0.3
0.7	2.4	2.4	0.2	0.2	0.7	0.7	1.0	1.4	0.2
0.1	6.0	6.9	3.7	3.8	4.3	2.4	4.4	6.6	6.5
5.5	3.6	4.9	2.9	3.4	3.0	2.8	3.6	3.5	3.7

April

0.0	0.0	1.3	0.0	0.0	0.0	0.0	0.0	0.4	2.2
0.0	9.6	5.5	8.0	8.9	5.1	6.4	7.5	0.0	0.2
2.6	10.7	10.6	1.0	9.4	8.1	4.1	11.2	5.5	6.1
6.3	6.5	11.6	9.2	8.2	0.9	8.0	7.3	8.6	10.0
0.0	11.0	8.3	7.7	6.0	7.7	6.7	9.3	9.6	9.0
10.4	8.3	6.6	3.0	2.8	1.9	1.8	3.2	2.5	0.0
4.5	11.0	11.4	5.0	9.3	8.4	7.7	8.9	9.2	9.5
10.1	11.2	11.4	10.3	9.7	10.4	9.5	10.7	10.1	10.1
8.4	9.3	8.6	9.8	8.7	9.8	8.4	9.7	9.8	11.2
10.3	6.5	8.0	8.9	9.8	10.5	7.8	10.0	9.6	11.2
6.3	9.4	8.4	10.0	9.5	10.0	9.2	10.6	9.2	9.6
3.2	0.0	1.0	3.7	2.6	2.7	3.6	4.0	0.6	3.6
0.9	7.4	8.5	9.0	6.6	9.6	8.4	9.6	5.5	9.9
9.0	10.4	11.6	9.0	11.2	9.7	10.7	8.8	7.2	11.4
1.2	7.6	10.1	7.0	10.9	8.9	10.6	9.7	5.5	9.6
6.0	7.9	9.2	10.8	10.7	10.4	10.8	10.5	9.9	9.2
8.6	8.7	11.0	10.2	10.8	9.7	10.7	10.8	8.1	8.5
10.0	8.7	6.4	4.6	8.4	9.8	10.9	11.6	6.0	11.3
5.2	6.1	7.6	2.3	6.3	5.3	4.3	6.9	5.3	5.3
4.6	3.8	2.6	3.0	5.7	4.1	4.8	6.8	1.9	4.1
1.2	1.7	3.3	0.3	1.9	2.5	0.7	3.2	5.2	4.9
0.4	0.0	0.0	0.1	0.0	0.0	0.1	0.0	0.2	0.2
0.0	0.0	0.0	0.0	0.0	0.0	0.0	0.0	0.2	0.0
0.0	0.0	0.0	0.0	0.0	0.0	0.0	0.0	0.0	0.0
2.8	0.0	5.9	0.0	0.0	0.0	0.0	0.0	0.1	9.6
1.4	0.0	5.7	0.0	0.0	0.0	0.0	0.0	0.0	0.0
9.6	7.8	7.2	5.3	1.7	0.0	2.6	1.5	7.7	1.7
4.0	11.6	7.2	12.3	7.9	5.1	10.3	6.6	1.1	1.7
4.9	12.6	11.8	10.8	12.2	11.9	11.4	12.6	9.8	12.5
7.5	11.4	11.1	11.9	10.9	12.8	12.8	13.0	8.2	12.9
5.8	6.3	5.8	6.1	6.8	5.2	6.5			

Tägliche Dauer des Sonnenscheins in Stunden. 1952

Mai

Tag	Lugano	Genève	Montana s. Sierre	Chaux-de-Fonds	Bern	Luzern	Basel	Zürich	Davos	Säntis
1	10.1	9.0	11.7	8.8	10.7	11.7	10.7	12.6	9.9	13.8
2	0.8	5.9	10.1	5.8	7.9	8.0	8.5	10.3	7.1	12.7
3	3.8	7.6	7.7	6.1	4.0	5.6	5.9	5.1	5.5	9.9
4	0.0	3.8	0.9	2.1	1.5	1.3	1.2	1.2	2.0	0.4
5	0.4	7.1	6.5	5.1	4.8	6.0	4.0	4.4	5.4	9.0
6	0.0	4.7	5.3	4.2	5.6	8.6	5.9	9.7	4.6	8.4
7	6.5	13.5	11.2	8.2	12.6	7.8	12.3	10.1	4.1	4.1
8	4.9	1.1	2.1	4.5	4.3	3.7	5.7	7.0	6.7	8.4
9	4.0	10.4	8.3	5.8	6.5	4.0	8.3	4.0	2.9	2.6
10	5.6	11.1	11.8	8.5	11.1	7.8	9.6	10.3	7.8	9.3
11	4.7	9.0	10.1	3.7	4.9	6.7	3.4	7.6	6.6	8.0
12	4.8	6.9	6.4	3.9	6.3	2.3	5.1	2.3	0.0	0.0
13	12.5	11.9	12.1	8.6	8.2	5.8	4.5	8.2	0.7	1.9
14	11.4	13.6	12.8	13.4	12.6	10.8	12.3	9.8	3.9	3.5
15	0.3	13.1	11.2	13.7	13.1	10.6	11.5	12.0	5.9	12.3
16	12.4	13.2	13.2	12.6	13.2	13.0	12.9	10.8	3.5	8.6
17	12.5	13.1	13.4	13.4	13.1	11.7	13.0	12.4	8.5	9.4
18	8.6	9.9	*11.0	9.9	12.2	12.5	12.4	13.4	12.1	13.8
19	10.3	9.8	7.1	4.3	8.6	4.4	6.1	3.9	0.2	0.0
20	11.9	8.7	7.6	9.5	9.2	4.1	4.4	8.8	5.8	4.6
21	6.9	13.7	11.2	13.8	14.0	7.9	13.7	13.8	11.5	9.7
22	7.9	13.4	4.9	12.3	13.7	12.2	7.8	13.8	2.5	7.4
23	9.5	13.7	13.1	11.4	13.5	12.8	9.6	13.5	9.2	7.3
24	11.5	13.4	9.0	10.4	9.6	8.2	7.1	7.0	3.9	4.8
25	10.5	13.1	12.0	7.6	6.7	4.5	3.5	5.7	5.8	3.5
26	9.1	11.4	6.2	10.1	7.4	3.2	2.3	3.5	0.0	0.6
27	7.1	13.3	5.9	4.1	5.8	0.8	4.0	1.8	1.5	0.0
28	0.2	13.7	10.5	6.9	7.7	4.5	1.6	2.1	5.2	2.1
29	8.4	10.3	5.6	7.2	6.6	4.3	3.7	6.3	5.1	0.7
30	8.5	14.0	12.7	12.3	12.4	10.1	14.0	10.5	10.8	8.0
31	0.3	2.7	3.4	3.5	5.1	6.5	5.8	6.4	5.0	9.7
Mittel	6.6	10.2	8.9	8.1	8.8	7.1	7.4	8.0	5.3	6.3

Juni

Tag	Lugano	Genève	Montana s Sierre	Chaux-de-Fonds	Bern	Luzern	Basel	Zürich	Davos	Säntis
1	1.0	3.9	2.4	5.9	3.4	3.8	4.8	5.0	3.4	5.5
2	5.5	9.8	7.1	*5.0	3.9	2.7	4.1	4.2	4.8	7.3
3	9.1	12.2	4.4	5.9	5.5	2.8	2.8	2.0	0.1	0.5
4	12.3	14.3	13.5	12.8	13.9	12.0	14.4	14.3	10.2	10.9
5	8.6	14.4	13.0	11.7	13.9	14.1	13.8	14.1	11.6	14.6
6	3.1	3.1	4.2	3.4	6.3	5.4	2.9	6.6	6.4	7.5
7	9.5	0.0	1.6	4.3	1.9	0.7	3.3	1.9	2.2	0.0
8	9.0	12.3	8.0	3.3	4.9	3.5	5.2	6.0	3.0	2.4
9	3.8	13.1	4.2	6.6	7.6	3.7	6.3	6.7	4.7	2.2
10	11.9	12.7	10.3	9.6	12.9	6.5	12.2	7.8	5.5	3.7
11	10.6	14.3	12.6	*12.0	12.7	13.0	14.3	14.1	11.1	9.0
12	10.8	9.4	8.4	13.4	11.7	13.9	14.5	14.5	11.9	14.8
13	4.0	6.7	3.5	1.4	2.3	1.6	1.9	4.9	3.1	2.8
14	13.1	13.5	10.0	9.5	10.6	4.1	10.6	7.8	2.7	0.1
15	3.5	8.7	9.6	8.0	9.6	10.4	10.6	10.5	10.5	12.1
16	12.6	7.6	6.8	2.1	2.9	1.6	1.8	2.5	5.2	0.1
17	2.4	6.2	6.6	2.5	4.1	3.7	3.8	4.7	10.2	9.8
18	1.6	3.1	1.8	2.4	1.7	1.4	1.8	1.4	0.9	2.1
19	6.9	6.8	7.0	1.0	1.9	0.0	3.7	0.0	4.7	0.0
20	9.2	6.2	9.7	3.6	1.0	0.0	0.5	0.4	0.1	0.0
21	12.6	13.3	11.8	9.9	11.0	6.2	14.4	9.9	8.8	5.2
22	8.1	14.5	14.0	14.3	14.6	14.2	14.6	14.4	11.6	14.6
23	11.0	10.4	6.4	7.3	11.4	5.6	5.6	10.9	5.0	0.9
24	13.2	14.4	13.8	12.5	12.3	6.5	11.3	8.5	4.5	0.5
25	12.1	13.7	12.7	11.6	11.0	9.5	10.0	8.2	3.5	6.8
26	9.1	14.1	13.1	11.7	13.9	10.6	12.2	11.5	3.2	3.2
27	5.1	14.1	13.4	14.3	14.6	9.9	14.8	14.8	12.1	15.7
28	9.5	13.8	12.1	14.3	14.2	14.2	14.4	14.4	12.2	15.7
29	12.9	14.1	13.6	11.9	12.7	12.9	12.5	13.0	12.3	14.0
30	12.5	14.5	13.9	14.3	14.8	14.4	14.6	14.5	12.2	15.6
Mittel	8.5	10.5	9.0	8.2	8.8	7.0	8.6	8.3	6.6	6.6

Juli

Tag	Lugano	Genève	Montana s. Sierre	Chaux-de-Fonds	Bern	Luzern	Basel	Zürich	Davos	Säntis
1	12.5	14.0	13.9	14.2	14.3	14.2	14.1	14.2	12.2	15.3
2	11.5	11.7	10.0	9.3	10.1	11.6	11.4	12.2	12.0	14.2
3	8.5	9.5	7.0	9.9	7.6	7.1	9.3	9.2	6.3	9.4
4	11.9	12.0	12.9	12.7	13.7	13.7	13.6	13.5	11.2	14.5
5	12.6	13.3	13.7	11.5	13.6	12.2	13.3	13.2	8.9	12.0
6	12.7	13.3	12.0	13.0	13.8	13.8	12.8	14.2	12.3	14.3
7	11.4	12.7	12.7	12.4	11.2	10.8	11.1	10.7	10.7	8.3
8	9.7	10.3	9.4	7.7	8.9	8.6	7.4	9.2	7.5	10.0
9	5.4	5.2	3.4	3.7	1.2	0.5	4.8	0.3	5.8	2.3
10	10.2	12.9	8.9	4.8	7.9	4.4	7.4	3.2	0.3	3.5
11	12.2	13.5	13.1	9.2	13.2	10.7	13.0	13.7	11.2	11.3
12	7.1	9.3	5.8	6.3	9.8	5.7	4.4	6.7	4.7	5.8
13	8.3	13.0	10.7	10.2	8.1	6.8	10.4	9.6	9.8	0.0
14	3.3	14.2	11.0	9.8	8.7	6.3	10.3	10.1	4.9	5.0
15	5.5	9.9	7.4	10.5	9.2	6.8	13.4	9.6	5.7	1.7
16	12.5	7.3	8.4	2.0	0.4	0.0	2.4	0.3	7.9	1.7
17	10.1	14.0	12.1	14.0	13.3	12.9	14.2	13.8	8.4	7.1
18	9.7	13.1	13.1	10.1	11.9	11.8	10.9	10.3	9.7	10.4
19	12.6	14.1	13.5	4.9	10.9	6.0	2.2	7.0	3.2	0.2
20	9.6	13.4	13.1	13.9	13.8	14.2	13.6	13.9	12.1	15.3
21	3.6	7.2	2.5	7.1	5.9	6.1	8.0	11.5	7.9	12.2
22	7.8	10.2	6.0	4.9	5.4	10.0	11.1	9.6	6.6	6.6
23	12.2	10.6	8.4	12.8	12.7	12.6	12.8	13.0	9.4	12.3
24	8.5	7.2	7.6	6.0	6.2	0.0	4.4	5.4	4.6	1.5
25	4.0	13.2	12.3	13.8	13.3	9.7	13.3	11.1	10.7	13.4
26	10.5	13.6	13.2	13.7	13.7	13.8	13.7	13.7	11.4	11.9
27	10.0	13.5	12.5	13.7	13.5	13.8	13.6	13.9	11.2	14.1
28	0.1	1.2	0.0	1.1	0.0	0.0	0.9	0.0	1.6	0.0
29	12.6	13.7	12.8	8.6	11.5	10.0	8.3	12.9	7.6	3.6
30	8.9	13.5	11.5	13.5	12.8	13.1	11.9	13.2	10.6	9.7
31	5.6	13.2	12.6	10.4	13.2	13.3	13.4	13.4	6.8	6.7
Mittel	9.1	11.4	10.0	9.5	10.0	9.0	10.0	10.1	8.2	8.2

August

Tag	Lugano	Genève	Montana s Sierre	Chaux-de-Fonds	Bern	Luzern	Basel	Zürich	Davos	Säntis
1	4.4	10.2	10.8	11.1	11.1	9.4	10.4	12.2	5.5	8.5
2	8.2	9.8	10.3	*8.5	8.2	9.7	8.2	10.3	3.7	8.2
3	10.1	11.7	9.2	9.9	9.6	5.0	6.4	9.4	4.4	2.1
4	10.0	12.9	12.1	10.9	12.5	7.2	13.6	11.6	9.1	9.9
5	7.6	13.3	12.6	13.0	13.6	13.2	12.7	13.4	8.9	13.8
6	7.7	9.7	8.1	5.3	7.5	7.4	5.4	8.7	8.9	8.7
7	3.9	4.6	0.3	0.5	0.1	0.2	0.8	1.9	1.8	0.4
8	8.4	9.3	8.8	7.3	6.6	6.3	5.8	8.3	9.2	4.6
9	3.1	5.0	4.5	4.2	2.5	5.5	3.4	5.4	1.8	7.9
10	12.1	12.0	9.9	8.0	8.4	2.9	8.1	7.5	9.7	0.2
11	12.1	13.2	13.0	12.9	13.5	13.1	12.0	13.5	11.4	14.4
12	11.7	13.1	11.3	10.0	12.0	13.1	13.3	13.4	10.4	14.2
13	10.9	12.5	12.2	11.3	11.9	12.8	11.0	11.9	10.6	13.9
14	8.6	9.1	10.0	8.9	8.7	11.2	9.6	12.6	11.1	12.8
15	10.0	7.7	11.0	3.0	7.5	9.4	3.0	9.3	10.8	9.3
16	4.4	10.3	8.7	7.1	5.9	3.4	3.5	2.4	3.7	1.2
17	6.6	4.3	4.6	2.8	4.7	3.2	5.1	4.1	0.0	0.8
18	10.5	2.9	4.8	4.8	6.1	10.3	5.7	9.3	7.0	8.1
19	0.0	4.2	0.0	2.5	2.3	1.7	1.2	2.6	0.0	0.0
20	4.3	4.8	3.1	0.7	3.3	2.1	3.4	3.3	0.2	0.0
21	4.2	7.6	2.3	4.7	4.4	1.6	0.9	4.4	1.5	0.0
22	12.2	12.7	10.8	10.6	11.3	5.5	7.8	7.7	7.4	6.8
23	0.8	1.5	1.8	3.5	2.6	1.3	4.0	5.6	1.3	7.2
24	0.0	0.0	0.0	0.1	0.0	0.0	0.0	0.0	0.0	0.0
25	10.7	10.3	7.3	7.8	10.8	10.6	8.1	5.4	4.3	8.8
26	10.7	11.5	12.3	11.5	11.9	11.5	11.4	9.9	11.1	13.4
27	10.1	12.0	12.5	11.6	12.0	12.0	12.0	12.1	11.0	13.1
28	11.7	11.8	12.6	12.0	12.4	12.3	12.3	12.4	11.0	13.2
29	11.5	10.6	10.6	9.1	9.9	9.7	8.3	11.1	10.7	12.2
30	1.8	6.3	5.3	5.1	7.0	6.0	4.3	6.5	4.3	5.5
31	7.6	1.8	0.5	1.1	2.4	0.8	3.3	0.9	0.3	0.0
Mittel	7.6	8.6	7.8	7.1	7.7	7.0	6.9	8.0	6.2	7.1

1952 **Tägliche Dauer des Sonnenscheins in Stunden.**

Tag	Lugano	Genève	Montana s. Sierre	Chaux-de-Fonds	Bern	Luzern	Basel	Zürich	Davos	Säntis
September										
1	11.5	8.4	6.5	2.6	4.6	6.3	3.7	5.7	0.4	0.6
2	9.9	8.4	6.0	2.1	4.2	2.1	3.7	4.2	6.3	0.9
3	9.2	8.9	8.4	8.7	9.4	9.4	8.8	9.9	8.5	5.1
4	10.2	2.9	7.3	1.4	2.6	2.8	0.9	2.1	5.4	0.0
5	0.2	6.1	8.8	0.3	2.8	4.6	0.5	4.8	1.5	3.5
6	0.6	4.2	5.0	3.1	0.3	0.0	2.6	0.0	0.0	0.0
7	2.4	3.8	0.6	0.2	0.2	0.0	0.1	0.0	0.0	0.0
8	10.0	4.9	5.1	1.1	2.0	0.8	1.3	1.0	3.1	2.7
9	8.2	1.8	2.9	0.1	0.1	0.9	0.1	0.8	1.5	0.0
10	3.1	2.8	0.0	1.2	2.2	1.3	1.2	2.7	2.8	1.7
11	0.0	0.0	0.0	0.0	0.0	0.0	0.0	0.0	3.5	0.6
12	5.7	3.6	1.9	2.6	1.7	1.1	1.3	1.1	0.0	0.0
13	11.0	10.9	11.1	7.5	10.8	10.4	9.7	10.0	9.8	7.0
14	0.6	5.9	7.8	3.5	7.3	5.0	5.2	8.1	7.5	10.7
15	10.2	8.9	7.8	6.0	6.9	4.2	1.9	5.3	4.3	2.0
16	0.6	6.1	4.6	5.6	4.5	0.4	5.5	0.0	5.8	8.9
17	0.0	5.3	2.8	2.4	4.1	3.1	3.4	5.5	1.3	5.8
18	7.4	3.5	2.6	1.0	0.7	0.9	1.7	0.4	3.5	0.0
19	8.7	0.8	1.7	1.2	0.2	0.6	1.0	0.2	0.0	0.0
20	10.9	9.3	6.8	3.2	6.8	5.0	4.4	6.7	1.5	1.6
21	8.3	9.2	9.5	8.3	8.6	10.5	8.5	9.2	8.7	10.2
22	8.2	0.1	2.2	0.1	0.1	0.0	0.3	0.0	2.6	0.0
23	10.3	10.1	6.9	0.7	8.2	6.5	0.0	0.5	4.4	0.4
24	8.7	7.9	8.3	8.3	8.5	7.5	9.9	10.0	9.5	10.0
25	2.9	6.2	*6.0	4.5	5.1	6.0	3.5	6.2	8.0	6.7
26	8.9	4.7	6.0	2.9	4.5	8.9	4.4	9.3	8.2	2.0
27	3.1	2.3	0.0	0.0	2.0	1.9	1.5	2.6	1.3	1.7
28	9.1	10.3	8.1	9.4	9.3	9.1	9.6	9.7	7.4	5.4
29	1.3	4.4	4.0	0.4	1.8	3.9	2.7	2.7	2.4	2.5
30	0.0	0.0	0.0	0.1	0.1	0.3	0.0	0.1	0.1	0.9
31										
Mittel	6.0	5.4	5.0	3.0	4.0	3.8	3.2	4.0	4.0	3.0
Oktober										
1	0.0	2.4	0.3	2.4	1.8	0.0	1.0	0.3	0.0	1.4
2	4.4	0.0	4.7	0.8	5.5	1.4	3.3	2.5	0.0	0.0
3	9.5	5.1	5.1	1.1	2.6	2.3	0.0	0.4	4.7	2.2
4	7.8	6.0	7.3	5.4	5.8	6.1	2.7	5.3	4.5	4.8
5	9.8	2.7	5.4	2.5	6.8	0.0	1.6	3.8	1.1	0.0
6	1.9	0.2	1.3	0.0	0.0	0.6	0.1	0.3	0.7	1.8
7	10.0	7.3	9.9	2.3	2.9	0.3	3.8	0.3	3.6	0.0
8	10.5	7.9	4.7	1.4	2.7	0.4	1.9	2.2	0.0	0.0
9	9.8	9.2	9.8	8.7	9.4	5.8	9.3	8.3	8.2	9.6
10	7.0	6.6	7.2	0.5	3.0	0.6	2.8	2.6	1.1	0.0
11	9.4	10.0	9.1	6.9	7.6	2.9	2.9	3.1	2.1	2.4
12	9.8	8.8	9.9	6.7	8.7	7.5	6.8	5.8	1.7	0.0
13	0.0	0.0	0.0	0.0	0.0	0.0	0.0	0.0	0.0	0.0
14	3.7	3.0	0.0	1.4	3.3	4.7	3.0	4.4	3.6	5.9
15	9.2	4.2	8.2	4.0	0.1	0.0	6.2	3.2	2.7	0.0
16	2.7	3.9	8.2	1.0	1.1	0.9	1.2	0.0	2.3	4.0
17	8.1	8.0	4.0	0.2	0.3	0.0	3.3	0.6	0.1	0.0
18	2.2	1.9	9.8	7.9	0.0	0.0	5.1	2.7	7.5	10.4
19	0.0	0.0	0.1	0.0	0.0	0.0	0.0	0.1	0.8	0.5
20	0.0	0.0	0.0	0.0	0.0	0.0	0.0	0.1	0.0	0.0
21	0.0	2.2	5.0	0.8	2.0	2.2	0.7	3.9	3.4	5.4
22	0.2	0.0	1.8	0.2	0.2	1.7	0.7	1.4	2.5	4.2
23	4.2	0.5	0.1	0.0	0.0	0.0	0.0	0.1	0.0	0.0
24	0.0	0.7	0.8	0.0	0.1	0.6	0.0	0.9	0.6	0.0
25	0.0	0.0	0.0	0.0	0.0	0.0	0.0	0.0	0.2	0.1
26	4.7	2.7	2.9	2.4	4.1	2.3	4.5	1.9	0.0	0.0
27	6.8	6.3	7.1	8.0	8.0	7.1	6.5	6.1	6.6	9.7
28	2.8	5.9	4.1	3.2	2.9	2.6	1.8	2.2	0.8	2.7
29	4.5	0.0	0.1	0.0	0.2	0.1	0.0	0.1	1.6	1.0
30	4.0	3.7	5.2	0.0	5.5	5.6	4.0	5.0	0.0	1.9
31	7.5	0.3	0.0	2.2	1.4	1.2	0.8	0.6	0.1	0.0
Mittel	4.9	3.5	4.3	2.3	2.8	1.8	2.4	2.2	2.0	2.2
November										
1	7.7	5.8	7.0	1.9	4.1	1.6	1.1	1.4	0.4	3.0
2	8.5	0.0	1.3	0.0	0.1	0.0	0.1	0.0	0.0	0.0
3	7.5	0.0	0.0	1.1	1.9	0.0	0.4	1.7	0.8	0.0
4	8.6	8.2	7.0	7.9	3.9	5.1	5.5	4.9	4.1	7.4
5	5.9	6.3	5.1	*5.0	4.3	6.0	4.0	6.7	5.4	5.9
6	6.2	1.0	0.0	0.0	0.2	0.0	0.1	0.0	2.3	0.0
7	1.4	0.2	0.0	0.0	0.2	0.2	0.2	1.2	0.0	0.0
8	8.2	0.0	0.0	0.0	0.0	0.0	0.0	0.0	0.0	0.0
9	8.3	0.0	0.0	0.0	0.0	0.0	0.6	1.0	2.5	2.2
10	0.0	0.0	0.0	0.0	0.0	0.0	0.0	0.0	0.0	0.0
11	2.6	0.0	0.0	0.3	0.1	0.0	0.6	0.1	0.0	0.0
12	7.8	2.8	1.1	0.0	0.2	0.2	0.0	0.5	0.2	0.0
13	4.4	3.4	1.3	0.0	0.9	0.6	0.0	0.0	1.8	0.9
14	4.9	5.7	1.7	2.8	6.2	3.4	1.2	3.3	2.4	0.9
15	7.2	3.7	4.9	0.8	0.7	0.0	1.1	0.8	6.3	6.6
16	4.6	0.0	3.7	2.2	3.6	2.0	4.8	3.9	4.3	7.4
17	0.7	0.0	0.2	0.0	0.0	2.4	0.4	2.5	2.8	6.2
18	0.0	0.0	2.6	0.4	0.0	0.0	0.0	0.0	3.0	4.4
19	0.0	0.0	0.0	0.0	0.0	0.0	0.0	0.0	0.0	0.7
20	2.3	4.4	6.3	5.0	1.5	5.3	6.4	4.6	4.7	8.4
21	0.2	0.0	1.9	0.6	0.3	1.9	0.5	2.4	4.5	5.8
22	5.6	2.8	0.0	1.4	3.0	3.9	1.4	3.4	3.1	3.9
23	2.2	0.0	0.0	0.0	0.0	0.3	0.0	0.2	0.2	0.2
24	6.9	0.0	6.9	0.0	0.0	0.0	2.6	0.0	3.5	0.0
25	1.5	0.0	0.0	0.0	0.0	0.0	0.0	0.0	0.6	0.2
26	5.9	0.0	0.0	0.0	0.2	0.6	0.0	0.6	0.1	0.0
27	0.0	0.0	0.0	0.1	0.5	1.0	0.1	0.2	2.5	1.1
28	0.0	2.8	0.5	3.4	1.4	2.4	4.7	1.6	2.4	1.0
29	3.4	6.7	6.2	5.8	5.1	5.1	4.1	5.1	3.9	5.8
30	0.0	2.6	3.3	0.0	1.6	3.5	0.7	2.0	3.1	0.6
31										
Mittel	4.1	1.9	2.0	1.3	1.3	1.5	1.4	1.6	2.2	2.4
Dezember										
1	0.6	0.6	0.0	1.6	0.0	0.0	0.0	0.0	0.0	0.0
2	4.1	1.5	2.0	0.0	0.0	0.0	0.0	0.0	1.3	0.0
3	0.0	3.2	0.9	0.1	1.0	0.0	0.0	0.0	0.0	3.5
4	1.9	2.5	6.7	0.0	0.4	0.0	0.0	0.4	1.2	0.0
5	6.7	0.0	7.8	6.5	0.5	0.9	5.6	2.3	5.5	7.8
6	2.2	0.0	7.4	2.3	0.0	0.0	0.0	0.0	5.4	8.0
7	0.0	0.0	1.3	1.1	0.0	0.0	0.0	0.0	1.6	0.6
8	2.4	0.0	5.8	5.1	0.0	0.0	2.5	0.0	2.4	0.9
9	4.3	0.0	7.7	4.7	0.0	0.0	0.0	0.0	5.4	8.4
10	6.2	1.2	7.8	6.9	0.0	0.0	0.0	0.0	5.5	8.4
11	0.0	0.0	0.0	0.0	0.0	0.0	0.0	0.0	0.6	1.2
12	0.0	0.0	0.0	0.0	0.0	0.0	0.0	0.0	0.2	0.0
13	0.0	1.5	0.0	0.0	0.4	1.3	0.7	1.0	0.0	0.0
14	2.4	1.0	1.1	1.7	1.5	0.0	0.0	0.1	3.3	2.6
15	4.1	0.0	2.9	0.0	0.9	0.0	0.9	0.3	0.0	0.0
16	6.8	0.0	0.0	0.4	2.0	3.6	3.9	2.2	1.9	0.0
17	0.0	0.0	0.0	0.0	0.0	0.0	0.0	0.0	0.0	0.0
18	5.4	0.0	0.0	0.0	0.0	0.0	0.0	0.0	4.9	0.0
19	6.3	4.5	2.7	3.3	3.9	3.2	3.5	2.5	3.6	3.3
20	6.7	2.9	3.1	0.6	1.1	2.6	0.8	1.4	0.2	0.0
21	0.0	0.0	0.0	0.0	0.0	0.0	0.0	0.3	0.0	0.0
22	6.4	0.0	0.0	0.1	0.0	0.0	0.0	0.0	0.0	0.0
23	6.2	0.0	0.2	0.0	0.0	0.0	0.0	0.0	0.0	0.0
24	0.2	3.1	4.6	0.0	0.3	1.4	0.0	0.1	0.8	0.0
25	6.1	4.9	1.5	4.7	2.3	2.8	4.3	3.2	0.0	2.8
26	3.0	0.0	5.6	0.8	0.4	0.0	1.1	0.0	3.2	7.8
27	0.1	3.3	1.1	0.3	0.0	0.0	0.0	0.0	2.9	2.8
28	1.4	5.8	7.7	6.5	6.2	0.0	7.9	3.4	4.2	7.9
29	0.0	0.0	0.0	0.0	0.0	0.0	0.0	0.0	0.0	0.4
30	0.0	0.0	0.0	0.0	0.0	0.0	0.0	0.0	0.2	0.4
31	0.0	0.0	0.0	0.6	0.0	0.0	0.0	1.3	1.0	2.2
Mittel	2.7	1.2	2.5	1.5	0.7	0.5	1.0	0.6	1.8	2.2

Nr. 5

Jahresbericht 1952 des Erdbebendienstes

der Schweizerischen Meteorologischen Zentralanstalt

von Dr. E. Wanner

Stationen: **Zürich** — *Direktor:* Dr. J. Lugeon, *Bearbeiter:* Dr. E. Wanner; **Chur** — Prof. Dr. h. c. Kreis; **Neuchâtel** — Prof. Dr. E. Guyot; **Basel** — Dr. M. Bider; **Brig** — Prof. Dr. Werlen

1. **Persönliches, statistische Bemerkungen und Besprechung einzelner Fälle.**
2. **Tabellarische Zusammenstellung der in der Schweiz im Jahre 1952 verspürten und auf den Erdbebenwarten registrierten Erdbeben.**

1. Persönliches, statistische Bemerkungen und Besprechung einzelner Fälle.

Die Erdbebenwarte Basel war vom 9. Juni bis 3. Juli nicht in Betrieb, weil am Universal-Seismographen eine dringend notwendig gewordene Revision durchgeführt werden mußte. Ebenso war das Uhrwerk des Seismographen auf der Hilfsstation Brig während mehreren Monaten defekt. Die übrigen Erdbebenwarten waren mit Ausnahme ganz kurzer Unterbrüche dauernd in Betrieb. Es wurden 107 Nahebeben und 369 Fernbeben registriert. Bemerkenswert war die große Aktivität im Gebiet von Kamtschatka. Nach dem Weltbeben vom 4. November (Tabelle III, Nr. 212) wurden aus jenem Gebiet in den nachfolgenden Wochen mehr als 100 Nachstöße aufgezeichnet.

In der Schweiz wurden 15 Beben von der Bevölkerung beobachtet. Einige davon waren Ausstrahlungen von Bebenherden des Rheintalgrabens. Der Herd im Mittelwallis hat sich immer noch nicht beruhigt. Von der Bevölkerung wurden dort zehn Stöße wahrgenommen (1949: 21, 1950: 22, 1951: 15). Die verspürten Beben verteilen sich auf die verschiedenen Tagesstunden wie folgt:

0—2 h	2—4 h	4—6 h	6—8 h	8—10 h	10—12 h	12—14 h	14—16 h	16—18 h	18—20 h	20—22 h	22—24 h
—	2	—	1	4	—	2	2	1	2	—	1

und auf die Monate:

Januar	Februar	März	April	Mai	Juni	Juli	August	September	Oktober	November	Dezember
1	2	2	—	4	—	1	1	1	3	—	—

Als Konstanten für die Instrumente können die folgenden Werte benützt werden:

Station 1952	Apparat	Maße in kg	Komponente	Vergrößerung für schnelle Schwingungen	Eigenperioden in Sek.	Dämpfung	Reibung in $^{m}/_{m}$	Registriergeschwindigkeit pro Minute	Mittlerer Zeitinterpolationsfehler in Sek
Zürich Juli 22.	U-S Q.-P.	20600	N-S	1400	3.0	3.0 : 1	0.8	ca. 90 $^{m}/_{m}$	± 0.1
			E-W	1400	3.0	3.0 : 1	0.8	90 $^{m}/_{m}$	± 0.1
			V	1400	1.0	2.0 : 1	0.6	90 $^{m}/_{m}$	± 0.1
	Mainka	450	N-S	120	8.0	3.0 : 1	1.6	25 $^{m}/_{m}$	± 0.5
			E-W	120	7.0	3.0 : 1	1.6	25 $^{m}/_{m}$	± 0.5
	Kreis	1050	V	180	2.6	2.5 : 1	0.2	30 $^{m}/_{m}$	± 0.5
Chur	U-S	13000	X, N 62° W	1210	2.7	2.5 : 1	1.2	60 $^{m}/_{m}$	± 0.1
			Y, N 28° E	1350	2.7	2.0 : 1	1.5	60 $^{m}/_{m}$	± 0.1
			V	2400	1.7	1.9 : 1	1.7	60 $^{m}/_{m}$	± 0.1
Neuchâtel	U-S	19000	N-S	1550	2.7	3.9 : 1	0.7	60 $^{m}/_{m}$	± 0.1
			E-W	1560	2.7	4.0 : 1	0.2	60 $^{m}/_{m}$	± 0.1
			V	1750	1.1	2.0 : 1	0.1	60 $^{m}/_{m}$	± 0.1
Basel	U-S	19750	N-S	2040	3.2	3.0 : 1	0.2	60 $^{m}/_{m}$	± 0.1
			E-W	2220	3.3	4.4 : 1	0.1	60 $^{m}/_{m}$	± 0.1
		19500	V	2010	3.2	5.0 : 1	0.1	60 $^{m}/_{m}$	± 0.1
Brig	Mainka	135	N-S	70	4.0	3.0 : 1	0.3	25 $^{m}/_{m}$	—
			E-W	70	4.0	3.0 : 1	0.3	25 $^{m}/_{m}$	—
	Wiechert	80	V	70	3.0	2.0 : 1	0.9	25 $^{m}/_{m}$	—

U-S Q.-P. = Universalseismograph Quervain-Picard.

2. Tabellarische Zusammenstellung der in der Schweiz verspürten und der an den Erdbebenstationen Zürich, Chur, Basel, Neuchâtel und Brig registrierten Erdbeben

Tabelle I. In der Schweiz verspürte Erdbeben 1952

Z = Zürich Ch = Chur B = Basel N = Neuchâtel Br = Brig (Vgl. auch Tafel)

Nr.	Datum	MEZ 0-24 h	Epizentralgebiet (gesperrt gedruckt) und erschütterte Gebiete	Grad Forel-Bossi	Grösste Ausdehnung	Zahl d. pos. Meldungen	Zahl d. neg. Meldungen	Registriert in	Bemerkungen über Charakter, Zahl der Stöße und Wirkungen
	1952	h m			km				
1	Jan. 15.	3. 23	**Lauterbrunnen** V Kandertal III—IV, Interlaken und Umgebung IV—V, Meiringen III (vgl. Tab. II Nr. 3 und Tafel 1)	V	50	15	12	N, Z	Kräftiger Stoß mit dumpfem Rollen
2	Febr. 22.	18. 32	**Mittelwallis** lokal Sitten IV (vgl. Tab. II Nr. 11 und Tafel 5)	IV	—	1	—	B, Z	Schwacher Stoß
3	„ 24.	22. 26	**Rheintalgraben bei Mannheim—Ludwigshafen** im Epizentrum leichte Bauschäden; in der Schweiz schwach verspürt in den Kantonen: Basel III, Aargau III, Schaffhausen III, Zürich III und Glarus III (vgl. Tab. II Nr. 13 und Tafel 6)	VII	—	7	—	B, Z, N, Ch	Leichtes Schaukeln, nur ganz vereinzelt beobachtet in obern Stockwerken
—	März 4.	2. 03	Weltbeben an der pazifischen Küste von Hokkaido 42.5° N, 143.5° E. O = 1 h 22 m 41.0 s; möglicherweise von einer wachliegenden Person in Luzern verspürt (vgl. Tab. III Nr. 26)						
4	„ 5.	16. 41	**Mittelwallis** lokal Sitten IV (vgl. Tab. II Nr. 17 und Tafel 5)	IV	—	1	—	N, B, Z	Erdstoß
5	„ 22.	12. 40	**Mittelwallis** besonders heftig in Kandersteg V (vgl. Tab. II Nr. 20 und Tafel 6)	V	10	2	—	N, B, Z, Ch	Heftiger Stoß, gefolgt von Schaukeln der Gegenstände
6	Mai 9.	9. 02	**Mittelwallis** V—VI Berner Oberland III—IV (vgl. Tab. II Nr. 34 und Tafel 3)	V-VI	40	8	—	B, Z, Ch	Heftiger Stoß mit dumpfem Rollen
7	„ 9.	9. 09	**Mittelwallis** lokal Sitten IV (vgl. Tab. II Nr. 35 und Tafel 5)	IV	—	1	—	B, Z	Leichter Stoß
8	„ 9.	9. 14	**Mittelwallis** Sitten V, Kippel III (vgl. Tab. II Nr. 36 und Tafel 2)	V	30	3	—	B, Z	Erdstoß
9	„ 9.	12. 18	**Mittelwallis** lokal Sitten IV (vgl. Tab. II Nr. 37 und Tafel 5)	IV	—	1	—	B, Z	Leichter Stoß
10	Juli 2.	19. 36	**Mittelwallis** V Berner Oberland III—V (vgl. Tab. II Nr. 45 und Tafel 4)	V	30	4	—	N, Z, Ch	Heftiger Stoß, im Epizentrum allgemein wahrgenommen
11	Aug. 26.	2. 53	**Mittelwallis** lokal Sitten IV—V (vgl. Tab. II Nr. 64 und Tafel 5)	IV-V	—	1	—	N, Z, B, Ch	Heftiger Stoß
12	Sept. 5.	9. 50	**Mittelwallis** lokal Sitten IV (vgl. Tab. II Nr. 69 und Tafel 5)	IV	—	1	—	N, B, Z, Ch	Leichter Stoß
13	Okt. 2.	15. 51	**Reußtal zwischen Altdorf und Erstfeld** lokal (vgl. Tab. II Nr. 77 und Tafel 2)	V	—	4	—	Z, B	Explosionsartiger Knall. Leute gehen ins Freie um nachzusehen was sich ereignet habe, Erschütterung eher schwach

Nr.	Datum	MEZ 0-24 h	Epizentralgebiet (gesperrt gedruckt) und erschütterte Gebiete	Grad Forel-Bossi	Grösste Ausdehnung	Zahl d. pos. Meldungen	Zahl d. neg. Meldungen	Registriert in	Bemerkungen über Charakter, Zahl der Stöße und Wirkungen
	1952	h m			km				
14	Okt. 8.	6.17	**Rheintalgraben bei Weissenburg, Elsaß** leichtes Schadenbeben; in der Schweiz vereinzelt verspürt in den Kantonen Basel III, Zürich III, Thurgau III (vgl. Tab. II Nr. 86 und Tafel 4)	VII-VIII	—	4	—	B,Z,S,Ch	Wellenartige Erschütterung
15	„ 25.	14.32	**Strela-Paß** westlich Davos lokal (vgl. Tab. II Nr. 94 und Tafel 3)	IV	—	1	—	Ch, Z	Geräusch wie kurzer Donnerschlag gefolgt von Erschütterung

Tabelle II. In der Schweiz 1952 registrierte Nahebeben

Mittlere Zeit Greenwich;

Station	Meereshöhe	Lage	Untergrund
Erdbebenwarte Zürich (Z);	604 m;	Breite: 47° 22′ 7.2″ N; Länge: 8° 34′ 49.5″ E;	Molassesandstein u. Mergel, wechsellagernd.
Erdbebenwarte Chur (Ch);	630 m;	Breite: 46° 50′ 59.5″ N; Länge: 9° 32′ 12.1″ E;	Bündnerschiefer der penninischen Decke.
Observatoire Neuchâtel (N);	487 m;	Breite: 46° 59′ 50.6″ N; Länge: 6° 57′ 26.2″ E;	Gewachsener Kalkfels.
Erdbebenwarte Basel (B);	309 m;	Breite: 47° 32′ 24″ N; Länge: 7° 34′ 58.5″ E;	Nagelfluhschichten.
Erdbebenwarte Brig (Br);	708 m;	Breite: 46° 18′ 55″ N; Länge: 7° 59′ 44″ E;	Alluvium

Nr.	Datum	Station	Epizentralentfernung nach S–P	Max. Amplitude	Ungefähre Dauer der Registr.	Phasen, Bemerkungen Wo nichts weiteres bemerkt ist, beziehen sich die Ablesungen auf die Apparate Quervain-Piccard der Stationen Zürich, Chur, Neuchâtel und Basel.
	1952		km	μ	Min.	
1	Jan. 9.	Z	70	4.0	0.5	eP̄ 18 h 36 m 05.0 s i 18 h 36 m 05.7 s iS̄ 18 h 36 m 13.7 s Vermutlich Gebiet des Bodensee; keine makroseismischen Meldungen!
2	„ 10.	N	45	—	1.0	iP̄ 17 h 51 m 53.4 s iS̄ 17 h 52 m 59.0 s
		B	100	—	1.0	eP̄ 17 h 52 m 02.3 s eS̄ 17 h 52 m 14.0 s
		Z	105?	1.0	1.0	eP̄? 17 h 52 m 07.9 s eS̄ 17 h 52 m 19.9 s i 17 h 52 m 21.3 s Schwarzsee, Kt. Freiburg; keine makroseismischen Meldungen!
3	„ 15.	N	85	—	0.5	eP̄? 02 h 22 m 55.2 s e 02 h 22 m 57.2 s iS̄ 02 h 23 m 05.1 s
		Z	?	1.0	0.5	eP̄ Min'-Lücke 02 h 22 m 57.8 s eS̄ 02 h 23 m 07.4 s i 02 h 23 m 10.8 s
		B	108	—	0.5	eP̄ 02 h 22 m 59.3 s eS̄ 02 h 23 m 12.0 s Lauterbrunnen, Kt. Bern (vgl. Tab. I Nr. 1)
4	„ 18.	Ch	220	—	3.0	eP̄ 01 h 36 m 54.8 s Dilat. eS̄ 01 h 37 m 23.1 s
		Z	310	7.0	3.0	ePn 01 h 37 m 02.7 s eP̄ 01 h 37 m 08.9 s eSn 01 h 37 m 38.3 s eS̄ 01 h 37 m 47.0 s
		B	390	—	4.0	ePn 01 h 37 m 12.8 s eP̄ 01 h 37 m 23.0 s eSn 01 h 37 m 56.0 s eS̄ 01 h 38 m 11.0 s
		N	420	—	4.0	ePn 01 h 37 m 16.0 s iSn 01 h 37 m 59.8 s eS̄ 01 h 38 m 20.0 s Roma: 46° 14.6′ N, 12° 22.3′ E 0 = 01 h 36 m 12.6 s, in den Provinzen Belluno V, Treviso und Verona IV—V
5	„ 25.	B	—	—	3.0	e 22 h 53 m 29.6 s e 22 h 55 m 05.0 s e 22 h 55 m 15.0 s
		Z	—	0.5	3.0	e 22 h 53 m 38.0 s e 22 h 55 m 08.7 s Nach B. I. 0 = 22 h 51 m 20.0 s, 43.0° N 0.2° E, im Dep. Hautes-Pyrenées gespürt; Lourdes V
6	„ 26.	Z	55	0.5	0.1	eP̄ 05 h 20 m 01.1 s Dilat. eS̄ 05 h 20 m 07.7 s
		B	100	—	0.5	eP̄ 05 h 20 m 08.1 s eS̄ 05 h 20 m 20.0 s Hegau nördlich Singen
7	„ 27.	Z	—	0.1	0.2	Spuren von Nahebeben 00 h 45 m 46.9 s Nach Stuttgart Stoß der Int. V im Taunus
8	„ 27.	Z	1200?	1.0	5.0	eP 23 h 11 m 26.8 s eS? 23 h 13 m 31.5 s
		Ch	—	—	3.0	eP 23 h 12 m 54.8 s Vermutlich Balkan?
9	„ 30.	B	—	—	0.5	e 19 h 34 m 09.6 s e 19 h 34 m 41.0 s
		Z	145?	1.0	0.5	eP̄ 19 h 34 m 23.8 s e 19 h 34 m 25.1 s eS̄? 19 h 34 m 42.6 s Vermutlich Mittelwallis?
10	Febr. 7.	B	—	—	3.0	e_z 14 h 32 m 01.9 s
		Z	—	0.5	4.0	e_z 14 h 32 m 08.6 s B. I. Pyrenées 43.1° N 0.7° W 0 = 14 h 28 m 19.0 s; Arette VII, Lanne VI
11	„ 22.	B	136	—	0.5	eP̄ 17 h 32 m 07.7 s eS̄ 17 h 32 m 24.0 s
		Z	145?	0.5	0.5	eP̄ Min'-Lücke 17 h 32 m 10.4 s eS̄ 17 h 32 m 28.9 s Mittelwallis (vgl. Tab. I Nr. 2)
12	„ 23.	Ch	380	—	3.0	ePn 21 h 57 m 20.6 s Dilat. eP̄ 21 h 57 m 29.0 s Compr. eSn 21 h 58 m 02.4 s
		Z	480	1.0	4.0	ePn 21 h 57 m 30.3 s eP̄ 21 h 57 m 43.6 s eS̄ 21 h 58 m 41.7 s
		B	550	—	2.0	ePn 21 h 57 m 47.0 s eP̄? 21 h 57 m 59.0 s e 21 h 58 m 57.0 s eS̄ 21 h 59 m 13.0 s
		N	—	—	5.0	eP? 21 h 57 m 58.5 s e 21 h 58 m 03.0 s Nach Trieste 0 = 21 h 56 m 24.0 s; 45° 48′ N, 14° 15′ E, in Trieste gespürt III
13	„ 24.	Z	245	14.0	3.0	ePn 21 h 26 m 08.7 s eP̄ 21 h 26 m 13.1 s e 21 h 26 m 16.5 s eSn 21 h 26 m 37.1 s
		B	215?	—	3.0	ePn? 21 h 26 m 10.5 s Compr. eS̄ 21 h 26 m 40.0 s [eS̄ 21 h 26 m 43.3 s
		N	305	—	5.0	ePn 21 h 26 m 17.2 s eP̄ 21 h 26 m 25.1 s eS̄ 21 h 27 m 01.0 s
		Ch	320	—	5.0	ePn 21 h 26 m 18.6 s eP̄ 21 h 26 m 22.9 s i 21 h 26 m 28.4 s Compr. [eS̄? 21 h 26 m 59.4 s Gebiet von Mannheim (Deutschland) nach B. I. 0 = 21 h 25 m 33.0 s 49.6° N 8.3° E; in der Schweiz verspürt (vgl. Tab. I Nr. 3)

Bemerkung: Die Buchstabengruppen B. I., bzw. J. S. A. und U. S. C. G. S. sind gebräuchliche Abkürzungen für Bureau International, bzw. Jesuit Seismological Association und United States Coast and Geodetic Survey.

Tabelle II (Fortsetzung)

Nr.	Datum	Station	Epizentral-entfernung nach S-P	Max. Amplitude	Ungefähre Dauer der Registr.	Phasen, Bemerkungen
	1952		km	μ	Min.	
14	Febr. 25.	Z	55	2.0	0.3	$e\overline{P}$ 20 h 11 m 46.6 s $i\overline{S}$ 20 h 11 m 53.0 s
		B	112	—	1.0	$e\overline{P}$ 20 h 11 m 55.9 s $e\overline{S}$ 20 h 12 m 09.0 s Vermutlich Bodenseegebiet? Keine makroseismischen Meldungen!
15	„ 26.	B	105	2.0	1.0	$e\overline{P}$ 10 h 06 m 54.5 s $e\overline{S}$ 10 h 07 m 07.0 s
		Z	—	—	—	Keine Registrierung!
16	März 4.	Z	—	2.0	1.0	e_Z 05 h 18 m 14.4 s
		B	—	—	1.0	e_Z 05 h 18 m 32.7 s $e\overline{S}$? 05 h 19 m 13.0 s Spuren von Nahebeben; nach Rom 0 = 05 h 17 m 12.0 s, 44° 27′ N 10° 46′ E
17	” 5.	N	86	—	0.5	$i\overline{P}$ 15 h 40 m 59.2 s $i\overline{S}$ 15 h 41 m 12.2 s
		Z	142	—	—	$e\overline{P}$ 15 h 41 m 07.5 s i 15 h 41 m 08.5 s $i\overline{S}$ 15 h 41 m 26.0 s
		B	—	—	—	$e\overline{P}$? 15 h 41 m 07.9 s $e\overline{S}$ 15 h 41 m 25.0 s Mittelwallis IV (vgl. Tab. I Nr. 4)
18	” 16.	Z	—	0.2	1.0	e_Z 14 h 42 m 45.5 s
		B	—	—	2.0	e 14 h 43 m 14.3 s e 14 h 43 m 40.0 s e 14 h 43 m 56.0 s Nur Spuren!
19	” 19.	N	212?	—	1.0	$e\overline{P}$ Min'-Lücke 16 h 26 m 45.0 s $e\overline{S}$ 16 h 27 m 10.0 s
		Ch	230	—	1.5	ePn 16 h 26 m 50.4 s Dilat. $e\overline{S}$ 16 h 27 m 22.5 s
		Z	225	1.5	2.0	ePn 16 h 26 m 53.8 s Dilat. e 16 h 26 m 56.3 s $e\overline{S}$ 16 h 27 m 24.0 s
		B	255	—	2.0	$e\overline{P}$ 16 h 26 m 55.8 s $e\overline{S}$ 16 h 27 m 26.0 s Westalpen, nach B. I. 0 = 16 h 26.1 m 45.2° N 7.7° E
20	” 22.	N	86	—	1.0	$e\overline{P}$ 11 h 40 m 13.2 s $i\overline{S}$ 11 h 40 m 25.0 s
		Z	142	1.0	1.0	$e\overline{P}$ 11 h 40 m 20.3 s i 11 h 40 m 21.1 s $i\overline{S}$ 11 h 40 m 39.1 s
		B	—	—	1.0	e 11 h 40 m 22.3 s $e\overline{S}$ 11 h 40 m 36.0 s
		Ch	166	—	1.0	$e\overline{P}$ 11 h 40 m 25.3 s $e\overline{S}$? 11 h 40 m 48.3 s Mittelwallis (vgl. Tab. I Nr. 5)
21	April 3.	Z	—	0.5	5.0	eP_Z 03 h 22 m 34.2 s eL 03 h 25 m 51.6 s Adria; B. I. 0 = 03 h 20.0 m, 38.5° N 20.5° E
22	” 3.	N	185	—	2.0	ePn 10 h 36 m 38.8 s $i\overline{P}$ 10 h 36 m 42.0 s $e\overline{S}$ 10 h 36 m 58.0 s
		Z	225	4.0	2.0	ePn 10 h 36 m 41.1 s $e\overline{P}$ 10 h 36 m 44.0 s $e\overline{S}$ 10 h 37 m 12.5 s
		B	250	—	1.0	ePn 10 h 36 m 41.8 s $e\overline{P}$ 10 h 36 m 47.0 s $e\overline{S}$ 10 h 37 m 17.0 s
		Ch	245?	—	2.0	ePn? 10 h 36 m 43.1 s $e\overline{P}$n? 10 h 37 m 11.5 s Westalpen, nach B. I. 0 = 10 h 36 m 02.0 s 45.3° N 7.6° E
23	” 4.	Z	245	0.2	1.0	$e\overline{P}$? 05 h 24 m 18.9 s $e\overline{S}$ 05 h 24 m 48.3 s
		B	—	—	1.0	e 05 h 24 m 36.8 s In der Gegend von Mannheim verspürt (Nachstoß zu Nr. 13)
24	” 4.	B	—	—	1.0	e 07 h 13 m 05.5 s e 07 h 14 m 19.0 s
		Z	—	0.2	1.0	e 07 h 14 m 23.4 s Schwache Spuren
25	” 4.	Z	—	0.5	1.0	e 18 h 34 m 31.2 s eS? 18 h 35 m 45.1 s
		B	—	—	1.0	eS? 18 h 35 m 52.8 s Nach B. I. 0 = 18 h 32 m 28.0 s, 47.6° N 17.7° E
26	” 5.	B	890?	—	3.0	eP 00 h 07 m 32.5 s eS 00 h 09 m 08.0 s
		Z	930?	1.0	3.0	ePn 00 h 07 m 35.1 s e 00 h 07 m 41.9 s eS 00 h 09 m 06.4 s Hautes Pyrenées, Arras VIII; Salles VI—VII; Lourdes VI B. I. gibt 0 = 00 h 05 m 32.0 s, 43.0° N 0.0° E (vgl. Nr. 5)
27	” 20.	Ch	250	—	1.0	$e\overline{P}$ 04 h 43 m 31.7 s $e\overline{S}$ 04 h 44 m 01.2 s
		Z	358	0.5	1.0	$e\overline{P}$ 04 h 43 m 45.1 s $e\overline{S}$ 04 h 44 m 27.3 s Südliche Kalkalpen, B. I. 0 = 04 h 42 m 47.0 s, 46.4° N 13.0° E
28	” 23.	Z	195	0.5	1.0	$e\overline{P}$ 17 h 30 m 05.5 s e 17 h 30 m 07.5 s $e\overline{S}$ 17 h 30 m 28.5 s Keine makroseismischen Meldungen!
29	Mai 1.	Z	40	0.3	0.3	$e\overline{P}$ 07 h 59 m 32.9 s $e\overline{S}$ 07 h 59 m 37.8 s Keine makroseismischen Meldungen!
30	” 3.	B	250	—	2.0	ePn 04 h 25 m 46.8 s $e\overline{S}$ 04 h 26 m 22.0 s e 04 h 26 m 55.0 s
		Z	255	0.5	2.0	ePn 04 h 25 m 49.5 s $e\overline{S}$ 04 h 26 m 25.4 s e 04 h 26 m 31.2 s Vermutlich Westalpen SE von Gr. Paradiso?
31	” 3.	Z	—	0.2	2.0	e_Z 20 h 17 m 20.6 s B. I. 0 = 20 h 13 m 14.0 s, 43.1° N 0.0° E; Lourdes III

Tabelle II (Fortsetzung)

Nr.	Datum	Station	Epizentral-Entfernung nach S-P	Max. Amplitude	Ungefähre Dauer der Registr.	Phasen, Bemerkungen
	1952		km	μ	Min.	
32	Mai 3.	Ch	160	—	2.0	eP? Min'-Lücke 20 h 57 m 16.0 s eS 20 h 57 m 37.5 s
		Z	244	1.5	1.0	eP 20 h 57 m 31.3 s Compr. e 20 h 57 m 35.8 s eS 20 h 58 m 00.0 s
		B	325	—	3.0	eP 20 h 57 m 40.5 s eS 20 h 58 m 19.0 s
		N	300	—	2.0	eP 20 h 57 m 41.0 s eS 20 h 58 m 16.0 s
						Nach Rom 0 = 20 h 56 m 45.0 s, 45.5° N 10.4° E
33	„ 6.	B	280	—	2.0	eP 23 h 39 m 16.2 s eS 23 h 39 m 49.0 s
		Z	302	1.0	2.0	eP 23 h 39 m 19.9 s eS 23 h 39 m 55.5 s
						B. I. 0 = 23 h 38 m 25.0 s, 50.2° N 8.3° E, nach Stuttgart im Taunus Int. V—VI
34	„ 9.	Z	143	22.0	2.0	eP 08 h 02 m 27.4 s Compr. e 08 h 02 m 28.3 s eP 08 h 02 m 29.3 s Dilat.
		B	—	—	4.0	eP 08 h 02 m 28.0 s Min'-Lücke eS 08 h 02 m 46.0 s [eS 08 h 02 m 46.7 s
		Ch	167	—	2.0	eP 08 h 02 m 31.6 s Dilat. iP 08 h 02 m 34.0 s Min'Lücke eS 08 h 02 m 53.3 s
						Mittelwallis (vgl. Tab. I Nr. 6) [eS 08 h 02 m 56.2 s
35	„ 9.	B	136	—	1.0	eP 08 h 09 m 59.2 s eS 08 h 10 m 17.0 s
		Z	143	0.5	1.0	eP 08 h 09 m 59.7 s eP 08 h 10 m 00.7 s Dilat. eS 08 h 10 m 18.8 s
						Mittelwallis (vgl. Tab. I Nr. 7)
36	„ 9.	B	136	—	1.0	eP 08 h 14 m 30.5 s eS 08 h 14 m 48.0 s
		Z	145	1.0	1.0	eP 08 h 14 m 30.6 s eP 08 h 14 m 31.4 s Dilat. eS 08 h 14 m 50.0 s
						Mittelwallis (vgl. Tab. I Nr. 8)
37	„ 9.	Z	143	1.0	1.0	eP 11 h 18 m 10.2 s Compr. iP 11 h 18 m 12.4 s iS 11 h 18 m 29.7 s
		B	136	—	1.0	iP 11 h 18 m 11.0 s Dilat. eS 11 h 18 m 28.0 s
						Mittelwallis (vgl. Tab. I Nr. 9)
38	„ 19.	Z	190	0.2	1.0	eP? 21 h 45 m 50.6 s eS 21 h 46 m 10.8 s eS 21 h 46 m 12.9 s
						Vermutlich Ostalpen? Keine makroseismischen Meldungen!
39	Juni 8.	B	—	—	2.0	ePn? 04 h 17 m 27.7 s e 04 h 18 m 04.0 s e 04 h 18 m 08.0 s
		N	—	—	2.0	ePn? 04 h 17 m 28.1 s e 04 h 18 m 13.0 s
		Z	—	0.5	4.0	e 04 h 17 m 45.5 s e 04 h 18 m 10.6 s
						Schwache Spuren, Analyse unsicher!
40	„ 8.	N	—	—	2.0	eP 21 h 27 m 10.6 s
		B	408	—	2.0	eP 21 h 27 m 24.8 s eS 21 h 28 m 13.0 s
		Z	410	0.7	2.0	eP 21 h 27 m 25.7 s eS? 21 h 28 m 14.3 s Min'-Lücke
		Ch	—	—	3.0	eP 21 h 27 m 26.3 s
						Nach B. I. 0 = 21 h 26 m 26.0 s, 44.2° N 5.2° E
						Vaucluse, Gebiet von Malaucène VII—VIII
41	„ 19.	Ch	130	—	1.0	eP 10 h 58 m 24.6 s eS 10 h 58 m 40.0 s
		Z	255?	1.0	2.0	eP? 10 h 59 m 13.0 s eS? 10 h 59 m 43.0 s
						Vermutlich Ostalpen?
42	„ 27.	Z	lokal	4.0	0.3	iP 14 h 31 m 19.5 s Dilat. i 14 h 31 m 20.1 s iS 14 h 31 m 23.5 s
						Az. SE, Emergenzwinkel 80°, Unteres Zürichseebecken
						Keine makroseismischen Meldungen!
43	„ 30.	Z	15	0.2	0.2	eP 10 h 58 m 39.4 s eS 10 h 58 m 41.2 s
						Keine makroseismischen Meldungen!
44	„ 30.	Z	15	0.2	0.2	eP 16 h 09 m 47.1 s eS? 16 h 09 m 49.3 s
						Schwach, keine makroseismischen Meldungen!
45	Juli 2.	N	86	—	4.0	iP 18 h 36 m 31.1 s i 18 h 36 m 33.4 s iS 18 h 36 m 41.9 s i 18 h 36 m 45.8 s
		Z	143	20.0	4.0	eP 18 h 36 m 39.5 s Compr. iP 18 h 36 m 41.2 s iS 18 h 36 m 58.4 s
		Ch	157	—	2.0	eP 18 h 36 m 43.5 s i 18 h 36 m 45.6 s eS 18 h 37 m 02.1 s
						Mittelwallis, 0 = 18 h 36 m 15.0 s (vgl. Tab. I Nr. 10)
46	„ 4.	Ch	375	—	8.0	ePn 20 h 36 m 05.6 s i 20 h 36 m 25.5 s iSn 20 h 36 m 46.9 s
		Z	—	9.0	6.0	ePn 20 h 36 m 10.4 s e 20 h 36 m 31.0 s e 20 h 36 m 44.5 s
		B	—	—	—	ePn 20 h 36 m 20.0 s
		N	490?	—	8.0	iPn 20 h 36 m 20.9 s eSn? 20 h 37 m 14.0 s
						Nach B. I. 0 = 20 h 35 m 12.5 s, 44.1° N 11.8° E
						In den Provinzen Florenz und Forlì gespürt VI
47	„ 4.	Z	—	3.0	4.0	ePn? 21 h 31 m 28.9 s e 21 h 31 m 31.5 s
		B	—	—	4.0	ePn 21 h 31 m 39.3 s eL 21 h 32 m 54.0 s
						Nachstoß zu Nr. 46, 0 = 21 h 30 m 23.0 s
48	„ 10.	Z	105	5.0	2.0	eP 16 h 13 m 08.2 s Dilat. iP 16 h 13 m 08.5 s iS 16 h 13 m 20.1 s
		B	130	—	2.0	eP 16 h 13 m 12.9 s eS 16 h 13 m 28.0 s
		Ch	165	—	1.0	eP? 16 h 13 m 16.2 s i 16 h 13 m 17.8 s i 16 h 13 m 18.9 s eS 16 h 13 m 37.3 s
		N	—	—	2.0	eP? 16 h 13 m 25.2 s e 16 h 13 m 39.0 s
						Nach Stuttgart 0 = 16 h 12 m 51.0 s, 48.3° N 9.0° E, Raichberg V

Tabelle II (Fortsetzung)

Nr.	Datum	Station	Epizentral-Entfernung nach S-P	Max. Amplitude	Ungefähre Dauer der Registr.	Phasen, Bemerkungen
	1952		km	μ	Min.	
49	Juli 10.	Z	105	0.5	0.5	eP? 18 h 59 m 34.4 s eS? 18 h 59 m 42.9 s Min'-Lücke Stuttgart 0 = 18 h 59 m 18.4 s, Nachstoß zu Nr. 48
50	„ 11.	Z	—	0.2	0.2	eS 00 h 06 m 59.0 s Schwache Spuren! Nachstoß zu Nr. 48
51	„ 11.	Z	105	1.0	1.0	eP 08 h 33 m 39.3 s eS 08 h 33 m 52.0 s i 08 h 33 m 53.3 s
		B	140	—	1.0	eP 08 h 33 m 43.2 s eS 08 h 34 m 00.0 s Nachstoß zu Nr. 48
52	„ 11.	Z	225	1.5	1.0	eP 21 h 49 m 13.1 s eS 21 h 49 m 39.4 s
		B	285	—	1.0	eP 21 h 49 m 28.5 s eS 21 h 50 m 02.0 s i 21 h 50 m 06.0 s Verspürt in der Gegend von Innsbruck B. I. 0 = 21 h 48 m 36.0 s, 47.3° N 11.5° E
53	„ 16.	Z	840?	0.5	6.0	ePn? 02 h 44 m 45.8 s eS? 02 h 46 m 21.3 s
		B	—	—	3.0	e 02 h 45 m 47.4 s eS? 02 h 46 m 48.0 s
54	„ 16.	Z	110?	1.0	1.0	eP? 12 h 18 m 07.3 s eS 12 h 18 m 21.0 s Nachstoß zu Nr. 48, SW-Alb IV
55	„ 22.	Z	—	1.0	2.0	ePn? 17 h 36 m 03.6 s eP 17 h 36 m 06.7 s e 17 h 36 m 53.6 s
		B	—	—	2.0	eP? 17 h 36 m 25.0 s e 17 h 37 m 04.0 s Analyse unsicher! B. I. 0 = 17 h 35 m 34.0 s, 45.6° N 10.5° E; in der Umgebung von Salò gespürt
56	„ 25.	B	—	—	4.0	e 11 h 03 m 51.8 s
		Z	—	0.3	5.0	e 11 h 03 m 53.0 s Nur schwache Spuren! B. I. 0 = 11 h 00 m 24.0 s Zentralspanien!
57	„ 30.	Z	—	0.5	2.0	e 11 h 51 m 14.5 s eS? 11 h 52 m 02.4 s
		B	—	—	4.0	e 11 h 51 m 25.7 s B. I. 0 = 11 h 47 m 25.0 s; 43.3° N 1.6° W; in Frankreich gespürt in Ustaritz V—VI, Ascain IV; in Spanien Irun, San Sebastian
—	Aug. 4.	B	—	—	1.0	e 14 h 35 m 46.5 s e 14 h 35 m 50.0 s Sprengung von 350 kg Sprengstoff in Hofstetten (Kt. Solothurn)
58	„ 5.	B	230	0.3	1.0	eP? 18 h 01 m 44.5 s eS 18 h 02 m 11.0 s
		Z	240	—	1.0	eP 18 h 01 m 47.2 s eS 18 h 02 m 15.4 s Vermutlich Haute Savoie?
59	„ 6.	Z	35	2.0	0.3	iP 12 h 43 m 27.0 s iS 12 h 43 m 31.2 s Keine makroseismischen Meldungen!
60	„ 10.	B	165	—	1.0	eP 21 h 22 m 55.7 s eS 21 h 23 m 15.0 s
		Z	177	0.5	2.0	eP 21 h 22 m 58.6 s eS 21 h 23 m 19.6 s Nach B. I. 0 = 21 h 22 m 27.0 s, 48.9° N 8.0° E, in der Gegend von Weißenburg beobachtet V
61	„ 11.	Z	185	0.3	0.2	eP 14 h 33 m 41.9 s eS 14 h 34 m 04.1 s Nachstoß zu Nr. 60
62	„ 22.	Ch	255?	—	2.0	ePn? 02 h 26 m 07.7 s iP? 02 h 26 m 14.6 s eSn 02 h 26 m 36.9 s iS 02 h 26 m 46.4 s
		Z	245?	4.0	2.0	ePn? 02 h 26 m 12.1 s e 02 h 26 m 19.3 s eSn 02 h 26 m 40.3 s
		N	255?	—	2.0	ePn? 02 h 26 m 15.9 s eSn 02 h 26 m 45.0 s
		B	300?	—	2.0	ePn? 02 h 26 m 23.3 s e 02 h 26 m 32.0 s eSn 02 h 26 m 57.0 s Nach Rom 0 = 02 h 25 m 33.0 s, 45° N 8.5° E Im Gebiet von Asti einige leichte Schäden
63	„ 23.	Z	360?	0.3	2.0	ePn? 15 h 56 m 10.3 s eSn? 15 h 57 m 04.0 s Schwache Spuren!
64	„ 26.	N	86	—	1.0	eP 01 h 53 m 34.0 s e 01 h 53 m 37.0 s eS 01 h 53 m 48.0 s
		B	136	—	1.0	eP 01 h 53 m 44.5 s e 01 h 53 m 46.0 s eS 01 h 54 m 03.0 s
		Z	144	2.5	2.0	eP 01 h 53 m 45.7 s e 01 h 53 m 47.0 s i 01 h 53 m 52.0 s eS 01 h 54 m 05.2 s
		Ch	167	—	2.0	eP 01 h 53 m 53.0 s eS 01 h 54 m 16.6 s Mittelwallis (vgl. Tab. I Nr. 11)
65	„ 30.	B	80	—	1.0	eP 06 h 24 m 54.3 s eS 06 h 25 m 04.0 s
		Z	115	1.0	0.2	eP 06 h 25 m 02.3 s eS 06 h 25 m 15.7 s Vermutlich NW von Freiburg (Schweiz)? Keine makroseismischen Meldungen!
66	„ 30.	B	—	—	0.5	e 07 h 47 m 54.2 s
		Z	110	1.0	1.0	eP 07 h 48 m 03.8 s Compr. eS 07 h 48 m 17.0 s
		Ch	—	—	1.0	e 07 h 54 m 17.6 s Rheintal westlich Freiburg; nach B. I. 0 = 07 h 47 m 46.0 s, 48.0° N 7.6° E

Tabelle II (Fortsetzung)

Nr.	Datum	Station	Epizentral-entfernung nach S–P	Max. Amplitude	Ungefähre Dauer der Registr.	Phasen, Bemerkungen
	1952		km	η	Min.	
67	Aug. 30.	Z	—	0.5	0.2	$e\bar{S}$ 12 h 12 m 48.6 s Schwach, keine makroseismischen Meldungen!
68	Sept. 5.	Z	165	0.3	0.2	$e\bar{P}$ 00 h 23 m 42.4 s $e\bar{S}$ 00 h 23 m 02.0 s
		B	—	—	0.2	e 00 h 23 m 58.8 s Keine makroseismischen Meldungen!
69	„ 5.	N	95	—	1.0	$i\bar{P}$ 08 h 50 m 33.9 s $i\bar{S}$ 08 h 50 m 45.0 s
		B	155?	—	1.0	$e\bar{P}$ 08 h 50 m 40.2 s $e\bar{S}$ 08 h 50 m 59.0 s
		Z	145	4.0	1.5	$e\bar{P}$ 08 h 50 m 42.8 s i_z 08 h 50 m 43.7 s $e\bar{S}$ 08 h 50 m 59.8 s i 08 h 51 m 02.1 s
		Ch	195	—	2.0	$e\bar{P}$ 08 h 50 m 47.5 s $e\bar{S}$ 08 h 51 m 10.6 s
						Mittelwallis (vgl. Tab. I Nr. 12)
70	„ 10.	Ch	—	—	1.0	eP 04 h 19 m 09.9 s Compr. i_z 04 h 19 m 17.0 s
		Z	—	0.4	4.0	eP? 04 h 19 m 22.6 s Min'-Lücke
		B	—	—	3.0	eP 04 h 19 m 30.4 s Schwache Registrierung!
						0 = 04 h 17 m 01.0 s, 39.2° N 15.0° E
71	„ 11.	Ch	130	—	1.0	$e\bar{P}$ 07 h 21 m 21.8 s Dilat. e 07 h 21 m 24.8 s Dilat. $e\bar{S}$ 07 h 21 m 36.8 s
		Z	220	3.0	2.0	eP* 07 h 21 m 35.9 s $c\bar{P}$ 07 h 21 m 38.2 s $e\bar{S}$ 07 h 22 m 04.3 s
		B	300	—	3.0	$e\bar{P}$ 07 h 21 m 48.7 s $e\bar{S}$ 07 h 22 m 24.0 s
						V. Judicaria; nach Trieste 0 = 07 h 20 m 57.0 s, 45° 52′ N 10° 25′ E
72	„ 17.	Ch	190	—	1.0	$e\bar{P}$ 00 h 55 m 24.4 s $e\bar{S}$ 00 h 55 m 46.9 s i 00 h 55 m 48.9 s
		Z	240	1.0	1.0	$e\bar{P}$ 00 h 55 m 35.2 s $e\bar{S}$ 00 h 56 m 03.5 s
		B	320	—	1.0	$e\bar{P}$ 00 h 55 m 47.5 s $e\bar{S}$ 00 h 56 m 25.0 s
						B. I. 0 = 00 h 54 m 52.0 s; 47.4° N 11.8° E; nach Wien im Zillertal V
73	„ 17.	Z	—	0.3	0.5	$i\bar{S}$ 04 h 46 m 49.5 s Nachstoß zu Nr. 72
74	„ 28.	Z	—	0.5	1.0	e 04 h 36 m 29.3 s $e\bar{S}$ 04 h 36 m 53.0 s
		B	—	—	1.0	e 04 h 36 m 48.2 s $e\bar{S}$ 04 h 37 m 15.0 s
						Schwache Registrierung. Nachstoß zu Nr. 72
75	„ 29.	B	170	—	4.0	$e\bar{P}$ 16 h 45 m 36.1 s $e\bar{S}$ 16 h 45m 56.0 s
		Z	—	10.0	5.0	iP 16 h 45 m 39.1 s Dilat. e 16 h 45 m 41.8 s, $\bar{S}$ in der Min'-Lücke
		N	230	—	3.0	$i\bar{P}$ 16 h 45 m 48.4 s $i\bar{S}$ 16 h 46 m 14.8 s Az. 20°
		Ch	290?	—	3.0	$e\bar{P}$ 16 h 45 m 52.0 s Min'-Lücke $e\bar{S}$? 16 h 46 m 26.5 s
						B. I. 0 = 16 h 45 m 10.0 s, 49° N 8.0° E, im Gebiet von Weißenbourg VII
76	„ 29.	Z	—	0.5	0.5	$e\bar{S}$ 23 h 42 m 38.1 s schwach Nachstoß zu Nr. 75
77	Okt. 2.	Z	—	1.0	0.5	e_z 14 h 51 m 32.1 s $i\bar{S}$ 14 h 51 m 36.9 s e 14 h 51 m 39.9 s
		B	—	—	1.0	e 14 h 51 m 55.2 s
						Unteres Reußtal, Kt. Uri (vgl. Tab. I Nr. 13)
78	„ 6.	B	160	—	1.0	$e\bar{P}$? 22 h 28 m 07.0 s $c\bar{S}$ 22 h 28 m 26.0 s
		Z	178	2.5	2.0	$c\bar{P}$ 22 h 28 m 09.9 s $e\bar{S}$ 22 h 28 m 30.7 s
		N	230	—	2.0	$i\bar{P}$ 22 h 28 m 18.9 s $i\bar{S}$ 22 h 28 m 45.9 s
		Ch	270	—	2.0	$e\bar{P}$ 22 h 28 m 21.5 s e 22 h 28 m 25.7 s $e\bar{S}$ 22 h 28 m 53.8 s
						Nachstoß zu Nr. 75; 0 = 22 h 27 m 40.0 s
79	„ 6.	B	160	—	2.0	$e\bar{P}$ 22 h 57 m 36.0 s $e\bar{S}$ 22 h 57 m 55.0 s
		Z	178	0.5	1.0	$e\bar{P}$ 22 h 57 m 38.8 s $i\bar{S}$ 22 h 57 m 59.6 s
		N	—	—	1.0	e 22 h 58 m 14.6 s
						Nachstoß zu Nr. 75; 0 = 22 h 57 m 08.0 s
80	„ 6.	B	160	—	1.0	$e\bar{P}$ 23 h 25 m 35.8 s $e\bar{S}$ 23 h 25 m 55.0 s
		Z	178	0.3	0.5	$e\bar{P}$ 23 h 25 m 38.7 s $e\bar{S}$ 23 h 25 m 59.4 s
		N	—	—	1.0	c 23 h 26 m 14.5 s
						Nachstoß zu Nr. 75
81	„ 7.	B	—	—	1.0	$e\bar{P}$? 00 h 08 m 44.0 s $e\bar{S}$ 00 h 09 m 07.0 s
		Z	178	0.3	1.0	$e\bar{P}$ 00 h 08 m 48.7 s $e\bar{S}$ 00 h 09 m 09.3 s
		N	—	—	1.0	e 00 h 09 m 24.4 s
						Nachstoß zu Nr. 75
82	„ 7.	B	160	—	1.0	$e\bar{P}$ 06 h 07 m 35.2 s $e\bar{S}$ 06 h 07 m 54.0 s
		Z	178	0.3	0.5	$e\bar{P}$ 06 h 07 m 38.4 s $e\bar{S}$ 06 h 07 m 59.3 s
		N	—	—	0.5	e 06 h 08 m 14.1 s
						Nachstoß zu Nr. 75
83	„ 7.	Z	—	0.3	1.0	$c\bar{P}$? 06 h 18 m 53.9 s Min'-Lücke $e\bar{S}$? 06 h 19 m 12.6 s
		B	—	—	0.5	c 06 h 19 m 07.0 s
		N	—	—	1.0	e 06 h 19 m 17.1 s
						Nachstoß zu Nr. 75

Tabelle II (Fortsetzung)

Nr.	Datum	Station	Epizentralentfernung nach S–P	Max. Amplitude	Ungefähre Dauer der Registr.	Phasen, Bemerkungen
	1952		km	μ	Min.	
84	Okt. 7.	Z	—	0.1	1.0	cS 07 h 16 m 56.8 s Schwache Registrierung! Nachstoß zu Nr. 75
85	" 8.	N	86	—	1.0	eP 03 h 23 m 21.2 s e 03 h 23 m 24.0 s eS 03 h 23 m 32.0 s
		Z	—	0.6	0.5	eP 03 h 23 m 29.6 s i 03 h 23 m 31.0 s eS? zirka 03 h 23 m 48.7 s Min'-Lücke
		B	145?	—	0.5	eP? 03 h 23 m 29.9 s eS 03 h 23 m 47.0 s Nach Seismogrammhabitus Mittelwallis; keine makroseismischen Meldungen!
86	" 8.	B	163	—	5.0	iP 05 h 17 m 41.7 s iS 05 h 18 m 01.0 s
		Z	178	12.0	5.0	iP 05 h 17 m 44.2 s Compr. i 05 h 17 m 44.7 s iS 05 h 18 m 05.3 s
		Ch	280	—	3.0	eP 05 h 17 m 52.8 s Dilat. e 05 h 17 m 55.6 s Compr. eP 05 h 17 m 58.8 s
		N	230	—	4.0	eP? 05 h 17 m 53.2 s Min'-Lücke eS 05 h 18 m 20.0 s [eS 05 h 18 m 32.0 s B. I. 0 = 05 h 17 m 15.0 s, 48.9° N 8° E Nachstoß zu Nr. 75; in der Schweiz vereinzelt verspürt (vgl. Tab. I Nr. 14)
87	" 8.	B	160	—	2.0	eP 08 h 40 m 24.9 s eS 08 h 40 m 44.0 s
		Z	—	2.0	2.0	eP 08 h 40 m 28.4 s i 08 h 40 m 29.5 s eS? 08 h 40 m 50.0 s Min'-Lücke
		N	215?	—	2.0	eP 08 h 40 m 37.0 s eS 08 h 41 m 12.0 s Az. 20°
		Ch	280	—	2.0	eP 08 h 40 m 39.4 s e 08 h 40 m 42.4 s eS 08 h 41 m 12.3 s Nachstoß zu Nr. 75; 0 = 08 h 39 m 59.0 s
88	" 8.	B	175	—	1.0	eP 14 h 25 m 35.2 s eS 14 h 25 m 56.0 s
		Z	173?	0.6	1.0	eP? 14 h 25 m 39.5 s Min'-Lücke iS 14 h 25 m 59.8 s
		N	—	—	1.0	e 14 h 26 m 15.1 s Nachstoß zu Nr. 75
89	" 8.	Z	—	0.4	1.0	eP 19 h 01 m 29.6 s eS? 19 h 01 m 48.4 s Min'-Lücke Nachstoß zu Nr. 75
90	" 8.	B	163	—	2.0	eP 21 h 20 m 57.9 s eS 21 h 21 m 17.0 s
		Z	178	0.2	2.0	eP 21 h 21 m 00.0 s Dilat. eS 21 h 21 m 20.8 s
		N	230	—	2.0	iP 21 h 21 m 09.0 s iS 21 h 21 m 36.0 s Nachstoß zu Nr. 75, 0 = 21 h 20 m 30.0 s
91	" 10.	B	—	—	1.0	eP 09 h 19 m 51.1 s eS? 09 h 20 m 15.0 s
		Z	—	0.3	1.0	eP? 09 h 19 m 54.3 s eS? 09 h 20 m 14.6 s
		N	—	—	1.0	eS 09 h 20 m 29.4 s Nachstoß zu Nr. 75
92	" 10.	Ch	—	—	0.5	eP? 13 h 10 m 23.9 s e 13 h 10 m 26.0 s eS 13 h 10 m 30.2 s Keine makroseismischen Meldungen!
93	" 18.	Z	—	0.5	4.0	eP 18 h 06 m 54.9 s eL 18 h 09 m 22.0 s B. I. 0 = 18 h 05 m 05.0 s, 43.2° N 17.7° E, nach Beograd in Ljubuski V
94	" 25.	Ch	20	—	0.2	eP 13 h 32 m 42.1 s iS 13 h 32 m 44.4 s
		Z	—	0.2	0.2	e 13 h 32 m 55.0 s e 13 h 32 m 59.7 s eS 13 h 33 m 14.9 s Gebiet von Davos (vgl. Tab. I Nr. 15)
95	" 27.	Z	—	0.2	2.0	eS? 06 h 12 m 28.5 s Schwache Spuren!
96	Nov. 2.	Z	—	2.0	0.2	iP$_Z$ 17 h 23 m 23.2 s Compr. iS 17 h 23 m 23.9 s Keine makroseismischen Meldungen; eventuell auch künstliches Beben?
97	" 12.	Z	540?	0.5	2.0	ePn 09 h 34 m 46.7 s eSn? 09 h 35 m 43.7 s
		B	—	—	1.0	e 09 h 35 m 39.6 s e 09 h 36 m 09.1 s Kroatien; nach B. I. 0 = 09 h 33 m 15.0 s, 45.8° N 15° E
98	" 14.	Ch	170?	—	1.0	eP? 02 h 39 m 12.0 s Compr. eS 02 h 39 m 31.7 s
		Z	—	1.0	1.0	e 02 h 39 m 26.3 s eS 02 h 39 m 41.2 s
		B	—	—	1.0	e 02 h 39 m 31.9 s eS 02 h 40 m 04.9 s Nach Rom: 0 = 02 h 38 m 45.0 s, 45° 06′ N 8° 27′ E
—	" 20.	Ch	—	—	—	iP 11 h 10 m 18.3 s
		Z	—	—	—	eP 11 h 10 m 35.3 s Sprengung von 6500 kg Altorfit bei Marmorera, Kt. Graubünden Nach Prof. Kreis, Chur, Koordinaten der Sprengstelle: x = 768 050, y = 152 700; 0 = 12 h 10 m 11.8 s
99	" 25.	Z	105	0.5	0.5	eP 03 h 02 m 39.6 s eS 03 h 02 m 52.0 s e 03 h 02 m 56.6 s Schwäbische Alb, nach Stuttgart Schmiechatal IV
100	" 28.	Ch	270	—	4.0	ePn 07 h 21 m 47.6 s eP? 07 h 21 m 52.0 s iSn 07 h 22 m 17.9 s
		Z	355	8.5	5.0	ePn 07 h 21 m 58.4 s eP? 07 h 22 m 06.8 s eSn 07 h 22 m 37.4 s eS 07 h 22 m 52.0 s
		N	380	—	5.0	iPn 07 h 22 m 05.2 s iSn 07 h 22 m 47.0 s
		B	—	—	5.0	e 07 h 22 m 23.3 s Rom 0 = 07 h 21 m 04.2 s, 44.5° N 11° E, Provinz Modena IV—V

Tabelle II (Schluß)

Nr.	Datum	Station	Epizentralentfernung nach S-P	Max. Amplitude	Ungefähre Dauer der Registr.	Phasen, Bemerkungen
	1952		km	μ	Min.	
101	Dez. 1.	Ch	—	—	2.0	ePn? 02 h 00 m 58.6 s
		Z	—	0.2	2.0	ePn? 02 h 01 m 17.7 s
		B	—	—	2.0	ePn? 02 h 01 m 24.4 s In der Romagna verspürt, B. I. 0 = 02 h 00.4 m
102	„ 2.	Ch	390?	—	3.0	eP 06 h 14 m 15.1 s eS? 06 h 14 m 58.0 s Min'-Lücke
		B	—	—	5.0	eP 06 h 14 m 23.4 s eS? 06 h 15 m 23.0 s
		Z	...	—	—	Keine Zeitmarken! Rom: 0 = 06 h 13 m 20.0 s, 43° 56′ N, 11° 58′ E; Soffa VI, Longiano—Cesena V
103	„ 4.	B	—	—	1.0	$e\overline{P}$? 09 h 42 m 39.5 s $e\overline{S}$ 09 h 42 m 43.0 s
		Z	—	—	—	Keine Registrierung! Keine makroseismischen Meldungen!
104	„ 4.	Ch	410?	—	2.0	ePn 19 h 59 m 23.4 s $e\overline{S}$ 20 h 00 m 26.0 s
		Z	—	0.3	2.0	e 19 h 59 m 31.8 s
		B	—	—	2.0	e 20 h 00 m 13.0 s e 20 h 01 m 34.0 s
105	„ 15.	Z	270?	1.0	2.0	ePn 07 h 57 m 31.8 s eSn? 07 h 58 m 02.7 s
		B	360?	—	2.0	ePn 07 h 57 m 32.8 s eSn? 07 h 58 m 33.0 s e 07 h 58 m 30.0 s Analyse sehr fraglich!
106	„ 15.	B	40	—	0.5	$e\overline{P}$ 11 h 29 m 41.0 s $e\overline{S}$ 11 h 29 m 46.0 s
		Z	—	—	—	Keine Registrierung! Keine makroseismischen Meldungen!
107	„ 23.	B	60	—	0.5	$e\overline{P}$ 09 h 50 m 45.2 s $e\overline{S}$ 09 h 50 m 52.0 s

Tabelle III. In der Schweiz 1952 registrierte Fernbeben

Mittlere Zeit Greenwich.

Nr.	Datum	Station	Epizentralentfernung nach S-P	Ungefähre Dauer der Registr.	Phasen, Bemerkungen (Wo nichts weiteres bemerkt ist, beziehen sich die Ablesungen auf die Apparate Quervain-Piccard.)
	1952		km	Std.	
1	Januar 3.	Ch	2770	0.3	eP 06 h 09 m 05.9 s eS 06 h 13 m 24.7 s
		Z	2900	0.3	eP 06 h 09 m 11.3 s i 06 h 09 m 33.4 s eS 06 h 13 m 39.7 s
		B	3050	0.5	eP 06 h 09 m 20.1 s Compr. e 06 h 10 m 09.0 s e 06 h 12 m 57.0 s
		N	—	0.2	iP 06 h 09 m 22.2 s [eS? 06 h 13 m 58.0 s B. I. 0 = 06 h 03 m 52.0 s, 39° 59′ N, 41° 40′ E. Schwere Bauschäden und viele Todesopfer, besonders in Hasankale
2	„ 4.	Ch	—	0.1	ePKP 06 h 07 m 21.5 s Dilat. e 06 h 07 m 27.8 s Dilat.
		Z	—	0.2	ePKP 06 h 07 m 22.1 s Compr. e_z 06 h 07 m 27.1 s
		B	—	0.1	ePKP 06 h 07 m 29.2 s B. I. 0 = 05 h 47 m 32.0 s, 21.8° S 169.2° E
3	„ 12.	Z	8900?	0.3	eP 20 h 23 m 49.4 s e 20 h 24 m 36.2 s eS? 20 h 33 m 58.0 s Min'-Lücke
		B	—	0.5	eP 20 h 23 m 50.4 s e 20 h 25 m 45.0 s e 20 h 32 m 25.0 s B. I. 0 = 20 h 11 m 38.0 s, 53.8° N 167.2° W, Fuchs-Inseln
4	„ 13.	Ch	9900	1.0	eP 04 h 16 m 43.6 s ePP 04 h 20 m 16.4 eSKS? 04 h 27 m 13.4 s [eS 04 h 27 m 34.4 s
		B	9600–10300	1.0	eP 04 h 16 m 44.2 s ePP 04 h 20 m 26.0 s eSKS? 04 h 26 m 49.0 s
		Z	9880–10100	1.0	eP 04 h 16 m 44.4 s ePP 04 h 20 m 20.5 s eSKS 04 h 27 m 09.7 s
		N	—	0.5	eP? 04 h 16 m 50.5 s [eS 04 h 27 m 38.8 s U. S. C. G. S. 0 = 04 h 03 m 37.0 s, 22° N 124.5° E, östlich Formosa
5	„ 14.	Z	—	0.1	e_z 19 h 52 m 16.9 s Spuren!
6	„ 15.	Ch	—	0.1	eP 02 h 42 m 38.0 s Dilat. e 02 h 43 m 10.1 s
		Z	—	0.1	e_z 02 h 42 m 40.6 s
		B	—	0.1	e_z 02 h 42 m 45.4 s e_z 02 h 43 m 22.0 s B. I. 0 = 02 h 31 m 26.0 s, 24.5° N 95.1° E

Tabelle III (Fortsetzung).

Nr.	Datum	Station	Epizentral-entfernung nach S–P	Ungefähre Dauer der Registr.	Phasen, Bemerkungen
	1952		km	Std.	
7	Januar 20.	Z	—	0.2	eP 14 h 52 m 03.7 s Compr. e 14 h 53 m 22.5 s Nur Vorläufer!
		B	—	0.5	eP 14 h 52 m 11.0 s Compr. B. I. 0 = 14 h 42 m 38.0 s, 17° N 63.5° E
8	„ 21.	B	9300?	0.2	eP 03 h 55 m 09.2 s Compr. eS 04 h 05 m 29.0 s
		Z	8900	0.3	eP 03 h 55 m 09.8 s Compr. eS 04 h 05 m 18.7 s ePS 04 h 05 m 46.6 s 0 = 03 h 43 m 04.0 s; h = 60 km; Nachstoß zu Nr. 3
9	„ 23.	Z	—	0.1	eP 03 h 39 m 35.2 s Compr.; nur Vorläufer!
		B	—	0.1	eP 03 h 39 m 38.6 s Compr. B. I. 0 = 03 h 29 m 27.0 s, 41.25° N 95.5° E; Wüste Gobi
10	„ 24.	B	—	0.1	eP 09 h 26 m 19.0 s e 09 h 26 m 22.0 s
		Z	—	0.1	eP 09 h 26 m 19.3 s 0 = 09 h 14 m 08.0 s, Nachstoß zu Nr. 3
11	„ 25.	Z	—	0.1	e_Z 23 h 19 m 29.1 s
12	„ 31.	B	—	0.1	eP 20 h 29 m 23.9 s
		Z	—	0.2	eP 20 h 29 m 25.0 s e 20 h 33 m 03.4 s Nur Vorläufer registriert! 0 = 20 h 16 m 47.0 s, 15° 25′ N, 93° 48′ W (nach Tacubaya)
13	„ 31.	Ch	6050	0.3	eP 21 h 04 m 37.2 s eS 21 h 12 m 12.8 s
		Z	6050	0.2	eP 21 h 04 m 42.1 s ePP 21 h 06 m 41.1 s eS? 21 h 12 m 17.1 s
		B	6150	0.3	eP 21 h 04 m 46.1 s eS? 21 h 12 m 27.0 s U. S. C. G. S. 0 = 20 h 55 m 12.0 s, 4° S 30.5° E
14	Febr. 2.	B	—	0.7	eP 10 h 32 m 13.2 s Compr. e 10 h 42 m 52.0 s
		Z	9020	0.3	eP 10 h 32 m 13.7 s Compr. e 10 h 33 m 03.9 s epP 10 h 32 m 25.9 s [eS 10 h 42 m 19.8 s U. S. C. G. S. 0 = 10 h 20 m 06.0 s, 51.5° N 179° W, h = 100 km
15	„ 3.	B	—	0.1	eP 01 h 26 m 23.9 s e 01 h 26 m 35.0 s
		Z	—	0.1	eP 01 h 26 m 30.5 s Nur erste Vorläufer registriert; B. I. 0 = 01 h 16 m 10.0 s, 35.5° 94° E
16	„ 6.	Z	—	0.2	eP 05 h 37 m 21.1 s Compr.
		B	—	0.2	eP 05 h 37 m 25.4 s Compr. Nachstoß zu Nr. 9, 0 = 05 h 27 m 13.0 s
17	„ 10.	B	—	0.1	eP 06 h 15 m 33.5 s eL 06 h 26 m 56.0 s
		Z	—	0.1	eP 06 h 15 m 35.1 s Nach B. I. 0 = 06 h 10 m 03.0 s, 73° N 00° E, Jan-Mayen
18	„ 11.	Z	11300	0.4	eP 07 h 13 m 51.5 s Dilat. epP 07 h 16 m 42.2 s ePP 07 h 18 m 08.2 s Compr. [eSKS 07 h 23 m 21.6 s
		Ch	—	0.3	epP 07 h 16 m 47.0 s ePP 07 h 17 m 59.0 s eSKS 07 h 23 m 19.3 s
		B	—	0.2	epP 07 h 16 m 58.0 s ePP 07 h 18 m 03.0 s Compr.
		N	—	0.2	e 07 h 17 m 47.3 s B. I. 0 = 07 h 01 m 05.0 s, 5.5° S 109.8° E, h = 700 km
19	„ 14.	Ch	12700	1.5	ePKP 03 h 56 m 56.6 s ePP 03 h 57 m 51.7 s
		Z	12600	2.0	ePKP 03 h 56 m 58.0 s ePP 03 h 57 m 50.7 s e 04 h 06 m 18.0 s
		B	12800	2.0	ePKP 03 h 57 m 03.7 s ePP 03 h 58 m 03.0 s
		N	—	1.0	e 03 h 57 m 48.6 s e 04 h 07 m 45.0 s B. I. 0 = 03 h 38 m 15.0 s, 7.7° S 126.5° E
20	„ 14.	Z	—	0.1	eP 21 h 14 m 51.0 s Nur erste Vorläufer registriert! U. S. C. G. S. 0 = 21 h 01 m 37.0 s, 7.5° N 76.5° W; von Bogata bis Cartagena verspürt; Schäden in Antioquia und Medellin!
21	„ 25.	Z	—	0.1	ePKP 02 h 15 m 20.6 s Compr. e 02 h 15 m 25.8 s
		B	—	0.1	ePKP 02 h 15 m 21.5 s Nachbeben zu Nr. 19, 0 = 01 h 55 m 33.0 s
22	„ 26.	N	10600	0.8	eP 11 h 43 m 44.5 s ePP 11 h 47 m 29.0 s
		B	10600	0.5	eP 11 h 43 m 47.7 s eSKS 11 h 53 m 58.0 s eS? 11 h 54 m 28.0 s
		Z	10580	0.8	eP 11 h 43 m 49.9 s Compr. epP 11 h 44 m 51.6 s ePP 11 h 47 m 34.4 s [ePPP 11 h 48 m 27.7 s eSKS 11 h 53 m 58.0 s
		Ch	10500	0.5	eP 11 h 43 m 53.3 s eSKS 11 h 53 m 53.0 s B. I. 0 = 11 h 31 m 04.0 s, 14.1° S 69.9° E, h = 250 km, in La Paz und ganz NW-Bolivien verspürt!
23	„ 26.	Z	—	0.1	eP 15 h 51 m 50.9 s
		N	—	0.1	e 16 h 20 m 24.8 s Schwache Registrierung! U. S. C. G. S. 0 = 15 h 39 m 23.0 s, 11.5° N 86.5° W, h = 100 km

Tabelle III (Fortsetzung)

Nr.	Datum	Station	Epizentral-entfernung nach S–P	Ungefähre Dauer der Registr.	Phasen, Bemerkungen
	1952		km	Min.	
24	Febr. 28.	Z	—	0.1	c_z 00 h 46 m 05.2 s
		B	—	0.1	c_z 00 h 46 m 11.6 s Nur Spuren! B. I. 0 = 00 h 33 m 46.0 s, 15° S 69° E
25	März 1.	Z	—	0.1	eP_z 15 h 43 m 21.4 s Compr.
		B	—	0.1	eP_z 15 h 43 m 24.9 s Compr. E-Küste von Hokkaido, 0 = 15 h 30 m 59.0 s
26	„ 4.	Z	9350	3.0	eP_z 01 h 35 m 03.1 s Dilat. e_z 01 h 35 m 17.1 s c_z 01 h 35 m 22.1 s Dilat. [ePP 01 h 38 m 17.2 s eS 01 h 45 m 32.5 s
		B	—	3.0	eP_z 01 h 35 m 07.2 s Compr. i 01 h 35 m 27.0 s Compr. e 01 h 45 m 07.0 s
		N	9220	3.0	eP 01 h 35 m 10.6 s eS 01 h 45 m 31.0 s Az. 45° Nach den japanischen Stationen 0 = 01 h 22 m 40.0 s, 42° N 144° E, Weltbeben, Zerstörungen in den Distrikten: Kushiro, Kirihappu, seismische Wogen an den Küsten!
27	„ 4.	Z	—	0.1	eP 04 h 05 m 59.7 s
		B	—	0.1	eP 04 h 06 m 00.5 s Nachstoß zu Nr. 26, 0 = 03 h 53 m 36.0 s
28	„ 4.	Z	9350	0.2	eP 16 h 43 m 19.5 s eS 16 h 53 m 50.1 s
		Ch	—	0.2	eP 16 h 43 m 23.5 s Dilat. e 16 h 52 m 24.4 s Nachstoß zu Nr. 26, 0 = 16 h 30 m 53.0 s
29	„ 4.	Z	15600	0.1	ePKP 19 h 49 m 41.0 s e 19 h 49 m 52.5 s ePP 19 h 52 m 39.0 s
		Ch	—	0.1	ePKP 19 h 49 m 45.7 s
		B	15500	0.1	ePKP 19 h 49 m 46.8 s ePP 19 h 52 m 32.0 s U. S. C. G. S. 0 = 19 h 30 m 28.0 s, 10° S 161.5° E
30	„ 4.	Z	9250	1.0	eP 20 h 08 m 37.2 s ePP 20 h 12 m 05.0 s eS 20 h 19 m 00.0 s
		Ch	9200	1.0	eP 20 h 08 m 39.2 s eS 20 h 19 m 00.0 s eL 20 h 39 m 15.0 s
		B	9000	1.0	eP 20 h 08 m 41.8 s eS 20 h 18 m 52.0 s
		N	—	1.0	eP? 20 h 08 m 47.0 s Min'-Lücke Nachstoß zu Nr. 26, 0 = 19 h 56 m 10.0 s
31	„ 4.	Z	—	0.1	eP_z 21 h 01 m 52.2 s
		B	—	0.1	eP_z 21 h 01 m 54.6 s Dilat. Nachstoß zu Nr. 26, 0 = 20 h 49 m 16.0 s
32	„ 5.	Ch	—	0.7	eP 04 h 01 m 32.7 s eL 04 h 33 m 35.0 s
		Z	—	0.6	eP 04 h 01 m 32.8 s schwach!
		B	—	0.5	eP 04 h 01 m 34.9 s e 04 h 04 m 59.0 s
		N	—	0.5	eL 04 h 34 m 47.6 s Nachstoß zu Nr. 26, 0 = 03 h 49 m 03.0 s
33	„ 5.	Z	—	0.1	e_z 07 h 28 m 59.3 s
		B	—	0.1	c_z 07 h 29 m 16.7 s e 07 h 29 m 58.0 s
34	„ 5.	Z	—	0.5	eP 09 h 29 m 27.4 s schwach!
		B	—	0.2	eP 09 h 29 m 36.9 s Nachstoß zu Nr. 26, 0 = 09 h 17 m 03.0 s
35	„ 5.	Z	9340	0.9	eP 16 h 06 m 41.8 s ePP 16 h 09 m 58.3 s
		Ch	—	0.8	eP 16 h 06 m 43.5 s eL 16 h 38 m 20.0 s
		B	—	0.5	eP 16 h 06 m 44.2 s e 16 h 14 m 51.0 s Nachstoß zu Nr. 26, 0 = 15 h 54 m 13.0 s
36	„ 7.	Z	9440	1.0	eP 07 h 45 m 09.3 s ePP 07 h 48 m 16.2 s eS 07 h 55 m 39.7 s ePS 07 h 56 m 21.0 s
		Ch	—	1.0	eP 07 h 45 m 11.6 s eL 08 h 18 m 00.0 s
		B	9500	1.0	eP 07 h 45 m 13.3 s Dilat. e 07 h 47 m 46.0 s eS 07 h 55 m 47.0 s Nach B. I. 0 = 07 h 32 m 37.0 s, 36.2° N 136.1° E, auf Hondo verspürt!
37	„ 7.	B	—	0.1	eP 11 h 56 m 56.3 s
		Z	—	0.1	eP 11 h 56 m 59.0 s Nachstoß zu Nr. 26, 0 = 11 h 44 m 32.0 s
38	„ 7.	B	—	0.1	eP 19 h 56 m 20.4 s
		Z	—	0.1	eP 19 h 56 m 21.0 s Schwache Spuren! Nachstoß zu Nr. 26, 0 = 19 h 43 m 50.0 s
39	„ 9.	B	—	0.1	e 04 h 48 m 38.8 s
		Z	—	0.1	e 04 h 48 m 41.7 s i 04 h 48 m 44.7 s B. I. 0 = 04 h 45 m 25.0 s, 38° N 20.8° E, auf Cefalonia gespürt!

Tabelle III (Fortsetzung)

Nr.	Datum	Station	Epizentral-entfernung nach S-P	Ungefähre Dauer der Registr.	Phasen, Bemerkungen
	1952		km	Std.	
40	März 9.	B	—	0.1	eP 05 h 49 m 57.7 s eL 05 h 58 m 56.0 s
		Z	—	0.1	eP 05 h 50 m 01.7 s Schwache Spuren!
					U. S. C. G. S. 0 = 05 h 44 m 29.0 s, 70.5° N 15° W
41	„ 9.	Z	—	0.1	i_z 16 h 49 m 29.8 s Compr. schwach
		B	—	0.1	e_z 16 h 49 m 33.8 s
					U. S. C. G. S. Südküste von Kamtschatka, 0 = 16 h 37 m 30.0 s
42	„ 9.	Z	9200	1.0	eP 17 h 16 m 08.4 s Compr. ePP 17 h 19 m 02.0 s eS 17 h 26 m 21.8 s Az. 20°
		Ch	9150	1.2	iP 17 h 16 m 09.5 s Compr. eS 17 h 26 m 21.6 s eL 17 h 42 m 50.0 s
		B	9210	1.0	eP 17 h 16 m 10.6 s e 17 h 18 m 34.0 s eS 17 h 26 m 25.0 s
		N	9300	1.0	eP 17 h 16 m 13.4 s eS 17 h 26 m 32.0 s
					Nachstoß zu Nr. 26, 0 = 17 h 03 m 43.0 s
43	„ 9.	B	—	0.1	eP 20 h 11 m 29.1 s
		Z	7700	0.1	eP 20 h 11 m 30.7 s Compr. ePP 20 h 14 m 09.3 s
					Alaska, U. S. C. G. S. 0 = 20 h 00 m 17.0 s, 59.5° N 136° W, in Sitka verspürt!
44	„ 11.	Z	—	0.1	e_z 20 h 49 m 42.7 s
		B	—	0.1	e_z 20 h 49 m 47.0 s
					Nachstoß zu Nr. 26, 0 = 20 h 37 m 20.0 s
45	„ 12.	B	—	0.4	eP 12 h 18 m 21.4 s
					Reykjavik: 0 = 12 h 23 m 11.0 s, 63° 50′ N 22° 05′ W, Reykjavik V
46	„ 13.	Ch	—	0.2	eP 06 h 33 m 30.8 s eL 06 h 37 m 39.0 s
		Z	1800	0.2	eP 06 h 33 m 41.3 s Compr. eS 06 h 36 m 41.0 s
					B. I. 0 = 06 h 30 m 02.0 s, 41° N 27.5° E
47	„ 13.	Z	—	0.3	eP 14 h 09 m 51.1 s epP 14 h 10 m 56.4 s e 14 h 20 m 10.0 s
		B	—	0.5	e 14 h 11 m 01.8 s Dilat. e 14 h 13 m 23.0 s e 14 h 19 m 07.0 s
					U. S. C. G. S. 0 = 13 h 57 m 26.0 s, 28.5° N 127° E, h = 200 km, auf Schikoku und Riu-Kiu verspürt!
48	„ 14.	Z	—	0.1	eP 21 h 07 m 39.2 s
		B	—	0.1	eP 21 h 07 m 42.8 s
					Nachstoß zu Nr. 26, 0 = 20 h 55 m 12.0 s
49	„ 16.	Z	—	0.2	eP 22 h 21 m 45.1 s Min'-Lücke
		B	—	0.1	eP 22 h 21 m 46.8 s Compr.
					Nachstoß zu Nr. 26, 0 = 22 h 09 m 21.0 s
50	„ 18.	Z	16000	0.3	ePKP 11 h 15 m 47.5 s ePP 11 h 18 m 56.1 s
		B	15900	0.5	ePKP 11 h 15 m 55.6 s ePP 11 h 18 m 50.0 s
					Nur Vorläufer registriert! U. S. C. G. S. 0 = 10 h 56 m 27.0 s, 12° S 168° E
51	„ 19.	Ch	1700	0.3	eP 01 h 31 m 07.4 s eS 01 h 34 m 8.6 s
		Z	1920	0.4	eP 01 h 31 m 14.4 s Dilat. i 01 h 31 m 17.0 s Compr. e 01 h 33 m 56.5 s
					[eS 02 h 34 m 24.7 s
		B	2000	0.5	eP 01 h 31 m 25.2 s eS 01 h 34 m 43.0 s eL 01 h 36 m 26.0 s e 01 h 37 m 04.0 s
		N	2040	0.5	iP 01 h 31 m 28.7 s eS 01 h 34 m 50.0 s
					B. I. 0 = 01 h 27 m 24.0 s, 40.0° N 28.8° E
52	„ 19.	B	—	0.2	eP 08 h 16 m 16.7 s eL 08 h 18 m 56.0 s
					B. I. 0 = 08 h 13 m 37.0 s, 37.7° N 15.1° E, Ost-Sizilien verspürt, Zaffarana VIII
53	„ 19.	B	—	0.3	eL 09 h 45 m 20.0 s
					B. I. 0 = 09 h 04 m 14.0 s, 40° N 125° E, in Seoul gespürt!
54	„ 19.	Z	—	—	Außer Betrieb!
		Ch	11000	—	eP 11 h 11 m 03.5 s Min'-Lücke e 11 h 14 m 09.0 s eSKS 11 h 21 m 32.5 s
		N	11-12000	—	eP 11 h 11 m 11.5 s ePP 11 h 15 m 29.0 s eSKS 11 h 21 m 48.0 s
		B	11-12000	—	eP 11 h 11 m 12.8 s ePP 11 h 15 m 26.0 s eSKS 11 h 21 m 50.0 s
					U. S. C. G. S. 0 = 10 h 57 m 09.0 s, 9.5° N 127.0° E
55	„ 22.	Z	—	0.1	e_z 04 h 58 m 56.7 s Schwache Registrierung!
		B	—	0.3	e_z 04 h 59 m 56.6 s B. I. 0 = 04 h 52 m 35.0 s, 27.2° N 34.5° E
56	„ 22.	B	—	0.1	e_z 18 h 28 m 01.3 s
57	„ 22.	B	—	0.1	e_z 19 h 09 m 28.3 s
58	„ 25.	Ch	1720?	0.1	eP 03 h 38 m 59.8 s eS? 03 h 41 m 49.5 s
		Z	1850	0.2	eP? 03 h 39 m 12.4 s eS 03 h 42 m 16.3 s
		B	1970	0.1	eP 03 h 39 m 16.8 s eS 03 h 42 m 32.0 s
					B. I. 0 = 03 h 35 m 11.0 s, 34.3° N 23.4° E, SW von Kreta

Tabelle III (Fortsetzung)

Nr.	Datum	Station	Epizentralentfernung nach S–P	Ungefähre Dauer der Registr.	Phasen, Bemerkungen
	1952		km	Std.	
59	März 25.	Ch	—	0.1	ePKP 04 h 27 m 34.7 s e 04 h 27 m 38.9 s
		Z	—	0.1	ePKP 04 h 27 m 39.6 s Min'-Lücke e 04 h 28 m 45.9 s Schwache Registrierung!
					U. S. C. G. S. 0 = 04 h 08 m 26.0 s, 16.5° S 176° W, h = 250 km
					Gespürt in Apia
60	„ 27.	Z	—	0.1	eP 16 h 19 m 45.8 s
		B	—	0.1	eP 16 h 19 m 51.5 s
61	„ 31.	Ch	—	0.1	eP 06 h 29 m 26.8 s Dilat.
		Z	—	0.1	eP 06 h 29 m 29.8 s Min'-Lücke Nur Vorläufer registriert!
		B	—	0.1	eP 06 h 29 m 40.1 s
					B. I. 0 = 06 h 16 m 57.0 s, 4.7° N 94.9° E
62	April 1.	B	—	0.1	ePKP 14 h 28 m 34.3 s e 14 h 41 m 23.0 s
		Z	—	0.1	ePKP 14 h 28 m 34.5 s Compr. e 14 h 28 m 40.6 s
					Nur Vorläufer, U. S. C. G. S. 0 = 14 h 08 m 47.0 s, 15° S 175.5° W
63	„ 4.	Z	8800	0.3	eP 03 h 04 m 54.4 s Compr. e 03 h 05 m 07.8 s ePP 03 h 08 m 04.0 s
		B	—	0.3	eP 03 h 04 m 54.7 s Compr. [eS 03 h 14 m 43.3 s
		Ch	—	0.5	eP 03 h 04 m 57.6 s Compr.
					Az. 20°, Kamtschatka, U. S. C. G. S. 0 = 02 h 52 m 55.0 s, 52° N 159.5° E
64	„ 4.	Z	—	0.1	eP_z 20 h 18 m 49.5 s
		B	—	0.1	eP_z 20 h 18 m 53.8 s e 20 h 26 m 36.0 s
					Nachstoß zu Nr. 13, 0 = 20 h 09 m 18.0 s
65	„ 5.	Z	—	0.1	ePKP 08 h 52 m 55.9 s schwach
		B	—	0.2	ePKP 08 h 52 m 57.0 s e 08 h 58 m 25.0 s
					U. S. C. G. S. 0 = 08 h 33 m 12.0 s, 15.5° S 177.5° E
66	„ 6.	B	—	0.2	e 04 h 52 m 02.0 s e 04 h 55 m 40.0 s
67	„ 7.	B	—	0.2	e 03 h 19 m 14.2 s e 03 h 25 m 36.0 s
68	„ 10.	Ch	—	0.5	eP 06 h 10 m 09.2 s Compr.
		Z	—	0.3	eP 06 h 10 m 10.8 s Min'-Lücke iP 06 h 10 m 21.2 s Compr.
					U. S. C. G. S. 0 = 05 h 57 m 20.0 s, 25° N 126° E
69	„ 15.	Z	11800?	2.0	eP 00 h 03 m 58.3 s ePP 00 h 07 m 57.7 s eSKS? 00 h 14 m 46.2 s
					Schwache Registrierung! U. S. C. G. S. 0 = 23 h 49 m 45.0 s, 5° N 126.5° E
70	„ 15.	Ch	—	0.2	eP 06 h 12 m 01.0 s Compr.
		Z	9050	0.5	eP 06 h 12 m 10.0 s Compr. e 06 h 12 m 29.7 s eS 06 h 22 m 20.0 s
		B	—	0.5	eP 06 h 12 m 11.2 s ePS? 06 h 22 m 49.0 s [ePS 06 h 22 m 46.3 s
					B. I. 0 = 05 h 59 m 53.0 s, 42.1° N 142.4° E
71	„ 15.	Z	—	0.1	ePKP 09 h 34 m 45.6 s Compr. iPKP 09 h 34 m 52.3 s Dilat.
		Ch	—	0.1	ePKP 09 h 34 m 47.6 s ePKP 09 h 34 m 54.7 s Dilat. Zeit etwas unsicher!
		B	—	0.4	ePKP 09 h 34 m 53.6 s Dilat. e 09 h 35 m 59.0 s e 09 h 37 m 00.0 s
					B. I. 0 = 09 h 15 m 13.0 s, 19° S 178° W, h = 100 km
72	„ 16.	Z	8900?	0.5	eP 03 h 52 m 37.1 s Compr. eS? 04 h 02 m 42.6 s
		B	8700	0.2	eP 03 h 52 m 38.2 s eS 04 h 02 m 35.0 s
		Ch	—	0.1	eP 03 h 52 m 38.9 s Compr.
					Azimut 30°, U. S. C. G. S. 0 = 03 h 40 m 19.0 s, 47° N 154° E, Kurilen
73	„ 18.	Z	—	0.1	e_z 14 h 49 m 10.0 s
74	„ 19.	N	8620	1.0	eP 10 h 10 m 47.3 s eS 10 h 20 m 34.0 s
		B	8250?	1.0	eP 10 h 10 m 50.3 s e 10 h 11 m 36.0 s e 10 h 12 m 39.0 s eS 10 h 20 m 19.0 s
		Z	8700	1.2	eP 10 h 10 m 53.0 s Compr. e 10 h 10 m 59.7 s Compr. ePP 10 h 14 m 00.3 s
		Ch	8740	1.0	eP 10 h 10 m 57.7 s Compr. eS 10 h 20 m 51.7 s [eS 10 h 20 m 45.6 s
					Azimut 270°, U. S. C. G. S. 0 = 09 h 58 m 53.0 s, 7.0° N 71.5° W, h = 60 km
75	„ 20.	Z	—	0.1	e_z 10 h 00 m 11.8 s Schwache Spuren!
					B. I. 0 = 09 h 37.0 m, 70° S 160° W
76	„ 25.	Z	—	0.1	e_z 06 h 14 m 47.0 s Schwache Spuren!
					U. S. C. G. S. 0 = 06 h 02 m 00.0 s, 8° N 83° W
77	„ 28.	Z	9200	0.3	eP 11 h 06 m 36.9 s Compr. e 11 h 06 m 56.5 s eS 11 h 16 m 52.0 s
		B	—	0.8	eP 11 h 06 m 37.1 s Compr. e 11 h 07 m 20.0 s e 11 h 09 m 06.0 s
		Ch	—	0.3	eP 11 h 06 m 38.1 s Compr.
					U. S. C. G. S. 0 = 10 h 54 m 18.0 s, 42.0° N 142.8° E

Tabelle III (Fortsetzung)

Nr.	Datum	Station	Epizentral-entfernung nach S–P	Ungefähre Dauer der Registr.	Phasen, Bemerkungen
	1952		km	Std.	
78	April 29.	Ch	9300	0.2	eP 02 h 47 m 41.0 s Compr. ePP 02 h 51 m 04.8 s
		Z	9350	0.4	eP 02 h 47 m 41.9 s Compr. e 02 h 48 m 01.1 s ePP 02 h 51 m 05.0 s
		B	—	0.5	eP 02 h 47 m 44.7 s Compr. e 02 h 49 m 56.0 s [eS 02 h 57 m 38.4 s U. S. C. G. S. 0 = 02 h 35 m 00.0 s, 26° N 122.5° E, h = 300 km
79	„ 29.	Ch	—	0.1	eP 03 h 18 m 27.1 s Dilat.
		Z	—	0.2	iP 03 h 18 m 31.8 s Dilat.
		B	—	0.2	eP 03 h 18 m 36.5 s Dilat. U. S. C. G. S. 0 = 03 h 07 m 35.0 s, 15° S 44.5° E, h = 200 km
80	Mai 1.	Z	—	0.1	eP 16 h 18 m 58.0 s Schwache Spuren! U. S. C. G. S. 0 = 16 h 10 m 41.0 s, 28° N 43.5° W, N-Atlantik
81	„ 2.	B	—	0.1	e 15 h 46 m 47.5 s e 15 h 47 m 40.0 s
82	„ 4.	Z	17500	0.1	ePKP$_1$ 14 h 34 m 54.7 s ePKP$_2$ 14 h 35 m 50.5 s ePP 14 h 38 m 58.7 s
		B	—	0.1	ePKP$_2$ 14 h 35 m 20.0 s Schwache Registrierung! U. S. C. G. S. 0 = 14 h 15 m 16.0 s, 24.5° S 177.5° W
83	„ 8.	Z	9500	0.4	eP 01 h 11 m 21.3 s Dilat. eSKS 01 h 21 m 43.2 s eS 01 h 22 m 11.8 s 0 = 00 h 58 m 40.0 s, 35.4° N 140.2° E, in Yokohama verspürt!
84	„ 9.	Z	14660	1.5	ePKP 18 h 06 m 46.8 s Dilat. e 18 h 06 m 58.7 s epPKP 18 h 07 m 08.7 s [ePP 18 h 09 m 03.4 s
		Ch	—	1.5	ePKP 18 h 06 m 48.9 s Compr. e 18 h 10 m 13.0 s e 18 h 19 m 12.0 s
		B	14800	1.0	ePKP 18 h 06 m 49.9 s ePP 18 h 09 m 11.0 s e 18 h 10 m 11.0 s [eL 18 h 55 m 48.0 s B. I. 0 = 17 h 47 m 43.0 s, 6.75° S 155.0° E, h = 60 km
85	„ 12.	B	—	0.2	eP 19 h 38 m 11.7 s Compr. eL 19 h 42 m 07.0 s
		Z	2050?	0.2	eP 19 h 38 m 20.5 s Compr. eS? 19 h 41 m 39.4 s Schwache Registrierung! B. I. 0 = 19 h 34 m 30.0 s, 35.3° N 7.0° W, in Huelva, Sevillia und in Marokko gespürt!
86	„ 13.	B	—	1.0	iP 19 h 44 m 09.0 s e 19 h 45 m 42.0 s eL 20 h 12 m 00.0 s
		Z	—	1.0	eP 19 h 44 m 12.0 s eL 20 h 13 m 00.0 s
		Ch	—	—	eP 19 h 44 m 18.0 s eL 20 h 15 m 00.0 s
		N	—	1.0	e 19 h 59 m 55.0 s B. I. 0 = 19 h 31 m 48.0 s, 10.5° N 84.5° W, h = 100 km
87	„ 14.	Z	9220?	0.7	eP 00 h 49 m 21.4 s Compr. eS? 00 h 59 m 37.4 s ePS? 01 h 00 m 36.7 s Min'-Lücke
		Ch	—	0.7	eP 00 h 49 m 22.8 s eL 01 h 24 m 00.0 s
		B	9380?	0.7	eP 00 h 49 m 32.4 s eS? 00 h 59 m 56.0 s B. I. 0 = 00 h 36 m 55.0 s, 42.1° N 145.2° E, Ostküste von Hokkaido
88	„ 16.	N	9350?	0.7	iP 20 h 58 m 05.1 s eS? 21 h 08 m 27.0 s
		B	—	0.5	eP 20 h 58 m 06.6 s Dilat.
		Z	9250	0.5	eP 20 h 58 m 10.2 s Dilat. ePP 21 h 01 m 19.2 s eS 21 h 08 m 29.8 s
		Ch	—	0.1	eP 20 h 58 m 18.6 s Dilat. B. I. 0 = 20 h 45 m 41.0 s, 6.5° N 79.0° W, L-Wellen schwach!
89	„ 16.	Z	—	0.1	e$_Z$ 22 h 39 m 50.6 s Compr. Schwache Registrierung! Wellington: 0 = 22 h 22 m 00.0 s, 24° S 180° W, Tonga-Region!
90	„ 17.	Z	9200	2.0	eP 10 h 00 m 36.2 s Compr. ePP? 10 h 03 m 48.2 s eS 10 h 10 m 51.9 s
		Ch	—	1.5	eP 10 h 00 m 38.9 s Compr. eL 10 h 35 m 00.0 s [e 10 h 11 m 06.5 s
		B	9270	1.5	eP 10 h 00 m 40.2 s Compr. eS 10 h 10 m 59.0 s e 10 h 12 m 00.0 s
		N	—	0.7	e 10 h 33 m 55.0 s U. S. C. G. S. 0 = 09 h 48 m 16.0 s, 42° N 144.2° E, h = 60 km
91	„ 19.	Z	9210	1.0	eP 18 h 44 m 45.0 s Compr. e 18 h 45 m 10.3 s ePP 18 h 47 m 50.8 s [eS 18 h 55 m 01.7 s
		Ch	9210	0.9	eP 18 h 44 m 46.1 s Compr. eS 18 h 55 m 02.0 s eL 19 h 14 m 50.0 s
		B	9290	1.0	eP 18 h 44 m 47.1 s Compr. eS 18 h 55 m 06.0 s
		N	9290	1.0	eP 18 h 44 m 50.0 s eS 18 h 55 m 09.0 s Nachstoß zu Nr. 90, 0 = 18 h 32 m 22.0 s
92	„ 22.	Z	9760	1.0	eP 23 h 21 m 05.5 s eSKS? 23 h 31 m 30.8 s eS 23 h 31 m 44.8 s
		B	9800	1.0	eP 23 h 21 m 07.4 s eS 23 h 31 m 50.0 s eL 23 h 57 m 00.0 s
		N	—	1.0	eL 23 h 56 m 55.0 s U. S. C. G. S. 0 = 23 h 08 m 21.0 s, 29.5° N 131.5° E, h = 60 km
93	„ 23.	B	—	0.1	e$_Z$ 02 h 57 m 30.0 s
94	„ 23.	Z	—	0.1	ePKP 20 h 43 m 30.5 s epPKP 20 h 44 m 37.5 s Schwache Registrierung!
		B	—	0.4	ePKP 20 h 43 m 32.1 s e 20 h 54 m 37.0 s
		Ch	—	0.1	ePKP 20 h 43 m 34.0 s Min'-Lücke U. S. C. G. S. 0 = 20 h 24 m 08.0 s, 18.5° S 176° W, h = 250 km

Tabelle III (Fortsetzung)

Nr.	Datum	Station	Epizentral-entfernung nach S–P	Ungefähre Dauer der Registr.	Phasen, Bemerkungen
	1952		km	Std.	
95	Mai 24.	Ch	—	0.1	eP 16 h 18 m 56.6 s Compr.
		Z	10000	1.0	eP 16 h 18 m 58.9 s Compr. eSKS 16 h 29 m 23.9 s eS 16 h 29 m 45.6 s Westküste von Sumatra, B. I. 0 = 16 h 05 m 53.0 s, 1.0° S 98.8° E
96	„ 26.	Z	7440	0.3	eP 02 h 57 m 26.2 s eS 03 h 06 m 16.6 s Assam, B. I. 0 = 02 h 46 m 31.0 s, 28.5° N 95° E
97	„ 28.	Z	—	0.2	eP 07 h 55 m 43.2 s epP 07 h 56 m 35.2 s Keine L-Wellen! B. I. 0 = 07 h 47 m 40.0 s, 36.5° N 70.5° E, h = 220 km Gespürt in NW-Pakistan und Kashmir
98	„ 28.	Z	9300	0.4	eP 08 h 11 m 03.1 s Dilat. epP 08 h 13 m 06.7 s ePP? 08 h 14 m 18.0 s [eS 08 h 20 m 49.2 s ePS 08 h 21 m 12.0 s
		Ch	9300	0.4	eP 08 h 11 m 03.3 s Dilat. ePP 08 h 14 m 20.0 s eS 08 h 20 m 49.0 s
		B	9350	0.4	eP 08 h 11 m 04.6 s Dilat. ePP 08 h 14 m 19.0 s eS 08 h 20 m 53.0 s
		N	9380	0.4	eP 08 h 11 m 08.0 s eS 08 h 20 m 58.0 s [ePS 08 h 21 m 04.0 s U. S. C. G. S. 0 = 07 h 59 m 09.0 s, 35.5° N 136° E, h = 400 km, in Zentraljapan verspürt!
99	„ 30.	Z	—	0.1	e_Z 00 h 30 m 38.2 s
100	Juni 4.	Z	—	0.1	e_Z 15 h 03 m 05.0 s Dilat.
101	„ 10.	Z	16000	0.2	ePKP 10 h 18 m 13.2 s ePP 10 h 21 m 21.8 s
		Ch	—	0.2	ePKP 10 h 18 m 15.4 s Dilat.
		N	—	0.2	ePKP 10 h 18 m 16.1 s U. S. C. G. S. 0 = 09 h 58 m 27.0 s, 15.5° S 178.5° W
102	„ 12.	Ch	—	0.1	eP 11 h 04 m 18.0 s
		Z	2170	0.1	eP 11 h 04 m 26.0 s Compr. eS 11 h 08 m 00.7 s B. I. 0 = 11 h 00 m 10.0 s, 34.8° N 26.1° E
103	„ 13.	Ch	—	0.1	eP 01 h 10 m 42.0 s
		Z	1610	0.2	eP 01 h 10 m 52.5 s Dilat. eS 01 h 13 m 32.8 s B. I. 0 = 01 h 07 m 23.0 s, 37.5° N 22.1° E, Bauschäden in der Provinz Arcadien VIII
104	„ 14.	Z	8200?	0.2	eP 02 h 17 m 02.9 s Compr. e 02 h 17 m 17.0 s eS 02 h 26 m 27.0 s
		Ch	—	0.1	eP 02 h 17 m 06.7 s [Schwache Registrierung! U. S. C. G. S. 0 = 02 h 05 m 33.0 s, 58° N 153.5° W, h = 60 km
105	„ 15.	Ch	—	0.1	eP 15 h 26 m 23.3 s
		Z	—	0.1	eP 15 h 26 m 25.9 s Nur erste Vorläufer registriert! B. I. 0 = 15 h 15 m 57.0 s, 31.7° N 92.0° E
106	„ 16.	Ch	—	0.2	$ePKP_1$ 03 h 57 m 15.4 s $iPKP_2$ 03 h 57 m 48.4 s
		Z	—	0.2	$ePKP_1$ 03 h 57 m 19.8 s $iPKP_2$ 03 h 57 m 46.8 s Dilat.
107	„ 17.	Z	2170	0.2	eP 22 h 41 m 40.8 s eS 22 h 45 m 16.2 s B. I. 0 = 22 h 37 m 25.0 s, 36.7° N 11.8° W, an der portugiesischen Küste verspürt!
108	„ 19.	Ch	1220	0.1	eP 00 h 25 m 18.0 s Dilat. eS 00 h 27 m 21.9 s
		Z	1250?	0.1	eP 00 h 25 m 47.0 s eS? 00 h 27 m 55.0 s schwach B. I. 0 = 00 h 22 m 58.0 s, 41.25° N 21.5° E
109	„ 19.	Ch	8350	1.0	eP 12 h 24 m 34.0 s eS 12 h 34 m 09.0 s
		Z	8350?	1.0	eP 12 h 24 m 36.4 s e 12 h 24 m 41.8 s e 12 h 25 m 11.1 s eS? 12 h 34 m 11.6 s
		N	—	1.0	eP 12 h 24 m 43.0 s [Min'-Lücke B. I. 0 = 12 h 12 m 56.0 s, 22.6° N 100.0° E
110	„ 19.	Z	—	1.0	zirka eL 22 h 10 m Keine Zeitmarken!
111	„ 20.	Z	9620	1.0	eP 05 h 59 m 00.2 s Compr. ePP 06 h 02 m 21.9 s eS 06 h 09 m 34.2 s
		Ch	9830	1.0	eP 05 h 59 m 00.3 s ePP 06 h 02 m 22.3 s eS 06 h 09 m 43.3 s eL 06 h 39 m 25.0 s
		N	—	1.0	eP 05 h 59 m 08.5 s B. I. 0 = 05 h 46 m 17.0 s, 24.3° N 121.8° E, auf Formosa verspürt!
112	„ 21.	Z	9090	0.5	eP 06 h 44 m 16.4 s Compr. eS 06 h 54 m 26.0 s
		N	—	0.5	eP 06 h 44 m 21.4 s Vorbeben zu Nr. 114
113	„ 22.	Z	9090	0.4	eP 10 h 20 m 33.2 s Compr. e 10 h 21 m 07.4 s Vorbeben zu Nr. 114

Tabelle III (Fortsetzung).

Nr.	Datum	Station	Epizentral-entfernung nach S–P	Ungefähre Dauer der Registr.	Phasen, Bemerkungen
	1952		km	Std.	
114	Juni 22.	Z	9120	1.5	eP 21 h 54 m 12.8 s Compr. ePP 21 h 57 m 15.7 s eS 22 h 04 m 24.7 s
		Ch	9200	1.2	eP 21 h 54 m 15.9 s e 21 h 54 m 20.6 s Dilat. eS 22 h 04 m 30.6 s
		N	9160	1.0	eP 21 h 54 m 17.3 s eS 22 h 04 m 30.3 s
					B. I. 0 = 21 h 41 m 54.0 s, 46.8° N 153.5° E
115	„ 22.	Z	—	0.6	eP 22 h 12 m 24.3 s eS? 22 h 22 m 48.8 s, Nr. 114 überlagert!
		N	—	0.6	eP 22 h 12 m 29.8 s
		Ch	—	0.5	eP 22 h 12 m 30.8 s
					Nachstoß zu Nr. 114, 0 = 22 h 00 m 04.0 s
116	„ 23.	Z	9700?	0.4	eP? 12 h 15 m 59.4 s ePP? 12 h 19 m 18.4 s eSKS 12 h 26 m 14.4 s
					Nachstoß zu Nr. 111, 0 = 12 h 03 m 10.0 s
117	„ 24.	Z	9100?	0.1	eP? 16 h 41 m 22.4 s eS? 16 h 51 m 32.8 s
					Nachstoß zu Nr. 114, 0 = 16 h 29 m 02.0 s
118	„ 25.	Z	—	1.0	eL 23 h 50 m zirka, keine Zeitmarken!
		Ch	—	1.0	eL 23 h 58 m 40.0 s
					B. I. 0 = 23 h 19 m 56.0 s, 31.0° N 101.5° E
119	„ 27.	Ch	—	0.2	eP? 13 h 11 m 37.0 s eL 13 h 15 m 58.5 s
		Z	1600	0.2	eP 13 h 12 m 17.5 s eS 13 h 14 m 54.7 s
					B. I. 0 = 13 h 09 m 14.0 s, 40.8° N 23.7° E, im Gebiet von Saloniki besonders in Askos verspürt VI
120	„ 30.	Z	—	0.2	eP 21 h 13 m 32.1 s Schwach, nur Vorläufer!
					B. I. 0 = 21 h 04 m 31.0 s, 0.5° S 29.5° E
121	Juli 4.	Z	—	0.1	ePKP 05 h 04 m 42.5 s Compr. e 05 h 04 m 50.5 s Dilat.
					Nur Vorläufer registriert! U. S. C. G. S. 0 = 04 h 46 m 01.0 s, 20.5° N 178.5° W, h = 600 km
122	„ 5.	B	—	0.1	e_z 09 h 37 m 58.0 s e_z 00 h 39 m 20.0 s
123	„ 5.	Ch	—	0.1	eP 17 h 27 m 49.0 s epP 17 h 28 m 36.6 s
		Z	4700	0.2	eP 17 h 27 m 55.6 s Compr. epP 17 h 28 m 40.6 s e 17 h 30 m 33.5 s
		B	—	0.5	eP 17 h 28 m 00.8 s Compr. [eS 17 h 34 m 00.0 s
		N	—	0.5	iP 17 h 28 m 05.2 s
					B. I. 0 = 17 h 19 m 50.0 s, 34.0° N 70.5° E, h = 200 km
124	„ 6.	B	—	0.1	e 03 h 05 m 08.8 s
125	„ 6.	Z	—	0.2	e_z 06 h 19 m 49.0 s Min'-Lücke
					B. I. 0 = 06 h 10 m 47.0 s, 0.0° N 16.5° W
126	„ 9.	B	—	0.5	eP 18 h 27 m 31.7 s
		Z	—	0.2	eP? 18 h 27 m 50.9 s eS? 18 h 38 m 27.0 s
					U. S. C. G. S. 0 = 18 h 15 m 18.0 s, 7.5° N 82.0° W, an der Küste von Panama stark verspürt!
127	„ 10.	B	—	0.5	ePKP 16 h 03 m 59.9 s Compr. e 16 h 04 m 09.0 s e 16 h 05 m 40.0 s
		N	—	0.1	ePKP 16 h 04 m 01.2 s Compr.
		Z	—	0.1	ePKP 16 h 04 m 01.2 s Compr. e 16 h 04 m 08.1 s
					Nur Vorläufer registriert! U. S. C. G. S. 0 = 15 h 45 m 28.0 s, 18.5° S 180° W, h = 700 km
128	„ 13.	Z	—	0.1	ePKP 11 h 08 m 45.6 s Dilat.
		B	—	0.1	ePKP 11 h 08 m 48.0 s
					Nur Vorläufer registriert! B. I. 0 = 10 h 49 m 14.0 s, 14° S 174° W, h = 100 km, in Apia gespürt!
129	„ 13.	Z	—	0.2	ePKP 12 h 17 m 44.1 s Compr. i 12 h 17 m 48.1 s epPKP 12 h 18 m 59.8 s
		Ch	—	—	ePKP 12 h 17 m 45.8 s Compr. epPKP 12 h 17 m 48.6 s [ePP 12 h 21 m 16.7 s
		B	—	—	ePKP 12 h 17 m 46.1 s Compr. e 12 h 17 m 50.0 s ePP 12 h 21 m 21.0 s
		N	—	—	ePKP 12 h 17 m 47.7 s e 12 h 17 m 52.0 s
					U. S. C. G. S. 0 = 11 h 58 m 34.0 s, 18.5° S 169.5° E, h = 300 km
130	„ 13.	Z	—	0.1	ePKP 17 h 52 m 43.5 s e 18 h 01 m 49.0 s
		B	—	0.3	ePKP 17 h 52 m 52.8 s e 18 h 01 m 57.0 s e 18 h 03 m 28.0 s
					Nur Vorläufer registriert! U. S. C. G. S. 0 = 17 h 34 m 26.0 s, 3° S 128° E
131	„ 16.	Z	1250	0.2	eP_z 02 h 02 m 50.6 s eS 02 h 05 m 00.3 s
		B	1270	0.2	eP_z 02 h 03 m 10.5 s eS 02 h 05 m 23.0 s
					Auf Korfu verspürt!

Tabelle III (Fortsetzung).

Nr.	Datum	Station	Epizentralentfernung nach P-S	Ungefähre Dauer der Registr.	Phasen, Bemerkungen
	1952		km	Std.	
132	Juli 17.	Z	9500	1.0	eP 16 h 22 m 22.5 s Dilat. epP 16 h 22 m 41.4 s ePP 16 h 25 m 28.3 s
		Ch	—	1.0	eP 16 h 22 m 23.1 s Dilat. epP 16 h 22 m 44.1 s [eS 16 h 32 m 50.7 s
		B	9540	1.0	eP 16 h 22 m 24.3 s Dilat. epP 16 h 22 m 47.0 s eS 16 h 32 m 53.0 s
		N	9600	1.0	eP 16 h 22 m 27.5 s eS 16 h 33 m 00.0 s [e 16 h 33 m 21.0 s Nach den japanischen Stationen 0 = 16 h 09 m 52.0 s, 34.5° N 136° E, h = 70 km, schwere Schäden und Todesopfer im Gebiet von Osaka, Kyoto; auch in Tokio verspürt!
133	„ 21.	B	—	1.5	eP 12 h 04 m 51.2 s e 12 h 04 m 57.0 s e 12 h 05 m 07.0 s e 12 h 09 m 31.0 s
		N	9600	1.5	iP 12 h 04 m 51.9 s eS 12 h 15 m 24.0 s
		Z	9640	1.5	iP 12 h 04 m 54.3 s Compr. ePP 12 h 08 m 18.1 s eS 12 h 15 m 28.4 s
		Ch	9550	1.5	eP 12 h 04 m 58.8 s Compr. eS 12 h 15 m 29.1 s [eSS 12 h 21 m 28.4 s Nach Pasadena 0 = 11 h 52 m 14.0 s, 35° N 119° W Schadenbeben in Kalifornien, Gebiet von Tehachapi
134	„ 22.	Z	—	0.1	e_z 18 h 33 m 53.4 s
		B	—	0.1	e_z 18 h 33 m 56.0 s
135	„ 22.	Z	—	0.1	ePKP 23 h 10 m 03.5 s
		B	—	0.1	ePKP 23 h 10 m 03.9 s ePP? 23 h 12 m 55.0 s Nur Vorläufer schwach registriert! B. I. 0 = 22 h 50 m 10.0 s, 50° S 123° W
136	„ 23.	Z	—	0.1	eP? 00 h 51 m 09.1 s schwach Nachstoß zu Nr. 135, 0 = 00 h 38 m 33.0 s
137	„ 23.	B	—	0.1	eP 01 h 12 m 01.9 s Compr.
		Z	—	0.1	eP 01 h 12 m 04.7 s Compr. schwach U. S. C. G. S. 0 = 00 h 59 m 18.0 s, 14° N 91.5° W
138	„ 24.	Z	9050	0.5	eP 22 h 21 m 38.3 s Compr. i 22 h 21 m 41.2 s epP 22 h 21 m 58.1 s [eS 22 h 31 m 44.8 s ePS 22 h 32 m 09.7 s
		B	—	0.5	eP 22 h 21 m 50.9 s Compr. e 22 h 30 m 03.0 s U. S. C. C. S. 0 = 22 h 09 m 20.0 s, 42.7° N 145.3° E, h = 60 km, in Hokkaido und N-Hondo verspürt!
139	„ 26.	Z	—	0.2	eP 14 h 38 m 10.7 s Dilat. e 14 h 38 m 12.6 s Compr. e 14 h 38 m 32.3 s B. I. 0 = 14 h 26 m 35.0 s, 20° N 95° E [eS? 14 h 47 m 51.0 s
140	„ 27.	Z	—	0.1	ePKP 02 h 30 m 54.5 s
		Ch	—	0.1	ePKP 02 h 30 m 56.0 s Nur Vorläufer! U. S. C. G. S. 0 = 02 h 11 m 08.0 s, 15.5° S 173° W
141	„ 27.	B	16600	0.6	ePKP 08 h 42 m 21.4 s Dilat. e 08 h 42 m 30.0 s e 08 h 42 m 42.0 s [eSKKS 08 h 52 m 19.0 s
		Ch	—	0.2	ePKP 08 h 42 m 21.9 s Dilat. e 08 h 42 m 31.3 s Compr. e 08 h 42 m 45.0 s Compr.
		N	—	0.2	ePKP 08 h 42 m 23.5 s
		Z	—	0.2	ePKP 08 h 42 m 23.7 s Dilat. e 08 h 42 m 30.4 s Compr. epPKP 08 h 44 m 25.7 s [ePP 08 h 46 m 13.2 s Nur Vorläufer registriert! 0 = 08 h 23 m 22.0 s, 20.5° S 179° W, h = 500 km
142	„ 29.	Z	9600?	0.2	eP? 07 h 16 m 22.6 s eS? 07 h 26 m 56.1 s
		N	—	0.2	eL 07 h 52 m 08.0 s Nachstoß zu Nr. 133, 0 = 07 h 03 m 45.0 s
143	Aug. 1.	Z	—	0.1	eP 10 h 37 m 51.6 s
		B	—	0.1	eP 10 h 38 m 04.0 s Compr. Nur Vorläufer registriert!
144	„ 4.	Z	3820	0.2	eP 01 h 56 m 31.0 s Compr. eS 02 h 01 m 56.0 s Az. 100° B. I. 0 = 01 h 49 m 39.0 s, 31.5° N 49.3° E
145	„ 7.	Z	—	0.2	eP 22 h 05 m 51.4 s
		B	—	0.2	eP 22 h 05 m 54.3 s Nur Vorläufer registriert! 0 = 21 h 53 m 32.0 s, 41.7° N 145° E, h = 60 km, auf Hokkaido verspürt!
146	„ 9.	B	—	0.1	e_z 09 h 35 m 46.1 s
147	„ 12.	Ch	—	0.1	eP? 06 h 43 m 26.2 s Dilat. iP 06 h 43 m 26.7 s Compr. e 06 h 43 m 46.1 s
		Z	9100	0.2	eP 06 h 43 m 28.7 s Compr. eS 06 h 53 m 38.3 s B. I. 0 = 06 h 31 m 03.0 s, 5.75° N 94° E
148	„ 13.	Z	—	0.1	eP 14 h 37 m 09.5 s
		B	—	0.1	eP 14 h 37 m 21.3 s Nur schwache erste Vorläufer registriert! B. I. 0 = 14 h 30 m 35.0 s, 33.75° N 47.75° E

Tabelle III (Fortsetzung).

Nr.	Datum	Station	Epizentral-entfernung nach S–P	Ungefähre Dauer der Registr.	Phasen, Bemerkungen
	1952		km	Std.	
149	Aug. 14.	Z	10200?	0.4	eP? 16 h 13 m 57.6 s Min'-Lücke e 16 h 14 m 09.7 s eSKS 16 h 24 m 21.7 s
		B	—	0.5	eP 16 h 14 m 03.7 s c 16 h 14 m 15.0 s [e 16 h 24 m 28.4 s B. I. 0 = 16 h 01 m 36.0 s, 2° N 99.5° E, h = 300 km
150	„ 15.	B	—	0.1	eP 20 h 11 m 37.4 s Compr.
		Z	—	0.1	Ganz schwache Spuren! U. S. C. G. S. 0 = 19 h 58 m 58.0 s, 36.5° N 140.8° E, auf Hondo verspürt!
151	„ 17.	B	—	0.2	eP 04 h 36 m 56.1 s e 04 h 37 m 02.0 s
		Z	—	0.2	eP 04 h 36 m 57.4 s e 04 h 37 m 09.1 s Schwache Registrierung! U. S. C. G. S. 0 = 04 h 24 m 23.0 s, 19° S 65° E
152	„ 17.	Ch	7050	1.5	eP 16 h 12 m 37.8 s eS 16 h 21 m 07.0 s eL 16 h 26 m 05.0 s
		Z	7080	1.3	eP 16 h 12 m 40.0 s iP 16 h 12 m 43.7 s Compr. ePP 16 h 14 m 56.8 s [eS 16 h 21 m 10.0 s
		B	7130	1.0	eP 16 h 12 m 40.0 s Compr. eP 16 h 12 m 44.3 s Dilat. ePP 16 h 15 m 10.0 s
		N	7380	1.0	eP 16 h 12 m 52.2 s cS 16 h 21 m 41.0 s Az. 50° [cS 16 h 21 m 18.0 s Nach B. I. 0 = 16 h 02 m 05.0 s, 29.8° N 90.3° E
153	„ 20.	Z	9250	1.0	eP 15 h 37 m 22.6 s e 15 h 37 m 31.4 s eS 15 h 47 m 40.2 s
		N	9100	1.0	eP 15 h 37 m 37.7 s eS? 15 h 47 m 47.0 s
		B	—	1.0	eP 15 h 37 m 40.4 s
		Ch	—	0.7	eP? Bogenwechsel! eS 15 h 47 m 56.0 s eL 15 h 59 m 10.0 s U. S. C. G. S. 0 = 15 h 24 m 59.0 s, 43° N 127° W, Küste von Oregon USA
154	„ 21.	Ch	1920	0.1	eP 04 h 22 m 18.0 s Dilat. eS 04 h 25 m 28.4 s
		Z	1900?	0.1	eP? 04 h 22 m 25.9 s eS? 04 h 25 m 35.0 s B. I. 0 = 04 h 18 m 21.0 s, 35.7° N 25.3° E, auf Kreta verspürt, Heraclion, Ghoniac VI, Neapolis IV
155	„ 23.	Ch	—	—	e_z 10 h 02 m 06.1 s ? e_z 13 h 29 m 03.9 s ?
156	„ 24.	Z	2050	0.3	eP? 20 h 48 m 35.4 s Compr. eS? 20 h 52 m 00.8 s
		B	—	0.4	eP 20 h 48 m 45.8 s e 20 h 52 m 49.0 s eL 20 h 54 m 03.0 s B. I. 0 = 20 h 44 m 15.0 s, 35.0° N 28.0° E, östlich Kreta!
157	„ 25.	Ch	—	0.1	e 20 h 00 m 52.1 s e 20 h 04 m 23.8 s e 20 h 09 m 23.6 s
158	„ 27.	B	—	0.5	eP 11 h 39 m 31.4 s Compr. ePcP 11 h 39 m 58.0 s e 11 h 42 m 42.0 s
		Z	—	0.2	eP 11 h 39 m 39.3 s e 11 h 39 m 43.6 s Schwache erste Vorläufer registriert!
		Ch	—	0.1	eP 11 h 39 m 46.4 s e 11 h 40 m 02.6 s U. S. C. G. S. 0 = 11 h 27 m 54.0 s, 55.5° N 160° W, h = 60 km
159	„ 28.	B	—	0.7	eP 11 h 04 m 36.7 s Compr. e 11 h 07 m 44.0 s e 11 h 12 m 40.0 s
		Z	—	0.3	eP? 11 h 04 m 39.2 s Min'-Lücke e_z 11 h 04 m 50.0 s e_z 11 h 04 m 54.7 s
		Ch	—	0.1	iP 11 h 04 m 42.4 s [eS? 11 h 14 m 51.0 s Nachstoß zu Nr. 158, 0 = 10 h 52 m 41.0 s
160	„ 29.	Z	—	0.2	e_z 17 h 25 m 33.2 s
161	„ 30.	Ch	—	0.1	e_z 11 h 24 m 59.0 s
		Z	—	0.1	e_z 11 h 25 m 01.7 s
		B	—	0.1	e_z 11 h 25 m 07.8 s
162	„ 31.	B	—	0.2	eP 16 h 21 m 51.2 s Compr.
		Z	9250?	0.2	eP 16 h 21 m 53.7 s eS? 16 h 32 m 13.1 s Nach den japanischen Stationen: 0 = 16 h 09 m 33.0 s, 41.9° N 142.8° E, h = 40 km, auf Hokkaido verspürt!
163	Sept. 3.	B	—	0.1	e_z 09 h 25 m 58.9 s e_z 09 h 26 m 18.0 s
164	„ 9.	N	9380	1.0	iP 13 h 07 m 17.0 s eS 13 h 17 m 40.0 s
		B	9380	1.0	eP 13 h 07 m 18.8 s Dilat. eS 13 h 17 m 42.0 s
		Z	9430?	1.0	eP? 13 h 07 m 20.5 s Min'-Lücke ePP 13 h 10 m 42.7 s eS 13 h 17 m 46.3 s
		Ch	9550?	1.0	eP 13 h 07 m 26.5 s Dilat. eS 13 h 17 m 57.6 s eL 13 h 27 m 00.0 s Nach Tacubaya 0 = 12 h 54 m 41.0 s, 9.0° N 83° 42′ W, h = 60 km, Costa Rica VI—VII, Panik unter der Bevölkerung
165	„ 11.	Ch	—	0.1	eP 08 h 34 m 33.5 s Dilat.
		Z	—	0.1	eP 08 h 34 m 36.8 s Dilat.
		B	—	0.1	eP 08 h 34 m 40.9 s Compr. e 08 h 37 m 52.0 s Nur Vorläufer registriert!
166	„ 11.	B	—	0.4	$ePKP_1$ 22 h 46 m 44.9 s e 22 h 56 m 43.0 s
		Z	17800	0.3	$ePKP_1$ 22 h 46 m 48.0 s $ePKP_2$ 22 h 47 m 27.4 s ePP 22 h 51 m 08.8 s Nur Vorläufer registriert! U. S. C. G. S. 0 = 22 h 26 m 41.0 s, 29° S 177° W, Kermadec-Inseln!

Tabelle III (Fortsetzung)

Nr.	Datum	Station	Epizentral-entfernung nach S-P	Ungefähre Dauer der Registr.	Phasen, Bemerkungen
	1952		km	Std.	
167	Sept. 14.	B	—	0.1	eP 09 h 44 m 31.6 s 0 = 09 h 34 m 10.0 s, 34° N 93.5° E
168	„ 17.	Z	—	0.2	ePKP 01 h 35 m 36.2 s Dilat. ePKP 01 h 35 m 41.9 s Compr.
		Ch	—	0.2	ePKP 01 h 35 m 37.2 s Dilat. ePKP 01 h 35 m 48.3 s Compr.
		B	—	0.2	ePKP 01 h 35 m 38.4 s ePKP 01 h 35 m 43.0 s e 01 h 35 m 50.0 s Nur Vorläufer registriert! 0 = 01 h 16 m 53.0 s, 17.5° S 179.0° W, h = 600 km
169	„ 18.	Z	—	0.1	e_z 08 h 05 m 10.8 s Min'-Lücke, schwach
		B	—	0.1	e_z 08 h 05 m 11.0 s
		Ch	—	0.1	e_z 08 h 05 m 11.5 s B.I. Neue Hebriden 0 = 07 h 45.5 m
170	„ 20.	Ch	—	0.1	ePKP 13 h 17 m 21.6 s
		Z	—	0.1	ePKP 13 h 17 m 42.2 s
		B	—	0.1	ePKP 13 h 17 m 44.1 s Schwache Registrierung! B.I. 0 = 12 h 57 m 44.0 s, 56.1° S 145° E, Insel Macquarie!
171	„ 21.	N	10530	1.0	iP 02 h 43 m 31.8 s ePP 02 h 47 m 20.0 s eSKS 02 h 53 m 44.0 s
		B	10550	0.7	eP 02 h 43 m 35.4 s Compr. ePP 02 h 47 m 24.0 s eSKS 02 h 53 m 49.0 s
		Z	10530	0.5	iP 02 h 43 m 36.8 s Compr. epP 02 h 44 m 35.0 s ePP 02 h 47 m 27.9 s [eSKS 02 h 53 m 49.1 s eS 02 h 54 m 20.2 s
		Ch	10480	1.0	iP 02 h 43 m 39.3 s Compr. iPP 02 h 47 m 31.4 s Dilat. eSKS 02 h 53 m 51.0 s U.S.C.G.S. 0 = 02 h 30 m 30.0 s, 22.5° S 65° W, h = 250 km
172	„ 21.	B	—	0.1	eP 11 h 25 m 14.3 s
		Z	—	0.1	eP 11 h 25 m 19.1 s Nur Vorläufer registriert! U.S.C.G.S. 0 = 11 h 12 m 09.0 s, 33.5° N 142° E, h = 100 km
173	„ 23.	Z	2140	0.2	eP 20 h 35 m 12.6 s Dilat. eS 20 h 38 m 45.5 s
		B	2140	0.2	eP 20 h 35 m 23.5 s eS 20 h 38 m 56.0 s B.I. 0 = 20 h 30 m 52.0 s, 36.8° N 29.8° E
174	„ 24.	B	8200?	0.2	eP 20 h 41 m 03.9 s eS? 20 h 50 m 32.0 s
		Z	8300	0.3	eP 20 h 41 m 07.0 s e 20 h 41 m 41.7 s eS 20 h 50 m 39.9 s
		Ch	—	0.1	eP 20 h 41 m 08.4 s U.S.C.G.S. 0 = 20 h 29 m 30.0 s, 56.5° N 157° W, h = 100 km
175	„ 27.	Z	8660	0.2	iP 19 h 17 m 41.8 s Dilat. eS 19 h 27 m 34.0 s Az. 20°
		B	—	0.2	eP 19 h 17 m 42.4 s Dilat.
		Ch	—	0.1	eP 19 h 17 m 43.8 s
		N	—	0.1	eP 19 h 17 m 46.4 s U.S.C.G.S. 0 = 19 h 05 m 46.0 s, 50.5° N 157° E, h = 100 km
176	„ 30.	Ch	7900	0.8	eP 13 h 03 m 24.0 s eS 13 h 12 m 42.3 s eL 13 h 30 m 30.0 s
		Z	—	1.0	eP 13 h 03 m 25.2 s Dilat. ePP? 13 h 06 m 35.0 s
		B	—	1.0	eP 13 h 03 m 30.6 s
		N	—	1.0	eP 13 h 03 m 34.6 s Registrierungen gestört durch Bodenunruhe! U.S.C.G.S. 0 = 12 h 52 m 00.0 s, 28.5° N 102.0° E
177	Okt. 1.	B	—	0.1	e_z 12 h 34 m 30.6 s
178	„ 3.	B	—	0.1	eP 07 h 49 m 25.2 s
		Ch	—	0.1	eP 07 h 49 m 26.9 s
		Z	—	0.2	eP 07 h 49 m 27.6 s Nur erste Vorläufer schwach registriert! U.S.C.G.S. 0 = 07 h 36 m 45.0 s, 6.5° N 83° W
179	„ 5.	Ch	1160	0.2	eP? 10 h 24 m 26.1 s eS 10 h 26 m 24.4 s
		Z	1350?	0.2	eP? 10 h 24 m 38.7 s eS? 10 h 26 m 54.1 s
		B	—	0.2	eP? 10 h 24 m 39.1 s eL? 10 h 29 m 29.0 s B.I. 0 = 10 h 21 m 18.0 s, 37.1° N 20.4° E, auf Cephalonia IV
180	„ 5.	Ch	1170	0.3	eP 10 h 57 m 56.7 s eS? 10 h 59 m 56.8 s
		Z	1500?	0.4	eP 10 h 58 m 08.4 s e_z 10 h 58 m 20.1 s eS? 11 h 00 m 42.5 s
		B	—	0.4	eP 10 h 58 m 13.1 s eL 11 h 02 m 27.0 s
		N	—	0.6	eP 10 h 58 m 25.8 s eL 11 h 02 m 38.0 s B.I. 0 = 10 h 54 m 54.0 s, 36.9° N 19.9° E, Zante V, Ithaka III
181	„ 5.	Z	—	0.1	eP 22 h 14 m 43.0 s Compr. Schwach
		B	—	0.1	eP 22 h 14 m 44.2 s e 22 h 15 m 19.0 s e 22 h 15 m 41.0 s B.I. 0 = 22 h 04 m 28.0 s, 37° N 93° E

Tabelle III (Fortsetzung)

Nr.	Datum	Station	Epizentral-entfernung nach S–P	Ungefähre Dauer der Registr.	Phasen, Bemerkungen
	1952		km	Std.	
182	Okt. 9.	B	—	—	e 09 h 34 m 29.6 s e 09 h 34 m 23.7 s e 09 h 34 m 31.0 s
183	„ 10.	Ch	1200?	0.2	eP 11 h 54 m 56.9 s eS 11 h 57 m 07.2 s
		Z	1220?	0.2	eP? 11 h 55 m 17.4 s eS 11 h 57 m 20.6 s
		B	—	0.4	eP 11 h 55 m 17.8 s eL 11 h 59 m 31.0 s
					Nachstoß zu Nr. 180, 0 = 11 h 51 m 56.0 s
184	„ 10.	Ch	—	0.1	e_Z 13 h 15 m 34.5 s
		B	—	0.1	e_Z 13 h 15 m 38.6 s
					B. I. 0 = 13 h 06.0 m, 16° N 56° E
185	„ 10.	B	—	0.1	ePKP 16 h 15 m 11.5 s e 16 h 23 m 22.0 s
		Z	—	0.1	ePKP 16 h 15 m 22.4 s
					Wellington 0 = 15 h 55 m 36.0 s, 15° S 175.5° W
186	„ 10.	Ch	—	0.5	eP 18 h 56 m 19.7 s eSS? 19 h 04 m 49.5 s eL 19 h 18 m 40.0 s
		Z	5320	0.5	eP 18 h 56 m 22.2 s Compr. e 18 h 59 m 16.4 s eS? 19 h 03 m 16.4 s
		B	—	0.7	eP 18 h 56 m 29.0 s e 18 h 57 m 54.0 s
		N	—	0.7	eP 18 h 56 m 32.8 s
					U. S. C. G. S. 0 = 18 h 47 m 37.0 s, 30.5° N 69.0° E
187	„ 11.	Ch	—	0.1	eP 01 h 34 m 56.4 s Compr. i 16 h 34 m 57.4 s Compr.
		Z	—	0.1	eP 01 h 34 m 58.9 s i 01 h 35 m 00.6 s Dilat.
		B	—	0.1	eP 01 h 35 m 06.9 s
					B. I. 0 = 01 h 24 m 02.0 s, 19.5° S 23° E, Bechuanaland!
188	„ 13.	Ch	—	0.3	eP 16 h 45 m 37.9 s Compr. e 16 h 47 m 43.3 s eL 16 h 49 m 43.8 s
		Z	1520	0.3	eP 16 h 45 m 46.4 s Compr. eS 16 h 48 m 19.2 s
		B	1500	0.3	eP 16 h 45 m 52.2 s e 16 h 46 m 45.0 s eS 16 h 48 m 22.0 s eL 16 h 49 m 12.0 s
					B. I. 0 = 16 h 42 m 24.0 s, 38.9° N 23.7° E, auf Euböa VIII
189	„ 15.	Ch	—	0.1	eP 17 h 55 m 31.2 s e 17 h 59 m 29.1 s
		Z	—	0.1	eP 17 h 55 m 44.9 s e 18 h 05 m 40.9 s
					B. I. 0 = 17 h 50 m 44.0 s, 34.7° N 33.1° E, SW von Cypern!
190	„ 18.	Ch	—	0.2	ePKP 05 h 42 m 10.4 s Compr. e 05 h 42 m 12.1 s Dilat.
		Z	—	0.2	ePKP 05 h 42 m 10.5 s Dilat. e 05 h 42 m 57.1 s
		B	—	0.2	ePKP 05 h 42 m 11.2 s Compr. e 05 h 51 m 44.0 s
					Nur Vorläufer registriert! U. S. C. G. S. 0 = 05 h 22 m 32.0 s, 16° S 168° E
191	„ 18.	Ch	—	0.2	eP 12 h 07 m 19.8 s Dilat.
		Z	—	0.2	eP 12 h 07 m 22.7 s Dilat. schwach
					U. S. C. G. S. 0 = 11 h 57 m 36.0 s, 13° N 46° W
192	„ 22.	Ch	2100	0.1	eP 04 h 18 m 46.0 s Compr. e 04 h 18 m 55.3 s eS? 04 h 22 m 14.4 s
		Z	1950	0.3	eP 04 h 19 m 03.3 s Compr. eS? 04 h 22 m 22.8 s eL 04 h 27 m 35.5 s
		B	—	0.5	eP 04 h 19 m 08.0 s e 04 h 20 m 22.0 s
					B. I. 0 = 04 h 14 m 56.0 s, 36.7° N 27.9° E, Kos VI, Samos III
193	„ 22.	Ch	2570	0.2	eP 17 h 05 m 34.0 s eS 17 h 09 m 40.0 s
		Z	2530	0.3	eP 17 h 05 m 39.4 s e 17 h 05 m 50.5 s eS 17 h 09 m 39.4 s Min'-Lücke
		B	—	0.5	eP 17 h 05 m 45.6 s e 17 h 06 m 51.0 s e 17 h 07 m 42.0 s
					B. I. 0 = 17 h 00 m 39.0 s, 37.1° N 35.7° E; Todesopfer und Sachschäden im Gebiet von Adana
194	„ 26.	Z	—	0.1	iP 08 h 32 m 04.8 s Compr.
		B	—	0.1	eP 08 h 32 m 10.4 s Compr. e 08 h 42 m 39.0 s
					In Pakistan im Gebiet von Quetta verspürt! 0 = 08 h 23 m 18.0 s
195	„ 26.	B	9660	0.5	eP 08 h 53 m 13.2 s epP 08 h 54 m 27.0 s eS 09 h 03 m 28.0 s
		Z	9520	0.3	eP 08 h 53 m 14.1 s Dilat. epP 08 h 54 m 23.0 s ePP 08 h 56 m 45.8 s
		Ch	9580	0.3	eP 08 h 53 m 14.7 s Dilat. eS 09 h 03 m 23.6 s [eS 09 h 03 m 20.9 s
					Nach den japanischen Stationen 0 = 08 h 41 m 03.0 s, 34.1°N 137.8° E
					h = 290 km, in Zentraljapan verspürt!
196	„ 26.	B	—	0.1	e_Z 13 h 32 m 51.9 s Compr.
197	„ 26.	Z	—	0.1	eP 15 h 58 m 48.9 s Dilat.
		B	—	0.1	eP 15 h 58 m 49.4 s
		Ch	—	0.1	eP 15 h 58 m 50.4 s
					Nur Vorläufer registriert! 0 = 15 h 46 m 14.0 s, 39.3° N 144.0° E
198	„ 26.	Z	9380	1.0	eP 16 h 05 m 37.6 s Compr. eS 16 h 16 m 00.7 s
		Ch	—	1.0	eP 16 h 05 m 37.8 s e 16 h 05 m 49.4 s eL 16 h 40 m 45.0 s
					U. S. C. G. S. 0 = 15 h 53 m 03.0 s, 39.5° N 143.7° E, in Japan verspürt!

Tabelle III (Fortsetzung)

Nr.	Datum	Station	Epizentral-entfernung nach S–P	Ungefähre Dauer der Registr.	Phasen, Bemerkungen
	1952		km	Std	
199	Okt. 26.	Ch	—	1.0	eP 18 h 14 m 34.0 s Dilat. eL 18 h 48 m 15.0 s
		Z	9430	1.0	eP 18 h 14 m 35.3 s Compr. eS 18 h 15 m 00.5 s 0 = 18 h 02 m 00.0 s, 39° N 143° E, in Japan verspürt!
200	„ 26.	Z	9330	0.3	eP 19 h 31 m 50.7 s Compr. eS 19 h 42 m 10.9 s
		Ch	9380	0.5	eP 19 h 31 m 52.0 s Compr. eS 19 h 42 m 14.5 s eL 20 h 07 m
		B	8900?	0.5	eP 19 h 31 m 52.9 s Compr. eS? 19 h 41 m 51.0 s U. S. C. G. S. 0 = 19 h 19 m 12.0 s, 38.5° N 143.5° E, in Japan verspürt!
201	„ 26.	Z	—	0.2	e_z 19 h 42 m 00.0 s
		B	—	0.2	e_z 19 h 42 m 31.0 s
202	„ 26.	Z	—	0.5	eP 20 h 39 m 58.4 s Compr.
		B	—	0.5	eP 20 h 40 m 10.4 s Compr. e 20 h 48 m 21.0 s Nur Vorläufer registriert! 0 = 20 h 27 m 28.0 s, 40.5° N 143° E, h = 40 km, in Japan gespürt!
203	„ 26.	B	—	0.4	e_z 22 h 13 m 12.5 s Nachstoß zu Nr. 202, 0 = 22 h 00 m 38.0 s
204	„ 27.	Z	9300	1.0	eP 03 h 29 m 26.7 s Compr. e_z 03 h 30 m 09.8 s eS 03 h 40 m 05.7 s
		Ch	—	0.7	eP 03 h 29 m 49.0 s Compr. eL 04 h 05 m
		B	—	0.5	eP 03 h 29 m 50.0 s Compr. Nachstoß zu Nr. 202, 0 = 03 h 17 m 12.0 s, h = 50—60 km, in Japan verspürt!
205	„ 27.	B	—	0.5	eP 04 h 41 m 09.1 s e 04 h 43 m 43.0 s
		Z	—	0.5	eP 04 h 41 m 13.5 s
		Ch	—	—	eP 04 h 41 m 18.3 s Dilat. B. I. 0 = 04 h 29 m 52.0 s, 18.3° N 73.3° W, größere Schäden und Todesopfer auf Haiti, besonders Anse à Veau IX
206	„ 28.	Z	—	0.1	eP 06 h 43 m 35.0 s
		Ch	—	0.1	eP 06 h 43 m 36.3 s
		B	—	0.1	eP 06 h 43 m 37.0 s Nur Vorläufer schwach registriert! Nachstoß zu Nr. 202, 0 = 06 h 31 m 04.0 s, in Japan verspürt!
207	„ 29.	B	—	0.6	ePKP 19 h 53 m 48.2 s Compr. ePKP 19 h 53 m 53.0 s
		Z	—	0.3	ePKP 19 h 53 m 48.6 s e 19 h 53 m 53.0 s Dilat. 19 h 54 m 39.0 s
		Ch	—	0.2	ePKP 19 h 53 m 49.9 s Nur Vorläufer registriert! U. S. C. G. S. 0 = 19 h 34 m 14.0 s, 17.0° S 174.0° W, h = 150 km, in Apia verspürt!
208	„ 31.	Z	9330	1.0	eP 16 h 49 m 46.8 s eS 17 h 00 m 17.3 s
		B	—	1.0	eP 16 h 49 m 54.0 s
		N	—	1.0	eL 17 h 25 m 53.7 s Nachstoß zu Nr. 202, 0 = 16 h 37 m 14.0 s, h = 60 km
209	„ 31.	Ch	—	0.1	e 19 h 53 m 49.9 s
210	Nov. 1.	Z	—	1.0	eP 00 h 02 m 38.2 s
		B	—	0.7	eP 00 h 02 m 42.6 s eL 00 h 25 m 00.0 s U. S. C. G. S. 0 = 23 h 51 m 37.0 s, Provinz Sikang (China)
211	„ 2.	Z	17100	0.3	ePKP 00 h 05 m 14.4 s e 00 h 05 m 43.5 s e 00 h 09 m 01.7 s ePP 00 h 09 m 15.7 s
		Ch	—	0.1	ePKP 00 h 05 m 14.5 s Dilat. e 00 h 05 m 46.6 s
		B	—	0.4	ePKP 00 h 05 m 14.6 s e 00 h 13 m 55.0 s Nur Vorläufer registriert! U. S. C. G. S. 0 = 23 h 45 m 36.0 s, 23.5° S 178° W, h = 150 km
212	„ 4.	Z	8700	3.0	eP? 17 h 10 m 18.6 s Compr. eP 17 h 10 m 20.9 s Dilat. i 17 h 10 m 28.4 s
		B	—	3.0	cP 17 h 10 m 19.8 s leS 17 h 20 m 10.2 s
		Ch	—	3.0	e 17 h 10 m 21.6 s ? eP 17 h 10 m 23.9 s Dilat. e 17 h 20 m 33.6 s B. I. 0 = 16 h 58 m 23.0 s, 52.9° N 160.1° E Weltbeben an der Küste von Kamtschatka erzeugt im pazifischen Ozean eine Flutwelle, die in Hawai und bis an die Küsten von Südamerika beobachtet werden konnte.
213	„ 4.	Z	—	0.1	e_z 17 h 20 m 55.7 s Nr. 212 überlagert!
214	„ 4.	Z	—	0.1	e_z 17 h 21 m 59.0 s Nr. 212 überlagert, Nachstoß!
215	„ 4.	Z	—	0.1	e_z 17 h 23 m 04.0 s Nr. 212 überlagert!
216	„ 4.	Z	—	0.1	e_z 17 h 26 m 38.4 s Nr. 212 überlagert!

Tabelle III (Fortsetzung)

Nr.	Datum	Station	Epizentral-entfernung nach S–P	Ungefähre Dauer der Registr.	Phasen, Bemerkungen
	1952		km	Std.	
217	Nov. 4.	Z	—	0.1	e_z 17 h 36 m 19.8 s Nr. 212 überlagert!
218	„ 4.	Z	—	0.1	e_z 17 h 48 m 09.6 s Nr. 212 überlagert!
		Ch	—	0.1	e_z 17 h 48 m 38.0 s
219	„ 4.	Z	—	0.1	e_z 18 h 40 m 40.0 s Nr. 212 überlagert!
		Ch	—	0.1	e_z 18 h 40 m 52.6 s Compr.
					Nachstoß zu Nr. 212, 0 = 18 h 28 m 52.0 s
220	„ 4.	Z	—	0.1	e_z 19 h 02 m 24.6 s c_z 19 h 03 m 01.4 s
221	„ 4.	Z	—	0.1	e_z 19 h 31 m 40.2 s
222	„ 4.	Z	—	0.1	e_z 19 h 52 m 36.5 s e_z 19 h 53 m 16.9 s
		Ch	—	0.1	e_z 19 h 52 m 38.6 s
					Nachstoß zu Nr. 212, 0 = 19 h 40 m 41.0 s
223	„ 4.	B	—	0.1	e 20 h 07 m 36.6 s e 20 h 17 m 36.6 s
224	„ 4.	Z	—	0.1	eP 20 h 41 m 24.5 s Compr.
		B	—	0.1	eP 20 h 41 m 25.6 s
		Ch	—	0.1	eP 20 h 41 m 27.3 s Dilat.
225	„ 4.	Z	—	0.1	e_z 20 h 49 m 11.6 s
226	„ 4.	B	—	0.5	eP 21 h 00 m 48.5 s
		Z	8720	0.5	eP 21 h 00 m 51.6 s Dilat. eS 21 h 10 m 45.3 s
		Ch	8870	0.5	eP 21 h 00 m 53.9 s Dilat. eS 21 h 10 m 54.0 s
					Nachstoß zu Nr. 212, 0 = 20 h 48 m 43.0 s
227	„ 4.	Z	8550	0.2	eP 21 h 12 m 50.0 s Compr. eS 21 h 22 m 33.0 s
		Ch	—	0.2	eP 21 h 12 m 52.7 s Compr.
					Nachstoß zu Nr. 212, 0 = 21 h 00 m 53.0 s
228	„ 4.	Z	—	0.1	e_z 21 h 35 m 01.6 s Compr.
229	„ 4.	B	—	0.1	c_z 21 h 42 m 13.1 s
230	„ 4.	Z	—	0.1	e_z 22 h 04 m 58.8 s c_z 22 h 05 m 13.4 s
		B	—	0.1	c_z 22 h 04 m 59.6 s
		Ch	—	0.1	e_z 22 h 05 m 00.6 s
					Nachstoß zu Nr. 212, 0 = 21 h 52 m 50.0 s
231	„ 4.	Z	—	0.1	e_z 22 h 24 m 55.8 s
		B	—	0.1	e_z 22 h 24 m 57.1 s
		Ch	—	0.1	e_z 22 h 25 m 00.0 s
					Nachstoß zu Nr. 212, 0 = 22 h 12 m 54.0 s
232	„ 4.	Z	—	0.1	eP_z 22 h 31 m 19.4 s
		B	—	0.1	eP_z 22 h 31 m 20.1 s
		Ch	—	0.1	eP_z 22 h 31 m 22.8 s Compr.
233	„ 4.	B	—	—	e_z 22 h 43 m 54.6 s
		Z	—	—	e_z 22 h 43 m 56.1 s
234	„ 4.	B	—	0.1	e_z 22 h 49 m 05.0 s Min'-Lücke
235	„ 4.	Z	—	0.1	e_z 22 h 53 m 52.2 s Compr.
		Ch	—	0.1	e_z 22 h 53 m 55.1 s Dilat.
236	„ 4.	B	—	0.1	e_z 23 h 41 m 05.5 s
		Z	—	0.1	e_z 23 h 41 m 06.5 s
		Ch	—	0.1	e_z 23 h 41 m 08.4 s Dilat.
					Nachstoß zu Nr. 212, 0 = 23 h 28 m 58.0 s
237	„ 4.	B	—	0.1	e_z 23 h 47 m 22.6 s
		Z	—	0.1	e_z 23 h 47 m 23.1 s
		Ch	—	0.1	e_z 23 h 47 m 25.1 s Compr.
238	„ 4.	Z	—	0.1	e_z 23 h 53 m 26.8 s Compr.
		B	—	0.1	e_z 23 h 53 m 27.6 s
		Ch	—	0.1	e_z 23 h 53 m 28.6 s
239	„ 5.	B	—	0.1	e_z 00 h 01 m 25.6 s

Tabelle III (Fortsetzung)

Nr.	Datum	Station	Epizentral-entfernung nach P–S	Ungefähre Dauer der Registr.	Phasen, Bemerkungen
	1952		km	Std.	
240	Nov. 5.	Z	—	0.1	e_z 00 h 43 m 56.1 s Dilat.
241	„ 5.	B	—	0.1	e_z 01 h 28 m 43.6 s
242	„ 5.	Z	8700	0.3	eP 02 h 32 m 01.8 s Compr. eS 02 h 41 m 54.8 s
		Ch	—	0.3	eP 02 h 32 m 03.9 s Compr.
		B	—	0.3	eP 02 h 32 m 05.6 s Nachstoß zu Nr. 212, 0 = 02 h 19 m 58.0 s
243	„ 5.	Z	—	0.1	e_z 03 h 41 m 40.2 s e_z 03 h 41 m 49.1 s
		Ch	—	0.1	eP 03 h 41 m 42.3 s Dilat. e 03 h 41 m 51.4 s Compr.
		B	—	0.1	e_z 03 h 41 m 50.6 s Nachstoß zu Nr. 212, 0 = 03 h 29 m 44.0 s
244	„ 5.	B	—	0.1	e 04 h 27 m 52.6 s
245	„ 5.	B	—	0.1	e_z 06 h 09 m 53.6 s
		Z	8970	0.1	eP? 06 h 09 m 55.8 s eS? 06 h 20 m 01.8 s
		Ch	—	0.1	eP 06 h 09 m 59.1 s Min'-Lücke Gleiche Herdregion wie Nr. 212, U. S. C. G. S. 0 = 05 h 57 m 43.0 s, 49° N 156° E
246	„ 5.	Z	—	0.1	eP_z 07 h 18 m 17.4 s Compr.
		B	—	0.1	eP_z 07 h 18 m 17.5 s
		Ch	—	0.1	eP_z 07 h 18 m 20.5 s Compr.
247	„ 5.	B	—	0.1	e_z 08 h 50 m 28.1 s
248	„ 5.	B	—	0.1	eP 09 h 42 m 08.2 s
		Ch	—	0.1	eP 09 h 42 m 13.0 s Dilat.
249	„ 5.	B	—	0.1	e_z 11 h 30 m 19.6 s
250	„ 5.	B	—	0.1	eP 11 h 46 m 37.6 s
		Z	—	0.1	eP 11 h 46 m 37.7 s
		Ch	—	0.1	eP 11 h 46 m 39.6 s Dilat. Nachstoß zu Nr. 212, 0 = 11 h 34 m 37.0 s
251	„ 5.	Z	—	0.1	eP 11 h 58 m 38.9 s
		B	—	0.1	eP 11 h 58 m 39.6 s
		Ch	—	0.1	eP 11 h 58 m 41.8 s Dilat.
		N	—	0.1	eP_z 11 h 58 m 44.1 s Nachstoß zu Nr. 212, 0 = 11 h 46 m 34.0 s
252	„ 5.	B	—	0.1	e_z 13 h 18 m 24.4 s Compr.
		Z	—	0.1	e_z 13 h 18 m 25.3 s Compr.
		Ch	8760	0.1	eP 13 h 18 m 26.3 s Compr. eS 13 h 28 m 21.0 s
		N	8760	0.1	eP 13 h 18 m 30.4 s eS 13 h 28 m 25.0 s Nachstoß zu Nr. 212, 0 = 13 h 06 m 24.0 s
253	„ 5.	B	—	0.1	e_z 14 h 23 m 00.0 s
		Ch	—	0.1	e_z 14 h 23 m 01.0 s Dilat.
254	„ 5.	Z	—	0.1	e_z 14 h 38 m 18.1 s
		B	—	0.1	e_z 14 h 38 m 19.6 s
		Ch	—	0.1	e_z 14 h 38 m 20.8 s B. I. 0 = 14 h 26 m, Kurilen
255	„ 5.	Z	—	0.1	eP 15 h 00 m 15.1 s
		Ch	—	0.1	eP 15 h 00 m 18.7 s Dilat. e 15 h 00 m 48.5 s Dilat.
		B	—	0.1	e_z 15 h 00 m 47.6 s
		N	—	0.1	e_z 15 h 00 m 51.2 s U. S. C. G. S. 0 = 14 h 48 m 41.0 s, 50° N 156.5° E
256	„ 5.	Ch	—	—	e_z 15 h 07 m 29.6 s
257	„ 5.	Ch	—	—	eP 15 h 19 m 12.9 s Compr.
258	„ 5.	Z	—	0.1	eP 16 h 46 m 58.5 s
259	„ 5.	B	—	0.1	eP 19 h 20 m 17.6 s
		Z	—	0.1	eP 19 h 20 m 18.3 s
		Ch	—	0.1	eP 19 h 20 m 20.7 s Compr. Nachstoß zu Nr. 212, 0 = 19 h 08 m 26.0 s, 53.5° N 161.5 ° E
260	„ 5.	B	—	—	e_z 19 h 47 m 14.1 s

Tabelle III (Fortsetzung)

Nr.	Datum	Station	Epizentral-entfernung nach S-P	Ungefähre Dauer der Registr.	Phasen, Bemerkungen
	1952		km	Std.	
261	„ 5.	Z	—	0.1	eP 20 h 42 m 33.6 s
		B	—	0.1	eP 20 h 42 m 34.6 s
		Ch	—	0.1	eP 20 h 42 m 35.7 s
					U. S. C. G. S. 0 = 20 h 30 m 22.0 s, 49° N 159° E
262	„ 5.	B	—	0.1	e_Z 20 h 50 m 39.5 s
263	„ 5.	Z	—	0.1	eP_Z 21 h 58 m 11.5 s
		B	—	0.1	eP_Z 21 h 58 m 13.6 s
		Ch	—	0.1	e_Z 21 h 58 m 43.7 s
					U. S. C. G. S. 0 = 21 h 46 m 00.0 s, 49.5° N 157° E
264	„ 5.	B	—	—	e_Z 22 h 06 m 14.6 s
265	„ 6.	B	—	0.1	eP 01 h 10 m 34.6 s
		Ch	—	0.1	eP 01 h 10 m 36.5 s
		Z	—	0.1	e_Z 01 h 10 m 58.9 s
266	„ 6.	B	—	0.5	eP 02 h 36 m 48.3 s e 02 h 40 m 52.0 s
267	„ 6.	B	—	0.5	eP 04 h 06 m 31.3 s e 04 h 10 m 40.0 s
					U. S. C. G. S. 0 = 03 h 54 m 21.0 s, 50° N 158.5° E
268	„ 6.	B	—	0.1	e_Z 04 h 47 m 23.3 s
269	„ 6.	Ch	—	0.1	eP 05 h 54 m 18.3 s
270	„ 6.	B	—	0.1	eP 11 h 09 m 12.2 s
		Ch	—	0.1	eP 11 h 09 m 14.4 s Compr.
271	„ 6.	Z	8720	1.0	eP 19 h 58 m 01.2 s eS 20 h 07 m 54.0 s
		Ch	—	1.0	eP 19 h 58 m 03.4 s
		B	—	0.5	eP 19 h 58 m 04.5 s
		N	8730	1.0	eP 19 h 58 m 07.5 s eS 20 h 08 m 00.7 s
					U. S. C. G. S. 0 = 19 h 45 m 57.0 s, 51.5° N 159.5° E
272	„ 6.	Ch	—	0.1	ePKP 20 h 06 m 18.5 s
		Z	—	0.1	ePKP 20 h 06 m 18.9 s
		B	—	0.1	ePKP 20 h 06 m 22.0 s
					Nur schwache Vorläufer, U. S. C. G. S. 0 = 19 h 47 m 20.0 s, 5.0° S 145.5° E
273	„ 6.	Z	—	0.1	eP 20 h 51 m 09.8 s Compr.
		B	—	0.1	eP 20 h 51 m 10.0 s Compr.
		Ch	—	0.1	eP 20 h 51 m 12.6 s Compr.
274	„ 6.	B	—	0.1	eP 23 h 47 m 42.5 s
275	„ 7.	Ch	—	0.2	eP 02 h 34 m 00.0 s
		Z	—	0.5	e_Z 02 h 34 m 04.5 s
		B	—	0.5	e_Z 02 h 34 m 05.6 s Min'-Lücke
276	„ 7.	Ch	—	—	e_Z 04 h 07 m 22.5 s
277	„ 7.	B	—	—	e_Z 07 h 01 m 44.6 s
278	„ 7.	Z	—	0.1	eP 12 h 21 m 08.8 s
		B	—	0.1	eP 12 h 21 m 10.6 s
		Ch	—	0.1	eP 12 h 21 m 12.6 s Compr.
		N	—	0.1	eP 12 h 21 m 14.7 s
					U. S. C. G. S. 0 = 12 h 09 m 09.0 s, 52° N 161° E
279	„ 7.	Ch	—	0.1	eP 13 h 53 m 07.0 s Compr.
		Z	—	0.1	e 13 h 53 m 45.5 s
		B	—	0.1	e 13 h 53 m 45.7 s
					U. S. C. G. S. 0 = 13 h 41 m 45.0 s, 52° N 161° E
280	„ 7.	Z	9050?	1.0	eP 14 h 20 m 33.1 s eS? 14 h 30 m 40.6 s
		B	—	0.1	eP 14 h 20 m 34.6 s
		Ch	—	0.1	eP 14 h 20 m 34.9 s Compr.
		N	—	0.1	eP 14 h 20 m 36.9 s
					U. S. C. G. S. 0 = 14 h 08 m 25.0 s, 49° N 157° E
281	„ 7.	Z	—	0.3	eP 15 h 52 m 50.0 s
		B	—	—	eP 15 h 52 m 51.0 s

Tabelle III (Fortsetzung)

Nr.	Datum	Station	Epizentral-entfernung nach S–P	Ungefähre Dauer der Registr.	Phasen, Bemerkungen
	1952		km	Std.	
282	Nov. 7.	Z	—	0.2	eP 17 h 06 m 37.7 s e 17 h 06 m 49.9 s
283	„ 7.	B	—	0.4	eL 21 h 40 m U. S. C. G. S. 0 = 20 h 54 m 58.0 s, 26° N 110.5° W
284	„ 7.	Z	9050?	0.3	eP 22 h 17 m 37.5 s eS? 22 h 27 m 45.3 s
		B	—	0.1	eP 22 h 17 m 39.5 s
		Ch	—	0.1	eP 22 h 17 m 40.1 s e 22 h 17 m 41.6 s Dilat.
					U. S. C. G. S. 0 = 22 h 05 m 19.0 s, 47° N 155° E
285	„ 7.	Z	18110	0.3	ePKP 23 h 32 m 09.6 s ePP 23 h 36 m 40.3 s
		B	18000	0.5	ePKP 23 h 32 m 10.4 s e 23 h 32 m 58.0 s ePP 23 h 36 m 38.0 s
		Ch	—	0.3	ePKP 23 h 32 m 11.5 s e 23 h 33 m 00.7 s
					U. S. C. G. S. 0 = 23 h 12 m 04.0 s, 31° S 177° W, auf der Insel Raoul V
286	„ 8.	Z	8730	0.4	eP 19 h 45 m 32.5 s Compr. eS 19 h 55 m 26.2 s
		B	—	1.0	eP 19 h 45 m 34.2 s
		N	—	1.0	eP 19 h 45 m 36.6 s
					0 = 19 h 33 m 18.0 s, 48.5° N 156.0° E
287	„ 8.	Z	—	0.2	eP 20 h 27 m 06.9 s Compr. e 20 h 36 m 33.6 s
		B	—	0.2	eP 20 h 27 m 07.0 s
288	„ 9.	Z	—	0.1	eP 00 h 34 m 30.8 s Compr. e 00 h 34 m 39.3 s
		B	—	0.1	eP 00 h 34 m 30.9 s e 00 h 34 m 42.9 s e 00 h 41 m 24.0 s
289	„ 9.	Z	—	0.1	eP 01 h 29 m 37.1 s
		B	—	0.1	eP 01 h 29 m 38.5 s
					U. S. C. G. S. 0 = 01 h 17 m 39.0 s, 52.5° N 160° E
290	„ 9.	Z	—	0.1	e_z 01 h 48 m 47.8 s
		B	—	0.1	e_z 01 h 51 m 09.9 s
291	„ 9.	B	—	0.1	e_z 04 h 47 m 15.7 s
		Z	—	0.1	e_z 04 h 47 m 15.9 s
292	„ 9.	Z	—	0.1	e_z 05 h 18 m 16.8 s
		B	—	0.1	e_z 05 h 18 m 16.9 s e 05 h 44 m 23.7 s
					U. S. C. G. S. 0 = 05 h 06 m 29.0 s,53.5° N 159.5° E
293	„ 9.	Z	—	0.1	e_z 06 h 09 m 04.0 s Dilat.
		B	—	0.1	e_z 06 h 09 m 06.0 s Min'-Lücke
					U. S. C. G. S. 0 = 05 h 56 m 54.0 s, 49° N 157° E
294	„ 9.	Z	—	0.1	e_z 12 h 35 m 04.6 s
295	„ 9.	Z	—	0.5	eP 15 h 34 m 51.4 s
		B	—	0.5	eP 15 h 34 m 51.7 s eS? 15 h 45 m 25.0 s
		Ch	—	0.5	eP 15 h 34 m 53.0 s Compr.
296	„ 9.	Z	—	0.2	e_z 15 h 43 m 30.1 s
		B	—	0.2	e_z 15 h 43 m 30.9 s
		Ch	—	0.2	e_z 15 h 43 m 31.4 s Compr.
					U. S. C. G. S. 0 = 15 h 31 m 06.0 s, 45° N 151.5° E
297	„ 9.	B	—	—	e_z 18 h 24 m 15.1 s
298	„ 10.	B	—	0.8	e_z 01 h 07 m 08.6 s
		Z	—	0.8	e_z 01 h 07 m 12.1 s
		Ch	8880	0.4	eP 01 h 07 m 14.4 s Dilat. eS 01 h 17 m 15.3 s
					U. S. C. G. S. 0 = 00 h 55 m 00.0 s, 50° N 158.5° E
299	„ 10.	Z	—	0.1	e_z 05 h 37 m 25.0 s
		B	—	0.1	e_z 05 h 37 m 30.5 s Spuren!
300	„ 10.	B	—	—	e_z 09 h 52 m 09.0 s Spuren!
301	„ 10.	Z	8780	0.4	eP 20 h 38 m 34.3 s eS 20 h 48 m 31.0 s
		B	—	—	eP 20 h 38 m 36.0 s e 20 h 40 m 28.0 s
		Ch	8700	0.7	eP 20 h 38 m 37.4 s Compr. e 20 h 38 m 38.4 s Dilat. eS 20 h 48 m 29.7 s
		N	—	0.2	eP 20 h 38 m 38.6 s [eL 21 h 19 m
					U. S. C. G. S. 0 = 20 h 26 m 40.0 s, 53.5° N 160° E
302	„ 10.	Z	—	0.1	eP 22 h 06 m 05.8 s Compr.
		B	—	0.1	eP 22 h 06 m 06.0 s Min'-Lücke
		Ch	—	0.1	eP 22 h 06 m 08.5 s Compr.

Tabelle III (Fortsetzung)

Nr.	Datum	Station	Epizentral-entfernung nach P–S	Ungefähre Dauer der Registr.	Phasen, Bemerkungen
	1952		km	Std.	
303	Nov. 10.	B	—	—	e_z 23 h 42 m 12.9 s
304	„ 11.	Z	8550	0.4	eP 19 h 32 m 46.5 s Compr. eS 19 h 42 m 31.2 s
		B	—	0.4	eP 19 h 32 m 47.0 s e 19 h 32 m 58.3 s e 19 h 38 m 45.0 s
305	„ 12.	Z	—	0.1	eP 13 h 50 m 37.5 s Dilat.
		B	—	0.1	eP 13 h 50 m 37.6 s Dilat.
306	„ 13.	Z	8700	0.7	eP 08 h 10 m 49.5 s Compr. eS 08 h 20 m 42.1 s
		B	—	0.7	eP 08 h 10 m 49.8 s eL 08 h 40 m
		N	—	0.7	eP 08 h 10 m 55.5 s
					U. S. C. G. S. 0 = 07 h 58 m 45.0 s, 50° N 157° E
307	„ 13.	Z	—	0.1	e_z 15 h 34 m 35.2 s
308	„ 13.	Z	8850?	1.0	eP 22 h 37 m 42.9 s Dilat. eS? 22 h 47 m 41.5 s
		B	—	0.5	eP 22 h 37 m 43.3 s
		Ch	—	0.3	eP? 22 h 37 m 45.0 s Dilat. Keine Zeitmarken!
					U. S. C. G. S. 0 = 22 h 25 m 34.0 s, 50° N 158° E
309	„ 14.	Z	—	0.1	e_z 23 h 37 m 59.5 s
		B	—	0.1	e_z 23 h 38 m 02.0 s e 23 h 38 m 11.0 s
310	„ 15.	B	—	0.1	eP 01 h 16 m 19.5 s e 01 h 16 m 24.7 s
		Z	—	0.1	eP? 01 h 16 m 23.1 s Min'-Lücke
311	„ 15.	B	—	0.1	e_z 05 h 13 m 26.0 s
		Z	—	0.1	e_z 05 h 13 m 27.0 s Compr.
312	„ 15.	Z	—	0.1	eP 05 h 35 m 04.9 s e 05 h 35 m 53.3 s
313	„ 16.	Z	—	0.1	e_z 02 h 00 m 00.3 s
					U. S. C. G. S. 0 = 01 h 47 m 54.0 s, 50.5° N 157° E
314	„ 16.	Z	—	0.1	eP 04 h 22 m 33.7 s
		B	—	0.1	eP 04 h 22 m 36.2 s
					B. I. Nachstoß zu Nr. 212, 0 = 04 h 10 m 30.0 s
315	„ 16.	B	—	—	e_z 12 h 42 m 21.1 s
316	„ 18.	B	—	0.1	eP 07 h 54 m 48.1 s
		Ch	—	0.1	eP 07 h 54 m 50.5 s Compr.
317	„ 18.	Z	8640	1.0	eP 08 h 25 m 35.6 s Dilat. eS 08 h 35 m 24.5 s Az. NE
		B	—	—	eP 08 h 25 m 36.4 s
		Ch	—	0.2	eP 08 h 25 m 37.8 s Dilat.
		N	—	0.2	eP 08 h 25 m 40.1 s
					U. S. C. G. S. 0 = 08 h 13 m 25.0 s, 49.5° N 156.5° E
318	„ 20.	B	—	1.0	e 05 h 35 m 22.7 s eL 16 h 18 m
319	„ 21.	Z	—	0.1	eP 02 h 40 m 08.7 s Dilat.
		B	—	0.1	eP 02 h 40 m 10.1 s
320	„ 21.	Z	—	0.1	eP 03 h 31 m 30.3 s Compr.
		B	—	0.1	eP 03 h 31 m 31.6 s
					Nachstoß zu Nr. 212, 0 = 03 h 19 m 23.3 s
321	„ 22.	Z	—	0.1	e_z 05 h 31 m 19.2 s
		B	—	0.1	e_z 05 h 31 m 20.1 s
322	„ 22.	Z	9650?	0.3	eP? 07 h 59 m 15.9 s e 07 h 59 m 35.9 s eS 08 h 09 m 52.0 s
		B	—	0.5	eP? 07 h 59 m 21.3 s e 08 h 10 m 24.0 s
					Nach Pasadena 0 = 07 h 46 m 38.5 s, 35° 50′ N, 121° 10′ W
					In San Luis Obispo Bauschäden!
323	„ 23.	B	—	0.1	e_z 01 h 04 m 18.1 s
324	„ 23.	Z	—	0.1	eP 23 h 33 m 23.5 s Dilat.
		B	—	0.1	eP 23 h 33 m 24.0 s Compr.?
325	„ 24.	Z	—	0.1	eP 00 h 26 m 03.2 s
		B	—	0.1	eP 00 h 26 m 05.2 s

Tabelle III (Fortsetzung)

Nr.	Datum	Station	Epizentral-entfernung nach S-P	Ungefähre Dauer der Registr.	Phasen, Bemerkungen
	1952		km	Std.	
326	Nov. 24.	Z	—	0.1	ePKP 20 h 35 m 56.6 s e 20 h 36 m 17.9 s
		B	—	0.1	ePKP 20 h 35 m 59.1 s Compr.
		Ch	—	0.1	ePKP 20 h 36 m 00.4 s
					U. S. C. G. S. 0 = 20 h 16 m 14.0 s, 18° S 168° E
327	„ 26.	B	—	0.7	eP 13 h 37 m 12.5 s Compr.
		Ch	—	0.3	eP 13 h 37 m 15.5 s Compr. i 13 h 37 m 16.4 s Dilat.
		Z	—	0.2	eP? 13 h 37 m 15.6 s Min'-Lücke
					Nachstoß zu Nr. 212, 0 = 13 h 25 m 18.0 s, 53° N 160° E
328	„ 27.	Ch	—	0.2	eP 07 h 28 m 32.8 s Compr. i 07 h 28 m 33.8 s Dilat.
		Z	—	0.4	eP 07 h 28 m 37.1 s Compr. e 07 h 29 m 03.2 s ePP 07 h 30 m 25.5 s
		B	—	0.2	eP 07 h 28 m 43.2 s
					B. I. 0 = 07 h 20 m 34.0 s, 36.5° N 70.5° E, h = 220 km
329	„ 28.	B	—	0.1	e_z 08 h 12 m 33.6 s
330	„ 28.	Z	—	0.3	eP 08 h 17 m 32.2 s Compr.
					U. S. C. G. S. 0 = 08 h 05 m 30.0 s, 52° N 160° E
331	„ 28.	Z	—	0.2	ePKP 21 h 20 m 32.8 s epPKP 21 h 21 m 01.6 s e 21 h 23 m 16.6 s e 21 h 23 m 46.5 s
		Ch	—	0.2	ePKP 21 h 20 m 32.9 s epPKP 21 h 21 m 01.6 s e 21 h 23 m 42.0 s
		B	—	—	ePKP 21 h 20 m 34.3 s
					U. S. C. G. S. 0 = 21 h 01 m 27.0 s, 6.5° S 155.5° E, h = 100 km
332	„ 29.	Z	8630	1.0	eP 08 h 34 m 31.6 s Compr. e_z 08 h 34 m 39.3 s Dilat. eS 08 h 44 m 20.1 s
		B	8760	1.0	eP 08 h 34 m 32.4 s e 08 h 34 m 41.0 s ePP? 08 h 36 m 31.0 s eS 08 h 44 m 26.0 s
		Ch	8730	1.0	eP 08 h 34 m 33.7 s eS 08 h 44 m 26.7 s
		N	8770	1.0	eP 08 h 34 m 36.7 s eS 08 h 44 m 32.0 s
					Nachstoß zu Nr. 212, 0 = 08 h 22 m 34.0 s, 53° N 160° E
333	„ 29.	Z	8450	1.2	eP 23 h 58 m 14.2 s Compr. eS 00 h 07 m 54.8 s
		B	—	—	eP 23 h 58 m 15.4 s e 23 h 58 m 27.4 s
		N	8540	1.0	eP 23 h 58 m 15.9 s eS 00 h 08 m 00.0 s
		Ch	8660	1.0	eP 23 h 58 m 19.8 s eS 00 h 08 m 09.6 s
					Alaska, U. S. C. G. S. 0 = 23 h 46 m 25.0 s, 56° N 155° W
334	„ 30.	Z	—	0.1	eP 18 h 46 m 56.9 s
		Ch	—	0.1	eP 18 h 46 m 58.5 s
					Nur Vorläufer registriert!
335	„ 30.	B	—	0.3	eP 19 h 40 m 42.4 s e 19 h 41 m 57.0 s
		Z	—	0.3	eP 19 h 40 m 42.9 s e 19 h 40 m 47.1 s
		Ch	—	0.1	eP 19 h 40 m 45.2 s
					Nachstoß zu Nr. 212, U. S. C. G. S. 0 = 19 h 28 m 44.0 s, 52.5° N 159° E
336	Dez. 1.	Ch	—	—	e 14 h 59 m 34.9 s e 15 h 11 m 08.2 s
337	„ 3.	Z	—	0.1	iP 22 h 37 m 41.7 s Compr.
		B	—	0.1	eP 22 h 37 m 42.5 s e 22 h 45 m 46.0 s
		Ch	—	0.1	eP 22 h 37 m 44.3 s
338	„ 4.	Z	8800	0.4	eP 04 h 03 m 37.8 s epP 04 h 04 m 14.3 s ePP 04 h 06 m 32.6 s eS 04 h 13 m 20.3 s
		B	—	0.5	eP 04 h 03 m 39.5 s e 04 h 04 m 20.0 s [esS 04 h 14 m 08.5 s
		Ch	—	0.2	eP 04 h 03 m 42.1 s epP 04 h 04 m 23.4 s
					Ratten-Insel, U. S. C. G. S. 0 = 03 h 51 m 25.0 s, 52° N 178° E, h = 100 km
339	„ 4.	Z	—	0.1	e_z 15 h 08 m 34.7 s Compr.
		B	—	0.1	e_z 15 h 08 m 44.5 s
					B. I. 0 = 15 h 00 m 00.0 s, 23° N 61° E
340	„ 6.	Z	—	0.1	eP? 03 h 46 m 25.0 s Min'-Lücke
		B	—	0.1	eP 03 h 46 m 25.4 s Compr. e 03 h 55 m 39.0 s
		Ch	—	0.1	eP 03 h 46 m 27.6 s Compr.
					Wahrscheinlich Nachstoß zu Nr. 212, 0 = 03 h 34 m 20.0 s
341	„ 6.	Ch	14900	1.5	ePKP 11 h 00 m 31.9 s ePP 11 h 02 m 56.5 s i 11 h 00 m 38.6 s Dilat.
		Z	14680	2.0	ePKP 11 h 00 m 35.6 s ePP 11 h 02 m 53.4 s e 11 h 03 m 52.1 s e 11 h 04 m 01.9 s
		N	—	1.5	ePKP 11 h 00 m 36.9 s e 11 h 04 m 08.0 s
		B	—	1.5	ePKP 11 h 00 m 41.8 s e 11 h 01 m 46.0 s e 11 h 03 m 03.0 s
					U. S. C. G. S. 0 = 10 h 41 m 14.0 s, 8° S 157° E
342	„ 6.	Z	—	0.1	eP 12 h 58 m 41.7 s
		Ch	—	0.1	eP 12 h 58 m 42.2 s Compr.
		B	—	0.1	eP 12 h 58 m 42.8 s

Tabelle III (Fortsetzung)

Nr.	Datum	Station	Epizentral-entfernung nach S–P	Ungefähre Dauer der Registr.	Phasen, Bemerkungen
	1952		km	Std.	
343	Dez. 6.	B	—	0.2	ePKP? 21 h 09 m 36.8 s e 21 h 12 m 16.0 s
		Z	14650	0.1	ePKP 21 h 09 m 51.5 s ePP 21 h 12 m 08.4 s
		Ch	—	0.1	ePKP 21 h 09 m 52.2 s e 21 h 13 m 16.6 s
					Nachstoß zu Nr. 341, 0 = 20 h 50 m 35.0 s
344	„ 7.	B	9150?	1.0	eP 01 h 02 m 26.8 s Compr. eS? 01 h 12 m 39.0 s
		Z	8870	1.2	eP 01 h 02 m 27.3 s e 01 h 02 m 29.6 s Compr. eS 01 h 12 m 27.9 s
					[ePS 01 h 13 m 28.8 s
		Ch	9250?	1.0	eP 01 h 02 m 29.2 s Compr. e 01 h 02 m 31.5 s Compr. eS? 01 h 12 m 46.1 s
		N	9500?	1.0	eP 01 h 02 m 33.1 s eS? 01 h 13 m 05.0 s
					U. S. C. G. S. 0 = 00 h 50 m 12.0 s, 53° N 172.5° E
345	„ 7.	Z	—	0.1	e_Z 16 h 45 m 09.6 s
					Nachstoß zu Nr. 212, 0 = 16 h 33 m 10.0 s, 51.5° N 159° E
346	„ 8.	Z	—	0.1	eP 15 h 21 m 09.4 s e 15 h 21 m 43.5 s
		B	—	0.1	e 15 h 21 m 58.2 s
					U. S. C. G. S. 0 = 15 h 09 m 30.0 s, 23° N 99.5° E
347	„ 9.	B	—	0.5	ePKP 09 h 34 m 40.7 s Compr. e 09 h 35 m 42.0 s
		Z	—	0.5	ePKP 09 h 34 m 48.3 s Compr.
					U. S. C. G. S. 0 = 09 h 15 m 12.0 s, 15.5° S 168° E
348	„ 10.	B	2730?	0.7	eP 06 h 03 m 27.8 s eS? 06 h 07 m 45.0 s
		Z	—	0.1	eP 06 h 03 m 30.1 s Compr., H-Komponenten gestört!
		N	2990	0.7	eP 06 h 03 m 32.2 s eS? 06 h 08 m 06.0 s
					U. S. C. G. S. 0 = 05 h 58 m 06.0 s, 71° N 7° W
349	„ 10.	B	—	0.1	ePKP 08 h 25 m 46.5 s
		Ch	—	0.1	ePKP 08 h 25 m 46.9 s e 08 h 25 m 50.6 s Dilat.
					U. S. C. G. S. 0 = 08 h 06 m 03.0 s, 15.5° S 173.5° W, Apia IV
350	„ 11.	Z	8780	1.0	eP 09 h 10 m 22.4 s Compr. eS 09 h 20 m 18.2 s
		Ch	—	0.7	eP 09 h 10 m 24.4 s Compr.
		B	—	0.7	eP 09 h 10 m 24.9 s Compr. e 09 h 12 m 27.0 s
					U. S. C. G. S. 0 = 08 h 58 m 18.0 s, 49° N 155° E
351	„ 12.	Ch	—	0.2	eP? 20 h 43 m 59.0 s Min'-Lücke iP 20 h 44 m 12.7 s
		Z	—	0.2	eP 20 h 44 m 00.0 s Compr. e_Z 20 h 44 m 09.8 s Compr.
		B	—	0.2	eP 20 h 44 m 01.8 s e_Z 20 h 44 m 12.0 s
					Nachstoß zu Nr. 212, B. I. 0 = 20 h 32.1 m
352	„ 17.	Ch	1980	0.4	iP 23 h 07 m 53.7 s Compr. iS 23 h 11 m 09.0 s Az. 150°
		Z	1980	0.4	iP 23 h 08 m 03.6 s Compr. i 23 h 08 m 16.6 s eS 23 h 11 m 17.9 s Az. 130°
		N	2040	0.4	iP 23 h 08 m 09.9 s eS 23 h 11 m 31.0 s
		B	2070	0.4	iP 23 h 08 m 10.9 s eS 23 h 11 m 34.0 s
					B. I. 0 = 23 h 03 m 55.0 s, 34.75° N 24.3° E, großes Schüttergebiet, Kreta VI, Korfu, Leuka, Cephalonia IV—V
353	„ 18.	Z	—	0.1	e_Z 09 h 32 m 22.9 s
		B	—	0.1	e_Z 09 h 32 m 24.4 s
					Nur Vorläufer registriert, Nachstoß zu Nr. 212, 0 = 09 h 20 m 28.0 s
354	„ 19.	Z	—	0.1	ePKP 19 h 25 m 34.7 s Dilat. e_Z 19 h 25 m 38.4 s epPKP 19 h 26 m 38.7 s
		B	—	0.4	ePKP 19 h 25 m 39.0 s epPKP 19 h 26 m 26.0 s
					Nur Vorläufer registriert, U. S. C. G. S. 0 = 19 h 06 m 20.0 s, 15° S 175° W, h = 250 km
355	„ 20.	Z	8800?	0.4	eP 04 h 17 m 41.5 s Compr. eS? 04 h 27 m 39.5 s
		B	—	0.4	eP 04 h 17 m 42.0 s Compr.
		Ch	—	0.1	eP 04 h 17 m 43.8 s Compr.
					Nachstoß zu Nr. 212, 0 = 04 h 05 m 48.0 s
356	„ 22.	B	—	0.5	eP 22 h 36 m 34.2 s Compr. e 22 h 46 m 07.0 s
		Ch	8520?	0.7	eP 22 h 36 m 38.2 s eS? 22 h 46 m 20.2 s Keine Zeitmarken!
		N	—	0.3	iP 22 h 36 m 38.5 s
		Z	—	0.3	eP zirka 22 h 36 m 40.0 s Dilat. Keine Zeitmarken!
					Nachstoß zu Nr. 212, 0 = 22 h 24 m 42.0 s
357	„ 22.	B	—	0.2	eP 23 h 55 m 50.2 s Dilat. e 23 h 59 m 33.0 s
		N	—	0.1	iP 23 h 55 m 50.3 s
					Zürich und Chur keine Zeitmarken! B. I. 0 = 23 h 51 m 38.0 s, 35.6° N 25.3° E, auf Kreta verspürt, Heraklion VI

Tabelle III (Schluß)

Nr.	Datum	Station	Epizentral-entfernung nach P–S	Ungefähre Dauer der Registr.	Phasen, Bemerkungen
	1952		km	Std	
358	Dez. 25.	Z	—	0.2	eP 22 h 31 m 39.6 s Nur erste Vorläufer!
		B	—	0.5	eP 22 h 31 m 45.8 s e 22 h 41 m 14.0 s
					U. S. C. G. S. 0 = 22 h 22 m 42.0 s, 29° N 69.5° E
359	„ 26.	Z	—	0.1	e_z 11 h 33 m 53.3 s Compr. e_z 11 h 34 m 01.2 s e_z 11 h 34 m 17.9 s Compr.
		B	—	0.1	e_z? 11 h 31 m 53.4 s e_z 11 h 32 m 19.0 s e_z 11 h 34 m 17.0 s
					B. I. 0 = 11 h 15 m 09.0 s, 22.5° S 178.5° W, h = 600 km
360	„ 26.	Ch	890	0.2	eP 23 h 57 m 52.6 s eS 23 h 59 m 22.5 s Z-Komponente gestört!
		Z	990	0.1	iP 23 h 58 m 01.8 s Dilat. i 23 h 58 m 15.6 s eS 23 h 59 m 41.8 s
		N	1040	0.2	eP 23 h 58 m 05.9 s eS 23 h 59 m 51.0 s
		B	1040	0.6	eP 23 h 58 m 09.0 s eS 23 h 59 m 54.0 s
					Tyrrhenisches Meer, B. I. 0 = 23 h 55 m 56.0 s, 40° N 15.5° E, h = 250 km
361	„ 27.	Z	8770	0.4	eP 01 h 37 m 49.6 s Dilat. ePP 01 h 41 m 02.1 s eS 01 h 47 m 45.6 s
		B	—	0.5	eP 01 h 37 m 50.6 s e 01 h 39 m 01.0 s e 01 h 39 m 44.0 s
		Ch	—	0.5	eP 01 h 37 m 53.0 s
					Nachstoß zu Nr. 212, 0 = 01 h 25 m 54.0 s
362	„ 27.	B	—	0.1	ePKP 16 h 47 m 43.5 s
		Z	—	0.1	ePKP 16 h 47 m 44.7 s schwach!
					U. S. C. G. S. 0 = 16 h 28 m 04.0 s, 16° S 173° W
363	„ 28.	Ch	—	0.7	e 15 h 25 m 56.1 s eL 16 h 10 m
		Z	—	0.5	eL 15 h 55 m
		B	—	—	eL 15 h 57 m
		N	—	0.5	eL 15 h 57 m 51.0 s
					B. I. 0 = 15 h 01 m 20.0 s, 6.5° N 127° E, Dávao V
364	„ 28.	Z	—	0.2	eP 18 h 49 m 02.6 s Compr.
		B	—	0.2	eP? 18 h 49 m 08.5 s Min'-Lücke
					Küste von Pakistan, 0 = 18 h 40 m 20.0 s
365	„ 29.	Z	8860	0.3	eP 02 h 21 m 26.9 s eS 02 h 31 m 25.6 s
		B	8660	0.3	eP 02 h 21 m 28.7 s eS 02 h 31 m 19.0 s
					Nachstoß zu Nr. 212, 0 = 02 h 09 m 13.0 s
366	„ 29.	Z	—	0.5	e_z 23 h 40 m 13.2 s e_z 23 h 40 m 21.1 s schwach!
		B	—	0.5	e_z 23 h 40 m 37.5 s e_z 23 h 42 m 18.0 s
					U. S. C. G. S. 0 = 23 h 21 m 20.0 s, 21° S 178.5° W, h = 500 km
367	„ 31.	Z	1850	0.4	eP 14 h 52 m 48.3 s e 14 h 53 m 35.6 s eS 14 h 55 m 53.1 s
		B	—	0.4	eP 14 h 52 m 55.5 s e 14 h 56 m 22.0 s e 15 h 00 m 18.0 s
					B. I. 0 = 14 h 48 m 39.0 s, 35.5° N 25.75° E,
					Kreta: Heraklion VI, Neapolis VI
368	„ 31.	Z	1850	0.4	eP 17 h 22 m 52.5 s e 17 h 23 m 38.9 s eS 17 h 25 m 58.9 s e 17 h 26 m 16.0 s
		N	2050?	0.5	eP 17 h 22 m 58.1 s eS? 17 h 26 m 23.0 s
		B	2070?	0.5	eP 17 h 22 m 59.5 s eS? 17 h 26 m 26.0 s eL 17 h 30 m 17.0 s
					Nachstoß zu Nr. 367, 0 = 17 h 18 m 44.0 s, Neapolis VI
369	„ 31.	B	—	0.5	eP 21 h 55 m 59.5 s
		Z	—	0.5	eP 21 h 56 m 01.4 s schwach
					U. S. C. G. S. 0 = 21 h 43 m 49.0 s, 49° N 156° E

In der Schweiz im Jahre 1952 verspürte Erdbeben.

M.E. Zeit.

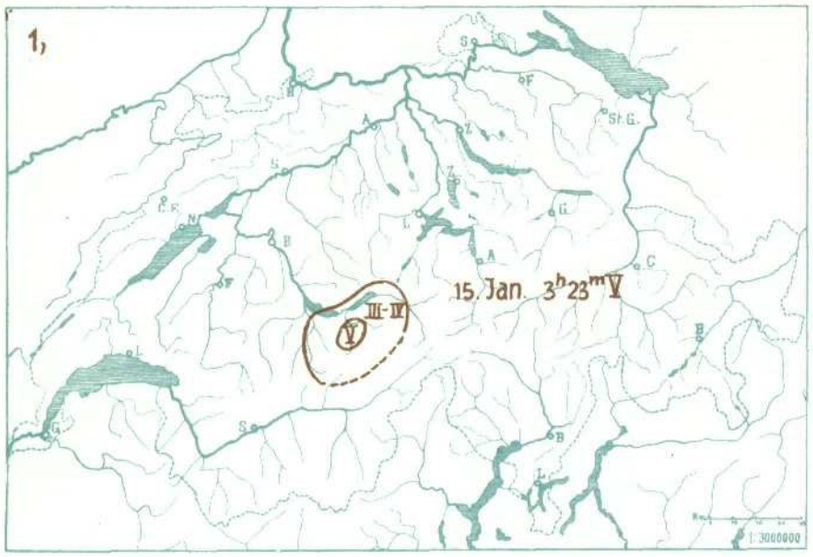

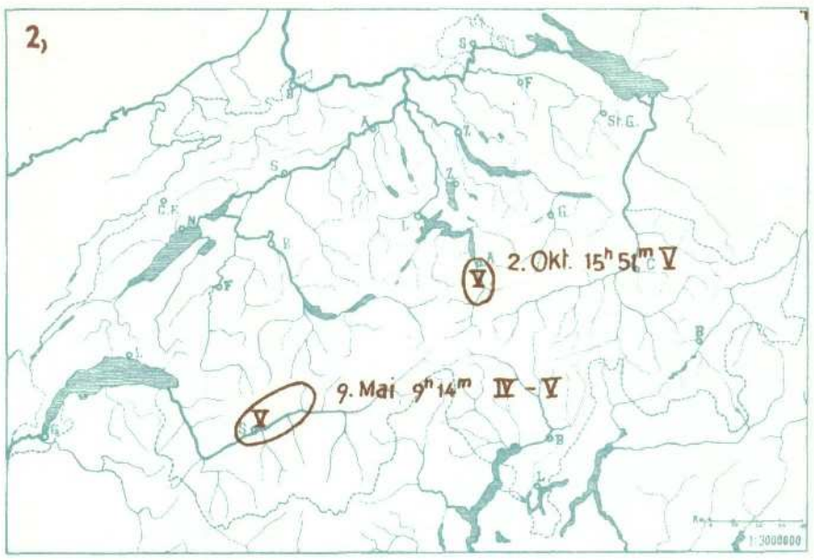

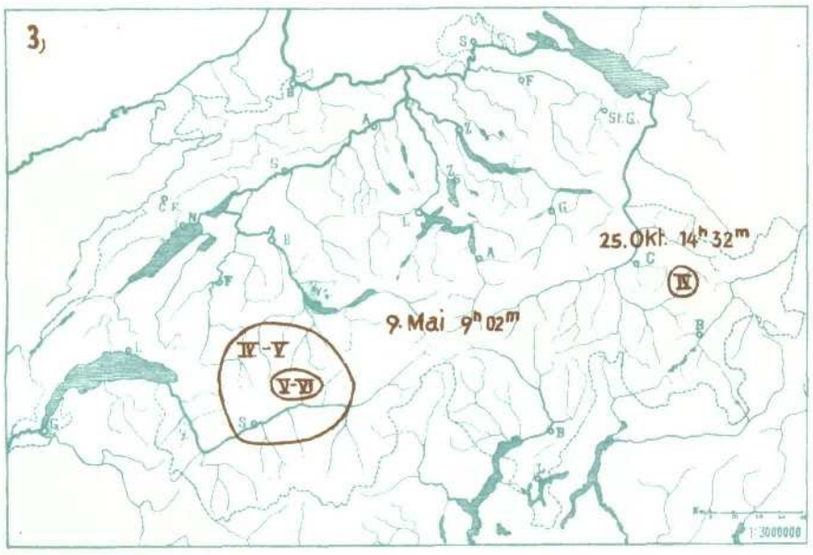

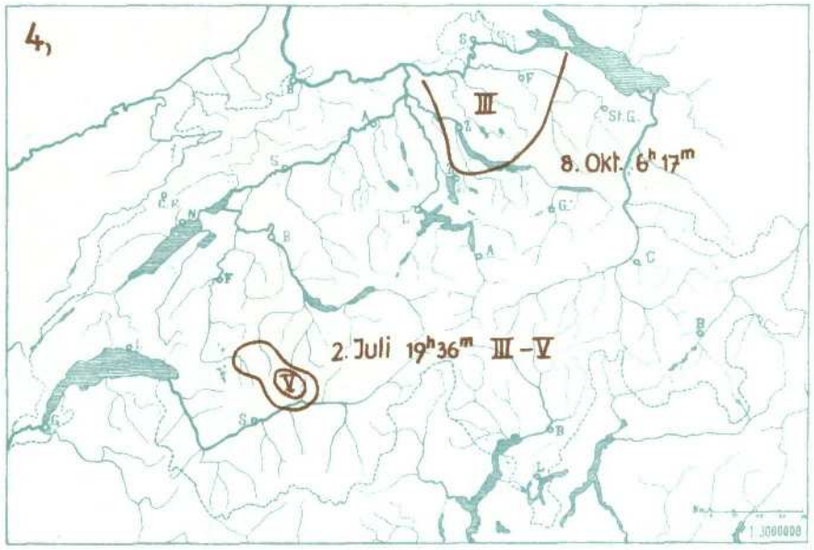

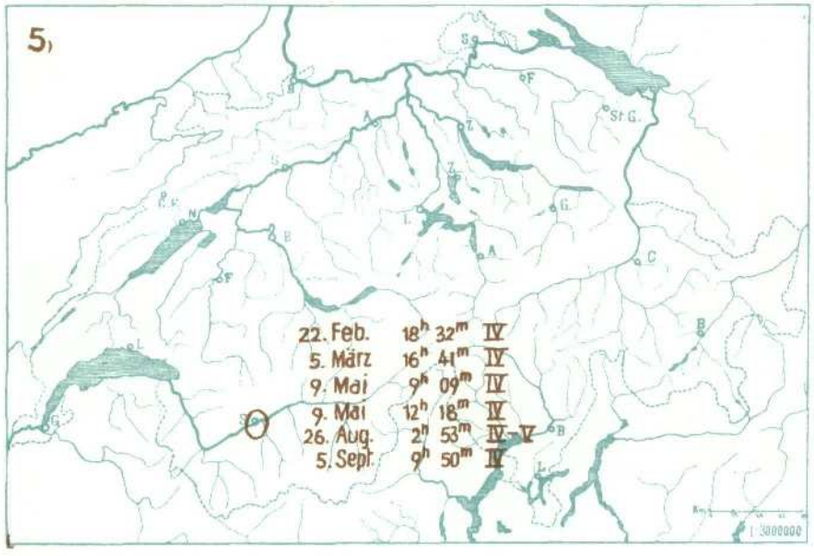

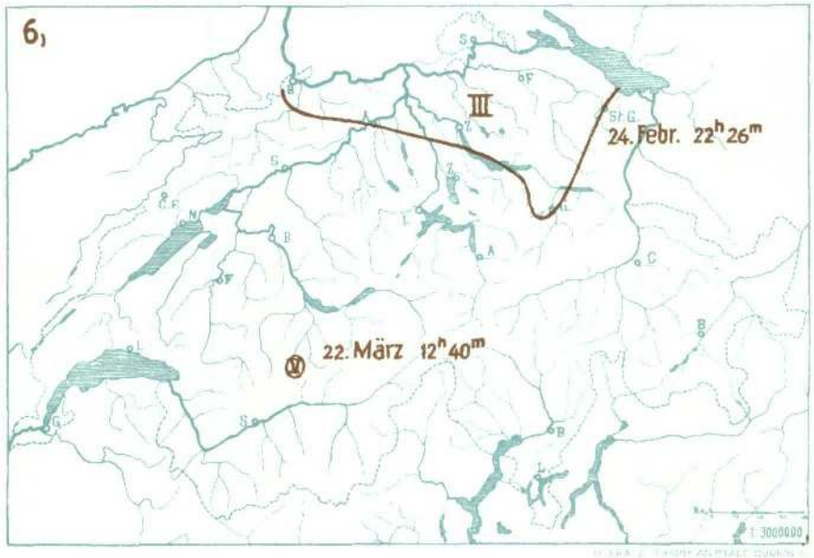

Nr. 6

Aerologische Station Payerne

Verwendete Sondenmodelle: Bei den ab dem Jahre 1942 in den Annalen der M. Z. A. publizierten Radiosondierungen wurden verschiedene Sondenmodelle verwendet. — 1942—1944 erstes Modell I; 1945—Juni 1946 verbessertes erstes Modell Ia; Juli 1946—Juni 1947 zweites Modell II; ab Juli 1947 kontaktloses Modell III.

Radiosondierungen 1952

Die Standardniveaus gemäß dem internationalen Code 1947 für 1000, 850, 700, 500, 300, 200 und 100 Millibar sind fettgedruckt. Ab 4. 10. 48 wurden die Höhen für 1000 mbar aus der Zustandskurve interpoliert.

Die Höhe ist in geopotentiellen Metern angegeben. 1 Meter geop. = 0,98 Meter dyn. (Washington: 1947, Resolutionen: 168 und 78)

Min.	PPP	TTT	UU	H m. geop.
	3. I. 1952	**15.00 h HEC**		
	1000	—	—	**100**
0	952.5	4.0	60	493
1	914	0.0	73	820
	894	**-1.8**	**76**	**1000**
2	865	-4.5	80	1260
	850	**-5.3**	**87**	**1400**
3	818	-8.0	97	1700
	787	**-9.9**	**99**	**2000**
4	771	-11.2	100	2150
5	728	-16.0	100	2590
	700	**-17.7**	**100**	**2883**
6	**689**	**-18.8**	**100**	**3000**
7	645	-22.2	77	3490
8	**602**	**-26.9**	**40**	**4000**
9	561	-30.5	30	4500
10	526	-33.7	33	4950
	522	**-33.9**	**35**	**5000**
	500	**-35.9**	**40**	**5300**
11	495	-36.6	40	5380
12	469	-39.4	40	5740
	451	**-41.7**	—	**6000**
13	439	-43.5	—	6190
14	410	-47.5	—	6650
	388	**-49.9**	—	**7000**
15	377	-51.6	—	7190
16	346	-53.7	—	7750
	333	**-54.9**	—	**8000**
17	323	-56.0	—	8180
18	**300**	**-57.4**	—	**8650**
	284	**-58.9**	—	**9000**
19	275	-58.7	—	9200
20	258	-60.2	—	9720
	242	**-57.8**	—	**10000**
21	232	-55.5	—	10270
22	212	-56.7	—	10840
	207	**-56.9**	—	**11000**
	200	**-57.6**	—	**11200**
23	194	-58.1	—	11400
24	179	-58.6	—	11900
	4. I. 1952	**15.00 h HEC**		
	1000	—	—	**220**
0	966.7	1.0	65	493
1	919	-3.8	88	900
	907	**-4.6**	**88**	**1000**
2	877	-6.8	86	1260
	850	**-8.7**	**88**	**1508**
3	839	-9.6	89	1610
4	807	-12.2	92	1900
	797	**-12.9**	**94**	**2000**
5	772	-15.0	97	2240
6	730	-17.2	100	2660
	700	**-18.5**	**100**	**2970**
	697	**-18.6**	**100**	**3000**
7	684	-19.6	100	3150
8	644	-21.9	92	3600
9	**608**	**-25.3**	**81**	**4000**
10	577	-29.8	71	4390
11	547	-33.2	65	4760
	528	**-34.9**	**64**	**5000**
12	512	-36.5	63	5230
	500	**-37.8**	**63**	**5390**
13	479	-40.2	—	5680
	457	**-41.6**	—	**6000**
14	446	-42.4	—	6160
15	415	-44.9	—	6650
	393	**-46.1**	—	**7000**
16	386	-46.6	—	7190
17	360	-48.5	—	7590
	338	**-49.8**	—	**8000**
18	335	-50.0	—	8070
19	312	-51.3	—	8520
	300	**-52.2**	—	**8770**
	290	**-53.2**	—	**9000**
20	287	-53.5	—	9060
21	263	-54.3	—	9620
	248	**-54.6**	—	**10000**
22	239	-55.0	—	10230
23	219	-56.3	—	10790
	212	**-56.0**	—	**11000**
24	**200**	**-55.7**	—	**11370**
25	187	-56.6	—	11790
	5. I. 1952	**15.00 h HEC**		
	1000	—	—	**200**
0	964.6	2.0	55	493
1	932	-0.3	88	770
	906	**-1.0**	**94**	**1000**
2	882	-1.8	100	1210
	850	**-4.0**	**100**	**1510**
3	843	-4.4	100	1570
	810	-6.7	100	1870
4	803	-6.4	100	1940
	797	**-6.2**	**100**	**2000**
	789	-5.9	100	2080
5	763	-7.4	100	2340
6	728	-9.2	100	2710
	701	**-11.1**	**78**	**3000**
	700	**-12.2**	**77**	**3010**
7	697	-12.6	75	3030
8	665	-13.5	55	3410
9	631	-12.6	36	3800
	614	**-13.6**	**32**	**4000**
10	592	-15.0	25	4290
11	560	-17.3	24	4700
	538	**-19.7**	**34**	**5000**
12	528	-21.1	39	5140
	500	**-24.2**	**46**	**5540**
13	494	-25.2	48	5630
14	468	-27.9	43	6000
15	439	-31.9	43	6470
16	411	-36.7	43	6930
	407	**-36.9**	**44**	**7000**
17	381	-39.3	45	7450
18	357	-43.8	—	7890
	351	**-44.7**	—	**8000**
19	332	-48.0	—	8370
20	309	-51.8	—	8840
	301	**-52.9**	—	**9000**
	300	**-53.1**	—	**9030**
21	287	-54.9	—	9310
22	265	-57.2	—	9820
	258	**-57.2**	—	**10000**
23	245	-57.2	—	10310
24	229	-59.0	—	10740
	220	**-59.0**	—	**11000**
25	210	-59.0	—	11280
	200	**-58.5**	—	**11590**
26	194	-58.3	—	11780
	187	**-58.0**	—	**12000**
27	178	-57.8	—	12320
	7. I. 1952	**15.00 h HEC**		
	1000	—	—	**335**
0	980.0	-2.5	100	493
1	941	7.2	100	825
	920	**6.6**	**60**	**1000**
2	910	—	—	—
3	875	5.5	40	1410
	850	**4.3**	**37**	**1650**
4	838	3.8	35	1760
	814	**2.7**	**33**	**2000**
5	800	2.0	32	2140
6	755	0.2	29	2600
	718	**-1.9**	**24**	**3000**
7	715	-2.2	24	3040
	700	**-3.1**	**21**	**3200**
8	679	-4.6	19	3440
9	643	-6.6	18	3860
	632	**-7.6**	**18**	**4000**
10	607	-9.3	17	4320
11	574	-13.2	17	4740
	555	**-15.2**	**17**	**5000**
12	536	-16.9	17	5260
13	507	-27.0	17	5680
	500	**-22.0**	**17**	**5770**
	485	**-24.4**	**17**	**6000**
14	477	-25.4	17	6120
15	445	-29.5	17	6620
	421	**-32.7**	**17**	**7000**
16	413	-33.6	17	7140
17	380	-37.2	17	7710
	365	**-39.2**	—	**8000**
18	352	-40.7	—	8250
19	329	-44.6	—	8700
	314	**-47.0**	—	**9000**
20	305	-48.6	—	9200
	300	**-49.4**	—	**9310**
21	281	-52.5	—	9720
	270	**-54.7**	—	**10000**
22	259	-56.3	—	10240
23	237	-61.0	—	10800
	8. I. 1952	**15.00 h HEC**		
	1000	—	—	**275**
0	973.2	-2.0	100	493
1	913	3.2	89	1000
2	869	8.7	50	1410
	850	**8.5**	**44**	**1592**
3	825	7.9	35	1880
	809	**6.4**	**33**	**2000**
4	790	4.4	28	2200
5	749	1.3	28	2630
6	**715**	**-1.4**	**28**	**3000**
	700	**-2.2**	**28**	**3159**
7	680	-4.0	28	3400
8	638	-7.1	28	3890
	629	**-7.9**	**28**	**4000**
9	609	-10.1	28	4250
10	572	-11.6	28	4730
	552	**-13.7**	**28**	**5000**
11	537	-15.5	28	5200
12	507	-18.7	28	5630
	500	**-19.3**	**28**	**5740**
	483	**-20.9**	**28**	**6000**
13	477	-21.3	28	6090
14	446	-25.3	28	6580
	428	**-29.5**	**28**	**7000**
15	418	-29.9	28	7040
17	368	-37.2	28	7930
	365	**-37.7**	**28**	**8000**
18	343	-41.1	—	8410
19	318	-45.3	—	8920
	314	**-45.7**	—	**9000**
	300	**-47.8**	—	**9310**
20	294	-48.8	—	9440
21	272	-52.5	—	9960
	270	**-52.7**	—	**10000**
22	249	-55.9	—	10520
	231	**-58.8**	—	**11000**
23	228	-59.4	—	11070
24	209	-62.4	—	11620
	200	**-64.0**	—	**11880**
	196	**-64.7**	—	**12000**
25	189	-66.1	—	12230
26	171	-67.2	—	12830
	166	**-67.8**	—	**13000**
	161	-68.2	—	13160
27	153	-67.0	—	13500
	9. I. 1952	**15.10 h HEC**		
	1000	—	—	**160**
0	960.8	6.5	55	493
1	938	4.4	61	700
	903	**3.5**	**64**	**1000**
2	894	3.1	65	1030
3	852	0.3	76	1470
	850	**0.2**	**78**	**1485**
4	809	-3.7	100	1880
	797	**-4.2**	**100**	**2000**
5	763	-6.0	100	2340
6	717	-10.5	100	2820
	700	**-10.0**	**76**	**3000**
	696	-9.8	72	3060
7	680	-10.8	62	3240
8	642	-14.0	68	3670
	614	**-15.2**	**47**	**4000**
9	604	-15.6	42	4140
10	566	-17.3	28	4630
	537	**-19.1**	**26**	**5000**
11	534	-19.4	25	5060
12	**500**	**-22.0**	**25**	**5550**
	469	**-25.1**	**25**	**6000**
13	464	-25.8	25	6090
14	435	-28.9	30	6550
	407	**-30.7**	**27**	**7000**
15	405	-31.9	26	7060
16	377	-34.2	26	7560
	353	**-36.8**	**26**	**8000**
17	351	-37.1	26	8050
18	328	-40.7	—	8520
	306	**-44.5**	—	**9000**

Min.	PPP	TTT	UU	H m. geop.
19	302	-45.2	—	9080
	300	-45.3	—	9110
20	278	-49.6	—	9620
	262	-51.9	—	10000
21	253	-53.5	—	10230
22	230	-58.0	—	10880
	224	-58.4	—	11000
23	212	-59.6	—	11340
	200	-60.0	—	11700
24	194	-60.1	—	11900
	191	-60.1	—	12000
25	177	-59.7	—	12480
	10. I. 1952	**14.55 h HEC**		
	1000	—	—	120
0	954.5	2.3	100	493
1	903	-0.1	100	930
	896	-0.8	100	1000
2	868	-2.4	100	1250
	850	-3.5	100	1422
3	821	-5.0	100	1690
	789	-6.9	100	2000
4	784	-7.2	100	2040
5	750	-9.6	100	2400
6	715	-11.0	100	2760
	700	-12.1	100	2925
	697	-12.7	100	3000
7	685	-13.5	100	3085
8	652	-15.5	100	3460
9	615	-18.0	100	3900
	607	-18.4	100	4000
10	580	-19.1	100	4330
11	546	-17.5	100	4790
	531	-18.1	100	5000
12	517	-18.8	100	5180
	500	-20.7	100	5440
13	488	-22.1	100	5620
	463	-24.7	100	6000
14	459	-25.1	100	6065
15	430	-26.8	100	6530
16	402	-29.9	100	7000
17	376	-34.0	100	7480
18	350	-37.6	100	7980
	349	-37.8	100	8000
19	326	-40.8	—	8470
	302	-44.3	—	9000
20	300	-44.5	—	9030
21	276	-47.0	—	9580
	259	-49.7	—	10000
22	253	-50.6	—	10150
23	233	-53.8	—	10680
	222	-55.7	—	11000
24	213	-57.0	—	11260
	200	-58.5	—	11660
25	194	-59.3	—	11840
	11. I. 1952	**15.00 h HEC**		
	1000	—	—	598
0	939.6	7.2	90	493
1	900	5.5	100	850
	883	4.3	100	1000
2	866	2.7	100	1150
	850	1.1	100	1310
3	829	-0.9	100	1510
4	795	-2.9	100	1850
	779	-4.1	100	2000
5	764	-5.2	100	2150
6	741	-6.4	100	2440
	685	-11.8	100	3000
7	709	-9.1	100	2750
	700	-10.0	100	2837
8	683	-12.0	100	3080
9	659	-13.9	98	3300
10	634	-16.4	93	3590
11	605	-18.5	90	3990
	604	-18.9	90	4000
12	575	-20.9	88	4320
13	545	-24.1	83	4710
	523	-25.9	87	5000
14	515	-26.5	89	5130
	500	-27.4	92	5330
15	488	-28.2	94	5510
16	463	-30.9	96	5680
	455	-31.5	96	6000
17	441	-32.8	95	6230
18	417	-34.6	80	6620
	394	-36.5	55	7000
19	392	-36.5	52	7030
20	372	-38.9	44	7410
21	354	-42.1	—	7840
	341	-44.4	—	8000
22	334	-45.7	—	8150
23	314	-48.6	—	8540
	300	-49.8	—	8840
	292	-50.7	—	9000
24	290	-50.9	—	9050
25	267	-53.0	—	9590
	250	-54.7	—	10000
26	244	-55.5	—	10170
27	227	-56.2	—	10620
28	217	-56.5	—	10910
	214	-55.4	—	11000
29	202	-50.9	—	11370
	200	-50.9	—	11430
	183	-51.4	—	12000
30	181	-51.3	—	12070
	12. I. 1952	**14.55 h HEC**		
	1000	—	—	010
0	942.6	3.0	70	493
1	895	-2.0	77	920
	884	-3.2	85	1000
	850	-5.6	100	1310
2	847	-5.9	100	1330
3	809	-9.5	100	1690
	778	-11.7	95	2000
4	763	-12.8	92	2140
5	723	-15.1	57	2540
	700	-15.9	50	2795
6	684	-16.5	44	2960
	681	-16.8	43	3000
7	643	-19.6	41	3420
8	601	-22.5	38	3920
	595	-23.0	37	4000
9	562	-25.8	34	4410
10	528	-28.5	32	4860
	518	-29.1	31	5000
	500	-30.0	30	5250
11	492	-30.5	29	5360
12	461	-30.5	27	5830
	450	-31.8	60	6000
13	435	-33.5	70	6230
14	407	-36.9	48	6700
	390	-39.4	48	7000
15	382	-40.2	48	7130
16	355	-44.6	—	7630
	336	-47.7	—	8000
17	329	-48.9	—	8140
18	305	-53.1	—	8630
	300	-53.6	—	8730
	288	-54.7	—	9000
19	280	-55.2	—	9170
20	256	-49.8	—	9740
	246	-48.3	—	10000
21	239	-47.2	—	10200
22	220	-46.2	—	10740
	212	-46.2	—	11000
23	200	-46.2	—	11370
24	182	-46.2	—	12000
25	165	-46.2	—	12650
	157	-47.5	—	13000
26	151	-48.3	—	13250
27	137	-50.0	—	13900
	14. I. 1952	**16.00 h HEC**		
	1000	—	—	230
0	967.9	1.0	75	493
1	927	-1.0	91	830
	908	-1.3	95	1000
2	883	-2.0	100	1200
	850	-2.7	100	1526
3	842	-2.9	100	1590
4	800	-4.6	100	2000
5	763	-5.9	100	2350
6	728	-8.4	77	2740
	704	-8.4	48	3000
	700	-8.4	45	3044
7	690	-8.4	23	3150
8	656	-10.8	63	3540
9	622	-14.0	23	3940
	618	-14.2	23	4000
10	591	-16.0	23	4330
11	558	-18.1	25	4760
	541	-19.7	25	5000
12	526	-20.8	25	5200
	500	-24.0	25	5580
13	495	-24.6	25	5650
14	471	-27.7	25	6000
15	444	-30.6	25	6430
16	415	-33.2	28	6910
	409	-33.4	30	7000
17	389	-35.0	32	7340
18	368	-38.2	32	7880
	354	-39.4	—	8000
19	338	-41.0	—	8310
20	313	-46.2	—	8830
	305	-47.1	—	9000
	300	-47.9	—	9120
21	288	-49.5	—	9370
22	268	-53.2	—	9830
	262	-54.6	—	10000
23	248	-57.3	—	10340
24	231	-50.8	—	10800
	224	-52.5	—	11000
25	215	-54.4	—	11270
	200	-54.4	—	11730
26	193	-54.4	—	11930
	15. I. 1952	**15.00 h HEC**		
	1000	—	—	230
0	967.9	5.5	53	493
1	927	3.3	85	840
	910	2.9	92	1000
2	887	2.1	100	1200
	850	0.4	95	1540
3	843	-0.2	94	1610
	829	-1.8	60	1740
4	802	1.0	32	2000
	788	1.4	30	2150
5	762	0.4	30	2410
6	725	-1.2	37	2820
	708	-1.5	47	3000
	700	-1.7	50	3094
7	687	-2.2	57	3250
8	650	-6.1	62	3690
	623	-8.1	45	4000
9	614	-8.9	40	4130
10	578	-12.0	36	4600
	547	-13.7	36	5000
11	542	-14.0	36	5080
12	514	-17.3	36	5480
	500	-18.4	36	5680
13	485	-20.0	36	5910
	479	-20.4	36	6000
14	455	-22.9	36	6390
15	425	-26.8	42	6870
	417	-27.7	44	7000
16	396	-31.1	48	7380
17	367	-35.5	53	7920
	362	-36.1	53	8000
18	338	-39.5	53	8470
19	314	-43.5	—	8980
	313	-43.5	—	9000
	300	-45.4	—	9280
20	288	-47.1	—	9550
	269	-49.4	—	10000
21	265	-50.0	—	10100
22	245	-53.0	—	10610
	230	-53.6	—	11000
23	227	-53.8	—	11100
24	210	-56.1	—	11590
	200	-56.6	—	11900
	197	-56.9	—	12000
25	194	-57.0	—	12090
26	177	-58.0	—	12670
	168	-57.3	—	13000
27	161	-57.1	—	13270
	16. I. 1952	**15.10 h HEC**		
	1000	—	—	165
0	960.7	6.0	100	493
1	909	3.3	100	950
	903	2.9	100	1000
2	860	0.0	100	1390
	850	-0.7	100	1484
3	818	-3.4	100	1790
	796	-5.0	100	2000
4	770	-7.2	100	2260
5	749	-4.6	70	2470
	725	-7.2	100	2730
6	700	-8.8	100	3000
7	668	-11.5	70	3350
8	629	-14.0	26	3810
	614	-15.5	30	4000
9	594	-17.2	35	4250
10	560	-19.0	70	4690
	537	-21.3	43	5000
11	526	-22.4	36	5140
	500	-25.4	41	5530
12	495	-26.1	43	5600
	468	-26.7	55	6000
13	464	-26.9	60	6050
14	434	-31.5	70	6530
15	407	-34.4	49	6980
	406	-34.6	48	7000
16	376	-37.1	39	7530
17	351	-40.1	34	8000
18	326	-43.7	—	8500
19	304	-47.5	—	8970
	303	-47.8	—	9000
	300	-48.3	—	9060
20	281	-51.9	—	9480
21	261	-55.6	—	9960
	260	-56.0	—	10000
22	239	-59.4	—	10510
	221	-61.6	—	11000
23	219	-61.8	—	11050
	200	-63.3	—	11620
24	196	-63.7	—	11720
	188	-62.8	—	12000
25	180	-61.9	—	12260
	17. I. 1952	**15.40 h HEC**		
	1000	—	—	040
0	946.2	5.1	56	493
	889	1.7	70	1000
1	883	1.3	74	1060
	850	-1.0	72	1360
2	845	-1.6	71	1410
3	799	-4.5	77	1840
	783	-5.6	81	2000
4	755	-7.8	89	2290
5	709	-11.3	95	2780
	700	-12.1	96	2872
	688	-13.3	97	3000
6	674	-15.0	98	3160
	661	-15.8	100	3310
7	641	-15.8	95	3530
8	608	-18.3	43	3930
	603	-18.6	40	4000
9	572	-21.4	27	4380
10	540	-24.6	27	4820
	526	-25.6	26	5000
11	508	-28.0	24	5210
	500	-28.9	24	5360
12	474	-32.4	24	5740
	456	-34.0	28	6000
13	440	-35.6	32	6260
14	411	-38.3	48	6730
	395	-39.9	53	7000
15	386	-41.1	56	7160
16	362	-44.3	60	7600
17	340	-48.8	—	8000
18	316	-52.1	—	8480
	300	-54.5	—	8820
19	292	-55.9	—	9000
20	272	-57.2	—	9440
21	250	-58.6	—	9970
	249	-58.6	—	10000

Min.	PPP	TTT	UU	H m. geop.
22	225	-60.3	—	10630
	212	-60.3	—	11000
23	203	-60.3	—	11270
	200	-60.3	—	11360
24	188	-60.3	—	11750
	180	-60.1	—	12000
25	175	-60.0	—	12180
	18. I. 1952	15.25 h HEC		
	1000	—	—	045
0	945.6	-0.6	97	493
	887	-4.4	97	1000
1	856	-6.4	97	1280
	850	-6.7	97	1335
2	808	-9.9	98	1770
	780	-11.6	99	2000
3	764	-12.9	100	2150
4	722	-15.4	100	2580
	700	-16.7	94	2820
	683	-17.7	91	3000
5	681	-18.0	90	3050
6	646	-20.6	70	3400
7	609	-23.8	60	3830
	596	-25.4	56	4000
8	577	-27.2	48	4220
9	546	-30.6	42	4620
10	517	-34.0	40	5000
	500	-36.0	40	5250
11	488	-37.6	40	5410
12	460	-41.4	—	5810
	448	-43.0	—	6000
13	434	-44.7	—	6210
14	401	-48.4	—	6730
	385	-50.6	—	7000
15	373	-52.3	—	7210
16	341	-54.0	—	7730
	330	-53.0	—	8000
17	317	-52.0	—	8250
	300	-51.1	—	8610
18	296	-51.0	—	8700
	283	-50.6	—	9000
19	273	-50.3	—	9240
20	255	-49.6	—	9640
	242	-49.0	—	10000
21	232	-48.5	—	10300
22	210	-47.6	—	10950
	208	-47.4	—	11000
	200	-46.6	—	11270
23	192	-46.6	—	11530
	179	-46.9	—	12000
24	173	-46.6	—	12220
	19. I. 1952	14.50 h HEC		
	1000	—	—	120
0	954.8	-1.1	80	493
1	905	-5.7	98	920
	895	-6.0	99	1000
2	857	-7.3	100	1340
	850	-7.6	100	1400
3	807	-10.1	100	1810
	786	-11.5	100	2000
4	758	-13.6	100	2280
5	709	-16.7	100	2790
	700	-16.8	100	2885
	689	-17.7	100	3000
6	666	-19.6	100	3260
7	631	-22.2	100	3660
	601	-25.4	100	4000
8	598	-25.9	100	4050
9	557	-30.9	100	4560
10	521	-34.0	100	5000
	500	-36.0	96	5310
11	482	-38.3	93	5570
12	454	-41.8	—	5970
	452	-41.9	—	6000
13	424	-45.2	—	6440
14	397	-48.5	—	6870
	389	-49.4	—	7000
15	368	-52.1	—	7360
16	339	-56.2	—	7890
	333	-56.6	—	8000
17	317	-58.1	—	8300
	300	-53.4	—	8660
18	294	-51.9	—	8790
	284	-51.0	—	9000
19	271	-49.9	—	9320
20	246	-48.7	—	9940
	244	-48.6	—	10000
21	223	-49.2	—	10590
	209	-49.2	—	11000
22	204	-49.2	—	11170
	200	-49.2	—	11300
23	189	-49.2	—	11670
	180	-48.5	—	12000
24	174	-48.4	—	12210
25	159	-48.1	—	12820
	21. I. 1952	15.00 h HEC		
	1000	—	—	160
0	958.5	-7.0	90	493
1	909	-7.0	95	900
	898	-8.3	93	1000
2	866	-12.1	85	1280
	850	-12.6	83	1422
3	825	-13.6	81	1650
	788	-12.3	75	2000
4	779	-12.1	73	2090
5	740	-11.7	41	2500
6	700	-14.2	23	2901
	691	-14.9	22	3000
7	664	-17.6	20	3300
8	630	-20.3	20	3700
	604	-22.9	30	4000
9	591	-24.1	35	4170
10	552	-27.4	53	4660
	526	-29.2	60	5000
11	515	-30.0	63	5120
	500	-30.7	68	5360
12	485	-31.6	73	5580
	456	-34.7	74	6000
13	455	-34.8	74	6020
14	421	-39.4	76	6560
	394	-39.5	—	7000
15	392	-42.7	—	7040
16	365	-46.8	—	7520
17	339	-51.0	—	8000
18	318	-54.2	—	8430
	300	-57.5	—	8780
19	295	-58.6	—	8890
	290	-59.3	—	9000
20	272	-62.2	—	9400
	264	-63.0	—	9580
21	249	-61.2	—	9950
	247	-60.9	—	10000
22	228	-58.6	—	10500
23	210	-55.8	—	11000
	200	-55.4	—	11320
24	192	-55.1	—	11570
	180	-54.4	—	12000
25	176	-54.4	—	12130
	22. I. 1952	15.00 h HEC		
	1000	—	—	195
0	962.3	-7.2	95	493
1	904	-9.7	100	960
	902	-9.8	94	1000
2	863	-5.5	69	1340
	850	-5.5	50	1460
3	825	-5.5	25	1680
	793	-7.8	25	2000
4	781	-8.5	25	2120
5	743	-9.8	40	2500
6	709	-12.5	62	2850
	700	-13.2	66	2960
	696	-13.5	69	3000
7	667	-15.4	75	3310
8	631	-18.0	84	3730
	609	-19.6	87	4000
9	596	-20.2	91	4960
10	561	-22.8	95	4600
	532	-26.0	97	5000
11	530	-26.3	97	5030
12	500	-29.5	98	5440
13	470	-33.4	98	5870
	462	-34.5	98	6000
14	440	-37.1	97	6340
15	409	-41.1	—	6830
	399	-42.6	—	7000
16	384	-44.6	—	7260
17	357	-47.8	—	7740
	344	-49.4	—	8000
18	329	-51.0	—	8270
19	306	-55.3	—	8740
	300	-56.5	—	8875
	294	-57.6	—	9000
20	283	-60.0	—	9240
21	260	-62.8	—	9760
	250	-61.3	—	10000
22	239	-59.2	—	10280
23	218	-57.4	—	10860
	214	-57.4	—	11000
24	200	-57.4	—	11410
	182	-57.4	—	12000
25	181	-57.9	—	12040
26	166	-56.0	—	12590
	156	-56.0	—	13000
27	152	-56.0	—	13140
	23. I. 1952	14.55 h HEC		
	1000	—	—	140
0	955.7	-7.0	90	493
1	904	-6.5	100	930
	896	-5.7	88	1000
2	863	-2.9	40	1290
	850	-3.1	39	1410
3	821	-4.0	37	1690
	789	-5.5	39	2000
4	776	-6.3	39	2130
5	739	-8.9	41	2500
6	700	-11.6	37	2921
	693	-11.9	36	3000
7	664	-13.7	31	3330
8	626	-16.0	29	3770
	607	-17.8	30	4000
9	592	-19.4	30	4180
10	562	-23.2	32	4580
11	530	-26.6	37	5000
12	500	-30.5	56	5410
13	467	-34.1	58	5890
	460	-34.9	57	6000
14	439	-37.6	55	6320
15	412	-41.5	—	6760
	397	-43.8	—	7000
16	385	-46.0	—	7210
17	361	-49.4	—	7630
	341	-51.8	—	8000
18	336	-52.7	—	8100
19	311	-57.1	—	8590
	300	-58.9	—	8820
	291	-60.2	—	9000
20	287	-61.1	—	9100
21	263	-63.9	—	9640
	248	-60.1	—	10000
22	243	-59.2	—	10130
23	222	-58.1	—	10690
	211	-57.3	—	11000
24	204	-56.8	—	11230
	200	-56.2	—	11340
25	187	-55.0	—	11770
	24. I. 1952	14.50 h HEC		
	1000	—	—	030
0	942.7	-7.7	100	493
1	913	-7.7	100	750
	884	-0.5	100	1000
2	879	0.8	100	1040
	850	-1.1	60	1310
3	813	-3.0	45	1660
	779	-4.6	45	2000
4	763	-5.2	45	2160
5	723	-8.0	70	2580
	700	-9.7	76	2830
6	688	-10.9	80	2960
	685	-11.2	77	3000
7	648	-14.2	60	3420
8	610	-17.3	35	3880
	600	-18.1	35	4000
9	572	-20.4	35	4350
10	544	-24.2	50	4710
	523	-27.3	55	5000
11	512	-29.0	60	5160
	500	-30.3	70	5330
12	481	-32.6	80	5610
	454	-36.0	82	6000
13	450	-36.5	83	6070
14	420	-40.8	83	6540
	392	-44.3	83	7000
15	390	-44.7	83	7050
16	360	-49.0	—	7570
17	336	-52.7	—	8000
18	311	-57.5	—	8510
	300	-58.9	—	8740
19	287	-60.7	—	9000
20	266	-62.3	—	9480
21	247	-62.3	—	9940
	245	-62.2	—	10000
22	227	-60.9	—	10450
23	207	-59.2	—	11000
	200	-59.2	—	11250
24	187	-59.2	—	11650
	177	-59.1	—	12000
25	164	-59.0	—	12480
26	151	-57.6	—	13000
27	134	-56.6	—	13750
	129	-56.6	—	14000
28	118	-56.6	—	14550
	25. I. 1952	15.55 h HEC		
	1000	—	—	510
0	938.6	-2.0	80	493
1	902	-3.8	100	810
	881	-3.8	100	1000
2	863	-3.8	100	1160
	850	-4.2	100	1276
3	821	-5.7	100	1560
	775	-8.4	100	2000
4	773	-8.7	100	2030
5	734	-11.7	100	2420
	700	-13.9	100	2779
6	694	-14.3	100	2840
	680	-15.3	98	3000
7	658	-16.8	95	3250
8	628	-18.9	76	3600
9	594	-21.6	80	4000
10	562	-24.3	51	4410
11	532	-26.7	41	4820
	518	-27.8	41	5000
12	500	-29.5	40	5250
13	463	-33.4	45	5800
	450	-34.7	47	6000
14	437	-36.3	50	6200
15	408	-39.9	50	6670
	389	-42.1	—	7000
16	379	-43.2	—	7170
17	355	-46.0	—	7610
	334	-49.5	—	8000
18	333	-49.7	—	8025
19	310	-53.1	—	8490
	300	-54.9	—	8700
	297	-55.4	—	8770
	286	-54.6	—	9000
20	285	-54.7	—	9030
21	261	-55.1	—	9600
	245	-55.6	—	10000
22	240	-55.8	—	10120
23	219	-57.5	—	10710
	209	-55.9	—	11000
	200	-54.8	—	11280
24	197	-54.3	—	11380
	179	-54.7	—	12000
25	177	-54.8	—	12060
	26. I. 1952	14.55 h HEC		
	1000	—	—	035
0	944.5	-1.0	80	493
1	884	-5.2	90	1000
	850	-7.0	96	1320
2	837	-7.9	100	1480
3	788	-10.1	94	1890
	779	-11.5	93	2000

Min.	PPP	TTT	UU	H m. geop.
4	749	−14.9	91	2290
5	707	−17.0	100	2720
	700	**−17.0**	**97**	**2800**
	682	**−17.1**	**96**	**3000**
6	663	−17.3	94	3210
7	632	−21.8	82	3570
8	596	−24.2	64	3980
	595	**−24.2**	**64**	**4000**
9	565	−26.4	57	4370
10	529	−31.5	59	4840
	518	**−32.7**	**60**	**5000**
	500	**−34.0**	**61**	**5250**
11	495	−34.4	61	5310
12	467	−33.1	63	5710
	448	**−40.6**	**66**	**6000**
13	436	−42.0	70	6190
14	408	−45.4	70	6630
	386	**−46.8**	**—**	**7000**
15	378	−47.3	—	7140
16	353	−50.4	—	7590
	331	**−54.1**	**—**	**8000**
17	327	−54.8	—	8090
18	**300**	**−57.4**	**—**	**8630**
	283	**−59.6**	**—**	**9000**
19	279	−60.1	—	9090
	268	−61.8	—	9330
20	259	−60.1	—	9530
	241	**−59.7**	**—**	**10000**
21	236	−59.6	—	10130
22	219	−60.0	—	10580
23	**204**	**−60.0**	**—**	**11000**
	200	**−60.0**	**—**	**11160**
24	190	−60.0	—	11470
	175	**−56.6**	**—**	**12000**
25	174	−56.3	—	12050
26	155	−56.6	—	12770
	150	**−56.6**	**—**	**13000**
27	142	−56.6	—	13210
28	129	−57.3	—	13940
	128	**−57.3**	**—**	**14000**
29	123	−57.3	—	14220
30	113	−57.3	—	14750

28. I. 1952 15.00 h HEC

	1000	—	—	**140**
0	956.0	−4.0	50	493
1	907	−6.2	91	910
	896	**−6.7**	**83**	**1000**
2	867	−8.6	60	1260
	850	**−9.3**	**56**	**1412**
3	828	−10.4	51	1620
	787	**−12.8**	**36**	**2000**
4	785	−13.0	35	2030
5	746	−14.0	35	2410
6	704	−14.1	31	2850
	700	**−14.1**	**32**	**2892**
	690	**−14.2**	**34**	**3000**
7	661	−14.9	37	3320
8	627	−16.2	65	3730
	604	**−18.0**	**75**	**4000**
9	597	−18.5	78	4090
10	566	−20.3	73	4490
11	537	−23.1	82	4880
	528	**−23.9**	**86**	**5000**
12	509	−25.7	93	5270
	500	**−26.6**	**91**	**5390**
13	481	−29.0	90	5670
	459	**−31.0**	**90**	**6000**
14	455	−32.5	90	6060
15	429	−35.8	90	6470
16	403	−39.1	90	6900
	398	**−39.8**	**90**	**7000**
17	375	−43.1	—	7390
18	350	−46.1	—	7850
	342	**−46.9**	**—**	**8000**
19	323	−49.3	—	8330
	300	**−52.7**	**—**	**8860**
20	296	−53.5	—	8950
	294	**−53.8**	**—**	**9000**
21	271	−57.3	—	9500
	251	**−59.6**	**—**	**10000**
22	239	−61.1	—	10290
23	227	−59.9	—	10610
	214	**−59.1**	**—**	**11000**
24	208	−58.8	—	11160
	200	**−57.9**	**—**	**11400**
25	192	−57.8	—	11660

29. I. 1952 15.00 h HEC

	1000	—	—	**140**
0	956.7	−2.2	100	493
1	917	−1.2	70	820
	898	**−1.6**	**90**	**1000**
2	872	−1.9	100	1220
	850	**−2.8**	**100**	**1436**
3	832	−3.4	100	1600
4	795	−5.6	100	1950
	791	**−5.7**	**100**	**2000**
5	759	−6.8	100	2310
6	721	−9.1	100	2720
	700	**−10.1**	**100**	**2952**
	696	**−11.1**	**100**	**3000**
7	698	−11.3	100	3020
8	653	−14.4	100	3470
9	621	−16.9	100	3840
	610	**−17.5**	**100**	**4000**
10	589	−19.7	100	4250
11	554	−22.1	100	4700
	533	**−24.5**	**100**	**5000**
12	523	−25.3	100	5120
	500	**−27.7**	**100**	**5450**
13	489	−28.6	100	5610
14	**463**	**−32.0**	**100**	**6000**
15	437	−35.3	100	6390
16	411	−39.5	—	6880
	401	**−41.0**	**—**	**7000**
17	387	−42.8	—	7230
18	361	−46.7	—	7700
	345	**−48.8**	**—**	**8000**
19	337	−49.7	—	8150
20	314	−53.6	—	8660
	300	**−55.2**	**—**	**8900**
	295	**−55.9**	**—**	**9000**
21	290	−56.6	—	9120
22	265	−58.6	—	9690
	252	**−60.2**	**—**	**10000**
23	244	−61.3	—	10200
24	221	−62.5	—	10810
	214	**−62.5**	**—**	**11000**
25	**200**	**−62.5**	**—**	**11480**
26	183	−61.0	—	11960
	182	**−61.0**	**—**	**12000**
27	165	−61.0	—	12610
	155	**−61.0**	**—**	**13000**
28	150	−61.0	—	13200
29	133	−61.0	—	13950

30. I. 1952 15.00 h HEC

	1000	—	—	**140**
0	956.5	**0.0**	100	493
1	**897**	**0.0**	**85**	**1000**
2	**850**	**−0.9**	**98**	**1440**
3	810	−3.5	54	1820
	792	**−4.7**	**58**	**2000**
4	767	−6.3	62	2250
5	729	−9.1	90	2640
	700	**−11.0**	**98**	**2955**
	696	**−11.4**	**100**	**3000**
6	690	−11.7	100	3070
7	654	−14.2	100	3470
8	616	−17.3	100	3940
	610	**−17.8**	**100**	**4000**
9	584	**−20.0**	**100**	**4310**
10	552	−23.1	100	4730
	532	**−26.0**	**100**	**5000**
11	523	−27.3	100	5130
	500	**−30.1**	**100**	**5450**
12	487	−32.0	100	5640
	462	**−35.4**	**100**	**6000**
13	456	−36.1	100	6090
14	429	−39.9	100	6510
	399	**−44.0**	**100**	**7000**
15	397	−44.3	100	7040
16	370	−48.3	—	7510
17	345	−51.5	—	7960
	343	**−51.8**	**—**	**8000**
18	317	−55.4	—	8500
	300	**−57.7**	**—**	**8860**
	293	**−58.8**	**—**	**9000**
19	291	−59.3	—	9050
20	267	−63.1	—	9590
21	251	−66.7	—	9950
	249	**−66.6**	**—**	**10000**
22	225	−64.7	—	10600
	221	**−63.8**	**—**	**11000**
23	204	−63.4	—	11220
	200	**−63.0**	**—**	**11340**
24	186	−62.0	—	11800
	180	**−61.8**	**—**	**12000**
25	167	−61.3	—	12460
	153	**−61.3**	**—**	**13000**
26	150	−61.3	—	13130
27	139	−60.0	—	13590
	130	**−60.0**	**—**	**14000**
28	122	−60.0	—	14400

31. I. 1952 14.55 h HEC

	1000	—	—	**20**
0	938.4	2.0	90	493
1	887	−1.3	97	940
	881	**−1.6**	**98**	**1000**
	850	**−2.7**	**100**	**1282**
2	844	−2.9	100	1325
3	800	−4.6	85	1750
	776	**−5.8**	**92**	**2000**
4	761	−6.5	90	2140
5	728	−9.9	100	2490
	700	**−10.0**	**100**	**2800**
6	693	−10.1	100	2870
	682	**−11.1**	**98**	**3000**
7	660	−12.7	95	3240
8	628	−16.0	90	3620
	597	**−17.2**	**90**	**4000**
9	591	−17.4	90	4080
10	556	−20.1	85	4520
11	522	−23.4	83	4980
	521	**−23.6**	**83**	**5000**
	500	**−25.6**	**82**	**5310**
13	458	−31.0	79	5940
	454	**−31.5**	**78**	**6000**
14	**426**	−34.8	77	6440
15	**394**	**−38.4**	**75**	**7000**
16	366	−42.1	—	7480
17	340	−45.7	—	7970
	339	**−46.0**	**—**	**8000**
18	314	−50.3	—	8490
	300	**−52.8**	**—**	**8810**
	291	**−54.5**	**—**	**9000**
19	286	−55.2	—	9100
20	264	−57.0	—	9610
	248	**−58.2**	**—**	**10000**
21	241	−58.7	—	10180
22	219	−60.2	—	10780
	212	**−60.1**	**—**	**11000**
23	**200**	**−59.4**	**—**	**11350**
24	182	−57.8	—	11930
	181	**−57.7**	**—**	**12000**
25	166	−56.3	—	12530

1. II. 1952 15.00 h HEC

	1000	—	—	**535**
0	936.1	**0.0**	75	493
1	900	−4.1	100	800
	879	**−5.0**	**100**	**1000**
2	860	−6.1	100	1170
	850	**−6.2**	**100**	**1260**
3	819	−7.3	100	1540
4	780	−8.5	100	1930
	773	**−8.6**	**100**	**2000**
5	741	−10.1	100	2330
6	708	−12.1	100	2670
	700	**−12.3**	**100**	**2759**
	678	**−13.4**	**100**	**3000**
7	671	−13.9	100	3080
8	638	−17.1	100	3470
9	606	−19.7	100	3850
	593	**−20.5**	**100**	**4000**
10	573	−22.1	100	4260
11	545	−24.5	100	4620
12	516	**−26.7**	**100**	**5000**
	500	**−28.0**	**100**	**5240**
13	484	−29.6	100	5480
14	455	−33.2	100	5920
	449	**−33.6**	**100**	**6000**
15	427	−36.1	100	6360
16	398	−39.3	100	6840
	389	**−40.2**	**100**	**7000**
17	369	−42.7	100	7350
18	342	−45.5	100	7870
	335	**−46.3**	**100**	**8000**
	333	−46.7	100	8030
19	317	−45.7	100	8370
	300	**−46.5**	**100**	**8730**
20	293	−47.0	100	8890
	288	**−47.1**	**100**	**9000**
21	270	−47.9	—	9440
22	248	−48.2	—	10000
23	230	−48.0	—	10490
24	**213**	**−47.3**	**—**	**11000**
	200	**−46.2**	**—**	**11400**
25	195	−46.1	—	11570

2. II. 1952 15.00 h HEC

	1000	—	—	**060**
0	948.1	1.0	55	493
1	908	−3.0	58	840
	889	**−4.5**	**69**	**1000**
2	869	−6.6	80	1180
	850	**−8.0**	**84**	**1354**
3	824	−10.3	90	1600
	781	**−12.5**	**94**	**2000**
4	778	−12.7	95	2040
5	735	−16.2	95	2480
	700	**−19.1**	**99**	**2828**
6	694	−20.0	100	2900
	684	**−20.3**	**98**	**3000**
7	654	−21.5	90	3340
8	618	−22.1	68	3750
	597	**−22.8**	**53**	**4000**
9	586	−23.2	48	4140
10	551	−25.7	42	4590
11	**521**	**−28.5**	**42**	**5000**
	500	**−30.1**	**42**	**5280**
12	490	−30.8	42	5430
13	458	−32.7	42	5900
	451	**−33.1**	**42**	**6000**
14	424	−35.1	42	6450
15	394	−38.5	42	6950
	391	**−38.7**	**42**	**7000**
16	365	−41.7	—	7460
	337	**−43.6**	**—**	**8000**
17	336	−43.8	—	8040
18	307	−45.6	—	8630
	300	**−45.7**	**—**	**8780**
	290	**−46.0**	**—**	**9000**
19	282	−46.5	—	9190
20	261	−47.3	—	9710
	250	**−47.1**	**—**	**10000**
21	243	−47.3	—	10170
22	225	−45.4	—	10690
	215	**−44.6**	**—**	**11000**
23	209	−44.5	—	11170
	200	**−44.5**	**—**	**11470**
24	192	−44.5	—	11750
	185	**−45.1**	**—**	**12000**
25	177	−46.3	—	12290
26	162	−46.6	—	12880
	159	**−46.6**	**—**	**13000**
27	149	−47.6	—	13430
28	137	−47.6	—	13980

4. II. 1952 15.00 h HEC

	1000	—	—	**145**
0	957.5	−0.5	85	493
1	911	−3.2	100	890
	898	**−4.1**	**100**	**1000**
2	873	−6.1	100	1230
	850	**−8.0**	**100**	**1432**
3	832	−9.7	100	1600
	790	**−12.3**	**100**	**2000**

Min.	PPP	TTT	UU	H m. geop.
4	785	−12.5	100	2040
5	743	−15.2	100	2460
6	**700**	**−19.6**	**100**	**2905**
	691	**−20.1**	**100**	**3000**
7	664	−22.2	100	3300
8	630	−25.1	100	3680
	603	**−26.8**	**100**	**4000**
9	589	−27.7	100	4170
10	555	−32.7	100	4590
	523	**−37.0**	**100**	**5000**
11	521	−37.2	100	5030
	500	**−39.0**	**100**	**5310**
12	488	−40.4	—	5550
13	**453**	**−44.3**	—	**6000**
14	421	−48.6	—	6470
	403	−51.5	—	6740
15	389	−50.5	—	6970
	388	**−50.5**	—	**7000**
16	361	−50.5	—	7460
17	**334**	**−47.5**	—	**8000**
18	307	−47.5	—	8530
	300	**−46.8**	—	**8680**
	286	**−45.8**	—	**9000**
19	283	−45.7	—	9070
20	261	−44.9	—	9610
	246	**−46.2**	—	**10000**
21	241	−46.7	—	10140
22	221	−45.6	—	10710
	212	**−46.6**	—	**11000**
23	**200**	**−45.6**	—	**11370**
	182	**−44.8**	—	**12000**
24	181	−44.8	—	12040
25	165	−44.2	—	12660
	157	**−44.4**	—	**13000**
26	151	−44.7	—	13250
27	137	−45.9	—	13890
	135	**−46.0**	—	**14000**
28	125	−47.1	—	14500

5. II. 1952 14.55 h HEC

	1000	—	—	**250**
0	970.1	−2.0	100	493
1	929	−4.9	100	820
	910	**−5.9**	**100**	**1000**
2	886	−7.3	100	1200
	850	**−9.3**	**100**	**1527**
3	838	−10.0	100	1640
	799	**−11.0**	**100**	**2000**
4	789	−12.5	100	2090
5	747	−15.4	100	2500
6	707	−18.1	100	2920
	700	**−18.5**	**100**	**3000**
7	667	−20.3	100	3350
8	629	−23.6	100	3780
	611	**−25.0**	**100**	**4000**
9	603	−25.6	100	4090
10	561	−25.6	38	4610
	532	**−27.1**	**36**	**5000**
11	530	−27.2	36	5020
12	**500**	**−29.2**	**34**	**5440**
13	**461**	**−31.9**	**34**	**6000**
14	430	−33.7	34	6500
15	**400**	**−36.3**	**34**	**7000**
16	377	−39.1	34	7420
17	**345**	**−42.3**	—	**8000**
18	315	−45.3	—	8620
	300	**−46.7**	—	**8950**
	298	**−46.9**	—	**9000**
19	289	−47.7	—	9200
20	266	−47.7	—	9740
	256	**−47.1**	—	**10000**
21	245	−46.4	—	10290
22	**220**	**−45.5**	—	**11000**
23	**200**	**−44.7**	—	**11640**
	189	**−44.7**	—	**12000**
24	181	−44.7	—	12300
	163	**−44.7**	—	**13000**
25	161	−44.7	—	13080
26	143	−44.7	—	13870

6. II. 1952 15.00 h HEC

	1000	—	—	**290**
0	974.9	−3.0	70	493
1	923	−5.4	73	930
	914	**−5.7**	**73**	**1000**
2	878	−6.5	72	1310
	850	**−8.6**	**85**	**1568**
3	836	−9.8	92	1690
	803	**−11.0**	**95**	**2000**
4	793	−11.5	96	2100
5	751	−13.0	98	2520
6	713	−15.1	100	2910
	705	**−15.1**	**100**	**3000**
	700	**−15.1**	**100**	**3048**
7	677	−15.1	100	3310
8	638	−15.1	100	3760
	618	**−15.5**	**100**	**4000**
9	607	−15.8	100	4130
10	580	−17.6	100	4460
11	550	−19.8	100	4870
	540	**−20.4**	**100**	**5000**
12	519	−23.0	100	5290
	504	−24.9	100	5510
	500	**−24.6**	**100**	**5560**
13	487	−23.5	100	5750
	470	**−24.6**	**95**	**6000**
14	458	−25.7	92	6200
15	430	−29.3	70	6650
	409	**−31.4**	**59**	**7000**
16	403	−32.2	56	7110
17	375	−35.0	45	7610
	355	**−37.9**	**43**	**8000**
18	350	−38.8	43	8090
19	327	−43.0	—	8560
	306	**−46.6**	—	**9000**
20	302	−47.3	—	9060
	300	**−47.6**	—	**9120**
21	281	−51.1	—	9560
	262	**−52.9**	—	**10000**
22	258	−54.6	—	10100
23	238	−57.5	—	10620
	224	**−59.5**	—	**11000**
24	221	−60.0	—	11080
25	206	−55.5	—	11580
	200	**−55.0**	—	**11710**
	191	**−54.3**	—	**12000**
26	190	−54.3	—	12040
27	173	−56.2	—	12640
	163	**−55.3**	—	**13000**
28	159	−54.9	—	13180

8. II. 1952 15.00 h HEC

	1000	—	—	**060**
0	948.9	−0.2	100	493
1	891	−3.0	100	980
	890	**−3.1**	**100**	**1000**
2	**850**	**−5.4**	**100**	**1359**
3	805	−8.2	84	1780
	783	**−10.1**	**88**	**2000**
4	765	−11.6	92	2180
5	731	−13.0	100	2520
	700	**−15.8**	**100**	**2850**
6	697	−16.1	100	2890
	686	**−16.9**	**100**	**3000**
7	664	−18.4	100	3250
8	632	−21.2	100	3620
	599	**−23.5**	**100**	**4000**
9	596	−23.8	100	4050
10	562	−26.9	100	4470
11	528	−30.2	100	4920
	522	**−30.7**	**100**	**5000**
12	**500**	**−32.9**	**100**	**5300**
13	466	−35.2	81	5800
	452	**−36.1**	**73**	**6000**
14	437	−37.5	60	6240
15	406	−40.0	48	6740
	391	**−41.6**	—	**7000**
16	374	−43.5	—	7300
17	348	−46.3	—	7770
	334	**−47.3**	—	**8000**
18	322	−48.5	—	8300

Min.	PPP	TTT	UU	H m. geop.
19	**300**	**−51.7**	—	**8760**
	289	**−53.2**	—	**9000**
20	279	−54.7	—	9220
21	261	−52.8	—	9650

9. II. 1952 14.45 h HEC

	1000	—	—	**120**
0	954.8	−1.4	80	493
1	898	−5.3	91	970
	895	**−5.5**	**92**	**1000**
2	865	−8.1	95	1260
	850	**−9.3**	**97**	**1404**
3	828	−11.2	100	1610
4	**786**	**−14.3**	**100**	**2000**
5	753	−16.3	98	2330
6	720	−19.4	96	2660
	700	**−20.8**	**95**	**2868**
7	689	−21.6	94	2980
	687	**−21.6**	**92**	**3000**
8	662	−22.3	84	3270
9	631	−24.9	67	3630
	599	**−27.9**	**56**	**4000**
10	597	−28.5	55	4030
11	563	−32.0	53	4450
12	530	−35.1	54	4870
	520	**−35.5**	**53**	**5000**
	500	**−36.8**	**52**	**5270**
13	491	−37.4	51	5400
14	458	−38.3	48	5880
	450	**−38.0**	**47**	**6000**
15	423	−37.2	44	6420
16	399	−36.8	43	6830
	389	**−37.1**	**42**	**7000**
17	372	−37.3	41	7310
18	344	−40.7	—	7850
	336	**−41.6**	—	**8000**
19	319	−43.8	—	8360
	300	**−46.3**	—	**8760**
20	294	−47.2	—	8900
	289	**−47.7**	—	**9000**
21	270	−50.0	—	9460
22	**248**	**−52.9**	—	**10000**
23	229	−55.0	—	10520

11. II. 1952 15.20 h HEC

	1000	—	—	**060**
0	948.2	3.0	60	493
1	910	1.3	60	830
	891	**1.6**	**62**	**1000**
2	868	1.9	64	1210
	850	**0.8**	**68**	**1373**
3	812	−2.1	76	1740
	785	**−4.1**	**83**	**2000**
4	759	−6.7	90	2270
5	725	−9.9	100	2620
	700	**−10.1**	**100**	**2895**
6	697	−10.2	100	2920
	690	**−10.3**	**100**	**3000**
7	669	−10.4	100	3290
8	639	−11.6	100	3600
9	**606**	**−15.0**	**100**	**4000**
10	577	−17.7	100	4370
11	544	−20.5	100	4810
	530	**−21.8**	**100**	**5000**
12	515	−23.1	100	5210
	500	**−24.9**	**99**	**5420**
13	487	−26.9	98	5610
14	**461**	**−29.8**	**98**	**6000**
15	434	−33.6	98	6430
16	408	−37.5	95	6870
	400	**−38.8**	**95**	**7000**
17	384	−41.1	—	7280
18	358	−44.1	—	7750
	344	**−46.1**	—	**8000**
19	333	−47.9	—	8230
20	308	−51.8	—	8740
	300	**−52.9**	—	**8900**
	296	**−53.7**	—	**9000**
21	287	−55.3	—	9180
22	264	−58.8	—	9730
	253	**−60.1**	—	**10000**

Min.	PPP	TTT	UU	H m. geop.
23	240	−61.9	—	10320
24	219	−64.1	—	10880
	215	**−64.1**	—	**11000**
25	**200**	**−64.7**	—	**11440**
26	186	−64.5	—	11870
	182	**−64.4**	—	**12000**
27	165	−64.9	—	12610

13. II. 1952 15.00 h HEC

	1000	—	—	**095**
0	951.4	−0.7	75	493
1	897	−6.2	100	960
	892	**−6.3**	**100**	**1000**
2	**850**	**−9.1**	**100**	**1375**
3	806	−12.1	100	1790
	783	**−13.8**	**100**	**2000**
4	768	−15.2	100	2150
5	725	−17.1	100	2590
	700	**−17.2**	**100**	**2846**
6	**687**	**−17.5**	**100**	**3000**
7	647	−18.4	90	3440
8	611	−19.9	76	3860
	600	**−20.7**	**64**	**4000**
9	576	−23.2	40	4300
10	535	−26.4	37	4830
	523	**−27.4**	**36**	**5000**
11	**500**	**−29.9**	**35**	**5320**
12	469	−33.4	28	5770
	452	**−35.2**	**29**	**6000**
13	436	−37.4	30	6270
14	407	−41.1	38	6740
	392	**−43.4**	**41**	**7000**
15	381	−45.8	43	7180
16	352	−48.0	—	7710
	337	**−50.3**	—	**8000**
17	325	−52.3	—	8240
18	**300**	**−54.5**	—	**8740**
	288	**−55.8**	—	**9000**
19	275	−57.6	—	9300
20	255	−60.4	—	9770
	246	**−60.6**	—	**10000**
21	233	−60.7	—	10330
22	216	−61.4	—	10800
	209	**−61.1**	—	**11000**
	200	**−60.9**	—	**11280**
23	198	−60.9	—	11340
24	179	−61.7	—	11970
	178	**−61.7**	—	**12000**
25	162	−62.7	—	12590

14. II. 1952 14.40 h HEC

	1000	—	—	**090**
0	949.8	−1.0	63	493
1	894	−5.0	59	960
	891	**−5.3**	**59**	**1000**
2	850	−8.0	59	1365
3	800	−8.9	27	1820
	783	**−10.1**	**27**	**2000**
4	762	−11.8	27	2190
5	714	−14.5	23	2680
	700	**−15.4**	**22**	**2850**
	686	**−16.1**	**21**	**3000**
6	676	−16.7	20	3120
7	640	−18.7	20	3510
8	606	−20.8	20	3920
	600	**−20.0**	**20**	**4000**
9	572	−22.2	20	4340
10	540	−25.8	20	4760
	523	**−27.9**	**20**	**5000**
11	**500**	**−30.7**	**20**	**5330**
12	478	−33.4	20	5640
13	**453**	**−37.0**	**20**	**6000**
14	421	−39.2	20	6520
	392	**−42.2**	**20**	**7000**
15	384	−43.0	20	7140
16	363	−47.3	20	7510
	337	**−50.6**	—	**8000**
17	330	−51.5	—	8130
18	307	−53.9	—	8590
	300	**−54.8**	—	**8760**
	289	**−56.2**	—	**9000**
19	280	−57.5	—	9200

Min.	PPP	TTT	UU	H m. geop.
20	254	-57.5	—	9800
	246	**-57.1**	—	**10000**
21	231	-56.2	—	10410
22	214	-56.2	—	10880
	211	**-57.0**	—	**11000**
23	**200**	**-58.9**	—	**11330**
24	183	-57.2	—	11880
	15. II. 1952	**14.50 h HEC**		
	1000	—	—	065
0	948.0	-5.0	100	493
1	899	-5.0	100	910
	889	**-5.0**	**100**	**1000**
2	856	-5.0	100	1290
	850	**-4.9**	**96**	**1350**
3	811	-4.0	52	1780
	783	**-5.2**	**52**	**2000**
4	773	-5.7	52	2090
5	737	-9.9	52	2470
6	**700**	**-13.0**	**68**	**2860**
	687	**-14.0**	**75**	**3000**
7	660	-16.0	84	3300
8	624	-18.8	90	3720
	600	**-20.2**	**91**	**4000**
9	590	-20.8	92	4130
10	558	-24.3	92	4540
	524	**-28.1**	**94**	**5000**
11	522	-28.9	94	5030
	500	**-30.9**	**94**	**5330**
12	490	-32.0	94	5470
13	466	-35.5	94	5830
	455	**-37.0**	**93**	**6000**
14	436	-39.0	92	6290
15	409	-43.4	92	6720
	392	**-46.3**	—	**7000**
16	385	-47.0	—	7120
17	360	-52.0	—	7560
	16. II. 1952	**14.30 h HEC**		
	1000	—	—	**160**
0	959.0	-2.9	100	493
	899	**-7.6**	**100**	**1000**
1	895	-8.0	98	1030
2	857	-8.4	98	1370
	850	**-8.4**	**98**	**1430**
3	805	-8.4	98	1840
	790	**-8.4**	**96**	**2000**
4	769	-8.4	94	2200
5	725	-9.8	93	2660
	700	**-11.6**	**90**	**2930**
	694	-11.8	89	**3000**
6	685	-12.7	88	3100
7	655	-14.5	44	3430
8	623	-17.5	60	3800
	608	**-18.8**	**65**	**4000**
9	585	-20.8	70	1280
10	555	-23.4	88	4660
	530	**-20.9**	**94**	**5000**
11	515	-27.2	98	5210
	500	**-29.2**	**98**	**5420**
12	485	-31.0	98	5630
	460	**-33.8**	**98**	**6000**
13	451	-34.7	98	6150
14	427	-38.4	98	6520
15	399	-41.0	98	6980
	398	**-41.4**	—	**7000**
16	375	-44.4	—	7400
17	352	-49.6	—	7840
	343	**-51.0**	—	**8000**
18	331	-52.0	—	8230
19	303	-55.8	—	8790
	300	**-56.3**	—	**8850**
	293	**-57.5**	—	**9000**
20	285	-59.0	—	9210
21	265	-59.6	—	9870
	250	**-59.6**	—	**10000**
22	235	-59.6	—	10370
23	215	-59.6	—	10920
	213	**-59.6**	—	**11000**
24	**200**	**-59.3**	—	**11390**
	182	**-59.3**	—	**12000**
25	180	-59.3	—	12050
26	163	-59.3	—	12660
	155	**-60.8**	—	**13000**
27	145	-62.0	—	13400
28	135	-64.8	—	13880
	18. II. 1952	**15.00 h HEC**		
	1000	—	—	150
0	958.0	-1.2	60	493
1	903	-4.3	60	960
	899	**-4.4**	**59**	**1000**
2	861	-6.7	55	1330
	850	**-7.2**	**56**	**1438**
3	820	-8.6	57	1710
	790	**-10.7**	**59**	**2000**
4	778	-11.8	60	2120
5	742	-15.0	62	2480
	727	-15.7	62	2630
6	711	-14.2	56	2800
	700	**-14.6**	**57**	**2918**
	693	**-14.9**	**50**	**3000**
7	677	-15.8	50	3170
8	644	-18.0	50	3550
9	611	-21.0	60	3950
	606	**-21.2**	**61**	**4000**
10	578	-23.3	63	4350
11	546	-26.5	63	4760
	528	**-28.1**	**63**	**5000**
12	514	-29.6	63	5190
	500	**-31.0**	**61**	**5390**
13	485	-32.9	60	5600
14	459	**-36.0**	**57**	**6000**
15	433	-39.8	57	6390
16	407	-43.5	—	6810
	395	**-44.7**	—	**7000**
17	379	-46.7	—	7280
18	356	-49.9	—	7800
	339	**-50.6**	—	**8000**
19	322	-52.2	—	8330
	300	**-54.2**	—	**8800**
	19. II. 1952	**15.05 h HEC**		
	1000	—	—	190
0	962.9	-1.0	60	493
	903	**-4.9**	**78**	**1000**
1	866	-7.5	90	1330
	853	-8.1	100	1440
	850	**-7.9**	**97**	**1478**
2	824	-6.9	70	1710
	809	-6.5	55	1860
	795	**-6.9**	**54**	**2000**
3	783	-7.3	52	2120
4	744	-9.1	54	2510
5	706	-11.8	41	2910
	700	**-11.9**	**39**	**2976**
	698	**-12.0**	**30**	**3000**
6	670	-13.8	31	3310
7	631	-16.7	25	3770
	611	**-17.1**	**26**	**4000**
8	596	-18.2	27	4190
9	561	-20.0	64	4640
	534	**-20.7**	**72**	**5000**
10	527	-21.0	74	5100
	500	**-23.8**	**75**	**5490**
11	494	-24.5	75	5580
	466	**-28.0**	**75**	**6000**
12	465	-28.1	76	6020
13	439	-31.0	77	6430
14	409	-34.7	75	6920
	404	**-35.4**	**74**	**7000**
15	382	-38.7	71	7390
16	353	-42.2	—	7930
	349	**-42.7**	—	**8000**
17	325	-45.5	—	8480
	300	**-49.4**	—	**9000**
18	297	-49.8	—	9070
19	271	-54.1	—	9680
	257	**-56.4**	—	**10000**
20	244	-58.7	—	10330
21	223	-62.8	—	10900
	219	**-63.4**	—	**11000**
22	**200**	**-66.7**	—	**11560**
	187	**-67.4**	—	**12000**
23	182	-67.8	—	12120
24	161	-61.9	—	12880
	158	**-61.4**	—	**13000**
25	146	-60.0	—	13480
	20. II. 1952	**15.00 h HEC**		
	1000	—	—	**225**
0	966.8	0.5	65	493
1	919	-1.6	87	900
	907	**-1.9**	**89**	**1000**
2	872	-3.7	92	1320
	850	**-5.5**	**95**	**1520**
3	834	-7.2	**100**	1670
	812	-4.1	97	1870
	799	**-4.1**	**74**	**2000**
4	788	-4.1	52	2110
5	751	-5.9	71	2490
6	716	-7.1	84	2870
	703	**-7.2**	**78**	**3000**
	700	**-7.2**	**77**	**3036**
7	683	-7.5	68	3240
8	647	-10.8	72	3650
	618	**-13.5**	**72**	**4000**
9	614	-13.8	72	4040
10	579	-16.2	62	4490
11	544	-18.4	60	4950
	541	**-18.6**	**60**	**5000**
12	509	-21.1	60	5450
	500	**-22.1**	**57**	**5580**
13	482	-24.4	50	5850
	472	**-25.6**	**50**	**6000**
14	451	-28.5	50	6330
15	421	-32.4	51	6820
	410	**-34.1**	**52**	**7000**
16	393	-37.1	54	7300
17	360	-40.9	—	7900
	355	**-41.5**	—	**8000**
18	330	-45.3	—	8480
	305	**-48.4**	—	**9000**
19	**300**	**-49.5**	—	**9120**
20	275	-54.3	—	9620
	261	**-56.7**	—	**10000**
21	249	-59.0	—	10300
22	225	-63.0	—	10930
	222	**-63.2**	—	**11000**
23	204	-65.4	—	11540
	200	**-65.7**	—	**11650**
	189	**-66.7**	—	**12000**
24	183	-67.2	—	12190
	160	**-64.9**	—	**13000**
25	159	-64.9	—	13050
26	137	-62.7	—	13950
	21. II. 1952	**15.05 h HEC**		
	1000	—	—	250
0	970.8	5.8	60	493
1	926	2.2	83	880
	912	**1.0**	**90**	**1000**
2	890	-1.5	100	1190
3	864	0.2	63	1430
	850	**0.3**	**51**	**1565**
4	823	0.0	32	1810
	804	**-0.9**	**48**	**2000**
5	784	-1.9	65	2200
6	747	-4.8	90	2590
7	711	**-7.8**	**100**	**3000**
	700	-8.2	98	**3095**
8	673	-10.2	94	3400
9	637	-12.6	91	3820
	623	**-13.8**	**92**	**4000**
10	602	-15.7	93	4260
11	574	-17.0	75	4610
12	**545**	**-18.3**	**40**	**5000**
13	517	-21.3	40	5390
	500	**-22.9**	**37**	**5630**
14	487	-24.2	35	5820
	475	**-25.3**	**33**	**6000**
15	461	-26.9	32	6220
16	434	-30.2	31	6660
	413	**-33.2**	**31**	**7000**
17	407	-34.1	31	7110
18	384	-37.0	31	7510
	357	-41.1	—	8000
19	355	-41.5	—	8050
20	329	-45.2	—	8560
	307	**-48.8**	—	**9000**
21	303	-49.7	—	9100
	300	**-50.0**	—	**9160**
22	278	-53.6	—	9670
	258	**-55.7**	—	**10000**
23	255	-57.1	—	10210
24	237	-60.5	—	10670
	225	**-62.5**	—	**11000**
25	218	-63.7	—	11180
26	205	-66.7	—	11560
	200	**-67.1**	—	**11700**
27	193	-68.2	—	11930
	22. II. 1952	**14.50 h HEC**		
	1000	—	—	225
0	967.6	5.0	65	493
1	933	3.2	74	790
	909	**5.1**	**51**	**1000**
	892	6.8	33	1150
2	881	6.2	30	1260
	850	**4.7**	**28**	**1550**
3	841	4.3	27	1630
	804	**1.8**	**40**	**2000**
4	795	1.1	43	2090
5	752	-1.6	60	2540
6	714	-5.5	60	2950
	709	**-5.9**	**62**	**3000**
	700	**-6.6**	**64**	**3095**
7	674	-9.2	68	3390
	646	-11.2	63	3720
8	637	-10.7	58	3820
	623	**-11.5**	**45**	**4000**
9	603	-13.1	38	4240
10	564	-16.2	33	4750
	545	**-17.7**	**48**	**5000**
11	531	-18.9	25	5200
	500	**-21.0**	**23**	**5640**
12	496	-21.5	22	5710
	476	**-24.6**	**20**	**6000**
13	470	-25.8	20	6100
14	442	-29.8	20	6540
	414	**-32.9**	**20**	**7000**
15	412	-33.3	20	7040
16	385	-36.7	20	7500
17	**358**	**-40.7**	—	**8000**
18	329	-46.3	—	8580
	308	**-49.5**	—	**9000**
19	306	-50.1	—	9060
	300	**-50.7**	—	**9180**
20	275	-54.1	—	9720
	264	**-56.7**	—	**10000**
21	255	-58.9	—	10220
22	234	-62.7	—	10760
	225	**-63.9**	—	**11000**
23	212	-65.9	—	11350
	200	**-67.2**	—	**11700**
24	193	-68.2	—	11930
	190	**-68.3**	—	**12000**
	180	-69.3	—	12330
25	178	-68.3	—	12410
	23. II. 1952	**14.45 h HEC**		
	1000	—	—	**190**
0	964.1	5.7	65	**493**
1	916	4.6	65	910
	906	**4.7**	**60**	**1000**
2	878	4.8	45	1250
	850	**4.1**	**42**	**1521**
3	838	3.8	40	1630
4	**801**	**0.8**	**45**	**2000**
5	767	-2.5	35	2350
6	730	-4.6	28	2740
	706	**-4.6**	**26**	**3000**
	700	**-4.7**	**25**	**3060**
7	692	-4.9	25	3160
8	657	-7.9	25	3560
9	**619**	**-11.9**	**25**	**4000**
10	586	-14.4	25	4440
11	552	-16.8	25	4880
	543	**-17.7**	**25**	**5000**

Min.	PPP	TTT	UU	H m. geop.
12	521	-20.4	25	5310
	500	**-22.7**	**25**	**5610**
13	491	-24.0	25	5750
	474	**-25.6**	**25**	**6000**
14	457	-27.7	25	6270
15	430	-31.4	25	6700
	412	**-34.3**	**25**	**7000**
16	404	-36.0	25	7140
17	382	-39.5	25	7530
18	**356**	**-43.9**	—	**8000**
19	333	-47.8	—	8440
20	310	-52.5	—	8910
	306	**-53.2**	—	**9000**
	300	**-54.1**	—	**9110**
21	287	-56.7	—	9400
22	263	-60.8	—	9950
	261	**-61.2**	—	**10000**
23	240	-64.5	—	10510
	222	**-66.9**	—	**11000**
24	216	-68.0	—	11150
	200	**-67.1**	—	**11610**
25	197	-67.0	—	11710

25. II. 1952 15.00 h HEC

	1000	—	—	**240**
0	969.1	0.0	90	493
1	914	-4.9	100	950
	909	**-3.9**	**94**	**1000**
2	878	2.8	58	1270
	850	**2.3**	**42**	**1542**
3	846	2.2	40	1570
4	811	0.0	38	1920
	804	**-0.6**	**37**	**2000**
5	775	-2.2	34	2280
6	738	-2.5	33	2680
	707	**-5.3**	**39**	**3000**
7	**700**	**-6.0**	**40**	**3082**
8	667	-9.7	40	3460
9	634	-10.5	31	3850
	621	**-11.5**	**31**	**4000**
10	604	-13.2	30	4210
11	571	-16.9	30	4640
	544	**-19.8**	**30**	**5000**
12	540	-20.2	30	5060
13	517	-23.3	30	5370
	500	**-25.2**	**30**	**5620**
14	485	-27.1	30	5840
	474	**-28.3**	**30**	**6000**
15	454	-30.8	30	6300
16	427	-35.0	30	6740
	412	**-37.2**	**30**	**7000**
17	400	-38.9	30	7190
18	370	-43.0	—	7720
	355	**-45.0**	—	**8000**
19	346	-46.2	—	8170
20	322	-50.4	—	8640
	305	**-53.2**	—	**9000**
21	**300**	**-54.1**	—	**9100**
22	276	-58.6	—	9640
	260	**-61.2**	—	**10000**
23	248	-62.3	—	10290
	245	-63.9	—	10370
24	231	-63.1	—	10730
	221	**-62.8**	—	**11000**
25	212	-62.6	—	11260
	200	**-60.7**	—	**11610**
26	193	-59.8	—	11840
	188	**-59.3**	—	**12000**
27	174	-58.4	—	12480
	160	**-58.1**	—	**13000**
28	158	-58.0	—	13100

26. II. 1952 15.10 h HEC

	1000	—	—	**220**
0	967.2	0.0	90	493
	936	-4.3	100	750
1	915	-1.9	100	930
	907	**-1.0**	**95**	**1000**
2	871	2.9	72	1320
	850	**1.6**	**61**	**1522**
3	832	0.8	50	1690
	801	**-1.7**	**39**	**2000**
4	790	-2.4	35	2110
5	749	-3.4	32	2520
6	711	-6.2	30	2930
	705	**-6.6**	**30**	**3000**
	700	**-7.2**	**30**	**3055**
7	678	-9.9	30	3310
8	644	-13.7	30	3710
	619	**-15.2**	**30**	**4000**
9	610	-16.0	30	4110
10	578	-19.2	30	4520
11	545	-21.7	30	4940
	541	**-21.9**	**30**	**5000**
12	513	-25.2	30	5390
	500	**-26.5**	**30**	**5570**
13	479	-29.2	30	5930
	471	**-30.0**	**31**	**6000**
14	452	-33.6	33	6300
15	424	-37.7	37	6740
	408	**-40.0**	**41**	**7000**
16	395	-42.3	46	7220
17	367	-47.6	52	7710
	351	**-50.3**	—	**8000**
18	345	-51.8	—	8120
19	323	-56.2	—	8540
20	**300**	**-61.3**	—	**9000**
21	272	-64.5	—	9610

27. II. 1952 14.50 h HEC

	1000	—	—	**200**
0	964.8	2.5	70	493
1	909	-0.7	96	970
	906	**-0.8**	**95**	**1000**
2	868	-1.4	85	1340
	850	**-0.4**	**70**	**1510**
3	821	-0.3	27	1800
	799	**-0.6**	**22**	**2000**
4	790	-1.1	20	2090
5	758	-3.1	20	2480
6	721	-4.6	52	2820
	704	**-5.7**	**60**	**3000**
	700	**-6.0**	**61**	**3050**
7	688	-6.9	67	3180
8	655	-8.8	92	3570
9	623	-11.5	89	3950
	619	**-11.7**	**89**	**4000**
10	590	-12.9	88	4360
11	559	-15.7	84	4770
	543	**-16.6**	**70**	**5000**
12	526	-17.8	63	5240
	500	**-20.5**	**51**	**5615**
13	496	-21.0	49	5680
	475	**-22.8**	**48**	**6000**
14	470	-23.3	47	6070
15	441	-27.9	47	6530
16	419	-31.7	47	6890
	413	**-32.7**	**46**	**7000**
17	395	-35.1	42	7300
18	371	-38.0	37	7740
	357	**-40.3**	**37**	**8000**
19	347	-42.1	—	8200
20	323	-45.7	—	8680
	308	**-48.0**	—	**9000**
	300	**-49.2**	—	**9175**
21	296	-50.0	—	9260
22	273	-54.7	—	9780
	264	**-55.9**	—	**10000**
23	250	-57.8	—	10340
24	227	-62.9	—	10950
	226	**-63.2**	—	**11000**
25	203	-66.9	—	11660
	200	**-67.2**	—	**11720**
	190	**-70.0**	—	**12000**
26	186	-70.6	—	12160
27	166	-68.5	—	12810

28. II. 1952 14.45 h HEC

	1000	—	—	**210**
0	966.3	7.0	55	493
1	916	3.5	68	930
	908	**3.1**	**68**	**1000**
2	877	1.3	68	1280
	850	**1.3**	**63**	**1530**
3	837	1.3	60	1660
4	**802**	**-0.2**	**32**	**2000**
5	769	-2.2	20	2340
6	737	-2.9	20	2670
	707	**-4.5**	**20**	**3000**
7	704	-4.7	20	3040
	700	**-4.9**	**20**	**3072**
8	665	-8.1	20	3470
9	630	-11.8	33	3880
	621	**-12.2**	**32**	**4000**
10	591	-14.2	31	4370
11	560	-17.1	25	4790
	544	**-18.6**	**25**	**5000**
12	528	-20.6	24	5220
	500	**-23.4**	**23**	**5620**
13	496	-23.9	22	5690
	475	**-26.6**	**22**	**6000**
14	470	-27.4	22	6070
15	445	-30.4	22	6460
16	415	-34.4	22	6960
	413	**-34.7**	**22**	**7000**
17	388	-38.1	22	7420
18	363	-42.0	—	7870
	357	**-43.0**	—	**8000**
19	340	-45.7	—	8310
20	317	-48.5	—	8780
	307	**-49.7**	—	**9000**
	300	**-50.7**	—	**9140**
21	293	-51.8	—	9300
22	273	-56.1	—	9740
	263	**-58.0**	—	**10000**
23	250	-60.2	—	10300
24	227	-63.3	—	10890
	223	**-63.6**	—	**11000**
25	204	-66.3	—	11550
	200	**-66.8**	—	**11660**
	189	-68.2	—	**12000**
26	188	-68.5	—	12040

29. II. 1952 14.50 h HEC

	1000	—	—	**195**
0	964.8	7.0	55	493
1	916	4.0	64	920
	907	**3.6**	**64**	**1000**
2	869	1.4	64	1340
	850	**0.2**	**63**	**1519**
3	824	-1.7	61	1770
	800	**-2.3**	**56**	**2000**
4	782	-3.1	52	2180
5	746	-5.6	56	2560
6	710	-7.4	43	2940
	705	**-7.9**	**42**	**3000**
	700	**-8.1**	**41**	**3045**
7	673	-10.0	40	3350
8	641	-13.0	37	3720
	618	**-14.7**	**40**	**4000**
9	608	-15.6	41	4130
10	576	-17.9	53	4530
11	551	-20.0	60	4860
	540	**-19.5**	**62**	**5000**
12	527	-19.0	64	5190
	500	**-20.2**	**66**	**5580**
13	491	-20.6	67	5720
	472	**-22.6**	**67**	**6000**
14	463	-23.6	67	6150
15	435	-27.1	68	6600
	411	**-29.9**	**68**	**7000**
16	409	-30.2	68	7040
17	380	-33.7	68	7560
	356	**-36.8**	**68**	**8000**
18	352	-37.5	68	8090
19	328	-40.7	—	8570
	308	**-43.7**	—	**9000**
20	300	-45.1	—	9180
21	280	-49.2	—	9640
	264	**-52.0**	—	**10000**
22	257	-53.5	—	10180
23	234	-57.6	—	10780
	226	**-59.3**	—	**11000**
24	214	-62.6	—	11340
	200	**-65.3**	—	**11750**
25	194	-66.8	—	11930
	192	**-67.0**	—	**12000**
26	178	-68.5	—	12450
	162	**-65.9**	—	**13000**
27	159	-65.1	—	13140
28	143	-62.8	—	13790

1. III. 1952 14.45 h HEC

	1000	—	—	**185**
0	963.2	9.0	50	493
1	912	2.8	70	940
	906	**2.4**	**72**	**1000**
2	863	-1.2	79	1390
	850	**-1.3**	**75**	**1506**
3	822	-1.4	66	1770
	799	**-1.6**	**52**	**2000**
4	777	-2.1	38	2220
5	743	-3.2	34	2580
6	708	-5.1	56	2960
	704	**-5.3**	**57**	**3000**
	700	**-5.5**	**58**	**3043**
7	672	-6.8	61	3360
8	636	-9.0	68	3790
	619	**-10.1**	**64**	**4000**
9	603	-11.3	61	4210
10	572	-14.1	58	4610
	543	**-15.8**	**56**	**5000**
11	541	-16.0	56	5030
12	514	-18.5	49	5410
	500	**-19.7**	**47**	**5610**
13	485	-21.2	45	5870
	474	**-21.7**	**45**	**6000**
14	453	-23.4	45	6340
15	429	-26.9	48	6740
	413	**-28.8**	**49**	**7000**
16	401	-30.4	50	7220
17	376	-33.5	50	7670
	359	**-36.4**	**57**	**8000**
18	352	-37.6	56	8130
19	330	-41.4	—	8570
	309	**-45.2**	—	**9000**
20	308	-45.5	—	9040
	300	**-46.4**	—	**9200**
21	284	-48.9	—	9570
	266	**-52.2**	—	**10000**
22	263	-53.1	—	10070
23	242	-57.1	—	10600
	227	**-60.3**	—	**11000**
24	222	-61.7	—	11150
25	204	-65.7	—	11650
	200	**-65.8**	—	**11770**
	193	**-66.3**	—	**12000**
26	183	-67.2	—	12310
27	167	-68.2	—	12860
	163	**-68.1**	—	**13000**
28	151	-68.4	—	13460
29	140	-66.7	—	13980

3. III. 1952 15.00 h HEC

	1000	—	—	**110**
0	955.2	10.3	56	493
1	920	7.5	55	800
	898	**6.5**	**50**	**1000**
2	874	5.3	43	1240
	850	**3.6**	**42**	**1450**
3	830	2.3	41	1650
	794	**-0.3**	**40**	**2000**
4	785	-1.0	39	2090
5	745	-4.4	64	2500
6	**700**	**-6.0**	**59**	**2990**
	699	**-6.0**	**59**	**3000**
7	657	-8.9	55	3480
8	619	-9.9	36	3810
	614	**-10.4**	**35**	**4000**
9	585	-11.5	33	4370
10	555	-14.8	33	4770
	539	**-16.5**	**33**	**5000**
11	526	-17.5	33	5180
12	**500**	**-20.4**	**33**	**5560**
	471	**-23.8**	**37**	**6000**
13	468	-24.1	38	6040
14	443	-30.0	62	6430

Min.	PPP	TTT	UU	H m. geop.
15	415	−34.5	56	6890
	409	**−35.4**	**55**	**7000**
16	390	−37.5	54	7320
17	360	−40.5	74	7870
	353	**−41.5**	**77**	**8000**
18	333	−44.0	87	8390
19	306	−47.9	—	8950
	304	**−48.3**	—	**9000**
	300	**−49.0**	—	**9090**
20	282	−52.0	—	9500
21	**260**	**−56.1**	—	**10000**
22	238	−60.0	—	10690
	222	**−61.6**	—	**11000**
23	213	−63.2	—	11250
	200	**−65.5**	—	**11650**
24	191	−66.6	—	11910
	189	**−66.2**	—	**12000**
25	175	−64.1	—	12450

4. III. 1952 14.50 h HEC

	1000	—	—	**110**
0	955.2	12.8	40	493
1	903	8.6	46	960
	899	**8.1**	**48**	**1000**
2	859	5.4	53	1370
	850	**4.6**	**54**	**1460**
3	817	2.3	57	1770
	795	**0.7**	**60**	**2000**
4	771	−0.9	65	2240
5	733	−3.5	79	2640
6	703	−5.8	100	2960
	700	**−6.3**	**100**	**3060**
7	670	−9.6	100	3340
8	635	−12.2	100	3750
	615	**−13.8**	**90**	**4000**
9	596	−15.0	86	4230
10	559	−17.3	62	4700
	539	**−18.7**	**72**	**5000**
11	524	−19.7	82	5190
12	**500**	**−22.7**	**90**	**5540**
13	**470**	**−26.2**	**94**	**6000**
14	441	−29.4	92	6450
15	413	−33.4	89	6910
	408	**−34.1**	**88**	**7000**
16	387	−37.0	86	7380
17	360	−40.5	—	7860
	353	**−41.3**	—	**8000**
18	331	−43.7	—	8440
19	307	−47.3	—	8940
	304	**−47.8**	—	**9000**
	300	**−48.4**	—	**9090**
20	285	−50.7	—	9420
21	**260**	**−55.2**	—	**10000**
22	240	−57.9	—	10510
	222	**−60.7**	—	**11000**
23	220	−61.0	—	11060
24	**200**	**−60.3**	—	**11660**
	189	**−57.6**	—	**12000**
25	183	−55.9	—	12220
26	169	−52.1	—	12730
	162	**−52.1**	—	**13000**
27	157	−52.1	—	13210

5. III. 1952 14.50 h HEC

	1000	—	—	**110**
0	955.7	10.0	65	493
1	905	6.8	84	940
	899	**6.4**	**86**	**1000**
2	868	3.3	96	1280
	850	**2.1**	**98**	**1450**
3	826	0.1	100	1690
	793	**−2.8**	**100**	**2000**
4	790	−3.2	100	2040
5	753	−4.7	100	2410
6	715	−7.2	100	2820
	700	**−8.2**	**100**	**2984**
	699	**−8.3**	**100**	**3000**
7	683	−9.6	100	3170
8	644	−11.8	100	3630
	613	**−13.8**	**100**	**4000**
9	608	−14.4	100	4070
10	571	−18.5	100	4540
11	**535**	**−21.9**	**100**	**5000**
12	**500**	**−25.3**	**97**	**5510**
13	468	−28.5	64	6000
14	437	−31.2	44	6480
15	408	−34.9	55	6960
	405	**−35.0**	**56**	**7000**
16	381	−39.5	65	7480
17	358	−43.5	—	7850
	350	**−44.7**	—	**8000**
18	332	−47.9	—	8350
19	306	−52.0	—	8890
	300	**−52.9**	—	**9000**
20	282	−56.1	—	9410
21	**256**	**−59.9**	—	**10000**
22	237	−59.5	—	10500
	219	**−59.3**	—	**11000**
23	216	−59.3	—	11080
	200	**−58.5**	—	**11560**
24	197	−58.4	—	11660
	186	**−58.2**	—	**12000**
25	178	−58.1	—	12290
26	162	−55.6	—	12890

6. III. 1952 14.55 h HEC

	1000	—	—	**160**
0	961.2	7.2	84	493
1	912	4.3	87	900
	903	**3.2**	**88**	**1000**
2	875	1.0	89	1240
	850	**−0.5**	**91**	**1488**
3	839	−1.5	93	1580
4	804	−3.5	96	1910
	797	**−4.1**	**98**	**2000**
5	775	−5.5	100	2210
6	747	−7.0	100	2490
7	718	−10.1	98	2790
	700	**−11.2**	**96**	**3000**
8	687	−11.9	94	3140
9	657	−11.9	96	3440
10	632	−13.2	97	3770
	614	**−14.0**	**97**	**4000**
11	602	−14.5	97	4140
12	572	−17.1	97	4520
13	546	−19.1	96	4870
	538	**−19.8**	**95**	**5000**
14	520	−21.1	92	5240
15	**500**	**−23.6**	**87**	**5530**
16	**469**	**−26.0**	**85**	**6000**
17	440	−28.7	83	6450
18	411	−31.7	81	6920
	408	**−32.2**	**80**	**7000**
19	382	−34.7	79	7430
20	358	−38.0	77	7890
	353	**−38.7**	**75**	**8000**
21	335	−40.7	—	8350
22	315	−44.6	—	8760
	305	**−46.9**	—	**9000**
	300	**−47.7**	—	**9100**
23	295	−48.7	—	9200
24	277	−52.3	—	9610
	261	**−54.9**	—	**10000**
25	257	−55.5	—	10100
26	239	−58.8	—	10560
	223	**−60.9**	—	**11000**
27	219	−61.8	—	11100
28	**200**	**−62.1**	—	**11660**
	189	**−60.4**	—	**12000**
29	186	−60.0	—	12120
30	171	−57.0	—	12640
	162	**−54.8**	—	**13000**
31	158	−54.1	—	13150

7. III. 1952 15.00 h HEC

	1000	—	—	**150**
0	959.3	6.0	90	493
1	919	2.9	100	840
	901	**2.3**	**100**	**1000**
2	869	0.9	100	1290
	850	**0.2**	**100**	**1470**
3	834	−0.7	100	1710
4	805	−2.1	100	1900
	795	**−2.4**	**100**	**2000**
5	779	−3.2	100	2160
6	753	−5.1	100	2480
7	727	−6.6	100	2700
8	**700**	**−7.5**	**100**	**3000**
9	669	−8.8	100	3340
10	641	−9.6	100	3680
11	**616**	**−10.8**	**100**	**4000**
12	591	−12.1	98	4300
13	567	−14.1	97	4620
14	543	−16.1	96	4940
	539	**−16.3**	**96**	**5000**
15	519	−18.5	95	5290
	500	**−19.6**	**94**	**5560**
16	494	−19.8	93	5660
17	**472**	**−22.1**	**89**	**6000**
18	447	−23.9	87	6390
19	424	−26.5	87	6780
	411	**−28.1**	**87**	**7000**
20	401	−29.3	87	7170
21	379	−32.1	87	7580
22	362	−34.4	85	7890
	356	**−35.5**	**84**	**8000**
23	342	−37.8	82	8280
24	323	−41.1	—	8670
	307	**−44.1**	—	**9000**
25	306	−44.4	—	9040
	300	**−45.3**	—	**9170**
26	287	−47.7	—	9470
27	269	−51.3	—	9900
	264	**−52.2**	—	**10000**
28	248	−55.5	—	10410
29	229	−59.2	—	10920
	226	**−59.9**	—	**11000**
30	212	−63.1	—	11400
	200	**−65.3**	—	**11750**
31	196	−66.1	—	11870
	192	**−64.5**	—	**12000**
32	182	−60.9	—	12330
33	168	−57.9	—	12830

8. III. 1952 15.05 h HEC

	1000	—	—	**160**
0	959.8	2.3	100	493
	902	**0.9**	**100**	**1000**
1	896	0.6	100	1040
2	855	2.0	100	1420
	850	**1.9**	**95**	**1473**
3	817	1.3	85	1770
	796	**−0.3**	**87**	**2000**
4	781	−1.7	89	2140
5	748	−4.2	100	2540
6	707	−5.8	100	2920
	702	**−6.6**	**97**	**3000**
	700	**−6.8**	**95**	**3020**
7	674	−8.1	90	3290
8	638	−8.9	32	3720
	616	**−9.9**	**27**	**4000**
9	604	−10.5	22	4150
10	573	−13.1	20	4550
	541	**−15.6**	**32**	**5000**
11	534	−16.0	38	5090
12	**500**	**−18.9**	**80**	**5580**
13	**471**	**−21.5**	**100**	**6000**
14	441	−23.1	50	6500
15	413	−28.3	23	6970
	412	**−28.5**	**22**	**7000**
16	386	−32.3	20	7450
	358	**−36.5**	**25**	**8000**
17	354	−37.0	26	8060
18	329	−41.5	—	8560
	309	**−44.7**	—	**9000**
19	**300**	**−46.0**	—	**9190**
20	274	−50.0	—	9780
	265	**−51.9**	—	**10000**
21	250	−54.9	—	10380
22	**226**	**−58.1**	—	**11000**
23	204	−60.7	—	11650
	200	**−61.3**	—	**11780**
	193	**−62.1**	—	**12000**
24	184	−62.8	—	12280
25	165	−59.4	—	12950

10. III. 1952 15.00 h HEC

	1000	—	—	**160**
0	961.2	7.0	76	493
1	919	3.0	80	840
	903	**2.3**	**82**	**1000**
2	879	1.0	83	1210
	850	**−1.2**	**80**	**1485**
3	842	−2.1	78	1550
4	799	−5.4	81	1970
	796	**−5.5**	**80**	**2000**
5	754	−7.1	70	2420
6	713	−10.0	68	2850
	700	**−11.0**	**73**	**3000**
7	672	−13.4	78	3310
8	635	−16.4	62	3730
	613	**−17.6**	**69**	**4000**
9	598	−18.7	75	4180
10	563	−21.6	70	4630
	536	**−23.7**	**73**	**5000**
11	529	−24.3	74	5080
	500	**−26.9**	**75**	**5500**
12	494	−27.6	76	5580
	466	**−29.9**	**77**	**6000**
13	463	−30.1	77	6030
14	432	−33.5	77	6530
	405	**−36.3**	**76**	**7000**
15	401	−36.7	76	7050
16	370	−40.5	—	7610
	349	**−43.1**	—	**8000**
17	342	−44.2	—	8130
18	315	−48.1	—	8680
	300	**−50.0**	—	**9000**
19	291	−50.9	—	9200
20	263	−51.7	—	9850
	257	**−51.8**	—	**10000**
21	241	−52.2	—	10420
	221	**−52.2**	—	**11000**
22	219	−52.2	—	11040
23	**200**	**−51.5**	—	**11630**
	189	**−50.6**	—	**12000**
24	181	−50.0	—	12280
	162	**−50.5**	—	**13000**
25	162	−50.9	—	13230
26	147	−50.9	—	13640

11. III. 1952 14.55 h HEC

	1000	—	—	**140**
0	958.3	7.5	70	493
1	921	3.7	86	820
	901	**2.2**	**85**	**1000**
2	887	1.3	84	1130
	850	**−1.6**	**85**	**1464**
3	844	−1.9	86	1520
4	802	−3.5	63	1920
	794	**−3.8**	**58**	**2000**
5	770	−4.9	42	2250
6	737	−6.5	30	2590
7	**700**	**−9.5**	**25**	**2985**
	699	**−9.5**	**25**	**3000**
	662	−12.0	20	3420
9	624	−14.0	20	3870
	613	**−15.0**	**24**	**4000**
10	589	−17.1	33	4500
11	553	−19.9	44	4770
	536	**−21.3**	**44**	**5000**
12	520	−22.9	44	5230
	500	**−25.0**	**43**	**5500**
13	489	−26.5	42	5670
	467	**−29.8**	**42**	**6000**
14	461	−30.8	42	6100
15	432	−34.7	37	6550
	405	**−38.1**	**41**	**7000**
16	401	−38.5	42	7060
17	369	−41.5	—	7640
	349	**−43.4**	—	**8000**
18	339	−44.8	—	8200
19	307	−49.1	—	8860
	300	**−49.6**	—	**9000**
20	276	−52.1	—	9550
	258	**−54.0**	—	**10000**
21	250	−54.8	—	10190

Min.	PPP	TTT	UU	H m. geop.
22	224	-56.0	—	10890
	220	**-56.0**	—	**11000**
23	206	-56.2	—	11420
	200	**-55.5**	—	**11600**
	188	**-54.1**	—	**12000**
24	187	-54.0	—	12030
25	167	-53.2	—	12770
	12. III. 1952 15.00 h HEC			
	1000	—	—	**090**
0	953.3	9.0	60	493
1	915	5.7	60	780
	896	**4.2**	**60**	**1000**
2	877	3.0	60	1170
	850	**1.1**	**60**	**1424**
3	840	0.1	60	1520
4	798	-3.9	67	1920
	791	**-4.2**	**62**	**2000**
5	757	-5.5	53	2340
6	715	-8.3	46	2770
	700	**-9.4**	**43**	**2950**
	695	**-9.6**	**41**	**3000**
7	681	-10.7	37	3150
8	649	-13.9	37	3520
9	616	-16.5	40	3920
	610	**-17.1**	**41**	**4000**
10	582	-19.7	45	4340
11	551	-22.6	55	4740
	532	**-23.7**	**58**	**5000**
12	517	-24.5	62	5210
	500	**-25.8**	**62**	**5460**
13	487	-27.1	62	5640
	464	**-29.0**	**62**	**6000**
14	456	-29.7	62	6100
15	425	-32.4	52	6600
	402	**-34.7**	**98**	**7000**
16	395	-35.3	46	7130
17	368	-38.0	44	7610
	348	**-40.6**	—	**8000**
18	340	-41.5	—	8150
19	314	-44.7	—	8690
	300	**-46.9**	—	**9000**
20	290	-48.7	—	9220
21	266	-52.3	—	9780
	257	**-53.2**	—	**10000**
22	244	-54.7	—	10340
	220	**-53.6**	—	**11000**
23	218	-53.5	—	11060
	200	**-53.0**	—	**11620**
24	194	-52.9	—	11810
	188	**-52.0**	—	**12000**
25	171	-49.3	—	12630
	13. III. 1952 14.55 h HEC			
	1000	—	—	**100**
0	954.3	9.8	30	493
1	916	5.9	44	880
	897	**3.5**	**49**	**1000**
2	879	2.1	54	1170
	850	**0.0**	**66**	**1434**
3	840	-0.8	70	1530
4	799	-3.9	38	1920
	791	**-4.1**	**36**	**2000**
5	761	-6.5	27	2300
6	720	-8.8	25	2740
	700	**-9.7**	**23**	**2954**
	696	**-10.0**	**23**	**3000**
7	686	-10.5	22	3110
8	652	-11.0	29	3510
9	614	-15.2	40	3960
	610	**-15.4**	**41**	**4000**
10	576	-18.6	48	4440
11	543	-22.1	50	4870
	533	**-22.6**	**55**	**5000**
12	509	-24.3	65	5350
	500	**-25.5**	**67**	**5470**
13	476	-29.0	72	5830
	465	**-29.7**	**68**	**6000**
14	446	-31.1	59	6290
15	415	-34.1	53	6800
	403	**-35.3**	**54**	**7000**
16	390	-37.3	56	7240
17	365	-41.1	—	7690
	348	**-44.0**	—	**8000**
18	343	-45.2	—	8100
19	320	-48.2	—	8570
	300	**-51.2**	—	**9000**
20	295	-52.1	—	9100
21	274	-55.7	—	9570
	256	**-58.7**	—	**10000**
22	252	-59.6	—	10110
23	231	-61.4	—	10650
	218	**-59.2**	—	**11000**
24	213	-58.7	—	11150
	200	**-56.1**	—	**11540**
25	194	-55.1	—	11780
	186	**-54.5**	—	**12000**
26	175	-53.7	—	12390
	159	**-52.8**	—	**13000**
27	154	-52.6	—	13220
28	138	-53.0	—	13920
	14. III. 1952 15.00 h HEC			
	1000	—	—	**150**
0	959.4	4.7	50	493
1	913	0.5	52	890
	901	**-0.2**	**54**	**1000**
2	861	-2.3	57	1350
	850	**-3.0**	**58**	**1460**
3	825	-4.8	63	1705
4	**793**	**-4.5**	**34**	**2000**
5	758	-6.3	27	2355
6	725	-7.3	26	2710
	700	**-8.9**	**26**	**2980**
	698	**-9.3**	**26**	**3000**
7	688	-10.0	26	3120
8	656	-11.0	25	3480
9	624	-13.0	25	3870
	613	**-13.6**	**25**	**4000**
10	593	-15.3	25	4250
11	563	-18.3	26	4640
	537	**-20.9**	**26**	**5000**
12	535	-21.0	26	5025
13	503	-22.0	28	5470
	500	**-22.0**	**29**	**5510**
14	477	-25.0	30	5860
	468	**-26.3**	**30**	**6000**
15	453	-28.4	30	6230
16	432	-32.7	30	6570
17	405	-35.0	31	7000
18	381	-38.6	32	7440
19	357	-42.4	32	7880
	351	**-43.2**	**32**	**8000**
20	332	-45.5	32	8370
21	307	-50.4	—	8880
	302	**-51.3**	—	**9000**
	300	**-51.6**	—	**9040**
22	282	-54.3	—	9430
23	262	-58.5	—	9900
	258	**-59.4**	—	**10000**
24	242	-62.6	—	10400
25	222	-63.0	—	10930
	220	**-62.4**	—	**11000**
26	204	-59.2	—	11450
	200	**-59.0**	—	**11580**
	187	**-57.8**	—	**12000**
27	184	-57.7	—	12090
28	166	-57.5	—	12740
	160	**-57.2**	—	**13000**
29	150	-56.5	—	13380
	136	**-55.9**	—	**14000**
30	132	-55.7	—	14200
	15. III. 1952 14.40 h HEC			
	1000	—	—	**140**
0	957.5	5.0	45	493
1	911	0.3	60	900
	899	**0.4**	**57**	**1000**
2	868	1.2	50	1290
	850	**0.3**	**50**	**1450**
3	826	-1.5	50	1680
	793	**-3.6**	**45**	**2000**
4	788	-4.1	44	2050
5	745	-7.2	52	2500
6	709	-10.0	40	2880
	700	**-9.9**	**37**	**2972**
	698	**-9.9**	**35**	**3000**
7	667	-9.7	24	3230
8	628	-12.7	22	3810
	612	**-13.6**	**22**	**4000**
9	593	-15.3	22	4250
10	562	-18.3	25	4650
	535	**-20.6**	**27**	**5000**
11	531	-21.1	28	5080
12	**500**	**24.7**	**35**	**5510**
13	470	-27.4	36	5970
	467	**-27.5**	**36**	**6000**
14	437	-31.9	38	6470
15	410	-36.2	40	6920
	405	**-37.0**	—	**7000**
16	385	-41.4	—	7390
17	**351**	**-44.1**	—	**8000**
18	326	-46.3	—	8480
	300	**-48.4**	—	**9000**
19	296	-49.1	—	9110
20	268	-53.4	—	9750
	275	**-55.5**	—	**10000**
21	247	-58.0	—	10270
22	227	-60.5	—	10800
	219	**-61.4**	—	**11000**
23	209	-62.9	—	11310
	200	**-61.5**	—	**11580**
24	191	-60.3	—	11870
	187	**-59.2**	—	**12000**
25	178	-57.1	—	12310
	17. III. 1952 14.55 h HEC			
	1000	—	—	**135**
0	958.0	12.5	50	493
1	906	6.6	65	960
	902	**6.3**	**65**	**1000**
2	861	2.6	65	1370
	850	**1.7**	**66**	**1476**
3	822	-1.0	69	1750
	796	**-2.4**	**78**	**2000**
4	748	-3.8	82	2120
5	748	-6.5	85	2540
6	708	-9.9	83	2920
	700	**-10.4**	**85**	**3000**
7	672	-12.9	90	3320
8	640	-15.2	95	3690
	614	**-16.9**	**96**	**4000**
9	606	-17.6	96	4100
10	571	-20.5	95	4540
11	539	-22.2	94	4960
	536	**-22.5**	**94**	**5000**
12	510	-25.7	94	5370
	500	**-26.7**	**94**	**5510**
13	479	-29.3	94	5820
	467	**-30.4**	**94**	**6000**
14	450	-32.4	94	6260
15	421	-36.4	92	6720
	404	**-39.1**	—	**7000**
16	395	-40.9	—	7170
17	369	-45.0	—	7620
	348	**-48.1**	—	**8000**
18	343	-49.2	—	8110
19	317	-53.2	—	8620
	300	**-55.9**	—	**8970**
	298	**-56.1**	—	**9000**
20	291	-57.5	—	9170
21	264	-62.0	—	9770
	254	**-62.9**	—	**10000**
	252	-63.1	—	10050
22	241	-60.0	—	10330
23	219	-58.7	—	10930
	217	**-58.6**	—	**11000**
	200	**-57.6**	—	**11500**
24	197	-57.4	—	11600
	185	**-56.0**	—	**12000**
25	180	-55.7	—	12170
26	164	-58.7	—	12770
	158	**-54.1**	—	**13000**
27	148	-55.1	—	13420
	135	**-53.8**	—	**14000**
28	132	-53.4	—	14150
	18. III. 1952 14.55 h HEC			
	1000	—	—	**135**
0	958.4	11.9	50	493
1	907	6.8	78	935
	901	**6.0**	**83**	**1000**
2	869	2.7	98	1290
	850	**1.3**	**100**	**1476**
3	836	0.4	100	1600
4	800	-2.7	100	1950
	796	**-3.0**	**100**	**2000**
5	762	-5.1	100	2340
6	724	-9.0	90	2740
	700	**-9.7**	**96**	**3000**
7	684	-10.4	100	3180
8	647	-13.9	100	3600
9	**614**	**-16.0**	**90**	**4000**
10	580	-19.5	86	4420
11	550	-21.7	83	4800
	537	**-23.4**	**78**	**5000**
12	517	-25.8	76	5270
	500	**-27.8**	**72**	**5510**
13	487	-29.6	70	5690
	465	**-31.7**	**81**	**6000**
14	460	-32.5	85	6100
15	433	-35.9	90	6520
16	**403**	**-37.5**	**95**	**7000**
17	374	-40.8	—	7530
	349	**-44.9**	—	**8000**
18	347	-45.4	—	8040
19	322	-50.6	—	8530
	300	**-52.4**	—	**9000**
20	296	-53.0	—	9070
21	278	-56.9	—	9590
	256	**-59.0**	—	**10000**
22	249	-59.7	—	10180
23	227	-58.8	—	10750
	218	**-58.1**	—	**11000**
24	207	-57.1	—	11330
	200	**-55.9**	—	**11550**
25	189	-54.3	—	11910
	186	**-54.3**	—	**12000**
26	170	-54.3	—	12590
	159	**-53.4**	—	**13000**
27	157	-53.3	—	13100
28	141	-55.3	—	13780
	136	**-54.0**	—	**14000**
29	128	-53.7	—	14390
30	119	-56.5	—	14870
	19. III. 1952 14.50 h HEC			
	1000	—	—	**120**
0	956.9	11.2	80	493
1	916	6.9	91	850
	899	**5.7**	**100**	**1000**
	889	4.8	100	1100
2	879	3.5	100	1180
	850	**1.2**	**100**	**1461**
3	842	0.6	100	1540
4	802	-2.1	100	1980
	794	**-2.5**	**100**	**2000**
5	766	-4.6	100	2280
6	727	-7.3	100	2700
	700	**-8.5**	**100**	**2991**
	699	**-8.6**	**100**	**3000**
7	688	-9.3	100	3130
8	651	-12.2	100	3550
9	618	-14.0	98	3950
	613	**-14.2**	**96**	**4000**
10	590	-17.3	92	4300
11	559	-19.7	100	4700
	536	**-21.7**	**94**	**5000**
12	529	-22.5	92	5110
13	**500**	**-25.5**	**100**	**5520**
14	471	-28.8	100	5950
	467	**-29.0**	**99**	**6000**
15	443	-32.0	96	6420
16	417	-34.9	87	6800
	405	**-36.3**	**82**	**7000**
17	389	-38.1	78	7290
18	359	-42.5	—	7840
	350	**-43.8**	—	**8000**

Min.	PPP	TTT	UU	H m. geop.
19	330	−47.1	—	8400
20	303	−51.0	—	8950
	300	**−51.3**	—	**9000**
21	276	−55.0	—	9550
	257	**−56.6**	—	**10000**
22	249	−57.5	—	10210
23	226	−57.5	—	10820
	220	**−56.8**	—	**11000**
24	**200**	**−54.5**	—	**11600**
	20. III. 1952	**15.05 h HEC**		
	1000	—	—	**135**
0	957.8	9.8	62	193
1	910	6.4	68	910
	901	**5.3**	**73**	**1000**
2	864	2.5	80	1330
	850	**1.3**	**90**	**1470**
3	820	−1.3	100	1760
	795	**−3.3**	**100**	**2000**
4	788	−4.4	100	2120
5	758	−6.5	100	2370
6	725	−4.2	100	2730
	700	**−5.3**	**100**	**3000**
7	677	−6.5	100	3260
8	638	−9.0	100	3710
	616	**−10.5**	**100**	**4000**
9	602	−11.3	100	4170
10	571	−14.2	100	4570
11	**539**	**−16.1**	**100**	**5000**
12	514	−18.4	85	5370
	500	**−19.3**	**60**	**5570**
13	488	−20.0	42	5740
	472	**−21.7**	**42**	**6000**
14	462	−22.9	12	6150
15	437	−27.0	44	6550
16	414	−31.1	58	6940
	411	**−31.4**	**61**	**7000**
17	390	−32.8	77	7360
18	364	−32.8	90	7840
	356	**−33.9**	**99**	**8000**
19	341	−35.7	90	8300
20	318	−39.7	88	8780
	308	**−41.6**	—	**9000**
	300	**−43.0**	—	**9180**
21	294	−44.1	—	9320
22	269	−49.3	—	9910
	265	**−49.9**	—	**10000**
23	246	−52.9	—	10490
	227	**−56.5**	—	**11000**
24	226	−56.7	—	11030
25	207	−61.9	—	11580
	200	**−64.0**	—	**11790**
26	196	−65.6	—	11910
	193	**−64.9**	—	**12000**
27	170	−59.9	—	12780
	164	**−59.3**	—	**13000**
28	157	−58.6	—	13290
	21. III. 1952	**14.55 h HEC**		
	1000	—	—	**145**
0	959.0	8.0	60	493
1	916	4.4	60	860
	901	**3.2**	**63**	**1000**
2	866	0.4	70	1320
	850	**−0.9**	**73**	**1470**
3	821	−3.4	82	1750
	812	−4.6	84	1820
	795	**−5.2**	**88**	**2000**
4	778	−5.5	92	2170
5	737	−7.8	100	2600
6	**700**	**−10.2**	**100**	**2989**
	699	**−10.3**	**100**	**3000**
7	666	−13.0	98	3370
	659	−13.7	97	3450
	641	−13.2	83	3660
8	633	−13.5	72	3750
	613	**−14.2**	**62**	**4000**
9	598	−15.0	54	4190
10	564	−16.9	50	4630
	537	**−18.4**	**60**	**5000**
11	534	−18.6	64	5040
12	**500**	**−20.6**	**73**	**5530**
13	**468**	**−23.4**	**71**	**6000**
14	436	−26.1	75	6530
	408	**−29.6**	**74**	**7000**
15	401	−30.3	73	7070
16	379	−33.6	72	7520
	354	**−36.5**	**72**	**8000**
17	349	−37.1	72	8100
18	325	−40.1	—	8590
	306	**−43.3**	—	**9000**
19	300	−44.4	—	9130
20	274	−48.2	—	9720
	263	**−50.6**	—	**10060**
21	249	−53.6	—	10350
22	227	−57.9	—	10930
	225	**−58.2**	—	**11000**
23	201	−62.1	—	11600
	200	**−62.9**	—	**11720**
	191	**−64.4**	—	**12000**
24	186	−65.4	—	12170
25	165	−55.3	—	12910
	168	**−54.8**	—	**13000**
26	151	−53.3	—	13480
27	112	−48.9	—	13880
	22. III. 1952	**14.55 h HEC**		
	1000	—	—	**105**
0	955.0	11.0	80	493
1	913	7.6	90	860
	898	**6.4**	**95**	**1000**
2	876	1.2	100	1210
	850	**2.5**	**100**	**1450**
3	841	1.8	100	1530
1	805	−1.0	100	1880
	793	**−1.0**	**100**	**2000**
5	768	−1.0	100	2240
6	731	−3.0	100	2610
7	705	−3.9	100	2930
	700	**−4.3**	**100**	**2990**
	699	**−4.4**	**100**	**3000**
8	675	−5.9	100	3280
9	644	−8.0	100	3060
10	**614**	**−10.0**	**93**	**4000**
11	586	−12.5	93	4370
12	552	−14.9	63	4830
	540	**−16.3**	**50**	**5000**
13	525	−18.0	40	5200
14	**500**	**−20.7**	**40**	**5570**
	471	**−23.9**	**64**	**6000**
15	469	−24.3	65	6050
16	443	−28.4	90	6450
17	418	−31.2	66	6860
	410	**−32.4**	**62**	**7000**
18	394	−34.7	54	7280
19	368	−37.3	43	7740
	355	**−38.7**	**40**	**8000**
20	341	−39.8	36	8220
21	321	−42.5	—	8690
	306	**−44.2**	—	**9000**
22	300	−45.2	—	9130
23	278	−47.9	—	9650
	263	**−50.3**	—	**10000**
24	259	−51.0	—	10130
25	241	−54.3	—	10590
26	**225**	**−57.0**	—	**11000**
27	207	−61.0	—	11580
	200	**−61.8**	—	**11740**
	192	**−62.5**	—	**12000**
28	190	−62.6	—	12060
29	176	−61.6	—	12520
	163	**−58.1**	—	**13000**
30	162	−57.6	—	13070
31	118	−56.2	—	13620
	139	**−55.3**	—	**14000**
32	134	−54.6	—	14270
33	121	−53.9	—	14910
	119	**−45.1**	—	**15000**
34	110	−55.7	—	15530
	102	**−58.7**	—	**16000**
35	100	−59.4	—	16130
	24. III. 1952	**16.05 h HEC**		
	1000	—	—	**095**
0	953.4	10.0	88	493
1	901	6.0	98	960
	897	**5.5**	**99**	**1000**
2	860	2.7	100	1340
	850	**2.1**	**100**	**1435**
3	817	−0.3	100	1730
	792	**−2.0**	**100**	**2000**
4	775	−2.7	100	2170
5	734	−5.1	100	2590
6	703	−7.0	100	2930
	700	**−7.2**	**100**	**2970**
	697	**−7.4**	**100**	**3000**
7	673	−8.3	100	3260
	663	−9.1	100	3380
8	646	−9.8	50	3570
9	619	−11.6	33	3920
	612	**−12.5**	**36**	**4000**
10	591	−15.1	42	4260
11	559	−18.3	45	4690
	536	**−20.5**	**44**	**5000**
12	525	−21.6	43	5150
	500	**−23.8**	**39**	**5516**
13	492	−24.6	37	5620
	467	**−27.9**	**40**	**6000**
14	461	−28.5	42	6090
15	431	−32.6	35	6570
	406	**−36.2**	**35**	**7000**
16	402	−36.9	35	7070
17	375	−40.3	—	7550
	350	**−43.2**	—	**8000**
18	349	−43.5	—	8040
19	324	−46.2	—	8530
	301	**−48.6**	—	**9000**
20	**300**	**−48.7**	—	**9030**
21	276	−51.7	—	9570
	258	**−53.5**	—	**10000**
22	254	−54.0	—	10120
23	231	−56.0	—	10730
	221	**−55.7**	—	**11000**
24	210	−55.1	—	11320
	200	**−54.3**	—	**11630**
25	193	−53.7	—	11860
	189	**−53.5**	—	**12000**
26	174	−52.4	—	12560
	162	**−53.0**	—	**13000**
27	160	−53.0	—	13090
	25. III. 1952	**14.55 h HEC**		
	1000	—	—	**085**
0	952.2	10.0	65	493
1	921	5.7	97	760
	895	**4.0**	**99**	**1000**
2	883	2.9	100	1110
	850	**1.0**	**100**	**1421**
3	844	0.7	100	1480
4	807	−1.9	100	1830
	790	**−2.8**	**100**	**2000**
5	772	−3.9	100	2180
6	739	−6.1	100	2520
7	706	−8.4	100	2880
	700	**−8.8**	**100**	**2951**
	695	**−9.0**	**100**	**3000**
8	676	−10.8	100	3210
9	643	−13.3	100	3600
10	**612**	**−15.3**	**100**	**4000**
11	581	−17.6	72	4370
12	550	−19.2	48	4780
	534	**−20.4**	**47**	**5000**
13	522	−21.5	46	5160
	500	**−23.2**	**45**	**5480**
14	496	−23.8	45	5540
15	469	−26.1	45	5950
	465	**−26.3**	**45**	**6000**
16	442	−28.8	45	6380
17	418	−31.0	45	6780
	405	**−32.6**	**46**	**7000**
18	393	−34.3	47	7210
19	368	−36.9	58	7660
	350	**−39.1**	**57**	**8000**
20	347	−39.6	58	8070
21	325	−41.7	—	8510
22	304	−44.1	—	8950
	302	**−44.5**	—	**9000**
	300	**−45.0**	—	**9040**
23	282	−49.7	—	9450
24	261	−54.3	—	9960
	259	**−54.6**	—	**10000**
25	240	−57.4	—	10480
26	**221**	**−58.1**	—	**11000**
27	202	−56.5	—	11570
	200	**−56.2**	—	**11640**
	189	**−55.2**	—	**12000**
28	188	−55.3	—	12020
29	175	−53.9	—	12480
30	**161**	**−51.6**	—	**13000**
31	153	−50.3	—	13350
32	141	−50.3	—	13890
	26. III. 1952	**14.55 h HEC**		
	1000	—	—	**090**
0	952.1	5.0	40	493
1	905	0.0	55	900
	894	**−1.0**	**62**	**1000**
2	853	−4.7	71	1370
	850	**−5.0**	**75**	**1400**
3	805	−8.7	86	1820
	787	**−10.3**	**91**	**2000**
4	763	−12.5	97	2240
5	723	−14.7	100	2640
	700	**−16.1**	**80**	**2890**
	689	**−16.8**	**70**	**3000**
6	681	−17.3	60	3090
7	646	−19.0	49	3490
8	614	−20.4	47	3850
	603	**−21.6**	**47**	**4000**
9	586	−23.4	46	4210
10	555	−27.0	46	4590
	525	**−28.4**	**46**	**5000**
11	522	−28.5	46	5040
	500	**−30.1**	**46**	**5350**
12	489	−31.0	46	5500
13	460	−34.4	46	5940
	456	**−34.8**	**46**	**6000**
14	431	−37.3	46	6380
15	403	−38.3	46	6850
	394	**−38.8**	**46**	**7000**
16	377	−40.0	—	7810
17	346	−43.3	—	7900
	340	**−44.0**	—	**8000**
18	319	−46.2	—	8480
	300	**−46.9**	—	**8840**
19	**284**	**−47.1**	—	**9000**
20	267	−48.8	—	9610
	252	**−49.3**	—	**10000**
21	247	−49.3	—	10110
22	226	−49.7	—	10700
	216	**−48.8**	—	**11000**
23	210	−48.3	—	11170
	200	**−47.9**	—	**11500**
24	192	−47.6	—	11770
	27. III. 1952	**14.50 h HEC**		
	1000	—	—	**050**
0	947.2	5.0	65	493
1	902	0.8	75	890
	889	**−0.5**	**84**	**1000**
2	861	−2.8	92	1260
	850	**−3.1**	**90**	**1359**
3	821	−5.1	87	1640
4	**785**	**−7.4**	**67**	**2000**
5	751	−6.2	36	2320
6	715	−8.7	33	2700
	700	**−9.7**	**33**	**2872**
	688	**−10.7**	**33**	**3000**
7	676	−11.7	33	3140
8	651	−14.1	33	3480
	637	−13.1	33	3600
9	617	−14.8	32	3830
	603	**−15.7**	**32**	**4000**
10	585	−17.0	32	4240
11	555	−19.5	32	4640

Min.	PPP	TTT	UU	H m. geop.
12	530	−21.3	32	4970
	527	**−21.4**	**32**	**5000**
	500	**−23.2**	**32**	**5390**
13	493	−23.9	32	5500
14	464	−27.5	32	5940
	460	**−27.9**	**32**	**6000**
15	436	−30.7	32	6390
16	410	−34.3	32	6820
	399	**−35.2**	**33**	**7000**
17	381	−37.1	33	7330
18	356	−39.5	34	7790
	345	**−41.3**	—	**8000**
19	332	−43.6	—	8270
20	307	−46.5	—	8780
	300	**−47.7**	—	**8930**
	297	**−48.1**	—	**9000**
21	283	−50.5	—	9320
22	260	−54.3	—	9870
	255	**−55.3**	—	**10000**
23	241	−58.2	—	10350
24	223	−59.7	—	10850
	217	**−57.9**	—	**11000**
25	207	−54.7	—	11300
	200	**−54.6**	—	**11520**
26	187	−54.0	—	11950

28. III 1952 14.50 h HEC

	1000	—	—	**510**
0	939.4	0.5	100	493
	900	−1.7	100	830
1	891	0.1	100	920
	881	**0.0**	**100**	**1000**
2	856	−0.6	100	1240
	850	**1.7**	**96**	**1290**
3	829	2.7	90	1490
	808	4.0	100	1700
4	797	2.3	100	1810
	779	**1.5**	**100**	**2000**
5	761	0.7	100	2180
6	730	−1.6	100	2520
	700	**−3.6**	**100**	**2845**
7	697	−3.7	100	2890
	686	**−4.4**	**100**	**3000**
8	665	−5.9	100	3260
9	631	−8.2	100	3670
	604	**−10.7**	**100**	**4000**
10	600	−11.4	100	4060
11	565	−14.3	100	4520
12	**530**	**−16.8**	**50**	**5000**
13	**500**	**−19.2**	**83**	**5430**
14	475	−21.5	94	5810
	462	**−22.6**	**96**	**6000**
15	446	−24.3	98	6270
16	417	−27.0	100	6760
	403	**−28.4**	**96**	**7000**
17	391	−30.0	94	7220
18	364	−33.5	91	7730
	350	**−35.7**	**89**	**8000**
19	340	−37.3	88	8200
20	315	−40.6	86	8720
	302	**−43.2**	—	**9000**
	300	**−43.7**	—	**9040**
21	288	−46.3	—	9330

29. III. 1952 14.45 h HEC

	1000	—	—	**570**
0	933.3	3.5	100	493
1	904	4.5	100	740
	877	**5.0**	**100**	**1000**
2	872	4.0	100	1085
	850	**2.8**	**100**	**1210**
3	844	2.1	100	1310
4	814	0.8	100	1530
5	783	−1.1	100	1910
	774	**−1.5**	**100**	**2000**
6	755	−1.9	100	2190
7	726	−3.0	100	2520
8	**700**	**−4.6**	**100**	**2800**
	682	**−5.6**	**100**	**3000**
9	677	−5.8	100	3060
10	656	−7.1	100	3300
11	630	−9.0	100	3620
12	607	−10.7	100	3905
	600	**−11.4**	**99**	**4000**
13	587	−12.4	96	4160
14	563	−14.2	94	4490
15	539	−16.0	97	4815
	526	**−17.3**	**96**	**5000**
16	**519**	**−17.9**	**95**	**5100**
	500	**−19.4**	**94**	**5370**
17	493	−19.7	93	5470
18	472	−20.9	95	5790
	460	**−23.4**	**94**	**6000**
19	453	−24.2	93	6095
20	433	−26.1	92	6430
21	410	−28.0	90	6825
	400	**−29.0**	**91**	**7000**
22	388	−30.8	93	7310
23	367	−33.9	91	7610
24	350	−36.3	95	7940
	347	**−36.6**	**90**	**8000**
25	332	−38.9	77	8300
26	315	−41.1	72	8665
	300	**−43.1**	**71**	**9000**
27	297	−43.4	70	9060
28	281	−46.7	69	9425
29	263	−49.1	69	9800
	258	**−50.2**	**68**	**10000**
30	246	−52.6	68	10300
31	231	−50.9	60	10700
	221	**−50.9**	—	**11000**
32	217	−51.0	53	11110
33	203	−51.0	49	11540
	200	**−51.0**	**47**	**11645**
	190	**−50.1**	—	**12000**
34	187	−50.0	45	12080
35	171	−47.8	45	12670
	163	**−48.9**	—	**13000**
36	157	−48.6	39	13225
37	140	−51.3	37	13980
	139	**−51.1**	—	**14000**
38	123	−49.7	36	14820
	120	**−50.0**	—	**15000**
39	108	−52.2	36	15675

31. III. 1952 15.00 h HEC

	1000	—	—	**515**
0	942.8	16.4	50	493
1	900	11.7	60	870
	887	**10.5**	**67**	**1000**
2	856	7.6	75	1300
	850	**7.4**	**70**	**1352**
3	816	5.1	50	1680
	785	**3.5**	**54**	**2000**
4	771	2.7	55	2150
5	731	−1.2	67	2570
6	**700**	**−3.5**	**83**	**2916**
	693	**−3.9**	**86**	**3000**
7	662	−7.0	98	3360
8	629	−10.1	84	3750
	609	**−11.0**	**57**	**4000**
9	598	−11.6	47	4140
10	569	−12.5	43	4530
11	541	−15.0	55	4910
	534	**−15.3**	**60**	**5000**
12	508	−17.6	70	5390
	500	**−18.1**	**74**	**5490**
13	475	−20.5	83	5880
	467	**−21.4**	**85**	**6000**
14	445	−24.5	90	6360
15	415	−28.5	96	6860
	407	**−29.3**	**97**	**7000**
16	385	−32.1	97	7400
17	358	−36.0	98	7900
	353	**−36.5**	**96**	**8000**
18	332	−40.3	93	8420
19	310	−44.5	—	8880
	304	**−45.4**	—	**9000**
	300	**−46.2**	—	**9090**
20	283	−49.4	—	9480
	261	**−55.4**	—	**10000**
21	257	−56.7	—	10100
22	236	−56.7	—	10650
	223	**−54.0**	—	**11000**
23	215	−52.1	—	11240
24	**200**	**−51.1**	—	**11700**

1. IV. 1952 15.00 h HEC

	1000	—	—	**570**
0	934.0	6.8	100	493
1	895	5.7	100	840
	877	**5.0**	**100**	**1000**
2	860	4.3	100	1130
	850	**4.0**	**100**	**1263**
3	828	2.9	100	1480
4	792	0.6	100	1830
	776	**−0.4**	**100**	**2000**
5	758	−1.5	100	2190
6	729	−2.8	100	2500
	700	**−5.6**	**100**	**2812**
7	695	−6.3	100	2870
	684	**−7.0**	**100**	**3000**
8	663	−8.6	100	3240
9	635	−10.4	100	3570
10	608	−12.7	98	3910
	600	**−13.4**	**96**	**4000**
11	582	−15.0	91	4240
12	552	−17.3	92	4620
	525	**−19.7**	**91**	**5000**
13	523	−20.0	91	5010
	500	**−21.3**	**86**	**5370**
14	494	−21.6	85	5460
15	468	−25.8	82	5940
	458	**−26.3**	**82**	**6000**
16	434	−29.0	82	6390
17	407	−32.1	80	6850
	398	**−33.3**	**79**	**7000**
18	378	−36.7	77	7370
19	356	−40.0	65	7780
	345	**−41.9**	**63**	**8000**
20	332	−44.1	60	8240
21	309	−47.9	60	8730
	296	**−50.1**	—	**9000**
	300	**−49.3**	**58**	**8920**
22	286	−51.9	55	9240
	279	−53.0	—	9400
23	264	−51.0	—	9850
	254	**−50.5**	—	**10000**
24	245	−49.8	—	10230
25	230	−48.7	—	10640
	218	**−47.9**	—	**11000**
26	209	−47.3	—	11270
	200	**−46.1**	—	**11560**
27	192	−45.1	—	11840
	187	**−45.3**	—	**12000**
28	177	−46.2	—	12380

2. IV. 1952 1500 h HEC

	1000	—	—	**110**
0	954.5	3.3	65	493
1	918	−3.1	67	800
	895	**−4.3**	**69**	**1000**
2	873	−5.7	70	1200
	850	**−8.0**	**74**	**1406**
3	833	−9.9	77	1560
4	791	−13.0	96	1950
	787	**−13.0**	**90**	**2000**
5	751	−13.0	59	2540
6	713	−17.0	35	2740
	700	**−17.2**	**26**	**2882**
	689	**−17.2**	**23**	**3000**
7	678	−17.4	19	3120
8	639	−17.9	14	3550
9	608	−20.1	14	3930
	602	**−20.6**	**16**	**4000**
10	580	−23.0	20	4280
11	543	−25.1	20	4750
	525	**−26.6**	**20**	**5000**
12	509	−28.2	20	5220
	500	**−29.3**	**20**	**5360**
13	480	−31.9	20	5640
	456	**−33.4**	**20**	**6000**
14	451	−34.0	20	6080
15	426	−37.1	20	6470
16	400	−40.3	—	6890
	395	**−41.0**	—	**7000**
17	369	−43.6	—	7440
18	341	−47.0	—	7970
	340	**−47.4**	—	**8000**
19	314	−51.0	—	8510
	300	**−52.6**	—	**8820**
	292	**−53.4**	—	**9000**
20	287	−53.9	—	9100
21	262	−57.5	—	9670
	249	**−55.4**	—	**10000**
22	241	−54.3	—	10220
23	221	−52.2	—	10770
	213	**−51.8**	—	**11000**
24	204	−51.4	—	11300
	200	**−51.4**	—	**11420**
25	**183**	**−51.0**	—	**12000**
26	169	−48.0	—	12500

3. IV. 1952 14.50 h HEC

	1000	—	—	**170**
0	961.4	4.0	60	493
1	914	−1.1	65	880
	903	**−2.1**	**73**	**1000**
2	871	−1.4	80	1270
	850	**−6.1**	**87**	**1473**
3	831	−7.6	93	1680
4	794	−10.4	100	1980
	793	**−10.2**	**98**	**2000**
5	753	−11.9	58	2400
6	714	−11.9	42	2790
	700	**−12.2**	**62**	**2963**
	697	**−12.3**	**63**	**3000**
7	673	−13.3	85	3250
8	637	−16.1	55	3670
	610	**−17.8**	**42**	**4000**
9	604	−18.3	38	4070
10	573	−20.0	34	4460
11	539	−22.8	32	4900
	533	**−23.7**	**33**	**5000**
12	506	−26.2	35	5380
	500	**−27.0**	**36**	**5470**
13	475	−30.4	39	5880
	464	**−31.8**	**41**	**6000**
14	446	−34.0	43	6270
15	415	−37.3	47	6770
	402	**−39.1**	**47**	**7000**
16	388	−41.2	—	7240
17	358	−44.9	—	7780
	346	**−46.1**	—	**8000**
18	331	−47.2	—	8300
19	305	−50.2	—	8840
	300	**−50.6**	—	**8950**
	298	**−50.8**	—	**9000**
20	281	−51.8	—	9380
21	257	−50.9	—	9950
	255	**−50.8**	—	**10000**
22	235	−49.8	—	10600
	219	**−48.2**	—	**11000**
23	216	−48.0	—	11100
24	**200**	**−47.5**	—	**11600**
	188	**−47.5**	—	**12000**
25	179	−47.5	—	12350
26	163	−46.9	—	12950
	162	**−46.9**	—	**13000**
27	147	−46.9	—	13640

4. IV. 1952 14.55 h HEC

	1000	—	—	**190**
0	963.4	5.0	45	493
1	912	0.9	63	950
	905	**0.6**	**65**	**1000**
2	869	1.8	78	1320
	850	**−2.9**	**80**	**1592**
3	833	−4.3	86	1670
	797	**−7.1**	**90**	**2000**
4	786	−8.1	92	2120
5	752	−6.3	24	2450
6	724	−6.7	20	2750
	701	**−8.2**	**20**	**3000**
	700	**−8.3**	**20**	**3012**
7	689	−9.0	19	3140
8	653	10.5	19	3560

Min.	PPP	TTT	UU	H m. geop.
9	619	-13.0	18	3960
	616	**-13.2**	**18**	**4000**
10	581	-15.2	18	4440
11	550	-17.7	20	4850
	539	**-18.7**	**20**	**5000**
12	520	-20.7	21	5270
	500	**-23.2**	**22**	**5550**
13	496	-24.0	22	5620
	470	**-27.2**	**24**	**6000**
14	467	-27.8	24	6050
15	433	-31.9	30	6590
	408	**-35.4**	**33**	**7000**
16	405	-36.0	34	7060
17	376	-40.4	—	7560
	353	**-42.4**	—	8000
18	346	-44.3	—	8150
19	318	-46.6	—	8700
	303	**-47.5**	—	**9000**
	300	**-47.6**		**9070**
20	290	-48.5	—	9300
21	265	-51.3	—	9890
	261	**-51.5**	—	**10000**
	246	-52.9	—	10360
22	241	-52.4	—	10500
	223	**-52.1**	—	**11000**
23	217	-52.0	—	11180
	200	**-50.6**	—	**11710**
24	198	-50.6	—	11770
	191	**-50.5**	—	**12000**
25	177	-50.3	—	12500
	164	**-48.4**	—	**13000**
26	157	-47.1	—	13290
	141	**-47.6**	—	**14000**
27	136	-47.7	—	14240

5. IV. 1952 14.50 h HEC

	1000	—	—	**140**
0	958.9	8.5	50	493
1	909	2.6	55	920
	901	**1.7**	**60**	**1000**
2	855	-2.1	70	1400
	850	**-2.7**	**70**	**1467**
3	810	-5.3	72	1840
	794	**-6.7**	**63**	**2000**
	780	-8.0	54	2140
4	761	-6.8	41	2820
5	729	-8.7	46	2660
	700	**-10.0**	**44**	**2980**
	698	**-10.2**	**44**	**3000**
6	692	-10.6	43	3060
7	653	-12.1	36	3560
8	620	-14.7	38	3890
	612	**-15.5**	**33**	**4000**
9	588	-17.6	33	4300
10	553	-19.8	33	4750
	535	**-21.9**	**33**	**5000**
11	521	-23.3	33	5190
	500	**-25.8**	**34**	**5500**
12	482	-27.9	34	5750
	466	**-30.4**	**36**	**6000**
13	451	-32.7	38	6230
14	422	-36.5	42	6690
	404	**-40.0**	—	**7000**
15	394	-41.7	—	7170
16	366	-45.4	—	7660
	348	**-48.4**	—	**8000**
17	337	-50.5	—	8200
18	311	-55.3	—	8730
	300	**-56.3**	—	**8950**
	298	**-56.6**	—	**9000**
19	285	-57.6	—	9270
20	261	-56.2	—	9830
	254	**-54.5**	—	**10000**
21	242	-51.5	—	10330
22	223	-51.5	—	10840
	218	**-51.5**	—	**11000**
23	205	-51.5	—	11400
	200	**-51.1**	—	**11550**
24	189	-50.0	—	11920
	187	**-50.0**		**12000**
25	175	-50.0	—	12430

7. IV. 1952 14.55 h HEC

	1000	—	—	**205**
0	967.1	16.2	36	493
1	927	11.1	39	830
	910	**8.9**	**42**	**1000**
2	894	6.8	45	1140
3	**850**	**3.1**	**36**	**1557**
4	**804**	**-0.3**	**51**	**2000**
5	763	-2.6	60	2410
6	723	-5.7	63	2840
	709	**-7.0**	**66**	**3000**
	700	**-7.6**	**68**	**3095**
7	689	-8.7	73	3210
8	650	-11.5	81	3650
9	626	-13.3	82	3950
	622	**-13.5**	**82**	**4000**
10	590	-15.2	83	4400
11	560	-18.0	85	4790
	545	**-19.2**	**84**	**5000**
12	531	-20.1	83	5190
13	**500**	**-24.0**	**81**	**5630**
	475	**-26.7**	**81**	**6000**
14	469	-27.3	81	6080
15	439	-31.5	81	6560
	413	**-34.5**	**80**	**7000**
16	410	-34.8	80	7050
17	380	-38.3	80	7560
	357	**-41.0**	—	**8000**
18	347	-42.1	—	8180
19	325	-46.3	—	8630
	307	**-48.7**	—	**9000**
20	300	-49.9	—	9150
21	283	-53.3	—	9520
	258	**-56.3**	—	**10000**
22	252	-58.1	—	10270
23	229	-63.0	—	10870

8. IV. 1952 14.45 h HEC

	1000	—	—	**210**
0	966.9	16.4	40	492
1	931	13.4	44	880
	910	**11.1**	**44**	**1000**
2	880	8.7	44	1290
	850	**7.0**	**36**	**1570**
3	834	6.5	47	1740
	806	**5.0**	**44**	**2000**
4	790	4.5	40	2180
5	758	2.8	38	2510
6	**712**	**0.0**	**38**	**3009**
	700	**-0.6**	**40**	**3138**
7	681	-1.7	42	3340
8	652	-6.5	48	3710
	627	**-8.2**	**48**	**4000**
9	625	-8.7	48	4040
10	592	-11.3	39	4460
11	562	-14.3	40	4850
	551	**-14.8**	**38**	**5000**
12	530	-16.0	34	5310
	500	**-18.8**	**34**	**5720**
13	492	-19.9	33	5850
	482	**-20.8**	**33**	**6000**
14	465	-23.3	32	6280
15	438	-27.5	36	6720
	419	**-31.0**	**38**	**7000**
16	410	-33.3	38	7180
17	384	-36.7	40	7630
	363	**-39.3**	—	**8000**
18	354	-40.5	—	8190
19	330	-44.3	—	8650
	308	**-46.4**	—	**9000**
20	**300**	**-48.5**	—	**9290**
21	278	-53.3	—	9780
	269	**-54.4**	—	**10000**
22	246	-57.5	—	10560
	229	**-60.1**	—	**11000**
23	222	-61.4	—	11210
24	**200**	**-66.3**	—	**11850**
	195	**-66.3**	—	**12000**
25	183	-66.7	—	12380
	175	-67.5	—	12650
26	168	-66.3	—	12900

9. IV. 1952 14.55 h HEC

	1000	—	—	**160**
0	962.3	18.5	33	493
1	930	14.5	36	770
	906	**12.3**	**38**	**1000**
2	891	11.3	40	1130
	850	**8.9**	**47**	**1530**
3	843	8.3	51	1600
	803	**6.9**	**48**	**2000**
4	800	6.7	47	2020
5	757	3.8	43	2470
6	724	2.7	43	2840
	710	**1.9**	**37**	**3000**
	700	**1.3**	**34**	**3115**
7	693	0.5	31	3190
8	661	-1.3	30	3550
9	629	-3.7	30	3950
	626	**-3.8**	**30**	**4000**
10	597	-6.6	30	4370
11	554	-9.3	30	4970
	551	**-9.4**	**30**	**5000**
12	522	-12.8	30	5420
	500	**-15.7**	**32**	**5740**
13	493	-16.8	33	5850
	483	**-17.8**	**35**	**6000**
14	465	-19.9	38	6270
15	439	-23.8	63	6690
	422	**-25.6**	**70**	**7000**
16	414	-26.6	80	7120
17	388	-29.4	85	7590
	367	**-32.9**	**88**	**8000**
18	360	-33.8	90	8120
19	337	-36.8	95	8580
	317	**-40.4**	**95**	**9000**
20	312	-41.5	95	9150
	300	**-43.2**	—	**9380**
21	288	-44.8	—	9650
	273	**-48.7**	—	**10000**
22	269	-49.5	—	10110
23	245	-52.9	—	10710
	234	**-54.8**	—	**11000**
24	224	-56.5	—	11280
25	212	-59.7	—	11620

10. IV. 1952 14.40 h HEC

	1000	—	—	**120**
0	957.6	19.5	35	493
1	912	15.0	40	910
	902	**14.1**	**42**	**1000**
2	874	11.6	46	1260
	850	**9.9**	**44**	**1505**
3	835	9.0	42	1650
	800	**7.7**	**39**	**2000**
4	795	7.4	38	2050
5	758	3.8	38	2430
6	718	0.2	36	2880
	707	**-0.5**	**36**	**3000**
	700	**-1.1**	**36**	**3081**
7	679	-2.7	36	3320
8	644	-5.8	40	3740
	623	**-7.2**	**38**	**4000**
9	606	-8.6	37	4210
10	572	-11.2	37	4660
	547	**-13.8**	**36**	**5000**
11	539	-14.6	36	5100
12	505	-17.2	37	5600
	500	**-17.6**	**39**	**5670**
13	**477**	**-20.2**	**44**	**6000**
14	449	-23.0	42	6480
15	423	-27.0	64	6900
	418	**-27.7**	**66**	**7000**
16	394	-31.0	73	7410
17	**362**	**-34.4**	**68**	**8000**
18	340	-38.5	66	8440
	308	**-42.8**	—	**9000**
19	312	-43.0	—	9025
	300	**-44.6**	—	**9290**
20	287	-46.6	—	9590
	269	**-49.6**	—	**10000**
21	263	-51.0	—	10160
22	242	-56.3	—	10690
	230	**-59.2**	—	**11000**
23	225	-60.8	—	11150

11. IV. 1952 15.00 h HEC

	1000	—	—	**140**
0	959.8	20.0	30	493
1	917	15.5	40	850
	904	**14.8**	**41**	**1000**
2	870	13.1	42	1310
	850	**11.8**	**44**	**1525**
3	825	10.1	46	1760
	802	**8.6**	**43**	**2000**
4	781	7.3	40	2220
5	743	4.2	38	2610
6	**710**	**0.7**	**32**	**3000**
	700	**-0.1**	**28**	**3114**
7	678	-1.6	28	3410
8	640	-4.9	29	3810
	625	**-6.6**	**25**	**4000**
9	600	-9.6	20	4310
10	572	-10.1	22	4670
	550	**-14.4**	**24**	**5000**
11	541	-16.1	25	5100
12	510	-17.7	36	5560
	500	**-18.1**	**44**	**5710**
13	**480**	**-19.3**	**55**	**6000**
14	451	-21.7	41	6460
15	429	-25.1	36	6820
	420	**-26.3**	**34**	**7000**
16	398	-29.5	32	7370
17	370	-34.1	45	7900
	365	**-35.0**	**45**	**8000**
18	342	-38.8	45	8480
19	**315**	**-43.0**	—	**9000**
	300	**-44.8**	—	**9330**
20	287	-46.7	—	9630
	271	**-50.2**	—	**10000**
21	**261**	**-52.5**	—	**10250**
22	241	-57.7	—	10750
	232	**-59.7**	—	**11000**
23	215	-63.0	—	11470

12. IV. 1952 14.50 h HEC

	1000	—	—	**140**
0	960.0	19.5	33	493
1	914	14.9	34	900
	904	**14.3**	**34**	**1000**
2	878	12.8	34	1250
	850	**10.7**	**34**	**1522**
3	840	9.8	34	1620
4	**801**	**6.9**	**32**	**2000**
5	769	2.5	32	2340
6	734	0.8	32	2720
	708	**-2.2**	**34**	**3000**
	700	**-3.3**	**36**	**3094**
7	697	-3.6	35	3120
8	661	-6.7	38	3540
9	629	-8.6	68	3930
	623	**-9.0**	**72**	**4000**
10	595	-11.9	92	4360
	575	-12.5	100	4620
11	565	-12.8	97	4750
	547	**-14.5**	**95**	**5000**
12	533	-15.9	93	5200
13	507	-18.3	91	5580
	500	**-18.8**	**89**	**5670**
14	**479**	**-21.0**	**83**	**6000**
15	453	-23.6	84	6410
16	424	-27.9	87	6890
	417	**-28.5**	**85**	**7000**
17	397	-30.1	80	7360
18	369	-34.4	80	7870
	362	**-35.3**	**79**	**8000**
19	344	-38.3	75	8360
20	319	-42.3	69	8870
	313	**-43.2**	—	**9000**
	300	**-45.9**	—	**9270**
21	294	-47.1	—	9410
22	270	-51.4	—	9970
	269	**-51.3**	—	**10000**
23	250	-53.5	—	10470
24	231	-57.5	—	10970
	230	**-57.6**	—	**11000**
25	211	-61.6	—	11540
	200	**-63.9**	—	**11870**

Min.	PPP	TTT	UU	H m. geop.
14. IV. 1952 14.50 h HEC				
	1000	—	—	165
0	962.5	20.0	35	493
1	919	15.9	44	890
	907	**14.9**	**49**	**1000**
2	878	-12.2	52	1280
	850	**10.0**	**49**	**1546**
3	837	8.7	48	1680
	804	**6.1**	**45**	**2000**
4	797	5.4	44	2080
5	756	2.4	47	2510
6	720	**-0.5**	49	2890
	711	**-0.4**	**45**	**3000**
	700	**-1.6**	**43**	**3121**
7	680	-3.6	39	3350
8	642	-5.1	38	3810
	626	**-6.5**	**40**	**4000**
9	607	-9.2	42	4250
10	573	-13.3	42	4690
	550	**-15.0**	**42**	**5000**
11	539	-15.7	42	5150
12	508	-18.9	42	5600
	500	**-19.4**	**42**	**5710**
	481	**-21.1**	**42**	**6000**
13	478	-21.4	42	6050
14	450	-25.4	42	6490
15	421	-30.0	42	6970
	419	**-30.3**	**41**	**7000**
16	396	-34.6	40	7400
17	368	-39.7	40	7910
	363	**-40.0**	**40**	**8000**
18	344	-41.4	—	8360
19	318	-46.2	—	8890
	312	**-46.9**	—	**9000**
	300	**-48.9**	—	**9270**
20	294	-49.8	—	9400
21	272	-54.2	—	9910
	268	**-54.8**	—	**10000**
22	248	-58.4	—	10500
	229	**-62.0**	—	**11000**
23	225	-63.0	—	11100
15. IV. 1952 15.20 h HEC				
	1000	—	—	**130**
0	959.1	21.0	30	493
1	905	15.5	32	990
	904	**15.4**	**33**	**1000**
2	866	11.6	37	1370
	850	**10.9**	**31**	**1520**
3	823	9.4	23	1780
	802	**7.7**	**25**	**2000**
4	790	6.7	27	2110
5	755	2.0	39	2480
6	721	-1.2	45	2850
	708	**-2.3**	**35**	**3000**
	700	**-3.0**	**30**	**3095**
7	689	-4.0	28	3210
8	659	-6.5	24	3560
9	**622**	**-10.0**	**22**	**4000**
10	589	-12.5	22	4420
11	558	-15.0	22	4850
	546	**-15.7**	**22**	**5000**
12	523	-17.6	22	5330
	500	**-21.0**	**22**	**5665**
13	495	-21.9	22	5795
	478	**-24.4**	**22**	**6000**
14	466	-26.0	22	6170
15	437	-30.0	22	6630
	415	**-32.7**	**22**	**7000**
16	409	-33.2	22	7100
17	384	-37.6	22	7540
	359	**-40.7**	—	**8000**
18	354	-41.7	—	8110
19	326	-45.5	—	8650
	310	**-47.9**	—	**9000**
20	300	-49.1	—	9200
21	277	-52.0	—	9730
	266	**-53.5**	—	**10000**
22	251	-55.4	—	10360
23	231	-59.2	—	10890
	227	**-60.2**	—	**11000**
24	213	-63.5	—	11390
25	**200**	**-62.4**	—	**11780**

Min.	PPP	TTT	UU	H m. geop.
16. IV. 1952 08.50 h HEC				
	1000	—	—	155
0	959.7	10.0	100	493
1	928	10.0	95	750
	904	**9.8**	**92**	**1000**
2	885	9.7	91	1185
	850	**8.2**	**90**	**1510**
3	843	7.9	89	1575
	801	**4.9**	**88**	**2000**
4	799	4.7	82	2035
5	759	3.0	78	2505
6	723	-1.0	75	2825
	708	**-2.4**	**74**	**3000**
	700	**-3.2**	**73**	**3080**
7	690	-3.8	72	3210
8	657	-7.0	68	3580
	623	**-9.5**	**61**	**4000**
9	616	-9.9	60	4080
10	585	-12.9	54	4475
11	558	-16.2	49	4830
	546	**-17.0**	**46**	**5000**
12	523	-18.0	43	5310
	500	**-20.9**	**41**	**5650**
13	496	-21.2	40	5700
	477	**-24.3**	**42**	**6000**
14	467	-25.3	43	6104
15	440	-30.2	41	6570
	414	**-32.9**	**41**	**7000**
16	410	-33.0	41	7070
17	385	-35.5	41	7510
18	360	-40.5	—	7970
	359	**-40.7**	—	**8000**
19	336	-44.2	—	8430
20	310	-48.3	—	8970
	309	**-48.7**	—	**9000**
	300	**-50.2**	—	**9200**
21	286	-52.5	—	9500
	264	**-56.9**	—	**10000**
22	**261**	**-57.2**	—	10080
23	234	-60.8	—	10760
	226	**-63.2**	—	**11000**
24	200	-67.0	—	11750
16. IV. 1952 14.45 h HEC				
	1000	—	—	**190**
0	957.5	20.8	35	493
1	915	17.0	45	940
	911	**11.4**	**46**	**1000**
2	873	13.5	48	1320
	850	**11.2**	**50**	**1565**
3	840	10.8	51	1660
4	810	8.0	46	1960
	808	**7.7**	**46**	**2000**
5	778	5.9	46	2280
6	746	2.7	47	2630
7	**712**	**-0.2**	**49**	**3000**
	700	**-0.9**	**51**	**3145**
8	684	-1.9	54	3330
9	656	-4.7	55	3660
10	629	-7.5	48	3980
	628	**-7.8**	**47**	**4000**
11	600	-10.0	41	4350
12	568	-11.9	34	4770
	553	**-13.3**	**32**	**5000**
13	536	-14.1	30	5220
14	510	-17.3	29	5590
	500	**-18.3**	**30**	**5740**
15	485	-20.1	32	5970
	483	**-20.3**	**32**	**6000**
16	459	-23.1	32	6380
17	431	-26.5	33	6840
	422	**-27.7**	**33**	**7000**
18	404	-29.5	33	7300
19	377	-33.7	31	7790
	367	**-35.1**	**31**	**8000**
20	355	-37.6	30	8200
21	331	-42.0	—	8690
	317	**-45.3**	—	**9000**
22	308	-46.6	—	9170
	300	**-48.0**	—	**9350**
23	286	-50.3	—	9660
	272	**-52.8**	—	**10000**

Min.	PPP	TTT	UU	H m. geop.
24	264	-54.2	—	10190
25	247	-57.5	—	10610
	232	**-59.5**	—	**11000**
26	229	-59.6	—	11080
17. IV. 1952 09.20 h HEC				
	1000	—	—	**150**
0	960.2	12.0	65	493
1	922	9.8	70	830
	904	**9.6**	**68**	**1000**
2	883	9.4	65	1180
	850	**8.2**	**65**	**1511**
3	845	8.0	65	1540
4	811	5.1	68	1890
	800	**4.3**	**62**	**2000**
5	774	2.5	61	2260
6	742	0.7	64	2610
7	709	-2.5	60	2960
	707	**-2.5**	**59**	**3000**
	700	**-2.9**	**59**	**3077**
8	676	-5.1	58	3350
9	645	-7.8	57	3720
	622	**-9.6**	**56**	**4000**
10	611	-10.6	55	4140
11	580	-13.3	55	4530
12	551	-15.7	52	4920
	545	**-16.3**	**50**	**5000**
13	521	-19.1	47	5340
	500	**-21.0**	**46**	**5640**
14	488	-22.2	45	5830
	476	**-23.3**	**45**	**6000**
15	457	-25.2	44	6300
16	431	-28.1	44	6780
	415	**-30.0**	**43**	**7000**
17	404	-31.4	43	7190
18	378	-35.4	42	7650
	360	**-38.0**	**42**	**8000**
19	349	-39.5	42	8210
20	324	-43.0	—	8710
	310	**-45.5**	—	**9000**
21	**300**	**-47.7**	—	**9210**
22	282	-51.2	—	9620
	266	**-53.4**	—	**10000**
23	260	-54.5	—	10160
24	239	-57.8	—	10690
	227	**-59.6**	—	**11000**
25	219	-61.1	—	11250
26	202	-61.0	—	11740
	200	**-60.7**	—	**11800**
	194	**-59.3**	—	**12000**
27	184	-57.3	—	12320
28	168	-57.3	—	12890
17. IV. 1952 14.40 h HEC				
	1000	—	—	**120**
0	959.0	20.0	40	493
1	918	15.2	40	850
	904	**12.5**	**44**	**1000**
2	873	9.9	49	1290
	850	**8.1**	**52**	**1510**
3	829	7.0	55	1710
	800	**4.5**	**44**	**2000**
4	790	4.2	42	2090
5	755	1.0	44	2460
6	721	-2.0	48	2820
	705	**-3.5**	**49**	**3000**
	700	**-4.2**	**50**	**3070**
7	686	-5.4	53	3230
8	651	-7.6	46	3640
9	**621**	**-9.1**	**46**	**4000**
10	591	-12.8	46	4370
11	559	-16.0	46	4790
	545	**-16.9**	**47**	**5000**
12	529	-18.2	47	5220
13	**500**	**-20.7**	**42**	**5640**
	476	**-23.2**	**42**	**6000**
14	474	-23.8	42	6030
15	446	-27.9	0	6460
16	419	-32.1	—	6910
	415	**-32.8**	—	**7000**
17	394	-35.8	—	7340

Min.	PPP	TTT	UU	H m. geop
18	364	-40.4	—	7870
	359	**-41.1**	—	**8000**
19	336	-45.0	—	8420
20	311	-49.2	—	8930
	309	**-49.5**	—	**9000**
	300	**-50.7**	—	**9180**
21	284	-53.6	—	9530
	264	**-56.5**	—	**10000**
22	261	-57.0	—	10070
23	240	-59.8	—	10600
	226	**-61.4**	—	**11000**
24	223	-61.5	—	11060
25	**200**	**-62.6**	—	**11740**
18. IV. 1952 14.50 h HEC				
	1000	—	—	180
0	961.9	20.8	45	493
1	922	16.5	49	830
	905	**15.3**	**47**	**1000**
2	886	14.1	45	1160
3	860	11.5	49	1410
	850	**10.6**	**51**	**1530**
4	827	9.0	54	1730
	803	**6.3**	**53**	**2000**
5	796	6.1	58	2040
6	766	4.2	47	2370
7	732	1.8	46	2730
	710	**-1.1**	**45**	**3000**
8	703	-1.2	45	3050
	700	**-2.0**	**46**	**3110**
9	675	-5.5	50	3370
10	644	-7.0	56	3740
	624	**-9.3**	**50**	**4000**
11	613	-9.6	48	4120
12	586	-10.7	39	4480
13	558	-13.8	35	4850
	548	**-15.0**	**36**	**5000**
14	532	-17.0	40	5220
15	507	-19.8	38	5580
	500	**-20.9**	**37**	**5700**
16	485	-22.3	36	5900
	479	**-23.2**	**36**	**6000**
17	459	-25.8	36	6310
18	435	-29.1	36	6690
	417	**-31.9**	**36**	**7000**
10	412	-32.7	36	7080
20	387	-36.1	36	7520
21	364	-39.7	36	7930
	362	**-40.1**	—	**8000**
22	339	-43.0	—	8410
23	315	-47.0	—	8900
	312	**-48.6**	—	**9000**
	300	**-50.1**	—	**9230**
24	294	-50.6	—	9360
25	272	-54.4	—	9870
	257	**-55.3**	—	**10000**
26	249	-58.0	—	10430
27	**227**	**-60.4**	—	**11000**
28	204	-62.1	—	11670
	200	**-62.5**	—	**11800**
19. IV. 1952 14.15 h HEC				
	1000	—	—	**135**
0	959.0	19.0	50	493
1	920	16.5	50	830
	904	**14.7**	**52**	**1000**
2	886	13.5	53	1160
3	853	10.3	59	1480
	850	**9.8**	**60**	**1515**
4	818	7.5	65	1820
	802	**6.0**	**71**	**2000**
5	783	4.1	78	2180
6	751	1.7	87	2530
7	719	-1.1	86	2870
	708	**-2.4**	**84**	**3000**
	700	**-3.1**	**82**	**3090**
8	685	-4.2	79	3250
9	653	-7.0	85	3620
10	**621**	**-9.7**	**100**	**4000**
11	595	-10.5	79	4350
12	564	-12.9	82	4750
	547	**-14.6**	**86**	**5000**

Min.	PPP	TTT	UU	H m. geop.
13	536	15.6	90	5140
14	506	−18.5	84	5570
	500	**−19.2**	**80**	**5675**
15	480	−21.4	71	5970
	478	**−21.7**	**70**	**6000**
16	451	24.3	65	6420
17	426	−28.1	54	6840
	417	**−29.2**	**62**	**7000**
18	397	−31.9	72	7330
19	378	35.5	74	7780
	361	**−37.4**	**73**	**8000**
20	349	−39.7	71	8250
21	327	−42.8	—	8650
	312	**−44.9**	**—**	**9000**
22	305	−46.3	—	9150
	300	**−47.4**	**—**	**9260**
23	282	−50.9	—	9660
	268	**−53.5**	**—**	**10000**
24	259	−55.0	—	10200
25	235	59.3	—	10820
	229	**−60.2**	**—**	**11000**
26	215	61.5	—	11370
	200	**−61.8**	**—**	**11830**
27	197	−61.9	—	11920
	195	**−61.6**	**—**	**12000**
28	181	−59.9	—	12440

21. IV. 1952 14.45 h HEC

	1000	—	—	**065**
0	951.1	17.0	50	493
	896	**13.4**	**59**	**1000**
1	895	13.1	60	1020
2	856	9.9	57	1380
	850	**9.5**	**56**	**1441**
3	821	7.7	53	1720
	794	**4.7**	**60**	**2000**
4	788	4.1	63	2060
5	757	0.5	74	2390
6	721	2.8	77	2780
	701	**−3.9**	**82**	**3000**
	700	**−3.9**	**82**	**3006**
7	685	4.6	87	3180
8	652	−6.4	95	3570
9	622	9.2	100	3930
	616	**−9.5**	**98**	**4000**
10	594	−10.2	94	4290
11	564	−13.1	88	4700
	541	**−15.2**	**92**	**5000**
12	532	−16.3	94	5140
13	**500**	**−18.0**	**89**	**5600**
	473	**−20.5**	**86**	**6000**
14	469	−21.0	85	6070
15	442	−23.5	88	6500
16	418	−26.5	83	6910
	412	**−27.3**	**82**	**7000**
17	394	−30.0	79	7330
18	371	33.0	76	7760
	358	**−34.8**	**74**	**8000**
19	347	36.6	73	8220
20	317	−41.6	—	8850
	309	**−43.0**	**—**	**9000**
	300	**−44.7**	**—**	**9210**
21	291	46.5	—	9420
	266	**−50.0**	**—**	**10000**
22	265	−50.2	—	10040
23	241	54.2	—	10650
	228	**−56.8**	**—**	**11000**
24	216	−59.5	—	11340
	200	**−61.4**	**—**	**11810**
25	**194**	**−62.3**	**—**	**12000**

22. IV. 1952 14.40 h HEC

	1000	—	—	**070**
0	952.2	12.5	70	493
1	912	9.0	85	840
	895	**7.6**	**88**	**1000**
2	874	6.2	91	1190
	850	**5.3**	**96**	**1420**
3	844	4.0	98	1470
4	815	2.0	100	1750
	790	**0.3**	**100**	**2000**
5	780	−0.4	100	2120
6	751	−1.6	100	2410
7	720	−4.1	100	2740
	700	**−5.4**	**100**	**2974**
	697	**−5.5**	**100**	**3000**
8	688	−5.8	100	3110
9	659	8.0	100	3430
10	624	9.7	95	3860
	613	**−10.8**	**92**	**4000**
11	594	−11.6	88	4225
12	569	13.4	89	4570
13	543	−15.0	90	4920
	537	**−15.7**	**90**	**5000**
14	519	17.5	91	5260
	500	**−19.8**	**89**	**5545**
15	496	20.0	88	5580
16	470	22.1	85	5985
	468	**−22.7**	**84**	**6000**
17	446	24.8	81	6380
18	420	−28.8	77	6790
	408	**−30.6**	**76**	**7000**
19	392	32.5	76	7300
20	365	−36.7	76	7790
	354	**−38.4**	**76**	**8000**
21	341	40.8	—	8270
22	319	−45.0	—	8720
	306	**−43.3**	**—**	**9000**
	300	**−48.2**	**—**	**9120**
23	297	48.5	—	9170
24	275	−52.6	—	9680
	263	**−53.9**	**—**	**10000**
25	253	−54.8	—	10220
26	232	57.6	—	10770
	224	**−57.8**	**—**	**11000**
27	216	−58.0	—	11220
	200	**−59.8**	**—**	**11710**
28	198	−60.0	—	11770
	191	**−59.3**	**—**	**12000**
29	184	58.5	—	12220
30	168	−55.0	—	12800

23. IV. 1952 14.45 h HEC

	1000	—	—	**135**
0	958.1	10.0	80	493
1	912	5.3	100	920
	900	**4.7**	**100**	**1000**
2	869	3.8	100	1290
	850	**2.4**	**100**	**1479**
3	829	1.6	100	1670
	795	**0.1**	**100**	**2000**
4	786	0.4	100	2100
5	751	−1.7	100	2460
6	719	2.2	100	2810
	702	**−3.3**	**100**	**3000**
	700	**−3.4**	**100**	**3028**
7	688	3.9	100	3160
8	656	−5.6	100	3540
9	625	−7.6	98	3905
	618	**−8.3**	**97**	**4000**
10	594	−9.9	95	4290
11	561	−12.4	80	4740
	542	**−14.1**	**90**	**5000**
12	530	−14.5	95	5170
13	503	−16.0	100	5560
	500	**−16.5**	**100**	**5630**
14	480	−18.2	100	5920
	475	**−18.6**	**99**	**6000**
15	449	−20.5	98	6410
16	422	−24.0	98	6870
	415	**−24.9**	**98**	**7000**
17	394	−27.1	97	7370
18	368	29.5	93	7850
	361	**−31.0**	**94**	**8000**
19	344	−34.2	95	8330
20	318	37.1	91	8850
	303	**−38.1**	**91**	**9000**
	300	**−39.3**	**91**	**9280**
21	291	40.2	—	9480
	270	**−44.0**	**—**	**10000**
22	267	−44.2	—	10060
23	244	−48.0	—	10640
	232	**−50.3**	**—**	**11000**
24	224	−51.7	—	11220
25	207	−54.5	—	11710

24. IV. 1952 14.45 h HEC

	1000	—	—	**230**
0	960.8	8.5	100	493
1	928	4.3	100	850
	917	**2.9**	**100**	**1000**
2	900	1.4	100	1090
3	873	−1.0	100	1330
	850	**−2.0**	**100**	**1550**
4	843	−2.1	100	1610
5	814	−3.7	100	1880
	803	**−4.6**	**100**	**2000**
6	789	−5.5	100	2130
7	765	−7.2	100	2360
8	731	−7.9	100	2730
	704	**−9.1**	**100**	**3000**
9	**700**	**−8.8**	**100**	**3065**
10	671	−9.2	100	3380
11	646	−10.2	100	3680
	620	**−11.6**	**100**	**4000**
12	612	−11.9	100	4090
13	548	−14.4	100	4460
14	556	−16.7	100	4825
	543	**−17.5**	**100**	**5000**
15	528	−18.4	100	5210
16	504	−20.4	100	5550
	500	**−21.1**	**100**	**5615**
17	477	23.2	100	5960
	475	**−24.9**	**99**	**6000**
18	452	−26.4	98	6360
19	428	−29.3	97	6730
	412	**−31.3**	**97**	**7000**
20	405	−32.1	97	7130
21	386	−34.3	97	7460
22	365	−36.4	96	7850
	358	**−38.3**	**96**	**8000**
23	339	−39.5	96	8380
24	319	−43.9	—	8780
	309	**−44.5**	**—**	**9000**
	300	**−45.8**	**—**	**9190**
25	298	−46.0	—	9240
26	279	−49.5	—	9660
	266	**−51.9**	**—**	**10000**
27	261	−52.7	—	10100
28	244	−55.9	—	10540
	227	**−56.8**	**—**	**11000**
29	226	−56.8	—	11020
30	210	−54.7	—	11490
	200	**−54.7**	**—**	**11810**
	194	**−54.6**	**—**	**12000**
31	192	−54.4	—	12060
32	179	−51.6	—	12510
	167	**−51.7**	**—**	**13000**
33	665	−51.8	—	13030
34	151	−51.8	—	13010

25. IV. 1952 14.50 h HEC

	1000	—	—	**155**
0	960.5	10.0	100	493
1	928	6.5	100	830
	904	**5.3**	**100**	**1000**
2	880	3.8	100	1220
	850	**2.4**	**100**	**1495**
3	840	1.9	100	1590
4	798	**−0.5**	**100**	**2000**
5	764	−2.5	100	2340
	745	2.1	49	2540
6	732	0.6	50	2700
	704	−1.5	51	3000
7	692	−2.4	53	3140
	700	**−1.7**	**52**	**3050**
8	655	−5.4	65	3570
9	**619**	**−8.0**	**70**	**4000**
10	585	−10.4	68	4450
11	550	−13.9	66	4920
	544	**−14.3**	**66**	**5000**
12	515	−17.0	64	5410
	500	**−18.7**	**67**	**5635**
13	485	−20.2	70	5860
	477	**−21.2**	**70**	**6000**
14	459	−22.7	71	6260
15	435	−26.1	81	6660
	416	**−28.4**	**87**	**7000**
16	409	−29.1	90	7100
17	381	−31.6	76	7610
	361	**−33.9**	**74**	**8000**
18	350	−34.6	73	8200
19	322	−37.9	71	8780
	312	**−39.1**	**71**	**9000**
	300	**−40.7**	**71**	**9270**
20	295	−41.0	71	9370

26. IV. 1952 14.30 h HEC

	1000	—	—	**140**
0	959.7	9.8	85	493
1	926	5.9	96	780
	902	**4.8**	**98**	**1000**
2	891	4.3	100	1090
3	855	2.8	100	1430
	850	**2.4**	**100**	**1485**
4	818	1.0	100	1780
	797	**−0.4**	**100**	**2000**
5	778	−0.9	100	2190
6	744	0.6	87	2540
7	**721**	**−1.2**	**70**	**2780**
	703	**−2.6**	**71**	**3000**
	700	**−2.7**	**71**	**3035**
8	689	3.1	71	3160
9	660	−5.5	71	3480
10	630	8.6	75	3860
	619	**−9.4**	**74**	**4000**
11	598	−10.4	73	4240
12	566	−14.1	70	4670
	543	**−15.2**	**56**	**5000**
13	539	−16.5	52	5040
14	508	−18.7	48	5490
	500	**−19.6**	**47**	**5605**
15	479	−21.4	45	5920
	474	**−22.3**	**45**	**6000**
16	454	−24.4	44	6310
17	429	28.2	45	6730
	412	**−30.3**	**45**	**7000**
18	402	−31.3	45	7190
19	375	−34.2	52	7670
	359	**−37.2**	**54**	**8000**
20	352	37.9	56	8120
21	330	−41.4	—	8550
	309	**−45.7**	**—**	**9000**
22	307	−45.8	—	9040
	300	**−47.2**	**—**	**9200**
23	287	49.4	—	9470
24	**265**	**−54.1**	**—**	**10000**
25	244	57.9	—	10520
	227	**−60.5**	**—**	**11000**
26	224	−60.8	—	11060
27	206	−58.9	—	11580
	200	**−58.2**	**—**	**11780**
	193	**−57.3**	**—**	**12000**
28	190	−56.9	—	12090
29	175	−54.5	—	12620
	165	**−53.8**	**—**	**13000**
30	159	−53.2	—	13230
31	149	−54.6	—	13640
	141	**−53.8**	—	**14000**
32	137	−53.9	—	14190

28. IV. 1952 14.45 h HEC

	1000	—	—	**115**
0	956.1	16.0	45	493
1	916	12.5	59	820
	901	**11.5**	**56**	**1000**
2	874	9.1	51	1260
	850	**7.1**	**57**	**1475**
3	838	6.2	60	1600
4	801	2.4	72	1960
	797	**2.1**	**75**	**2000**
5	763	0.6	94	2340
6	735	−2.8	100	2650
	703	**−5.1**	**70**	**3000**
	700	**−5.2**	**67**	**3035**
7	690	−5.6	57	3150
8	653	−8.4	39	3570
	618	**−11.5**	**31**	**4000**
9	615	−11.6	29	4030
10	588	−14.5	32	4380

Min.	PPP	TTT	UU	H m. geop.
11	550	-16.4	35	4880
	542	**-17.3**	**40**	**5000**
12	523	-19.0	54	5260
	500	**-21.3**	**59**	**5595**
13	498	-21.5	60	5625
	473	**-23.2**	**60**	**6000**
14	467	-23.6	60	6090
15	441	-27.5	63	6510
16	411	**-30.0**	64	**7000**
17	383	-35.3	71	7510
	357	**-38.6**	**70**	**8000**
18	354	-38.8	70	8040
19	330	-42.6	—	8530
20	310	-46.0	—	8940
	308	**-46.5**	—	**9000**
	300	**-47.9**	—	**9160**
21	286	-50.5	—	9470
	264	**-53.8**	—	**10000**
22	262	-53.9	—	10030
23	239	-57.7	—	10620
	29. IV. 1952	**14.50 h HEC**		
	1000	—	—	**110**
0	955.9	18.0	53	493
1	914	14.4	44	875
	900	**14.3**	**45**	**1000**
2	878	11.7	47	1200
	850	**9.3**	**45**	**1480**
3	844	8.8	44	1530
4	808	6.0	47	1890
	798	**5.1**	**52**	**2000**
5	767	2.6	59	2320
6	732	-0.4	73	2680
	705	**-2.7**	**55**	**3000**
7	**700**	**-2.9**	**53**	**3050**
8	661	-5.3	39	3500
9	**620**	**-8.0**	**38**	**4000**
10	590	-9.3	38	4370
11	555	-11.8	43	4840
	544	**-13.1**	**43**	**5000**
12	525	-14.9	43	5270
	500	**-18.0**	**44**	**5630**
13	490	-19.0	45	5780
	476	**-20.9**	**47**	**6000**
14	460	-23.2	48	6250
15	432	-24.4	48	6710
	415	**-28.3**	**46**	**7000**
16	406	-30.0	45	7150
17	380	-32.8	44	7620
	360	**-36.0**	**44**	**8000**
18	352	-37.2	44	8150
19	331	-40.8	—	8580
	311	**-45.2**	—	**9000**
20	310	-45.3	—	9020
	300	**-46.9**	—	**9240**
21	285	-49.1	—	9580
	267	**-50.3**	—	**10000**
22	260	-51.0	—	10180
	30. IV. 1952	**14.50 h HEC**		
	1000	—	—	**065**
0	952.2	21.0	35	493
1	920	16.5	42	775
	887	**14.8**	**47**	**1000**
2	880	13.8	50	1150
	850	**11.3**	**47**	**1455**
3	839	10.6	42	1570
4	804	8.2	38	1910
	795	**7.3**	**40**	**2000**
5	770	4.8	44	2260
6	735	1.8	53	2630
7	705	-2.4	57	2970
	703	**-2.6**	**58**	**3000**
	700	**-3.0**	**59**	**3040**
8	673	-4.6	64	3340
9	638	-7.0	64	3760
	618	**-7.8**	**52**	**4000**
10	603	-8.5	46	4200
11	572	-11.8	35	4600
12	546	-14.4	30	4950
	543	**-14.9**	**30**	**5000**
13	520	-16.0	28	5320
	500	**-18.0**	**27**	**5620**

Min.	PPP	TTT	UU	H m. geop.
14	494	-18.4	27	5690
	475	**-20.9**	**27**	**6000**
15	466	-22.0	27	6130
16	437	-25.6	28	6600
	414	**-29.5**	**30**	**7000**
17	410	-30.3	31	7070
18	386	-34.1	32	7500
19	363	-37.6	33	7910
	359	**-38.7**	—	**8000**
20	341	-41.4	—	8340
21	320	-45.0	—	8770
	309	**-41.3**	—	**9000**
	300	**-48.0**	—	**9200**
22	294	-48.6	—	9340
23	268	-52.7	—	9930
	266	**-53.0**	—	**10000**
24	246	-56.0	—	10480
	227	**-57.9**	—	**11000**
25	222	-58.1	—	11130
26	**200**	**-59.8**	—	**11800**
	1. V. 1952	**08.40 h HEC**		
	1000	—	—	**085**
0	952.7	12.5	85	493
1	923	10.5	80	710
	896	**9.1**	**75**	**1000**
2	874	8.0	70	1195
	850	**7.5**	**70**	**1440**
3	830	7.3	70	1640
	794	**5.3**	**68**	**2000**
4	789	5.0	67	2055
5	746	2.5	67	2510
6	712	0.5	71	2870
	700	**-1.5**	**60**	**3000**
7	685	-2.6	53	3190
8	651	-5.7	39	3580
9	**619**	**-8.4**	**37**	**4000**
10	592	-11.6	37	4320
11	561	-15.1	37	4730
	541	**-17.3**	**37**	**5000**
12	525	-18.7	37	5220
	500	**-20.9**	**38**	**5590**
13	492	-21.4	38	5700
	473	**-23.7**	**36**	**6000**
14	465	-24.5	35	6120
15	436	-27.4	35	6580
	412	**-32.1**	**36**	**7000**
16	410	-32.3	36	7030
17	382	-35.9	36	7520
	357	**-39.8**	—	**8000**
18	355	-40.0	—	8020
19	329	-43.7	—	8530
	307	**-45.9**	—	**9000**
20	**300**	**-46.5**	—	**9150**
21	282	-50.5	—	9550
	264	**-53.2**	—	**10000**
22	261	-53.3	—	10060
23	239	-56.0	—	10620
	1. V. 1952	**14.50 h HEC**		
	1000	—	—	**070**
0	950.3	21.5	45	493
1	900	17.0	53	980
	897	**16.5**	**54**	**1000**
2	864	13.0	56	1320
	850	**12.1**	**55**	**1460**
3	825	10.4	52	1690
4	**795**	**7.6**	**51**	**2000**
5	765	4.5	60	2320
6	730	1.3	63	2710
7	**702**	**-1.8**	**62**	**3000**
	700	**-2.1**	**62**	**3040**
8	665	-5.2	62	3430
9	632	-8.0	56	3840
	619	**-8.8**	**45**	**4000**
10	600	-10.6	37	4230
11	568	-12.7	34	4660
	543	**-15.8**	**39**	**5000**
12	540	-15.8	41	5030
13	516	-19.0	46	5370
	500	**-20.8**	**45**	**5620**

Min.	PPP	TTT	UU	H m. geop.
14	490	-21.6	45	5770
	475	**-22.9**	**42**	**6000**
15	466	-23.5	40	6130
16	438	-25.6	41	6580
	412	**-29.5**	**44**	**7000**
17	411	-30.0	45	7040
18	391	-34.2	47	7400
19	365	-37.0	51	7870
	359	**-38.2**	—	**8000**
20	341	-40.6	—	8340
21	320	-45.5	—	8775
	309	**-47.8**	—	**9000**
	300	**-47.8**	—	**9190**
22	297	-47.9	—	9260
23	274	-51.0	—	9790
	266	**-53.0**	—	**10000**
24	254	-55.5	—	10280
25	234	-58.4	—	10790
	227	**-59.1**	—	**11000**
26	218	-59.6	—	11280
27	200	-61.0	—	11795
	193	**-60.3**	—	**12000**
28	180	-59.8	—	12430
	2. V. 1952	**14.45 h HEC**		
	1000	—	—	**065**
0	951.1	20.0	45	493
1	918	17.5	53	790
	896	**15.0**	—	**1000**
2	884	15.9	57	1130
	850	**11.0**	**60**	**1450**
3	846	11.2	62	1485
4	810	7.6	65	1840
	795	**6.6**	**66**	**2000**
5	780	5.4	67	2150
6	741	2.8	72	2450
7	719	0.0	71	2810
	703	**0.3**	**70**	**3000**
	700	**-1.8**	**70**	**3035**
8	692	-2.3	70	3120
9	668	-5.1	65	3390
10	645	-7.6	44	3690
	619	**-9.3**	**35**	**4000**
11	612	-9.6	32	4020
12	591	-10.8	29	4340
13	563	-14.1	27	4710
	542	**-15.9**	**22**	**5000**
14	532	-15.8	20	5140
15	506	-18.2	18	5520
	500	**-18.9**	**18**	**5610**
16	480	-21.0	18	5910
	474	**-21.9**	**20**	**6000**
17	456	-24.5	26	6270
18	428	-27.7	43	6740
	413	**-29.3**	**49**	**7000**
19	403	-30.2	55	7170
20	380	-33.1	60	7580
21	358	**-37.0**	**60**	**8000**
22	332	-39.5	57	8520
23	**310**	**-43.5**	—	**9000**
	300	**-45.7**	—	**9210**
24	290	-48.4	—	9480
	267	**-51.0**	—	**10000**
25	265	-51.3	—	10030
26	245	-56.9	—	10540
	227	**-51.3**	—	**11000**
27	**226**	**-61.7**	—	**11050**
28	206	-62.0	—	11610
	200	**-61.1**	—	**11800**
	194	**-60.2**	—	**12000**
30	178	-57.3	—	12520
31	167	-56.5	—	12920
	165	**-57.4**	—	**13000**
22	154	-55.3	—	13440
23	148	-54.5	—	13700
	3. V. 1952	**14.30 h HEC**		
	1000	—	—	**050**
0	949.5	16.0	50	493
1	901	12.8	60	930
	894	**12.3**	**62**	**1000**

Min.	PPP	TTT	UU	H m. geop.
2	860	9.5	73	1320
	850	**8.9**	**77**	**1425**
3	829	7.7	85	1630
4	803	4.0	82	1880
	792	**2.8**	**81**	**2000**
5	777	0.8	80	2170
6	730	-1.5	63	2650
	700	**-3.3**	**98**	**2987**
	699	**-3.4**	**47**	**3000**
7	697	-3.6	45	3030
8	657	-6.2	34	3480
9	623	-8.6	26	3900
	615	**-9.5**	**25**	**4000**
10	586	-12.0	20	4360
11	557	-14.1	17	4740
	539	**-15.3**	**17**	**5000**
12	521	-16.5	17	5250
	500	**-18.3**	**17**	**5570**
13	990	-19.1	17	5720
	472	**-20.7**	**17**	**6000**
14	460	-21.5	17	6190
15	434	-25.5	17	6620
	411	**-28.8**	**17**	**7000**
16	407	-29.8	17	7080
17	381	-33.0	18	7530
18	**357**	**-36.5**	**20**	**8000**
19	332	-39.9	22	8500
20	**307**	**-44.0**	—	**9000**
	300	**-45.0**	—	**9180**
21	283	-47.2	—	9570
	265	**-50.2**	—	**10000**
22	261	-51.0	—	10100
	5. V. 1952	**14.40 h HEC**		
	1000	—	—	**110**
0	952.4	12.0	60	493
1	920	10.0	69	770
	897	**8.4**	**70**	**1000**
2	883	7.9	71	1120
	850	**5.7**	**66**	**1455**
3	844	5.6	64	1500
4	**800**	**1.0**	**75**	**1920**
	794	**0.1**	**78**	**2000**
5	**767**	**-2.6**	**91**	**2260**
6	**731**	**-5.8**	**100**	**2640**
	700	**-7.9**	**100**	**3000**
7	696	-8.0	100	3025
8	664	-10.4	100	3390
9	632	-12.1	100	3760
	614	**-12.8**	**99**	**4000**
10	**603**	**-14.0**	**98**	**4120**
11	573	-16.8	98	4510
12	540	-19.9	93	4960
	538	**-20.0**	**92**	**5000**
13	**513**	**-22.5**	**86**	**5330**
	500	**-23.6**	**85**	**5525**
14	480	-25.3	83	5820
	469	**-26.6**	**83**	**6000**
15	452	-28.5	83	6260
16	417	-32.8	87	6820
	407	**-34.2**	—	**7000**
17	386	-37.0	85	7360
18	**359**	**-40.8**	—	**7850**
	352	**-42.3**	—	**8000**
19	332	-45.9	—	8380
20	**306**	**-50.0**	—	**8910**
	303	**-50.1**	—	**9000**
	300	**-50.1**	—	**9050**
21	286	-50.3	—	9360
22	**259**	**-50.5**	—	**10000**
23	234	-49.8	—	10660
	222	**-49.2**	—	**11000**
24	**210**	**-48.7**	—	**11360**
	6. V. 1952	**14.50 h HEC**		
	1000	—	—	**030**
0	950.7	15.0	65	493
1	900	14.5	70	920
	892	**13.6**	**64**	**1000**
2	870	11.8	59	1210
	850	**10.7**	**60**	**1415**
3	830	9.6	61	1590

Min.	PPP	TTT	UU	H m. geop.
4	793	6.4	66	1970
	790	**6.0**	**67**	**2000**
5	758	3.8	73	2340
6	721	0.5	83	2740
	700	**-1.8**	**89**	**2985**
	699	**-1.8**	**89**	**3000**
7	693	-2.4	95	3070
8	660	-5.1	100	3440
9	624	-7.3	100	3880
	614	**-8.0**	**98**	**4000**
10	588	-9.8	96	4340
11	550	-12.0	88	4860
	540	**-14.2**	**88**	**5000**
12	516	-14.9	87	5330
	500	**-15.4**	**86**	**5585**
13	488	-17.4	86	5760
	473	**-19.5**	**85**	**6000**
14	461	-21.0	85	6180
15	435	-24.0	85	6610
	413	**-27.9**	**83**	**7060**
16	408	-28.5	83	7070
17	383	-32.8	82	7520
	367	**-36.7**	**82**	**8000**
18	354	-37.0	82	8070
19	323	-41.0	—	8700
	309	**-43.3**	—	**9000**
20	**300**	**-44.9**	—	9180
21	272	-48.0	—	9840
	266	**-49.2**	—	**10000**
22	252	-51.8	—	10340
23	230	-51.8	—	10980
	228	**-54.3**	—	**11000**
21	**212**	**-55.0**	—	11440
	200	**-54.0**	—	**11840**
25	**195**	**-53.8**	—	**12000**
26	180	-51.9	—	12490

7. V. 1952 14.45 h HEC

	1000	—	—	**140**
0	958.4	16.8	50	493
1	910	14.0	52	930
	903	**13.2**	**54**	**1000**
2	875	10.2	60	1270
	850	**7.7**	**68**	**1510**
3	842	7.2	71	1570
4	812	5.5	73	1870
	800	**4.7**	**73**	**2000**
5	776	3.1	73	2240
6	737	-1.3	59	2660
	706	**-3.5**	**48**	**3000**
7	**700**	**-4.0**	**45**	**3070**
8	670	-6.5	42	3410
9	634	-7.9	38	3880
	621	**-8.6**	**39**	**4000**
10	604	-9.3	40	4210
11	572	-11.4	40	4630
	546	**-14.6**	**40**	**5000**
12	543	-14.8	40	5080
13	514	-17.2	40	5450
	500	**-18.6**	**40**	**5657**
14	488	-19.8	40	5830
	477	**-21.7**	**40**	**6000**
15	462	-23.9	40	6280
16	434	-28.6	40	6680
	416	**-30.5**	**41**	**7000**
17	409	-31.8	41	7110
18	377	-36.0	41	7680
	369	**-37.5**	**41**	**8000**
19	352	-38.2	41	8150
20	326	-41.0	—	8680
	311	**-43.8**	—	**9000**
21	**300**	**-46.0**	—	9250
22	276	-48.6	—	9780
	267	**-49.9**	—	**10000**
23	250	-52.0	—	10425
24	230	-54.0	—	10960
	229	**-54.2**	—	**11000**
25	212	-55.7	—	11480
26	**200**	**-56.0**	—	11860

8. V. 1952 15.00 h HEC

	1000	—	—	**135**
0	957.7	18.0	60	493
1	924	14.3	64	810
	903	**13.1**	**65**	**1000**
2	880	11.8	65	1220
	850	**9.5**	**62**	**1520**
3	836	8.7	60	1650
	801	**6.2**	**63**	**2000**
4	796	6.0	64	2050
5	755	3.2	60	2480
6	718	-1.0	63	2890
	708	**-2.3**	**64**	**3000**
	700	**-3.2**	**65**	**3090**
7	687	-4.8	67	3220
8	652	-7.1	72	3640
	624	**-7.3**	**73**	**4000**
	619	-7.3	74	4040
10	596	-8.3	73	4330
11	572	-10.2	72	4660
	548	**-12.2**	**73**	**5000**
12	545	-12.4	73	5025
13	513	-14.8	74	5470
	500	**-15.6**	**74**	**5680**
14	484	-16.9	74	5930
	474	**-18.3**	**73**	**6000**
15	458	-21.0	73	6330
16	429	-23.7	73	6810
	419	**-25.3**	**73**	**7000**
17	404	-27.6	72	7250
18	376	-31.1	72	7750
	364	**-33.1**	**72**	**8000**
19	350	-35.0	71	8270
20	322	-39.4	70	8840
	315	**-41.1**	—	**9000**
21	**300**	**-44.6**	—	**9320**
22	**271**	**-48.0**	—	**10000**
23	249	-51.9	—	10550
	232	**-57.2**	—	**11000**
24	228	-58.3	—	11110
25	209	-61.8	—	11660
	200	**-62.6**	—	**11930**

9. V. 1952 09.00 h HEC

	1000	—	—	**160**
0	959.5	14.5	70	493
1	**905**	**8.8**	**79**	**1000**
2	872	7.0	89	1230
	850	**5.7**	**84**	**1515**
3	839	5.0	75	1600
	800	**2.3**	**79**	**2000**
4	795	2.0	81	2050
5	760	-0.3	82	2400
6	717	-3.0	60	2870
	706	**-3.4**	**63**	**3000**
	700	**-3.9**	**63**	**3065**
7	681	-4.9	67	3280
8	642	-8.0	52	3730
	621	**-9.8**	**48**	**4000**
9	604	-10.6	45	4200
10	571	-13.8	48	4500
	544	**-16.2**	**42**	**5000**
11	537	-16.3	42	5090
12	505	-18.7	40	5550
	500	**-19.5**	**40**	**5630**
	475	**-22.2**	**40**	**6000**
13	472	-22.6	40	6060
14	443	-25.8	42	6520
	414	**-31.8**	**45**	**7000**
15	410	-31.8	46	7080
16	388	-36.8	47	7460
17	360	-40.1	—	7970
	359	**-40.2**	—	**8000**
18	331	-44.5	—	8540
	309	**-47.5**	—	**9000**
19	307	-47.9	—	9040
	300	**-49.0**	—	**9200**
20	280	-52.0	—	9630
	266	**-54.2**	—	**10000**
21	253	-55.8	—	10290
22	230	-57.5	—	10900
	227	**-57.8**	—	**11000**
23	210	-57.0	—	11470
	200	**-56.1**	—	**11770**

9. V. 1952 14.50 h HEC

	1000	—	—	**140**
0	958.4	19.0	50	493
1	918	18.5	55	870
	904	**17.0**	**58**	**1000**
2	887	15.7	62	1160
3	856	13.4	68	1450
	850	**12.8**	**69**	**1540**
4	820	10.5	72	1820
	803	**9.1**	**74**	**2000**
5	779	7.6	80	2240
6	739	4.1	82	2670
	711	**1.6**	**82**	**3000**
7	707	1.4	82	3030
	700	**0.6**	**82**	**3135**
8	674	-1.4	81	3425
9	644	-4.3	67	3780
	626	**-5.4**	**58**	**4000**
10	613	-5.8	51	4160
11	585	-7.8	39	4540
12	553	-9.0	34	4970
	551	**-9.2**	**35**	**5000**
13	525	-12.0	37	5360
	500	**-14.8**	**41**	**5750**
14	494	-15.3	43	5820
	484	**-16.8**	**44**	**6000**
15	67	-19.0	46	6250
16	441	-23.5	44	6670
	422	**-26.8**	**46**	**7000**
17	414	-28.0	47	7180
18	387	-31.2	56	7610
	367	**-34.3**	**59**	**8000**
19	364	-34.5	60	8050
20	340	-38.7	65	8510
	317	**-42.3**	—	**9000**
21	312	-43.0	—	9090
	300	**-45.0**	—	**9365**
22	290	-46.8	—	9580
	273	**-49.3**	—	**10000**
23	268	-50.0	—	10100
24	250	-53.1	—	10500
	234	**-54.7**	—	**11000**
25	230	-54.9	—	11090
26	212	-55.8	—	11610
	200	**-53.2**	—	**12000**
27	190	-52.6	—	12140
28	179	-51.4	—	12700
	171	**-49.6**	—	**13000**
29	169	-49.6	—	13070

10. V. 1952 14.20 h HEC

	1000	—	—	**115**
0	902	14.2	75	1000
1	898	13.3	80	1060
2	867	9.6	72	1430
	850	**9.2**	**68**	**1500**
3	813	7.1	55	1870
	800	**6.0**	**53**	**2000**
4	774	4.0	50	2280
5	734	0.6	50	2700
	706	**-2.2**	**79**	**3000**
6	**700**	**-2.7**	**86**	**3080**
7	657	-6.5	100	3580
8	624	-9.1	52	3980
	621	**-9.9**	**48**	**4000**
9	582	-10.5	18	4520
10	550	-14.0	20	4950
	546	**-14.4**	**21**	**5000**
11	516	-16.9	25	5430
	500	**-18.6**	**26**	**5660**
12	486	-20.4	27	5870
	477	**-21.4**	**26**	**6000**
13	458	-23.7	25	6310
14	431	-26.9	20	6750
	416	**-29.1**	**20**	**7000**
15	399	-31.7	20	7300
16	369	-36.5	20	7860
	361	**-37.4**	**21**	**8000**
17	340	-40.5	22	8410
18	**312**	**-45.4**	**25**	**9000**
	300	**-46.8**	—	**9240**
19	284	-49.1	26	9610

12. V. 1952 14.50 h HEC

	1000	—	—	**170**
0	962.9	16.0	55	493
1	924	11.5	50	840
	907	**10.5**	**54**	**1000**
2	877	8.7	58	1260
	850	**6.2**	**60**	**1540**
3	842	6.3	62	1600
4	805	3.6	76	1970
	803	**3.3**	**78**	**2000**
5	775	0.6	88	2280
6	742	-2.5	97	2630
7	712	-5.2	100	2950
	707	**-5.4**	**95**	**3000**
	700	**-5.6**	**90**	**3085**
8	678	-6.8	90	3330
9	642	-9.4	69	3750
	622	**-10.7**	**64**	**4000**
10	605	-11.3	60	4210
11	574	-13.5	52	4620
12	574	-13.9	15	4910
	547	**-14.2**	**15**	**5000**
13	533	-15.0	15	5180
14	511	-16.4	15	5500
	500	**-17.2**	**15**	**5665**
15	484	-18.6	15	5910
	478	**-19.3**	**20**	**6000**
16	456	-21.8	20	6340
17	429	-25.0	20	6630
	416	**-27.2**	**21**	**7000**
18	403	-29.5	21	7240
19	377	-34.2	22	7710
	362	**-35.8**	**22**	**8000**
20	348	-36.8	22	8270
21	326	-39.8	22	8720
	313	**-42.4**	—	**9000**
22	302	-44.4	—	9240
	300	**-44.6**	—	**9285**
23	278	-46.8	—	9800
	269	**-48.2**	—	**10000**
24	258	-50.0	—	10270
25	240	-51.9	—	10740
	232	**-51.2**	—	**11000**
26	222	-50.8	—	11250
27	205	-51.4	—	11770
	200	**-51.2**	—	**11940**
28	190	-51.4	—	12270
	198	**-51.5**	—	**12000**
29	174	-50.5	—	12840
	170	**-50.5**	—	**13000**
30	149	-50.5	—	13840

13. V. 1952 14.50 h HEC

	1000	—	—	**210**
0	965.2	16.0	47	493
1	927	10.8	56	880
	911	**9.3**	**59**	**1000**
2	884	7.4	63	1230
	850	**4.3**	**64**	**1570**
3	844	4.0	64	1610
4	803	0.7	68	2000
5	770	-1.9	82	2350
6	738	-5.6	53	2690
	711	**-2.6**	**48**	**3000**
7	700	-3.0	45	3102
8	665	-5.8	48	3510
9	632	-8.1	75	3900
	625	**-9.0**	**77**	**4000**
10	603	-12.5	80	4260
11	570	-16.0	73	4700
	549	**-17.5**	**75**	**5000**
12	544	-17.6	76	5040
13	517	-20.7	72	5430
	500	**-22.8**	**74**	**5680**
14	490	-23.9	76	5820
	479	**-25.0**	**76**	**6000**
15	462	-26.6	75	6235
16	436	-29.4	75	6670
	417	**-32.5**	**74**	**7000**
17	404	-34.4	74	7180
18	381	-38.3	75	7610
	361	**-40.7**	—	**8000**

Min.	PPP	TTT	UU	H m. geop.
19	357	-40.8	—	8050
20	333	-44.7	—	8510
21	311	-48.7	—	8980
	310	**-48.8**	—	**9000**
	300	**-50.2**	—	**9230**
22	288	-52.0	—	9480
	266	**-54.2**	—	**10000**
23	264	-54.3	—	10040
24	244	-55.5	—	10550
	228	**-55.2**	—	**11000**
25	226	-56.0	—	11030
26	209	-55.9	—	11530
	200	**-55.2**	—	**11830**
	195	-54.8	—	12000
27	193	-54.5	—	12040
28	179	-54.0	—	12520
	14. V. 1952	**15.00 h HEC**		
	1000	—	—	**180**
0	963.3	18.0	42	493
1	925	14.0	44	820
	906	**12.5**	**47**	**1000**
2	897	11.8	48	1085
3	869	9.5	54	1310
	850	**7.9**	**56**	**1555**
4	836	7.0	58	1670
5	804	**3.6**	**60**	**2000**
6	774	1.4	38	2310
7	732	-0.9	38	2750
	709	**-3.0**	**39**	**3000**
8	700	-3.8	40	3095
9	668	-5.8	40	3470
10	634	-7.1	39	3870
	624	**-7.8**	**39**	**4000**
11	600	-9.2	38	4310
12	569	-12.9	39	4720
	548	**-14.8**	**40**	**5000**
13	540	-15.4	40	5120
14	512	-18.1	42	5510
	500	**-19.6**	**43**	**5690**
15	482	-21.6	45	5960
	420	**-22.0**	**46**	**6000**
16	458	-25.4	46	6380
17	433	-29.6	45	6730
	417	**-31.5**	**45**	**7000**
18	405	-32.5	45	7200
19	380	-35.2	50	7650
	361	**-39.9**	**54**	**8000**
20	358	-40.5	55	8050
21	334	-44.4	—	8520
22	**311**	**-47.0**	—	**9000**
	300	**-49.5**	—	**9250**
23	286	-52.0	—	9550
24	268	-55.4	—	9910
	267	**-55.8**	—	**10000**
25	248	-60.0	—	10460
26	230	-63.0	—	10920
	227	**-63.2**	—	**11000**
27	215	-63.4	—	11340
28	**200**	**-60.8**	—	**11800**
	193	**-59.5**	—	**12000**
29	185	-57.6	—	12290
30	170	-56.4	—	12820
	163	**-55.0**	—	**13000**
31	161	-56.2	—	13160
	15. V. 1952	**14.50 h HEC**		
	1000	—	—	**140**
0	961.6	19.8	42	493
1	929	14.9	43	770
	905	**13.5**	**44**	**1000**
2	882	11.8	45	1220
	850	**9.4**	**43**	**1530**
3	840	8.6	42	1625
4	805	4.5	43	1960
	802	**4.3**	**45**	**2000**
5	773	2.7	51	2300
6	734	1.2	51	2710
	709	**-2.2**	**53**	**3000**
7	704	-2.7	54	3050
	700	**-2.9**	**54**	**3095**
8	670	-6.1	54	3440
9	635	-8.9	55	3960
	622	**-9.3**	**55**	**4000**
10	607	-10.5	56	4200
11	576	-12.3	50	4610
12	550	-15.3	45	4960
	547	**-15.8**	**45**	**5000**
13	516	-19.2	44	5440
	500	**-20.0**	**45**	**5500**
14	484	-21.8	47	5920
	479	**-22.4**	**48**	**6000**
15	452	-25.1	49	6420
16	424	-27.9	51	6820
	417	**-28.9**	**51**	**7000**
17	394	-31.5	50	7400
18	366	-36.4	53	7920
	362	**-36.9**	**53**	**8000**
19	345	-39.2	53	8340
20	315	-44.0	—	8950
	313	**-44.3**	—	**9000**
	300	**-46.4**	—	**9260**
21	290	-48.4	—	9500
22	274	-51.3	—	9860
	16. V. 1952	**15.00 h HEC**		
	1000	—	—	**160**
0	960.3	22.0	40	493
1	930	17.6	41	780
	907	**15.2**	**42**	**1000**
2	902	14.8	43	1040
3	872	11.3	45	1320
	850	**9.1**	**49**	**1550**
4	838	8.0	53	1670
5	806	5.5	57	2000
6	770	2.8	57	2360
7	730	0.6	44	2790
	710	**-0.4**	**35**	**3000**
	700	**-1.0**	**31**	**3125**
8	695	-1.3	29	3180
9	664	-4.1	30	3540
10	634	-6.0	30	3910
	627	**-6.5**	**31**	**4000**
11	601	-8.6	34	4320
12	573	-11.9	36	4690
	550	**-14.2**	**37**	**5000**
13	542	-15.2	38	5120
14	514	-17.3	35	5530
	500	**-18.1**	**35**	**5715**
	482	**-19.2**	**34**	**6000**
15	480	-19.2	34	6025
16	453	-22.8	35	6460
17	426	-26.6	36	6900
	420	**-27.2**	**36**	**7000**
18	397	-29.7	36	7410
19	371	-34.4	35	7870
	365	**-34.9**	—	**8000**
20	344	-36.6	34	8410
21	325	-42.8	—	8810
	316	**-44.3**	—	**9000**
22	303	-46.3	—	9270
	300	**-46.8**	—	**9340**
23	280	-50.6	—	9790
	271	**-53.0**	—	**10000**
24	262	-55.8	—	10230
25	240	-58.8	—	10780
	232	**-60.6**	—	**11000**
26	220	-63.2	—	11310
½	206	-66.2	—	11715
	200	**-68.0**	—	**11905**
	17. V. 1952	**15.00 h HEC**		
	1000	—	—	**150**
0	961.7	20.5	47	493
1	926	17.5	51	815
	906	**15.6**	**55**	**1000**
2	888	13.9	59	1180
3	**850**	**10.5**	**61**	**1540**
4	816	7.0	53	1880
	804	**5.9**	**54**	**2000**
5	778	3.4	55	2260
6	739	1.1	46	2680
	711	**0.1**	**49**	**3000**
7	706	0.0	50	3040
	700	**-0.2**	**48**	**3115**
8	672	-1.2	41	3440
9	641	-3.8	38	3820
	626	**-4.7**	**38**	**4000**
10	610	-5.6	39	4200
11	581	-8.3	39	4580
12	554	-10.7	36	4950
	551	**-11.1**	**36**	**5000**
13	523	-13.6	35	5400
	500	**-16.2**	**34**	**5735**
14	493	-16.7	34	5830
	483	**-18.0**	**34**	**6000**
15	468	-19.7	34	6230
16	442	-23.3	34	6620
	422	**-26.1**	**34**	**7000**
17	415	-26.7	34	7100
18	390	-30.0	35	7550
	367	**-33.2**	**35**	**8000**
19	361	-34.0	35	8100
20	337	-38.0	35	8580
	317	**-42.0**	—	**9000**
21	312	-43.0	—	9110
	300	**-44.7**	—	**9370**
22	287	-46.4	—	9660
	268	**-48.0**	—	**10000**
23	264	-49.0	—	10215
24	245	-54.1	—	10690
	234	**-56.5**	—	**11000**
25	226	-58.3	—	11220
26	210	-61.7	—	11680
	200	**-63.7**	—	**12000**
27	192	-64.9	—	12225
	19. V. 1952	**14.55 h HEC**		
	1000	—	—	**120**
0	958.5	22.5	35	493
	903	**16.6**	**51**	**1000**
1	900	15.9	54	1040
2	**850**	**10.7**	**74**	**1515**
3	**802**	**6.0**	**94**	**2000**
	773	3.4	100	2290
4	766	2.2	96	2370
5	734	-0.8	92	2720
	708	**-3.3**	**80**	**3000**
6	704	-3.4	77	3040
	700	**-3.7**	**77**	**3089**
7	675	-5.0	78	3380
8	643	-7.0	78	3760
	623	**-7.6**	**95**	**4000**
9	613	-8.7	100	4130
10	583	-10.7	100	4520
	570	-10.2	75	4690
11	556	-11.6	47	4880
	547	**-12.3**	**44**	**5000**
12	529	-14.7	38	5270
13	**500**	**-16.6**	**35**	**5690**
	479	**-18.3**	**35**	**6000**
14	476	-18.7	35	6060
15	450	-21.7	35	6470
16	424	-24.9	54	6910
	419	**-25.5**	**56**	**7000**
17	403	-27.3	60	7270
18	377	-30.0	47	7750
	364	**-32.2**	**49**	**8000**
19	352	-34.5	50	8240
20	326	-38.9	53	8770
	315	**-40.9**	**53**	**9000**
21	305	-42.2	—	9230
	300	**-43.3**	—	**9330**
22	281	-47.5	—	9770
	271	**-49.4**	—	**10000**
23	259	-52.1	—	10300
24	237	-56.1	—	10880
	232	**-56.6**	—	**11000**
25	220	-58.7	—	11360
26	202	-62.7	—	11880
	200	**-63.3**	—	**11940**
	190	-66.1	—	12250
	188	**-63.8**	—	**12000**
27	185	-65.7	—	12420
28	172	-62.9	—	12860
	168	**-61.8**	—	**13000**
29	158	-59.1	—	13390
	20. V. 1952	**14.50 h HEC**		
	1000	—	—	**140**
0	958.4	18.5	50	493
1	916	13.6	54	870
	904	**12.5**	**57**	**1000**
2	882	10.4	64	1190
3	**850**	**8.1**	**69**	**1515**
4	817	5.1	76	1820
	802	**3.7**	**76**	**2000**
5	774	1.0	75	2260
6	740	-1.0	73	2620
7	**705**	**-3.2**	**70**	**3000**
	700	**-3.5**	**65**	**3075**
8	670	-5.7	46	3410
9	644	-7.9	47	3720
	623	**-8.7**	**55**	**4000**
10	610	-9.1	59	4140
11	581	-10.9	62	4520
12	**545**	**-14.5**	**64**	**5000**
13	516	-17.6	63	5420
	500	**-19.1**	**61**	**5665**
14	488	-20.4	59	5830
	473	**-21.4**	**59**	**6000**
15	459	-22.4	60	6280
16	433	-25.5	61	6730
	417	**-27.2**	**62**	**7000**
17	406	-28.4	62	7190
18	382	-31.3	60	7610
	363	**-32.8**	**54**	**8000**
19	354	-34.4	48	8160
20	326	-37.8	44	8740
	314	**-39.8**	**44**	**9000**
	300	**-42.2**	—	**9310**
21	297	-42.6	—	9380
22	276	-46.5	—	9870
	271	**-47.4**	—	**10000**
23	251	-50.3	—	10500
	233	**-54.6**	—	**11000**
24	230	-55.0	—	11050
25	211	-58.1	—	11600
	200	**-57.2**	—	**11930**
26	198	**-56.9**	—	**12000**
	21. V. 1952	**14.30 h HEC**		
	1000	—	—	**170**
0	961.3	13.0	43	493
1	915	9.2	47	905
	905	**7.7**	**49**	**1000**
2	881	6.1	54	1205
	850	**2.7**	**67**	**1510**
3	843	2.8	70	1580
4	805	-0.4	65	1950
	799	**-0.9**	**50**	**2000**
5	774	0.7	20	2230
6	740	-1.8	15	2620
	705	**-4.4**	**20**	**3000**
7	700	**-4.7**	**22**	**3065**
8	667	-7.9	17	3430
9	631	-9.8	15	3860
	620	**-10.9**	**16**	**4000**
10	598	-12.8	17	4260
11	566	-15.8	19	4685
	543	**-17.7**	**20**	**5000**
12	537	-18.0	20	5080
13	506	-20.3	20	5540
	500	**-21.0**	**21**	**5625**
14	480	-23.3	23	5910
	475	**-24.1**	**23**	**6000**
15	453	-28.0	22	6500
16	426	-31.6	22	6770
	413	**-33.6**	**21**	**7000**
17	399	-35.5	20	7230
18	374	-40.4	—	7690
	358	**-41.8**	—	**8000**
19	341	-43.0	—	8300
20	317	-46.8	—	8790
	308	**-48.2**	—	**9000**
	300	**-49.4**	—	**9160**
21	291	-50.8	—	9360
22	267	-52.4	—	9910
	264	**-52.3**	—	**10000**

Min.	PPP	TTT	UU	H m. geop.
25	245	−51.7	—	10470
	226	**−52.4**	—	**11000**
24	224	−52.2	—	11040
25	205	−51.9	—	11630
	200	**−52.2**	—	**11805**
	195	**−52.3**	—	**12000**
26	185	−52.3	—	12290
	22. V. 1952	**15.00 h HEC**		
	1000	—	—	**200**
0	966.2	15.0	40	493
	910	**11.0**	**41**	**1000**
1	886	9.4	42	1190
	850	**6.0**	**45**	**1560**
2	847	5.9	45	1590
3	807	3.3	45	1970
	805	**3.1**	**45**	**2000**
4	772	1.0	43	2320
5	738	−1.5	40	2680
	711	**−3.2**	**43**	**3000**
6	**700**	**−3.9**	**47**	**3120**
7	670	−6.6	50	3440
8	640	−9.4	60	3800
	625	**−11.0**	**70**	**4000**
9	612	−12.0	80	4150
	605	−13.0	80	4250
10	585	−13.0	70	4490
11	560	−15.9	75	4830
	548	**−17.0**	**65**	**5000**
12	530	−18.4	56	5240
13	**500**	**−21.6**	**47**	**5690**
	479	**−23.5**	**47**	**6000**
14	467	−24.7	47	6180
15	441	−27.9	47	6590
16	**416**	**−31.5**	**50**	**7000**
17	391	−34.5	50	7450
18	367	−37.7	50	7890
	361	**−38.5**	—	**8000**
19	343	−40.7	—	8350
20	321	−44.1	—	8800
	312	**−45.4**	—	**9000**
21	**300**	**−47.0**	—	**9260**
22	274	−49.5	—	9850
	268	**−50.3**	—	**10000**
23	253	−52.0	—	10400
	230	**−52.0**	—	**11000**
24	220	−52.0	—	11300
25	**200**	**−52.0**	—	**11900**
	23. V. 1952	**14.50 h HEC**		
	1000	—	—	**200**
0	967.6	16.0	40	493
1	923	11.7	42	890
	910	**10.6**	**43**	**1000**
2	878	6.5	46	1340
	850	**4.2**	**48**	**1570**
3	831	2.4	51	1750
	804	**−0.8**	**55**	**2000**
4	794	−1.2	57	2120
5	759	−4.7	63	2470
6	736	−6.0	60	2720
7	**708**	**−6.3**	**45**	**3000**
	700	**−6.7**	**45**	**3115**
8	677	−8.1	44	3380
9	648	−9.5	41	3710
	623	**−11.9**	**42**	**4000**
10	611	−12.9	43	4160
11	577	−16.8	45	4660
	546	**−20.8**	**43**	**5000**
12	544	−21.0	43	5025
13	509	−24.0	42	5530
	500	**−25.1**	**41**	**5660**
14	484	−26.8	40	5880
	476	**−27.9**	—	**6000**
15	459	−29.6	—	6255
16	430	−32.4	—	6730
	414	**−34.6**	—	**7000**
17	406	−35.7	—	7130
18	382	−38.0	—	7550
	358	**−40.4**	—	**8000**
19	355	−40.5	—	8060
20	330	−43.5	—	8550
21	310	−47.0	—	8960
	309	**−47.2**	—	**9000**
	300	**−48.5**	—	**9180**
22	290	−50.0	—	9420
23	268	−53.0	—	9920
	265	**−53.2**	—	**10000**
24	246	−53.6	—	10475
	227	**−53.5**	—	**11000**
25	223	−53.4	—	11110
26	207	−53.4	—	11600
	200	**−52.7**	—	**11800**
27	194	**−52.0**	—	**12000**
	24. V. 1952	**14.00 h HEC**		
	1000	—	—	**210**
0	967.3	19.5	40	493
1	931	15.3	40	830
	912	**13.8**	**48**	**1000**
2	885	11.5	50	1250
3	**850**	**7.7**	**61**	**1590**
4	813	3.5	71	1950
	808	**3.1**	**72**	**2000**
5	783	−0.1	76	2260
6	752	−2.0	80	2580
7	724	−1.9	64	2890
	713	**−2.7**	**63**	**3000**
	700	**−3.6**	**62**	**3150**
8	687	−4.7	61	3300
9	656	−6.2	58	3660
10	**626**	**−8.4**	**50**	**4000**
11	592	−10.7	26	4450
12	557	−13.0	51	4920
	551	**−13.3**	**54**	**5000**
13	527	−14.9	67	5340
14	**500**	**−17.4**	**74**	**5740**
	483	**−18.9**	**75**	**6000**
15	473	−20.1	76	6170
16	444	−22.8	75	6630
	421	**−25.2**	**75**	**7000**
17	415	−26.1	75	7120
18	389	−30.6	75	7580
	366	**−32.4**	**75**	**8000**
19	360	−33.5	75	8130
20	333	−38.6	75	8680
	317	**−41.5**	—	**9000**
21	308	−43.5	—	9200
	300	**−44.7**	—	**9380**
22	283	−48.3	—	9770
	268	**−49.7**	—	**10000**
23	261	−52.1	—	10300
24	240	−56.5	—	10840
	234	**−57.7**	—	**11000**
25	223	−60.7	—	11300
26	203	−63.9	—	11880
	200	**−63.5**	—	**11970**
	199	**−63.3**	—	**12000**
27	187	−61.7	—	12380
	26. V. 1952	**14.50 h HEC**		
	1000	—	—	**100**
0	958.2	18.5	40	493
1	913	15.5	45	860
	899	**14.6**	**47**	**1000**
2	867	12.6	52	1310
	850	**11.5**	**53**	**1475**
3	829	10.0	54	1670
4	**796**	**7.2**	**59**	**2000**
5	769	4.6	61	2300
6	734	1.0	66	2670
	705	**−1.7**	**77**	**3000**
7	700	−1.8	80	3045
8	668	−3.8	85	3420
9	630	−6.4	84	3870
	621	**−6.7**	**86**	**4000**
10	589	−7.7	89	4400
11	559	−9.2	93	4810
	546	**−10.1**	**92**	**5000**
12	532	−11.0	89	5200
13	505	−13.2	87	5600
	500	**−13.8**	**86**	**5665**
14	**478**	**−16.6**	**84**	**6000**
15	447	−19.7	81	6510
16	418	−24.4	84	7000
17	395	−26.3	81	7420
18	367	−30.9	79	7940
	364	**−31.5**	**78**	**8000**
19	340	−34.0	76	8480
	316	**−37.2**	**76**	**9000**
20	313	−37.4	76	9060
	300	**−39.5**	**76**	**9345**
21	286	−41.7	—	9675
	273	**−44.0**	—	**10000**
22	261	−45.6	—	10300
23	239	−49.8	—	10860
	234	**−51.0**	—	**11000**
24	222	−53.3	—	11350
25	204	−56.3	—	11890
	200	**−57.2**	—	**12020**
	27. V. 1952	**14.50 h HEC**		
	1000	—	—	**150**
0	961.5	18.5	50	493
1	929	14.6	56	780
	905	**12.1**	**63**	**1000**
2	898	11.4	68	1060
3	869	8.4	84	1340
	850	**7.4**	**90**	**1525**
4	834	6.4	96	1670
	801	**3.6**	**98**	**2000**
5	798	3.5	100	2050
6	758	0.7	93	2450
7	726	−1.4	84	2800
	707	**−3.1**	**84**	**3000**
	700	**−3.5**	**83**	**3085**
8	695	−3.8	89	3140
9	662	−5.9	82	3530
10	636	−8.5	87	3840
	623	**−9.1**	**88**	**4000**
11	609	−10.0	90	4180
12	582	−12.2	100	4530
13	555	−14.6	100	4885
	546	**−15.4**	**100**	**5000**
14	527	−16.5	100	5290
	500	**−18.5**	**100**	**5670**
15	495	−18.9	100	5750
	478	**−21.2**	**100**	**6000**
16	470	−22.1	100	6130
17	444	−24.3	100	6540
	417	**−27.3**	**100**	**7000**
18	414	−27.4	100	7050
19	389	−32.4	100	7500
20	362	−36.2	100	8000
21	388	−41.4	—	8420
22	314	−44.6	—	8960
	313	**−45.0**	—	**9000**
	300	**−48.0**	—	**9275**
23	292	−49.8	—	9450
	268	**−53.5**	—	**10000**
24	266	−53.7	—	10050
25	249	−58.0	—	10475
26	230	−60.6	—	10970
	229	**−60.7**	—	**11000**
27	210	−61.0	—	11540
	200	**−61.0**	—	**11840**
	195	**−60.8**	—	**12000**
28	194	−60.7	—	12030
29	177	−59.4	—	12600
	166	**−58.2**	—	**13000**
30	164	−57.8	—	13090
31	155	−55.9	—	13440
	28. V. 1952	**14.55 h HEC**		
	1000	—	—	**110**
0	956.4	20.0	42	493
1	920	17.0	47	825
	902	**15.2**	**51**	**1000**
2	886	13.3	55	1140
3	857	10.2	66	1420
	850	**9.2**	**73**	**1500**
4	825	6.9	86	1730
	800	**4.7**	**95**	**2000**
5	790	3.8	100	2090
6	755	0.0	98	2470
7	712	−2.8	63	2930
	706	**−3.3**	**60**	**3000**
	700	**−3.7**	**48**	**3080**
8	670	−5.3	53	3400
9	632	−7.0	30	3800
	622	**−7.3**	**33**	**4000**
10	599	−7.9	40	4270
11	567	−11.7	57	4700
	546	**−14.0**	**61**	**5000**
12	541	−14.5	64	5060
13	511	−17.3	58	5500
	500	**−18.3**	**56**	**5665**
14	479	−20.1	54	5970
	478	**−20.2**	**53**	**6000**
15	450	−22.9	50	6420
16	420	−25.0	50	6940
	417	**−25.6**	**50**	**7000**
17	394	−29.0	49	7410
18	368	−33.3	58	7900
	362	**−34.1**	**64**	**8000**
19	343	−36.8	74	8330
20	320	−40.0	79	8850
	313	**−41.0**	—	**9000**
	300	**−42.8**	—	**9300**
21	295	−43.5	—	9410
22	271	−47.4	—	9950
	270	**−47.6**	—	**10000**
23	245	−51.3	—	10630
	232	**−54.8**	—	**11000**
24	225	−56.8	—	11180
25	206	−60.0	—	11740
	200	**−61.0**	—	**11935**
	198	**−61.5**	—	**12000**
26	186	−63.5	—	12380
	29. V. 1952	**14.50 h HEC**		
	1000	—	—	**130**
0	956.0	22.5	45	493
1	911	16.5	48	920
	900	**15.3**	**50**	**1000**
2	869	12.0	53	1310
	850	**9.2**	**59**	**1510**
3	832	7.2	66	1670
	800	**4.7**	**70**	**2000**
4	790	4.2	85	2090
5	750	0.3	100	2520
6	717	−2.6	84	2880
	706	**−3.5**	**79**	**3000**
	700	**−3.7**	**57**	**3070**
7	686	−4.9	54	3220
8	650	−5.8	58	3660
9	**620**	**−7.2**	**46**	**4000**
10	588	−9.4	44	4430
11	555	−12.1	43	4870
	546	**−12.8**	**55**	**5000**
12	**523**	**−14.5**	**76**	**5320**
	500	**−16.8**	**78**	**5670**
13	491	−17.8	79	5800
	478	**−19.4**	**82**	**6000**
14	462	−21.9	86	6250
15	434	−25.6	84	6720
	417	**−27.8**	**81**	**7000**
16	407	−29.0	79	7170
17	381	−32.2	79	7640
	362	**−35.5**	**81**	**8000**
18	354	−36.8	83	8150
19	330	−39.5	87	8640
	312	**−43.0**	—	**9000**
20	**308**	**−43.7**	—	**9110**
	300	**−45.2**	—	**9290**
21	284	−47.9	—	9650
	269	**−50.8**	—	**10000**
22	264	−51.9	—	10120
23	239	−56.2	—	10760
	231	**−57.7**	—	**11000**
24	221	−59.6	—	11260
25	**200**	**−63.0**	—	**11890**

Min.	PPP	TTT	UU	H m. geop.
	30. V. 1952	**14.50 h HEC**		
	1000	—	—	**140**
0	959.4	21.8	40	493
1	925	18.2	43	800
	904	**16.2**	**46**	**1000**
2	893	15.3	49	1100
3	861	11.7	60	1415
	850	**11.2**	**60**	**1520**
4	833	10.4	61	1680
5	804	8.2	43	1980
	802	**8.2**	**42**	**2000**
6	772	7.2	35	2320
7	744	5.3	35	2620
8	**711**	**1.7**	**40**	**3000**
	700	**1.1**	**59**	**3110**
9	679	0.0	37	3360
10	654	-1.2	31	3660
	626	**-3.3**	**31**	**4000**
11	620	-3.5	31	4070
12	595	-6.2	31	4410
13	568	-8.3	31	4760
	551	**-10.1**	**31**	**5000**
14	541	-11.5	31	5150
15	516	-14.2	31	5510
	500	**-15.4**	**31**	**5740**
16	487	-16.3	31	5940
	483	**-16.7**	**36**	**6000**
17	462	-19.4	51	6340
18	440	-22.8	65	6690
	422	**-25.6**	**63**	**7000**
19	419	-26.0	63	7050
20	396	-28.8	38	7460
21	374	-31.8	36	7875
	367	**-32.8**	**36**	**8000**
22	354	-34.7	35	8240
23	335	-37.7	38	8630
	318	**-40.4**	**41**	**9000**
24	316	-40.7	42	9040
	300	**-43.3**	**41**	**9390**
25	296	-44.0	41	9490
26	278	-45.7	—	9900
	274	**-46.6**	—	**10000**
27	258	-50.0	—	10390
28	241	-54.3	—	10840
	235	**-55.6**	—	**11000**
29	224	-58.2	—	11300
30	206	-60.2	—	11830
	200	**-60.7**	—	**12000**
31	193	-61.4	—	12235
	31. V. 1952	**14.05 h HEC**		
	1000	—	—	**120**
0	957.9	21.5	45	493
1	917	18.7	56	870
	904	**17.6**	**60**	**1000**
2	879	15.9	64	1240
	857	15.9	62	1460
	850	**14.9**	**62**	**1522**
3	844	13.8	61	1530
4	**805**	**10.8**	**71**	**2000**
5	770	7.5	82	2350
6	736	3.5	100	2720
	711	**1.4**	**100**	**3000**
7	703	0.8	100	3110
	700	**0.6**	**100**	**3120**
8	669	-2.4	100	3490
9	637	-5.1	100	3890
	627	**-5.6**	**100**	**4000**
10	607	-7.0	100	4250
11	578	-6.4	100	4640
12	**552**	**-9.7**	**75**	**5000**
13	523	-12.5	64	5420
	500	**-15.0**	**61**	**5750**
14	495	-15.7	61	5840
	483	**-17.0**	**67**	**6000**
15	466	-18.8	77	6280
16	441	-22.5	85	6700
	422	**-25.3**	**69**	**7000**
17	419	-25.7	66	7070
18	394	-28.6	48	7500
19	372	-31.1	47	7920
	367	**-31.8**	**46**	**8000**
20	348	-34.6	44	8380
21	324	-38.4	43	8880
	318	**-39.3**	**43**	**9000**
22	305	-41.6	—	9300
	300	**-42.3**	—	**9400**
23	285	-44.8	—	9750
	274	**-47.4**	—	**10000**
24	266	-49.9	—	10210
25	246	-53.5	—	10720
	235	**-55.5**	—	**11000**
26	226	-57.5	—	11270
27	207	-60.3	—	11820
	200	**-60.7**	—	**12000**
28	186	-61.6	—	12480
	2. VI. 1952	**15.05 h HEC**		
	1000	—	—	**200**
0	964.4	21.0	56	493
1	930	16.6	62	810
	909	**14.8**	**68**	**1000**
2	895	13.4	72	1140
3	858	9.2	72	1480
	850	**8.9**	**72**	**1565**
4	811	8.2	70	1950
	807	**7.8**	**71**	**2000**
5	778	5.4	76	2290
6	740	3.8	73	2700
	713	**3.1**	**72**	**3000**
7	706	3.0	72	3090
	700	**2.7**	**71**	**3150**
8	675	0.8	69	3440
9	643	-3.5	65	3825
	629	**-5.3**	**70**	**4000**
10	620	-6.3	73	4130
11	590	-9.7	83	4510
12	563	-11.0	74	4870
	553	**-11.5**	**70**	**5000**
13	536	-13.0	55	5250
14	507	-15.7	45	5670
	500	**-16.1**	**45**	**5770**
	485	**-17.4**	**44**	**6000**
15	473	-18.2	43	6190
16	443	-21.3	48	6670
	423	**-23.8**	**51**	**7000**
17	413	-25.4	53	7190
18	386	-28.0	58	7680
	369	**-29.7**	**56**	**8000**
19	360	-30.3	55	8180
20	335	-33.6	45	8690
	320	**-35.4**	**45**	**9000**
21	308	-37.0	45	9280
	300	**-38.5**	**45**	**9450**
22	287	-41.2	—	9760
	277	**-42.7**	—	**10000**
23	267	-44.5	—	10240
24	245	-48.8	—	10820
	238	**-50.2**	—	**11000**
25	227	-52.6	—	11310
26	204	-56.4	—	12000
	200	**-57.1**	—	**12130**
27	187	-59.3	—	12550
	3. VI. 1952	**14.50 h HEC**		
	1000	—	—	**200**
0	967.9	18.5	52	493
1	922	14.5	53	890
	911	**13.4**	**53**	**1000**
2	883	11.0	54	1240
3	850	8.1	59	1590
4	820	4.7	63	1820
	806	**3.7**	**64**	**2000**
5	787	2.0	66	2190
6	758	0.0	68	2500
7	730	-1.2	66	2800
	711	**-3.3**	**65**	**3000**
	700	**-4.1**	**63**	**3130**
8	697	-4.5	62	3170
9	660	-6.4	45	3590
	627	**-8.2**	**55**	**4000**
10	625	-8.2	56	4025
11	596	-9.8	55	4390
12	570	-10.4	25	4740
	550	**-11.8**	**22**	**5000**
13	541	-12.5	20	5140
14	511	-16.0	20	5570
	500	**-17.3**	**20**	**5730**
	482	**-19.3**	**20**	**6000**
15	480	-19.5	20	6040
16	452	-22.8	20	6480
17	424	-26.2	20	6950
	421	**-26.7**	**21**	**7000**
18	399	-30.0	23	7380
19	374	-33.4	25	7830
	365	**-35.3**	**26**	**8000**
20	350	-38.3	28	8295
21	324	-41.3	—	8730
	316	**-42.5**	—	**9000**
22	303	-44.1	—	9270
	300	**-44.5**	—	**9350**
23	280	-47.2	—	9810
	272	**-48.7**	—	**10000**
24	262	-50.5	—	10240
25	242	-53.5	—	10750
	233	**-55.2**	—	**11000**
26	224	-57.0	—	11250
27	209	-58.4	—	11690
	200	**-59.5**	—	**11970**
	199	**-59.6**	—	**12000**
28	194	-59.9	—	12160
	4. VI. 1952	**14.50 h HEC**		
	1000	—	—	**220**
0	966.8	20.0	50	493
1	929	16.0	54	840
	911	**14.6**	**58**	**1000**
2	895	12.6	64	1160
3	862	10.0	77	1460
	850	**9.0**	**82**	**1600**
4	831	7.7	94	1770
	808	**5.3**	**96**	**2000**
5	800	4.5	98	2070
6	766	4.2	86	2430
7	736	1.4	33	3720
	713	**-0.6**	**31**	**3000**
8	708	-1.0	30	3080
	700	**-1.3**	**30**	**3165**
9	676	-3.2	30	3430
10	650	-6.3	30	3740
	629	**-7.0**	**30**	**4000**
11	614	- 7.5	30	4180
12	585	-10.2	30	4560
13	556	-12.3	30	4960
	553	**-12.5**	**30**	**5000**
14	530	-14.0	30	5320
15	500	-17.1	30	5760
	484	**-19.0**	**30**	**6000**
16	474	-20.4	30	6140
17	452	-23.8	30	6520
18	426	-25.6	30	6940
	422	**-25.8**	**30**	**7000**
19	398	-28.5	30	7430
20	371	-33.7	30	7740
	368	**-35.7**	**30**	**8000**
21	347	-38.4	28	8390
22	322	-42.0	—	8900
	317	**-43.3**	—	**9000**
23	**300**	**-47.5**	—	**9375**
24	280	-51.4	—	9830
	272	**-52.9**	—	**10000**
25	259	-55.3	—	10330
26	236	-59.4	—	10920
	233	**-60.1**	—	**11000**
27	215	-62.8	—	11500
28	**200**	**-61.2**	—	**11940**
	198	**-60.6**	—	**12000**
29	184	-56.4	—	12460
30	170	-56.4	—	12970
	169	**-56.4**	—	**13000**
31	156	-56.4	—	13520
	5. VI. 1952	**14.50 h HEC**		
	1000	—	—	**195**
0	963.8	25.0	33	493
1	934	21.5	34	780
	911	**19.1**	**39**	**1000**
2	905	18.8	42	1050
3	876	15.7	55	1330
	850	**13.2**	**62**	**1585**
4	847	13.0	63	1615
5	814	9.5	70	1940
	809	**9.0**	**71**	**2000**
6	778	6.0	73	2375
7	738	4.0	76	2750
	716	**2.4**	**50**	**3000**
8	709	2.1	42	3080
	700	**1.4**	**40**	**3185**
9	681	-0.2	37	3400
10	650	-1.5	34	3775
	632	**-3.8**	**38**	**4000**
11	624	-4.5	41	4090
12	595	-6.7	38	4470
13	**566**	**-8.0**	**34**	**5000**
14	539	-11.0	41	5240
15	515	-13.7	40	5580
	500	**-15.6**	**46**	**5810**
16	**488**	**-17.0**	**53**	**6000**
17	464	-20.5	66	6380
18	440	-24.0	76	6760
	425	**-25.8**	**81**	**7000**
19	416	-26.9	86	7170
20	392	-29.2	86	7600
	370	**-31.9**	**80**	**8000**
21	367	-32.2	79	8060
22	346	-35.0	84	8470
23	325	-38.6	85	8900
	321	**-39.2**	—	**9000**
24	306	-41.6	—	9320
	300	**-42.7**	—	**9450**
25	287	-45.4	—	9750
	277	**-47.5**	—	**10000**
26	269	-49.1	—	10200
27	250	-54.2	—	10660
	237	**-57.0**	—	**11000**
28	232	-57.9	—	11140
29	211	-61.2	—	11730
	202	**-62.2**	—	**12000**
	200	**-62.5**	—	**12070**
30	195	-63.2	—	12220
31	180	-64.0	—	12710
	172	**-63.9**	—	**13000**
32	168	-63.8	—	13130
	6. VI. 1952	**14.50 h HEC**		
	1000	—	—	**190**
0	960.9	21.0	57	493
1	910	16.7	66	960
	907	**16.3**	**68**	**1000**
2	881	14.4	80	1230
3	857	12.3	74	1470
	850	**12.2**	**70**	**1540**
4	823	11.5	58	1810
	805	**10.4**	**54**	**2000**
5	785	9.2	50	2210
6	752	5.4	67	2550
7	717	3.5	70	2940
	712	**3.2**	**65**	**3000**
	700	**2.8**	**60**	**3135**
8	686	2.3	50	3300
9	665	0.6	39	3550
10	638	-2.5	36	3890
	629	**-3.1**	**36**	**4000**
11	606	-4.8	36	4280
12	578	-6.9	43	4660
	553	**-10.0**	**49**	**5000**
13	547	-10.5	50	5080
14	520	-13.3	59	5480
	500	**-14.7**	**66**	**5780**
	485	**-15.7**	**74**	**6000**
15	484	-15.9	73	6050
16	463	-17.9	78	6370

Min.	PPP	TTT	UU	H m. geop.
17	440	-18.4	80	6750
	425	-19.9	82	7000
18	420	-20.4	82	7075
19	400	-22.6	81	7440
20	379	-24.9	75	7230
	371	-26.5	65	8000
21	358	-28.0	49	8240
22	335	-31.8	40	8720
	322	-34.0	38	9000
23	312	-35.4	37	9210
	300	-37.8	39	9500
24	294	-39.0	41	9630
	279	-42.2	—	10000
25	275	-43.0	—	10080
26	250	-46.5	—	10730
	240	-48.5	—	11000
27	232	-50.0	—	11220
28	218	-52.8	—	11620
	206	-54.4	—	12000
29	200	-54.8	—	12170
30	180	-57.4	—	12850
	176	-57.2	—	13000
31	164	-56.7	—	13440

7. VI. 1952 14.10 h HEC

	1000	—	—	125
0	958.7	21.0	50	493
1	927	15.7	63	780
	903	13.5	69	1000
2	899	13.1	70	1040
3	870	10.8	77	1310
	850	9.9	81	1512
4	844	8.8	82	1570
5	813	6.5	84	1880
	801	5.4	85	2000
6	784	3.9	86	2170
7	752	1.8	89	2510
8	723	-0.3	90	2820
	708	0.0	89	3000
	700	-1.9	88	3087
9	697	-2.1	88	3120
10	668	-4.0	83	3460
11	632	-7.0	81	3890
	623	-7.5	78	4000
12	602	-9.2	73	4280
13	569	-11.7	72	4710
	547	-13.5	68	5000
14	540	-14.3	66	5110
15	515	-17.4	61	5470
	500	-18.7	60	5680
16	486	-20.3	59	5910
	479	-20.6	58	6000
17	460	-22.2	56	6290
18	442	-25.1	53	6600
19	419	-28.5	52	7000
20	395	-32.1	52	7420
21	372	-36.0	50	7820
	362	-37.7	50	8000
22	350	-40.0	50	8250
23	328	-44.0	—	8690
	313	-46.8	—	9000
24	305	-48.5	—	9180
	300	-49.2	—	9270
25	284	-52.0	50	9640
	268	-54.3	—	10000
26	263	-54.0	—	10130
27	248	-53.3	—	10510
28	232	-53.3	—	10930
	230	-53.0	—	11000
29	215	-52.4	—	11420
	200	-52.3	—	11900
30	198	-52.4	—	11960
	197	-52.3	—	12000
31	186	-52.8	—	12400
32	173	-53.9	—	12840

9. VI. 1952 14.40 h HEC

	1000	—	—	190
0	962.4	19.0	50	493
1	925	14.8	52	890
	908	13.5	55	1000
2	889	11.7	59	1185
3	853	8.8	63	1520
	850	8.5	64	1550
4	816	5.5	71	1880
	805	4.8	60	2000
5	780	3.4	50	2240
6	748	1.2	51	2580
7	710	-1.8	71	3000
	700	-2.8	76	3125
8	675	-4.6	90	3420
9	642	-6.3	96	3810
	626	-7.8	94	4000
10	608	-9.2	92	4220
11	575	-11.5	93	4650
	550	-13.8	97	5000
12	544	-14.2	100	5080
13	511	-16.6	99	5540
	500	-17.5	96	5720
14	482	-19.0	95	5980
	481	-19.2	95	6000
15	456	-22.2	95	6410
16	428	-25.7	87	6860
	420	-26.8	85	7000
17	405	-28.6	83	7260
18	376	-32.6	84	7790
	365	-34.7	84	8000
19	349	-37.3	84	8320
20	324	-40.8	84	8820
	315	-42.5	—	9000
21	300	-45.7	—	9330
22	276	-50.0	—	9890
	272	-50.8	—	10000
23	254	-53.6	—	10430
24	237	-59.0	—	10880
	232	-59.3	—	11000
25	218	-59.6	—	11390
26	202	-55.3	—	11870
	200	-54.9	—	11950
	198	-54.8	—	12000
27	189	-52.8	—	12300

10. VI. 1952 14.50 h HEC

	1000	—	—	180
0	962.9	22.0	48	493
1	920	17.0	48	880
	906	15.9	53	1000
2	867	12.8	58	1360
	850	11.3	64	1550
3	823	9.5	69	1770
	805	7.3	71	2000
4	791	6.0	72	2140
5	760	3.8	79	2460
6	730	1.6	85	2790
	712	0.8	86	3000
7	704	-1.4	87	3080
	700	-1.7	86	3145
8	677	-1.9	84	3400
9	615	-3.9	70	3780
	628	-4.8	50	4000
10	615	-5.3	43	4150
11	584	-8.0	32	4570
12	552	-10.3	26	5000
13	517	-13.0	24	5500
	500	-14.5	23	5750
14	486	-15.5	22	5960
	484	-15.8	22	6000
15	456	-17.3	21	6450
16	434	-20.7	21	6810
	423	-22.5	21	7000
17	414	-24.0	22	7165
18	394	-27.5	23	7520
19	372	-29.8	24	7920
	368	-30.5	24	8000
20	350	-34.0	24	8360
21	330	-37.7	24	8780
	319	-40.0	24	9000
22	311	-41.6	24	9180
	300	-43.6	—	9420
23	287	-46.6	—	9720
	276	-47.8	—	10000
24	262	-49.4	—	10320
25	241	-53.2	—	10860
	236	-54.2	—	11000
26	222	-56.7	—	11380
27	205	-56.7	—	11880
	202	-56.2	—	12000
	200	-55.9	—	12055
28	192	-54.5	—	12310
29	179	-52.8	—	12770
	173	-53.0	—	13000
30	164	-53.0	—	13320
31	148	-53.5	—	14000
32	140	-53.0	—	14340
33	130	-53.0	—	14820

11. VI. 1952 11.00 h HEC

	1000	—	—	175
0	961.1	20.5	50	493
1	916	16.0	61	910
	906	15.0	60	1000
2	884	13.0	58	1210
3	850	11.0	55	1535
4	816	8.5	48	1860
	805	7.6	48	2000
5	784	6.5	47	2200
6	750	4.5	46	2570
7	722	2.1	43	2880
	711	1.3	43	3000
	700	1.1	42	3125
8	692	-0.1	42	3220
9	660	-2.5	44	3600
10	636	-5.3	44	3890
	627	-5.7	44	4000
11	610	-6.3	42	4220
12	584	-8.0	41	4560
13	556	-9.8	40	4935
	551	-10.3	40	5000
14	527	-12.5	38	5350
15	500	-13.9	38	5740
	484	-15.7	—	6000
16	476	-16.0	44	6120
17	452	-18.5	52	6500
18	428	-21.5	65	6915
	423	-22.2	65	7000
19	405	-24.9	66	7320
20	382	-28.2	60	7735
	369	-30.3	60	8000
21	357	-32.0	60	8230
22	336	-35.3	60	8650
	319	-38.2	60	9000
23	312	-39.5	60	9150
	300	-41.8	—	9420
24	289	-43.9	—	9670
	275	-46.6	—	10000
25	266	-48.3	—	10230
26	244	-52.5	—	10790
	237	-53.8	—	11000
27	222	-55.9	—	11400
28	202	-58.5	—	12000
	200	-58.5	—	12060
29	184	-59.7	—	12570
	172	-58.2	—	13000
30	164	-57.0	—	13300
31	150	-55.7	—	13870
	147	-55.5	—	14000
22	142	-54.7	—	14220

11. VI. 1952 14.50 h HEC

	1000	—	—	150
0	959.9	25.0	50	493
1	906	18.6	55	1000
2	871	15.3	60	1320
	850	13.5	67	1540
3	832	12.4	73	1710
	804	8.9	77	2000
4	800	8.5	79	2040
5	768	4.8	87	2375
6	740	1.8	94	2680
	712	-0.5	93	3000
7	708	-0.8	93	3030
	700	-1.6	90	3130
8	674	-2.0	72	3420
9	642	-3.0	53	3820
	627	-4.0	46	4000
10	610	-5.1	39	4220
11	581	-8.2	33	4590
	552	-10.6	31	5000
12	550	-10.8	30	5025
13	522	-13.3	34	5420
	500	-15.2	47	5720
14	496	-15.6	50	5810
	484	-17.6	50	6000
15	467	-19.6	55	6250
16	441	-22.5	57	6680
	422	-25.8	58	7000
17	418	-26.4	58	7070
18	388	-30.2	56	7600
	368	-33.0	55	8000
19	360	-34.0	55	8130
20	334	-37.6	54	8670
	332	-41.3	54	9000
21	312	-42.8	—	9120
	300	-44.7	—	9390
22	287	-46.7	—	9690
	274	-48.5	—	10000
23	264	-49.7	—	10230
24	244	-53.8	—	10740
	235	-56.2	—	11000
25	224	-58.9	—	11280
26	202	-60.3	—	11930
	200	-60.2	—	12000
27	183	-57.9	—	12540

12. VI. 1952 15.00 h HEC

	1000	—	—	130
0	957.2	26.0	35	493
1	932	21.8	54	720
2	903	19.3	58	1000
3	867	16.3	54	1340
	850	14.4	60	1520
4	836	13.3	65	1640
5	801	10.8	67	2000
6	767	8.4	77	2370
7	734	5.3	89	2690
	710	3.0	91	3000
8	706	2.9	92	3050
	700	2.3	94	3125
9	677	0.3	100	3390
10	647	-2.9	100	3740
	627	-4.6	100	4000
11	617	-5.1	100	4120
12	584	-8.0	100	4560
13	554	-10.5	72	4960
	552	-10.6	71	5000
14	523	-11.6	70	5410
15	500	-13.2	65	5750
	484	-15.0	63	6000
16	472	-16.5	61	6190
17	444	-19.6	70	6640
	423	-23.2	85	7000
18	418	-24.2	90	7090
19	393	-27.9	82	7530
20	369	-30.8	80	8000
21	350	-34.4	72	8360
22	331	-37.3	72	8750
	319	-39.5	72	9000
23	311	-40.8	—	9180
	300	-43.3	—	9420
24	287	-45.9	—	9710
	275	-47.8	—	10000
25	264	-50.1	—	10260
26	241	-55.0	—	10860
	236	-56.5	—	11000
27	223	-56.3	—	11350

13. VI. 1952 14.50 h HEC

	1000	—	—	140
0	958.3	18.0	100	493
1	915	18.6	91	880
	903	18.1	87	1000
2	873	17.4	85	1290
	850	16.3	82	1535
3	838	15.8	78	1640
4	803	13.8	82	2000
5	770	11.5	80	2260
6	739	8.0	86	2700

Min.	PPP	TTT	UU	H m. geop.
7	711	5.4	90	3000
	700	3.4	93	3150
8	687	1.4	98	3280
9	657	0.0	99	3660
10	632	-1.0	100	3970
	629	-1.4	100	4000
11	610	-4.0	100	4260
12	587	-4.8	100	4560
13	572	-6.2	100	4770
	555	-7.1	100	5000
14	551	-7.2	100	5050
15	533	-9.8	99	5310
16	519	-11.3	98	5510
17	502	-12.7	95	5770
	500	-12.9	95	5800
	487	-13.6	93	6000
18	484	-13.9	93	6050
19	466	-16.5	96	6330
20	448	-18.6	95	6630
21	430	-20.6	93	6930
	426	-21.0	93	7000
22	412	-22.6	93	7240
23	394	-24.9	92	7580
24	376	-27.6	91	7920
	372	-28.2	91	8000
25	359	-30.1	90	8240
26	342	-32.9	89	8600
27	324	-34.4	88	8970
	323	-34.6	88	9000
28	306	-37.2	87	9330
	300	-38.5	87	9510
29	292	-40.4	—	9690
	279	-42.7	—	10000
30	274	-43.8	—	10120
31	258	-47.3	—	10540
22	242	-50.2	—	10940

14. VI. 1952 14.45 h HEC

	1000	—	—	120
0	956.2	22.5	53	493
1	905	17.0	64	960
	903	16.9	67	1000
2	860	13.3	89	1400
	850	11.6	93	1510
3	825	8.5	100	1750
	801	6.9	100	2000
4	792	6.5	100	2100
5	764	4.5	98	2380
6	730	2.3	100	2750
	708	0.0	100	3000
	700	-0.6	100	3100
7	693	-1.3	100	3170
8	660	-3.0	49	3560
9	626	-5.3	40	3980
	625	-5.5	38	4000
10	595	-7.5	30	4380
11	569	-10.4	47	4725
	549	-11.6	55	5000
12	541	-12.0	60	5110
13	512	-14.9	62	5535
	500	-16.8	67	5720
14	486	-18.4	72	5930
	481	-19.0	60	6000
15	460	-20.6	42	6330
16	432	-23.3	42	6790
	420	-24.9	41	7000
17	405	-26.9	40	7270
18	380	-30.4	36	7720
	366	-32.3	35	8000
19	356	-33.5	34	8180
20	329	-37.8	30	8740
	316	-39.8	—	9000
	300	-42.8	—	9360

16. VI. 1952 15.00 h HEC

	1000	—	—	120
0	956.8	19.0	95	493
1	829	17.8	70	750
	902	15.9	70	1000
2	897	15.2	70	1050
3	861	13.6	82	1400
	850	12.6	86	1510
4	825	10.5	97	1760
	801	8.3	98	2000
5	788	7.5	98	2140
6	752	4.2	100	2520
7	711	1.9	100	2980
	709	1.7	100	3000
	700	1.3	100	3100
8	672	-0.6	100	3480
9	640	-3.1	100	3820
	625	-4.4	100	4000
10	612	-5.5	100	4170
11	583	-5.4	84	4560
12	554	-8.2	62	4950
	551	-9.1	62	5000
13	528	-10.4	62	5320
14	500	-12.2	45	5745
	484	-14.3	44	6000
15	478	-14.8	44	6080
16	452	-17.3	24	6500
17	428	-20.7	20	6910
	423	-21.5	19	7000
18	402	-24.4	18	7370
19	376	-28.0	15	7840
	369	-29.8	15	8000
20	350	-31.3	15	8360
21	328	-34.8	16	8820
	320	-35.7	16	9000
22	303	-37.3	17	9380
	300	-38.1	17	9470
23	280	-42.7	—	9920
	276	-43.5	—	10000
24	262	-46.8	—	10360
25	244	-50.0	—	10830
	238	-50.5	—	11000
26	226	-51.5	—	11390
27	206	-53.7	—	11920
	204	-53.9	—	12000
	200	-54.6	—	12120
28	190	-55.9	—	12460
29	178	-55.7	—	12870
	174	-55.3	—	13000
	164	-53.5	—	13390

17. VI. 1952 15.15 h HEC

	1000	—	—	110
0	956.0	22.5	55	493
1	913	20.5	54	900
	903	19.9	57	1000
2	881	18.7	61	1200
	850	14.8	66	1515
3	847	14.6	67	1540
4	816	11.6	68	1850
	802	11.0	65	2000
5	787	10.5	62	2160
6	753	8.6	64	2530
7	720	6.0	75	2890
	710	5.0	76	3000
	700	4.0	77	3145
8	690	2.8	78	3240
9	658	-0.9	86	3630
	628	-3.2	89	4000
10	621	-3.8	92	4080
11	590	-7.0	86	4490
12	561	-8.9	72	4880
	552	-9.5	80	5000
13	532	-11.0	96	5290
14	504	-12.8	100	5700
	500	-13.2	100	5770
	485	-14.4	74	6000
15	479	-14.9	70	6090
16	454	-18.3	60	6510
17	432	-21.0	58	6875
	424	-21.7	58	7000
18	406	-23.9	58	7330
19	378	-27.3	58	7840
	370	-28.6	58	8000
20	353	-31.0	58	8320
21	329	-35.3	58	8830
	321	-36.7	58	9000
22	306	-39.0	58	9310
	300	-40.1	—	9460
23	284	-42.2	—	9830
	277	-44.2	—	10000
24	264	-47.6	—	10320
25	242	-51.5	—	10890
	238	-52.0	—	11000
26	218	-54.0	—	11560
	200	-55.0	—	12120

18. VI. 1952 14.50 h HEC

	1000	—	—	130
0	958.8	15.5	90	493
1	930	13.0	81	750
2	907	12.0	78	950
	905	11.8	78	1000
3	867	11.0	78	1330
	850	9.6	74	1510
4	842	9.4	72	1580
5	800	7.8	74	2000
6	760	3.8	85	2410
7	722	2.0	95	2840
	710	1.8	97	3000
	700	1.3	98	3090
8	683	1.0	100	3280
9	656	-3.0	80	3600
	626	-5.5	85	4000
10	621	-5.7	86	4040
11	594	-7.8	96	4380
12	564	-9.5	98	4780
	551	-10.7	99	5000
13	534	-11.3	100	5210
14	510	-14.0	100	5550
	500	-15.8	100	5740
15	488	-17.7	100	5900
	483	-18.4	100	6000
16	460	-19.8	100	6340
17	433	-22.2	98	6770
	422	-24.0	98	7000
18	404	-26.0	97	7290
19	377	-29.3	95	7790
	367	-31.0	95	8000
20	350	-33.3	94	8315
21	323	-38.0	93	8870
	318	-39.1	—	9000
	300	-41.7	—	9400
22	297	-42.1	—	9440
	274	-46.9	—	10000
23	272	-47.2	—	10400
24	252	-50.9	—	10540
	235	-56.3	—	11000
25	232	-56.8	—	11060
26	210	-54.5	—	11690
	200	-52.5	—	12000
27	192	-50.6	—	12280
28	177	-51.5	—	12820
	173	-51.5	—	13000
29	158	-52.0	—	13540

19. VI. 1952 15.00 h HEC

	1000	—	—	190
0	963.3	19.8	60	493
1	925	14.6	68	840
	907	12.8	74	1000
2	894	11.7	80	1130
3	856	9.8	86	1490
	850	9.3	88	1565
4	809	7.5	94	1950
	806	7.2	95	2000
5	770	5.3	100	2370
6	736	2.7	94	2740
	712	1.4	93	3000
7	700	1.0	93	3140
8	668	-1.9	97	3530
9	640	-2.9	96	3860
	629	-3.8	28	4000
10	614	-4.7	22	4175
11	582	-7.0	24	4600
12	555	-9.2	30	4970
	553	-9.5	32	5000
13	532	-12.6	51	5320
14	505	-15.3	77	5690
	500	-15.8	79	5780
	485	-17.0	86	6000
15	480	-17.4	87	6070
16	454	-19.7	90	6490
17	428	-21.9	92	6940
	424	-22.3	92	7000
18	402	-25.2	91	7390
19	377	-30.0	91	7850
	369	-31.0	90	8000
20	355	-32.8	89	8270
21	330	-35.9	90	8790
	320	-37.4	88	9000
22	307	-39.4	86	9290
	300	-40.7	—	9450
23	285	-43.2	—	9800
	276	-44.9	—	10000
24	262	-47.9	—	10360
25	242	-51.8	—	10880
	238	-52.4	—	11000
26	222	-54.0	—	11440
	203	-54.0	—	12000
27	200	-54.0	—	12100
28	182	-54.0	—	12710
	174	-54.0	—	13000
29	164	-54.0	—	13370
30	152	-54.0	—	13860
	149	-54.0	—	14000
31	140	-54.0	—	14385

20. VI. 1952 14.55 h HEC

	1000	—	—	210
0	965.1	17.0	50	493
1	928	13.1	51	820
	909	11.4	55	1000
2	885	9.4	63	1220
	850	6.4	75	1560
3	845	6.2	77	1600
4	806	3.5	94	2000
5	763	1.0	100	2430
6	726	-1.2	98	2830
	710	-1.8	80	3000
	700	-2.2	50	3110
7	692	-2.1	46	3190
8	661	-2.6	22	3560
9	634	-5.5	15	3890
	626	-6.1	15	4000
10	606	-7.6	15	4240
11	576	-9.6	15	4640
	550	-10.8	15	5000
12	544	-11.0	15	5070
13	518	-13.1	20	5440
	500	-15.4	21	5710
14	492	-16.5	22	5850
	481	-18.1	26	6000
15	466	-20.2	30	6260
16	436	-24.2	34	6780
	420	-27.3	35	7000
17	408	-29.3	35	7200
18	383	-32.4	35	7660
	364	-34.9	35	8000
19	357	-35.6	35	8140
20	334	-39.8	32	8600
20	334	-39.8	32	8600
	315	-40.8	—	9000
21	312	-40.8	—	9040
	300	-43.5	—	9330
22	286	-46.5	—	9650
	271	-48.7	—	10000
23	262	-50.0	—	10230
24	243	-53.2	—	10720
	233	-54.6	—	11000
25	223	-55.9	—	11270
26	211	-58.6	—	11610
	200	-60.6	—	11950

21. VI. 1952 14.30 h HEC

	1000	—	—	220
0	966.8	19.8	55	493
1	944	16.2	58	700
	911	12.5	62	1000
2	903	11.7	64	1075
3	864	8.4	70	1440
	850	7.3	70	1580
4	818	5.2	72	1875
	806	4.7	66	2000

Min.	PPP	TTT	UU	H m. geop.
5	772	3.1	60	2360
6	732	0.9	59	2780
	713	**0.8**	**49**	**3000**
7	**700**	**0.5**	**44**	**3140**
8	666	0.3	20	3540
9	630	−0.2	15	3980
	628	**−0.4**	**16**	**4000**
10	601	−3.2	20	4360
11	576	−5.6	50	4690
	553	**−6.7**	**58**	**5000**
12	549	−7.0	60	5065
13	522	−9.8	53	5450
	500	**−12.3**	**54**	**5780**
14	494	−13.0	55	5875
	486	**−14.1**	**57**	**6000**
15	467	−16.9	59	6300
16	439	−19.8	60	6760
	425	**−21.8**	**60**	**7000**
17	413	−23.4	60	7210
18	387	−27.9	62	7680
	370	**−29.7**	**64**	**8000**
19	363	−30.4	65	8130
20	337	−34.3	60	8650
	321	**−38.0**	**59**	**9000**
21	315	−39.2	58	9130
	300	**−41.7**	**—**	**9450**
22	291	−43.3	—	9650
	276	**−46.1**	**—**	**10000**
23	268	−48.0	—	10220
24	250	−52.1	—	10670
	237	**−53.3**	**—**	**11000**
25	227	−54.4	—	11280
26	204	−56.3	—	11970
27	**203**	**−56.5**	**—**	**12000**
	200	**−56.6**	**—**	**12095**

23. VI. 1952 14.50 h HEC

	1000	**—**	**—**	**180**
0	960.8	23.0	35	493
1	925	13.9	40	810
	906	**17.3**	**43**	**1000**
2	886	15.5	46	1170
3	**850**	**11.8**	**55**	**1520**
4	816	9.4	64	1870
	804	**8.2**	**66**	**2000**
5	781	6.4	73	2240
6	750	4.0	80	2560
7	723	2.0	70	2860
	711	**1.2**	**67**	**3000**
	700	**0.4**	**64**	**3130**
8	691	−0.2	63	3230
9	662	−2.2	74	3560
10	637	−3.1	68	3870
	628	**−3.9**	**65**	**4000**
11	610	−5.0	59	4210
12	582	−7.2	44	4590
13	**552**	**−9.2**	**40**	**5000**
14	525	−11.6	33	5370
	500	**−13.6**	**40**	**5770**
15	493	−14.0	42	5850
	484	**−15.4**	**43**	**6000**
16	466	−17.6	48	6280
17	443	−19.4	50	6670
	424	**−21.5**	**49**	**7000**
18	415	−22.3	49	7150
19	393	−25.6	48	7540
20	**368**	**−30.7**	**48**	**8000**
21	345	−33.7	48	8470
22	324	−37.6	48	8910
	320	**−38.2**	**—**	**9000**
23	**300**	**−40.8**	**—**	**9430**
24	282	−44.9	—	9850
	276	**−46.0**	**—**	**10000**
25	262	−48.5	—	10270
26	242	−51.2	—	10870
	238	**−51.7**	**—**	**11000**
27	224	−53.0	—	11370
	204	**−51.5**	**—**	**12000**
28	202	−51.4	—	12050
	200	**−51.1**	**—**	**12110**
29	184	−48.6	—	12650
	175	**−49.1**	**—**	**13000**
30	166	−49.2	—	13320
31	150	−50.2	—	14000
32	137	−50.4	—	14590
	129	**−50.4**	**—**	**15000**
33	126	−50.4	—	15120
34	115	−50.4	—	15740

24. VI. 1952 14.50 h HEC

	1000	**—**	**—**	**200**
0	964.7	23.8	40	493
1	930	20.5	45	800
	910	**18.5**	**45**	**1000**
2	888	16.6	46	1200
	850	**12.6**	**51**	**1580**
3	840	11.7	53	1680
	809	**7.5**	**74**	**2000**
4	799	6.3	48	2090
5	763	5.0	53	2460
6	724	3.7	42	2900
	714	**3.3**	**44**	**3000**
	700	**2.7**	**46**	**3170**
7	688	2.1	47	3310
8	660	0.0	47	3650
9	**630**	**−3.2**	**55**	**4000**
10	595	−5.6	72	4460
11	565	−8.4	58	4870
	556	**−9.1**	**57**	**5000**
12	538	−10.6	53	5250
13	512	−12.6	56	5620
	500	**−13.3**	**50**	**5800**
14	**486**	**−14.1**	**45**	**6000**
15	463	−16.8	42	6390
16	440	−19.6	42	6770
	427	**−21.0**	**43**	**7000**
17	416	−21.9	44	7180
18	392	−25.3	47	7610
	372	**−28.0**	**50**	**8000**
19	365	−28.9	52	8140
20	339	−33.0	59	8670
	323	**−35.9**	**63**	**9000**
21	316	−37.2	75	9140
	310	**−40.2**	**—**	**9505**
22	290	−42.2	—	9740
	279	**−44.7**	**—**	**10000**
23	268	−47.0	—	10270
24	245	−51.4	—	10850
	240	**−52.6**	**—**	**11000**
25	226	−56.9	—	11380
	205	**−59.5**	**—**	**12000**
26	203	−59.9	—	12060
	200	**−60.2**	**—**	**12150**
27	186	−61.0	—	12600
	175	**−59.0**	**—**	**13000**
28	168	−57.9	—	13130
29	154	−55.4	—	13670

25. VI. 1952 14.50 h HEC

	1000	**—**	**—**	**175**
0	962.4	26.0	28	493
1	929	22.0	30	790
	908	**20.1**	**34**	**1000**
2	904	19.8	36	1020
3	872	17.0	44	1340
	850	**14.4**	**50**	**1575**
4	845	14.0	53	1610
5	813	10.8	64	1940
	807	**10.2**	**60**	**2000**
6	775	7.6	50	2330
7	742	5.0	38	2690
	714	**2.7**	**21**	**3000**
8	708	2.3	20	3070
	700	**1.8**	**18**	**3170**
9	676	0.4	10	3450
10	646	−0.6	20	3800
	630	**−2.5**	**35**	**4000**
11	612	−4.3	55	4230
12	580	−6.0	28	4660
	555	**−8.0**	**39**	**5000**
13	546	−8.6	47	5125
14	517	−11.0	43	5560
	500	**−13.2**	**57**	**5800**
15	498	−13.3	58	5840
	487	**−14.7**	**63**	**6000**
16	474	−15.9	68	6200
17	444	−18.6	68	6700
	426	**−20.5**	**70**	**7000**
18	420	−21.2	72	7110
19	394	−23.4	72	7580
	372	**−26.2**	**70**	**8000**
20	363	−26.6	69	8070
21	344	−30.2	60	8570
	323	**−33.8**	**51**	**9000**
22	322	−34.0	49	9020
	300	**−37.9**	**51**	**9520**
23	298	−38.3	51	9570
	280	**−41.8**	**—**	**10000**
24	276	−42.6	—	10090
25	256	−47.8	—	10590
26	**240**	**−52.0**	**—**	**11000**
27	223	−56.9	—	11490
28	207	−60.6	—	11960
	206	**−60.5**	**—**	**12000**
29	**200**	**−61.6**	**—**	**12200**

26. VI. 1952 14.50 h HEC

	1000	**—**	**—**	**115**
0	958.1	25.0	45	493
1	924	19.5	46	800
	903	**17.4**	**49**	**1000**
2	893	16.6	51	1100
3	859	13.3	55	1420
	850	**12.6**	**54**	**1520**
4	823	10.3	53	1790
	802	**8.3**	**62**	**2000**
5	793	7.5	67	2090
6	764	4.2	88	2390
7	728	4.5	45	2800
	710	**4.2**	**43**	**3000**
	700	**3.0**	**41**	**3110**
8	694	2.6	40	3180
9	661	1.0	56	3570
10	630	−1.8	50	3950
	627	**−1.9**	**49**	**4000**
11	597	−3.0	47	4390
12	565	−5.2	45	4890
	552	**−6.3**	**42**	**5000**
13	536	−7.9	38	5230
14	508	−11.4	38	5650
	500	**−12.2**	**39**	**5770**
	484	**−13.7**	**40**	**6000**
15	478	−14.3	42	6115
16	450	−17.1	43	6560
17	**423**	**−21.8**	**50**	**7000**
18	397	−26.0	52	7480
19	371	−29.0	53	7890
	370	**−29.2**	**53**	**8000**
20	346	−32.6	52	8480
21	**321**	**−37.3**	**52**	**9000**
22	**300**	**−40.1**	**—**	**9460**
	277	**−43.7**	**—**	**10000**
23	274	−44.3	—	10080
24	251	−48.4	—	10650
	239	**−51.0**	**—**	**11000**
25	**229**	**−52.9**	**—**	**11265**
26	212	−56.7	—	11750
	204	**−58.3**	**—**	**12000**
	200	**−59.1**	**—**	**12125**
27	196	−60.0	—	12250
28	179	−61.8	—	12810
	174	−61.7	—	13000
29	162	−61.4	—	13440

27. VI. 1952 14.50 h HEC

	1000	**—**	**—**	**115**
0	958.3	23.0	50	493
1	908	18.2	60	940
	902	**17.7**	**59**	**1000**
2	886	16.1	57	1150
3	856	14.1	24	1440
	850	**13.8**	**30**	**1510**
4	812	12.8	64	1890
	801	**11.5**	**73**	**2000**
5	774	9.7	87	2290
6	740	8.1	56	2660
	710	**6.1**	**30**	**3000**
7	706	6.6	22	3045
	700	**6.4**	**24**	**3115**
8	677	5.5	38	3390
9	640	1.5	42	3850
	628	**0.9**	**31**	**4000**
10	607	−0.1	23	4270
11	578	−4.0	21	4660
	553	**−6.0**	**22**	**5000**
12	546	−6.4	22	5120
13	508	−9.2	29	5670
	500	**−9.8**	**29**	**5790**
	486	**−11.1**	**29**	**6000**
14	481	−11.6	29	6080
15	459	−15.3	24	6450
16	432	−17.4	25	6900
	427	**−18.0**	**26**	**7000**
17	404	−21.0	30	7400
18	382	−24.6	35	7800
	373	**−26.3**	**36**	**8000**
19	354	−30.1	39	8360
20	333	−34.5	41	8800
	324	**−35.8**	**42**	**9000**
21	310	−37.4	42	9290
	300	**−39.6**	**—**	**9530**
22	287	−42.3	—	9820
	280	**−44.2**	**—**	**10000**
23	263	−48.5	—	10410

28. VI. 1952 15.00 h HEC

	1000	**—**	**—**	**150**
0	962.4	28.0	40	493
1	937	22.6	45	740
	909	**20.9**	**50**	**1000**
2	897	19.8	55	1120
3	859	16.6	50	1490
	850	**15.7**	**51**	**1570**
4	818	13.3	52	1900
	808	**12.4**	**50**	**2000**
5	775	10.0	45	2350
6	739	8.4	43	2750
	716	**5.4**	**41**	**3000**
7	705	4.0	39	3130
	700	**3.8**	**39**	**3180**
8	669	2.5	38	3560
9	635	0.0	38	3970
	623	**−0.1**	**38**	**4000**
10	602	−2.5	38	4400
11	570	−5.5	40	4820
	558	**−6.4**	**40**	**5000**
12	534	−8.1	40	5340
13	**500**	**−11.7**	**40**	**5850**
	490	**−12.4**	**40**	**6000**
14	465	−14.8	40	6410
15	437	−18.1	40	6870
	429	**−19.0**	**42**	**7000**
16	409	−21.2	45	7360
17	383	−25.1	41	7840
	375	**−26.9**	**41**	**8000**
18	359	−30.1	41	8310
19	330	−34.1	41	8900
	325	**−34.9**	**41**	**9000**
20	307	−39.1	41	9400
	300	**−40.1**	**—**	**9560**
21	**282**	**−43.4**	**—**	**10000**
22	254	−48.8	—	10630
	242	**−51.1**	**—**	**11000**
23	232	−53.5	—	11260
24	210	−57.4	—	11960
	207	**−55.4**	**—**	**12000**
	200	**−58.0**	**—**	**12210**
25	190	−59.0	—	12550

30. VI. 1952 14.50 h HEC

	1000			**220**
0	967.8	29.5	33	493
1	935	27.0	33	790
	903	**25.1**	**37**	**1000**
2	895	24.0	39	1180
3	856	20.5	41	1570
	850	**20.0**	**40**	**1640**

Min.	PPP	TTT	UU	H m. geop.
4	817	17.5	34	1970
	814	**17.3**	**33**	**2000**
5	780	15.8	30	2360
6	750	14.1	30	2690
	724	**12.5**	**30**	**3000**
7	720	12.3	30	3040
	700	**9.9**	**30**	**3280**
8	**693**	**9.2**	**30**	**3360**
9	**662**	**5.8**	**30**	**3740**
	641	**2.9**	**30**	**4000**
10	632	1.9	30	4100
11	604	−0.3	32	4480
12	568	−3.5	34	4970
	565	**−3.7**	**36**	**5000**
13	536	−6.3	44	5420
14	503	−9.4	35	5930
	500	**−9.8**	**35**	**5960**
	498	**−10.1**	**35**	**6000**
15	466	−14.0	36	6500
	436	**−17.5**	**42**	**7000**
16	432	−18.1	40	7070
17	404	−23.3	45	7570
	380	**−27.0**	**46**	**8000**
18	374	−27.9	46	8125
19	340	−33.3	47	8810
	331	**−34.9**	**48**	**9000**
20	307	−38.3	51	9540
	300	**−39.2**	**51**	**9670**
	286	**−41.1**	—	**10000**
21	278	−42.5	—	10200
22	251	−47.2	—	10880
	247	**−48.3**	—	**11000**
23	226	−25.7	—	11560
	212	**−55.3**	—	**12000**
24	206	−56.4	—	12170
	200	**−57.2**	—	**12350**
25	182	−60.2	—	12950

1. VII. 1952 16.00 h HEC

	1000			**170**
0	965.1	32.0	30	493
1	939	28.3	30	730
	912	**26.2**	**29**	**1000**
2	910	26.2	29	1030
	890	27.2	18	1210
3	880	26.2	15	1320
	850	**24.0**	**15**	**1620**
	845	23.5	15	1670
5	**813**	**20.8**	**31**	**2000**
6	782	19.6	44	2380
7	752	17.0	29	2670
8	**722**	**12.9**	**18**	**3000**
	700	**10.6**	**21**	**3270**
9	695	10.4	22	3330
10	664	7.3	32	3710
	641	**4.5**	**34**	**4000**
11	636	4.1	36	4060
12	610	1.2	35	4400
13	585	−1.4	40	4730
	566	**−2.8**	**48**	**5000**
14	558	−3.4	50	5100
15	535	−5.7	48	5450
16	509	−8.0	42	5830
	500	**−8.9**	**40**	**5975**
	497	**−9.1**	**32**	**6000**
17	483	−10.4	35	6240
18	462	−13.3	30	6570
19	440	−16.8	28	6940
	437	**−17.4**	**27**	**7000**
20	419	−20.0	26	7310
21	395	−23.6	20	7750
	381	**−25.4**	**20**	**8000**
22	374	−26.6	20	8160
23	354	−29.6	20	8540
24	**332**	**−32.2**	**20**	**9000**
25	312	−34.0	20	9420

2. VII. 1952 14.50 h HEC

	1000			**155**
0	962.6	34.0	25	493
1	924	29.2	23	860
	910	**28.1**	**21**	**1000**
2	890	26.6	27	1200
3	860	23.8	28	1500
	850	**23.0**	**26**	**1605**
4	830	21.5	24	1810
	811	**19.4**	**21**	**2000**
5	797	18.9	20	2150
6	766	16.4	30	2490
7	734	12.4	42	2950
	722	**10.9**	**42**	**3000**
8	705	8.9	42	3190
	700	**8.6**	**42**	**3250**
9	682	6.5	42	3460
10	655	4.0	50	3790
	639	**1.7**	**57**	**4000**
11	628	0.7	61	4130
12	605	−2.3	67	4440
13	577	−5.0	82	4810
	563	**−6.8**	**88**	**5000**
14	552	−8.0	93	5160
15	528	−10.9	100	5510
16	507	−14.0	96	5810
	500	**−14.3**	**80**	**5920**
17	480	−15.8	60	6230
	494	**−16.7**	**59**	**6000**
18	455	−18.8	53	6640
19	**432**	**−22.5**	**50**	**7000**
20	410	−25.0	44	7390
21	387	−27.7	42	7810
	377	**−28.6**	—	**8000**
22	360	−30.2	45	8330
23	337	−33.3	40	8800
	327	**−35.5**	—	**9000**
24	317	−38.0	37	9240
	300	**−40.7**	**38**	**9600**
25	293	−41.8	39	9780
	283	**−43.8**	—	**10000**
26	272	−46.0	—	10260
27	254	−49.5	—	10720
	243	**−52.1**	—	**11000**
28	236	−54.2	—	11200
29	**218**	**−57.8**	—	**11700**
	208	**−59.2**	—	**12000**
30	**200**	**−60.1**	—	**12250**
31	182	−60.0	—	12830

3. VII. 1952 14.45 h HEC

	1000			**110**
0	958.3	31.5	35	493
1	927	26.4	35	790
	904	**24.2**	**28**	**1000**
2	893	23.6	25	1100
3	858	20.9	21	1520
	850	**20.7**	**21**	**1555**
4	828	18.2	21	1770
	804	**16.1**	**27**	**2000**
5	800	15.7	29	2060
6	767	12.9	34	2420
7	735	9.6	36	2770
	715	**7.6**	**40**	**3000**
8	713	7.5	41	3025
	700	**5.7**	**42**	**3170**
9	682	3.7	44	3390
10	656	0.0	47	3760
11	**630**	**−3.4**	**48**	**4000**
12	600	−6.6	51	4410
13	570	−9.1	51	4800
	555	**−9.8**	**47**	**5000**
14	542	−10.7	43	5180
15	518	−12.9	35	5610
	500	**−14.3**	**32**	**5810**
	488	**−15.4**	**29**	**6000**
16	486	−15.5	29	6020
17	460	−19.7	29	6440
18	435	−22.2	26	6850
	426	**−23.2**	**27**	**7000**
19	410	−25.0	28	7270
20	384	−27.9	27	7750
	371	**−29.9**	**27**	**8000**
21	362	−31.5	28	8170
22	339	−34.7	22	8640
	321	**−38.2**	**21**	**9000**
23	314	−39.7	20	9170
	300	**−42.0**	—	**9480**
24	290	−43.8	—	9710
	276	**−46.2**	—	**10000**
25	266	−48.0	—	10220
26	248	−51.6	—	10690
	236	**−53.9**	—	**11000**
27	227	−55.5	—	11260
28	209	−60.6	—	11770
	202	**−60.9**	—	**12000**
	200	**−60.0**	—	**12050**
29	192	−61.0	—	12290
30	176	−58.5	—	12770
	170	**−58.2**	—	**13000**
31	162	−57.7	—	13300

4. VII. 1952 14.50 h HEC

	1000			**140**
0	961.8	32.0	30	493
1	921	27.3	35	880
	909	**26.3**	**36**	**1000**
2	881	24.2	38	1260
	850	**21.7**	**46**	**1590**
3	847	21.6	45	1610
4	812	18.5	45	1975
	808	**18.2**	**45**	**2000**
5	779	15.9	43	2320
6	747	11.8	45	2680
7	**717**	**8.2**	**55**	**3000**
	700	**7.0**	**59**	**3230**
8	690	5.4	61	3335
9	663	2.4	70	3660
10	**635**	**0.0**	**56**	**4000**
11	604	−2.3	45	4420
12	580	−4.7	42	4730
	560	**−6.2**	**41**	**5000**
13	558	−6.4	41	5030
14	526	−8.5	41	5490
	500	**−10.7**	**41**	**5890**
15	**493**	**−11.3**	**41**	**6000**
16	469	−14.2	41	6380
17	444	−16.6	41	6780
	431	**−18.2**	**41**	**7000**
18	416	−20.0	41	7270
19	391	−23.3	41	7740
	377	**−25.1**	**41**	**8000**
20	366	−26.7	41	8210
21	339	−30.9	42	8760
	327	**−32.2**	**42**	**9000**
22	314	−34.3	42	9290
	300	**−36.5**	**42**	**9620**
23	289	−37.9	42	9890
	284	**−38.7**	—	**10000**
24	265	−41.7	—	10470
	245	**−44.7**	—	**11000**
25	243	−44.9	—	11050
26	225	−48.9	—	11550
	211	**−50.5**	—	**12000**
27	200	−51.7	—	12320

5. VII. 1952 14.25 h HEC

	1000			**170**
0	964.2	34.5	33	493
1	933	29.5	35	790
	911	**27.0**	**36**	**1000**
2	903	26.3	37	1080
3	874	23.8	40	1370
	850	**20.6**	**44**	**1620**
4	847	20.5	45	1650
5	816	17.6	39	1960
	813	**17.3**	**33**	**2000**
6	775	14.9	39	2400
7	741	12.8	42	2790
	721	**10.7**	**47**	**3000**
8	713	10.0	52	3100
	700	**8.3**	**48**	**3260**
9	686	6.8	45	3420
10	660	4.5	37	3740
	639	**2.7**	**34**	**4000**
11	634	2.5	33	4060
12	612	0.0	32	4340
13	579	−2.0	32	4800
	563	**−3.3**	**32**	**5000**
14	550	−4.6	32	5200
15	523	−8.7	33	5580
	500	**−10.8**	**33**	**5940**
	496	**−11.1**	**33**	**6000**
17	467	−14.7	34	6450
18	442	−16.0	32	6870
	435	**−17.2**	**32**	**7000**
19	417	19.6	33	7310
20	393	−21.9	34	7740
	380	**−24.7**	**34**	**8000**
21	373	−25.8	35	8120
22	354	−29.2	36	8510
23	331	−33.6	37	8980
	330	**−33.8**	**38**	**9000**
24	310	−37.0	41	9440
	300	**−38.8**	—	**9660**
25	288	−41.0	—	9940
	286	**−41.4**	—	**10000**
26	266	−44.2	—	10480
27	**246**	**−48.7**	—	**11000**
28	229	−53.1	—	11460
29	**211**	**−57.3**	—	**12000**
	200	**−59.3**	—	**12335**
30	193	−60.3	—	12540

7. VII. 1952 15.00 h HEC

	1000			**140**
0	961.2	31.0	38	493
1	**910**	**28.0**	**40**	**1000**
2	874	24.8	46	1350
	850	**22.9**	**50**	**1595**
3	841	22.3	53	1675
4	**810**	**19.2**	**65**	**2000**
5	778	16.0	77	2340
6	750	13.4	77	2660
7	726	11.0	54	2930
	720	**10.5**	**50**	**3000**
	700	**9.2**	**50**	**3240**
8	690	8.7	49	3340
9	661	5.0	63	3710
	638	**2.3**	**47**	**4000**
	630	1.7	44	4100
11	603	−0.7	45	4440
12	577	−3.8	47	4800
	563	**−5.5**	**51**	**5000**
13	551	−6.2	53	5160
14	524	−7.6	41	5550
	500	**−10.6**	**49**	**5915**
15	495	−11.0	52	5980
	494	**−11.3**	**51**	**6000**
16	471	−13.8	45	6370
17	448	−16.5	48	6760
	433	**−18.5**	**47**	**7000**
18	422	−19.7	46	7190
19	400	−22.6	48	7790
	378	**−25.3**	**45**	**8000**
20	374	−25.6	43	8090
21	352	−29.2	43	8530
22	**330**	**−31.9**	**43**	**9000**
23	308	−36.6	43	9470
	300	**−37.9**	**43**	**9650**
24	**286**	**−40.6**	**43**	**10000**
25	269	−43.4	—	10400
26	247	−46.6	—	10960
	245	**−47.0**	—	**11000**
27	228	−49.4	—	11480
	211	**−54.2**	—	**12000**
28	210	−54.2	—	12080
	200	**−56.4**	—	**12330**
29	188	−58.8	—	12730
	180	**−59.9**	—	**13000**
30	171	**−61.0**	—	**13320**

8. VII. 1952 14.50 h HEC

	1000			**150**
0	961.4	27.5	44	493
1	924	24.5	46	880
	906	**22.8**	**46**	**1000**
2	892	21.5	45	1140

Min.	PPP	TTT	UU	H m. geop.
3	860	19.0	46	1440
	850	**18.3**	**54**	**1560**
4	831	16.5	75	1740
	806	**14.3**	**81**	**2000**
5	803	14.0	84	2040
6	775	12.5	65	2330
7	749	11.3	67	2620
8	729	8.8	68	2840
	715	**7.3**	**70**	**3000**
9	**700**	**5.3**	**71**	**3190**
10	670	2.3	68	3525
11	645	−0.9	59	3820
	632	**−1.6**	**59**	**4000**
12	611	−4.5	58	4260
13	585	−6.9	50	4600
14	558	−9.0	45	4970
	556	**−9.3**	**43**	**5000**
15	533	−10.6	34	5325
16	504	−11.8	32	5750
	500	**−12.4**	**32**	**5810**
	487	**−13.8**	**31**	**6000**
17	480	−14.7	31	6130
18	453	−16.0	31	6560
19	**427**	**−19.7**	**31**	**7000**
20	405	−22.9	31	7390
21	380	−27.3	21	7850
	372	**−28.7**	—	**8000**
22	359	−30.8	32	8260
23	337	−35.6	33	8700
	323	**−37.6**	**34**	**9000**
24	312	−39.0	34	9220
	300	**−41.0**	—	**9500**
25	290	−42.5	—	9740
	278	**−44.9**	—	**10000**
26	267	−47.1	—	10290
27	246	−51.6	—	10820
	239	**−53.2**	—	**11000**
28	227	−56.0	—	11330
29	209	−59.6	—	11850
	204	**−60.1**	—	**12000**
	200	**−60.5**	—	**12130**
30	191	−61.9	—	12420
31	174	−63.0	—	12680

9. VII. 1952 14.50 h HEC

	1000	—	—	**190**
0	963.8	22.5	48	493
1	920	18.3	60	910
	909	**17.5**	**72**	**1000**
2	887	15.3	85	1220
3	852	11.9	95	1560
	850	**11.9**	**96**	**1580**
4	819	9.4	98	1870
	807	**8.4**	**100**	**2000**
5	785	6.6	100	2220
6	754	4.0	100	2580
7	727	2.2	100	2850
	715	**1.3**	**100**	**3000**
	700	**0.7**	**100**	**3170**
8	694	0.4	100	3240
9	661	−1.0	82	3630
10	**630**	**−4.3**	**91**	**4000**
11	598	−7.3	90	4410
12	570	−8.8	88	4800
	554	**−10.2**	**70**	**5000**
13	539	−11.3	62	5230
14	508	−13.3	40	5680
	500	**−13.8**	**35**	**5800**
	486	**−14.8**	**29**	**6000**
15	475	−15.8	26	6200
16	449	−19.2	35	6600
	425	**−22.0**	**43**	**7000**
17	421	−22.4	45	7080
18	392	−26.6	53	7610
	370	**−29.2**	**45**	**8000**
19	363	−30.0	48	8160
20	337	−33.7	43	8680
	322	**−36.8**	**41**	**9000**
21	314	−38.5	41	9170
	300	**−41.0**	—	**9490**
22	291	−42.6	—	9690
	278	**−44.3**	—	**10000**
23	268	−45.8	—	10240
24	246	−48.1	—	10810
	239	**−48.8**	—	**11000**
25	227	−50.3	—	11340
26	206	−50.9	—	11960
	205	**−50.9**	—	**12000**
	200	**−50.9**	—	**12160**
27	187	−50.9	—	12600

10. VII. 1952 15.00 h HEC

	1000	—	—	**240**
0	966.7	24.8	44	493
1	934	19.3	55	790
	910	**17.4**	**60**	**1000**
2	896	16.1	70	1150
3	859	13.3	87	1510
	850	**12.4**	**89**	**1605**
4	823	10.3	95	1860
	809	**9.4**	**44**	**2000**
5	784	7.7	93	2270
6	749	4.5	100	2650
	716	**3.3**	**100**	**3000**
7	714	2.9	100	3040
	700	**3.0**	**60**	**3210**
8	679	3.2	36	3440
9	647	3.0	40	3840
	632	**1.7**	**41**	**4000**
10	620	0.0	42	4180
11	591	−3.4	37	4560
12	565	−6.4	39	4910
	559	**−6.9**	**39**	**5000**
13	538	−9.2	39	5310
14	511	−11.4	34	5700
	500	**−12.5**	**34**	**5860**
	490	**−13.2**	**33**	**6000**
15	484	−13.7	33	6110
16	456	−16.2	33	6560
17	429	−19.0	33	7000
18	400	−22.3	33	7540
	375	**−25.3**	**33**	**8000**
19	373	−25.6	33	8040
20	346	−28.7	33	8600
	326	**−32.5**	**33**	**9000**
21	325	−33.0	33	9070
22	305	−36.0	32	9480
	300	**−37.3**	**32**	**9600**
	281	**−40.5**	—	**10000**
23	281	−40.7	—	10040
24	258	−44.9	—	10620
	243	**−47.2**	—	**11000**
25	237	−47.9	—	11170
26	216	−51.2	—	11790
	208	**−52.5**	—	**12000**
27	200	−53.8	—	12280
28	185	−55.6	—	12760
	179	**−55.3**	—	**13000**
29	174	−54.8	—	13170
30	166	−53.3	—	13460
31	159	−52.6	—	13740
22	**153**	**−53.2**	—	**14000**
33	150	−48.5	—	14110
34	147	−47.1	—	14250
35	145	−44.3	—	14340

11. VII. 1952 14.40 h HEC

	1000	—	—	**170**
0	964.2	26.6	40	493
1	918	22.0	51	910
	910	**21.0**	**54**	**1000**
2	881	17.8	60	1280
	850	**14.4**	**68**	**1585**
3	845	13.7	70	1630
4	812	10.0	83	1970
	809	**9.6**	**84**	**2000**
5	777	7.1	90	2330
6	747	6.1	57	2640
7	**716**	**3.9**	**43**	**3000**
	700	**2.6**	**43**	**3180**
8	684	1.5	43	3560
9	652	0.0	40	3750
	632	**−0.8**	**40**	**4000**
10	620	−1.1	40	4160
11	591	−2.7	35	4540
12	561	−5.6	35	4950
	557	**−5.8**	**36**	**5000**
13	533	−9.0	38	5370
14	**500**	**−12.4**	**41**	**5840**
	490	**−13.3**	**41**	**6000**
15	474	−15.0	43	6250
16	445	−19.1	45	6730
	428	**−21.3**	**43**	**7000**
17	417	−27.9	41	7190
18	394	−25.6	40	7600
	373	**−29.2**	**40**	**8000**
19	369	−29.8	40	8080
20	344	−34.7	40	8590
	324	**−37.6**	**40**	**9000**
21	321	−38.2	40	9070
	300	**−41.4**	—	**9530**
22	297	−42.0	—	9590
	280	**−44.7**	—	**10000**
23	278	−45.5	—	10150
24	250	−49.1	—	10740
	240	**−50.3**	—	**11000**
25	226	−51.9	—	11390
26	210	−54.2	—	11850
	206	**−54.7**	—	**12000**
	200	**−55.3**	—	**12190**
27	192	−55.9	—	12450
	176	**−57.3**	—	**13000**
28	174	−57.5	—	13060

12. VII. 1952 14.30 h HEC

	1000	—	—	**145**
0	961.1	25.0	60	493
1	915	21.6	50	920
	907	**21.0**	**25**	**1000**
2	873	18.8	55	1320
	850	**16.7**	**58**	**1560**
3	840	15.6	60	1660
	807	**12.1**	**63**	**2000**
4	805	11.8	64	2020
5	773	8.9	67	2350
6	737	6.0	73	2740
	715	**3.9**	**75**	**3000**
7	**700**	**2.6**	**76**	**3170**
8	665	−0.7	90	3570
	631	**−4.4**	**89**	**4000**
9	623	−5.0	88	4090
10	604	−4.4	53	4340
11	567	−7.7	32	4840
	555	**−8.5**	**35**	**5000**
12	537	−9.9	38	5240
13	504	−11.5	52	5730
	500	**−12.1**	**55**	**5810**
	488	**−13.3**	**60**	**6000**
14	476	−14.4	70	6180
15	446	−17.6	45	6660
	427	**−19.7**	**40**	**7000**
16	418	−20.6	34	7170
17	390	−23.9	34	7660
	372	**−25.9**	**35**	**8000**
18	359	−27.6	36	8260
19	331	−31.0	40	8830
	324	**−31.9**	**40**	**9000**
20	305	−33.8	40	9410
	300	**−35.0**	**40**	**9540**
21	283	−38.5	44	9960
	281	**−38.8**	—	**10000**
22	260	−42.4	—	10520
23	**241**	**−46.4**	—	**11000**
24	225	−50.9	—	11480
25	**207**	**−54.7**	—	**12000**
	200	**−56.8**	—	**12240**

14. VII. 1952 14.40 h HEC

	1000	—	—	**110**
0	957.6	26.5	40	493
1	910	21.0	51	940
	903	**20.5**	**55**	**1000**
2	863	16.9	63	1400
	850	**15.5**	**67**	**1535**
3	817	12.0	74	1860
	803	**10.5**	**80**	**2000**
4	779	8.2	85	2260
5	739	6.0	98	2690
6	714	3.3	63	2970
	711	**3.6**	**60**	**3000**
	700	**2.1**	**56**	**3145**
7	681	0.7	54	3350
8	648	−1.2	60	3750
	628	**−2.8**	**64**	**4000**
9	618	−3.3	69	4130
10	585	−6.0	79	4570
11	558	−8.3	69	4930
	553	**−8.6**	**65**	**5000**
12	528	−10.8	39	5370
	500	**−12.6**	**35**	**5780**
13	495	−12.9	34	5860
	485	**−13.9**	**36**	**6000**
14	470	−15.7	37	6250
15	443	−18.0	32	6690
	425	**−19.5**	**27**	**7000**
16	417	−20.1	25	7130
17	393	−23.7	38	7580
	371	**−27.2**	**43**	**8000**
18	368	−27.6	47	8050
19	345	−31.9	50	8520
20	**321**	**−36.7**	**53**	**9000**
21	**300**	**−41.3**	—	**9495**
22	**278**	**−45.5**	—	**10000**
23	256	−48.7	—	10540
24	**238**	**−51.0**	—	**11000**
25	222	−52.7	—	11440
26	**204**	**−51.7**	—	**12000**
	200	**−51.7**	—	**12150**
27	187	−51.5	—	12590
	175	**−52.2**	—	**13000**
28	170	−52.6	—	13200
29	156	−52.6	—	13760

15. VII. 1952 14.50 h HEC

	1000			**115**
0	958.8	25.0	35	493
1	913	19.8	40	920
	903	**19.0**	**43**	**1000**
2	865	15.2	57	1370
	850	**13.6**	**60**	**1550**
3	821	10.4	73	1800
	802	**9.0**	**80**	**2000**
4	779	7.0	90	2240
5	736	4.5	88	2710
	710	**2.1**	**86**	**3000**
6	704	1.7	85	3070
	700	**1.3**	**87**	**3125**
7	670	−0.8	100	3460
8	640	−3.8	100	3830
	627	**−5.0**	**100**	**4000**
9	610	−6.3	100	4210
10	574	−8.5	76	4690
	551	**−10.2**	**55**	**5000**
11	543	−10.7	52	5120
12	515	−12.0	26	5520
	500	**−13.3**	**18**	**5750**
13	487	−14.5	15	5950
	484	**−14.9**	**15**	**6000**
14	461	−17.3	15	6350
15	437	−19.9	20	6750
	423	**−21.5**	**19**	**7000**
16	412	−22.7	18	7190
17	388	−25.3	19	7640
	369	**−28.8**	**20**	**8000**
18	362	−29.6	20	8120
19	339	−33.6	20	8600
	320	**−36.8**	**20**	**9000**
20	312	−38.2	20	9160
	300	**−40.0**	**20**	**9430**
21	289	−41.9	—	9690
	276	**−44.7**	—	**10000**
22	267	−46.7	—	10280
23	245	−50.4	—	10790
	238	**−51.0**		**11000**
24	223	−51.9	—	11390
25	206	−52.6	—	11910
	203	**−52.0**		**12000**
	200	**−51.3**		**12160**
26	192	−49.0	—	12870

Min.	PPP	TTT	UU	H m. geop.
16. VII. 1952 14.50 h HEC				
	1000	—	—	**195**
0	962.1	20.0	55	493
1	915	15.2	79	930
	907	**14.4**	**83**	**1000**
2	873	10.7	98	1315
	850	**9.5**	**99**	**1550**
3	834	8.8	100	1700
	804	**8.0**	**100**	**2000**
4	796	7.8	100	2090
5	760	7.5	88	2470
6	729	6.6	56	2810
	712	**5.4**	**50**	**3000**
	700	**4.7**	**45**	**3150**
7	695	4.5	44	3200
8	657	2.5	39	3650
	630	**–0.2**	**40**	**4000**
9	626	–0.6	42	4050
10	592	–4.0	44	4490
11	563	–7.0	41	4890
	555	**–7.7**	**40**	**5000**
12	530	–9.8	39	5350
	500	**–13.5**	**42**	**5790**
13	497	–13.9	43	5840
	486	**–15.2**	**46**	**6000**
14	471	–16.8	49	6240
15	439	–19.5	50	6780
	426	**–21.2**	**52**	**7000**
16	410	–22.9	54	7270
17	385	–26.6	56	7740
	371	**–29.0**	**56**	**8000**
18	360	–30.9	56	8220
19	338	–35.3	54	8860
	322	**–37.8**	**54**	**9000**
20	312	–39.5	53	9200
	300	**–41.1**	—	**9420**
21	284	–43.4	—	9850
	278	**–44.3**	—	**10000**
22	260	–47.1	—	10440
23	240	–48.7	—	10970
	239	**–48.1**	—	**11000**
24	216	–47.0	—	11660
	206	**–47.0**	—	**12000**
	200	**–47.0**	—	**12170**
25	195	–47.0	—	12340
26	179	–47.0	—	12910
	177	**–47.0**	—	**13000**
27	165	–47.0	—	13450
17. VII. 1952 14.45 h HEC				
	1000	—	—	**140**
0	959.7	27.0	33	493
1	925	22.7	37	825
	905	**20.8**	**41**	**1000**
2	883	18.7	44	1210
	850	**13.7**	**51**	**1545**
3	840	12.4	55	1640
4	**804**	**7.8**	**64**	**2000**
5	771	5.8	69	2350
6	741	5.6	33	2680
	712	**4.3**	**42**	**3000**
7	709	4.4	42	3040
	700	**3.9**	**43**	**3140**
8	677	2.5	45	3400
9	648	0.3	43	3760
	629	**–1.7**	**46**	**4000**
10	617	–3.0	50	4160
11	590	–6.2	47	4510
12	558	–7.8	42	4940
	554	**–8.2**	**40**	**5000**
13	530	–10.3	31	5340
14	**500**	**–12.8**	**26**	**5790**
	486	**–14.3**	**25**	**6000**
15	476	–15.3	24	6160
16	451	–18.4	26	6570
17	**425**	**–21.2**	**28**	**7000**
18	398	–24.6	27	7500
19	373	–28.4	27	7960
	371	**–29.8**	**27**	**8000**
20	347	–33.5	25	8475
	321	**–37.1**	**30**	**9000**
21	320	–37.2	30	9040
	300	**–40.8**	—	**9480**
22	293	–42.3	—	9650
	277	**–45.3**	—	**10000**
23	271	–46.6	—	10160
24	250	–49.5	—	10700
	238	**–50.6**	—	**11000**
25	228	–51.2	—	11300
26	208	–51.2	—	11880
	205	**–51.2**	—	**12000**
	200	**–51.2**	—	**12150**
27	188	–51.2	—	12550
18. VII. 1952 14.50 h HEC				
	1000	—	—	**165**
0	959.7	24.5	30	493
1	917	18.5	33	900
	906	**17.5**	**35**	**1000**
2	883	15.2	38	1215
	850	**12.6**	**45**	**1555**
3	847	12.2	47	1580
4	817	8.8	56	1870
	805	**7.9**	**61**	**2000**
5	782	6.1	72	2230
6	750	3.2	82	2560
7	717	0.8	72	2930
	711	**0.4**	**68**	**3000**
	700	**–0.3**	**63**	**3135**
8	679	–1.2	59	3370
9	648	–2.8	70	3810
	627	**–4.0**	**65**	**4000**
10	606	–5.7	60	4280
11	575	–7.9	82	4680
	552	**–9.1**	**80**	**5000**
12	545	–9.3	79	5100
13	513	–12.2	92	5570
	500	**–13.5**	**95**	**5760**
14	**483**	**–15.2**	**97**	**6000**
15	455	–18.5	100	6470
16	**422**	**–21.4**	**100**	**7000**
17	393	–24.6	100	7550
18	**368**	**–28.4**	**95**	**8000**
19	342	–32.7	97	8550
	331	**–35.1**	**97**	**9000**
20	319	–36.0	97	9030
	300	**–39.5**	**97**	**9450**
21	294	–40.8	—	9610
	277	**–43.7**	—	**10000**
22	269	–45.3	—	10250
23	248	–49.4	—	10730
	238	**–51.6**	—	**11000**
24	226	–54.4	—	11340
25	**204**	**–54.4**	—	**12000**
	200	**–54.4**	—	**12110**
26	183	–53.6	—	12700
19. VII. 1952 14.10 h HEC				
	1000	—	—	**160**
0	963.5	22.0	43	493
1	917	15.9	62	920
	907	**14.9**	**66**	**1000**
2	879	11.6	78	1270
	850	**7.4**	**84**	**1545**
3	843	6.5	86	1620
4	810	2.6	100	1940
	804	**2.0**	**100**	**2000**
	784	–0.1	100	2200
5	771	1.3	100	2340
6	738	3.9	76	2690
	710	**1.5**	**53**	**3000**
7	703	1.1	48	3090
	700	**1.0**	**46**	**3120**
8	669	0.3	32	3480
9	638	–1.7	27	3870
	627	**–2.0**	**25**	**4000**
10	608	–2.7	20	4320
11	569	–5.6	20	4770
	552	**–6.6**	**20**	**5000**
12	533	–8.1	20	5270
13	**500**	**–10.7**	**20**	**5770**
	485	**–12.5**	**24**	**6000**
14	474	–14.3	27	6180
15	448	–17.7	32	6610
	425	**–20.2**	**45**	**7000**
16	418	–21.1	50	7110
17	391	–25.3	60	7600
	370	**–28.2**	**60**	**8000**
18	364	–29.4	60	8130
19	340	–35.3	57	8610
	321	**–38.2**	**53**	**9000**
20	313	–39.7	51	9180
	300	**–42.5**	—	**9460**
21	291	–44.6	—	9670
	277	**–46.6**	—	**10000**
22	263	–48.7	—	10340
23	240	–48.2	—	10950
	238	**–48.0**	—	**11000**
24	221	–46.2	—	11490
	204	**–45.1**	—	**12000**
25	203	–45.1	—	12050
	200	**–45.0**	—	**12140**
21. VII. 1952 15.05 h HEC				
	1000	—	—	**120**
0	959.5	27.5	37	493
1	913	22.6	39	930
	905	**21.9**	**40**	**1000**
2	865	18.7	44	1400
	850	**17.2**	**46**	**1540**
3	826	14.9	49	1790
	805	**13.2**	**43**	**2000**
4	782	11.1	38	2250
5	741	8.1	48	2700
	714	**5.7**	**42**	**3000**
6	704	4.7	39	3120
	700	**4.4**	**40**	**3155**
7	676	1.7	44	3450
8	647	–1.5	20	3790
	630	**–3.6**	**31**	**4000**
9	613	–6.0	42	4210
10	582	–8.4	61	4630
	554	**–9.9**	**65**	**5000**
11	543	–10.6	67	5160
12	509	–12.1	65	5660
	500	**–12.9**	**61**	**5790**
	486	**–14.3**	**58**	**6000**
13	475	–15.7	52	6180
14	447	–18.3	28	6640
	425	**–20.4**	**24**	**7000**
15	418	–21.4	22	7140
16	394	–25.6	40	7570
	373	**–28.3**	**44**	**8000**
17	364	–29.2	46	8140
18	337	–32.9	42	8680
	322	**–35.4**	**42**	**9000**
19	314	–36.8	42	9170
	300	**–38.7**	**42**	**9490**
20	285	–41.9	—	9840
	278	**–42.6**	—	**10000**
21	264	–46.6	—	10360
22	240	–50.2	—	10980
22. VII. 1952 14.50 h HEC				
	1000	—	—	**120**
0	958.2	28.0	30	493
1	915	22.1	41	900
	905	**21.0**	**42**	**1000**
2	870	17.9	49	1340
	850	**15.9**	**55**	**1530**
3	824	12.7	61	1800
	804	**10.5**	**72**	**2000**
4	779	7.5	82	2270
5	744	5.8	73	2650
	712	**2.6**	**78**	**3000**
6	709	2.4	79	3040
	700	**1.9**	**79**	**3130**
7	668	–0.8	79	3510
8	**627**	**–4.5**	**84**	**4000**
9	586	–7.5	84	4560
	552	**–11.0**	**89**	**5000**
10	550	–11.2	90	5040
11	522	–14.2	86	5440
	509	**–16.5**	**74**	**5760**
12	492	–17.3	70	5880
	484	**–17.9**	**69**	**6000**
13	458	–20.6	65	6410
14	428	–23.7	63	6920
	423	**–24.3**	**64**	**7000**
15	397	–27.6	69	7480
	368	**–32.3**	**70**	**8000**
16	366	–32.3	70	8040
17	343	–37.3	65	8500
	318	**–41.2**	**62**	**9000**
18	316	–41.8	—	9050
	300	**–44.1**	—	**9400**
19	289	–46.5	—	9720
	274	**–49.3**	—	**10000**
20	264	–52.2	—	10240
21	240	–56.3	—	10850
23. VII. 1952 14.50 h HEC				
	1000	—	—	**115**
0	957.3	28.5	35	493
1	915	25.4	37	890
	906	**24.2**	**38**	**1000**
2	890	22.2	38	1130
3	863	19.5	42	1400
	850	**17.3**	**43**	**1540**
4	837	15.4	44	1700
5	810	12.9	49	1940
	805	**12.1**	**52**	**2000**
6	780	8.5	66	2260
7	748	6.4	48	2600
8	715	3.6	44	2970
	713	**3.5**	**44**	**3000**
	700	**3.0**	**44**	**3150**
9	678	2.3	43	3390
10	647	–0.7	37	3770
	630	**–2.3**	**38**	**4000**
11	615	–3.3	39	4480
12	582	–5.8	40	4620
13	**553**	**–8.1**	**38**	**5000**
14	527	–10.5	36	5370
15	**500**	**–12.7**	**38**	**5780**
	487	**–13.8**	**37**	**6000**
16	479	–14.3	36	6110
17	454	–17.2	36	6520
18	430	–21.2	36	6930
	426	**–21.8**	**36**	**7000**
19	405	–24.8	36	7360
20	377	–28.3	36	7870
	372	**–29.7**	**36**	**8000**
21	352	–34.0	36	8370
22	329	–37.9	36	8830
	322	**–39.3**	—	**9000**
23	307	–41.8	—	9300
	300	**–42.9**	—	**9460**
24	282	–46.0	—	9870
	277	**–46.7**	—	**10000**
25	257	–49.7	—	10240
	238	**–53.3**	—	**11000**
26	**234**	**–54.0**	—	**11100**
27	216	–58.6	—	11610
	203	**–59.2**	—	**12000**
	200	**–59.2**	—	**12100**
28	193	–59.5	—	12320
24. VII. 1952 15.00 h HEC				
	1000	—	—	**115**
0	957.7	24.6	40	493
1	930	22.2	41	760
	903	**20.5**	**42**	**1000**
2	897	20.0	42	1070
3	866	16.6	44	1370
	850	**12.8**	**45**	**1530**
4	840	11.2	46	1630
5	810	9.2	48	1940
	803	**8.8**	**51**	**2000**
6	774	8.4	55	2310
7	742	8.1	69	2660
	711	**7.5**	**65**	**3000**
8	704	7.5	63	3080
	700	**7.3**	**61**	**3135**
9	665	6.6	54	3560

Min.	PPP	TTT	UU	H m. geop.
10	633	4.4	42	3970
	630	**4.1**	**40**	**4000**
11	600	0.5	32	4400
12	566	−3.4	30	4860
	555	**−4.2**	**30**	**5000**
13	530	−6.8	30	5380
	500	**−10.2**	**32**	**5830**
14	497	−10.6	36	5870
	489	**−11.7**	**40**	**6000**
15	470	−14.2	42	6300
16	443	−17.4	36	6740
	428	**−18.7**	**35**	**7000**
17	416	−19.7	34	7230
18	393	−22.6	40	7560
	374	**−25.2**	**43**	**8000**
19	368	−25.9	45	8150
20	344	−29.2	50	8610
	325	**−31.2**	**50**	**9000**
21	320	−32.1	50	9120
	300	**−35.8**	**50**	**9570**
22	297	−36.0	50	9640
	281	**−38.7**	**50**	**10000**
23	276	−39.5	50	10160
24	253	−43.4	—	10740
	243	**−46.2**	—	**11000**
25	234	−48.7	—	11260
26	216	−54.4	—	11790
	209	**−55.2**	—	**12000**
27	**200**	**−56.6**	—	**12270**
28	180	−54.5	—	12950

25. VII. 1952 14.50 h HEC

	1000	—	—	**130**
0	959.0	23.0	43	493
1	925	18.8	48	810
	903	**16.6**	**52**	**1000**
2	892	15.8	54	1090
3	858	12.4	52	1440
	850	**12.0**	**46**	**1530**
4	821	10.9	30	1810
	803	**10.5**	**29**	**2000**
5	787	10.3	29	2160
6	743	8.6	18	2630
7	713	5.5	20	2980
	711	**5.4**	**20**	**3000**
	700	**4.4**	**20**	**3150**
8	680	3.2	20	3350
9	644	1.6	20	3800
	629	**0.9**	**18**	**4000**
10	610	0.3	16	4240
11	576	−3.0	20	4690
	554	**−5.6**	**26**	**5000**
12	547	−6.3	29	5090
13	520	−9.2	34	5500
	500	**−10.6**	**36**	**5800**
14	486	−11.4	38	6000
15	460	−13.7	35	6440
16	432	−17.9	43	6910
	426	**−18.7**	**46**	**7000**
17	408	−21.0	50	7330
18	384	−25.0	58	7770
	372	**−26.5**	**55**	**8000**
19	357	−28.3	50	8310
20	330	−32.2	43	8870
	323	**−33.3**	**42**	**9000**
21	306	−36.7	40	9380
	300	**−37.8**	—	**9530**
22	286	−40.6	—	9860
	281	**−41.8**	—	**10000**
23	264	−45.5	—	10400
24	242	−47.7	—	10930
	241	**−47.9**	—	**11000**
25	222	−54.0	—	11530
	207	**−55.9**	—	**12000**
26	203	−56.4	—	12110
	200	**−56.7**	—	**12200**

26. VII. 1952 14.15 h HEC

	1000	—	—	**160**
0	958.2	25.3	33	493
1	941	22.0	34	640
2	**902**	**19.5**	**35**	**1000**
3	870	16.1	35	1320
	850	**14.9**	**32**	**1540**
4	828	14.0	30	1740
	803	**12.8**	**26**	**2000**
5	793	12.4	25	2110
6	756	8.9	26	2500
7	721	5.9	35	2890
	711	**5.4**	**35**	**3000**
	700	**4.9**	**34**	**3055**
8	683	4.3	34	3340
9	646	2.2	32	3780
	628	**0.8**	**30**	**4000**
10	611	−0.4	27	4240
11	578	−2.9	27	4670
12	**553**	**−4.7**	**27**	**5000**
13	528	−7.8	27	5390
14	504	−11.5	27	5740
	500	**−12.2**	**27**	**5820**
	488	**−13.6**	**27**	**6000**
15	481	−14.5	27	6110
16	450	−16.3	28	6610
	427	**−18.7**	**32**	**7000**
17	423	−19.0	33	7070
18	398	−21.5	38	7520
19	**373**	**−24.7**	**41**	**8000**
20	347	−28.0	41	8520
21	**324**	**−31.7**	**38**	**9000**
22	302	−35.5	38	9500
	300	**−36.2**	**38**	**9555**
23	284	−39.1	38	9920
	281	**−39.8**	**38**	**10000**
24	263	−44.2	—	10450
	242	**−47.8**	—	**11000**
25	241	−48.0	—	11040
26	218	−52.8	—	11680
	208	**−54.3**	—	**12000**
27	**200**	**−55.1**	—	**12240**
28	186	−59.3	—	12690

28. VII. 1952 15.10 h HEC

	1000	—	—	**080**
0	952.1	14.0	100	493
1	918	10.9	100	790
	896	**9.5**	**100**	**1000**
2	875	8.2	100	1200
	850	**6.4**	**100**	**1450**
3	829	5.6	100	1630
	793	**3.6**	**100**	**2000**
4	790	3.5	100	2040
5	755	1.4	100	2430
6	720	−1.9	100	2800
	700	**−2.5**	**100**	**3000**
7	686	−3.1	100	3170
8	652	−6.2	100	3570
9	**617**	**−9.5**	**100**	**4000**
10	585	−9.7	100	4410
11	557	−11.7	100	4790
	542	**−13.1**	**100**	**5000**
12	528	−14.3	100	5190
	500	**−18.1**	**100**	**5600**
13	492	−18.8	100	5750
	474	**−20.2**	**100**	**6000**
14	460	−21.3	100	6220
15	429	−24.0	92	6740
	414	**−25.5**	**94**	**7000**
16	403	−26.6	96	7200
17	377	−32.1	96	7670
	359	**−34.9**	**95**	**8000**
18	353	−35.5	94	8120
19	326	−37.9	90	8680
	311	**−40.8**	—	**9000**
20	**300**	**−42.8**	—	**9240**
21	276	−46.8	—	9800
	268	**−47.7**	—	**10000**
22	256	−48.8	—	10310
23	234	−52.3	—	10880
	230	**−52.5**	—	**11000**
24	215	−53.5	—	11420
	200	**−55.0**	—	**11900**

29. VII. 1952 14.50 h HEC

	1000	—	—	**140**
0	958.3	20.0	40	493
	904	**14.2**	**48**	**1000**
1	896	13.8	55	1070
	850	**8.1**	**61**	**1520**
2	839	7.2	64	1630
	801	**3.6**	**68**	**2000**
3	796	2.8	70	2060
4	760	0.7	63	2430
5	723	−0.2	55	2830
	706	**−1.6**	**56**	**3000**
	700	**−1.9**	**56**	**3100**
6	684	−3.1	57	3260
7	650	−4.0	55	3670
	623	**−7.0**	**54**	**4000**
8	614	−7.8	54	4120
9	580	−10.4	58	4570
	547	**−14.5**	**60**	**5000**
10	545	−14.6	60	5040
11	511	−18.1	58	5510
	500	**−19.7**	**57**	**5690**
12	481	−22.0	55	5960
	479	**−22.4**	**54**	**6000**
13	449	−24.7	50	6470
14	423	−27.5	47	6900
	417	**−28.3**	**48**	**7000**
15	397	−31.5	49	7360
16	370	−35.5	56	7860
	362	**−37.0**	**56**	**8000**
17	344	−40.5	—	8370
18	318	−43.5	—	8890
	312	**−44.4**	—	**9000**
	300	**−45.8**	—	**9275**
19	296	−46.3	—	9380
20	272	−48.9	—	9930
	269	**−48.9**	—	**10000**
21	246	−48.8	—	10590

30. VII. 1952 14.45 h HEC

	1000	—	—	**115**
0	961.7	25.0	40	493
	908	**17.5**	**46**	**1000**
1	900	16.6	47	1085
2	**850**	**11.5**	**58**	**1515**
	806	**8.6**	**68**	**2000**
3	795	8.0	72	2120
4	750	4.5	74	2590
5	**714**	**3.5**	**49**	**3000**
	700	**2.2**	**42**	**3120**
6	680	0.2	40	3400
7	647	−1.2	34	3790
	629	**−3.3**	**35**	**4000**
8	613	−5.3	35	4200
9	582	−8.9	43	4620
10	**554**	**−11.4**	**39**	**5000**
11	527	−12.5	41	5370
12	**500**	**−15.4**	**47**	**5630**
	485	**−17.9**	**50**	**6000**
13	471	−18.0	52	6220
14	443	−20.7	47	6690
	424	**−23.2**	**48**	**7000**
15	416	−24.3	48	7140
16	392	−27.5	48	7570
	369	**−31.2**	**46**	**8000**
17	367	−31.7	46	8050
18	343	−34.7	49	8530
19	**320**	**−39.1**	**50**	**9000**
	300	**−42.1**	—	**9420**
20	296	−42.8	—	9540
	276	**−47.0**	—	**10000**
21	274	−47.5	—	10030
22	252	−50.4	—	10600

31. VII. 1952 14.45 h HEC

	1000	—	—	**155**
0	960.8	25.0	30	493
1	930	18.2	38	760
	904	**15.5**	**41**	**1000**
2	892	14.2	42	1120
3	**850**	**12.7**	**49**	**1530**
4	814	8.0	53	1900
	803	**7.0**	**57**	**2000**
5	776	4.5	61	2280
6	740	1.7	72	2670
	710	**1.2**	**40**	**3000**
7	703	0.8	36	3080
	700	**0.7**	**35**	**3115**
8	670	−0.7	32	3460
9	642	−4.0	30	3800
	625	**−5.8**	**34**	**4000**
10	610	−7.8	37	4200
11	576	−9.7	46	4640
	550	**−11.2**	**39**	**5000**
12	544	−11.5	36	5090
13	516	−14.7	32	5500
	500	**−16.0**	**32**	**5730**
14	489	−16.9	32	5910
	482	**−17.7**	**33**	**6000**
15	463	−19.8	35	6310
16	435	−21.8	31	6760
	421	**−23.4**	**28**	**7000**
17	412	−24.3	25	7160
18	384	−26.8	24	7680
	367	**−29.2**	**24**	**8000**
19	357	−30.4	24	8200
20	332	−35.2	25	8710
	318	**−38.2**	**25**	**9000**
21	310	−39.9	26	9180
	300	**−41.6**	—	**9400**
22	288	−43.7	—	9680
	275	**−45.5**	—	**10000**
23	267	−46.8	—	10190
24	246	−50.8	—	10720
	236	**−53.2**	—	**11000**
25	226	−55.5	—	11275

1. VIII. 1952 14.25 h HEC

	1000	—	—	**130**
0	956.6	27.0	25	493
1	915	22.2	25	900
	905	**20.6**	**27**	**1000**
2	877	17.4	30	1250
	850	**14.4**	**37**	**1540**
3	843	14.0	39	1580
4	808	11.0	40	1940
	803	**10.3**	**39**	**2000**
5	772	7.9	37	2325
6	738	4.8	47	2680
	711	**3.9**	**49**	**3000**
	700	**3.5**	**49**	**3135**
7	687	3.2	50	3270
8	655	0.4	39	3650
9	632	−3.4	30	3930
	628	**−3.5**	**31**	**4000**
10	601	−4.9	33	4340
11	571	−7.0	32	4750
	553	**−8.4**	**30**	**5000**
12	538	−9.5	27	5210
13	507	−13.0	27	5660
	500	**−13.0**	**27**	**5780**
	486	**−14.8**	**27**	**6000**
14	483	−15.0	27	6030
15	455	−18.2	24	6480
16	428	−21.0	28	6940
	425	**−21.6**	**29**	**7000**
17	401	−24.2	32	7420
18	376	−27.8	28	7880
	370	**−29.2**	**29**	**8000**
19	352	−32.3	32	8350
20	328	−36.5	34	8840
	321	**−37.8**	**34**	**9000**
21	304	−40.5	—	9370
	300	**−41.2**	—	**9440**
22	281	−45.3	—	9900
	277	**−46.3**	—	**10000**
23	259	−50.2	—	10430
24	240	−52.8	—	10950
	238	**−53.4**	—	**11000**
25	222	−57.3	—	11480
26	**202**	**−56.9**		**12000**
	200	**−56.7**	—	**12100**
27	186	−54.2	—	12550

Min.	PPP	TTT	UU	H m. geop.
	2. VIII. 1952 14.00 h HEC			
	1000	—	—	**090**
0	954.8	27.0	30	493
1	908	21.2	38	930
	901	**20.3**	**40**	**1000**
2	865	17.0	44	1340
	850	**15.6**	**46**	**1500**
3	824	13.5	50	1760
	801	**13.0**	**58**	**2000**
4	784	9.2	63	2180
5	750	6.0	80	2540
6	720	3.5	72	2870
	709	**2.2**	**70**	**3000**
	700	**1.6**	**69**	**3100**
7	686	0.3	67	3260
8	653	–1.4	46	3660
9	**624**	**–3.9**	**56**	**4000**
10	596	–6.4	70	4380
11	568	–8.2	50	4750
	549	**–9.2**	**48**	**5000**
12	535	–10.3	46	5220
13	505	–12.0	35	5650
	500	**–12.5**	**34**	**5740**
	484	**–13.9**	**31**	**6000**
14	478	–14.3	30	6080
15	450	–17.0	21	6530
16	425	–19.8	28	6960
	423	**–20.2**	**29**	**7000**
17	397	–24.2	30	7460
18	373	–27.8	33	7910
	369	**–28.6**	**34**	**8000**
19	352	–31.5	37	8330
20	328	–36.5	38	8830
	320	**–37.9**	**38**	**9000**
21	304	–40.9	—	9340
	300	**–41.6**	—	**9440**
22	285	–44.2	—	9760
	276	**–46.0**	—	**10000**
23	262	–48.8	—	10340
24	239	–53.8	—	10940
	237	**–54.0**	—	**11000**
25	217	–57.3	—	11560
	203	**–56.5**	—	**12000**
26	200	–56.5	—	12080
27	186	–53.2	—	12540
	4. VIII. 1952 14.50 h HEC			
	1000	—	—	**150**
0	961.9	26.0	35	493
1	910	19.4	48	970
	908	**19.2**	**50**	**1000**
2	871	17.4	56	1350
	850	**14.8**	**60**	**1570**
3	835	13.0	67	1715
	806	**10.1**	**85**	**2000**
4	799	9.5	90	2080
5	768	7.8	84	2400
6	740	5.5	53	2720
	714	**2.9**	**49**	**3000**
7	707	2.6	46	3090
	700	**1.9**	**43**	**3175**
8	674	0.2	37	3470
9	639	–2.2	36	3900
	631	**–3.1**	**35**	**4000**
10	607	–5.2	33	4360
11	576	–7.1	31	4710
	554	**–8.3**	**31**	**5000**
12	543	–9.0	31	5170
13	513	–12.5	41	5700
	500	**–13.4**	**40**	**5810**
	487	**–14.5**	**39**	**6000**
14	484	–14.7	37	6050
15	455	–17.7	35	6520
16	**427**	**–20.4**	**39**	**7000**
17	403	–23.6	49	7420
18	378	–27.2	46	7890
	371	**–29.8**	**44**	**8000**
19	351	–30.3	40	8420
20	327	–34.3	39	8910
	323	**–35.2**	**39**	**9000**
21	303	–38.2	—	9440
	300	**–38.8**	—	**9510**
22	283	–42.5	—	9900
	280	**–43.3**	—	**10000**
23	258	–48.3	—	10530
	240	**–52.3**	—	**11000**
24	237	–53.1	—	11090
25	218	–55.3	—	11630
	205	**–54.5**	—	**12000**
	200	**–54.3**	—	**12170**
26	198	–54.3	—	12230
	5. VIII. 1952 14.55 h HEC			
	1000	—	—	**160**
0	960.8	30.0	20	493
1	924	25.8	20	885
	905	**24.0**	**20**	**1000**
2	890	22.2	20	1160
3	855	19.0	22	1500
	850	**17.9**	**23**	**1575**
4	823	15.4	24	1840
	806	**13.8**	**29**	**2000**
5	785	11.8	33	2220
6	752	7.5	48	2580
7	**716**	**4.0**	**40**	**3000**
	700	**2.8**	**30**	**3180**
8	683	2.1	26	3370
9	648	0.0	18	3800
	631	**–1.4**	**16**	**4000**
10	612	–3.2	15	4250
11	578	–5.0	10	4700
	556	**–6.7**	**10**	**5000**
12	547	–7.4	10	5130
13	518	–11.3	10	5550
	500	**–13.6**	**10**	**5840**
14	490	–14.8	10	5980
	488	**–15.0**	**10**	**6000**
15	462	–17.2	12	6420
16	433	–20.4	14	6910
	427	**–21.0**	**14**	**7000**
17	407	–23.7	15	7360
18	380	–27.8	16	7860
	372	**–28.8**	**17**	**8000**
19	358	–30.7	18	8275
20	336	–34.5	20	8730
	323	**–36.2**	**20**	**9000**
21	310	–38.0	20	9280
	300	**–40.0**	—	**9520**
22	286	–42.7	—	9840
	280	**–43.8**	—	**10000**
23	266	–45.9	—	10330
24	245	–49.4	—	10870
	6. VIII. 1952 14.50 h HEC			
	1000	—	—	**125**
0	956.0	30.0	44	493
1	914	25.6	40	890
	903	**23.2**	**39**	**1000**
2	878	22.2	38	1320
	850	**19.0**	**43**	**1530**
3	844	18.5	45	1570
4	815	15.2	59	1870
	804	**13.7**	**66**	**2000**
5	787	11.8	70	2180
6	750	8.4	85	2580
7	716	5.5	90	2960
	713	**5.4**	**93**	**3000**
	700	**3.9**	**97**	**3150**
8	680	1.7	100	3370
9	642	–1.4	100	3840
	629	**–2.6**	**100**	**4000**
10	608	–4.3	100	4270
11	574	–7.7	100	4690
	555	**–9.5**	**100**	**5000**
12	547	–9.8	100	5090
13	518	–12.2	95	5500
	500	**–13.8**	**70**	**5790**
14	486	–14.9	58	6000
15	459	–17.9	50	6430
16	432	–21.0	50	6880
	426	**–22.0**	**50**	**7000**
17	404	–24.6	50	7370
18	380	–27.8	50	7810
	371	**–29.3**	**50**	**8000**
19	355	–31.4	50	8300
20	330	–34.9	51	8820
	322	**–36.6**	**54**	**9000**
21	306	–38.8	60	9330
	300	**–39.9**	**60**	**9470**
22	284	–42.2	—	9840
	278	**–43.4**	—	**10000**
23	260	–45.6	—	10440
24	240	–48.5	—	10960
	239	**–48.9**	—	**11000**
25	220	–51.5	—	11530
	205	**–52.7**	—	**12000**
	200	**–53.2**	—	**12160**
26	197	–53.3	—	12250
27	183	–53.9	—	12740
	176	–53.8	—	13000
28	**165**	**–52.6**	—	**13380**
	150	**–52.6**	—	**14000**
29	149	–52.6	—	14050
	7. VIII. 1952 14.50 h HEC			
	1000	—	—	**110**
0	957.8	22.0	57	493
	903	**16.7**	**75**	**1000**
1	900	16.5	78	1030
2	855	12.0	98	1470
	850	**11.4**	**100**	**1535**
3	817	8.6	100	1860
	802	**7.8**	**98**	**2000**
4	779	6.8	95	2230
5	743	3.7	100	2630
6	**712**	**1.2**	**100**	**3000**
	700	**0.7**	**100**	**3110**
7	674	–0.3	100	3430
8	642	–1.5	84	3800
	627	**–2.3**	**65**	**4000**
9	608	–2.6	49	4230
10	577	–6.0	42	4650
	551	**–8.9**	**39**	**5000**
11	546	–9.2	38	5070
12	517	–11.0	39	5500
	500	**–12.6**	**39**	**5760**
13	485	–13.8	38	6000
14	456	–16.0	40	6460
15	428	–18.6	47	6930
	423	**–19.2**	**49**	**7000**
16	400	–21.6	54	7430
17	372	–25.0	55	7950
	370	**–25.4**	**54**	**8000**
18	348	–27.9	53	8430
19	322	–32.2	59	9000
	300	**–36.7**	**60**	**9490**
20	297	–37.3	60	9550
	279	**–41.8**	—	**10000**
21	273	–43.3	—	10130
22	248	–48.2	—	10760
	240	**–49.8**	—	**11000**
23	226	–52.0	—	11380
24	204	–55.9	—	12000
	200	**–56.7**	—	**12160**
25	184	–59.0	—	12680
	8. VIII. 1952 14.50 h HEC			
	1000	—	—	**130**
0	957.6	23.0	40	493
1	920	20.4	49	840
	902	**18.1**	**54**	**1000**
2	880	15.2	65	1210
	850	**11.9**	**75**	**1520**
3	840	10.9	84	1610
4	**800**	**7.9**	**100**	**2000**
5	763	6.5	100	2480
6	728	4.5	50	2780
	710	**4.2**	**40**	**3000**
	700	**4.1**	**32**	**3115**
7	697	4.2	29	3145
8	659	1.1	30	3610
9	**627**	**–1.7**	**41**	**4000**
10	596	–3.9	43	4400
11	566	–7.7	53	4800
	551	**–8.3**	**58**	**5000**
12	536	–9.0	76	5215
13	510	–11.5	66	5610
	500	**–12.6**	**73**	**5765**
	485	**–14.2**	**80**	**6000**
14	476	–15.0	84	6130
15	447	–18.3	74	6610
	423	**–21.1**	**50**	**7000**
16	419	–21.5	38	7090
17	394	–23.7	33	7540
	369	**–27.6**	**34**	**8000**
18	367	–27.8	34	8040
19	342	–32.3	42	8540
	321	**–35.2**	**49**	**9000**
20	315	–35.8	54	9125
	300	**–37.7**	**57**	**9470**
21	290	–38.7	60	9690
	278	**–41.3**	—	**10000**
22	266	–43.2	—	10280
23	248	–47.3	—	10750
	238	**–49.2**	—	**11000**
24	228	–51.2	—	11310
25	208	–53.0	—	11900
	205	**–53.4**	—	**12000**
	200	**–53.7**	—	**12160**
26	189	–54.2	—	12510
	9. VIII. 1952 14.15 h HEC			
	1000	—	—	**055**
0	951.6	25.0	40	493
1	**897**	**20.9**	**45**	**1000**
2	860	18.1	60	1360
	850	**17.6**	**55**	**1470**
3	825	15.7	47	1720
	799	**14.4**	**47**	**2000**
4	788	13.7	47	2100
5	751	10.0	54	2510
6	721	6.5	64	2850
	708	**5.1**	**76**	**3000**
	700	**4.0**	**80**	**3095**
7	689	2.8	91	3220
8	651	–0.8	85	3680
	626	**–3.0**	**82**	**4000**
9	615	–4.0	80	4140
10	581	–7.0	67	4570
	551	**–7.0**	**100**	**5000**
11	548	–7.0	100	5030
12	517	–10.0	80	5490
	500	**–12.4**	**90**	**5750**
13	484	–14.4	100	5980
	483	**–14.5**	**99**	**6000**
14	456	–15.9	94	6440
15	428	–19.3	86	6920
	424	**–19.5**	**89**	**7000**
16	404	–20.3	92	7350
17	378	–22.1	86	7840
	370	**–23.5**	**82**	**8000**
18	352	–26.3	74	8360
19	327	–30.6	71	8890
	322	**–31.8**	**71**	**9000**
20	305	–35.7	71	9370
	300	**–36.5**	**71**	**9500**
21	283	–39.7	70	9890
	279	**–40.8**	—	**10000**
22	263	–44.5	—	10390
23	**240**	**–49.4**	—	**11000**
24	218	–54.5	—	11620
	206	**–57.1**	—	**12000**
	200	**–58.4**	—	**12180**
25	196	–59.1	—	12290
26	177	–60.9	—	12930
	11. VIII. 1952 14.45 h HEC			
	1000	—	—	**165**
0	961.6	24.0	55	493
1	**908**	**20.9**	**62**	**1000**
2	871	18.7	53	1330
	850	**17.3**	**53**	**1560**
3	833	16.2	52	1725
	807	**15.1**	**42**	**2000**
4	795	14.4	40	2110
5	758	12.3	47	2530
6	730	9.1	56	2840
	716	**8.0**	**57**	**3000**
	700	**7.1**	**57**	**3120**

Min.	PPP	TTT	UU	H m. geop.
7	695	6.6	57	3240
8	657	4.1	46	3700
	633	**2.7**	**42**	**4000**
9	621	2.0	38	4160
10	584	−0.8	39	4640
	559	**−2.7**	**27**	**5000**
11	553	−3.2	24	5100
12	527	−5.7	56	5470
13	502	−7.8	57	5850
	500	**−8.1**	**56**	**5880**
	492	**−9.0**	**55**	**6000**
14	477	−11.0	54	6230
15	450	−13.8	54	6700
	431	**−16.2**	**50**	**7000**
16	424	−17.2	48	7150
17	401	−20.0	43	7560
18	**377**	**−23.6**	**43**	**8000**
19	355	−28.4	47	8440
20	330	−31.6	40	8960
	329	**−31.8**	**40**	**9000**
21	306	−35.7	39	9560
	300	**−36.2**	**39**	**9630**
	285	**−38.0**	**39**	**10000**
22	282	−38.4	39	10060
23	263	−41.0	—	10540
24	**246**	**−44.3**	—	**11000**
25	224	−46.2	—	11610
	211	**−47.0**	—	**12060**
26	203	−47.5	—	12270
	200	**−47.9**	—	**12370**

12. VIII. 1952 14.55 h HEC

	1000	—	—	**155**
0	962.3	29.0	30	493
1	924	24.4	34	850
	908	22.5	37	1000
2	881	20.0	40	1260
	850	**18.1**	**37**	**1580**
3	840	17.6	35	1670
	808	**14.7**	**45**	**2000**
4	802	14.4	49	2070
5	765	11.7	61	2460
6	729	9.5	48	2870
	717	**7.9**	**57**	**3000**
	700	**5.9**	**66**	**3210**
7	690	4.9	69	3310
8	652	1.8	81	3770
	634	**−0.2**	**77**	**4000**
9	615	−1.5	72	4240
10	580	−3.9	84	4710
	559	**−6.8**	**94**	**5000**
11	552	−7.6	100	5100
12	516	−9.3	94	5610
	500	**−9.9**	**83**	**5870**
	491	**−10.2**	**76**	**6000**
13	484	−10.4	72	6110
14	453	−11.9	61	6620
	431	**−14.3**	**55**	**7000**
15	422	−15.4	48	7170
16	390	−18.3	38	7750
	378	**−19.6**	**28**	**8000**
17	363	−21.0	14	8280
18	338	−24.6	12	8820
	330	**−25.8**	**15**	**9000**
19	315	−28.0	15	9330
	300	**−30.5**	**15**	**9680**
20	289	−32.4	15	9940
	286	**−32.8**	**15**	**10000**
21	265	−37.4	15	10540
	249	**−40.0**	—	**11000**
22	244	−40.7	—	11100
23	221	−44.8	—	11780
	214	**−46.1**	—	**12000**
	200	**−48.8**	—	**12440**

13. VIII. 1952 14.40 h HEC

	1000	—	—	**139**
0	960.3	30.0	30	493
1	921	27.6	30	850
	907	**26.4**	**31**	**1000**
2	883	24.2	32	1220
	850	**21.1**	**33**	**1570**
3	843	20.6	34	1610
4	**807**	**17.3**	**26**	**2000**
5	771	14.3	32	2380
6	733	11.0	30	2810
	718	**9.2**	**30**	**3000**
7	**700**	**7.9**	**30**	**3210**
8	671	4.4	30	3550
9	637	1.5	30	3970
	634	**1.3**	**29**	**4000**
10	604	−1.1	26	4380
11	569	−4.4	29	4840
	560	**−5.2**	**30**	**5000**
12	535	−7.9	31	5350
13	**500**	**−11.0**	**31**	**5880**
	492	**−11.7**	**30**	**6000**
14	471	−13.9	26	6320
15	439	−16.5	24	6850
	431	**−17.3**	**24**	**7000**
16	414	−19.1	23	7300
17	387	−21.5	22	7890
	376	**−22.5**	**21**	**8000**
18	362	−23.7	21	8280
19	336	−26.5	20	8820
	328	**−27.4**	**20**	**9000**
20	310	−29.6	19	9400
	300	**−31.3**	**19**	**9650**
21	289	−33.3	18	9900
	285	**−34.1**	**18**	**10000**
22	265	−37.8	18	10500
	247	**−40.3**	**18**	**11000**
23	233	−42.2	18	11380

14. VIII. 1952 14.50 h HEC

	1000	—	—	**135**
0	955.7	28.0	45	493
1	915	25.2	39	870
	902	**24.6**	**39**	**1000**
2	875	23.2	38	1260
	850	**20.6**	**38**	**1540**
3	837	19.8	38	1650
	803	**16.4**	**39**	**2000**
4	800	16.3	40	2040
5	764	12.3	44	2430
6	730	8.7	47	2810
	713	**7.0**	**49**	**3000**
	700	**5.9**	**50**	**3175**
7	694	5.6	52	3220
8	661	2.7	61	3620
	630	**0.6**	**76**	**4000**
9	627	0.4	77	4060
10	595	−2.8	100	4465
11	567	−6.0	78	4840
	555	**−7.5**	**70**	**5000**
12	539	−8.9	66	5240
13	510	−10.4	82	5660
	500	**−10.8**	**78**	**5820**
	488	**−11.7**	**72**	**6000**
14	480	−12.2	70	6140
15	454	−14.2	53	6560
16	**428**	**−17.3**	**42**	**7000**
17	403	−19.9	43	7450
18	380	−23.0	41	7870
	374	**−23.9**	**40**	**8000**
19	356	−26.8	38	8350
20	331	−31.4	38	8870
	325	**−32.4**	**39**	**9000**
21	304	−35.7	39	9470
	300	**−36.7**	**39**	**9570**
22	286	−40.0	—	9900
	281	**−41.1**	—	**10000**
23	264	−45.0	—	10430
24	246	−48.6	—	10900
	242	**−49.1**		**11000**
25	225	−51.6	—	11480
26	**207**	**−52.3**	—	**12000**
	200	**−52.7**	—	**12240**
27	194	−52.7	—	12440

15. VIII. 1952 14.45 h HEC

	1000	—	—	**115**
0	957.0	24.5	40	493
1	927.0	21.8	33	770
	903	**22.3**	**36**	**1000**
2	885	19.5	38	1160
	850	**16.8**	**45**	**1515**
	845	16.5	47	1570
4	814	13.7	56	1880
	803	**12.9**	**59**	**2000**
5	781	11.7	62	2220
6	750	9.6	60	2560
7	717	6.8	65	2930
	712	**6.1**	**70**	**3000**
	700	**5.0**	**74**	**3140**
8	686	3.9	78	3300
9	657	1.3	94	3650
10	**629**	**−1.0**	**100**	**4000**
11	601	−3.0	90	4360
12	573	−5.5	96	4740
	555	**−6.8**	**100**	**5000**
13	546	−7.3	100	5100
14	523	−8.6	100	5440
15	**500**	**−9.8**	**100**	**5800**
	488	**−12.0**	**94**	**6000**
16	484	−12.5	93	6040
17	462	−13.9	61	6390
18	440	−15.5	40	6760
	427	**−17.6**	**39**	**7000**
19	416	−18.9	39	7180
20	392	−21.0	28	7630
	378	**−23.3**	**26**	**8000**
21	368	−23.8	25	8090
22	348	−27.0	20	8490
23	328	−31.4	18	8930
	325	**−32.0**	**18**	**9000**
24	307	−35.0	18	9400
	300	**−36.1**	**18**	**9540**
25	288	−38.0	18	9830
	282	**−39.3**	**18**	**10000**
26	268	−41.5	—	10320
27	250	−45.0	—	10770
	243	**−46.7**	—	**11000**
28	232	−48.7	—	11280
29	215	−51.4	—	11780
	208	**−52.5**	—	**12000**
	200	**−53.5**	—	**12250**
30	197	−53.7	—	12340

16. VIII. 1952 14.10 h HEC

	1000	—	—	**175**
0	958.7	22.0	64	493
	910	**18.5**	**68**	**1000**
1	903	18.0	70	1060
2	858	14.0	82	1490
	850	**12.9**	**83**	**1580**
3	817	10.1	88	1900
	808	**9.2**	**80**	**2000**
4	774	6.4	60	2330
5	734	2.8	70	2780
	713	**1.6**	**74**	**3000**
	700	**1.0**	**76**	**3170**
6	692	0.4	80	3250
7	660	−2.6	83	3630
	630	**−5.1**	**85**	**4000**
8	620	−5.7	86	4130
9	589	−8.5	63	4520
10	558	−10.6	32	4940
	554	**−11.1**	**31**	**5000**
11	528	−13.9	30	5370
	500	**−14.9**	**27**	**5780**
12	495	−15.1	26	5860
	485	**−16.5**	**25**	**6000**
13	471	−18.2	24	6220
14	443	−21.0	22	6690
	424	**−22.6**	**21**	**7000**
15	407	−24.0	20	7300
16	381	−29.5	20	7780
	369	**−31.2**	**20**	**8000**
17	355	−33.4	20	8290
18	328	−36.4	20	8880
	320	**−37.9**	**20**	**9000**
19	304	−41.0	—	9360
	300	**−42.0**	—	**9450**
20	281	−45.9	—	9880
	276	**−46.6**	—	**10000**
21	257	−48.5	—	10470
22	237	−49.9	—	11000
23	218	−48.3	—	11540
	204	**−47.5**	—	**12000**
24	**200**	**−47.3**	—	**12120**

18. VIII. 1952 14.15 h HEC

	1000	—	—	**095**
0	951.7	20.0	45	493
1	912	15.5	55	850
	897	**14.1**	**60**	**1000**
2	869	11.7	65	1270
	850	**10.5**	**63**	**1465**
3	827	9.7	57	1690
	795	**8.3**	**51**	**2000**
4	783	8.0	49	2140
5	743	3.9	84	2560
6	708	2.0	88	2960
	703	**1.7**	**90**	**3000**
	700	**1.6**	**92**	**3050**
7	678	0.3	94	3290
8	641	−2.8	87	3740
	620	**−4.1**	**40**	**4000**
9	607	−4.4	20	4180
10	575	−5.5	17	4610
	546	**−9.2**	**16**	**5000**
11	543	−9.4	15	5060
12	510	−11.9	15	5520
	500	**−12.8**	**15**	**5680**
13	**479**	**−13.9**	**15**	**6000**
14	448	−16.4	18	6520
15	422	−20.1	22	6960
	420	**−20.3**	**23**	**7000**
16	392	−23.4	40	7500
	366	**−26.4**	**42**	**8000**
17	363	−26.6	42	8060
18	333	−31.9	43	8680
	318	**−34.5**	**44**	**9000**
19	309	−35.9	45	9180
	300	**−37.6**	**45**	**9400**

19. VIII. 1952 14.45 h HEC

	1000	—	—	**010**
0	946.6	19.5	60	493
1	905	14.5	58	870
	890	**13.9**	**58**	**1000**
2	863	12.3	57	1270
	850	**11.1**	**59**	**1390**
3	828	8.6	61	1620
	790	**5.6**	**65**	**2000**
4	788	5.3	67	2030
5	750	1.8	76	2425
6	714	−1.3	74	2820
	700	**−2.1**	**68**	**2960**
	697	**−2.3**	**63**	**3000**
7	683	−3.2	58	3170
8	645	−4.3	50	3620
	614	**−7.2**	**50**	**4000**
9	610	−7.7	50	4060
10	576	−10.2	32	4510
11	543	−12.5	20	4960
	540	**−12.7**	**18**	**5000**
12	510	−15.3	15	5430
	500	**−16.3**	**15**	**5570**
13	481	−18.3	15	5870
	473	**−19.6**	**20**	**6000**
14	453	−22.5	36	6310
15	426	−25.8	42	6770
	412	**−27.6**	**46**	**7000**
16	397	−29.7	50	7260
17	370	−32.2	62	7770
	358	**−33.6**	**61**	**8000**
18	344	−35.4	60	8260
19	322	−38.0	63	8730
	310	**−39.7**	**64**	**9000**
	300	**−10.8**	—	**9210**
20	**296**	**−42.3**	—	**9310**
21	270	−46.2	—	9910
	267	**−46.8**	—	**10000**
22	247	−50.7	—	10490
	237	**−53.5**	—	**11000**
23	226	−53.8	—	11070
	200	**−57.8**	—	**11870**

Min.	PPP	TTT	UU	H m. geop.
20. VIII. 1952 14.50 h HEC				
	1000	—	—	**140**
0	951.1	17.0	60	493
1	907	12.2	70	860
	902	**10.9**	**73**	**1000**
2	865	8.1	80	1260
	850	**6.8**	**81**	**1500**
3	823	6.0	83	1680
	799	**3.4**	**87**	**2000**
4	783	2.8	91	2080
5	748	0.1	95	2450
6	711	-2.7	100	2860
	705	**-3.4**	**100**	**3000**
	700	**-3.9**	**100**	**3070**
7	674	-5.0	100	3270
8	641	-7.1	90	3680
	620	**-8.8**	**74**	**4000**
9	609	-9.3	68	4080
10	577	-12.4	52	4490
11	547	-15.6	55	4890
	545	**-16.3**	**56**	**5000**
12	519	-18.1	59	5280
	500	**-20.3**	**55**	**5640**
13	493	-20.7	53	5670
	476	**-23.0**	**55**	**6000**
14	467	-23.4	57	6070
15	440	-26.3	53	6510
16	413	-30.3	56	6970
	410	**-30.5**	**56**	**7000**
17	386	-34.5	56	7440
18	360	-38.0	56	7940
	358	**-38.5**	**56**	**8000**
19	334	-42.0	—	8430
20	313	-45.8	—	8880
	305	**-45.9**	—	**9000**
	300	**-46.3**	—	**9160**
21	290	-46.7	—	9380
22	268	-46.5	—	9900
	264	**-46.3**	—	**10000**
23	246	-45.8	—	10470
	227	**-45.3**	—	**11000**
24	225	-45.3	—	11060
25	207	-44.9	—	11620
	200	**-44.8**	—	**11870**
	196	**-44.8**	—	**12000**
26	190	-44.9	—	12190
27	174	-47.0	—	12780
	168	**-47.9**	—	**13000**
28	157	-49.5	—	13460
21. VIII. 1952 14.50 h HEC				
	1000	—	—	**160**
0	959.4	16.5	62	493
1	914	11.5	68	900
	905	**10.3**	**71**	**1000**
2	876	7.5	76	1260
	850	**5.2**	**81**	**1525**
3	839	4.6	87	1610
	802	**2.5**	**89**	**2000**
4	796	2.4	90	2050
5	754	0.5	83	2480
6	715	-1.4	79	2910
	708	**-2.2**	**78**	**3000**
	700	**-2.7**	**77**	**3080**
7	684	-4.0	76	3270
8	649	-7.0	76	3680
	623	**-9.3**	**77**	**4000**
9	608	-10.4	78	4180
10	575	-13.3	77	4610
	546	**-16.7**	**76**	**5000**
11	542	-17.0	76	5060
12	513	-19.7	70	5470
	500	**-21.1**	**68**	**5670**
13	482	-23.1	63	5930
	478	**-23.5**	**63**	**6000**
14	444	-26.7	61	6530
	416	**-30.2**	**62**	**7000**
15	410	-30.8	62	7090
16	384	-35.7	49	7560
	361	**-38.6**	—	**8000**
17	354	-39.5	35	8120
18	328	-41.9	—	8650
	311	**-43.2**	—	**9000**
19	303	-44.0	—	9180
	300	**-44.2**	—	**9250**
20	279	-45.3	—	9720
	268	**-45.5**	—	**10000**
21	257	-45.5	—	10270
22	233	-45.5	—	10920
	231	**-45.5**	—	**11000**
23	215	-45.5	—	11460
	200	**-45.5**	—	**11960**
	199	**-45.5**	—	**12000**
24	191	-45.5	—	12250
22. VIII. 1952 . h HEC				
	1000	—	—	**240**
0	965.5	20.0	40	493
1	921	14.0	45	890
	911	**13.0**	**47**	**1000**
2	876	10.5	50	1310
	850	**8.6**	**53**	**1580**
3	840	8.1	54	1660
	808	**5.2**	**56**	**2000**
4	803	5.0	57	2030
5	764	2.0	54	2430
6	722	-0.1	41	2880
	713	**-0.1**	**39**	**3000**
	700	**-0.1**	**37**	**3140**
7	684	0.3	36	3310
8	654	-2.2	37	3670
	628	**-4.9**	**38**	**4000**
9	620	-5.6	38	4100
10	590	-8.3	37	4480
11	561	-10.7	38	4860
	553	**-11.2**	**38**	**5000**
12	528	-12.5	38	5340
	500	**-15.4**	**38**	**5760**
13	495	-15.8	38	5830
	485	**-17.2**	**38**	**6000**
14	467	-19.2	38	6270
15	439	-22.0	38	6720
	424	**-24.3**	**38**	**7000**
16	412	-25.7	38	7180
17	382	-28.0	38	7730
	369	**-29.7**	**39**	**8000**
18	356	-31.2	39	8220
19	331	-34.9	39	8740
	320	**-37.0**	**39**	**9000**
20	306	-39.7	39	9290
	300	**-41.1**	—	**9420**
21	282	-45.0	—	9830
	276	**-45.7**	—	**10000**
22	260	-47.3	—	10370
23	240	-47.3	—	10910
	238	**-47.4**	—	**11000**
24	219	-47.4	—	11515
	204	**-48.4**	—	**12000**
25	202	-48.4	—	12035
	200	**-48.5**	—	**12120**
23. VIII. 1952 14.15 h HEC				
	1000	—	—	**170**
0	962.9	17.3	60	493
1	930	12.7	74	790
	907	**11.1**	**85**	**1000**
2	890	10.0	96	1150
3	**850**	**11.3**	**47**	**1540**
4	811	11.3	43	1920
	804	**10.7**	**37**	**2000**
5	769	8.0	23	2360
6	730	4.9	40	2800
	712	**3.5**	**42**	**3000**
7	700	2.5	44	3140
8	668	2.1	55	3510
9	631	-2.0	74	3970
	628	**-2.3**	**77**	**4000**
10	602	-4.5	90	4340
11	571	-6.6	94	4760
	554	**-7.8**	**98**	**5000**
12	543	-9.0	100	5160
13	511	-11.4	100	5620
	500	**-12.4**	**100**	**5790**
	487	**-13.6**	**100**	**6000**
14	481	-14.0	100	6090
15	454	-16.9	100	6530
	426	**-19.0**	**100**	**7000**
16	424	-19.3	100	7030
17	397	-23.0	100	7530
18	373	-26.5	100	7970
	372	**-26.8**	**100**	**8000**
19	351	-30.3	88	8400
20	327	-34.1	72	8910
	323	**-34.9**	**69**	**9000**
21	307	-37.9	63	9340
	300	**-39.5**	—	**9510**
22	285	-42.4	—	9850
	279	**-43.7**	—	**10000**
23	264	-47.1	—	10330
24	249	-50.3	—	10760
25. VIII. 1952 14.50 h HEC				
	1000	—	—	**140**
0	959.0	20.5	58	493
1	917	14.8	69	870
	904	**14.0**	**65**	**1000**
2	873	12.7	61	1280
	850	**10.7**	**56**	**1525**
3	831	9.7	45	1700
	801	**7.3**	**47**	**2000**
4	790	6.6	48	2115
5	749	3.4	59	2550
6	712	1.0	47	2960
	708	**0.5**	**45**	**3000**
	700	**0.4**	**43**	**3100**
7	680	-3.0	42	3310
8	637	-5.0	36	3840
	625	**-5.8**	**34**	**4000**
9	604	-7.5	30	4240
10	571	-9.8	31	4690
	549	**-11.8**	**35**	**5000**
11	542	-12.3	37	5080
12	516	-14.8	43	5470
	500	**-16.1**	**42**	**5710**
13	487	-17.0	42	5910
	480	**-17.3**	**40**	**6000**
14	460	-18.5	38	6330
15	429	-21.0	40	6850
	420	**-22.0**	**40**	**7000**
16	403	-24.0	41	7310
17	379	-27.1	41	7750
	366	**-29.4**	**41**	**8000**
18	358	-30.7	41	8150
19	330	-34.6	42	8740
	318	**-36.1**	**42**	**9000**
20	304	-38.4	42	9290
	300	**-39.4**	—	**9400**
21	284	-43.6	—	9760
	274	**-45.1**	—	**10000**
22	261	-47.2	—	10330
23	240	-51.6	—	10870
26. VIII. 1952 14.50 h HEC				
	1000	—	—	**190**
0	961.4	22.5	55	495
1	914	17.5	52	930
	909	**17.2**	**50**	**1000**
2	866	15.2	45	1390
	850	**13.4**	**46**	**1565**
3	827	11.5	48	1770
	806	**9.9**	**42**	**2000**
4	790	8.8	41	2150
5	754	7.3	39	2540
6	716	5.3	43	2960
	714	**5.0**	**43**	**3000**
	700	**3.9**	**44**	**3160**
7	684	2.6	44	3340
8	646	-0.9	46	3800
	631	**-2.5**	**44**	**4000**
9	613	-3.7	41	4210
10	580	-6.6	43	4640
11	551	-9.9	46	5050
	556	**-9.4**	**45**	**5000**
12	519	-13.0	50	5500
	500	**-14.2**	**47**	**5790**
13	496	-14.4	45	5850
	487	**-15.6**	**53**	**6000**
14	458	-18.5	61	6450
	427	**-22.9**	**66**	**7000**
15	414	-24.3	72	7180
16	384	-28.7	62	7730
	371	**-30.7**	**50**	**8000**
17	351	-33.5	57	8360
	321	**-37.2**	**58**	**9000**
18	316	-37.5	59	9100
	300	**-39.7**	**62**	**9460**
19	280	-42.5	—	9930
	278	**-42.8**	—	**10000**
20	**239**	**-50.7**	—	**11000**
23	224	-54.0	—	11400
	205	**-56.2**	—	**12000**
24	**200**	**-56.7**	—	**12125**
27. VIII. 1952 14.50 h HEC				
	1000	—	—	**120**
0	958.0	27.0	50	493
1	917	22.5	60	840
	905	**20.9**	**62**	**1000**
2	875	17.7	66	1280
	850	**16.2**	**68**	**1540**
3	835	15.1	70	1680
	804	**11.8**	**69**	**2000**
4	799	11.4	69	2050
5	765	7.5	70	2400
6	725	5.7	45	2850
	713	**5.1**	**40**	**3000**
	700	**4.5**	**36**	**3140**
7	692	4.2	34	3230
8	656	2.3	28	3660
	630	**-0.6**	**28**	**4000**
9	621	-1.1	28	4100
10	590	-3.4	28	4510
11	560	-5.7	28	4910
	555	**-6.1**	**27**	**5000**
12	531	-7.2	26	5330
13	503	-9.4	23	5750
	500	**-9.6**	**22**	**5810**
	487	**-10.7**	**22**	**6000**
14	474	-11.7	20	6220
15	448	-14.5	20	6650
	427	**-17.0**	**23**	**7000**
16	423	-17.5	24	7080
17	396	-20.4	30	7560
	374	**-23.8**	**36**	**8000**
18	371	-23.8	38	8040
19	348	-29.6	43	8500
20	**325**	**-33.2**	**48**	**9000**
21	**300**	**-38.2**	**47**	**9550**
22	**281**	**-41.9**	—	**10000**
23	258	-45.7	—	10560
	242	**-49.1**	—	**11000**
24	235	-50.5	—	11180
25	211	-53.3	—	11890
	207	**-53.8**	—	**12000**
26	**200**	**-54.5**	—	**12230**
29. VIII. 1952 14.45 h HEC				
	1000	—	—	**135**
0	957.9	26.0	45	493
1	919	22.5	56	850
	903	**21.5**	**40**	**1000**
2	878	21.3	26	1250
	850	**19.8**	**19**	**1530**
3	838	19.6	15	1660
	804	**18.0**	**30**	**2000**
4	801	17.8	33	2040
5	767	15.0	43	2400
6	734	13.6	44	2780
	715	**11.3**	**47**	**3000**
7	705	10.4	50	3120
	700	**10.1**	**51**	**3180**
8	**680**	**7.6**	**54**	**3420**
9	648	4.2	63	3820
	633	**2.9**	**66**	**4000**
10	617	1.7	77	4220

Min.	PPP	TTT	UU	H m. geop.
11	588	−1.5	84	4600
12	559	−4.4	82	5000
13	535	−8.0	98	5340
14	509	−9.7	94	5730
	500	−10.9	96	5860
	491	−12.9	98	6090
15	484	−13.2	100	6120
16	460	−16.9	100	6500
17	435	−18.4	92	6910
	430	−19.0	87	7000
18	414	−20.5	82	7280
19	387	−22.6	62	7790
	375	−24.2	54	8000
20	364	−25.5	47	8240
21	340	−29.7	47	8730
	326	−32.5	50	9000
22	318	−34.2	52	9180
	300	−37.5	57	9590
23	294	−38.4	59	9730
	283	−40.6	—	10000
24	271	−42.7	—	10290
25	250	−47.5	—	10830
	243	−49.3	—	11000
26	231	−52.4	—	11350
27	216	−57.2	—	11780
	209	−59.0	—	12000
28	200	−61.1	—	12250
29	183	−63.3	—	12810
	177	−63.9	—	13000
30	169	−64.5	—	13300

30. VIII. 1952 14.10 h HEC

	1000	—	—	130
0	957.5	26.0	50	493
1	902	21.1	51	1000
2	862	17.8	55	1410
	850	16.8	57	1525
3	820	14.5	60	1835
	804	12.9	65	2000
4	784	11.1	69	2200
5	750	8.0	74	2580
6	717	6.3	76	2950
	712	5.8	74	3000
	700	4.8	79	3140
7	683	3.5	80	3340
8	645	−0.2	85	3810
	629	−2.3	87	4000
9	613	−4.0	89	4210
10	586	−6.9	90	4560
11	563	−9.9	100	4870
	554	−10.8	96	5000
12	537	−12.1	88	5240
13	505	−13.9	15	5710
	500	−14.4	15	5790
	486	−15.7	15	6000
14	470	−16.8	15	6250
15	444	−20.2	15	6680
	424	−23.3	15	7000
16	416	−24.5	15	7150
17	389	−28.4	15	7640
	370	−30.6	15	8000
18	361	−31.5	15	8170
19	335	−34.3	15	8700
	321	−36.8	15	9000
20	312	−38.3	15	9180
	300	−40.7	—	9460
21	286	−43.4	—	9780
	276	−45.4	—	10000
22	264	−48.0	—	10310
23	244	−50.4	—	10830
	238	−51.2	—	11000
24	223	−52.8	—	11420
	204	−54.2	—	12000
25	200	−54.3	—	12115

1. IX. 1952 14.50 h HEC

	1000	—	—	220
0	964.7	21.5	55	493
1	913	16.1	68	960
	910	15.8	71	1000
2	865	13.9	83	1425
	850	13.0	79	1580
3	825	11.5	77	1830
	809	10.4	82	2000
4	784	8.5	83	2250
5	743	7.4	71	2690
	716	5.3	45	3000
6	706	5.2	30	3110
	700	4.8	28	3190
7	671	3.9	25	3520
8	640	2.5	18	3910
	633	1.8	28	4000
9	609	−0.4	54	4300
10	576	−3.4	61	4740
	559	−4.7	53	5000
11	544	−5.6	50	5200
12	516	−8.5	15	5620
	500	−9.6	15	5870
	491	−10.3	15	6000
	485	−10.8	15	6100
14	458	−12.7	15	6540
15	430	−14.8	15	7000
16	402	−17.8	15	7520
	376	−20.6	15	8000
17	373	−21.0	15	8080
18	345	−26.1	15	8650
	328	−28.8	16	9000
19	323	−29.8	16	9120
20	300	−34.9	18	9640
	285	−36.8	19	10000
21	272	−38.6	22	10320
22	253	−42.7	—	10800
	246	−44.3	—	11000
23	235	−46.5	—	11300
24	219	−50.0	—	11770
	212	−51.2	—	12000
25	200	−53.0	—	12360

2. IX. 1952 14.50 h HEC

	1000	—	—	220
0	964.0	20.0	52	493
1	912	16.7	53	970
	911	16.4	54	1000
2	859	12.6	57	1470
	850	11.8	60	1570
3	820	9.8	65	1870
	809	9.0	63	2000
4	780	7.3	60	2280
5	742	5.2	64	2700
	715	2.3	66	3000
6	705	1.5	68	3110
	700	3.3	60	3170
	690	3.7	54	3400
7	667	2.3	40	3550
8	630	0.9	26	4000
9	596	−0.1	15	4460
10	568	−3.6	15	4840
	558	−4.8	15	5000
11	534	−6.8	15	5330
12	505	−10.3	21	5770
	500	−11.1	24	5850
	490	−12.7	26	6000
13	488	−13.1	29	6030
14	458	−15.7	20	6500
15	432	−18.0	40	6950
	429	−18.4	41	7000
16	403	−20.2	47	7470
17	378	−23.0	52	7940
	375	−23.6	52	8000
18	353	−26.3	54	8450
19	326	−29.8	57	9000
20	302	−33.9	57	9550
	300	−34.3	57	9600
	284	−37.7	56	10000
21	279	−38.5	56	10090
22	256	−43.1	—	10690
	245	−45.4	—	11000
23	237	−47.0	—	11200
24	217	−51.9	—	11780
	210	−53.3	—	12000
25	200	−55.7	—	12230

3. IX. 1952 14.45 h HEC

	1000	—	—	200
0	962.2	21.0	47	493
1	917	17.4	50	920
	909	16.6	57	1000
2	881	13.9	66	1260
3	850	10.2	89	1560
4	817	7.0	100	1880
	806	6.5	75	2000
5	786	6.0	57	2200
6	757	4.5	31	2510
7	726	2.7	40	2850
	713	1.7	44	3000
	700	1.1	67	3140
8	696	0.7	69	3190
9	667	−0.3	70	3530
10	643	−1.3	86	3830
	629	−2.1	78	4000
11	615	−2.6	70	4190
12	586	−4.4	52	4570
13	565	−6.0	48	4850
	555	−6.5	41	5000
14	541	−6.7	34	5150
15	522	−8.3	31	5470
16	500	−11.2	31	5800
	487	−12.9	31	6000
17	478	−14.0	32	6150
18	454	−16.5	36	6540
19	431	−18.9	43	6930
	427	−19.6	45	7000
20	407	−22.3	60	7340
21	382	−25.2	66	7810
	372	−26.8	63	8000
22	361	−28.4	59	8220
23	340	−31.9	63	8650
	323	−35.2	67	9000
24	320	−35.7	69	9070
25	300	−39.4	70	9520
	280	−42.6	—	10000
26	277	−42.7	—	10060
27	261	−46.0	—	10460
28	242	−50.0	—	10950
	240	−50.5	—	11000
29	224	−54.1	—	11450
30	206	−58.2	—	12000
	200	−58.6	—	12200
31	188	−59.4	—	12560
	176	−59.4	—	13000
22	173	−59.4	—	13090

4. IX. 1952 14.50 h HEC

	1000	—	—	150
0	957.6	20.0	60	493
1	909	14.8	74	950
	904	14.2	80	1000
2	863	10.7	98	1390
	850	9.5	99	1520
3	824	7.0	100	1770
	800	5.4	100	2000
4	787	5.0	100	2140
5	751	3.9	90	2530
6	719	0.3	98	2880
	708	−0.7	99	3000
	700	−1.5	100	3095
7	687	−2.5	100	3250
8	664	−1.2	66	3510
	649	0.0	28	3700
9	632	−1.3	15	3910
	625	−1.1	25	4000
10	600	−4.1	55	4320
11	563	−7.9	86	4830
	550	−9.2	88	5000
12	529	−11.0	90	5310
13	500	−13.8	87	5785
	482	−16.2	70	6000
14	476	−16.6	55	6100
15	449	−19.0	21	6550
16	424	−21.0	16	6960
	422	−21.5	15	7000
17	398	−24.1	15	7425
18	372	−27.4	15	7915
	368	−28.3	15	8000
19	354	−30.2	15	8270
20	332	−33.7	15	8720
	320	−36.0	15	9000
21	310	−37.5	15	9200
	300	−39.6	15	9430
22	289	−41.7	—	9680
	276	−44.5	—	10000
23	267	−46.1	—	10200
24	248	−50.6	—	10690
	237	−51.8	—	11000
25	227	−52.4	—	11260
26	203	−54.6	—	12000
	200	−54.8	—	12090

5. IX. 1952 14.55 h HEC

	1000	—	—	000
0	945.3	20.5	50	493
1	922	16.4	54	700
2	890	14.4	56	1000
3	856	12.0	59	1330
	850	11.5	62	1390
4	828	9.7	69	1600
5	806	8.6	68	1840
	790	8.1	65	2000
6	780	8.0	63	2100
7	754	5.4	73	2390
8	717	2.7	75	2790
	700	2.8	69	3000
9	683	0.2	63	3170
10	650	−2.4	63	3580
11	616	−5.0	71	4000
12	589	−7.9	60	4350
13	557	−9.9	15	4790
	542	−11.3	15	5000
14	529	−12.7	15	5180
15	505	−14.8	15	5530
	500	−15.5	15	5610
16	480	−17.7	15	5910
	475	−18.5	30	6000
17	454	−20.4	49	6340
18	428	−23.4	85	6770
	414	−24.3	92	7000
19	404	−25.0	97	7200
20	384	−27.0	90	7550
21	364	−29.9	85	7930
	361	−30.4	85	8000
22	343	−32.8	84	8350
23	323	−36.8	83	8780
	313	−38.7	—	9000
24	300	−40.8	—	9290
25	277	−44.6	—	9820
	270	−45.8	—	10000
26	254	−48.3	—	10420
27	233	−50.9	—	10930
	232	−51.2	—	11000
28	217	−53.5	—	11450
29	203	−54.0	—	11950
	200	−54.1	—	11850
	199	−54.0	—	12000
30	189	−54.0	—	12320

6. IX. 1952 14.45 h HEC

	1000	—	—	095
0	952.4	15.0	75	493
1	909	10.3	80	890
	899	9.4	83	1000
2	870	7.3	87	1250
	850	5.8	92	1455
3	835	4.9	96	1590
4	799	2.0	100	1950
	795	1.5	100	2000
5	767	−1.0	100	2280
6	725	−1.9	100	2730
	702	−2.4	92	3000
	700	−2.5	91	3025
7	692	−2.6	90	3100
8	657	−4.0	41	3520
9	625	−8.5	38	3900
	618	−8.9	37	4000
10	592	−10.2	35	4320
11	566	−11.3	28	4670
	543	−14.4	50	5000

Min.	PPP	TTT	UU	H m. geop.
12	537	-14.8	63	5080
13	509	-17.3	84	5480
	500	**-18.8**	**87**	**5620**
14	486	-21.1	94	5820
	475	**-22.3**	**96**	**6000**
15	455	-24.1	100	6300
16	423	-26.6	100	6830
	414	**-28.1**	**100**	**7000**
17	399	-30.5	100	7250
18	370	-33.3	76	7790
	359	**-34.3**	**53**	**8000**
19	347	-35.2	45	8240
20	324	-36.6	36	8720
	311	**-41.0**	—	**9000**
21	**300**	**-43.0**	—	**9240**
22	276	-45.3	—	9800
	268	**-46.2**	—	**10000**
23	255	-47.6	—	10330
24	235	-48.4	—	10870
	230	**-48.4**	—	**11000**
25	220	-48.4	—	11310
26	206	-47.3	—	11740
	200	**-47.3**	—	**11940**
	198	**-47.3**	—	**12000**
27	193	-47.3	—	12180
28	180	-47.3	—	12640
29	**170**	**-48.5**	—	**13000**
30	158	-49.5	—	13490

8. IX. 1952 14.55 h HEC

	1000	—	—	**150**
0	958.1	10.0	80	493
1	911	8.9	75	910
	902	**8.0**	**76**	**1000**
2	870	5.8	78	1300
	850	**4.6**	**80**	**1480**
3	830	3.4	81	1680
	798	**1.5**	**76**	**2000**
4	793	1.5	73	2050
5	758	-0.5	73	2410
6	725	-2.9	83	2760
	704	**-4.3**	**82**	**3000**
	700	-4.4	**82**	**3040**
7	691	-5.1	82	3140
8	655	-8.5	81	3560
9	**619**	**-12.4**	**83**	**4000**
10	589	-14.9	87	4380
11	557	-17.6	88	4790
	543	**-18.7**	**85**	**5000**
12	526	-20.0	83	5230
	500	**-23.1**	**56**	**5600**
13	490	-24.4	49	5740
	473	**-25.2**	**44**	**6000**
14	456	-26.3	42	6270
15	426	-28.9	40	6760
	412	**-30.7**	**41**	**7000**
16	396	-32.5	42	7270
17	370	-36.3	45	7750
	357	**-37.5**	**45**	**8000**
18	344	-39.0	45	8250
19	319	-41.5	—	8770
	309	**-41.5**	—	**9000**
	300	**-41.8**	—	**9170**
20	295	-41.7	—	9300
21	269	-40.8	—	9930
	267	**-40.8**	—	**10000**
22	251	-40.0	—	10330
	230	**-38.5**	—	**11000**
23	227	-38.2	—	11090
24	209	-41.2	—	11650
	200	**-42.5**	—	**11950**
	199	**-42.8**	—	**12000**
25	194	-44.0	—	12290

9. IX. 1952 14.50 h HEC

	1000	—	—	**130**
0	959.7	12.5	60	493
1	923	7.8	65	810
	902	**5.8**	**68**	**1000**
2	885	4.5	70	1140
	850	**1.9**	**70**	**1480**
3	847	1.8	70	1510
4	814	0.0	66	1820
	796	**-0.9**	**66**	**2000**
5	775	-1.9	65	2220
6	735	-5.7	74	2640
7	**700**	-8.8	**88**	**3000**
8	666	-11.7	100	3400
9	634	-13.0	95	3780
	616	**-13.8**	**97**	**4000**
10	603	-14.3	100	4160
11	576	-15.6	100	4500
12	546	-17.3	100	4900
	540	**-17.8**	**100**	**5000**
13	518	-19.6	100	5310
	500	**-20.8**	**100**	**5570**
14	485	-22.3	100	5800
	472	**-23.2**	**99**	**6000**
15	457	-25.7	97	6220
16	428	-28.9	95	6700
	411	**-30.7**	**94**	**7000**
17	403	-31.5	93	7120
18	375	-35.3	92	7630
	356	**-38.7**	**91**	**8000**
19	350	-39.9	90	8100
20	324	-44.0	—	8620
	307	**-46.5**	—	**9000**
	300	**-47.7**	—	**9160**
21	297	-48.1	—	9200
22	273	-48.1	—	9770
	264	**-47.2**	—	**10000**
23	250	-45.8	—	10340
24	232	-45.0	—	10850
	227	**-44.9**	—	**11000**
25	215	-44.5	—	11360
	200	**-44.3**	—	**11860**
26	196	-44.4	—	11980
	195	**-44.4**	—	**12000**
27	181	-44.3	—	12510
	168	**-43.7**	—	**13000**
28	167	-43.5	—	13040

10. IX. 1952 14.50 h HEC

	1000	—	—	**175**
0	956.5	13.0	68	493
1	909	9.1	80	920
	901	**8.7**	**81**	**1000**
2	865	7.0	82	1320
	850	**6.0**	**84**	**1500**
3	820	4.6	87	1760
	797	**3.1**	**89**	**2000**
4	785	2.4	90	2130
5	**747**	0.0	100	2530
6	714	-2.7	100	2890
	703	**-3.9**	**100**	**3000**
	700	**-4.3**	**100**	**3050**
7	686	-5.4	100	3200
8	655	-7.8	100	3560
9	622	-10.5	99	3960
	619	**-10.6**	**96**	**4000**
10	589	-12.2	89	4390
11	560	-14.4	86	4770
	544	**-16.0**	**84**	**5000**
12	535	-16.8	83	5120
13	503	-20.9	85	5570
	500	**-21.3**	**85**	**5630**
14	477	-24.4	86	5960
	475	**-24.9**	**87**	**6000**
15	450	-28.5	70	6380
16	423	-31.9	35	6830
	413	**-32.5**	**34**	**7000**
17	395	-33.6	32	7310
18	370	-36.2	20	7760
	359	**-37.2**	**18**	**8000**
19	345	-37.9	15	8230
20	319	-40.2	—	8790
	309	**-41.8**	—	**9000**
	300	**-43.8**	—	**9230**
21	295	-44.4	—	9310
22	271	-49.2	—	9870
	266	**-49.8**	—	**10000**
23	249	-52.0	—	10440
24	234	-52.0	—	10830
	228	**-51.8**	—	**11000**
25	215	-51.2	—	11370
	200	**-49.4**	—	**11880**
26	198	-49.0	—	11920

12. IX. 1952 14.50 h HEC

	1000	—	—	**140**
0	954.0	12.0	73	493
1	910	8.0	74	900
	899	**7.0**	**78**	**1000**
2	865	4.0	87	1310
	850	**2.9**	**90**	**1470**
3	822	1.0	95	1730
	795	**-1.3**	**90**	**2000**
4	778	-2.4	88	2160
5	740	-5.3	93	2570
6	**700**	**-8.0**	**94**	**3000**
7	662	-10.8	100	3430
8	628	-12.8	84	3840
	615	**-13.9**	**50**	**4000**
9	597	-15.3	34	4220
10	564	-18.5	32	4640
	538	**-20.8**	**41**	**5000**
11	536	-21.0	43	5030
12	**500**	**-24.3**	**43**	**5500**
13	471	-28.5	38	5970
	469	**-28.7**	**38**	**6000**
14	442	-32.9	38	6410
15	412	-37.0	38	6910
	408	**-37.6**	**38**	**7000**
16	384	-41.3	—	7380
17	356	-43.0	—	7900
	352	**-43.0**	—	**8000**
18	328	-43.0	—	8460
19	**303**	**-43.0**	—	**9000**
	300	**-43.0**	—	**9080**
20	279	-43.0	—	9550
	261	**-43.0**	—	**10000**
21	256	-43.0	—	10130
22	239	-42.8	—	10600
	225	**-42.7**	—	**11000**
23	223	-42.6	—	11060
24	209	-42.5	—	11500
	200	**-42.5**	—	**11800**
25	196	-42.5	—	11940

13. IX. 1952 14.05 h HEC

	1000	—	—	**210**
0	961.8	14.0	55	493
1	928	10.2	62	800
	905	**7.7**	**69**	**1000**
2	885	5.8	76	1180
	850	**3.6**	**74**	**1540**
3	844	3.5	74	1590
4	805	1.0	54	1950
	801	**0.8**	**50**	**2000**
5	761	-0.9	44	2400
6	727	-2.8	40	2770
	706	**-3.9**	**40**	**3000**
	700	**-4.3**	**40**	**3100**
7	693	-4.6	40	3140
8	659	-6.8	32	3540
9	623	-8.4	21	3850
	622	**-9.5**	**20**	**4000**
10	600	-11.0	19	4260
11	568	-11.7	17	4680
	545	**-13.9**	**15**	**5000**
12	541	-14.1	15	5060
13	518	-16.9	15	5380
	500	**-17.8**	**15**	**5665**
14	**490**	-18.4	15	5800
	477	**-19.5**	**17**	**6000**
15	465	-20.7	20	6200
16	437	-22.6	36	6650
	416	**-24.8**	**31**	**7000**
17	409	-25.4	29	7140
18	383	-27.9	27	7600
	362	**-30.6**	**31**	**8000**
19	359	-31.2	32	8070
20	330	-35.0	41	8660
	314	**-37.3**	**45**	**9000**
21	305	-38.9	48	9200
	300	**-39.7**	**48**	**9330**
22	283	-42.3	—	9720
	272	**-44.3**	—	**10000**
23	262	-46.3	—	10230
24	243	-48.6	—	10730
	233	**-49.1**	—	**11000**
25	224	-49.4	—	11260
26	204	-49.0	—	11880
	200	**-49.0**	—	**12000**
27	190	-49.0	—	12350
28	176	-50.0	—	12850
	172	**-50.5**	—	**13000**
29	163	-51.3	—	13350

15. IX. 1952 14.40 h HEC

	1000	—	—	**180**
0	962.7	17.5	55	493
1	921	12.2	72	880
	907	**11.4**	**77**	**1000**
2	872	9.5	80	1330
	850	**7.7**	**77**	**1540**
3	831	6.3	74	1730
	804	**4.8**	**72**	**2000**
4	789	4.0	70	2150
5	747	1.6	74	2600
6	713	-0.7	71	2970
	710	**-0.8**	**70**	**3000**
	700	**-1.8**	**67**	**3110**
7	674	-3.9	63	3420
8	642	-6.5	47	3800
	625	**-7.6**	**40**	**4000**
9	608	-8.7	35	4220
10	573	-11.1	20	4690
	549	**-13.4**	**19**	**5000**
11	539	-14.6	18	5150
12	510	-17.5	18	5570
	500	**-18.5**	**18**	**5700**
	481	**-20.7**	**18**	**6000**
13	476	-21.2	18	6080
14	446	-23.2	18	6550
	420	**-26.3**	**18**	**7000**
15	415	-26.9	18	7080
16	385	-30.8	18	7610
	364	**-33.5**	**18**	**8000**
17	360	-34.3	18	8080
18	340	-36.1	28	8490
19	**315**	**-38.1**	**34**	**9000**
	300	**-39.7**	**30**	**9340**
20	286	-41.4	25	9670
	273	**-43.1**	**22**	**10000**
21	257	-45.3	20	10390

16. IX. 1952 14.30 h HEC

	1000	—	—	**160**
0	963.1	14.7	70	493
1	927	11.7	87	790
	910	10.5	87	960
	905	**10.6**	**84**	**1000**
2	893	11.5	78	1100
3	858	10.4	70	1445
	850	**9.9**	**71**	**1535**
4	823	8.2	72	1790
	803	**6.7**	**74**	**2000**
5	787	5.6	78	2150
6	756	3.4	77	2480
7	725	1.1	78	2810
	710	**-0.3**	**80**	**3000**
	700	**-0.7**	**82**	**3100**
8	693	-1.2	85	3180
9	665	-3.9	89	3500
10	636	-6.7	88	3850
	624	**-7.5**	**83**	**4000**
11	606	-9.1	77	4230
12	577	-11.7	57	4600
13	**548**	**-13.0**	**42**	**5000**
14	520	-15.6	37	5390
	500	**-17.8**	**39**	**5700**
15	491	-17.9	40	5830
	480	**-19.9**	**42**	**6000**
16	466	-21.5	45	6200
17	444	-25.3	52	6570
18	420	-28.7	51	6970
	418	**-29.0**	**51**	**7000**

Min.	PPP	TTT	UU	H m. geop.
19	398	-32.4	50	7350
20	375	-35.6	58	7750
	363	**-37.4**	**60**	**8000**
21	352	-38.8	62	8190
22	328	-42.1	—	8680
	313	**-43.0**	—	**9000**
23	307	-43.5	—	9120
	300	**-44.3**	—	**9285**
24	286	-46.3	—	9590
	270	**-46.5**	—	**10000**
25	267	-46.7	—	10060
26	249	-49.1	—	10525
	232	**-49.4**	—	**11000**
27	230	-49.5	—	11035
28	213	-51.5	—	11550
	200	**-51.9**	—	**11960**
	199	**-52.1**	—	**12000**
29	198	-52.0	—	12020
30	186	-53.5	—	12410
31	173	-54.5	—	12890
	170	**-55.0**	—	**13000**
32	160	-55.8	—	13380
33	149	-56.0	—	13830
17. IX. 1952	**14.40 h HEC**			
	1000	—	—	**130**
0	958.0	18.2	50	493
1	927	12.9	53	780
	903	**10.8**	**60**	**1000**
2	890	9.5	65	1120
3	**850**	**7.2**	**69**	**1500**
4	812	4.2	62	1870
	800	**3.4**	**62**	**2000**
5	775	1.3	62	2250
6	745	-1.1	85	2570
7	715	-4.2	92	2900
	706	**-4.7**	**93**	**3000**
	700	**-4.9**	**94**	**3060**
8	685	-5.7	96	3240
9	655	-6.1	67	3590
	644	-6.1	51	3720
10	628	-7.6	49	3920
	621	**-8.4**	**49**	**4000**
11	598	-10.6	50	4300
12	568	-13.5	50	4680
	545	**-16.2**	**55**	**5000**
13	540	-16.7	58	5070
14	510	-19.5	77	5500
	500	**-20.5**	**74**	**5640**
15	479	-22.7	70	5960
	476	**-23.0**	**73**	**6000**
16	452	-25.5	83	6370
17	430	-28.4	78	6740
	415	**-31.1**	**76**	**7000**
18	410	-32.0	75	7090
19	388	-34.5	68	7470
20	366	-35.2	47	7870
	360	**-36.2**	**46**	**8000**
21	346	-38.5	44	8270
22	324	-40.3	—	8710
	311	**-42.4**	—	**9000**
23	302	-43.7	—	9190
	300	**-43.9**	—	**9230**
24	281	-46.6	—	9680
	267	**-48.2**	—	**10000**
25	260	-49.3	—	10190
26	245	-51.4	—	10580
	229	**-52.2**	—	**11000**
27	226	-52.5	—	11100
28	209	-53.7	—	11610
	200	**-54.7**	—	**11880**
	196	**-55.2**	—	**12000**
29	194	-55.4	—	12070
30	180	-55.4	—	12560
	168	**-56.9**	—	**13000**
31	167	-57.1	—	13030
32	155	-56.3	—	13520
18. IX. 1952	**14.45 h HEC**			
	1000	—	—	**110**
0	955.9	13.6	90	493
1	920	11.5	86	810
	900	**10.3**	**90**	**1000**
2	875	9.0	100	1230
	850	**6.5**	**100**	**1470**
3	838	5.2	100	1600
	797	**4.2**	**100**	**2000**
4	786	2.6	100	2110
5	744	-0.6	100	2560
6	704	**-3.6**	**100**	**3000**
	700	**-3.7**	**100**	**3040**
7	672	-5.0	100	3370
8	650	-6.0	100	3630
9	622	-9.0	80	3970
	619	**-9.3**	**76**	**4000**
10	590	-9.9	48	4380
11	566	-12.5	46	4700
	544	**-14.6**	**46**	**5000**
12	540	-15.0	46	5060
13	516	-18.2	46	5400
	500	**-18.8**	**55**	**5630**
14	488	-19.5	64	5820
	475	**-21.2**	**75**	**6000**
15	462	-23.0	88	6220
16	434	-24.0	98	6670
	415	**-25.9**	**100**	**7000**
17	410	-26.4	100	7090
18	386	-29.2	100	7520
19	362	-31.8	100	7960
	361	**-31.9**	**100**	**8000**
20	339	-34.0	100	8430
	312	**-39.5**	**100**	**9000**
21	310	-40.0	100	9050
	300	**-41.6**	**100**	**9280**
22	292	-43.0	100	9460
	269	**-46.8**	**95**	**10000**
23	268	-47.0	95	10030
24	249	-50.8	90	10520
25	232	-54.8	90	10970
	231	**-54.8**	**90**	**11000**
26	214	-55.8	86	11490
	200	**-55.8**	**85**	**11920**
	198	**-55.8**	85	12000
27	194	-55.8	84	12120
28	182	-52.8	76	12520
	169	**-54.6**	**70**	**13000**
29	166	-55.0	68	13110
30	155	-54.0	66	13560
19. IX. 1952	**14.45 h HEC**			
	1000	—	—	**140**
0	958.6	8.4	55	493
1	919	6.8	60	820
	902	**6.2**	**65**	**1000**
2	874	5.6	72	1220
	850	**5.2**	**76**	**1480**
3	822	-0.5	80	1720
	797	**-2.3**	**81**	**2000**
4	779	-4.2	82	2150
5	732	-7.5	87	2430
6	714	-10.5	92	2820
	701	**-11.4**	**95**	**3000**
	700	**-11.7**	**95**	**3010**
7	682	-13.0	98	3180
8	643	-15.0	100	3630
9	616	-16.8	100	3950
	614	**-16.8**	**100**	**4000**
10	590	-17.0	88	4270
11	571	-17.5	58	4520
12	541	-18.4	26	4920
	538	**-18.6**	**23**	**5000**
13	512	-20.0	14	5340
	500	**-21.0**	**14**	**5540**
14	479	-23.0	14	5880
	470	**-23.5**	**14**	**6000**
15	440	-25.8	14	6450
16	410	-28.5	14	6960
	409	**-28.4**	**14**	**7000**
17	391	-29.0	14	7300
18	366	-31.0	14	7770
	356	**-32.4**	**14**	**8000**
19	344	-33.9	14	8200
20	316	-39.2	14	8800
	308	**-40.4**	**14**	**9000**
	300	**-41.2**	—	**9180**
21	295	-41.8	—	9270
22	274	-43.8	—	9770
	266	**-45.3**	—	**10000**
23	251	-47.0	—	10350
24	228	-49.0	—	11000
25	209	-48.9	—	11570
	200	-48.9	—	11880
20. IX. 1952	**14.10 h HEC**			
	1060	—	—	**180**
0	963.3	10.5	50	493
1	929	7.1	57	810
	907	**5.1**	**66**	**1000**
2	900	4.3	69	1060
3	871	2.2	85	1320
	850	**0.7**	**70**	**1520**
4	840	-0.1	65	1620
5	803	-2.9	81	1970
	800	**-3.1**	**82**	**2000**
6	768	-5.6	91	2330
7	726	-8.3	95	2780
	704	**-8.7**	**52**	**3000**
	700	**-8.9**	**50**	**3050**
8	692	-9.0	43	3140
9	661	-10.0	25	3490
10	630	-8.3	20	3850
	619	**-8.3**	**19**	**4000**
11	599	-8.2	17	4250
12	569	-9.8	15	4650
	544	**-12.2**	**16**	**5000**
13	540	-12.7	16	5050
14	512	-15.6	17	5450
	500	**-16.8**	**18**	**5640**
15	483	-18.5	19	5900
	476	**-19.1**	**20**	**6000**
16	457	-21.3	21	6300
17	430	-25.0	26	6750
	415	**-27.2**	**28**	**7000**
18	407	-28.7	30	7150
19	379	-31.2	32	7660
	361	**-33.6**	**33**	**8000**
20	354	-34.5	33	8130
21	335	-37.9	37	8520
	312	**40.6**	**37**	**9000**
22	310	**-40.7**	—	9040
	300	**-42.3**	—	**9270**
23	286	-44.7	—	9600
	269	**-47.1**	—	**10000**
24	262	-48.1	—	10180
25	245	-52.1	—	10620
	231	**-54.5**	—	**11000**
26	225	-55.5	—	11160
27	207	-54.5	—	11700
	200	**-53.4**	—	**11920**
	197	**-53.0**	—	**12000**
28	189	-51.7	—	12290
29	176	-52.6	—	12740
	169	**-53.0**	—	**13000**
30	165	-53.2	—	13170
22. IX. 1952	**14.45 h HEC**			
	1000	—	—	**215**
0	963.5	12.7	100	493
1	913	9.8	90	950
	911	**9.3**	**92**	**1000**
2	874	5.7	98	1305
	850	**4.2**	**99**	**1540**
3	826	2.9	100	1755
	807	**1.6**	**100**	**2000**
4	783	0.8	100	2185
5	744	-1.6	100	2620
6	**706**	**-3.5**	**100**	**3000**
	700	**-3.8**	**100**	**3112**
7	672	-5.1	100	3410
8	637	-7.0	39	3825
	628	**-7.5**	**38**	**4000**
9	603	-8.9	37	4265
10	574	-10.3	45	4640
	552	**-10.7**	**50**	**5000**
11	546	-11.0	68	5080
12	513	-13.2	55	5520
	500	-14.4	51	5725
13	**481**	**-15.8**	**47**	**6000**
14	455	-19.1	47	6430
15	426	-22.1	73	6910
	423	**-23.5**	**72**	**7000**
16	397	-25.5	70	7430
17	370	-29.4	70	7940
	368	**-29.6**	**70**	**8000**
18	345	-32.8	70	8440
19	323	-36.6	68	8910
	320	**-36.8**	**68**	**9000**
	300	**-40.0**	**69**	**9430**
20	295	-41.0	69	9530
	276	**-43.3**	—	**10000**
21	270	-44.1	68	10350
22	244	-46.4	65	10810
	238	**-46.9**	—	**11000**
23	228	-47.8	61	11260
24	210	-49.3	59	11810
25	**205**	**-49.8**	**59**	**12000**
	200	**-50.3**	**59**	**12150**
23. IX. 1952	**14.40 h HEC**			
	1000	—	—	**210**
0	968.0	15.0	50	493
1	949	11.4	55	645
2	**909**	**8.6**	**64**	**1000**
3	876	4.9	81	**1500**
	850	**9.8**	**79**	**1570**
4	841	3.3	78	1635
	806	**2.9**	**84**	**2000**
5	801	2.8	86	2040
6	765	2.6	80	2400
7	728	2.0	68	2810
	713	**2.0**	**54**	**3000**
	700	**2.0**	**40**	**3016**
8	696	2.0	34	3170
9	668	0.2	26	3500
10	639	-3.4	47	3865
	628	**-3.3**	**38**	**4000**
11	598	-4.5	26	4400
12	570	-6.6	28	4750
	553	**-7.8**	**27**	**5000**
13	543	-9.0	26	5140
14	513	-11.4	20	5570
15	**500**	**-14.1**	**20**	**5770**
	487	**-15.3**	**20**	**6000**
16	471	-17.0	20	6220
17	443	-20.5	29	6670
	426	**-23.0**	**29**	**7000**
18	416	-24.5	29	7140
19	390	-27.8	52	7600
	370	**-30.6**	**36**	**8000**
20	367	-31.0	37	8050
21	351	-34.0	42	8350
22	325	-39.0	46	8890
	321	**-39.5**	—	**9000**
23	**300**	**-41.9**	**47**	**9410**
24	280	-45.0	45	9900
	276	**-45.3**	—	**10000**
25	259	-47.7	44	10430
	237	**-53.4**	—	**11000**
26	230	-55.0	44	11190
27	215	-59.0	44	11620
24. IX. 1952	**14.45 h HEC**			
	1000	—	—	**175**
0	962.8	15.0	55	493
1	924	11.8	65	890
	907	**9.9**	**72**	**1000**
2	893	8.7	79	1110
3	860	5.8	92	1420
	850	**5.2**	**92**	**1530**
	835	4.4	91	1660
4	823	4.7	83	1780
	803	**4.8**	**72**	**2000**
5	788	5.0	64	2130
6	758	4.4	45	2450
7	723	2.2	38	2880
	709	**1.8**	**35**	**3000**
	700	**1.7**	**32**	**3110**
8	691	1.6	30	3200

Min.	PPP	TTT	UU	H m. geop.
9	660	2.2	25	3570
10	634	-0.2	20	3900
	627	**-0.6**	**19**	**4000**
11	607	-2.4	18	4240
12	579	-5.4	18	4620
13	552	-8.1	18	5000
14	525	-10.9	18	5370
15	**500**	**-13.9**	**18**	**5750**
	484	**-15.4**	**18**	**6000**
16	473	-16.3	18	6170
17	449	-17.3	18	6560
	424	**-20.1**	**19**	**7000**
18	421	-20.5	20	7040
19	398	-24.4	21	7450
20	377	-28.0	22	7840
	369	**-29.0**	**22**	**8000**
21	358	-31.1	22	8320
22	329	-34.1	22	8800
	320	**-35.4**	**22**	**9000**
23	306	-37.7	22	9310
	300	**-38.7**	**22**	**9460**
24	285	-41.1	—	9800
	277	**-42.9**	—	**10000**
25	263	-45.8	—	10340
26	241	-49.7	—	10920
	238	**-50.1**	—	**11000**
27	223	-52.9	—	11410
28	205	-57.1	—	11960
	204	**-57.2**	—	**12000**
	200	**-57.6**	—	**12120**
29	185	-59.4	—	12600
	174	**-59.4**	—	**13000**
30	172	-59.4	—	13060

25. IX. 1952 15.00 h HEC

	1000	—	—	**095**
0	950.8	17.0	45	493
1	**893**	**15.0**	**41**	**1000**
2	854	11.6	40	1400
	850	**11.1**	**39**	**1455**
3	809	9.4	37	1845
	798	**8.6**	**34**	**2000**
4	775	6.9	30	2210
5	725	4.2	24	2755
6	**704**	**0.7**	**21**	**3000**
	700	**0.0**	**30**	**3050**
7	669	-2.6	63	3400
8	639	-4.9	98	3770
	622	**-6.1**	**99**	**4000**
9	605	-7.1	100	4200
10	576	-11.1	100	4560
	548	**-12.6**	**100**	**5000**
11	539	-13.0	100	5080
12	513	-13.1	100	5460
	500	**-13.1**	**100**	**5680**
13	484	-13.1	100	5910
	480	**-13.5**	**100**	**6000**
14	463	-14.9	100	6240
15	439	-17.2	100	6650
16	**417**	**-19.6**	**98**	**7000**
17	393	-23.0	98	7470
18	**366**	**-26.0**	**94**	**8000**
19	339	-31.1	92	8550
	319	**-35.2**	**90**	**9000**
20	316	-35.8	90	9050
	300	**-39.2**	**88**	**9425**
21	293	-40.6	—	9560
	275	**-44.4**	—	**10000**
22	269	-45.6	—	10130
23	249	-51.4	—	10650
	237	**-55.2**	—	**11000**
24	231	-57.0	—	11130
25	209	-62.5	—	11765
	200	**-65.2**	—	**12000**

26. IX. 1952 14.40 h HEC

	1000	—	—	**070**
0	951.1	13.0	50	493
1	920	9.5	60	780
2	**894**	**7.0**	**68**	**1000**
3	858	4.4	68	1350
	850	**3.7**	**70**	**1420**
4	822	1.3	77	1690
	791	**-0.4**	**81**	**2000**
5	781	-1.0	83	2100
6	746	-4.6	83	2470
7	706	-7.1	73	2900
	700	**-7.4**	**72**	**2960**
	697	**-7.6**	**71**	**3000**
8	670	-9.1	68	3300
9	637	-10.1	25	3690
	612	**-11.2**	**21**	**4000**
10	607	-11.5	20	4060
11	579	-13.2	20	4430
12	549	-14.7	57	4880
	537	**-15.6**	**58**	**5000**
13	518	-17.3	60	5280
	500	**-18.8**	**62**	**5530**
14	490	-19.9	63	5680
	470	**-21.8**	**79**	**6000**
15	463	-22.5	84	6100
16	434	-25.4	92	6580
	409	**-27.8**	**96**	**7000**
17	404	-28.4	97	7090
18	378	-33.0	97	7570
	355	**-35.9**	**90**	**8000**
19	353	-36.3	89	8040
20	330	-38.3	81	8500
21	**307**	**-41.3**	—	**9000**
	300	**-42.6**	—	**9160**
22	282	-46.7	—	9580
	264	**-50.2**	—	**10000**
23	263	-50.7	—	10030
24	239	-53.4	—	10650
	226	**-53.3**	—	**11000**
25	221	-53.4	—	11150
26	202	-51.3	—	11740
	200	**-51.4**	—	**11800**
	194	**-51.6**	—	**12000**
27	185	-52.2	—	12300
28	172	-48.3	—	12790

27. IX. 1952 14.00 h HEC

	1000	—	—	**055**
0	948.6	7.3	80	493
	892	**4.2**	**94**	**1000**
1	885	3.7	96	1070
	850	**1.3**	**97**	**1390**
2	843	0.5	98	1460
3	813	-1.3	100	1750
	788	**-2.5**	**100**	**2000**
4	781	-3.1	100	2070
5	752	-5.7	100	2380
6	725	-7.2	100	2660
7	**700**	**-8.7**	**100**	**2930**
	693	**-8.8**	**100**	**3000**
8	674	-9.5	100	3220
9	647	-10.9	98	3530
10	616	-13.3	98	3910
	608	**-13.6**	**98**	**4000**
11	582	-14.8	97	4350
12	551	-17.2	97	4760
	533	**-18.4**	**96**	**5000**
13	523	-19.3	96	5140
14	503	-21.0	94	5440
	500	**-21.2**	**93**	**5470**
15	481	-23.2	93	5770
	465	**-25.3**	**93**	**6000**
16	458	-26.4	92	6120
17	437	-28.1	91	6460
18	414	-30.3	88	6840
	404	**-31.8**	**88**	**7000**
19	393	-33.8	86	7210
20	370	-36.7	84	7650
21	352	-39.8	84	7960
	351	**-39.1**	**84**	**8000**
22	333	-41.5	—	8350
23	312	-43.3	—	8790
	303	**-42.6**	—	**9000**
	300	**-42.4**	—	**9050**
24	291	-42.0	—	9260
25	271	-43.1	—	9740
	261	**-42.8**	—	**10000**
26	251	-42.7	—	10260
27	231	-43.7	—	10820
	225	**-43.8**	—	**11000**
28	215	-44.0	—	11290
29	**200**	**-44.6**	—	**11790**
	194	**-44.6**	—	**12000**
30	188	-44.6	—	12200

29. IX. 1952 14.50 h HEC

	1000	—	—	**100**
0	951.4	12.0	50	493
1	905	8.0	70	910
	895	**7.0**	**74**	**1000**
2	874	4.6	77	1200
	850	**2.1**	**84**	**1420**
3	845	1.6	90	1460
4	819	-0.8	100	1710
5	793	-2.0	100	1970
	790	**-2.4**	**100**	**2000**
6	770	-3.5	100	2200
7	743	-5.1	100	2490
8	710	-7.2	100	2850
	700	**-7.8**	**100**	**2950**
	697	**-8.2**	**100**	**3000**
9	683	-9.0	100	3150
10	640	-11.0	100	3550
11	618	-13.0	100	3920
	611	**-13.6**	**100**	**4000**
12	598	-14.6	100	4170
13	572	-16.8	100	4500
14	546	-18.8	100	4850
	535	**-20.0**	**100**	**5000**
15	528	-20.8	100	5100
16	506	-23.0	100	5410
	500	**-23.6**	**80**	**5500**
17	489	-24.5	68	5660
18	**466**	**-23.3**	**40**	**6000**
19	444	-24.5	30	6360
20	425	-26.2	28	6680
21	**407**	**-28.1**	**28**	**7000**
22	389	-30.0	34	7320
23	372	-31.5	50	7620
24	**354**	**-34.0**	**60**	**8000**
25	334	-36.5	64	8390
26	314	-40.5	—	8820
	306	**-41.8**	—	**9000**
	300	**-42.7**	—	**9130**
27	295	-43.4	—	9250
28	275	-46.3	—	9710
	258	**-48.3**	—	**10000**
29	256	-49.7	—	10180
30	243	-51.3	—	10520
31	229	-53.0	—	10910

30. IX. 1952 14.50 h HEC

	1000	—	—	**070**
0	945.9	9.5	80	493
1	895	7.0	90	960
	891	**6.8**	**87**	**1000**
2	**850**	**5.4**	**85**	**1390**
3	818	3.9	85	1690
	788	**2.5**	**90**	**2000**
4	785	2.3	94	2040
5	757	0.4	97	2320
6	729	-0.9	100	2620
7	703	-2.4	100	2910
	700	**-2.7**	**100**	**2960**
	695	**-3.0**	**100**	**3000**
8	677	-4.0	100	3210
9	654	-5.9	100	3490
10	625	-7.9	100	3850
	612	**-9.1**	**100**	**4000**
11	600	-10.3	100	4160
12	570	-13.1	100	4540
13	540	-15.7	100	4960
	537	**-15.9**	**97**	**5000**
14	513	-17.0	60	5330
	500	**-18.1**	**44**	**5540**
15	486	-19.2	32	5740
	470	**-21.0**	**36**	**6000**
16	455	-22.5	40	6230
17	430	-24.9	47	6650
	409	**-26.3**	**54**	**7000**
18	404	-26.7	61	7100
19	378	-30.3	70	7580
20	**355**	**-33.9**	**72**	**8000**
21	330	-36.7	73	8530
	308	**-40.2**	—	**9000**
22	306	-40.6	—	9050
	300	**-41.7**	—	**9190**
23	282	-44.6	—	9610
	265	**-46.5**	—	**10000**
24	262	-46.7	—	10080
25	242	-47.5	—	10610
	228	**-48.7**	—	**11000**
26	223	-48.9	—	11150
27	208	-49.9	—	11610
	200	**-51.0**	—	**11870**
	196	**-51.5**	—	**12000**
28	194	-51.5	—	12070
29	180	-53.1	—	12560
30	170	-54.5	—	12910

30. IX. 1952 08.25 h HEC

	1000	—	—	**050**
0	948.2	6.1	100	493
1	903	4.8	96	890
	891	**4.4**	**90**	**1000**
2	854	2.9	75	1350
	850	**2.8**	**76**	**1385**
3	813	-0.6	84	1740
	787	**-0.4**	**84**	**2000**
4	773	-1.5	82	2140
5	733	-3.3	94	2570
6	**700**	**-5.1**	**93**	**2930**
	694	**-5.5**	**93**	**3000**
7	669	-7.3	95	3290
8	634	-5.7	100	3700
	611	**-7.0**	**100**	**4000**
9	603	-7.6	100	4100
10	567	-9.8	100	4570
	537	**-11.4**	**100**	**5000**
11	535	-11.6	100	5030
12	506	-14.0	99	5450
	500	**-14.7**	**99**	**5540**
13	479	-16.9	98	5870
	470	**-17.6**	**98**	**6000**
14	448	-19.9	98	6360
15	417	-23.1	93	6890
	411	**-23.8**	**92**	**7000**
16	391	-26.5	91	7360
17	365	-30.7	91	7850
	358	**-31.9**	**90**	**8000**
18	341	-34.8	88	8340
19	316	-38.9	85	8870
	310	**-39.8**	**84**	**9000**
	300	**-41.0**	**84**	**9210**
20	289	-42.7	83	9470
	267	**-46.6**	—	**10000**
21	264	-47.3	—	10080
22	248	-51.5	—	10610
	229	**-53.1**	—	**11000**
23	223	-53.9	—	11160

1. X. 1952 08.40 h HEC

	1000	—	—	**080**
0	949.2	8.0	100	493
1	895	6.6	100	970
	892	**6.5**	**100**	**1000**
2	**850**	**4.6**	**100**	**1410**
3	815	2.5	100	1740
	789	**1.3**	**100**	**2000**
4	776	0.6	100	2130
5	738	-1.7	100	2540
6	**700**	**-3.0**	**100**	**2950**
	697	**-3.1**	**100**	**3000**
7	659	-4.4	100	3430
8	**614**	**-6.5**	**100**	**4000**
9	580	-8.5	100	4430
10	544	-10.8	99	4930
	540	**-11.4**	**97**	**5000**
11	514	-13.7	88	5360
	500	**-14.9**	**83**	**5580**
12	483	-16.2	78	5830
	473	**-17.1**	**76**	**6000**

Min.	PPP	TTT	UU	H m. geop.
13	455	−19.1	74	6290
14	422	−22.6	66	6830
	413	**−23.7**	**62**	**7000**
15	390	−26.2	58	7420
16	361	−29.3	52	7970
	360	**−29.5**	**51**	**8000**
17	334	−31.8	40	8530
	312	**−33.2**	**37**	**9000**
18	304	−33.7	34	9190
	300	**−34.1**	**34**	**9270**
19	277	−35.9	35	9880
	270	**−36.8**	**37**	**10000**
20	250	−39.2	42	10550
	234	**−41.2**	**44**	**11000**
21	218	−43.4	—	11470
	202	**−43.9**	—	**12000**
	200	**−44.0**	—	**12060**
22	196	−44.0	—	12180
23	**174**	**−44.0**	—	**13000**
24	152	−44.0	—	13960
	149	**−44.3**	—	**14000**
25	135	−45.5	—	14700
	129	**−46.0**	—	**15000**
26	115	−46.5	—	15760
	1. X. 1952	**14.50 h HEC**		
	1000	—	—	**085**
0	950.4	12.5	50	493
1	910	10.0	62	850
	893	**8.4**	**68**	**1000**
2	873	7.0	77	1200
	850	**5.0**	**84**	**1430**
3	835	3.9	95	1560
4	801	1.1	100	1900
	790	**0.6**	**97**	**2000**
5	765	−1.0	93	2240
6	730	−1.9	38	2630
	700	**−3.7**	**27**	**3000**
7	690	−4.1	22	3080
8	650	−7.0	61	3550
	612	**−9.0**	**65**	**4000**
9	610	−9.1	68	4040
10	577	−11.5	68	4500
11	546	−12.8	26	4900
	538	**−13.4**	**24**	**5000**
12	518	−14.8	20	5290
	500	**−16.6**	**18**	**5560**
13	487	−18.2	18	5750
	471	**−19.7**	**18**	**6000**
14	456	−21.4	18	6240
15	431	−25.2	18	6650
	411	**−28.6**	**18**	**7000**
16	402	−30.0	18	7150
17	373	−32.2	20	7630
	357	**−33.7**	**20**	**8000**
18	345	−34.8	20	8230
19	320	−38.1	18	8750
	309	**−39.3**	**18**	**9000**
	300	**−40.4**	—	**9200**
20	298	−40.6	—	9240
21	276	−44.0	—	9760
	266	**−45.6**	—	**10000**
22	253	−47.7	—	10350
23	234	−49.5	—	10850
	229	**−49.4**	—	**11000**
24	217	−48.4	—	11350
	197	**−46.4**	—	**12000**
25	**200**	**−46.6**	—	**11890**
26	185	−48.0	—	12400
27	170	−48.0	—	12970
	169	**−48.0**	—	**13000**
28	158	−48.0	—	13450
29	147	−48.0	—	13920
	145	−48.0	—	14000
30	**137**	**−48.0**	—	**14380**
	2. X. 1952	**14.40 h HEC**		
	1000	—	—	**160**
0	958.3	7.0	80	493
1	905	2.0	100	960
	900	**1.7**	**100**	**1000**
2	856	−0.9	100	1400

Min.	PPP	TTT	UU	H m. geop.
	850	**−1.6**	**100**	**1470**
3	815	−3.5	100	1790
	793	**−5.2**	**100**	**2000**
4	775	−6.6	100	2200
5	738	−9.0	100	2560
6	704	−12.5	100	2940
	700	**−12.8**	**100**	**3000**
7	670	−14.4	100	3310
8	636	−17.0	100	3700
	511	**−18.7**	**100**	**4000**
9	601	−19.6	100	4120
10	568	−23.4	100	4550
11	535	−27.3	98	4980
	533	**−27.5**	**98**	**5000**
12	503	−31.0	96	5420
	500	**−31.4**	**96**	**5470**
13	480	−33.7	90	5750
	463	**−35.5**	**85**	**6000**
14	458	−36.6	84	6150
15	429	−40.4	—	6530
16	404	−43.7	—	6930
	400	**−44.0**	—	**7000**
17	373	−46.4	—	7450
18	348	−47.5	—	7920
	345	**−47.7**	—	**8000**
19	327	−48.0	—	8340
20	**300**	**−47.0**	—	**8910**
	296	**−46.8**	—	**9000**
21	284	−46.0	—	9280
22	266	−45.0	—	9710
	255	**−46.2**	—	**10000**
23	247	−47.0	—	10200
24	231	−46.0	—	10630
	219	**−46.0**	—	**11000**
25	218	−46.0	—	11020
26	**200**	**−46.0**	—	**11600**
	3. X. 1952	**14.55 h HEC**		
	1000	—	—	**200**
0	962.6	9.0	65	493
	905	**6.6**	**69**	**1000**
1	902	6.5	70	1040
2	855	3.5	79	1480
	850	**3.1**	**80**	**1520**
3	810	0.0	84	1910
	800	**−0.5**	**85**	**2000**
4	769	−2.3	88	2320
5	730	−4.7	90	2740
	705	**−6.2**	**90**	**3000**
	700	**−6.6**	**90**	**3060**
6	690	−7.0	90	3160
7	658	−9.3	90	3600
8	**618**	**−11.7**	**92**	**4000**
9	583	−14.6	88	4480
10	555	−17.4	93	4840
	543	**−18.6**	**90**	**5000**
11	522	−21.2	85	5310
	500	**−23.4**	**73**	**5620**
12	489	−24.4	76	5720
	474	**−26.0**	**75**	**6000**
13	455	−27.9	74	6300
14	423	−31.3	74	6820
	412	**−33.0**	**74**	**7000**
15	397	−35.2	73	7260
16	371	−39.5	70	7720
	357	**−42.3**	**69**	**8000**
17	344	−44.8	68	8240
18	319	−47.7	68	8750
	307	**−46.3**	**67**	**9000**
	300	**−45.4**	**66**	**9150**
19	293	−44.6	66	9310
20	268	−43.7	66	9900
	265	**−43.4**	—	**10000**
21	245	−42.0	—	10500
22	229	−44.0	—	10960
	228	**−44.2**	—	**11000**
23	210	−44.6	—	11530
	200	**−45.2**	—	**11880**
	196	**−45.3**	—	**12000**
24	195	−45.3	—	12040
25	182	−45.6	—	12500
26	170	−45.8	—	12950

Min.	PPP	TTT	UU	H m. geop.
	4. X. 1952	**14.50 h HEC**		
	1000	—	—	**160**
0	960.4	11.5	65	493
1	910	7.7	80	940
	903	**7.1**	**82**	**1000**
2	865	4.7	90	1370
	850	**4.2**	**79**	**1500**
3	824	3.3	56	1740
	799	**3.1**	**45**	**2000**
4	788	3.0	37	2110
5	754	1.9	36	2460
6	718	−0.7	38	2860
	704	**−1.5**	**37**	**3000**
	700	**−1.6**	**36**	**3070**
7	683	−2.7	35	3240
8	658	−4.9	32	3620
	621	**−7.5**	**33**	**4000**
9	618	−7.6	34	4030
10	585	−10.1	46	4470
11	553	−12.7	76	4900
	545	**−12.8**	**80**	**5000**
12	520	−12.9	94	5370
	500	**−14.4**	**97**	**5670**
13	490	−15.0	100	5810
	478	**−16.3**	**98**	**6000**
14	467	−17.4	97	6170
15	445	−20.3	95	6540
16	425	−22.9	94	6870
	418	**−23.5**	**94**	**7000**
17	398	−25.2	94	7360
18	375	−28.3	93	7780
	363	**−29.9**	**93**	**8000**
19	348	−32.4	93	8310
20	324	−35.8	92	8820
	316	**−37.0**	**91**	**9000**
	300	**−39.4**	**90**	**9350**
21	297	−39.7	90	9400
22	276	−44.2	—	9920
	273	**−44.7**	—	**10000**
23	252	−48.3	—	10520
	234	**−50.6**	—	**11000**
24	229	−51.5	—	11150
25	210	−53.3	—	11700
	200	**−53.3**	—	**12000**
26	189	−53.3	—	12380
	6. X. 1952	**15.05 h HEC**		
	1000	—	—	**170**
0	959.1	10.5	100	493
1	908	9.8	100	950
	902	**10.1**	**100**	**1000**
	894	10.5	100	1080
2	860	9.5	100	1400
	850	**8.6**	**98**	**1500**
3	821	6.9	94	1780
	800	**5.2**	**94**	**2000**
4	786	4.2	94	2140
5	754	0.8	100	2480
6	717	−2.1	100	2880
	706	**−2.5**	**100**	**3000**
	700	**−2.7**	**100**	**3070**
7	683	−3.3	100	3260
8	648	−4.8	100	3670
	622	**−6.0**	**100**	**4000**
9	610	−6.7	100	4140
10	576	−9.1	100	4600
	547	**−10.7**	**100**	**5000**
11	543	−11.0	100	5060
12	512	−12.3	100	5500
	500	**−13.6**	**100**	**5700**
13	484	−15.0	100	5930
	480	**−15.4**	**100**	**6000**
14	456	−17.5	100	6380
15	429	−19.7	100	6840
	420	**−20.5**	**100**	**7000**
16	401	−22.4	99	7340
17	374	−27.3	97	7850
	366	**−28.4**	**97**	**8000**
18	349	−31.3	96	8340
19	322	−35.7	92	8910
	318	**−36.4**	**91**	**9000**
	300	**−39.5**	**91**	**9400**

Min.	PPP	TTT	UU	H m. geop.
20	297	−40.1	90	9460
	274	**−44.4**	—	**10000**
21	268	−45.7	—	10150
22	244	−51.0	—	10770
	236	**−52.2**	—	**11000**
23	219	−54.9	—	11470
24	**202**	**−59.0**	—	**12000**
	200	**−59.2**	—	**12040**
25	185	−61.3	—	12520
26	**172**	**−58.8**	—	**13000**
	7. X. 1952	**14.40 h HEC**		
	1000	—	—	**150**
0	960.0	14.8	50	493
1	924	9.0	78	820
	904	**7.9**	**81**	**1000**
2	879	6.0	84	1240
	850	**4.3**	**88**	**1510**
3	832	3.1	92	1670
	799	**0.9**	**96**	**2000**
4	784	−0.1	100	2150
5	741	−0.7	63	2610
6	707	−2.2	41	2970
	705	**−2.3**	**40**	**3000**
	700	**−2.4**	**39**	**3060**
7	671	−3.6	33	3400
8	638	−5.9	28	3790
	621	**−7.0**	**27**	**4000**
9	607	−7.9	26	4180
10	578	−9.6	23	4570
11	**545**	**−12.8**	**33**	**5000**
12	513	−15.5	40	5480
	500	**−16.5**	**40**	**5660**
13	482	−18.1	40	5940
	478	**−18.4**	**40**	**6000**
14	452	−21.3	38	6420
15	426	−25.2	37	6860
	417	**−26.5**	**37**	**7000**
16	408	−28.5	36	7250
17	378	−31.8	38	7700
	363	**−34.0**	**40**	**8000**
18	355	−35.2	42	8140
19	331	−38.9	42	8640
	314	**−42.2**	—	**9000**
20	308	−43.2	—	9120
	300	**−44.6**	—	**9300**
21	284	−47.6	—	9660
	270	**−50.3**	—	**10000**
22	264	−51.4	—	10140
23	246	−55.3	—	10610
	231	**−57.4**	—	**11000**
24	228	−57.9	—	11070
25	213	−60.1	—	11500
26	**200**	**−62.1**	—	**11900**
	197	**−62.0**	—	**12000**
27	187	−61.8	—	12310
	8. X. 1952	**14.50 h HEC**		
	1000	—	—	**250**
0	966.8	11.5	45	493
1	924	8.0	48	860
	910	**6.9**	**49**	**1000**
2	885	4.9	51	1280
	850	**2.1**	**53**	**1560**
3	847	2.0	54	1580
4	813	−1.6	56	1910
	803	**−2.4**	**56**	**2000**
5	777	−4.8	57	2265
6	741	−8.7	61	2640
7	711	−9.5	42	2950
	708	**−9.2**	**36**	**3000**
	700	**−9.0**	**30**	**3080**
8	677	−8.6	22	3330
9	647	−8.3	19	3690
10	**620**	**−11.0**	**20**	**4000**
11	585	−14.7	22	4460
12	555	−17.3	22	4860
	545	**−18.2**	**27**	**5000**
13	526	−20.1	30	5250
	500	**−22.2**	**32**	**5655**
14	495	−22.5	34	5700
	475	**−24.1**	**35**	**6000**

Min.	PPP	TTT	UU	H m. geop.
15	468	-25.3	37	6110
16	442	-28.8	37	6530
17	416	-31.5	33	6930
	414	**-31.8**	**33**	**7000**
18	398	-34.6	33	7350
19	367	-37.9	33	7830
	358	**-39.4**	**33**	**8000**
20	344	-42.0	—	8280
21	322	-46.3	—	8710
	309	**-48.6**	—	**9000**
22	**300**	**-50.2**	—	**9180**
23	280	-54.5	—	9630
	264	**-55.8**	—	**10000**
24	260	-56.1	—	10100

9. X. 1952 14.50 h HEC

	1000	—	—	**210**
0	963.3	14.0	42	493
1	922	9.8	46	850
	907	**8.9**	**46**	**1000**
2	883	7.7	45	1220
	850	**6.2**	**35**	**1540**
3	843	6.0	38	1600
4	805	4.8	31	1970
	802	**4.8**	**31**	**2000**
5	762	4.4	30	2420
6	728	2.6	30	2790
	710	**1.4**	**30**	**3000**
	700	**0.5**	**30**	**3115**
7	692	0.0	30	3200
8	663	-2.8	29	3540
9	628	-5.9	28	3960
	625	**-6.3**	**28**	**4000**
10	596	-9.0	28	4370
11	566	-11.3	28	4770
	549	**-13.3**	**29**	**5000**
12	535	-14.9	29	5200
13	505	-18.8	30	5630
	500	**-19.5**	**30**	**5710**
	480	**-21.7**	**30**	**6000**
14	470	-22.8	30	6160
15	441	-26.2	30	6630
	419	**-29.7**	**30**	**7000**
16	411	-31.0	30	7150
17	382	-35.5	30	7650
	363	**-38.8**	**30**	**8000**
18	356	-40.0	—	8120
19	330	-44.2	—	8650
	313	**-47.7**	—	**9000**
20	307	-47.6	—	9130
	300	**-48.9**	—	**9280**
21	285	-51.5	—	9610
	269	**-54.3**	—	**10000**
22	265	-55.0	—	10090
23	244	-58.7	—	10600
	229	**-61.8**	—	**11000**
24	225	-62.5	—	11110

10. X. 1952 14.45 h HEC

	1000	—	—	**160**
0	958.3	11.0	55	493
1	**900**	**6.5**	**68**	**1000**
2	854	3.4	84	1440
	850	**3.0**	**88**	**1480**
3	810	-0.8	100	1870
	797	**-1.1**	**93**	**2000**
4	764	-1.7	81	2330
5	725	-3.8	79	2750
	700	**-5.2**	**87**	**3000**
6	687	-6.0	93	3170
7	653	-7.5	91	3570
	617	**-9.7**	**48**	**4000**
8	612	-9.6	33	4070
9	580	-11.7	20	4480
10	546	-13.8	18	4980
	542	**-14.4**	**18**	**5000**
11	518	-17.4	20	5340
	500	**-19.1**	**20**	**5600**
12	487	-20.4	20	5800
	474	**-22.2**	**20**	**6000**
13	457	-24.6	20	6270
14	427	-28.3	18	6750
	413	**-30.3**	**18**	**7000**
15	400	-32.0	18	7230
16	371	-35.9	20	7750
	358	**-37.6**	—	**8000**
17	344	-39.3	21	8270
18	320	-42.6	—	8770
	309	**-44.7**	—	**9000**
	300	**-46.5**	—	**9200**
19	294	-47.7	—	9330
20	272	-51.3	—	9840
	266	**-52.2**	—	**10000**
21	248	-54.5	—	10420
22	**227**	**-54.5**	—	**11000**
23	206	-54.5	—	11640
	200	**-54.5**	—	**11810**
	194	**-54.5**	—	**12000**
24	190	-54.5	—	12140
25	173	-54.5	—	12740

11. X. 1952 14.15 h HEC

	1000	—	—	**100**
0	958.4	9.0	60	493
1	920	5.1	65	780
	897	**3.0**	**73**	**1000**
2	880	1.1	80	1150
	850	**-1.2**	**86**	**1430**
3	838	-2.1	93	1530
4	793	-5.1	56	1960
	791	**-5.4**	**56**	**2000**
5	750	-8.0	54	2410
6	715	-10.1	51	2780
	700	**-11.1**	**51**	**2945**
	695	-11.4	50	**3000**
7	677	-12.7	50	3200
8	641	-14.3	49	3620
9	**609**	**-17.0**	**49**	**4000**
10	576	-20.3	49	4420
11	544	-24.9	49	4840
	532	**-26.1**	**49**	**5000**
12	514	-28.0	49	5250
	500	**-29.1**	**49**	**5450**
13	479	-30.5	49	5750
	463	**-31.0**	**49**	**6000**
14	447	-31.7	49	6240
15	415	-34.5	49	6770
	401	**-35.5**	**49**	**7000**
16	385	-37.1	49	7290
17	357	-39.7	49	7810
	347	**-41.2**	—	**8000**
18	329	-43.9	—	8360
19	**300**	**-47.8**	—	**8980**
	299	**-48.1**	—	**9000**
20	277	-51.0	—	9500
	257	**-55.2**	—	**10000**
21	255	-55.9	—	10060
22	236	-54.7	—	10530
	219	**-51.5**	—	**11000**
23	216	-50.7	—	11110
	200	**-50.7**	—	**11610**
24	196	-50.7	—	11730
	188	**-50.7**	—	**12000**
25	182	-50.7	—	12220
26	166	-53.9	—	12810

13. X. 1952 14.50 h HEC

	1000	—	—	**080**
0	947.9	7.0	100	493
	892	**5.7**	**100**	**1000**
1	887	5.5	100	1050
2	**850**	**6.2**	**100**	**1400**
3	**815**	**4.3**	**100**	**1740**
	790	**4.6**	**100**	**2000**
4	783	4.6	100	2070
5	753	3.3	100	2390
6	727	1.3	100	2680
7	702	0.0	100	2950
	700	**-0.1**	**100**	**3000**
8	667	-1.4	100	3310
9	637	-4.7	100	3730
	614	**-6.5**	**90**	**4000**
10	609	-7.0	86	4080
11	579	-6.8	40	4480
12	550	-7.5	74	4880
	541	**-8.2**	**77**	**5000**
13	520	-10.0	81	5310
	500	**-11.3**	**79**	**5610**
14	494	-11.8	78	5710
	475	**-13.3**	**76**	**6000**
15	470	-14.0	75	6090
16	449	-15.9	63	6430
17	429	-17.8	66	6730
	416	**-18.5**	**67**	**7000**
18	408	-19.3	67	7240
19	378	-22.7	70	7710
	363	**-20.0**	**70**	**8000**
20	355	-26.3	70	8160
21	335	-29.1	70	8600
22	**315**	**-32.2**	**65**	**9000**
	300	**-34.7**	**63**	**9360**
23	295	-35.5	62	9480
24	276	-38.1	60	9940
	264	**-38.4**	—	**10000**
25	256	-41.0	—	10450
26	239	-44.3	—	10910
	236	**-44.9**	—	**11000**
27	220	-48.0	—	11420
28	204	-52.0	—	11910
	203	**-52.1**	—	**12000**
	200	**-52.5**	—	**12090**
29	186	-54.7	—	12560
	174	**-57.6**	—	**13000**
30	172	-58.0	—	13060
31	168	-58.0	—	13590

14. X. 1952 14.55 h HEC

	1000	—	—	**080**
0	948.6	8.0	85	493
1	897	5.3	88	950
	892	**4.7**	**90**	**1000**
2	863	2.0	92	1270
	850	**1.0**	**94**	**1410**
3	832	0.0	97	1570
4	805	-1.0	100	1840
	788	**-2.7**	**100**	**2000**
5	780	-3.4	100	2100
6	752	-4.3	100	2370
7	726	-5.9	100	2650
8	703	-7.8	100	2900
	700	**-8.2**	**100**	**2950**
	693	**-8.4**	**100**	**3000**
9	672	-9.8	100	3250
10	645	-12.3	97	3560
11	620	-14.0	95	3860
	609	**-15.1**	**93**	**4000**
12	595	-16.0	91	4180
13	573	-17.4	91	4460
14	546	-18.9	91	4820
	532	**-20.8**	**89**	**5000**
15	526	-21.5	87	5100
16	504	-23.2	86	5400
	500	**-23.7**	**86**	**5480**
17	479	-25.3	85	5780
	465	**-27.9**	**85**	**6000**
18	461	-28.7	85	6060
19	440	-31.0	85	6380
20	422	-33.7	72	6680
	403	**-35.8**	**72**	**7000**
21	400	-36.0	72	7060
22	380	-38.7	74	7420
23	358	-40.7	—	7800
	349	**-41.8**	—	**8000**
24	338	-43.0	—	8210
25	320	-44.7	—	8570
26	304	-45.5	—	8920
	300	**-45.7**	—	**9000**

15. X. 1952 14.45 h HEC

	1000	—	—	**160**
0	958.2	10.5	62	493
1	904	5.5	62	970
	901	**5.1**	**64**	**1000**
2	867	1.3	75	1310
	850	**0.5**	**83**	**1475**
3	824	-0.9	92	1730
	796	**-1.9**	**93**	**2000**
4	784	-2.5	94	2120
5	745	-3.5	90	2520
6	710	-4.5	26	2900
	700	**-4.8**	**21**	**3000**
7	675	-6.4	15	3300
8	638	-9.1	20	3740
	616	**-10.4**	**19**	**4000**
9	604	-11.0	18	4160
10	563	-13.1	15	4700
	540	**-15.2**	**15**	**5000**
11	530	-16.0	15	5150
12	**500**	**-18.5**	**15**	**5610**
	473	**-20.8**	**15**	**6000**
13	470	-21.0	15	6050
14	443	-23.5	15	6480
15	414	-26.0	15	6970
	412	**-26.3**	**15**	**7000**
16	387	-28.5	15	7460
17	360	-32.5	15	7970
	359	**-32.8**	**15**	**8000**
18	336	-37.0	15	8460
19	312	-41.6	—	8960
	310	**-41.8**	—	**9000**
	300	**-43.6**	—	**9230**
20	289	-45.5	—	9480
	267	**-48.2**	—	**10000**
21	264	-48.5	—	10070
22	242	-50.5	—	10640
	229	**-49.6**	—	**11000**
23	222	-49.0	—	11210
24	207	-49.0	—	11670
	200	**-49.0**	—	**11870**

16. X. 1952 14.35 h HEC

	1000	—	—	**150**
0	958.7	11.0	80	493
1	925	10.5	78	800
	903	**9.0**	**76**	**1000**
2	888	8.5	75	1130
	850	**6.9**	**58**	**1495**
3	849	6.8	56	1510
4	813	4.7	53	1860
	799	**3.5**	**54**	**2000**
5	779	2.1	55	2210
6	747	-0.4	58	2540
7	718	-3.2	52	2860
	705	**-1.9**	**48**	**3000**
	700	**-1.6**	**47**	**3055**
8	688	-4.8	45	3190
9	654	-6.8	42	3595
10	624	-9.5	41	3960
	620	**-9.7**	**46**	**4000**
11	595	-11.6	61	4320
12	567	-13.9	71	4700
	544	-15.3	85	**5000**
13	541	-15.5	88	5050
14	515	-17.1	100	5420
	500	**-18.4**	**100**	**5640**
15	492	-19.2	100	5760
	476	**-20.7**	**98**	**6000**
16	466	-21.5	97	6160
17	443	-23.8	88	6530
18	418	-26.4	63	6950
	415	**-26.7**	**65**	**7000**
19	396	-28.8	88	7340
20	374	-31.7	63	7730
	361	**-33.6**	**60**	**8000**
21	353	-34.6	57	8160
22	333	-37.4	58	8550
23	314	-39.2	52	8960
	312	**-39.6**	—	**9000**
	300	**-41.2**	—	**9280**
24	296	-41.6	—	9360
25	276	-44.2	—	9840
	269	**-44.6**	—	**10000**
26	260	-45.2	—	10230
27	246	-45.5	—	10610
28	**232**	**-46.2**	—	**11000**

Min.	PPP	TTT	UU	H m. geop.
29	215	-47.0	—	11500
30	200	-47.4	—	11980
	199	-47.5	—	12000
31	185	-48.2	—	12500
32	172	-49.3	—	12980
	171	-49.5	—	13000
33	162	-52.8	—	13370
	17. X. 1952	**14.45 h HEC**		
	1000	—	—	210
0	966.1	13.1	85	493
1	919	9.4	85	920
	909	9.0	80	1000
2	875	7.8	74	1310
	850	5.2	76	1560
3	842	4.4	79	1630
4	810	1.1	87	1840
	804	0.7	88	2000
5	781	-1.1	89	2240
6	745	-5.6	96	2610
7	710	-7.1	100	2980
	708	-7.3	100	3000
	700	-7.7	100	3100
8	680	-9.0	100	3320
9	646	-10.1	85	3720
	622	-13.0	70	4000
10	618	-9.5	66	4050
11	586	-13.7	32	4460
12	552	-15.8	20	4910
	545	-16.3	19	5000
13	525	-18.0	18	5300
	500	-21.2	16	5650
14	497	-21.6	15	5700
	477	-22.0	15	6000
15	470	-22.2	15	6100
16	445	-25.2	15	6500
17	420	-29.1	15	6910
	415	-29.8	15	7000
18	397	-32.4	15	7320
19	372	-35.1	15	7780
	361	-35.8	15	8000
20	358	-36.4	15	8150
21	336	-41.4	—	8480
22	317	-46.1	—	8870
	311	-46.8	—	9000
23	300	-48.3	—	9230
24	282	-49.0	—	9650
	268	-52.2	—	10000
25	264	-53.1	—	10080
26	249	-58.1	—	10450
27	230	-58.4	—	10940
	228	-58.2	—	11000
28	212	-55.4	—	11460
	200	-56.0	—	11835
29	196	-56.1	—	11960
	18. X. 1952	**14.05 h HEC**		
	1000	—	—	210
0	965.1	7.3	80	493
1	923	5.3	96	860
	907	4.4	97	1000
	895	3.9	98	1110
2	880	5.1	100	1240
	850	8.0	50	1530
3	844	8.5	45	1590
4	804	6.7	15	2000
5	768	5.2	15	2430
6	729	3.1	15	2790
	710	2.4	15	3000
	700	2.1	14	3110
7	693	1.8	14	3190
	665	2.9	14	3530
8	657	1.9	14	3620
	627	-0.7	14	4000
9	623	-0.9	14	4050
10	597	-4.6	14	4380
11	566	-7.7	14	4810
	552	-9.6	14	5000
12	538	-11.7	14	5200
13	515	-13.8	14	5530
	500	-15.9	14	5750
14	488	-17.5	14	5930
	484	-18.1	14	6000
15	460	-20.5	14	6390
16	433	-24.0	14	6820
	422	-25.5	14	7000
17	406	-27.8	15	7290
18	384	-30.8	15	7690
	367	-32.3	17	8000
19	361	-32.9	18	8120
20	339	-36.4	20	8570
21	318	-40.3	—	9000
	300	-42.7	—	9390
22	294	-43.6	—	9530
23	275	-47.7	—	9980
	274	-47.8	—	10000
24	252	-51.2	—	10550
	20. X. 1952	**14.50 h HEC**		
	1000	—	—	120
0	953.7	8.5	100	493
1	912	7.0	100	860
	895	7.0	100	1000
2	878	6.9	100	1160
	850	6.5	100	1430
3	842	6.4	100	1520
4	812	6.3	100	1810
	793	5.6	100	2000
5	784	5.3	100	2090
6	752	3.2	100	2430
7	722	1.8	100	2770
	700	0.5	100	3000
8	689	-0.1	100	3140
9	658	-1.7	100	3520
10	632	-3.3	100	3830
	619	-4.2	100	4000
11	607	-5.0	100	4150
12	581	-6.4	100	4500
13	557	-8.4	100	4830
	544	-9.7	100	5000
14	534	-10.5	100	5150
15	511	-12.2	100	5480
	500	-13.2	100	5650
16	483	-14.7	100	5920
	478	-15.4	100	6000
17	459	-17.4	100	6300
18	434	-20.0	100	6720
	418	-21.6	100	7000
19	412	-22.2	100	7100
20	389	-25.0	100	7500
21	368	-27.7	100	7910
	364	-28.3	100	8000
22	346	-30.5	100	8370
23	324	-33.8	100	8830
	316	-35.4	100	9000
24	304	-37.6	100	9270
	300	-38.4	—	9360
25	286	-41.3	—	9690
	273	-44.3	—	10000
26	270	-45.0	—	10080
27	252	-48.7	—	10540
28	237	-52.7	—	10930
	235	-53.3	—	11000
29	222	-56.5	—	11350
30	206	-60.4	—	11820
	200	-61.0	—	12000
	21. X. 1952	**14.55 h HEC**		
	1000	—	—	110
0	956.5	12.5	90	493
1	909	10.7	99	930
	899	10.2	90	1000
2	870	8.6	90	1300
	850	7.4	90	1490
3	830	6.3	90	1680
	796	4.2	90	2000
4	792	4.1	90	2060
5	755	2.4	90	2450
6	717	0.3	90	2870
	704	-0.7	92	3000
	700	-1.1	92	3060
7	678	-2.9	94	3300
8	635	-5.4	94	3830
	620	-6.4	92	4000
9	597	-7.6	88	4310
10	559	-11.4	84	4820
	546	-12.5	69	5000
11	529	-13.5	56	5240
12	500	-17.7	41	5670
	477	-20.0	35	6000
13	474	-20.3	30	6060
14	440	-23.6	28	6600
	417	-26.4	39	7000
15	409	-27.5	30	7135
16	382	-29.6	30	7630
	362	-32.1	31	8000
17	353	-33.2	32	8190
18	327	-37.6	35	8720
	314	-39.3	—	9000
	300	-41.2	—	9320
19	297	-41.5	—	9370
20	272	-45.6	—	9960
	271	-45.8	—	10000
21	249	-48.9	—	10550
	232	-51.7	—	11000
22	230	-52.2	—	11080
23	213	-53.7	—	11750
	200	-54.6	—	11970
	199	-54.7	—	12000
24	194	-55.0	—	12160
	22. X. 1952	**14.40 h HEC**		
	1000	—	—	135
0	955.7	12.0	100	493
1	902	10.3	100	970
	899	10.1	99	1000
2	868	8.6	98	1280
	850	7.0	95	1480
3	833	6.2	93	1630
4	798	3.5	97	1990
	796	3.4	99	2000
5	760	1.0	100	2380
6	726	-1.1	100	2740
	704	-3.0	100	3000
	700	-3.1	100	3040
7	696	-3.4	100	3080
8	660	-6.3	100	3490
9	626	-8.2	100	3910
	618	-8.6	100	4000
10	594	-9.4	100	4320
11	566	-11.5	100	4700
	543	-13.7	100	5000
12	534	-14.9	100	5140
13	508	-16.3	100	5500
	500	-17.1	100	5635
14	486	-18.3	100	5840
	476	-19.7	100	6000
15	462	-21.2	100	6210
16	436	-24.7	100	6640
	415	-27.5	100	7000
17	413	-27.8	100	7040
18	395	-30.6	100	7350
19	374	-33.5	100	7730
	361	-35.2	100	8000
20	355	-35.9	99	8110
21	335	-38.7	98	8500
22	319	-41.5	—	8840
	312	-43.0	—	9000
23	303	-44.6	—	9180
	300	-45.0	—	9250
24	287	-46.9	—	9540
25	272	-50.1	—	9900
	268	-50.6	—	10000
26	253	-52.8	—	10360
27	237	-54.0	—	10780
	230	-54.0	—	11000
28	221	-53.8	—	11230
29	204	-52.3	—	11750
	200	-52.3	—	11890
	196	-52.2	—	12000
30	190	-52.0	—	12200
31	175	-50.7	—	12740
	168	-50.1	—	13000
32	164	-49.6	—	13165
33	153	-49.3	—	13620
	23. X. 1952	**15.00 h HEC**		
	1000	—	—	090
0	952.3	12.8	85	493
	896	9.8	90	1000
1	873	8.4	100	1220
	850	6.3	100	1460
2	833	5.0	100	1600
3	793	3.5	100	2000
4	756	3.3	100	2400
5	719	1.8	100	2800
	700	0.1	98	3000
6	686	-1.4	95	3180
7	647	-2.5	20	3640
	618	-4.5	20	4000
8	610	-5.1	20	4100
9	581	-8.0	20	4490
10	550	-10.1	20	4910
	543	-10.6	20	5000
11	515	-13.7	20	5410
	500	-14.6	20	5635
12	484	-15.3	20	5880
	476	-16.1	20	6000
13	454	-18.1	20	6370
14	427	-21.0	20	6820
	416	-22.0	20	7000
15	400	-23.8	20	7290
16	374	-26.6	20	7800
	363	-28.0	20	8000
17	352	-29.6	20	8220
18	328	-33.3	20	8710
	315	-35.7	20	9000
19	306	-37.4	20	9200
	300	-38.5	20	9340
20	282	-41.7	—	9760
	272	-43.4	—	10000
21	259	-46.0	—	10380
22	235	-50.6	—	10980
	234	-50.5	—	11000
23	219	-52.7	—	11430
24	206	-53.7	—	11830
	200	-54.0	—	12000
25	189	-54.4	—	12360
	24. X. 1952	**15.15 h HEC**		
	1000	—	—	080
0	953.2	16.0	80	493
1	915	14.0	80	830
	897	13.0	80	1000
2	875	12.2	80	1210
	850	10.5	71	1470
3	833	10.1	62	1620
	796	6.3	64	2000
4	793	6.1	64	2030
5	750	2.9	83	2480
6	712	1.4	95	2910
	704	1.3	97	3000
	700	1.2	100	3050
7	678	-0.3	100	3290
8	645	-2.0	100	3690
	621	-4.6	76	4000
9	617	-4.7	70	4050
10	587	-5.6	29	4430
11	558	-7.8	24	4840
	546	-9.2	30	5000
12	528	-11.6	48	5260
	500	-15.5	60	5680
13	496	-16.2	67	5740
	479	-16.6	77	6000
14	469	-16.8	81	6160
15	441	-19.0	88	6620
	419	-20.6	88	7000
16	414	-21.1	88	7080
17	388	-23.6	86	7550
18	364	-26.5	85	8000
19	341	-30.2	84	8500
20	317	-34.0	82	9000
	300	-36.8	81	9400
21	294	-37.4	80	9530
	275	-40.2	—	10000
22	269	-41.0	—	10150
23	248	-44.6	—	10700
	237	-46.3	—	11000

Min.	PPP	TTT	UU	H m. geop.
24	225	-47.9	—	11380
25	208	-51.1	—	11850
	203	**-51.7**	—	**12000**
	200	**-52.0**	—	**12110**
26	188	-53.1	—	12510
	25. X. 1952	**14.15 h HEC**		
	1000	—	—	**120**
0	956.2	12.0	100	493
1	905	10.9	100	940
	900	**10.5**	**100**	**1000**
2	866	8.9	100	1310
	850	**7.5**	**100**	**1480**
3	831	7.1	100	1640
4	803	5.3	90	1920
	797	**4.7**	**92**	**2000**
5	777	2.9	100	2200
6	751	1.2	100	2470
7	724	-0.2	100	2780
	704	**-1.7**	**100**	**3000**
	700	**-2.1**	**100**	**3050**
8	690	-2.9	100	3150
9	660	-3.8	100	3510
10	629	-4.7	100	3890
	621	**-5.0**	**100**	**4000**
11	597	-6.1	100	4300
12	567	-8.0	100	4700
	546	**-9.6**	**100**	**5000**
13	538	-10.2	100	5120
14	514	-13.0	95	5460
	500	**-14.1**	**90**	**5680**
15	490	-15.0	88	5830
	479	**-16.0**	**75**	**6000**
16	467	-17.3	45	6180
17	446	-19.3	30	6530
	419	**-21.5**	**47**	**7000**
18	416	-21.6	50	7040
19	390	-24.7	40	7520
	365	**-27.4**	**36**	**8000**
20	363	-27.5	36	8040
21	339	-30.4	38	8520
	317	**-33.4**	**39**	**9000**
22	313	-34.0	40	9100
	300	**-35.8**	**39**	**9400**
23	289	-37.7	38	9650
	275	**-39.6**	—	**10000**
24	264	-41.3	—	10280
25	244	-44.2	—	10800
	27. X. 1952	**15.00 h HEC**		
	1000	—	—	**210**
0	963.4	11.0	76	493
1	918	7.1	79	900
	907	**6.9**	**78**	**1000**
2	881	6.9	76	1240
	869	**8.2**	**73**	**1360**
	850	**7.0**	**71**	**1540**
3	843	6.5	70	1600
4	808	2.6	70	1950
	802	**2.1**	**69**	**2000**
	792	0.8	68	2120
5	775	2.9	58	2280
6	739	1.1	39	2670
	709	**-0.4**	**35**	**3000**
7	**700**	**-0.7**	**32**	**3100**
8	666	-3.1	28	3500
9	635	-5.0	25	3880
	624	**-6.0**	**25**	**4000**
10	605	-7.6	26	4260
11	575	-10.6	34	4650
	548	**-14.0**	**41**	**5000**
12	544	-14.7	43	5070
13	515	-18.1	50	5490
	500	**-19.3**	**55**	**5710**
14	490	-21.6	59	5860
	480	**-22.4**	**64**	**6000**
15	460	-24.4	70	6330
16	433	-24.8	74	6760
	418	**-26.7**	**75**	**7000**
17	407	-28.1	76	7200
18	382	-31.9	77	7660
	364	**-34.2**	**76**	**8000**
19	356	-35.3	74	8150
20	331	-38.8	69	8650
	314	**-41.6**	—	**9000**
21	306	-43.0	—	9180
	300	**-44.0**	—	**9320**
22	282	-47.2	—	9780
	271	**-49.7**	—	**10000**
23	262	-51.7	—	10210
24	240	-54.8	—	10790
	232	**-55.3**	—	**11000**
25	218	-56.9	—	11390
26	**200**	**-57.8**	—	**11940**
	198	-58.2	—	12000
27	182	-58.7	—	12540
	169	**-59.0**	—	**13000**
28	163	-59.0	—	13220
	28. X. 1952	**14.50 h HEC**		
	1000	—	—	**180**
0	964.3	11.0	80	493
1	924	9.7	74	840
	906	**10.3**	**58**	**1000**
2	887	10.9	52	1190
3	**850**	**10.5**	**45**	**1540**
4	811	9.2	46	1920
	803	**8.4**	**47**	**2000**
5	777	6.1	49	2280
6	748	3.9	52	2650
7	**711**	**2.4**	**50**	**3000**
	700	**2.0**	**65**	**3150**
8	686	1.6	83	3300
9	653	-1.7	68	3680
10	**626**	**-3.0**	**62**	**4000**
11	595	-6.2	59	4420
12	564	-9.4	70	4840
	552	**-10.5**	**66**	**5000**
13	534	-11.5	56	5250
14	508	-12.7	78	5640
	500	**-13.4**	**80**	**5770**
	485	**-15.0**	**95**	**6000**
15	482	-15.2	98	6050
16	460	-17.3	100	6390
17	434	-19.0	100	6820
	424	**-20.4**	**100**	**7000**
18	412	-21.9	100	7220
19	388	-24.8	100	7650
	370	**-27.3**	**96**	**8000**
20	362	-28.3	94	8150
21	339	-32.1	91	8620
	321	**-35.1**	**89**	**9000**
22	317	-36.0	88	9080
	300	**-39.2**	**86**	**9480**
23	295	-40.0	84	9600
24	**277**	**-43.2**	—	**10000**
25	259	-46.1	—	10470
26	239	-50.2	—	10980
	238	**-50.3**	—	**11000**
27	219	-53.5	—	11560
	204	**-56.4**	—	**12000**
28	203	-56.6	—	12040
	200	**-57.5**	—	**12150**
29	189	-59.5	—	12490
	29. X. 1952	**16.05 h HEC**		
	1000	—	—	**170**
0	961.3	11.5	100	493
1	920	8.8	100	850
	904	**7.4**	**100**	**1000**
2	885	6.5	100	1170
3	**850**	**4.2**	**100**	**1505**
4	812	2.5	100	1870
	800	**1.8**	**100**	**2000**
5	776	0.5	100	2240
6	736	-1.3	100	2670
	706	**-3.0**	**100**	**3000**
7	**700**	**-3.1**	**100**	**3070**
8	669	-5.7	100	3420
9	638	-7.5	100	3790
	620	**-9.2**	**100**	**4000**
10	607	-10.1	100	4180
11	574	-13.0	100	4610
12	545	-14.8	100	5000
13	513	-17.0	100	5460
	500	**-18.1**	**100**	**5650**
14	484	-19.4	100	5890
	477	**-20.2**	**100**	**6000**
15	454	-22.4	98	6360
16	424	-25.2	62	6860
	416	**-26.0**	**55**	**7000**
17	396	-28.0	38	7360
18	365	-31.7	41	7930
	362	**-32.2**	**43**	**8000**
19	342	-35.0	51	8400
20	320	-37.2	55	8860
	313	**-38.0**	**53**	**9000**
21	**300**	**-39.4**	**52**	**9300**
22	276	-42.0	—	9870
	271	**-42.5**	—	**10000**
23	251	-44.5	—	10520
	233	**-46.7**	—	**11000**
24	230	-47.0	—	11100
25	209	-50.0	—	11730
	200	**-51.8**	—	**12000**
26	190	-53.6	—	12330
	30. X. 1952	**14.50 h HEC**		
	1000	—	—	**140**
0	956.2	10.0	70	493
1	910	4.7	84	900
	899	**3.9**	**88**	**1000**
2	861	1.4	93	1350
	850	**0.6**	**96**	**1460**
3	819	-1.5	100	1760
	793	**-3.6**	**100**	**2000**
4	780	-4.7	100	2140
5	735	-6.5	100	2600
	700	**-9.8**	**100**	**2980**
	698	**-10.0**	**100**	**3000**
6	694	-10.2	100	3050
7	656	-13.6	92	3490
8	617	-16.4	69	3950
	612	**-16.7**	**69**	**4000**
9	583	-19.3	70	4370
10	548	-21.5	62	4820
	535	**-22.7**	**63**	**5000**
11	519	-23.9	65	5220
	500	**-25.8**	**63**	**5500**
12	482	-27.2	61	5760
	466	**-29.6**	**71**	**6000**
13	452	-31.9	72	6220
14	424	-35.7	68	6660
	404	**-38.6**	—	**7000**
15	394	-40.0	—	7170
16	364	-43.7	—	7710
	349	**-44.2**	—	**8000**
17	338	-44.3	—	8210
18	310	-42.0	—	8780
	300	**-42.8**	—	**9000**
19	284	-43.8	—	9380
20	263	-43.5	—	9890
	259	**-43.4**	—	**10000**
21	243	-43.4	—	10430
	223	**-44.5**	—	**11000**
22	222	-44.6	—	11030
	31. X. 1952	**14.50 h HEC**		
	1000	—	—	**130**
0	954.0	6.0	75	493
1	899	2.8	85	980
	897	**2.6**	**86**	**1000**
2	**850**	**-0.8**	**95**	**1440**
3	802	-3.6	100	1900
	791	**-4.4**	**100**	**2000**
4	760	-6.2	100	2310
5	719	-8.5	96	2750
	700	**-10.3**	**81**	**2960**
	696	**-10.5**	**83**	**3000**
6	680	-12.0	86	3180
7	635	-15.2	78	3700
	610	**-17.1**	**80**	**4000**
8	598	-17.9	82	4140
9	565	-19.9	86	4580
10	**532**	**-22.2**	**88**	**5000**
11	500	-25.5	94	5470
12	472	-28.7	76	5880
	464	**-29.4**	**73**	**6000**
13	442	-31.6	60	6350
14	410	-34.4	58	6870
	403	**-35.2**	**58**	**7000**
15	379	-37.6	57	7420
16	**348**	**-41.8**	**55**	**8000**
17	320	-45.1	50	8590
18	302	-48.2	48	8950
	300	**-48.2**	**48**	**9000**
19	271	-48.2	47	9670
	258	**-46.8**	**46**	**10000**
20	249	-45.7	45	10220
21	232	-44.7	—	10700
	222	**-44.7**		**11000**
22	210	-44,7	—	11360
	200	**-46.2**	—	**11700**
23	193	-46.9	—	11920
	191	**-46,9**	—	**12000**
24	178	-47.2	—	12460
	164	**-47.4**	—	**13000**
25	159	-47.5	—	13210
	1. XI. 1952	**14.10 h HEC**		
	1000	—	—	**170**
0	961.5	8.0	65	493
1	913	3.8	80	920
	903	**4.0**	**85**	**1000**
2	870	0.4	100	1300
	850	**-1.1**	**98**	**1490**
3	831	-2,4	96	1680
4	**797**	**-5.5**	**94**	**2000**
	770	-6.9	85	2260
5	765	-6.7	82	2330
6	731	-7.8	46	2670
	700	**-8.9**	**46**	**3000**
7	694	-9.1	46	3080
8	659	-10,6	44	3470
9	629	-12.3	41	3830
	615	**-13.2**	**41**	**4000**
10	600	-14.1	42	4190
11	571	-16.1	64	4570
12	548	-17.2	100	4950
	539	**-17.4**	**100**	**5000**
13	511	-19.6	100	5400
	500	**-20.2**	**100**	**5560**
14	481	-21.2	100	5850
	471	**-21.8**	**100**	**6000**
15	453	-23.2	100	6290
16	425	-25.0	100	6750
	410	**-26.2**	**100**	**7000**
17	399	-27.2	100	7200
18	376	-29.4	100	7630
	357	**-31.3**	**100**	**8000**
19	354	-31.8	100	8060
20	330	-34.5	100	8560
21	**310**	**-37.3**	**100**	**9000**
	300	**-38.7**	**100**	**9230**
	3. XI. 1952	**15.00 h HEC**		
	1000	—	—	**160**
0	958.2	7.5	80	493
	901	**2.2**	**93**	**1000**
1	890	1.4	91	1100
	850	**-1.4**	**98**	**1475**
2	845	-1.5	100	1520
3	808	-4.3	100	1920
	795	**-4.9**	**100**	**2000**
4	762	-6.8	100	2340
5	724	-9.5	100	2730
	700	**-11.2**	**100**	**3000**
6	684	-12.2	100	3170
7	650	-14.8	100	3550
8	623	-17.6	100	3870
	612	**-18.2**	**96**	**4000**
9	598	-19.7	81	4240
10	567	-21.3	43	4580
11	547	-23.2	39	4840
	535	**-24.0**	**39**	**5000**
12	525	-24.6	39	5140
13	**500**	**-26.3**	**39**	**5490**

Min.	PPP	TTT	UU	H m. geop.
14	476	−29,2	39	5850
	466	**−30.4**	**39**	**6000**
15	446	−32.7	39	6300
16	417	−36.4	39	6780
	404	**−38.2**	**39**	**7000**
17	392	−39.4	39	7200
18	366	−42.1	—	7660
	349	**−43.3**	—	**8000**
19	343	−43.6	—	8100
20	322	−44.4	—	8530
21	303	−45.7	—	8930
	300	**−46.2**	—	**9000**
22	283	−47.4	—	9370
23	264	−49.5	—	9850
	257	**−49.5**	—	**10000**
24	245	−49.5	—	10330
25	224	−47.1	—	10910
	221	**−47.0**	—	**11000**
26	209	−45,2	—	11380
	200	**−46.2**	—	**11700**
27	193	−47,0	—	11910
	191	**−47.5**	—	**12000**
28	181	−49.2	—	12330

4. XI. 1952 14.30 h HEC

1000		—	—	**240**
0	968.8	7.0	65	493
1	925	3.3	76	860
	910	**1.2**	**79**	**1000**
2	878	0.1	82	1290
	850	**−2.2**	**80**	**1550**
3	838	−3.0	77	1660
	802	**−1.1**	**39**	**2000**
4	800	−0.8	35	2030
5	769	−2.4	20	2330
6	738	−3.9	20	2670
	723	−2.9	15	2820
7	710	−3.9	15	2970
	707	**−4.3**	**15**	**3000**
	700	**−4.9**	**15**	**3100**
8	680	−6.8	15	3310
9	648	−8.9	33	3690
10	**620**	**−11.3**	**42**	**4000**
11	590	−14.5	43	4400
12	561	−17.3	46	4780
	543	**−18.6**	**54**	**5000**
13	534	−19.7	59	5150
14	508	−21.8	60	5520
	500	**−22.2**	**59**	**5630**
15	485	−23.3	58	5250
	476	**−24.7**	**57**	**6000**
16	463	−26.4	55	6190
17	439	−29,5	54	6580
18	419	−31.6	51	6910
	414	**−32.2**	**51**	**7000**
19	399	−33.6	51	7240
20	379	−36.1	54	7600
	359	**−39.3**	**55**	**8000**
21	356	−39.8	56	8040
22	334	−42.7	—	8480
23	317	−46.1	—	8830
	309	**−47.7**	—	**9000**
24	**300**	**−49.5**	—	**9200**
25	282	−52.7	—	9590
26	**265**	**−56.8**	—	**10000**
27	250	−59.4	—	10360
28	234	−61.1	—	10770
	226	**−61.7**	—	**11000**
29	219	−62.1	—	11180
30	204	−62.1	—	11620
	200	**−61.8**	—	**11740**
31	**192**	**−60.9**	—	**12000**
32	179	−58.9	—	12430

5. XI. 1952 14.50 h HEC

1000		—	—	**200**
0	962.1	9.5	75	493
1	924	7.4	55	820
	905	**6.9**	**50**	**1000**
2	885	6.8	46	1180
	850	**6.0**	**43**	**1520**
3	842	5.9	42	1600
4	**800**	**4.6**	**40**	**2000**
5	764	1.9	40	2370
6	729	−1.3	46	2750
	707	**−2.9**	**47**	**3000**
	700	**−3.5**	**47**	**3080**
7	694	−3.8	48	3140
8	657	−6.5	47	3580
9	627	−7.9	42	3930
	622	**−8.3**	**40**	**4000**
10	594	−10.1	37	4370
11	563	−12.4	40	4770
	547	**−13.8**	**45**	**5000**
12	527	−15.4	55	5270
	500	**−18.4**	**70**	**5670**
13	493	−19.2	74	5770
	479	**−20.6**	**83**	**6000**
14	460	−22.3	88	6280
15	432	−25.8	100	6740
	417	**−27.8**	**100**	**7000**
16	404	−29.5	100	7220
17	379	−33.4	100	7670
	362	**−36.3**	**98**	**8000**
18	352	−38.0	97	8180
19	326	−42.5	—	8710
	313	**−45.7**	—	**9000**
20	303	−48.0	—	9200
	300	**−48.6**	—	**9270**
21	279	−52.6	—	9740
	268	**−54.8**	—	**10000**
22	258	−56.8	—	10290
23	235	−61.5	—	10820
	229	**−62.6**	—	**11000**
24	213	−65.3	—	11430
	200	**−67,0**	—	**11830**

6. XI. 1952 14.50 h HEC

1000		—	—	**180**
0	962.3	8.0	75	493
1	908	5,0	75	970
	905	**4.6**	**75**	**1000**
2	867	2.2	75	1350
	850	**1.3**	**75**	**1515**
3	827	0.2	75	1730
	800	**−2.5**	**75**	**2000**
4	789	−3.3	75	2100
5	755	−5.6	75	2450
6	718	−7.9	78	2830
	703	**−9.0**	**64**	**3000**
	700	**−9.2**	**64**	**3040**
7	682	−10.4	60	3240
8	645	−11.8	64	3660
	617	**−12.6**	**72**	**4000**
9	606	−12.9	76	4140
10	568	−14.6	78	4640
	541	**−17.0**	**79**	**5000**
11	533	−17.7	79	5120
12	**500**	**−20.9**	**79**	**5590**
	473	**−23.6**	**78**	**6000**
13	466	−24.2	78	6110
14	438	−27.0	78	6560
	412	**−29.8**	**78**	**7000**
15	408	−30.2	78	7060
16	378	−33.8	77	7590
	357	**−37.2**	**76**	**8000**
17	355	−37.7	76	8040
18	330	−42.1	—	8540
	308	**−46.3**	—	**9000**
19	305	−46.7	—	9060
	300	**−47.8**	—	**9180**
20	283	−50.7	—	9570
	264	**−53.4**	—	**10000**
21	261	−53,9	—	10070

7. XI. 1952 14.50 h HEC

1000		—	—	**090**
0	951.4	5.0	90	493
	894	**1.9**	**98**	**1000**
1	889	1.6	100	1060
	850	**−3.0**	**100**	**1415**
2	843	−3.5	100	1480
3	800	−7.0	100	1900
	789	**−7.8**	**100**	**2000**
4	765	−9.5	100	2240
5	734	−12,5	100	2550
6	**700**	**−15.0**	**100**	**2900**
	692	**−15.8**	**100**	**3000**
7	674	−17.2	100	3200
8	641	−19.7	100	3580
9	**605**	**−22.7**	**100**	**4000**
10	572	−25.2	100	4400
11	536	−27.0	100	4880
	527	**−27.7**	**100**	**5000**
12	504	29.1	100	5320
	500	**−29.5**	**100**	**5380**
13	477	−31.0	100	5720
	458	**−32.7**	**98**	**6000**
14	449	−33.0	95	6140
15	420	−35.1	90	6610
	397	**−36.3**	—	**7000**
16	392	−36.4	76	7090
17	364	−39.1	68	7600
	343	**−41.1**	—	**8000**
18	340	−41,3	—	8060
19	319	−43.3	—	8500
	300	**−45.5**	—	**8910**
20	298	−45,6	—	8950
	296	**−46.1**	—	**9000**
21	280	−47,3	—	9360
22	259	−49.4	—	9880
	254	**−50.0**	—	**10000**
23	240	−51.2	—	10370
24	221	−52.6	—	10900
	218	**−52,8**	—	**11000**
25	204	−53.1	—	11420
	200	**−53.1**	—	**11550**
26	191	−53,1	—	11860
	187	**−52.8**	—	**12000**
27	176	−51.7	—	12370
28	164	−49.0	—	12840

8. XI. 1952 14.05 h HEC

1000		—	—	**080**
0	951.2	1.0	85	493
1	900	−2.0	97	940
	892	**−1,8**	**98**	**1000**
2	865	−4.7	100	1250
	850	**−5.7**	**100**	**1380**
3	829	−6,9	100	1580
4	792	−8.7	100	1940
	785	**−9.5**	**100**	**2000**
5	759	−11.7	100	2260
6	719	−14.0	100	2680
	700	**−15.3**	**100**	**2880**
	689	**−15.9**	**100**	**3000**
7	685	−16,1	100	3040
8	649	−18.5	100	3450
9	619	−21.4	97	3800
	602	**−23.5**	**97**	**4000**
10	586	−25.0	97	4200
11	554	−28.0	97	4610
	524	**−31.0**	**97**	**5000**
12	522	−31.2	97	5030
	500	**−34.1**	**94**	**5330**
13	495	−35.0	93	5400
14	465	−38,8	93	5840
	454	**−39.8**	**92**	**6000**
15	437	−41.7	92	6260
16	407	−46,1	—	6740
	391	**−47.5**	—	**7000**
17	381	−48.6	—	7170
18	356	−51.7	—	7620
	335	**−52.9**	—	**8000**
19	331	−53.3	—	8100
20	311	−52,8	—	8500
	300	**−51.0**	—	**8720**
21	**287**	**−49.0**	—	**9000**
22	265	−47.5	—	9530
	247	**−46.6**	—	**10000**
23	244	−46.5	—	10080
24	223	−45.4	—	10670
	212	**−45.4**	—	**11000**
25	205	−45.4	—	11280
	200	**−45.5**	—	**11400**
26	187	−46,0	—	11840
	188	**−46.4**	—	**12000**
27	169	−47.6	—	12530
	157	**−48,7**	—	**13000**
28	154	−49.0	—	13140

10. XI. 1952 14.55 h HEC

1000		—	—	**110**
0	955.6	2.0	100	493
1	898	0.8	100	980
	896	**0.7**	**100**	**1000**
2	857	−0.4	100	1360
	850	**−0.5**	**100**	**1430**
3	818	−2.3	100	1730
	790	**−3.7**	**100**	**2000**
4	784	−3,8	100	2060
5	752	−6.0	100	2430
6	716	−8.2	100	2780
	700	**−9.1**	**100**	**2940**
	695	**−9.4**	**100**	**3000**
7	681	−9.9	100	3160
8	648	−11.1	98	3330
9	614	−11,8	98	3960
	610	**−13.2**	**98**	**4000**
10	584	−14.3	97	4340
11	549	−16.4	96	4810
	535	**−17.6**	**95**	**5000**
12	515	−19.0	94	5290
	500	**−20.2**	**93**	**5510**
13	479	−22.3	92	5820
	467	**−24.1**	**91**	**6000**
14	448	−27.1	90	6300
15	417	−31,3	90	6815
	406	**−32.2**	—	**7000**
16	386	−34.3	89	7360
17	357	−37.4	88	7900
	352	**−38.1**	—	**8000**
18	329	−41.5	—	8470
19	**304**	**−45.1**	—	**9000**
	300	**−46.0**	—	**9100**
20	282	−49.6	—	9510
	260	**−54,0**	—	**10000**
21	259	−54.3	—	10050
22	229	−56.9	—	10820
	223	**−57,8**	—	**11000**
23	208	−59.3	—	11420
	200	**−58.6**	—	**11890**
24	191	−57.8	—	11960
	191	**−57.5**	—	**12000**
25	177	−58.5	—	12450

11. XI. 1952 14.40 h HEC

1000		—	—	**100**
0	952.4	6.0	85	493
1	900	1.6	100	950
	894	**1.2**	**100**	**1000**
2	859	−0.9	100	1330
	850	**−1.5**	**98**	**1410**
3	825	−3.5	97	1650
4	**789**	**−6.0**	**94**	**2000**
5	756	−8.9	92	2330
6	724	−10.3	100	2660
	713	−9,4	100	2775
	700	**−10.1**	**100**	**2920**
7	**691**	**−10.7**	**100**	**3000**
8	644	−12.8	78	3570
	607	**−14,6**	**50**	**4000**
9	600	−14.9	18	4090
10	563	−17.8	15	4580
	532	**−20.4**	**15**	**5000**
11	529	−20.6	15	5040
12	**500**	**−22.9**	**15**	**5450**
13	470	−25,2	15	5910
	464	**−25.7**	**15**	**6000**
14	440	−27.7	15	6390
15	412	−32.2	15	6850
	403	**−33.3**	**15**	**7000**
16	383	−36.2	16	7370
17	357	−38.7	18	7850
	349	**−39.6**	**18**	**8000**
18	**330**	**−41.5**	—	8390

Min.	PPP	TTT	UU	H m. geop.
19	303	−45.3	—	8960
	300	**−45.3**	—	**9000**
20	276	−47.3	—	9570
	259	**−48.2**	—	**10000**
21	**252**	**−48.3**	—	**10170**
22	230	−49.9	—	10770
	222	**−50.2**	—	**11000**
23	208	−50.7	—	11420
	200	**−50.1**	—	**11680**
24	**190**	**−49.6**	—	**12000**
25	171	−48.5	—	12710

12. XI. 1952 14.55 h HEC

	1000	—	—	**170**
0	960.6	2.0	80	495
1	906	−1.8	100	950
	902	**−2.2**	**100**	**1000**
2	857	−4.2	100	1400
	850	**−4.8**	**100**	**1460**
3	815	−7.0	100	1790
	793	**−9.1**	**100**	**2000**
4	774	−10.7	100	2200
5	756	−13.3	98	2580
	700	**−15.6**	**96**	**2950**
6	**696**	**−15.7**	**95**	**3000**
7	664	−18.6	100	3350
8	625	−21.4	84	3800
	608	**−23.6**	**80**	**4000**
9	590	−24.0	16	4220
10	562	−27.3	82	4780
	530	**−30.0**	**83**	**5000**
11	527	−30.3	83	5040
	500	**−33.0**	**83**	**5410**
12	498	−33.3	83	5440
13	466	−36.2	78	5900
	459	**−37.0**	**79**	**6000**
14	440	−39.3	80	6290
15	410	−42.6	—	6780
	396	**−44.5**	—	**7000**
16	382	−46.7	—	7250
17	354	−49.5	—	7750
	341	**−49.0**	—	**8000**
18	326	−48.6	—	8280
	300	**−48.6**	—	**8830**
19	297	−48.6	—	8900
	293	**−48.6**	—	**9000**
20	**276**	**−48.6**	—	**9360**
21	254	−48.6	—	9910
	251	**−48.6**	—	**10000**
22	233	−48.6	—	10490
	216	**−49.4**	—	**11000**
23	214	−49.4	—	11050
	200	**−51.1**	—	**11500**
24	197	−51.3	—	11890
	185	**−53.2**	—	**12000**
25	182	−53.5	—	12100
26	168	−54.5	—	12610
	158	**−55.8**	—	**13000**
27	153	−56.3	—	13210

13. XI. 1952 14.45 h HEC

	1000	—	—	**200**
0	962.0	3.5	70	493
1	914	−1.0	76	920
	905	**−1.9**	**80**	**1000**
2	873	−5.0	92	1280
	850	**−6.2**	**96**	**1495**
3	833	−7.1	100	1640
	796	**−9.3**	**100**	**2000**
4	793	−9.5	100	2030
5	755	−12.0	100	2420
6	721	−14.5	100	2750
	700	**−15.8**	**100**	**2980**
	699	**−15.8**	**100**	**3000**
7	682	−16.9	100	3170
8	651	−19.3	100	3530
9	618	−21.7	98	3910
	610	**−22.4**	**98**	**4000**
10	583	−24.6	97	4330
11	548	−28.0	93	4790
	531	**−29.1**	**93**	**5000**

Min.	PPP	TTT	UU	H m. geop.
12	513	−29.6	93	5170
	500	**−30.7**	**90**	**5440**
13	490	−31.0	88	5580
14	468	−33.8	89	5900
	461	**−34.9**	**76**	**6000**
15	441	−38.0	70	6320
16	415	−40.3	—	6730
	399	**−42.1**	—	**7000**
17	387	−43.4	—	7200
18	363	−47.0	—	7630
	343	**−50.4**	—	**8000**
19	339	−51.2	—	8090
20	314	−50.5	—	8575
	300	**−51.1**	—	**8870**
	294	**−51.1**	—	**9000**
21	292	−51.1	—	9040
22	268	−51.1	—	9600
	252	**−51.1**	—	**10000**
23	248	−51.1	—	10100
24	229	−51.1	—	10620
	216	**−51.1**	—	**11000**
25	211	−51.1	—	11150
	200	**−51.1**	—	**11510**

14. XI. 1952 14.40 h HEC

	1000	—	—	**180**
0	962.2	3.0	60	493
1	920	−2.1	100	860
	903	**−3.3**	**100**	**1000**
2	870	−5.5	100	1300
	850	**−6.7**	**100**	**1480**
3	825	−7.9	100	1710
	795	**−10.3**	**100**	**2000**
4	786	−11.1	100	2090
5	751	−13.7	100	2440
6	710	−17.3	100	2850
	700	**−17.6**	**100**	**2960**
	696	**−18.0**	**100**	**3000**
7	674	−19.7	100	3250
8	636	−22.0	100	3670
	608	**−25.1**	**100**	**4000**
9	602	−25.8	100	4080
10	568	−29.3	100	4490
11	534	−32.5	100	4930
	529	**−32.9**	**100**	**5000**
12	502	−35.6	100	5360
	500	**−35.8**	**100**	**5390**
13	473	−38.8	92	5780
	458	**−40.2**	**91**	**6000**
14	451	−40.9	90	6100
15	424	−45.0	—	6610
16	**394**	**−44.0**	—	**7000**
17	366	−44.0	—	7500
18	**339**	**−46.1**	—	**8000**
19	316	−47.2	—	8480
	300	**−48.2**	—	**8820**
20	294	−48.7	—	8950
	292	**−48.4**	—	**9000**
21	274	−46.1	—	9420
22	254	−47.4	—	9920
	251	**−47.3**	—	**10000**
23	234	−47.0	—	10470
24	217	−46.9	—	10970
	216	**−46.9**	—	**11000**
	200	**−47.8**	—	**11560**
25	197	−48.0	—	11600

15. XI. 1952 14.40 h HEC

	1000	—	—	**160**
0	960.7	0.5	95	493
1	903	−3.4	100	980
	900	**−3.6**	**100**	**1000**
2	857	−6.2	100	1390
	850	**−6.5**	**100**	**1450**
3	818	−8.1	100	1800
	792	**−10.0**	**100**	**2000**
4	775	−11.8	100	2160
5	740	−14.8	100	2520
6	703	−14.7	78	2900
	700	**−14.2**	**67**	**2930**
	695	**−13.3**	**60**	**3000**
	692	−12.9	54	3030

Min.	PPP	TTT	UU	H m. geop.
7	671	−14.7	44	3270
8	643	−17.0	40	3590
9	610	−21.3	40	3970
	608	**−21.8**	**41**	**4000**
10	581	−26.2	43	4330
11	537	−29.0	45	4900
	530	**−29.5**	**46**	**5000**
12	**500**	**−30.7**	**50**	**5410**
13	470	−34.0	54	5830
	459	**−34.7**	**54**	**6000**
14	443	−35.9	55	6250
15	411	−39.0	59	6770
	397	**−41.4**	—	**7000**
16	385	−43.9	—	7220
17	357	−47.1	—	7720
	342	**−48.2**	—	**8000**
18	330	−49.1	—	8240
19	304	−50.5	—	8770
	300	**−50.2**	—	**8860**
	293	**−49.6**	—	**9000**
20	277	−48.2	—	9380
21	255	−46.7	—	9930
	253	**−46.5**	—	**10000**
22	234	−46.3	—	10500
	217	**−46.2**	—	**11000**
23	214	−46.3	—	11090
	200	**−46.8**	—	**11540**
24	193	−47.1	—	11780
	187	**−47.1**	—	**12000**
25	176	−47.1	—	12390
26	162	−48.0	—	12930
	161	**−48.1**	—	**13000**
27	147	−48.7	—	13570

17. XI. 1952 14.55 h HEC

	1000	—	—	**115**
0	954.5	−1.0	100	493
1	905	−1.4	100	920
	895	**−1.6**	**100**	**1000**
2	859	−2.5	100	1330
	850	**−2.8**	**100**	**1425**
3	816	−4.1	100	1730
	789	**−5.4**	**100**	**2000**
4	774	−6.2	100	2150
5	739	−8.1	100	2510
6	**700**	**−10.3**	**98**	**2930**
	694	**−10.7**	**97**	**3000**
7	664	−13.0	95	3330
8	627	−15.6	93	3760
	608	**−17.1**	**92**	**4000**
9	592	−18.2	92	4200
10	558	−21.0	92	4630
	531	**−23.8**	**92**	**5000**
11	522	−25.0	92	5130
	500	**−27.1**	**91**	**5440**
12	489	−28.0	90	5600
	463	**−32.0**	**89**	**6000**
13	458	−32.7	89	6060
14	427	−36.3	88	6550
	400	**−39.1**	**85**	**7000**
15	398	−39.2	85	7030
16	369	−42.5	—	7550
	345	**−45.2**	—	**8000**
17	344	−45.2	—	8020
18	318	−47.7	—	8550
	300	**−48.8**	—	**8930**
	297	**−48.8**	—	**9000**
19	293	−49.0	—	9080
20	265	−49.9	—	9740
	255	**−50.4**	—	**10000**
21	243	−51.2	—	10810
22	223	−51.7	—	10860
	218	**−51.7**	—	**11000**
23	204	−51.7	—	11440
	200	**−51.7**	—	**11560**
24	187	−51.4	—	12000
25	170	−51.4	—	12620

18. XI. 1952 15.10 h HEC

	1000	—	—	**140**
0	956.2	0.0	95	493
1	913	−0.2	95	860
	898	**−0.4**	**97**	**1000**

Min.	PPP	TTT	UU	H m. geop.
2	870	−0.6	100	1240
	850	**−1.2**	**100**	**1440**
3	830	−1.5	100	1620
4	**789**	**−4.2**	**100**	**2000**
5	750	−6.4	100	2420
6	711	−9.0	100	2830
	700	**−9.8**	**100**	**2960**
	696	**−11.0**	**100**	**3000**
7	675	−11.1	100	3230
8	641	−13.3	100	3640
	610	**−15.7**	**100**	**4000**
9	606	−16.0	100	4060
10	576	−18.9	100	4440
11	544	−21.4	100	4850
	534	**−22.7**	—	**5000**
12	514	−25.0	98	5280
	500	**−26.3**	**98**	**5480**
13	482	−28.1	98	5740
	465	**−30.5**	**98**	**6000**
14	450	−32.0	98	6230
15	421	−36.3	98	6690
	402	**−39.0**	**97**	**7000**
16	392	−40.6	—	7180
17	364	−43.2	—	7680
	347	**−45.6**	—	**8000**
18	338	−47.0	—	8180
19	312	−50.4	—	8700
	300	**−52.3**	—	**8960**
	298	**−52.6**	—	**9000**
20	289	−54.0	—	9200
21	264	−55.2	—	9770
	255	**−54.7**	—	**10000**
22	243	−53.7	—	10300
23	224	−52.5	—	10820
	218	**−52.3**	—	**11000**
24	205	−51.9	—	11400
	200	**−52.5**	—	**11570**
25	188	−53.4	—	11960

19. XI. 1952 14.40 h HEC

	1000	—	—	**095**
0	951.7	−1.0	100	493
1	905	−2.7	100	880
	893	**−3.4**	**100**	**1000**
2	869	−4.4	100	1210
	850	**−5.3**	**100**	**1390**
3	823	−6.3	100	1630
	786	**−7.2**	**100**	**2000**
4	779	−7.3	100	2070
5	742	−8.4	100	2440
6	**700**	**−9.1**	**100**	**2890**
	690	**−9.5**	**100**	**3000**
7	658	−10.2	100	3370
8	623	−13.0	97	3780
	606	**−14.5**	**95**	**4000**
9	590	−15.8	94	4200
10	561	−19.0	88	4580
	530	**−21.8**	**82**	**5000**
11	523	−22.4	80	5100
	500	**−25.0**	**64**	**5425**
12	494	−25.7	60	5510
13	465	−28.2	70	5950
	462	**−28.2**	**72**	**6000**
14	437	−29.1	82	6400
15	407	−31.9	86	6900
	401	**−32.6**	**86**	**7000**
16	376	−35.7	84	7460
17	350	−41.7	83	7960
	347	**−41.9**	**83**	**8000**
18	322	−45.5	81	8500
	300	**−48.9**	**80**	**8980**
	299	**−49.1**	**80**	**9000**
19	291	−50.7	80	9180
20	266	−54.6	79	9760
	256	**−54.1**	**77**	**10000**
21	244	−53.3	76	10310
22	221	−51.0	70	10940
	219	**−51.1**	**68**	**11000**
23	204	−52.1	62	11470
	200	**−51.9**	**61**	**11610**
	188	**−51.2**	**60**	**12000**
24	185	−51.0	55	12130

Min.	PPP	TTT	UU	H m. geop.
25	168	−52.6	49	12740
	161	**−54.1**	**48**	**13000**
26	150	−56.4	46	13450
	138	**−57.0**	**44**	**14000**
27	135	−57.5	43	14130
28	120	−58.7	41	14470

20. XI. 1952 14.40 h HEC

	1000	—	—	**100**
0	952.2	−4.0	100	493
1	899	−4.3	100	940
	893	**−4.2**	**96**	**1000**
2	854	−3.3	67	1350
	850	**−3.3**	**63**	**1390**
3	819	−3.6	37	1680
	786	**−5.4**	**34**	**2000**
4	784	−5.8	33	2030
5	743	−9.5	33	2440
6	709	−12.4	35	2810
	700	**−12.8**	**34**	**2900**
	691	**−13.4**	**33**	**3000**
7	669	−14.7	31	3240
8	630	−16.7	21	3690
	605	**−19.6**	**20**	**4000**
9	597	−20.7	20	4100
10	563	−24.4	20	4540
11	**529**	**−28.0**	**20**	**5000**
12	**500**	**−31.0**	**22**	**5380**
13	468	−35.4	23	5850
	457	**−36.7**	**26**	**6000**
14	435	−40.0	32	6350
15	405	−42.8	—	6840
	395	**−44.4**	—	**7000**
16	376	−47.1	—	7320
17	350	−49.4	—	7800
	339	**−49.1**	—	**8000**
18	325	−49.0	—	8290
19	**300**	**−48.3**	—	**8810**
	291	**−47.8**	—	**9000**
20	277	−47.2	—	9340
21	257	−46.1	—	9840
	251	**−46.0**	—	**10000**
22	235	−46.1	—	10430
	215	**−46.0**	—	**11000**
23	214	−46.1	—	11050
	200	**−46.4**	—	**11490**
24	198	−46.6	—	11550
	185	**−47.7**	—	**12000**
25	181	−47.9	—	12150
26	167	−49.3	—	12690

21. XI. 1952 14.45 h HEC

	1000	—	—	**055**
0	947.7	3.0	70	493
1	896	1.2	86	930
	890	**1.0**	**88**	**1000**
2	857	−0.8	95	1290
	850	**−1.1**	**92**	**1370**
3	828	−2.3	83	1620
4	788	−4.3	85	1960
	785	**−4.5**	**86**	**2000**
5	750	−6.5	92	2360
6	711	−9.1	92	2770
	700	**−9.8**	**98**	**2890**
	690	**−10.5**	**99**	**3000**
7	675	−11.4	100	3180
8	641	−13.9	100	3570
9	610	−16.3	100	3940
	606	**−16.8**	**100**	**4000**
10	580	−18.7	98	4310
11	548	−20.8	94	4730
	529	**−23.1**	**93**	**5000**
12	522	−23.9	92	5090
	500	**−26.5**	**91**	**5410**
13	494	−27.5	91	5490
14	462	−31.2	90	5970
	461	**−31.4**	**90**	**6000**
15	432	−34.5	89	6440
16	403	−39.0	88	6930
	399	**−40.0**	**88**	**7000**
17	377	−43.1	87	7390
18	351	−47.4	87	7860
	344	**−48.5**	**87**	**8000**
19	324	−51.4	86	8380
20	**300**	**−56.5**	**86**	**8880**
	295	**−57.0**	—	**9000**
21	275	−58.9	—	9420
	252	**−56.4**	—	**10000**
22	250	−56.2	—	10030
23	229	−55.1	—	10580
	215	**−54.8**	—	**11000**
24	209	−53.2	—	11170
	200	**−54.6**	—	**11470**
25	191	−56.1	—	11750
	184	**−55.2**	—	**12000**
26	175	−54.1	—	12310
27	160	−54.1	—	12900
	157	**−54.1**	—	**13000**
28	143	−54.1	—	13600

22. XI. 1952 14.25 h HEC

	1000	—	—	**040**
0	945.7	2.5	90	493
1	906	1.0	90	830
	888	**0.3**	**75**	**1000**
2	865	−0.3	60	1210
	850	**−1.1**	**64**	**1350**
3	819	−2.9	70	1650
	783	**−5.7**	**82**	**2000**
4	772	−6.8	87	2110
5	733	−9.8	79	2500
	700	**−13.1**	**55**	**2870**
6	689	−14.4	48	2980
	688	**−14.5**	**49**	**3000**
7	651	−16.5	69	3400
8	615	−18.6	92	3830
	602	**−19.7**	**94**	**4000**
9	581	−21.1	96	4220
10	549	−25.2	100	4670
	525	**−27.5**	**100**	**5000**
11	516	−28.7	100	5120
	500	**−29.9**	**100**	**5350**
12	484	−31.4	100	5580
13	**455**	**−34.7**	**97**	**6000**
14	421	−40.4	97	6550
	394	**−44.1**	**97**	**7000**
15	389	−44.8	97	7080
16	358	−50.0	95	7630
	339	**−48.7**	**90**	**8000**
17	330	−48.0	89	8180
18	303	−47.5	80	8740
	300	**−47.6**	**78**	**8800**
	291	**−47.5**	**74**	**9000**
19	279	−47.5	69	9270
20	255	−45.0	54	9880
	250	**−45.2**	—	**10000**
21	234	−45.8	—	10450
	215	**−46.9**	—	**11000**
22	213	−47.2	—	11070
	200	**−47.9**	—	**11500**
23	195	−48.3	—	11650
	185	**−49.8**	—	**12000**
24	178	−50.8	—	12250
25	161	−52.8	—	12900
	159	**−53.4**	—	**13000**
26	147	−56.0	—	13490

24. XI. 1952 14.45 h HEC

	1000	—	—	**090**
0	950.9	3.0	90	493
1	903	1.2	100	910
	892	**0.4**	**100**	**1000**
2	864	−0.9	100	1260
	850	**−1.4**	**100**	**1385**
3	828	−2.0	100	1600
4	**787**	**−3.0**	**100**	**2000**
5	750	−5.1	64	2390
6	717	−5.2	43	2740
	700	**−5.1**	**43**	**2920**
	693	**−6.6**	**43**	**3000**
7	683	−7.2	43	3115
8	647	−9.5	43	3530
9	616	−11.9	43	3910
	609	**−12.6**	**43**	**4000**
10	585	−14.9	43	4300
11	556	−18.0	43	4690
	533	**−19.8**	**43**	**5000**
12	524	−20.2	43	5130
	500	**−22.8**	**44**	**5470**
13	495	−23.3	44	5540
14	468	−26.2	44	5950
	465	**−26.7**	**44**	**6000**
15	438	−30.0	44	6420
16	411	−33.6	44	6880
	404	**−34.4**	**44**	**7000**
17	383	−36.7	44	7370
18	358	−40.0	—	7830
	350	**−41.1**	—	**8000**
19	332	−43.2	—	8340
20	310	−46.7	—	8790
	300	**−48.0**	—	**9000**
21	283	−50.1	—	9400
22	262	−54.0	—	9900
	258	**−54.6**	—	**10000**
23	244	−56.8	—	10350
24	225	−58.6	—	10860
	221	**−58.6**	—	**11000**
25	208	−58.6	—	11350
	200	**−58.4**	—	**11620**
26	190	−58.3	—	11980

25. XI. 1952 14.45 h HEC

	1000	—	—	**050**
0	946.4	2.0	100	493
	888	**1.5**	**100**	**1000**
1	861	1.3	100	1250
	850	**1.3**	**100**	**1350**
2	815	1.3	100	1680
	784	**0.6**	**100**	**2000**
3	772	0.4	100	2130
4	734	−1.3	100	2520
5	**700**	**−2.8**	**100**	**2910**
	692	**−3.5**	**100**	**3000**
6	664	−4.7	100	3320
7	631	−6.9	100	3720
	609	**−8.9**	**100**	**4000**
8	601	−9.2	100	4110
9	570	−10.8	100	4520
10	540	−12.5	100	4930
	535	**−13.3**	**100**	**5000**
11	515	−15.6	98	5280
	500	**−17.0**	**97**	**5500**
12	490	−17.7	96	5670
	468	**−20.2**	**95**	**6000**
13	460	−20.8	95	6130
14	434	−23.5	94	6560
15	409	−26.7	93	6980
	408	**−27.2**	**93**	**7000**
16	381	−31.0	91	7500
17	**355**	**−34.4**	**90**	**8000**
18	331	−37.3	89	8480
19	311	−39.5	88	8910
	307	**−40.3**	—	**9000**
	300	**−41.1**	—	**9150**
20	287	−42.9	—	9450
	264	**−47.6**	—	**10000**
21	263	−47.8	—	10035
22	241	−52.6	—	10600
	227	**−55.6**	—	**11000**
23	222	−56.2	—	11130
24	202	−59.6	—	11720
	200	**−60.1**	—	**11800**
	193	**−60.7**	—	**12000**
25	183	−61.4	—	12330

26. XI. 1952 14.50 h HEC

	1000	—	—	**540**
0	940.0	11.5	75	493
1	889	8.0	84	960
	884	**7.7**	**85**	**1000**
2	**850**	**6.0**	**89**	**1330**
3	799	3.2	94	1840
	782	**2.0**	**97**	**2000**
4	754	0.0	100	2290
5	720	−3.1	100	2670
	700	**−3.9**	**100**	**2900**
6	693	−4.0	87	2970
	690	**−4.3**	**70**	**3000**
7	665	−5.7	40	3290
8	635	−7.6	20	3650
	607	**−9.7**	**19**	**4000**
9	600	−10.2	18	4100
10	567	−13.4	15	4530
11	537	−16.1	15	4930
	532	**−16.6**	**16**	**5000**
12	512	−19.1	17	5300
	500	**−20.4**	**18**	**5470**
13	486	−22.0	18	5680
	465	**−24.4**	**25**	**6000**
14	458	−25.0	33	6110
15	432	−28.2	45	6530
16	409	−32.4	48	6920
	405	**−33.3**	**49**	**7000**
17	386	−36.3	50	7330
18	364	−39.8	46	7720
	350	**−42.0**	—	**8000**
19	343	−42.8	—	8130
20	322	−46.7	—	8560
	301	**−50.8**	—	**9000**
21	**300**	**−51.0**	—	**9030**
22	280	−54.6	—	9480
23	**258**	**−57.2**	—	**10000**
24	241	−56.4	—	10410
25	223	−56.2	—	10910
	220	**−56.3**	—	**11000**
26	206	−56.4	—	11410
	200	**−56.4**	—	**11590**
27	189	−56.4	—	11950

27. XI. 1952 14.45 h HEC

	1000	—	—	**030**
0	944.5	10.0	85	493
1	904	9.3	78	860
	890	**8.2**	**80**	**1000**
2	861	6.1	84	1260
	850	**5.2**	**88**	**1375**
3	825	2.7	92	1620
4	788	0.0	99	1975
	785	**−0.2**	**105**	**2000**
5	755	−2.1	100	2320
6	732	−3.8	100	2570
7	709	−5.3	100	2830
	700	**−6.1**	**100**	**2930**
	693	**−6.3**	**100**	**3000**
8	684	−7.0	100	3100
9	658	−8.6	99	3400
10	629	−10.7	86	3760
	610	**−12.6**	**88**	**4000**
11	602	−13.1	89	4090
12	580	−15.9	94	4370
13	556	−17.4	99	4700
14	**532**	**−18.8**	**94**	**5000**
15	506	−20.6	88	5390
	500	**−21.1**	**87**	**5470**
16	482	−23.6	86	5750
	465	**−25.0**	**85**	**6000**
17	455	−25.9	85	6170
18	432	−28.4	68	6540
19	409	−30.9	55	6930
	405	**−31.6**	**54**	**7000**
20	387	−34.1	53	7320
21	364	−37.6	54	7750
	351	**−39.8**	**54**	**8000**
22	344	−40.6	—	8120
23	324	−43.7	—	8530
24	304	−46.0	—	8970
	302	**−46.4**	—	**9000**
	300	**−50.1**	—	**9050**
25	284	−50.1	—	9420
26	263	−54.1	—	9900
	259	**−54.6**	—	**10000**
27	242	−56.5	—	10450
28	225	−56.7	—	10900
	221	**−56.2**	—	**11000**
29	210	−53.2	—	11340
	200	**−53.2**	—	**11650**
30	**195**	**−53.0**	—	**11820**

Min.	PPP	TTT	UU	H m. geop.
	28. XI. 1952 14.45 h HEC			
	1000	—	—	**060**
0	951.4	12.0	80	493
1	912	9.5	67	850
	896	**8.3**	**64**	**1000**
2	875	7.1	57	1200
	850	**5.0**	**58**	**1435**
3	840	4.3	58	1525
4	806	1.5	69	1860
	792	**0.4**	**79**	**2000**
5	770	−1.2	84	2230
6	737	−4.7	100	2570
7	703	−7.2	100	2950
	700	**−7.5**	**100**	**3000**
8	672	−9.4	71	3300
9	642	−11.0	47	3650
10	**614**	**−11.3**	**31**	**4000**
11	588	−12.8	28	4320
12	562	−14.7	27	4670
	538	**−16.7**	**27**	**5000**
13	533	−17.0	27	5060
14	504	−20.5	29	5480
	500	**−21.0**	**28**	**5540**
15	474	−24.4	28	5930
	469	**−25.0**	**30**	**6000**
16	446	−28.0	39	6370
17	415	−31.7	58	6870
	408	**−33.0**	**63**	**7000**
18	390	−36.0	75	7310
19	367	−39.5	84	7740
	353	**−42.0**	—	**8000**
20	343	−43.8	—	8190
21	318	−47.5	—	8700
	304	**−49.4**	—	**9000**
	300	**−49.9**	—	**9070**
22	294	−50.7	—	9220
23	272	−52.9	—	9710
	261	**−53.6**	—	**10000**
24	254	−53.8	—	10150
25	233	−53.7	—	10710
	223	**−52.7**	—	**11000**
26	216	−51.7	—	11200
27	**200**	**−50.4**	—	**11700**
	29. XI. 1952 14.25 h HEC			
	1000	—	—	**125**
0	956.9	7.5	92	493
1	919	4.7	94	820
	900	**4.0**	**97**	**1000**
2	876	3.2	100	1210
	850	**4.5**	**63**	**1460**
3	839	5.2	45	1630
4	800	3.1	62	1950
	795	**2.9**	**64**	**2000**
5	768	1.4	68	2270
6	729	−1.5	72	2700
	700	**−3.7**	**60**	**3000**
7	695	−4.1	55	3075
8	670	−5.7	43	3360
9	637	−7.8	42	3760
	617	**−9.7**	**43**	**4000**
10	608	−10.4	43	4120
11	574	−12.8	42	4550
12	545	−16.8	42	4940
	542	**−17.0**	**42**	**5000**
13	519	−18.5	42	5300
	500	**−20.0**	**46**	**5590**
14	488	−21.0	49	5770
	473	**−22.8**	**52**	**6000**
15	462	−23.9	54	6170
16	437	−27.1	58	6580
17	**412**	**−30.2**	**67**	**7000**
18	387	−33.4	75	7440
19	362	−37.2	80	7900
	357	**−38.1**	**80**	**8000**
20	338	−40.8	—	8370
21	314	−44.6	—	8860
	308	**−45.6**	—	**9000**
	300	**−46.7**	—	**9180**
22	290	−47.9	—	9400
23	269	−51.2	—	9890
	265	**−51.8**	—	**10000**
24	246	−54.7	—	10470
25	**226**	**−57.7**	—	**11000**
26	208	−61.6	—	11540
	200	**−62.9**	—	**11790**
27	**192**	**−63.9**	—	**12000**
28	173	−61.5	—	12670
	1. XII. 1952 14.45 h HEC			
	1000	—	—	**110**
0	954.9	10.0	95	495
1	910	8.8	100	900
	899	**8.8**	**100**	**1000**
2	865	6.8	100	1310
	850	**5.7**	**100**	**1480**
3	824	4.7	100	1720
	795	**2.6**	—	**2000**
4	786	2.1	96	2100
5	748	−0.3	100	2510
6	710	−4.0	100	2920
	702	**−4.5**	**100**	**3000**
	700	**−4.7**	**100**	**3030**
7	680	−5.8	100	3260
8	648	−8.6	100	3640
9	**617**	**−10.5**	**91**	**4000**
10	590	−13.2	90	4350
11	560	−16.5	88	4760
	541	**−17.8**	**70**	**5000**
12	532	−18.7	62	5130
13	503	−20.7	40	5550
	500	**−20.8**	**39**	**5590**
14	480	−22.7	38	5890
	474	**−23.4**	**39**	**6000**
15	453	−25.6	39	6330
16	426	−28.6	48	6760
	412	**−30.7**	**58**	**7000**
17	400	−32.2	68	7210
18	376	−35.5	73	7640
19	**356**	**−39.4**	**72**	**8000**
20	333	−43.3	—	8480
21	314	−47.0	—	8870
	307	**−48.2**	—	**9000**
	300	**−49.4**	—	**9150**
22	294	−50.3	—	9300
23	276	−53.4	—	9710
	269	**−54.2**	—	**10000**
24	259	−54.4	—	10110
25	242	−53.9	—	10550
26	**225**	**−52.8**	—	**11000**
27	208	−52.8	—	11520
	200	**−52.8**	—	**11770**
	193	**−52.8**	—	**12000**
28	190	−52.8	—	12100
	2. XII. 1952 14.50 h HEC			
	1000	—	—	**130**
0	955.7	4.0	100	495
1	904	4.0	100	950
	898	**3.8**	**100**	**1000**
2	861	2.8	100	1340
	850	**2.1**	**100**	**1450**
3	825	0.6	100	1680
	793	**−1.4**	**100**	**2000**
4	788	−1.5	100	2050
5	753	−3.1	100	2400
6	722	−6.1	100	2740
	700	**−7.3**	**100**	**2980**
	699	**−7.6**	**100**	**3000**
7	686	−8.2	100	3130
8	650	−10.3	100	3570
9	620	−12.5	100	3920
	614	**−13.2**	**100**	**4000**
10	592	−14.9	100	4270
11	562	−16.9	93	4660
	538	**−18.8**	**91**	**5000**
12	535	−19.0	90	5040
13	506	−21.8	85	5440
	500	**−22.4**	**85**	**5530**
14	479	−24.3	85	5850
	469	**−25.7**	**84**	**6000**
15	454	−27.7	82	6240
16	428	−31.3	75	6660
	408	**−34.0**	**70**	**7000**
17	402	−34.8	68	7100
18	375	−37.9	66	7570
	353	**−40.7**	—	**8000**
19	350	−40.9	—	8060
20	328	−44.7	—	8590
	304	**−47.2**	—	**9000**
21	302	−47.3	—	9040
	300	**−47.5**	—	**9080**
22	282	−49.4	—	9490
23	**262**	**−50.7**	—	**10000**
24	244	−50.7	—	10430
25	227	−49.8	—	10900
	3. XII. 1952 14.50 h HEC			
	1000	—	—	**100**
0	953.7	2.0	75	495
1	900	−0.1	85	960
	895	**−0.6**	**88**	**1000**
2	863	−2.8	92	1300
	850	**−3.6**	**96**	**1430**
3	820	−5.1	100	1700
	790	**−6.9**	**100**	**2000**
4	777	−7.4	100	2110
5	739	−10.4	100	2500
6	704	−12.4	100	2880
	700	**−12.8**	**100**	**2930**
	693	**−13.3**	**100**	**3000**
7	670	−15.0	100	3250
8	634	−17.8	100	3660
	607	**−18.4**	**100**	**4000**
9	600	−18.7	100	4080
	576	**−19.8**	**64**	**4380**
10	565	−19.0	60	4530
11	531	−22.2	54	4980
	530	**−22.5**	**54**	**5000**
12	502	−25.8	54	5400
	500	**−25.9**	**54**	**5430**
13	475	−27.8	54	5790
	462	**−27.5**	**54**	**6000**
14	449	−27.3	54	6200
15	424	−30.8	54	6610
	401	**−33.9**	**54**	**7000**
16	396	−34.5	54	7080
17	372	−36.7	54	7530
18	350	−39.8	54	7940
	347	**−40.1**	—	**8000**
19	327	−41.1	—	8400
20	307	−42.7	—	8840
	300	**−43.4**	—	**9000**
21	289	−44.3	—	9240
22	268	−45.9	—	9750
	258	**−46.4**	—	**10000**
23	249	−46.6	—	10240
24	231	−49.9	—	10720
	222	**−49.2**	—	**11000**
25	215	−48.3	—	11200
	200	**−49.9**	—	**11650**
26	196	−50.2	—	11800
	190	**−50.5**	—	**12000**
27	179	−50.4	—	12400
	4. XII. 1952 14.45 h HEC			
	1000	—	—	**170**
0	961.0	0.0	70	493
1	926	−4.5	90	770
	900	**−6.3**	**100**	**1000**
2	876	−7.9	100	1200
	850	**−9.9**	**100**	**1455**
3	831	−11.3	100	1610
	806	**−11.3**	**100**	**1840**
	792	**−11.3**	**78**	**2000**
4	787	−11.3	72	2040
5	748	−14.5	66	2410
6	705	−17.4	58	2860
	700	**−17.5**	**51**	**2930**
	693	**−17.7**	**49**	**3000**
7	661	−18.8	43	3340
8	616	−20.3	34	3870
	606	**−20.4**	**32**	**4000**
9	575	−21.0	27	4380
10	543	−22.0	25	4800
	530	**−22.8**	**22**	**5000**
11	513	−24.0	20	5240
	500	**−25.1**	**20**	**5420**
12	481	−26.6	20	5680
	462	**−28.7**	**20**	**6000**
13	451	−29.6	20	6150
14	420	−32.6	20	6660
	401	**−34.4**	**20**	**7000**
15	389	−35.3	20	7190
16	360	−38.4	20	7720
	347	**−39.4**	—	**8000**
17	332	−40.5	—	8290
18	300	−43.4	—	**8970**
	299	**−43.4**	—	**9000**
19	274	−44.9	—	9590
	258	**−46.0**	—	**10000**
20	245	−46.5	—	10330
21	**221**	**−47.0**	—	**11000**
22	**200**	**−47.0**	—	**11680**
	191	**−47.0**	—	**12000**
23	179	−47.0	—	12430
	164	**−47.0**	—	**13000**
24	160	−47.0	—	13160
25	143	−47.7	—	13810
	141	**−47.7**	—	**14000**
26	126	−47.7	—	14270
27	114	−49.9	—	14630
	5. XII. 1952 15.00 h HEC			
	1000	—	—	**240**
0	967.4	−2.0	68	493
1	918	−7.5	78	910
	910	**−8.3**	**73**	**1000**
	888	−9.8	88	1160
2	874	−8.8	86	1290
	850	**−6.8**	**65**	**1520**
3	829	−4.9	44	1710
	819	−3.5	43	1800
	798	**−4.4**	**43**	**2000**
4	784	−4.6	43	2150
5	740	−7.4	43	2600
6	709	−7.8	44	2950
	702	**−8.2**	**44**	**3000**
	700	**−8.3**	**44**	**3030**
7	676	−9.8	44	3300
8	644	−11.6	44	3670
	617	**−10.1**	**46**	**4000**
9	610	−13.4	48	4060
10	576	−16.2	50	4520
11	546	−19.8	50	4920
	540	**−21.0**	**50**	**5000**
12	515	−24.9	51	5340
	500	**−26.2**	**53**	**5550**
13	479	−28.3	56	5870
	470	**−29.7**	**58**	**6000**
14	449	−33.0	60	6330
15	421	−36.0	58	6780
	407	**−37.7**	**52**	**7000**
16	394	−39.6	52	7240
17	369	−42.7	51	7670
	351	**−45.4**	—	**8000**
18	346	−46.3	—	8110
19	320	−50.1	—	8630
	302	**−51.7**	—	**9000**
	300	**−51.8**	—	**9040**
20	293	−52.3	—	9190
21	272	−53.6	—	9670
	259	**−54.1**	—	**10000**
22	248	−54.4	—	10260
23	226	−55.6	—	10860
	221	**−55.7**	—	**11000**
24	208	−55.9	—	11390
	200	**−55.9**	—	**11640**
25	**189**	**−55.9**	—	**12000**
26	173	−56.2	—	12560
	162	**−56.2**	—	**13000**
27	160	−56.2	—	13070
	6. XII. 1952 14.30 h HEC			
	1000	—	—	**235**
0	968.0	**−4.0**	60	493
1	926	−8.5	70	830
	907	**−9.9**	**80**	**1000**

Min.	PPP	TTT	UU	H m. geop.
2	880	−11.7	91	1230
	859	**−12.3**	**100**	**1410**
	850	−11.3	96	1500
3	834	−10.1	91	1630
4	**795**	**−2.3**	**10**	**2000**
5	761	−2.6	15	2360
6	726	−4.7	25	2720
	702	**−6.9**	**33**	**3000**
	700	**−7.3**	**34**	**3025**
7	695	−7.9	35	3080
8	660	−10.0	30	3480
9	626	−13.2	35	3880
	616	**−13.9**	**31**	**4000**
10	592	−15.6	25	4300
11	559	−19.3	20	4720
	539	**−21.6**	**16**	**5000**
12	530	−22.6	15	5130
13	**500**	**−26.6**	**10**	**5560**
	470	**−30.0**	**10**	**6000**
14	467	−30.3	10	6040
15	439	−33.7	10	6480
16	412	−36.8	10	6910
	407	**−37.6**	—	**7000**
17	385	−40.5	—	7390
18	357	−43.6	—	7890
	352	**−44.2**	—	**8000**
19	330	−46.7	—	8430
	302	**−49.6**	—	**9000**
20	**300**	**−50.0**	—	**9050**
21	283	−52.9	—	9430
	259	**−54.7**	—	**10000**
22	254	−55.0	—	10120

8. XII. 1952 15.00 h HEC

	1000	—	—	**240**
0	967.8	−3.3	76	493
1	917	−5.6	80	920
	908	**−6.3**	**82**	**1000**
2	881	−8.1	81	1220
	850	**−9.2**	**84**	**1510**
3	840	−1.7	84	1600
4	807	2.7	70	1930
	800	**2.6**	**68**	**2000**
5	774	1.6	63	2270
6	739	−2.5	62	2690
7	708	−1.7	61	2960
	705	**−1.8**	**64**	**3000**
	700	**−5.0**	**64**	**3070**
8	677	−6.4	63	3320
9	644	−8.3	60	3700
	620	**−10.7**	**59**	**4000**
10	615	−11.2	59	4070
11	583	−13.8	62	4470
12	554	−16.3	64	4860
	544	**−17.2**	**65**	**5000**
13	525	−19.0	66	5260
	500	**−22.0**	**67**	**5620**
14	496	−22.5	67	5680
	475	**−25.1**	**68**	**6000**
15	466	−26.2	68	6130
16	438	−30.7	68	6680
	413	**−34.2**	**67**	**7000**
17	410	−34.5	67	7040
18	390	−38.6	67	7400
19	361	−43.2	—	7920
	357	**−43.8**	—	**8000**
20	334	−48.0	—	8430
	306	**−51.5**	—	**9000**
21	**300**	**−52.3**	—	**9130**
22	273	−56.4	—	9740
	262	**−58.0**	—	**10000**
23	247	−60.1	—	10370
24	230	−63.1	—	10820
	223	**−63.0**	—	**11000**
25	210	−62.7	—	11370
	200	**−61.3**	—	**11680**
26	193	−60.2	—	11900
	190	**−59.7**	—	**12000**
27	176	−57.3	—	12480

Min.	PPP	TTT	UU	H m. geop.
	9. XII. 1952 14.50 h HEC			
	1000	—	—	**230**
0	968.1	−5.0	100	493
1	925	−8.1	100	850
	909	**−6.1**	**98**	**1000**
2	884	−3.2	96	1220
3	**850**	**2.8**	**20**	**1530**
4	812	1.7	18	1900
	802	**1.2**	**18**	**2000**
5	776	−0.1	18	2260
6	746	−3.6	18	2570
	707	**−6.3**	**18**	**3000**
7	702	−6.6	18	3050
	700	**−6.8**	**18**	**3080**
8	666	−9.6	18	3460
9	627	−12.9	18	3920
	620	**−13.7**	**18**	**4000**
10	592	−16.6	18	4350
11	560	−19.8	20	4770
	545	**−22.2**	**27**	**5000**
12	530	−23.6	30	5170
13	**500**	**−27.0**	**33**	**5590**
	473	**−30.2**	**32**	**6000**
14	466	−30.8	32	6100
15	434	−35.2	31	6600
	410	**−38.7**	**32**	**7000**
16	406	−39.3	32	7060
17	376	−43.2	—	7580
18	**352**	**−47.0**	—	**8000**
19	325	−51.0	—	8540
	304	**−53.5**	—	**9000**
20	300	−53.9	—	9060
21	276	−58.5	—	9660
	259	**−62.0**	—	**10000**
22	255	−62.5	—	10080
23	232	−62.5	—	10660
	220	**−61.8**	—	**11000**
24	210	−61.0	—	11270
	200	**−61.1**	—	**11590**
25	188	−60.8	—	11970

10. XII. 1952 14.50 h HEC

	1000	—	—	**225**
0	964.8	−2.5	95	493
1	924	−5.6	95	840
	909	**−6.2**	**100**	**960**
	903	**−5.3**	**100**	**1000**
2	881	0.5	100	1200
	864	2.9	65	1360
	850	**2.3**	**57**	**1500**
3	835	1.6	39	1640
	799	**−0.3**	**40**	**2000**
4	789	−0.7	40	2100
5	749	−3.2	43	2510
6	**710**	**−5.7**	**38**	**2940**
	704	**−6.1**	**37**	**3000**
	700	**−6.4**	**36**	**3040**
7	675	−7.7	36	3320
8	639	−10.7	36	3750
	619	**−12.5**	**36**	**4000**
9	604	−13.6	36	4170
10	572	−16.3	35	4580
11	**543**	**−20.0**	**35**	**5000**
12	516	−23.3	35	5370
	500	**−24.4**	**34**	**5575**
13	485	−25.6	34	5800
	472	**−27.5**	**34**	**6000**
14	458	−29.4	34	6210
15	427	−32.1	34	6710
	410	**−34.0**	**34**	**7000**
16	400	−35.2	34	7160
17	373	−39.1	34	7650
	354	**−42.1**	—	**8000**
18	347	−43.1	—	8135
19	325	−47.2	—	8590
	305	**−50.1**	—	**9000**
20	303	−50.3	—	9050
	300	**−50.7**	—	**9100**
21	282	−52.7	—	9510
22	**262**	**−54.2**	—	**10000**
23	240	−55.5	—	10540
	223	**−56.9**	—	**11000**

Min.	PPP	TTT	UU	H m. geop.
24	215	−57.5	—	11240
	209	**−57.5**	—	**11700**
25	195	−57.5	—	11870

11. XII. 1952 15.20 h HEC

	1000	—	—	**150**
0	958.7	3.0	80	493
1	914	0.9	95	880
	900	**0.2**	**96**	**1000**
2	870	−1.0	96	1270
	850	**−2.3**	**98**	**1460**
3	830	−3.6	100	1650
4	**792**	**−5.6**	**100**	**2000**
5	758	−8.0	100	2360
6	726	−10.0	100	2690
	700	**−11.7**	**100**	**2970**
7	**695**	**−12.1**	**100**	**3000**
8	663	−15.2	100	3350
9	631	−18.1	100	3750
	611	**−19.9**	**99**	**4000**
10	597	−21.0	98	4160
11	564	−24.0	98	4580
12	**531**	**−26.8**	**96**	**5000**
	500	**−29.9**	**91**	**5460**
13	497	−29.8	86	5490
14	470	−32.7	84	5870
	463	**−33.8**	**84**	**6000**
15	442	−36.7	84	6320
16	412	−40.7	—	6810
	400	**−41.8**	—	**7000**
17	386	−43.2	—	7240
18	361	−45.4	—	7700
	345	**−47.7**	—	**8000**
19	334	−49.0	—	8200
20	311	−52.5	—	8670
	300	**−53.7**	—	**8890**
	296	**−54.3**	—	**9000**
21	287	−55.3	—	9180
22	264	−57.0	—	9720
	252	**−57.0**	—	**10000**
23	242	−57.0	—	10270
24	220	−56.7	—	10860
	216	**−56.6**	—	**11000**
25	**200**	**−56.0**	—	**11470**
	184	**−55.9**	—	**12000**
26	182	−55.8	—	12080
27	168	−56.2	—	12580

12. XII. 1952 14.50 h HEC

	1000	—	—	**060**
0	948.8	4.0	90	493
1	910	1.0	100	840
	891	**0.3**	**100**	**1000**
2	867	−0.7	100	1230
	850	**−1.8**	**100**	**1395**
3	832	−2.8	100	1550
4	795	−4.3	100	1910
	786	**−4.9**	**100**	**2000**
5	756	−6.2	100	2310
6	721	−8.8	100	2680
	700	**−10.4**	**100**	**2900**
	691	**−11.1**	**100**	**3000**
7	688	−11.3	100	3050
8	654	−14.7	100	3430
9	622	−17.3	100	3800
	606	**−18.0**	**65**	**4000**
10	589	−18.6	43	4220
11	558	−21.1	35	4620
	530	**−24.0**	**35**	**5000**
12	526	−24.2	35	5050
	500	**−27.0**	**35**	**5410**
13	494	−27.7	35	5500
14	469	−30.6	37	5870
	460	**−31.9**	**37**	**6000**
15	440	−34.5	39	6320
16	414	−38.0	52	6740
	399	**−39.5**	**57**	**7000**
17	387	−40.5	64	7200
18	365	−43.8	—	7600
	344	**−46.4**	—	**8000**
19	341	−46.6	—	8060

Min.	PPP	TTT	UU	H m. geop.
20	318	−49.9	—	8510
	300	**−52.1**	—	**8890**
21	296	−52.3	—	8950
	295	**−52.5**	—	**9000**
22	274	−55.5	—	9460
23	254	−57.8	—	9950
	252	**−57.9**	—	**10000**
24	234	−58.5	—	10470
25	216	−57.4	—	10970
	215	**−57.3**	—	**11000**
26	**200**	**−55.4**	—	**11450**

13. XII. 1952 14.10 h HEC

	1000	—	—	**010**
0	938.0	4.0	100	493
1	900	0.7	100	830
	881	**0.0**	**100**	**1000**
2	864	−0.4	100	1160
	850	**−1.2**	**100**	**1290**
3	835	−2.0	100	1430
4	806	−3.7	100	1710
5	780	−5.2	100	1980
	777	**−5.5**	**100**	**2000**
6	754	−7.4	100	2230
7	730	−9.2	100	2480
8	**700**	**−11.3**	**100**	**2800**
	682	**−12.1**	**100**	**3000**
9	670	−12.9	100	3140
10	642	−14.6	100	3460
11	617	−17.7	100	3760
	597	**−19.2**	**99**	**4000**
12	587	−20.0	98	4140
13	558	−22.4	97	4510
14	534	−25.5	96	4820
	522	**−26.8**	**95**	**5000**
15	509	−28.2	93	5170
	500	**−28.9**	**93**	**5310**
16	485	−31.0	93	5520
17	462	−34.2	93	5860
	453	**−35.4**	**93**	**6000**
18	440	−36.7	93	6200
19	419	−40.2	—	6630
20	394	−42.2	—	6950
	391	**−42.8**	—	**7000**
21	375	−44.3	—	7280
22	355	−46.1	—	7650
23	**337**	**−49.9**	—	**8000**
24	320	−51.0	—	8330
25	302	−51.0	—	8710
	300	**−51.0**	—	**8760**
26	288	−51.0	—	9000
27	273	−50.2	—	9370
28	258	−49.3	—	9740
	248	**−49.2**	—	**10000**
29	245	−49.1	—	10070
30	227	−49.0	—	10570
31	**212**	**−50.1**	—	**11000**
32	**200**	**−50.9**	—	**11340**

15. XII. 1952 14.55 h HEC

	1000	—	—	**020**
0	941.7	−1.0	70	493
1	891	−4.0	74	930
	883	**−4.3**	**74**	**1000**
2	853	−6.3	73	1270
	850	**−6.5**	**74**	**1300**
3	815	−9.7	77	1610
4	778	−12.1	73	1960
	775	**−11.7**	**80**	**2000**
5	746	−14.9	84	2300
6	705	−17.8	100	2720
	700	**−18.3**	**80**	**2780**
	679	**−20.0**	**69**	**3000**
7	666	−21.1	63	3140
8	633	−23.8	62	3520
9	596	−27.2	71	3950
	592	**−27.7**	**76**	**4000**
10	562	−31.1	80	4370
11	528	−35.4	80	4810
	514	**−37.0**	**81**	**5000**
	500	**−38.3**	**82**	**5190**
12	492	−39.1	82	5300

Min.	PPP	TTT	UU	H m. geop.
13	462	-43.2	—	5730
	444	-46.0	—	6000
14	439	-46.8	—	6070
15	409	-50.8	—	6540
16	381	-53.6	—	7000
17	356	-56.3	—	7430
18	332	-57.7	—	7870
	325	-58.5	—	8000
19	309	-61.1	—	8330
	300	-61.1		8510
20	285	-61.1	—	8820
	277	-61.1	—	9000
21	265	-60.9	—	9280
22	250	-58.7	—	9630
	236	-57.7	—	10000
23	234	-57.6	—	10050
24	217	-57.4	—	10530
	202	-58.2	—	11000
25	200	-58.0	—	11050

16. XII. 1952 14.55 h HEC

	1000	—	—	120
0	954.7	-1.5	85	493
	895	-3.4	88	1000
1	890	-3.5	93	1020
	850	-6.7	94	1400
2	843	-7.1	95	1460
3	799	-11.0	100	1870
	785	-11.4	90	2000
4	759	-12.0	80	2260
5	715	-13.0	20	2730
	709	-13.9	20	2880
	690	-14.7	18	3000
6	675	-15.9	19	3160
7	634	-18.4	17	3620
	603	-20.3	25	4000
8	596	-20.7	32	4080
9	564	-23.2	98	4500
10	533	-26.6	100	4910
	527	-27.0	100	5000
11	506	-28.1	100	5270
	500	-28.8	100	5360
12	483	-30.8	100	5610
	458	-33.1	100	6000
13	452	-33.5	100	6080
14	424	-36.0	98	6530
15	398	-39.4	94	6960
	396	-39.5	—	7000
16	369	-43.3	—	7470
17	342	-46.7	—	7970
	341	-47.0	—	8000
18	317	-50.3	—	8480
	300	-53.5	—	8530
19	296	-54.2	—	8920
	292	-54.8	—	9000
20	274	-57.7	—	9480
21	250	-60.9	—	10000
22	231	-63.2	—	10480
23	214	-63.2	—	10950
	212	-63.0	—	11000
	200	-59.9	—	11370
24	197	-59.0	—	11460
25	182	-57.5	—	11970

17. XII. 1952 15.00 h HEC

	1000	—	—	520
0	989.3	2.0	100	493
1	900	-0.5	100	825
	881	-1.2	100	1000
2	859	-1.8	100	1180
	850	-2.5	100	1290
3	823	-4.2	100	1540
4	787	-6.7	100	1900
	775	-7.7	100	2000
5	756	-9.1	100	2210
6	722	-11.9	100	2560
	700	-13.6	100	2790
7	682	-14.8	100	3000
8	645	-16.9	100	3410
9	610	-20.1	100	3820
	596	-21.5	100	4000
10	581	-23.0	100	4190
11	546	-25.8	74	4630
	520	-27.9	60	5000
12	511	-28.4	48	5110
	500	-29.7	54	5270
13	478	-32.0	62	5590
14	449	-35.7	76	6000
15	423	-39.1	67	6450
16	398	-42.0	54	6850
	390	-43.0	—	7000
17	374	-44.4	—	7280
18	350	-47.0	—	7720
	335	-49.7	—	8000
19	329	-51.0	—	8130
20	306	-53.2	—	8610
	300	-54.1	—	8720
21	286	-56.6	—	9000
22	267	-57.3	—	9460
23	250	-56.7	—	9880
	245	-56.4	—	10000
24	237	-55.4	—	10380
	210	-53.9	—	11000
25	208	-53.6	—	11050
	200	-53.3	—	11300
26	193	-54.3	—	11540

18. XII. 1952 14.55 h HEC

	1000	—	—	075
0	947.6	-0.5	100	493
1	910	-3.3	100	815
	888	-5.0	100	1000
2	870	-6.0	100	1170
	850	-7.1	100	1350
3	834	-7.8	100	1500
4	798	-9.7	100	1850
	781	-10.9	100	2000
5	758	-12.5	100	2230
6	725	-14.5	100	2570
	700	-15.8	100	2850
7	692	-16.0	100	2950
	684	-16.6	100	3000
8	654	-19.1	98	3340
9	619	-22.7	97	3760
	598	-24.8	94	4000
10	587	-25.7	93	4140
11	548	-30.2	91	4630
	520	-33.7	86	5000
12	515	-34.2	85	5060
	500	-36.0	83	5270
13	487	-37.7	81	5460
14	450	-41.7	—	6000
15	420	-44.0	—	6460
16	392	-47.2	—	6940
	387	-47.8	—	7000
17	364	-50.5	—	7410
18	330	-52.8	—	7870
	331	-53.2	—	8000
19	315	-53.5	—	8350
	300	-53.5	—	8650
20	292	-53.5	—	8830
	284	-53.5	—	9000
21	270	-53.5	—	9340
22	250	-54.3	—	9830
	243	-54.2	—	10000
23	232	-53.8	—	10300
24	215	-53.8	—	10780
	208	-54.0	—	11000
	200	-54.2	—	11250
25	198	-53.8	—	11330

19. XII. 1952 14.55 h HEC

	1000	—	—	130
0	953.6	1.0	85	493
1	915	-1.0	100	830
	894	-2.6	100	1000
2	877	-4.0	100	1160
	850	-4.8	64	1410
3	837	-4.9	55	1535
4	799	-6.7	54	1880
	788	-6.8	68	2000
5	761	-7.0	100	2270
6	724	-7.2	100	2660
	700	-8.0	100	2920
	692	-8.3	100	3000
7	688	-8.8	100	3100
8	650	-10.0	100	3480
9	623	-11.1	100	3800
	608	-12.8	100	4000
10	591	-14.3	100	4200
11	564	-17.3	100	4550
12	537	-19.9	100	4920
	532	-20.4	100	5000
13	508	-23.0	100	5330
	500	-23.8	100	5440
14	481	-25.9	100	5720
	464	-28.7	100	6000
15	455	-29.8	100	6130
16	428	-33.4	100	6550
17	401	-37.0	100	7000
18	371	-41.0	—	7580
19	348	-44.7	—	7960
	346	-45.0	—	8000
20	322	-49.1	—	8480
	300	-51.3	—	8940
	297	-51.7	—	9000
21	288	-52.7	—	9200
22	265	-56.4	—	9780
	254	-57.2	—	10000
23	244	-57.7	—	10240
24	224	-58.3	—	10780
	217	-58.3	—	11000
25	203	-58.3	—	11400
	200	-58.3	—	11500
26	184	-58.6	—	12000

20. XII. 1952 14.15 h HEC

	1000	—	—	150
0	959.7	4.5	70	493
1	918	1.8	89	850
	901	1.1	90	1000
2	868	-0.7	91	1300
	850	-1.9	93	1470
3	825	-3.6	96	1710
	795	-6.1	98	2000
4	787	-6.8	100	2080
5	749	-8.6	96	2470
6	727	-7.5	64	2700
	700	-10.2	69	2985
	699	-10.5	70	3000
7	680	-12.5	75	3220
8	645	-15.4	85	3620
	613	-16.4	50	4000
9	608	-16.7	45	4070
10	571	-19.6	52	4580
11	537	-22.4	71	5060
12	509	-26.0	83	5570
	500	-27.0	84	5500
13	480	-29.1	88	5800
	466	-30.3	91	6060
14	456	-31.1	92	6170
15	430	-34.7	92	6590
16	407	-37.5	86	6970
	404	-37.9	83	7000
17	382	-40.6	75	7400
18	359	-43.3	—	7820
	349	-44.9	—	8000
19	332	-47.7	—	8350
20	309	-51.1	—	8830
	300	-51.9	—	9000
21	285	-53.2	—	9360
22	266	-57.3	—	9790
	257	-55.5	—	10000
23	244	-52.8	—	10340
24	228	-51.5	—	10770
	220	-52.8	—	11000
25	211	-54.2	—	11280
	200	-54.2	—	11610
26	194	-54.2	—	11830

22. XII. 1952 14.50 h HEC

	1000	—	—	190
0	963.4	4.0	80	493
1	918	-0.5	90	890
	905	-1.2	92	1000
2	878	-2.6	94	1250
	850	-4.7	98	1500
3	840	-5.5	100	1590
4	799	-7.2	74	2000
5	761	-8.5	40	2370
6	721	-10.9	29	2770
	700	-12.6	30	3000
7	684	-13.8	32	3180
8	649	-16.4	57	3570
9	616	-18.5	100	3960
	613	-13.6	100	4000
10	585	-15.0	100	4350
11	554	-15.2	100	4770
	538	-16.5	100	5000
12	522	-18.1	100	5220
	500	-19.2	100	5540
13	490	-19.9	100	5680
	470	-21.3	100	6000
14	460	-22.1	100	6160
15	431	-24.8	100	6640
	410	-27.8	100	7000
16	407	-28.1	100	7040
17	379	-31.7	100	7560
	356	-35.2	100	8000
18	352	-36.0	100	8070
19	327	-39.8	100	8580
	307	-43.2	100	9000
20	305	-43.7	100	9050
	300	-44.3	—	9150
21	280	-48.2	—	9620
	264	-51.5	—	10000
22	259	-52.7	—	10120
23	238	-56.7	—	10670
	226	-59.0	—	11000
24	217	-60.9	—	11250
25	200	-62.0	—	11750
	192	-63.3	—	12000
26	183	-65.2	—	12300
27	168	-61.1	—	12820

23. XII. 1952 14.50 h HEC

	1000	—	—	210
0	963.9	4.0	100	493
1	928	3.4	100	810
	905	2.8	100	1000
2	891	2.7	100	1120
3	859	1.7	100	1420
	850	1.3	100	1520
4	830	0.6	100	1710
5	798	-0.7	100	2000
6	771	-2.8	100	2300
7	743	-5.0	100	2580
8	713	-7.3	100	2910
	704	-7.7	90	3000
	700	-7.9	87	3060
	696	-8.2	84	3100
9	687	-7.0	64	3190
10	662	-7.9	25	3480
11	642	-10.2	23	3720
12	628	-11.4	20	3950
	619	-11.7	20	4000
13	594	-13.8	20	4310
14	570	-16.3	20	4630
15	550	-18.8	20	4900
	542	-19.3	21	5000
16	525	-20.4	22	5240
17	500	-22.4	23	5600
18	480	-25.2	24	5900
	473	-26.2	28	6000
19	456	-28.5	32	6270
20	435	-31.5	33	6610
21	413	-34.4	35	6970
	411	-34.7	35	7000
22	393	-38.0	42	7310
23	372	-40.9	—	7680
	355	-43.3	—	8000
24	351	-44.0	—	8070

Min.	PPP	TTT	UU	H m. geop.
25	333	-47.4	—	8430
26	315	-50.3	—	8790
	306	**-51.8**	—	**9000**
	300	**-52.8**	—	**9110**
27	295	-53.5	—	9220
28	279	-56.8	—	9570
29	**260**	**-60.9**	—	**10000**
30	**244**	**-65.4**	—	**10410**
31	227	-68.4	—	10840
	221	**-68.5**	—	**11000**
32	210	-68.8	—	11320
	200	**-67.3**	—	**11620**
33	192	-65.9	—	11860
	24. XII. 1952	**14.05 h HEC**		
	1000	—	—	**180**
0	962.4	6.0	80	493
	903	**4.6**	**88**	**1000**
1	896	4.1	92	1080
2	856	1.4	98	1440
	850	**1.5**	**95**	**1500**
3	817	2.2	84	1810
	799	**1.6**	**45**	**2000**
4	774	1.6	34	2250
5	733	0.0	20	2670
	705	**-1.8**	**19**	**3000**
6	**700**	**-2.2**	**18**	**3050**
7	668	-5.5	28	3430
8	633	-9.4	36	3840
	620	**-10.6**	**28**	**4000**
9	600	-12.1	20	4250
10	565	-14.0	24	4710
	544	**-15.8**	**20**	**5000**
11	536	-16.4	18	5120
12	506	-18.8	17	5540
	500	**-19.6**	**17**	**5630**
13	479	-22.0	15	5940
	475	**-22.3**	**15**	**6000**
14	450	-25.0	15	6410
15	420	-28.8	15	6900
	414	**-29.7**	**15**	**7000**
16	393	-32.6	15	7360
17	368	-36.9	15	7830
	359	**-38.2**	**15**	**8000**
18	342	-40.5	—	8330
19	319	-43.8	—	8800
	310	**-45.2**	—	**9000**
	300	**-46.6**	—	**9220**
20	294	-47.5	—	9340
21	269	-51.4	—	9920
	266	**-52.1**	—	**10000**
22	248	-55.6	—	10450
23	229	-58.8	—	10950
	227	**-59.2**	—	**11000**
24	210	-62.5	—	11500
	200	**-64.6**	—	**11790**
25	**193**	**-66.0**	—	**12000**
26	178	-65.6	—	12680
	26. XII. 1952	**14.40 h HEC**		
	1000	—	—	**150**
0	956.8	2.0	80	493
	899	**-1.7**	**90**	**1000**
1	894	-1.8	100	1030
	874	-2.9	100	1210
2	**850**	**-0.7**	**84**	**1440**
	835	0.0	30	1580
3	810	-2.0	20	1820
	792	**-3.2**	**18**	**2000**
4	774	-4.5	15	2180
5	758	-7.0	15	2560
6	**700**	**-10.2**	**18**	**2970**
	697	**-10.5**	**25**	**3000**
7	657	-13.5	51	3450
8	622	-15.6	70	3860
	611	**-16.6**	**73**	**4000**
9	586	-19.0	76	4310
10	555	-21.8	70	4720
	533	**-23.5**	**80**	**5000**
11	521	-24.4	84	5180
	500	**-26.4**	**87**	**5480**
12	490	-27.3	91	5620
13	**463**	**-31.1**	**92**	**6000**
14	432	-34.7	92	6510
15	404	-38.0	92	6980
	402	**-38.1**	—	**7000**
16	376	-41.2	—	7460
17	350	-44.2	—	7950
	347	**-44.5**	—	**8000**
18	323	-47.5	—	8500
	300	**-50.6**	—	**8970**
19	**298**	**-50.9**	—	**9000**
20	276	-53.1	—	9520
	256	**-54.6**	—	**10000**
21	249	-55.3	—	10220
22	224	-54.4	—	10850
	219	**-54.5**	—	**11000**
23	208	-54.5	—	11320
	200	**-54.5**	—	**11570**
24	188	-54.5	—	**11960**
	27. XII. 1952	**14.15 h HEC**		
	1000	—	—	**075**
0	949.7	0.5	100	493
1	903	-1.7	100	900
	891	**-2.3**	**100**	**1000**
2	855	-3.7	100	1340
	850	**-3.9**	**100**	**1375**
3	813	-5.4	100	1730
	785	**-6.8**	**100**	**2000**
4	771	-7.7	100	2160
5	731	-9.8	100	2560
6	**700**	**-11.9**	**98**	**2890**
	690	**-12.5**	**97**	**3000**
7	660	-14.6	96	3350
8	625	-17.4	94	3750
	604	**-19.4**	**84**	**4000**
9	597	-20.3	83	4100
10	568	-23.4	75	4470
11	535	-24.7	70	4900
	527	**-25.8**	**70**	**5000**
12	507	-28.4	70	5300
	500	**-29.4**	**70**	**5380**
13	476	-32.1	70	5740
	458	**-34.8**	**70**	**6000**
14	448	-36.5	70	6170
15	422	-40.3	70	6570
	396	**-44.7**	—	**7000**
16	390	-46.1	—	7120
	29. XII. 1952	**14.50 h HEC**		
	1000	—	—	**110**
0	950.0	-2.5	100	493
1	899	-7.1	100	950
	890	**-7.5**	**100**	**1000**
2	850	-3.6	61	1380
	834	-2.6	36	1530
3	807	-3.0	31	1790
	786	**-4.2**	**32**	**2000**
4	769	-5.4	33	2170
5	727	-7.9	31	2620
	700	**-11.6**	**34**	**2900**
6	694	-12.2	35	2960
	691	**-12.5**	**37**	**3000**
7	665	-14.0	45	3290
8	631	-16.9	50	3700
	603	**-19.6**	**60**	**4000**
9	594	-20.2	65	4140
10	558	-23.5	90	4590
11	**526**	**-27.0**	**100**	**5000**
	500	**-30.0**	**100**	**5390**
12	495	-30.6	100	5460
13	468	-33.7	100	5850
	458	**-35.0**	**100**	**6000**
14	439	-38.4	100	6300
15	412	-42.2	—	6730
	396	**-44.4**	—	**7000**
16	385	-46.2	—	7190
17	358	-50.1	—	7670
	340	**-52.5**	—	**8000**
18	330	-53.8	—	8200
19	**300**	**-57.0**	—	**8810**
	291	**-58.7**	—	**9000**
20	273	-59.5	—	9400
21	252	-58.6	—	9900
	248	**-58.5**	—	**10000**
22	233	-57.5	—	10390
23	216	-57.5	—	10870
	212	**-57.5**	—	**11000**
24	**200**	**-57.5**	—	**11360**
25	184	-57.5	—	11890
	30. XII. 1952	**14.50 h HEC**		
	1000	—	—	**110**
0	953.9	-2.0	86	493
1	920	-4.9	100	780
	895	**-2.3**	**86**	**1000**
2	877	0.0	79	1150
	850	**-0.4**	**66**	**1420**
3	841	-0.4	62	1490
4	804	-2.1	52	1850
	790	**-3.7**	**54**	**2000**
5	765	-5.8	58	2240
6	729	-9.8	68	2610
	700	**-11.8**	**75**	**2930**
7	695	-11.9	80	2980
	693	**-12.3**	**82**	**3000**
8	665	-13.9	87	3320
9	636	-15.5	91	3660
	608	**-17.9**	**93**	**4000**
10	605	-18.0	94	4040
11	575	-21.4	94	4410
12	543	-24.5	98	4820
	530	**-26.1**	**92**	**5000**
13	506	-28.5	92	5340
	500	**-29.5**	**92**	**5430**
14	478	-32.4	92	5740
	461	**-34.8**	**92**	**6000**
15	449	-36.3	92	6180
16	420	-40.9	—	6640
	398	**-44.1**	—	**7000**
17	390	-45.3	—	7140
18	363	-49.4	—	7620
	342	**-52.6**	—	**8000**
19	335	-53.6	—	8140
20	308	-57.9	—	8670
	300	**-59.2**	—	**8840**
	292	**-60.3**	—	**9000**
21	284	-61.6	—	9180
22	262	-60.4	—	9690
	249	**-60.4**	—	**10000**
23	241	-60.4	—	10200
24	221	-60.4	—	10730
	212	**-60.4**	—	**11000**
25	204	-60.4	—	11220
	200	**-60.4**	—	**11360**
26	188	-60.4	—	11740
	31. XII. 1952	**14.10 h HEC**		
	1000	—	—	**070**
0	948.1	-2.0	90	493
1	900	-3.9	100	900
	890	**-1.4**	**99**	**1000**
	884	-0.1	98	1050
2	859	-0.4	92	1270
	850	**-0.8**	**90**	**1360**
3	813	-3.1	85	1720
	724	**-4.8**	**83**	**2000**
4	772	-5.7	82	2120
5	734	-9.3	92	2520
6	703	-11.2	97	2850
	700	**-11.3**	**97**	**2890**
	689	**-11.8**	**98**	**3000**
7	666	-13.2	100	3260
8	632	-15.4	100	3670
	604	**-17.7**	**99**	**4000**
9	593	-18.7	98	4140
10	559	-21.1	98	4580
11	531	-24.5	97	4960
	528	**-24.8**	**97**	**5000**
	500	**-27.8**	**97**	**5390**
12	497	-28.2	97	5430
13	468	-32.5	97	5860
	459	**-33.6**	**97**	**6000**
14	441	-36.0	97	6270
15	409	-39.8	97	6790
	397	**-41.7**	—	**7000**
16	383	-44.2	—	7240
17	355	-49.2	—	7760
	341	**-51.5**	—	**8000**
18	328	-54.0	—	8270
19	303	-56.7	—	8770
	300	**-56.9**	—	**8830**
	292	**-57.4**	—	**9000**
20	276	-58.7	—	9350
21	252	-59.6	—	9930
	249	**-59.5**	—	**10000**
22	228	-57.9	—	10550
	212	**-58.4**	—	**11000**
23	209	-58.6	—	11100
	200	**-57.5**	—	**11380**
24	191	-56.7	—	11670
	181	**-56.2**	—	**12000**
25	169	-55.8	—	12440

Pilot

HH = Höhe in Hektometern; dd = Windrichtung in 36iger Skala; ff = Windgeschwindigkeit in Knoten.

HH	dd	ff
3. I. 52		**15.00 h**
05	21	10
15	24	20
25	27	27
35	27	18
45	26	47
50	27	25
60	26	33
70	26	47
80	25	62
90	25	60
100	25	70
115	25	50
120	25	50
4. I. 52		**15.00 h**
05	22	10
15	28	12
25	30	15
30	32	22
40	36	16
50	36	25
60	35	35
70	35	45
75	35	77
85	35	95
95	35	66
100	35	66
110	34	77
115	34	77
5. I. 52		**15.00 h**
05	23	06
25	28	08
30	30	15
40	32	30
45	36	30
55	01	30
65	01	33
75	01	35
85	01	45
90	36	40
100	01	55
110	01	68
120	01	68
8. I. 52		**15.00 h**
05	00	00
30	28	05
35	32	07
45	32	18
50	30	44
60	31	20
70	31	33
80	31	40
90	31	50
100	30	60
110	30	77
120	30	40
128	30	40
9. I. 52		**15.00 h**
05	21	15
10	23	22
15	24	45
25	25	45
30	23	38
40	24	65
50	25	93
60	24	09
70	24	78
80	74	02
90	74	00
100	74	08
108	74	08

HH	dd	ff
10. I. 52		**15.00 h**
05	22	20
10	22	35
15	24	50
25	25	55
30	28	45
40	28	50
50	30	50
55	31	70
65	33	85
75	33	90
90	34	65
100	34	90
110	34	10
12. I. 52		**14.55 h**
05	23	10
10	24	11
20	24	15
25	33	34
30	32	17
40	31	22
55	29	40
65	28	60
70	28	80
80	78	05
90	78	05
100	28	50
110	28	50
130	27	30
15. I. 52		**15.00 h**
05	00	00
10	24	10
20	25	20
25	26	20
30	28	22
40	30	25
50	30	28
60	29	33
70	27	33
80	27	36
90	26	52
100	26	46
110	26	46
120	26	35
127	26	35
16. I. 52		**15.10 h**
05	22	05
10	25	15
15	27	25
30	27	22
35	26	20
40	27	30
55	27	33
65	27	40
70	26	60
80	27	50
90	27	45
00	25	55
17	26	60
17. I. 52		**15.40 h**
05	21	18
10	22	45
20	23	45
25	25	50
35	26	60
45	26	72
50	26	48
60	25	58
70	26	58
80	27	70
90	77	02
100	28	88
120	26	77

HH	dd	ff
18. I. 52		**15.25 h**
05	21	05
90	29	17
100	29	35
122	30	30
19. I. 52		**14.50 h**
05	21	10
15	29	07
20	30	20
25	31	28
35	33	33
45	34	38
55	35	33
65	35	33
75	35	30
85	35	35
95	35	36
105	35	38
115	34	44
120	34	44
21. I. 52		**15.00 h**
05	05	05
10	07	10
15	07	25
25	07	25
35	07	20
45	07	30
50	08	35
60	09	60
70	09	72
80	10	60
90	10	90
100	08	45
105	08	45
22. I. 52		**15.00 h**
05	00	00
20	00	00
30	12	15
40	11	20
50	11	20
57	11	25
70	11	33
80	11	40
90	11	38
100	11	38
110	14	17
126	16	07
23. I. 52		**14.55 h**
05	00	00
20	00	00
25	07	03
30	00	00
45	23	30
50	23	27
60	23	33
70	22	33
75	24	57
85	23	38
95	22	30
105	21	25
110	21	25
24. I. 52		**15.00 h**
05	00	00
10	06	06
20	06	15
30	16	12
35	18	12
45	20	15
55	20	20
60	20	25

HH	dd	ff
70	20	27
80	20	33
90	21	25
100	23	25
110	23	30
120	23	34
140	24	50
26. I. 52		**14.55 h**
05	24	02
10	23	20
15	23	25
30	23	25
40	23	17
45	24	25
55	24	25
60	25	27
70	25	30
80	25	40
90	26	45
100	26	40
110	27	60
120	27	70
130	27	50
145	26	55
28. I. 52		**15.00 h**
05	00	00
25	00	00
30	31	12
35	31	12
40	31	20
50	29	35
55	29	35
65	29	45
75	29	35
85	29	38
95	27	60
105	27	50
115	27	50
29. I. 52		**15.00 h**
05	00	00
15	24	15
20	24	23
30	26	25
40	27	33
55	27	39
60	27	37
70	27	38
80	27	50
90	27	60
100	27	45
120	27	45
135	27	45
30. I. 52		**15.00 h**
05	00	00
15	00	00
30	25	15
40	26	20
55	26	25
65	26	25
75	26	30
85	26	33
90	25	35
100	27	35
110	27	35
130	27	30
140	27	35
31. I. 52		**14.55 h**
05	22	10
10	22	30
15	21	45

HH	dd	ff
25	23	65
30	26	50
40	26	50
55	27	40
60	27	35
70	27	60
80	25	65
90	25	60
100	31	25
119	31	25
1. II. 52		**15.00 h**
05	24	12
10	22	22
15	22	16
20	24	33
25	25	30
30	26	33
40	28	45
55	29	65
65	28	45
75	28	12
85	30	97
95	31	70
100	31	70
2. II. 52		**15.00 h**
05	21	12
10	24	12
15	27	17
25	28	20
30	30	25
35	31	25
45	31	40
55	31	20
70	31	15
80	32	15
90	32	00
100	32	95
110	32	04
116	32	04
4. II. 52		**15.00 h**
05	00	00
15	00	00
20	33	07
25	33	15
35	34	20
40	34	20
50	34	22
60	34	35
70	35	33
80	35	33
90	34	33
100	34	28
110	32	38
120	31	38
130	31	35
140	32	38
145	32	38
5. II. 52		**14.55 h**
05	03	03
10	04	13
20	03	20
30	03	28
40	03	30
54	03	43
65	03	65
75	03	85
80	03	90
90	53	20
110	03	90
120	02	80

HH	dd	ff
6. II. 52		**15.00 h**
05	03	05
10	04	12
15	05	12
20	04	25
30	04	35
35	03	47
45	03	80
55	03	38
60	53	10
70	03	64
80	03	66
90	03	35
100	03	55
110	04	68
120	04	77
126	04	77
9. II. 52		**14.45 h**
05	00	00
10	28	05
15	29	12
20	30	15
25	30	22
30	31	25
40	31	22
50	32	23
65	34	77
75	34	98
85	33	94
95	34	60
12. II. 52		**15.05 h**
05	27	10
15	27	10
20	24	10
30	25	17
40	25	17
55	26	17
65	26	27
75	26	27
90	27	27
100	27	35
13. II. 52		**15.00 h**
05	07	03
15	05	05
20	20	15
30	24	25
40	24	30
50	24	35
60	25	44
70	25	55
80	25	87
90	25	95
100	25	70
110	25	50
120	25	55
125	25	55
14. II. 52		**14.40 h**
05	00	00
30	00	00
37	31	17
45	31	18
55	30	25
65	30	30
80	31	35
90	27	35
105	26	30
119	26	35
16. II. 52		**14.30 h**
05	07	10
10	06	28

HH	dd	ff
20	06	17
30	01	25
40	04	22
55	03	15
70	03	20
90	03	25
110	03	17
127	02	13
18. II. 52		**15.00 h**
05	02	03
10	05	15
20	04	18
25	05	18
30	03	12
40	01	12
50	36	15
60	01	15
70	02	35
80	02	40
88	02	40
19. II. 52		**15.00 h**
05	06	05
15	05	10
20	05	12
30	04	10
40	04	20
50	04	27
60	04	33
75	04	38
85	05	35
95	04	45
105	04	45
110	04	45
120	04	40
130	03	40
20. II. 52		**15.00 h**
05	02	08
10	06	10
15	06	12
20	06	12
25	05	27
30	03	25
40	03	28
50	02	22
60	03	28
70	04	42
80	05	40
90	05	52
100	06	54
110	05	56
120	04	56
130	03	62
140	03	62
21. II. 52		**15.05 h**
05	04	03
15	05	03
20	05	12
25	04	12
30	02	20
40	01	16
50	36	20
60	35	20
70	34	16
80	33	12
90	31	15
100	30	14
110	30	10
115	30	10
22. II. 52		**14.50 h**
05	00	00
10	00	00
15	22	05
20	20	05
25	07	03
35	07	03
40	02	03
50	01	03
60	01	03

HH	dd	ff
70	35	07
80	32	07
90	29	17
100	29	15
110	25	10
120	24	10
23. II. 52		**14.45 h**
05	00	00
15	00	00
20	08	03
25	09	03
30	13	04
40	19	06
50	16	10
60	16	08
75	16	06
85	19	07
90	26	07
100	32	07
110	32	07
25. II. 52		**15.00 h**
05	00	00
25	00	00
30	26	05
40	00	00
45	26	03
55	00	00
65	00	00
70	05	08
80	10	03
90	10	03
100	00	00
110	00	00
120	00	00
125	34	08
130	34	08
26. II. 52		**15.10 h**
05	00	00
30	00	00
35	01	03
40	04	07
50	05	10
60	06	20
70	05	20
75	05	25
80	06	25
90	07	25
27. II. 52		**14.50 h**
05	03	05
10	05	15
15	05	12
20	05	12
30	05	15
40	04	23
50	04	25
60	05	15
75	06	28
85	05	30
90	05	35
100	05	35
110	04	35
120	03	33
28. II. 52		**14.45 h**
05	02	05
10	06	14
15	06	12
20	05	12
30	03	20
40	02	22
60	02	33
70	02	35
80	02	45
90	02	55
100	01	38
110	01	32
120	01	32

HH	dd	ff
29. II. 52		**14.50 h**
05	00	00
10	00	00
15	29	10
25	31	15
30	31	20
40	31	28
50	32	33
60	33	38
70	34	58
80	33	48
90	35	55
100	34	60
110	35	80
120	35	50
130	35	70
138	35	72
1. III. 52		**14.45 h**
05	06	05
15	00	00
20	05	05
25	01	10
35	35	18
40	35	22
50	35	33
60	35	40
70	34	58
80	33	55
85	33	66
95	32	95
105	33	63
115	33	63
115	33	05
120	33	05
130	34	75
135	34	75
3. III. 52		**15.00 h**
05	00	00
15	23	15
30	23	25
55	21	17
70	21	25
90	22	25
00	21	35
19	20	40
4. III. 52		**14.50 h**
05	24	05
15	24	15
30	25	18
45	25	17
55	28	27
93	29	30
05	30	40
17	29	30
26	27	17
5. III. 52		**14.50 h**
05	23	05
10	23	10
15	24	15
20	25	25
30	27	30
40	27	33
55	28	38
65	28	38
75	29	40
85	29	38
95	29	40
105	28	30
115	28	30
123	28	30
6. III. 52		**14.55 h**
05	00	00
15	00	00
30	32	07
40	33	30
55	33	45
75	33	60
90	33	65

HH	dd	ff
105	33	70
117	33	10
120	33	55
7. III. 52		**15.00 h**
05	00	00
10	00	00
15	32	05
20	34	15
25	34	15
30	34	18
40	33	25
55	33	38
60	33	38
70	33	52
80	33	74
90	33	70
100	33	85
110	32	45
120	32	40
123	32	40
8. III. 52		**15.05 h**
05	03	03
15	03	05
30	36	10
36	35	15
55	34	28
65	32	40
75	32	45
90	31	40
10	31	36
23	31	45
10. III. 52		**15.00 h**
05	00	00
15	31	12
33	34	08
40	33	13
50	33	07
55	17	10
70	16	20
80	18	27
90	17	33
00	00	00
32	35	17
11. III. 52		**14.55 h**
05	00	00
20	00	00
25	28	03
30	32	03
40	32	03
50	32	03
60	32	06
70	33	06
80	34	15
90	33	15
100	32	20
110	32	25
120	32	25
12. III. 52		**15.00 h**
05	00	00
15	00	00
20	27	08
30	31	07
45	31	20
55	32	25
71	32	35
13. III. 52		**14.55 h**
05	00	00
10	00	00
15	02	05
25	02	07
30	01	12
40	02	25
50	02	25
60	02	35
70	01	40
80	02	45
85	02	35

HH	dd	ff
95	02	38
105	01	33
110	35	33
120	35	25
130	35	35
139	35	35
14. III. 52		**15.00 h**
05	04	18
20	06	15
27	06	16
35	05	22
43	01	28
50	36	38
66	36	38
74	36	44
84	35	55
94	33	50
104	35	51
114	35	92
142	33	44
15. III. 52		**14.40 h**
05	00	00
10	00	00
40	25	07
30	22	07
45	32	05
50	02	10
60	32	10
70	32	15
80	33	25
90	31	30
100	31	38
110	31	50
119	31	50
17. III. 52		**14.55 h**
05	00	00
10	00	00
30	00	00
35	23	05
40	23	05
45	26	05
50	29	05
60	26	03
70	22	03
80	21	05
90	16	07
100	18	15
105	28	06
110	28	06
125	28	03
130	02	03
140	02	03
18. III. 52		**14.55 h**
05	00	00
10	00	00
30	23	12
50	22	10
55	25	10
65	31	20
75	32	35
90	32	45
00	31	35
10	31	20
26	31	20
38	33	15
49	33	12
19. III. 52		**14.50 h**
05	00	00
10	00	00
15	23	05
25	21	12
30	22	10
40	22	07
55	22	04
65	00	00
70	24	03
85	25	04

HH	dd	ff
95	28	05
05	33	08
15	33	08
20. III. 52		**15.05 h**
05	23	10
15	25	10
25	29	13
30	30	25
40	31	30
55	32	25
70	32	45
85	33	55
90	34	55
10	33	90
19	35	75
33	34	70
21. III. 52		**14.55 h**
05	27	05
10	32	05
15	33	10
25	33	25
30	33	25
40	34	50
55	34	60
70	35	70
80	35	65
90	35	98
100	34	75
115	34	58
125	34	75
135	34	75
22. III. 52		**14.55 h**
05	22	15
10	23	22
15	25	28
30	31	35
45	31	48
55	31	50
63	31	55
73	31	50
80	31	90
90	31	90
00	31	55
10	31	50
20	31	60
30	31	45
43	32	50
55	31	45
24. III. 52		**16.05 h**
05	23	08
10	25	20
15	26	25
30	26	30
40	26	30
55	26	40
80	26	40
90	26	55
01	27	50
13	27	55
26	27	70
25. III. 52		**14.55 h**
05	23	17
10	24	12
15	24	25
20	25	25
30	26	23
40	28	30
55	29	28
60	29	45
70	29	35
80	29	55
90	28	45
100	28	65
105	28	40
115	28	62
125	28	35
135	28	33
139	28	33

HH	dd	ff
26. III. 52		**. h**
05	28	05
10	31	10
15	31	05
30	31	05
36	31	15
45	31	20
55	32	30
65	32	33
73	32	43
84	31	55
90	31	50
07	31	50
07	31	56
18	30	30
27. III. 52		**. h**
05	03	08
10	05	12
15	19	05
20	21	05
25	24	15
30	24	22
40	27	18
55	28	45
65	28	52
75	28	68
85	27	70
90	27	88
00	28	78
10	29	45
20	30	46
28. III. 52		**14.50 h**
05	00	00
15	22	10
20	23	38
30	24	35
40	25	35
55	26	48
60	26	50
70	26	55
80	26	45
93	26	62
29. III. 52		**14.45 h**
05	21	03
10	27	10
15	26	15
20	24	22
25	22	35
30	21	33
40	23	44
55	21	35
60	20	30
70	20	55
80	20	33
90	19	62
100	20	66
110	22	92
120	23	66
31. III. 52		**15.00 h**
05	19	08
10	22	10
15	22	22
20	23	25
30	24	33
40	25	25
55	25	35
70	25	50
80	25	45
90	25	50
00	26	62
10	27	52
17	27	52
1. IV. 52		**15.00 h**
05	05	12
10	03	08
15	27	15
20	22	20
30	21	25
40	25	23
55	25	23
60	26	23
70	23	20
80	23	10
90	23	15
100	23	25
115	24	45
125	24	46
2. IV. 52		**15.00 h**
05	05	15
10	05	12
15	05	18
27	05	17
30	36	10
40	36	07
50	26	10
55	25	17
60	24	35
80	25	35
90	25	60
00	22	65
13	25	28
25	25	28
3. IV. 52		**14.50 h**
05	05	18
10	06	30
15	07	20
25	07	25
30	07	20
40	08	07
55	00	00
70	00	00
80	07	15
90	07	35
100	00	00
116	21	05
130	23	10
4. IV. 52		**14.55 h**
05	07	15
10	07	18
15	06	20
20	07	20
30	08	18
40	09	14
55	09	12
60	09	13
70	09	25
80	08	30
90	97	40
100	08	35
110	07	30
120	07	16
133	07	16
5. IV. 52		**14.50 h**
05	29	02
10	29	07
15	24	15
30	23	15
35	27	10
45	33	10
55	33	05
65	34	05
75	02	05
85	06	05
90	06	05
100	08	05
119	08	05
7. IV. 52		**14.55 h**
05	22	10
10	24	11
15	24	18
25	25	16
30	26	16
44	26	20
50	27	20
55	28	18
70	29	19
80	29	25
90	30	25
03	30	35
8. IV. 52		**14.45 h**
05	24	05
10	26	05
15	23	15
20	23	20
30	24	18
40	25	20
55	28	30
60	28	30
70	27	23
80	29	40
90	28	40
100	28	30
115	28	50
120	28	50
9. IV. 52		**14.55 h**
05	24	05
15	24	10
25	24	17
30	23	17
40	25	16
50	25	16
55	25	16
66	26	13
75	26	13
85	26	25
90	25	20
07	25	25
16	25	35
10. IV. 52		**14.40 h**
05	23	05
10	25	05
15	24	05
20	22	05
25	16	07
30	19	15
35	21	15
40	21	27
55	22	22
60	22	20
70	22	30
80	21	33
90	22	27
100	22	40
107	21	40
11. IV. 52		**15.00 h**
05	00	00
15	00	00
30	21	05
36	21	13
45	21	22
55	22	20
63	18	22
74	21	20
84	23	15
96	23	20
07	23	25
12. IV. 52		**14.50 h**
05	00	00
30	00	00
35	18	07
40	19	12
55	20	27
60	19	25
70	19	33
80	19	35
90	19	30
100	20	30
110	20	35
14. IV. 52		**14.50 h**
05	03	05
10	07	05
15	07	05
30	07	05
40	00	00
50	00	00
55	00	00
60	27	03
70	26	03
80	22	05
90	32	05
100	33	05
105	33	05
15. IV. 52		**15.20 h**
05	00	00
15	00	00
30	00	00
55	00	00
90	24	15
04	24	15
14	24	10
16. IV. 52		**08.50 h**
00	00	00
16. IV. 52		**14.45 h**
05	04	03
15	05	05
20	05	05
25	00	00
30	21	05
40	20	03
55	00	00
17. IV. 52		**09.20 h**
05	02	03
10	07	08
15	07	08
25	07	08
30	06	05
40	07	07
55	06	05
60	00	00
70	00	00
90	00	00
100	06	05
115	06	05
120	06	15
128	06	15
17. IV. 52		**14.40 h**
05	02	07
10	05	15
20	06	10
28	07	06
30	00	00
18. IV. 52		**14.50 h**
05	33	03
10	29	05
15	27	08
20	27	08
30	25	08
40	25	03
50	00	00
55	26	03
65	13	05
70	09	08
80	09	05
90	08	07
100	10	10
115	06	08
19. IV. 52		**14.15 h**
05	24	05
10	28	12
15	22	10
25	22	10
30	22	08
40	22	08
55	25	08
64	24	10
70	33	07
90	33	04
02	33	06
14	33	13
24	33	07
21. IV. 52		**14.45 h**
05	21	14
10	23	20
19	22	26
20	22	32
28	22	32
22. IV. 52		**14.40 h**
05	00	00
15	25	17
20	20	15
25	20	20
30	23	27
40	21	25
55	21	45
60	22	40
70	22	60
80	22	66
90	22	71
00	22	87
15	22	71
25	25	50
23. IV. 52		**14.45 h**
05	06	05
15	06	12
25	06	11
30	22	12
f40	22	15
50	21	23
55	20	38
65	19	50
75	19	60
85	19	50
95	20	90
05	71	05
15	21	65
24. IV. 52		**14.45 h**
05	07	10
15	04	12
20	05	15
25	06	12
30	09	10
40	18	14
55	18	32
65	18	42
75	19	62
85	19	57
90	19	58
100	18	66
115	19	60
125	19	40
135	18	60
25. IV. 52		**14.50 h**
05	05	15
15	07	20
27	07	30
30	00	00
55	00	00
70	34	12
80	34	10
90	34	06
26. IV. 52		**14.30 h**
05	04	12
10	06	20
18	06	22
20	08	10
30	22	07
40	28	05
55	27	12
65	27	12
73	26	25
90	26	25
100	25	20
115	26	15
125	27	10
130	27	10
142	30	10
28. IV. 52		**14.15 h**
05	00	00
15	29	06
25	25	17
30	25	12
40	26	17
55	27	28
65	27	60
75	34	22
85	31	40
90	31	40
100	31	40
29. IV. 52		**14.50 h**
05	00	00
15	25	04
25	21	15
30	20	15
40	23	12
50	25	10
55	22	18
65	22	07
80	23	07
95	23	12
30. IV. 52		**14.50 h**
05	02	05
10	00	00
15	00	00
20	00	00
25	18	05
35	20	15
45	19	15
55	19	14
65	20	10
70	18	16
80	18	17
90	16	20
95	18	17
115	18	13
1. V. 52		**08.40 h**
05	00	00
15	00	00
25	10	04
30	10	06
40	18	05
50	20	10
55	20	15
65	18	17
75	16	22
90	17	30
95	18	17
1. V. 52		**14.50 h**
05	00	00
15	02	04
25	19	10
35	17	12
40	17	12
55	18	13
65	18	15
70	22	14
75	21	12
85	25	07
95	25	12
115	20	13
2. V. 52		**14.45 h**
05	03	08
10	05	11
15	04	12
20	11	10
30	15	12
35	20	13
40	15	12
50	20	23
55	18	28
65	19	28
70	20	34
80	22	28
90	20	33
100	17	22

HH	dd	ff
115	24	55
120	20	32
120	20	38
3. V. 52		**14.30 h**
05	36	02
10	08	06
15	23	10
20	22	15
30	21	28
40	23	25
50	23	28
55	24	40
70	25	50
80	25	38
90	25	50
100	26	50
5. V. 52		**14.40 h**
05	21	12
25	24	30
30	24	35
35	23	24
45	23	33
55	23	35
60	23	38
70	23	35
75	23	40
90	24	60
105	26	50
05	00	00
6. V. 52		**14.50 h**
10	05	05
15	15	07
25	19	25
30	20	18
35	20	25
40	23	27
55	23	25
65	21	50
75	21	60
90	22	50
95	22	70
105	22	50
120	72	10
7. V. 52		**14.45 h**
05	00	00
10	03	05
15	28	03
25	23	10
30	21	10
40	20	15
45	21	25
55	21	28
60	22	25
70	22	40
85	22	35
90	23	40
105	25	44
115	23	50
8. V. 52		**15.00 h**
05	00	00
15	00	00
25	22	02
35	19	05
40	16	07
45	17	12
55	20	25
65	21	22
75	20	30
85	21	35
90	21	35
105	20	45
9. V. 52		**09.00 h**
05	00	00
10	25	03
15	22	03
25	22	15
30	22	11
40	22	12
55	22	23
60	22	25
70	21	23
80	21	33
90	20	33
110	20	38
9. V. 52		**14.50 h**
05	00	00
10	00	00
15	18	10
25	25	12
35	21	15
45	21	24
55	22	25
60	21	28
75	21	35
80	21	40
90	21	75
100	22	48
110	23	33
125	23	30
10. V. 52		**14.20 h**
05	00	00
15	00	00
20	24	05
30	22	14
35	21	20
45	23	20
55	23	25
65	24	27
70	24	38
80	24	38
90	25	38
12. V. 52		**14.50 h**
05	24	03
25	27	10
30	28	10
40	31	10
45	30	15
55	30	23
60	30	20
70	31	20
75	31	22
85	32	30
95	30	20
110	30	28
115	29	28
13. V. 52		**14.50 h**
05	00	00
10	00	00
20	03	03
25	02	01
30	35	12
40	35	16
50	34	16
55	33	12
65	33	24
75	32	24
80	32	20
90	32	20
100	31	10
110	31	17
120	33	17
14. V. 52		**15.00 h**
05	02	08
10	01	08
15	04	07
20	04	10
25	07	07
35	06	10
45	35	45
50	36	17
55	03	30
65	03	33
75	03	45
85	03	35
90	05	38
105	04	43
115	03	30
125	04	28
15. V. 52		**14.50 h**
05	03	15
10	05	20
15	05	15
25	07	20
30	06	12
40	05	12
50	04	28
55	04	28
60	03	23
70	03	38
16. V. 52		**15.00 h**
05	02	03
10	04	05
15	04	15
20	02	05
30	01	06
35	01	15
45	01	23
55	01	28
60	01	26
70	01	30
80	02	33
90	03	28
100	03	33
110	03	25
17. V. 52		**15.00 h**
05	04	15
10	05	15
15	05	13
25	07	08
30	03	24
40	02	18
45	36	20
55	36	33
65	33	28
70	33	28
80	32	34
90	33	40
105	33	30
115	33	45
19. V. 52		**14.55 h**
05	00	00
20	00	00
25	01	03
30	33	08
40	01	14
55	01	20
65	35	17
75	34	22
85	34	25
95	34	22
105	34	18
115	34	22
125	34	20
130	34	20
20. V. 52		**14.50 h**
05	04	15
10	05	15
15	05	12
20	10	10
30	05	12
40	34	25
45	35	20
55	35	14
65	34	23
70	32	28
85	33	34
90	32	35
95	31	40
115	32	50
21. V. 52		**14.30 h**
05	02	20
10	05	15
15	07	18
20	07	08
25	08	08
30	08	10
40	07	10
55	08	12
65	07	15
75	07	17
85	07	20
95	03	12
105	02	15
115	08	22
22. V. 52		**15.00 h**
05	02	15
15	03	25
20	10	20
30	05	06
40	02	10
55	02	15
75	02	22
90	02	27
113	01	33
23. V. 52		**14.50 h**
05	02	15
10	05	14
15	06	18
25	07	18
30	08	18
35	05	10
45	05	15
55	05	20
65	05	23
70	05	27
80	05	40
90	05	40
100	05	33
110	05	28
24. V. 52		**14.00 h**
05	00	00
10	02	03
15	02	03
30	02	14
40	02	12
55	03	20
70	04	25
80	03	33
90	03	33
100	03	27
115	03	28
120	03	28
26. V. 52		**14.50 h**
05	04	07
10	04	08
15	05	06
25	05	08
30	36	05
40	35	15
50	35	23
55	34	17
65	34	35
75	33	33
85	33	30
95	34	48
105	32	17
27. V. 52		**14.50 h**
05	01	05
10	01	08
15	33	06
20	30	05
25	32	05
30	35	11
40	33	15
50	33	17
55	33	28
65	34	40
75	32	35
90	31	33
100	01	60
105	02	50
115	34	55
28. V. 52		**14.50 h**
05	29	08
10	30	08
15	25	08
25	24	10
30	24	15
40	27	18
50	27	22
55	28	22
65	30	28
75	28	40
90	30	35
110	30	30
120	30	40
29. V. 52		**14.50 h**
05	24	06
10	24	12
15	26	12
25	26	15
35	27	20
40	28	16
50	29	20
55	30	20
65	30	28
75	32	25
90	30	28
95	33	28
105	01	15
30. V. 52		**14.50 h**
05	00	00
15	00	00
20	28	03
30	27	05
35	27	10
40	27	12
50	28	12
55	27	22
65	27	30
70	27	28
80	27	15
90	28	28
95	27	15
105	27	30
31. V. 52		**14.05 h**
05	23	05
15	23	15
20	23	18
30	22	14
40	24	25
55	25	25
70	25	20
80	26	27
90	27	33
100	26	27
110	26	35
118	26	35
2. VI. 52		**15.05 h**
05	01	03
15	01	03
20	27	10
55	23	28
65	24	22
75	25	28
90	24	33
105	24	28
110	24	38
120	25	35
126	25	35
3. VI. 52		**14.50 h**
05	02	03
10	34	05
15	28	04
20	24	11
30	23	18
35	25	24
45	25	26
55	25	26
60	25	23
70	25	26
80	25	30
90	24	35
100	24	28
110	24	40
120	25	40
4. VI. 52		**14.50 h**
05	01	08
10	05	08
15	05	10
20	20	05
30	22	05
40	00	00
70	00	00
75	30	12
85	29	20
95	28	15
105	26	26
115	29	18
125	28	18
5. VI. 52		**14.50 h**
05	23	08
10	25	12
15	24	15
20	25	16
30	25	16
35	25	15
40	26	12
50	29	11
55	29	17
65	29	17
75	30	17
80	30	20
90	31	25
100	31	30
110	30	40
120	30	42
6. VI. 52		**14.50 h**
05	22	10
10	24	11
15	22	15
20	24	26
30	25	25
35	27	20
40	27	23
55	27	23
60	25	33
70	25	28
75	26	30
85	26	28
90	27	40
105	28	55
115	28	38
120	28	44
7. VI. 52		**14.10 h**
05	24	15
10	25	10
15	26	15
30	26	15
40	27	18
55	28	22
70	28	25
90	28	35
100	28	27
110	28	27
120	27	27
128	25	30
9. VI. 52		**14.40 h**
05	00	00
10	36	04
15	36	03
15	36	03
25	27	06
30	26	04

HH	dd	ff
40	28	08
50	29	18
55	29	15
65	28	20
75	28	17
85	28	16
90	28	22
105	28	23
115	27	20

10. VI. 52 14.50 h

05	00	00
15	00	00
25	27	05
30	27	10
35	27	12
45	31	13
55	30	17
65	30	20
70	30	18
80	30	16
90	34	08
100	33	14
110	30	25
120	31	17
125	29	28

11. VI. 52 11.00 h

05	00	00
10	00	00
15	25	05
20	25	12
30	25	10
35	29	15
45	28	15
50	28	12
55	28	12
65	29	14
70	28	12
85	26	18
90	26	16
105	26	16
115	27	22
130	27	22

11. VI. 52 14.50 h

05	00	00
15	00	00
25	28	05
30	26	12
40	28	11
50	28	16
55	28	18
65	29	10
75	29	22
85	28	16
90	29	05
105	29	08
115	29	20

12. VI. 52 15.00 h

05	00	00
30	27	05
40	27	12
55	27	12
70	27	07
80	00	00
95	00	00
100	25	07
108	25	07

13. VI. 52 14.50 h

05	00	00
10	30	12
15	26	10
25	23	14
30	22	13
35	22	24
45	22	22
50	22	22
55	23	35
60	22	23
65	25	17
70	22	12
75	22	27
80	21	23
90	17	18
100	18	18

14. VI. 52 14.45 h

05	24	03
10	27	08
15	25	07
25	23	15
35	26	23
40	27	22
50	27	28
55	27	30
65	27	33
75	28	40
85	28	46
90	28	35

16. VI. 52 15.00 h

05	18	05
10	25	11
15	25	16
20	25	16
30	26	28
40	26	28
45	26	40
55	27	33
60	27	40
70	29	38
80	28	50
90	28	58
100	28	60
110	29	44
120	27	44

17. VI. 52 15.15 h

05	00	00
10	27	06
15	25	11
20	23	15
30	20	30
40	22	50
45	23	36
55	24	45
65	24	30
70	25	25
80	25	45
90	26	54
100	23	75
110	23	60

18. VI. 52 14.50 h

05	22	12
55	23	32
60	20	22
70	22	44
80	22	50
90	21	50
100	19	30
115	20	25
120	21	40

19. VI. 52 15.00 h

05	00	00
10	06	05
15	00	00
20	23	05
30	23	12
40	24	16
50	24	16
55	24	22
60	24	22
70	24	18
80	25	33
90	24	45
100	23	55
110	23	38
125	23	45
130	23	25
135	23	17

20. VI. 52 14.55 h

05	00	00
10	01	04
15	30	05
25	23	10
30	24	18
40	26	16
50	27	22
55	26	28
65	27	24
75	26	30
85	27	24
90	28	26
105	27	15
115	27	24

21. VI. 52 14.30 h

05	00	00
15	00	00
25	30	04
30	27	08
40	31	11
50	32	13
55	28	15
65	30	16
75	31	30
85	31	28
85	31	28
90	30	38
105	31	40
115	31	45

23. VI. 52 14.50 h

05	25	14
10	28	15
15	25	18
20	24	18
30	25	16
35	26	20
40	28	22
50	27	23
55	32	44
65	32	44
75	32	40
85	32	38
90	32	39
105	33	33
115	33	36
125	36	60

24. VI. 52 14.50 h

05	29	05
10	28	05
15	27	07
25	30	10
30	34	28
40	33	28
50	32	30
55	32	33
65	32	33
75	31	45
85	32	37
90	32	33
105	32	65
115	34	65
125	34	38

25. VI. 52 14.50 h

05	00	00
10	29	06
15	29	06
20	28	07
30	31	10
35	32	12
45	32	18
55	32	30
60	32	24
70	33	28
80	32	35
90	32	33
100	33	36
110	34	30
115	01	35

26. VI. 52 14.50 h

05	01	06
10	04	05
15	04	02
20	07	03
30	01	08
35	35	18
45	35	22
55	32	22
65	34	17
70	32	18
80	32	20
90	31	26
100	30	25
115	28	25
125	29	25

27. VI. 52 14.50 h

05	05	05
10	05	05
15	05	05
20	00	00
50	00	00
55	36	10
65	04	13
75	04	07
85	06	08
90	03	10

28. VI. 52 15.00 h

05	00	00
60	00	00
65	36	03
75	03	05
85	00	00
90	04	07
100	36	10
110	34	02
120	33	03

30. VI. 52 14.50 h

00	00	00

1. VII. 52 16.00 h

05	00	00
15	00	00
20	30	03
25	32	05
35	32	06
40	32	15
50	32	07
55	32	11
65	29	16
70	29	11
80	29	11
90	23	15

2. VII. 52 14.50 h

05	00	00
15	00	00
30	26	03
35	25	04
40	22	08
45	24	10
55	21	10
65	21	12
70	22	18
80	25	20
90	22	25
100	22	35
110	20	37
115	20	35

3. VII. 52 14.45 h

05	00	00
15	00	00
25	22	07
30	19	11
35	16	14
45	16	16
55	16	18
60	19	14
70	15	18
80	22	20
90	21	22
100	21	28
110	21	33
120	21	35

4. VII. 52 14.50 h

05	03	03
15	06	05
20	06	03
25	05	04
30	00	00
50	15	12
55	15	15
65	14	16
75	14	13
90	14	16
100	14	22
110	14	20

5. VII. 52 14.25 h

05	00	00
15	00	00
30	00	00
35	24	03
40	15	06
50	16	11
55	16	10
65	13	08
75	13	08
80	11	06
90	11	10
100	11	18
115	12	17
120	12	20

7. VII. 52 15.00 h

05	35	08
10	02	05
15	32	03
25	32	02
30	00	00
40	23	05
45	23	11
55	21	18
60	27	20
70	25	18
80	26	22
90	26	26
100	25	15
110	25	18
115	26	16

8. VII. 52 14.50 h

05	24	05
10	00	00
15	00	00
20	22	06
25	22	08
30	22	20
40	22	22
50	24	28
55	26	25
65	23	26
70	24	28
80	24	28
90	25	27
100	24	30
110	25	35
120	25	38

9. VII. 52 14.50 h

05	01	05
10	35	06
15	35	08
20	33	08
30	26	09
35	23	12
46	26	06
55	25	10
65	25	11
70	24	11
80	21	13
90	21	13
105	20	14
115	21	12

10. VII. 52 15.00 h

05	04	08
10	05	09
15	05	11
25	07	05
30	13	03
40	35	05
45	01	05
55	34	22
60	02	22
70	35	40
80	33	35
90	33	38
100	34	32
115	33	40
125	33	33

11. VII. 52 14.40 h

05	00	00
15	00	00
20	00	00
25	24	15
30	22	20
40	22	10
55	23	07
70	25	10
80	25	14
90	25	12
05	25	11
15	25	17
30	25	25

12. VII. 52 14.50 h

05	26	10
10	25	17
15	26	15
30	26	20
40	26	20
55	26	28
70	28	28
80	28	28
90	30	35
05	30	35
15	32	45

14. VII. 52 14.40 h

05	00	00
15	00	00
20	23	05
30	22	25
35	23	22
45	23	22
55	23	22
65	23	20
75	23	30
90	23	22
95	23	33
105	23	33
115	23	26
125	23	30

15. VII. 52 14.50 h

05	27	10
15	25	19
20	24	12
30	24	11
35	24	16
45	25	16
55	26	20
65	25	20
80	24	22
90	24	27
100	24	30
110	24	38
120	25	44

HH	dd	ff
16. VII. 52 14.50 h		
05	36	08
10	04	06
15	00	00
25	24	06
35	28	14
40	27	17
50	27	15
55	28	16
65	27	23
80	28	28
90	28	33
100	27	40
115	27	46
125	25	38
17. VII. 52 14.45 h		
05	00	00
15	00	00
25	00	00
30	26	06
40	27	15
45	27	10
55	27	11
65	27	15
70	28	15
80	28	13
90	28	16
105	29	17
115	29	19
18. VII. 52 14.50 h		
05	27	06
10	27	08
15	28	11
25	28	11
30	26	12
40	28	13
50	32	15
55	35	13
65	33	24
75	33	20
90	33	22
100	35	28
110	36	24
120	36	28
19. VII. 52 14.10 h		
05	36	10
10	05	07
15	10	03
20	00	00
25	00	00
30	36	10
40	34	14
55	34	20
70	33	25
85	34	28
95	34	38
105	34	44
115	34	44
21. VII. 52 15.05 h		
05	03	05
10	02	04
20	11	04
30	32	08
40	00	00
55	00	00
70	00	00
90	19	06
100	18	08
110	18	08
23. VII. 52 14.50 h		
05	01	12
10	04	10
15	05	08
20	04	05
25	04	06
35	05	05
45	09	04
50	08	06
55	09	06
65	08	03
75	03	05
85	03	10
95	04	14
105	06	15
120	04	13
24. VII. 52 15.00 h		
05	02	10
10	06	09
15	04	06
20	03	04
30	00	00
40	33	07
50	29	15
55	01	16
65	36	13
75	32	11
90	31	11
100	29	16
105	28	25
25. VII. 52 14.50 h		
05	02	13
10	05	08
15	06	08
20	00	00
30	00	00
40	01	05
55	02	16
65	02	08
75	02	08
85	02	11
90	03	13
100	03	18
115	03	13
26. VII. 52 14.15 h		
05	02	12
15	05	06
20	06	03
30	16	02
80	36	20
90	36	22
100	36	22
110	36	25
120	36	23
28. VII. 52 15.10 h		
05	00	00
15	29	08
25	29	22
35	25	23
40	24	35
50	23	28
55	23	38
65	23	50
80	23	45
90	23	55
100	24	50
110	24	85
29. VII. 52 14.50 h		
05	00	00
15	00	00
20	28	04
30	28	10
40	28	12
50	29	22
55	29	22
65	29	24
75	28	30
80	28	25
90	27	38
30. VII. 52 14.45 h		
05	00	00
15	00	00
30	25	16
40	25	23
50	26	13
55	28	12
65	27	16
75	27	22
80	27	32
90	28	30
105	27	48
31. VII. 52 14.45 h		
05	00	00
10	00	00
15	27	05
25	23	18
30	21	12
40	26	08
50	24	18
55	25	17
65	28	16
75	27	28
85	27	35
90	28	40
105	27	38
1. VIII. 52 14.25 h		
05	19	12
10	24	13
15	25	13
25	22	28
30	23	26
40	23	17
50	23	25
55	27	25
65	25	34
75	26	30
80	25	33
90	27	28
105	25	28
115	25	28
2. VIII. 52 14.00 h		
05	20	14
10	24	17
15	22	13
25	22	22
30	23	17
40	23	18
50	23	16
55	24	18
65	25	22
75	25	25
85	26	15
90	26	23
105	26	25
115	27	34
4. VIII. 52 14.50 h		
05	00	00
15	00	00
25	26	06
30	22	17
40	23	11
50	25	15
55	25	20
65	29	33
75	26	25
85	27	30
90	28	28
110	28	33
115	26	38
5. VIII. 52 14.55 h		
05	18	08
10	22	12
15	24	12
20	24	14
30	25	16
40	25	16
50	23	16
55	24	15
65	27	15
75	25	14
85	24	15
90	24	12
105	26	22
6. VIII. 52 14.50 h		
05	20	12
10	24	12
15	24	16
20	24	18
30	23	09
35	22	22
45	23	23
55	19	28
65	19	28
75	21	22
85	21	35
90	23	38
105	24	44
115	25	55
125	22	50
7. VIII. 52 14.50 h		
05	00	00
15	25	05
20	27	06
25	26	07
30	23	09
40	25	12
50	26	15
55	27	18
70	27	26
80	26	22
90	29	33
105	27	45
115	27	48
8. VIII. 52 14.50 h		
05	00	00
10	32	06
15	23	12
25	23	15
30	24	22
40	27	16
50	27	24
55	28	34
65	27	33
75	27	33
90	27	48
100	28	55
110	28	60
120	29	77
9. VIII. 52 14.15 h		
05	00	00
10	00	00
15	23	15
20	23	22
27	23	30
30	23	25
40	23	30
55	23	39
60	24	50
70	24	45
80	24	45
94	24	45
00	24	60
15	24	60
29	24	95
11. VIII. 52 14.45 h		
05	00	00
15	00	00
25	23	05
30	25	12
40	25	15
55	25	22
60	26	22
70	27	33
80	27	35
90	26	35
100	26	40
110	26	60
120	29	50
12. VIII. 52 14.55 h		
05	00	00
10	23	10
15	24	11
20	00	00
30	25	05
40	26	08
55	26	09
60	26	16
70	27	22
80	24	26
90	25	38
110	25	55
115	25	72
13. VIII. 52 14.40 h		
05	00	00
15	00	00
30	24	05
40	25	10
50	25	12
60	25	12
70	25	25
80	25	28
90	24	35
05	24	30
14. VIII. 52 14.50 h		
05	00	00
10	24	10
15	23	20
25	22	38
30	23	44
40	24	40
50	24	38
55	24	35
65	23	40
75	23	35
85	23	43
90	23	42
105	23	44
115	21	82
15. VIII. 52 14.45 h		
05	06	05
15	11	06
20	26	16
30	21	28
40	21	60
50	22	50
55	23	56
60	23	50
70	22	35
80	22	50
85	22	46
90	23	60
105	22	55
115	23	68
16. VIII. 52 14.10 h		
05	00	00
15	24	08
30	23	22
40	23	38
45	22	35
55	24	44
65	23	46
75	23	49
85	23	68
90	23	66
105	21	70
115	24	75
18. VIII. 52 14.15 h		
05	22	05
10	26	08
15	23	18
30	24	26
35	26	20
45	27	28
55	27	33
65	27	44
70	28	42
80	28	47
19. VIII. 52 14.45 h		
05	22	12
10	22	14
15	22	28
25	24	30
30	23	15
40	23	39
50	24	44
55	24	39
65	25	40
75	25	50
90	24	77
100	24	115
110	24	107
20. VIII. 52 14.50 h		
05	22	15
10	24	16
15	24	18
20	24	23
30	24	24
40	25	22
50	25	23
55	26	13
65	25	24
75	25	26
85	25	26
90	26	27
105	24	28
115	24	38
125	25	33
21. VIII. 52 14.50 h		
05	00	00
10	27	05
15	27	07
25	27	08
30	25	08
45	24	10
55	22	12
65	22	14
70	26	17
80	25	17
90	25	25
105	24	56
115	24	87
22. VIII. 52 14.55 h		
05	04	03
10	04	07
15	01	03
25	25	05
30	00	00
40	30	05
50	31	11
55	32	17
65	02	07
80	06	12
90	03	11
100	35	11
110	30	20
23. VIII. 52 14.15 h		
05	02	03
15	00	00
30	00	00
50	21	06
55	19	25
65	18	25
75	19	28
85	19	35
95	19	50
08	19	65
25. VIII. 52 14.50 h		
05	02	03
75	31	27
90	34	18
100	33	22

HH	dd	ff
26. VIII. 52		**14.50 h**
05	00	00
20	27	03
30	25	05
35	26	08
45	31	05
55	28	09
27. VIII. 52		**14.50 h**
05	00	00
10	22	05
15	26	06
20	27	12
30	27	14
40	33	15
50	29	11
55	28	09
70	34	11
80	02	10
90	06	05
100	06	15
110	06	17
115	06	24
28. VIII. 52		**14.55 h**
05	00	00
10	22	04
15	29	05
25	29	12
30	28	08
40	28	13
50	30	17
55	31	23
70	31	15
80	32	14
90	31	18
100	32	14
110	31	16
115	29	28
29. VIII. 52		**14.45 h**
05	00	00
15	00	00
20	23	07
30	26	22
35	27	13
50	27	21
55	27	17
60	26	24
70	26	18
80	25	26
90	24	22
100	25	27
110	26	48
115	26	32
125	26	44
30. VIII. 52		**14.10 h**
05	00	00
10	01	04
15	02	03
25	14	03
30	19	08
40	20	28
50	22	50
55	22	48
70	21	45
80	21	34
90	22	27
100	21	33
110	22	33
1. IX. 52		**14.50 h**
05	00	00
15	00	00
30	00	00
40	30	05
55	29	12
60	29	16
70	30	17
80	30	13
90	30	11
105	29	13
115	29	22

HH	dd	ff
2. IX. 52		**14.50 h**
05	02	03
10	01	08
15	32	03
30	20	08
35	26	16
45	28	18
55	28	33
60	29	35
70	29	50
80	28	33
90	28	44
105	28	57
115	28	80
3. IX. 52		**14.45 h**
05	24	06
10	27	11
15	23	11
20	24	13
30	28	16
35	31	16
40	29	18
50	30	18
55	31	26
60	31	27
70	32	25
80	32	38
90	32	45
95	32	45
105	32	27
110	31	17
4. IX. 52		**14.50 h**
05	21	06
10	24	16
15	25	11
25	25	18
30	27	17
40	29	28
50	29	33
55	27	28
65	28	40
75	28	44
80	28	40
90	27	66
105	28	55
115	26	50
5. IX. 52		**14.55 h**
05	21	12
10	23	15
15	23	30
25	22	38
30	21	33
40	20	32
50	23	35
55	23	38
65	23	50
70	24	38
80	23	60
90	23	50
100	23	58
110	23	85
115	24	48
6. IX. 52		**14.45 h**
05	13	03
15	00	00
25	25	15
30	22	33
40	22	27
50	24	38
55	24	38
70	23	58
80	24	80
90	24	52
100	23	90
110	24	38
120	23	52
130	23	38
135	23	38

HH	dd	ff
8. IX. 52		**14.55 h**
05	23	15
10	26	14
15	26	37
25	23	28
30	22	28
40	23	29
50	20	22
55	24	38
65	25	41
80	25	45
90	25	55
105	26	68
115	25	71
9. IX. 52		**14.50 h**
05	00	00
10	00	00
15	25	03
20	23	06
30	23	10
40	23	11
45	24	17
55	25	20
65	27	22
70	30	30
85	23	30
90	26	40
105	28	45
115	27	47
125	27	55
10. IX. 52		**14.50 h**
05	00	00
10	22	06
15	23	26
30	23	33
40	24	40
50	26	34
55	26	55
65	26	70
75	26	72
85	26	50
90	26	72
105	76	20
115	77	20
11. IX. 52		**14.50 h**
05	00	00
15	22	03
20	23	11
25	25	16
30	23	33
35	22	35
45	22	25
50	23	30
55	22	35
65	22	39
70	21	55
80	22	55
85	24	65
90	24	62
105	25	88
115	26	75
12. IX. 52		**14.50 h**
05	00	00
10	24	12
15	24	16
30	25	18
35	25	17
45	27	15
55	23	20
60	24	16
70	23	22
80	22	22
90	25	44
105	27	40
110	25	33
13. IX. 52		**14.05 h**
05	00	00
10	05	05

HH	dd	ff
15	14	02
25	25	05
30	25	05
40	25	05
50	26	18
55	29	18
65	26	85
75	27	56
80	28	62
90	26	55
105	27	50
115	26	44
125	26	33
15. IX. 52		**14.40 h**
05	01	04
10	06	10
15	05	10
25	08	03
30	14	03
35	19	05
45	19	05
50	25	22
55	25	22
16. IX. 52		**14.30 h**
05	02	10
10	02	06
20	03	02
30	16	08
40	20	11
50	18	17
60	20	20
70	21	23
80	22	30
90	23	48
100	24	57
110	23	50
120	24	35
130	24	38
17. IX. 52		**14.40 h**
05	22	15
10	23	12
15	23	22
25	24	15
30	24	18
45	23	25
55	23	36
70	24	32
80	24	60
90	24	77
100	24	55
115	24	55
125	24	77
135	24	50
18. IX. 52		**14.45 h**
05	23	12
10	27	15
20	24	15
30	23	25
40	25	30
55	25	33
65	26	35
80	25	50
90	25	50
100	25	46
115	25	45
125	25	50
135	26	53
19. IX. 52		**14.45 h**
05	18	10
10	28	12
15	28	18
20	27	18
30	26	25
40	27	27
55	29	50
60	29	60
75	29	68

HH	dd	ff
85	30	77
90	29	33
105	29	70
115	28	77
20. IX. 52		**14.10 h**
05	06	08
10	15	05
15	00	00
20	36	10
25	26	10
30	26	08
35	34	08
45	34	20
56	33	27
70	33	28
80	31	28
90	33	32
100	31	33
115	30	35
125	28	35
130	27	35
22. IX. 52		**14.45 h**
05	24	03
10	28	10
15	28	11
30	27	14
35	29	11
40	29	11
45	31	25
55	02	30
60	02	22
80	02	22
90	01	24
100	01	24
115	01	20
120	01	15
23. IX. 52		**14.40 h**
05	34	07
10	22	04
15	22	05
20	23	05
25	28	07
30	32	15
40	32	15
55	33	08
60	32	20
70	32	24
80	33	28
90	32	20
100	35	30
115	35	30
24. IX. 52		**14.45 h**
05	00	00
20	00	00
30	27	03
35	02	07
40	36	05
55	34	12
60	34	12
70	02	10
80	01	18
90	01	24
100	01	28
115	36	28
120	35	28
125	34	55
130	34	55
25. IX. 52		**15.00 h**
15	22	27
05	23	15
20	25	20
30	24	18
40	24	22
55	25	22
70	26	35
80	26	60
90	25	40
100	24	27

HH	dd	ff
26. IX. 52		**14.40 h**
05	22	15
10	24	14
15	24	15
20	25	20
30	26	15
40	28	27
55	30	28
60	29	38
70	29	50
80	30	55
90	33	52
100	30	68
115	29	60
120	28	50
128	28	50
128	28	50
27. IX. 52		**14.00 h**
05	23	24
10	24	33
15	25	30
20	27	25
30	29	33
40	28	38
55	28	20
60	25	20
70	25	25
80	27	27
90	28	50
100	28	38
110	30	22
115	28	55
120	27	55
29. IX. 52		**14.50 h**
05	21	16
10	24	28
15	24	27
20	25	22
25	25	60
30	28	22
40	25	28
45	26	35
50	27	38
55	28	80
65	28	44
70	28	66
80	27	44
85	28	33
90	27	60
105	27	65
30. IX. 52		**14.50 h**
05	00	00
10	19	07
15	23	22
25	23	50
30	24	28
35	24	38
40	23	33
50	23	44
55	24	55
65	24	65
75	22	55
90	22	50
100	23	97
110	73	40
120	73	20
30. IX. 52		**08.25 h**
05	00	00
10	30	05
15	22	28
20	21	33
25	21	44
30	22	35
35	23	35
40	24	33
50	24	33
55	24	35
60	25	38

HH	dd	ff
70	25	48
80	24	60
90	24	50
100	24	46
105	24	46
1. X. 52		**08.40 h**
05	19	10
10	23	35
20	23	28
25	22	38
30	21	40
45	21	42
55	21	44
65	22	54
75	23	77
90	22	82
105	71	07
115	72	22
1. X. 52		**14.50 h**
05	25	15
10	23	18
15	24	22
20	23	22
30	23	30
40	22	40
50	21	40
55	21	40
65	21	35
80	21	40
90	21	94
100	20	55
110	20	70
120	21	60
130	21	70
140	21	92
2. X. 52		**14.40 h**
05	21	18
10	23	28
15	23	28
25	25	33
30	24	33
40	28	28
50	29	20
55	29	28
65	29	35
75	26	32
80	28	33
90	28	18
105	25	16
115	25	30
05	26	08
3. X. 52		**14.55 h**
15	24	14
20	24	14
30	29	12
40	29	11
46	31	16
55	33	20
65	31	28
75	31	55
80	31	24
90	31	35
105	31	25
115	31	35
125	31	38
4. X. 52		**14.50 h**
05	00	00
15	22	05
20	23	20
25	24	21
30	26	16
40	25	17
55	28	28
60	30	17
65	31	28
70	30	40
80	31	60
90	31	75
115	31	70

HH	dd	ff
6. X. 52		**15.05 h**
05	00	00
15	25	12
20	25	16
25	26	27
30	29	22
40	29	28
55	30	40
60	29	38
70	29	60
80	29	65
90	29	65
105	29	67
115	30	87
125	30	90
7. X. 52		**14.40 h**
05	30	12
10	26	12
15	23	20
20	24	20
30	27	18
40	30	22
55	30	35
70	30	45
80	30	50
90	30	55
100	30	68
115	30	60
119	31	60
8. X. 52		**14.50 h**
05	02	04
10	34	06
15	02	11
20	01	03
30	36	18
35	36	30
45	36	50
55	36	44
60	36	60
70	36	66
80	36	85
90	01	35
95	01	77
9. X. 52		**14.50 h**
05	24	04
10	23	13
15	24	24
25	24	20
30	22	08
40	28	11
50	27	12
55	25	11
70	28	18
80	28	22
90	27	20
100	27	22
110	27	27
10. X. 52		**14.45 h**
05	29	06
10	30	13
15	25	16
30	25	18
40	28	28
50	28	35
55	29	33
60	29	48
70	29	60
80	30	71
90	30	40
105	31	70
115	30	95
11. X. 52		**14.15 h**
05	01	07
10	06	10
15	08	06
25	04	06
30	36	10
40	35	15

HH	dd	ff
50	33	15
55	33	25
70	32	60
80	31	85
90	31	85
105	31	60
117	31	60
133	31	45
13. X. 52		**14.50 h**
05	22	08
15	23	25
20	23	38
25	25	40
30	28	36
40	27	44
50	28	40
55	28	50
60	27	77
70	27	55
80	27	88
90	77	30
95	77	88
14. X. 52		**14.55 h**
05	23	15
10	24	30
15	24	40
20	24	18
25	25	25
30	25	33
40	25	35
45	25	35
50	28	45
55	27	60
60	26	35
70	25	17
80	25	38
90	26	38
15. X. 52		**13.45 h**
05	00	00
10	00	00
15	24	05
25	25	06
30	30	11
40	30	28
55	30	28
60	30	44
70	30	60
80	30	66
90	30	44
105	30	50
110	30	78
16. X. 52		**14.35 h**
05	00	00
10	24	11
15	24	18
20	25	16
30	25	25
40	24	27
45	27	28
50	28	25
55	30	28
65	28	23
70	28	30
80	28	38
90	28	40
100	27	38
105	27	50
115	27	80
125	26	40
17. X. 52		**14.45 h**
05	00	00
10	00	00
15	27	05
20	27	11
30	31	04
35	32	15
45	33	22
55	33	28

HH	dd	ff
60	33	50
70	34	33
80	34	35
90	33	33
100	33	78
110	34	60
18. X. 52		**14.05 h**
05	00	00
05	00	00
25	26	05
30	29	10
40	33	15
50	33	18
55	32	23
65	31	33
70	29	33
80	32	44
90	32	44
100	32	50
20. X. 52		**14.50 h**
05	00	00
10	08	06
15	22	05
20	22	18
30	22	38
35	22	55
40	23	50
50	23	45
55	24	44
65	24	50
70	25	38
80	25	44
90	25	44
100	25	35
05	23	40
15	26	45
21. X. 52		**14.55 h**
05	00	00
10	23	15
15	23	38
25	23	48
30	23	33
45	23	38
55	23	30
65	23	23
75	19	60
80	20	66
90	21	70
105	21	50
115	21	78
22. X. 52		**14.40 h**
05	00	00
10	23	12
15	23	17
25	22	28
30	22	30
40	24	23
50	23	38
55	23	33
65	22	28
70	23	44
80	23	50
85	21	30
90	22	70
100	23	60
110	23	66
120	24	55
23. X. 52		**15.00 h**
05	21	12
15	23	28
20	27	28
30	27	25
40	28	25
45	30	27
55	30	44
65	30	40
75	32	60
85	33	55

HH	dd	ff
90	30	80
100	32	93
115	31	72
24. X. 52		**15.15 h**
05	21	13
10	23	22
15	23	35
25	25	30
30	27	39
40	26	33
50	27	38
55	27	35
65	27	50
75	27	80
90	27	80
105	27	56
110	29	60
120	29	65
25. X. 52		**14.15 h**
05	00	00
10	22	10
15	23	15
25	26	30
30	26	27
35	24	40
45	23	50
55	24	44
60	24	40
70	25	60
80	25	65
90	25	90
03	25	90
27. X. 52		**15.00 h**
05	00	00
10	00	00
15	25	10
25	24	16
30	23	16
40	24	17
50	24	18
55	24	16
65	26	19
75	27	22
80	27	23
90	27	17
105	28	18
115	29	26
125	29	45
28. X. 52		**14.50 h**
05	00	00
10	24	06
15	23	24
20	23	20
30	29	20
40	32	11
45	31	13
55	32	28
60	31	17
70	32	22
80	28	24
90	29	23
95	29	17
105	29	27
115	29	29
29. X. 52		**16.05 h**
05	00	00
10	24	12
15	26	26
25	25	28
30	24	38
40	25	30
50	25	50
65	25	60
75	26	65
80	25	70
90	25	63
110	25	65
120	25	68

HH	dd	ff
30. X. 52		**14.50 h**
05	24	15
10	24	22
15	24	18
30	25	22
35	26	22
45	26	22
55	28	28
65	26	25
75	24	28
85	24	38
90	24	40
105	24	44
31. X. 52		**14.50 h**
05	22	10
10	25	11
15	31	12
30	30	17
40	31	20
55	29	22
65	32	20
75	34	34
85	32	24
90	34	40
110	34	35
120	33	38
1. XI. 52		**14.10 h**
05	00	00
15	00	00
20	24	08
25	02	06
30	36	11
40	36	18
50	35	33
55	36	48
65	35	55
75	36	72
80	36	80
90	35	60
3. XI. 52		**15.00 h**
05	25	10
15	29	18
20	30	30
30	30	16
35	30	16
45	31	20
50	32	15
55	32	27
65	33	27
75	32	30
80	32	33
90	34	38
100	33	25
110	33	30
115	33	28
4. XI. 52		**14.30 h**
05	05	05
10	06	11
15	07	06
25	05	06
30	03	16
35	01	22
45	01	24
55	01	24
60	01	28
65	01	36
75	01	70
80	02	50
90	01	50
95	02	55
05	02	35
10	35	37
20	36	37
5. XI. 52		**14.50 h**
05	00	00
10	24	07
15	23	28
25	25	18

HH	dd	ff
20	24	17
40	28	20
50	25	18
55	26	28
70	27	23
80	27	27
90	28	27
00	28	25
10	26	40
6. XI. 52		**14.50 h**
05	21	04
10	25	11
15	27	28
25	26	18
30	28	28
45	29	33
65	30	39
55	32	50
75	31	50
80	32	60
90	32	75
7. XI. 52		**14.50 h**
05	33	14
10	32	17
15	33	13
25	34	22
30	33	22
40	33	28
50	33	28
55	33	55
70	33	88
80	32	78
90	32	98
95	32	50
05	32	50
15	32	87
8. XI. 52		**14.05 h**
05	22	15
15	28	15
25	30	22
35	31	25
45	33	45
55	33	30
70	34	33
80	34	40
90	34	45
100	34	50
115	35	30
10. XI. 52		**14.50 h**
05	20	15
10	24	26
15	31	28
20	34	23
30	32	22
40	32	44
50	34	55
55	33	60
65	34	78
80	34	55
90	34	48
105	33	78
115	84	00
11. XI. 52		**14.40 h**
05	00	00
10	27	07
15	30	12
25	30	28
30	28	38
40	30	58
50	31	35
55	31	50
65	31	85
75	31	66
90	31	71
105	31	88
115	32	55

HH	dd	ff
12. XI. 52		**14.55 h**
05	00	00
10	30	07
15	30	13
25	31	13
30	34	15
40	35	27
50	35	27
55	33	25
65	33	30
70	33	35
80	33	40
100	33	30
110	33	30
120	33	30
13. XI. 52		**14.45 h**
05	00	00
10	26	04
15	29	07
25	28	06
30	31	05
40	33	10
50	31	16
55	29	28
65	30	38
75	31	35
80	30	55
90	30	44
105	32	39
110	32	30
14. XI. 52		**14.40 h**
05	00	00
10	00	00
15	27	10
25	28	05
30	30	07
40	32	15
55	32	18
70	32	20
80	32	27
90	32	44
00	30	22
110	30	20
15. XI. 52		**14.40 h**
05	00	00
15	00	00
25	00	00
30	15	05
40	17	05
50	21	08
55	19	23
65	20	28
75	21	23
85	19	26
90	17	18
105	14	25
120	11	25
130	13	17
17. XI. 52		**14.55 h**
05	00	00
10	25	04
15	23	18
25	22	16
30	22	28
40	22	28
55	22	30
60	22	44
70	22	45
80	22	55
90	22	35
105	22	46
115	22	35
18. XI. 52		**15.10 h**
05	00	00
10	00	00
15	22	12
25	19	13
30	19	23
40	20	33

HH	dd	ff
50	22	26
55	22	38
65	22	78
80	23	60
90	23	38
100	23	55
110	23	50
19. XI. 52		**14.40 h**
05	00	00
10	26	12
15	24	30
25	17	10
30	16	30
40	17	40
55	18	57
60	18	88
70	67	20
80	16	80
90	67	40
105	68	10
120	18	70
20. XI. 52		**14.40 h**
05	00	00
10	17	07
15	18	12
20	19	15
25	21	28
30	22	44
40	23	35
50	22	35
55	22	25
70	24	38
80	23	33
90	22	47
100	21	38
115	21	55
25	21	38
21. XI. 52		**14.45 h**
05	22	05
10	22	28
15	20	33
30	23	44
40	23	30
50	23	40
55	23	55
65	23	50
70	23	45
80	22	50
90	23	35
110	23	45
120	24	40
130	24	45
22. XI. 52		**14.25 h**
05	20	20
10	22	35
15	24	45
30	26	40
40	25	50
55	24	45
65	23	50
70	24	35
80	28	55
90	28	45
00	28	40
20	27	40
30	28	50
24. XI. 52		**14.45 h**
05	00	00
10	27	07
15	23	22
25	26	17
30	28	25
40	29	32
50	28	28
55	30	48
65	30	80
75	30	66
85	30	68

HH	dd	ff
90	30	88
105	30	70
115	30	86
25. XI. 52		**14.45 h**
05	00	00
15	23	12
20	24	30
30	25	30
40	28	44
45	27	35
55	28	39
65	29	46
70	29	68
80	29	66
90	30	77
05	79	50
15	79	30
26. XI. 52		**14.50 h**
05	20	08
10	23	33
15	24	28
30	27	33
35	25	33
45	26	45
50	27	35
55	27	35
65	27	50
75	27	38
85	27	25
90	28	56
00	26	66
10	26	44
15	26	33
27. XI. 52		**14.45 h**
05	25	13
10	22	33
15	23	45
25	26	50
30	25	28
35	25	40
40	28	60
50	28	35
55	57	28
65	76	60
70	26	77
80	26	78
28. XI. 52		**14.45 h**
05	24	12
10	24	30
15	24	40
20	25	35
30	25	38
40	27	40
45	28	53
55	28	55
60	28	77
70	29	55
80	28	56
90	29	70
100	28	55
110	27	66
29. XI. 52		**14.25 h**
05	00	00
10	00	00
15	23	06
25	23	17
30	24	17
40	25	25
45	25	18
55	26	15
65	27	33
70	26	38
80	27	50
90	28	60
100	27	66
110	28	70
120	28	70

HH	dd	ff
1. XII. 52		**14.45 h**
05	00	00
10	24	20
15	25	23
25	24	28
30	26	28
40	26	25
50	25	35
55	25	30
65	26	40
75	26	33
80	26	33
90	25	30
95	26	28
105	26	50
115	26	45
2. XII. 52		**14.50 h**
05	02	05
10	02	05
15	32	05
25	26	18
30	27	18
40	27	22
50	27	19
55	28	26
60	28	38
70	28	50
80	29	55
90	28	44
100	28	44
3. XII. 52		**14.50 h**
05	34	05
10	36	13
15	35	15
25	34	15
30	33	12
40	29	22
50	28	33
55	28	60
70	28	38
75	27	44
85	29	35
90	28	55
105	29	50
115	29	22
4. XII. 52		**14.45 h**
05	05	20
10	05	35
15	02	35
25	07	35
30	05	50
40	05	45
55	05	25
65	27	06
70	23	10
90	05	10
00	04	35
15	04	40
25	03	25
40	33	20
5. XII. 52		**15.00 h**
05	05	15
10	06	25
15	07	34
25	07	44
30	06	50
50	06	06
55	03	05
70	02	11
80	05	33
90	03	35
100	02	44
110	02	35
120	03	22
6. XII. 52		**14.30 h**
05	03	15
10	06	17
15	06	30

HH	dd	ff
25	06	30
30	05	23
40	06	20
50	06	15
55	06	15
65	06	15
75	07	10
90	03	15
100	02	28
8. XII. 52		**15.00 h**
05	00	00
15	00	00
25	00	05
30	07	18
40	07	28
50	07	25
55	06	30
65	07	28
70	07	15
80	07	25
90	07	22
105	04	18
110	06	18
9. XII. 52		**14.50 h**
05	00	00
10	06	06
15	05	16
20	04	08
30	03	15
40	02	14
50	02	15
55	02	15
65	03	16
80	03	22
90	02	18
100	02	28
110	04	22
10. XII. 52		**14.50 h**
05	00	00
10	24	08
15	23	28
25	23	23
30	21	18
40	21	18
50	20	15
55	15	14
70	15	15
80	13	11
11. XII. 52		**15.20 h**
05	21	06
10	23	28
15	23	38
25	24	23
30	26	20
40	25	28
50	25	30
55	27	22
65	24	20
70	25	30
80	25	33
90	25	33
105	26	44
115	29	16
12. XII. 52		**14.50 h**
05	22	08
10	23	28
15	24	33
25	27	28
30	26	46
40	28	40
50	30	44
55	30	48
65	30	55
75	30	88
80	31	90
90	31	97
100	82	15
110	30	71

HH	dd	ff
13. XII. 52		**14.10 h**
05	22	22
10	23	30
15	23	35
20	24	30
25	24	44
30	25	38
40	26	35
45	25	44
55	25	50
60	24	60
70	74	20
75	25	55
80	25	38
90	25	20
103	25	60
110	25	80
15. XII. 52		**14.55 h**
05	23	05
10	28	15
15	26	16
25	24	22
30	24	20
40	24	22
50	26	25
55	26	23
65	24	30
75	23	35
85	24	33
90	25	25
103	26	28
115	26	33
16. XII. 52		**14.55 h**
05	21	03
10	22	23
15	24	17
30	30	12
40	33	33
45	32	38
55	33	71
60	33	77
70	33	75
80	34	60
90	33	93
05	33	88
10	32	90
17. XII. 52		**15.00 h**
05	21	05
10	22	28
15	26	33
25	27	23
30	28	35
40	27	30
50	26	33
55	25	50
65	27	47
75	29	60
80	31	55
90	31	55
00	29	48
10	30	49
18. XII. 52		**14.55 h**
05	22	06
10	24	28
15	28	25
20	31	28
30	34	28
40	32	28
50	32	38
55	32	28
65	32	44
75	34	50
80	34	62
90	35	83
105	33	68
19. XII. 52		**14.55 h**
05	00	00
10	22	15
15	23	23
25	27	22
30	29	15
40	30	24
45	34	35
55	31	30
60	32	33
70	33	44
80	32	59
90	32	93
05	33	50
15	34	70
20. XII. 52		**14.15 h**
05	22	07
10	25	18
15	25	18
20	28	24
30	30	34
40	32	50
50	33	65
55	33	70
65	33	60
75	33	80
85	32	08
90	32	12
100	32	98
115	32	98
22. XII. 52		**14.50 h**
05	00	00
10	00	00
15	25	05
20	29	16
25	34	16
30	34	22
40	33	50
50	35	04
55	35	82
65	34	60
75	34	02
85	34	32
90	35	20
100	36	70
115	36	77
123	36	70
23. XII. 52		**14.50 h**
05	00	00
15	25	12
20	28	17
25	30	12
30	01	18
40	34	28
45	01	33
50	36	38
55	34	55
65	34	50
70	34	55
80	34	50
85	34	10
90	34	76
105	34	88
110	34	55
24. XII. 52		**14.05 h**
05	00	00
10	25	11
15	23	17
30	27	17
35	30	16
45	26	16
55	27	16
60	29	28
70	28	30
80	30	18
90	29	33
105	29	44
110	29	46
120	29	44
26. XII. 52		**14.40 h**
05	00	00
10	23	10
15	23	28
30	22	26
35	23	32
45	23	28
55	24	20
60	24	25
70	24	55
80	24	58
90	24	66
105	24	53
115	25	44
27. XII. 52		**14.15 h**
05	00	00
10	25	10
15	23	25
25	23	20
30	23	18
40	25	20
50	28	20
55	26	20
70	26	20
29. XII. 52		**14.50 h**
05	00	00
10	03	05
15	22	05
30	21	05
35	16	16
45	19	06
55	19	12
60	20	28
80	20	22
90	21	55
100	23	33
110	22	39
30. XII. 52		**14.50 h**
05	00	00
10	06	04
15	20	06
20	20	07
25	27	20
30	24	12
45	24	55
55	20	65
65	21	50
75	20	55
85	19	38
90	22	40
105	23	38
115	21	33
31. XII. 52		**14.10 h**
05	00	00
10	23	08
15	23	14
25	24	10
30	24	14
45	24	26
55	23	15
65	16	08
70	16	08
80	17	06
90	27	05
100	24	07
115	26	05

Nr. 7

Agrarmeteorologische Beobachtungen

Verdunstung in Millimeter Wasserhöhe

Zürich (Wildsche Waage in offener Hütte)

1952	Januar	Februar	März	April	Mai	Juni	Juli	August	September	Oktober	November	Dezember
1	2.2	1.4	0.4	1.0	4.3	3.0	6.4	5.5	1.8	1.5	0.9	1.1
2	1.2	0.9	1.1	1.4	4.1	2.1	7.8	5.3	2.4	2.1	1.1	0.2
3	1.2	0.3	1.6	1.5	2.2	2.6	7.4	4.6	4.4	1.8	0.6	0.7
4	1.2	0.2	2.2	1.8	1.9	5.0	6.3	4.2	1.2	2.2	1.3	0.9
5	0.4	0.2	0.8	2.3	1.9	4.9	7.1	5.5	2.5	1.1	3.1	0.7
6	0.7	0.3	0.4	2.0	3.7	2.9	5.9	5.5	0.7	2.5	3.0	0.4
7	0.5	0.5	0.5	4.2	3.5	1.1	4.7	2.9	0.4	1.3	1.1	0.6
8	0.6	0.3	1.0	3.3	2.7	2.5	4.1	4.0	0.9	1.1	0.7	0.0
9	2.3	0.7	0.5	4.3	1.4	3.4	1.5	2.1	0.7	1.1	1.4	0.1
10	2.5	1.4	1.0	4.2	3.2	2.9	1.8	2.9	1.1	1.5	0.5	0.0
11	1.5	0.5	1.5	5.3	2.8	4.8	4.1	4.3	0.3	0.7	0.6	0.1
12	1.3	0.5	1.0	4.7	0.8	4.7	2.4	5.3	1.2	1.2	0.1	0.0
13	1.2	0.5	2.2	5.2	2.8	2.6	3.6	5.3	2.2	1.0	0.7	1.8
14	0.7	0.3	2.9	3.6	3.6	2.6	1.8	6.0	2.1	3.1	0.7	0.4
15	1.0	0.3	1.5	3.6	4.3	4.2	4.4	3.9	1.7	0.4	0.7	1.7
16	0.3	0.4	1.2	3.3	3.7	1.0	2.0	1.7	0.6	0.6	0.5	0.5
17	1.5	0.6	1.8	4.4	4.3	1.9	5.4	2.0	1.9	0.2	0.3	0.3
18	1.1	0.4	1.9	3.3	4.8	1.4	6.0	3.6	0.7	0.4	0.2	0.7
19	0.2	0.8	1.7	4.0	2.4	1.1	3.9	1.6	0.6	0.3	0.1	0.4
20	0.1	0.3	1.9	2.3	4.2	1.2	5.0	2.5	1.3	0.2	0.8	0.8
21	0.3	0.3	1.6	2.9	4.2	3.2	5.2	1.6	3.4	2.0	0.5	0.7
22	0.2	0.8	1.2	0.6	4.3	4.9	5.6	2.3	0.4	2.5	1.2	0.0
23	0.1	0.9	0.2	0.4	4.3	4.6	6.7	2.7	1.1	0.6	0.3	0.0
24	0.1	0.9	1.2	0.4	3.3	3.7	4.1	0.8	1.9	1.0	0.0	0.3
25	0.2	0.5	2.4	0.3	2.4	4.5	4.6	1.5	2.9	0.3	0.0	0.6
26	0.2	0.6	1.3	0.3	1.6	4.5	5.7	2.7	2.4	0.4	1.7	0.4
27	0.5	0.4	2.1	0.8	1.9	4.9	6.4	4.0	2.8	0.8	1.2	0.1
28	0.5	0.8	0.3	2.2	2.9	4.6	0.4	5.7	2.2	1.9	2.1	0.7
29	0.4	0.7	0.5	3.6	4.8	6.0	4.0	5.2	2.0	1.3	0.7	0.5
30	0.6		1.0	4.2	3.2	7.8	4.8	2.8	0.6	2.4	1.4	0.3
31	0.8		2.7		4.3		5.1	1.1		0.8		0.2
Summe	25.6	16.7	41.6	81.4	99.8	104.6	144.2	108.2	48.4	38.3	27.5	15.2

Jahressumme: 751.5

Château d'Oex

1	1.5	1.2	1.7	1.5	2.1	2.6	7.2	5.6	2.9	1.5	0.4	1.0
2	3.1	0.8	1.8	1.5	3.5	2.1	7.8	4.9	3.1	1.0	0.8	1.0
3	1.2	0.4	1.7	3.5	2.6	3.6	4.9	2.6	2.9	0.9	0.2	1.0
4	0.2	0.4	2.1	1.5	2.8	3.6	5.7	4.8	2.5	0.6	1.2	1.4
5	0.1	1.6	0.3	2.3	2.1	4.9	7.7	6.6	3.4	1.2	2.0	1.4
6	0.4	1.8	0.3	2.2	2.3	3.3	6.8	3.4	0.2	0.5	2.0	1.9
7	0.7	0.4	0.2	3.7	3.5	0.9	6.9	2.8	0.4	0.6	0.8	0.8
8	1.1	0.2	0.4	3.6	1.8	2.1	5.4	3.3	0.4	1.9	0.5	0.8
9	1.0	0.6	0.3	3.4	3.5	3.7	1.2	1.5	0.5	1.6	1.0	0.4
10	0.2	1.4	0.2	3.3	3.4	3.9	1.8	2.6	0.6	1.2	0.4	0.8
11	0.2	0.4	1.5	4.9	3.6	5.3	5.1	3.4	0.3	1.0	1.0	1.0
12	0.2	0.8	1.2	3.2	1.5	4.6	3.2	4.3	0.3	1.5	0.3	0.2
13	0.2	0.3	3.4	4.2	3.5	1.8	4.3	4.9	1.8	0.6	1.0	1.0
14	0.2	0.4	1.4	4.1	3.7	3.9	5.6	4.8	0.9	2.0	0.2	0.3
15	0.4	0.3	0.9	4.3	4.3	4.5	3.4	2.8	2.3	0.4	0.0	1.0
16	0.1	0.5	1.5	3.1	4.9	2.1	3.0	3.3	0.9	2.4	0.5	0.8
17	1.0	0.7	1.5	2.8	5.3	3.4	5.6	2.0	1.2	1.2	0.2	1.0
18	0.4	0.7	1.7	2.9	4.0	0.9	6.3	2.3	0.6	1.0	0.2	0.1
19	0.4	0.4	1.2	2.8	3.3	1.5	4.9	1.6	0.2	1.0	0.2	0.2
20	0.0	0.8	0.9	1.6	2.3	1.9	6.8	1.4	1.5	0.5	1.8	0.2
21	0.4	0.9	0.5	3.0	3.2	3.2	3.9	0.7	1.8	1.5	0.8	0.1
22	0.6	0.9	0.1	0.6	4.0	4.9	5.6	2.5	0.2	0.8	1.8	0.2
23	0.4	1.2	1.7	0.3	4.4	4.1	3.9	0.7	1.6	1.2	0.6	0.2
24	0.2	1.4	1.3	0.6	4.4	5.3	4.3	0.0	1.6	0.8	0.8	0.2
25	0.2	1.2	1.4	2.4	3.6	5.0	4.4	2.3	3.3	0.1	0.2	0.2
26	0.2	1.1	1.5	1.0	3.7	5.1	4.8	2.7	2.2	0.6	0.8	0.2
27	0.4	1.1	0.9	1.9	2.8	3.9	4.6	4.3	1.2	1.4	0.8	1.0
28	0.4	1.4	0.0	3.1	5.1	4.8	0.2	4.5	1.8	1.8	0.8	0.4
29	0.3	0.4	0.3	4.1	4.5	5.9	3.6	4.4	1.9	0.6	0.9	0.1
30	0.6		1.0	3.8	4.8	6.2	4.6	2.6	1.2	1.4	1.9	0.1
31	1.7		2.9		3.3		4.8	1.1		0.2		0.1
Summe	18.0	23.7	35.8	81.2	107.8	109.0	148.3	94.7	43.7	33.0	24.1	19.1

Jahressumme: 738.4

Bodentemperaturen

Zürich

(Mittel aus 24 Stundenwerten)

	I	II	III	IV	V	VI	VII	VIII	IX	X	XI	XII	I	II	III	IV	V	VI	VII	VIII	IX	X	XI	XII
	2 cm — Tiefe												10 cm — Tiefe											
1	2.9	0.7	1.9	6.9	15.7	19.1	23.0	21.5	20.2	10.6	8.0	7.2	3.0	0.7	2.2	6.9	15.2	19.1	22.3	20.8	20.1	10.7	8.2	7.2
2	1.7	0.7	2.4	4.3	16.1	19.0	23.9	22.2	19.9	10.4	7.8	5.9	1.8	0.7	2.9	4.1	15.8	19.0	23.1	21.6	20.0	10.6	7.9	6.1
3	1.6	0.8	2.8	3.2	15.1	18.0	24.6	22.3	18.6	9.6	8.1	4.5	1.7	0.8	3.3	3.5	15.0	18.2	23.9	21.8	18.7	9.8	8.2	4.7
4	0.9	0.7	3.9	3.6	14.3	19.3	24.8	22.3	17.6	10.9	7.4	3.9	1.1	0.7	4.4	3.8	14.3	19.1	23.9	21.6	17.9	11.0	7.6	4.1
5	0.8	0.7	4.7	4.8	13.6	19.9	25.7	22.5	18.1	11.4	6.9	3.2	1.0	0.7	4.9	4.9	13.4	19.7	24.8	21.6	18.1	11.6	7.0	3.3
6	1.7	0.7	4.7	5.4	14.6	19.6	25.8	22.5	15.6	11.7	7.2	1.8	1.8	0.7	4.9	5.8	14.4	19.8	24.9	21.9	16.0	11.8	7.4	1.9
7	0.6	0.7	3.9	7.0	15.7	17.3	25.3	20.6	14.8	11.6	6.3	1.3	0.7	0.7	4.0	7.2	15.4	17.6	24.6	20.5	15.0	11.8	6.6	1.5
8	0.6	0.6	3.3	8.8	15.5	17.9	23.4	21.1	13.7	10.7	4.9	0.8	0.6	0.6	3.5	9.1	15.4	18.1	23.2	20.8	14.0	10.9	5.1	0.9
9	1.0	0.5	2.9	10.0	16.0	18.3	21.1	20.1	12.7	9.5	4.3	0.6	1.2	0.5	3.1	10.1	16.0	18.5	21.1	20.0	13.0	9.9	4.6	0.8
10	1.6	0.6	3.7	11.0	16.4	18.8	20.9	19.7	13.5	10.2	3.7	0.6	1.7	0.6	3.7	11.1	16.1	19.0	20.8	19.6	13.6	10.3	4.0	0.7
11	3.4	0.5	3.9	11.3	16.7	19.8	22.5	20.9	13.3	9.6	4.4	0.8	3.5	0.5	4.2	11.7	16.6	19.8	21.9	20.0	13.5	9.9	4.7	0.9
12	2.1	0.5	4.0	11.6	14.1	20.9	22.0	22.3	12.8	8.7	4.0	2.0	2.1	0.5	4.3	11.8	14.1	20.7	21.7	21.4	13.0	9.1	4.3	2.1
13	1.2	0.4	4.8	12.4	14.0	20.4	22.0	22.9	13.7	7.4	3.7	2.4	1.2	0.4	5.3	12.4	13.9	20.5	21.7	22.2	13.8	7.7	4.0	2.5
14	0.3	0.4	3.9	12.6	15.3	19.8	22.5	23.2	14.2	8.7	3.8	2.2	0.3	0.4	4.3	12.5	15.2	19.9	21.7	22.4	14.1	8.9	4.1	2.4
15	0.9	0.3	2.4	13.2	15.9	20.7	22.6	22.8	14.8	8.4	3.1	2.1	0.9	0.3	2.9	13.1	15.7	20.7	21.8	22.3	15.0	8.6	3.4	2.3
16	1.7	0.2	4.1	13.3	16.5	18.5	20.6	20.4	13.1	8.7	1.9	2.0	1.8	0.2	4.3	13.2	16.4	18.8	20.4	20.4	13.3	8.8	2.2	2.1
17	2.1	0.1	5.5	13.6	16.9	19.1	21.5	19.1	14.4	9.2	2.3	1.9	2.2	0.1	6.0	13.5	16.9	19.1	20.6	18.9	14.3	9.3	2.5	2.1
18	1.7	0.0	7.0	13.9	16.3	18.5	21.1	19.4	13.5	9.3	1.7	1.9	1.8	0.0	7.2	13.8	16.1	18.8	20.2	19.0	13.7	9.5	2.0	2.0
19	1.5	0.0	6.8	14.2	16.2	17.4	21.3	18.7	11.4	9.4	1.9	1.9	1.5	0.0	7.1	14.1	16.0	17.6	20.8	18.5	11.8	9.6	2.2	2.0
20	1.5	0.1	6.6	13.0	16.4	16.6	22.2	18.1	11.2	10.0	2.5	1.6	1.5	0.1	6.7	13.1	16.0	16.8	21.2	18.1	11.4	10.1	2.8	2.0
21	1.4	0.3	6.2	13.5	14.6	17.7	22.8	17.0	11.3	11.3	2.6	2.3	1.4	0.3	6.3	13.5	13.9	17.7	21.9	17.1	11.6	11.3	2.8	2.6
22	1.1	0.4	6.1	12.4	14.8	19.2	23.2	17.5	11.7	11.8	3.3	2.0	1.1	0.5	6.1	12.4	14.1	18.9	22.5	17.2	11.9	11.9	3.5	2.2
23	0.7	0.4	7.0	11.3	15.5	19.4	23.8	17.2	12.4	10.9	2.9	1.9	0.7	1.0	7.1	11.4	14.9	19.3	22.8	17.1	12.4	11.1	3.0	2.0
24	0.6	0.6	7.2	10.2	15.8	19.1	21.6	17.2	12.6	12.1	2.6	2.7	0.6	1.0	7.4	10.3	15.6	19.1	21.4	17.2	12.8	12.2	3.8	2.9
25	0.5	0.6	7.2	9.8	15.8	19.8	21.4	18.2	13.4	11.7	3.2	3.1	0.5	1.0	7.5	9.8	15.6	19.6	20.6	18.0	13.4	11.9	3.4	3.3
26	0.6	0.7	6.2	9.6	15.5	20.2	22.1	19.3	12.8	10.9	4.2	1.9	0.6	1.0	6.5	9.6	15.5	20.0	21.0	18.7	12.7	11.1	4.3	2.1
27	0.5	0.7	4.3	10.1	15.7	20.2	23.0	20.1	11.1	10.1	5.6	2.2	0.5	1.0	4.4	10.2	15.7	19.9	22.0	19.5	11.3	10.3	5.6	2.3
28	0.6	1.0	3.1	11.8	16.6	20.7	19.2	20.5	10.5	9.7	6.2	2.1	0.6	1.5	3.0	11.6	16.6	20.2	19.3	20.0	10.9	9.9	6.3	2.2
29	0.5	0.9	4.7	13.1	16.8	21.8	19.2	21.1	10.4	9.9	5.6	1.5	0.5	1.2	5.1	12.6	16.9	21.1	18.8	20.4	10.6	10.1	5.7	1.7
30	0.6	—	6.8	14.7	18.8	22.4	20.2	20.6	10.7	9.8	5.8	1.9	0.6	—	7.0	14.2	18.6	21.6	19.5	20.4	10.8	9.9	5.9	1.2
31	0.6	—	8.0	—	18.7	—	21.0	19.2	—	8.3	—	1.3	0.6	—	8.4	—	18.7	—	20.3	19.4	—	8.4	—	1.4
Mittel	1.2	0.5	4.8	10.3	15.8	19.3	22.4	20.3	13.8	10.1	4.5	2.3	1.3	0.6	5.1	10.4	15.6	19.3	21.8	20.0	14.0	10.3	4.7	2.4
	20 cm — Tiefe												50 cm — Tiefe											
1	2.7	0.7	1.8	7.0	14.4	18.3	21.5	20.5	19.6	10.8	8.2	6.8	3.3	2.1	1.8	6.9	12.0	15.9	19.0	19.4	19.0	12.3	10.1	6.4
2	1.8	0.7	2.3	4.3	15.1	18.3	22.3	21.1	19.6	10.6	7.9	6.1	3.5	2.1	2.1	6.3	12.6	16.2	19.4	19.9	19.1	12.2	9.8	6.9
3	1.7	0.8	2.7	3.5	14.5	17.7	23.1	21.4	18.5	9.9	8.1	4.7	3.3	2.1	2.5	5.4	13.0	16.3	19.9	20.0	19.0	12.0	9.5	6.5
4	1.1	0.7	3.7	3.5	13.9	18.4	23.2	21.3	17.7	10.8	7.7	4.1	3.1	2.1	2.8	4.8	13.1	16.2	20.3	20.1	18.6	11.8	9.3	6.0
5	1.0	0.7	4.4	4.5	13.2	18.9	24.2	21.4	17.9	11.3	6.9	3.5	2.9	2.1	3.5	4.8	12.8	16.5	20.9	20.1	18.2	12.0	9.0	5.6
6	1.7	0.7	4.5	5.3	13.8	19.1	24.1	21.6	16.2	11.6	7.3	2.2	2.9	2.1	3.9	5.2	12.6	16.9	21.3	20.2	17.9	12.1	9.0	5.1
7	0.8	0.7	3.9	6.4	14.8	17.3	23.9	20.3	15.1	11.6	6.7	1.7	2.9	2.0	4.0	6.5	13.0	16.8	21.6	20.3	17.2	12.3	8.7	4.6
8	0.6	0.6	3.3	8.1	14.8	17.5	22.8	20.5	14.2	10.9	5.3	1.1	2.7	2.0	3.8	6.3	13.2	16.5	21.5	20.0	16.6	12.2	8.2	4.1
9	1.0	0.5	2.9	9.2	15.4	17.8	21.0	19.8	13.2	9.9	4.8	1.0	2.6	2.0	3.7	7.2	13.5	16.5	20.9	20.0	15.9	11.9	7.6	3.8
10	1.6	0.6	3.7	10.2	15.5	18.3	20.5	19.4	13.6	10.3	4.1	0.9	2.6	2.0	3.7	8.0	13.6	16.6	20.3	19.7	15.3	11.6	7.1	3.4
11	3.0	0.5	3.7	10.0	16.0	18.9	21.4	19.8	13.5	9.9	4.7	0.9	3.0	2.0	3.7	8.6	14.1	16.8	20.1	19.4	15.2	11.5	6.6	3.2
12	2.2	0.5	3.8	10.7	14.1	19.9	21.4	21.0	13.1	9.1	4.3	1.9	3.4	1.7	3.9	9.1	14.2	17.2	20.3	19.6	14.9	11.1	6.4	3.2
13	1.4	0.4	4.7	11.7	13.6	19.9	21.3	21.8	13.6	7.9	4.0	2.3	3.1	1.5	4.1	9.6	13.6	17.7	20.2	20.0	14.5	10.6	6.2	3.5
14	0.5	0.4	4.1	11.9	14.6	19.3	21.3	21.9	13.9	8.8	4.1	2.2	2.8	1.5	4.4	9.9	13.5	17.8	20.1	20.3	14.7	10.2	6.1	3.7
15	0.9	0.3	2.8	12.4	15.2	19.9	21.4	22.1	14.7	8.6	3.6	2.2	2.5	1.5	4.1	10.3	13.7	17.7	20.2	20.8	15.0	10.2	6.0	3.8
16	1.7	0.2	3.8	12.6	15.7	18.5	20.3	20.4	13.4	8.7	2.5	2.0	2.6	1.5	4.1	10.6	14.0	17.9	20.1	20.6	15.0	10.1	5.5	3.7
17	2.0	0.1	5.3	12.9	16.3	18.6	20.3	19.0	14.0	9.2	3.6	2.0	2.9	1.5	4.4	11.0	14.4	17.5	19.9	20.0	14.6	10.2	5.1	3.6
18	1.7	0.0	6.6	13.2	15.8	18.4	20.0	18.9	13.7	9.4	2.2	2.0	3.0	1.5	5.0	11.3	14.6	17.6	19.8	19.5	14.8	10.2	5.0	3.4
19	1.5	0.0	6.5	13.5	15.6	17.3	20.4	18.5	12.1	9.4	2.3	2.0	3.0	1.5	5.6	11.6	14.6	17.3	19.8	19.2	14.4	10.3	4.8	3.3
20	1.5	0.1	6.6	12.8	15.8	16.6	20.8	18.1	11.5	9.9	2.8	1.9	2.9	1.5	6.0	11.8	14.7	17.0	19.8	19.0	13.7	10.4	4.7	3.3
21	1.4	0.3	6.1	13.0	14.0	17.2	21.5	17.1	11.5	10.9	2.8	2.3	2.8	1.5	6.0	11.6	14.5	16.5	20.0	18.5	13.4	10.6	4.8	3.2
22	1.1	0.4	5.9	12.2	13.9	18.2	22.0	17.1	11.8	11.5	3.4	2.0	2.7	1.5	5.9	11.7	14.1	16.6	20.3	18.0	13.4	11.1	4.9	3.2
23	0.7	0.7	6.7	11.2	14.6	18.7	22.4	17.0	12.3	10.9	3.1	2.0	2.5	1.5	6.0	11.4	14.0	17.0	20.6	18.0	13.5	11.3	4.9	3.2
24	0.6	0.7	6.9	10.2	15.1	18.6	21.3	17.1	12.6	11.8	2.9	2.6	2.4	1.5	6.3	11.0	14.1	17.3	20.9	17.9	13.5	11.4	4.8	3.2
25	0.5	0.7	7.1	9.8	15.2	18.9	20.5	17.6	13.1	11.6	3.3	3.0	2.4	1.5	6.5	10.5	14.3	17.4	20.3	17.8	13.5	11.8	4.8	3.5
26	0.6	0.8	6.3	9.6	15.1	19.3	20.9	18.4	12.6	11.1	4.0	2.1	2.2	1.5	6.6	10.2	14.3	17.6	20.1	18.0	13.7	11.6	4.8	3.7
27	0.5	0.7	4.5	9.9	15.3	19.3	21.7	19.1	11.5	10.2	5.3	2.2	2.1	1.6	6.2	10.0	14.4	17.8	20.2	18.2	13.4	11.3	5.2	3.6
28	0.6	1.1	3.4	11.0	15.9	19.6	19.6	19.6	10.9	9.9	6.0	2.1	2.1	1.6	5.6	10.1	14.5	17.9	20.4	18.7	13.8	11.1	5.8	3.5
29	0.5	1.0	4.6	12.1	16.2	20.4	18.8	20.0	10.6	10.0	5.5	1.7	2.1	1.6	5.0	10.6	14.7	18.2	19.5	19.0	12.5	11.0	6.1	3.4
30	0.6	—	6.4	13.4	17.7	20.9	19.3	20.1	10.7	9.8	5.6	1.2	2.1	—	5.4	11.2	15.0	18.5	19.2	19.1	12.4	10.7	6.1	3.2
31	0.6	—	7.6	—	17.8	—	20.1	19.1	—	8.5	—	1.3	2.1	—	6.1	—	15.5	—	19.3	19.1	—	10.5	—	3.0
Mittel	1.2	0.5	4.7	9.9	15.1	18.7	21.4	19.7	13.9	10.1	4.7	2.4	2.7	1.7	4.6	9.1	13.9	17.1	20.2	19.4	15.2	11.2	6.6	4.0

Klima der freien Atmosphäre

Bearbeitung der Radiosondierungen der aerologischen Station Payerne 1948-1951

von P. Ackermann

(Fortsetzung)

Einleitung

In den Annalen der MZA 1951 wurde eine erste Bearbeitung der Radiosondierungen 1948—1951 veröffentlicht. Die dortigen Eingangsbemerkungen gelten vollumfänglich für die nachstehende weitere Bearbeitung.

1. Prozentuale Wahrscheinlichkeit der Temperaturen

Während in der oben erwähnten ersten Bearbeitung Mittel- und Extremwerte der Periode 1948 bis 1951 betrachtet wurden, geben wir hier, mittelst der Tabellen 1 bis 5, die monatliche prozentuale Häufigkeit des Temperaturauftretens für die Standardniveaus 850, 700, 500, 300 und 200 mbar. Die Figuren 1 bis 5 geben die analoge graphische Darstellung für die vier Jahreszeiten Frühling, Sommer, Herbst und Winter.

Fig. 1 und 2 siehe Seite 2.

2. Luftdichte

Tabelle 6 enthält die Monats- und Jahresmittel der Luftdichte in Funktion der Höhe. Die Abweichungen der Jahreszeitenmittel vom Jahresmittel der Luftdichte sind in Fig. 6 aufgezeichnet. Es fällt der ausgesprochen gegenläufige Gang von Sommer- und Winterkurve auf.

3. Vergleich der Jahresmittel von Temperatur und Druck

In Fig. 7 wurden die Temperaturdifferenzen der Jahresmittel 1948, 1949, 1950 und 1951 mit der mittleren Atmosphäre 1948 bis 1951 aufgetragen. Es zeigt sich deutlich, daß eine kontinuierliche Abkühlung der freien Atmosphäre besonders in größeren Höhen seit 1948 eintrat. Die von verschiedenen Seiten konstatierte Erwärmung des Klimas unserer Breiten scheint also wieder abzuklingen.

Fig. 8 gibt die analoge Darstellung für den Luftdruck.

Fig. 3a

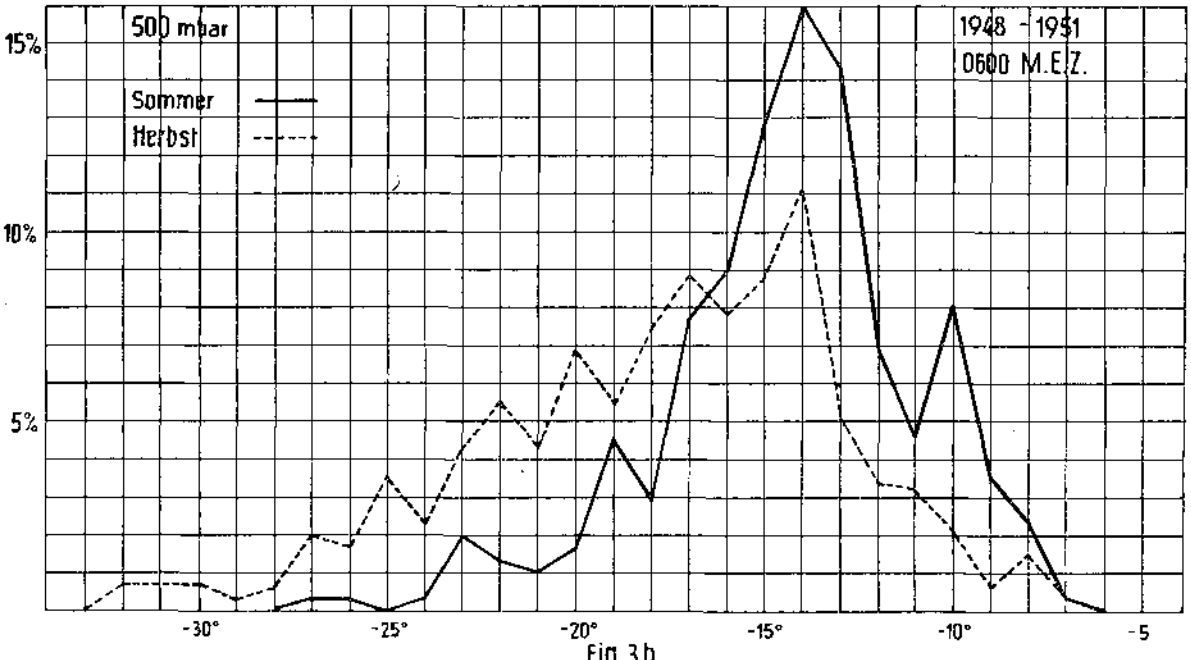

Fig. 3b

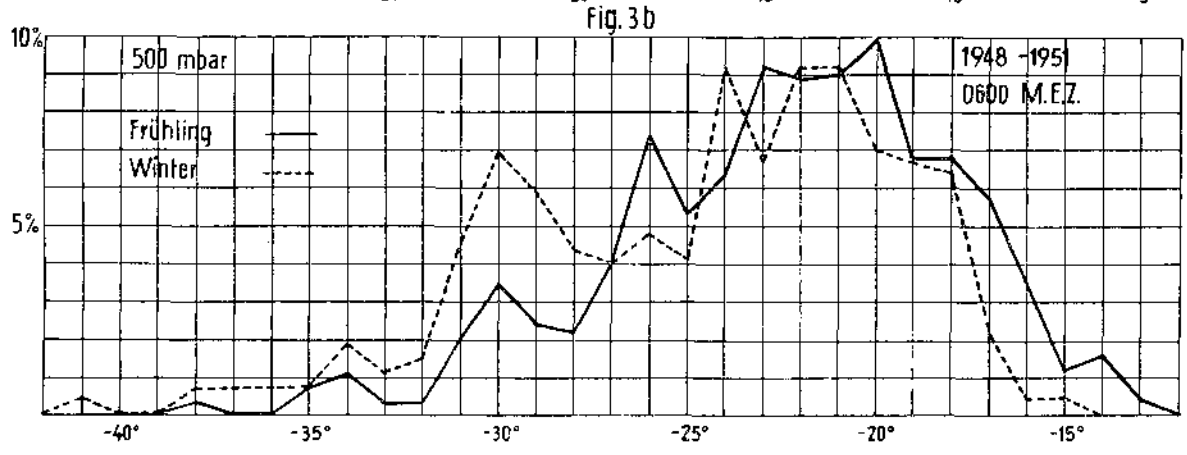

Fig. 1 a

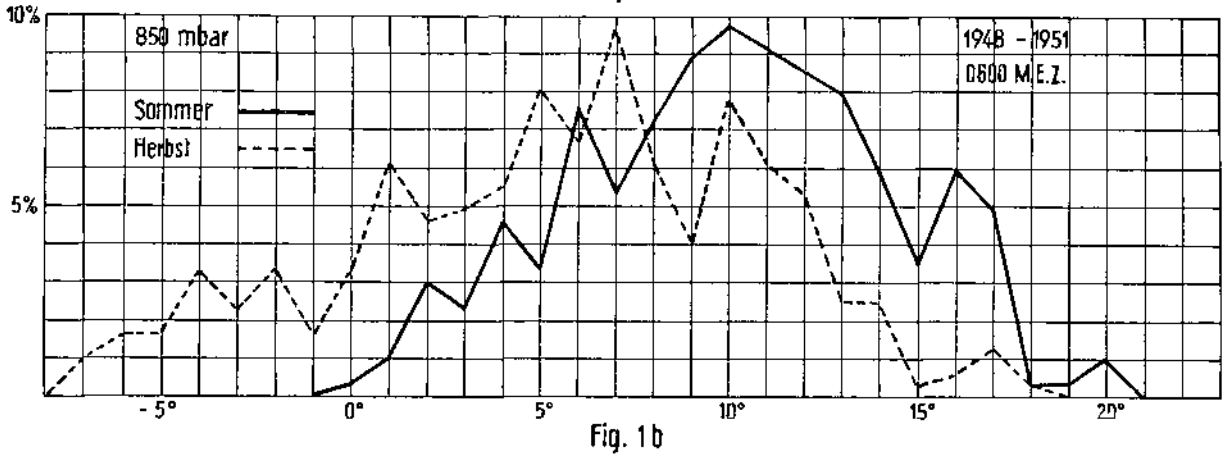

Fig. 1 b

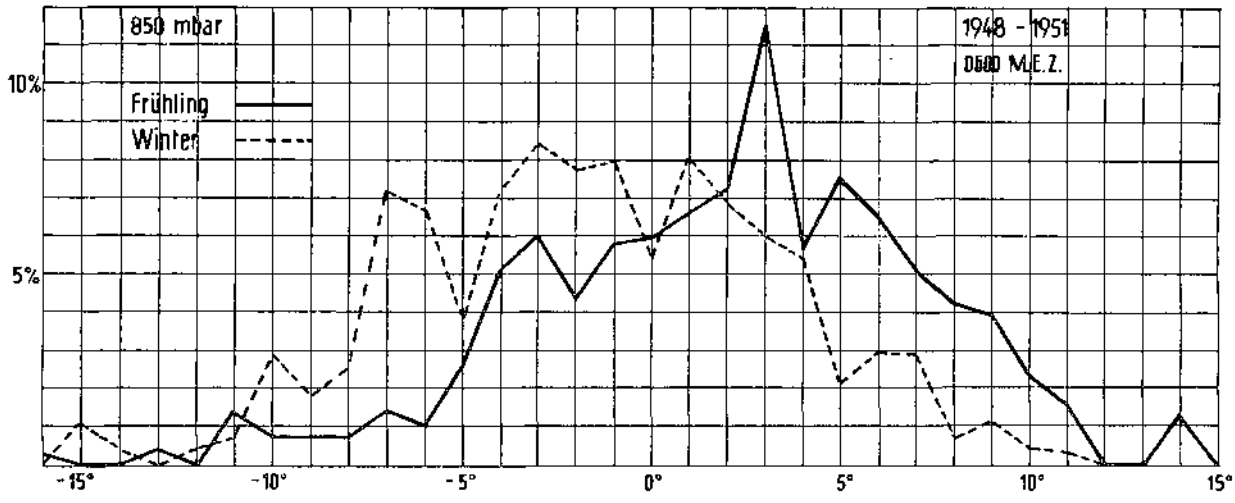

Fig. 2 a

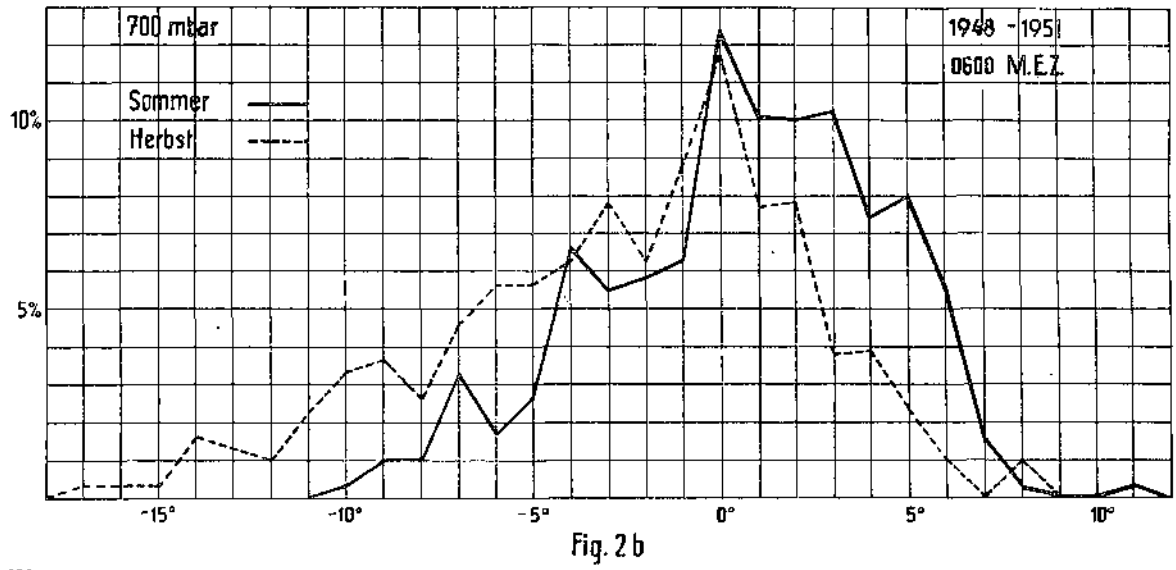

Fig. 2 b

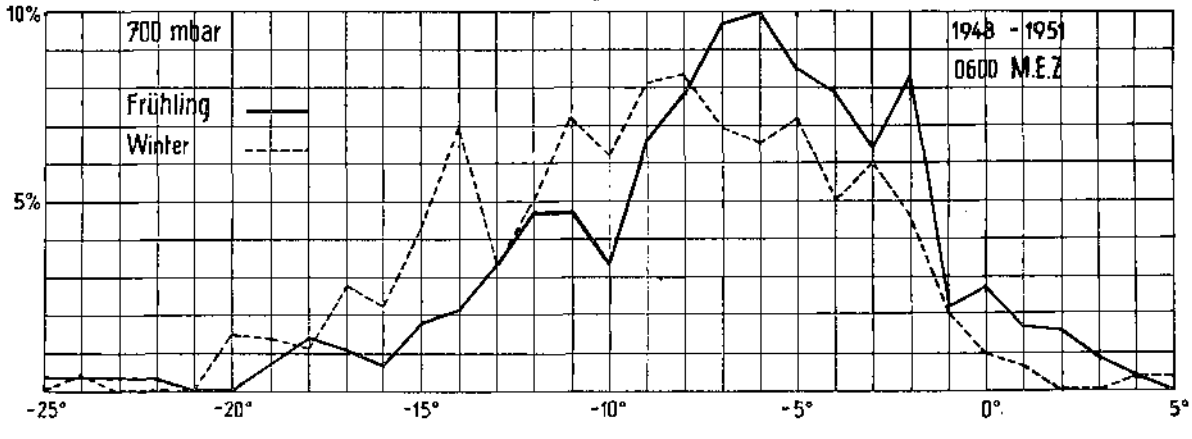

Fig. 4 a

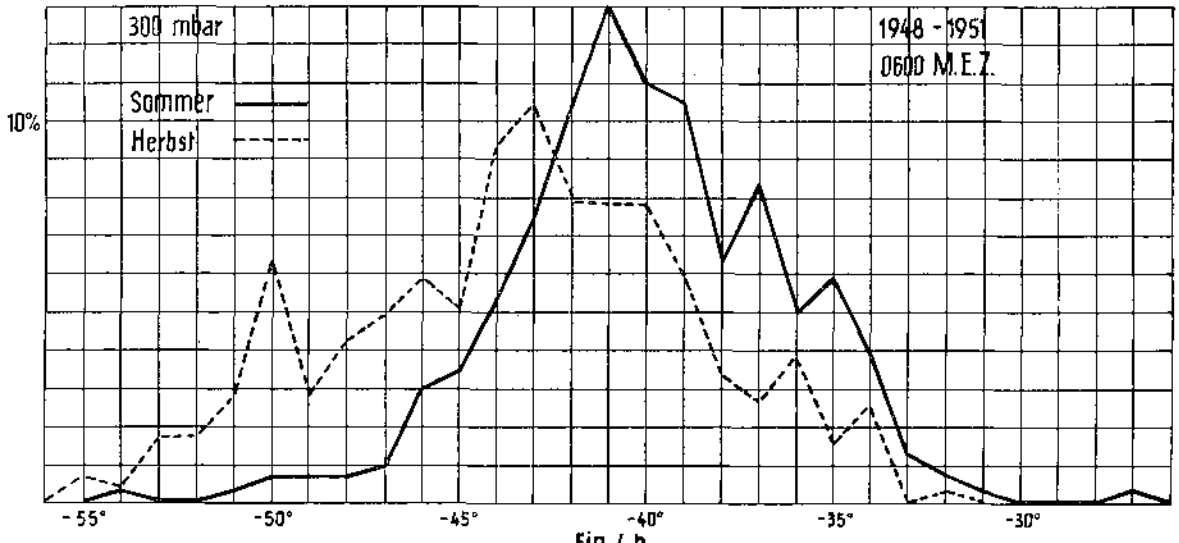

Fig. 4 b

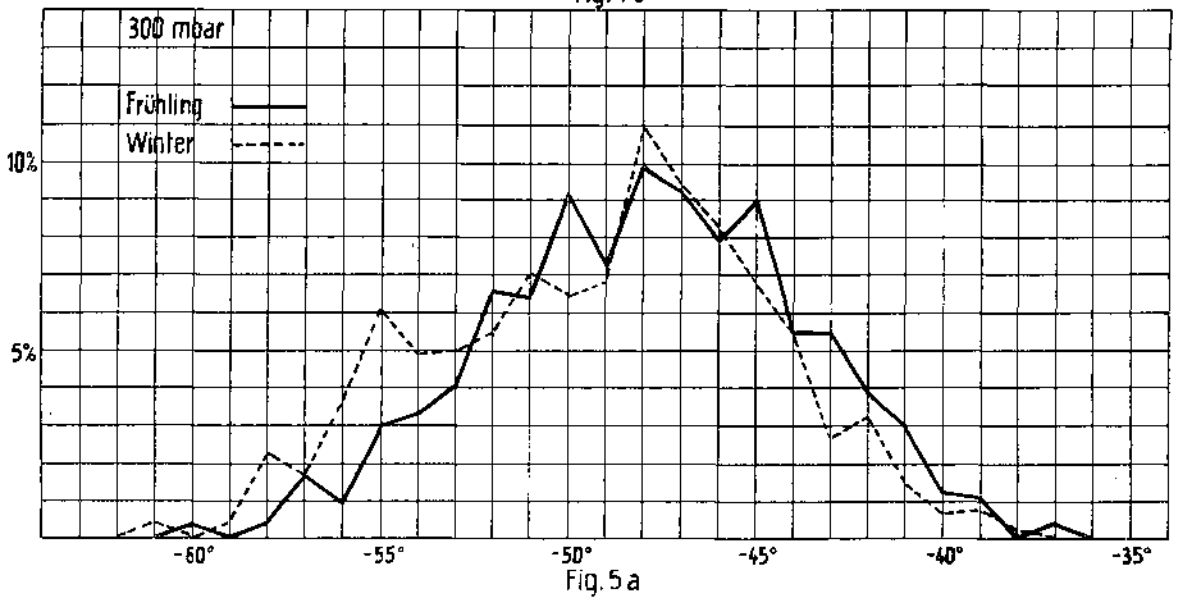

Fig. 5 a

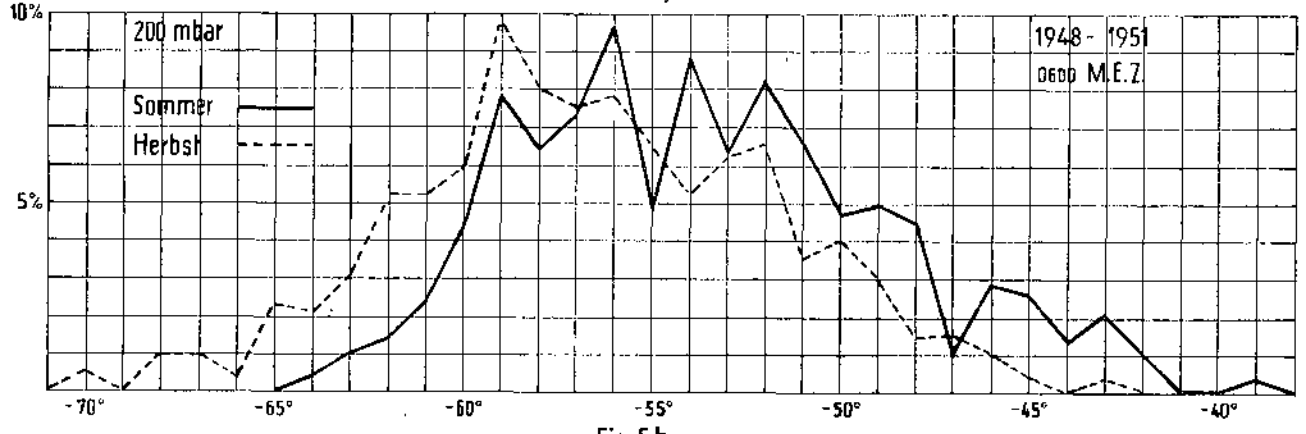

Fig. 5 b

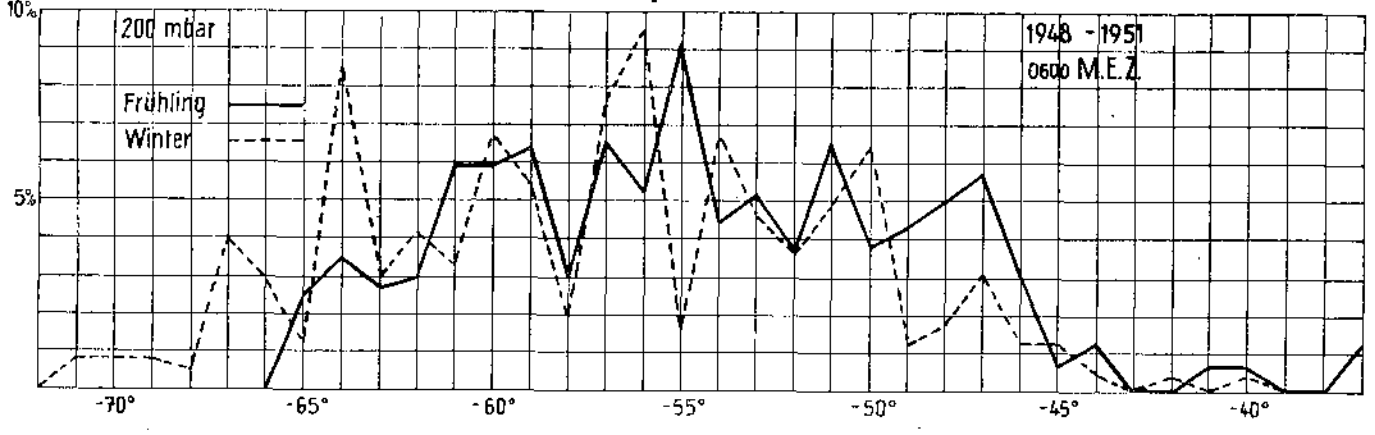

Fig. 6

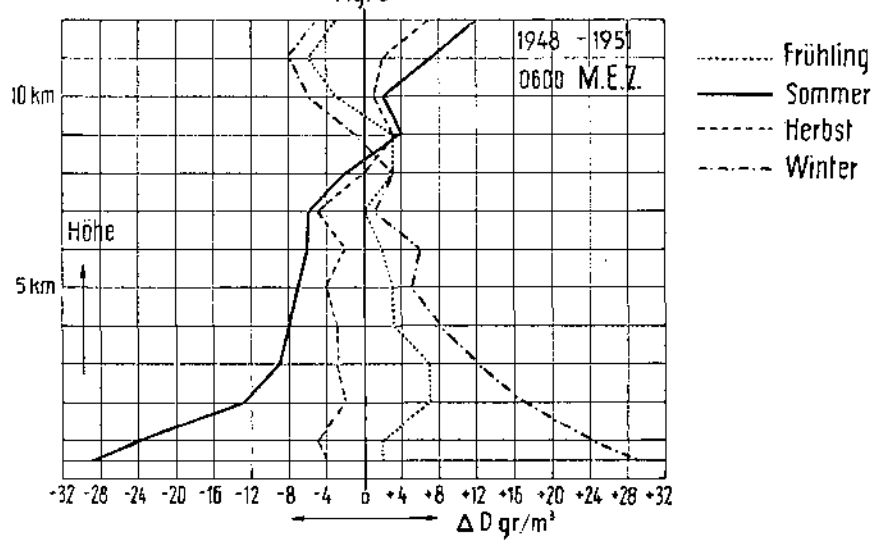

Fig. 7

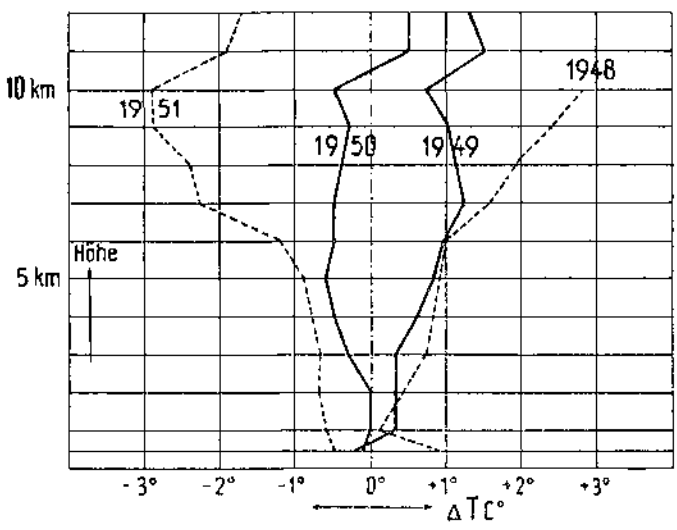

Fig. 8

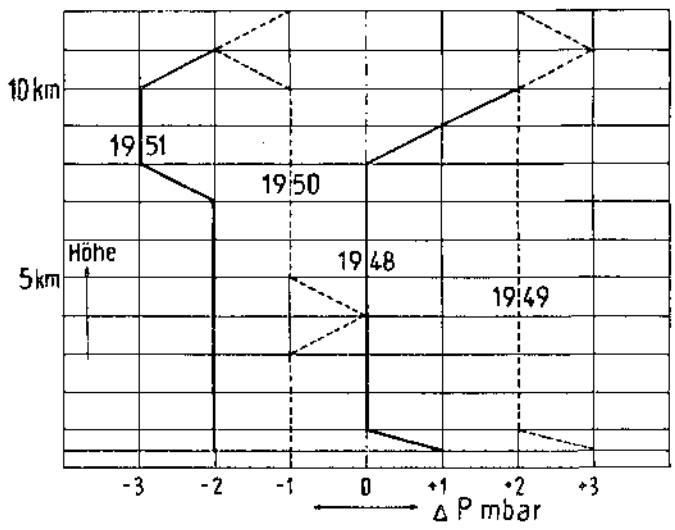

Prozentuale Wahrscheinlichkeit der Temperaturen 1948-1951 06.00 h MEZ

Temp. C°	Januar	Februar	März	April	Mai	Juni	Juli	August	September	Oktober	November	Dezember
Tabelle 1						**850 mb**						
20	—	—	—	—	—	1.02	1.98	—	—	—	—	—
19	—	—	—	—	—	—	—	0.93	—	—	—	—
18	—	—	—	—	—	—	—	0.93	0.93	—	—	—
17	—	—	—	—	—	2.04	5.94	5.61	3.70	—	—	—
16	—	—	—	—	—	3.06	9.90	4.67	1.85	—	—	—
15	—	—	—	—	—	2.04	2.97	5.61	0.93	—	—	—
14	—	—	—	—	3.85	7.14	3.96	6.54	7.41	—	—	—
13	—	—	—	—	—	9.18	7.92	6.54	5.56	1.01	0.98	—
12	—	—	—	—	—	5.10	10.89	9.35	12.96	3.05	—	—
11	—	—	—	2.10	2.56	10.20	7.92	9.35	8.33	8.08	1.96	1.03
10	—	—	—	3.16	3.85	7.14	7.92	14.02	9.26	10.10	3.92	1.03
9	—	2.30	—	4.21	7.69	8.16	11.88	6.54	4.63	5.05	1.96	1.03
8	—	—	3.16	4.21	5.13	5.10	7.92	3.41	6.48	10.10	1.96	2.06
7	5.43	1.15	2.10	4.21	8.97	10.20	3.96	1.87	10.19	15.15	3.92	2.06
6	4.35	2.30	4.21	5.26	10.26	7.14	5.94	9.35	8.33	3.03	6.86	2.06
5	3.26	—	2.10	12.63	7.69	6.13	—	3.74	9.26	11.11	3.92	3.09
4	4.35	4.60	6.32	4.21	6.41	3.06	4.95	5.61	3.70	2.02	10.78	7.22
3	6.52	2.30	10.53	7.37	16.67	6.13	0.99	—	1.85	5.05	7.84	9.28
2	3.26	8.04	8.42	4.21	8.97	4.08	3.96	0.93	1.85	7.07	4.90	9.28
1	7.61	12.64	9.47	5.26	5.13	2.04	0.99	—	1.85	6.06	10.78	4.12
0	7.61	3.45	8.42	4.21	5.13	1.02	—	—	0.93	3.03	5.88	5.15
—1	8.70	6.90	7.37	7.37	2.56	—	—	—	—	1.01	3.92	8.25
—2	10.87	10.34	5.26	6.32	1.28	—	—	—	—	1.01	8.82	2.06
—3	4.35	12.64	6.32	10.53	1.28	—	—	—	—	1.01	5.88	8.25
—4	8.70	6.90	5.26	7.37	2.56	—	—	—	—	4.04	5.88	6.18
—5	3.26	5.74	2.10	5.26	—	—	—	—	—	—	4.90	2.06
—6	6.52	3.45	2.10	1.05	—	—	—	—	—	2.02	2.94	7.22
—7	7.61	4.60	3.16	1.05	—	—	—	—	—	1.01	1.96	9.28
—8	2.22	2.30	2.10	—	—	—	—	—	—	—	—	3.09
—9	1.11	1.15	2.10	—	—	—	—	—	—	—	—	3.09
—10	3.26	3.45	2.10	—	—	—	—	—	—	—	—	2.06
—11	—	1.15	4.21	—	—	—	—	—	—	—	—	1.03
—12	1.11	—	—	—	—	—	—	—	—	—	—	—
—13	—	—	1.05	—	—	—	—	—	—	—	—	—
—14	—	1.15	—	—	—	—	—	—	—	—	—	—
—15	—	3.45	—	—	—	—	—	—	—	—	—	—
—16	—	—	1.05	—	—	—	—	—	—	—	—	—
—17	—	—	1.05	—	—	—	—	—	—	—	—	—
Tabelle 2						**700 mb**						
11	—	—	—	—	—	—	0.99	—	—	—	—	—
9	—	—	—	—	—	—	—	—	—	—	—	—
8	—	—	—	—	—	—	0.99	—	2.88	—	—	—
7	—	—	—	—	—	1.03	2.97	0.91	—	—	—	—
6	—	—	—	—	—	5.15	7.92	3.64	2.88	—	—	—
5	1.11	—	—	—	—	3.09	11.88	9.09	3.85	2.97	—	—
4	1.11	—	—	—	1.30	4.12	3.91	9.09	7.69	3.96	—	—
3	—	—	—	—	2.60	6.18	11.88	12.73	9.62	1.98	—	—
2	—	—	—	2.13	2.60	7.22	9.90	11.82	12.50	7.92	1.96	—
1	—	1.15	—	—	5.19	16.49	3.96	10.00	14.42	6.93	0.98	1.03
0	—	—	2.13	2.13	3.90	12.37	13.86	10.91	18.27	11.88	4.90	3.09
—1	3.26	—	4.26	1.06	1.30	4.12	3.96	10.91	10.58	11.88	3.92	3.09
—2	3.26	3.45	2.13	8.51	14.28	5.15	4.95	7.27	1.92	9.90	6.86	7.22
—3	4.35	2.30	2.13	5.32	11.69	6.18	5.94	4.54	3.85	9.90	9.80	11.34
—4	5.43	4.60	3.19	12.77	7.79	9.28	4.95	5.45	2.88	8.91	6.86	5.15
—5	8.70	5.74	9.57	4.26	11.69	5.15	1.98	0.91	2.88	3.96	9.80	7.22
—6	3.26	9.20	13.83	8.51	7.79	4.12	0.99	—	1.92	6.93	7.84	7.22
—7	8.70	5.74	10.64	15.96	2.60	5.15	1.98	2.73	0.96	3.96	8.82	6.18
—8	13.04	5.74	7.45	4.26	11.69	2.06	0.99	—	0.96	0.99	5.88	6.18
—9	5.43	13.79	8.51	2.13	9.09	2.06	0.99	—	0.96	2.97	6.86	5.15
—10	9.78	6.90	3.19	4.26	2.60	1.03	—	—	0.96	1.98	6.86	2.06
—11	6.52	8.04	6.38	6.38	1.30	—	—	—	—	0.99	5.88	7.22
—12	4.35	4.60	5.32	7.45	1.30	—	—	—	—	—	2.94	6.18
—13	3.26	4.60	5.32	3.19	1.30	—	—	—	—	0.99	2.94	2.06
—14	7.61	6.90	3.19	3.19	—	—	—	—	—	—	4.90	6.18
—15	4.35	4.60	1.06	4.26	—	—	—	—	—	—	0.98	4.12
—16	3.26	1.15	2.13	—	—	—	—	—	—	—	0.98	2.06
—17	2.22	2.30	1.06	2.13	—	—	—	—	—	0.99	—	4.12
—18	—	2.30	2.13	2.13	—	—	—	—	—	—	—	1.03
—19	—	2.30	2.13	—	—	—	—	—	—	—	—	2.06
—20	1.11	3.45	—	—	—	—	—	—	—	—	—	—
—22	—	—	1.06	—	—	—	—	—	—	—	—	—
—23	—	—	1.06	—	—	—	—	—	—	—	—	—
—24	—	1.15	1.06	—	—	—	—	—	—	—	—	—
—25	—	—	1.06	—	—	—	—	—	—	—	—	—

Prozentuale Wahrscheinlichkeit der Temperaturen 1948-1951 06.00 h MEZ

Tabelle 3 — 500 mb

Temp. C°	Januar	Februar	März	April	Mai	Juni	Juli	August	September	Oktober	November	Dezember
—7	—	—	—	—	—	—	1.01	—	0.93	—	—	—
—8	—	—	—	—	—	—	4.04	2.78	4.67	—	—	—
—9	—	—	—	—	—	1.02	4.04	5.56	1.87	—	—	—
—10	—	—	—	—	—	2.04	12.12	10.19	5.61	1.02	—	—
—11	—	—	—	—	—	3.06	5.05	5.56	7.48	2.04	—	—
—12	—	—	—	—	—	4.08	10.10	6.48	8.41	1.02	0.99	—
—13	—	—	—	—	1.28	7.14	18.18	17.59	10.28	5.10	—	—
—14	—	—	—	1.05	3.85	16.32	15.15	16.67	21.50	8.16	3.96	—
—15	1.11	—	—	1.05	2.56	17.34	10.10	11.11	12.15	12.24	1.98	—
—16	1.11	—	1.06	3.16	6.41	11.22	8.08	7.41	8.41	11.22	3.96	—
—17	2.22	—	—	3.16	14.10	16.32	3.03	3.70	5.61	13.26	7.92	4.26
—18	5.43	1.18	4.26	8.42	7.69	5.10	1.01	2.78	7.48	8.16	6.93	12.77
—19	9.78	5.88	4.26	7.37	8.97	4.08	3.03	6.48	—	9.18	6.93	4.26
—20	5.43	8.24	7.45	9.47	1.28	1.02	1.01	2.78	—	11.22	9.90	7.45
—21	7.61	9.41	8.51	9.47	8.97	2.04	—	0.93	1.87	4.08	6.93	10.64
—22	10.87	7.06	9.57	9.47	7.69	2.04	2.02	—	1.87	5.10	9.90	9.57
—23	5.43	8.24	12.77	8.42	6.41	4.08	2.02	—	0.93	2.04	9.90	6.38
—24	14.13	9.41	6.38	6.32	6.41	1.02	—	—	0.93	1.02	4.95	4.26
—25	2.22	5.88	8.51	6.32	1.28	—	—	—	—	2.04	8.91	4.26
—26	4.35	5.88	6.38	8.42	7.69	1.02	—	—	—	1.02	3.96	4.26
—27	5.43	2.35	5.32	4.21	2.56	1.02	—	—	—	—	5.94	4.26
—28	4.35	4.70	3.19	2.10	1.28	—	—	—	—	—	1.98	4.26
—29	7.61	5.88	5.32	2.10	—	—	—	—	—	1.02	—	4.26
—30	6.52	7.06	4.26	6.32	—	—	—	—	—	1.02	0.99	7.45
—31	2.22	7.06	5.32	1.05	—	—	—	—	—	—	1.98	4.26
—32	1.11	1.18	1.06	—	—	—	—	—	—	—	1.98	2.13
—33	2.22	1.18	1.06	—	—	—	—	—	—	—	—	—
—34	—	3.59	1.06	2.10	—	—	—	—	—	—	—	2.13
—35	1.11	1.18	2.13	—	—	—	—	—	—	—	—	—
—36	—	1.18	—	—	—	—	—	—	—	—	—	1.06
—37	—	1.18	—	—	—	—	—	—	—	—	—	1.06
—38	—	1.18	1.06	—	—	—	—	—	—	—	—	1.06
—39	—	—	—	—	—	—	—	—	—	—	—	—
—40	—	—	—	—	—	—	—	—	—	—	—	—
—41	—	1.18	—	—	—	—	—	—	—	—	—	—

Tabelle 4 — 300 mb

—27	—	—	—	—	—	—	—	0.95	—	—	—	—
—28	—	—	—	—	—	—	—	—	—	—	—	—
—29	—	—	—	—	—	—	—	—	—	—	—	—
—30	—	—	—	—	—	—	—	—	—	—	—	—
—31	—	—	—	—	—	—	1.01	—	—	—	—	—
—32	—	—	—	—	—	1.05	—	0.95	0.97	—	—	—
—33	—	—	—	—	—	—	4.04	—	—	—	—	—
—34	—	—	—	—	—	1.05	2.02	8.57	5.82	2.15	—	—
—35	—	—	—	—	—	—	11.11	6.67	4.85	—	—	—
—36	—	—	—	—	—	3.16	6.06	5.71	10.68	1.07	—	—
—37	—	—	—	1.07	—	3.16	12.12	9.52	5.82	2.15	—	—
—38	—	—	—	—	—	2.10	9.09	7.62	5.82	4.30	—	1.14
—39	1.14	1.33	—	2.15	1.33	14.74	10.10	6.67	13.59	2.15	2.08	—
—40	1.14	—	—	1.07	2.67	8.42	12.12	12.38	11.85	8.60	2.08	1.14
—41	1.14	—	—	5.38	4.00	13.68	13.13	12.38	10.68	10.76	2.08	3.41
—42	1.14	1.33	—	1.07	10.67	15.79	5.05	10.48	6.79	9.68	7.29	6.82
—43	1.14	1.33	1.30	8.60	6.67	11.58	3.03	7.62	8.74	13.98	8.33	5.68
—44	6.82	4.00	2.60	8.60	5.33	5.26	5.05	5.71	4.85	12.90	10.42	5.68
—45	5.68	6.67	3.90	9.68	13.33	6.32	3.03	0.95	4.85	3.22	7.29	7.95
—46	12.50	6.67	5.19	11.83	6.67	5.26	2.02	1.90	0.97	5.38	11.46	5.68
—47	9.09	13.33	10.39	6.45	10.67	1.05	1.01	0.96	0.97	5.38	8.33	5.68
—48	14.77	8.00	10.39	13.98	5.33	2.10	—	—	0.97	4.30	7.29	10.23
—49	6.82	6.67	10.39	8.60	2.67	1.05	—	0.95	—	1.07	7.29	6.82
—50	7.95	6.67	14.28	6.45	6.67	2.10	—	—	0.97	6.45	11.46	4.55
—51	7.95	6.67	6.49	3.22	9.33	1.05	—	—	—	4.30	4.16	6.82
—52	4.55	4.00	6.49	5.38	8.00	—	—	—	—	—	5.20	6.82
—53	1.14	9.33	5.19	4.30	2.67	—	—	—	0.97	1.07	3.12	4.55
—54	3.41	6.67	6.49	2.15	1.33	1.05	—	—	—	1.07	—	4.55
—55	3.41	8.00	7.79	—	1.33	—	—	—	—	—	2.08	6.82
—56	2.27	6.67	2.60	—	—	—	—	—	—	—	—	2.27
—57	—	2.67	5.19	—	—	—	—	—	—	—	—	2.27
—58	6.82	—	—	—	1.33	—	—	—	—	—	—	—
—59	—	—	—	—	—	—	—	—	—	—	—	1.14
—60	—	—	1.30	—	—	—	—	—	—	—	—	—
—61	1.14	—	—	—	—	—	—	—	—	—	—	—

Prozentuale Wahrscheinlichkeit der Temperaturen 1948-1951 06.00 h MEZ

Temp. C°	Januar	Februar	März	April	Mai	Juni	Juli	August	September	Oktober	November	Dezember
Tabelle 5						**200 mb**						
—37	—	—	—	4.08	—	—	—	—	—	—	—	—
—38	—	—	—	—	—	—	—	—	—	—	—	—
—39	—	—	—	—	—	—	—	1.16	—	—	—	—
—40	—	—	—	2.04	—	—	—	—	—	—	—	1.43
—41	—	—	—	2.04	—	—	—	—	—	—	—	—
—42	—	—	—	—	—	1.54	1.64	—	—	—	—	1.43
—43	—	—	—	—	—	—	4.92	1.16	1.33	—	—	—
—44	—	—	—	4.08	—	1.54	—	2.33	—	—	—	1.43
—45	—	2.56	—	2.04	—	1.54	4.92	1.16	1.33	—	—	1.43
—46	2.38	—	—	4.08	5.40	1.54	3.28	3.49	—	1.67	1.43	1.43
—47	7.14	2.56	6.25	8.16	2.70	—	1.64	1.16	—	1.67	2.86	—
—48	—	2.56	2.08	10.21	2.70	1.54	8.20	3.49	1.33	—	2.86	2.86
—49	—	2.56	2.08	8.16	2.70	3.08	4.92	5.81	2.67	3.33	2.86	1.43
—50	2.38	15.38	2.08	4.08	5.40	3.08	6.56	4.65	1.33	6.66	4.28	1.43
—51	7.14	5.13	4.17	2.04	13.50	4.61	9.34	5.81	1.33	5.00	4.28	2.86
—52	—	5.13	6.25	2.04	2.70	7.69	4.92	11.63	8.00	3.33	8.57	5.71
—53	7.14	2.56	6.25	4.08	5.40	4.61	4.92	9.30	9.33	5.00	5.00	4.28
—54	7.14	7.69	10.42	—	2.70	7.69	8.20	10.46	6.67	3.33	5.71	5.71
—55	2.38	—	8.33	6.12	13.51	3.08	6.56	4.65	13.33	3.33	2.86	1.43
—56	11.90	5.13	6.25	4.08	5.40	12.31	9.84	6.98	10.67	10.00	2.86	11.43
—57	7.14	10.26	4.17	—	13.51	6.15	9.84	5.81	9.33	1.67	11.43	5.71
—58	—	—	6.25	2.04	2.70	7.69	3.28	8.14	12.00	5.00	7.14	5.71
—59	2.38	5.13	6.25	10.21	2.70	15.38	3.28	4.65	8.00	10.00	11.43	8.57
—60	4.76	12.82	6.25	6.12	5.40	9.23	—	3.49	6.67	6.66	4.28	2.86
—61	7.14	—	4.17	8.16	5.40	3.08	1.64	2.33	2.67	10.00	2.86	2.86
—62	4.76	5.13	6.25	—	2.70	3.08	—	1.16	—	10.00	5.71	2.86
—63	4.76	—	4.17	4.08	—	1.54	1.64	—	—	6.66	2.86	4.28
—64	7.14	10.26	8.33	2.04	—	—	—	1.16	—	3.33	2.86	8.57
—65	—	2.56	2.08	—	5.40	—	—	—	1.33	—	5.71	1.43
—66	4.76	—	—	—	—	—	—	—	1.33	—	—	4.28
—67	4.76	—	—	—	—	—	—	—	1.33	1.67	—	7.14
—68	—	—	—	—	—	—	—	—	—	1.67	1.43	1.43
—69	—	2.56	—	—	—	—	—	—	—	—	—	—
—70	2.38	—	—	—	—	—	—	—	—	—	1.43	—
—71	2.38	—	—	—	—	—	—	—	—	—	—	—

Monatsmittel der Jahre 1948-1951

Monat	0.493	1	2	3	4	5	6	7	8	9	10	11	12 km
Tabelle 6						**Dichte gr/m³**							
1	1227	1150	1025	920	826	739	662	593	526	467	411	356	307
2	1230	1154	1035	927	830	746	666	596	530	464	404	352	300
3	1223	1147	1028	924	826	743	666	596	530	471	411	356	307
4	1199	1129	1018	917	823	739	662	593	526	467	411	352	303
5	1182	1116	1007	910	816	736	659	589	530	471	415	363	310
6	1171	1109	1000	906	816	732	655	589	526	471	415	370	321
7	1168	1102	997	899	809	729	652	586	523	471	418	370	324
8	1171	1105	997	899	809	725	652	586	523	471	418	370	321
9	1178	1109	997	899	809	729	652	586	526	471	418	370	324
10	1196	1126	1011	906	816	732	659	589	526	471	418	366	321
11	1210	1136	1018	917	823	736	659	589	526	467	411	359	307
12	1227	1154	1025	920	826	739	666	593	530	467	411	356	307
I—12	1199	1129	1011	910	819	736	659	593	526	467	415	363	310

Klima der freien Atmosphäre

Bearbeitung der Radiosondierungen der aerologischen Station Payerne 1952

von

P. Ackermann

Einleitung

1. Mit dem Jahre 1952 wurden die täglichen Sondierungen der aerologischen Station der MZA auf 1500 MEZ verlegt. Gleichzeitig wurden die regelmäßigen Windmessungen mit dem Radiotheodolit «Metox» eingeführt.

2. Das benützte Sondenmodell blieb gegenüber 1948 bis 1951 unverändert. Es wurde lediglich ein neuer Sondensender, dem Frequenzbereich des Radiotheodolits entsprechend, eingebaut.

3. Die Durchführung der Sondierungen um 1500 MEZ hatte zur Folge, daß bei den Messungen nicht mehr wie 1948 bis 1951 Bodeninversionen, sondern sehr viele überhitzte Bodenschichten erfaßt wurden.

Beschreibung der Figuren

Fig. 1 gibt einen Vergleich des Jahresmittels von Temperatur und Druck mit dem Mittel der Periode 1948 bis 1951. Es sei daran erinnert, daß die Sondierungen 1952 um 1500 MEZ durchgeführt wurden gegenüber 0600 MEZ der vorhergehenden Jahre. Darin liegt die große Temperaturdifferenz der Bodenluftschicht begründet.

Es zeigt sich, daß die Mitteltemperaturen 1952 kälter sind als diejenige der Jahre 1948 bis 1951. Der mittlere Druck entspricht demjenigen des Jahres 1950.

Da es sich bei den Höhenwindmessungen um die ersten schweizerischen regelmäßigen Messungen über ein ganzes Jahr handelt, werden sie in den nachstehenden Figuren etwas eingehender behandelt. Die Resultate sollen nach einer vierjährigen Meßperiode überprüft werden.

In Fig. 2 wurde die mittlere Windgeschwindigkeit, unabhängig von der Windrichtung, mit Einschluß der Calmen, für die Standardniveaus aufgetragen. Die Druckniveaus wurden dabei in der Ordinate so aufgetragen, daß sie ungefähr den ihnen zukommenden Höhen über Meer entsprechen.

Fig. 3 zeigt die prozentuale Häufigkeit der Windgeschwindigkeit für die fünf Standardniveaus.

Fig. 4 enthält die prozentuale Häufigkeit des Auftretens der Windrichtungen und Figuren 5a und 5b die mittleren Windgeschwindigkeiten für die entsprechenden Windrichtungen. Die Calmen sind dabei nicht mitgerechnet.

Beschreibung der Tabellen

Die Tabellen 1952/1 und 1952/2 geben die Monats- und Jahresmittelwerte von Druck und Temperatur in Funktion der Höhe. Die Tabellen 1952/3—7 zeigen die Monats- und Jahresmittel sowie die Extremwerte von Temperatur und Höhe für die Standarddruckniveaus 850, 700, 500, 300 und 200 mb.

Die Anzahl des Auftretens der relativen Feuchtigkeitsintervalle im Jahre 1952 sind in Tabellen 8 a—c für die drei Druckniveaus 850, 700 und 500 mb dargestellt. Die Tabellen 1952/9—13 stellen die Häufigkeit des Auftretens bestimmter Temperaturen für die Standardniveaus dar.

Die Resultate der Windmessungen sind ebenfalls für die Standardniveaus in den Tabellen 1952/14—18 dargelegt.

Fig. 1

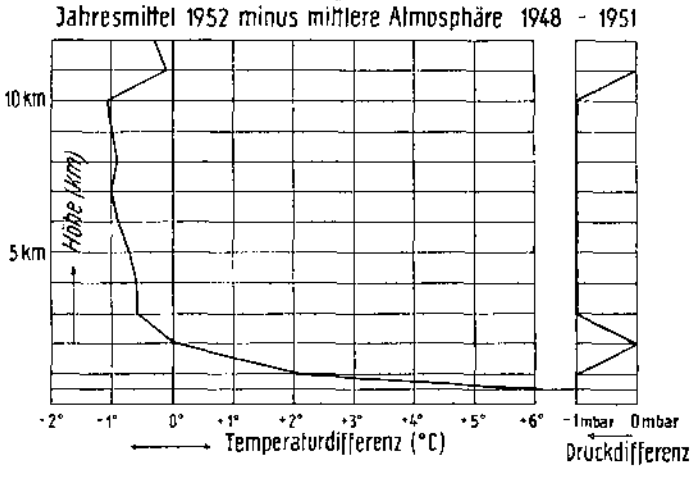

Fig. 2

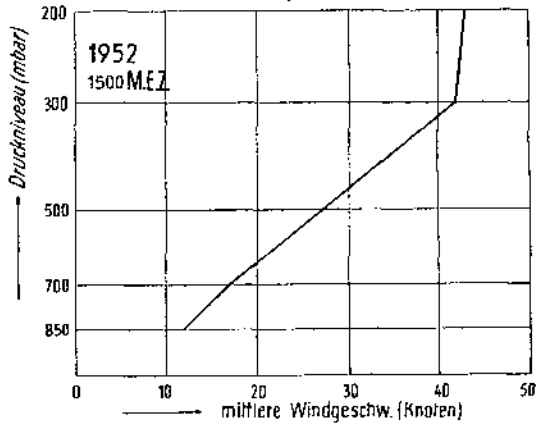

1952 1500 M.E.Z. Fig. 3

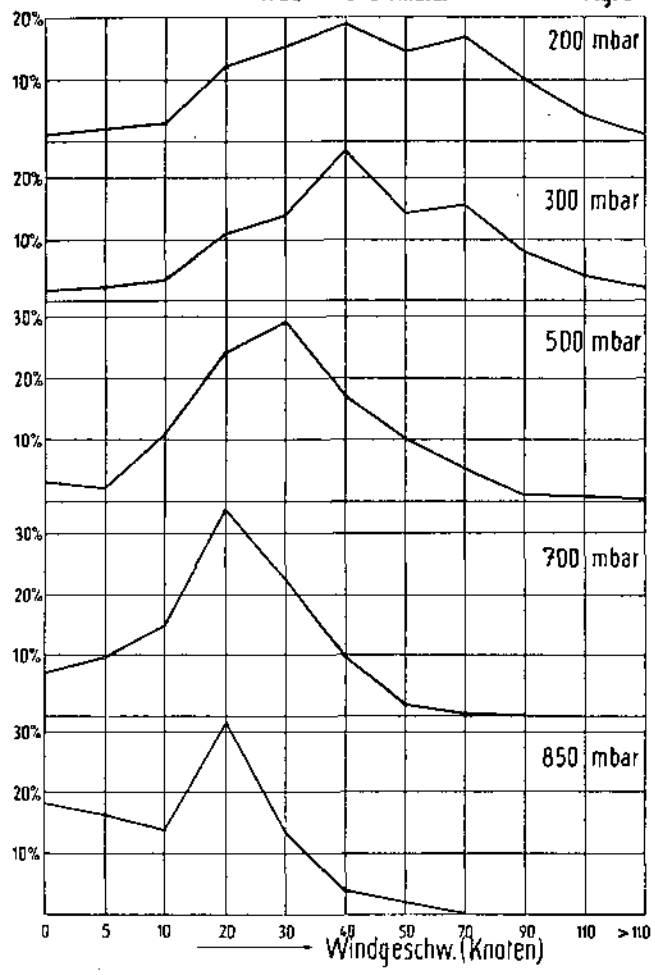

1952 1500 M.E.Z. Fig. 4

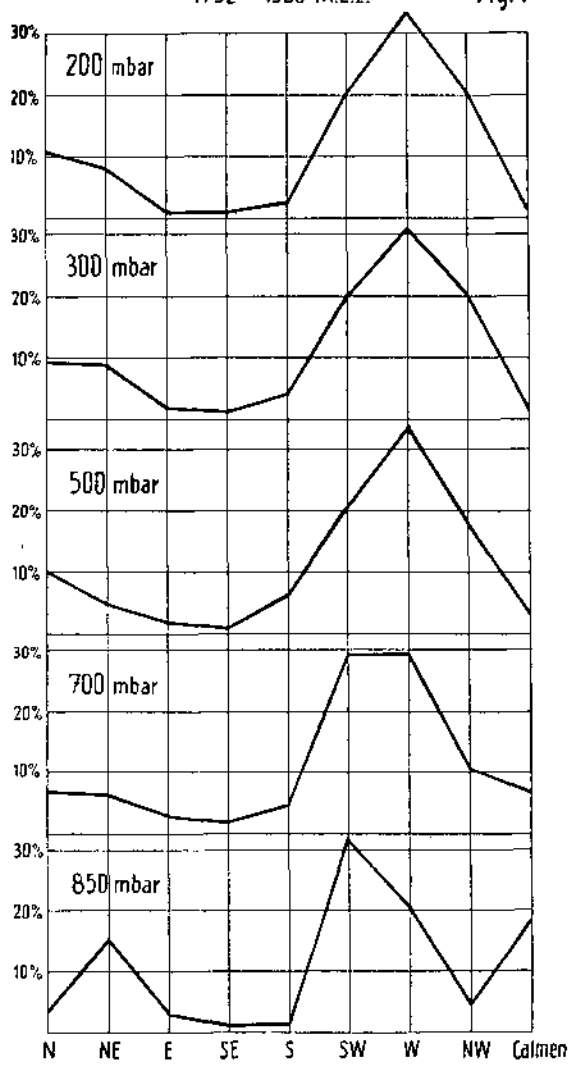

Fig. 5 a

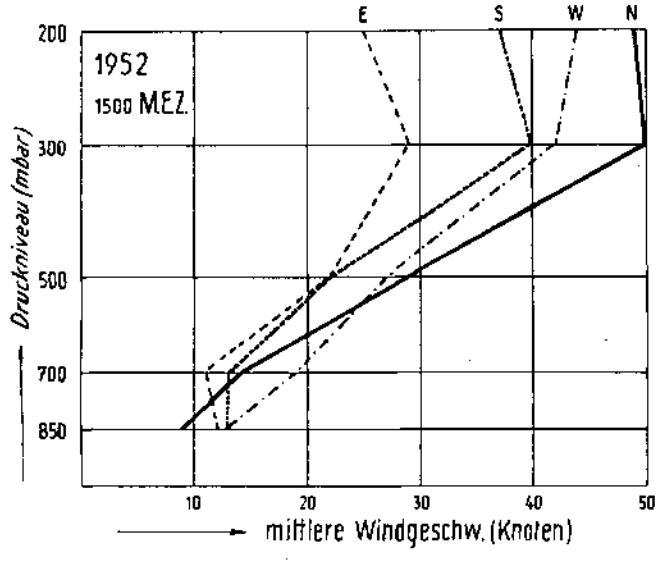

Fig. 5 b

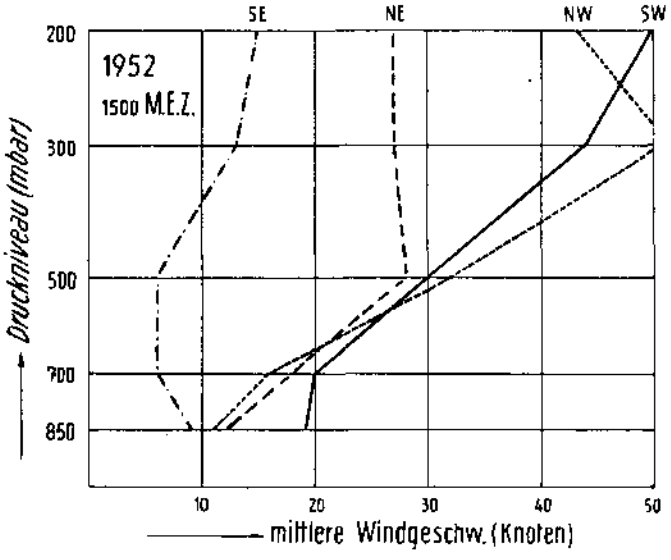

Tabelle 1952/1

Mittlere Temperatur C°

Monat	0.493	1	2	3	4	5	6	7	8	9	10	11	12	13 km
1	—0.1	—1.6	—6.5	—12.5	—18.8	—25.0	—32.3	—39.6	—45.8	—52.9	—56.1	—56.7	—56.6	—
2	0.4	—2.4	—6.4	—12.3	—17.9	—24.0	—30.9	—38.1	—44.6	—50.6	—55.2	—59.5	—60.1	—
3	7.9	3.5	—3.0	—8.5	—13.8	—20.0	—26.6	—33.8	—40.8	—47.6	—54.5	—57.6	—58.3	—54.9
4	14.7	9.2	1.9	—4.2	—10.2	—16.3	—23.2	—31.1	—38.7	—46.0	—52.6	—57.0	—55.1	—
5	18.5	13.4	4.7	—3.9	—8.3	—14.3	—20.8	—28.5	—36.1	—43.7	—50.0	—55.8	—59.1	—
6	22.0	16.6	8.5	2.3	—3.8	—9.5	—15.9	—22.9	—30.6	—38.3	—46.0	—53.5	—56.5	—56.1
7	26.2	20.3	11.1	4.7	—1.8	—8.1	—14.4	—21.0	—28.4	—36.2	—43.9	—49.7	—54.1	—
8	24.1	18.8	11.0	5.4	—2.6	—8.8	—14.6	—20.9	—27.8	—35.2	—42.5	—48.4	—52.4	—
9	14.5	9.8	2.9	—3.0	—7.9	—13.4	—19.7	—26.0	—32.6	—39.0	—44.8	—49.1	—52.1	—
10	10.8	7.3	1.6	—3.6	—9.1	—14.9	—21.2	—27.9	—34.2	—40.9	—46.6	—50.6	—53.2	—
11	4.3	1.3	—4.2	—10.1	—15.9	—22.3	—29.3	—36.2	—42.3	—47.6	—51.4	—52.7	—53.0	—
12	0.9	—2.1	—4.6	—10.6	—16.5	—23.4	—30.9	—38.5	—45.7	—51.7	—55.3	—56.8	—56.6	—
1—12	12.0	7.8	1.4	—4.7	—10.5	—16.6	—23.3	—30.4	—37.3	—44.1	—49.9	—54.0	—55.6	—

Tabelle 1952/2

Mittlerer Druck mb

Monat	0.493	1	2	3	4	5	6	7	8	9	10	11	12	13 km
1	956	897	790	694	608	530	461	399	344	295	252	215	183	—
2	959	900	793	696	610	532	463	401	346	298	255	218	186	—
3	954	897	792	697	612	535	467	406	351	302	259	221	189	162
4	958	902	798	704	619	543	474	413	358	308	264	226	191	—
5	959	903	801	707	622	546	478	417	362	313	268	230	196	—
6	962	906	805	712	628	553	485	424	369	321	276	237	203	174
7	961	906	805	713	630	555	487	426	372	323	278	240	206	—
8	958	904	803	711	628	553	485	424	370	321	278	240	205	—
9	958	902	799	705	620	545	477	416	362	314	270	233	200	—
10	958	901	797	703	618	543	475	414	360	311	268	230	198	—
11	955	897	791	695	610	533	465	403	348	300	257	220	188	—
12	956	897	791	695	607	532	464	401	346	298	255	217	188	—
1—12	958	901	797	702	617	541	473	412	357	308	265	227	194	—

Tabelle 1952/3

850 mb

Monat	$\overline{T}$ C°	Tmin C°	Tmax C°	$\overline{H}$ Meter	Hmin Meter	Hmax Meter
1	—3.6	—12.6	8.5	1425	1280	1650
2	—3.9	—9.3	4.7	1451	1260	1568
3	0.8	—5.0	7.4	1434	1210	1506
4	5.5	—8.0	11.8	1492	1263	1570
5	8.8	2.7	14.9	1514	1415	1590
6	11.9	6.4	20.0	1550	1510	1640
7	15.1	6.4	24.0	1554	1515	1620
8	14.4	5.2	21.1	1533	1390	1590
9	6.1	0.7	13.0	1492	1390	1580
10	4.7	—1.6	10.5	1485	1400	1560
11	—1.1	—6.7	6.0	1430	1330	1550
12	—2.6	—11.3	5.7	1432	1290	1530
1—12	4.6	—12.6	24.0	1482	1210	1650

Tabelle 1952/4

700 mb

Monat	$\overline{T}$ C°	Tmin C°	Tmax C°	$\overline{H}$ Meter	Hmin Meter	Hmax Meter
1	—11.8	—18.5	—1.7	2930	2795	3200
2	—11.9	—20.8	—4.7	2957	2759	3095
3	—8.1	—16.1	—3.5	2964	2800	3045
4	—4.5	—17.2	1.3	3046	2812	3145
5	—3.0	—7.9	1.1	3080	2985	3135
6	1.3	—4.1	9.9	3140	3090	3280
7	3.7	—2.5	10.6	3158	3000	3270
8	2.9	—3.9	10.1	3132	2960	3210
9	—3.2	—11.7	4.8	3051	2930	3190
10	—3.7	—12.8	2.1	3039	2945	3150
11	—9.8	—17.6	—3.5	2951	2870	3100
12	—10.3	—18.3	—2.2	2949	2780	3080
1—12	—4.8	—20.8	10.6	3033	2759	3280

Tabelle 1952/5

500 mb

Monat	$\overline{T}$ C°	Tmin C°	Tmax C°	$\overline{H}$ Meter	Hmin Meter	Hmax Meter
1	—28.4	—37.8	—18.4	5425	5250	5770
2	—27.3	—39.0	—19.6	5455	5240	5640
3	—23.0	—30.1	—18.1	5503	5350	5610
4	—20.4	—29.3	—15.7	5615	5360	5740
5	—18.4	—23.6	—13.8	5662	5500	5750
6	—14.3	—18.7	—9.8	5770	5680	5960
7	—13.1	—19.7	—8.9	5800	5975	5730
8	—13.1	—21.1	—8.1	5776	5640	5880
9	—17.5	—24.3	—9.6	5652	5470	5870
10	—18.8	—31.4	—11.3	5625	5450	5770
11	—25.3	—35.8	—17.0	5471	5330	5670
12	—26.7	—38.3	—19.2	5458	5190	5630
1—12	—20.5	—39.0	—8.1	5601	5190	5960

Tabelle 1952/6

300 mb

Monat	$\overline{T}$ C°	Tmin C°	Tmax C°	$\overline{H}$ Meter	Hmin Meter	Hmax Meter
1	—53.0	—57.7	—45.3	8900	8610	9310
2	—50.8	—61.3	—45.1	8970	8680	9180
3	—48.0	—55.9	—43.0	9050	8840	9200
4	—47.5	—56.3	—39.3	9195	8820	9380
5	—45.9	—50.2	—39.5	9270	9050	9400
6	—41.7	—49.2	—37.9	9440	9270	9670
7	—40.1	—45.8	—35.0	9490	9275	9660
8	—38.7	—46.3	—30.5	9476	9160	9680
9	—41.2	—47.7	—38.7	9301	9050	9640
10	—42.7	—50.2	—34.1	9245	8910	9480
11	—48.2	—56.5	—38.7	8994	8720	9270
12	—51.7	—61.1	—43.4	8936	8510	9220
1—12	—45.8	—61.3	—30.5	9187	8510	9680

Tabelle 1952/7

200 mb

Monat	$\overline{T}$ C°	Tmin C°	Tmax C°	$\overline{H}$ Meter	Hmin Meter	Hmax Meter
1	—56.9	—64.0	—46.2	11435	11160	11900
2	—59.8	—67.2	—44.5	11545	11280	11750
3	—57.9	—65.8	—51.0	11635	11500	11790
4	—57.5	—66.3	—46.1	11725	11420	11870
5	—58.8	—68.0	—51.2	11900	11795	12020
6	—57.1	—62.5	—51.1	12080	11900	12350
7	—54.7	—61.0	—45.0	12190	11900	12440
8	—53.2	—61.1	—44.8	12155	11870	12440
9	—51.6	—58.6	—42.5	11975	11790	12360
10	—52.7	—62.1	—44.0	11914	11600	12150
11	—53.3	—67.0	—45.5	11620	11400	11890
12	—56.9	—67.3	—47.0	11516	11050	11790
1—12	—55.8	—68.0	—42.5	11807	11050	12440

Tabelle 1952/8a

850 mb

Monat	Relative Feuchtigkeit in Prozenten 100	95-99	90-94	80-89	70-79	50-69	30-49	<30	Anzahl Messungen
1	9	3	—	3	2	4	3	—	24
2	6	5	—	2	1	7	2	1	24
3	7	3	3	2	4	6	1	—	26
4	5	1	—	2	2	6	10	—	26
5	—	—	1	—	3	19	4	—	27
6	—	—	1	5	5	12	2	—	25
7	1	2	—	2	—	10	9	3	27
8	1	—	—	3	1	9	10	2	26
9	1	3	3	5	9	3	1	—	25
10	5	4	2	6	3	3	2	—	25
11	11	4	1	3	1	4	1	—	25
12	9	5	3	2	1	5	—	1	26
1—12	55	30	14	35	32	88	45	7	306

Tabelle 1952/8b

700 mb

Monat	Relative Feuchtigkeit in Prozenten 100	95-99	90-94	80-89	70-79	50-69	30-49	<30	Anzahl Messungen
1	8	3	—	—	3	4	3	3	24
2	8	3	1	—	1	4	4	3	24
3	11	3	—	3	1	2	3	3	26
4	4	—	—	2	1	8	8	3	26
5	2	—	1	5	2	6	10	1	27
6	2	1	4	2	3	4	7	2	25
7	2	—	—	1	3	7	12	2	27
8	2	1	1	1	4	6	10	1	26
9	7	1	3	3	1	5	4	1	25
10	10	1	2	2	—	2	5	3	25
11	13	3	—	—	—	4	4	1	25
12	9	2	—	2	1	3	5	4	26
1—12	78	18	12	21	20	55	75	27	306

Tabelle 1952/8c

500 mb

Monat	Relative Feuchtigkeit in Prozenten 100	95-99	90-94	80-89	70-79	50-69	30-49	<30	Anzahl Messungen
1	2	2	2	1	1	4	7	5	24
2	4	2	2	—	1	5	7	3	24
3	1	1	4	3	4	3	9	1	26
4	2	—	—	6	—	2	12	4	26
5	1	—	—	3	4	3	11	5	27
6	2	2	—	—	1	7	9	4	25
7	1	1	—	1	1	3	16	4	27
8	2	1	1	1	3	3	7	8	26
9	2	—	1	4	1	4	4	9	25
10	5	2	1	2	2	2	5	6	25
11	4	2	5	2	2	3	3	4	25
12	4	1	3	5	1	4	5	3	26
1—12	30	14	19	28	21	43	95	56	306

Tabelle 1952/9

15.00 h MEZ — 850 mb

C° Monat	1	2	3	4	5	6	7	8	9	10	11	12
24	—	—	—	—	—	—	1	—	—	—	—	—
23	—	—	—	—	—	—	2	—	—	—	—	—
22	—	—	—	—	—	—	1	—	—	—	—	—
21	—	—	—	—	—	—	2	2	—	—	—	—
20	—	—	—	—	—	1	—	1	—	—	—	—
19	—	—	—	—	—	—	—	1	—	—	—	—
18	—	—	—	—	—	—	1	3	—	—	—	—
17	—	—	—	—	—	—	3	3	—	—	—	—
16	—	—	—	—	—	2	2	3	—	—	—	—
15	—	—	—	—	1	1	1	1	—	—	—	—
14	—	—	—	—	—	4	3	2	—	—	—	—
13	—	—	—	—	1	4	3	2	1	—	—	—
12	—	—	—	1	2	3	4	1	2	—	—	—
11	—	—	—	5	5	1	—	5	1	2	—	—
10	—	—	—	4	1	1	1	—	3	—	—	—
9	—	—	—	2	6	5	—	1	—	1	—	—
8	1	—	—	1	4	1	1	—	1	2	—	—
7	—	—	1	2	1	1	1	1	2	5	—	—
6	—	—	—	—	3	1	1	—	2	3	2	1
5	—	1	1	1	—	—	—	1	3	2	3	—
4	1	1	1	1	2	—	—	—	4	3	—	—
3	—	—	2	1	1	—	—	—	2	2	—	1
2	—	2	5	3	—	—	—	—	2	1	—	3
1	1	2	5	—	—	—	—	—	2	3	2	1
0	2	3	3	—	—	—	—	—	—	—	—	1
—1	4	—	4	—	—	—	—	—	—	2	7	3
—2	—	—	1	1	—	—	—	—	—	1	2	3
—3	5	—	2	2	—	—	—	—	—	—	3	2
—4	2	1	—	—	—	—	—	—	—	—	—	3
—5	2	2	1	—	—	—	—	—	—	—	2	2
—6	1	2	—	1	—	—	—	—	—	—	2	—
—7	2	1	—	—	—	—	—	—	—	—	2	4
—8	1	5	—	1	—	—	—	—	—	—	—	—
—9	2	4	—	—	—	—	—	—	—	—	—	—
—10	—	—	—	—	—	—	—	—	—	—	—	1
—11	—	—	—	—	—	—	—	—	—	—	—	1
—12	—	—	—	—	—	—	—	—	—	—	—	—
—13	1	—	—	—	—	—	—	—	—	—	—	—
Total	24	24	26	26	27	25	27	26	25	27	25	26

Tabelle 1952/10

15.00 h MEZ — 700 mb

C° Monat	1	2	3	4	5	6	7	8	9	10	11	12
11	—	—	—	—	—	—	1	—	—	—	—	—
10	—	—	—	—	—	1	—	1	—	—	—	—
9	—	—	—	—	—	—	2	—	—	—	—	—
8	—	—	—	—	—	—	1	1	—	—	—	—
7	—	—	—	—	—	—	2	1	—	—	—	—
6	—	—	—	—	—	1	1	2	—	—	—	—
5	—	—	—	—	—	—	3	3	1	—	—	—
4	—	—	—	—	—	2	3	5	—	—	—	—
3	—	—	—	—	—	5	4	3	2	—	—	—
2	—	—	—	—	—	2	3	3	2	2	—	—
1	—	—	—	1	3	5	4	2	1	3	—	—
0	—	—	—	1	1	1	1	2	1	2	—	—
—1	—	—	—	3	1	3	—	—	1	2	—	—
—2	2	—	—	3	4	3	1	1	2	4	—	1
—3	1	—	—	7	5	1	1	1	2	3	1	—
—4	—	—	3	2	9	1	—	1	5	1	3	—
—5	—	2	2	2	1	—	—	—	1	2	1	2
—6	—	3	3	1	1	—	—	—	—	—	2	1
—7	—	2	2	—	1	—	—	—	1	1	—	3
—8	1	2	2	2	1	—	—	—	2	2	1	3
—9	1	—	4	1	—	—	—	—	3	1	4	—
—10	4	1	7	1	—	—	—	—	—	2	4	3
—11	2	—	2	—	—	—	—	—	—	1	1	2
—12	4	4	—	1	—	—	—	—	1	—	—	4
—13	1	1	—	—	—	—	—	—	—	1	2	2
—14	3	—	—	—	—	—	—	—	—	—	1	2
—15	—	3	—	—	—	—	—	—	—	—	2	—
—16	1	1	1	—	—	—	—	—	—	—	2	1
—17	3	1	—	1	—	—	—	—	—	—	—	—
—18	1	—	—	—	—	—	—	—	—	—	1	2
—19	1	2	—	—	—	—	—	—	—	—	—	—
—20	—	1	—	—	—	—	—	—	—	—	—	—
—21	—	1	—	—	—	—	—	—	—	—	—	—
Total	25	24	26	26	27	25	27	26	25	27	25	26

Tabelle 1952/11

15.00 h MEZ — 500 mb

C° Monat	1	2	3	4	5	6	7	8	9	10	11	12
—8	—	—	—	—	—	—	—	1	—	—	—	—
—9	—	—	—	—	—	—	1	—	—	—	—	—
—10	—	—	—	—	—	2	1	4	1	—	—	—
—11	—	—	—	—	—	—	5	3	2	1	—	—
—12	—	—	—	—	—	4	4	2	—	—	—	—
—13	—	—	—	—	—	5	6	6	1	2	—	—
—14	—	—	—	—	1	1	5	4	4	3	—	—
—15	—	—	—	—	4	4	1	2	—	1	—	—
—16	—	—	—	1	2	4	1	2	1	2	—	—
—17	—	—	—	1	4	3	1	—	1	3	1	—
—18	1	—	1	6	3	1	1	—	3	3	1	—
—19	1	—	4	5	5	1	—	—	4	3	—	1
—20	—	2	3	2	2	—	1	1	—	1	4	1
—21	1	1	2	6	2	—	—	1	5	1	3	1
—22	2	1	1	—	1	—	—	—	—	1	1	3
—23	—	3	3	1	1	—	—	—	1	1	2	—
—24	2	1	2	1	1	—	—	—	2	1	—	2
—25	1	3	3	—	1	—	—	—	—	—	1	1
—26	1	—	3	1	—	—	—	—	—	2	2	3
—27	2	1	2	1	—	—	—	—	—	—	2	4
—28	1	2	1	—	—	—	—	—	—	—	—	1
—29	1	2	—	1	—	—	—	—	—	1	—	3
—30	5	2	1	—	—	—	—	—	—	—	2	4
—31	2	3	—	—	—	—	—	—	—	1	3	—
—32	—	—	—	—	—	—	—	—	—	—	—	—
—33	—	1	—	—	—	—	—	—	—	—	1	—
—34	1	—	—	—	—	—	—	—	—	—	1	—
—35	—	—	—	—	—	—	—	—	—	—	—	—
—36	3	—	—	—	—	—	—	—	—	—	1	1
—37	—	1	—	—	—	—	—	—	—	—	—	—
—38	1	—	—	—	—	—	—	—	—	—	—	1
—39	—	1	—	—	—	—	—	—	—	—	—	—
Total	25	24	26	26	27	25	27	26	25	27	25	26

Tabelle 1952/12

15.00 h MEZ — 300 mb

C° Monat	1	2	3	4	5	6	7	8	9	10	11	12
—31	—	—	—	—	—	—	—	2	—	—	—	—
—32	—	—	—	—	—	—	—	—	—	—	—	—
—33	—	—	—	—	—	—	—	—	—	—	—	—
—34	—	—	—	—	—	—	—	—	1	—	—	—
—35	—	—	—	—	—	—	1	—	1	1	—	—
—36	—	—	—	—	—	—	2	2	—	1	—	—
—37	—	—	—	—	—	—	2	3	—	1	—	—
—38	—	—	—	—	—	3	2	5	—	1	—	—
—39	—	—	—	1	—	3	2	2	3	4	1	—
—40	—	—	—	—	1	5	2	4	4	2	—	—
—41	—	—	—	1	—	2	7	4	2	2	1	—
—42	—	—	—	—	2	2	3	2	6	—	—	—
—43	—	—	2	1	2	3	3	—	4	2	—	2
—44	—	—	2	—	—	2	1	1	3	2	—	1
—45	3	1	3	3	8	2	—	—	—	3	1	—
—46	—	2	3	2	3	1	1	1	—	1	3	—
—47	—	3	2	3	3	—	—	—	—	2	1	1
—48	3	1	4	5	2	1	—	—	1	3	5	1
—49	1	2	2	4	3	1	—	—	—	1	4	1
—50	1	2	2	2	3	—	—	—	—	1	4	1
—51	1	3	2	2	—	—	—	—	—	—	3	4
—52	1	1	2	—	—	—	—	—	—	—	1	4
—53	4	1	1	1	—	—	—	—	—	—	—	1
—54	1	3	—	—	—	—	—	—	—	—	—	5
—55	3	2	—	—	—	—	—	—	—	—	—	—
—56	—	1	1	1	—	—	—	—	—	—	—	—
—57	3	—	—	—	—	—	—	—	—	—	1	2
—58	2	—	—	—	—	—	—	—	—	—	—	—
—59	2	—	—	—	—	—	—	—	—	—	—	1
—60	—	—	—	—	—	—	—	—	—	—	—	—
—61	—	1	—	—	—	—	—	—	—	—	—	1
Total	25	23	26	26	27	25	26	26	25	27	25	25

Tabelle 1952/13

15.00 h MEZ — 200 mb

C° Monat	1	2	3	4	5	6	7	8	9	10	11	12
—43	—	—	—	—	—	—	—	—	2	—	—	—
—44	—	—	—	—	—	—	—	—	1	—	—	—
—45	—	2	—	—	—	—	1	1	1	1	—	—
—46	1	2	—	1	—	—	—	1	—	3	3	—
—47	1	—	—	—	—	—	1	1	1	1	1	1
—48	—	—	1	1	—	—	—	1	—	—	2	—
—49	1	—	—	—	—	—	—	2	3	1	—	—
—50	—	—	—	—	—	—	—	—	1	—	2	1
—51	1	—	3	3	1	1	3	—	2	1	2	1
—52	—	—	—	—	2	1	2	—	1	3	2	—
—53	—	—	1	—	2	1	—	3	2	2	2	2
—54	1	—	1	—	1	1	2	4	1	1	—	2
—55	2	1	2	1	1	4	3	2	2	1	1	2
—56	3	—	4	—	1	1	1	—	2	1	1	2
—57	1	—	—	—	2	3	3	4	—	—	—	—
—58	2	—	1	1	—	1	—	2	1	2	1	5
—59	4	2	2	—	—	1	2	—	1	1	1	—
—60	3	—	1	2	—	3	1	—	—	—	1	2
—61	—	2	1	1	7	2	2	1	—	1	—	2
—62	—	—	3	2	—	1	—	—	—	1	1	1
—63	3	1	1	2	3	1	—	—	—	—	1	—
—64	1	—	1	1	2	—	—	—	—	—	—	—
—65	—	2	1	—	—	—	—	—	1	—	—	1
—66	—	2	2	1	—	—	—	—	—	—	—	—
—67	—	5	—	—	—	—	—	—	—	—	1	1
—68	—	—	—	—	1	—	—	—	—	—	—	—
Total	24	19	21	16	23	21	17	22	22	20	22	23

Tabelle 1952/14

15.00 h MEZ — 850 mb — Windgeschwindigkeit (Knoten)

Windrichtung	0	1—5	6—10	11—20	21—30	31—40	41—50	51—70	71—90	91—110	>110		
N	—	7	1	2	—	1	—	—	—	—	—	11	3.6 %
NE	—	11	11	21	4	—	—	—	—	—	—	47	15.4 %
E	—	3	2	3	—	1	—	—	—	—	—	9	2.9 %
SE	—	1	1	1	—	—	—	—	—	—	—	3	1 %
S	—	2	1	1	—	1	—	—	—	—	—	5	1.6 %
SW	—	11	7	39	28	7	6	—	—	—	—	98	32.1 %
W	—	9	18	25	8	2	—	—	—	—	—	62	20.4 %
NW	—	6	2	4	2	—	—	—	—	—	—	14	4.6 %
Calmen	56	—	—	—	—	—	—	—	—	—	—	56	18.4 %
	56	50	43	96	42	12	6	—	—	—	—	305	
%	18.4	16.4	14.1	31.6	13.7	3.9	1.9	—	—	—	—		100.0 %

Tabelle 1952/15

15.00 h MEZ — 700 mb — Windgeschwindigkeit (Knoten)

Windrichtung	0	1—5	6—10	11—20	21—30	31—40	41—50	51—70	71—90	91—110	>110		
N	—	1	7	11	3	—	—	—	—	—	—	22	7.3 %
NE	—	1	3	9	5	1	1	—	—	—	—	20	6.7 %
E	—	2	2	4	1	—	—	—	—	—	—	9	3.0 %
SE	—	4	—	1	—	—	—	—	—	—	—	5	1.7 %
S	—	1	6	4	3	—	—	—	—	—	—	14	4.7 %
SW	—	5	10	34	22	15	3	—	—	—	—	89	29.7 %
W	—	10	11	31	22	11	3	1	—	—	—	89	29.6 %
NW	—	5	6	9	9	2	—	—	—	—	—	31	10.3 %
Calmen	21	—	—	—	—	—	—	—	—	—	—	21	7.0 %
	21	29	45	103	65	29	7	1	—	—	—	300	
%	7	9.7	15	34.3	21.7	9.7	2.3	0.3	—	—	—		100.0 %

Tabelle 1952/16

15.00 h MEZ — 500 mb — Windgeschwindigkeit (Knoten)

Windrichtung	0	1—5	6—10	11—20	21—30	31—40	41—50	51—70	71—90	91—110	>110		
N	—	1	1	10	6	7	2	2	—	1	—	30	10.0 %
NE	—	—	—	6	6	1	1	—	—	1	—	15	5.0 %
E	—	—	1	2	1	—	1	—	—	—	—	5	1.7 %
SE	—	1	—	2	—	—	—	—	—	—	—	3	1.0 %
S	—	—	3	6	7	1	—	2	—	—	—	19	6.4 %
SW	—	1	3	12	16	16	10	2	—	1	—	61	20.4 %
W	—	3	5	28	32	20	6	6	2	—	—	102	34.1 %
NW	—	1	4	7	20	6	10	4	1	—	1	54	18.1 %
Calmen	10	—	—	—	—	—	—	—	—	—	—	10	3.3 %
	10	7	17	73	88	51	30	16	3	3	1	299	
%	3.3	2.3	5.7	24.5	29.4	17.1	10.0	5.4	1.0	1.0	0.3		100.0 %

Tabelle 1952/17

15.00 h MEZ — 300 mb — Windgeschwindigkeit (Knoten)

Windrichtung	0	1—5	6—10	11—20	21—30	31—40	41—50	51—70	71—90	91—110	>110		
N	—	—	1	1	3	6	5	7	3	1	1	28	9.8 %
NE	—	2	4	5	4	9	—	1	—	—	1	26	9.1 %
E	—	1	1	—	2	1	—	—	1	—	—	6	2.1 %
SE	—	—	1	3	—	—	—	—	—	—	—	4	2.1 %
S	—	—	1	2	2	2	1	2	—	—	1	11	3.8 %
SW	—	—	2	6	6	16	11	11	5	2	—	59	20.6 %
W	—	3	1	10	16	20	14	18	4	3	2	91	31.8 %
NW	—	—	—	5	6	16	9	5	10	5	1	57	20.0 %
Calmen	4	—	—	—	—	—	—	—	—	—	—	4	1.4 %
	4	6	11	32	39	70	40	44	23	11	6	286	
%	1.4	2.1	3.8	11.2	13.6	24.5	14.0	15.4	8.0	3.9	2.1		100.0 %

Tabelle 1952/18

15.00 h MEZ — 200 mb

Windgeschwindigkeit (Knoten)

Windrichtung	0	1—5	6—10	11—20	21—30	31—40	41—50	51—70	71—90	91—110	>110		
N	—	—	1	3	4	3	4	6	4	2	—	27	10.8 %
NE	—	—	2	4	9	3	—	1	1	—	—	20	8.0 %
E	—	1	—	—	1	—	1	—	—	—	—	3	1.2 %
SE	—	—	—	3	—	—	—	—	—	—	—	3	1.2 %
S	—	—	—	2	—	2	—	2	—	—	—	6	2.4 %
SW	—	1	2	2	5	15	5	10	6	5	1	52	20.8 %
W	—	2	—	10	13	16	17	16	7	1	2	84	33.6 %
NW	—	1	3	7	7	8	9	8	7	2	—	52	20.8 %
Calmen	3	—	—	—	—	—	—	—	—	—	—	3	1.2 %
	3	5	8	31	39	47	36	43	25	10	3	250	
%	1.2	2.0	3.2	12.4	15.6	18.8	14.4	17.2	10.0	4.0	1.2		100.0 %

Die Häufigkeitsverteilung der Zürcher Temperatur-Tagesmittel im Zeitraum 1901—1940

von M. Schüepp

Auf die Temperaturverhältnisse in Zürich im Vergleich zu anderen Gegenden der Schweiz brauchen wir hier nicht näher einzugehen, sind sie doch im «Klima der Schweiz»[1] für den Zeitraum 1864—1900 und in beschränktem Umfange im Buch «Wolken, Wind und Wetter»[2] für den Zeitraum 1901—1940 veröffentlicht. Ferner finden wir eine eingehende Darstellung im Heft «Vom Zürcher Klima»[3].

Alle diese Werke enthalten jedoch nur Mittel- und Extremwerte, [3] ferner Häufigkeitsverteilungen für ganze Monate. In der nachfolgenden Tabelle sei als Ergänzung eine ausführliche Häufigkeitsdarstellung nach Normalpentaden für den Zeitraum 1901—1940 gegeben, wie sie für manche Zwecke erwünscht ist. Die Zürcher Temperaturreihe, welche bis auf das Jahr 1864 zurückgeht, basiert im Intervall von 1890—1950 auf einer unveränderten Thermometeraufstellung. Sie ist daher — abgesehen von der zunehmenden Verbauung und «Verasphaltierung» der Umgebung — homogen. Das Jahrzehnt 1941 bis 1950, welches in der Darstellung nicht enthalten ist, zeigt in den Einzelheiten sowie im allgemeinen Temperaturniveau ein wesentlich anderes Bild als der zugrunde gelegte Normalzeitraum 1901—1940. Eine gesonderte Häufigkeitsdarstellung wurde, da es sich um ein verhältnismäßig kurzes Zeitintervall handelt, nicht veröffentlicht, jedoch sind am unteren Rand der Tabelle die Temperatur-Mittelwerte beider Perioden aufgeführt. Die Werte dieser kleinen Tabelle sind über drei Pentaden, die Vorpentade a, die betrachtete Pentade b und die Nachpentade c, nach der Formel $\frac{a+2b+c}{4}$ ausgeglichen. Über den Mittelwerten stehen die ebenfalls ausgeglichenen Medianwerte, d. h. diejenigen Temperaturen, welche den ganzen Schwarm von Einzelwerten in zwei Hälften teilen, indem 50% aller Beobachtungen über diesem Wert, 50% darunter liegen. Wie nachfolgend genauer erläutert wird, gehen diese Medianwerte unmittelbar aus der Häufigkeitsdarstellung hervor, während die Mittelwerte gesondert berechnet werden müssen.

Zur Darstellung der Häufigkeitsverteilung ist zu bemerken, daß Klassen von 1° Breite gebildet wurden, entsprechend der Skala am linken Rand der Tabelle. Zeitlich wurden je fünf Tage, d. h. eine Pentade, zusammengefaßt. In einer einzelnen Pentade sind im allgemeinen 15—25 Temperaturstufen besetzt, eine verhältnismäßig große Zahl, ist doch die Regel, daß bei N Beobachtungen nur etwa $5 \cdot \log N$ Klassen gebildet werden sollen, in unserem Falle bei $N = 200$ also nur etwa 12 Klassen (vgl.[4], S. 13). Wir haben aber bei der ausführlichen Darstellung die Möglichkeit, verschiedenartige Zusammenfassungen vorzunehmen.

Die Pentadeneinteilung, welche erst kürzlich wieder durch die Kommission für Klimatologie der internationalen meteorologischen Organisation (OMM)[5] empfohlen wurde, ergibt mit ihren 73 Pentaden pro Jahr eine genauere und daher vor allem für agrarmeteorologische Zwecke bessere Übersicht als die meist verwendete Unterteilung in ganze Monate. Dabei können wiederum je nach Bedarf sechs Pentaden zu einem 30-Tage-Monat vereinigt werden. Der August erhält als einziger Monat sieben Pentaden, also 35 Tage. Die zeitlichen Verschiebungen gegenüber den normalen Monaten bleiben so unter zwei Tagen; in den meisten Monaten sind es nur null bis ein Tage, so daß der Unterschied im allgemeinen vernachlässigt werden kann.

Die Häufigkeitstabelle enthält keine Frequenzen für die einzelnen Temperaturintervalle, sondern die Anzahl der oberhalb des betreffenden Schwellenwertes liegenden Temperaturen in Prozenten. Dabei ist der an den Rändern der Tabelle angegebene Schwellenwert selbst in dieser Summe mit eingeschlossen. So bedeutet z. B. in der 1. Pentade die Zahl 58,5 beim Schwellenwert 0,0°, daß an 58,5% aller Tage die Temperaturmittel über oder auf der Nullgradgrenze lagen, während 41,5% Tagesmittel unter null Grad aufwiesen. Da eine Pentade in 40 Jahren 200 Tage umfaßt, wurden die Summenwerte der Tabelle auf ½% genau angegeben. Aus der Differenz zweier aufeinanderfolgender Werte, z. B. in der 1. Pentade bei 1,0° Summe = 50%, bei 0,0° Summe = 58,5%, kann sofort geschlossen werden, daß in das Intervall 0,0° bis 0,9° 8,5% (von 200 Einzeltagen), also 17 Tage, fielen. Anderseits erlaubt diese Darstellung sofort einen Überblick über den Medianwert, welcher sich bei 50 % befindet. Ebenso kann der gesamte Schwankungsbereich sofort in einzelne Teile zerlegt werden. Wir können z. B. die Temperaturgrenzen bestimmen, welche 90% aller Beobachtungen umfassen, die symmetrisch zum Medianwert liegen (zwischen den Prozentzahlen 5 und 95%); oder wir können ein beliebiges anderes Intervall herausgreifen, z. B. die Prozentzahlen aller Tage mit Mittelwerten über oder gleich 5° (Pflanzenwachstum) oder unter null Grad (Gefriergefahr).

In der Tabelle wurde ein bestimmtes Intervall durch Fettdruck besonders hervorgehoben, und zwar die Werte zwischen 16 und 84% (genauer 15,9 und 84,1%). Die Wahl dieser Grenzen soll nachfolgend kurz näher begründet werden. Im allgemeinen werden in den klimatologischen Veröffentlichungen die Mittel- und Extremwerte angegeben, um sowohl eine Vergleichsbasis zu den Nachbarstationen zu besitzen (Mittelwert), als auch über die Schwankungsbreite orientiert zu sein (Extremwerte). Für einen genaueren Vergleich ist es jedoch vorteilhaft, weitere statistische Maßzahlen zu besitzen. Besser als nur durch die Extremwerte wird die Schwankungsbreite durch die Streuung σ angegeben, wobei

$$\sigma^2 = \frac{\sum_{i=1}^{N} (x_i - \bar{x})^2}{N}$$

x_i = Einzelwerte; $\bar{x}$ = Arithmetisches Mittel der x_i; N = Anzahl der Einzelwerte.

Als weitere Maßzahlen kommen in Betracht die Schiefe ϱ, wobei mit den gleichen Bezeichnungen ϱ durch die folgende Gleichung definiert ist:

$$\varrho^3 = \frac{\sum_{i=1}^{N} (x_i - \bar{x})^3}{N \sigma^3}$$

ϱ zeigt uns an, ob die Häufigkeitkurve vom Mittelwert aus symmetrisch nach beiden Seiten abfällt und der Mittelwert zugleich den Scheitelwert der Häufigkeitsverteilung bildet ($\varrho = 0$), oder ob der Scheitelwert in bezug auf das Mittel in Richtung der tieferen Temperaturen verschoben ist (positive Schiefe), bzw. in Richtung der höheren Temperaturen (negative Schiefe).

Eine dritte zusätzliche Maßzahl, der Exzeß ε, gibt weiteren Aufschluß über die Verteilung der Einzelwerte im gesamten Schwankungsbereich:

$$\varepsilon^4 = \frac{\sum_{i=1}^{N} (x_i - \bar{x})^4}{N \sigma^4} - 3$$

Positive ε-Werte zeigen an, daß sich die meisten Einzelwerte verhältnismäßig eng um das arithmetische Mittel scharen (stärker als bei der normalen Verteilung), einzelne Werte aber doch weit davon entfernt sind. Bei negativem ε dagegen liegt (unter der Voraussetzung gleicher Größe von σ) ein bedeutender Teil der Einzelwerte weniger nah beim Mittel als bei normaler Verteilung, doch kommen anderseits weniger extrem große Abweichungen vor.

Wenn ϱ und ε Null sind, haben wir es mit einer sogenannten Gaußschen Normalverteilung zu tun. Bei Temperatur-Häufigkeitsverteilungen kommt in der Regel die wirkliche Verteilung einer Gausschen Verteilung ziemlich nahe. In diesem Falle bleibt neben dem Mittelwert die Streuung σ als einzige wesentliche Maßzahl übrig, durch welche die Häufigkeitsverteilung bestimmt wird. Median- und Mittelwerte fallen nahe zusammen. Die Verteilung ist in bezug auf diese Werte symmetrisch, wobei etwa $^2/_3$ aller Beobachtungen (genauer 68,2% bei vollständig normaler Verteilung) in den Bereich zwischen $+\sigma$ und $-\sigma$ fallen. Fast alle Werte liegen innerhalb des Bereiches $+3\sigma$ bis -3σ (99,7%). Die Extremwerte der Häufigkeitsverteilung entsprechen daher ungefähr den Grenzen -3σ und $+3\sigma$; der Bereich von 15,9—84,1%, welcher 68,2% aller Werte umfaßt, gibt die Grenzen $+\sigma$ und $-\sigma$ an.

Die ganze Verteilung kann also in drei gleiche Bereiche zerlegt werden:

Klassengrenzen	Aufsummierte Häufigkeiten	Mitte des Bereichs	Aufsummierte Häufigkeiten
$+3\sigma$	0,1%		
		-2σ	2,3%
$+\sigma$	15,9%		
		0 (Medianwert)	50 %
$-\sigma$	84,1%		
		-2σ	97,7%
-3σ	99,9%		

In der Häufigkeitstabelle sind die beiden Randbereiche in gewöhnlichem Satz, der zentrale Bereich dagegen fett gedruckt. Da alle drei Bereiche die Größe 2σ besitzen, erhalten wir mit dieser Darstellung ohne weitere Rechnung sofort einen Überblick über die Größe von σ. σ ist ungefähr gleich der Hälfte des Bereiches der fettgedruckten Mittelklasse, im Januar also z. B. etwa 4,5°. Bei negativem Exzeß ist σ etwas kleiner, bei positivem Exzeß etwas größer als die halbe Breite der Mittelklasse.

Die angegebenen aufsummierten Häufigkeiten entsprechen somit nur bei einer exakten Gausschen Verteilung genau den theoretischen σ-Grenzen. Bei Verteilungen mit Schiefe und Exzeß erhalten wir mit diesen Zahlen die sogenannten σ-Äquivalente, welche nicht mehr völig äquidistant sind, sondern nur noch ungefähr den gleichen Abstand voneinander besitzen. Die auftretenden Unterschiede sind durch die Größe von ϱ und ε bestimmt. Wir erhalten daher einen qualitativen Überblick über deren Vorzeichen und Betrag. Ist der 2σ-Bereich wesentlich größer bzw. kleiner als der -2σ-Bereich, besitzt die Verteilung positive bzw. negative Schiefe. Ferner liegt bei positiver Schiefe der Medianwert im allgemeinen nicht im Zentrum des fettgedruckten Mittelbereichs, sondern ist etwas in Richtung der negativen Temperaturen verschoben, bei negativer Schiefe dagegen in Richtung der positiven Temperaturen. Werfen wir einen Blick auf unsere Tabelle, so erkennen wir, daß offensichtlich die Wintermonate Januar und Februar negative Schiefe aufweisen. Die Folge davon ist, daß Median- und Mittelwert auseinanderklaffen, daß die Mitteltemperatur tiefer liegt als der Medianwert, weil vereinzelte Fälle von tiefer Temperatur (Bodeninversionen über der Schneedecke) das Mittel verkleinern, während diese extremen Einzelwerte keinen Einfluß auf den Medianwert haben.

Auch über den Exzeß gibt uns die Tabelle Aufschluß. Sind die beiden Randbereiche im Mittel bedeutend breiter als der mittlere Bereich, hat die Verteilung positiven Exzeß; sind sie dagegen wesentlich schmäler, wie dies z. B. die Sommer- und Herbstmonate deutlich zeigen, ist der Exzeß negativ.

Werfen wir zum Schluß noch einen Blick auf den allgemeinen Temperaturverlauf. Wir erkennen, wie auch im Zeitraum von 40 Jahren, welcher noch etwas länger ist als die international vorgeschlagene 30jährige Klimaperiode 1901—1930, ziemlich markante kalendermäßig gebundene Wärme- und Kältezeiten auftreten, z. B. das sekundäre Temperaturminimum im Winter in der Zeit vom 17. bis 21. Dezember, welches von einem Maximum um die Jahreswende gefolgt ist. Die Wahrscheinlichkeit, daß das Tagesmittel der Temperatur über null Grad liegt, steigt dabei von 42,5% in der 71. Pentade auf 61,5% in der 73. Pentade. Der Mittelpunkt der Temperatur steigt von —0,1 auf 0,8°, der Medianwert sogar von —0,3 auf 1,0°. Ein Blick auf die darunter stehenden Angaben aus der Periode 1941—1950 zeigt uns aber, daß dieses «Weihnachtstauwetter» eine vorübergehende Erscheinung war. Im vergangenen Jahrzehnt war zwar anfangs Dezember das Temperaturmittel genau gleich wie 1901—1940: 2,1°, dann fiel es aber sehr regelmäßig bis zum Minimum anfangs Januar in der zweiten Pentade. Wir werden also, wenn die Häufigkeitsverteilung für zukünftige Planung gebraucht werden soll, uns nicht allzusehr auf solche Details verlassen, sondern diese als Maß für zu erwartende Abweichungen benützen.

Häufigkeitsverteilung der Temperatur-Tagesmittel von Zürich 1901—1940

Wahrscheinlichkeit in %, daß das Tagesmittel der Temperatur den in der Kolonne ttt angegebenen Wert erreicht oder überschreitet

| ttt | Januar | | | | | | Februar | | | | | | März | | | | | | April | | | | | | Mai | | | | | | Juni | | | | | | Juli | | | | | | August | | | | | | September | | | | | | Oktober | | | | | | November | | | | | | Dezember | | | | | | ttt |
|---|---|---

Der Vergleich der Mittel- und Medianwerte beider Perioden zeigt uns aber noch eine weitere Erscheinung: Nicht nur die Einzelheiten im jährlichen Temperaturverlauf ändern sich im Laufe der Jahrzehnte und Jahrhunderte, auch die allgemeinen Wärmeverhältnisse sind Schwankungen unterworfen. Die Erwärmung, welche sich schon in der zweiten Hälfte des vergangenen Jahrhunderts in einem zunehmenden Gletscherrückgang bemerkbar gemacht hatte, setzte sich bisher im 20. Jahrhundert fort. Während das Mittel 1901—1940 im Vergleich zu den Werten von 1864—1900 besonders höhere Wintertemperaturen aufweist, bringt das Jahrzehnt 1941—1950 in dieser Jahreszeit keine neuen wesentlichen Änderungen. Dagegen sind es in der neuen Periode die Frühjahrs- und Sommertemperaturen, welche um 1 bis 2 Grad höher liegen als in den ersten 40 Jahren des Jahrhunderts, so daß auch das Jahresmittel noch um 0,8° erhöht wird. Diese bedeutende Änderung ist infolge des kurzen zehnjährigen Zeitraumes stark dem Einfluß einzelner extremer Jahre zuzuschreiben (z. B. heißer Sommer 1947) und es ist daher unwahrscheinlich, daß die Wärmewelle in gleichem Maße andauern wird; zeigen doch schon die Temperaturmessungen in der freien Atmosphäre, welche ebenfalls im Anhang der diesjährigen MZA-Annalen publiziert sind[6], seit 1950 wieder ein langsame Abkühlung. Der Vergleich der Mittelwerte verschiedener Perioden zeigt uns, daß alles im Fluß ist. Nicht nur das Wetter ändert von Tag zu Tag, auch die klimatischen Verhältnisse sind in dauernder Umgestaltung begriffen.

Bibliographie

[1] Maurer J., Billwiller R. und Heß C., *Das Klima der Schweiz*, 2 Bände, Frauenfeld 1909.

[2] Schüepp M., *Wolken, Wind und Wetter*, Büchergilde Gutenberg, Zürich 1950. Vgl. besonders Teil III von H. Uttinger.

[3] Uttinger H., *Vom Zürcher Klima*, Zürcher Statistische Nachrichten, Heft 2, 1940.

[4] Brooks C. E. P. und Carruthers N., *Handbook of Statistical Methods in Meteorology*, London 1953.

[5] Commission de Climatologie, *Rapport Final Abrégé de la Première Session*, Washington 12–25 mars 1953, OMM. N° 14, RP. 6.

[6] Ackermann P., *Klima der freien Atmosphäre*, Bearbeitung der Radiosondierungen der Aerologischen Station Payerne 1952, Annalen der Schweiz. Meteorolog. Zentralanstalt 1952, Anhang.